OREA 7

Çukuriçi Höyük 2

Das 5. und 4. Jahrtausend v. Chr. in Westanatolien und der Ostägäis

Christoph Schwall

mit einem Beitrag von Barbara Horejs

Verlag der Österreichischen Akademie der Wissenschaften

Christoph Schwall

Çukuriçi Höyük 2

Das 5. und 4. Jahrtausend v. Chr. in Westanatolien und der Ostägäis

Österreichische Akademie der Wissenschaften
Philosophisch-historische Klasse

Oriental and European Archaeology

Band 7

Reihenherausgeberin: Barbara Horejs



Publikationskoordination: Ulrike Schuh

Christoph Schwall

Çukuriçi Höyük 2

Das 5. und 4. Jahrtausend v. Chr. in Westanatolien und der Ostägäis

Mit einem Beitrag von Barbara Horejs

VERLAG DER
ÖSTERREICHISCHEN
AKADEMIE DER
WISSENSCHAFTEN

Angenommen durch die Publikationskommission der philosophisch-historischen Klasse
der Österreichischen Akademie der Wissenschaften:
Michael Alram, Bert Fragner, Hermann Hunger, Sigrid Jalkotzy-Deger, Brigitte Mazohl, Franz Rainer,
Oliver Jens Schmitt, Peter Wiesinger und Waldemar Zacharasiewicz

The research leading to these results has received funding from the
European Research Council under the European Union's Seventh Framework Programme
(FP7/2007–2013) / ERC grant agreement no. 263339.



Gegenüberliegende Seite: Çukuriçi Höyük (Foto: N. Gail/ÖAI)

Diese Publikation wurde einem anonymen internationalen Peer-Review-Verfahren unterzogen.

Die verwendeten Papiersorten sind aus chlorfrei gebleichtem Zellstoff hergestellt,
frei von säurebildenden Bestandteilen und alterungsbeständig.

Lektorat: Jörg Weilhartner
Layout: María Antonia Negrete Martínez
Coverdesign: Mario Börner, Angela Schwab

Alle Rechte vorbehalten.
ISBN: 978-3-7001-8207-8
Copyright © 2018 by
Österreichische Akademie der Wissenschaften, Wien

Druck: Prime Rate kft., Budapest

https://epub.oeaw.ac.at/8207-8
https://verlag.oeaw.ac.at



ORIENTAL AND EUROPEAN ARCHAEOLOGY

Vol. 1 B. Horejs – M. Mehofer (Hrsg.), Western Anatolia before Troy. Proto-Urbanisation in the 4th Millenium BC? Proceedings of the International Symposium held at the Kunsthistorisches Museum Wien, Vienna, Austria, 21–24 November, 2012 (Wien 2014).

Vol. 2 B. Eder – R. Pruzsinszky (Hrsg.), Policies of Exchange. Political Systems and Modes of Interaction in the Aegean and the Near East in the 2nd Millennium B.C.E. Proceedings of the International Symposium at the University of Freiburg, Institute for Archaeological Studies, 30th May–2nd June, 2012 (Wien 2015).

Vol. 3 M. Bartelheim – B. Horejs – R. Krauß (Hrsg.), Von Baden bis Troia. Ressourcennutzung, Metallurgie und Wissenstransfer. Eine Jubiläumsschrift für Ernst Pernicka (Rahden/Westf. 2016).

Vol. 4 M. Luciani (Hrsg.), The Archaeology of North Arabia. Oases and Landscapes. Proceedings of the International Congress held at the University of Vienna, 5–8 December, 2013 (Wien 2016).

Vol. 5 B. Horejs, Çukuriçi Höyük 1. Anatolia and the Aegean from the 7th to the 3rd Millennium BC. With contributions by Christopher Britsch, Stefan Grasböck, Bogdana Milić, Lisa Peloschek, Maria Röcklinger and Christoph Schwall (Wien 2017).

Vol. 6 M. Mödlinger, Protecting the Body in War and Combat. Metal Body Armour in Bronze Age Europe (Wien 2017).

Inhaltsverzeichnis

Vorwort der Reihenherausgeberin 13

Danksagungen des Verfassers 15

I. Einleitung 17

II. Das 5. und 4. Jt. v. Chr. in Westanatolien, der Ostägäis, der Dodekanes und Türkisch-Thrakien – Terminologie und Chronologie 21

II.1. Der Begriff „Kupferzeit“ – Von Europa bis nach Westanatolien 21

II.2. Chronologiesysteme Westanatoliens, der Ostägäis, der Dodekanes und Türkisch-Thrakiens 23

II.2.1. Das Chronologiesystem Westanatoliens 23

II.2.1.1. Die Chronologie nach Ch. Eslick in Südwestanatolien 24

II.2.1.2. Die Chronologie der Ägäisküste und Nordwestanatoliens nach Seeher . . 25

II.2.1.3. Die abweichende Terminologie in der Troas 26

II.2.2. Das Chronologiesystem der Ostägäis und der Dodekanes 26

II.2.3. Das Chronologiesystem in Türkisch-Thrakien 27

III. Forschungsstand in Westanatolien, der Ostägäis, der Dodekanes und Türkisch-Thrakien 29

III.1. Fundorte in Westanatolien 30

III.2. Fundorte in der Ostägäis und der Dodekanes 36

III.3. Fundorte in Türkisch-Thrakien 38

III.4. Chronologiediskussion der Fundorte des 5. und 4. Jts. v. Chr. in den einzelnen Regionen 41

III.4.1. Chronologiediskussion: Westanatolien 41

III.4.1.1. Troas 41

III.4.1.1.1. Kumtepe IA, Beşik-Sivritepe und Gülpınar 41

III.4.1.1.2. Kumtepe IB, Hanay Tepe und Karaağaçtepe (Gelibolu-Halbinsel) . 46

III.4.1.2. Zentralwestanatolische Küstenregion 47

III.4.1.2.1. Bakla Tepe 48

III.4.1.2.2. Dedecik-Heybelitepe 49

III.4.1.2.3. Ege Gübre 50

III.4.1.2.4. Liman Tepe 51

III.4.1.2.5. Milet 53

III.4.1.2.6. Ulucak Höyük 54

III.4.1.2.7. Yassıtepe Höyüğü 56

III.4.1.2.8. Yeşilova Höyüğü 57

III.4.1.3. Westanatolisches Hinterland 59

III.4.1.3.1. Aphrodisias-Pekmez 60

III.4.1.3.2. Asopos Tepesi 62

III.4.1.3.3. Beçin Kalesi 62

III.4.1.3.4. Beycesultan 62

III.4.1.3.5. Çine-Tepecik Höyüğü 64

III.4.1.3.6. Gavurtepe Höyük 65

III.4.1.3.7. Malkayası-Höhle 65

III.4.1.4. Südwestanatolien 67
III.4.1.4.1. Bademağacı Höyük 67
III.4.1.4.2. Bağbaşı 68
III.4.1.4.3. Boztepe 69
III.4.1.4.4. Karaburun 70
III.4.1.4.5. Karain-Höhle 70
III.4.1.4.6. Kızılbel 71
III.4.1.4.7. Kuruçay Höyük 71
III.4.1.4.8. Perge 73
III.4.1.4.9. Suluin-Höhle 74
III.4.1.4.10. Tavabaşı-Höhle 74
III.4.1.4.11. Yarımhöyük 74
III.4.1.5. Nordwestanatolien 75
III.4.1.5.1. Barcın Höyük 75
III.4.1.5.2. Demircihüyük 76
III.4.1.5.3. Ilıpınar 79
III.4.1.5.4. Keçiçayırı 80
III.4.1.5.5. Küllüoba 80
III.4.1.5.6. Orman Fidanlığı 81
III.4.2. Chronologiediskussion: Ostägäische Inseln und Dodekanes 82
III.4.2.1. Nordostägäische Inseln 83
III.4.2.1.1. Dermatas (Lemnos) 83
III.4.2.1.2. Koukonisi (Lemnos) 84
III.4.2.1.3. Mikro Vouni (Samothraki) 84
III.4.2.1.4. Myrina (Lemnos) 84
III.4.2.1.5. Poliochni (Lemnos) 84
III.4.2.1.6. Uğurlu-Zeytinlik (Imbros) 85
III.4.2.2. Zentralostägäische Inseln 86
III.4.2.2.1. Agio Gala-Höhle (Chios) 86
III.4.2.2.2. Archontiki (Psara) 88
III.4.2.2.3. Emporio (Chios) 88
III.4.2.2.4. Heraion (Samos) 89
III.4.2.2.5. Nyfi (Ikaria) 90
III.4.2.2.6. Tigani (Samos) 90
III.4.2.3. Dodekanes 93
III.4.2.3.1. Archangelos und Kalythies (Rhodos), Kastro Alimnia (Alimnia), Partheni (Leros) 94
III.4.2.3.2. Aspripetra-Höhle (Kos) 96
III.4.2.3.3. Charkadiko-Höhle (Tilos) 97
III.4.2.3.4. Giali 97
III.4.2.3.5. Vathy-, Cheiromandres- und Agio Varvara-Höhle (Kalymnos) 98
III.4.3. Chronologiediskussion: Türkisch-Thrakien 100
III.4.3.1. Alpullu 101
III.4.3.2. Aşağı Pınar 102
III.4.3.3. Hoca Çeşme und Yenikapı 104
III.4.3.4. Kanlıgeçit 105
III.4.3.5. Menekşe Çatağı 105
III.4.3.6. Tilkiburnu 105
III.4.3.7. Toptepe 106
III.4.3.8. Yarımburgaz-Höhle 107

III.4.4. Exkurs: Chronologie in Ostmakedonien, Griechisch-Thrakien und Thasos . . 108
III.4.4.1. Ostmakedonien 108
III.4.4.2. Griechisch-Thrakien 110
III.4.4.3. Thasos 112
III.4.5. Zusammenfassende Betrachtung der Siedlungsaktivität 113

IV. Çukuriçi Höyük 115
IV.1. Die Siedlungsphasen ÇuHö VII–V 118
IV.1.1. Befunde in den Flächen N6 und N7 118
IV.1.1.1. Nachnutzung des Grabenbereichs 120
IV.1.1.2. „Steinkistenkomplex“ 127
IV.1.1.3. Graben (Komplex 5) 131
IV.1.2. Befunde in der Fläche M1 135
IV.1.2.1. Die Siedlung ÇuHö VIb 139
IV.1.2.2. Die Siedlung ÇuHö VIa 141
IV.1.2.3. Die Siedlung ÇuHö Vb 148
IV.1.2.4. Die Siedlung ÇuHö Va 159
IV.1.3. Zusammenfassende Betrachtung der Siedlungen ÇuHö VII–V 164
IV.1.3.1. Die innere Siedlungsstruktur 164
IV.1.3.2. Die äußere Siedlungsstruktur 166
IV.1.4. Absolute Datierungen der Phasen ÇuHö VII–V 167
IV.2. Exkurs: Wohn- und Nutzbautypen in Westanatolien und der Ostägäis 170
IV.2.1. Rechteckbauten 171
IV.2.2. Elliptische oder apsidiale Bauten 174
IV.2.3. Rundbauten 175
IV.2.4. Steinreihenstrukturen 176
IV.3. Korrelation der Befunde mit den übrigen ergrabenen Arealen 178
IV.3.1. Die Nordschnitte N1–3 178
IV.3.2. Der Nordschnitt N4 180
IV.3.3. Die Ausgrabungen des Efes Müzesi 181
IV.4. Die Keramik 181
IV.4.1. Fundaufnahme und Methodik 182
IV.4.2. Warengruppen 185
IV.4.2.1. Verteilung der Warengruppen 187
IV.4.3. Typologie der Keramik 193
IV.4.3.1. Offene Gefäßformen 196
IV.4.3.1.1. Schalen 197
IV.4.3.1.2. Schüsseln 200
IV.4.3.1.3. Töpfe 201
IV.4.3.1.4. Dreifußkochtöpfe 202
IV.4.3.2. Geschlossene Gefäßformen 203
IV.4.3.2.1. Halsgefäße 203
IV.4.3.2.2. Engmundige Gefäße 205
IV.4.3.2.3. Krüge 207
IV.4.3.2.4. Kannen 207
IV.4.3.3. Sonderformen 208

IV.4.3.4. Gefäßbestandteile 212
IV.4.3.4.1. Henkel 212
IV.4.3.4.2. Griffknubben und Knubben 216
IV.4.3.4.3. Grifflappen 217
IV.4.3.4.4. Ösen 218
IV.4.3.4.5. Böden 219
IV.4.3.4.6. Füße 221
IV.4.3.4.7. Deckel 223
IV.4.3.4.8. Ausgüsse 225
IV.4.4. Verzierungen 225
IV.4.4.1. Weißbemalung 226
IV.4.4.2. Impressoverzierung 227
IV.4.4.2.1. Fingereindrücke 227
IV.4.4.2.2. Rillen 227
IV.4.4.2.3. Einstiche 228
IV.4.4.2.4. Ritzungen 228
IV.4.4.2.5. Einkerbungen 228
IV.4.4.3. Appliken 228
IV.4.4.4. Durchlochungen 229
IV.4.4.5. Mattenabdrücke 229
IV.4.5. Quantitative Auswertung der Formen 229
IV.4.6. Korrelation der Warengattungen mit den Keramikformen 231
IV.4.7. Chronologische Bewertung der Keramik der Phasen ÇuHö VII–V 232
IV.5. Die Kleinfunde 236
IV.5.1. Tonobjekte 238
IV.5.1.1. Keramikscheiben 238
IV.5.1.2. Webgewichte 238
IV.5.1.3. Spinnwirtel 239
IV.5.1.4. Keramiklöffel 239
IV.5.1.5. Schleudergeschosse 239
IV.5.1.6. Figurinen 239
IV.5.2. Knochenobjekte 240
IV.5.2.1. Knochenahlen 241
IV.5.2.2. Knochennadeln 241
IV.5.2.3. Knochenspatel 241
IV.5.2.4. Knochenlöffel 241
IV.5.2.5. Knochenperlen 241
IV.5.3. Steinobjekte 241
IV.5.3.1. Klopfsteine 241
IV.5.3.2. Dechselklingen 242
IV.5.3.3. Steinbeile 242
IV.5.3.4. Glättsteine 242
IV.5.3.5. Steinscheiben 242
IV.5.3.6. Steinperlen und -anhänger 243
IV.5.3.7. Steingefäße 243
IV.5.3.8. Figurinen 243
IV.5.4. Zusammenfassende Betrachtung der Kleinfunde 244

IV.6. Die Metallfunde 248
IV.7. Reibsteine, Mörser und Türangelsteine 249

V. Chronologisch relevante Marker in der Keramik des 5. und/oder 4. Jts. v. Chr. . . . 253
V.1. Marker mittelchalkolithischer Zeitstellung 253
V.1.1. Politurmusterverzierung 253
V.1.2. Hornhenkel 254
V.1.3. Gefensterte Hohlbasen 256
V.1.4. Lang gezogene Stabhenkel mit Knubben 256
V.1.5. Schalen mit Einstichreihen auf dem Rand 256
V.1.6. Ritzverzierung mit Einstichen 256
V.1.7. Henkel mit Pilzkopfaufsatz 258
V.1.8. Einfache Henkel mit Knubbe 258
V.1.9. Krüge mit einziehendem unteren Ende und Ritzverzierung 259
V.1.10. Überrandständige vertikale Grifflappen 260
V.1.11. Spitzbodige Becher 261
V.2. Marker mittel- und spätchalkolithischer Zeitstellung 262
V.2.1. *Cheese pots* 262
V.2.2. Mattenabdrücke 263
V.2.3. Lineare Weißbemalung 264
V.2.4. Ritzverzierung 265
V.3. Marker spätchalkolithischer Zeitstellung 266
V.3.1. Schalen mit eingerolltem Rand (*rolled rim bowls*) 266
V.3.2. Knickrandschalen 266
V.3.3. Kehlrandschalen 267
V.3.4. Füße 267
V.3.5. Randständige und unterrandständige Grifflappen 267
V.4. Zusammenfassende Betrachtungen 268

VI. Mögliche Faktoren für die soziokulturellen Entwicklungen vom 5. bis zum 3. Jt. v. Chr. in Westanatolien und der Ostägäis 273
VI.1. Die Bedeutung von Kommunikations- und Austauschsystemen 274
VI.2. Permanente Siedlungen als Überlebensstrategie? 277
VI.3. Spezialisiertes Handwerk 283

VII. Zusammenfassung / Summary / Özet 287

VIII. Literaturverzeichnis 297

IX. Kataloge 347
IX.1. Stratigraphische Einheiten (SE) 347
IX.2. Warengruppen 384
IX.2.1. Spätchalkolithische Warengruppen 384
IX.2.2. Neolithische Warengruppen 394
IX.2.3. Frühbronzezeitliche Warengruppen 397

IX.3. Keramik 408
IX.4. Kleinfunde 564
IX.5. Metallfunde 579
IX.6. Reibsteine, Mörser und Türangelsteine 582

X. Tafeln

X.1. Keramik (Taf. 1–51)
X.2. Kleinfunde (Taf. 52–89)
X.3. Metallfunde (Taf. 90–93)
X.4. Reibsteine, Mörser und Türangelsteine (Taf. 94–103)

XI. Beilagen (Beilage 1–3)

Die Sondierungsgrabungen in den Nordschnitten N1–3

***von** Barbara Horejs* 699

I. Einleitung 699

II. Die Grabungsschnitte N1–4 700

II.1. Die Stratigraphie der Schnitte N1–3 701
II.1.1. Katalog der Stratigraphischen Einheiten (SE) der Schnitte N1–3 712
II.2. Die Stratigraphie des Nordschnittes N4 *(B. Horejs & Ch. Schwall)* 717
II.2.1. Katalog der Stratigraphischen Einheiten (SE) des Schnittes N4 722

III. Das Fundmaterial aus den Nordschnitten N1–4 725

III.1. Keramik 725
III.1.1. Katalog der Keramik aus den Schnitten N1–3 (ÇuHö VII–VIb) und N4 (ÇuHö VI–Vb) 730
III.2. Kleinfunde und Reibsteine 771
III.2.1. Katalog der Kleinfunde und Reibsteine aus den Schnitten N1–3 ÇuHö VII–VIb) und N4 (ÇuHö VI–Vb) 773

IV. Zusammenfassung 775

V. Literaturverzeichnis 776

VI. Tafeln

VI.1. Keramik (Taf. 1–33)
VI.2. Kleinfunde (Taf. 34–37)

Vorwort der Reihenherausgeberin

Der mittlerweile 7. Band der Publikationsreihe *Oriental and European Archaeology* stellt zugleich die Fortsetzung der Abschlusspublikationen zu den Ausgrabungen auf dem Çukuriçi Höyük dar. Diese Studie von Christoph Schwall ist nicht nur eine umfassende Vorlage der archäologischen Primärdaten der Siedlungsphasen VII bis V vom Çukuriçi Höyük, sondern zugleich eine grundlegende Aufbereitung und Analyse des 5. und 4. Jahrtausends in Westanatolien und der Ostägäis. Damit sind dem Autor gleich mehrere Ergebnisse auf verschiedenen Ebenen gelungen, die eine bisher einzigartige Grundlage für die Kupferzeit dieses Großraumes darstellen. So kann er die sonst in unserem Forschungsfeld durchaus übliche Trennung entlang moderner Nationalgrenzen überwinden und beide Bereiche – den griechischen wie auch den türkischen Raum – gleichwertig auswerten und zusammenfassend interpretieren. Damit gelingt ihm eine überzeugende Beweisführung der schon vor mehr als 15 Jahren von O. Kouka für die Frühbronzezeit postulierten „ostägäischen Koine", die Ch. Schwall auf Basis neuer Primärdaten zu einem Gesamtbild chalkolithischer Kulturerscheinungen zusammenführt. Von besonderem Wert für ein breiteres wissenschaftliches Publikum dürfte dabei u. a. die gründliche Sammlung aller ergrabenen archäologischen Fundorte und Daten des 5. und 4. Jahrtausends sein, die wohl auch aufgrund schwierig zugänglicher Literatur in unterschiedlichen Sprachen bisher kaum Beachtung fanden. Eine weitere wissenschaftliche Leistung dieser Arbeit ist die chronologische Auswertung aus einer holistischen Perspektive, in der sowohl die Radiokarbondaten und ihre archäologischen Kontexte als auch ihre relative Kompatibilität auf Basis der materiellen Kultur berücksichtigt werden. Somit kann Ch. Schwall der Schoop'schen Studie zu Anatolien aus dem Jahr 2005 viele neue Erkenntnisse hinzufügen, die nicht nur auf der Einbeziehung der ostägäischen Inseln, sondern auch auf einer breiten und kenntnisreichen Materialstudie basieren. Letzteres soll ebenfalls hervorgehoben werden, insbesondere, da zahlreiche unterschiedliche archäologische Quellen vom Autor selbst bearbeitet, dokumentiert und entsprechend kenntnisreich interpretiert wurden. Im Rahmen der von mir geleiteten Ausgrabungen des Çukuriçi Höyük hat Ch. Schwall die Untersuchungen der chalkolithischen Siedlungsreste aus den Phasen ÇuHö VII–V maßgeblich selbst durchgeführt und auch das von ihm hier präsentierte Fundmaterial aufgenommen und analysiert. Die Vorlage der Stratigraphie mit Details aller archäologischen Kontexte, die Interpretation der unterschiedlichen Architektur, der gesamten Gefäßkeramik inklusive ihrer technologischen und typologischen Analyse, des Weiteren Ton-, Knochen- und Steinobjekte sowie Metallfunde werden in dieser Abschlusspublikation von einem detaillierten Katalog begleitet, der das Gesamtwerk zu einer wichtigen Grundlage auch für zukünftige Forschungen macht. Der Anspruch des Autors, die Kulturerscheinungen der Kupferzeit in diesem Großraum substantiell zu erschließen und begreiflich zu machen, ist ihm schließlich im Interpretationsabschnitt am Ende dieses Buches gelungen. Die Rolle von Kommunikations- und Austauschsystemen und die Argumentation anhand handwerklicher Spezialisten und ihrer Produkte sind überzeugend und lassen die Dynamik dieser Epoche besser verständlich werden.

Unserem Ziel einer umfassenden Publikation aller Grabungsdaten ist schließlich der wesentlich kleinere Beitrag am Ende dieses Buches geschuldet, in dem die Reihenherausgeberin alle Ergebnisse zur Kupferzeit aus den Sondierungsgrabungen von 2006 bis 2009 vorlegt, auf deren ersten Ergebnissen die grundlegenden Materialtypologien und Phasengliederungen des Tells in den weiteren Kampagnen basieren. Die weitere Vorlage der insgesamt sieben Grabungs- und Surveykampagnen wird noch einige Jahre in Anspruch nehmen, bleibt aber unser erklärtes Ziel. In naher

Zukunft sollen eine kontextuelle Studie zur spätneolithischen Phase VIII (6200–5975 calBC) und zur frühbronzezeitlichen Architektur der Phasen IV und III (2900–2750 calBC) erscheinen. Weitere Abschlusspublikationen zu den neolithischen Siedlungen XIII–IX, den geschlagenen Steingeräten, den lithischen Rohmaterialien und Lagerstätten, zur Textilproduktion, zum frühbronzezeitlichen Fundmaterial sowie zur Metallurgie sind geplant bzw. werden bereits vorbereitet. Alle bisher erschienenen über 50 Detailstudien wurden jüngst in *Çukuriçi Höyük 1* (2017) aufgelistet und ermöglichen einen Einblick in viele Detailaspekte und Forschungsergebnisse des interdisziplinären und internationalen Teams. An dieser Stelle darf ich allen Forscherinnen und Forschern des Çukuriçi Teams ausdrücklich für ihr fortwährendes Engagement danken.

Die Finanzierung verdanken wir dem österreichischen Wissenschaftsfonds (FWF) und dem Europäischen Forschungsrat (ERC) sowie dem OREA Institut der Österreichischen Akademie der Wissenschaften. Für die Genehmigungen und vielfältige logistische Unterstützung unserer Arbeiten vor Ort danken wir den türkischen Behörden sowie den österreichischen Ausgrabungen in Ephesos (ÖAI). Für das gründliche Lektorat danke ich Jörg Weilhartner, für das professionelle Layout gebührt María Antonia Negrete Martínez unser herzlicher Dank. Die Koordination und Betreuung der Drucklegung lag in den erfahrenen Händen von Ulrike Schuh.

Schließlich gilt mein Dank dem Autor Christoph Schwall, der das in ihn gesetzte Vertrauen mehr als bestätigt hat. Mit seinem Werk *Çukuriçi Höyük 2. Das 5. und 4. Jahrtausend v. Chr. in Westanatolien und der Ostägäis* ist ihm nicht nur die Vorlage des kupferzeitlichen Siedlungsplatzes, sondern auch seine breite kulturelle Einbettung vortrefflich gelungen.

Barbara Horejs

Direktorin des Instituts für Orientalische und Europäische Archäologie

Wien, 14. Februar 2018

Danksagungen

Die vorliegende Studie stellt eine erweiterte Fassung meiner Doktorarbeit dar, die am Institut für Ur- und Frühgeschichte und Vorderasiatische Archäologie der Philosophischen Fakultät an der Ruprecht-Karls-Universität Heidelberg im April 2016 unter dem Titel „Das späte Chalkolithikum in Westanatolien und der Ostägäis. Studien zu den Ergebnissen vom Çukuriçi Höyük“ eingereicht wurde.

Zu Beginn möchte ich Prof. Dr. Joseph Maran und Prof. Dr. Barbara Horejs (OREA, ÖAW) für die Betreuung meiner Arbeit besonders danken. Gerade die zahlreichen wissenschaftlichen Diskussionen, Ratschläge und Anregungen haben zum Gelingen der Arbeit beigetragen.

Bereits während des Studiums in Mainz und Heidelberg galt mein Interesse der Ägäischen Archäologie und ich hatte die Möglichkeit seit 2008 an den Ausgrabungen auf dem Çukuriçi Höyük teilzunehmen. Anregungen zu dieser Arbeit kamen von Prof. Dr. Barbara Horejs, die mich während den Grabungen 2011 auf das bestehende Forschungsdesiderat zum Chalkolithikum in Westanatolien und auf das Potential einer Untersuchung, ausgehend von den Funden des Çukuriçi Höyük, hinwies. Im Rahmen des von Prof. Dr. Barbara Horejs geleiteten ERC Starting Grants „Prehistoric Anatolia“ (Projektnr. 263339) sowie dem FWF START-Programm des Austrian Science Fund (FWF; Projektnr. Y 528) wurde die Studie zwischen 2012 und 2016 durchgeführt und finanziell gefördert. Abgesehen von den Feldforschungen wurden mir in diesem Zeitraum auch mehrere Forschungsreisen und Konferenzbesuche ermöglicht.

Für die Unterstützung während der Jahre meines Promotionsvorhabens sei allen Beteiligten des ERC-Projektes „Prehistoric Anatolia“ und den Mitarbeitern des Instituts für Orientalische und Europäische Archäologie (OREA) der Österreichischen Akademie der Wissenschaften (ÖAW) gedankt. Ebenfalls sei dem Österreichischen Archäologischen Institut (ÖAI, ÖAW), insbesondere der Grabungsleiterin von Ephesos Priv.-Doz. Dr. Sabine Ladstätter, für die Unterstützung und die Infrastruktur bei den Feldforschungen gedankt.

Mein besonderer Dank gilt weiterhin Univ.-Doz. Dr. Eva Alram-Stern und Assoc. Prof. Dr. Ourania Kouka für zahlreiche nützliche wissenschaftliche Ratschläge und Diskussionen.

Im Rahmen dieser Studie konnten mehrere Fundorte in Westanatolien und der Ostägäis besucht werden. Für die Gastfreundschaft, Diskussionen sowie einen Einblick in die Ausgrabungen und das Fundmaterial möchte ich folgenden Kollegen danken: Dr. Stephan W. E. Blum (Troia, Alacalıgöl), Dr. Özlem Çevik (Ulucak Höyük), Dr. Zafer Derin (Yassıtepe Höyüğü, Yeşilova Höyüğü), Prof. Dr. Sevinç Günel (Çine-Tepecik Höyüğü) und Assoc. Prof. Dr. Ourania Kouka (Heraion, Milet).

Für anregende Gespräche, konstruktive Kritik und die Erlaubnis zur Verwendung von unpublizierten Informationen sei Maxime Brami, PhD, Tina Bratschi M.A., Christopher Britsch, MA, Sarah Eder, BA, Dr. Barbara Eichhorn, Priv.-Doz. Mag. Dr. Alfred Galik, Mag. Stefan Grasböck, Charlotte von Hauff M.A., Dr. Andreas G. Heiss, B. Lambrechts, MA, Vagia Mastrogiannopoulou, MA, Sergios Menelaou, BA, MSc, Mag. Dr. des. Ing. Mathias Mehofer, Prof. Dr. Recep Meriç, Bogdana Milić, MA, Felix Ostmann, BA, Mag. DDr. Lisa Peloschek, MSc, Maria Röcklinger, MA, Prof. Dr. Vasıf Şahoğlu, Theobald Simon, Dr. Friederike Stock, Ao.Univ.-Prof. Dr. Ursula Thanheiser, Dr. Rıza Tuncel, Rouven Turck M.A., Dr. Bernhard Weninger und Dipl.-Geol. Danilo Wolf gedankt.

Ein weiterer Dank gilt insbesondere Maria Röcklinger, MA, Sarah Eder, BA, Stefanie Horvath, BA, Sheba C. Schilk M.A. und Johanna Traumüller, die mich bei der Fundaufnahme unterstützt haben. Für die Anfertigung von Zeichnungen sei weiterhin Serkan Demir, MA, Kadriye Güler, BA und Mag. Dr. des. Ing. Mathias Mehofer gedankt.

Die Digitalisierung der Keramik sowie die Erstellung der Keramiktafeln wurde dankenswerterweise von Dr. Thomas Urban durchgeführt. Die Hauptlast bei der Erstellung der weiteren Tafeln übernahm Sarah Eder, BA. Insbesondere ihr möchte ich dafür sowie für ihre weitere Hilfe herzlich danken.

Für die Anfertigung der Publikationsfotos ist dem Fotografen Nicolas Gail zu danken. Dipl. -Ing. (FH) Mario Börner danke ich zum einen für den technischen Support während der Feldarbeiten und der Fundaufnahme, zum anderen für die Erstellung einer Vielzahl von Plänen und Graphiken in dieser Arbeit. Beiden möchte ich an dieser Stelle zudem für ihr offenes Ohr und den zumeist hilfreichen Ratschlägen fürs Leben danken.

Ein großer Dank gilt letztlich meinen Freunden und meiner Familie. Insbesondere meinen Eltern Ulrike und Dieter Schwall, die mich in jeglicher Weise unterstützt haben, bin ich zu tiefstem Dank verpflichtet!

Wien, 31.10.2016 Christoph Schwall

I. Einleitung

Im Rahmen dieser Studie soll der Fokus auf das bis dato noch unzureichend erforschte 4. Jt. v. Chr., das Spätchalkolithikum,[1] in Westanatolien und der Ostägäis gelegt werden. Ausgangspunkt hierfür sind die Ergebnisse der Ausgrabungen am Çukuriçi Höyük, einer Tellsiedlung unweit der zentralwestanatolischen Küste. Zwar behandelt die 2005 erschienene Arbeit von U.-D. Schoop[2] zum anatolischen Chalkolithikum bereits einige wenige Fundorte in Westanatolien sowie auf den ostägäischen Inseln, jedoch zeigt sich deutlich das bestehende Forschungsdesiderat zum 4. Jt. v. Chr. in diesem Raum. Dieses Bild ändert sich auch nicht grundlegend in der 2011 von B. Düring publizierten Arbeit zur Vorgeschichte in Westanatolien.[3]

Jedoch hat sich die Anzahl ausgegrabener spätchalkolithischer Fundorte, insbesondere im zentralwestanatolischen Küstengebiet, in den letzten zehn Jahren erheblich verbessert (s. u. III.1.–3.), weshalb eine erneute Betrachtung des Spätchalkolithikums in diesem Raum vielversprechend erscheint. Neben der deutlich größeren Datengrundlage wurden, mit Ausnahme der Fundorte auf Chios und Samos, die ostägäischen Inseln wie auch die Dodekanes in den zuvor genannten Arbeiten nicht mit einbezogen. Ein Blick auf die benachbarten Regionen ist jedoch essenziell, um regionale und überregionale Kontakte und somit soziokulturelle Einflüsse fassen zu können. Aus diesem Grund sollen in dieser Studie auch die angrenzenden Gebiete der zentralwestanatolischen Küstenregion mit einbezogen werden (Abb. 1). Neben der Ostägäis und der Dodekanes sind dies die Troas, Türkisch-Thrakien, Nord- und Südwestanatolien sowie das westanatolische Hinterland.[4]

In einem ersten Schritt soll eine Bestandsaufnahme aller Fundorte mit ausgegrabenen Befunden des 4. Jts. v. Chr. durchgeführt werden (III.1.–3.). Zwar liegt der Fokus dieser Arbeit auf dem 4. Jt. v. Chr., dennoch werden auch die älteren mittelchalkolithischen Fundorte des späten 6. und insbesondere 5. Jts. v. Chr. berücksichtigt, da sich bereits ab dieser Zeit Entwicklungen abzeichnen, die ausschlaggebend für das anschließende Spätchalkolithikum sind. Im Anschluss soll eine Chronologiediskussion der einzelnen Fundorte, basierend auf der grundlegenden Arbeit von Schoop folgen (III.4.). Anhand der Ergebnisse neuer Ausgrabungen kann die bestehende chronologische Einstufung der Fundorte reevaluiert werden. Insbesondere für das westanatolische Küstengebiet sind in diesem Zusammenhang neue Erkenntnisse zu erwarten.

Ausgangspunkt für diese Studien sind, wie bereits erwähnt, die zwischen 2011 und 2014 durchgeführten Ausgrabungen auf der Tellsiedlung Çukuriçi Höyük an der mittleren westanatolischen Küste (IV.). Gerade die neuen Daten der Ausgrabungen mit einer stratigraphischen Abfolge von der 2. Hälfte des 4. Jts. bis zum beginnenden 3. Jts. v. Chr. bilden die Grundlage für eine erneute Betrachtung der Entwicklungen im 4. Jt. v. Chr. in der Ägäis und in Anatolien. Nach einer umfassenden Betrachtung der Befunde schließt eine Auswertung der Keramik, Kleinfunde,

---

1 In dieser Arbeit wird der chronologischen Einteilung von U.-D. Schoop in ein Früh-, Mittel- und Spätchalkolithikum gefolgt (Schoop 2005); vgl. zusammenfassend Schoop 2011.

2 Schoop 2005. – Zu den in dieser Arbeit behandelten Fundorten siehe Schoop 2005, Taf. 1.

3 Düring 2011a, 200–256. – Zu den in dieser Arbeit behandelten Fundorten siehe Düring 2011a, 201, Abb. 6.1; vgl. ebenso Düring 2011b, 798, Abb. 36.1.

4 Da von den westlichen Inseln der Dodekanes ergrabene Fundorte dieser Zeitstellung fehlen, wurden diese im Arbeitsgebiet nicht mit einbezogen. Dennoch weisen Surveyfunde von Karpathos, Kasos und Astypalaia auf die generelle Präsenz chalkolithischer Fundstellen hin (Hope Simpson – Lazenby 1973, 163; Melas 1985; vgl. Alram-Stern 1996, 482–483; Broodbank 1999, 17, Tab. 1.1; Dawson 2014, 133, Tab. 5.5).

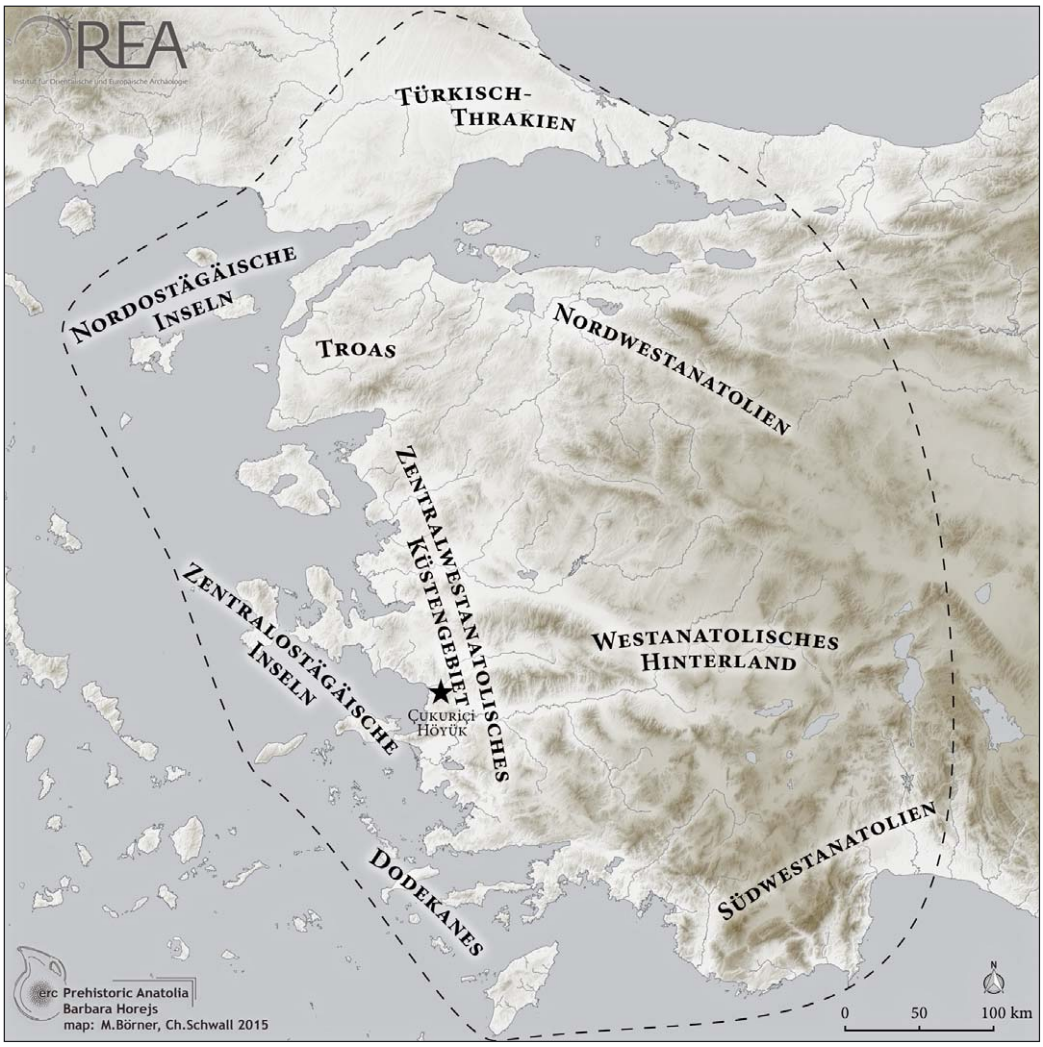


Abb. 1 Räumliche Abgrenzung des Arbeitsgebietes mit der Unterteilung in verschiedene Regionen. (Karte: M. Börner, Ch. Schwall/ERC Prehistoric Anatolia)

Metallfunde und Steingeräte an. Die Funde stellen gemeinsam mit Radiokarbondaten einen wichtigen Referenzpunkt und chronologischen Anker für das Spätchalkolithikum des zentralwestanatolischen Küstengebietes dar.

Anhand von Vergleichen des keramischen Inventars, aber auch der anderen Fundkategorien, sollen anschließend Verbindungen in die angrenzenden Regionen aufgezeigt und diskutiert werden (V.). Handelt es sich hierbei um regionale oder überregionale Kontakte? Als Resultat dieser Auswertung können letztlich Aussagen über die Einbettung des zentralwestanatolischen Gebietes in den Großraum Westanatoliens und der Ostägäis getroffen werden.

Auf Basis dieser zusammengetragenen Daten wird letztlich für das Gebiet Westanatoliens und der Ostägäis eine Entwicklung in mittel- und spätchalkolithischer Zeit diskutiert, die zu den frühbronzezeitlichen Zentren des 3. Jts. v. Chr. geführt hat (VI.). Es stellt sich die Frage, ab wann und in welchem Maße regionale und überregionale Kontakte fassbar sind und inwieweit diese eine Grundlage für einen Interaktionsraum darstellen, in dem technologische und ökonomische Aspekte verbreitet, aber auch soziokulturelle Entwicklungen begünstigt werden. So könnte die

intensivierte Konnektivität auch Impulse, die zur Entwicklung von protourbanen Gesellschaften des 3. Jts. v. Chr. führten, mit sich gebracht haben.

Es soll hier ein Versuch gestartet werden, ein bislang ausstehendes und grundlegendes Forschungsdesiderat, das Spätchalkolithikum und der Übergang zur Frühbronzezeit in Westanatolien, zu fassen und zu definieren. Auch wenn dies heißt, wie von Schoop betitelt, „die Büchse der Pandora zu öffnen“,[5] ist dies jedoch zum Verständnis der Entwicklung zwingend notwendig. Hatte doch bereits K. Bittel in seinen „Kleinasisatischen Studien“ (1942) im Zusammenhang mit der Frage der Entwicklung und Herausbildung der frühbronzeitlichen Kulturen angemerkt: „Alles geht sicherlich auf eine ältere, gemeinsame Wurzel zurück, die wir noch nicht kennen, die aber wahrscheinlich im überhaupt noch unerschlossenen Neolithikum Westkleinasiens zu suchen ist.“[6]

[5] Schoop 2005, 17.

[6] Bittel 1942, 189. – Als Neolithikum im Bittel’schen Sinne ist hier das Chalkolithikum zu verstehen.

II. Das 5. und 4. Jt. v. Chr. in Westanatolien, der Ostägäis, der Dodekanes und Türkisch-Thrakien – Terminologie und Chronologie

Bevor auf die Problematik des uneinheitlichen Gebrauchs der Termini „Kupferzeit“, „Chalkolithikum“ oder „Äneolithikum“ als historische Epoche in unterschiedlichen geographischen Regionen näher eingegangen wird, ist zuvor zum Verständnis eine genauere Betrachtung der Entwicklung des Begriffs und seiner zeitlichen Abgrenzung unentbehrlich. Auch wenn der Fokus auf dem primären Arbeitsgebiet in Westanatolien liegt, so muss mit einem Blick auf die „Kupferzeit“ in der Archäologie Europas begonnen werden.

II.1. Der Begriff „Kupferzeit“ – Von Europa bis nach Westanatolien

In der grundlegenden Dreiteilung der Perioden nach Ch. Thomsen in Stein-, Bronze- und Eisen-Zeitalter im frühen 19. Jh. war die Kupferzeit als eigenständige Epoche nicht vorgesehen. Es galt lediglich, eine grobe Kategorisierung des Fundmaterials auf der Basis des grundsätzlichen technologischen Fortschritts vorzulegen, in dem die Kupferfunde pauschal in die Periode der Bronzezeit eingegliedert wurden.[7] Nachdem sich dieses erste dreigeteilte Konstrukt etablierte, begann es sich in der Folgezeit zu differenzieren. Bereits J. J. A. Worsaae erkannte 1849 einen Entwicklungsschritt innerhalb der bronzezeitlichen Periode, in dem er den Gebrauch von Kupfer der Verwendung von Bronze voranstellte.[8] Aufgrund neuer Entdeckungen begann sich diese Meinung in der zweiten Hälfte des 19. Jhs. in Europa immer weiter durchzusetzen. Die gleiche Ansicht wie Worsaae vertraten zu Beginn der 1860er Jahre auch W. R. Wilde[9] in seinem Museumskatalog zu den Goldfunden der Königlichen Irischen Akademie von Dublin und F. Keller[10] in seinen Pfahlbauberichten. Der Idee eines eigenständigen Epochenbegriffs schlossen sich Mitte der 1870er Jahre aufgrund von Untersuchungen der neu entdeckten Kupferobjekte auf der Iberischen Halbinsel als auch in Ungarn weitere Forscher an. So sprach R. Barros Sivelo 1875 von einem „edad de cobre“.[11] Ein Jahr später folgte ihm F. von Pulszky in dieser Ansicht auf dem „Congrès International d’Anthropologie & d’Archéologie Préhistoriques“ in Budapest, der über eine Kupferzeit in Ungarn referierte.[12] In einem 1876 erschienenen Beitrag im jährlichen Bericht des Smithsonian Instituts zum Budapester Kongress bezieht sich F. Rómer auf von Pulszky: „[…] Mr. De Pulsky spoke of a *copper age*, which, he thinks, can be traced in Hungary. He believes that many implements in the National Museum, which are supposed to pertain to the age of bronze, consist in reality of copper. […] These forms [of the implements] differ, according to Mr. De Pulsky, from the types characteristic of the bronze age, and hence he concludes that an age of copper, forming the transition from polished stone to bronze, must be claimed for Hungary.“[13]

---

7 Thomsen 1837, 59; vgl. Strahm 1981, 193.
8 Worsaae 1849, 23–24; vgl. Hachmann 1991, 699.
9 Wilde 1862, 89; vgl. Lichardus 1991, 15.
10 Keller 1863, 12–14; vgl. Müller-Karpe 1974, 3; Lichardus 1991, 15.
11 Barros Sivelo 1875, 45; vgl. Müller-Karpe 1974, 3.
12 von Pulszky 1877; vgl. Müller-Karpe 1974, 3.
13 Rómer 1876, 398, Anm. *.

Diese frühen Gedanken fasste von Pulszky später in einer Monographie zur Kupferzeit Ungarns zusammen.[14] 1880, vier Jahre nach dem Budapester Zusammentreffen, fand der Folgekongress in Lissabon statt. Insbesondere T. Vilanova sprach sich aufgrund der Funde auf der Iberischen Halbinsel eindrücklich für eine Etablierung der Kupferzeit als Vorgängerperiode der Bronzezeit aus.[15] Jedoch traf diese Ansicht auf wenig Akzeptanz des Auditoriums, wie R. Virchow in seinem Bericht über den Kongress kommentiert: „Die Kenntniss dieser ganzen Kupferindustrie ist verhältnissmässig noch so neu, dass selbst in den Discussionen des Congresses sie mit entschiedener Ungunst aufgenommen wurde und dass sie eigentlich zu keiner Geltung gekommen ist, obwohl Hr. Vilanova für Spanien eine „Kupferzeit" in Anspruch nahm.".[16] Er selbst teilte Vilanovas Ansicht, was anhand der Bewertung von kujawischen Kupferfunden im Folgejahr deutlich wurde.[17] Ein erstes, weiträumiges Werk zur Kupferzeit wurde von M. Much 1885 in einem kurzen Beitrag und 1893 in einer erweiterten Fassung monographisch vorgelegt.[18] In diesem Werk behandelt er neben anderen Regionen auch einen Teil Westanatoliens mit den Funden der ersten und zweiten Stadt Troias.[19] Er vergleicht die troianischen Keramikfunde der beiden Städte mit Gefäßen aus Zypern, den kujawischen Gräbern sowie den Pfahlbausiedlungen und folgert daraus, dass es sich um kupferzeitliche Schichten handeln muss. Unterstützend stellt er den keramischen Inventaren die reichen Kupferfunde Troias beiseite. Auch wenn sich das Bild von einer vorbronzezeitlichen Besiedlung Troias nicht bewahrheitet hat,[20] waren es dennoch Forschungen im Umfeld von Troia, welche die ersten chalkolithischen Horizonte in Westanatolien erbrachten. So blieben die seit dem 19. Jh. in Europa bestehenden Bestrebungen einer eigenständigen epochalen Benennung von neolithischen Schichten, die Kupferobjekte führen, nicht ohne Auswirkungen.[21] Die Begriffe „Kupferzeit", „Äneolithikum" oder „Chalkolithikum" fanden für den Zeitraum zwischen dem Ende des Neolithikums und dem Beginn der Frühbronzezeit Eingang in die Forschung.[22] Als Resultat ergab sich ein terminologisches System, das je nach Region unterschiedliche Benennungen zufolge hatte.[23] Auch die Forschungen im geographischen Randbereich Europas blieben von diesen Tendenzen vor allem durch die dort arbeitenden europäischen Forscher nicht unbeeinflusst. Es erfolgte eine Übertragung des chronologischen Konstrukts auf das anatolische Gebiet und die Einführung des Terminus „Chalkolithikum" für Kulturschichten des 4. Jts. v. Chr., also vortroianischer Zeitstellung. Für das Gebiet Westanatoliens führten so die Ausgräber von Beycesultan, S. Lloyd und J. Mellaart, den Begriff „Late Chalcolithic"[24] für ebensolche Schichten ein. Hierbei nahmen sie Bezug auf die von J. Garstang durchgeführte, chronologische Einteilung des Siedlungshügels Mersin-Yumuktepe in mehrere chalkolithische Perioden mit einer grundlegenden Gliederung in „Early", „Middle" und „Late Chalcolithic".[25]

Auch wenn sich für das westanatolische Gebiet der Terminus Chalkolithikum weitestgehend durchgesetzt hat, so ist die Diskussion um die Benennung einer eigenständigen Epoche, in der die Verarbeitung von Metall (vor allem Kupfer) zum Aufkommen einer sozialen Ungleichheit

---

14 von Pulzsky 1884; vgl. Müller-Karpe 1974, 3.
15 Vilanova 1884; vgl. Müller-Karpe 1974, 3.
16 Virchow 1880, 353–354.
17 Virchow 1881; vgl. Müller-Karpe 1974, 3.
18 Much 1885; Much 1893 (erweiterte und überarbeitete Auflage); vgl. Müller-Karpe 1974, 3.
19 Much 1893, 148–157.
20 Vgl. hierzu Schoop 2005, 15.
21 Vgl. hierzu zusammenfassend Daniel 1950, 145–147, 250 Abb. 6.
22 Vgl. Klejn 1972, 8.
23 Für eine vergleichende Terminologie siehe Lichardus 1991, 26–27, Abb. 1–2. – Für die neolithische Terminologie des deutschen Raums vgl. beispielsweise Driehaus 1960, 8–10; Fischer 1976; Fischer 1991; Neustupný 1991; Lüning 1996.
24 Lloyd – Mellaart 1962, 12, 104–106, 112–113.
25 Garstang 1953. – Zum Bezug der chronologischen Abfolge Mersin-Yumuktepes auf das bereits bestehende Chronologiesystem in Syrien und Mesopotamien siehe Garstang 1953, 6; vgl. ebenfalls Schoop 2005, 15.

und damit verbunden zu einer komplexeren Wirtschaftsweise führte, weiterhin ein Thema in der heutigen Forschung.[26]

II.2. Chronologiesysteme Westanatoliens, der Ostägäis, der Dodekanes und Türkisch-Thrakiens

Trotz der Benennung von Kulturschichten vorbronzezeitlicher Zeitstellung als „chalkolithisch" im westanatolischen Gebiet erschwert je nach Region eine uneinheitliche terminologische Einteilung die Auseinandersetzung mit dieser Epoche. Zudem ergeben sich weitere Probleme bei der Betrachtung der benachbarten Gebiete der Ostägäis sowie Türkisch-Thrakiens. Hier finden sich stark voneinander abweichende Chronologiesysteme, die eine Auseinandersetzung mit dieser Zeitstufe keineswegs erleichtern.

Mit einem Fokus auf das Gebiet Westanatoliens im 5. und 4. Jt. v. Chr. sollen im Folgenden die nebeneinander bestehenden Chronologien je nach Region für Westanatolien, den ostägäischen Inseln, der Dodekanes und Türkisch-Thrakien vorgestellt werden (vgl. Abb. 2).

II.2.1. Das Chronologiesystem Westanatoliens

Trotz der 2005 publizierten, grundlegenden Arbeit zur anatolischen Chronologie von Schoop mit der Einteilung des Chalkolithikums in ein Früh- (6100–5500 v. Chr.), Mittel- (5500–4250 v. Chr.) und Spätchalkolithikum (4250–3000 v. Chr.)[27] existieren derzeit unterschiedliche Terminologien, speziell für die Benennung des 5. und 4. Jts. v. Chr. in Westanatolien. Je nach Auffassung wird dieser Zeitraum in der Forschung entweder in seiner Gesamtheit als Spätchalkolithikum mit der Unterteilung in einen älteren und jüngeren Abschnitt betrachtet oder er wird in ein Mittel- und Spätchalkolithikum eingeteilt.[28] Diese unterschiedliche Einteilung hat seine Wurzeln in den Forschungen Süd- und Nordwestanatoliens. Zudem muss eine uneinheitliche Terminologie für das Gebiet der Troas angemerkt werden, in dem Funde des 5. Jts. v. Chr. lange Zeit als „neolithisch" bezeichnet wurden.

Darüber hinaus sind auch die Ergebnisse des ARCANE-Projektes[29] (Associated Regional Chronologies for the Ancient Near East and the Eastern Mediterranean) für die Chronologie Westanatoliens verwirrend. Ziel des Projektes war die Synchronisation der regionalen Chronologien, ausgehend vom Nahen Osten bis in die Ostägäis für das 3. Jt. v. Chr. In der derzeit online publizierten Chronologietabelle[30] des ARCANE-Projektes deckt die Zeitstufe EWA 1 (Early Western Anatolian 1) den Zeitraum von 3100 bis ca. 2800 v. Chr. ab. Zudem deutet eine Kennzeichnung einen noch früheren Beginn dieser Phase vor 3100 v. Chr. an. Der Beginn der Bronzezeit in Westanatolien ist aufgrund von Radiokarbondaten, wie beispielsweise aus Troia[31] als auch dem Çukuriçi Höyük[32], und der Keramikchronologie an den Beginn des 3. Jts. v. Chr. zu setzen. Somit besitzt die Zeitstufe EWA 1 eine größere zeitliche Tiefe, die bis in das anatolische Spätchalkolithikum zurückreicht. Da bislang jedoch keine publizierten Daten existieren, die für eine Änderung der regionalen Chronologien sprechen, wird dieser Phasengliederung hier nicht weiter gefolgt.

---

[26] Vgl. hierzu Hauptmann 1986; Lichardus 1991; Maran 2000; Schoop 2005; Schoop 2011; Bartelheim – Krauß 2012.

[27] Schoop 2005; vgl. zusammenfassend Schoop 2011.

[28] Vgl. jüngst hierzu R. Tuncel (Tuncel in Druck). Dem chronologischen Konzept von T. Caymaz mit einem Frühchalkolithikum, welches bis 4500 v. Chr. läuft (Caymaz 2013, 89, Tab. 1), soll nicht gefolgt werden. Auch seine Einordnung der keramischen Inventare ist problematisch (siehe hierzu III.4.1.2.6.).

[29] <http://www.arcane.uni-tuebingen.de> (15.01.2016).

[30] <http://www.arcane.uni-tuebingen.de/EA-EM-EL_phasing_v5-4-6.pdf> (15.01.2016).

[31] Weninger – Easton 2014, 179.

[32] Horejs – Weninger 2016, 131–137.

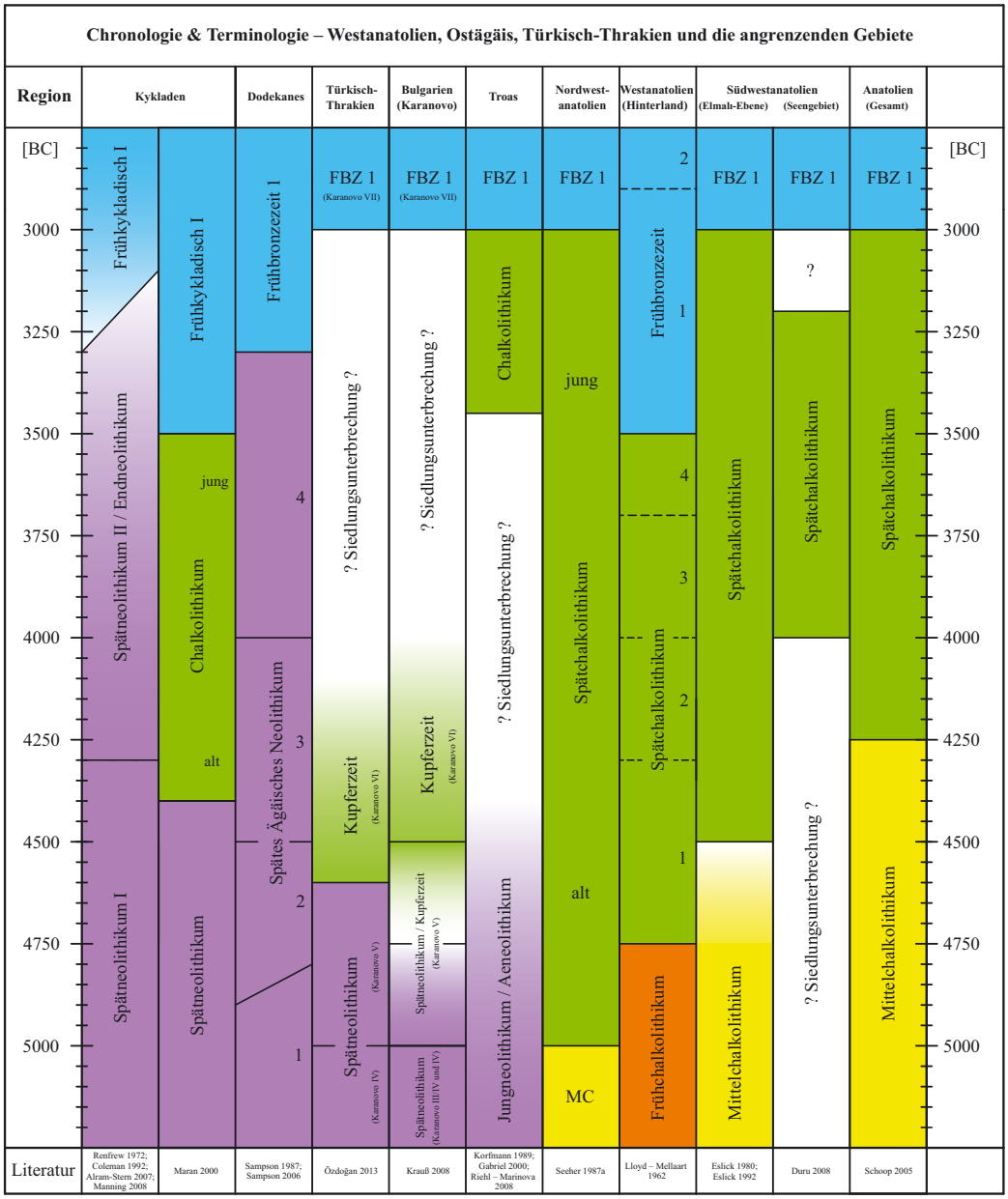


Abb. 2 Vergleichende Chronologie und Terminologie Westanatoliens, der Ostägäis, Türkisch-Thrakiens sowie der angrenzenden Gebiete. (Graphik: Ch. Schwall/ERC Prehistoric Anatolia)

II.2.1.1. Die Chronologie nach Ch. Eslick in Südwestanatolien

In Südwestanatolien veranlasste speziell das Material aus den Ausgrabungen der Fundorte Bağbaşı und Kızılbel in der Elmalı-Ebene Ch. Eslick dazu, Vergleiche mit den spätchalkolithischen Funden aus Beycesultan und dem von Mellaart ausgegrabenen spätneolithischen/frühchalkolithischen Funden aus Hacılar anzustellen.[33] Eslick bemerkte, dass sich das keramische Material

[33] Eslick 1980.

von Hacılar I und Beycesultan deutlich voneinander unterscheidet.[34] Jedoch kann, nach ihr, die Keramik aus den oberen Schichten von Bağbaşı („Upper Bağbaşı") mit der Keramik von Beycesultan (SC 2–3) verglichen werden.[35] Die Keramik der unteren Schichten („Lower Bağbaşı") von Bağbaşı sowie Kızılbel unterscheidet sich hingegen von der jüngeren und lässt sich von der Machart eher mit neolithischer und frühchalkolithischer Keramik vergleichen.[36] Dennoch sind ihr zufolge keine direkten Verbindungen zwischen der Bağbaşı-Kızılbel-Keramik und der älteren Keramik des 6. Jts. v. Chr. aus Hacılar möglich. Aufgrund der Abgrenzung zur sowohl älteren als auch jüngeren Keramik folgert Eslick daher, dass für die Keramik des Elmalı-Gebietes eine Datierung in das 5. Jt. v. Chr. („Middle Chalcolithic phase") in Betracht gezogen werden muss.[37] Somit folgt sie dem von S. Lloyd und J. Mellaart verwendeten, dreiteiligen Chronologiesystem für Westanantolien.

II.2.1.2. Die Chronologie der Ägäisküste und Nordwestanatoliens nach J. Seeher

Neben der eingehenden Chronologiediskussion durch Eslick in Südwestanatolien waren es insbesondere die von J. Seeher durchgeführten Untersuchungen der Funde in der Troas (Gülpınar)[38] sowie im Nordwesten (Demircihüyük)[39] als auch im Südwesten Anatoliens (Karain),[40] die neue Erkenntnisse zur Erforschung des 5. und 4. Jts. v. Chr. erbrachten. Unter Berücksichtigung der zu dieser Zeit bestehenden chronologischen Abfolge von Neolithikum, Frühchalkolithikum, Spätchalkolithikum und Bronzezeit für Westanatolien[41] sowie den bestehenden chronologischen Ansatzpunkten anhand der Funde von Beycesultan, Kumtepe und dem Beşik-Sivritepe entschied sich Seeher bei seiner chronologischen Einteilung gegen eine grundsätzliche Änderung der Terminologie und für eine weitere Differenzierung.[42] Zwar folgt Seeher der Dreiteilung des Chalkolithikums für den südwestanatolischen Raum, jedoch differenziert er das Spätchalkolithikum in einen älteren und jüngeren Abschnitt für das Gebiet der Ägäisküste und Nordwestanatoliens.[43] Als Grund hierfür nennt er die zu dieser Zeit dünne Datengrundlage, welche eine Verbindung der Chronologie des Küstengebiets mit dem Hinterland problematisch machte.[44] Charakteristisch für einen älteren spätkupferzeitlichen Horizont war für ihn die vom Beşik-Sivritepe typische Politurmusterware (*pattern burnished ware*); einen jüngeren Horizont postulierte er anhand der für Kumtepe IB typischen eingerollten Schalen (*rolled rim bowls*).[45] Diese beiden Elemente sind bis heute wichtige Indikatoren für eine Unterscheidung zwischen einer älteren Zeitstellung des Kumtepe IA/Beşik-Sivritepe-Materials und der jüngeren Funde des Kumtepe IB. Unterstützend zeigen auch die ^{14}C-Daten[46] beider Fundorte, dass der Kumtepe IA/Beşik-Sivritepe-Horizont in die erste Hälfte des 5. Jts. v. Chr. datiert, wobei eine mögliche Frühdatierung der Besiedlung des Kumtepe IA bereits ab dem ausgehenden 6. Jt. v. Chr. derzeit offen bleiben muss (vgl. III.4.1.1.).

---

34 Eslick 1980, 6.
35 Eslick 1980, 9.
36 Eslick 1980, 10.
37 Eslick 1980, 12; Eslick 1992, 78.
38 Seeher 1987b.
39 Seeher 1987a.
40 Seeher 1988.
41 Zur chronologischen Abfolge vgl. Yakar 1985, 107. – In seinem Artikel zur frühbronzezeitlichen Chronologie Troias und Anatoliens ordnete Yakar die bis dahin bekannten Fundorte der Troas allesamt der Frühbronzezeit zu (Yakar 1979, 57, 63).
42 Seeher 1987a, 59.
43 Seeher 1987a, 58–59, 63, Abb. 13.
44 Vgl. hierzu Seeher 1987a, 59; Seeher 1987b, 554–555; Seeher 1990, 58.
45 Seeher 1987a, 59.
46 Korfmann et al. 1995, 260; vgl. Gabriel 2000, 235, Tab. 1; Gabriel 2001b, 85, Tab. 1; Kromer et al. 2003, 45–46; Schoop 2005, 262–263, 432–433; Bertram – Karul 2014, 1060, Tab. 1; 1071–1072; Gabriel 2014, 1057, Tab. 12.

Die Schichten des Kumtepe IB können absolutchronologisch hingegen in die zweite Hälfte des 4. Jts. v. Chr. eingeordnet werden.

II.2.1.3. Die abweichende Terminologie in der Troas

In der Troas verwirrt weiterhin die unterschiedliche Terminologie der älteren Siedlungen am Kumtepe (IA) und Beşik-Sivritepe. Neben der Benennung dieses Zeitabschnittes als „chalkolithisch" wird dieser zudem als „neolithisch" bezeichnet.[47] Grund hierfür sind zum einen die für diese Zeitstufe fehlenden Vergleichsfunde im südlicher gelegenen, zentralen Küstenbereich Westanatoliens, zum anderen machen Parallelen im Fundmaterial eine Verbindung nach Norden hin möglich. So wird die terminologische Einstufung als „neolithisch" durch vergleichbare Keramikfunde aus Griechenland, Südosteuropa und Türkisch-Thrakien mit der dort geltenden chronologischen Abfolge begründet.[48] T. Takaoğlu folgte ebenfalls dieser Terminologie für die Befunde des Fundortes Gülpınar in der südwestlichen Troas und spricht diese als „neolithisch" an, da er sie aufgrund der geographischen Nähe mit der ägäischen Terminologie, dem Spätneolithikum I, verknüpft.[49] In den neueren Publikationen zu den Fundorten der Troas wird das Chronologiegerüst von Schoop (2005) verwendet.[50]

II.2.2. Das Chronologiesystem der Ostägäis und der Dodekanes

Im Gegensatz zu Anatolien hat sich im griechischen Raum der *terminus* „Chalkolithikum" in den meisten Gebieten nicht durchsetzen können. Der hier thematisierte Zeitraum des 5. und 4. Jts. v. Chr. wird vom Großteil der Forschung der neolithischen Zeit zugerechnet. Grundlegend hierfür ist die von S. S. Weinberg eingeführte, dreiteilige Gliederung in ein Früh-, Mittel- und Spätneolithikum.[51] Neben dieser Klassifikation finden sich je nach Region und Bearbeiter abweichende Terminologien.[52] Für den hier betrachteten Raum der östlichen Ägäis wird so, der Chronologie der Kykladen folgend, der Zeitraum des 5. und 4. Jts. v. Chr. als „Spätneolithikum" bezeichnet, welches sich in einen älteren (Spätneolithikum I) und jüngeren Abschnitt (Spätneolithikum II, Endneolithikum oder Chalkolithikum) aufteilt.[53] Außer der Bezeichnung Spätneolithikum II haben die Bezeichnungen Endneolithikum[54] oder Chalkolithikum[55], bedingt durch das vermehrte Auffinden von Metallgegenständen, Eingang in die Forschung gefunden.

Die Dodekanes nimmt in diesem Zusammenhang eine gesonderte Stellung ein, da für dieses Gebiet eine eigenständige Chronologie besteht, die auf A. Sampson zurückzuführen ist. In Anlehnung an die Chronologie Beycesultans (LC 1–4) hat Sampson 1984 ein daran angepasstes vierstufiges System des „Aegean Late Neolithic" (LAN 1–4) für das Gebiet der Dodekanes vorgeschlagen.[56] Nach ihm entspricht der Zeithorizont des Spätchalkolithikums von Beycesultan

---

47 Korfmann 1989, 474; Korfmann et al. 1995, 261; Gabriel 2000, 236, Anm. 1.

48 Gabriel 2000, 236; Gabriel 2001a, 345; Gabriel 2006, 359.

49 Takaoğlu 2006a, 289–290. – In der neueren Literatur folgt Takaoğlu nun der chalkolithischen Terminologie (vgl. Takaoğlu – Özdemir 2013).

50 Bieg et al. 2009; Blum et al. 2011; Takaoğlu – Özdemir 2013; Bertram – Karul 2014; Blum 2014; Blum et al. 2014; Gabriel 2014; Riehl et al. 2014a.

51 Weinberg 1947.

52 Vgl. Hauptmann 1986; Dousougli 1992; Demoule – Perlès 1993, 386–387, 398–399; Alram-Stern 1996, 83–101; Maran 1998, 7, Anm. 1; Maran 2000, 179–180; Alram-Stern 2001, 89; Alram-Stern 2007, 1; Alram-Stern 2014, 305.

53 Coleman 1992, 251–252; Sampson 1987, 59; Sampson 1993, 283–287; Zachos 2008, 1–2; vgl. Alram-Stern 1996, 83–85; Alram-Stern 2001, 101, Abb. 1; Alram-Stern 2007, 10, Tab. 2; Alram-Stern 2014, 305.

54 Renfrew 1972, 76, Tab. 5.I.

55 Hauptmann 1986; Dousougli 1992. – Ebenfalls ordneten bereits A. J. B. Wace and M. S. Thompson die Rachmani-Kultur in Thessalien einem Chalkolithikum zu (Wace – Thompson 1912, 22, 31–34).

56 Sampson 1984, 249; vgl. ebenso Alram-Stern 1996, 84.

(LC 1–4)[57] seinen Stufen LAN 1–4[58] und darüber hinaus verknüpft er ebendiesen Zeitraum mit seiner Chronologie des griechischen Festlandes (SN Ia–b, SN IIa–b).[59] Dass jedoch der chronologische Bezug zu Beycesultan nicht überzeugend ist, zeigt die unlängst durchgeführte Einordnung der Schichten LC 1–4 Beycesultans in das 4. Jt. v. Chr. durch Schoop.[60]

II.2.3. Das Chronologiesystem in Türkisch-Thrakien

Neben den Chronologien in Westanatolien und auf den ostägäischen Inseln besitzt auch das Gebiet Türkisch-Thrakiens wiederum eine andere Einteilung, der das System des ostbalkanischen Raums zugrunde liegt. Diese Anlehnung basiert auf der Nähe eines Großteils des Fundmaterials, insbesondere der Keramik, welches sich mit den balkanischen Formen verbinden lässt.[61] Da für das ostbalkanische Gebiet die Sequenz des Tells von Karanovo in Bulgarien einen chronologischen Anker bildet, wird ebendieses System auch für Türkisch-Thrakien angewendet. Nach M. Özdoğan entspricht der Zeithorizont des 5. Jts. v. Chr. dem balkanischen Spätneolithikum und der Kupferzeit bzw. den Stufen Karanovo V und VI.[62] Für das späte 5. und 4. Jt. v. Chr. bis zum Beginn der Frühbronzezeit konnte sowohl in Karanovo als auch in den weiteren Siedlungsplätzen des Kodžadermen-Gumelniţa-Karanovo VI-Komplexes ein Hiatus festgestellt werden.[63] Auch für Türkisch-Thrakien gibt es bislang – mit Ausnahme der spärlichen Befunde von Tilkiburnu (vgl. III.4.3.) – keine Hinweise auf eine Datierung ins 4. Jt. v. Chr.[64]

Die unterschiedlichen chronologischen und terminologischen Systeme, die teilweise in derselben Region nebeneinander bestehen, erschweren die Auseinandersetzung mit dem Zeitraum des 5. und 4. Jts. v. Chr. in Westanatolien und den angrenzenden Gebieten. Daher ist eine Diskussion der chronologischen Stellung und eine Synchronisation der jeweiligen Fundorte für eine Betrachtung der Entwicklung im Mittel- und Spätchalkolithikum unerlässlich. Im Kapitel III wird dies nach einer Bestandsaufnahme ausgegrabener Befunde dieser Zeitstellung im Arbeitsgebiet durchgeführt.

---

57 Lloyd – Mellaart 1962, 112–113.
58 Sampson 1984, 248–249; Sampson 1987, 58–65; Sampson 2006, 147, 244, 247.
59 Sampson 1987, 59; Sampson 1993, 283–287; Sampson 2006, 158, 247; Sampson 2008, 49–50, 395, Tab. 15.
60 Schoop 2005, 176, 191.
61 Özdoğan 1991b, 217; vgl. ebenso Blum 2014, 132, 136–137; Gabriel 2014, 1015–1024.
62 Özdoğan 2013, 168, 269, Abb. 171. – Zur Neubewertung des bulgarischen Chronologiesystems siehe R. Krauß, der ebenfalls die Karanovo-Stufen V und VI dem Spätneolithikum und der Kupferzeit zugeordnet hat (Krauß 2008). Zur Terminologie der balkanischen Kupferzeit vgl. Govedarica 2016, 13–15.
63 Krauß 2008, 136, 142.
64 Özdoğan 2013, 198; Özdoğan 2014, 205. – Zu der Datierung von Tilkiburnu siehe Özdoğan 1982; Schoop 2005, 270.

III. Forschungsstand in Westanatolien, der Ostägäis, der Dodekanes und Türkisch-Thrakien

In diesem Teil der Arbeit soll der derzeitige Forschungsstand zu den Fundorten in Westanantolien sowie den angrenzenden Gebieten resümiert werden. Es finden lediglich die Fundorte Beachtung, bei denen Ausgrabungen mittel- bis spätchalkolithische Befunde des späten 6. bis zum Ende des 4. Jts. v. Chr. erbrachten (Abb. 3). Surveyfundorte werden aufgrund ihrer begrenzten Aussagekraft zur Fragestellung dieser Studie nicht mit einbezogen.

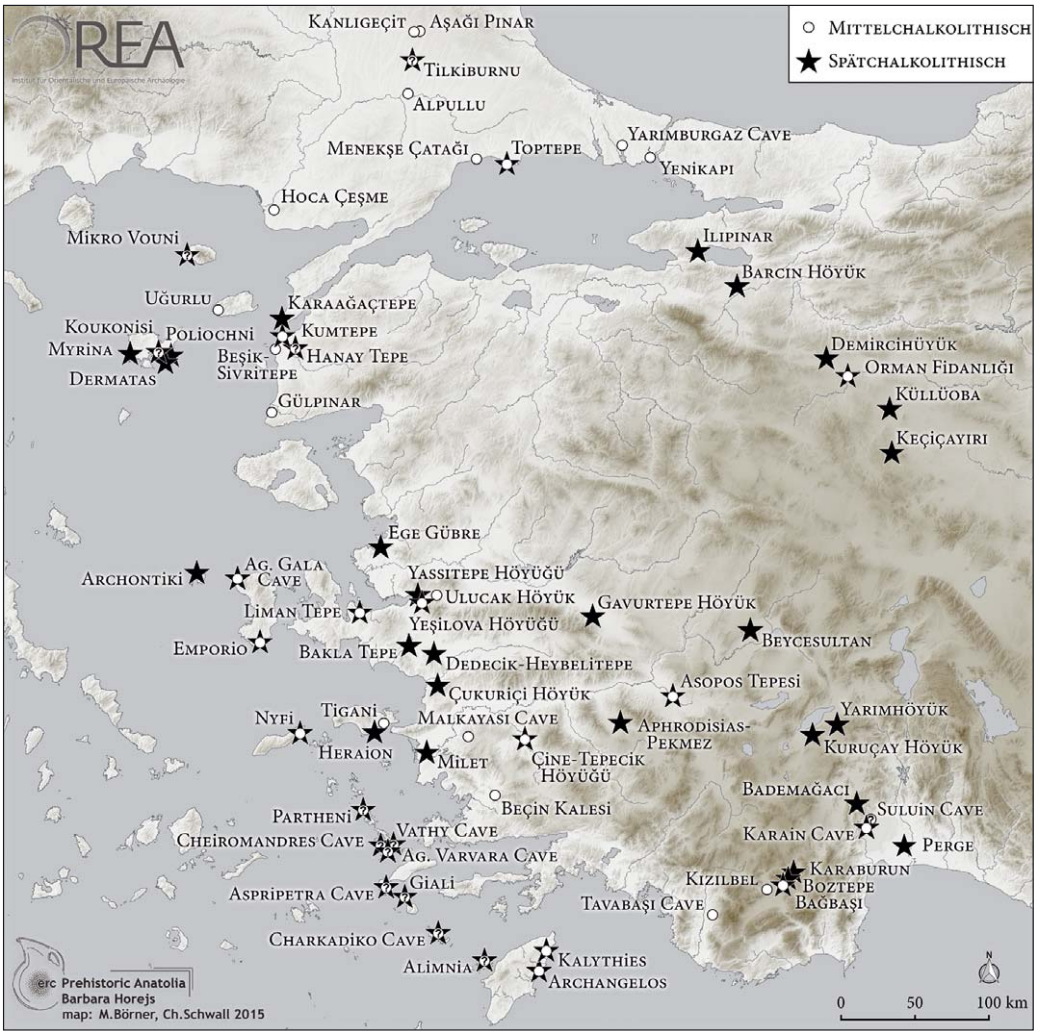


Abb. 3 Fundorte mit durchgeführten Ausgrabungen des späten 6., 5. und/oder 4. Jts. v. Chr. in Westanatolien, der Östägäis, der Dodekanes und in Türkisch-Thrakien. (Karte: M. Börner, Ch. Schwall/ERC Prehistoric Anatolia)

III.1. Fundorte in Westanatolien

Bedingt durch die Forschungen in Troia wurden bereits 1857 Funde von F. Calvert am südöstlich von Troia gelegenen Hanay Tepe ausgegraben, die später als chalkolithisch erkannt wurden.[65] Neben diesem Fundort stieß H. Schliemann im Jahre 1879 bei den Ausgrabungen eines hellenistischen Tumulus auf dem Beşik-Sivritepe in den untersten Schichten auf keramisches Material, das dem Chalkolithikum zugewiesen werden kann.[66] Anhand von Vergleichen mit den Funden aus Troia stellte er fest, dass die Keramik „[…] von allen in den fünf prähistorischen Städten von Hissarlik gefundenen Thongefässen so gänzlich verschieden ist […]".[67] Wie sich bei Nachgrabungen 1983 herausstellte, stammten diese Funde aus einem kupferzeitlichen Horizont.[68] Gerade der stetige Vergleich mit dem Fundmaterial aus Troia führt Schliemann so auch in seiner Niederschrift 1884 zu der Erkenntnis, dass sowohl Funde vom Hanay Tepe als auch vom Beşik-Sivritepe früher als Troia anzusetzen sind.[69] Neben diesen beiden Fundorten wurden weitere Ausgrabungen auf dem Karaağaçtepe im Süden der nordwestlich von Troia gelegenen Gelibolu-Halbinsel durchgeführt.[70] Die kupferzeitliche Zeitstellung des Fundplatzes konnte Schliemann bei seinen Ausgrabungen aufgrund der geringen Tiefe nach nur zwei Tagen noch nicht erkennen.[71] Zwar fanden weitere Ausgrabungen Anfang der 1920er Jahre unter französischer Leitung statt,[72] jedoch bemerkte erst D. H. French bei seinen Forschungen auf der Gelibolu-Halbinsel in den 1960er Jahren anhand von Surveyfunden die kupferzeitliche Zeitstellung des Materials.[73] Weitere von Özdoğan durchgeführte Surveys am Karaağaçtepe bestätigten diese Einordung.[74] Eine erste zusammenfassende Publikation der prähistorischen Fundorte Schliemanns in der Troas wurde 1932 von W. Lamb veröffentlicht.[75] Zwar wird in dieser Zusammenschau die „Burnished ware" vom Beşik-Sivritepe zeitlich vor den frühbronzezeitlichen Funden von Troia I gesetzt, von einer kupferzeitlichen Einordnung ist jedoch noch keine Rede. Es zeigt sich deutlich, dass insbesondere die chronologische Sequenz Troias den Ausgangspunkt für die Einordnung der Fundorte im Umfeld der Siedlung bildete. Ältere Fundorte wurden so lediglich in Abhängigkeit von Troia in die „vortroianische" Zeit datiert. So wird auch bei den 1934 durchgeführten Ausgrabungen am Kumtepe die zeitliche Einordnung in Bezug auf Troia deutlich, indem die beiden Schichten Kumtepe IA und IB dem Troia I-zeitlichen Material der Schicht IC vorangestellt wurden.[76] Die Ausgräber H. Koşay und J. Sperling brachten die beiden „vortroianischen" Schichten mit dem Neolithikum in Verbindung.[77] Die Bearbeitung der Funde aus dem Jahr 1934 sowie die zwischen 1993–1995 durchgeführten Nachgrabungen auf dem Kumtepe konnten jedoch eine chalkolithische Zeitstellung belegen.[78]

Auch in der zusammenfassenden Abhandlung von A. Götze im Jahre 1933 wird der vortroianische Zeitraum in Abgrenzung zum Beginn der „Metallzeit" des 3. Jts. v. Chr. noch in seiner

---

65 Calvert 1859; Calvert 1881; Virchow 1883, 54–108. – Auch wenn W. Lamb die Funde vom Hanay Tepe in ihrer Gesamtheit der Bronzezeit zuordnete (Lamb 1932, 112–124), konnte A. Schachner eine spätchalkolithische Zeitstellung nachweisen (Schachner 1999a). Darüber hinaus deuten wenige Funde zudem eine mittelchalkolithische Zeitstellung an (vgl. hierzu auch Blum et al. 2014, 774, Anm. 17).

66 Schliemann 1881, 739–744; Lamb 1932, 124–129.

67 Schliemann 1881, 743.

68 Korfmann 1985; Seeher 1985.

69 Schliemann 1884, 293.

70 Schliemann 1884, 286–295.

71 Schliemanns Unternehmungen wurden vom damaligen Militärgouverneur der Dardanellen D. Pascha nach nur zwei Tagen unterbunden (vgl. Schliemann 1884, 290–292).

72 Demangel 1926, 15–33.

73 French 1964, 135; vgl. Blum et al. 2014, 774–776.

74 Özdoğan 1986a, 54; vgl. Blum et al. 2014, 774–776.

75 Lamb 1932.

76 Koşay – Sperling 1936, 50.

77 Koşay – Sperling 1936, 42.

78 Sperling 1976; Korfmann et al. 1995.

Gesamtheit dem Neolithikum zugerechnet.[79] Von einer Kupferzeit als Epoche zwischen Neolithikum und Bronzezeit im westanatolischen Gebiet geht jedoch Bittel bereits in seinen 1934 erschienenen Forschungen zur Prähistorie in Kleinasien aus,[80] auch wenn er damit keineswegs die Kupferzeit als eine Epoche vortroianischer Zeitstellung nach heutiger Auffassung meinte.[81] Dies wird klar, da er die älteste Schicht des zentralanatolischen Fundortes Alişar Hüyük („Äneolithische Schicht") an den Beginn des 3. Jts. v. Chr. setzte und es laut ihm darüber hinaus zu dieser Zeit „[…] keine Funde aus den Siedlungshügeln Kleinasiens [gab], die man unbedenklich vor rund 3000 ansetzen darf […].[82] Zudem relativierte Bittel die gegen Ende der 1920er Jahre unternommenen Versuche, die Funde aus Troia in die neolithische Zeit zu datieren.[83] Das Fehlen insbesondere von „einwandfreien" neolithischen Fundstellen in Westanatolien bemängelt er auch fünf Jahre später im Rahmen einer Diskussion zur möglicherweise frühen Zeitstellung der Kumtepe IA-Funde.[84] Auch in den Folgejahren hat sich das generelle Forschungsdesiderat zu vorgeschichtlichen Fundstellen in Westanatolien nicht verbessert und Bittel äußert sich zu einer Datierung der bis dato bekannten Siedlungen vor 3000 v. Chr. verhalten:[85] „Alles geht sicherlich auf eine ältere, gemeinsame Wurzel zurück, die wir noch nicht kennen, die aber wahrscheinlich im überhaupt noch unerschlossenen Neolithikum Westkleinasiens zu suchen ist."[86] An dieser Ansicht, dass die „Wurzeln", die zur Entstehung der bronzezeitlichen Siedlungen führten, im 4. Jt. v. Chr. oder sogar in früherer Zeit liegen, hält er auch in seinen Publikationen 1950 fest.[87] Aufschlussreich für die kupferzeitlichen Forschungen waren schließlich die von Lloyd und Mellaart in den Jahren 1954–1959 durchgeführten Ausgrabungen in Beycesultan.[88] Diese erbrachten stratigraphische Sequenzen der Bronzezeit und des Chalkolithikums. Anhand von Vergleichen mit Troia I-zeitlicher Keramik sowie durch Radiokarbondatierungen konnte die Präsenz von Kulturschichten des 4. Jts. v. Chr. in Westanatolien belegt werden. Dieser von den Ausgräbern als „Late Chalcolithic" (LC 1–4) bezeichnete Abschnitt ist seither ein Referenzpunkt für „vortroianische" Fundorte gleicher Zeitstellung.

Etwa zeitgleich zu den Ausgrabungen in Beycesultan führte Mellaart in der am Burdur-See gelegenen Siedlung Hacılar Ausgrabungen in den Jahren 1957–1960 durch und stieß neben neolithischen auf frühchalkolithische Siedlungsschichten.[89] Neben Beycesultan für das späte Chalkolithikum stellt seither Hacılar einen chronologischen Bezugspunkt für das frühe Chalkolithikum in Westanatolien dar.[90] In der zweiten Hälfte der 1960er Jahre erbrachten die Ausgrabungen in Aphrodisias-Pekmez[91] (1969–1970) und in der Elmalı-Ebene (Bağbaşı,[92] Boztepe,[93] Karaburun[94] und Kızılbel[95]) weitere kupferzeitliche Funde. Diese Forschungen erweiterten seit den 1954 von

---

79 Götze 1933, 21–37. – Erst in seiner überarbeiteten Auflage von 1957 findet das Chalkolithikum als Vorläufer der Bronzezeit Platz in der chronologischen Abfolge von Götze (1957, 16–36).
80 Bittel 1934, 10
81 Vgl. Bittel 1934, 23.
82 Bittel 1934, 112.
83 Bittel 1934, 10, Anm. 1.
84 Bittel 1939, 100.
85 Bittel 1942, 129–130, 188–190; Bittel 1950b, 30–35. – Zur Chronologie siehe Bittel 1950a, 16–17, 25; Bittel 1950b, Abb. 52.
86 Bittel 1942, 189.
87 Bittel 1950a, 16–17; Bittel 1950b, 16.
88 Lloyd – Mellaart 1958; Lloyd – Mellaart 1959; Mellink 1959, 77–79; Mellink 1960, 63; Lloyd – Mellaart 1962; vgl. zusammenfassend Schoop 2005, 149–152.
89 Mellaart 1970.
90 Vgl. hierzu exemplarisch Eslick 1980.
91 Kadish 1971; Sharp Joukowsky 1986, 47–77; vgl. Schoop 2005, 157–159, 188–191.
92 Mellink 1968, 254–255; Mellink 1969, 328–329; Mellink 1970, 246; Eslick 1980; Eslick 1992; vgl. Schoop 2005, 159–161, 191.
93 Mellink 1973, 296; Eslick 1992, 52–54.
94 Mellink 1971, 250–255; Mellink 1975, 355; Eslick 1992, 54–56.
95 Mellink 1975, 355; Eslick 1992, 56–57.

A. Kökten entdeckten Funden in der Karain-Höhle[96] nördlich von Antalya deutlich den Kenntnisstand zu chalkolithischen Fundplätzen im südlichen Bereich Westanatoliens. Neben diesen Ausgrabungen führten die weiträumigen Surveys unter der Leitung von French zu einer Vielzahl von neuen Daten für den westanatolischen Raum.[97] Die in den folgenden Jahren fortgesetzten Ausgrabungen von M. Korfmann in Demircihüyük[98] (1975–1978) und die Unternehmungen von R. Duru auf dem Kuruçay Höyük[99] (1978–1988) lieferten wichtige Befunde für die chalkolithischen Forschungen in nördlichen und südlichen Bereich Westanatoliens. Insbesondere die großflächigen Ausgrabungen in Kuruçay brachten erstmals eine ausgedehnte Siedlung des Spätchalkolithikums im Seengebiet zum Vorschein.[100] Neben diesen Funden wurden Anfang der 1980er Jahre im küstennahen Milet prähistorische Keramikfunde entdeckt. Diese kamen westlich des Buleuterions[101] sowie im Bereich des Heroons III[102] zum Vorschein und wurden von H. Parzinger vordergründig in die spätchalkolithische Zeit eingeordnet.[103] 1981 konnte bei den Ausgrabungen in Gülpınar, dem antiken Chryse, eine Kupferzeit im südwestlichen Gebiet der Troas nachgewiesen werden.[104] Sowohl die Funde aus Gülpınar als auch das 1985 erneut in der Karain-Höhle[105] (Kammer B) freigelegte Material wurden von Seeher bearbeitet und überwiegend in den Zeithorizont von Kumtepe IA/Beşik-Sivritepe eingeordnet.[106] Erkenntnisreich war neben den entdeckten chalkolithischen Siedlungen die Auffindung der ausgedehnten Nekrople von Ilıpınar[107] in der südöstlichen Peripherie des Marmara-Meeres Ende der 1980 Jahre. Zwischen 1987 und 1989 konnten mehr als 40 Gräber freigelegt werden, die sich anhand von Radiokarbondaten in das späte Chalkolithikum einordnen lassen.[108] In der Forschung nimmt die Nekropole von Ilıpınar einen wichtigen Stellenwert ein, da chalkolithische Nekropolen in Westanatolien nahezu unbekannt sind.

Insbesondere in Westanatolien nahmen gegen Ende der 1980er und am Beginn der 1990er Jahre die prähistorischen Forschungen zu. Durch die zum Teil bis heute fortgeführten, langjährigen Ausgrabungen in den letzten 25 Jahren verbessert sich stetig die Datengrundlage zur Vorgeschichte, weshalb eine erneute Betrachtung des Gebietes Westanatoliens in mittel- und spätchalkolithischer Zeit zwingend erforderlich ist. T. Efe entdeckte so bei einem Survey südwestlich

96 Kökten 1955, 275.

97 French 1961; French 1967; French 1969.

98 Zur spätchalkolithischen Zeitstellung des Materials siehe Korfmann 1979, 42; Seeher 1987a, 58–64; Schoop 2005, 300–303; Seeher 2012, 118, 122–123. – Zu den älteren Arbeiten durch Bittel und einer bereits erwähnten Datierung der untersten Schichten an das Ende des 4. Jts. v. Chr. siehe Bittel – Otto 1939, 30.

99 Zu den spätchalkolithischen Befunden siehe Duru 1981, 48–50; Duru 1982a, 6–8; Duru 1982b, 9–17; Duru 1983a, 33–35; Duru 1983b, 18–34; Duru 1983c, 84–88; Duru 1984; Duru 1985; Duru 1986, 24–25; Duru 1987, 76–78; Duru 1988; Duru 1989, 59; Duru 1990, 85; Duru 1996, 5–61; Duru 2000; Duru 2001; Schoop 2005, 184–185, 188–191; Duru 2008, 122–144.

100 Kürzlich durchgeführte Surveys in der Burdur-Ebene erbachten weitere Hinweise auf chalkolithische Siedlungen, vgl. Vandam 2015; Poblome et al. 2016, 252–253.

101 Voigtländer 1981, 121–122; Voigtländer 1982, 31–41, 113–117.

102 Parzinger 1989, 416–429.

103 Parzinger 1989, 429.

104 Seeher 1987b, 535; vgl. Schoop 2005, 246, 270–271.

105 Zur chalkolithischen Zeitstellung sowie zu den Funden seit 1985 siehe Yalçınkaya 1987, 23; Yalçınkaya 1991, 49; Yalçınkaya 1992, 39–40; Yalçınkaya 1995, 10; Yalçınkaya – Otte 1999; Yalçınkaya et al. 2000, 17; Yalçınkaya et al. 2004, 24; Schoop 2005, 266–267; Yalçınkaya et al. 2005, 218, 221; Kartal 2007; Kartal 2008; Yalçınkaya et al. 2008, 473; Kartal 2009; Yalçınkaya et al. 2009, 292–293; Yalçınkaya et al. 2010, 48–50; Yalçınkaya et al. 2011, 28–29; Yaman 2012, 169–170, 181, Tab. 1; Kartal – Yalçınkaya 2012; Özcelik 2012, 39; Yalçınkaya et al. 2012, 373; Yalçınkaya et al. 2013, 11, 15, Abb. 4; Gabriel 2014, 1010–1011; Yalçınkaya et al. 2014a, 240; Yalçınkaya et al. 2014b, 448.

106 Karain: Seeher 1988; Gülpınar: Seeher 1987b.

107 Roodenberg et al. 1989/1990, 77–78, 92–93, 106–107; Begemann et al. 1994; Roodenberg 1995, 54; Roodenberg 2001; Roodenberg – Schier 2001, 267; Roodenberg 2008; vgl. Schoop 2005, 201–205, 217; Seeher 2012; Gabriel 2014, 1012–1013.

108 Roodenberg et al. 1989/1990, 75, Abb. 1; Roodenberg 2001, 354, Anm. 2; Roodenberg – Schier 2001, 267.

von Eskişehir den chalkolithischen Fundort Orman Fidanlığı,[109] bei dem er zwischen 1992 und 1994 Ausgrabungen durchführte. Zudem konnten im Nordwesten durch die Weiterführung der Forschungen in der Troas am Beşik-Sivritepe[110] (1983–1984; 1987; 1998–1999) und die Notgrabungen am Kumtepe[111] (1993) neue Erkenntnisse, speziell in Hinblick auf chronologische Fragestellungen der Küstenregion Westanatoliens, gewonnen werden.

Anhand der vermehrten Datengrundlage begann sich das bereits bestehende chronologische System[112] sowohl durch die Zunahme der Radiokarbondaten als auch relativchronologische Materialstudien insbesondere in den 1980er und Anfang der 1990er Jahre weiter zu entwickeln.[113] Die Radiokarbondaten der Ausgrabungen in Aphrodisias-Pekmez,[114] Beşik-Sivritepe,[115] Beycesultan,[116] Demircihüyük,[117] Ilıpınar,[118] Kumtepe[119] und vom Kuruçay Höyük[120] bildeten so chronologische Anker für regionale und überregionale Vergleichsstudien zwischen Westanatolien und den nahegelegenen ostägäischen Inseln. Im zentralwestanatolischen Küstengebiet hat darüber hinaus das „Izmir Region Excavations and Research Project“ (IRERP) einen maßgeblichen Anteil an der Erforschung dieses Raums.[121] Für die chalkolithische Zeit sind die Ausgrabungen der Fundorte Liman Tepe[122] (seit 1992) und Bakla Tepe[123] (1995–2001) von Bedeutung. Speziell in Bakla Tepe konnten großflächig Siedlungsbereiche spätchalkolithischer Zeit mit freistehenden Bauten ausgegraben werden.[124] Neben diesen beiden Fundorten brachten die Untersuchungen im näheren und weiteren Umfeld der Stadt Izmir weitere Befunde des 5. und 4. Jts. v. Chr. zum Vorschein.

---

[109] Efe 1990; Efe 1996; Efe 2000a; Efe 2001c, 86–89; vgl. ebenso Efe 2001b; Efe 2002b, 50–51; Schoop 2005, 277–281, 300, 303.

[110] Korfmann 1985, 167–172; Seeher 1985; Korfmann 1986, 309–311; Korfmann 1989, 474; Korfmann – Kromer 1993, 145–146. – Für eine zusammenfassende Darstellung der jüngeren Arbeiten siehe Gabriel 2000, 235–236; Gabriel 2001a, 344–345; Gabriel 2006, 357–358; Blum et al. 2014, 786–788; Gabriel 2014, 992–993, 996–998; vgl. ebenso Schoop 2005, 242–243, 266–267, 270–271.

[111] Korfmann et al. 1995; Riehl 1999a; Riehl 1999b; Gabriel 2000, 233–235; Gabriel 2001a, 343–344; Gabriel 2001b; Gabriel 2006, 355–357; Riehl – Marinova 2008; Bertram – Karul 2014; Blum et al. 2014, 778–781; Gabriel 2014, 991–992, 994–996; Riehl et al. 2014a; vgl. Schoop 2005, 243–246, 261–263, 266–267, 269–272.

[112] Siehe hierzu die vergleichende Chronologie von Mellink (Mellink 1965, 126–127) mit den zu dieser Zeit zur Verfügung stehenden ^{14}C-Daten (Mellink 1965, 124–125).

[113] Vgl. Lloyd – Mellaart 1962, 112–113; Sharp Joukowsky 1986, 476, Tab. 139; Seeher 1987a, 63, Abb. 13; Eslick 1992, 101; Mellink 1992; Parzinger 1993, 195–253; Duru 1996, 107.

[114] Sharp Joukowsky 1986, 163, Tab. 4; vgl. Schoop 2005, 188, 419–420.

[115] Korfmann – Kromer 1993, 145–146; Gabriel 2014, 993–994, Tab. 1; vgl. Schoop 2005, 263, 432–433.

[116] Lloyd – Mellaart 1962, 19, 25; vgl. Schoop 2005, 188–189, 420–421.

[117] Quitta 1987. – Zur erneuten Diskussion der Daten siehe Seeher 2012, 122–123, 127, Abb. 3.

[118] Roodenberg et al. 1989/1990, 75, Abb. 1; 77; vgl. Roodenberg 2001, 354, Anm. 2; Roodenberg – Schier 2001, 267; Schoop 2005, 217, 424–425; Roodenberg et al. 2008, 62, Abb. 5.

[119] Korfmann et al. 1995, 260; vgl. Gabriel 2000, 235, Tab. 1; Gabriel 2001b, 85, Tab. 1; Kromer et al. 2003, 45–46; Schoop 2005, 262–263, 432–433; Bertram – Karul 2014, 1060, Tab. 1; 1075–1083, Abb. 15–24; Gabriel 2014, 993–994, Tab. 1.

[120] Duru 1983b, 34; Duru 1996, 101–102; vgl. Schoop 2005, 188–189, 422–423.

[121] Tuncel 2008; Şahoğlu 2009. – Siehe auch <http://reocities.com/Athens/forum/8635/frames.html> (16.07.2017).

[122] Zur chalkolithischen Zeitstellung siehe Erkanal – Hüryılmaz 1994, 365; Erkanal – Günel 1996, 314; Erkanal 1997; Erkanal – Günel 1997, 233; Erkanal 1998, 391; Erkanal 1999a, 326; Erkanal 1999b; Erkanal 2000, 255; Erkanal et al. 2003, 426; Erkanal et al. 2004, 167, 171; Reese 2006; Erkanal 2008b, 180; Oybak – Doğan 2008; Erkanal et al. 2009, 301; Kouka 2009, 143–144; Erkanal 2011b; Erkanal – Şahoğlu 2012b, 221; Kouka 2012b; Caymaz 2013, 53–54; Erkanal et al. 2016, 331–332; Tuncel im Druck.

[123] Zur spätchalkolithischen Zeitstellung siehe Erkanal – Özkan 1997, 262; Erkanal – Özkan 1998, 412–416; Kaptan 1998; Erkanal 1999b; Erkanal – Özkan 1999a, 339–346; Erkanal – Özkan 1999b, 108–138; Erkanal – Özkan 2000, 263–264, 270–271; Reese 2006, 626–627; Erkanal 2008a, 168; Oybak – Doğan 2008; Şahoğlu 2008a, 484–485; Erkanal 2011a; Erkanal – Şahoğlu 2012a, 92–93; Caymaz 2013, 61–63; Şahoğlu – Tuncel 2014, 76–77; Tuncel im Druck.

[124] Şahoğlu – Tuncel 2014, 68–71; Tuncel im Druck.

Im Stadtteil Bornova werden seit 2005 die nahe gelegenen Siedlungen Yeşilova Höyüğü[125] und Yassıtepe Höyüğü[126] von Z. Derin ausgegraben. Reste zweier Phasen eines Grubenhauses wurden auf dem Yeşilova Höyüğü (Phase II.1–2) entdeckt. Radiokarbondaten datieren die jüngere Phase (II.1) der Behausung in die zweite Hälfte des 5. Jts. v. Chr.[127] Darüber hinaus kamen chalkolithische Funde ebenso auf dem benachbarten Yassıtepe Höyüğü zutage, die neben einer mittelchalkolithischen Zeitstellung anhand von ^{14}C-Daten sowie Vergleichen in das ausgehende 4. Jt. v. Chr. datiert werden können.[128] Bei den Untersuchungen der Siedlung von Ege Gübre (1994, 2000, 2004–2008) im Norden von Izmir konnten bei den Rettungsgrabungen zwischen 2004 und 2008 chalkolithische Überreste erfasst werden, die sich aufgrund von Radiokarbondaten in die erste Hälfte des 4. Jts. v. Chr. einordnen lassen.[129] Das keramische Material von Ege Gübre belegt zudem eine mittelchalkolithische Einordnung.[130] Östlich von Izmir wurden bei den seit Mitte der 1990er Jahre durchgeführten Ausgrabungen auf dem Ulucak Höyük[131] ebenfalls kupferzeitliche Strukturen und Funde freigelegt, welche in die mittelchalkolithische Zeit zu setzen sind. Im südlichen Großraum von Izmir erbrachten die Feldforschungen am Dedecik-Heybelitepe[132] in den Jahren 2003 bis 2004 neben spätneolithischen/frühchalkolithischen Funden auch spätchalkolithische Strukturen. Dabei handelt es ich um Mauerreste sowie mehrere Bestattungen.[133] Aufschlussreich für die Erforschung des Spätchalkolithikums im zentralwestanatolischen Küstengebiet sind die Ausgrabungen des Çukurici Höyük.[134] 2006 wurden erstmals innerhalb dieser Tellsiedlung Schichten des ausgehenden 4. Jts. v. Chr. entdeckt. Weitere Befunde wurden in den Jahren 2007, 2009 und 2011 bis 2014 ausgegraben (s. u. Kap. IV. und Beitrag Horejs in diesem Band).

Neben den intensiven Unternehmungen im Umfeld von Izmir erbrachten die Forschungen im westanatolischen Hinterland, im Nord- und insbesondere im Südwesten des Arbeitsgebietes neue Befunde des 5. und 4. Jts. v. Chr. So begann Efe nach seinen Feldforschungen in Orman Fidanlığı im Jahre 1996 mit den Ausgrabungen in Küllüoba[135] und konnte einen großen Bereich einer ausgedehnten Siedlung des späten 4. Jts. v. Chr. freilegen. Die Gebäude sind zickzackförmig aneinander gebaut und umschließen in einer ansatzweise radialen Ausrichtung eine innere Freifläche.[136] Unweit

---

[125] Zur chalkolithischen Zeitstellung siehe Derin 2006b, 40; Derin 2007a, 378–379; Derin 2007b, 39; Derin 2008, 219–220; Derin et al. 2009, 8–9, 16; Derin 2010a, 476–477; Derin 2010b, 69; Derin 2011a, 317; Derin 2011b, 103–104; Derin 2012a, 44, Anm. 2; Derin 2012b, 178–179; Derin 2012c, 179; Caymaz 2013, 51–53; Derin – Caymaz 2013, 122, 124–125; Derin et al. 2014, 448–451. – Siehe auch <http://www.yesilova.ege.edu.tr> (16.07.2017).

[126] Derin 2006a; Caymaz 2013, 63–64; Derin – Caymaz 2013, 122, 124–125; Derin – Caymaz 2014, 422–423; Derin et al. 2014, 458; Derin et al. 2016, 165–167. – Siehe auch <http://www.yesilova.ege.edu.tr> (16.07.2017).

[127] Derin et al. 2009, 13.

[128] Derin 2006a; Derin – Caymaz 2013, 122, 124–125; Derin et al. 2014, 458; Derin et al. 2016, 166–167.

[129] Zur chalkolithischen Zeitstellung siehe Sağlamtimur 2011, 81; Sağlamtimur 2012, 197; Sağlamtimur – Ozan 2012, 228–229, 240; Caymaz 2013, 44–45.

[130] Caymaz 2013, 97–98, Taf. 8–9.

[131] Zur chalkolithischen Zeitstellung siehe Derin – Öner 1997, 414–415; Çilingiroğlu et al. 2004, 18–20; Çilingiroğlu – Çilingiroğlu 2007, 363; Çilingiroğlu – Dedeoğlu 2007, 142; Çilingiroğlu et al. 2012a, 159–160; Caymaz 2013, 42–44; Gabriel 2014, 1007–1009. – Der Fund eines verlagerten Kopfes einer Kiliya-Figurine scheint auch aus ursprünglich mittelchalkolithischen Zusammenhängen zu stammen (Çevik – Vuruşkan 2014, 586, 595, Abb. 4).

[132] Lichter – Meriç 2005; Meriç et al. 2005, 140; Meriç et al. 2006, 249–250; Lichter – Meriç 2007, 385; Herling et al. 2008; Lichter – Meriç 2012, 134.

[133] Herling et al. 2008, 16–20.

[134] Zur spätchalkolithischen Zeitstellung siehe Evren – İçten 1998, 114; Evren 1999, 22; Horejs 2008a; Horejs 2008b, 97–98; Horejs 2008c; Bergner et al. 2009, 250, 254, Abb. 7; Horejs 2010a, 168; Galik – Horejs 2011, 86; Horejs 2011a, 159; Horejs et al. 2011, 40; Horejs 2012, 118; Horejs 2013a, 6–7; Horejs 2013b, 7; Horejs 2014a; Horejs 2014b, 9; Ladstätter 2014, 602–603; Horejs – Schwall 2015; Horejs – Schwall 2017 im Druck.

[135] Zur spätchalkolithischen Zeitstellung siehe Efe 1998, 152; Efe 1999, 166; Efe 2000b, 119–120; Efe – Ay 2000; Efe 2001a, 105–106; Efe 2001d, 99–100; Efe – Ay-Efe 2001, 45–47, 53; Efe 2002a, 316–317; Efe 2003a, 462; Efe 2003b; Efe 2007a, 71; Efe 2007b, 105, 111, Abb. 1; Efe – Ay-Efe 2007, 251–252; Efe – Fidan 2008, 67; Türkteki 2009, 21; Fidan 2012, 6–9; Gündem 2012; Efe et al. 2013, 195. – Siehe auch <http://kulluobakazisi.bilecik.edu.tr> (16.07.2017).

[136] Efe 2003b, 268–271, Abb. 2; Fidan 2012, 8, Abb. 7.

von Küllüoba entdeckte Efe im Rahmen dieser Forschung ebenfalls den Fundort Keçiçayırı. Bei den Ausgrabungen stieß er 2006 auf zwei spätchalkolithische Gräber.[137] Südöstlich des Marmara-Meeres, unweit von Ilıpınar, wird der Fundort Barcın Höyük[138] von J. Roodenberg (2005–2006) und F. Gerritsen seit 2007 ausgegraben. Zutage kamen Überreste von insgesamt drei chalkolithischen Siedlungsphasen (V1–3), in denen Pfostensetzungen, Lehmziegelbauten, eine Grabenanlage sowie Gräber vorgefunden wurden.[139] Radiokarbondaten datieren die Siedlung um 3800 v. Chr.[140] Erneute Untersuchungen finden seit 2004 außerdem in Gülpınar durch Takaoğlu statt, um die prähistorische Siedlung näher zu erforschen.[141] Der kürzlich veröffentlichten Literatur folgend, lässt sich die Siedlung aufgrund von Radiokarbondaten in den Zeitraum 5200–4800 v. Chr. datieren.[142] Im zentralwestanatolischen Hinterland wurden durch die intensiven Maßnahmen seit dem Ende der 1980er Jahre ebenfalls weitere Siedlungen chalkolithischer Zeitstellung entdeckt. Zwischen 1987 und 1992 führte R. Meriç Ausgrabungen auf dem Gavurtepe Höyük[143] am Oberlauf des Küçuk Menderes (dem antiken Kaystros) durch. Dabei stieß er neben frühbronzezeitlichem auch auf spätchalkolithisches Fundmaterial. Bei Arbeiten im Latmos-Gebirge wurde zudem 2002 eine Sondierungsgrabung innerhalb der Malkayası-Höhle[144] von Ch. Gerber durchgeführt, bei der Funde zutage kamen, die eine Zuweisung in die mittelchalkolithische Zeit erlauben. Am Büyük Menderes-Zufluss Çine (der antike Marsyas) entdeckte S. Günel im Rahmen ihrer systematischen Surveykampagnen[145] neben anderen Siedlungshügeln den Çine-Tepecik Höyüğü,[146] auf dem sie seit 2004 Ausgrabungen durchführt. Bei den Feldforschungen konnten Befunde sowohl mittel- als auch spätchalkolithischer Zeitstellung freigelegt werden.[147] Weiteres Material stammt aus den Ausgrabungen des Asopos Tepesi (VIIb–a),[148] der sich unmittelbar neben dem antiken Laodikeia am Oberlauf des Büyük Menderes befindet. Der Ausgräber geht hier ebenso von einer Datierung in das Mittel- und Spätchalkolithikum aus. Funde chalkolithischer Zeitstellung werden auch vom Fundort Beçin Kalesi in der Region Muğla erwähnt.[149]

Neben den Forschungen im Norden und Westen des Arbeitsgebietes wurden im Süden weitere Fundplätze mit Befunden des 5. und 4. Jts. v. Chr. entdeckt. Bei den im Bereich der Akropolis von Perge[150] durchgeführten Arbeiten konnte prähistorisches Material freigelegt werden, das auf

---

137 Efe 2008; Efe et al. 2011, 12; Efe et al. 2012, 228.

138 Zur spätchalkolithischen Zeitstellung siehe Gerritsen – Özbal 2008; Roodenberg et al. 2008, 54, 57–59; Gerritsen – Özbal 2009; Gerritsen 2010a, 11, 13; Gerritsen 2010b; Gerritsen et al. 2010; Özbal – Gerritsen 2011; Gerritsen – Özbal 2012, 3–4; Özbal – Gerritsen 2013; Gerritsen et al. 2013, 94.

139 Gerritsen et al. 2010, 198–203; Gerritsen et al. 2013, 94.

140 Gerristen et al. 2010, 198.

141 Takaoğlu 2006a; Takaoğlu 2006b; Özgünel – Kaplan 2009, 409–411; Özgünel – Kaplan 2010, 76–77; Kiyak et al. 2010; Özgünel – Kaplan 2011, 213–214; Özdemir 2012; Özgünel – Kaplan 2012, 146–151; Kaplan et al. 2013, 391–393; Özdemir 2013; Takaoğlu – Özdemir 2013; Yavşan 2013; Kaplan et al. 2014, 136–137; Özdemir et al. 2014. – Für eine chronologische Einordnung der Funde siehe auch Gabriel 2014, 1003–1007.

142 Özdemir 2012, 141; Özdemir 2013, 22–25; Takaoğlu– Özdemir 2013, 15; vgl. Gabriel 2014, 1003, Anm. 31.

143 Zur chalkolithischen Zeitstellung siehe Meriç 1989, 158, 165, Abb. 6; Meriç 1994, 423; Meriç 2009, 124.

144 Zur mittelchalkolithischen Zeitstellung siehe Gerber 2003, 84; Peschlow-Bindokat – Gerber 2004, 204–205; Gerber 2006; Peschlow-Bindokat – Gerber 2012, 74–75, 107, Abb. 41; Gerber 2014, 107. – Siehe auch <http://latmos-felsbilder.de/1003.php?l=ger> (16.07.2017).

145 Günel 2003, 86–88; Günel 2004a, 726–731; Günel 2004b, 98–99; Günel 2004c; Günel 2006a, 404–405; Günel 2006c, 166–173.

146 Zur mittel- und spätchalkolithischen Zeitstellung siehe Günel 2006b; Günel 2007, 234–236; Günel 2008a, 84; Günel 2008b, 251; Günel 2008c, 137–138; Günel 2009, 228–229; Günel 2012, 27; Günel 2013; Günel 2014a, 116–117; Günel 2014b; Günel 2014c, 291–292; Günel 2016, 206–207.

147 Günel 2009, 228–229; Günel 2012, 27; Günel 2014a, 116–117; Günel 2014b, 87, 89; Günel 2014c, 291–292.

148 Zur mittel- und spätchalkolithischen Zeitstellung siehe Şimşek 2010, 103; Şimşek 2011, 447–448, 468, Abb. 3; Şimşek 2012, 593, Abb. 2; Şimşek – Konakçı 2013, 11–12, 25, Abb. 4; 37, Abb. 21; Şimşek 2014, 634.

149 Freundliche Mitteilung M. Yıldız (August 2012); vgl. ebenso Derin et al. 2009, 17; Caymaz 2013, 55.

150 Zur chalkolithischen Zeitstellung siehe Abbasoğlu – Martini 1996, 123; Abbasoğlu – Martini 1998, 94; Abbasoğlu – Martini 1999, 179; Martini 2003, 56–57; Abbasoğlu 2004a, 46; Abbasoğlu 2004b, 27; Abbasoğlu 2009a, 62; Abbasoğlu 2009b, 33; Martini 2010, 14–15.

eine Besiedlung des Bereichs im Spätchalkolithikum und der Frühbronzezeit schließen lässt.[151] Bestattungen in diesem Bereich liefern ^{14}C-Daten, die bis in das späte 5. Jt. v. Chr. zurück reichen.[152] Unweit nördlich der Karain-Höhle werden seit 2007 Ausgrabungen in der Suluin Höhle[153] von H. Taşkıran durchgeführt. Das dort ergrabene Material wird von den Ausgräbern mit dem keramischen Inventar aus der Karain-Höhle verglichen und in das Mittelchalkolithikum datiert. In Lykien, im Umfeld des antiken Tlos, wurden 2010 in der unteren Tavabaşı-Höhle[154] zahlreiche Wandmalereien entdeckt. Die innerhalb der Höhle ergrabene Keramik lässt darauf schließen, dass die Höhle über die Zeiten hinweg immer wieder aufgesucht wurde. Radiokarbondaten belegen eine mittelchalkolithische Zeitstellung.[155] Bei den Feldforschungen unter der Leitung von Duru in Bademağacı[156] kam zwischen 2001 und 2004 unterhalb der frühbronzezeitlichen Architektur Keramik zutage, die keinem architektonischen Horizont des Fundortes zuzuweisen ist, jedoch anhand von Vergleichen in die spätchalkolithische Zeit eingeordnet werden kann.[157] Weiterhin wurde im Seengebiet, unweit des Burdur-Sees, die Siedlung Yarımhöyük[158] 1997 im Rahmen von Rettungsgrabungen archäologisch untersucht. Anhand des keramischen Inventars gehen die Ausgräber von einer Besiedlung im Spätchalkolithikum und der beginnenden Frühbronzezeit aus.

Derzeit sind somit 38 ausgegrabene Fundorte im westanatolischen Raum bekannt, die Funde mittel- und spätchalkolithischer Zeit erbracht haben.

III.2. Fundorte in der Ostägäis und der Dodekanes

Neben den Fundorten in Westanatolien können Fundplätze mit vergleichbaren Inventaren aus den unmittelbar angrenzenden Inseln der Ostägäis und der Dodekanes als Referenz herangezogen werden. Forschungen, die kupferzeitliches Material auf den der Westtürkei vorgelagerten Inseln erbrachten, fanden bereits in den 1920er und 1930er Jahren auf Kalymnos (Agio Varvara-Höhle,[159] Cheiromandres-Höhle,[160] Vathy-Höhle,[161] 1920–1922), Kos (Aspripetra-Höhle,[162] 1922), Samos (Kastro Tigani,[163] 1928 und 1930) und Chios (Agio Gala-Höhle,[164] 1938) statt. Nach dem zweiten Weltkrieg führte S. Hood die von E. Eccles begonnenen Forschungen auf Chios fort und leitete zwischen 1952 und 1955 die Ausgrabungen in Emporio,[165] bei denen ebenfalls chalkolithische Befunde entdeckt wurden. Die bereits zwischen den Jahren 1930 und 1936

---

151 Vgl. zusammenfassend Martini 2010, 14–20.

152 Abbasoğlu 2004a, 46; Abbasoğlu 2004b, 27; Martini 2010, 14, Anm. 32.

153 Zur mittelchalkolithischen Zeitstellung siehe Taşkıran 2011; Taşkıran – Aksu 2011, 39; Taşkıran et al. 2011; Taşkıran 2012; Taşkıran et al. 2012; Taşkıran 2013; Taşkıran et al. 2013; Taşkıran et al. 2014.

154 Zur mittelchalkolithischen Zeitstellung siehe Korkut 2012, 465; Korkut 2013, 196–197; Korkut et al. 2014, 109–110; Korkut et al. 2015.

155 Korkut et al. 2014, 109; Korkut et al. 2015, 39–40.

156 Zur spätchalkolithischen Zeitstellung siehe Duru – Umurtak 2004, 17; Umurtak 2005; Duru – Umurtak 2007, 11; Duru – Umurtak 2008a, 191; Duru – Umurtak 2008b, 210–211; Duru – Umurtak 2011, 10, 14; Duru 2012, 14; Duru – Umurtak 2012, 116, 119.

157 Umurtak 2005, 53.

158 Ekinci – Öztürk 1999.

159 Maiuri 1928, 106–108; vgl. Furness 1956, 188–193; Benzi 2008.

160 Maiuri 1928, 108–110; vgl. Furness 1956, 188–193; Benzi 2008.

161 Maiuri 1928, 110–117; vgl. Furness 1956, 188–193; Alram-Stern 2004, 948; Benzi 2008.

162 Jacopich 1928; Levi 1929, 277–310; vgl. Buchholz 1982, 50–52; Alram-Stern 2004, 946.

163 Heidenreich 1935/1936; Wrede 1935/1936; vgl. Furness 1956, 174–188. Zum Versuch der chronologischen Einordnung der Funde dieser Grabung siehe auch Milojčić 1961, 61–62, 67.

164 Furness 1956, 194–203; Hood 1981/1982; vgl. ebenso Alram-Stern 1996, 473–476; Schoop 2005, 229–233, 264–265, 270–271. – Eine Neubearbeitung der Keramik der Fundorte Agio Gala und Emporio auf Chios wird zurzeit im Rahmen einer Dissertation von B. Lambrechts, Universität Leuven durchgeführt.

165 Hood 1981/1982; vgl. Alram-Stern 1996, 476–480; Schoop 2005, 233–237, 266–267, 270–271; Gabriel 2014, 1026–1028.

stattgefundenen Forschungen auf Lemnos (Poliochni,[166] Dermatas)[167] konnten 1951 bis 1956 von L. Bernabò-Brea wiederaufgenommen werden und führten zur Entdeckung der kupferzeitlichen Siedlung Poliochni nero.[168] Aus dieser Zeit sind mehrere apsidiale Strukturen sowie Rundbauten bekannt.[169] Erneute Forschungen, speziell zu den ältesten Siedlungsphasen Poliochni nero und azzuro, folgten ab 1988 durch die Scuola Archeologica Italiana di Atene.[170] Wenige kupferzeitliche Keramik wurde zudem 1931–1932 bei kleinflächigen Ausgrabungen auf der unweit von Poliochni gelegenen Anhöhe von Dermatas bekannt.[171] Ebenfalls nach dem zweiten Weltkrieg weitergeführt wurden die Ausgrabungen im Kastro Tigani[172] durch U. Jantzen, die von R. C. S. Felsch monographisch vorgelegt wurden. Bei Nachuntersuchungen konnten 1967 und 1968 die spärlich erhaltenen Überreste der prähistorischen Siedlungsschichten erfasst werden, die großteils durch die Erstgrabungen in den 1930er Jahren zerstört wurden.[173] Die 1962, 1970 und 1973 publizierten Berichte von R. Hope Simpson und J. F. Lazenby zu ihren Forschungsreisen auf der Dodekanes bildeten zudem eine Zusammenschau der damals bekannten prähistorischen Fundplätze auf den Inseln der südlichen Ostägäis.[174] Insbesondere in den 1970er und 1980er Jahren wurde eine Vielzahl von weiteren Fundplätzen in der Ostägäis durch die intensiven Unternehmungen von Sampson entdeckt. So brachten Ausgrabungen auf mehreren Inseln der Ostägäis, speziell im Bereich der Dodekanes, Material kupferzeitlicher Zeitstellung zutage: Alimnia,[175] Giali,[176] Leros (Partheni),[177] Psara (Archontiki),[178] Rhodos (Koumelo-Höhle bei Archangelos,[179] Agios Georgios-Höhle bei Kalythies)[180] und Tilos (Charkadio-Höhle).[181]

Im nördlichen Bereich der Ägäis wurden Ende der 1980er und Anfang der 1990er Jahre zwei weitere Fundorte mit chalkolithischen Funden bekannt. Auf Samothrake konnten bei den Ausgrabungen in Mikro Vouni[182] Schichten erreicht werden, deren Funde sich nach V. Nêmejcová-Pavúková mit dem Spätchalkolithikum verbinden lassen.[183] Südlich von Samothrake wurden bei neuen Forschungen auf Lemnos in Koukonisi[184] (seit 1992) ebenfalls Funde freigelegt, die der chalkolithischen Zeit zugerechnet werden. Neben Poliochni und Koukonisi haben die Ausgrabungen in Myrina,[185] im Westen von Lemnos, seit den späten 1980er Jahren eine dreiphasige Siedlung des späten Chalkolithikums zum Vorschein gebracht. Die älteste Phase ist durch einen Zerstörungshorizont geprägt; die darauf folgenden Horizonte besitzen verschiedenartige Bauten

166 Bernabò-Brea 1964, 45–114.
167 Bernabò-Brea 1964, 18; Bernabò-Brea 1976, 13, Taf. CCLIIIa; vgl. Kouka 2002, 25; Kouka 2014b, 45.
168 Zur Geschichte der Ausgrabungen in den 1930er und 1950er Jahren siehe Bernabò-Brea 1964, 3–15.
169 Vgl. Kouka 2002, 34–45, 120; Kouka 2014b, 45–46.
170 Zu den neueren Forschungen siehe Tiné 1997; Sorrentino 1997; vgl. Alram-Stern 2004, 918–928.
171 Vgl. Kouka 2002, 25; Kouka 2014b, 45.
172 Felsch 1988; vgl. Alram-Stern 1996, 469–473; Schoop 2005, 266–269, 270–271; Gabriel 2014, 1026–1028.
173 Felsch 1988, 40.
174 Hope Simpson – Lazenby 1962; Hope Simpson – Lazenby 1970; Hope Simpson – Lazenby 1973.
175 Sampson 1984; Sampson 1987; Sampson 2006, 231–233; vgl. Alram-Stern 1996, 488.
176 Sampson 1987; Sampson 1988a; Sampson 2006, 234–241; vgl. Alram-Stern 1996, 489–492.
177 Sampson 1984; Sampson 1987; Sampson 2006, 230–231; vgl. Alram-Stern 1996, 493–494.
178 Touchais 1984, 812.
179 Sampson 1979; Sampson 1984; Sampson 1987; Sampson 1988b, 13–16; Sampson 2006, 221–230; vgl. Alram-Stern 1996, 486–487.
180 Sampson 1984; Sampson 1987; Sampson 1988b, 11–13, 16; Kaczanowska et al. 2006; Sampson 2006, 221–230; vgl. Alram-Stern 1996, 484–486.
181 Bachmayer et al. 1976, 139–142; Sampson 1987, 115; Melas 1988, 293; vgl. Alram-Stern 1996, 488; Alram-Stern 2004, 950.
182 Matsas 1987, 499–503, 546.
183 Nêmejcová-Pavúková 1993, 247; vgl. Davis 1992, 723; Alram-Stern 1996, 448.
184 Pariente 1993, 870; Alram-Stern 1996, 480; Boulotis 1997, 251; Devetze 1997, 559; Kouka 2002, 23–25; Alram-Stern 2004, 931–932; Boulotis 2010, 897–898; Kouka 2014b, 45.
185 Dova 1997a; Dova 1997b; Kouka 2002, 21–22; Dova 2003; Alram-Stern 2004, 928–930; Acheilara 2008, 2–3; Kouka 2014b, 45, 47.

runder, apsidialer und rechteckiger Form.[186] Neue Hinweise auf einen chalkolithischen Fundort stammen weiterhin von Ikaria. Im Rahmen der mesolithischen Forschungen auf der Insel wurden in Nyfi,[187] nahe der mesolithischen Fundstelle (Nyfi 2), Überreste eines rechteckigen Gebäudes entdeckt, das von Sampson in das 5. bis 4. Jt. v. Chr. eingeordnet wird. Neben Ikaria haben erneute Forschungen auf der benachbarten Insel Samos unter der Leitung von O. Kouka im Heraion[188] neue Befunde zutage gebracht. Bei den Ausgrabungen wurden Siedlungsreste freigelegt, die in die 2. Hälfte des 4. Jts. v. Chr. einzuordnen sind. Seit 2009 finden von B. Erdoğu geleitete Ausgrabungen in Uğurlu-Zeytinlik[189] auf der Insel Gökçeada (griech. Imbros) in der nördlichen Ostägäis statt. Bei diesen Untersuchungen konnte eine zweiphasige Besiedlung des Mittelchalkolithikums (Phase III–II) ausgegraben werden. Es handelt sich dabei um ein rechteckiges Gebäude, das der jüngeren Subphase angehört (II.1). Unter diesem befinden sich Mauerstrukturen des älteren Horizontes II.2.[190] Ein Radiokarbondatum datiert die Phase II in das 3. Viertel des 5. Jts. v. Chr.[191] Die darunter liegende Phase III kann ebenfalls anhand von ^{14}C-Daten in die Zeit zwischen 5500–5300 v. Chr. datiert werden.[192] Auch das keramische Inventar aus diesem Zeithorizont lässt sich mit Vergleichen aus diesem Zeithorizont verbinden (Aşağı Pınar 5, Karanovo III).[193] Aus beiden Phasen sind weiterhin eine Vielzahl von Spondylus-Artefakten bekannt.[194] Für die Phase III wird sogar eine lokale Produktion dieser Artefakte innerhalb einer Werkstatt in der Siedlung angenommen.[195]

Insgesamt konnten bislang an 22 Fundorten im Gebiet der Ostägäis und der Dodekanes Kulturschichten des Mittel- und Spätchalkolithikums ergraben werden.

III.3. Fundorte in Türkisch-Thrakien

Auch im Raum Türkisch-Thrakiens finden sich Fundorte, deren Fundmaterial mit dem aus Westanatolien vergleichbar ist. Zeitlich einordnen lassen sich diese vor allem durch Parallelen der Karanovo-zeitlichen Funde aus Bulgarien, aber auch mit denen aus Kumtepe (IA–B) sowie Beşik-Sivritepe in der Troas.

Im Gebiet Türkisch-Thrakiens ist der Kenntnisstand zu kupferzeitlichen Fundplätzen neben den Ausgrabungen von A. M. Mansel bei Alpullu[196] (1936) und den ersten Untersuchungen von Ş. A. Kansu zwischen 1964–1965 in der Yarımburgaz-Höhle[197] insbesondere den zahlreichen Forschungen Özdoğans zu verdanken. Neben ausgedehnten Oberflächenbegehungen[198] führte

---

186 Dova 1997b.

187 Sampson 2006, 44–45, 165; Sampson et al. 2012, 7, 36.

188 Kouka 2012a, 100–101; Kouka 2014a, 53; Kouka 2014b, 50–52; Kouka 2015, 226, 240.

189 Erdoğu 2010, 27; Erdoğu 2011a, 120; Erdoğu 2011b, 48–49, 51; Erdoğu 2012, 367–368; Erdoğu 2013, 3, 5; Erdoğu – Yücel 2013, 187–188; Erdoğu 2014a, 163–164; Erdoğu 2014b, 168; Erdoğu et al. 2014, 205–206; Erdoğu – Yücel 2016, 196–199.

190 Erdoğu 2011b, 48.

191 Erdoğu 2014a, 164, 178, Abb. 25.

192 Erdoğu 2014a, 162, 178, Abb. 25; Erdoğu et al. 2014, 206.

193 Erdoğu 2011b, 49; Erdoğu et al. 2014, 206.

194 Baysal – Erdoğu 2014.

195 Erdoğu – Yücel 2013, 190; Baysal – Erdoğu 2014, 366. – J. Müller geht von einem generellen Einsetzen des Austauschs von Spondylusartefakten ab der Mitte des 6. Jts. v. Chr. aus (Müller 1997, 93, Abb. 2.). Ein Auftreten von Spondylusartefakten in Bulgarien und Griechenland nimmt er nicht vor 5100 v. Chr. an (Müller 1997, 94). Neben Uğurlu-Zeytinlik III belegen neue Daten aus Griechenland jedoch ein ebenso frühes Auftreten (Baysal – Erdoğu 2014, 371–373). Aus der Türkei sind weiterhin Spondylusartefakte aus neolithischen Kontexten bekannt (Barcın Höyük, Aşağı Pınar), die eine Verarbeitung bereits im 7. Jt. v. Chr. belegen (Baysal – Erdoğu 2014, 372).

196 Mansel 1937, 37–38; Mansel 1938, 22–23; Mansel 1939; Mansel 1940, 89–90, 115–116. – Zur neueren zeitlichen Einordnung von Alpullu siehe Özdoğan et al. 1991, 84, Anm. 11; Erdoğu 2001, 28; Özdoğan 2014, 205.

197 Kansu 1972. – Zur chalkolithischen Keramik dieser Grabung siehe Özdoğan 1985a.

198 Özdoğan 1983a; Özdoğan 1983b; Özdoğan 1984; Özdoğan 1985b; Özdoğan 1986a; Özdoğan 1986b; Özdoğan 1986c; Özdoğan 1988a; Özdoğan 1989; Özdoğan 1990b; Özdoğan 1991a, 345–350; Özdoğan 1992; Özdoğan 2001f, 285–286; Özdoğan 2003a, 338–339.

Özdoğan in den 1980er und 1990er Jahren Ausgrabungen an den Fundplätzen Hoca Çeşme[199] (1990–1993), Tilkiburnu[200] (1981), Toptepe[201] (1989) und der Yarımburgaz-Höhle[202] (1986) durch. Diese Unternehmungen stellen seitdem für das nördlich angrenzende Gebiet Westanatoliens wichtige Referenzen für die kupferzeitlichen Forschungen dar. Insbesondere die Ausgrabungen in der unmittelbar an der Küste gelegenen Siedlung Toptepe führten zur Entdeckung eines Siedlungsausschnittes des späten 6. und frühen 5. Jts. v. Chr. (Toptepe-Kultur).[203] Zur Diskussion dieser chronologischen Einordnung nach Özdoğan und Schoop an den Beginn des 5. Jts. v. Chr. siehe Kapitel III.4.3. In Abhängigkeit zur Datierung Toptepes stehen auch die Fundorte Hoca Çeşme sowie Yarımburgaz. Die obersten Schichten beider Fundorte (Hoca Çeşme I,[204] Yarımburgaz 0[205]) enthielten keramisches Material, das sich mit der Toptepe-Kultur verbinden lässt. Auch die von Mansel ausgegrabene Keramik aus einer Tumulus-Grabung bei Alpullu in den 1930er Jahren ordnet Özdoğan in diesen Zeithorizont ein.[206] Darüber hinaus deuten Oberflächenfunde in Toptepe, laut Özdoğan, Siedlungsaktivitäten im 4. und 3. Jt. v. Chr. aufgrund von Kumtepe IB- und Troia I-zeitlicher Keramik an.[207] Auch Funde aus Tilkiburnu,[208] die während einer Notgrabung zutage kamen, können ihm zufolge in den späten Abschnitt von Karnovo VI und teilweise in den Zeithorizont von Kumtepe IB eingeordnet werden. In diesem Zusammenhang widerspricht Schoop der Datierung und verortet das Ensemble in die erste Hälfte des 4. Jts. v. Chr., da er keine Verbindung zum Material von Kumtepe IB sieht (s. u. III.4.3.).[209]

In der ersten Hälfte der 1990er Jahre schlossen drei weitere Grabungen in Aşağı Pınar[210] (seit 1993), Menekşe Çatağı[211] (1993–2002) und Kanlıgeçit[212] (1994–2008) an, die Funde mittelchalkolithischer Zeitstellung erbrachten. In Aşağı Pınar im Süden der heutigen Stadt Kırklareli konnten die langjährigen türkisch-deutschen Forschungen, neben Siedlungsresten des Neolithikums und Frühchalkolithikums, Befunde einer Siedlung des frühen Mittelchalkolithikums (Phase 5–2)

[199] Özdoğan et al. 1991, 81; Özdoğan 1993, 181–186; Özdoğan 1998a, 68–72; Özdoğan 1998b.

[200] Özdoğan 1982.

[201] Özdoğan – Özbaşaran Dede 1990; Özdoğan 1991a; Özdoğan et al. 1991, 75–81; Parzinger – Özdoğan 1995, 16; Özdoğan 1998a, 73; Özdoğan – Dede 1998; Özdoğan 2003c.

[202] Özdoğan 1985a; Özdoğan – Koyunlu 1986; Özdoğan 1988b; Özdoğan 1990a, 377–387; Özdoğan et al. 1991, 66–74; Parzinger – Özdoğan 1995, 9–11; Özdoğan 1998a, 72–73; Özdoğan 1999, 11–12; Özdoğan 2001b; vgl. ebenso Arsebük et al. 2010, 13–14.

[203] Zur mittelchalkolithischen Einordnung siehe Özdoğan – Özbaşaran Dede 1990, 18–23; Özdoğan 1991a, 354; Özdoğan et al. 1991, 85; Parzinger 1993, 198; Özdoğan 1998a, 73; Özdoğan – Dede 1998, 150; Özdoğan 1999, 12–13; Özdoğan 2000b; Özdoğan 2001d; Özdoğan 2003a, 341; Özdoğan 2003b; Özdoğan 2004, 25; Schoop 2005, 266, 328; Özdoğan 2008, 384; Özdoğan 2011b, 670; Özdoğan 2013, 178–179, 269, Abb. 171; Gabriel 2014, 1013–1015; Özdoğan 2014, 205.

[204] Özdoğan et al. 1991, 81, 84; Özdoğan 1993, 183; Parzinger 1993, 198; Özdoğan 1998a, 69; Özdoğan 1998b, 449; Özdoğan 1999, 15; Özdoğan 2003a, 340; Özdoğan 2003d, 29; Karul – Bertram 2005, 123–126; Schoop 2005, 266; Özdoğan 2013, 182, 269, Abb. 171; Gabriel 2014, 1024; Özdoğan 2014, 205, 213.

[205] Özdoğan et al. 1991, 68, 84; Parzinger 1993, 198; Parzinger – Özdoğan 1995, 10–11; Özdoğan 2001b, 10; Özdoğan 2003a, 338–339 hier als Schicht 1b bezeichnet; Schoop 2005, 328; Özdoğan 2013, 178, 269, Abb. 171; Özdoğan 2014, 205.

[206] Mansel 1937, 37, Abb. 3; Mansel 1938, Taf. 20–21; Özdoğan 2014, 205.

[207] Zur spätchalkolithischen Einordnung siehe Özdoğan – Özbaşaran Dede 1990, 18, 22–23; Özdoğan 1991a, 351; Özdoğan et al. 1991, 75–76; Parzinger 1993, 198; Schoop 2005, 269–270.

[208] Özdoğan 1991b, 220–223; Parzinger – Özdoğan 1995, 17; Özdoğan 1999, 9–10; Özdoğan 2000c; Özdoğan 2001e; Özdoğan 2011b, 671.

[209] Schoop 2005, 270.

[210] Zusammenfassend siehe Schwarzberg – Özdoğan 2013.

[211] Zur mittelchalkolithischen Einordnung siehe Işın 1995, 17–19, 21–24; Sayın et al. 1995; Işın – Özdoğan 1997, 92–93; Işın – Özdoğan 1998, 371–372; Özdoğan 1999, 13; Özdoğan – Işın 1999, 296, 301; Özdoğan – Işın 2000, 240, 243–244; Erim-Özdoğan – Işın 2002; Erim-Özdoğan – Işın 2003, 377–378, 382; Özdoğan 2003a, 341; Erim-Özdoğan et al. 2004, 421; Harmankaya 2008, 262.

[212] Zur mittelchalkolithischen Einordnung siehe Parzinger – Özdoğan 1995, 29; Özdoğan et al. 1997a, 60–62; Parzinger et al. 1999, 332–333; Özdoğan et al. 2001, 85; Özdoğan 2003a, 342; Özdoğan 2004, 25; Özdoğan 2011b, 670; Özdoğan – Parzinger 2012; Özdoğan 2014, 208, 211.

hervorbringen.[213] Radiokarbondaten datieren diesen Besiedlungszeitraum von etwa 5350 bis 4700 v. Chr.[214] Neben Wölb- und Rechteckbauten aus Holz mit Lehm-Flechtwerk-Wänden ist ab der dritten oder zweiten Siedlungsphase eine steinerne Kastenmauer für die Siedlung belegt, die jedoch nur temporär als Umfassungsmauer diente.[215] Unweit westlich von Aşağı Pınar förderten die Ausgrabungen der bronzezeitlichen Siedlung Kanlıgeçit in den ältesten Schichten ebenso Keramik zutage, die vermutlich in das späte 6. und frühe 5. Jt. v. Chr. weisen.[216] Weiterhin können Keramikfunde aus zwei Grubenbefunden aus Kanlıgeçit angeführt werden, deren Parallelen etwa um die Mitte des 5. Jts. v. Chr. liegen.[217] Die Ausgrabungen des unmittelbar an der nördlichen Küste des Marmara-Meeres gelegenen Fundortes Menekşe Çatağı erbrachten einen Siedlungsausschnitt mit ovalen Gebäuden in Lehm-Holz-Bauweise, die von den Ausgräbern in den Zeitraum der Toptepe-Kultur und der Phase Aşağı Pınar 3 datiert werden.[218]

Neben den zuvor erwähnten Ausgrabungen unternahm B. Erdoğu in der zweiten Hälfte der 1990er Jahre Surveys in der Region von Edirne.[219] Anhand dieser systematischen Oberflächenbegehungen konnten mehrere Fundplätze chalkolithischer Zeitstellung den bereits bekannten hinzugefügt werden.[220]

Weitere Funde, die bei den Notgrabungen (seit 2004) im Zuge der Istanbuler Metro-Erweiterung in Yenikapı[221] zutage kamen, lassen ebenfalls eine Datierung in den Zeithorizont der Toptepe-Kultur zu. Bei diesen Funden handelt es sich wahrscheinlich um eingeschwemmtes oder umgelagertes Material, dennoch gibt ein ^{14}C-Datum, das zwar nicht mit Keramikfunden assoziiert werden kann, einen Hinweis auf eine Besiedlung in dieser Zeit.[222]

Somit können für den Raum Türkisch-Thrakiens zurzeit neun ausgegrabene Fundorte angeführt werden, die vorwiegend in die mittelchalkolithische Zeit datieren. Zudem deuten sporadische Funde ebenfalls Aktivitäten im 4. Jt. v. Chr. in diesem Gebiet an.

Die bereits abgeschlossenen und noch laufenden Forschungen zum Mittel- und Spätchalkolithikum in Westanatolien und den angrenzenden Gebieten haben in den letzten Jahren eine Vielzahl von neuen Daten erbracht (derzeit 69 ergrabene Fundorte; Abb. 3), die immer mehr ein Schlaglicht auf diese bislang schlecht fassbare und unzureichend erforschte Epoche werfen. Es bleibt zu hoffen, dass die Rahmenbedingungen für weitere, effiziente Forschungen auch in der Folgezeit gegeben sind, damit das Bild des Chalkolithikums immer klarer wird.

---

213 Zur mittelchalkolithischen Einordnung siehe Özdoğan – Parzinger 1995, 49, 52–55; Parzinger – Özdoğan 1995, 20–27; Özdoğan et al. 1997a, 56–59; Özdoğan et al. 1997b, 6; Özdoğan 1998a, 73–76; Özdoğan et al. 1998, 126–130, 134–135; Özdoğan 1999, 15–20; Özdoğan et al. 1999, 142–145; Parzinger et al. 1999, 327–332; Özdoğan 2000a, 71–72; Özdoğan et al. 2000, 95–97; Özdoğan – Parzinger 2000, 83–88; Özdoğan 2001a; Özdoğan 2001c, 58–59; Özdoğan et al. 2001, 85–87; Özdoğan et al. 2002, 308–310; Karul et al. 2003; Özdoğan 2003a, 341–342; Özdoğan 2003b; Özdoğan et al. 2005, 325; Parzinger – Schwarzberg 2005; Schwarzberg – Özdoğan 2005, 7–8; Özdoğan – Schwarzberg 2006; Özdoğan et al. 2007, 256–259; Özdoğan 2008, 382; Özdoğan et al. 2008, 39, 47–49; Özdoğan – Schwarzberg 2008, 21; Özdoğan et al. 2009, 233, 239–240; Özdoğan et al. 2010, 361; Özdoğan 2011a; Özdoğan 2013, 183, 189–190; Gabriel 2014, 1016–1020; Özdoğan 2014, 205.

214 Özdoğan et al. 1999, 147; Özdoğan – Parzinger 2000, 84; Görsdorf 2005; Özdoğan 2013, 190.

215 Karul 2003, 110–111; Schwarzberg – Özdoğan 2013, 126–132.

216 Özdoğan et al. 2012a, 46.

217 Parzinger – Özdoğan 1995, 29; Özdoğan 2001c, 63; Özdoğan 2003a, 342; Özdoğan 2004, 21–25; Erdoğu 2005, 51; Erdoğu 2014a, 158, 163–164, 166.

218 Erim-Özdoğan – Işın 2002, 317; Erim-Özdoğan – Işın 2003, 377–378.

219 Erdoğu 1997; Erdoğu 1999a; Erdoğu 1999b; zusammenfassend siehe Erdoğu 2001; Erdoğu 2005.

220 Erdoğu 2001, 33, 95–96, 191–197, 205–213.

221 Zu den chalkolithischen Funden siehe Perinçek 2010, 74; Algan et al. 2011, 42–43; Dönmez 2011, 23–24; Özdoğan 2011c, 224; Kızıltan – Polat 2013, 115, 127; Özdoğan 2014, 205.

222 Kızıltan – Polat 2013, 115, 128.

III.4. Chronologiediskussion der Fundorte des 5. und 4. Jts. v. Chr. in den einzelnen Regionen

Trotz der zunehmenden Anzahl an Fundorten des Mittel- und Spätchalkolithikums in den letzten Jahren gestaltet sich eine Bewertung der Chronologie je nach Region bislang noch schwierig. Neben dem Mangel an chronologischen Ankern erschwert die stark unterschiedliche, teils forschungsbedingte Datengrundlage eine Auseinandersetzung mit dem Zeitabschnitt des Mittel- und Spätchalkolithikums in Westanatolien, den angrenzenden Gebieten im Norden sowie der Ostägäis. Auf die Notwendigkeit eines einheitlichen Chronologiesystems für den Raum West- und Zentralanatoliens hat Schoop bereits hingewiesen.[223] Im Folgenden soll die zeitliche Stellung der Siedlungen in Westanatolien, der Ostägäis, der Dodekanes und Türkisch-Thrakien in diesem Zeitabschnitt unter Berücksichtigung der aktuellen Forschungslage diskutiert werden.

Ziel ist eine synchronisierte Chronologie für das Arbeitsgebiet auf der Basis von Radiokarbonsequenzen und relativer Chronologie. Da von den meisten der 69 Fundorte keine absoluten Datierungen verfügbar sind, bedarf es einer ausgiebigen relativchronologischen Untersuchung, um die zeitliche Stellung des jeweiligen Fundortes zu bewerten. Wie wichtig die relative Chronologie in diesem Punkt ist, zeigen gerade die Fundorte der ostägäischen Inseln und die Dodekanes. Aufgrund des Fehlens von absoluten Datierungen wurden diese lange Zeit vordergründig anhand von Analogien im keramischen Inventar der Troas (Kumtepe und Beşik-Sivritepe) datiert. In den letzten zehn Jahren hat die Anzahl der Radiokarbondaten des 5. und 4. Jts. v. Chr., insbesondere in der zentralwestanatolischen Küstenregion, deutlich zugenommen, wodurch zusätzliche Anker für die Ostägäis und die Dodekanes geliefert wurden. Im Folgenden wird auf der Basis des von Schoop (2005) vorgelegten Chronologiegerüsts die zeitliche Einordnung der Fundorte im Arbeitsgebiet diskutiert. Unter Einbeziehung neuer Daten soll die Schoop'sche Einordnung erneut bewertet und gegebenenfalls angepasst werden.

Eine Zusammenstellung der im Text häufig erwähnten und chronologisch signifikanten Keramik des Mittel- und Spätchalkolithikums im Arbeitsgebiet findet sich in Abb. 4.

III.4.1. Chronologiediskussion: Westanatolien

Um das große Gebiet Westanatoliens chronologisch zu diskutieren, wird dieses Gebiet in fünf Regionen (Troas, Nordwestanatolien, Zentralwestanatolisches Küstengebiet, Westanatolisches Hinterland, Südwestanatolien; vgl. Abb. 1) unterteilt, die im Folgenden genauer betrachtet werden.

III.4.1.1. Troas

III.4.1.1.1. Kumtepe IA, Beşik-Sivritepe und Gülpınar

Sowohl für die regionale als auch überregionale Chronologie stellen die Funde vom Kumtepe (IA–B)[224] und Beşik-Sivritepe in der Troas wichtige Referenzpunkte für das 5. und 4. Jt. v. Chr. in Westanatolien und der Ostägäis dar. Den Radiokarbondatierungen folgend kann die Siedlung vom Beşik-Sivritepe und die ältere Siedlung vom Kumtepe (IA) in das Mittelchalkolithikum

[223] Schoop 2005; Schoop 2011.

[224] Sperling hat für die Schichten des Kumtepe zwei Perioden (I und II) definiert, von denen die Periode I drei Subperioden (A–C) besitzt (Sperling 1976, 309, 360–361). Die Subperioden IA und IB repräsentieren die chalkolithischen Schichten; IC und II hingegen die Schichten der Bronzezeit (Korfmann et al. 1995, 238–241). Da die Schichten der Periode Kumtepe II aufgrund von landwirtschaftlichen Tätigkeiten vollständig zerstört wurden, entschied sich Korfmann in seinem Bericht zu den Rettungsgrabungen am Kumtepe für eine Änderung der Terminologie zu Kumtepe A–C ohne Periodennummern (Korfmann et al. 1995, 243–244). Daher finden sich in der Literatur zum Teil beide Benennungen. Im Folgenden wird der Bezeichnung Sperlings gefolgt.

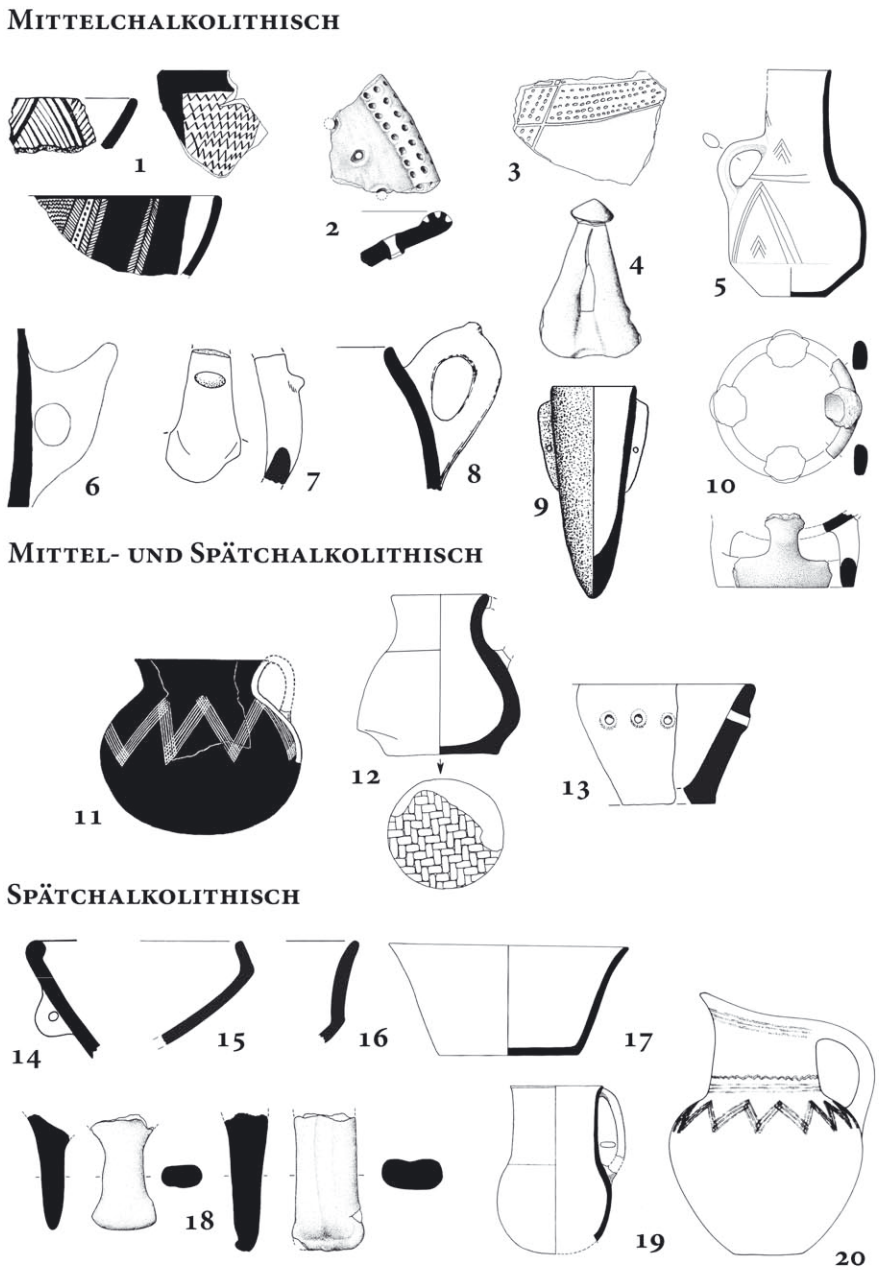


Abb. 4 Ausgewählte, chronologisch signifikante Keramik des 5. bis 4. Jts. v. Chr. im Arbeitsgebiet. (**1. Politurmuster**/Schoop 2005, Taf. 145.14; Takaoğlu 2006b, 364, Abb. 3.1; Felsch 1988, Taf. 67.351; **2. Schalen mit Einstichreihen am Rand**/Blum 2014, 154, Taf. 11; **3. Ritzverzierung mit Einstichen**/Felsch 1988, Taf. 66.311; **4. Pilzkopfhenkel**/Derin et al. 2009, 43, Abb. 14.85; **5. Krüge mit einziehendem unteren Ende und Ritzverzierung**/Parzinger 2005, 107, Taf. 1.1; **6. Hornhenkel**/Günel 2014b, 95, Taf. 3; **7. Lang gezogene Stabhenkel mit Knubbe**/Takaoğlu 2006a, 296, Abb. 6.2; **8. Einfache Henkel mit Knubbe**/Hood 1981/1982, 269, Abb. 128; **9. Spitzbodige Becher**/Takaoğlu 2005, 15, Abb. 4.3; **10. Gefensterte Hohlbasen**/Gabriel 2014, Taf. 9.3; **11. Weißbemalung**/Lloyd – Mellaart 1962, 98, Abb. P.11.9; **12. Mattenabdrücke**/Takaoğlu 2006a, 308, Abb. 13.37; **13. *Chesse pots***/Takaoğlu 2006a, 301, Abb. 11.32; **14. *Rolled rim bowls***/Sperling 1976, 335, Abb. 15.536; **15. Knickrandschalen**/Seeher 1987a, Taf. 24.6; **16. Kehlrandschalen**/Gerritsen et al. 2010, 220, Abb. 7.4; **17. Konische Schalen**/Duru 1996, Taf. 69.3; **18. Trapezförmige und ausgezipfelte Füße**/Herling et al. 2008, 23, Abb. 5.5, 7; **19. Becher mit konkavem Hals**/Lloyd – Mellaart 1962, 92, Abb. P.9.3; **20. Kannen mit ausgezogenem Ausguss**/Hood 1981/1982, 327, Abb. 153.646).

eingeordnet werden. Die Daten für Kumtepe IA[225] legen dahingehend eine Datierung in das erste Viertel des 5. Jts. v. Chr. nahe, wobei aufgrund der jüngst vorgelegten stratigraphischen Analyse und erneuten Betrachtung der Radiokarbondaten des Kumtepe von J.-K. Bertram und N. Karul offen bleiben muss, ob eine Besiedlung bereits ab dem ausgehenden 6. Jt. v. Chr. anzusetzen ist (Abb. 5).[226] Sowohl die Radiokarbondaten als auch die Keramikstudien deuten eine jüngere

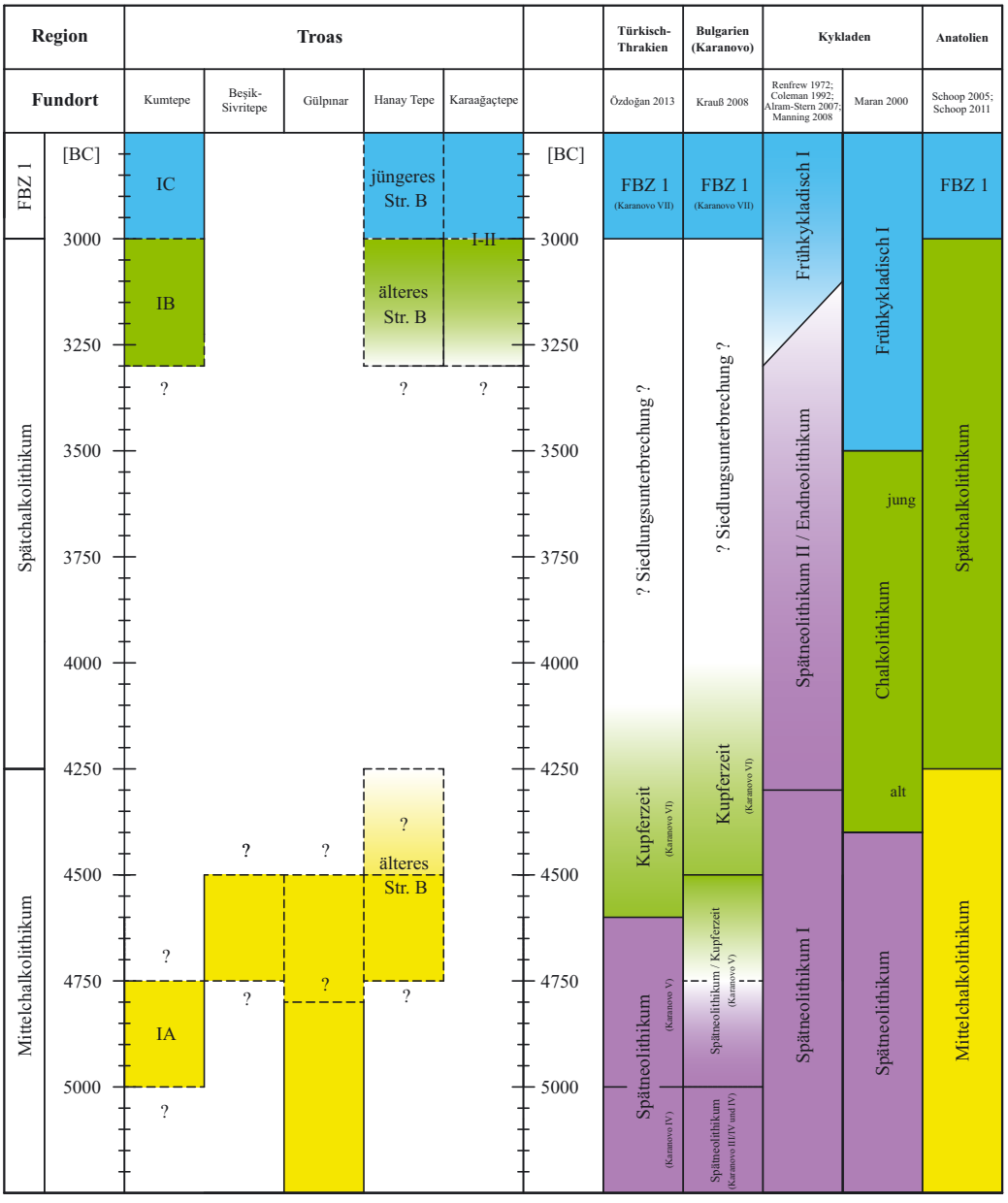


Abb. 5 Vorgeschlagene Chronologie für das Gebiet der Troas. (Graphik: Ch. Schwall/ERC Prehistoric Anatolia)

[225] Radiokarbondaten: Korfmann et al. 1995, 260; vgl. Gabriel 2000, 235, Tab. 1; Gabriel 2001b, 85, Tab. 1; Gabriel 2014, 1057, Tab. 12; Kromer et al. 2003, 45–46; Schoop 2005, 262–263, 432–433; Bertram – Karul 2014, 1060, Tab. 1; 1071–1072.

[226] Bertram – Karul 2014.

Zeitstellung des Materials vom Beşik-Sivritepe[227] an; bislang wurde die Siedlung in das zweite Viertel des 5. Jts. v. Chr. datiert.[228]

Weitere Daten wurden jüngst aus der Siedlung Gülpınar in der südwestlichen Troas publiziert, wodurch diese zwischen 5200–4800 v. Chr. datiert wird.[229] Aufgrund von Vergleichen mit Keramikfunden hat bereits Seeher erkannt, dass die Funde von Gülpınar und Beşik-Sivritepe als gleichzeitig angesehen werden können, wohingegen zum Material von Kumtepe IA ein zeitlicher Versatz zu erkennen ist.[230] In diesem Punkt scheinen die neueren Daten von Gülpınar und die Keramikchronologie im Widerspruch zu stehen. Hilfreich erscheint ein wiederholter Blick auf die bislang publizierten Funde der Grabungen von Gülpınar sowie die anderen beiden Fundorte. Als Kriterium für eine unterschiedliche Zeitstellung von Kumtepe IA und Beşik-Sivritepe führt Seeher Unterschiede in der Politurmusterverzierung, der weißen Gefäßbemalung sowie in den Kannenformen an, gibt jedoch auch zu bedenken, dass aufgrund der kleinformatigen Ausgrabungen am Kumtepe und der im Gegensatz zum Beşik-Sivritepe geringen Keramikfunde sicherlich nicht das komplette Formenspektrum erfasst wurde.[231] Da zu diesem Zeitpunkt noch von einer Kontinuität der Siedlungen von Kumtepe IA und IB ausgegangen wurde, setzte Seeher die Funde vom Beşik-Sivritepe und von Gülpınar zeitlich vor denen aus Kumtepe IA[232] an. Erst durch die erneuten Rettungsgrabungen am Kumtepe änderte sich diese Ansicht und die Funde vom Beşik-Sivritepe und Gülpınar wurden als jünger eingestuft. Ausschlaggebend hierfür waren die Arbeiten U. Gabriels, die darauf hinwies, dass charakteristische Elemente des Beşik-Sivritepe/Gülpınar-Horizontes in späten Schichten von Kumtepe IA anzutreffen sind.[233] Auch Schoop folgt der Ansicht mit den von Gabriel erwähnten fünf typischen Bestandteilen: „Kannelurdekor, feldförmige Politurmuster, Hornhenkel, gefensterte Hohlbasen und flüchtig eingerissene[r] Ritzdekor".[234] Bei der Betrachtung der Keramik aus den älteren und neueren Grabungen in Gülpınar finden sich eben diese typischen Beşik-Sivritepe-Vertreter. So sind bereits aus den älteren Feldforschungen von 1981 Scherben mit Politurmusterverzierung, Hornhenkel und Ritzdekor bekannt.[235] Aus den neueren von Takaoğlu durchgeführten Ausgrabungen stammen ebenso Scherben mit feldförmigem Politurmuster (teilweise innen und außen), Ritzdekor sowie Hornhenkeln und gefensterten Hohlbasen.[236] Darüber hinaus sind von beiden Fundorten *cheese pots*,[237] Fragmente von vermutlich spitzbodigen Bechern[238] aus Marmor und Mattenabdrücke[239] bekannt. *Cheese pots*[240] und ein

---

227 Korfmann – Kromer 1993, 145–146; vgl. Schoop 2005, 263, 432–433; Gabriel 2014, 1057, Tab. 12.

228 Schoop 2005, 263, 271, Abb. 6.10; Blum et al. 2014, 809, Abb. 34.

229 Özdemir 2012, 141; Özdemir 2013, 24, Abb. 2.13–14; Takaoğlu– Özdemir 2013, 15.

230 Seeher 1987b, 552–553. – Seeher ging zu dieser Zeit noch von einer älteren Zeitstellung dieser beiden Fundorte im Vergleich zu Kumtepe IA aus.

231 Seeher 1987b, 553.

232 Seeher 1987a, 63, Abb. 13; Seeher 1987b, 553; vgl. Schoop 2005, 254.

233 Gabriel 2000, 236.

234 Schoop 2005, 254. – Zur Keramik vgl. Seeher 1985; Korfmann 1989; Gabriel 2006, 238, Abb. 2; Gabriel 2014, 996–998, 1050–1054, Taf. 5–9.

235 Politurmusterverzierung: Seeher 1987b, 545, Abb. 6.1–2; Hornhenkel: Seeher 1987b, 545, Abb. 6.6–7; Ritzdekor: Seeher 1987b, 545, Abb. 6.4–5.

236 Politurmusterverzierung: Takaoğlu 2006a, 300, Abb. 10; Takaoğlu 2006b; Özdemir 2013, 15, Abb. 2.7; Hornhenkel: Takaoğlu 2006a, 296, Abb. 6; 298, Abb. 8.12; Özdemir 2013, 14, Abb. 2.6; gefensterte Hohlbasen: Takaoğlu 2006a, 299, Abb. 9.21; Ritzdekor: Takaoğlu 2006a, 296, Abb. 6.7; Özdemir 2013, 15, Abb. 2.8. – Zu detaillierten Vergleichen der Keramik von Gülpınar insbesondere mit den Funden von Beşik-Sivritepe, Kumtepe IA siehe Gabriel 2014, 1003–1007.

237 Gülpınar: Takaoğlu 2006a, 302, Abb. 11.32. – Beşik-Sivritepe: Seeher 1985, 178, Abb. 18.LL83·46/9; Gabriel 2014, Taf. 8.8, 10–11.

238 Gülpınar: Takaoğlu 2005, 37, 103, Taf. 30.218; Takaoğlu 2006a, 310, Abb. 14.42–43. – Beşik-Sivritepe: Takaoğlu 2005, 36, 63.

239 Gülpınar: Takaoğlu 2006a, 308, Abb. 13.37; Özdemir 2012; Özdemir 2013. – Beşik-Sivritepe: Gabriel 2006, 358, Abb. 2.10; Gabriel 2014, Taf. 9.1, 7.

240 Gabriel 2014, 996.

steinerner spitzbodiger Becher[241] sind auch vom Kumtepe IA zu nennen. Henkel mit Pilzkopfaufsätzen beschränken sich hingegen auf Gülpınar.[242] Aufgrund der Vergleiche können deutliche Gemeinsamkeiten zwischen den Funden vom Beşik-Sivritepe und Gülpınar festgehalten werden. Gegen eine zeitgleiche Datierung scheint demach von Seiten der Funde nichts zu sprechen, wie dies bereits früher von Takaoğlu angenommen wurde.[243] Da derzeit nicht bekannt ist, welches Probenmaterial (Holzkohle oder kurzlebige Proben?) der Radiokarbondatierung in dem Zeitraum 5200–4800 v. Chr. zugrunde liegt, bleibt eine Bewertung der Daten abzuwarten – eine Diskussion ist daher nur unter Vorbehalt möglich. Der Gedanke an einen möglicherweise älteren Siedlungsabschnitt, der im Zuge der Ausgrabungen erfasst wurde, kann jedoch ausgeschlossen werden, da die Befunde lediglich auf eine einzige Besiedlungsphase hinweisen.[244] Derzeit sollte von einer parallelen Einordnung der Funde mit dem Beşik-Sivritepe-Material ausgegangen werden, wobei jedoch unklar bleiben muss, welche zeitliche Tiefe momentan für die Funde angenommen werden kann. Charakteristische Formen, wie beispielsweise Hornhenkel, aber auch knopfförmige Applikationen auf den Henkeln, scheinen bereits in der 2. Hälfte des 6. Jts. v. Chr. aufzutauchen. Dies belegen Funde aus der Siedlung Uğurlu-Zeytinlik (Phase III) auf Imbros.[245] Ist der hohen Datierung des Materials von Gülpınar zu folgen, so würde dies auf ein Einsetzen der Politurmusterverzierung bereits im ausgehenden 6. Jt. v. Chr. in Westanatolien hindeuten. Somit ließen sich auch Funde dieser Dekorationsart aus Kontexten um 5000 v. Chr. in Türkisch-Thrakien erklären.

In Zusammenhang mit der zeitlichen Stellung der Funde vom Beşik-Sivritepe sind auch die Surveyfunde von Alacalıgöl in der Troas[246] von Bedeutung. Dort findet sich Keramik, die sich mit dem Beşik-Sivritepe/Gülpınar-Horizont verbinden lässt.[247] Zu erwähnen sind insbesondere Funde von *cheese pots*,[248] gefensterten Hohlbasen,[249] aber auch lang gezogene Henkel mit Knubben.[250] Zu den Henkeln finden sich gute Parallelen in Gülpınar.[251] Aus Beşik-Sivritepe könnte ein Henkelansatz zudem die Präsenz von solch lang gezogenen Handhaben andeuten.[252] Derartige Henkel sind darüber hinaus aus Emporio IX/VIII,[253] Tigani II/III?,[254] Çine-Tepecik IV,[255] Liman Tepe VIIb,[256] Milet I,[257] Yeşilova Höyüğü II[258] und dem Surveymaterial von Kulaksızlar[259] bekannt (s. u. V.1.4.). Ebenfalls interessant sind Fragmente von Schalen mit einem verbreiterten und mit mehreren Einstichreihen verzierten Rand, wie sie vereinzelt am Beşik-Sivritepe,[260] in Gülpınar,[261] am Hanay

---

241 Sperling 1976, Taf. 71.142; Takaoğlu 2005, 36, 63, Taf. 30.217.
242 Takaoğlu 2006a, 298, Abb. 8.10–12.
243 Takaoğlu 2006b, 361; Kiyak et al. 2010, 36. – Auch wenn im Fall der Lumineszenzdatierung die Ergebnisse mit allergrößter Vorsicht betrachtet werden müssen, so scheint der Schluss der Richtige zu sein.
244 Vgl. Kiyak et al. 2010, 36: „Archaeological excavations undertaken at the sanctuary since 2004 have also yielded evidence for a single period prehistoric settlement, roughly dating to the first half of the 5th millennium BC“.
245 Erdoğu 2014a, 175, Abb. 19.2; 178, Abb. 24.
246 Gabriel et al. 2004.
247 Gabriel et al. 2004, 124–130; Blum 2014, 132–136.
248 Gabriel et al. 2004, 127, Abb.8.1–2; Blum 2014, Taf. 6.6–7.
249 Gabriel et al. 2004, 129, Abb. 15; Blum et al. 2014, Taf. 6.8.
250 Blum 2014, 135, 150, Taf. 7.4.
251 Takaoğlu 2006a, 296, Abb. 6.1–2, 4; Gabriel 2014, 1001, Abb. 1.
252 Gabriel 2014, 1004, 1051, Taf. 6.8.
253 Hood 1981/1982, 279, Abb. 134.319.
254 Heidenreich 1935/1936, Taf. 47.6, 8; vgl. Felsch 1988, Taf. 37.4.355; 68.355; 80.47.6, 8.
255 Günel 2014b, 94, Taf. 1B.
256 Tuncel im Druck.
257 Freundliche Mitteilung O. Kouka (November 2015).
258 Caymaz 2013, 99, Taf. 10.14–15, 19.
259 Dinç 1996, 34, Abb. 6.161, 165–166; Takaoğlu 2002; Takaoğlu 2005, 19, Taf. 45.182–184; Akdeniz 2010.
260 Korfmann 1989, 478, Abb. 4; Schoop 2005, Taf. 157.23; Blum 2014, 131, Abb. 6.10; Blum et al. 2014, 791, 845, Taf. 5.17; Gabriel 2014, 1005.
261 Seeher 1987b, 541, Abb. 4.6; Takaoğlu 2006a, 302, Abb. 11.33; vgl. Blum et al. 2014, 857, Taf. 17.13; 18.26–27.

Tepe[262] (älteres Stratum B), am Yeşilova Höyüğü (Phase II)[263] sowie beim Surveyfundort Limantepe (Larisa),[264] gefunden wurden (s. u. V.1.5.). Speziell das Fragment aus Hanay Tepe erhärtet neben den Funden von Hornhenkeln[265] den bereits von A. Schachner geäußerten Verdacht, dass Teile des Keramikensembles aus dem Stratum B eventuell sogar älter als Kumtepe IB-zeitlich, d. h. mittelchalkolithisch, datieren könnten.[266] Aus Kumtepe IA sind bislang keine Schalen dieser Art bekannt. Dies könnte natürlich wiederum dem Umstand der geringen Fundzahl geschuldet sein, aber eventuell auch ein chronologisches Indiz darstellen. Aus Alacalıgöl[267] sind hingegen mehrere Bruchstücke dieser Schalen bekannt; vereinzelt besitzen diese zudem eine Lochreihe unter dem Rand. Neben diesen erwähnt St. W. E. Blum Schalen mit eingerolltem Rand (*rolled rim*)[268] sowie Schalen mit geraden oder leicht einziehenden Rändern,[269] die aus Alacalıgöl stammen. Diese Schalenformen mit eingerolltem Rand und Knickrand, deren Weiterentwicklungen aus dem späteren Kumtepe IB-Horizont bekannt sind, deuten, laut Blum, bereits Elemente des Spätchalkolithikums an, weshalb er diesen Fundort in die 2. Hälfte des 5. Jts. v. Chr. verortet. Jedoch muss auch hier beachtet werden, dass es sich um einen Surveyfundort handelt und somit Funde einer jüngeren Kumtepe IB-zeitlichen Stellung unter dem Material von Alacalıgöl prinzipiell nicht auszuschließen sind. Um Klarheit in diesem Punkt zu erlangen, wären Grabungen nötig. Folgt man dennoch der Ansicht Blums einer späten Zeitstellung, so könnte die erhöhte Anzahl an Schalen mit Einstichreihen eine zeitliche Überlappung zwischen dem Ende des Beşik-Sivritepe/Gülpınar-Horizontes und der Siedlung von Alacalıgöl andeuten. Der Beginn der Entwicklung in Richtung des spätchalkolithischen Formenspektrums könnte so eventuell bereits in der zweiten Hälfte des 5. Jts. v. Chr. fassbar sein. Dass sich diese Art von Schalen mit Einstichreihen in Westanatolien nicht nur auf das Gebiet der Troas beschränken, zeigen die Parallelen vom Yeşilova Höyüğü (Phase II) in Izmir. Radiokarbondaten datieren die Phase II in das letzte Viertel des 5. Jts. v. Chr. (s. u. IV.4.1.2.8.), wodurch der Ansatz Blums nicht abwegig erscheint.

III.4.1.1.2. Kumtepe IB, Hanay Tepe und Karaağaçtepe (Gelibolu-Halbinsel)

Das 4. Jt. v. Chr. ist bislang nur von den ausgegrabenen Fundorten Kumtepe IB, Hanay Tepe in der Troas und Karaağaçtepe auf der unmittelbar angrenzenden Gelibolu-Halbinsel bekannt (Abb. 5). Einen chronologischen Anker stellt, wie bereits für die mittelchalkolithische Zeit, der Fundort Kumtepe dar. Radiokarbondaten datieren die Siedlung Kumtepe IB etwa zwischen 3300–3000 v. Chr.[270] Auch für Kumtepe IB hat jedoch die vorgelegte Arbeit von Bertram und Karul zur Stratigraphie und absoluten Chronologie gezeigt, dass die Radiokarbondaten eine erhebliche Datierungsspanne zulassen und eine feinere chronologische Eingrenzung der einzelnen Schichten (IB1–4) ohne eine detaillierte Keramikauswertung nicht möglich ist.[271] Charakteristische Funde dieser Zeitstellung sind die bereits erwähnten Schalen mit nach innen gerolltem Rand bzw. gerundeter Verdickung (*rolled rim*) mit horizontalen Röhrenösen an den äußeren Schalenseiten, die in verschiedenen Ausprägungen in den Schichten der Phase Kumtepe IB gefunden wurden.[272]

---

262 Virchow 1883, Taf. 10.7a–b.
263 Caymaz 2013, 100, Taf. 11.33–35.
264 Blum 2014, 131, Abb. 6.11–12; Blum et al. 2014, 856, Taf. 16.1–2.
265 Lamb 1932, 115, Abb. 2.17; 118, Abb. 5.7; Schachner 1999a, 18, Abb. 8.7; 19, Abb. 11.7.
266 Schachner 1999a, 22; vgl. ebenso Blum 2014, 127–128, Abb. 3; Blum et al. 2014, 774, Anm. 17.
267 Gabriel et al. 2004, 125, Abb. 6.3–4; 126, Abb. 7.1–6; Blum 2014, 135, Abb. 10; 136, 153–154, Taf. 10–11; Blum et al. 2014, 791, 846, Taf. 6.9–13, 16, 18; Gabriel 2014, 1001–1002, Abb. 2a–c.
268 Blum 2014, 136, 155, Taf. 12.7.
269 Blum 2014, 136, Abb. 11; 155, Taf. 12.1–6; Blum et al. 2014, 792.
270 Korfmann et al. 1995, 260–261. – Zu den ^{14}C-Daten vgl. Gabriel 2000, 235, Tab. 1; Gabriel 2001b, 85, Tab. 1; Kromer et al. 2003, 45–46; Schoop 2005, 262–263, 432–433; Bertram – Karul 2014, 1060, Tab. 1.
271 Bertram – Karul 2014, 1072, 1074.
272 Koşay – Sperling 1936, 41; Sperling 1976, 327, 330, 332, 338, 343, 358; Korfmann et al. 1995, 240, 252–253; Schoop 2005, 245, Taf. 156.33–37; 269.

Weiterhin sind Knick- und Kehlrandschalen im Fundmaterial anzumerken.[273] Rechteckige[274] und konische[275] Füße sind ebenfalls aus dieser Phase Kumtepe IB bekannt. Konische Füße finden sich aber auch schon in Schichten von Kumtepe IA.[276] Das Fehlen von *cheese pots* scheint wohl dem Forschungsstand geschuldet zu sein. Als Dekor ist an einer Scherbe der Phase Kumtepe IB lineare Weißbemalung zu nennen, die sich aber auch schon an zwei Fragmenten in der Siedlung Kumtepe IA findet.[277] Ausgegrabene Fundplätze, die anhand ihrer Keramik als zeitgleich angesehen werden, sind der Hanay Tepe in der Troas sowie der Karaağaçtepe auf der unweit entfernten Gelibolu-Halbinsel. Eine Kumtepe IB-zeitliche Einordnung des letzteren Fundplatzes wird aufgrund von *rolled rim bowls* angenommen, die bei Surveys am Karaağaçtepe entdeckt wurden.[278] Die Funde des Hanay Tepe lassen sich teilweise ebenfalls aufgrund der Funde vom Kumtepe in die spätchalkolithische Zeit einordnen, wie dies von A. Schachner vorgeschlagen wurde.[279] Ihm folgend kann das Stratum B in einen älteren und jüngeren Abschnitt eingeteilt werden. Zu dem älteren Abschnitt zählen wiederum die *rolled rim bowls*[280] sowie Knickrandschalen,[281] die mit denen aus Kumtepe IB vergleichbar sind.[282] Zudem stammt von diesem Fundort auch ein Fragment eines Mattenabdrucks.[283] Lediglich wenige Funde, wie das bereits erwähnte Schalenfragment mit Einstichreihen auf dem Rand, die Präsenz von Hornhenkeln[284] und Henkeln mit Pilzkopfaufsätzen,[285] machen eine frühere, mittelchalkolithische Zeitstellung denkbar.[286]

Interessant ist die Tatsache, dass Kumtepe IB-zeitliche Siedlungen in der Troas aufgrund der Funde einen bruchlosen Übergang zu den Troia I-zeitlichen Funden erkennen lassen, weshalb von einer Kontinuität zur beginnenden Frühbronzezeit 1 auszugehen ist. Dies belegen neben den Funden vom Kumtepe (IB–C), Hanay Tepe (älteres/jüngeres Stratum B) und Karaağaçtepe (I–II) die jüngst vorgestellten Survey-Fundorte vom Yeşiltepe[287] und Bozköy-Hanaytepe[288] im Hinterland der Troas.

III.4.1.2. Zentralwestanatolische Küstenregion

Aus dem zentralwestanatolischem Küstengebiet sind bislang mehrere Fundorte mittel- und spätchalkolithischer Zeitstellung bekannt (Abb. 6). Die chronologische Stellung dieser, vor allem in den letzten Jahren ergrabenen Orte, soll im Folgenden besprochen werden. Von einer Besprechung des Çukuriçi Höyük wird an dieser Stelle abgesehen. Dies soll detailliert im Rahmen der Vorstellung der Stratigraphie, der Radiokarbondaten und der Keramik durchgeführt werden (s. u. IV.).

---

273 Koşay – Sperling 1936, 41; Sperling 1976, 328, Abb. 13.409; 334, Abb. 14.518, 521; 340, Abb. 19.613–617; vgl. Schoop 2005, 245, Taf. 156.39–44.
274 Sperling 1976, 336, Abb. 18.558; Taf. 76.558; Korfmann et al. 1995, 281, Abb. 36.7.
275 Sperling 1976, 328, Abb. 13.411; Korfmann et al. 1995, 276, Abb. 33.18.
276 Sperling 1976, 317, Abb. 7.116; 319, Abb. 9.218; Taf. 73.218.
277 Kumtepe IB: Sperling 1976, 338. – Kumtepe IA: Sperling 1976, 324, Taf. 73.222a.
278 French 1964, 135–136, Abb. 9.7–8; Özdoğan 1986a, 54, Taf. 2.11; Seeher 1987b, 548–549.
279 Schachner 1999a, 22.
280 Lamb 1932, 115, Abb. 2.1; Schachner 1999a, 15, Abb. 5.1; vermutlich identisch mit dem Fragment bei Virchow (Virchow 1883, 140–141, Taf. 9.15; vgl. Schachner 1999a, 40, Abb. 28.10).
281 Schachner 1999a, 13, Abb. 3; 14, Abb. 4.
282 Schachner 1999a, 22.
283 Lamb 1932, 118, Abb. 5.3; Schachner 1999a, 19, Abb. 11.3.
284 Lamb 1932, 115, Abb. 2.17; 118, Abb. 5.7; vgl. Schachner 1999a, 18, Abb. 8.7; 19, Abb. 11.7.
285 Virchow 1883, Taf. 9.7; Lamb 1932, 115, Abb. 2.15–16; vgl. Schachner 1999a, 18, Abb. 1–4; 40, Abb. 29.7; Blum et al. 2014, Taf. 1.8.
286 Schachner 1999a, 22.
287 Bieg et al. 2009, 212.
288 Aslan et al. 2011; Blum et al. 2011, 138; Aslan – Polat 2012.

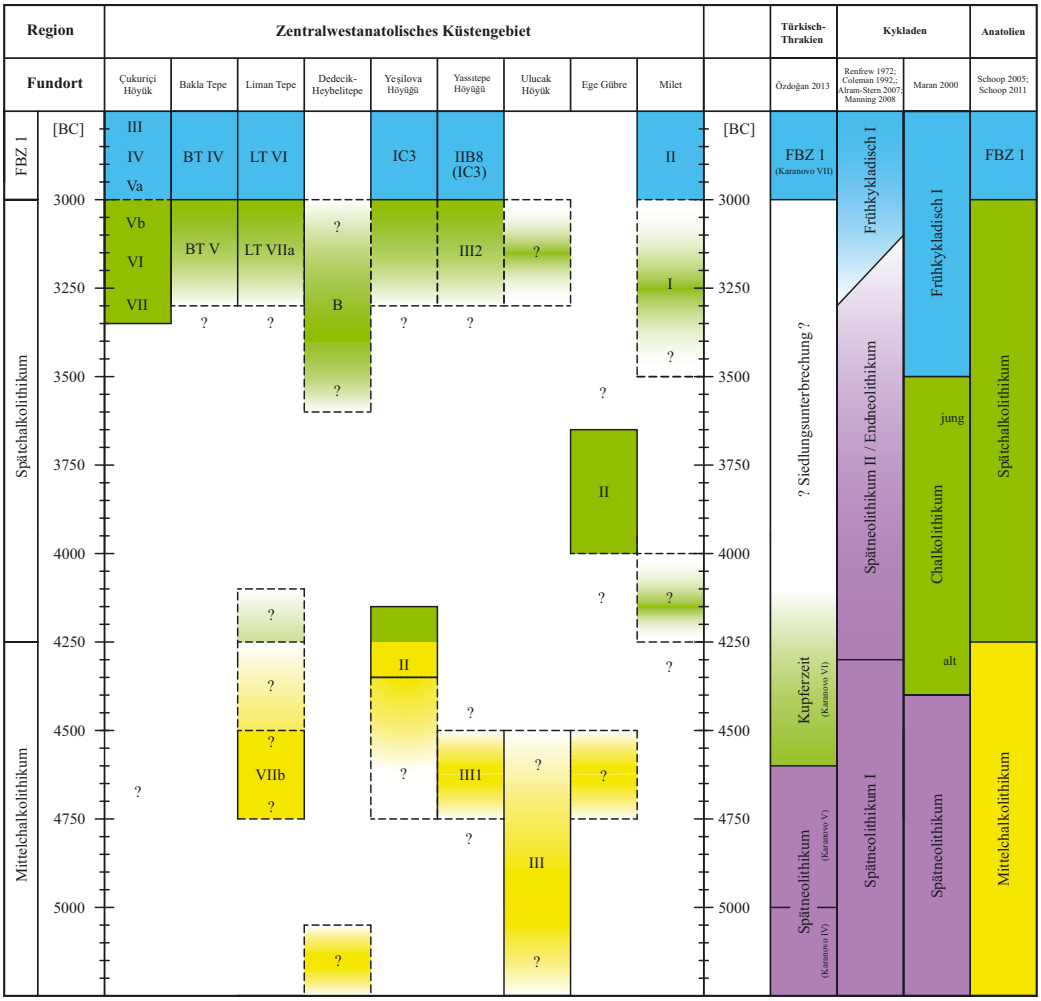


Abb. 6 Vorgeschlagene Chronologie für die zentralwestanatolische Küstenregion. (Graphik: Ch. Schwall/ERC Prehistoric Anatolia)

III.4.1.2.1. Bakla Tepe

Die Siedlungen am Bakla Tepe wurden im Rahmen von Rettungsgrabungen durch H. Erkanal untersucht.[289] Der Phase BT V können vier Architekturhorizonte (SC 4–1) zugewiesen werden.[290] Anhand von Radiokarbondaten können die Horizonte SC 4–2 in die zweite Hälfte des 4. Jts. v. Chr. eingeordnet werden.[291]

Die Keramik der Siedlung ist bisher nur ausschnittsweise publiziert.[292] Jedoch wird eine Präsenz von *rolled rims bowls* in allen Horizonten erwähnt.[293] Neben diesen finden sich einfache

[289] Erkanal – Özkan 1999a.
[290] Erkanal – Özkan 1999a, 132–133; Erkanal – Şahoğlu 2012a, 92–93; Şahoğlu – Tuncel 2014, 68–71.
[291] Şahoğlu – Tuncel 2014, 76–77, Tab. 1; Abb. 15.
[292] Erkanal – Özkan 1999a, 135; Erkanal – Şahoğlu 2012a, 92–93; Caymaz 2013, 61–63, 104–107, Taf. 15–18; Şahoğlu – Tuncel 2014, 73–75; Tuncel im Druck.
[293] Erkanal – Özkan 1999a, 135; Erkanal – Şahoğlu 2012a, 93; Caymaz 2013, 106, Taf. 17.2; Şahoğlu – Tuncel 2014, 73–74; Tuncel im Druck.

kalottenförmige, konische Schalen, Kehlrandschalen als auch Knickrandschalen im Inventar.[294] Zu den offenen Gefäßen zählen weiterhin *cheese pots*, die ab dem Horizont SC 4 gängig sind und Mattenabdrücke auf den Böden tragen können.[295] Bei den geschlossenen Gefäßen sind Krüge[296] mit gerader oder leicht kegelförmiger Halspartie sowie sanft ausgebildete Schnabelkannen[297] zu nennen. Im Hinblick auf die Dekoration können die Schalen einfache Knubben als Applikation auf dem Gefäßrand oder unterhalb des Randes auf der Außenseite tragen.[298] Weiterhin können Schalen und Kannen mit weißer Bemalung verziert sein, die insbesondere in den Horizonten SC 3–2 gängig ist.[299] Bei den einfachen Schalen oder Exemplaren mit *rolled rim* handelt es sich dabei um hängende Dreiecke, die mit Linien gefüllt sind.[300] Die Kannen tragen Linien oder Linienbündel und können zudem mit schraffierten Dreiecken, wie von den Schalen bekannt, dekoriert sein.[301] Außerdem finden sich ausgezipfelte,[302] trapezförmige[303] und konische[304] Füße in Bakla Tepe. Als Vergleich wird von V. Şahoğlu und R. Tuncel insbesondere das Material von Kumtepe IB und Beycesultan angeführt.[305] Aufgrund der Dekoration der *rolled rims* mit Weißbemalung, wie sie von der Syntax und Art her typisch für die Funde aus Beycesultan ist, und dem Fehlen von *rolled rims* in Beycesultan gehen sie von einer Verbindung zweier Keramiktraditionen, die des Nordwestens und die des Südwestens, aus.[306] Eine zeitliche Stellung in der 2. Hälfte des 4. Jts. v. Chr. unterstützt jedenfalls die bislang publizierte Keramik.

III.4.1.2.2. Dedecik-Heybelitepe

Während der Ausgrabungen am Dedecik-Heybelitepe wurden Funde aus der Schicht B entdeckt, die nach den Ausgräbern in das ausgehende 5. und die Mitte des 4. Jts. v. Chr. datiert werden.[307] Bei diesen handelt es sich neben zwei Gefäßen aus Bestattungen zumeist um Gefäßfragmente. Ein rundbodiger, zweihenkliger Krug[308] und ein kleines rundbodiges Gefäß (Tasse/Becher?) mit Vertikalhenkel[309] sind aus den Gräbern bekannt. Für den vollständig erhaltenen Krug wird ein Vergleich aus Ilıpınar IV[310] herangezogen, welcher jedoch in der Bauchzone etwas gedrungener ist und einen abgeflachten Boden besitzt. Eine Schale mit *rolled rim*[311] wird von den Ausgräbern erwähnt, jedoch wird dieser keine große zeitliche Relevanz aufgrund des singulären Charakters

---

294 Erkanal – Özkan 1999a, 135; Caymaz 2013, 104–107, Taf. 15–18; Şahoğlu – Tuncel 2014, 74; Tuncel im Druck.
295 Erkanal – Özkan 1999a, 135; Caymaz 2013, 104–107, Taf. 15–18; Şahoğlu – Tuncel 2014, 75; Tuncel im Druck.
296 Caymaz 2013, 104–107, Taf. 15–18; Şahoğlu – Tuncel 2014, 75; Tuncel im Druck.
297 Caymaz 2013, 107, Taf. 18.32; Şahoğlu – Tuncel 2014, 75; Tuncel im Druck.
298 Caymaz 2013, 107, Taf. 18.5; Tuncel im Druck.
299 Erkanal – Özkan 1999a, 135; Erkanal – Şahoğlu 2012a, 93; Caymaz 2013, 61–63, 104–107, Taf. 15–18; Şahoğlu – Tuncel 2014, 74; Tuncel im Druck.
300 Caymaz 2013, 104–107, Taf. 15–18; Şahoğlu – Tuncel 2014, 74; Tuncel im Druck.
301 Caymaz 2013, 104, Taf. 15.25–26; Şahoğlu – Tuncel 2014, 74; Tuncel im Druck. – Dieser Dekor lässt sich auch auf der frühbronzezeitlichen Keramik vom Bakla Tepe wiederfinden (vgl. Böyükulusoy 2006).
302 Caymaz 2013, 106, Taf. 17.21; 107, Taf. 18.20.
303 Caymaz 2013, 107, Taf. 18.19.
304 Caymaz 2013, 106, Taf. 17.22.
305 Şahoğlu – Tuncel 2014, 73. – Von einer Gleichsetzung mit Tigani IV, wie von Tuncel vorgeschlagen (Tuncel im Druck), sollte aufgrund der hier gezeigten Vorzeitigkeit (s. u. III.4.2.2.6.; vgl. auch Schoop 2005, 268–269, 272, Abb. 6.11) Abstand genommen werden.
306 Şahoğlu – Tuncel 2014, 73–74.
307 Herling et al. 2008, 26.
308 Herling et al. 2008, 25, Abb. 7.2.
309 Herling et al. 2008, 25, Abb. 6.3. – In der Publikation wird das Gefäß als „[…] Tasse mit überrandständigem Henkel […]“ (Herling et al. 2008, 24) beschrieben. Aufgrund der Erhaltung ist jedoch sowohl die Identifizierung als Tasse als auch der Henkelansatz keineswegs gesichert. Es könnte sich hierbei durchaus auch um eine Kanne handeln.
310 Thissen 1989/1990, 139, Abb. 18.1.
311 Herling et al. 2008, 25, Abb. 6.1.

zugemessen.[312] Weiterhin finden sich *cheese pots*[313] und Füße trapezförmiger[314] oder ausgezipfelter[315] Form, die wahrscheinlich zu Dreifußkochtöpfen gehören. Gerade für diese Form wird ein Vergleich aus Aphrodisias-Pekmez SC 4 angeführt.[316] Neben den Funden aus SC 4[317] findet sich diese Fußform jedoch schon in SC 2.[318] Zudem sind Funde dieser Art ebenfalls aus Tigani IV, Emporio VII/VI, Bakla Tepe und Milet bekannt (s. u. V.3.4.). Abgesehen von den Funden aus Tigani IV datieren die übrigen Vergleiche in die zweite Hälfte des 4. Jts. v. Chr. Eine solche Einordnung würde auch mit der Präsenz eines *rolled rim* einhergehen und könnte für eine etwas spätere chronologische Position sprechen. Folgt man diesen Argumenten, aber auch dem Vergleich aus Ilıpınar IV, so scheint eine Platzierung eines Teils des Materials von Dedecik-Heybelitepe (Schicht B) um die Mitte und in die 2. Hälfte des 4. Jts. v. Chr. denkbar. Dass sich dennoch ältere Elemente unter der Keramik dieser Schicht befinden, zeigt eine mondförmige Leistenapplikation,[319] die sich mit Funden aus Emporio IX[320] vergleichen lässt.

III.4.1.2.3. Ege Gübre

Im Rahmen der prähistorischen Ausgrabungen von Ege Gübre wurden vorwiegend neolithische Schichten erfasst, nur wenige Strukturen und Gräber können der spätchalkolithischen Zeit (Ege Gübre II) zugewiesen werden.[321] Zwei Radiokarbondaten datieren diese Siedlungsphase in die erste Hälfte des 4. Jts. v. Chr.[322]

Gerade aufgrund des Fehlens von Siedlungen, welche in die erste Hälfte des 4. Jts. v. Chr. datieren, ist das keramische Inventar von Ege Gübre von besonderem Interesse für das westanatolische Küstengebiet.[323] Soweit aus den Abbildungen der bei H. Sağlamtimur und A. Ozan (2012) publizierten Funde erkennbar ist, handelt es sich um ein Halsgefäß, welches eine Ritzverzierung in Form eines hängenden Dreiecks trägt, das mit einer Schraffur gefüllt ist.[324] Darüber hinaus trägt ein flachbodiger Becher[325] ein eingeritztes Netz, bei dem die einzelnen Quadrate wiederum diagonal unterteilt sind. Der untere Teil der jeweiligen Quadranten ist zusätzlich mit Einstichen verziert. Ein solcher Dekor mit Einstichen ist auch von weiteren Fragmenten bekannt, die von Caymaz veröffentlicht wurden.[326] Für diese Art des Dekors, bestehend aus mit Ritzungen gefüllten Dreiecken[327] sowie Einstichverzierungen,[328] sind gute Vergleiche aus Tigani III bekannt. Ein Gefäß aus Tigani trägt sogar beide Verzierungsmöglichkeiten.[329] Weiterhin finden sich Kanneluren oder Einritzungen auf dem Rand sowie eine feldförmige Schraffur im Inneren eines Gefäßes.[330] Ein möglicher Vergleich hierfür kann aus der Karain-Höhle II/III herangezogen werden. Von dort sind zum einen eine Schale mit Einkerbungen auf dem Rand,[331] zum anderen ein zonaler

312 Herling et al. 2008, 25.
313 Herling et al. 2008, 24.
314 Herling et al. 2008, 23, Abb. 5.7–8.
315 Herling et al. 2008, 23, Abb. 5.6.
316 Sharp Joukowsky 1986, 559, Abb. 402.30.
317 Sharp Joukowsky 1986, 559, Abb. 402.30–31, 35.
318 Sharp Joukowsky 1986, 547, Abb. 393.33, 37, 46.
319 Herling et al. 2008, 12, Abb. 5.4.
320 Hood 1981/1982, 251, Abb. 121.78; 254, Abb. 122.128; vgl. Schoop 2005, Taf. 144.17, 23.
321 Sağlamtimur – Ozan 2012, 227–229.
322 Sağlamtimur – Ozan 2012, 240.
323 Sağlamtimur – Ozan 2012, 229, Abb. 6b; Caymaz 2013, 44–45, 97–98, Taf. 8–9.
324 Sağlamtimur – Ozan 2012, 229, Abb. 6b (oben links).
325 Sağlamtimur – Ozan 2012, 229, Abb. 6b (unten rechts).
326 Caymaz 2013, 97, Taf. 8.29; 98, Taf. 9.36–39.
327 Felsch 1988, Taf. 59.209; 61.248; 66.319; vgl. Schoop 2005, Taf. 150.16; 152.6; 154.2.
328 Felsch 1988, Taf. 61.248, 251; 66.310–311; vgl. Schoop 2005, Taf. 152.3, 6; 154.3–4.
329 Felsch 1988, Taf. 61.248; vgl. Schoop 2005, Taf. 152.6.
330 Sağlamtimur – Ozan 2012, 229, Abb. 6b (unten links); Caymaz 2013, 97, Taf. 8.5–7.
331 Seeher 1988, 229, Abb. 4.5; vgl. Schoop 2005, 162, Taf. 91.5.

Dekor mit Einstichen[332] bekannt. Folgt man diesen Vergleichen, so würde dies für eine Tigani III-zeitliche Einordnung in das 2. Viertel des 5. Jts. v. Chr. sprechen.[333] Unterstützt wird diese Datierung anhand von Politurmusterverzierungen,[334] Hornhenkeln und Henkeln mit knopf- und pilzförmigen Aufsätzen.[335] Jedoch steht diese Einordnung im Gegensatz zu den publizierten Radiokarbondaten. Zwar sind unter der spätchalkolithischen Keramik von Demircihüyük[336] zonale Ritzverzierungen bekannt, jedoch sehen diese anders aus. Fragmente von *cheese pots* unter den Funden lassen zumindest beide Datierungsoptionen offen.[337] Für eine jüngere Datierung in das 4. Jt. v. Chr. sprechen zwei Schalen mit nach innen verdicktem, aber abgesetztem Rand.[338] Es handelt sich hierbei nicht um klassische *rolled rims*, jedoch deuten diese Ränder zumindest eine chronologische Stellung im 4. Jt. v. Chr. an.

Aufgrund der Funde der Phase II von Ege Gübre muss eine abschließende chronologische Bewertung offen bleiben. Zwar weisen die ^{14}C-Daten in die erste Hälfte des 4. Jts. v. Chr., Vergleiche können jedoch aus dem 5. Jt. v. Chr. herangezogen werden. Ob dies der schlechten Erhaltung der Siedlungsreste von Ege Gübre II geschuldet ist und somit eventuell eine jüngere und ältere Besiedlung andeutet, kann hier nicht beantwortet werden. Dass es sich um Funde der ersten Hälfte des 4. Jts. v. Chr. handelt, die aufgrund bislang fehlender Vergleichsfunde aus dieser Zeit im zentralen ägäischen Küstengebiet nicht fassbar sind, ist eher unwahrscheinlich. Es ist schwer vorstellbar, dass deutlich ältere Dekorarten des 5. Jts. v. Chr., wie dies die Vergleiche aus Tigani III und der Karain-Höhle II/III andeuten, nur in Ege Grube bis in das beginnende 4. Jt. v. Chr. retardieren. Nichtsdestotrotz sprechen die beiden Schalenfragmente für eine Datierung eines Teils des Inventars in das 4. Jt. v. Chr. Von einer Datierung der Keramik von Ege Gübre II um die Mitte des 6. Jts. v. Chr., wie von T. Çaymaz vorgeschlagen, ist jedoch ebenso wie von der chronologischen Einordnung der Ulucak III-Funde (s. u. III.4.1.2.6.) Abstand zu nehmen.[339] Zwar sind Hornhenkel sowie knopf- bis pilzförmige Applikationen auf den Henkeln bereits von Fundorten des späten 6. Jts. v. Chr. bekannt, doch sprechen neben den hier angeführten Vergleichen auch die Radiokarbondaten für eine jüngere und deutlich differenziertere Zeitstellung.

III.4.1.2.4. Liman Tepe

Unterhalb der frühbronzezeitlichen Siedlungen konnten in Liman Tepe chalkolithische Siedlungshorizonte erfasst werden, die den Ausgräbern nach in das frühe/mittlere (Liman Tepe VIIb) sowie späte Chalkolithikum (Liman Tepe VIIa) eingeordnet werden.[340] Die von Kouka[341] unterschiedenen vier Architekturphasen (LMT VII.4–1) können den beiden Horizonten mit jeweils zwei Phasen zugewiesen werden (VIIb = LMT VII.4–3; VIIa = LMT VII.2–1).

Ebenso wie für die Funde vom Bakla Tepe bleibt auch eine Vorlage der Funde von diesem Ort abzuwarten. Für Liman Tepe VIIb sind insbesondere Hornhenkel,[342] Politurmusterverzierung[343] sowie Ritzverzierung[344] charakteristisch. Bereits ab dieser Phase finden sich auch *cheese pots* im

---

[332] Seeher 1988, 230, Abb. 5.12; 232, Abb. 7.15–17; vgl. Schoop 2005, 162, Taf. 91.20.
[333] Vgl. Schoop 2005, 271, Abb. 6.10.
[334] Sağlamtimur – Ozan 2012, 229, Abb. 6b (unten rechts); Çayır-Böyükulusoy 2014, 83.
[335] Caymaz 2013, 97, Taf. 8.20, 24; 98, Taf. 9.8, 19, 21–25.
[336] Seeher 1987a, Taf. 26.15–19; vgl. Schoop 2005, Taf. 166.16–18.
[337] Caymaz 2013, 97, Taf. 8.32–33.
[338] Caymaz 2013, 97, Taf. 8.4–5.
[339] Caymaz 2013, 89, Tab. 1.
[340] Erkanal – Şahoğlu 2012b, 221.
[341] Kouka 2009, 143.
[342] Tuncel im Druck.
[343] Kouka 2009, 143, 145, Abb. 4; Çayır-Böyükulusoy 2014, 96, Abb. 1a–b; 97, Abb. 2a; Tuncel im Druck.
[344] Tuncel im Druck.

Inventar.[345] Neben der Keramik ist auch von diesem Fundort ein Fragment eines spitzbodigen Bechers aus Marmor zu erwähnen.[346]

Tuncel ordnet die Keramik dieses Zeitabschnittes Tigani I–III, Emporio X–VIII sowie Kumtepe IA zu.[347] Einer zeitlichen Stellung im 5. Jt. v. Chr. kann aufgrund der Funde gefolgt werden. Speziell die Politurmusterverzierung und die Ritzverzierung lassen in ihrer Ausführung jedoch nähere Vergleiche zu. Die mit Einstichen versehenen Zonen, vermutlich Dreiecke,[348] finden gute Parallelen in Tigani III[349] und sind zudem von der Verzierungsart prinzipiell von mehreren Fundorten wie beispielsweise Çine-Tepecik Höyüğü IV,[350] der Agio Varvara-Höhle[351] auf Kalymnos, der Agio Gala-Höhle[352] (Obere Höhle, Upper Levels) auf Chios, der Karain-Höhle (II/III),[353] Ege Gübre II,[354] der Malkayası-Höhle[355] sowie der Tavabaşı-Höhle[356] bekannt (s. u. V.1.6.). Ebenso fallen die ritzverzierten Stabhenkel mit aufgesetzter Knubbe[357] auf, die sich mit oder ohne Ritzung auch in Gülpınar,[358] Beşik-Sivritepe(?),[359] Çine-Tepecik Höyüğü IV,[360] Emporio IX/VIII,[361] Milet I,[362] Tigani II/III?,[363] Yeşilova Höyüğü II[364] und im Surveymaterial von Kulaksızlar[365] sowie Alacalıgöl[366] finden (s. u. V.1.4.). Im Hinblick auf die Politurmusterverzierung unterscheidet sich diese von den Vergleichen in der Troas aufgrund ihrer ungeordnet wirkenden Ausführung und lässt sich eher mit dem Dekor aus Tigani III[367] und IV,[368] Çine-Tepecik Höyüğü IV,[369] der Malkayası-Höhle[370] als auch dem Fund aus der Vathy-Höhle[371] (Kalymnos) vergleichen. Berücksichtig man diese Vergleiche, so zeigen sich besonders anhand der Einstichverzierung und der Politurmusterverzierung Parallelen, die für eine Einordnung in die Zeit von Tigani III und IV sprechen und somit den Zeitraum, eventuell mit einem Hiatus, vom 2. Viertel bis ins 4. Viertel des 5. Jts. v. Chr. abdecken. Eine frühchalkolithische Zeitstellung kann anhand des publizierten Materials nicht festgestellt werden.

Das spätchalkolithische Material (LMT VIIa) wird von Tuncel mit Kumtepe IB, Emporio VII–VI und Tigani IV parallelisiert. Tigani soll auch hier aufgrund der Vorzeitigkeit (s. u. III.4.2.2.6.) nicht mit einbezogen werden. Auch in Liman Tepe finden sich die für die Zeit von Kumtepe IB charakteristischen *rolled rim bowls*.[372] Neben diesen zählen zu den Schalen weiterhin einfache

345 Kouka 2009, 143, 145, Abb. 5 (unten); Caymaz 2013, 103, Taf. 14.26–30; Tuncel im Druck.
346 Kouka 2009, 143, 145, Abb. 5 (Mitte).
347 Tuncel im Druck.
348 Caymaz 2013, 103, Taf. 14.46; Tuncel im Druck.
349 Felsch 1988, Taf. 66.310–311.
350 Günel 2014b, 94, Taf. 1A.
351 Maiuri 1928, 108, Abb. 88.
352 Hood 1981/82, 60, Abb. 42.286.
353 Seeher 1988, 230, Abb. 5.12; 232, Abb. 7.15–17; vgl. Schoop 2005, 267, Taf. 91.20.
354 Caymaz 2013, 97, Taf. 8.29; 98, Taf. 9.36–39.
355 Peschlow-Bindokat – Gerber 2012, 110, Abb. 45.
356 Korkut et al. 2014, 118, Abb. 12.
357 Caymaz 2013, 103, Taf. 14.9–12; Tuncel im Druck.
358 Takaoğlu 2006a, 296, Abb. 6.1–2, 4; Gabriel 2014, 1001, Abb. 1.
359 Gabriel 2014, 1004, 1051, Taf. 6.8.
360 Günel 2014b, 94, Taf. 1B.
361 Hood 1981/1982, 279, Abb. 134.319.
362 Freundliche Mitteilung O. Kouka (November 2015).
363 Heidenreich 1935/1936, Taf. 47.6, 8; vgl. Felsch 1988, Taf. 37.4.355; 68.355; 80.47.6, 8.
364 Caymaz 2013, 99, Taf. 10.14–15, 19.
365 Dinç 1996, 34, Abb. 6.161, 165–166; Takaoğlu 2005, 19, Taf. 45.182–184.
366 Blum 2014, 135, 150, Taf. 7.4.
367 Felsch 1988, Taf. 62.255; vgl. Schoop 2005, Taf. 151.1.
368 Felsch 1988, Taf. 68.367; 71.436–437; vgl. Schoop 2005, Taf. 154.13, 16–17.
369 Günel 2007, 243, Abb. 1; Günel 2008c, 137, Abb. 12a; Günel 2013, 19; Günel 2014b, 95, Taf. 2; 96 Taf. 5A.
370 Gerber 2006, 86, Abb. 82a–b; Peschlow-Bindokat – Gerber 2012, 109, Abb. 44.
371 Benzi 2008, 92, 105, Abb. 20.
372 Tuncel im Druck.

kalottenförmige oder weitmundige Typen.[373] Alle diese Formen können lineare Weißbemalung tragen, wie dies in Bakla Tepe[374] der Fall ist. Bei der Verzierung handelt es sich um Linienbündel, die v-förmige Muster im Schaleninneren oder auf der Außenseite bilden.[375] Zudem findet sich weiße Bemalung auch auf der Außenseite einer Knickrandschale[376] sowie im Inneren des Standfußes[377] einer Schale. Auf Kannen ist ein derartiger Dekor in Form von parallelen Linienbündeln bekannt, die zum einen den Hals vom unteren Gefäßteil trennen und sich kreuzend auf dem Gefäßbauch befinden.[378] Gerade diese Art der Weißbemalung ist von geschlossenen Gefäßen aus Beycesultan ab SC 1 bekannt und nimmt bis in SC 4 stetig ab.[379] Der Dekor der Schalen unterscheidet sich hingegen; so findet sich doch in Beycesultan SC 1–2 vorwiegend eine sich kreuzende Motivik im Gegensatz zu den v-förmigen Mustern. Lediglich zwei Exemplare aus Beycesultan SC 2[380] und SC 3[381] zeigen eine vergleichbare Motivik. Neben den Vergleichen in der Weißbemalung bieten Knubbenapplikationen im Schaleninneren sowie auf Bandhenkeln die Möglichkeit für Vergleiche.[382] Eine solche plastische Verzierung mit unmittelbar aneinander gesetzten Knubben ist aus der Elmalı-Ebene bekannt und findet sich in Karaburun[383] und Boztepe.[384] Eine weitmundige Schale besitzt zudem Fischschwanz-förmige, überrandständige Grifflappen.[385] Ebenso wie im nahe gelegenen Bakla Tepe deuten die Funde, wie gezeigt, eine Zeitstellung in der zweiten Hälfte des 4. Jts. v. Chr. an. Interessanterweise scheinen sich auch in Liman Tepe VIIa sowohl Keramiktraditionen aus dem Südwesten als auch aus dem Nordwesten vermischt zu haben.

III.4.1.2.5. Milet

Die prähistorischen Funde aus Milet wurden während der Ausgrabungen im antiken Stadtgebiet (Insula westlich des Buleuterions, unterhalb des Heroon III) entdeckt.[386] Ging Parzinger[387] noch von einem Synchronismus des Materials von Milet I mit Emporio IX/VIII sowie Agio Gala (Obere Höhle) aus, so muss dies aufgrund der neuen Datengrundlage als veraltet betrachtet werden. Parzinger zieht insbesondere die *cheese pots*[388] als Merkmal heran, die jedoch aufgrund ihrer langen Laufzeit nicht ohne weitere Belege als chronologischer Marker verwendet werden dürfen, wie wir heute wissen. Weiterhin erwähnt er Füße, die er mit Beispielen aus Emporio IX und VIII vergleicht.[389] Bei genauerer Betrachtung fällt auf, dass die Funde aus Milet rechteckig bis trapezförmig sind und sich eher mit dem Vergleich aus Emporio VII[390] als IX verbinden lassen. Weitere Funde dieser Form sind ebenso aus Aphrodisias-Pekmez SC 2 und 4,[391] Bakla Tepe V[392] sowie Dedecik-Heybelitepe (Schicht B)[393] bekannt und sprechen für eine spätchalkolithische Verortung

---

373 Caymaz 2013, 103, Taf. 14; Erkanal et al. 2016, 331, 339, Abb. 7; Tuncel im Druck.
374 Şahoğlu – Tuncel 2014, 74; Tuncel im Druck.
375 Caymaz 2013, 103, Taf. 14.5–6, 13–18; Erkanal et al. 2016, 331, 339, Abb. 7; Tuncel im Druck.
376 Tuncel im Druck.
377 Tuncel im Druck.
378 Kouka 2009, 143, 145, Abb. 6 (oben und unten); Tuncel im Druck.
379 Schoop 2005, 151; Tuncel im Druck.
380 Lloyd – Mellaart 1962, 86, Abb. P.7.3.
381 Lloyd – Mellaart 1962, 88, Abb. P.8.14.
382 Caymaz 2013, 103, Taf. 14.21, 40–41; Tuncel im Druck.
383 Eslick 1992, Taf. 70.1; vgl. Tuncel im Druck.
384 Eslick 1992, Taf. 68.20.
385 Erkanal et al. 2016, 331, 339, Abb. 7.
386 Voigtländer 1982, 31–41; Parzinger 1989; Kouka 2014b, 53–56.
387 Parzinger 1989, 428–429.
388 Voigtländer 1982, 37, Abb. 2.8–9; Taf. 15.5–6; Parzinger 1989, 422, Abb. 3,1; 426.
389 Parzinger 1989, 421, 426, Abb. 3.5, 7, 9.
390 Hood 1981/1982, 327, Abb. 153.652.
391 Sharp Joukowsky 1986, 547, 559, Abb. 393.33, 37, 46; 402.30–31, 35.
392 Caymaz 2013, 106, Taf. 17.21; 107, Taf. 18.19–20.
393 Herling et al. 2008, 23, Abb. 5.7–8.

(s. u. V.3.4.). Neben den Füßen hat W. Voigtländer ein Exemplar einer konischen Schale mit Flachboden und unterrandständigem Vertikalhenkel[394] publiziert, für das sich ein guter Vergleich unter den Funden von Upper Bağbaşı[395] findet. Konische Gefäßformen treten zudem erst ab Beycesultan SC 3–4[396] auf und deuten somit eine Einordung, zumindest eines Teils, der Funde in die 2. Hälfte des 4. Jts. v. Chr. an; jedoch findet sich auch jüngere frühbronzezeitliche Keramik im Inventar.[397] Ob die von Voigtländer erwähnten Mattenabdrücke dem Chalkolithikum oder der Frühbronzezeit angehören, muss offen bleiben.[398]

Die Ausgrabungen unterhalb des Athenatempels erbrachten erneut prähistorisches Material, das neue Daten für die chronologische Einordnung liefert. Zudem lassen auch die paläogeographischen Forschungen von H. Brückner in Milet aufgrund der Radiokarbondaten aus den Bohrkernen auf eine Datierung von Milet I in die 2. Hälfte des 4. Jts. v. Chr. schließen.[399] Zu den Funden unterhalb des Athenatempels, die von Kouka bearbeitet werden, zählen *cheese pots*,[400] Füße rechteckiger Form,[401] konische Schalen,[402] Schnabelkannen[403] sowie große Vorratsgefäße.[404] Als Dekor ist lineare Weißbemalung bestehend aus parallelen Linienbündeln auf geschlossenen Gefäßen zu nennen. Diese findet sich am Halsansatz sowie auf Gefäßkörpern.[405] Vergleiche für einen derartigen Dekor sind aus Liman Tepe VIIa,[406] Emporio VII/VI,[407] Beycesultan SC 1–4,[408] Aphrodisias-Pekmez SC 1[409] sowie Tigani IV[410] zu erwähnen und sprechen für eine Einordnung in einen frühen als auch späten Abschnitt des Spätchalkolithikums. Einen Hinweis für eine späte Verortung gibt insbesondere das publizierte Schnabelkannenfragment. Aber auch die konischen Schalenformen und die rechteckigen Füße sprechen für eine Platzierung in der 2. Hälfte des 4. Jts. v. Chr. Lediglich sporadische Funde, wie ein Hornhenkel oder ein Stabhenkel mit einer Knubbe, deuten eine ältere Zeitstellung im 5. Jt. v. Chr. oder sogar früher an.[411]

III.4.1.2.6. Ulucak Höyük

Aus den Ausgrabungen zwischen 1995 und 2002 stammt nur wenig Material, das der Phase Ulucak III zugewiesen werden kann.[412] Es sind fast ausschließlich Schalen, die sicherlich nicht das gesamte keramische Spektrum repräsentieren. Die Schalen besitzen eine kalottenförmige, weitmundig bis konische Gestalt.[413] Unter den Randformen finden sich *rolled rims*, die für eine Datierung in die zweite Hälfte des 4. Jts. v. Chr. sprechen.[414] Für eine deutlich ältere Einstufung eines Teils des Inventars spricht die Politurmusterverzierung, die auf den Innenseiten der Schalen auftreten

394 Voigtländer 1982, 37, Abb. 2.5.
395 Eslick 1992, Taf. 16.6.
396 Schoop 2005, 152.
397 Parzinger 1989, 429.
398 Voigtländer 1982, 34, 37, Abb. 2.14–15; Taf. 15.8; 16.1–3.
399 Brückner et al. 2006, 64, 67, Tab. 1; 68, Tab. 2.
400 Kouka 2014b, 53–54, Abb. 5A.
401 Kouka 2014b, 53–54, Abb. 5C.
402 Kouka 2014b, 53–54, Abb. 6A–D.
403 Kouka 2014b, 53–54, Abb. 5D.
404 Kouka 2014b, 53–54, Abb. 5E–F.
405 Niemeier 2000, 127, Abb. 3; Kouka 2014b, 54–55, Abb. 6E–F.
406 Kouka 2009, 143, 145, Abb. 6 (oben und unten); Tuncel im Druck.
407 Hood 1981/1982, 327, Abb. 153.644, 646.
408 Lloyd – Mellaart 1962, 82, Abb. P.5.16, 25–38; 92, Abb. P.9.4, 22; 96, Abb. P.10.14; 98, Abb. P.11.9.
409 Sharp Joukowsky 1986, 531, Abb. 384.37, 41, 45–46.
410 Felsch 1988, Taf. 39.2; 43.2; 69.399; 75.498.
411 Freundliche Mitteilung O. Kouka (November 2015).
412 Çilingiroğlu et al. 2004, 19–20.
413 Çilingiroğlu et al. 2004, 19, 102–103, Abb. 20.
414 Çilingiroğlu et al. 2004, 102–103, Abb. 20.10–11, 13.

kann.[415] Dabei handelt es sich großteils nicht um einen feldförmigen Dekor, wie er besonders aus Gülpınar und vom Beşik-Sivritpe bekannt ist, sondern um parallele, meist diagonale Linien, die einzelne Bereiche füllen. Gute Vergleiche für einen derartigen Dekor sind aus Emporio VIII,[416] Tigani III,[417] Kumtepe IA[418] sowie Agio Gala (Obere Höhle)[419] bekannt (s. u. V.1.1.). Gerade diese Parallelen deuten eine grobe Zeitstellung im späten 6. und der ersten Hälfte des 5. Jts. v. Chr. an. Als weitere Verzierungsarten sind Ritzverzierung[420] und Kannelurdekor[421] zu nennen. Letztere sind gerade für den Beşik-Sivritepe/Gülpınar-Horizont signifikant und treten teilweise zusammen mit den Politurmustern auf.[422] Die vorgelegten Radiokarbondaten aus Gülpınar[423] passen zu einer dahingehenden Datierung. Geht man darüber hinaus von einer relativchronologischen Vorzeitigkeit des Kumtepe IA-Materials gegenüber dem Beşik-Sivritepe/Gülpınar-Horizont aus, so könnte der ansatzweise feldförmige Dekor[424] die Entwicklung zu diesem späteren Horizont bereits andeuten. Die Kombination von Politurmuster und Kannelurdekor bleibt bislang hingegen auf Ulucak beschränkt. Fraglich ist, ob es sich dabei möglicherweise um eine lokale Verbindung beider Dekorationen handelt.

Somit bleibt festzuhalten, dass das wenige Material der Ausgrabungen zwischen 1995 und 2002 von Ulucak III eine Position im späten 6. und in der erste Hälfte des 5. Jts. v. Chr. andeutet und zudem eine spätere Datierung in die 2. Hälfte des 4. Jts. v. Chr. anzeigt.

Auch die Materialvorlage der Ulucak IIIa–c Funde aus den Jahren 2003–2004 spricht nicht gegen die zuvor postulierte zeitliche Einordnung.[425] Jedoch verwundert die von Caymaz durchgeführte Einstufung des Materials als frühchalkolithisch.[426] Abgesehen von seiner deutlich abweichenden Einteilung der chalkolithischen Chronologie scheint es sich bei dem Material um ein relativ einheitliches Fundspektrum des Mittelchalkolithikums zu handeln. Eine solche chronologische Einordnung ist auch aus der kurzen zusammenfassenden Publikation zum Fundort ersichtlich.[427] Neben verschiedenen Schalen und Schüsselformen, die eine unterrandständige Öse[428] tragen können, fallen unterschiedliche Töpfe mit kleinen ovalen Griffknubben[429] ins Auge. Weiterhin finden sich zahlreiche Hornhenkel[430] und ein Henkel mit knopfartigem Aufsatz.[431] Die Dekoration auf Schalen besteht aus Politurmustern und/oder Kannelurdekor.[432] Zudem sind Politurmuster und Ritzdekor von geschlossenen Gefäßen bekannt.[433] Wie bereits oben ausgeführt, sind Vergleiche hierfür von mehreren Fundorten bekannt, die eine Zeitstellung im späten 6. und der ersten Hälfte des 5. Jts. v. Chr. für das Material aus Ulucak andeuten. Belege, die für eine spätchalkolithische Datierung sprechen, könnten sich eventuell in Form von Schalen mit nach innen

415 Çilingiroğlu et al. 2004, 19, 102–103, Abb. 20.3, 5, 7, 9, 18.
416 Hood 1981/1982, 249, Abb. 120.42.
417 Felsch 1988, Taf. 67.349; vgl. Schoop 2005, 151.11.
418 Sperling 1976, Taf. 72.113a; Gabriel 2014, Taf. 2.5.
419 Hood 1981/1982, 43, Abb. 25.149.
420 Çilingiroğlu et al. 2004, 19, 102–103, Abb. 20.19.
421 Çilingiroğlu et al. 2004, 19, 102–103, Abb. 20.1, 3, 5, 7, 9, 11–12, 15.
422 Çilingiroğlu et al. 2004, 19, 102–103, Abb. 20.5, 7, 9.
423 Özdemir 2012, 141; Özdemir 2013, 24, Abb. 2.13–14; Takaoğlu – Özdemir 2013, 15.
424 Çilingiroğlu et al. 2004, 19, 102–103, Abb. 20.18.
425 Caymaz 2013, 42–44, 90–96, Taf. 1–7.
426 Caymaz ordnet das Material einer frühen Stufe des Frühchalkolithikums (5600–5000 v. Chr.) zu (Caymaz 2013, 89, Tab.1). Seiner Einteilung des frühchalkolithischen Zeitraums zwischen 5600 und 4500 v. Chr. soll hier nicht gefolgt werden.
427 Çilingiroğlu et al. 2012, 159–160.
428 Caymaz 2013, 90–96, Taf. 1–7.
429 Caymaz 2013, 91, Taf. 2.1–5; 93, Taf. 4.1–3; 96, Taf. 7.1–3.
430 Caymaz 2013, 93, Taf. 4.26–29; 95, Taf. 6.6; 96, Taf. 7.22–24.
431 Caymaz 2013, 91, Taf. 2.23.
432 Caymaz 2013, 90–96, Taf. 1–7.
433 Caymaz 2013, 91, Taf. 2.28–33; 93, Taf. 4.35–48; 96, Taf. 7.34–45.

geklapptem Rand[434] finden, wie sie aus Demircihüyük[435] bekannt sind. Da diese Form jedoch in allen Subphasen IIIc–a vertreten ist, bleibt es fraglich, ob diese Form nicht vielleicht auch schon in älteren Kontexten auftritt.

Der jüngst entdeckte Kopf einer Kiliya-Figurine, der zwar in bronzezeitlichen Schichten gefunden wurde, unterstützt jedenfalls eine generelle mittel- bis spätchalkolithische Einordnung.[436] Jedoch sind nach der jüngst veröffentlichten Chronologie für Ulucak keine Befunde des Mittel- und Spätchalkolithikums bekannt.[437] Auch hier wird die Phase Ulucak III (a–b) dem Frühchalkolithikum zugeordnet. Inwieweit es sich bei den Befunden aus den Jahren 2012–2013 um frühchalkolithische Funde handelt, bleibt aufgrund der fehlenden Vorlage der Keramik abzuwarten.[438] Auch muss offen bleiben, auf welcher Grundlage die jüngst revidierte, kürzere und deutlich jüngere chronologische Verortung dieses Zeitabschnittes „Frühchalkolithikum“ um die Mitte des 6. Jts. v. Chr. basiert.[439] Die neu angegebene Datierungsspanne von Ulucak III (5670–5470 v. Chr.)[440] überschneidet sich bereits mit dem nach Schoop definierten Beginn des Mittelchalkolithikums (ab 5500 v. Chr.).[441] Die erwähnten, Ulucak III-zeitlichen Mattenabdrücke[442] auf den Böden von Gefäßen lassen eine mittelchalkolithische Datierung jedoch denkbar erscheinen, da diese Herstellungstechnik anhand von Funden von Mattenabdrücken erst ab dem Mittelchalkolithikum in Westanatolien belegt ist (s. u. V.2.2.).[443] Weiterhin deutet eine anthropomorphe Figurine,[444] deren Typ vor allem von dem Fundort Aşağı Pınar[445] in Türkisch-Thrakien bekannt ist, eine mittelchalkolithische Datierung (AP 5–2; 5350–4700 v. Chr.)[446] an und macht zugleich überregionale Kontakte zwischen diesen Regionen denkbar.

Eine prinzipielle Einordnung der Schichten von Ulucak III in ihrer Gesamtheit in das 6. Jt. v. Chr., wie von Caymaz, aber auch B. Erdoğu und Ö. Çevik favorisiert, muss jedoch mit Vorsicht betrachtet werden. Belegen doch die bereits 2004 von A. Çilingiroğlu vorgelegten Funde von Ulucak III, dass sich diese, wie oben gezeigt, mit Funden aus der Troas und der Ostägäis des späten 6. und der ersten Hälfte des 5. Jts. v. Chr., aber auch dem Spätchalkolithikum vergleichen lassen. Vermutlich deuten die neuen Radiokarbondaten aus Uğurlu-Zeytinlik und Gülpınar eine frühere Entwicklung der Formen an, doch hat es im Fall von Ulucak III und auch Ege Gübre II vielmehr den Anschein, dass mittelchalkolithisches Material als frühchalkolithisch eingestuft wurde.

III.4.1.2.7. Yassıtepe Höyüğü

Im Stadtteil Bornova der Stadt Izmir sind zwei prähistorische Siedlungshügel bekannt: Yeşilova Höyüğü und Yassıtepe Höyüğü. Beide liegen in geringer Entfernung voneinander. Vom Yassıtepe Höyüğü sind insbesondere frühbronzezeitliche Strukturen bekannt, die an den Beginn des

434 Caymaz 2013, 90, Taf. 1.12; 92, Taf. 3. 19–20; 94, Taf. 5.18.
435 Seeher 1987a, Taf. 25.9, 12, 18.
436 Çevik – Vuruşkan 2014, 586, 595, Abb. 4.
437 Erdoğu – Çevik 2015, 36–37, 45, Tab. 1.
438 Çevik – Vuruşkan 2014, 586–587; Erdoğu – Çevik 2015, 37.
439 Erdoğu – Çevik 2015, 36–37, 45, Tab. 1.
440 Erdoğu – Çevik 2015, 37.
441 Schoop 2005; vgl. zusammenfassend Schoop 2011.
442 Çevik – Vuruşkan 2014, 587.
443 Horejs – Schwall im Druck.
444 Çevik – Vuruşkan 2014, 587, 596, Abb. 7.
445 Vgl. hierzu exemplarisch Özdoğan 2001c, 57–59, Abb. 3–4; Hansen 2007, 172–174, Abb. 77–78; Özdoğan 2013, 266, Abb. 162; Hansen 2014a, 279–280, Abb. 32.
446 Özdoğan 2013, 190.

3. Jts. v. Chr. datieren.[447] Neben klassischen frühbronzezeitlichen Formen,[448] wie beispielsweise Knickrandschalen[449] und Schnabelkannen,[450] sprechen jedoch Fragmente von *rolled rim bowls*[451] zudem für eine Kumtepe IB-zeitliche Besiedlung im späten 4. Jt. v. Chr.[452]

In dem 2016 erschienenen Grabungsbericht werden die in Sondagen ergrabenen chalkolithischen Befunde unter Yassıtepe Höyüğü III1–2 zusammengefasst.[453] Die Funde des älteren Abschnittes III1 sind dem Ausgräber nach in das Mittelchalkolithikum einzuordnen.[454] Das Fragment eines Stabhenkels als auch ein *cheese pot* sprechen nicht gegen eine solche Datierung.[455] Weitere Hinweise auf eine solche Zeitstellung stammen aus den bereits publizierten Funden. So weist eine Schale mit einem pilzförmigen Aufsatz am Rand[456] zudem auf eine ältere mittelchalkolithische Zeitstellung hin. Parallelen hierfür finden sich so beispielsweise in Tigani III.[457] Vermutlich können die Funde vom Yassıtepe Höyüğü im Zusammenhang mit der mittelchalkolithischen Besiedlung auf dem Yeşilova Höyüğü (II) gesehen werden. Interessanterweise deuten die Funde des jüngeren Abschnittes (III2), wie bereits die Funde von *rolled rim bowls* angezeigt haben, aufgrund ihrer dunklen Waren eine weitere, spätere Besiedlung in der zweiten Hälfte des 4. Jts. v. Chr. an.[458]

III.4.1.2.8. Yeşilova Höyüğü

Unmittelbar südlich des Yassıtepe Höyüğü befindet sich der Yeşilova Höyüğü. Zwei Grubenbefunde deuten hier zwei unterschiedliche Nutzungshorizonte an (IIa–b), die an das Ende des Mittel- und den Beginn des Spätchalkolithikums (4340–4230 v. Chr.) datieren.[459] In seinem Bericht zu den Ausgrabungen 2010 ging Derin noch von einer Besiedlung im Mittel- (II.2a–b) und Spätchalkolithikum (II.1) aus.[460] Im vorgelegten Bericht von 2013 jedoch nur noch von einer mittelchalkolithischen Ansiedlung.[461] Funde von Schalen mit *rolled rim*[462] sprechen jedoch grundsätzlich für eine Verortung in die zweite Hälfte des 4. Jts. v. Chr. Die Funde stammen aus dem stratigraphisch älteren Horizont II.2.[463] Eventuell scheint es sich bei den Funden um jüngere Intrusionen zu handeln.

Der jüngere Horizont II.1[464] datiert an den Beginn des letzten Drittels des 5. Jts. v. Chr.[465] Schalen mit einer abgesetzten oberen Partie[466] lassen sich mit denen aus Tigani III[467] vergleichen.

---

447 Ein Radiokarbondatum für Yassıtepe Höyüğü IC3f datiert zwischen 3020 und 2900 v. Chr. (Derin et al. 2014, 457). Nach der Umbenennung der Phasen des Siedlungshügels dürfte dies wohl Yassıtepe Höyüğü IIB8 entsprechen (vgl. Derin et al. 2016, 167.)

448 Caymaz 2013, 108–109, Taf. 19.34.

449 Derin 2006a, 10, Abb. 1.1, 6; Caymaz 2013, 108–109, Taf. 19–20.

450 Caymaz 2013, 108, Taf. 19–20.

451 Derin 2006a, 10, Abb. 1.3, 7–8; Caymaz 2013, 108–109, Taf. 19–20.

452 Derin et al. 2014, 458.

453 Derin et al. 2016, 167.

454 Derin et al. 2016, 166, 174, Abb. 8.

455 Derin et al. 2016, 174, Abb. 8.

456 Derin – Caymaz 2013, 136, Abb. 2.4

457 Felsch 1988, Taf. 60.233; 62.256, 259, 261; vgl. Schoop 2005, Taf. 151.8, 15; 152.2, 4.

458 Derin et al. 2016, 166–167, 174, Abb. 9.

459 Derin 2011b, 103; Derin 2012a, 44, Anm. 2; Derin et al. 2014, 452, Anm. 2.

460 Derin 2012a, 44, Anm. 2.

461 Derin et al. 2014, 452, Anm. 2.

462 Derin et al. 2009, 43, Abb. 14.92; Derin 2011b, 104, Abb. 13.13.

463 Derin et al. 2009, 26–27.

464 Derin et al. 2009, 13; Derin 2011b, 103.

465 Derin et al. 2014, 452, Anm. 2.

466 Derin 2007a, Abb. 5; Derin 2008, 227, Abb. 3b–d; 230, Abb. 12; Derin et al. 2009, 43, Abb. 82–83; Derin 2011b, 104, Abb. 13.1–2; Caymaz 2013, 99, Taf. 10.1–8, 12–13; Derin – Caymaz 2013, 136, Abb. 2.1–2.

467 Felsch 1988, Taf. 59.198, 66.313, 67.351; vgl. Schoop 2005, Taf. 151.4–6.

Die restlichen Funde stammen aus dem älteren Horizont II.2. Schalen mit unterrandständigem Vertikalhenkel[468] besitzen darüber hinaus gute Parallelen unter den Funden von Tigani IV.[469] Weiterhin sind Henkel mit pilzförmigem Aufsatz[470] und Gefäße mit Henkeln, darunter Stabhenkel,[471] die eine Knubbe[472] tragen, anzuführen. Auch hierfür können Parallelen aus Tigani III[473] herangezogen werden. Neben diesen finden sich ebenso *cheese pots*[474] und Backplatten.[475] Auffallend ist zudem ein unteres Fragment eines spitzbodigen Bechers.[476] Solche Gefäße sind vorwiegend aus mittelchalkolithischen Zusammenhängen aus Westanatolien und der Ostägäis bekannt; normalerweise wurden diese jedoch aus Marmor gefertigt (s. u. V.1.11.).[477] Lediglich unter den Funden aus Tigani ist ein weiterer potentieller Fund, jedoch mit fehlendem unterem Ende, aus Keramik bekannt,[478] der vermutlich Tigani IV-zeitlich datiert.[479] Als Dekor ist Politurmusterverzierung[480] zu nennen, die sich mit dem Dekor vom Beşik-Sivritepe[481] und Gülpınar[482] vergleichen lässt. Ebenfalls nach Norden weisen Fragmente von Schalen mit verbreitertem und mit Einstichen verziertem Rand,[483] die sich an mehreren Fundorten des 5. Jts. v. Chr. in der Troas finden (s. u. V.1.5.). Gerade diese Schalen sind in großer Anzahl vom Surveyfundort Alacalıgöl[484] bekannt, für den eine Datierung in die 2. Hälfte des 5. Jts. v. Chr. angenommen wird (s. o. III.4.1.1.1.).

Die Vergleiche mit den Funden aus der Troas und aus Tigani III–IV lassen prinzipiell eine ältere Datierung von Yeşilova Höyüğü II zu. Berücksichtigt man aber die Radiokarbondaten, so ist die Phase II etwa zeitgleich mit Tigani IV, jedoch finden sich auch noch ältere Formen aus Tigani III im Inventar. Es scheint möglich, dass Yeşilova Höyüğü II bereits etwas früher als Tigani IV, zur Zeit des möglichen Hiatus zwischen Tigani III und IV, ansetzt und daher noch Tigani III-zeitliche Funde im Formenspektrum auftauchen.

Im Bereich des zentralen Küstengebietes Westanatoliens sind somit Siedlungen des 5. und 4. Jts. v. Chr. belegt. Wie auch in der Troas kann von einer grundsätzlichen Kontinuität vom späten 4. Jt. v. Chr. zur beginnenden Frühbronzezeit 1 ausgegangen werden. Dies ist für Bakla Tepe (V–IV), Liman Tepe (VIIa–VI), Yeşilova Höyüğü (II–IC3), Yassıtepe Höyüğü und Milet (I–II) belegt. Aufgrund des Vergleichs mit den Funden von den vorgelagerten Inseln der Ostägäis zeigt sich deutlich, dass bereits im 5. Jt. v. Chr. Kontakte in diese Richtung bestanden haben müssen.

---

468 Derin et al. 2009, 44, Abb. 15.97; Derin 2011a, 322, Abb. 5.1; Caymaz 2013, 100, Taf. 11.8, 10.

469 Felsch 1988, Taf. 71.438; vgl. Schoop 2005, 154.18.

470 Derin 2007, 374, Abb. 6; Derin 2008, 227, Abb. 3e; 229, Abb. 11; Derin et al. 2009, 43, Abb. 14.85; Derin 2011b, 104, Abb. 13.6; Derin 2012b, 187, Abb. 6; Caymaz 2013, 99, Taf. 10.9, 20–21, 23–25.

471 Caymaz 2013, 99, Taf. 10.14–15, 19.

472 Derin et al. 2009, 43, Abb. 14.91; 44, Abb. 15.94; Derin 2011b, 104, Abb. 13.12; Caymaz 2013, 100, Taf. 11.6; 101, Taf. 12.2, 11, 23; 102, Taf. 13.4, 7–8.

473 Felsch 1988, Taf. 59.216; 63.271; 65.304; vgl. Schoop 2005, 152.8; 153.1; 154.5.

474 Derin 2007a, Abb. 6; Derin 2008, 229, Abb. 11; Derin et al. 2009, 44, Abb. 15.99; Derin 2012b, 187, Abb. 6; Caymaz 2013, 100, Taf. 11.23–24, 26–30.

475 Derin 2007a, 374, Abb. 6; Derin 2008, 229, Abb. 11; Derin et al. 2009, 44, Abb. 15.98; Derin 2012b, 187, Abb. 6; Caymaz 2013, 100, Taf. 11.25.

476 Derin et al. 2009, 44, Abb. 15.96. – Eventuell ein weiteres Exemplar, jedoch ohne erhaltenen Boden, findet sich bei Caymaz 2013, 100, Taf. 11.22.

477 Vgl. Takaoğlu 2005, 37.

478 Felsch 1988, Taf. 83.UP49.

479 Felsch 1988, 117, Anm. 528 Nr. 6.

480 Derin et al. 2009, 16, 43, Abb. 14.83; Caymaz 2013, 99, Abb. 10.12–13; Derin – Caymaz 2013, 136, Abb. 2.2.

481 Lamb 1932, 126, Abb. 13; Seeher 1985, 175, Abb. 16.

482 Takaoğlu 2006b, 364, Abb. 3.

483 Caymaz 2013, 100, Taf. 11.33–35.

484 Gabriel et al. 2004, 125, Abb. 6.3–4; 126, Abb. 7.1–6; Blum 2014, 135, Abb. 10; 136, 153–154, Taf. 10–11; Blum et al. 2014, 791, 846, Taf. 6.9–13, 16, 18; Gabriel 2014, 1001–1002, Abb. 2a–c.

III.4.1.3. Westanatolisches Hinterland

Als Schlüsselfundort für die Chronologie des 4. Jts. v. Chr. kann bislang immer noch Beycesultan mit seiner stratigraphischen Sequenz herangezogen werden und dient seit der Vorlage des Materials als Referenz für die Einordnung spätchalkolithischer Inventare. Einen weiteren wichtigen Anker für das Spätchalkolithikum, insbesondere des frühen Abschnittes, stellen die Funde von Aphrodisias-Pekmez dar. Neben Fundorten des 4. Jts. v. Chr. haben die Forschungen in den letzten Jahren zudem Belege für das 5. Jt. v. Chr. erbracht, die speziell für die Diskussion weiträumiger Kulturkontakte wichtig sind (Abb. 7).

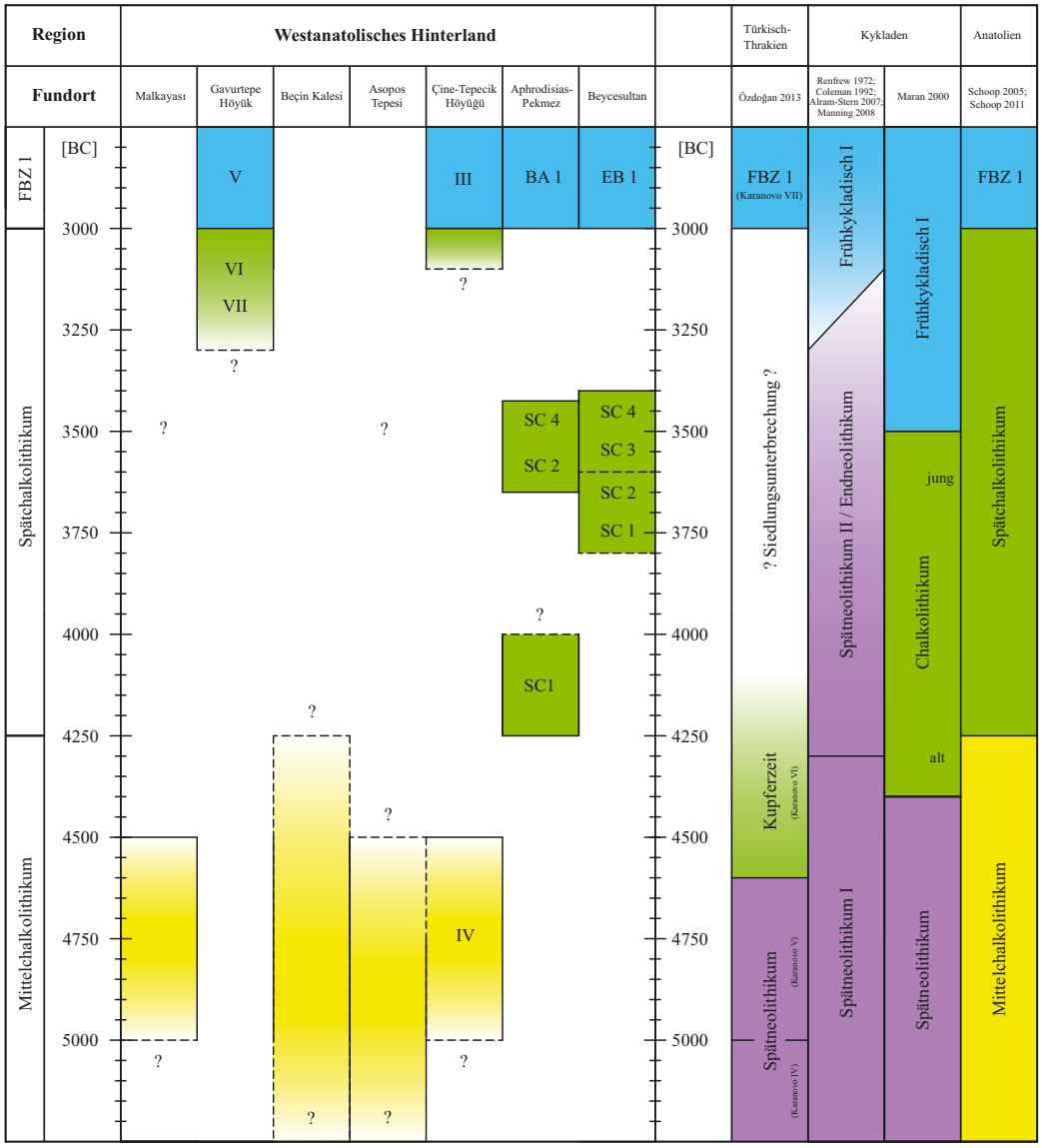


Abb. 7 Vorgeschlagene Chronologie für das westanatolische Hinterland.
(Graphik: Ch. Schwall/ERC Prehistoric Anatolia)

III.4.1.3.1. Aphrodisias-Pekmez

Neben dem Material aus Beycesultan sind die Funde aus den beiden Sondagen von Aphrodisias-Pekmez (Schnitt 1 und 2) von Bedeutung. M. Sharp Joukowsky hat die Ausgrabungen von B. Kadish ausgewertet und die Schichten VIIIB–A, VIID–A und VII dem Spätchalkolithikum (SC 1–4) zugeordnet.[485] Aus diesen Schichten liegen insgesamt vier Radiokarbondaten vor,[486] die zwar eine generelle Einordnung zwischen 4400–3250 calBC andeuten, jedoch nicht unproblematisch sind.[487] Wichtig für die chronologische Stellung des Fundortes ist auch hier wieder die Arbeit von Schoop (2005).

Für die Phase SC 1 erwähnt er verschiedene Schalenformen, wie kleinformatige mit gekehltem Oberteil[488] oder nach innen verdicktem Rand[489] als auch großformatigere mit S-profilierter Wandung und randständigen Vertikalhenkeln oder Röhrenösen.[490] Diese können Weißbemalung am inneren Gefäßrand in Form von hängenden Dreiecken oder Schraffurmustern besitzen.[491] Weiterhin sind Backplatten vorhanden, die im gesamten Inventar ab SC 1 gängig sind und teilweise Mattenabdrücke auf der Unterseite besitzen.[492] Zu den geschlossenen Gefäßformen zählen *hole-mouth*-Töpfe mit Vertikalhenkeln oder Griffknubben.[493] Kannen mit kugelförmigem Unterteil[494] sind ebenso wie Becher belegt.[495] Neben Weißbemalung, die sich auch auf der Außenseite von geschlossenen Gefäßen[496] finden kann, kommt Politurmusterverzierung mit einem Übergewicht in den Schichten SC 1 vor.[497]

In Phase SC 2 bemerkt Schoop eine deutliche Veränderung der Schalenformen durch das Auftreten von Knickrandschalen[498] und das Verschwinden der vorherigen Typen. Neu sind zudem Miniaturnäpfe,[499] kleinformatige Tassen[500] und glockenförmige Becher.[501] Außerdem finden sich nun *cheese pots* im Inventar.[502] Bemerkenswert ist weiterhin die erhöhte Anzahl an Füßen[503] mit konischen, geraden und ausgezipfelten Enden. In dieser Phase kann zudem die Kulmination der Weißbemalung, bestehend aus linearen Motiven, festgehalten werden, welche danach stetig abnimmt.[504]

Schoop hat bereits angemerkt, dass die Keramik der Phasen SC 3 und 4 aufgrund der geringen Zahl nur bedingt Aussagen zulässt.[505] Neben Knickrandschalen[506] finden sich in den Schichten SC 3 nun wieder Schalen mit nach innen verdicktem Rand.[507] Ein Exemplar zeigt deutliche Parallelen zu den Kumtepe B-zeitlichen *rolled rims*.[508] Kleinformatige und großformatige Trichterhälse

---

485 SC 1: VIIIB–A; SC 2: VIID–C; SC 3: VIIB–A; SC 4: VII (Sharp Joukowsky 1986, 175, Tab. 5).
486 Sharp Joukowsky 1986, 163, Tab. 4.
487 Vgl. Schoop 2005, 188.
488 Sharp Joukowsky 1986, 524, Abb. 377.3, 5, 9; vgl. Schoop 2005, 159, Taf. 85.1–3
489 Sharp Joukowsky 1986, 524, Abb. 377.6; vgl. Schoop 2005, 159, Taf. 85.4.
490 Sharp Joukowsky 1986, 531, Abb. 384.6–8, 21; 533, Abb. 385.18; vgl. Schoop 2005, 159, Taf. 85.6–10.
491 Sharp Joukowsky 1986, 524, Abb. 377.2; 531, Abb. 384.21; vgl. Schoop 2005, 159, Taf. 85.2, 10.
492 Sharp Joukowsky 1986, 330, 533, Abb. 385.27; vgl. Schoop 2005, 159.
493 Sharp Joukowsky 1986, 524, Abb. 377.2; 531, Abb. 384.32; vgl. Schoop 2005, 159, Taf. 85.18–19.
494 Sharp Joukowsky 1986, 533, Abb. 385.24; vgl. Schoop 2005, 159, Taf. 85.21.
495 Sharp Joukowsky 1986, 531, Abb. 384.69, 74; 533, Abb. 385.3; vgl. Schoop 2005, 159, Taf. 85.24–26.
496 Sharp Joukowsky 1986, 524, Abb. 377.49; 531, Abb. 384.37, 41, 45–46; vgl. Schoop 2005, 159, Taf. 85.27–31.
497 Sharp Joukowsky 1986, 313; vgl. Schoop 2005, 159.
498 Sharp Joukowsky 1986, 539, Abb. 389.6; 545, Abb. 392.9; vgl. Schoop 2005, 159, Taf. 86.3, 6.
499 Sharp Joukowsky 1986, 545, Abb. 392.48; vgl. Schoop 2005, 159, Taf. 86.19.
500 Sharp Joukowsky 1986, 545, Abb. 392.49; vgl. Schoop 2005, 159, Taf. 86.20.
501 Sharp Joukowsky 1986, 547, Abb. 393.17; vgl. Schoop 2005, 159, Taf. 86.23.
502 Sharp Joukowsky 1986, 539, Abb. 389.9.
503 Sharp Joukowsky 1986, 547, Abb. 393.33, 37, 39, 45–46.
504 Sharp Joukowsky 1986, 539, Abb. 389.8; 545, Abb. 392.11; vgl. Schoop 2005, 159, Taf. 86.7–8.
505 Schoop 2005, 159.
506 Sharp Joukowsky 1986, 551, Abb. 396.15; 555, Abb. 399.2.
507 Sharp Joukowsky 1986, 555, Abb. 399.1–3.
508 Sharp Joukowsky 1986, 555, Abb. 399.3.

mit unterschiedlicher konischer Ausprägung lassen auf Becher[509] und Kannen[510] schließen. Randständige und unterrandständige Bandhenkel belegen darüber hinaus die Präsenz von weiteren Halsgefäßen.[511] Das Material von SC 4 ähnelt dem der vorherigen Phase SC 3. Auch hier finden sich Knickrandschalen,[512] jedoch keine Schalen mit *rolled rim*. Weiterhin belegt ein Halsfragment die Präsenz von Kannen.[513] Auffällig unter den Funden ist ein flacher Teller[514] sowie ein kleiner sackförmiger Becher[515] mit leicht überrandständigem Henkel. Standfüße mit ausgezipfeltem unterem Ende finden sich in einer deutlichen Anzahl im Inventar.[516]

Die chronologische Verortung der Phase SC 1 basiert auf Radiokarbondaten, welche einen Zeitraum in das letzte Viertel des 5. Jts. v. Chr. andeuten.[517] Auch die Keramik zeigt Unterschiede, die für eine ältere Datierung als das Material von Beycesultan SC 1 sprechen. Schoop erwähnt diesbezüglich die abgeklappten Schalenränder, die sich in Beycesultan SC 1 finden, jedoch nicht im Inventar von Aphrodisias-Pekmez SC 1, sowie Unterschiede in der ungenauer wirkenden Ausführung der Weißbemalung.[518] Gerade dieser Punkt lässt neben weiteren Parallelen, die von Schoop herausgestellt wurden, eine gewisse Nähe zum Material von Tigani IV erkennen.[519] Ein weiteres Argument für eine frühe Datierung ist der hohe Anteil an Politurmusterscherben in der Phase SC 1.[520] Die Schalen mit nach innen verdicktem Rand aus Aphrodisias-Pekmez SC 1 sind sicherlich nicht mit den klassischen *rolled rims* der Kumtepe IB-Zeit zu verbinden. Erst das spätere Exemplar aus der Phase SC 3 lässt eine solche Verbindung zu. Dennoch scheint der Ansatz von Sharp Joukowsky, diese als einen Beleg für eine ältere Datierung als Beycesultan SC 1 heranzuziehen, nicht vollkommen abwegig.[521] So bietet doch der Ansatz Blums zu den jüngst durchgeführten Untersuchungen vom Alacalıgöl in der Troas die Möglichkeit, dass – mit aller Vorsicht, da es sich dabei um Surveyfunde handelt – Vorläufer der späteren *rolled rims* bereits in der zweiten Hälfte des 5. Jts. v. Chr. zu finden sind (vgl. III.4.1.1.1.).[522]

Die Keramik der Phasen SC 2–4 kann aus Mangel an absoluten Datierungen nur typologisch eingeordnet werden. Wie Schoop gezeigt hat, finden sich so gut wie keine treffenden Vergleiche für das Aphrodisias-Pekmez SC 2-Inventar unter den Funden von Beycesultan SC 2, jedoch in entwickelter Form (et al. Knickrandschalen) in Beycesultan SC 3.[523] Aufgrund dieser Tatsache setzt er das Material von der Entwicklung her genau zwischen Beycesultan SC 2/3 und schließt einen möglichen Hiatus zwischen den beiden Phasen nicht aus.[524] Für das Inventar der Schichten Aphrodisias-Pekmez SC 3–4 finden sich jedoch bessere Vergleiche in Beycesultan SC 3–4, weshalb er hier von einer etwa gleichzeitigen Entwicklung ausgeht.[525] Interessanterweise deuten bereits die Standfüße sowie das vermehrte Auftreten von Knickrandschalen grundsätzlich den Beginn der Entwicklung hin zum Formenspektrum der Frühbronzezeit 1 an.

Nach einem Hiatus, der an die Phase Aphrodisias-Pekmez SC 1 anschließt, scheinen die Schichten Aphrodisias-Pekmez SC 2–4 aufgrund des Vergleichs mit den Beycesultan-Funden

509 Sharp Joukowsky 1986, 555, Abb. 399.24; vgl. Schoop 2005, 159, Taf. 87.20.
510 Sharp Joukowsky 1986, 555, Abb. 399.12; vgl. Schoop 2005, 159, Taf. 87.21.
511 Sharp Joukowsky 1986, 551, Abb. 396.28–30.
512 Sharp Joukowsky 1986, 559, Abb. 402.13, 17.
513 Sharp Joukowsky 1986, 559, Abb. 402.4.
514 Sharp Joukowsky 1986, 559, Abb. 402.5.
515 Sharp Joukowsky 1986, 559, Abb. 402.6.
516 Sharp Joukowsky 1986, 559, Abb. 402.30–31, 35.
517 Vgl. Diskussion bei Schoop 2005, 188.
518 Schoop 2005, 183.
519 Schoop 2005, 268.
520 Schoop 2005, 159.
521 Sharp Joukowsky 1986, 434; vgl. Schoop 2005, 183.
522 Blum 2014, 136, 155, Taf. 12.7.
523 Schoop 2005, 183.
524 Schoop 2005, 184.
525 Schoop 2005, 184.

etwa um die Mitte des 4. Jts. v. Chr. zu datieren. Einer direkten Parallelisierung der Schichten SC 2–4 beider Fundorte, wie jüngst von Ch. Gerber vorgeschlagen,[526] wird aufgrund der keramiktypologischen Auswertung und Argumentation Schoops nicht gefolgt.

III.4.1.3.2. Asopos Tepesi

Von den beiden Hügeln Asopos Tepesi I und II nordwestlich des antiken Stadtgebietes von Laodikeia stammen Funde, die von C. Şimşek in die mittel- (VIIb) bis spätchalkolithische (VIIa) Zeit datiert werden.[527] Die Funde wurden zusammen mit verstreuten Steinansammlungen unmittelbar auf dem gewachsen Boden gefunden.[528]

Die wenigen Keramikfragmente sind nur bedingt aussagefähig. Neben einigen Schalenfragmenten sind Ränder von engmundigen Gefäßen und Halsgefäßen publiziert.[529] Funde, die vom Ausgräber der Schicht VIIa und somit dem Spätchalkolithikum zugewiesen werden, sind in den Grabungsberichten publiziert.[530] Bedingt durch die geringe Anzahl der Scherben ist eine definitive Einstufung nicht möglich. Jedenfalls sprechen die engmundigen Gefäßformen, ein Fragment eines Halsgefäßes und eine schwach profilierte Knickrandschale nicht gegen eine prinzipielle Einordnung in das 4. Jt. v. Chr. Leider wird das Material im zusammenfassenden Beitrag von Şimşek und E. Konakçı nur als mittel- und spätchalkolithisch angesprochen ohne eine weitere Differenzierung.[531] Eine kalottenförmige Schale sowie ein Halsgefäß mit einem leicht ausladendem Rand könnten hier auf eine späte Datierung hindeuten.[532] Hingegen finden sich bessere Belege für eine Einordnung in das 5. Jt. v. Chr. anhand von geschlossenen Gefäßen, vermutlich Krügen, mit geradem oder kegelförmigem Hals.[533] Solche Gefäße mit Kegelhals sind beispielsweise aus Tigani II–III,[534] Emporio X–VIII[535] sowie aus Kalythies III[536] bekannt. Weiterhin besitzt ein engmundiges Gefäß eine Knubbe am Gefäßrand.[537] Auch hierfür finden sich gute Parallelen in der Ostägäis, so ebenfalls im Material von Tigani III.[538] Trotz der geringen Anzahl der Funde scheint zumindest eine Datierung eines Teils der Funde somit in die erste Hälfte des 5. Jts. v. Chr. möglich.

III.4.1.3.3. Beçin Kalesi

Die Funde aus einer Sondage im Inneren der Festung von Beçin sind bislang nicht publiziert. Sie scheinen jedoch in die mittelchalkolithische Zeit zu datieren.[539]

III.4.1.3.4. Beycesultan

Die Keramik der Schichten XL–XX können den Ausgräbern Lloyd und Mellaart zufolge in vier spätchalkolithische Phasen eingeordnet werden (SC 1–4).[540] Eine ausführliche Diskussion der chronologischen Stellung des Materials, unter Berücksichtigung der beiden Radiokarbondaten

---

526 Gerber 2014, 109–110, Abb. 3.
527 Şimşek – Konakçı 2013, 11, 25, Abb. 4; Şimşek 2014, 633–634.
528 Şimşek – Konakçı 2013, 11, 37, Abb. 20.
529 Şimşek 2011, 468, Abb. 3; Şimşek 2012, 593, Abb. 2; Şimşek – Konakçı 2013, 37, Abb. 21.
530 Şimşek 2011, 468, Abb. 3; Şimşek 2012, 593, Abb. 2.
531 Şimşek – Konakçı 2013, 37, Abb. 21.
532 Şimşek – Konakçı 2013, 37, Abb. 21.6, 13.
533 Şimşek – Konakçı 2013, 37, Abb. 21.13–16.
534 Felsch 1988, Taf. 57.156; 59.215.
535 Hood 1981/1982, 273, Abb. 130.251; 274, Abb. 131.276.
536 Sampson 1987, Abb. 50.566.
537 Şimşek – Konakçı 2013, 37, Abb. 21.11.
538 Felsch 1988, Taf. 65.304.
539 Derin et al. 2009, 17; Caymaz 2013, 55; Freundliche Mitteilung M. Yıldız (August 2012).
540 SC 1: XL–XXXV; SC 2: XXXIV–XXIX; SC 3: XXVIII–XXV; SC 4: XXIV–XX (Lloyd – Mellaart 1962, 75).

aus SC 1 und 3, hat bereits Schoop durchgeführt.[541] Ihm folgend können die Phasen etwa zwischen 3800–3400 v. Chr. eingeordnet werden.[542]

In der Phase SC 1 werden die offenen Gefäße durch Schalen dominiert, die fast gängig Weißbemalung aufweisen.[543] Schoop erwähnt neben Exemplaren mit leicht gebogenen[544] und geraden[545] Wandungen auch gekehlte[546] Schalentypen mit horizontal ausgestelltem Rand. Auffälligerweise tragen speziell die ausgestellten Ränder auf der Innenseite eine lineare, weiße Bemalung bestehend aus sich kreuzenden Linien, die von horizontalen Linien begrenzt sein können.[547] Zu den typischen geschlossenen Gefäßen zählen, laut Schoop, Becher mit einer langen, konkaven Halspartie und randständigem Vertikalhenkel.[548] Auch bei den Bechern tritt Weißbemalung in Form von mehreren Linienbündeln auf, die sich kreuzen oder sich vertikal zum Boden hin erstrecken. Im oberen Bereich wird der Dekor durch eine oder mehrere horizontale Linien begrenzt. Neben Bechern finden sich zudem Kannen mit randständigem Vertikalhenkel, der am Randansatz durch eine Knubbe oder einem Knick verziert sein kann.[549] Verschiedene Wandscherben von Kannen und Krügen tragen ebenfalls weiße Bemalung.[550] Weiterhin zählt ein Fußfragment zu den Funden.[551]

Aus Phase SC 2 sind teils großformatige Schalen mit geschwungener Wandung bekannt, die wie zuvor in SC 1 Weißbemalung auf der Innenseite des Schalenrandes tragen können.[552] Neu im Inventar sind Backplatten.[553] Bei den geschlossenen Gefäßen laufen die Becher mit einer langen, konkaven Halspartie weiter, tragen aber keine Weißbemalung mehr.[554] Lediglich in SC 2 kommen nach Schoop *holemouth*-Becher mit überrandständigem Henkel vor.[555] Die Kannen deuten eine schmalere Form an.[556] Zudem treten S-profilierte Töpfe mit Vertikalösen auf.[557] Interessanterweise sind unter den Funden auch zwei Politurmusterscherben.[558] Schoop geht in diesem Zusammenhang von dem Auslaufen der älteren Verzierungstradition mittelchalkolithischer Zeit aus.[559]

Das spärliche Material aus Phase SC 3 belegt das Auftreten von Kehlrandschalen.[560] Darüber hinaus kommen nun flachbodige konische Näpfe im Inventar vor.[561] Die konkave Halspartie der Becher hat sich aufgelöst und hin zu einer S-Profilierung geändert.[562] Die abnehmende Tendenz der Weißbemalung lässt sich auch in SC 3 verfolgen, findet sich aber dennoch an Schalen[563] und Bechern.[564] Als Neuerung sieht Schoop Krüge mit einem hohen Hals und S-Profilierung an.[565]

---

541 Vgl. Schoop 2005, 151–152, 182–183, 188–191.
542 Schoop 2005, 189, 191, Abb. 4.10.
543 Lloyd – Mellaart 1962, 74, Abb. P.2.1, 5, 9–10, 12–18; 78, Abb. P.4; 82, Abb. P.5.1, 8, 11; vgl. Schoop 2005, 151, Taf. 59.2–3, 5–9, 11–15.
544 Lloyd – Mellaart 1962, 74, Abb. P.2.1, 18; vgl. Schoop 2005, 151, Taf. 59.5, 8.
545 Lloyd – Mellaart 1962, 74, Abb. P.2.15; vgl. Schoop 2005, 151, Taf. 59.9.
546 Lloyd – Mellaart 1962, 72, Abb. P.1.7, 12; vgl. Schoop 2005, 151, Taf. 59.15–16.
547 Lloyd – Mellaart 1962, 72, Abb. P.1.4; 74, Abb. P.2.11–12; vgl. Schoop 2005, 151, Taf. 59.11–12, 14.
548 Lloyd – Mellaart 1962, 78, Abb. P.4.27–30; vgl. Schoop 2005, 151, Taf. 59.21–22, 26–27.
549 Lloyd – Mellaart 1962, 76, Abb. P.3.6, 14; vgl. Schoop 2005, 151, Taf. 59.28–29.
550 Lloyd – Mellaart 1962, 82, Abb. P.5.25–38.
551 Lloyd – Mellaart 1962, 74, Abb. P.2.22.
552 Lloyd – Mellaart 1962, 82, Abb. P.5.1; 84, Abb. P.6.1–2; vgl. Schoop 2005, 151, Taf. 60.1, 8–9.
553 Lloyd – Mellaart 1962, 86, Abb. P.7.19; 88, Abb. P.8.24; vgl. Schoop 2005, 151, Taf. 60.23–24.
554 Lloyd – Mellaart 1962, 84, Abb. P.6.16; vgl. Schoop 2005, 151, Taf. 60.12.
555 Lloyd – Mellaart 1962, 84, Abb. P.6.7, 26; vgl. Schoop 2005, 151, Taf. 60.10–11.
556 Lloyd – Mellaart 1962, 82, Abb. P.5.2, 13; vgl. Schoop 2005, 151, Taf. 60.16–17.
557 Lloyd – Mellaart 1962, 84, Abb. P.6.3; vgl. Schoop 2005, 152, Taf. 60.20.
558 Lloyd – Mellaart 1962, 84, Abb. P.6.6, 10; vgl. Schoop 2005, 151, Taf. 60.18–19.
559 Schoop 2005, 268.
560 Lloyd – Mellaart 1962, 88, Abb. P.8.2, 6–7, 11; vgl. Schoop 2005, 152, Taf. 61.2–5.
561 Lloyd – Mellaart 1962, 88, Abb. P.8.15; 92, Abb. P.9.14; vgl. Schoop 2005, 152, Taf. 61.7–8.
562 Lloyd – Mellaart 1962, 92, Abb. P.9.22; vgl. Schoop 2005, 152, Taf. 61.11.
563 Lloyd – Mellaart 1962, 88, Abb. P.8.14; vgl. Schoop 2005, 152, Taf. 61.6.
564 Lloyd – Mellaart 1962, 92, Abb. P.9.4, 22; vgl. Schoop 2005, 152, Taf. 61.11.
565 Lloyd – Mellaart 1962, 88, Abb. P.8.12; vgl. Schoop 2005, 152, Taf. 61.21.

Die bereits in SC 3 einsetzenden Kehlrandschalen werden in SC 4 gängig und besitzen nun randständige Bandhenkel.[566] Zu weiteren offenen Gefäßformen zählen, nach Schoop, konische Schalen,[567] Tassen mit rundem Boden[568] sowie kleine Näpfe mit S-Profil.[569] Neben den ebenfalls bereits in SC 3 vorhandenen Bechern mit S-Profilierung[570] finden sich Kannen mit stark abgesetztem und nach außen gebogenem Hals, die einen randständigen Vertikalhenkel besitzen.[571] Sowohl die Becher als auch die Kannen können Weißbemalung aufweisen, welche unterhalb des Halsumbruchs beginnt und anhand von Linienbündeln ein Zickzackmuster oder Schraffuren bildet.[572] Schoop erwähnt weiterhin eimerartige Gefäße mit Vertikalhenkeln unterhalb des Randes.[573]

Bei der Diskussion der Keramik der Phasen SC 1–4 erwähnt Schoop zu Recht einen möglichen Bruch in der Formentradition nach SC 2.[574] Eine Diskontinuität in den Schalenformen als auch dem Verschwinden von weißer Bemalung auf offenen Gefäßen würde somit prinzipiell die Möglichkeit für einen Hiatus offen lassen. Jedoch lässt sich, wie auch von Schoop dargelegt, an den Bechern und Kannenformen eine Kontinuität erkennen, weshalb nicht zwingend von einem langen Hiatus ausgegangen werden muss.

III.4.1.3.5. Çine-Tepecik Höyüğü

Die bisher publizierte Keramik vom Çine-Tepecik Höyüğü (Phase IV) wird von der Ausgräberin S. Günel in das Mittelchalkolithikum eingeordnet. Die Einordnung erfolgt anhand von Vergleichen mit keramischen Inventaren anderer Fundorte, da auf keine Radiokarbondaten zurückgegriffen werden kann. Für eine dahingehende zeitliche Stellung sprechen Politurmusterscherben[575] sowie ein kleiner Krug mit Politurmusterverzierung.[576] Der Krug besitzt darüber hinaus noch einen Hornhenkel, der neben einem weiteren Fund[577] eines solchen Henkels ebenso für eine mittelchalkolithische Zeitstellung spricht. Neben der Präsenz von *cheese pots*[578] ist ein Horizontalhenkel mit zwei Hornaufsätzen zu vermerken.[579] Dieser besitzt zwar keinen direkten Vergleich, erinnert aber entfernt an durchbrochene Handhaben aus Emporio IX–VIII.[580] Chronologisch relevant sind auch die Fragmente spitzbodiger Becher aus Marmor, welche in das 5. Jt. v. Chr. weisen.[581]

Interessant sind zudem die publizierten Funde aus dem Gebäude 1, die von Günel in den Übergang vom Chalkolithikum zur beginnenden Frühbronzezeit datiert werden.[582] Trotz der Architektur, die nach Günel somit in das ausgehende 4. und das beginnende 3. Jt. v. Chr. zu setzen ist, deutet die publizierte Keramik eine möglicherweise ältere Zeitstellung an. So stammt von hier ein Henkel mit pilzköpfigem Aufsatz.[583] Für diesen finden sich gute Parallelen in Emporio VIII(?),[584]

---

566 Lloyd – Mellaart 1962, 98, Abb. P.11.3, 6, 11, 15; vgl. Schoop 2005, 152, Taf. 62.1–4.
567 Lloyd – Mellaart 1962, 96, Abb. P.10.21; 100, Abb. P.12.21; vgl. Schoop 2005, 152, Taf. 61.23, 26.
568 Lloyd – Mellaart 1962, 102 Abb. P.13.10; vgl. Schoop 2005, 152 Taf. 62, 5.
569 Lloyd – Mellaart 1962, 98, Abb. P.11.2; vgl. Schoop 2005, 152, Taf. 62.6.
570 Lloyd – Mellaart 1962, 96, Abb. P.10.14; vgl. Schoop 2005, 152, Taf. 62.9.
571 Lloyd – Mellaart 1962, 96, Abb. P.10.12; 102, Abb. P.13.2; vgl. Schoop 2005, 152, Taf. 62.14, 17.
572 Lloyd – Mellaart 1962, 96, Abb. P.10.14; 98, Abb. P.11.9; vgl. Schoop 2005, 152, Taf. 62.9, 13.
573 Lloyd – Mellaart 1962, 102, Abb. P.13.1, 7; vgl. Schoop 2005, 152, Taf. 62.18–19.
574 Schoop 2005, 182–183; vgl. Parzinger 1993, 220.
575 Günel 2007, 243, Abb. 1; Günel 2008c, 137, Abb. 12a; Günel 2013, 19; Çayır-Böyükulusoy 2014, 95–99; Günel 2014b, 95, Taf. 2; 96, Taf. 5A.
576 Günel 2008a, 89, Abb. 6; Günel 2014b, 95, Taf. 3.
577 Günel 2016, 213, Abb. 10.
578 Günel 2014b, 87.
579 Günel 2014b, 97, Taf. 5B.
580 Hood 1981/1982, 281, Abb. 135.325–326.
581 Günel 2014b, 93, 100, Taf. 11.
582 Günel 2014b, 87.
583 Günel 2014b, 94, Taf. 1A.
584 Hood 1981/1982, 630, Abb. 285.22.

Tigani III[585] und in der Troas (Hanay Tepe – älteres Stratum B,[586] Gülpınar;[587] s. u. V.1.7.). Neben diesem können für Scherben, die mit einstichgefüllten Feldern[588] verziert sind, Vergleiche aus Tigani III,[589] der Malkayası-Höhle,[590] der Karain-Höhle (II/III),[591] Liman Tepe VIIb[592] und aus der Agio Varvara-Höhle[593] (Kalymnos) herangezogen werden (s. u. V.1.6.). Günel erwähnt weiterhin Mattenabdrücke[594] auf den Böden von Gefäßen, die bei einer chronologischen Einordnung nur bedingt von Nutzen sind. Auffällig sind lang gezogene mit einer Knubbe verzierte Henkel.[595] Vergleiche hierfür finden sich in Emporio IX/VIII,[596] Tigani II/III?,[597] Kulaksızlar,[598] Liman Tepe VIIb,[599] Milet I,[600] Yeşilova Höyüğü II[601] sowie in der Troas (Alacalıgöl,[602] Beşik-Sivritepe(?),[603] Gülpınar;[604] s. u. V.1.4.), scheinen, laut Günel, aber auch noch in frühbronzezeitlichen Horizonten der Phase III vorzukommen.[605] Ob es sich bei den Funden teilweise um verlagertes Material aus älteren Schichten im Rahmen von Planierungen handeln könnte, sei dahingestellt und muss bis zur weiteren Vorlage der Keramik offen bleiben. Dies gilt ebenso für die bis dato unpublizierten Funde, die eine klare Einordnung in das späte 4. Jt. v. Chr. belegen. Jedenfalls spricht das keramische Inventar der Phase IV, wie von Günel vorgeschlagen, nicht gegen eine Datierung in die erste Hälfte des 5. Jts. v. Chr.

III.4.1.3.6. Gavurtepe Höyük

Die Funde der Ausgrabungen am Gavurtepe Höyük sind bislang nur ansatzweise publiziert. Neben frühbronzezeitlichem Material wurden nach R. Meriç in der Bauschicht VI *rolled rims*[606] gefunden, die eine Verortung des Materials in die 2. Hälfte des 4. Jts. v. Chr. andeuten. Eine genauere Überprüfung muss bis zur Vorlage der noch ausstehenden Publikation offen bleiben.

III.4.1.3.7. Malkayası-Höhle

In der Höhle von Malkayası konnten zwei Nutzungshorizonte ergraben werden, deren Material homogen wirkt und nach Gerber mit den Funden von Emporio IX–VIII und Tigani I–II parallelisiert werden kann.[607]

---

585 Felsch 1988, Taf. 59.216.
586 Lamb 1932, 115, Abb. 2.15.
587 Takaoğlu 2006a, 296, Abb. 6.9–11.
588 Günel 2014b, 94, Taf. 1A.
589 Felsch 1988, Taf. 66.310–311.
590 Peschlow-Bindokat – Gerber 2012, 110, Abb. 45.
591 Seeher 1988, 230, Abb. 5.12; 232, Abb. 7.15–17; vgl. Schoop 2005, 267, Taf. 91.20.
592 Tuncel im Druck.
593 Maiuri 1928, 108, Abb. 88.
594 Günel 2014b, 87.
595 Günel 2014b, 94, Taf. 1B.
596 Hood 1981/1982, 279, Abb. 134.319.
597 Heidenreich 1935/1936, Taf. 47.6, 8; vgl. Felsch 1988, Taf. 37.4.355; 68.355; 80.47.6, 8.
598 Dinç 1996, 34, Abb. 6.161, 165–166; Takaoğlu 2005, 19, Taf. 45.182–184.
599 Tuncel im Druck.
600 Freundliche Mitteilung O. Kouka (November 2015).
601 Caymaz 2013, 99, Taf. 10.14–15, 19.
602 Blum 2014, 135, 150, Taf. 7.4.
603 Gabriel 2014, 1004, 1051, Taf. 6.8.
604 Takaoğlu 2006a, 296, Abb. 6.1–2, 4; Gabriel 2014, 1001, Abb. 1.
605 Günel 2013, 19.
606 Meriç 1994, 423; Meriç 2009, 125.
607 Peschlow-Bindokat – Gerber 2012, 74–76.

Unter dem Material fallen insbesondere Politurmusterscherben auf, die eine teilweise feine Gitterstruktur besitzen.[608] Prinzipiell findet sich Politurmusterware bereits ab Emporio IX und Tigani II. Neben dickeren Gittermustern, die bereits in Tigani II[609] auftreten, sind die besten Vergleiche für eine derartige Verzierung mit einem recht filigranen Gittermuster aus Tigani III bekannt.[610] Knubbenapplikationen unterhalb des Gefäßrandes[611] als auch auf den oberen Henkelpartien eines Topfes[612] finden sich in Emporio VIII[613] und in Tigani II[614] und III.[615] Weiterhin sind aus der Malkayası-Höhle Dekorationen in Form von Ritzverzierung und Feldern mit Einstichen bekannt.[616] Ritzverzierungen finden sich auch in Emporio VIII[617] sowie in Tigani II[618] und III.[619] Die Einstichverzierung beschränkt sich hingegen auf Tigani III,[620] findet sich aber auch in Çine-Tepecik Höyüğü IV,[621] Ege Gübre II,[622] Kalymnos (Agio Varvara-Höhle),[623] der Karain-Höhle (II/III),[624] Liman Tepe VIIb[625] sowie der Tavabaşı-Höhle[626] (s. u. V.1.6.). Fragmente von *cheese pots*, teilweise mit Mattenabdrücken, widersprechen einer derartigen Datierung nicht.[627] Interessanterweise wurden weiß bemalte Scherben mit hängenden Dreiecken am inneren Gefäßrand gefunden, die aus Linienbündeln bestehen und allem Anschein nach zu offenen Gefäßen gehören.[628] Zwar findet sich in Emporio X–IX[629] sowie in Tigani I[630] eine vergleichbare Motivik, nur ist diese auf der Außenseite und an geschlossenen Gefäßen angebracht. Bessere Parallelen finden sich im Material von Orman Fidanlığı VII,[631] Aphrodisias-Pekmez SC 1,[632] Tigani IV,[633] Liman Tepe VIIa[634] und Beycesultan SC 2 und 3,[635] aber auch in der Ware H aus Demircihüyük[636] und eröffnen so eine Datierungsspanne vom späten 5. bis ins frühe 3. Jt. v. Chr.

Aufgrund der ausschnittsweise publizierten Keramik muss eine chronologische Einordnung unter Vorbehalt erfolgen. Auch eine Zuordnung der Keramik zu den einzelnen Nutzungshorizonten lässt sich anhand der Publikation nicht erschließen. Jedoch scheint eine Korrelation mit Emporio IX–VIII möglich. Im Falle der Parallelisierung mit Tigani deutet bis auf die Weißbemalung nichts auf eine Tigani I-zeitliche Stellung hin. Auch diese ist eher fragwürdig aufgrund der andersartigen Anbringung des Dekors und der Gefäßtypen und scheint für die Weißbemalung

608 Gerber 2006, 86, Abb. 82a–b; Peschlow-Bindokat – Gerber 2012, 109, Abb. 44.
609 Felsch 1988, Taf. 57.143.
610 Felsch 1988, Taf. 62.255.
611 Peschlow-Bindokat – Gerber 2012, 108, Abb. 42.
612 Gerber 2003, 84, Abb. 81c; Gerber 2006, 86, Abb. 79.
613 Hood 1981/1982, 262, Abb. 125.170, 174.
614 Felsch 1988, Taf. 58.157.
615 Felsch 1988, Taf. 65.304.
616 Peschlow-Bindokat – Gerber 2012, 110, Abb. 45.
617 Hood 1981/1982, 262, Abb. 125.170.
618 Felsch 1988, Taf. 65.300.
619 Felsch 1988, Taf. 59.209.
620 Felsch 1988, Taf. 61.248; 66.310–311.
621 Günel 2014b, 94, Taf. 1A.
622 Caymaz 2013, 97, Taf. 8.29; 98, Taf. 9.36–39.
623 Maiuri 1928, 108, Abb. 88.
624 Seeher 1988, 230, Abb. 5.12; 232, Abb. 7.15–17; vgl. Schoop 2005, 267, Taf. 91.20.
625 Tuncel im Druck.
626 Korkut et al. 2014, 118, Abb. 12.
627 Gerber 2006, 86, Abb. 81a–b; Peschlow-Bindokat – Gerber 2012, 110, Abb. 47; Gerber 2014, 124, Taf. 7B.1–2.
628 Gerber 2006, 87, Abb. 83; Peschlow-Bindokat – Gerber 2012, 108, Abb. 43.
629 Hood 1981/1982, 273, Abb. 130.245, 248.
630 Felsch 1988, Taf. 52.9; 53.61.
631 Efe 2001b, 105, Abb. 17.269–271.
632 Sharp Joukowsky 1986, 531, Abb. 384,11, 21, 27.
633 Felsch 1988, Taf. 69.381–388.
634 Caymaz 2013, 103, Abb. 14.13–18; Tuncel im Druck.
635 Lloyd – Mellaart 1962, 86, Abb. P.7.3; 88, Abb. P.8.14; vgl. Schoop 2005, Taf. 61.6.
636 Seeher 1987a, Taf. 28–29.

passendere Vergleiche in jüngerem Material zu besitzen. Weitaus besser ist das Material der Höhle mit den Funden aus Tigani II–III zu vergleichen. Somit scheint zumindest die Verortung eines Teils der Funde in die erste Hälfte des 5. Jts. v. Chr. vertretbar.

Interessant sind im Zusammenhang mit der Malkayası-Höhle auch die Felsmalereien, die sich im Latmos-Gebirge finden und deren Datierung, abgesehen von einer chronologischen Einordnung in das 5. Jt. v. Chr. aufgrund der Funde der Malkayası-Höhle, auch bis in spätneolithische Zeit zurückreichen kann.[637] Zusätzliche Hinweise auf eine mittelchalkolithische Zeitstellung liefern weitere, kürzlich entdeckte Felsmalereien aus der unteren Tavabaşı-Höhle in Lykien, die stilistisch mit denen aus dem Latmos-Gebirge vergleichbar sind.[638] Radiokarbondaten und Funde aus der Höhle sprechen für eine Datierung der Malereien in das 5. Jt. v. Chr. (s. u. III.4.1.4.10.) und unterstützen somit eine mögliche Einordnung der Felsmalereien im Umfeld der Malkayası-Höhle in die mittelchalkolithische Zeit.

Für das westanatolische Hinterland sind somit Siedlungen des 5. und 4. Jts. v. Chr. belegt. Die Keramik der mittelchalkolithischen Fundorte Malkayası und Çine-Tepecik lässt sich insbesondere aufgrund der Politurmusterware mit Fundorten in der Ostägäis als auch in der Troas vergleichen. Somit deuten sich schon im 5. Jt. v. Chr. weitreichende Kontakte an, die wahrscheinlich über die Flussläufe, vor allem dem Büyük Menderes, in das maritime Gebiet reichten. Im 4. Jt. v. Chr. lassen sich ebendiese Kontakte anhand von *rolled rims* ausmachen, die in der späten Phase von Aphrodisias-Pekmez (SC 3) und am Gavurtepe Höyük gefunden wurden. Das Fehlen dieses charakteristischen Elementes unter den Funden in Beycesultan deutet auf eine andersartige kulturelle Anbindung hin, die nicht vordergründig ägäisch gerichtet, sondern eher anatolisch geprägt ist.

III.4.1.4. Südwestanatolien

Neben den Funden aus Kuruçay Höyük im Seengebiet sind besonders die Inventare des lykischen Fundortes Bağbaşı und der Karain-Höhle im Norden von Antalya wichtig für die Besprechung der Chronologie des 5. und 4. Jts. v. Chr. in Südwestanatolien (Abb. 8).

III.4.1.4.1. Bademağacı Höyük

Eine Keramikgruppe, die in Bademağacı unterhalb der Frühbronzezeit 2-Besiedlung gefunden wurde, wird von G. Umurtak dem Spätchalkolithikum zugewiesen.[639] Neben Fundorten des 5. und 4. Jts. v. Chr. im gesamten westanatolischen Raum zieht sie vor allem Vergleiche aus den Fundorten Kuruçay Höyük und Beycesultan heran.[640] Die begrenzte Anzahl der Scherben erschwert eine chronologische Einordnung. Dennoch deuten Schalen mit einer konischen Grundform,[641] wie sie ab Beycesultan SC 3,[642] in Upper Bağbaşı,[643] in Kuruçay 6[644] sowie aus Demircihüyük[645] bekannt sind, auf eine etwa zeitgleiche Verortung eines Teils der Keramikgruppe. Auch ein Topf mit einem nach innen versetztem Kegelhals[646] findet eine Parallel unter den Funden aus Kaba Mallar, die

---

637 Peschlow-Bindokat 2003; Peschlow-Bindokat – Gerber 2004; Peschlow-Bindokat 2006; Peschlow-Bindokat – Gerber 2012. – Siehe auch <http://latmos-felsbilder.de/1003.php?l=ger> (19.07.2017).

638 Korkut 2013, 196–197, 204, Abb. 14; Korkut et al. 2014, 109–110; Korkut 2015.

639 Umurtak 2005.

640 Umurtak 2005, 55–56, 64–65, Tab. 1–2.

641 Umurtak 2005, 58, Abb 2.1–5; 59, Abb. 3.1–4.

642 Lloyd – Mellaart 1962, 96, Abb. P.10.21; 100, Abb. P.12.21; vgl. Schoop 2005, 152, Taf. 61.23, 26.

643 Eslick 1992, Taf. 12.4, 6; vgl. Schoop 2005, 185, Taf. 88.1–2.

644 Duru 1996, Taf. 55.4; vgl. Schoop 2005, Taf. 110.3.

645 Vgl. Ware F, Schalen Typ 3 nach Seeher 1987a, 39.

646 Umurtak 2005, 59, Abb. 3.5.

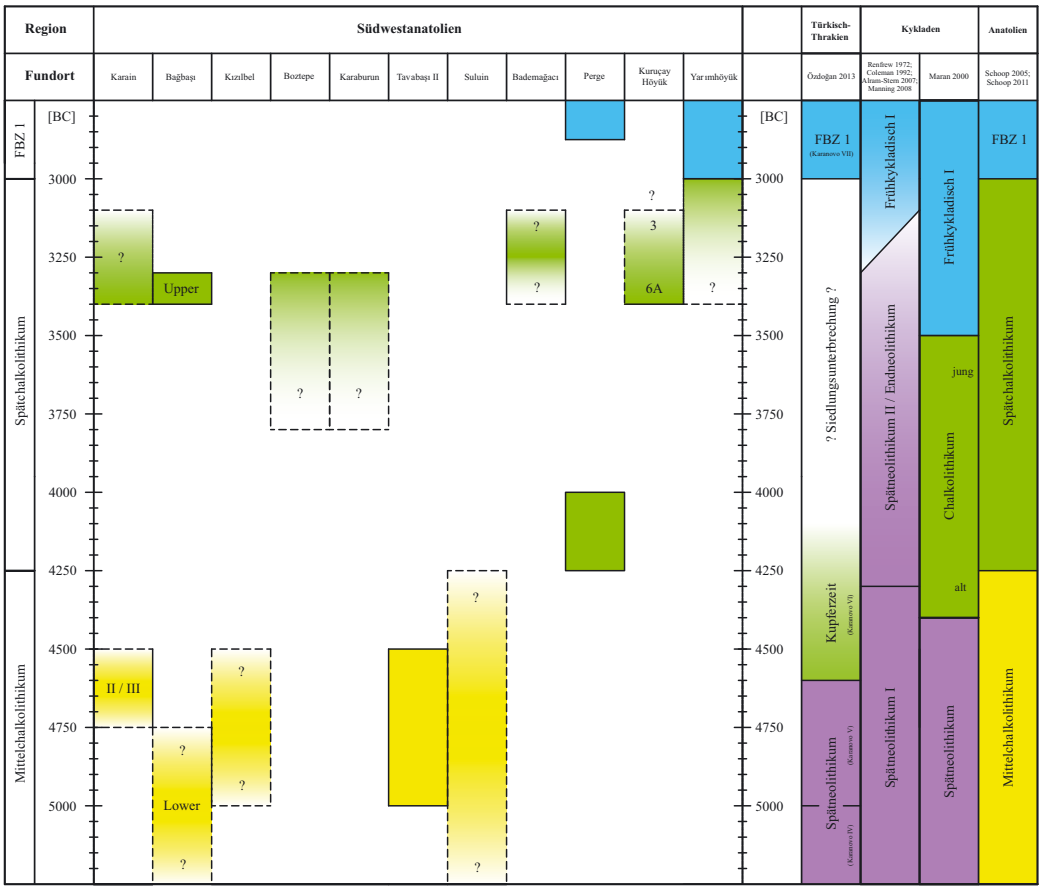


Abb. 8 Vorgeschlagene Chronologie für das Gebiet Südwestanatoliens.
(Graphik: Ch. Schwall/ERC Prehistoric Anatolia)

von Duru publiziert wurden.[647] Somit geben Vergleiche mit bestimmten Formen des Materials Hinweise auf eine mögliche Einordnung in die zweite Hälfte des 4. Jts. v. Chr.

III.4.1.4.2. Bağbaşı

Bei dem Fundort Bağbaşı handelt es sich um die Vorgängersiedlung des frühbronzezeitlichen Fundortes Karataş in der lykischen Elmalı-Ebene. Anhand der Befunde lassen sich zwei Besiedlungen unterschiedlicher Zeitstellung belegen. Eine ältere Siedlung „Lower Bağbaşı“, die von Eslick an den Beginn des 5. Jts. v. Chr. gesetzt wird, und eine jüngere Siedlung „Upper Bağbaşı“, die laut ihr um 4000 v. Chr. einzuordnen ist.[648] Eine Diskussion der Funde durch Schoop hat jedoch gezeigt, dass eine Korrelation der Funde von Upper Bağbaşı insbesondere mit den Schichten 6–5 von Kuruçay möglich ist und somit von einer Datierung ins 3. Viertel des 4. Jts. v. Chr. ausgegangen werden kann.[649]

647 Duru 1996, Taf. 99.6.
648 Eslick 1992, 101, Tab. 4.
649 Schoop 2005, 185, 191, Abb. 4.10.

Als Argumente hierfür führt Schoop an, dass ein Großteil der Schalen eine konische Form besitzen,[650] die mit denen aus Kuruçay 6[651] verglichen werden können. Auch die konische Becherform,[652] die in Beycesultan SC 4[653] auftaucht und sich ebenso in den Schichten Kuruçay 6–5[654] findet, spricht für eine derartige Datierung. Zudem zählen große Backplatten[655] zum Inventar, die auch in Kuruçay 6A[656] nicht unbekannt sind. Interessant sind weiterhin Vorratsgefäße.[657] Zwar zeigen diese nach Schoop in ihrer Allgemeinheit keine Tendenz zur Herausbildung von kegelförmigen Hälsen,[658] wie sie bereits vereinzelt ab Kuruçay 6[659] vorkommen und in Kuruçay 4 gängig werden, dennoch besitzt ein Randfragment aus Upper Bağbaşı[660] deutliche Parallelen. Eine weitere Parallele kann darüber hinaus in den eimerartigen Gefäßen gesehen werden, die sich wiederum neben Upper Bağbaşı[661] auch in Kuruçay 6[662] finden. Diese können unterrandständige Grifflappen[663] besitzen, wie sie in Kuruçay 6–3[664] und Boztepe[665] gefunden wurden. Ebenso sind derartige Grifflappen aus den nördlicheren Fundorten Barcın Höyük[666] als auch Demircihüyük[667] belegt (s. u. V.3.5.). Eslick erwähnt weiterhin die Präsenz von Mattenabdrücken, die sich auf den Böden von Gefäßen finden können.[668] *Cheese pots* sind im Inventar nicht vorhanden, dafür finden sich jedoch Backwannen und -platten ohne jegliche Hinweise auf Lochreihen.[669]

In Hinblick auf den Dekor findet sich ebenso wie in Kuruçay keine Weißbemalung auf den Gefäßen.[670] Lediglich eine Politurmusterscherbe stammt aus dem Inventar, die jedoch aufgrund der teilweise längeren Laufzeit dieser Verzierungsart (vgl. Beycesultan, Aphrodisias-Pekmez) nur geringe Relevanz besitzt. So kann die Einschätzung Schoops, dass das Inventar von Upper Bağbaşı deutliche Parallelen zu den Schichten Kuruçay 6A–5 aufweist, geteilt werden.

Bei der Keramik, die aus den unteren Schichten von Bağbaşı (Lower Bağbaşı) stammt, handelt es sich lediglich um wenige Stücke, die von Eslick mit Funden aus frühen Schichten von Tigani und Emporio verglichen werden.[671] Speziell zwei Hornhenkel aus dem Inventar deuten auf eine mittelchalkolithische Zeitstellung hin, jedoch muss eine abschließende zeitliche Einordnung des Materials aufgrund der geringen Zahl offen bleiben.[672]

III.4.1.4.3. Boztepe

Im Rahmen der Ausgrabungen eines antiken Grabhügels bei Boztepe wurde prähistorisches Material in einer dünnen Schicht unmittelbar oberhalb des anstehenden Felsens gefunden, wodurch

650 Eslick 1992, Taf. 12.4, 6; vgl. Schoop 2005, 185, Taf. 88.1–2.
651 Duru 1996, Taf. 55.4; vgl. Schoop 2005, Taf. 110.3.
652 Eslick 1992, Taf. 20.42; 21.43; vgl. Schoop 2005, 185, Taf. 88.11–12.
653 Lloyd – Mellaart 1962, 102, Abb. P.13.10.
654 Duru 1996, Taf. 59.6; 82.4.
655 Eslick 1992, Taf. 56.244; vgl. Schoop 2005, 185, Taf. 88.15.
656 Duru 1996, Taf. 57.2–3.
657 Eslick 1992, Taf. 44.128; 46.135; vgl. Schoop 2005, 185, Taf. 89.1, 3–4.
658 Schoop 2005, 185.
659 Duru 1996, Taf. 74.2.
660 Eslick 1992, Taf. 44.131; vgl. Schoop 2005, 185, Taf. 89.4.
661 Eslick 1992, Taf. 26.67; 29–31; 32.77–79; vgl. Schoop 2005, 185, Taf. 89.7–8.
662 Duru 1996, Taf. 71.9; 73.5; vgl. Schoop 2005, Taf. 115.6–7.
663 Eslick 1992, Taf. 26.67; 29–31; 32.77–79.
664 Duru 1996, Taf. 72.1–3; 74.2; 86.5; 92.3–4; 99.5–6.
665 Eslick 1992, 52–53, Taf. 69.25.
666 Gerritsen et al. 2010, 224, Abb. 11.2–3; vgl. Schoop 2005, 301, Taf. 138.27; Seeher 2012, 126, Abb. 2.3.
667 Seeher 1987a, 42, Taf. 27.7–9, 17–20; 28.1–8, 12; vgl. Schoop 2005, 277, Taf. 167.7–11.
668 Eslick 1992, 17.
669 Eslick 1992, 24, Taf. 56.
670 Schoop 2005, 185.
671 Eslick 1992, 70–71.
672 Vgl. Schoop 2005, 266.

auf eine Ansiedlung in diesem Bereich geschlossen werden kann. Das keramische Inventar deutet nach Eslick auf eine spätchalkolithische Zeitstellung hin.[673] So finden sich unter den Funden Schalen mit ausgestelltem Rand,[674] die auch in Beycesultan SC 1[675] vorkommen. Für eine derartige Einordnung sprechen weiterhin Schalen mit nach innen verdicktem Rand, die von Eslick als *rolled rim* angesprochen werden.[676] Diese signifikante Form, welche für eine Kumtepe IB-zeitliche Datierung in der zweiten Hälfte des 4. Jts. v. Chr. spricht, findet sich zwar auch in Aphrosidias-Pekmez SC 3, unterscheidet sich aber von den hier gefundenen Exemplaren.[677] Weiterhin ist ein Fragment eines *cheese pot* unter den Funden.[678] Unterrandständige Grifflappen,[679] teilweise hochgebogen, die von größeren Gefäßen stammen, finden sich an Gefäßen in Kuruçay 6–3.[680] Weitere können aus Upper Bağbaşı,[681] Barcın Höyük[682] und Demircihüyük[683] angeführt werden (s. u. V.3.5.). Interessant ist zudem ein Bruchstück mit drei in einer Reihe aufgesetzten, knubbenartigen Applikationen.[684] Vergleiche für eine solche Dekoration sind aus dem nahe gelegenem Karaburun[685] sowie aus Liman Tepe VIIa[686] bekannt. Aufgrund der Parallelen scheint eine generelle Verortung des Materials in die 2. Hälfte des 4. Jts. v. Chr. denkbar, wobei ein Teil der Funde, repräsentiert durch die Schalen mit ausgestellten Rändern, eine ältere Datierung im 4. Jt. v. Chr. andeuten könnte.

III.4.1.4.4. Karaburun

Im Zuge weiterer Ausgrabungen von antiken Tumuli konnten Besiedlungsspuren unterhalb der Grabbauten von Karaburun ausgemacht werden.[687] Neben dem Fragment eines *cheese pot*,[688] deuten insbesondere Schalen mit ausgestelltem Rand,[689] vergleichbar mit denen aus Boztepe[690] und Beycesultan SC 1,[691] eine spätchalkolithische Zeitstellung an. Ein Fragment einer solchen Schale besitzt darüber hinaus auf dem Rand knubbenartige Applikationen,[692] die sich auch auf Scherben aus Boztepe[693] sowie in Liman Tepe VIIa[694] finden.

III.4.1.4.5. Karain-Höhle

Aus der Karain-Höhle stammen Funde, die sich bemerkenswerterweise mit Funden vom Beşik-Sivritepe als auch mit denen aus der Phase Tigani III vergleichen lassen, was bereits Seeher

673 Eslick 1992, 52–53.
674 Eslick 1992, 52–53, Taf. 67.1–3.
675 Vgl. beispielsweise Lloyd – Mellaart 1962, 72, Abb. P.1.4; 74, Abb. P.2.11–12.
676 Eslick 1992, 52–53, Taf. 67.5–9.
677 Sharp Joukowsky 1986, 555, Abb. 399.3.
678 Eslick 1992, 52–53, Taf. 68.21.
679 Eslick 1992, 52–53, Taf. 69.22–25.
680 Duru 1996, Taf. 72.1–3; 73.5; 74.2; 86.5; 92.3–4; 99.5–6.
681 Eslick 1992, Taf. 26.67; 29–31; 32.77–79.
682 Gerritsen et al. 2010, 224, Abb. 11.2–3; vgl. Schoop 2005, 301, Taf. 138.27; Seeher 2012, 126, Abb. 2.3.
683 Seeher 1987a, 42, Taf. 27.7–9, 17–20; 28.1–8, 12; vgl. Schoop 2005, 277, Taf. 167.7–11.
684 Eslick 1992, 71, Taf. 68.20.
685 Eslick 1992, 55, Taf. 70.1.
686 Caymaz 2013, 103, Abb. 14.21, 40–41; Tuncel im Druck.
687 Eslick 1992, 54.
688 Eslick 1992, 55, Taf. 73.26.
689 Eslick 1992, 55, Taf. 70.1–2.
690 Eslick 1992, 52–53, Taf. 67.1–3.
691 Vgl. beispielsweise: Lloyd – Mellaart 1962, 72, Abb. P.1.4; 74, Abb. P.2.11–12.
692 Eslick 1992, 55, Taf. 70.1.
693 Eslick 1992, 53, Taf. 68.20.
694 Caymaz 2013, 103, Abb. 14.21, 40–41; Tuncel im Druck.

erkannte und Schoop in seiner Arbeit unterstrich.[695] Eine Einordnung in das 2. Viertel des 5. Jts. v. Chr. sieht Schoop anhand von mehreren Parallelen.[696] Hervorzuheben sind vor allem Hornhenkel,[697] Henkel mit Knubbenapplikationen,[698] Scherben mit Politurmusterverzierung auf der Innenseite,[699] Ritzverzierung,[700] sowie Zonen mit Einstichverzierung.[701] Neben Fragmenten, welche die Präsenz von Krügen mit abgesetztem, kegelförmigen Hals[702] andeuten, finden sich mehrere Bruchstücke von *cheese pots*[703] im Inventar. Abgesehen von der Keramik stammt sowohl aus den älteren als auch aus den jüngst durchgeführten Grabungen jeweils ein Fragment einer Kiliya-Figurine,[704] wodurch neben der Keramik eine Verbindung mit der Troas unterstrichen wird. Trotz der Lage der Höhle am Rand der Ebene von Antalya und somit zugänglich von der Küste erstaunt die Nähe des Materials zum troadischen Fundort. Schoop schließt daraus auf eine äquivalente Kulturentwicklung im Seengebiet.[705] Darüber hinaus deuten die Funde einen gewissen Interaktionsraum an, bei dem speziell den maritimen und fluvialen Wasserwegen eine hohe Bedeutung zugesprochen werden muss.

Interessanterweise sprechen Funde, die bereits bei den Ausgrabungen von Kökten zutage kamen und von Duru publiziert wurden, für eine spätchalkolithische Nutzung der Höhle. Es handelt sich dabei um Becher mit einer konkaven Halspartie und einem randständigen Henkel,[706] für die sich gute Parallelen ab der Phase 6 in Kuruçay[707] finden.

III.4.1.4.6. Kızılbel

Funde, die für eine kontemporäre Einordnung zu den Funden aus den unteren Schichten von Bağbaşı sprechen, stammen aus der Anschüttung und der Umgebung des antiken Grabhügels von Kızılbel.[708] Relevant für eine möglicherweise mittelchalkolithische Datierung ist ein Henkel mit aufgesetzter Knubbe.[709] Ebensolche Henkel sind aus Tigani III,[710] aber auch aus Emporio VIII[711] bekannt. Neben dem Henkel zählt das Fragment eines *cheese pot*[712] zu den Funden, wodurch eine mittelchalkolithische Datierung möglich erscheint. Dennoch muss auch hier eine abschließende chronologische Bewertung offen bleiben.

III.4.1.4.7. Kuruçay Höyük

Auf die frühchalkolithische Sequenz von Kuruçay (nach Level 7) folgt ein Hiatus.[713] Erst im Spätchalkolithikum setzt mit Level 6A bis 3 wieder eine Besiedlung ein. Radiokarbondaten des

---

695 Seeher 1988, 223–225; Schoop 2005, 266–267.
696 Schoop 2005, 266–267, 271, Abb. 6.10.
697 Seeher 1988, 231, Abb. 6.14; vgl. Schoop 2005, 267, Taf. 91.24.
698 Seeher 1988, 230, Abb. 5.5–6, 9.
699 Seeher 1988, 231, Abb. 6.27–28; Schoop 2005, 267, Taf. 91.18–19.
700 Seeher 1988, 231, Abb. 6.15; 232, Abb. 7.11–12; Schoop 2005, 267, Taf. 91.21.
701 Seeher 1988, 230, Abb. 5.12; 232, Abb. 7.15–17; vgl. Schoop 2005, 267, Taf. 91.20.
702 Seeher 1988, 231, Abb. 6.37; 232, Abb. 7.3; Schoop 2005, 266–267, Taf. 91.16–17.
703 Seeher 1988, 233, Abb. 8.10–11, 19–21; Schoop 2005, 266, Taf. 91.25–26.
704 Seeher 1988, 238, Abb. 13.2; Kartal – Yalçınkaya 2012, 29, Abb. 5–6; Yalçınkaya et al. 2013, 15, Abb. 4.
705 Schoop 2005, 267.
706 Duru 1996, 47, 123, Taf. 99.7–9.
707 Duru 1996, Taf. 53.5–6, 13; vgl. Schoop 2005, 166, Taf. 110.9–11, 15–16.
708 Eslick 1992, 56.
709 Eslick 1992, 69, Taf. 74.2.
710 Felsch 1988, Taf. 30.3–4; 63.271.
711 Hood 1981/1982, 262, Abb. 125.170.
712 Eslick 1992, 69, Taf. 75.14.
713 Duru 1996, 1, 107.

ältesten Levels 6A deuten eine Wiederbesiedlung des Platzes am Beginn der zweiten Hälfte des 4. Jts. v. Chr. an.[714]

Im Inventar der Schichten 6A und 6 sind nach Schoop offene Gefäße durch kalottenförmige oder leicht S-profilierte Schalen vertreten.[715] Eine schwach ausgeprägte Kehlrandschale ist unter den Schalen ebenfalls zu erwähnen.[716] Ab den frühesten Schichten finden sich zudem Backplatten im Inventar.[717] Auffallend ist die hohe Anzahl an geschlossenen Gefäßen, speziell kleinformatigen Bechern und mittelgroßen Kannen. Die Becher besitzen eine lange, konkave Halspartie, die zum Unterteil leicht abgesetzt sein kann, mit ein oder zwei randständigen Henkeln.[718] Ab Schicht 6 sind zudem konische Becher im Inventar vertreten.[719] Die Kannen haben eine vergleichbare Gestalt mit ein bis zwei Henkeln, sind jedoch höher und haben eine gestrecktere Form.[720] Weiterhin hebt Schoop eimerartige Gefäße[721] und Krüge mit horizontalen Grifflappen[722] hervor. Interessant sind kleine Krüge, ebenfalls mit konkaver Halspartie und hochgebogenen, durchbohrten Griffknubben am Schulterumbruch.[723] Weißbemalung findet sich nicht auf den Gefäßen. Linearer Dekor ist lediglich in Form von Ritzverzierung vertreten, welche aus gittergefüllten Dreiecken oder Horizontalbändern besteht.[724] Zickzacklinien finden sich darüber hinaus auf Henkeln.[725]

Schoop merkt an, dass sich das Inventar der darauf folgenden Schichten 5–4 nicht grundlegend von dem der Vorherigen unterscheidet.[726] Kalottenförmige Schalen finden sich weiterhin.[727] Neben Bechern mit einer langen, konkaven Halspartie kommen nun auch solche mit einer konischen Halspartie oder konischer Form auf.[728] Die Kannen behalten ihre Form bei.[729] Bei den Vorratsgefäßen zeichnet sich eine Tendenz zur Ausbildung kegelartiger Hälse ab.[730] Als Neuerung können Töpfe mit randständigen Grifflappen angesehen werden.[731] Schoop erwähnt weiterhin zwei komplett erhaltene „Spundlochkrüge".[732] Ritzverzierung findet sich nun nicht mehr auf den Gefäßen.[733]

Das Material der Schicht 3 behält grundsätzlich die Formen der älteren Schichten bei. Es finden sich Becher mit konkaver oder konischer Halspartie.[734] Die Kannen und auch die Vorratsgefäße gleichen den zuvor erwähnten.[735] Neu sind hingegen Becher mit einem randständigen oder überrandständigen Henkel und unregelmäßiger Form[736] sowie birnenförmige Krüge mit nach oben gebogenen Griffknubben.[737]

Bei der Diskussion der chronologischen Stellung des Kuruçay-Materials hat Schoop bereits herausgestellt, dass sich für die Keramik der Schichten 6A–3 die besten Parallelen in den Phasen

---

714 Duru 1996, 102; Schoop 2005, 189.
715 Duru 1996, Taf. 55.1, 4–5; vgl. Schoop 2005, 166, Taf. 110.3–5.
716 Duru 1996, Taf. 58.2.
717 Duru 1996, Taf. 57.2–3; Schoop 2005, 166.
718 Duru 1996, Taf. 53.5–6, 13; vgl. Schoop 2005, 166, Taf. 110.9–11, 15–16.
719 Duru 1996, Taf. 59.6.
720 Duru 1996, Taf. 53.15, 20–21; 54.5, 9; vgl. Schoop 2005, 166, Taf. 111.3–4, 6.
721 Duru 1996, Taf. 71.9; 73.5; vgl. Schoop 2005, 166, Taf. 115.6–7.
722 Duru 1996, Taf. 75.4; vgl. Schoop 2005, 166, Taf. 116.3.
723 Duru 1996, Taf. 64.9–10; vgl. Schoop 2005, 166, Taf. 114.7–8.
724 Duru 1996, Taf. 58.9; 65.1; vgl. Schoop 2005, 166, Taf. 110.6; 115.3.
725 Duru 1996, Taf. 54.2; vgl. Schoop 2005, 166, Taf. 111.1.
726 Schoop 2005, 166.
727 Duru 1996, Taf. 85.5; 94.8; vgl. Schoop 2005, 166, Taf. 117.3; 119.3.
728 Duru 1996, Taf. 82.4, 11, 13; 87.5, 7, 14; vgl. Schoop 2005, 166, Taf. 117.7, 9–10; 119.16–18.
729 Duru 1996, Taf. 83.6; 88.6; vgl. Schoop 2005, 166, Taf. 117.16; 119.23.
730 Duru 1996, Taf. 93.1; vgl. Schoop 2005, 166, Taf. 120.5.
731 Duru 1996, Taf. 94.1–2; vgl. Schoop 2005, 166, Taf. 121.2–3.
732 Duru 1996, Taf. 86.5; 92.4; vgl. Schoop 2005, 166, Taf. 118.1; 120.4.
733 Schoop 2005, 166.
734 Duru 1996, Taf. 96.8, 10; 98.3; vgl. Schoop 2005, 166, Taf. 121.13, 17, 19.
735 Duru 1996, Taf. 97.1; 100.1; vgl. Schoop 2005, 166, Taf. 122.7, 9.
736 Duru 1996, Taf. 98.14–15; vgl. Schoop 2005, 166, Taf. 122.1, 5.
737 Duru 1996, Taf. 97.9–10; vgl. Schoop 2005, 166, Taf. 123.1–2.

SC 3–4 von Beycesultan finden.[738] Vergleiche sieht er so zum einen in den Bechern mit einer langen, konkaven Halspartie, die bis in SC 4[739] durchlaufen, zum anderen auch in der Entwicklung der konischen Becher und Tassenformen, welche ab SC 3[740] auftreten. Ferner kommen die seit Kuruçay 6A gängigen eimerartigen Gefäßformen insbesondere in Beycesultan SC 4 vor.[741] Unterrandständige Grifflappen, die wohl zu den Gefäßen gehören, finden sich in Kuruçay 6–3.[742] Parallelen hierfür können aus Upper Bağbaşı,[743] Boztepe[744] als auch von den nördlichen Fundorten Barcın Höyük[745] und Demircihüyük[746] angeführt werden (s. u. V.3.5.). Randständige Grifflappen sind ebenfalls in Barcın Höyük[747] nachgewiesen.

Vorratsgefäße mit einer kegelförmigen Halspartie sucht man in Beycesultan als auch in Aphrodisias-Pekmez hingegen vergebens.[748] Das völlige Fehlen der Weißbemalung widerspricht ebenfalls nicht einer parallelen Zeitstellung, da diese von Beycesultan SC 1 bis SC 4 stetig abnimmt.[749] Dass die flüchtige Präsenz von Ritzverzierung sich lediglich auf die ältesten Schichten von Kuruçay (6A–6) beschränkt und der linearen Motivik der Weißbemalung nahe steht, spricht auch für eine jüngere Position der Funde.[750] Somit scheint Schoops Einstufung, die Kuruçay-Sequenz unmittelbar nach Beycesultan (ab 3400 v. Chr.) anzusetzen, durchaus vertretbar.[751] Ein Abbruch ist aufgrund des Hiatus am Anfang des 3. Jts. v. Chr. im letzten Viertel des 4. Jts. v. Chr. zu vermuten.[752] Für eine Verortung in der späten 2. Hälfte des 4. Jts. v. Chr. sprechen auch die kleinen Krüge mit hochgebogenen Griffknubben, die zwar ohne Standfüße, aber von der Form her den klassischen kleinen Halsgefäßen der Yortankultur[753] ähneln und vermutlich bereits eine Tendenz hin zur Entwicklung des frühbronzezeitlichen Formenspektrums erkennen lassen.

III.4.1.4.8. Perge

Lediglich eine Kinderbestattung, die auf der Akropolis von Perge zutage kam, deutet eine frühe spätchalkolithische Siedlungsaktivität in diesem Bereich an.[754] Anhand von Radiokarbondatierungen kann die Bestattung in das letzte Viertel des 5. Jts. v. Chr. eingeordnet werden.[755] Eine Auswertung der prähistorischen Keramik von der Akropolis erbrachte keine weiteren Hinweise im Hinblick auf eine Verifizierung dieser Zeitstellung.[756] Darüber hinaus belegen weitere Radiokarbondaten eine Besiedlung in der beginnenden Frühbronzezeit.[757]

738 Schoop 2005, 184–185.
739 Lloyd – Mellaart 1962, 96, Abb. P.10.11; vgl. Schoop 2005, 184.
740 Lloyd – Mellaart 1962, 102, Abb. P.13.10; vgl. Schoop 2005, 184.
741 Lloyd – Mellaart 1962, 102, Abb. P.13.1. 7; vgl. Schoop 2005, 184.
742 Duru 1996, Taf. 72.1–3; 74.2; 86.5; 92.3–4; 99.5–6.
743 Eslick 1992, Taf. 26.67; 29–31; 32.77–79.
744 Eslick 1992, 52–53, Taf. 69.25.
745 Gerritsen et al. 2010, 224, Abb. 11.2–3; vgl. Schoop 2005, 301, Taf. 138.27; Seeher 2012, 126, Abb. 2.3.
746 Seeher 1987a, 42, Taf. 27.7–9, 17–20; 28.1–8, 12; vgl. Schoop 2005, 277, Taf. 167.7–11.
747 Gerritsen et al. 2010, 224, Abb. 11.4.
748 Schoop 2005, 184.
749 Schoop 2005, 151.
750 Schoop 2005, 184.
751 Schoop 2005, 191, Abb. 4.10.
752 Duru 1996, 1, 107.
753 Vgl. Kâmil 1982, Abb. 25–27.
754 Martini 2003, 56–57.
755 Abbasoğlu – Martini 1996, 123, 127, Abb. 5–6; Abbasoğlu 2004a, 46; Martini 2010, 14, Anm. 32.
756 Umurtak 2003.
757 Martini 2010, 16, Anm. 40.

III.4.1.4.9. Suluin-Höhle

Laut dem Ausgräber stammt aus dieser Höhle Material, das sich mit den Funden aus der Karain-Höhle vergleichen lässt und so für eine mittelchalkolithische Einordnung spricht.[758] Mangels publizierter Keramik kann diese chronologische Einordnung nicht überprüft werden.

III.4.1.4.10. Tavabaşı-Höhle

Aus der unteren Tavabaşı-Höhle in der Nähe von Tlos liegen zwei Radiokarbondaten vor, welche in die erste Hälfte des 5. Jts. v. Chr. weisen und somit grundsätzlich in die Zeit von Kumtepe IA sowie dem Beşik-Sivritepe/Gülpınar-Horizont einzuordnen sind.[759] Die spärlich publizierte Keramik zeigt einen Hornhenkel sowie Henkel mit Pilzkopfapplikationen, die keinesfalls gegen eine solche Datierung sprechen.[760] Neben diesen finden sich Scherben mit feldförmigen Ritzverzierungen, die wiederum mit Einstichen verziert sind. Eine vergleichbare Verzierung ist ebenso von Tigani III[761] als auch von weiteren westanatolischen Fundorten wie beispielsweise der Malkayası-Höhle[762] bekannt (s. u. V.1.6). Ob es sich bei weiteren vier Scherben um Politurmusterscherben handelt, muss aufgrund der Abbildung offen bleiben. Jedenfalls sprechen die Funde nicht gegen eine mittelchalkolithische Zeitstellung in der ersten Hälfte des 5. Jts. v. Chr.

III.4.1.4.11. Yarımhöyük

Eine Einordnung des Yarımhöyük gestaltet sich aufgrund der geringen Menge des Materials als schwierig. Den Ausgräbern zufolge datiert das Material des Fundortes in das ausgehende Spätchalkolithikum und in die beginnende Frühbronzezeit.[763] Lediglich ein eimerartiges Gefäß mit zwei Vertikalhenkeln[764] könnte für eine spätchalkolithische Datierung sprechen. Ein Vergleich für ein solches Gefäß findet sich in der Schicht Kuruçay 6.[765] Zudem sind eimerartige Gefäße auch aus Upper Bağbaşı[766] bekannt. Eine abschließende Bewertung der chronologischen Position muss daher auch hier offen bleiben.

Im südwestanatolischen Gebiet, insbesondere im Seengebiet und in Lykien, sind mehrere Fundorte mittel- und spätchalkolithischer Zeitstellung bekannt. Neben Hinweisen auf eine Nutzung unterschiedlicher Höhlen im 5. Jt. v. Chr. (Karain-Höhle, Tavabaşı-Höhle, Suluin-Höhle), deuten weitere Funde aus der Karain-Höhle zudem eine Nutzung in spätchalkolithischer Zeit an. Weitere Hinweise auf eine mittelchalkolithische Zeitstellung sind von Kızılbel und Lower Bağbaşı in der Elmalı-Ebene bekannt. Die Siedlung Upper Bağbaşı sowie die Funde von Boztepe und Karaburun können wohl dem Spätchalkolithikum zugerechnet werden. In Pamphylien und Pisidien weisen weiterhin Funde von der Akropolis in Perge als auch von dem Bademağacı Höyük auf eine Zeitstellung im 4. Jt. v. Chr. hin. Ebenfalls in diesen Zeitraum gehört die Siedlung vom Kuruçay Höyük im Seengebiet, welche bislang die am großflächigsten ergrabene Siedlung des Spätchalkolithikums in diesem Raum darstellt. Für den unweit gelegenen Yarımhöyük scheint eine spätchalkolithische bis frühbronzezeitliche Datierung annehmbar.

Bemerkenswerterweise finden sich die Siedlungen in küstennahen Regionen oder unweit der Flussläufe, die das Hinterland erschließen, weshalb auch in dieser Region bereits im 5. und

---

758 Taşkıran 2011; Taşkıran 2012, 55; Taşkıran et al. 2012, 5–9; Taşkıran 2013.
759 Korkut et al. 2014, 109; Korkut et al. 2015, 39–40.
760 Korkut et al. 2014, 118, Abb. 12; Korkut et al. 2015, 40, Abb. 5.
761 Felsch 1988, Taf. 61.248.
762 Peschlow-Bindokat – Gerber 2012, 110, Abb. 45.
763 Ekinci – Öztürk 1999, 47.
764 Ekinci – Öztürk 1999, 55, Abb. 7.
765 Duru 1996, Taf. 71.9; 73.5; vgl. Schoop 2005, Taf. 115.6–7.
766 Eslick 1992, Taf. 26.67; 29.71; vgl. Schoop 2005, 185, Taf. 89.7–8.

4. Jt. v. Chr. von einer ausgeprägten Konnektivität unter Nutzung der Wasserwege ausgegangen werden muss.

III.4.1.5. Nordwestanatolien

Im nordöstlichen Bereich Westanatoliens stellen insbesondere die jüngst von Seeher (2012) zusammenfassend betrachteten Funde von Demircihüyük, Ilıpınar und Barcın Höyük wichtige Marker für das Spätchalkolithikum in diesem Raum dar. Hinweise auf eine mittel- bis spätchalkolithische Zeitstellung im späten 5. Jt. v. Chr. in diesem Gebiet sind lediglich aus Orman Fidanlığı bekannt (Abb. 9). Auf eine Diskussion der ehemals als spätchalkolithisch eingeschätzten Fundorte Kaklık Mevkii und Kusura A wird aufgrund der bereits publizierten Revisionen verzichtet.[767]

III.4.1.5.1. Barcın Höyük

Die Keramik der Phasen SC 1–3 (≙ der neuen Phase V) aus Barcın Höyük wurde zuletzt im Kontext einer erneuten Betrachtung zusammen mit den Funden aus Demircihüyük und Ilıpınar von Seeher diskutiert.[768]

Auffallend ist besonders die hohe Anzahl an Kehlrandschalen[769] gegenüber den Knickrandschalen[770] im Inventar. Neben den Schalen sind weiterhin ein- und zweihenklige Krüge bekannt.[771] Geschlossene Gefäße aus grober Ware können unterrandständige als auch randständige Grifflappen tragen.[772]

Bereits L. Thissen hat die Nähe der Keramik zu den Funden aus Ilıpınar IV hervorgehoben, erwähnt jedoch, dass sich die aus Ilıpınar bekannten Tulpenbecher in Barcın Höyük nicht finden.[773] Ein Radiokarbondatum aus Barcın Höyük datiert zwischen 3900 und 3700 v. Chr.[774] Seeher hebt neben Ilıpınar IV die Parallelen zum Inventar aus Demircihüyük hervor.[775] Darüber hinaus vergleicht er einen Krug[776] mit zwei randständigen Vertikalhenkeln, die eine Knubbe am Randansatz besitzen, mit Gefäßen aus Beycesultan SC 3.[777] Für eine solche chronologische Einordnung können eventuell auch die Grifflappen sprechen, die sich in Demircihüyük,[778] Upper Bağbaşi,[779] Boztepe[780] sowie in Kuruçay 6–3[781] finden (s. u. V.3.5.).

Aufgrund der Vergleiche der drei Fundorte geht Seeher von einer älteren Zeitstellung der Keramik aus Barcın Höyük gegenüber der aus Ilıpınar aus; die Funde aus Demircihüyük deuten hingegen eine Verortung zwischen den beiden Inventaren an.[782]

---

767 Zu Kaklık Mevkii siehe Schoop 2005, 301; Seeher 2012, 122. Zu Kusura A siehe Parzinger 1993, 226.

768 Seeher 2012. – In Gerritsen et al. 2013, 94 werden die Befunde des Chalkolithikums als Phase V benannt.

769 Roodenberg et al. 2008, 65, Abb. 8.9, 19; 73, 87–90, 97; Gerritsen et al. 2010, 205, 220, Abb. 7.4–7; 221, Abb. 8; vgl. Seeher 2012, 119, 125, Abb. 1.1–2.

770 Gerritsen et al. 2010, 205, 220, Abb. 7.3; vgl. Seeher 2012, 119, 125, Abb. 1.3.

771 Gerritsen et al. 2010, 205, 222, Abb. 9.3; 223, Abb. 10.4; vgl. Seeher 2012, 120, 126, Abb. 2.1–2.

772 Gerritsen et al. 2010, 205, 224, Abb. 11.2–4; vgl. Seeher 2012, 120, 126, Abb. 2.3.

773 Thissen 1989/1990, 92, 138, Abb. 1–2; Roodenberg 2001, 352–353, Abb. 2.2; Roodenberg 2008, 319, 327, Abb. 8.2, 9; 328, Abb. 9.2; 329, Abb. 10.1–3; 330, Abb. 11.3, 6–7; 331, Abb. 12.3; vgl. Schoop 2005, 205, Taf. 138. 26–27; Seeher 2012, 120, 125, Abb. 1.10–11.

774 Roodenberg et al. 2008, 55, 62, Abb. 5; Gerritsen et al. 2010, 198.

775 Seeher 2012, 120.

776 Gerritsen et al. 2010, 205, 222, Abb. 9.3; vgl. Seeher 2012, 119, 126, Abb. 2.1.

777 Lloyd – Mellaart 1962, 88, Abb. P.8.18; 92, Abb. P.9.23; vgl. Seeher 2012, 121.

778 Seeher 1987a, 42, Taf. 27.7–9, 17–20; 28.1–8, 12; vgl. Schoop 2005, 277, Taf. 167.7–11.

779 Eslick 1992, Taf. 69.22–25.

780 Eslick 1992, 52–53, Taf. 69.25.

781 Duru 1996, Taf. 72.1–3; 74.2; 86.5; 92.3–4; 99.5–6.

782 Seeher 2012, 122.

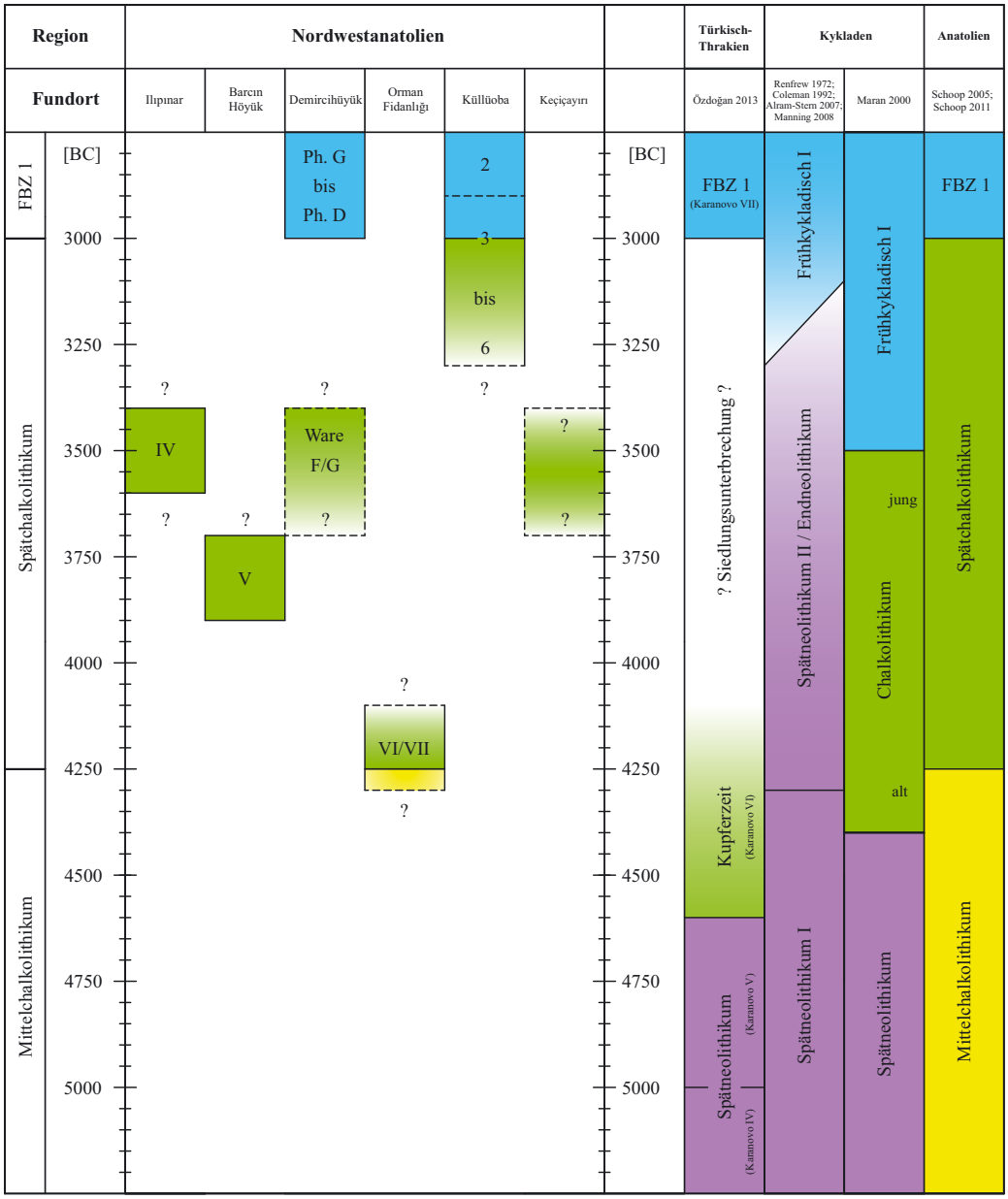


Abb. 9 Vorgeschlagene Chronologie für das Gebiet Nordwestanatoliens.
(Graphik: Ch. Schwall/ERC Prehistoric Anatolia)

III.4.1.5.2. Demircihüyük

Bei den Funden von Demircihüyük handelt es sich um verlagertes Material in frühbronzezeitlichen Kulturschichten (Phase D–G),[783] das von Seeher in mehrere Warengruppen eingeteilt

[783] Zum Bezug Seehers auf die Phaseneinteilung siehe Seeher 1987a, 103–107.

wurde.[784] Dem späten Chalkolithikum werden nach seiner Einteilung die Waren F („Spätchalkolithische Feine Ware“) und G („Spätchalkolithische Grobe Ware“) zugewiesen.[785]

Dominiert wird das Formenspektrum der feinen Ware von Kehlrandschalen, Knickrandschalen sowie Schalen mit nach außen verbreiterter Randlippe.[786] Neben den Kehlrandschalen finden sich auch solche mit nach innen geklapptem Rand.[787] Ein Schalenfragment besitzt zudem eine Hohlbasis.[788] Neben den Schalen sind kleinformatige, bauchige Krüge mit randständigem Henkel und unterschiedlicher Halsform (konisch, zylindrisch, S-förmig) aus dieser Ware gefertigt.[789] Als Dekor ist lineare Ritzverzierung zu nennen.[790] Dieser beschränkt sich auf mehrere parallele Einritzungen in definierten Zonen.

Der groben Ware können vor allem Töpfe zugewiesen werden. Hierbei handelt es sich um Formen mit einer konischen oder konvexen Wandung[791] oder um Exemplare mit einer Einschnürung unterhalb des Randes.[792] Unterrandständige, breite Grifflappen sowie Griffknubben aus eben dieser Ware legen eine Verbindung zu diesen Töpfen nahe. Die Grifflappen besitzen eine abgerundete, etwa rechteckige bis trianguläre und trapezförmige Gestalt.[793] Neben den Töpfen findet sich ein Fragment einer Backplatte, das aus dieser Ware gefertigt wurde.[794]

Bereits Seeher hat die spätchalkolithischen Waren F und G in einen späten Abschnitt seines Spätchalkolithikums eingeordnet.[795] Dabei zieht er für die Kehl- und Knickrandschalen Parallelen aus Beycesultan SC 3–4 heran.[796] Ebenso stellt er heraus, dass Knickrandschalen keineswegs ausschließlich als „Leitfossil“ für Troia I betrachtet werden dürfen, da diese bereits in spätchalkolithischer Zeit einsetzen.[797] Die Seriation der frühbronzezeitlichen Keramik durch B. Weninger in Troia zeigt deutlich, dass die Knickrandschalen (Blegen Typ A12) bereits in hoher Anzahl im Fundspektrum ganz am Beginn von Troia Ia vertreten sind.[798] Eine Entwicklung dieser Form bereits in spätchalkolithischer Zeit wird somit unterstützt. Passende Vergleiche für Schalen mit einer Lippe, die nach außen verbreitert ist, sind interessanterweise auch aus der Keramikgruppe von Bademağacı bekannt und werden nach Umurtak dem Spätchalkolithikum zugewiesen.[799] Für eine spätchalkolithische Einordnung des Materials sprechen weiterhin die unterrandständigen Grifflappen, wie sie in Upper Bağbaşi,[800] Boztepe[801] sowie in Kuruçay 6–3[802] als auch in Barcın Höyük[803] gefunden wurden.[804] Neben den Grifflappen sind ebenso Backplatten aus Upper

[784] Seeher 1987a, 13; Schoop 2005, 274–275.
[785] Seeher 1987a, 21–22.
[786] Seeher 1987a, 39, Taf. 24–25; vgl. Schoop 2005, 277, Taf. 166.1–15.
[787] Seeher 1987a, Taf. 25.9, 12, 18.
[788] Seeher 1987a, 40, Taf. 25.21; vgl. Schoop 2005, 277, Taf. 166.13.
[789] Seeher 1987a, 40, Taf. 26.1–6; vgl. Schoop 2005, 277, Taf. 166.19–23.
[790] Seeher 1987a, 42, Taf. 26.15–19; Schoop 2005, 301, Taf. 166.16–18.
[791] Seeher 1987a, 41, Taf. 26.24–26; 27.5; vgl. Schoop 2005, 277, Taf. 167.1.
[792] Seeher 1987a, 41, Taf. 27.1–4, 6; vgl. Schoop 2015, 277, Taf. 167.4–5.
[793] Seeher 1987a, 42, Taf. 27.7–9, 17–20; 28.1–8, 12; vgl. Schoop 2005, 277, Taf. 167.7–11.
[794] Seeher 1987a, 42, Taf. 27.11; vgl. Schoop 2005, 277, Taf. 167.2.
[795] Seeher 1987a, 63, Abb. 13.
[796] Seeher 1987a, 60, 63; vgl. Schoop 2005, 300.
[797] Seeher 1987a, 62.
[798] Weninger 2002, 1050, Abb. 5.
[799] Umurtak 2005, 59, Abb. 3.1–3.
[800] Eslick 1992, Taf. 69.22–25.
[801] Eslick 1992, 52–53, Taf. 69.25.
[802] Duru 1996, Taf. 72.1–3; 74.2; 86.5; 92.3–4; 99.5–6.
[803] Gerritsen et al. 2010, 224, Abb. 11.2–3; vgl. Schoop 2005, 301, Taf. 138.27; Seeher 2012, 126, Abb. 2.3.
[804] Seeher 1987a, 61.

Bağbaşi[805] als auch Kuruçay 6A–6 und 4[806] belegt (s. u. V.3.5.). Für die Ritzverzierung findet sich in dieser Form und Ausführung mit zonalem Dekor ein guter Vergleich aus Ilıpınar IV.[807]

Seeher hat in seiner Abhandlung zum Spätchalkolithikum darauf hingewiesen, dass das Keramikensemble von Demircihüyük sowohl die Formen aus Barcın Höyük als auch die aus Ilıpınar IV beinhaltet.[808] Da es jedoch Unterschiede im Inventar der beiden Fundorte gibt, so schließen sich beispielsweise Kehlrandschalen (Barcın Höyük) und Knickrandschalen (Ilıpınar IV) gegenseitig aus, folgert er daraus, dass Barcın Höyük ein wenig älter anzusetzen ist als Ilıpınar IV.[809] Die Vergleiche des Materials von Demircihüyük haben bereits gezeigt, dass eine Korrelation des Materials am ehesten mit dem aus Beycesultan SC 3 und 4 möglich ist,[810] sodass eine Verortung um die Mitte des 4. Jts. v. Chr. keineswegs abwegig erscheint.[811] Die Diskussion der Radiokarbondaten aus allen drei Fundorten hilft nur bedingt weiter.[812] So decken die beiden Daten aus Tierknochen von Demircihüyük (Phase C) einen Zeitraum in der zweiten Hälfte des 4. Jts. v. Chr. und den Beginn des 3. Jts. v. Chr. ab.[813] Die vorliegenden Radiokarbondaten aus Barcın Höyük[814] (ca. 3900–3700 v. Chr.) und Ilıpınar IV[815] (4000–3520 v. Chr.) helfen diesbezüglich nicht viel weiter. Somit muss eine Datierung des Materials von Demircihüyük anhand der Keramik um die Mitte des 4. Jts. v. Chr. bestehen bleiben. Folgt man dem Ansatz Seehers, so könnte die Keramik von Demircihüyük als Bindeglied zwischen älteren (Barcın Höyük) und jüngeren Formenspektren (Ilıpınar IV) fungieren.

Interessant im Zusammenhang mit den Funden aus Demircihüyük sind Scherben mit linearer Weißbemalung in Form von Linienbündeln, die Seeher der Ware H („Weißbemalte Ware“) zuordnete.[816] Dabei handelt es sich vorwiegend um flache Schalen, die hauptsächlich auf der Innenseite eine vom Gefäßrand gerichtete Winkel- und Bogenmotivik aus milchig weißer Farbe besitzen.[817] Nur in geringer Zahl sind Scherben vertreten, welche zu anderen Formengruppen gehören. Ein Fragment scheint von einem Topf zu stammen.[818] Bei der Suche nach Vergleichen fiel Seeher zwar eine Nähe zu den spätchalkolithischen weißbemalten Schalen aus Beycesultan auf, die sich jedoch in ihrer ausladenden Form und der Art der Verzierung mit sich kreuzenden Linienbündeln unterscheiden.[819] Hingegen sah er auffallende Parallelen im Fundmaterial von Troia I,[820] weshalb er eine chronologische Einordnung aufgrund der Stratigraphie als auch der Andersartigkeit im Vergleich zu den Waren F und G für zutreffender hielt.[821] Letztlich konstatierte er, dass gerade die Dekoration der Weißbemalung in Westanatolien eine lange Tradition habe und sich daher eine chronologische Einordnung schwierig gestalte.[822] So parallelisierte er abschließend die Keramik aus den frühbronzezeitlichen Schichten von Demircihüyük mit der Keramik aus Troia I.[823] Da aus diesen Schichten auch Scherben, die vergleichbar mit der Ware H sind, stammen, wird zumindest eine chronologische Nähe auch von der Stratigraphie her angenommen. Dass die Entwicklung

805 Eslick 1992, 24, Taf. 56.246–249.
806 Duru 1996, Taf. 57.1–3; 78.3–5; 94.3.
807 Thissen 1989/1990, 138, Abb. 17.2; Roodenberg 2008, 331, Abb. 12.3; vgl. Seeher 2012, 125, Abb. 1.10.
808 Seeher 2012, 119–120.
809 Seeher 2012, 122.
810 Seeher 1987a, 60–64; Schoop 2005, 300; Seeher 2012, 121–122.
811 Vgl. Schoop 2005, 303, Abb. 7.6.
812 Seeher 2012, 122–123, 127, Abb. 3.
813 Quitta 1987, 13.
814 Roodenberg et al. 2008, 55, 62, Abb. 5; Gerritsen et al. 2010, 198.
815 Roodenberg – Schier 2001, 267; Roodenberg 2008, 320; vgl. Schoop 2005, 217.
816 Seeher 1987a, 65–71, Taf. 28.13–25; 29; vgl. Schoop 2005, 277, Taf. 167.12–22.
817 Seeher 1987a, 67–68; Schoop 2005, 277.
818 Seeher 1987a, 68, Taf. 29.23; Schoop 2005, 277, Taf. 167.21.
819 Seeher 1987a, 69.
820 Seeher 1987a, 69.
821 Seeher 1987a, 69.
822 Seeher 1987a, 71.
823 Seeher 1987a, 71.

dieser Dekorationsart, bestehend aus Linienbündeln, sowie die Syntax der Verzierung bereits in chalkolithischer Zeit ansetzt, ist jedoch nicht von der Hand zu weisen.

Der Fund eines vermutlich spitzbodigen Marmorbecherfragmentes aus den frühbronzezeitlichen Schichten von Demircihüyük[824] steht isoliert da, sind solche Becher doch aus Kontexten des 5. Jts. v. Chr. belegt.[825]

III.4.1.5.3. Ilıpınar

Bei den Funden aus Ilıpınar (Phase IV) handelt es sich ausschließlich um Grabbeigaben. Damit stellen sie eine Besonderheit unter den spätchalkolithischen Funden Westanatoliens dar. Zwei Radiokarbondaten von Knochen decken einen Zeitraum von ca. 4000–3520 v. Chr. ab.[826]

Aus den Gräbern stammen verschiedene Keramikformen, die als Beigabe dienten. So sind hier Knickrandschalen,[827] sogenannte „Tulpenbecher"[828] konischer Form, ein- und zweihenklige Krüge,[829] Kannen[830] und zweihenklige Töpfe[831] zu nennen. Dekor tragen vorwiegend die konischen Becher in Form von Ritzverzierung mit weißer Inkrustation.[832] Neben einfachen Einstichreihen finden sich horizontale oder zickzackförmige Zonen, die mit Einstichen oder Winkelmustern verziert sind.

Die chronologische Bewertung der Funde gestaltet sich schwierig. Eine Nähe der Funde zur Ware F von Demircihüyük hat schon Thissen bemerkt.[833] Schoop merkt anhand von Vergleichen mit Beycesultan SC 3–4 eine mögliche Datierung um die Mitte des 4. Jts. v. Chr. an, weist jedoch zugleich auf die Diskrepanz zwischen der Keramik und den älteren Radiokarbondaten mit einem Schwerpunkt in der ersten Hälfte des 4. Jts. v. Chr. hin.[834] Einem Vergleich mit den jüngeren Beycesultan-Funden folgt auch Seeher und betont, dass weitere Forschungen in Nordwestanatolien notwendig sind, um diesen Widerspruch zu klären.[835] Auch das in Tilkiburnu gefundene Fragment eines Bechers,[836] ähnlich dem Tulpenbecher von Ilıpınar, hilft hier nicht weiter. Schoop entscheidet sich letztendlich für eine Einordnung in die erste Hälfte des 4. Jts. Chr.[837] Eine Datierung muss somit weiterhin offen bleiben, dennoch soll hier den Vergleichen der Keramik mit dem Material aus Beycesultan SC 3–4 und somit einer von Seeher postulierten späteren Einordnung mehr Relevanz zugemessen werden.

---

824 Efe 1988, 79, Taf. 38.7; Takaoğlu 2005, 63, Taf. 30.219.

825 Takaoğlu 2005, 36–38.

826 Roodenberg – Schier 2001, 267.

827 Thissen 1989/1990, 92, 137, Abb. 16.10–11; Roodenberg 2001, 352–353, Abb. 2.3–4; Roodenberg 2008, 319, 327, Abb. 8.10; 328, Abb. 9.3–4; 329, Abb. 10.5; 330, Abb. 11.1–2; 331, Abb. 12.2, 5; vgl. Schoop 2005, 205, Taf. 138.24–25; Seeher 2012, 120, 125, Abb. 1.8–9.

828 Thissen 1989/1990, 93, 138, Abb. 17.1–2; Roodenberg 2001, 352–353, Abb. 2.1–2; Roodenberg 2008, 319, 327, Abb. 8.2, 9; 328, Abb. 9.1–2; 329, Abb. 10.1–3; 330, Abb. 11.3, 6–7; 331, Abb. 12.3; vgl. Schoop 2005, 205, Taf. 138.26–27; Seeher 2012, 120, 125, Abb. 1.10–11.

829 Thissen 1989/1990, 92, 139, Abb. 18.1; Roodenberg 2001, 352–353, Abb. 2.5; Roodenberg 2008, 329, Abb. 10.9–10; 330, Abb. 11.4; 331, Abb. 12.1, 4; vgl. Schoop 2005, 205, Taf. 138.29; Seeher 2012, 120, 126, Abb. 2.5–6.

830 Thissen 1989/1990, 93, 138, Abb. 17.3; Roodenberg 2008, 319, 327, Abb. 8.3–4; 329, Abb. 10.14; vgl. Schoop 2005, 205, Taf. 138.30; Seeher 2012, 120, 126, Abb. 2.4.

831 Thissen 1989/1990, 93, 139, Abb. 18.2; Roodenberg 2001, 352–353, Abb. 2.9; Roodenberg 2008, 327, Abb. 8.3; 329, Abb. 10.13; vgl. Schoop 2005, 205, Taf. 138.28; Seeher 2012, 120, 126, Abb. 2.7.

832 Thissen 1989/1990, 92, 138, Abb. 17.1–2; Roodenberg 2001, 352–353, Abb. 2.1; Roodenberg 2008, 327, Abb. 8.2; 328, Abb. 9.1–2; 329, Abb. 10.3; 331, Abb. 12.3; vgl. Schoop 2005, 205, Taf. 138.26–27; Seeher 2012, 120, 125, Abb. 1.10.

833 Thissen 1989/1990, 81, Tab. 2.

834 Schoop 2005, 228.

835 Seeher 2012, 121, 123.

836 Özdoğan 1982, 26, Abb. 8.

837 Schoop 2005, 217, 270.

III.4.1.5.4. Keçiçayırı

Im Rahmen der in Keçiçayırı durchgeführten Ausgrabungen wurden innerhalb einer kleinen Sondage unmittelbar auf dem anstehenden Felsen zwei Skelette mit Grabbeigaben gefunden.[838] Bei den Grabbeigaben handelt es sich um zwei Gefäße: eine Tasse mit gekehltem Rand sowie ein Krug mit etwa zylindrischer Halspartie.[839] Efe ordnet die Keramik der spätchalkolithischen Zeit zu, da er die Tasse mit den auftretenden Kehlrandschalen ab Beycesultan SC 3–4 vergleicht.[840] Aus Nordwestanatolien sind Kehlrandschalen weiterhin aus Barcın Höyük und Demircihüyük bekannt (s.o.). Folgt man der hier dargelegten Datierung dieser Fundorte, so liefert die Tasse jedenfalls ein Anzeichen für eine Datierung in das 4. Jt. v. Chr.

III.4.1.5.5. Küllüoba

Die Keramik der Phasen 6 bis 3 wird von Efe aufgrund von Vergleichen mit den Siedlungen Poliochni nero und Kumtepe IB gleichgesetzt.[841] Ihm folgend gehört die Phase 6 dem Spätchalkolithikum an, wohingegen die Phasen 5–3 seiner „Transitional Period“ zur Frühbronzezeit 1 zugerechnet werden.[842] Insgesamt setzt Efe die Phasen 6–3 aufgrund von Vergleichen in den Zeitraum zwischen 3300 und 2900 v. Chr.[843]

Aus der Phase 6 sind kalottenförmige, weitmundig bis leicht konische Schalen bekannt, die einen überrandständigen Bandhenkel tragen können.[844] Eine Schale weist zudem lineare Weißbemalung bestehend aus einem parallel verlaufenden Linienbündel auf.[845] Weiterhin finden sich Backplatten[846] sowie gefensterte Standfüße[847] im Inventar. Neben Halsgefäßen[848] mit zwei am Hals ansetzenden Vertikalhenkeln sind S-profilierte Töpfe,[849] ebenfalls mit Vertikalhenkeln, bekannt. Henkel rechteckiger Form sind ebenso vorhanden.[850] Die Schalen der Phase 6 setzen sich auch in der Phase 5 fort.[851] Hinzu kommen Becher[852] mit ausbiegendem Rand und Vertikalhenkel sowie Schnabelkannen.[853] Zweihenklige Töpfe mit S-Profil sind weiterhin präsent.[854] Auch in der Phase 4 finden sich die Schalentypen der vorherigen Phasen,[855] das Spektrum wird jedoch durch Formen mit ausklappendem Rand[856] erweitert. Zu den geschlossenen Gefäßen dieser Phase zählen S-profilierte Becher[857] mit leicht überrandständigem Henkel, Kannen mit zylindrischem Hals[858] sowie Schnabelkannen,[859] zweihenklige Halsgefäße,[860] Töpfe mit Grifflappen[861] und große

---

838 Efe 2008; Efe et al. 2011, 12; Efe et al. 2012, 228.
839 Efe 2008, 250, Abb. 6–7.
840 Efe 2008, 246.
841 Efe – Ay 2000, 33.
842 Efe – Ay 2000, 36, Abb. 19.
843 Efe – Ay 2000, 33.
844 Efe – Ay 2000, 40, Taf. 1.2, 4–5, 8.
845 Efe – Ay 2000, 40, Taf. 1.4.
846 Efe – Ay 2000, 40, Taf. 1.15.
847 Efe – Ay 2000, 40, Taf. 1.13–14.
848 Efe – Ay 2000, 42, Taf. 2.1–2.
849 Efe – Ay 2000, 42, Taf. 2.5–6.
850 Efe – Ay 2000, 40, Taf. 1.12.
851 Efe – Ay 2000, 43, Taf. 3.7–8, 10, 12.
852 Efe – Ay 2000, 44, Taf. 4.1.
853 Efe – Ay 2000, 44, Taf. 4.2–3.
854 Efe – Ay 2000, 44, Taf. 4.6; 45, Taf. 5.5.
855 Efe – Ay 2000, 48, Taf. 6.4, 6–7.
856 Efe – Ay 2000, 48, Taf. 6.1–2.
857 Efe – Ay 2000, 49, Taf. 7.4–5.
858 Efe – Ay 2000, 49, Taf. 7.6.
859 Efe – Ay 2000, 49, Taf. 7.7–10.
860 Efe – Ay 2000, 49, Taf. 7.11–12; 51, Taf. 8.1.
861 Efe – Ay 2000, 51, Taf. 8.2.

Vorratsgefäße.[862] Horizontale Henkel, ähnlich der Form aus Phase 6, sind ebenfalls anzumerken.[863] In der Phase 3 treten neben den kalottenförmigen die weitmundigen Schalen mit konischer Wandung deutlich in den Vordergrund.[864] Diese können leicht überrandständige Horizontalhenkel rechteckiger Form besitzen.[865] Darüber hinaus sind einhenklige Becher,[866] Krüge,[867] Schnabelkannen,[868] zweihenklige Halsgefäße,[869] Töpfe mit steiler Wandung[870] sowie Backplatten[871] in dieser Phase vertreten. Gefensterte Standfüße[872] und Grifflappen[873] finden sich zudem im Inventar.

Auch wenn Efe für die Keramik vorwiegend Parallelen im Material von Kumtepe IB und Poliochni nero sieht,[874] so deuten auch Vergleiche von näher gelegenen Fundorten auf eine dahingehende chronologische Einordnung. Aus Demircihüyük sind ebenfalls hohle Standfüße bekannt.[875] Schalen mit einer konischen Form sind in Beycesultan ab der Phase SC 3 vertreten.[876] Die Schnabelkannen, die sich ab Phase 5 in Küllüboa finden, scheinen das frühbronzezeitliche Formenspektrum einzuleiten, wie dies beispielweise auch am Kumtepe (IB4) der Fall ist.[877] Somit deutet alles auf eine Datierung in das ausgehende 4. Jt. und das beginnende 3. Jt. v. Chr. für die Phasen 6–3 in Küllüoba hin.

III.4.1.5.6. Orman Fidanlığı

Bei den durchgeführten Notgrabungen in Orman Fidanlığı wurde in den Schichten VI und VII Material angetroffen, das von Efe an das Ende des Mittelchalkolithikums (VI) und in das Spätchalkolithikum (VII), zeitgleich mit Ilıpınar IV, den Waren F und G aus Demircihüyük und Beycesultan, datiert wird.[878] Aufgrund der geringen Anzahl der Keramik aus Schicht VI muss eine chronologische Einordnung offen bleiben, jedoch deutet ein geschlossenes Gefäß mit leicht kegelförmiger Halspartie eine gewisse Nähe zum Formenspektrum der Schicht VII an.[879] Eine erneute Bewertung durch Schoop hat gezeigt, dass die Formen der Schicht VII eher in die zweite Hälfte des 5. Jts. v. Chr., an das ausgehende mittlere und das beginnende späte Chalkolithikum, zu setzen sind.[880] Am ehesten finden sich nach ihm Vergleiche in den Zeithorizonten von Aphrodisias-Pekmez SC 1 sowie Tigani IV. Als Argumente für eine solche Einordnung führt Schoop vor allem Hornhenkel[881] und Henkel mit pilzförmigem Aufsatz[882] an, die für eine Datierung in das 5. Jt. v. Chr. sprechen. Ein weiteres Kriterium sieht er in den leicht kegelförmig ausgebildeten Partien geschlossener Gefäße.[883] Dekor findet sich einzig anhand von Weißbemalung auf

862 Efe – Ay 2000, 52, Taf. 9.1–2.
863 Efe – Ay 2000, 52, Taf. 9.6.
864 Efe – Ay 2000, 53, Taf. 10.2–3, 14, 16; 55, Taf. 11.1, 6, 9.
865 Efe – Ay 2000, 53, Taf. 10.16; 55, Taf. 11.9; 60, Taf. 14, 13.
866 Efe – Ay 2000, 57, Taf. 12.2.
867 Efe – Ay 2000, 57, Taf. 12.3.
868 Efe – Ay 2000, 57, Taf. 12.4–6.
869 Efe – Ay 2000, 57, Taf. 12.7–9.
870 Efe – Ay 2000, 60, Taf. 14.1–3.
871 Efe – Ay 2000, 60, Taf. 14.4–7.
872 Efe – Ay 2000, 60, Taf. 14.18.
873 Efe – Ay 2000, 60, Taf. 14.8.
874 Efe – Ay 2000, 30.
875 Seeher 1987a, Taf. 25.21; 26.22–23; vgl. Schoop 2005, Taf. 277, Taf. 166.13.
876 Vgl. Schoop 2005, 152.
877 Korfmann et al. 1995, 270, Abb. 27.8.
878 Efe 2000a, 108; Efe 2001b, 57, Tab. 22; 60.
879 Efe 2001b, 22; 104, Abb. 16; vgl. Schoop 2005, 281, Taf. 172.1–2.
880 Schoop 2005, 300.
881 Efe 2001b, 106, Abb. 18.281–283; 108, Abb. 20.313–317; vgl. Schoop 2005, 300, Taf. 173.2–3.
882 Efe 2001b, 108, Abb. 20.318–319; vgl. Schoop 2005, 300, Taf. 173.10.
883 Efe 2001b, 108, Abb. 20.301–305; vgl. Schoop 2005, 300, Taf. 173.4–6.

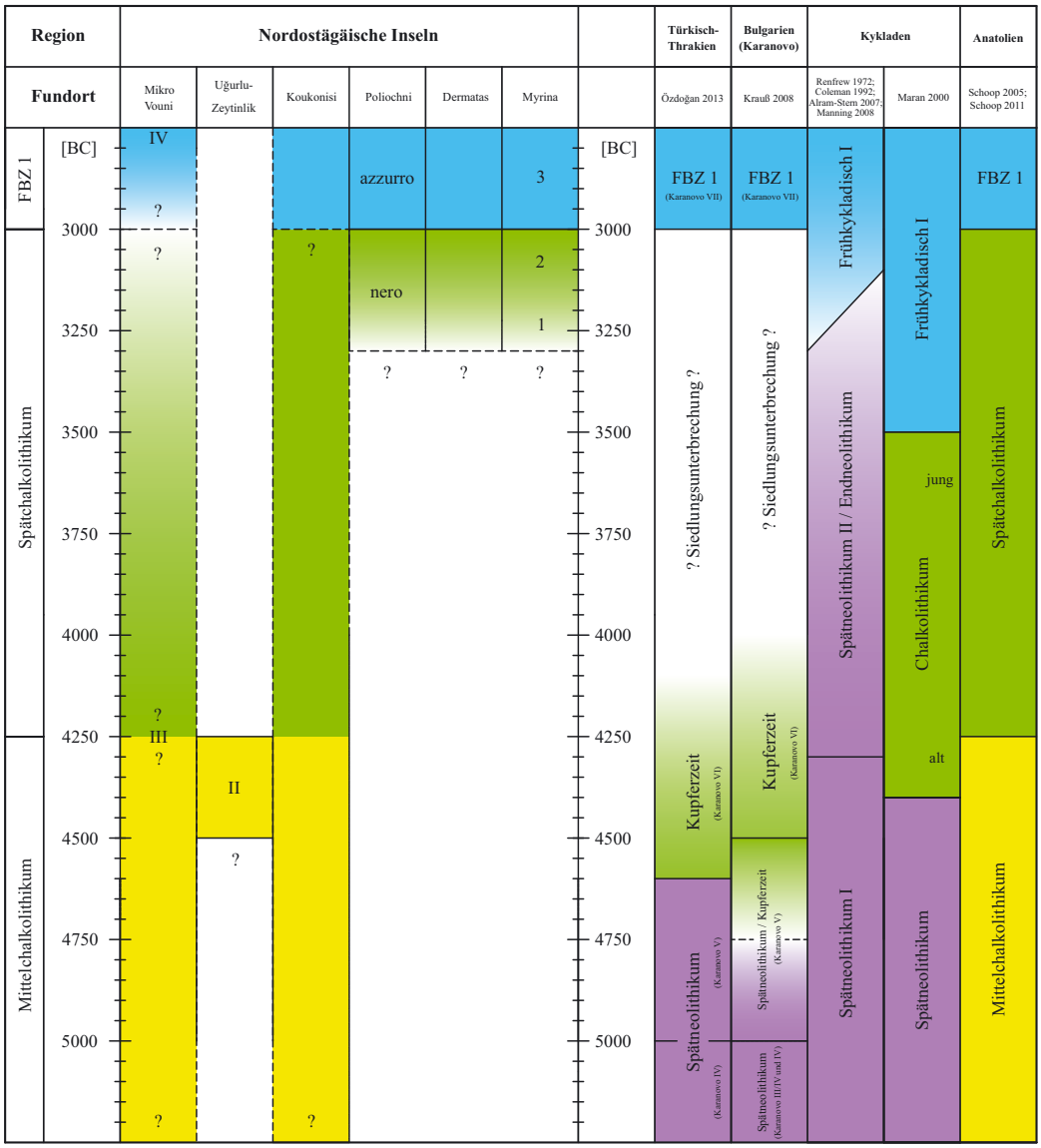


Abb. 10 Vorgeschlagene Chronologie für das Gebiet der Nordostägäis.
(Graphik: Ch. Schwall/ERC Prehistoric Anatolia)

den Gefäßen.[884] Nach Schoop, lässt sich an diesem Dekor ein deutlicher Unterschied zur weißen Bemalung von Beycesultan ausmachen.[885] Zum einen finden sich an Schalen Linienbündel, teils mit Kreuzschraffur oder schraffierten Dreiecken, die vom Rand hinunter bis ins Innere des Gefäßes reichen.[886] In Beycesultan SC 1[887] beschränken sich diese auf den Gefäßrand und schließen nach unten hin mit einer horizontalen Linie ab. Passendere Vergleiche sind hingegen aus

884 Efe 2001b, 49.
885 Schoop 2005, 300.
886 Efe 2001b, 105, Abb. 17.269–271, 276–278; 107, Abb. 19.286, 293, 297–299; vgl. Schoop 2005, 300, Taf. 172.3, 5–7, 9, 11.
887 Lloyd – Mellaart 1962, 74, Abb. P.2.1, 15.

Aphrodisias-Pekmez SC 1[888] und Tigani IV[889] bekannt. An geschlossenen Gefäßen aus Beycesultan wird die unbemalte Halszone durch eine oder mehrere horizontale Linien deutlich vom unteren Gefäßteil abgetrennt.[890] Dies ist bei der Keramik aus Orman Fidanlığı nicht der Fall. Auch die Gefäßhälse können neben den Bauchzonen Weißbemalung tragen.[891] Sowohl die Motivik als auch die Berücksichtigung der Halszone beim Dekor findet sich wiederum in der Phase Tigani IV.[892]

Die Hornhenkel und pilzförmigen Aufsätze könnten sogar noch eine ältere Datierung eines Teils der Funde andeuten, jedoch spricht die Weißbemalung für eine Verortung der Keramik der Schicht VII in die zweite Hälfte des 5. Jts. v. Chr. Diese lässt deutlich Parallelen zu den Exemplaren aus Aphrodisias-Pekmez SC 1 und Tigani IV erkennen. Ob jedoch der Aspekt der fehlenden Halsbemalung wirklich als chronologisches Unterscheidungskriterium herangezogen werden kann, muss offen bleiben. Zum einen hat die Weißbemalung eine lange Laufzeit,[893] zum anderen sind bislang neben den Funden von Beycesultan in spätchalkolithischer Zeit nur geringe Mengen an weißbemalten Scherben von anderen Fundorten bekannt. Dennoch können erstaunlicherweise Parallelen von weit entfernten Fundorten herangezogen werden, weshalb auch hier von einem hohen Maß an Konnektivität bereits im 5. Jt. v. Chr. ausgegangen werden muss.

In Nordwestanatolien sind neben Orman Fidanlığı (spätes 5. Jt. v. Chr.) fünf weitere ergrabene Fundorte (Barcın Höyük, Demircihüyük, Ilıpınar, Keçiçayırı, Küllüoba) bekannt, die in das 4. Jt. v. Chr. eingeordnet werden können. Zwar muss eine definitive Verortung einiger Fundorte innerhalb dieses Jahrtausends noch offen bleiben, die Vergleiche deuten jedoch eine prinzipielle Stellung um die Mitte und in der zweiten Hälfte des 4. Jts. v. Chr. an.

Seeher hat bereits für das Spätchalkolithikum am Demircihüyük eine deutlich westwärts gerichtete Affinität im Formenspektrum gesehen, weshalb er östlich von Demircihüyük eine Grenze zwischen den Kulturgebieten Westanatoliens und Zentralanatoliens zieht.[894] Diese lässt sich, laut ihm, auch in der folgenden Frühbronzezeit erkennen.[895]

III.4.2. Chronologiediskussion: Ostägäische Inseln und Dodekanes

Um das Gebiet der Ostägäis chronologisch zu diskutieren, soll diese Region im Folgenden in drei Teilgebiete, die Nordost- und Zentralostägäischen Inseln sowie die Dodekanes, aufgeteilt werden.

III.4.2.1. Nordostägäische Inseln

Für die Chronologie in der Nordostägäis können lediglich sechs Siedlungen auf den Inseln Imbros (türk. Gökçeada), Lemnos und Samothraki herangezogen werden, deren chronologische Einordnung großteils abhängig von den Vergleichsfunden in der Troas ist (Abb. 10).

III.4.2.1.1. Dermatas (Lemnos)

Der Fundort Dermatas liegt unweit südlich der Siedlung Poliochni. Bernabò-Brea ordnet die bei den Ausgrabungen entdeckte Keramik, ohne weitere Angabe, den Perioden Poliochni nero und azzurro zu.[896]

888 Sharp Joukowsky 1986, 531, Abb. 384.11, 21, 27.
889 Felsch 1988, Taf. 69.381–388.
890 Lloyd – Mellaart 1962, 78, Abb. P.4.27–30.
891 Efe 2001b, 108, Abb. 20.304, 306–307; vgl. Schoop 2005, 300, Taf. 173.6.
892 Felsch 1988, Taf. 69.401, 403.
893 Sotirakopoulou 1996, 589; vgl. Thater 2016, 16–18.
894 Seeher 1987a, 63–64.
895 Seeher 1987a, 63.
896 Bernabò-Brea 1964, 18; vgl. Kouka 2002, 25.

III.4.2.1.2. Koukonisi (Lemnos)

Funde, die eine prinzipielle Einordnung in die mittel- und spätchalkolithische Zeit zulassen, stammen aus Koukonisi auf Lemnos. Dabei handelt es sich um einen spitzbodigen Marmorbecher,[897] der bei Ausgrabungen zutage kam. Neben diesem Fund werden sporadische Keramikfunde aus den Grabungsarealen als auch von Oberflächenbegehungen erwähnt, die sich anscheinend mit der Phase Poliochni nero verbinden lassen.[898]

III.4.2.1.3. Mikro Vouni (Samothraki)

Bei den Ausgrabungen in Mikro Vouni auf Samothraki wurden chalkolithische Schichten ergraben, deren Funde nach V. Nêmejcová-Pavúková mit dem anatolischen Spätchalkolithikum verbunden werden.[899] Da dieses Material bislang nicht vorgelegt wurde und es zu vermuten ist, dass sich Nêmejcová-Pavúková auf die Chronologie nach Seeher bezieht (vgl. II.2.1.2.), ist eine mittel- bis spätchalkolithische Einordnung für diesen Fundort denkbar.[900]

III.4.2.1.4. Myrina (Lemnos)

Neben den Fundorten Poliochni, Dermatas und Koukonisi im Osten der Insel ist chalkolithisches Material aus der Siedlung Myrina im Westen der Insel bekannt. Aus den Phasen I–III bzw. 1–2 der Siedlung stammt Keramik, die sich mit der aus Poliochni nero als auch Kumtepe IB verbinden lässt.[901] So sind aus der Phase 1 ebenfalls *cheese pots*,[902] *rolled rims*[903] als auch Kehlrandschalen[904] bekannt. Die Kehlrandschalen[905] finden sich auch in der Phase 2 und sind vergesellschaftet mit weißbemalten Scherben,[906] die vergleichbar mit den Funden aus Poliochni nero sind. Politurmusterware wurde in diesen Phasen nicht angetroffen,[907] weshalb eine Zeitstellung in der 2. Hälfte des 4. Jts. v. Chr. angenommen werden kann.

III.4.2.1.5. Poliochni (Lemnos)

Die Funde der Siedlung Poliochni (Phase nero), ebenfalls auf Lemnos gelegen, können durch ein Radiokarbondatum der Phase azzurro arcaico dem Terminus ante quem nach in die Zeit vor ca. 2900 v. Chr. datiert werden.[908] Weiterhin führten die Nachgrabungen Ende der 1980er und Anfang der 1990er Jahre zu vier Subphasen (I–IV) der Phase nero.[909] Im Hinblick auf die chronologische Stellung dieser Siedlung ist die Keramik dieser Schichten auschlaggebend. Entsprechungen lassen sich hierfür sowohl an weiteren ostägäischen Fundorten als auch an der westanatolischen Küste

---

897 Boulotis 1997, 251, 257, Abb. 23. – Allgemein zur Datierung dieser Becher vgl. Takaoğlu 2005, 37–38; Takaoğlu 2011, 161–162.

898 Kouka 2002, 23–24.

899 Nêmejcová-Pavúková 1993, 247.

900 Eine solche grobe Einordnung wird auch durch die Anmerkung von J. L. Davis deutlich (Davis 1992, 723).

901 In den älteren Publikationen zu Myrina (Dova 1997b; Acheilara 2008, 2) werden die Phasen I–III mit Poliochni nero synchronisiert. Der neuere Beitrag (Dova 2003) rechnet zu Poliochni nero jedoch nur die Phasen 1–2. Eine Klärung dieser Problematik mit der Umbenennung der Phasen (I ≙ 1; II–III ≙ 2) findet sich bei Kouka 2014b, 47, Anm. 23.

902 Dova 1997b, 288, Abb. 6; Dova 2003, 105, Abb. 3.11–12.

903 Dova 1997b, 288, Abb. 2, 4; Dova 2003, 105, Abb. 3.1; vgl. Kouka 2014b, 47.

904 Dova 1997b, 289, Abb. 7; Dova 2003, 105, Abb. 3.3–4; vgl. Kouka 2014b, 47.

905 Dova 1997b, 291, Abb. 9; Dova 2003, 107, Abb. 4.1–4, 6.

906 Dova 1997b, 291, Abb. 4; Dova 2003, 107, Abb. 4.10–11; vgl. Kouka 2014b, 47.

907 Dova 2003, 106.

908 Begemann et al. 1992, 220–221; vgl. Kouka 2002, 51.

909 Tiné 1997, 36, Tab. 1.

finden.[910] Im Vergleich mit Kumtepe IB finden sich die charakteristischen *rolled rims* jedoch nicht in den Subphasen I–III, sondern lediglich in der Subphase IV.[911] Parallelen der vorherigen Subphasen zu dem Kumtepe IB-Material können dennoch über die Präsenz von Kehlrandschalen gemacht werden.[912] Zudem finden sich Scherben von *cheese pots*[913] und Kannen mit geometrischer Weißbemalung in Form von parallelen, sich teilweise kreuzenden Linienbündeln in der Phase Poliochni nero.[914] Diese Art des Dekors ist auch aus Kumtepe IA und IB bekannt.[915] In diesem Zusammenhang hat bereits Sperling darauf hingewiesen hat streichen, dass sich Scherben mit Weißbemalung aufgrund ihrer Laufzeit, ihrer weiten Verbreitung und ihrer Uniformität nicht für eine exakte Datierung heranziehen lassen.[916] Eine spätchalkolithische Einordnung dieser Funde kann jedoch aufgrund von stratifizierten Vergleichen einerseits von den Kykladen, wie Akrotiri,[917] und andererseits aus dem Hinterland Westanatoliens (Beycesultan)[918] belegt werden. Neben den Vergleichen mit dem Kumtepe IB-zeitlichen Material spricht auch das Fehlen der für eine ältere Zeitstellung charakteristischen Politurmusterverzierung[919] unter den Funden der Periode Poliochni nero für die Verortung in die 2. Hälfte des 4. Jts. v. Chr.

III.4.2.1.6. Uğurlu-Zeytinlik (Imbros)

Eine Siedlung mittelchalkolithischer Zeitstellung, Uğurlu-Zeytinlik, ist von der Insel Imbros (türk. Gökçeada) bekannt. Die ältere Phase III dieses Fundplatzes kann anhand von Radiokarbondaten in die Zeit zwischen 5500 und 5300 v. Chr. datiert werden.[920] Eine derartige Stellung spiegelt, laut Erdoğu, auch die vorgefundene Keramik wider, weshalb er diese in die Zeit von Karanovo III einordnet. Henkel mit knopfförmigem Aufsatz,[921] die Erdoğu mit Funden aus Aşağı Pınar 5[922] verbindet, sprechen für eine dahingehende zeitliche Verortung. In diesem Zusammenhang führt er im Hinblick auf die Dekoration Ritzverzierungen an, unter anderem bestehend aus schraffierten Dreiecken, die sich zusammen mit (oder ohne) Spiralmotiven auf der Keramik finden.[923] Gerade diese Dekorelemente fehlen hingegen in den älteren Schichten von Aşağı Pınar und sind nach Parzinger allein den jüngeren Horizonten Aşağı Pınar 2/3 sowie 2 vorbehalten.[924] Aus Phase III ist weiterhin ein Hornhenkel bekannt.[925] Dies scheint ein frühes Auftreten dieser Henkelform bereits in der 2. Hälfte des 6. Jts. v. Chr. nahezulegen. Die jüngere Phase II lässt sich, ebenfalls anhand von Radiokarbondaten, in das 3. Viertel des 5. Jts. v. Chr. verorten.[926] Die Keramik dieser Phase wird von Erdoğu in den späten Abschnitt des Kumtepe IA/Beşik-Sivripte/Gülpınar-Horizonts

---

910 Kouka 2014b, 46.
911 Sperling 1976, 341, Abb. 20.637; 343; vgl. Tiné 1997, 55. – Bei zwei Profilen aus den Grabungen von Bernabò-Brea könnte es sich eventuell um *rolled rims* handeln (Bernabò-Brea 1964, Taf. IVs; Vi).
912 Sperling 1976, 328, Abb. 13.409; 334, Abb. 14.518, 520–521; 341, Abb. 20.660; vgl. Tiné 1997, 55 sowie Bernabò-Brea 1964, Taf. IV–VII.
913 Tiné 1997, 43, Taf. 6c.
914 Bernabò-Brea 1964, 113–114, Taf. Id, f, g.
915 Sperling 1976, 324, Anm. 12; Taf. 73.222a; 77.622.
916 Vgl. hierzu auch Sotirakopoulou 1996, 589; Thater 2016, 16–18.
917 Sotirakopoulou 1996, 583–586; Sotirakopoulou 1999, 500, 506.
918 Lloyd – Mellaart 1962, 71–103; vgl. Schoop 2005, 151, Taf. 59–62.
919 Tiné 1997, 54.
920 Erdoğu et al. 2014, 206; Erdoğu – Çevik 2015, 37.
921 Erdoğu 2011a, 126, Abb. 5.5–6; Erdoğu 2011b, 56, Abb. 7.5–6; Erdoğu 2014a, 176, Abb. 20.5.
922 Parzinger 2005, 207, Taf. 101.7–9, 11–12; 208, Taf. 102.1–4.
923 Erdoğu 2011a, 126, Abb. 5.1, 4; Erdoğu 2011b, 49, 56, Abb. 7.1, 4; 57, Abb. 8.3; Erdoğu 2014a, 175, Abb. 19.5; 176, Abb. 20.1, 6.
924 Parzinger 2005, 32.
925 Erdoğu 2014a, 164, Abb. 175.19.
926 Erdoğu 2014a, 163, 178, Abb. 25.

eingeordnet.[927] Die gefundenen Hornhenkel,[928] Henkel mit pilzförmigem Aufsatz[929] sowie die Politurmusterware[930] sprechen für eine solche Datierung. Demnach können für Uğurlu-Zeytinlik zwei mittelchalkolithische Siedlungen festgehalten werden, welche derzeit die einzigen, sicher ergrabenen Siedlungen dieser Zeitstellung auf den nordostägäischen Inseln darstellen.

Abgesehen von den Siedlungen des Mittelchalkolithikums in Uğurlu-Zeytinlik kann für die Fundorte Poliochni, Dermatas und Myrina eine spätchalkolithische Zeitstellung mit einer daran anschließenden Siedlungsaktivität in der Frühbronzezeit 1 festgehalten werden (Abb. 10). Eine genauere Bewertung der chronologischen Stellung des chalkolithischen Materials von Koukonisi und Mikro Vouni muss nach dem derzeitigen Publikationsstand offen bleiben.

III.4.2.2. Zentralostägäische Inseln

Zwar fehlen von den Fundstellen der zentralostägäischen Inseln Radiokarbonaten, dennoch sind wichtige Referenzdaten für die relative Chronologie, insbesondere von den Insel Chios und Samos, bekannt (Abb. 11). So werden, wie von Schoop dargelegt, Gemeinsamkeiten der Funde des Mittelchalkolithikums in der Troas mit den Inventaren von Emporio VIII, Tigani II–III sowie Agio Gala (Upper Levels, Obere Höhle) deutlich.[931] Vermutlich in das späte 6. Jt. v. Chr. datiert die Keramik der Schichten von Emporio X–IX, Tigani I und Teile des Materials aus der Oberen Höhle (Upper Levels) von Agio Gala.[932] In die spätchalkolithische Zeit weisen hingegen Funde aus Emporio VII/VI und Tigani IV sowie womöglich aus der oberen Höhle von Agio Gala (Upper Levels).

III.4.2.2.1. Agio Gala-Höhle (Chios)

S. Hood versuchte die Funde aus den Höhlen von Agio Gala mit den Schichten von Emporio (s. u. III.4.2.2.3.) zu synchronisieren.[933] Dies ist, wie sich gezeigt hat, nur bedingt möglich.[934] Für die hier relevante Zeitstellung scheinen nur die Funde der Upper Levels der oberen Höhle relevant zu sein, jedoch sind aus der unteren Höhle Mattenabdrücke anzumerken.[935] Vergleiche finden sich vor allem in der Schicht Emporio VIII.[936] Schoop führt hierzu Kegelhalsgefäße,[937] *holemouth*-Töpfe mit Hornhenkeln[938] und Politurmusterscherben[939] an. Weiterhin deuten *cheese pots*,[940] überrandständige, vertikal durchbohrte Grifflappen,[941] vergleichbar mit denen aus Emporio X sowie die weiße Bemalung in Form von Winkelmotiven am Rand geschlossener Gefäße[942] (Emporio IX) auf eine ältere Zeitstellung hin. Neben diesen Elementen und aufgrund des

---

927 Erdoğu 2011a, 120; Erdoğu 2011b, 49, 51; Erdoğu 2012, 367; Erdoğu 2013, 188; Erdoğu 2014a, 166; Erdoğu 2014b, 168.
928 Erdoğu 2011b, 55, Abb. 6.1–3.
929 Erdoğu 2014a, 178, Abb. 24.
930 Erdoğu 2011b, 55, Abb. 6.5–6, 10; Erdoğu 2014a, 178, Abb. 24.
931 Schoop 2005, 259.
932 Schoop 2005, 263.
933 Hood 1981/1982, 75–76.
934 Alram-Stern 1996, 476; Schoop 2005, 258–259.
935 Furness 1956, 197, Taf. 21.7.
936 Schoop 2005, 259.
937 Hood 1981/1982, 46, Abb. 28.167; vgl. Schoop 2005, 259, Taf. 143.16.
938 Hood 1981/1982, 42, Abb. 24.140; 56, Abb. 40.250; vgl. Schoop 2005, 259, Taf. 143.1, 5.
939 Furness 1956, Taf. 23.31; Hood 1981/1982, 43, Abb. 25.149; vgl. Alram-Stern 1996, 474; Schoop 2005, 259, Taf. 143.19.
940 Hood 1981/1982, 37–38, Abb. 19.91–93; vgl. Schoop 2005, 142.22.
941 Furness 1956, Taf. 22.11; Hood 1981/1982, 56, Abb. 40.251; vgl. Alram-Stern 1996, 474; Schoop 2005, 259, Taf. 143.3.
942 Furness 1956, Taf. 23.25–26; Hood 1981/1982, 50, Abb. 34.205, 209–210; vgl. Alram-Stern 1996, 474; Schoop 2005, 259, Taf. 143.12–14.

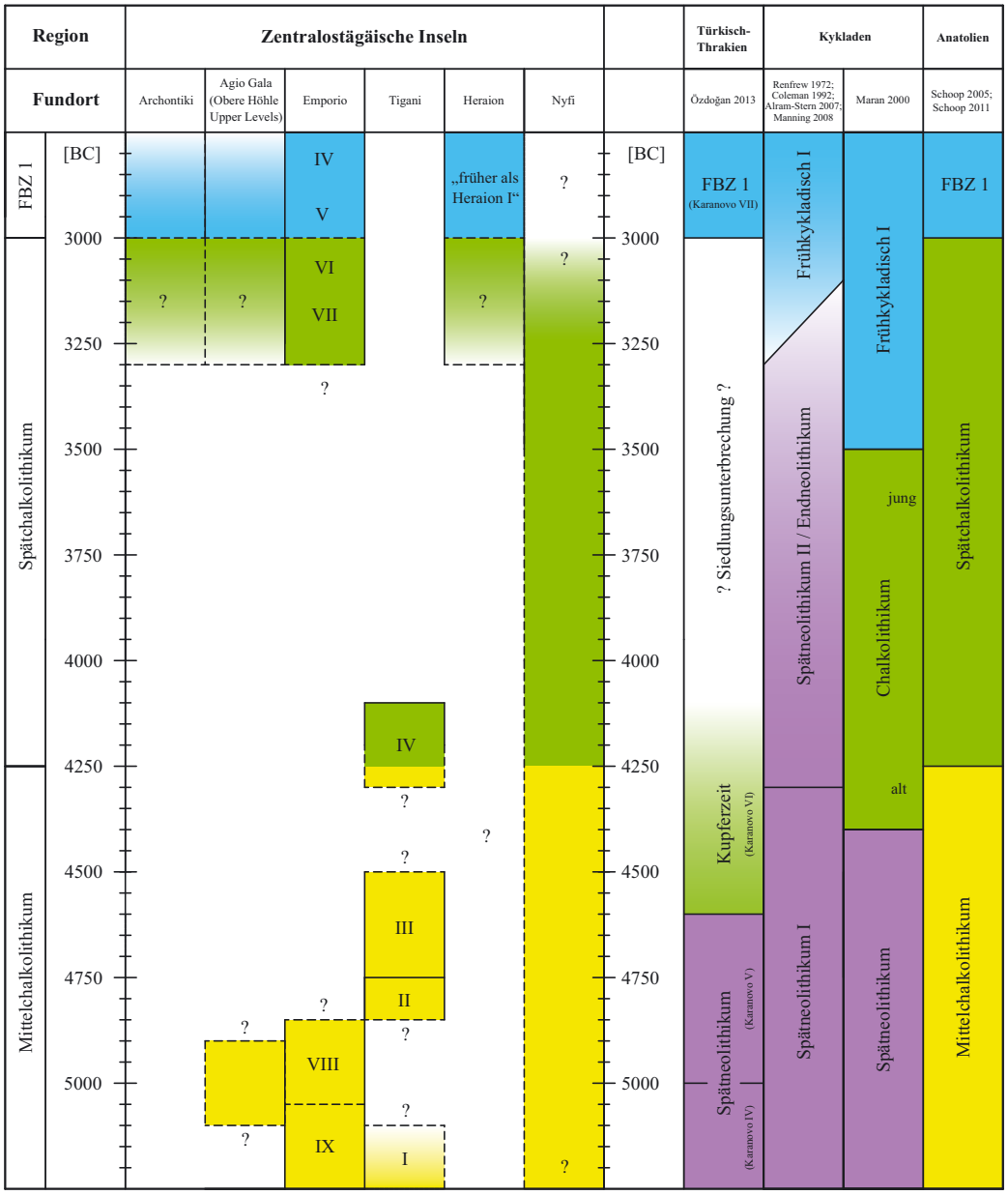


Abb. 11 Vorgeschlagene Chronologie für das Gebiet der Zentralostägäis.
(Graphik: Ch. Schwall/ERC Prehistoric Anatolia)

Fehlens der für Emporio VIII signifikanten Motivik der Ritzverzierung und der andersartigen Positionierung der Hornhenkel am Bauchumbruch setzt Schoop das Material der oberen Höhle von Agio Gala (Upper Levels) an den Übergang von Emporio IX zu VIII.[943] Zonen mit Einstichen könnten jedoch auch eine Tigani III-zeitliche Datierung in das 2. Viertel des 5. Jts. v. Chr. andeuten.[944] Einen Hinweis auf eine womöglich jüngere Zeitstellung des Materials der oberen Höhle

[943] Schoop 2005, 259.
[944] Hood 1981/1982, 60, Abb. 42.286; vgl. Schoop 2005, Taf. 143.18.

von Agio Gala (Upper Levels) in das späte 4. Jt. bzw. den Übergang zum 3. Jt. v. Chr. geben eine horizontale Röhrenöse[945] sowie Fragmente von Schnabelkannen.[946]

III.4.2.2.2. Archontiki (Psara)

Ebenfalls unklar muss die genaue chronologische Position der Funde von Archontiki auf Psara bleiben. Laut G. Touchais datiert die gefundene Keramik an das Ende der neolithischen Zeit, d. h. des Spätchalkolithikums nach der anatolischen Terminologie, und den Beginn der Frühbronzezeit.[947] Somit scheint eine Verortung in das ausgehende 4. Jt. und an den Beginn des 3. Jts. v. Chr. möglich.

III.4.2.2.3. Emporio (Chios)

Auf Chios sind insbesondere die Funde der Siedlung Emporio für das 5. und 4. Jt. v. Chr. von Bedeutung. Die Schichten X–VIII datieren in mittelchalkolithische Zeit; die anschließenden Schichten VII–VI können mit dem ausgehenden Spätchalkolithikum in Verbindung gebracht werden. Eine zusammenfassende Betrachtung der von S. Hood vorgelegten Keramik wurde bereits von E. Alram-Stern und Schoop durchgeführt.[948] Neuere Studien zu diesem Material laufen derzeit im Rahmen einer Doktorarbeit von B. Lambrechts.[949] Bereits in Emporio X finden sich sphärische Schüsseln mit eingezogenem Rand und überrandständigen, vertikal durchbohrten Grifflappen.[950] Ebenfalls sind *holemouth*-Töpfe mit senkrecht durchbohrten Ösen[951] oder Hornhenkeln[952] und *cheese pots* vertreten.[953] Zudem ist weiße Bemalung auf Hälsen von Krügen anzumerken.[954] In Schicht IX treten dem Formenspektrum Schalen mit halbmondförmigen Griffleisten[955] sowie überrandständigen Horizontalhenkeln[956] hinzu. Weiterhin finden sich engmundige Gefäße mit Vertikalhenkeln,[957] die mit einer Knubbe verziert sind, sowie *cheese pots*.[958] Auffallend sind ebenso lang gezogene Stabhenkel, die sich an mehreren Fundorten in Westanatolien und der Ostägäis finden (s. u. V.1.4.).[959] Aus dieser Schicht ist zudem ein Fragment eines Mattenabdrucks auf dem Boden eines Gefäßes anzuführen.[960] An der Keramik von Emporio VIII kann nach Schoop eine erhebliche Weiterentwicklung des Formenspektrums registriert werden. Neben den *holemouth*-Töpfen treten Töpfe mit S-Profil[961] auf; erstere besitzen Applikationen in Form von Knubben oder wellenförmigen Griffleisten.[962] Die Töpfe tragen oft Vertikalhenkel mit Knubben, Hornaufsätzen oder Hornhenkeln.[963] Krüge mit Kegelhälsen sind ausgestattet mit Vertikalhenkeln, die

---

945 Furness 1956, Taf. 22.23; Hood 1981/1982, 42, Abb. 24.151.
946 Hood 1981/1982, 46, Abb. 28.172–173.
947 Touchais 1984, 812; vgl. Alram-Stern 1996, 480.
948 Alram-Stern 1996, 476–480; Schoop 2005, 235–237.
949 B. Lambrechts, Identity and Interaction in the Neolithic Island Aegean. The Production, Circulation and Consumption of Ceramic Vessels on Chios (KU Leuven-Universität Leuven, Belgien).
950 Hood 1981/1982, 254, Abb. 122.112; vgl. Schoop 2005, 235, Taf. 144.1.
951 Hood 1981/1982, 281, Abb. 135.357; vgl. Alram-Stern 1996, 477; Schoop 2005, 235, Taf. 144.15.
952 Hood 1981/1982, 281, Abb. 135.337; vgl. Alram-Stern 1996, 477; Schoop 2005, 235, Taf. 144.13.
953 Hood 1981/1982, 247, 14; vgl. Alram-Stern 1996, 477.
954 Hood 1981/1982, 273, Abb. 130.245, 248–249; vgl. Alram-Stern 1996, 477; Schoop 2005, 235, Taf. 144.12.
955 Hood 1981/1982, 251, Abb. 121.78; 254, Abb. 122.128; vgl. Schoop 2005, 236, Taf. 144.17, 23.
956 Hood 1981/1982, 279, Abb. 134.310; vgl. Schoop 2005, 236, Taf. 144.30.
957 Hood 1981/1982, 264; vgl. Schoop 2005, 236.
958 Hood 1981/1982, 248, Taf. 30.15–16.
959 Hood 1981/1982, 279, Abb. 134.319.
960 Hood 1982, 217.
961 Hood 1981/1982, 262, Abb. 125.173; 272, Abb. 129.236, 242; vgl. Schoop 2005, 236, Taf. 146.1–3.
962 Hood 1981/1982, 262, Abb. 125.174; 269, Abb. 128.228; vgl. Schoop 2005, 236, Taf. 145.30–31.
963 Hood 1981/1982, 262, Abb. 125.170; 269, Abb. 128.212, 225; vgl. Schoop 2005, 236, Taf. 145.29, 32, 34.

vom Hals bis zum Halsansatz laufen und mit einer Knubbe verziert sind.[964] Auch ein Exemplar eines pilzförmigen Henkelaufsatzes findet sich unter den Funden.[965] Neben diesen Gefäßen tauchen weiterhin *cheese pots*[966] im Inventar auf. Als dekorative Elemente sind neben der bereits bekannten weißen Bemalung lineare Ritzverzierungen[967] gängig. Neu sind zudem Gefäße mit Politurmusterdekor,[968] die sich jedoch von dem aus Tigani II–III und dem Beşik-Sivritepe/Gülpınar-Horizont unterscheiden.

Die Keramik der Schichten Emporio VII/VI zeigt deutliche Veränderungen zu den älteren Schichten. So finden sich nun Schalen mit eingerolltem Rand (*rolled rim*) im Inventar, die für eine Kumtepe IB-zeitliche Datierung sprechen.[969] Eine weitere Schalenform stellen die Knickrandschalen dar, welche einen kurzen eingeknickten Rand und unterrandständige, horizontale Tunnelösen besitzen können.[970] Ebenfalls neu sind Kehlrandschalen,[971] Schüsseln mit gestrecktem S-förmigen Profil[972] sowie einhenklige Kannen und Krüge.[973] Insbesondere Kannen und Krüge wurden neben Hohlbasen[974] in hoher Anzahl in Schicht VI gefunden. Aus beiden Schichten sind Standfüße bekannt.[975] Ein Exemplar mit leicht ausgezipfelter Form stammt aus Schicht VII.[976] Die weißbemalten Schnabelkannen deuten schon das frühbronzezeitliche (FBZ 1) Formenspektrum der Yortankultur an.[977] *Cheese pots*[978] sind weiterhin im Inventar präsent. Der Dekor besteht hauptsächlich aus weißer Bemalung auf schwarzem Grund, der sich vorwiegend auf Kannen und Bechern findet[979] und gut mit den Funden aus Beycesultan (SC 3–4) vergleichbar ist.[980] Eine abschließende Bewertung der Schichten Emporio VII/VI lässt Schoop aufgrund der Inhomogenität des Materials mit deutlichen Hinweisen für eine teilweise ältere Zeitstellung zu Recht offen.[981] Da es sich bei beiden Schichten lediglich um „Anschüttungen“[982] handelt, kann nur eine chronologische Einordnung anhand von Vergleichen erfolgen, die Funde können jedoch nicht zwingend als Ausgangspunkt für eine Datierung herangezogen werden.

III.4.2.2.4. Heraion (Samos)

Neben dem Kastro Tigani haben erneute Forschungen im Heraion von Samos[983] unter der Leitung von Kouka in den letzten Jahren neue Befunde zutage gebracht, die eine spätchalkolithische

---

964 Hood 1981/1982, 274, Abb. 131.276; vgl. Schoop 2005, 236, Taf. 146.8.
965 Hood 1981/1982, 630, Abb. 285.22; vgl. Schoop 2005, 236, Taf. 146.14.
966 Hood 1981/1982, 247, Abb. 119.17–18, 22; vgl. Schoop 2005, 236, Taf. 145.25.
967 Hood 1981/1982, 262, Abb. 125.170, 173; vgl. Alram-Stern 1996, 477; Schoop 2005, 236, Taf. 145.29; 146.1.
968 Hood 1981/1982, 249, Abb. 120.42; 272, Abb. 129.236; 274, Abb. 131.265, 272, 275; vgl. Alram-Stern 1996, 477; Schoop 2005, 236, Taf. 145.14; 146.3, 5, 12.
969 Hood 1981/1982, 318–320, Abb. 148.606; vgl. Schoop 2005, 260; freundliche Mitteilung B. Lambrechts.
970 Hood 1981/1982, 313, Abb. 144.511–512; 319, Abb. 148.602–603; vgl. Schoop 2005, 237, Taf. 146.23–25.
971 Hood 1981/1982, 316, Abb. 145.546, 548, 568, 569; vgl. Schoop 2005, 237, Taf. 147.7–10.
972 Hood 1981/1982, 321, Abb, 149.616, 626–627; vgl. Schoop 2005, 237, Taf. 147.1–3.
973 Hood 1981/1982, 324, Abb. 150.645; 327, Abb. 153.637, 639, 644, 646; vgl .Schoop 2005, 237, Taf. 147.16–17, 20–22.
974 Hood 1981/1982, 346, Abb. 159.776; vgl. Alram-Stern 1996, 478; Schoop 2005, 237, Taf. 147.23.
975 Hood 1981/1982, 329.
976 Hood 1981/1982, 327, Abb. 153.652. – Der von Parzinger (1989, 426) erwähnte Standfuß aus Schicht IX (Hood 1981/1982, 259, Abb. 124.168) ist nicht mit denen aus Emporio VII/VI vergleichbar und unterscheidet sich auch im Hinblick auf andere Formen des westanatolischen Spätchalkolithikums.
977 Schoop 2005, 257, Anm. 289; vgl. Kâmil 1982, Abb. 40–42.
978 Hood 1981/1982, 309, Abb. 141.431–434.
979 Hood 1981/1982, 327, Abb. 153.644, 646; vgl. Alram-Stern 1996, 478; Schoop 2005, 237, Taf. 147.21–22.
980 Lloyd – Mellaart 1962, 92, Abb. P.9.4; 96, Abb. P.10.14; 98, Abb. P.11.9; vgl. Schoop 2005, 270.
981 Schoop 2005, 257–258, 270.
982 Schoop 2005, 258.
983 Kouka 2012a, 100–101; Kouka 2014a, 53; Kouka 2014b, 50–52; Kouka 2015, 226.

Zeitstellung zulassen. So finden sich unter den Keramikfunden *rolled rim bowls*,[984] deren Variationen auch aus Kumtepe IB bekannt sind.[985] Kalottenförmige Schalen[986] wie auch ein Topffragment mit zwei Knubbenapplikationen sprechen für eine Stellung im ausgehenden 4. Jt. v. Chr.[987] Weiterhin finden sich hier wiederum *cheese pots*.[988] Aufgrund der Bedingungen unterhalb des Grundwasserspiegels hat sich Oberflächendekoration wie beispielsweise Weißbemalung nicht erhalten, weshalb eine mögliche Präsenz offen bleiben muss.[989] Der Fund einer gefensterten Hohlbase deutet darüber hinaus eine ältere, mittelchalkolithische Zeitstellung an.[990] Gerade solche Hohlbasen sind besonders aus der Troas bekannt. Ein guter Vergleich mit ebenfalls etwa linsenförmigen Einschnitten stammt vom Surveyfundort Alacalıgöl.[991] Aber auch auf Samos ist diese Hohlbasenart nicht unbekannt, stammt doch ein Fragment vom unweit entfernten Fundort Tigani aus der Phase III.[992] Unterstützt wird diese zeitliche Einordung zudem durch einen Hornhenkel.[993] Fraglich ist jedoch, ob es sich bei den beiden Funden, um die Reste einer Ansiedlung des 5. Jts. v. Chr. handelt oder ob die Funde im Zusammenhang mit einer Nutzung der Peripherie durch die circa 5 km entfernte Siedlung Tigani gesehen werden können.

III.4.2.2.5. Nyfi (Ikaria)

Die genaue Zeitstellung des Materials von Nyfi auf Ikaria muss aufgrund der bislang fehlenden Vorlage der Funde unklar bleiben. Von Sampson wird sie lediglich als spätneolithisch[994] eingeordnet, wodurch eine Datierung in das 5. bis 4. Jt. v. Chr. möglich ist.

III.4.2.2.6. Tigani (Samos)

Neben den Fundorten auf Chios bieten die Funde auf Samos gute Vergleiche für die relative Chronologie des Mittel- und Spätchalkolithikums. Im Kastro Tigani konnten stratifizierte Funde lediglich aus Gruben erfasst werden, da nahezu die gesamten prähistorischen Befunde während der Grabungen von W. Wrede abgetragen wurden.[995] Nach Schoop können die Phasen I–III dem Mittelchalkolithikum zugewiesen werden, wobei Phase I vermutlich in die zweite Hälfte des 6. Jts. v. Chr. datiert und Phase II–III in die erste Hälfte des 5. Jts. v. Chr. zu setzen ist.[996] Tigani IV ist an das Ende des 5. Jts. v. Chr. zu datieren.[997]

Die Keramik von Tigani I besteht aus sphärischen Schalen und Schüsseln, die seitliche[998] als auch überrandständige Grifflappen[999] besitzen können. Insbesondere die Handhaben lassen Parallelen zu Emporio X zu. Eine dahingehende chronologische Einordung wird auch anhand der geschlossenen Formen gestützt, repräsentiert durch *holemouth*-Töpfe[1000] und Hornhenkeln an

---

984 Kouka 2014a, 53; Kouka 2014b, 52; Kouka 2015, 226.
985 Freundliche Mitteilung O. Kouka (November 2015).
986 Kouka 2014b, 50, Abb. 3A; 52; Kouka 2015, 240, Abb. 6a.
987 Kouka 2014b, 51, Abb. 4A; Kouka 2015, 226, 240, Abb. 6c.
988 Kouka 2014b, 51–52, Abb. 4G; Kouka 2015, 226, 240, Abb. 6d.
989 Kouka 2014b, 52; Kouka 2015, 226.
990 Kouka 2015, 226, 240, Abb. 6b.
991 Gabriel et al. 2004, 129, Abb. 15; Blum 2014, 148, Taf. 5.1.
992 Felsch 1988, Taf. 59.214; vgl. Schoop 2005, Taf. 153.13.
993 Freundliche Mitteilung O. Kouka (November 2015).
994 Sampson 2006, 44–45, 165; Sampson et al. 2012, 7, 36.
995 Wrede 1935/1936, 113–115; vgl. Felsch 1988, 40; Alram-Stern 1996, 469; Schoop 2005, 238.
996 Schoop 2005, 263.
997 Schoop 2005, 271.
998 Felsch 1988, Taf. 16.5; 56.118; vgl. Alram-Stern 1996, 469; Schoop 2005, 239, Taf. 148.10.
999 Felsch 1988, Taf. 15.1–2; 52.42; vgl. Alram-Stern 1996, 469; Schoop 2005, 239, Taf. 148.16.
1000 Felsch 1988, Taf. 12.5; 16.1–2; 51.38; 52.38a; 54.81; vgl. Alram-Stern 1996, 469; Schoop 2005, 239, Taf. 149.4–6.

tassenartigen Gefäßen.[1001] Auch die am Rand der Gefäße durch weiße Bemalung angebrachte Winkelmotivik spricht nicht gegen eine Einordnung in diesen Zeithorizont und zeigt bereits deutliche Parallelen zu den darauf folgenden Exemplaren der Schicht Emporio IX.[1002] Schon in der Phase Tigani I finden sich wie in Emporio X *cheese pots*.[1003] Die Funde von Tigani II unterscheiden sich im Formenspektrum deutlich. Anstelle der sphärischen Schalen treten tiefere Formen mit klar abgesetzten oberen Partien auf, die kleine Ösenhenkel mit aufgesetzten Hörnern besitzen können.[1004] Weiterhin finden sich nun Krüge mit einer geraden Halspartie, an denen Vertikalhenkel mit aufgesetzter Knubbe ansetzen und bis zum Halsansatz der Gefäße laufen.[1005] Diese Gefäße lassen sich mit denen aus Emporio VIII vergleichen. Anzumerken sind aus Tigani II sowie III(?) auch lang gezogene Stabhenkel, die sich an mehreren Fundorten in Westanatolien und der Ostägäis finden (s. u. V.1.4.).[1006] Anstelle der weißen Bemalung tritt sowohl Ritzverzierung mit weißer Inkrustation[1007] als auch Politurmusterverzierung[1008] auf. Die obere kegelförmige Partie der Krüge[1009] und die Syntax des eingeritzten Dekors lässt an die Krüge aus Toptepe I–II,[1010] Alpullu[1011] und Aşağı Pınar 2[1012] (s. u. III.4.3. und V.1.9.) erinnern. Dies widerspricht nicht der von Schoop vorgeschlagenen Datierung an das Ende des ersten Viertels des 5. Jts. v. Chr.,[1013] zumal eine solche Krugform auch aus der Troas[1014] bekannt ist. Das keramische Inventar von Tigani III behält die Formen der Schalen und Schüsseln aus Tigani II bei, jedoch tauchen erstmals S-Profile Exemplare auf.[1015] Die Schüsseln können zudem einen nach außen abgeknickten Rand besitzen und tragen generell Ösen unterhalb des Gefäßumbruchs, aus denen sich eine Applikation nach oben hin erstreckt. Diese kann mit einer „pilzförmigen Verdickung“ oder einem Tierkopf bekrönt sein.[1016] Ein Fragment eines Pilzkopfhenkels findet sich ebenso im Inventar.[1017] Neben *cheese pots*[1018] kommen interessanterweise nun auch Hohlbasen, die teilweise gefenstert[1019] sind, im Formenspektrum vor. Gerade letztere zeigen zusammen mit der nun gängigen Politurmusterverzierung[1020] deutliche Parallelen zum Beşik-Sivritepe/Gülpınar-Horizont in der Troas auf. Zu den geschlossenen Gefäßen zählen wiederum *holemouth*-Töpfe, die Vertikalhenkel mit einer Knubbe am Gefäßrand,[1021] häufiger jedoch über dem Gefäßumbruch,[1022] besitzen. Die Krüge zeigen schwach bis markant abgesetzte Halspartien.[1023] Neben den Politurmustern finden sich weiterhin

[1001] Felsch 1988, Taf. 16.8; 18.7–8; 52.43; 55.93; vgl. Alram-Stern 1996, 469; Schoop 2005, 239, Taf. 148.12–13.
[1002] Felsch 1988, Taf. 12.1–2; 51.33; 54.74; vgl. Schoop 2005, 239, Taf. 149.7–8. – Emporio IX: Hood 1981/1982, 273, Abb. 130.248–249; vgl. Schoop 2005, Taf. 145.4.
[1003] Felsch 1988, 45, Anm. 108.
[1004] Felsch 1988, Taf. 19.4–5; 56.139; 57.142–143; vgl. Alram-Stern 1996, 472; Schoop 2005, Taf. 150.1, 5–6.
[1005] Felsch 1988, Taf. 58.157; vgl. Alram-Stern 1996, 472; Schoop 2005, 240, Taf. 150.10.
[1006] Heidenreich 1935/1936, Taf. 47.6, 8; vgl. Felsch 1988, Taf. 37.4.355; 68.355; 80.47.6, 8.
[1007] Felsch 1988, Taf. 20.4; 57.152, 156; 58.166; vgl. Alram-Stern 1996, 472; Schoop 2005, 240, Taf. 150.3, 9, 12.
[1008] Felsch 1988, Taf. 19.5; 57.143; vgl. Alram-Stern 1996, 472; Schoop 2005, 240, Taf. 150.6.
[1009] Felsch 1988, Taf. 57.156; 59.215.
[1010] Özdoğan et al. 1991, 117, Abb. 20.3; 119, Abb. 22.
[1011] Mansel 1938, Taf. 20.
[1012] Parzinger 2005, 107, Taf. 1.1–2.
[1013] Schoop 2005, 266.
[1014] Gabriel 2006, 356, Abb. 1.3; 2014, 1005.
[1015] Felsch 1988, Taf. 34.8; 65.300; 66.327; 67.349; vgl. Schoop 2005, 240, Taf. 151.10–12.
[1016] Felsch 1988, Taf. 24.5; 34.1–2; 60.233; 61.247; 66.305; vgl. Alram-Stern 1996, 472; Schoop 2005, 240, Taf. 151.10; 152.1–2.
[1017] Felsch 1988, Taf. 23.3; 59.216; vgl. Schoop 2005, 240, Anm. 269; Taf. 154.5.
[1018] Felsch 1988, Taf. 25.2; 61.243; vgl. Schoop 2005, 240, Taf. 150.14.
[1019] Felsch 1988, Taf. 59.214; vgl. Schoop 2005, 240, Taf. 153.13.
[1020] Felsch 1988, Taf. 27.1–2; 36.8; 60.233; 62.255; 67.341; vgl. Alram-Stern 1996, 472; Schoop 2005, 240–241, Taf. 151.1; 152.2; 154.1.
[1021] Felsch 1988, Taf. 30.3–4; 63.271; vgl. Schoop 2005, 240, Taf. 152.8.
[1022] Felsch 1988, Taf. 33.3; 65.304; vgl. Schoop 2005, 240, Taf. 153.1.
[1023] Felsch 1988, Taf. 30.2; 33.1; 63.270; 65.297; vgl. Schoop 2005, 240, Taf. 153.2, 10.

Ritzverzierungen, vertreten durch parallele Strichbündel[1024] oder horizontal verlaufende Bänder, die aus innen dekorierten Dreiecken (Striche oder Einstiche) bestehen.[1025] Hatte Schoop noch vergeblich Verbindungen zum Material in Südwestanatolien gesucht,[1026] finden sich neben den Funden in der Troas nun gute Parallelen im Einzugsgebiet des Büyük Menderes. Weitere Verbindungen deuten ebenso Mattenabdrücke an (s. u. V.2.2.), die bereits von R. Heidenreich publiziert wurden, jedoch keiner Phase zugewiesen werden können.[1027]

Das keramische Ensemble von Tigani IV zeigt deutliche Änderungen im Gegensatz zu dem vorherigen Formenspektrum. Neben flachen sphärischen bis S-profilierten Schalen[1028] mit unterrandständigen vertikalen Ösen finden sich *cheese pots*[1029] unter den Funden. *Holemouth*-Töpfe sind durch einige Funde belegt, unterscheiden sich jedoch von denen aus Tigani III aufgrund der gedrungeneren Form und des Fehlens von vertikalen Henkeln mit Knubbe oder Hornaufsatz.[1030] Fingertupfenleisten dienen den Töpfen weiter als Zierelement unter dem Rand.[1031] Auch bei den Krugformen zeigen sich Unterschiede. Die geraden und kegelförmigen Hälse weichen nun ausgreifenden Halspartien, die sich deutlich von der Schulter des Gefäßes absetzen.[1032] Hornartige Applikationen finden sich nicht mehr auf den Henkeln. Neben Krügen erwähnt Schoop kleinformatigere Kannen und Becher mit randständigen Henkeln.[1033] Interessant ist weiterhin das Auftreten von ausgezipfelten und trapezförmigen Standfüßen.[1034] Im Gegensatz zu Tigani III gehören Politurmuster- und Ritzverzierungen nur noch vereinzelt zum Dekor.[1035] Hingegen kann ein Wiederaufleben der Weißbemalung registriert werden, die sich wie in Tigani I zuvor auf lineare Motive beschränkt. Ein Unterschied findet sich auch in der Syntax der Verzierung; horizontale Linienbündel unterteilen das Gefäß in unterschiedliche Segmente, die wiederum gefüllte Dreiecksmotive aufweisen oder durch eine sich kreuzende Schraffur gefüllt sind.[1036] Eine chronologische Einordnung des Inventars ist, wie bereits von Schoop dargelegt, am ehesten über die Keramik von Aphrodisias-Pekmez SC 1 (s. o. III.4.1.3.1.) möglich.[1037] Zwar sieht er ebenso wie Felsch eine gewisse Nähe zum frühesten Material von Beycesultan, jedoch konkrete Verbindungen lediglich zur Keramik aus Aphrodisias.[1038] Parallelen zwischen Tigani IV und dem Material von Aphrodisias-Pekmez SC 1 lassen sich so beispielsweise in Schalen mit schwacher S-profilierter Wandung sehen.[1039] Als weiteres Argument führt Schoop Unterschiede in der Anbringung von Schnurösen an Schalen sowie in der Weißbemalung des inneren Schalenrandes an, die einen Unterschied zum Material von Beycesultan aufzeigen.[1040] Auch bei den geschlossenen Gefäßen, wie den Kannenformen aus Tigani und Aphrodisias-Pekmez sieht Schoop Unterschiede beim Ansatz der Henkel, die im Gegensatz zu den Kannen in Beycesultan unterrandständig sind. Auch ist dies im Hinblick auf die Weißbemalung anzumerken, die sich in Beycesultan immer unterhalb des Halsansatzes findet.[1041] Dennoch sind in Tigani IV, laut Schoop, noch charakteristische Elemente

[1024] Felsch 1988, Taf. 22.3; 59.209; vgl. Schoop 2005, 240–241, Taf. 150.16.
[1025] Felsch 1988, Taf. 25.6; 61.248, 251; vgl. Alram-Stern 1996, 472; Schoop 2005, 240–241, Taf. 152.3, 6.
[1026] Schoop 2005, 266.
[1027] Heidenreich 1935/1936, 139, Taf. 35.2–3; vgl. Furness 1956, 181.
[1028] Felsch 1988, Taf. 41.2; 71.434, 438; vgl. Alram-Stern 1996, 472; Schoop 2005, 241, Taf. 154.14, 18.
[1029] Felsch 1988, Taf. 40.2–3; 70.424–425; vgl. Schoop 2005, 241, Taf. 155.7.
[1030] Felsch 1988, Taf. 42.7; 74.484; vgl. Schoop 2005, 241, Taf. 155.6.
[1031] Felsch 1988, Taf. 42.4; 74.483; vgl. Schoop 2005, 241, Taf. 155.5.
[1032] Felsch 1988, Taf. 39.2; 43.3–4; 69.399; 74.494; vgl. Alram-Stern 1996, 472; Schoop 2005, 241, Taf. 155.9–10.
[1033] Felsch 1988, Taf. 39.6; 40.1; 42.2; 69.402, 407; 73.464; vgl. Schoop 2005, 241, Taf. 155.14–16.
[1034] Felsch 1988, Taf. 40.417–419; 70.417.
[1035] Schoop 2005, 241.
[1036] Felsch 1988, Taf. 39.2; 43.2; 69.399; 75.498; vgl. Alram-Stern 1996, 472; Schoop 2005, 241, Taf. 155.10–11.
[1037] Schoop 2005, 267–269.
[1038] Schoop 2005, 268.
[1039] Tigani IV: Felsch 1988, Taf. 38.3; 68.361; vgl. Schoop 2005, Taf. 154.15. – Aphrodisias-Pekmez SC 1: Sharp Joukowsky 1986, 531, Abb. 384.6–8; vgl. Schoop 2005, 268, Taf. 85.6–8.
[1040] Schoop 2005, 268.
[1041] Schoop 2005, 268.

(„[…] *holemouth*-Töpfe mit applizierter Fingertupfenleiste, gefensterte Hohlbasen, ein Kegelhalskrug und Schalen mit gitterschraffierten Politurmusterfeldern […]“) bekannt, die eine Verwandtschaft mit Tigani III erkennen lassen.[1042] Die Politurmusterscherben aus Aphrodisias-Pekmez SC 1 stellen für ihn lediglich noch Ausläufer dar, welche sich auch noch in geringer Zahl in späteren Kontexten wie Beycesultan SC 2 und Upper Bağbaşı finden.[1043] Daraus folgert er, dass die Keramik von Tigani IV nicht jünger sein kann als Aphrodisias-Pekmez SC 1, und schlägt eine Datierung in das letzte Viertel des 5. Jts. v. Chr. vor (Abb. 11).[1044]

Interessant sind zudem Fragmente von Marmorgefäßen aus den Phasen II bis IV.[1045] Zwei Fragmente von vermutlich spitzbodigen Bechern stammen aus den Phase II–III und IV.[1046] Vergleiche hierfür finden sich gerade im 5. Jt. v. Chr. in Westanatolien (s. u. V.1.11.).[1047] Wiederum von Heidenreich wurde ein vermutlich ebenfalls spitzbodiger Becher aus Keramik publiziert, der nach Felsch möglicherweise in die Phase IV datiert.[1048] Lediglich in der Phase Yeşilova Höyüğu II findet sich ein weiterer spitzbodiger Becher aus Keramik im Arbeitsgebiet.[1049]

Für die Zentralostägäischen Inseln können so Schichten der Fundorte Emporio, Tigani und Agio Gala in das 5. Jt. v. Chr. datiert werden. Spuren mittelchalkolithischer Zeitstellung finden sich zudem im Heraion. Eine anschließende Besiedlung im ausgehenden 4. und beginnenden 3. Jt. v. Chr. ist für Emporio und das Heraion auf Samos belegt. Funde aus Agio Gala deuten ebenso eine möglicherweise spätere Zeitstellung an. Die Datierungen der Fundorte Archontiki und Nyfi können aufgrund des derzeitigen Publikationsstandes nicht überprüft werden.

III.4.2.3. Dodekanes

Das von Sampson eingeführte Chronologiesystem der Dodekanes (LAN 1–4), in dem eine Korrelation mit der spätchalkolithischen Abfolge von Beycesultan (SC 1–4) vorgeschlagen wurde, ist nach dem heutigen Stand der Forschung überholt (vgl. II.2.2.). Eine Datierung der Schichten von Beycesultan in das 5. Jt. v. Chr. muss verworfen werden,[1050] auch wenn erstaunlicherweise selbst in der jüngeren Forschung noch an diesem Anachronismus festgehalten wird.[1051] Radiokarbondatierungen können von der Dodekanes nicht herangezogen werden, die Funde können lediglich über die relative Chronologie der Keramikabfolge synchronisiert werden (Abb. 12). Vor allem die Funde der Ausgrabungen zweier Höhlen auf Rhodos in Kalythies[1052] (Agios Georgios-Höhle) und Archangelos[1053] (Koumelo-Höhle) sind von Bedeutung für eine zeitliche Platzierung der Fundorte der Dodekanes. Wie bereits Alram-Stern konstatiert hat, ist die Keramik lediglich bedingt vergleichbar mit dem Inventar der chalkolithischen Fundorte auf Chios und Samos.[1054]

[1042] Schoop 2005, 268.
[1043] Sharp Joukowsky 1986, 313; vgl. Schoop 2005, 268.
[1044] Schoop 2005, 272, Abb. 6.11; Beilage 1.
[1045] Felsch 1988, 221–222, Taf. 48; vgl. Schoop 2005, 238.
[1046] Felsch 1988, 222, Taf. 48.26; 75.23, 26.
[1047] Takaoğlu 2005, 36–38.
[1048] Felsch 1988, 117, Anm. 528.6; Taf. 83.UP49.
[1049] Derin et al. 2009, 44, Abb. 15.96.
[1050] Schoop 2005, 176, 191.
[1051] Dieses Dilemma hat auch Gabriel jüngst kritisiert (Gabriel 2014, 1000, Anm. 17).
[1052] Sampson 1984; Sampson 1987; Sampson 1988b; vgl. Alram-Stern 1996, 484–486.
[1053] Sampson 1979; Sampson 1984; Sampson 1987; Sampson 1988b; vgl. Alram-Stern 1996, 486–487.
[1054] Alram-Stern 1996, 147. – Die unsichere chronologische Einstufung der Fundorte wird auch durch die sich ändernde chronologische Bewertung der frühesten Funde auf den Inseln deutlich (vgl. Dawson 2014, 132–133, Tab. 5.5).

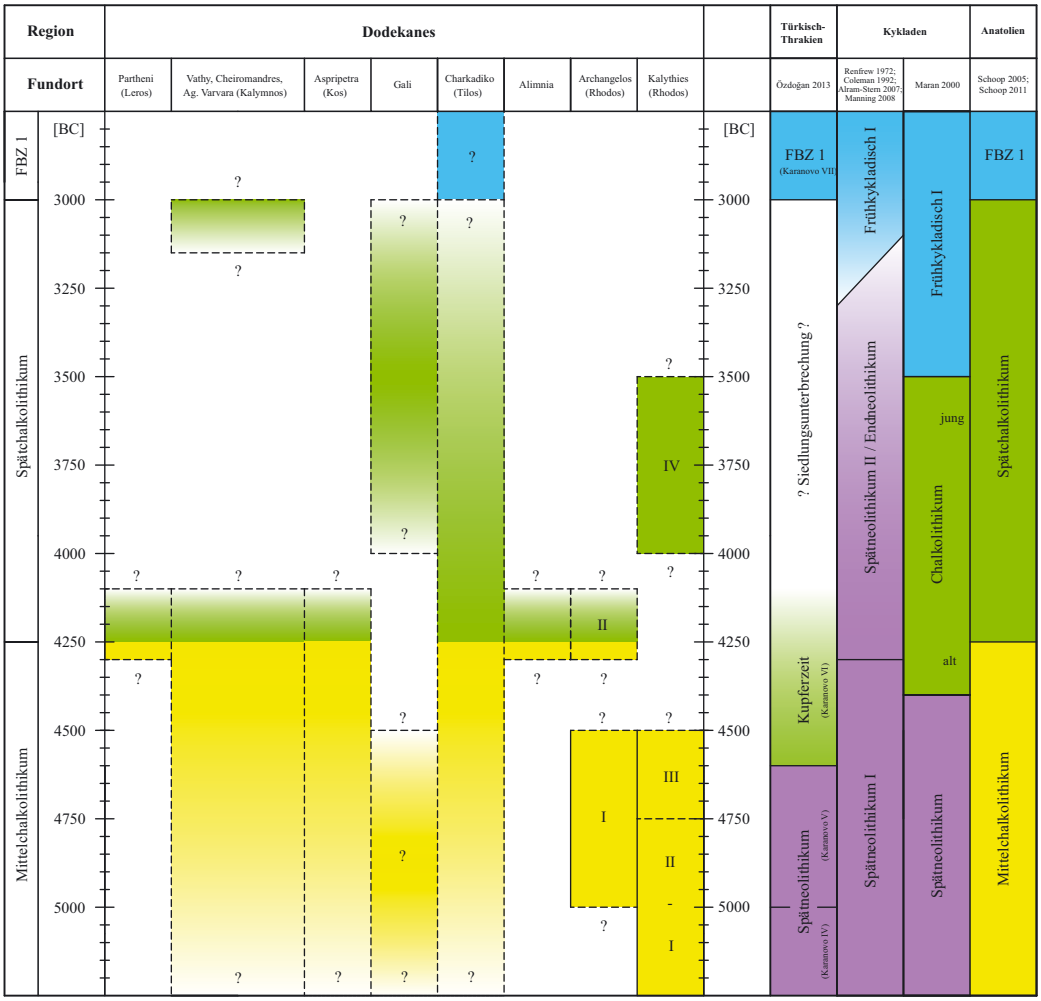


Abb. 12 Vorgeschlagene Chronologie für das Gebiet der Dodekanes.
(Graphik: Ch. Schwall/ERC Prehistoric Anatolia)

III.4.2.3.1. Archangelos und Kalythies (Rhodos), Kastro Alimnia (Alimnia), Partheni (Leros)

Nach Sampson deckt das Inventar der Phasen Kalythies I–III den Zeitraum des späten 6. und die erste Hälfte des 5. Jts. v. Chr. ab.[1055] Der Phase I–II können verschiedene weitmundige Schalen und Schüsseln zugeordnet werden, die eine lineare Weißbemalung auf dunklem Untergrund in Form von parallelen Linienbündeln und Dreiecken auf der Gefäßaußenseite aufweisen.[1056] Eine derartige Dekoration findet sich auch auf geschlossenen Gefäßen aus Tigani I[1057] und Emporio X–IX.[1058] Neben der Dekoration lässt sich eine weitere Gemeinsamkeit anhand von überrandständigen, vertikalen Grifflappen mit zwei oder mehr Hornfortsätzen an offenen Gefäßen

[1055] Sampson 2006, 247.
[1056] Sampson 1987, 38, Abb. 51–53; vgl. Alram-Stern 1996, 486.
[1057] Felsch 1988, Taf. 12.1–2; 51.33; 54.74.
[1058] Hood 1981/1982, 273, Abb. 130.245, 248–249.

ausmachen.[1059] Ebensolche Handhaben sind ebenfalls aus Tigani I[1060] als auch Emporio IX[1061] bekannt (s. u. V.1.10.). Ab Phase Kalythies II treten an Gefäßen Hornhenkel sowie Knubbenapplikationen an Vertikalhenkeln auf.[1062] Parallelen hierfür finden sich wiederum auf Samos (Tigani I–II)[1063] und Chios (Emporio X und VIII).[1064] Weiterhin sind ab dieser Phase auch *cheese pots* im Inventar vertreten, die Mattenabdrücke tragen können.[1065] Interessanterweise sind aus dem Inventar von Kalythies I keine *cheese pots* bekannt, jedoch kann eine Präsenz dieser bereits ab Tigani I[1066] und Emporio X[1067] belegt werden. Nach Alram-Stern sieht Sampson dies als Grund für eine ältere Datierung dieser Phase.[1068] Ob dies letztendlich wirklich einen chronologischen Zusammenhang widerspiegelt, sei dahingestellt. Jedenfalls muss das Fehlen von Politurmusterware in der Phase Kalythies I–II, wie auch in Tigani I und Emporio X–IX prinzipiell nicht gegen eine ältere Einordnung sprechen. Eine grundsätzliche Datierung in das ausgehende 6. und in das erste Viertel des 5. Jts. v. Chr. sollte somit vertretbar erscheinen.

Aus der Phase Kalythies III sind vorwiegend Schüsseln mit unterschiedlichen Wandformen bekannt. Speziell solche mit abgesetzter, oberer Randpartie stammen aus dieser Phase.[1069] Entsprechungen finden sich sowohl auf Rhodos selbst, in den Schichten von Archangelos I,[1070] als auch in Tigani II–III[1071] und Emporio VIII.[1072] Zu den geschlossenen Gefäßen der Phase III zählen insbesondere große Vorratsgefäße. Einige besitzen eine markant abgesetzte, teilweise kegelförmige Halspartie sowie Vertikalhenkel, die am oberen Schulterbereich ansetzen und am Hals befestigt sind.[1073] Ähnliche Formen finden sich ebenfalls in Emporio VIII[1074] und Tigani II–III.[1075] Hornhenkel stammen zudem aus der Phase Archangelos I.[1076] Von beiden rhodischen Fundorten ist weiße, lineare Gefäßbemalung bekannt (Kalythies III,[1077] Archangelos I[1078]). Auch finden sich, laut Alram-Stern, in den obersten Schichten von Kalythies wie auch aus der Phase Archangelos I einige musterpolierte Scherben.[1079] Aufgrund der Funde von Kalythies III und Archangelos I ist, Sampson folgend, von einer zeitlichen Nähe der Inventare auszugehen.[1080] Die Vergleiche mit Tigani und Emporio deuten diesbezüglich eine Verortung in die erste Hälfte des 5. Jts. v. Chr. an.

Jüngere Phasen sind nach Sampson von beiden Fundorten bekannt. So vermerkt er in seiner zusammenfassenden Publikation zur Vorgeschichte in der Ägäis in der Chronologietabelle ohne weitere Angaben eine Phase Kalythies IV, die in die erste Hälfte des 4. Jts. v. Chr. datieren soll.[1081] Eine derartige Zeitstellung kann aufgrund der fehlenden Vorlage des datierenden

---

[1059] Sampson 1987, Abb. 54.612–613; 55.616.
[1060] Felsch 1988, Taf. 52.42.
[1061] Hood 1981/1982, 281, Abb. 135.326, 331–332.
[1062] Sampson 1987, Abb. 17.170; 18.184; 20.211; 23.231; vgl. Alram-Stern 1996, 486.
[1063] Felsch 1988, Taf. 51.24; 52.43; 53.63; 54.76; 55.93; 56.105, 139; 58.157.
[1064] Hood 1981/1982, 269, Abb. 128.212, 225; 281, Abb. 135.335, 337.
[1065] Sampson 1987, 30, Abb. 10.89.
[1066] Felsch 1988, 45.
[1067] Hood 1981/1982, 247, Abb. 119.14.
[1068] Alram-Stern 1996, 149.
[1069] Sampson 1987, Abb. 38.394; 41.426.
[1070] Sampson 1987, Abb. 89.42, 44, 49.
[1071] Felsch 1988, Taf. 19.4–5; 56.139; 57.142–143; 59.198; 66.313; 67.351; vgl. Alram-Stern 1996, 472; Schoop 2005, Taf. 150.1, 5–6; 151.4–6.
[1072] Hood 1981/1982, 254, Abb. 122.120–122.
[1073] Sampson 1987, Abb. 50.566.
[1074] Hood 1981/1982, 274, Abb. 131.265.
[1075] Felsch 1988, Taf. 58.157; 63.270.
[1076] Sampson 1987, Abb. 85.5.
[1077] Sampson 1987, Abb. 54.614.
[1078] Sampson 1987, Abb. 88.34γ; 89.47.
[1079] Alram-Stern 1996, 486–487.
[1080] Sampson 1984, 248; Sampson 1987, 184; Sampson 2006, 223.
[1081] Sampson 2006, 247.

Materials hier nicht überprüft oder bewertet werden. Bereits in seiner grundlegenden Publikation zum Neolithikum auf der Dodekanes erwähnt er jedoch jüngere Funde aus der Koumelo-Höhle (Archangelos II), die er seiner Zeitstufe „Late Aegean Neolithic 4" und somit dem 4. Jt. v. Chr. zuordnet.[1082] Ein Fragment eines Kruges mit ausladendem Hals[1083] deutet eine gewisse Nähe zu den Krugformen aus Tigani IV[1084] an. Das Fragment einer Schale mit schwach eingekehlter Randpartie und Vertikalöse[1085] lässt sich jedoch nicht mit dem Inventar von Tigani verbinden. Folgt man dennoch dem Vergleich mit den Krügen aus Tigani IV (s. o. III.4.2.2.6.), so kann eine ältere Zeitstellung, im letzten Viertel des 5. Jts. v. Chr., in Betracht gezogen werden. In diesem Zusammenhang ist das Fundmaterial von Kastro Alimnia auf der westlich von Rhodos vorgelagerten Insel Alimnia interessant. Finden sich doch hier sowohl ein Krugfragment[1086] als auch eine Schale (zwar ohne leichte Einkehlung) mit Vertikalöse,[1087] die den Funden aus Archangelos II nahe stehen und eine parallele zeitliche Einordnung denkbar erscheinen lassen. Weiterhin sind aus dem Inventar von Alimnia neben Schüsseln mit Knubben auch geschlossene Gefäße mit gerader oder ausladender Halspartie bekannt.[1088] Interessant sind zudem *cheese pots*, die Mattenabdrücke auf der Unterseite tragen können.[1089] Das Material von Alimnia steht dem aus der Bucht von Partheni auf Leros nahe und deutet ebenfalls eine ähnliche Datierung an. Neben *cheese pots*,[1090] wiederum teilweise mit Mattenabdrücken, finden sich offene Gefäße, die seitlich ansetzende Schnurösen besitzen können,[1091] und geschlossene Gefäße mit gerader oder ausladender Halspartie.[1092] Neben einem Krug mit ausladendem Rand,[1093] den Sampson auf seiner Typentafel abbildet und den bereits erwähnten Funden von Alimnia und Archangelos II ähnelt, finden sich für die Krüge mit einer geraden Halspartie[1094] gute Vergleiche im Material von Kalythies III.[1095] Eine partielle ältere Datierung eines Teils des Inventars, wie bereits von Alram-Stern erwähnt, kann somit nicht ausgeschlossen werden. Für die offenen Gefäßformen mit Schnurösen sind jedoch wiederum gute Vergleiche aus dem Fundmaterial von Tigani IV[1096] bekannt, weshalb eine Verortung in das letzte Viertel des 5. Jts. v. Chr. mit teilweise älterem Material (erste Hälfte des 5. Jts. v. Chr. oder etwas später?) möglich erscheint. Somit kann die korrigierte Datierung der Fundorte Kastro Alimnia und Partheni auf Leros durch Sampson in das 5. Jt. v. Chr. nachvollzogen werden.[1097]

III.4.2.3.2. Aspripetra-Höhle (Kos)

Die Funde aus der Aspripetra-Höhle auf Kos werden von verschiedenen Autoren in eine späte Phase des Neolithikums (nach der ägäischen Terminologie) sowie in die Frühbronzezeit gesetzt.[1098] Es ist schwierig anhand der publizierten Funde eine genauere Einordnung vorzunehmen. Die Präsenz von *cheese pots*[1099] lässt keine nähere Verortung zu, da sich diese Formen schon in

[1082] Sampson 1987, 73–74, 184; Sampson 2006, 249.
[1083] Sampson 1987, Abb. 92.73.
[1084] Felsch 1988, Taf. 69.399; 74.494.
[1085] Sampson 1987, Abb. 92.75.
[1086] Sampson 1987, Abb. 105.64.
[1087] Sampson 1987, Abb. 109.96.
[1088] Sampson 1987, Abb. 105.64–67, 69; 110.104–105; vgl. Alram-Stern 1996, 488.
[1089] Sampson 1987, Abb. 102.24–32; vgl. Alram-Stern 1996, 488.
[1090] Sampson 1987, Abb. 126–128; Sampson 2006, 232, Abb. 221; vgl. Alram-Stern 1996, 493.
[1091] Sampson 1987, Abb. 118.41; 119.50, 54; Sampson 2006, 231, Abb. 220; vgl. Alram-Stern 1996, 493.
[1092] Sampson 1987, Abb. 120.57; 123.89; 124.92; 125.94.
[1093] Sampson 1987, Abb. 130 (oben rechts).
[1094] Sampson 1987, Abb. 120.57.
[1095] Sampson 1987, Abb. 50.566.
[1096] Felsch 1988, Taf. 68.359–360; 71.438–439.
[1097] Zur ehemaligen Datierung siehe Sampson 1987, 85–86, 92–95. Für die revidierte Datierung siehe Sampson 2006, 230, 232 (vgl. auch Georgiadis 2012, 12).
[1098] Furness 1956, 193; Buchholz 1982, 52; vgl. Alram-Stern 2004, 946.
[1099] Levi 1929, 294, Abb. 82.

den frühsten Horizonten von Emporio und Tigani finden, aber auch an weiteren Fundorten des 5. bis 3. Jts. v. Chr. anzutreffen sind. A. Furness erwähnt insbesondere das Fehlen der klassischen Hornhenkel und Henkel mit Knubben, weshalb sie nicht zwingend von einer frühen Zeitstellung des Materials ausgeht.[1100] Die wenigen abgebildeten Keramikfunde aus der Aspripetra-Höhle auf Kos helfen bei einer Differenzierung nicht weiter. Lediglich zwei Objekte könnten für eine möglicherweise frühe Zeitstellung sprechen. So bildet D. Levi eine Tasse mit überrandständigem Henkel[1101] ab, für die sich eine gute Parallele unter den Funden von Kastro Alimnia findet.[1102] Relevanter könnte ein ausgezogener Hornhenkel einer Tasse[1103] sein, für den sich die besten Vergleiche in Tigani I[1104] finden. Folgt man diesen Indizien, so würden sich zumindest Anzeichen für eine mögliche Datierung eines Teils der Funde in das Mittelchalkolithikum finden. Die genaue Zeitstellung des restlichen Materials muss offen bleiben.

III.4.2.3.3. Charkadiko-Höhle (Tilos)

Für die Charkadiko-Höhle muss eine chronologische Einordnung mangels publizierter Keramik offen bleiben. Im Bericht zu den Ausgrabungen wird von einer Datierung um die Mitte des 3. Jts. v. Chr. ausgegangen, wobei als Vergleiche Keramikformen von der Aspripetra-Höhle auf Kos, der Vathy-Höhle auf Kalymnos und Tigani auf Samos genannt werden.[1105] Eine Verortung der Funde, zumindest in ihrer Gesamtheit, in das 3. Jt. v. Chr. scheint aufgrund der Vergleiche mit dem Tigani-Material daher fraglich. Die Präsenz von Mattenabdrücken hilft bei der chronologischen Einordnung nicht weiter.[1106] Sampson ordnet die Funde sowohl in das 4. als auch in das 3. Jt. v. Chr. ein.[1107] Folgt man jedoch einer Datierung der jüngsten Phase von Tigani (IV) in das ausgehende 5. Jt. v. Chr. (s. o. III.4.2.2.6.), so könnte auch noch eine ältere Datierung in Betracht gezogen werden.

III.4.2.3.4. Giali

Die Ausgrabungen auf der Insel Giali wurden von Sampson in der grundlegenden Publikation der Funde vordergründig in seinen chronologischen Abschnitt LAN 4 gesetzt und somit in das 4. Jt. v. Chr., wobei auch einige Funde, laut ihm, eine frühere Zeitstellung in das 5. Jt. v. Chr. andeuten.[1108] Diese Einordnung macht er vor allem von den Funden der *cheese pots* abhängig,[1109] jedoch sind diese, wie bereits oben gezeigt, auch aus wesentlich älteren Kontexten bekannt. Ausschlaggebend für eine Umdatierung der Funde von Giali durch Sampson selbst war seine Ausgrabung in Ftelia auf Mykonos.[1110] Den Radiokarbondaten zufolge datiert diese Siedlung in die erste Hälfte des 5. Jts. v. Chr.[1111] Sampson stellte fest, dass *cheese pots* dort bereits am Beginn des 5. Jts. v. Chr. auftauchen,[1112] weshalb er die Funde von Giali in das 5. Jt. v. Chr. umdatierte.[1113]

[1100] Furness 1956, 193.
[1101] Levi 1929, 287, Abb. 74; 291.
[1102] Sampson 1987, Abb. 102.33.
[1103] Levi 1929, 291, Abb. 79; 293.
[1104] Felsch 1988, Taf. 16.8; 18.7–8; 52.43; 55.93.
[1105] Bachmayer et al. 1976, 139–140.
[1106] Bachmayer et al. 1976, 140.
[1107] Sampson 1987, 115; vgl. Alram-Stern 1996, 488.
[1108] Sampson 1988a, 230–232; vgl. Alram-Stern 1996, 492.
[1109] Sampson 1988a, 116, Abb. 28.103, 105; 128, Abb 37.175, 181–182, 185; 148, Abb. 59.294–295; 232; vgl. Alram-Stern 1996, 490.
[1110] Sampson 2006, 234–235, 247; vgl. Georgiadis 2012, 12.
[1111] Facorellis – Maniatis 2002.
[1112] Sampson 2002, 65.
[1113] Sampson 2006, 234–235, 247.

Neben den *cheese pots* lassen auch die vorgefundenen Mattenabdrücke auf Gefäßböden[1114] eine Datierung sowohl in das 5./4. Jt. v. Chr. als auch in die Frühbronzezeit zu. Funde, die womöglich auf eine Datierung in das 5. Jt. v. Chr. hindeuten, sind anhand von Knubben an geschlossenen Gefäßen belegt.[1115] Derartige Applikationen finden sich auch an Gefäßen aus Emporio VIII[1116] sowie Tigani III[1117] und würden somit einen möglichen Datierungsansatz bieten. Interessant ist unter den Funden ein Fragment eines durchbrochenen Standfußes,[1118] das an ein Bruchstück einer gefensterten Hohlbasis aus Tigani III[1119] erinnert. Ein ovales Gefäß mit vertikalen Schnurösen[1120] deutet hingegen auf eine noch frühere Zeitstellung im 6. Jt. v. Chr. hin. M. Georgiadis hat sich gegen eine höhere Datierung von Giali ausgesprochen und hält an der 1987 von Sampson publizierten Datierung fest.[1121] Hinweise für eine jüngere Datierung ins 4. Jt. v. Chr. finden sich vor allem anhand der Kehlrandschalen unter den Funden.[1122]

Insgesamt betrachtet bleibt für das Material von Giali vermutlich eine vordergründige Datierung in das 4. Jt. v. Chr. festzuhalten, wobei einzelne Funde eine ältere Datierung im 5. Jt. v. Chr. möglich erscheinen lassen.

III.4.2.3.5. Vathy-, Cheiromandres- und Agio Varvara-Höhle (Kalymnos)

Weitere chalkolithische Funde sind aus drei Höhlen auf der Insel Kalymnos bekannt: Vathy, Cheiromandres und Agio Varvara. Dabei handelt es sich insgesamt um Altgrabungen, die in den 1920er Jahren von A. Maiuri durchgeführt wurden.[1123] Bedingt durch die rudimentären Beschreibungen der Fundkontexte und die ausgebliebene Inventarisierung nach dem Ausbruch des Zweiten Weltkrieges ist eine Zuweisung der Funde zu den einzelnen Höhlen und Kontexten problematisch. Eine Vorlage des signifikanten chalkolithischen Fundmaterials ist M. Benzi zu verdanken, wodurch eine beachtliche zeitliche Tiefe der Funde deutlich wird.[1124] Für den älteren Abschnitt der Funde sind die besten Vergleiche zum einen von anderen Fundstellen der Dodekanes bekannt, zum anderen wiederum aus Tigani.[1125] So finden sich in der Höhle von Vathy zwei Schüsselfragmente mit Weißbemalung in Form von parallelen Linienbündeln, die eine Winkelmotivik auf der äußeren Gefäßseite unterhalb des Randes bilden.[1126] Vergleiche hierfür führt Benzi aus Kalythies I–III,[1127] Archangelos I[1128] als auch aus Tigani I[1129] an.[1130] Hierbei ist jedoch zu beachten, dass ein solcher Dekor in Tigani I und auch in Emporio X–IX[1131] vor allem an geschlossenen Gefäßen auftritt,[1132] wodurch die besten Vergleiche von Rhodos stammen. Gute Parallelen zu den frühen

[1114] Sampson 1988a, 100, Abb. 82; 101, Abb. 83–84; 159, Abb. 68β.1, 3, 7, 10; vgl. Alram-Stern 1996, 492.
[1115] Sampson 1988a, 110, Abb. 24.63; 133, Abb. 44.220.
[1116] Hood 1981/1982, 262, Abb. 125.174.
[1117] Felsch 1988, Taf. 65.304.
[1118] Sampson 1988a, 122, Abb. 33.157.
[1119] Felsch 1988, Taf. 59.214.
[1120] Sampson 1988, 118, Abb. 30.130.
[1121] Georgiadis 2012, 12.
[1122] Sampson 1988a, Taf. 69α.25, 27, 31; Sampson 2006, 238, Abb. 236.
[1123] Maiuri 1928.
[1124] Benzi 2008.
[1125] Benzi 2008, 87.
[1126] Benzi 2008, 89, 102, Abb. 2–3.
[1127] Sampson 1987, Abb. 51–54.
[1128] Sampson 1987, Abb. 88.34γ.
[1129] Felsch 1988, Taf. 12.1–2; 51.33; 54.74.
[1130] Benzi 2008, 89–90.
[1131] Hood 1981/1982, 247, Abb. 119.14.
[1132] Schoop 2005, 239.

Inventaren aus Emporio IX,[1133] Tigani I[1134] und Kalythies I–II[1135] sind anhand der Grifflappen mit Hornfortsätzen aus der Höhle von Vathy[1136] und Cheiromandres[1137] zu sehen (s. u. V.1.10.). Hinsichtlich geschlossener Gefäße führt Benzi das Unterteil eines Kruges aus der Vathy-Höhle an,[1138] der zumindest von der unteren Partie her den Exemplaren aus Tigani II[1139] nahe steht; in Tigani können diese zudem Ritzverzierungen aufweisen. Hinweise auf eine Einordnung in den entwickelteren Zeithorizont von Tigani II–III[1140] finden sich unter den Funden der Vathy-Höhle anhand von Schüsseln mit einer abgesetzten oberen Partie.[1141] Ebensolche Formen sind sowohl aus Kalythies III[1142] als auch Archangelos I[1143] auf Rhodos bekannt. Eine weitere Verbindung ermöglicht der Fund eines kleinen Kruges mit abgesetzter Halspartie, einem Henkel mit Knubbe sowie Ritzverzierung, der aus der Vathy-Höhle stammt.[1144] Ein nahezu identischer Vergleich ist aus Tigani II bekannt.[1145] Weitere Gefäße, die dem Vathy-Krug von der Form her nahe stehen, sind aus Emporio VIII[1146] und Tigani II–III[1147] bekannt. Insbesondere die Dekoration mit parallelen Einritzungen findet sich an Gefäßen von Tigani II[1148] und erinnert darüber hinaus an die Krüge des Türkisch-Thrakischen Gebietes (s. u. III.4.3. und V.1.9.), auch wenn diese eine einziehende untere Gefäßpartie besitzen. Für eine Datierung in die Zeit von Tigani III sprechen auch Dekorationselemente. Ein Topf mit zwei randständigen Henkeln aus der Vathy-Höhle[1149] besitzt zwei knopfartige Applikationen auf den Henkeln, die sich auch in Tigani III finden.[1150] Auffallend sind zudem Scherbenfragmente aus der Agio Varvara-Höhle[1151] mit streifenartigen Zonen, die mit Einstichen verziert sind und gute Parallelen in Tigani III[1152] besitzen. Interessanterweise stammt aus der Vathy-Höhle auch ein Schalenfragment mit Politurmusterverzierung.[1153] Die Syntax sowie der Felddekor mit filigranen sich kreuzenden Linien, die ein Netz bilden, findet seine besten Entsprechungen im Inventar von Tigani III[1154] und IV.[1155] Im Hinblick auf Tigani IV geht Schoop von einem Auslaufen der Tradition gegen Ende des 5. Jts. v. Chr. aus.[1156] Benzi sieht an dem Fragment mit Politurmusterverzierung aufgrund der leichten Verdickung des Randes auf der inneren Seite eine Vorform der *rolled rims* und geht trotz des Fehlens von *rolled rims* im Inventar von Tigani von einer samischen Herkunft aus.[1157] Für eine generelle Präsenz von jüngerem Material, das für eine dahingehende Datierung spricht, steht eine Schale mit S-Profil und seitlich ansetzender Schnuröse aus der Vathy-Höhle.[1158] Auch eine Schale mit weißer Bemalung, bestehend aus hän-

[1133] Hood 1981/1982, 281, Abb. 135.326, 331–332.
[1134] Felsch 1988, Taf. 52.42.
[1135] Sampson 1987, Abb. 54.612–613; 55.616.
[1136] Benzi 2008, 89, 103, Abb. 5.
[1137] Benzi 2008, 89, 103, Abb. 6–7.
[1138] Benzi 2008, 90, 103, Abb. 9.
[1139] Felsch 1988, Taf. 20.1–2, 4; 57.155–156.
[1140] Felsch 1988, Taf. 19.4–5; 56.139; 57.142–143; 59.198; 66.313; 67.351.
[1141] Benzi 2008, 90, 103, Abb. 10–11.
[1142] Sampson 1987, Abb. 38.394; 41.426.
[1143] Sampson 1987, Abb. 89.42, 44, 49.
[1144] Benzi 2008, 92, 104, Abb. 18.
[1145] Felsch 1988, Taf. 58.166.
[1146] Hood 1981/1982, 274, Abb. 131.265, 271–276.
[1147] Felsch 1988, Taf. 58.157; 63.270; vgl. Benzi 2008, 92.
[1148] Felsch 1988, Taf. 20.4; 57.156; 58.166.
[1149] Benzi 2008, 91, 104, Abb. 15.
[1150] Felsch 1988, Taf. 63.271; vgl. Benzi 2008, 91.
[1151] Maiuri 1928, 108, Abb. 88; Furness 1956, Taf. 20.2.
[1152] Felsch 1988, Taf. 61.248, 251; 63.310–311.
[1153] Benzi 2008, 92, 105, Abb. 20.
[1154] Felsch 1988, Taf. 62.255.
[1155] Felsch 1988, Taf. 68.367–368; 71.436–437.
[1156] Schoop 2005, 268.
[1157] Benzi 2008, 92–93.
[1158] Benzi 2008, 105, Abb. 25.

genden Dreiecken am äußeren Schalenrand,[1159] vom gleichen Fundort passt eher zu Exemplaren aus Tigani IV[1160] als zu Tigani I. Auffallend ist zudem ein Schalenfragment mit Vertikalöse aus der Vathy-Höhle,[1161] welches mit denen aus Alimnia[1162] und Archangelos II[1163] zu vergleichen ist. Die Funde von *cheese pots* aus der Vathy-Höhle[1164] lassen hingegen eine größere Datierungsspanne zu, da sie, wie bereits oben erwähnt (vgl. III.4.2.2.6.), schon in Kontexten von Emporio X und Tigani I gefunden wurden. Datierungsrelevant ist der Fund eines *rolled rim* aus der Höhle von Agio Varvara,[1165] wodurch eine Kumtepe IB-zeitliche Stellung und somit eine Verortung in das ausgehende 4. Jt. v. Chr. belegt wird. Benzi erwähnt in diesem Zusammenhang noch zwei weitere *rolled rim*-Fragmente. Eines mit unklarer Herkunft[1166] und ein weiteres Bruchstück aus der Vathy-Höhle,[1167] welches jedoch anhand der publizierten Zeichnung nicht als typische *rolled rim*-Form eingeordnet werden kann.

Anhand der Funde aus den Höhlen von Vathy, Cheiromandres und Agio Varvara sowie den Vergleichen, vor allem mit den Funden aus Tigani I–IV, wird ein grober Datierungsansatz in das ausgehende 6. und das 5. Jt. v. Chr. angedeutet. Keramik jüngerer Zeitstellung deutet darüber hinaus auf eine Nutzung der Höhlen im ausgehenden 4. Jt. v. Chr.

Problematisch im Hinblick auf die Datierung der Fundstellen in der Ostägäis sowie der Dodekanes ist der generelle Mangel an absoluten Datierungen. Eine chronologische Einordnung der Inventare wird vor allem anhand von Vergleichen mit den troadischen Fundorten durchgeführt. Ein Großteil der Fundstellen in der Ostägäis (Emporio X–VIII, Tigani I–IV, Uğurlu-Zeytinlik) und der Dodekanes (Alimnia, Archangelos, Aspripetra?, Agio Gala, Giali, Kalythies, Vathy-/Cheiromandres-/Agio Varvara-Höhle) deutet somit eine Zeitstellung im 5. Jt. v. Chr. an. Abgesehen von Poliochni nero, Dermatas, Archontiki und Myrina 1–2 in der Nordostägäis finden sich weiter südlich neben Emporio VII/VI, der Agio Gala-Höhle(?) und den Funden aus dem Heraion auf der Dodekanes lediglich auf Kalymnos (Agio Varvara-Höhle) und auf Giali Anhaltspunkte für eine Datierung in das 4. Jt. v. Chr. Eine genauere zeitliche Differenzierung der Fundorte Charkadiko, Koukonisi, Mikro Vouni III und Nyfi kann nach derzeitiger Publikationsgrundlage nicht vorgenommen werden. Interessant ist insbesondere die große Anzahl an Fundstellen des 5. Jts. v. Chr. in der Ostägäis, wodurch wiederum ein hohes Maß an maritimer Konnektivität bereits zu dieser Zeit angedeutet wird. Der Ursprung dieser Kontakte lässt sich bereits in neolithischer Zeit fassen.[1168]

Wünschenswert wären speziell für die Dodekanes, aber auch für die zentrale Ostägäis, neue Ausgrabungen, die stratigraphische Sequenzen kombiniert mit Radiokarbondaten erbringen, um die hier vorgeschlagene zeitliche Einordnung verifizieren oder falsifizieren zu können.

III.4.3. Chronologiediskussion: Türkisch-Thrakien

Neben der Anlehnung des Chronologiegerüsts an die Karanovo-Chronologie auf dem Ostbalkan stellen die Funde vom Kumtepe IA und der Beşik-Sivritepe/Gülpınar-Horizont in der Troas wichtige Referenzpunkte für die absolute und relative Zeitstellung der Fundplätze in Türkisch-Thrakien

[1159] Benzi 2008, 94, 106, Abb. 31.
[1160] Felsch 1988, Taf. 69.382–388.
[1161] Benzi 2008, 93, 105, Abb. 22.
[1162] Sampson 1987, Abb. 109.96.
[1163] Sampson 1987, Abb. 92.75.
[1164] Furness 1956, Taf. 18.2; Benzi 2008, 96, 107, Abb. 37–38.
[1165] Benzi 2008, 94, 106, Abb. 28.
[1166] Benzi 2008, 94, 106, Abb. 29.
[1167] Benzi 2008, 94, 106, Abb. 27.
[1168] Perlès et al. 2011, 46–48; Düring 2014, 9–13; Horejs et al. 2015, 323; Çilingiroğlu 2016; Horejs 2016, 154–158; Milić 2016, 112–114.

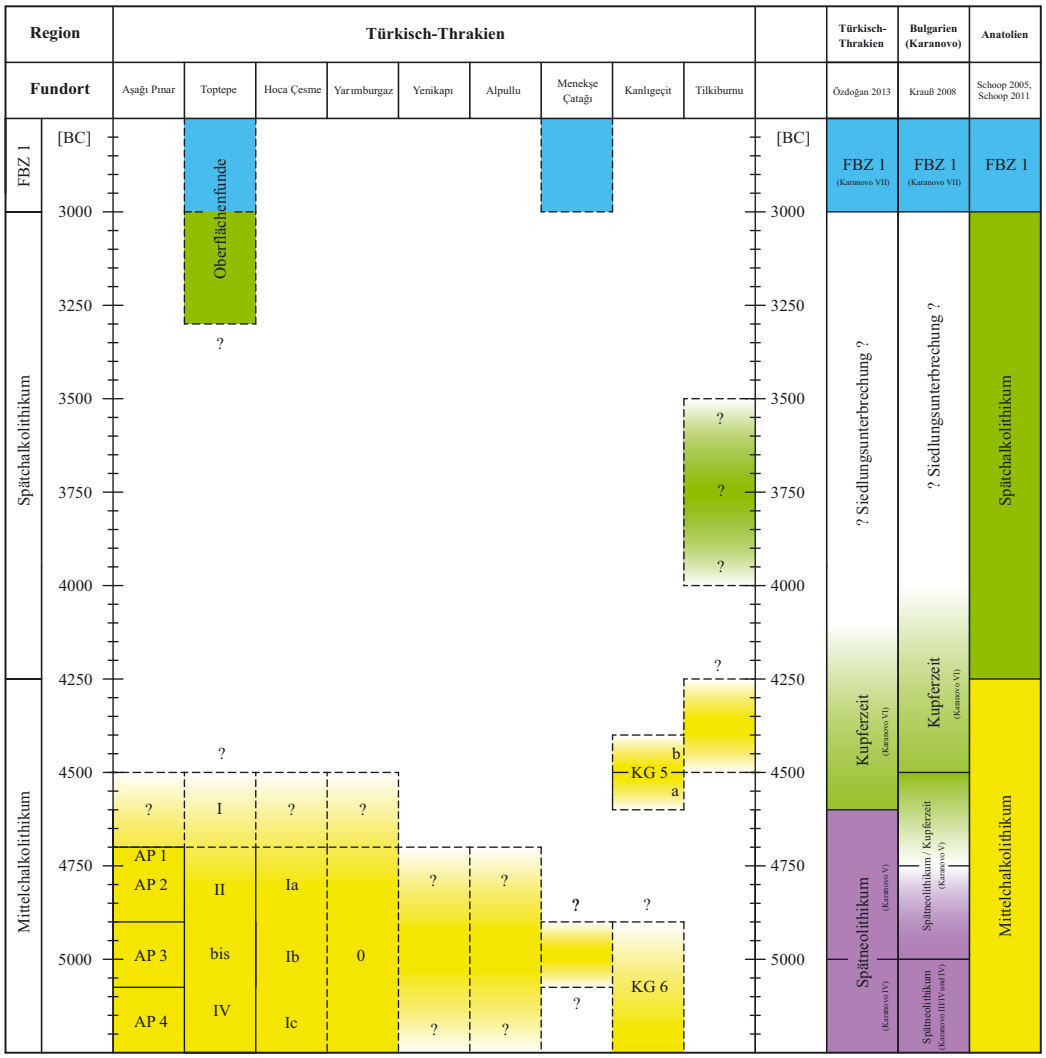


Abb. 13 Vorgeschlagene Chronologie für das Gebiet Türkisch-Thrakiens.
(Graphik: Ch. Schwall/ERC Prehistoric Anatolia)

dar (Abb. 13). Von den bislang neun ausgegrabenen Fundorten des 5. und 4. Jts. v. Chr. können absolutchronologische Referenzdaten für das 5. Jt. v. Chr. nur von den zwei Fundorten Aşağı Pınar und Toptepe herangezogen werden.

III.4.3.1. Alpullu

Aus der Tumulus-Grabung bei Alpullu in den 1930er Jahren stammen Krüge mit Zylinderhals, einziehendem unteren Ende und Ritzverzierung.[1169] Vermutlich wurde der Tumuls in einem Areal errichtet, in dem sich prähistorische Überreste finden. Die Gefäße lassen sich jedenfalls aufgrund von Vergleichen in den Toptepe-Horizont (s. u.) einordnen.[1170]

[1169] Mansel 1937, 37, Abb. 3; Mansel 1938, Taf. 20–21.
[1170] Vgl. zur grundsätzlichen Datierung Özdoğan 2014, 205.

III.4.3.2. Aşağı Pınar

Von diesem Fundort können die Schichten Aşağı Pınar 5–1 in das Mittelchalkolithikum datiert werden. Die Schicht AP 5 datiert anhand von Radiokarbondaten zwischen 5350 und 5250 v. Chr.[1171] Für den hier relevanten Zeitraum des 5. Jts. v. Chr. sind besonders die Schichten AP 4 und 2 von Bedeutung. Diese können zwischen 5250–5080 (AP 4) und 5080–4900 v. Chr. (AP 3) eingeordnet werden.[1172] Die jüngeren Schichten AP 2 und 1 werden anhand von typologischen Vergleichen zwischen 4900 und 4750 v. Chr. datiert.[1173] Entsprechungen im Hinblick auf das keramische Inventar dieser Schichten lassen sich im Material von Toptepe finden. So ist insbesondere die charakteristische ritzverzierte Krugform, wie sie aus Toptepe bekannt ist, mit zylindrischen Hälsen, gerundeten Schultern und einziehendem unteren Gefäßabschnitt[1174] in den Schichten AP 3 bis 2 anzutreffen.[1175] Eventuell in der Form vergleichbare Krüge lassen sich zudem auch in der Schicht AP 4 finden.[1176] Darüber hinaus bieten Hornhenkel der Schichten AP 3 und 2[1177] weitere Parallelen zu denen aus Toptepe I.[1178] Zwar scheinen Hornhenkel bereits früher aufzutauchen, in Aşağı Pınar sind in der älteren Schicht AP 4[1179] und 5[1180] hingegen nur Knopfhenkel mit geringfügig abgesetzten Knöpfen oder scheibenartigem Aufsatz vertreten.

Vergleiche, die neben den Hornhenkeln für eine Einordung in das ausgehende 6. und beginnende 5. Jt. v. Chr. sprechen, finden sich anhand der Politurmusterschalen in der Schicht AP 2 sowie im Übergangshorizont zur älteren Schicht AP 3.[1181] Dieser Dekor deutet, neben den Hornhenkeln, Kontakte mit der Troas in Richtung Süden an.[1182] Dass es sich bei diesen Scherben nicht um singuläre Funde in Türkisch-Thrakien handelt, belegen mehrere Politurmusterscherben aus Hoca Çeşme Ia[1183] und die publizierte Politurmusterscherbe der Phase Toptepe I.[1184] Eine Publikation der restlichen Politurmusterware von Toptepe bleibt abzuwarten, um diese Annahme weiter zu stützen. Interessanterweise besitzen die Schalenfragmente aus Hoca Çeşme Ia sowie einige aus Schicht AP 2 eine Politurmusterverzierung sowohl auf der Innen- als auch auf der Außenseite. Auf der Innenseite findet sich ein feldförmiger Dekor mit diagonalen Schraffuren. Vergleiche für eine beidseitige Dekoration sind bislang lediglich aus Gülpınar in der Troas bekannt.[1185] In der Dekorationsart unterscheidet sich dieses Fragment jedoch von denen aus Hoca Çeşme und Aşağı Pınar. Die Funde der Türkisch-Thrakischen Region besitzen meist diagonale, aber auch vertikale und horizontale Linien, die einzelne Bereiche füllen (Abb. 14.1). Vergleichbare Funde sind besonders aus Emporio VIII[1186] bekannt. Weitere finden sich in Kumtepe IA,[1187] Agio Gala (Obere

[1171] Özdoğan et al. 1999, 147; Özdoğan – Parzinger 2000, 84; Görsdorf 2005; Özdoğan 2013, 190.
[1172] Özdoğan et al. 1999, 147; Özdoğan – Parzinger 2000, 84; Görsdorf 2005; Özdoğan 2013, 190.
[1173] Parzinger 2005, 67; Schwarzberg – Özdoğan 2013, 127, Anm. 7.
[1174] Vgl. Özdoğan et al. 1991, 119, Abb. 22.8.
[1175] Parzinger 2005, 107, Taf. 1.1; 108, Taf. 2.1 (Schicht 2); 144, Taf. 38.3 (Schicht 3); Schwarzberg – Özdoğan 2013, 127–130.
[1176] Parzinger 2005, 185, Taf. 79.4; 186, Taf. 80.1.
[1177] Parzinger 2005, 111, Taf. 5.3, 6 (Schicht 2); 145, Taf. 39.3, 9 (Schicht 3).
[1178] Özdoğan et al. 1991, 117, Abb. 20.1, 3.
[1179] Parzinger 2005, 186, Taf. 80.6–11. – Schwarzberg – Özdoğan 2013, 130.
[1180] Parzinger 2005, 207, Taf. 101.7–9, 10–12; 208, Taf. 102.1–3.
[1181] Parzinger 2005, 124, Taf. 18,7–8; 132, Taf. 26.2, 11–12; 235, Taf. 129.2 (Schicht 2); 139, Taf. 33.2 (Schicht 2/3).
[1182] Generelle Kontakte in den türkisch-thrakischen Raum, ausgehend vom Fundmaterial der Troas, hat bereits U. Gabriel erwähnt (Gabriel 2006, 359; vgl. auch Blum 2014, 136). Für eine detailiertere Vergleichsstudie siehe auch Gabriel 2014, 1015–1020.
[1183] Erwähnung bereits bei Özdoğan 1993, 183; Özdoğan 1998b, 449; Karul – Bertram 2005, 126. – Abbildungen: Özdoğan 2013, 240, Abb. 85–86; Özdoğan 2014, 212, Abb. 8–9; 213.
[1184] Özdoğan et al. 1991, 118, Abb. 21.5.
[1185] Takaoğlu 2006, 300, Abb. 10.27; vgl. Gabriel 2014, 1004, 1020.
[1186] Hood 1981/1982, 249, Abb. 120.42.
[1187] Sperling 1976, Taf. 72.113a; Gabriel 2014, Taf. 2.5.



Abb. 14 Postulierte Variationen der Politurmusterverzierung in den unterschiedlichen Regionen. (Abbildungen von den Funden aus: **1. Emporio**/Schoop 2005, Taf. 145.14; **2. Gülpınar**/Takaoğlu 2006b, 364, Abb. 3.1; **3. Tigani**/Felsch 1988, Taf. 67.351)

Höhle),[1188] Ulucak Höyük III[1189] und Tigani III.[1190] Das Fragment aus Tigani III findet sich neben anderen Exemplaren mit feldförmigen Mustern, unterscheidet sich aber von diesen in der Motivik.[1191] Auch sind Unterschiede im Vergleich zu der gut belegten Politurmusterware von Gülpınar und vom Beşik-Sivritepe auszumachen (Abb. 14.2). Diese wiederum grenzt sich in der Motivik, wie auch in der Art und Weise der Ausführung zu den Scherben aus Türkisch-Thrakien ab. Es findet sich hier ein deutlich feinerer, akkurat gearbeiteter und vor allem elaborierter feldförmiger Dekor. Dem Dekor der Troas steht ein unsauber wirkendes, krakeliges Muster von sich kreuzenden und zickzackförmigen Linien (Abb. 14.3) gegenüber, das sich insbesondere in der zentralen Ostägäis und der westanatolischen Küstenregion findet (Tigani, Malkayası-Höhle, Çine-Tepecik Höyüğü).[1192] Gerade diese Parallelen scheinen lokale Eigenarten bei der Politurmusterware anzudeuten, die zwar teilweise Regionen übergreifend auftauchen, sich aber besonders in Türkisch-Thrakien,[1193] in der Troas[1194] und in der zentralen Ostägäis/Küstenregion Westanatoliens[1195] fassen lassen (Abb. 14). Die weite Verbreitung der Politurmusterverzierung (s. u. V.1.1.) lässt sich durch intensive Kontakte bereits in mittelchalkolithischer Zeit erklären, die sich vor allem im Bereich der maritimen und fluvialen Wasserwege beobachten lassen. So können Gemeinsamkeiten im Keramikensemble, beispielsweise anhand des Politurmusterdekors, von Türkisch-Thrakien bis nach Südwestanatolien erklärt werden.

Ein weiteres Element, welches eine Verbindung zwischen den Fundorten Türkisch-Thrakiens und der Troas herstellt, ist in Form von Mattenabdrücken zu nennen. Diese können an verschiedenen chalkolithischen Fundorten in beiden Regionen nachgewiesen werden und belegen eine vergleichbare Herstellungstechnik der Keramik. In der Troas finden sich Mattenabdrücke am

[1188] Hood 1981/1982, 43, Abb. 25.149.
[1189] Çilingiroğlu et al. 2004, 19, 102–103, Abb. 20.3, 5, 7, 9, 18.
[1190] Felsch 1988, Taf. 67.349; vgl. Schoop 2005, 151.11.
[1191] Felsch 1988, Taf. 67.341, 350–351; vgl. Schoop 2005, Taf. 150.21; 151.1, 6, 14.
[1192] Vgl. besonders Felsch 1988, Taf. 62.255.
[1193] Vgl. hierzu auch die von Ü. Çayır-Böyükulusoy durchgeführte Einteilung der Motivik nach Fundorten: A1a–c, A2, A3 und B2 (Çayır-Böyükulusoy 2014, 92–94, Tab. 1).
[1194] Vgl. hierzu die Einteilung nach Çayır-Böyükulusoy: A2, A3, B1, B3, C1–2, D1–2 und E1 (Çayır-Böyükulusoy 2014, 92–94, Tab. 1).
[1195] Vgl. hierzu die Einteilung nach Çayır-Böyükulusoy: A1b, A3, B1–2, C1–2 und E1–2 (Çayır-Böyükulusoy 2014, 92–94, Tab. 1).

Beşik-Sivritepe,[1196] in Gülpınar[1197] sowie unter den Surveyfunden aus Alacalıgöl[1198] und Bozköy-Hanaytepe.[1199] In Türkisch-Thrakien ist diese Herstellungstechnik bereits in den neolithischen Schichten 7 und 6 von Aşağı Pınar bekannt.[1200] Jedoch wurden Mattenabdrücke dort auch in der mittelchalkolithischen Schicht AP 2 gefunden.[1201] Weitere Funde stammen von Toptepe oder Yarımburgaz,[1202] Tilkiburnu[1203] sowie unterschiedlichen Surveyfundplätzen in Türkisch-Thrakien (Altiağaç, Kocatepe, Tepeyani, Yağcili und Yumurta Tepe).[1204] Die Verbreitung der Keramik mit Mattenabdrücken hebt die Verbindung der beiden Regionen insbesondere ab dem 5. Jt. v. Chr. deutlich hervor, welche als Teil eines größeren ägäischen Kommunikationsraums angesehen werden können (s. o. V.2.2.).

Hatte Schoop im Hinblick auf eine Verbindung zwischen Türkisch-Thrakien und der Troas noch Vorbehalte, nicht zuletzt aufgrund der fehlenden Publikation der politurmusterverzierten Toptepe- und Hoca Çeşme-Scherben, geäußert,[1205] so scheint einer Verbindung, auch anhand der Hornhenkel,[1206] der gefensterten Hohlbasen (AP 2)[1207] sowie der Mattenabdrücke aus heutiger Sicht nichts mehr entgegen zu sprechen.

III.4.3.3. Hoca Çeşme und Yenikapı

Zwar existieren aus Hoca Çeşme und Yenikapı auch Radiokarbondaten, die jedoch bei der folgenden Betrachtung nur bedingt weiterhelfen. Von Hoca Çeşme gibt es Daten für die Phasen IV–II.[1208] Die hier berücksichtigte Keramik stammt allerdings aus vermischten Oberflächenschichten und Gruben, die der Phase Hoca Çeşme I zugerechnet werden.[1209] Wichtig für die chronologische Diskussion sind Hornhenkel (Hoca Çeşme I)[1210] sowie die Politurmusterscherben aus Hoca Çeşme Ia, die jüngst von Özdoğan publiziert wurden.[1211] Gerade diese Scherben mit diagonalen und vertikalen Linien, die einzelne Bereiche füllen, sind vergleichbar mit denen aus Aşağı Pınar 3/2 bzw. 2 (s. o. III.4.3.2.) und deuten, sowohl von der Syntax als auch von der Menge her, eine genuin Türkisch-Thrakische Eigenheit an, die bis weit in den Süden streut.

Für Yenikapı weist ein Radiokarbondatum in das späte 6. und frühe 5. Jt. v. Chr.,[1212] jedoch kann dies lediglich als Hinweis angeführt werden. Es handelt sich hierbei um ein Eichenholz, das aus einer Oberflächenschicht der letzten prähistorischen Besiedlungsphase von Yenikapı stammt. Abgesehen von der Tatsache des Altholzeffekts[1213] wurden keine Funde in Zusammenhang mit

---

[1196] Schliemann 1881, 742; Lamb 1932, 128; Seeher 1985, 174; Gabriel 2006, Abb. 2; Gabriel 2014, 997, Taf. 9.1, 6–7.

[1197] Takaoğlu 2006a, 308, Abb. 13.37; Özdemir 2007; Özdemir 2012; Takaoğlu – Özdemir 2013, 23, Abb. 8; Blum et al. 2014, 801, Taf. 18.9. – Bei dem von Takaoğlu (2006a, 308, Abb. 13.37) publizierten Fund hält Gabriel sogar eine Verbindung zu den Krügen vom Typ Toptepe für möglich (Gabriel 2014, 1005).

[1198] Özdemir 2007, 73.

[1199] Blum et al. 2011, 132, Taf. 6.8; Blum et al. 2014, 798.

[1200] Özdoğan et al. 2005, 323, 327, Abb. 4–5; Parzinger 2005, 41, 222, Taf. 116; Özdoğan 2013, 187, 254, Abb. 126; 255, Abb. 127.

[1201] Parzinger 2005, 107, Abb. 2.

[1202] Özdoğan et al. 1991, 121, Abb. 23i. – Die genaue Provenienz ist nicht mehr nachvollziehbar (freundliche Mitteilung M. Özdoğan).

[1203] Özdoğan 1982, 10.

[1204] Erdoğu 2001, 114.

[1205] Schoop 2005, 266.

[1206] Özdoğan 1993, 191, Abb. 3.

[1207] Parzinger 2005, 131, Taf. 25.1, 5; 132, Taf. 26.7.

[1208] Özdoğan 1993, 186; Özdoğan 1998b, 440, 448; Özdoğan 2013, 180–181.

[1209] Özdoğan 1993, 182–183; Özdoğan 1998b, 438, 448–449.

[1210] Özdoğan et al. 1991, 81; Özdoğan 1993, 183, 191, Abb. 3; Özdoğan 1998b, 448.

[1211] Erwähnung bereits bei Özdoğan 1993, 183; Özdoğan 1998b, 449; Karul – Bertram 2005, 126. – Abbildungen: Özdoğan 2013, 240, Abb. 85–86; Özdoğan 2014, 212, Abb. 8–9; 213.

[1212] Kızıltan – Polat 2013, 128.

[1213] Renfrew – Bahn 2001, 143.

dem Holz geborgen. Somit kann dieses Datum, auch wenn es der jüngste prähistorische Besiedlungshorizont von Yenikapı ist und sich zugleich getrennt gefundene Keramik mit diesem Zeitraum verbinden lässt, nur als Indiz herangezogen werden.

III.4.3.4. Kanlıgeçit

Aus den ältesten Schichten der Siedlung Kanlıgeçit (KG 6) ist weiterhin Keramik bekannt, die sich laut den Ausgräbern möglicherweise mit den Schichten Aşağı Pınar 4–3 verbinden lässt.[1214] Eine jüngere Einordnung belegen Keramikinventare aus zwei Grubenbefunden in Kanlıgeçit, die in den späten Karanovo V- (KG 5a; Helvacı Şaban Ware) und den frühen Karanovo VI-Horizont (KG 5b; Kocatepe Ware) eingeordnet werden.[1215]

III.4.3.5. Menekşe Çatağı

Die Funde von Menekşe Çatağı werden von den Ausgräbern mit denen der sogenannten „Toptepe-Fazies" bzw. der Schicht Aşağı Pınar 3 parallelisiert.[1216] Da sich die Siedlung an der Küste des nördlichen Marmara-Meeres unweit westlich von Toptepe befindet, scheint eine dahingehende Einordnung nicht abwegig. Aufgrund der jedoch bislang unpublizierten Funde kann diese Zeitstellung hier nicht diskutiert werden.

III.4.3.6. Tilkiburnu

Özdoğan nimmt für einen Grubenbefund eine Zeitstellung im späten Karanovo VI-Horizont an und versucht eine Verbindung zu Kumtepe IB und Beycesultan aufgrund einer Schale mit kurzem einziehenden Rand herzustellen.[1217] Zugleich merkt er an, dass diese Schalenform jedoch eine lange Laufzeit hat. Auch der Fund eines Mattenabdrucks hilft aufgrund ihrer langen Laufzeit in diesem Punkt nicht weiter.[1218] Schoop sieht keine Verbindungen zwischen Kumtepe IB und Tilkiburnu und setzt diesen Fundort zusammen mit Ilıpınar IV in die erste Hälfte des 4. Jts. v. Chr.[1219] Neben dem Fehlen der Kumtepe IB-Verbindung, was für eine ältere Datierung spricht, könnte eventuell der Vergleich eines Becherfundes[1220] mit den sogenannten „Tulpenbechern"[1221] aus Ilıpınar in diesen Zeithorizont weisen.[1222] Leider ist der Fund aus Tilkiburnu jedoch unstratifiziert, weshalb die zeitliche Einordnung mit Vorsicht betrachtet werden muss. Seeher hat jedoch jüngst darauf hingewiesen, dass diese Becherform aus Ilıpınar mit Formen der Schichten Beycesultan SC 3 und 4 vergleichbar ist.[1223] Außerdem kann, seiner Meinung nach, die Keramik von Barcın Höyük teilweise älter als die von Ilıpınar angesetzt werden.[1224] Die Radiokarbondaten der Fundorte liegen für Barcın Höyük bei ca. 3900–3700 v. Chr.[1225] und für Ilıpınar zwischen 4000 und 3520 v. Chr.[1226] Eine von Seeher postulierte Einordnung der „Tulpenbecher" um die Mitte des 4. Jts. v. Chr. würde mit den absoluten Daten und dem Fehlen dieser Gefäßform in der älter angesetzten

[1214] Özdoğan – Parzinger 2012, 46.
[1215] Özdoğan – Parzinger 2012, 46; Özdoğan 2014, 208, 211, Abb. 6–7.
[1216] Özdoğan – Işın 1999, 296; Erim – Özdoğan – Işın 2002, 317.
[1217] Özdoğan 1991b, 220.
[1218] Özdoğan 1982, 10.
[1219] Schoop 2005, 217, 270.
[1220] Özdoğan 1982, 26, Abb. 8.
[1221] Roodenberg et al. 1989/1990; Roodenberg 2001, 352.
[1222] In diesem Zusammenhang hat Seeher angemerkt, dass diese Becher nicht nur auf die Grabaustattung beschränkt waren (Seeher 2012, 119–120). Zu diesem Verlgeich siehe auch Düring 2011a, 216.
[1223] Seeher 2012, 121.
[1224] Seeher 2012, 121.
[1225] Roodenberg et al. 2008, 62, Abb. 5.
[1226] Roodenberg – Schier 2001, 267.

Siedlung Barcın Höyük konform gehen. So gestaltet sich eine Eingrenzung des Materials von Tilkiburnu weiterhin schwierig. Neben der Datierung des Grubeninventares durch Özdoğan in die späte Stufe von Karnovo VI scheint zumindest eine Datierung eines Teils der unstratifizierten Keramik in die erste Hälfte des 4. Jts. v. Chr. denkbar.

III.4.3.7. Toptepe

Wichtige Informationen zur absoluten Datierung liefert die Siedlung Toptepe an der nördlichen Küste des Marmara-Meeres. Aus den Toptepe-Schichten 3–4 (Phase II) und 5 (Phase III) stammen mehrere Radiokarbondaten, die diese Horizonte in den Zeitraum zwischen etwa 5300 und 4700 v. Chr. einordnen.[1227] Da es, laut Özdoğan, keine grundlegende Veränderung im Keramikinventar zwischen der Phase III und der älteren Phase IV gibt,[1228] ist davon auszugehen, dass diese nicht viel älter als der datierte Zeitraum ist. Demnach wäre für die Phasen II bis IV eine grobe Zeitspanne von der zweiten Hälfte des 6. bis in das frühe 5. Jt. v. Chr. anzusetzen. Anders ist dies bei der Phase Toptepe I, die lediglich durch Grubeninventare belegt ist und von Özdoğan mit den Funden vom Beşik-Sivritepe und aus der Siedlung von Kumtepe IA in Verbindung gebracht wird.[1229] Auch Schoop sieht Parallelen zwischen Beşik-Sivritepe und Toptepe I in den Krughälsen mit Hornhenkeln und der Besenstrichverzierung, äußert sich zu einer generellen Synchronisierung aufgrund der zwar erwähnten, jedoch weitestgehend unpublizierten Politurmusterware[1230] aus diesem Horizont verhalten.[1231] Das eine publizierte Fragment mit Politurmusterverzierung kann jedoch mit denen aus Hoca Çeşme Ia und Aşağı Pınar 3/2 und 2 verglichen werden. In der Troas findet sich zudem ein Fragment mit äquivalenter Verzierung im Material von Kumtepe IA.[1232] Die älteren Phasen, die sogenannten „Toptepe-Fazies“, setzt Schoop an das Ende des 6. und den Beginn des 5. Jts. v. Chr.[1233] Weiterhin parallelisiert er diesen Zeithorizont mit Kumtepe IA, Emporio VIII und Tigani I, konstatiert aber zugleich, dass sich das Inventar der Toptepe-Fazies aufgrund der Verschiedenheit deutlich von denen der zeitgleichen ägäischen Fundorte abgrenzt.[1234] Eine ähnliche Eingliederung nimmt auch Parzinger an, der Toptepe II–IV aufgrund von Vergleichen mit Aşağı Pınar 3 und 2 verbindet.[1235] Dies scheint nicht zuletzt aufgrund der Krüge mit Zylinderhals, einziehendem unteren Ende und Ritzverzierung möglich.[1236] Gerade diese Form scheint charakteristisch für den Toptepe-Horizont zu sein und findet sich auch in den Schichten Aşağı Pınar 3 bis 2.[1237] Özdoğan spricht sich hingegen in seiner 2013 publizierten Zusammenschau für eine Verbindung der Toptepe-Befunde mit den Schichten Aşağı Pınar 4 und 3 aus.[1238] In der jüngst vorgelegten Vergleichsstudie des Materials von Kumtepe IA und Beşik-Sivritepe sieht Gabriel ebenfalls Verbindungen zum Material von Toptepe.[1239] Ausgehend von den Grubeninventaren der Phase Toptepe I besteht so anhand verschiedener Parallelen, wie

[1227] Özdoğan et al. 1991, 82; Erdoğu 2005, 68; Özdoğan 2013, 179; vgl. Gabriel 2014, 1013–1015.
[1228] Özdoğan et al. 1991, 79.
[1229] Özdoğan et al. 1991, 76, 85; Özdoğan et al. 2013, 178.
[1230] Özdoğan – Özbaşaran Dede 1990, 15, 20, Abb. 19.3005; Özdoğan et al. 1991, 80, 118, Abb. 21.5; Özdoğan 1998b, 449; vgl. ebenso Erdoğu 2001, 197; Çayır-Böyükulusoy 2014, 4, Anm. 21; Gabriel 2014, 1014. – Die bei Özdoğan – Özbaşaran Dede 1990, 20, Abb. 19.3005 publizierte Scherbe entspricht der 1991 publizierten Scherbe bei Özdoğan et al. 1991, 118, Abb. 21.5.
[1231] Schoop 2005, 266.
[1232] Sperling 1976, Taf. 72.113a; Gabriel 2014, Taf. 2.5.
[1233] Schoop 2005, 266, 271, Abb. 6.10.
[1234] Schoop 2005, 266, 270.
[1235] Parzinger 2005, 47–48.
[1236] Özdoğan et al. 1991, 119, Abb. 22.8; Özdoğan 2013, 229, Abb. 55–56.
[1237] Parzinger 2005, 107, Taf. 1.1; 108, Taf. 2.1 (Schicht 2); 144, Taf. 38.3 (Schicht 3); Schwarzberg – Özdoğan 2013, 127–130.
[1238] Özdoğan 2013, 179.
[1239] Gabriel 2014, 1013–1015.

beispielsweise der Hornhenkel,[1240] der Besenstrichverzierung[1241] und der Politurmusterware[1242] die Möglichkeit eines Vergleichs des Materials mit der Troas. Eine Datierung könnte unter Einbeziehung des Beşik-Sivritepe/Gülpınar-Horizontes[1243] somit bis in das 2. Viertel des 5. Jts. v. Chr.[1244] reichen. Dass insgesamt den Funden dieses Horizontes sowie dem Material von Kumtepe IA eventuell eine größere zeitliche Tiefe zugestanden werden muss, deuten die neuen ^{14}C-Daten aus Gülpınar, aber auch Uğurlu-Zeytinlik auf Imbros an (vgl. III.4.1.1.1. und III.4.2.1.6.).

III.4.3.8. Yarımburgaz-Höhle

Eine zeitlich parallele Einordnung eines Teils der unstratifizierten Funde aus der Yarımburgaz-Höhle (Schicht 0) mit denen aus Toptepe deutet der von Schoop schon erwähnte Krug mit Kegelhals und Ritzverzierung sowie eine Hornhenkeltasse an.[1245] Wie bereits im Zusammenhang mit den Schichten Aşağı Pınar 4–2 erwähnt, sind ebensolche Krüge mit kegel- bis zylinderförmigen Hälsen typische Vertreter der Toptepe-Fazies, wodurch eine partielle Datierung der Funde von Yarımburgaz (Schicht 0) in das späte 6. und frühe 5. Jt. v. Chr. möglich erscheint. Krüge solcher Art sind weiterhin relevant für die Toptepe-zeitliche Einordnung von Yeni Kapı[1246] und Alpullu.[1247] Außerdem lassen sich Fragmente von Schalen mit nach innen geknicktem und gekehltem Rand aus Yenikapı[1248] mit Schalen aus Aşağı Pınar 5 bis 3[1249] vergleichen. Auch hier scheint eine Verbindung zum Material aus Beşik-Sivritepe[1250] anhand einer Schale möglich. Verzierungselemente, die ebenfalls auf eine jüngere Einordnung hinweisen, sind zudem aus dem Fundmaterial von Yarımburgaz bekannt. Neben dem Hornhenkel deutet das Fragment einer Schale mit schräg umlaufender, flacher Kannelierung zwischen Rand und Umbruchszone[1251] eine mögliche Verbindung zum Beşik-Sivritepe/Gülpınar-Horizont an. Dort findet sich eine Entsprechung zu dieser Schale, jedoch mit entgegengesetzter Kannelierung.[1252] Gestützt wird dieser Vergleich durch die Präsenz solcher Verzierungen an Schalen der Schicht Aşağı Pınar 2.[1253] Hierdurch scheint eine grundsätzliche zeitliche Nähe von zumindest Teilen des Inventars mit denen in der Troas möglich.

Somit lassen sich die Funde aus Aşağı Pınar 5–1, Hoca Çeşme Ia, Kanlıgeçit 6, Toptepe IV–I, Yarımburgaz 0, Yenikapı, Alpullu sowie Menekşe Çatağı (unter Vorbehalt) in das Spätneolithikum (Karanovo IV) bzw. dem Übergang zur Kupferzeit (Karanovo V) nach der balkanischen (Krauß 2008) und in das Mittelchalkolithikum (Schoop 2005) nach der anatolischen Chronologie datieren (Abb. 13). Derzeit kann für das Gebiet Türkisch-Thrakiens nach dem 1. Viertel des 5. Jts. v. Chr. eine Veränderung der Siedlungstätigkeit registriert werden.[1254] In der Folgezeit finden sich lediglich sporadische Hinweise auf kurzphasige Besiedlungen in diesem Gebiet.[1255] So belegen

[1240] Özdoğan et al. 1991, 117, Abb. 20.1, 3.
[1241] Özdoğan et al. 1991, 117, Abb. 20.6, 8.
[1242] Özdoğan et al. 1991, 80, 118, Abb. 21.5; Özdoğan 1998b, 449.
[1243] Seeher 1985, 175, Abb. 16; Gabriel 2006, 358, Abb. 2.
[1244] Zur absoluten Datierung von Beşik-Sivritepe siehe Gabriel 2000, 234; Gabriel 2001b, 85; Korfmann – Kromer 2003, 145–146; Schoop 2005, 262.
[1245] Schoop 2005, 328; Özdoğan 2013, 226, Abb. 49–50. – Dagegen Parzinger 2005, 45.
[1246] Kızıltan – Polat 2013, 133, Abb. 2.
[1247] Mansel 1937, 37, Abb. 3; Mansel 1938, Taf. 20.
[1248] Kızıltan – Polat 2013, 133, Abb. 3.
[1249] Parzinger 2005, 161, Taf. 55.7, 10 (Schicht 3); 194, Taf. 88.9–10 (Schicht 4); 215, Taf. 109.2, 4, 6.
[1250] Gabriel 2006, 358, Abb. 2.3; Gabriel 2014, 1018.
[1251] Özdoğan 1985a, 18–19, Abb. 2.4; Özdoğan et al. 1999, 110, Abb. 1; Özdoğan 2013, 226, Abb. 49.
[1252] Gabriel 2000, 358, Abb. 2.5. – Für weitere Parallelen des Kannelurdekors am Beşik-Sivritepe siehe Gabriel 2014, 1021.
[1253] Parzinger 2005, 128, Taf. 22.
[1254] Özdoğan 2013, 198; Schwarzberg – Özdoğan 2013, 127; Özdoğan 2014, 205, 213.
[1255] Özdoğan 2013, 198; Özdoğan 2014, 213–214.

Keramikinventare aus zwei Grubenbefunden in Kanlıgeçit[1256] sowie Material aus einer Grube in Toptepe[1257] (Phase I, Kocatepe Ware) eine jüngere Zeitstellung.

Grundsätzlich scheinen die Elemente, die eine Verbindung zum Beşik-Sivritepe/Gülpınar-Horizont zulassen, neben den spärlichen Befunden aus Aşağı Pınar 2 und 1 allesamt aus Gruben oder oberflächennahen, vermischten Schichten (Toptepe I, Yarımburgaz 0, Hoca Çeşme Ia, Yenikapı) zu stammen. Bis auf die Siedlung von Aşağı Pınar besteht deshalb die Möglichkeit, dass die Funde schon im Zusammenhang mit der bislang nur unzureichend erfassten kurzphasigen Besiedlung Türkisch-Thrakiens nach dem Abbruch der zuvor ortsgebundenen, mehrphasigen Siedlungen in der ersten Hälfte des 5. Jts. v. Chr. gesehen werden können.[1258] Die Funde aus Kanlıgeçit 5a/b und einer Grube aus Toptepe, die Özdoğan der Präcucuteni- und Gumelniţsa-Kultur zuweist, lassen sich wohl um die Mitte des 5. Jts. v. Chr. ansetzen, bevor die Siedlungshinweise im Verlauf der 2. Hälfte des 5. Jts. v. Chr. abbrechen.[1259] Die Funde von Tilkiburnu könnten teilweise eine noch spätere Datierung zulassen.

Es ist anzunehmen, dass das Fehlen von Siedlungen nach der Veränderung der Siedlungstätigkeit in der ersten Hälfte des 5. Jts. v. Chr. auf den Forschungsstand zurückzuführen ist. Anhand der derzeit bekannten Fundorte zeichnen sich dennoch bis in die erste Hälfte des 5. Jts. v. Chr. anhand der unterschiedlichen Funde weiträumige Kontakte zwischen den Siedlungen in Türkisch-Thrakien, Westanatolien und der Ostägäis ab, weshalb das Gebiet Türkisch-Thrakiens in der Forschung zu Recht als Bindeglied zwischen Anatolien und dem Balkan angesehen wird.[1260] Es bleibt zu hoffen, dass neben Aşağı Pınar im Norden weitere Siedlungen im Bereich des Marmara-Meeres entdeckt und großflächig ausgegraben werden, um neben chronologischen Fragestellungen auch die Kontakte zwischen diesem Raum und Westanatolien sowie der Ostägäis weiter zu erhellen.

III.4.4. Exkurs: Chronologie in Ostmakedonien, Griechisch-Thrakien und Thasos

Interessant im Vergleich zur chronologischen Stellung der Fundorte im Arbeitsgebiet sind die nordwestlich angrenzenden Regionen Ostmakedonien, Griechisch-Thrakien und die Insel Thasos. Im Folgenden soll zusammenfassend die chronologische Stellung ausgewählter, ergrabener Fundorte dieser Gebiete dargelegt werden, um diese anschließend mit der generellen Entwicklung der Siedlungstätigkeit im Arbeitsgebiet zu vergleichen.

III.4.4.1. Ostmakedonien

In Ostmakedonien sind mehrere Siedlungen bekannt, in denen Kulturschichten des 5. und 4. Jts. v. Chr. ergraben wurden (Abb. 15).

Erste grundlegende Daten dieser Zeitstellung mit einer kontinuierlichen Abfolge stammen aus der Siedlung Sitagroi (Phase Sitagroi I–IV) und wurden von C. Renfrew vorgelegt.[1261] Während die Phasen Sitagroi I und II nach Renfrew in die zweite Hälfte des 6. und die erste Hälfte des 5. Jts. v. Chr. zu setzen sind, legen die kalibrierten kurzlebigen Daten der Phasen Sitagroi III (ca. 4670–4050) und IV (ca. 3360–2700), wie bei M. Johnson zusammengestellt, eine differenziertere chronologische Sequenz nahe.[1262] Relativchronologisch bieten die keramischen Funde aus Dikili

[1256] Parzinger et al. 1999, 332–333; Özdoğan 2004, 25; Özdoğan 2011b, 670; Özdoğan et al. 2012a, 46.
[1257] Özdoğan 2004, 25; Özdoğan 2014, 211.
[1258] Özdoğan 2003a, 354; Özdoğan 2011b, 670; Özdoğan 2013, 198; Özdoğan 2014, 213–214.
[1259] Özdoğan 2014, 211, 213.
[1260] Düring 2011a, 204–205, 213; Özdoğan 2011b, 669; Schoop 2011, 160, 166; Yakar 2011, 298.
[1261] Renfrew 1971; Renfrew 1986, 169–174, Tab. 7.3; vgl. Alram-Stern 1996, 410; Maniatis – Papadopoulos 2011, 34, Tab. 2.
[1262] Johnson 1999, 322–324, Tab. 1; 327, Abb. 2b.

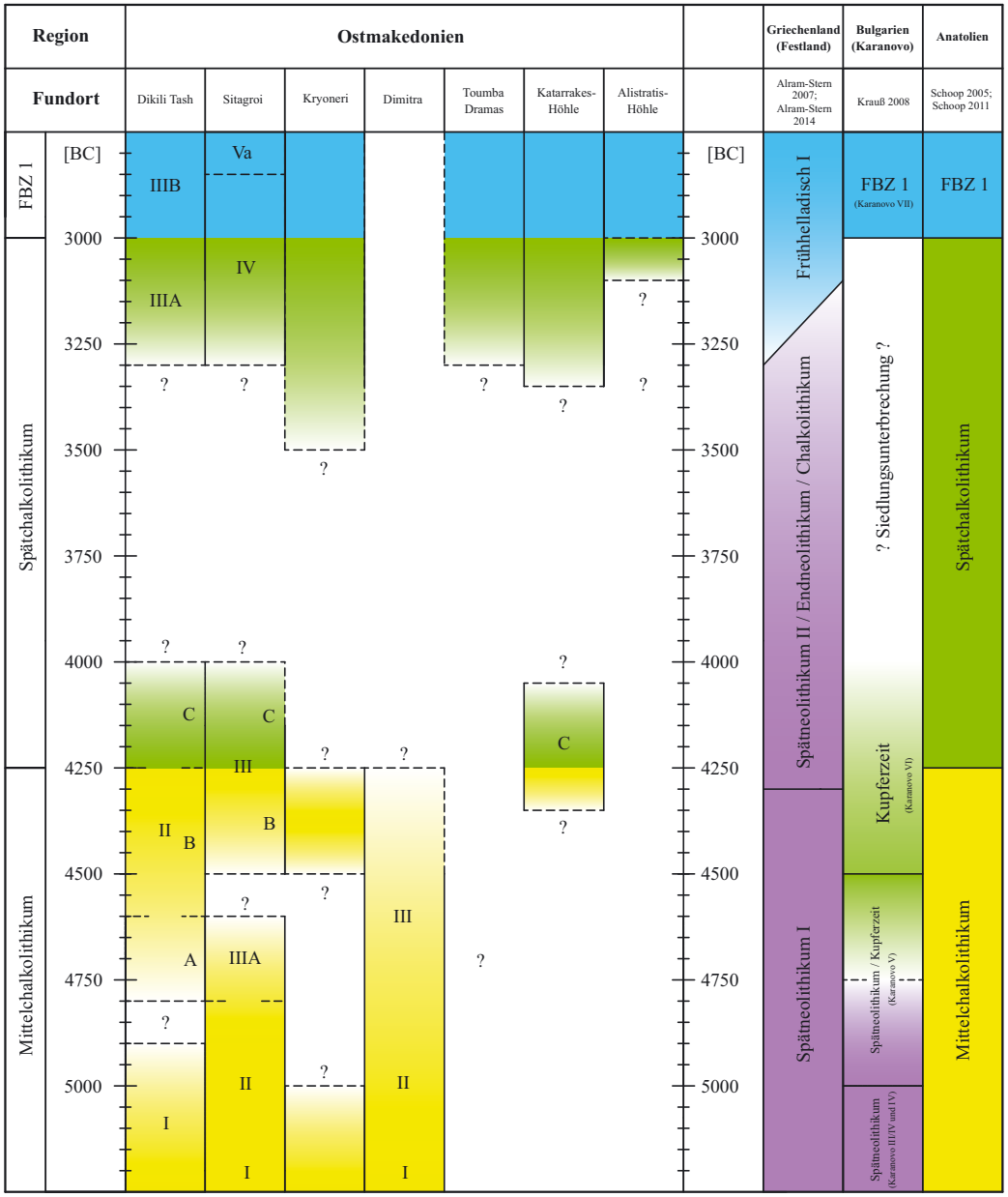


Abb. 15 Überblick zur Chronologie für das Gebiet Ostmakedoniens.
(Graphik: Ch. Schwall/ERC Prehistoric Anatolia)

Tash Parallelen für die Sitagroi Phasen III und IV. So wird Sitagroi IIIA mit Dikili Tash IIA, Sitagroi IIIB–C mit Dikili Tash IIB–C und Sitagroi IV mit Dikili Tash IIIA synchronisiert.[1263]

[1263] Vgl. hierzu Alram-Stern 1996, 413; Darque et al. 2007, 253; Darque – Tsirtsoni 2010, 65. – In der jüngst veröffentlichten Chronologietabelle von Z. Tsirtsoni findet sich nur noch Dikili Tash II „early“, „late“ und „final“ (vgl. Tsirtsoni 2014, 288–289, Abb. 9; Tsirtsoni 2016c, 454, Tab. 1). Aufgrund der Dreiteilung ist eine Parallelisierung mit Dikili Tash IIA–C anzunehmen.

In Dimitra wurden drei Siedlungsphasen Dimitra I bis III ergraben, die aufgrund von relativchronologischen Vergleichen eingeordnet werden.[1264] Die Phase I kann demnach mit Karanovo III bzw. Sitagroi I synchronisiert werden. Dimitra II ist etwa zeitgleich mit Karanovo IV sowie Sitagroi II. Dimitra III ist mit Karanovo V und Sitagroi III bzw. Dikili Tash IIA–B zu verbinden.

In der Toumba Dramas (Arkadiko) wurden Grabungen durchgeführt, die Schichten des 6. und 5. Jts. v. Chr. erbrachten.[1265] Weiterhin wird der Befund eines Langhauses in die Übergangszeit zwischen Chalkolithikum und Frühhelladisch I gesetzt.[1266]

Die Untersuchungen in der Katarraktes-Höhle bei Sidirokastro erbrachten zwei Horizonte C–B, die in den hier betrachteten Zeitraum fallen.[1267] Anhand von Keramikfunden und Radiokarbondaten können Aktivitäten im ausgehenden 5. Jt. v. Chr. (Phase C) nachgewiesen werden.[1268] Befunde der jüngeren Phase B legen eine Besiedlung der Höhle zwischen 3370 und 2900 v. Chr. nahe.[1269]

Im Zuge der Ausgrabungen in der Alistratis-Höhle[1270] (Orfeas) deutet ein ^{14}C-Datum neben Funden älterer Zeitstellung auf Aktivitäten innerhalb der Höhle am Ende des 4. und am Beginn des 3. Jts. v. Chr. hin.

Neuere Daten stammen auch aus der Siedlung Kryoneri im unteren Strymontal. Sporadische Grubenbefunde legen eine Aktivität in der zweiten Hälfte des 6. Jts. v. Chr. nahe.[1271] Ausgedehnte Siedlungsbefunde können weiterhin in der 2. Hälfte des 5. Jts. v. Chr. verortet werden.[1272] Ein weiteres, jedoch isoliertes Radiokarbondatum aus einer Schuttschicht weist in die zweite Hälfte des 4. und die erste Hälfte des 3. Jts. v. Chr.[1273]

Wichtig für die Chronologie in Ostmakedonien sind die Ergebnisse der längjährigen Forschungen in Dikili Tash. Bereits die Ausgrabungen zwischen 1961 und 1996 erbrachten absolute Datierungen, welche in den Zeitraum zwischen 5400 und 3800 v. Chr. (Dikili Tash IIA–C), aber auch in das ausgehende 4. Jt. v. Chr. und an den Beginn des 3. Jts. v. Chr. (Dikili Tash IIIA) datieren.[1274] Die neueren Forschungen zwischen 2008 und 2010 konnten eine Besiedlung der Phase Dikili Tash II in diesem Zeitraum bestätigen.[1275] Die Auswertung der Daten ergab jedoch, dass für die Phase Dikili Tash II ein längerer Zeitraum zwischen 4800–4200/4000 v. Chr. angenommen werden muss,[1276] der vermutlich nach einer kurzen Besiedlungslücke auf die Phase Dikili Tash I (5300–5200 v. Chr.) folgt.[1277] Ebenso kann eine Wiederbesiedlung zwischen 3300 und 3000 v. Chr. belegt werden.[1278]

III.4.4.2. Griechisch-Thrakien

Die Siedlungen Paradeisos, Paradimi und Makri sind für das Gebiet Griechisch-Thrakiens anzuführen (Abb. 16).

[1264] Grammenos 1991, 91; vgl. Alram-Stern 1996, 429–431.
[1265] Touloumis – Peristeri 1994; vgl. Alram-Stern 1996, 433–434.
[1266] Vargas et al. 1995; vgl. Alram-Stern 1996, 434.
[1267] Siros – Miteletsis 2016, 325–337.
[1268] Siros – Miteletsis 2016, 324, Tab. 1; 336.
[1269] Poulaki-Pantermali et al. 2006, 65; Maniatis – Papadopoulos 2011, 34, Tab. 2; Maniatis et al. 2014, 45, 47, Abb. 4; Siros – Miteletsis 2016, 324, Tab. 1; 335.
[1270] Kontaxi et al. 2006, 58; Maniatis – Papadopoulos 2011, 34, Tab. 2.
[1271] Malamidou 2007, 301; Malamidou 2016, 303–304, Tab. 1.
[1272] Maniatis – Papadopoulos 2011, 34, Tab. 2; Malamidou 2016, 304, Tab. 1; 308.
[1273] Maniatis – Papadopoulos 2011, 34, Tab. 2; Maniatis et al. 2014, 45; Malamidou 2016, 304, Tab. 1; 314.
[1274] Treuil 1992; Tsirtsoni 2016b, 275–278, Fig. 3.
[1275] Darque – Tsirtsoni 2010, 62–65; Darque et al. 2015, 410–414; Tsirtsoni 2016b, 278–296.
[1276] Tsirtsoni 2014, 288–289, Abb. 9; Tsirtsoni 2016b, 277–278, 297; Tsirtsoni 2016c, 454, Tab. 1.
[1277] Darque – Tsirtsoni 2010, 59–62; Tsirtsoni 2016b, 277.
[1278] Darque – Tsirtsoni 2010, 64–66; Maniatis et al. 2014, 45–46, Abb. 3; Tsirtsoni 2016b, 279, Tab. 1; 283.

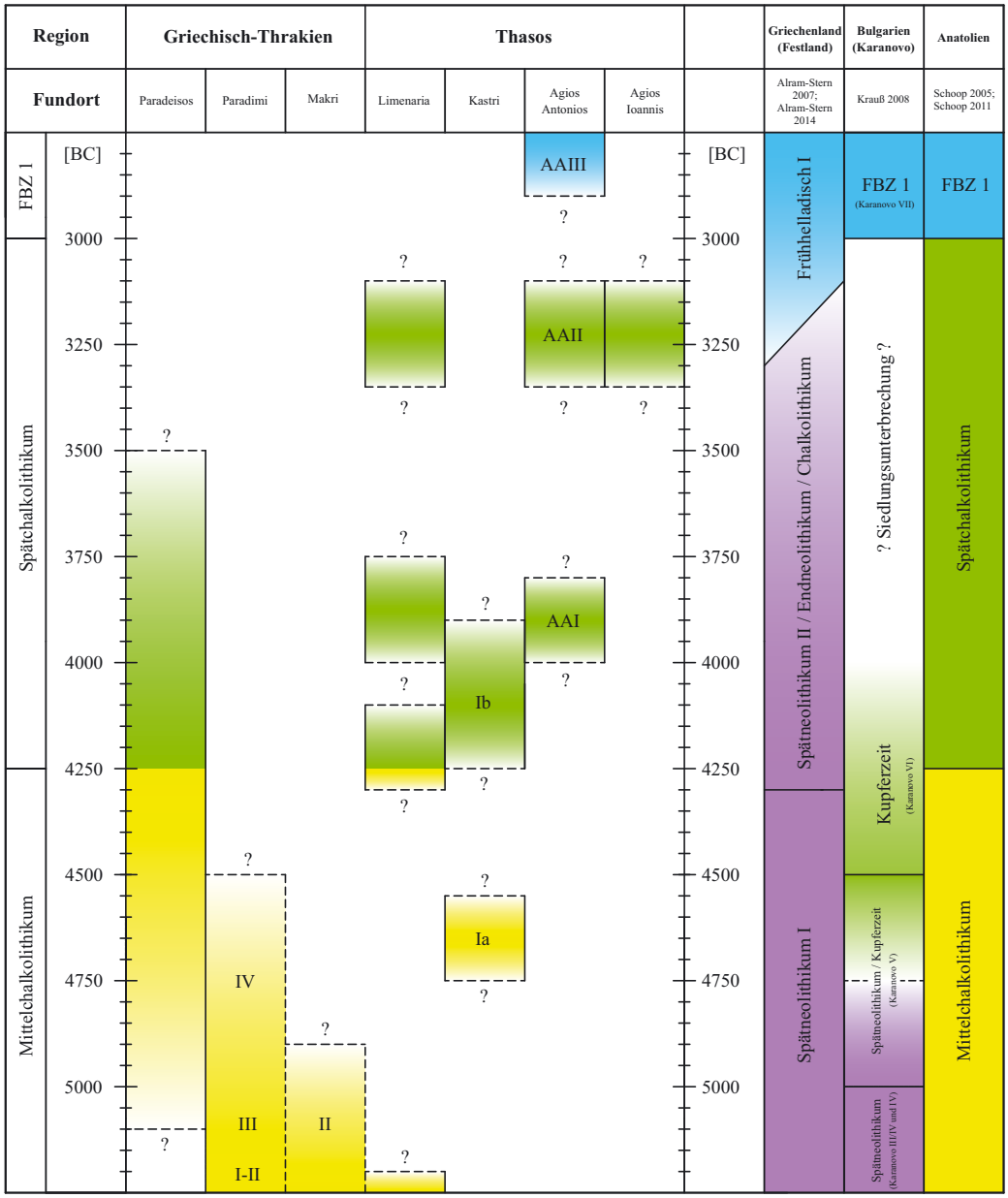


Abb. 16 Überblick zur Chronologie für das Gebiet Griechisch-Thrakiens und Thasos. (Graphik: Ch. Schwall/ERC Prehistoric Anatolia)

Bei den Ausgrabungen in Paradeisos wurde ein Schichtpaket aus sieben Straten ergraben, welches anhand von keramischen Vergleichen als auch von drei Radiokarbondaten in das 5. und 4. Jt. v. Chr. zu datieren ist.[1279] Das älteste Datum aus Stratum 6 deckt die Zeitspanne von ca. 5000 bis 4350 v. Chr. ab. Die anderen beiden Daten stammen aus dem Stratum 2 und deuten eine Zeitstellung von etwa 4370 bis 3500 v. Chr. an.

[1279] Hellström 1987, 135; vgl. Alram-Stern 1996, 438.

Die ausgegrabenen Kulturschichten von Paradimi können in vier Schichtpakete (I–IV) eingeteilt werden, die teilweise weiter unterschieden werden (Ia–b, IIa–b, IIIa–c).[1280] Relativchronologisch wird die Keramik von Paradimi I und II mit Sitagroi I bzw. Karanovo III verbunden.[1281] Paradimi III wird mit Karanovo IV gleichgesetzt und Paradimi IV entspricht Karanovo V.[1282] Somit ist eine vordergründige Verortung in die erste Hälfte des 5. Jts. v. Chr. anzunehmen.

Die stratigraphische Sequenz von Makri belegt zwei Siedlungsphasen Makri I und II, welche anhand von Vergleichen und Radiokarbondaten in die Zeit von der Mitte des 6. bis an den Beginn des 5. Jts. v. Chr. datieren.[1283]

III.4.4.3. Thasos

Insgesamt sind vier ausgegrabene Siedlungen, die in den in dieser Arbeit betrachteten Zeitabschnitt des Mittel- und Spätchalkolithikums datieren, von Thasos bekannt: Kastri,[1284] Limenaria,[1285] Agios Antonios[1286] und Agios Ioannis[1287] (Abb. 16).[1288] Insbesondere die jüngst durchgeführten Radiokarbondatierungen dieser Fundorte geben interessante Aufschlüsse zur Siedlungstätigkeit vom 6. bis zum Ende des 4. Jts. v. Chr. auf Thasos.

Die bislang ältesten Hinweise stammen aus der Siedlung von Limenaria (Grundstück Lioudas) und werden anhand von absoluten Daten zwischen 5800 und 5200 v. Chr. datiert.[1289] Weitere Radiokarbondaten aus gestörten Zusammenhängen (Grundstück Markoulis) deuten spätere Aktivitäten zwischen 4300–4100 v. Chr. sowie im ersten Viertel des 4. Jts. v. Chr. an.[1290] Zudem deuten Daten, die aus den Ausgrabungen auf dem Grundstück Lemonidis stammen, eine Besiedlung zwischen 3350–3100 v. Chr. an.[1291]

Neben Limenaria sind Belege für eine zeitliche Verortung im 5. Jt. v. Chr. aus der Siedlung Kastri bekannt. Hier legen absolute Datierungen der ausgegrabenen Schichtabfolgen eine ältere Siedlung (Kastri Ia) im 2. Viertel des 5. Jts. v. Chr. sowie eine jüngere Siedlung (Kastri Ib) nahe, die ins letzte Viertel des 5. Jts. v. Chr. und an den Beginn des 4. Jts. v. Chr. datiert.[1292]

Wichtig für das Verständis des chronologischen Gefüges auf Thasos sind weiterhin die Resultate der Siedlung Agios Antonios. Die älteste Phase Agios Antonios I (AA I) wird anhand von ^{14}C-Daten zwischen 3970–3790 v. Chr. verortet.[1293] Somit liefert Agios Antonios neben den Hinweisen von Limenaria und Kastri klare Belege für Siedlungsaktivitäten am Beginn des

[1280] Bakalakis – Sakellariou 1981, 14–23.
[1281] Bakalakis – Sakellariou 1981, 25–26; vgl. Alram-Stern 1996, 441.
[1282] Bakalakis – Sakellariou 1981, 25–26; vgl. Alram-Stern 1996, 441.
[1283] Efstratiou 1996, 576; Efstratiou et al. 1998, 15–17, 58.
[1284] Koukouli-Chrysanthaki 1992, 17–18; Koukouli-Chrysanthaki – Papadopoulos 2016, 342–349; vgl. Alram-Stern 1996, 431–432.
[1285] Papadopoulos – Malamidou 2008; Papadopoulos – Malamidou 2012b; Maniatis – Facorellis 2012; Koukouli-Chrysanthaki – Papadopoulos 2016, 340–342, 350; vgl. Alram-Stern 1996, 432–433.
[1286] Koukouli-Chrysanthaki 1992, 705–708; Maniatis et al. 2015; Koukouli-Chrysanthaki – Papadopoulos 2016, 349, 351.
[1287] Papadopoulos et al. 2001; Maniatis – Papadopoulos 2011; Koukouli-Chrysanthaki – Papadopoulos 2016, 349–350.
[1288] Weitere Hinweise in Form von unstratifizierter Keramik auf eine solche Zeitstellung stammen zudem aus Höhlen (Atspas, Drakotrypa und Trypes; vgl. Koukouli-Chrysanthaki – Papadopoulos 2016, 339, 356), aber auch von Siedlungen, wie beispielsweise Skala Sotiros und möglicherweise der antiken Stadt Thasos (Koukouli-Chrysanthaki – Papadopoulos 2016, 349, 353, 356).
[1289] Maniatis – Facorellis 2012, 282, 285–287, Tab. 1; Koukouli-Chrysanthaki – Papadopoulos 2016, 341, 356.
[1290] Maniatis – Papadopoulos 2011, 34, Tab. 2; Maniatis – Facorellis 2012, 282–283, 285–287, Tab. 1; Koukouli-Chrysanthaki – Papadopoulos 2016, 342, 356–357.
[1291] Maniatis – Papadopoulos 2011, 34, Tab. 2; Koukouli-Chrysanthaki – Papadopoulos 2016, 350.
[1292] Koukouli-Chrysanthaki – Papadopoulos 2016, 343, 348, Tab. 1–2; 356–357.
[1293] Maniatis et al. 2015, 810–811, Tab. 1; 816–817, Tab. 2; Koukouli-Chrysanthaki – Papadopoulos 2016, 349, 357.

4. Jts. v. Chr. Keramikfunde von diesem Fundort deuten darüber hinaus auch auf eine Besiedlung in der zweiten Hälfte des 4. Jts. v. Chr. (AA II) hin.[1294]

Abgesehen von den spärlichen Hinweisen auf Aktivitäten in der zweiten Hälfte des 4. Jts. v. Chr. in Limenaria und in Agios Antonios findet sich mit Agios Ioannis eine Siedlung dieser Zeitstellung auf Thasos. Zwar decken die Radiokarbondaten prinzipiell einen Zeitraum von 3700 bis 3000 v. Chr. ab, vernachlässigt man jedoch die aus Holzkohle gewonnenen Daten, so liefern die Tierknochen einen klaren Hinweis auf eine Datierung zwischen 3360–3100 v. Chr.[1295]

Zusammenfassend lässt sich anhand der Chronologie die Siedlungsaktivität in Ostmakedonien, Griechisch-Thrakien und Thasos wie folgt bewerten: Im ausgehenden 5. Jt. v. Chr. kann eine Veränderung von langfristigen, ortsgebundenen hin zu kurzphasigen Siedlungen registriert werden. Erst in der zweiten Hälfte des 4. Jts. können wieder mehrphasige Siedlungen, teilweise auch an den zuvor verlassenen Orten, nachgewiesen werden.[1296]

III.4.5. Zusammenfassende Betrachtung der Siedlungsaktivität

Die Diskussion der einzelnen Fundorte im Arbeitsgebiet hat gezeigt, dass die Qualität der Datengrundlage je nach Region erheblich variiert. Insbesondere im Gebiet der Dodekanes sind erneute Forschungen wünschenswert, damit das Bild dort klarer wird. Nichtsdestotrotz lassen sich sowohl im 5. als auch im 4. Jt. v. Chr. mit insgesamt 69 Fundorten zahlreiche Siedlungen in Westanatolien und den angrenzenden Gebieten belegen. Wie die Chronologiediskussion gezeigt hat, zeichnen sich im Arbeitsgebiet regionale und überregionale Verbreitungsmuster anhand signifikanter Keramikfunde sowohl in mittel- als auch in spätchalkolithischer Zeit ab, die im Kapitel V näher besprochen werden. Auffallend ist ein Abbruch der Siedlungen in der ersten Hälfte (Türkisch-Thrakien) bzw. zweiten Hälfte des 5. Jts. v. Chr. (Westanatolien und Ostägäis) und eine deutliche Zunahme der Siedlungsaktivität im späten 4. Jt. v. Chr. Dennoch finden sich mehrere Hinweise auf Siedlungen im ausgehenden 5. Jt. v. Chr. und in der ersten Hälfte des 4. Jts. v. Chr. im untersuchten Gebiet, weshalb keinesfalls von einer Siedlungsunterbrechung gesprochen werden kann (vgl. Abb. 5–13; siehe hierzu auch Kap. VI.). Ein vergleichbares Bild ist auch in den Regionen Ostmakedoniens, Griechisch-Thrakiens sowie auf Thasos erkennbar (Abb. 15–16). Neben Siedlungen, die über einen längeren Zeitraum an einen Ort gebunden waren, finden sich nach deren Abbruch kurzphasige Siedlungen im Untersuchungsgebiet. Gerade letztere sind mit archäologischen Methoden nur schwer fassbar. Es ist daher zu vermuten, dass zukünftige Forschungen, auch unter Einbeziehung naturwissenschaftlicher Analysen, weitere Fundorte dieser Zeitstellung erbringen werden. Hierdurch wird sich hoffentlich ein klareres Bild abzeichnen, weshalb es zu einer solchen Schwankung zwischen mehrphasigen und kurzphasigen Siedlungen gekommen ist.

[1294] Maniatis et al. 2015, 811–812; Koukouli-Chrysanthaki – Papadopoulos 2016, 351.

[1295] Papadopoulos et al. 2001, 58; Maniatis – Papadopoulos 2011, 27, Tab. 1; 32, 34, Tab. 2; Maniatis et al. 2014, 45, 48, Abb. 6; Koukouli-Chrysanthaki – Papadopoulos 2016, 350.

[1296] Vgl. Tsirtsoni 2014, 283–291; Tsirtsoni 2016c.

IV. Çukuriçi Höyük

Der Fundplatz Çukuriçi Höyük befindet sich etwa 1,5 km südöstlich der antiken Metropole Ephesos nahe der heutigen Stadt Selçuk (Prov. İzmir) in der Westtürkei (Abb. 17). 1995 und 1996 fanden erstmals Untersuchungen in Form von kleinformatigen Ausgrabungen statt, die vom Archäologischen Museum in Selçuk durchgeführt wurden.[1297]

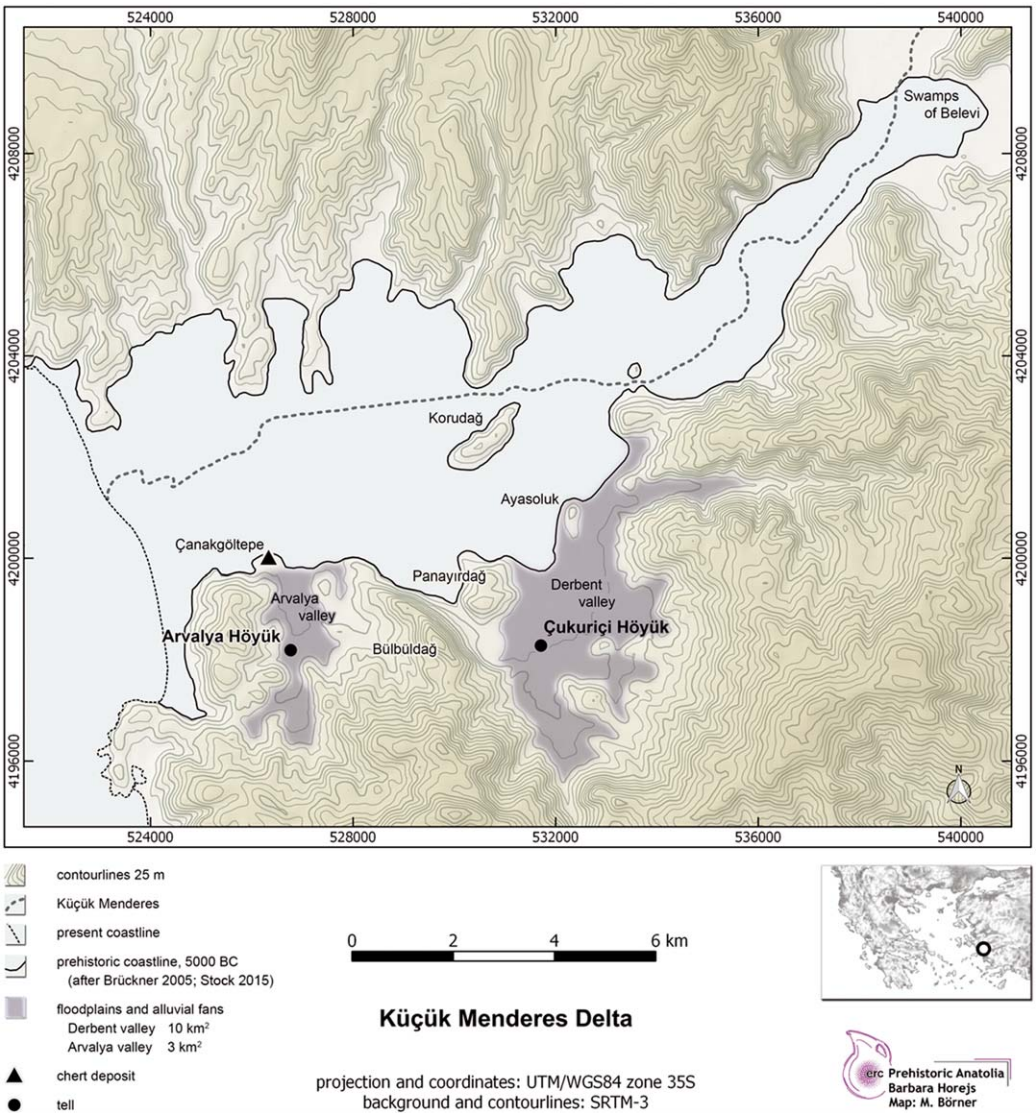


Abb. 17 Rekonstruierte prähistorische Landschaft des Küçuk Menderes Deltas mit den Fundorten Çukuriçi Höyük und Arvalya Höyük. (Karte: M. Börner/ERC Prehistoric Anatolia)

[1297] Evren – İçten 1998, 112–116; Evren 1999. – Allgemein zum Fundplatz und zu den Ausgrabungen vgl. zusammenfassend Horejs 2017b.

Erneut richtete sich der Blick auf den Çukuriçi Höyük im Jahre 2005, als begonnen wurde, das prähistorische Umland von Ephesos näher zu erforschen. Initiiert durch F. Krinzinger, damaliger Leiter der Ausgrabungen von Ephesos, wurden erste Begehungen im Rahmen der Forschungen des Österreichischen Archäologischen Instituts (ÖAI) durch B. Horejs durchgeführt.[1298] Es stellte sich heraus, dass der Siedlungshügel aufgrund unterschiedlicher Planierungsvorgänge im Zuge der landwirtschaftlichen Nutzung des Areals vor und nach den Untersuchungen in den Jahren 1995–1996 stark beschädigt wurde.[1299] Neben der akuten Bedrohung der Zerstörung der Tellsiedlung entschloss man sich zu einer eingehenderen Untersuchung durch Ausgrabungen aufgrund des besonderen Potenzial des Fundplatzes. Zum einen deuteten die Funde der Museumsgrabungen eine neolithische/spätchalkolithische bis frühbronzezeitliche Zeitstellung der Siedlungsschichten auf dem Tell an.[1300] Zum anderen fanden sich im gesamten Siedlungsgebiet nur sporadische Funde antiker Zeitstellung, wodurch eine ungestörte Abfolge der prähistorischen Kulturschichten vermutet wurde.[1301]

Sondierungsgrabungen wurden 2006 unter der Leitung von Horejs mit der Unterstützung des ÖAI durchgeführt. Systematische Forschungen starteten schließlich ab dem Jahr 2007 im Rahmen eines FWF-Projektes.[1302] Im Zuge dieser Forschungen in den Jahren 2006–2007[1303] wurden im nördlichen (N1–3) und südlichen (S1) Bereich des Tells Grabungsschnitte angelegt. Da die Siedlung im Norden aufgrund der rezenten Zerstörung eine Abbruchkante besitzt, wurden in diesem Bereich Areale ausgewählt, um die chronologische Tiefe der Tellsiedlung zu erfassen. Zugleich konnten im südlichen Areal Reste oberirdisch erhaltener frühbronzezeitlicher Architektur ausgegraben werden. Aufgrund dieser Ausgrabungen wurden Kulturschichten des späten 7./frühen 6. (ÇuHö VIII) und des späten 4. (ÇuHö VII–VI)/frühen 3. Jts. v. Chr. (ÇuHö IV–III) am Çukuriçi Höyük definiert.[1304]

In den Kampagnen 2008–2009 konzentrierten sich die Forschungen auf das südliche Grabungsareal (S1–4), in dem mehrere Gebäude mit Nord-Süd ausgerichteten Raumeinheiten der frühbronzezeitlichen Siedlungsphasen ÇuHö IV–III großflächig freigelegt wurden.[1305] Erstaunlicherweise kamen in diesem Areal zahlreiche Öfen und Funde zutage, die auf metallurgische Aktivitäten schließen lassen. Die Studien von Horejs und Mitarbeitern haben gezeigt, dass insbesondere die hohe Zahl an Arsenkupferartefakten, wie Rohlinge, Halbfabrikate, Fertigprodukte und metallurgische Geräte, ein intensives Metallhandwerk in diesem Bereich der Siedlung belegen.[1306] Vergleichbare Befunde dieser Zeitstellung sind für das westanatolische Gebiet bislang nicht bekannt. Die kontextuellen Analysen legen darüber hinaus den Schluss nahe, dass es sich hierbei um ein Wohn- und Werkstattareal handelt.[1307] Radiokarbondaten sowie Keramikfunde der Siedlungen ÇuHö IV–III datieren in die Frühbronzezeit 1, zwischen 2900 und 2750 v. Chr.[1308] Neben diesen Forschungen fand 2009 eine kleinformatige Sondierungsgrabung im Norden (N 4) statt.[1309] Ziel dieser Grabung war die Untersuchung einer geophysikalisch festgestellten Anomalie in diesem Bereich. Es stellte sich heraus, dass es sich dabei um Mauerzüge spätchalkolithischer Zeitstellung handelt.[1310]

[1298] Horejs 2008b, 91.
[1299] Zu der bereits durchgeführten Zerstörung vor 1995 vgl. Evren 1999, 23, Abb. 1–2.
[1300] Evren – İçten 1998, 114, 116; Evren 1999, 30.
[1301] Horejs 2008b, 92.
[1302] FWF-Einzelprojekt P 19859-G02 („Grundlagenforschung zur Kupfer- und Bronzezeit in Ephesos"; 2007–2010).
[1303] Horejs 2008a; Horejs 2008b; Horejs – Schwall 2015, 461; siehe Beitrag Horejs in diesem Band (Kap. II.1.).
[1304] Horejs 2008a; Horejs 2008b, 101.
[1305] Horejs 2009a, 360–363; Horejs 2009b; Horejs 2010a; Horejs et al. 2010, 9–11; Koder – Ladstätter 2010, 321–322, 330–331; Horejs 2011a, 158–162; Horejs et al. 2011.
[1306] Horejs 2009a; Horejs et al. 2010; Horejs 2011a, 161; Mehofer 2014a, 464–468; Mehofer 2014b; Horejs – Mehofer 2015.
[1307] Horejs et al. 2011, 43–48; vgl. auch Grasböck 2013; Röcklinger 2015.
[1308] Horejs et al. 2011, 43; Horejs – Weninger 2016, 135–137.
[1309] Horejs – Schwall 2015, 460–461; siehe Beitrag Horejs in diesem Band (Kap. II.2.).
[1310] Horejs – Schwall 2015, 461, Abb. 4.

Die Ausgrabungen auf dem Çukuriçi Höyük wurden von 2011 bis 2014 durch die Förderung verschiedener Drittmittelprojekte (ERC-Projekt,[1311] FWF-Projekte[1312]) fortgeführt. Diese hatten jedoch einen Fokus auf die älteren spätchalkolithischen und neolithischen Schichten der Siedlung. Am Fuße der Abbruchkante im nördlichen Bereich des Tells wurde der Schnitt N6 zur Untersuchung der neolithischen Siedlungen geöffnet. Während dieser Ausgrabungen konnten die Reste eines mächtigen Grabens spätchalkolithischer Zeitstellung (Komplex 5) erfasst werden, weshalb ein weiteres Grabungsareal (N7) angelegt wurde, um diesen zu untersuchen.[1313] Im Areal N6 wurden die neolithischen Siedlungsphasen ÇuHö XIII–VIII ausgegraben, die bis ins frühe 7. Jt. v. Chr. zurückreichen.[1314] Die Ausgrabungen und paläogeographischen Bohrungen haben ergeben, dass die Tellsiedlung 8,5 m Kulturschichten besitzt und sich auf eine Fläche von 200 m (N-S) × 100 m (W-O) ausgedehnt hat.[1315]

Im mittleren Bereich des Hügels wurde ein weiterer Schnitt (M1) angelegt. Ziel der Ausgrabungen in diesem Bereich waren die frühbronzezeitlichen und spätchalkolithischen Siedlungsphasen. Zum einen sollte festgestellt werden, ob auch dieser Bereich der frühbronzezeitlichen Siedlung ebenso wie in den Südschnitten stark durch metallurgische Aktivitäten geprägt ist; zum anderen sollten die spätkupferzeitlichen Schichten in einem großflächigen Bereich erfasst werden, um Rückschlüsse hinsichtlich der Organisation und den Aktivitäten innerhalb der Siedlung zu erlangen. Die Ausgrabungen brachten zwei frühbronzezeitliche Gebäudekomplexe zum Vorschein, die durch einen Weg getrennt waren und der Siedlungsphase ÇuHö IV angehören.[1316] Auch die Ofenbefunde und Funde lassen in diesem Bereich, wie in den Südschnitten, auf ein Metallerviertel schließen, das als Wohn- und Werkstattareal genutzt wurde.[1317] Unterhalb der frühbronzezeitlichen Bebauung der Phase ÇuHö IV kamen Strukturen des ausgehenden 4. Jts. (ÇuHö VI–Vb) und des beginnenden 3. Jts. v. Chr. (ÇuHö Va) zum Vorschein (s. u. IV.1.2.).[1318]

Der Verfasser hatte die Möglichkeit ab 2011 die Schnitte M1 und N7 unter der Leitung von Horejs zu betreuen. Die Ausgrabungen erfolgten auf der bestehenden, durch die Ausgräberin eingeführte Methodik.[1319] Es handelt sich dabei um stratigraphische Grabungen, die auf dem grundlegenden Prinzip nach Harris[1320] mit einer klar definierten Abfolge von stratigraphischen Einheiten (SE) basieren. Die ausgegrabenen Befunde wurden photogrammetrisch dokumentiert und mit Hilfe eines Tachymeters und Notebooks mittels der AutoCAD-Applikation TachyCAD[1321] digital eingemessen.[1322] Das verwendete System bietet einerseits den Vorteil einer unmittelbaren und strukturierten Einmessung von Befunden und assoziierten Funden; andererseits eine Erleichterung bei der Verwaltung und Aufbereitung der dokumentierten Daten. Neben der direkten digitalen Erfassung der Daten wurde für jede stratigraphische Einheit ein Datenblatt auf der Grabung ausgefüllt. Die Informationen wurden anschließend in die auf MS Access-basierende

[1311] ERC Starting Grant; Projekt 263339 („From Sedentism to Proto-Urban Societies in Western Anatolia"; 2011–2016).

[1312] FWF START-Programm; Projekt Y 528 („Sesshafte bis protourbane Gesellschaften in Westanatolien"; 2010–2016); FWF-Einzelprojekt P 25825 („Wechselwirkung prähistorischer Pyrotechniken in Handwerk und Gewerbe"; 2013–2017).

[1313] Horejs 2011b, 27–28; Horejs 2013a, 6–7; Horejs 2014a, 19–22; Horejs – Schwall 2015, 461.

[1314] Horejs et al. 2015, 296, 301, Abb. 4; Stock et al. 2015, 565.

[1315] Stock 2015, 111–115, 123; Stock et al. 2015, 567–570. – Vgl. hierzu ebenso die Studien von İ. Kayan 2014, 116–119.

[1316] Horejs 2013a, 7; Horejs 2013b, 6–7; Horejs 2014b, 6.

[1317] Mehofer 2014b.

[1318] Horejs 2013b, 7.

[1319] Horejs 2008b, 93–95. – Vgl. zur Methodik ebenso Horejs 2017b, 12–13.

[1320] Harris 1979; Harris 1997.

[1321] Vgl. http://faro-3d-software.de/CAD/Produkte/TachyCAD/Branchen/CAD_Tachymeter_Archaeologie.php (13.04.2016).

[1322] Wie von Horejs definiert, wird der Terminus „Befund" inhaltlich gleichbedeutend zur „Stratigraphischen Einheit" (SE) nach Harris verwendet (2008b, 93).

Grabungsdatenbank für die weitere Auswertung eingegeben. Ausgehend von auf den stratigraphischen Einheiten können den einzelnen Befunden in der Datenbank unterschiedliche Fundkategorien zugewiesen werden, die im Rahmen der interdisziplinär ausgerichteten Studien bearbeitet werden.[1323] Ein Katalog mit detaillierten Angaben zu den stratigraphischen Einheiten findet sich im Kapitel IX.1.

IV.1. Die Siedlungsphasen ÇuHö VII–V

Bereits während der durchgeführten Grabungen im Bereich der Nordschnitte (N1–4) wurden Kulturschichten des 4. Jts. v. Chr. in kleinformatigen Arealen nachgewiesen. Im Rahmen dieser Arbeit werden die Befunde der Ausgrabungen in den Arealen N6–7 sowie M1 behandelt (Abb. 18). Diese gehören den Siedlungen ÇuHö VII–V an (Beil. 1–3; vgl. IX.1.). Die Definition der Siedlungsphasen basiert auf der von Horejs festgelegten Siedlungsphasenabfolge, welche anhand der stratigraphischen Sequenz nach den Ausgrabungen 2006–2007 erstellt wurde.[1324] Zu jeder Siedlung der hier behandelten Phasen ÇuHö VII–V gehört eine Planierung sowie ein sich darüber befindlicher Nutzungshorizont mit zugehörigen Befunden in Form von Architekturresten oder Aktivitätszonen. Als Planierung werden hier Schichten angesprochen, die im Rahmen der Nivellierung der älteren Siedlungsbefunde für die Anlage einer neuen Siedlung gesehen werden können (vgl. Abb. 35). Die Siedlungsphasen ÇuHö VI und V besitzen jeweils zwei Subphasen (VIb–a, Vb–a). Eine derartige Unterteilung wurde durchgeführt, da sich zwar mehr oder minder dicke Planierungen zwischen den Subphasen finden, jedoch keine grundlegende Neuordnung der Siedlungsstruktur im Vergleich zu den Phasen ÇuHö VI und V anhand der ergrabenen Befunde ersichtlich ist. So lassen auch die Befunde der Subphase ÇuHö Va deutliche Parallelen zum älteren Abschnitt ÇuHö Vb erkennen, jedoch ist diese Subphase aufgrund der ausgewerteten Radiokarbondaten (s. u. IV.1.4.) und Keramik (s. u. IV.4.7.) bereits als frühbronzezeitlich (beginnende FBZ 1) einzustufen.

IV.1.1. Befunde in den Flächen N6 und N7

Die Grabungsfläche N6 (250 m^2; Abb. 18) befindet sich im nördlichen Bereich des Tellfußes und wurde speziell zur Untersuchung der ältesten, neolithischen Siedlungen des Çukuriçi Höyük angelegt. Im östlichen Abschnitt des Bereichs fanden sich während der Ausgrabungen Reste einer bogenförmigen von Südost nach Nordwest verlaufenden Struktur (Komplex 5). Die Ausrichtung des Befundes zeichnete sich in der Fläche aufgrund mehrerer Stein-Lehm-Ansammlungen deutlich ab, die durch eine etwa West-Ost-verlaufende Störung unterbrochen wurden.[1325] Im Laufe der weiteren Ausgrabungen wurde festgestellt, dass sich die Steinkonzentrationen hin zur südlich gelegenen Abbruchkante verbreiterten und in das Nordprofil der Abbruchkante erstreckten. Da ein Zusammenhang zwischen den Befunden in der Fläche sowie im Profil somit wahrscheinlich war, wurde der Schnitt N7 (42 m^2; Abb. 19) zur Klärung der Struktur angelegt. Nach der Reinigung des Bereichs im nördlichen Teil der Grabungsfläche kam eine mächtige Steinpackung zutage, die sich vom Profil in die Fläche hinein erstreckte. Es stellte sich heraus, dass sowohl die Strukturen in der Fläche als auch im Profil als Verfüllung eines bogenförmig verlaufenden Grabens interpretiert werden können, der in ein Haus (Komplex 9) sowie andere Siedlungsschichten des Spätneolithikums eintieft. Im südlichen Bereich des Schnittes N6 wird der Graben schräg angeschnitten, wodurch sich seine Form mit einer flachen Sohle im Profil abzeichnet. Insgesamt wurden anhand des Profils drei unterschiedliche Verfüllhorizonte (A–C) nachgewiesen, die sich teilweise in der Fläche N6 erhalten haben. Die jüngste und zugleich mächtigste Grabenverfüllung C besteht hierbei

[1323] Zu den interdisziplinär eingebundenen Wissenschaftsbereichen siehe Horejs et al. 2011, 38.
[1324] Horejs 2008b, 97–98, Abb. 8.
[1325] Bei dieser Störung handelt es sich um eine Bewässerungsleitung für die im Norden angrenzende Obstplantage.

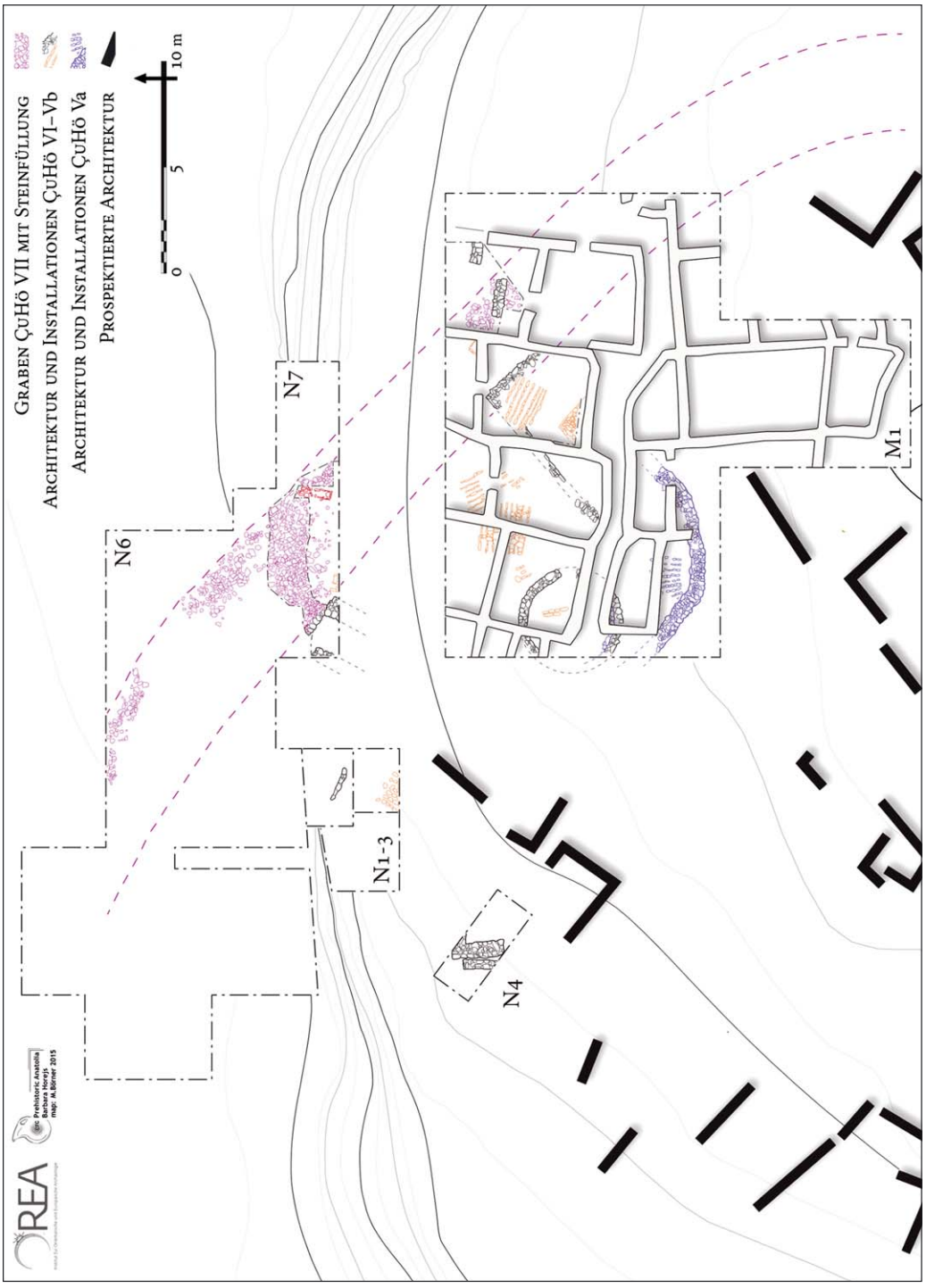


Abb. 18 Übersichtsplan der architektonischen Befunde der Siedlungsphasen ÇuHö VII–V.
(Plan: M. Börner/ERC Prehistoric Anatolia)



Abb. 19 Überblicksfoto des Areals N7 nach Beendigung der Ausgrabungen 2011.
(Foto: M. Börner/ERC Prehistoric Anatolia)

großteils aus Steinen und ist im Zusammenhang mit der Einplanierung (Planierung ÇuHö VIb/VII) des Bauwerks der Siedlung ÇuHö VII zu sehen. Unterhalb der Verfüllung C folgen drei schmalere Schichten (Grabenverfüllung B), welche die Sohle des Grabens bedecken. Sowohl im Profil als auch in der Fläche zeigt sich deutlich, dass eine weitere Grabenverfüllung (A) darunter anschließt. Diese Verfüllung (A) bedeckte die ursprüngliche Grabensohle und ist im Rahmen einer Instandsetzung des Grabenwerkes zu sehen.

Anhand der Untersuchungen im Schnitt N7 konnte die stratigraphische Abfolge des Grabens sowie die Nachnutzung des Areals oberhalb des Grabens geklärt werden (vgl. Beil. 1–2; IX.1.). Im westlichen Bereich der Fläche wurden Mauerzüge sowie eine Installation angeschnitten, die eine Bebauung des ehemaligen Grabenbereichs (ÇuHö VIb) belegen.

IV.1.1.1. Nachnutzung des Grabenbereichs

Siedlungsreste der Subphase ÇuHö VIb wurden im Schnitt N7 in einem schmalen Streifen freigelegt und sind in Verbindung mit der Nachnutzung des ehemaligen Grabenbereichs zu sehen. Unterhalb einer 0,7–0,9 m mächtigen Schicht aus gestörtem Material,[1326] das von rezenten Planierungsvorgängen auf der Telloberfläche stammt, kamen prähistorische Schichten zum Vorschein. Bei diesen handelt es sich um Lehmschichten[1327] mit Stein- und Keramikansammlungen,[1328] welche die darunter liegenden Befunde bedeckten (Abb. 20).

Radiokarbondaten dieser Schichten datieren in eine Zeitspanne zwischen etwa 3300–2900 v. Chr. (vgl. IV.1.4.; Tab. 1).[1329] Die Zusammensetzung der Keramik- und Steinansammlungen innerhalb der Lehmschichten lässt darauf schließen, dass es sich hierbei um Reste der Planierung ÇuHö VIa/VIb handelt. Diese Planierung hat sich nur im westlichen Bereich des Schnittes erhalten. Im östlichen Abschnitt des Areals N7 wurden diese Schichten, bedingt durch die rezenten Zerstörungsvorgänge, nicht angetroffen.

Nach dem Entfernen der Lehmschichten kamen verschiedene Strukturen zum Vorschein (Abb. 21). Im Westen der Grabungsfläche wurden zwei Mauerabschnitte,[1330] eine lineare

[1326] SE 1200–01, 4500, 4601.
[1327] SE 1445–47.
[1328] SE 1463 (Steinansammlung); 1457, 1462 (Keramikansammlungen).
[1329] Lab.-Nr. MAMS-15271, MAMS-20772, MAMS-20773.
[1330] SE 1473–74.

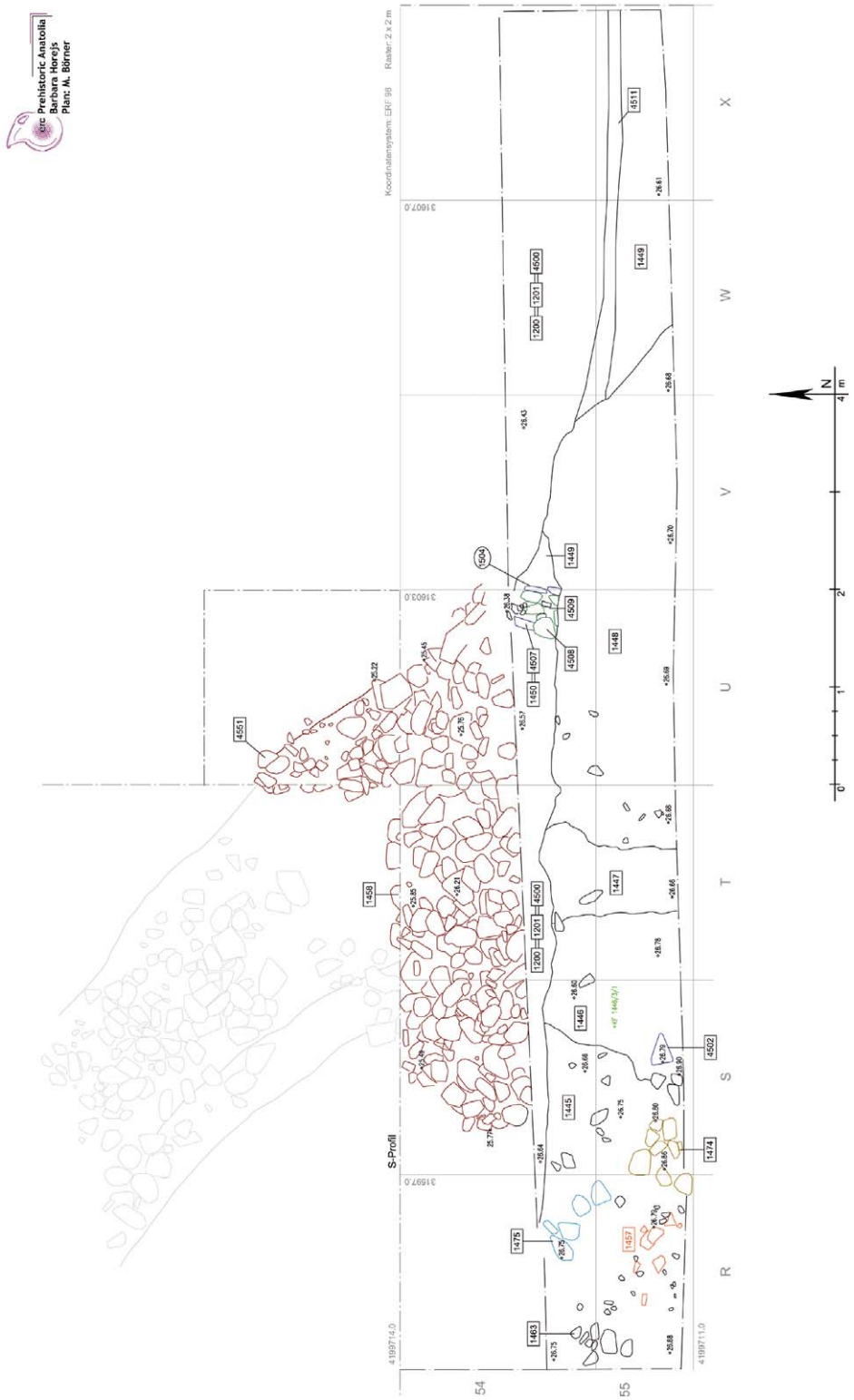


Abb. 20 Übersichtsplan der ersten erfassten prähistorischen Schichten im Schnitt N7.
(Plan: M. Börner/ERC Prehistoric Anatolia)

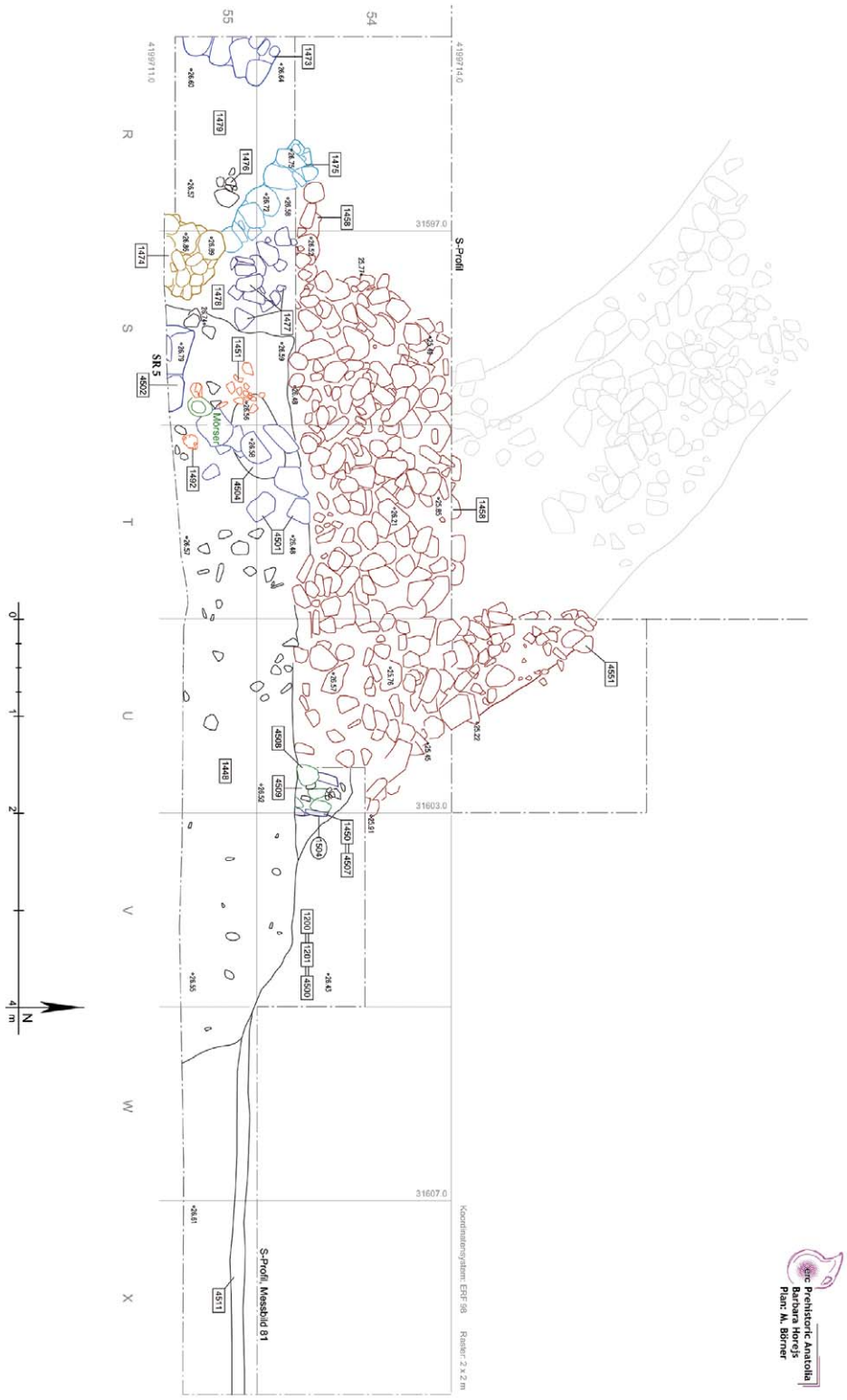


Abb. 21 Befunde der Subphase ÇuHö VIb im Schnitt N7. (Plan: M. Börner/ERC Prehistoric Anatolia)



Abb. 22 Erfasste Architekturreste (SE 1473–75) der Subphase ÇuHö VIb im westlichen Bereich des Schnittes N7. (Foto: M. Börner/ERC Prehistoric Anatolia)

Steinstruktur (Mauer?)[1331] und zwei Steinansammlungen[1332] freigelegt (Abb. 22). Die beiden Mauern SE 1473 und 1474 folgen einer etwa parallelen Südwest-Nordost-Ausrichtung und liegen etwa 1,6 m voneinander entfernt. Struktur SE 1475 ist hingegen Nordwest-Südost ausgerichtet und wird teilweise vom nördlichen Ende der Mauer SE 1474 überlagert. Bei allen drei Strukturen handelt es sich um Gebilde, die in ihrer Höhe maximal in zwei Lagen erhalten sind. Der horizontale Aufbau ist zweischalig mit mittleren Füllsteinen. Bei den Architekturresten wurden keinerlei Hinweise auf eine Fundamentierungen festgestellt. Dies kann auch für die jüngeren Siedlungen der Phasen ÇuHö VI und V festgehalten werden. Die Mauern SE 1473 und 1474 wurden auf Lehmschichten[1333] eines Laufhorizontes gebaut. Der potenzielle Mauerzug 1475 wurde direkt auf die Grabenverfüllung (C)[1334] gesetzt. Sowohl unmittelbar südwestlich als auch nordöstlich der Struktur SE 1475 finden sich zwei Steinansammlungen,[1335] die auf den beiden Laufhorizonten aufliegen. Wahrscheinlich handelt es sich hierbei um verstürzte Reste der Struktur SE 1475, wodurch eine Interpretation als schlecht erhaltener Mauerzug plausibel erscheint. Somit zeichnen sich im Westen des Schnittes N7 drei Mauerzüge ab, die vermutlich zu einem rechteckigen, Südwest-Nordost ausgerichteten Bau gehören. Die Nordwestecke des Baus wurde aufgrund der Lage im nördlichen Randbereich des Schnittes N7 durch die rezente Baggerkante zerstört.

Unmittelbar östlich an die Architekturreste schließt eine teilweise erfasste Aktivitätszone mit mehreren Befunden an. Hierzu gehören Fundlagen[1336] mit zwei fast vollständigen Gefäßen (Krug, Taf. 16.471; Dreifußkochtopf, Taf. 17.489) und einem funktionsfähigen Mörser (Abb. 23; Taf. 94), die in situ unmittelbar neben einer Steinreihenstruktur (SR 5)[1337] auf einem Laufhorizont[1338] liegen (vgl. Abb. 21). Diese Struktur wurde nur ansatzweise in einem kleinen Ausschnitt im südlichen

[1331] SE 1475.
[1332] SE 1476–77.
[1333] SE 1478–79.
[1334] SE 1458, 1501.
[1335] SE 1476, 1477.
[1336] SE 1451, 1492.
[1337] SE 4502.
[1338] SE 1448.



Abb. 23 Fundlagen (SE 1451, 1492) der Subphase ÇuHö VIb im westlichen Bereich des Schnittes N7 mit den Steinplatten der Steinreihenstruktur SR 5 im unteren linken Bildbereich. (Foto: H. Natho/ERC Prehistoric Anatolia)

Bereich des Schnittes N7 erfasst, kann jedoch mit den Befunden aus M1 (s. u. IV.1.2.) und N2[1339] verglichen werden. Im Profil zeichnen sich deutlich drei parallel gesetzte senkrechte Steine mit flach aufliegenden Steinplatten ab (Abb. 24). Nördlich der Steinreihenstruktur SR 5 befindet sich eine Ansammlung von flachen Steinplatten,[1340] auf denen teils Funde der beiden Fundlagen 1451 und 1492 lagen. Es ist davon auszugehen, dass es sich bei den Steinplatten um Deckplatten der Steinreihenstruktur handelt, die nach Norden hin verschoben wurden (vgl. Abb. 45, 50; SR 2 im Areal M1). Unterhalb der Steinplatten fand sich eine Ansammlung,[1341] bestehend aus einer großen Anzahl an verkohlten organischen Resten gemeinsam mit einem stark fragmentierten Halsgefäß. Botanische Untersuchungen haben ergeben, dass es sich hierbei um eine beträchtliche Zahl an Weintraubenkernen (*Vitis vinifera*; 1310 Stk.; Abb. 25) handelt.[1342] Radiokarbondaten, darunter ein Traubenkern, aus diesen Kontexten belegen eine Zeitstellung zwischen 3300–3000 v. Chr. (vgl. IV.1.4.; Tab. 1).[1343] Wie durch die Ausgrabungen im Areal M1 nahegelegt wird (s. u. IV.1.2.), sind die Steinreihenstrukturen als Dörrplattformen für Früchte zu interpretieren. Durch die senkrecht gesetzten Steine wird ein Abstand vom Boden und so ein Schutz vor Feuchtigkeit ermöglicht. Als Auflage der Steinreihen dienten Steinplatten sowie eine hölzerne oder eine andersartige

[1339] Horejs – Schwall 2015, 462, Abb. 5.
[1340] SE 4501.
[1341] SE 4504. – Für die Erstellung eines Fotos der Weintraubenkernen aus diesem Befund sei A. G. Heiss gedankt.
[1342] Freundliche Mitteilung U. Thanheiser (Januar 2016). Auch aus einer Planierschicht, welche dieses Areal bedeckte (SE 1447), stammen 115 Weintraubenkerne. Die Vermutung liegt nahe, dass diese ebenfalls zu dem Befund gehören.
[1343] Lab.-Nr. MAMS-20774, MAMS-20775, MAMS-20776.



Abb. 24 Plan des abgestuften Profils in den Schnitten N6–7 an der nördlichen Abbruchkante. (Plan: M. Börner/ERC Prehistoric Anatolia)



Abb. 25 Weintraubenkerne aus der SE 4504. (Foto: A. G. Heiss/Universität Wien, VIAS).

organische Plattform. Die spezielle Konstruktion der Steinreihenstrukturen erlaubt, neben dem Schutz vor Feuchtigkeit, eine Luftzirkulation, wodurch der Trocknungsprozess begünstigt wird.

Es bleibt somit festzuhalten, dass es sich bei den ausgegrabenen Befunden der Siedlung ÇuHö VIb um einen kleinformatigen Rechteckbau mit einer unmittelbar östlich anschließenden Aktivitätszone handelt, welche sich direkt auf dem ehemaligen Bereich des Grabens befindet. Hierdurch wurde die frühere Begrenzung der Siedlung aufgegeben und es kann eine Expansion der Siedlungsfläche nach Norden belegt werden (s. u. IV.1.2.1.). Auf dem Laufhorizont[1344] innerhalb des potenziellen Baus fanden sich keine Funde. Dafür geben die Funde aus dem angrenzenden Bereich deutlich mehr Informationen. Die enorme Anzahl an Weintraubenkernen im Zusammenhang mit der Steinreihenstruktur deutet ein intentionelles Dörren der Früchte an, um diese haltbar zu machen und zu lagern. Als Behälter für einen Transport der Trauben oder für eine eventuelle Lagerung könnte ein Halsgefäß aus der SE 4504 verwendet worden sein (Taf. 17.490). Eine Interpretation des Gefäßes als Behälter für Flüssigkeiten ist ebenfalls nicht auszuschließen. Darüber hinaus weisen der Mörser, der Dreifußkochtopf und der Krug auf eine Nahrungsaufbereitung und Konsum im Bereich dieser Aktivitätszone hin (s. u. IV.1.2.; vgl. SR 1 und SR 2). Ein Einsatz des Mörsers zum Pressen oder Quetschen der Weintrauben lässt sich anhand der untersuchten botanischen Reste nicht belegen, da die Fragmente keine intentionelle Zerstörung aufweisen und

[1344] SE 1478.

somit auch das Ergebnis taphonomischer Prozesse sein könnten.[1345] Dennoch kann ein derartiger Gebrauch, womöglich sogar zur Weinproduktion(?), prinzipiell nicht ausgeschlossen werden.[1346] Auf jeden Fall scheint der Befund des in situ Gefäßensembles und des funktionsfähigen Mörsers eine plötzliche Zerstörung des Areals durch Feuereinwirkung anzuzeigen, infolge dessen der gesamte Bereich mit einer Planierung (ÇuHö VIa/VIb) bedeckt wurde. Aufgrund der bislang nur kleinen Fläche von ca. 14 m^2, auf der die Siedlung ÇuHö VIb im N7 freigelegt wurde, lässt sich nicht sagen, ob es sich hierbei um einen größeren Zerstörungshorizont handelt, der die gesamte Siedlung betraf, oder ob sich dieser nur auf einen lokalen Bereich beschränkte. Diese Befunde stellen auf jeden Fall wichtige Referenzen für die jüngeren Siedlungen ÇuHö VIa–Va dar.

IV.1.1.2. „Steinkistenkomplex“

Unterhalb des Laufniveaus der Siedlung ÇuHö VIb[1347] finden sich flächig Lehmschichten[1348] und vereinzelt kleinformatige Steinansammlungen,[1349] die sich über das gesamte Grabungsareal N7 erstrecken (Abb. 26). Besonders die beiden unteren Schichten (SE 4511–12) sind deutlich durch verbrannten Lehm und verbrannte Hölzer sowie zahlreiche Holzkohlepartikel gekennzeichnet (Abb. 27). Ein Radiokarbondatum aus einer der Planierschichten deutet eine Datierung zwischen 3300 und 3000 v. Chr. an (vgl. IV.1.4.; Tab. 1).[1350] Im westlichen Bereich des Schnittes N7 wurde unterhalb der Schicht SE 4512 die Grabenverfüllung C erfasst,[1351] wodurch sich eine direkte stratigraphische Anbindung zu den Befunden des Grabungsareals N6 ergibt. Es handelt sich hierbei wahrscheinlich um Schuttmaterial eines Brandhorizontes, das zur Planierung ÇuHö VIb/VII unmittelbar auf die darunter liegende Lehm-Stein-Verfüllung (C) des Grabens aufgetragen wurde.

Eingetieft in die Planierschichten (SE 4505, 4512) kam im östlichen Bereich des Schnittes ein Befund zum Vorschein, der als „Steinkistenkomplex“ angesprochen wird. Zu diesem Komplex zählt eine rechteckige Steinkistenkonstruktion.[1352]

Die Steinkiste wurde aus senkrecht gesetzten, flachen Steinplatten mit wiederum flachen Deckplatten gebaut (Abb. 28; vgl. Abb. 24, 26).[1353] Das nördliche Ende der Steinkiste ist durch die rezente Abbruchkante nicht erhalten. Die erhaltene Länge beträgt ca. 1,5 m und die Breite etwa 0,4 m. Als Deckplatten[1354] wurden flache, zumeist abgerundete Steine verwendet, die jedoch nicht über die gesamte Breite der Konstruktion reichten. Teilweise liegen die Steine auf den Randplatten auf, die anderen befinden sich eingebettet in eine Lehmschicht[1355] im Innenbereich der Steinkiste und bilden den oberen Abschluss. Der Inhalt der Steinkiste bestand aus einer annähernd homogenen, nahezu fundleeren Lehmfüllung, welche die 0,2 m tiefe Kiste ausfüllte.[1356] Radiokarbondaten aus der Verfüllung der Steinkiste weisen, wie die übrigen Daten, in die letzten drei Jahrhunderte des 4. Jts. v. Chr. (vgl. IV.1.4.; Tab. 1).[1357] Im unteren Kistenbereich fanden sich keine Bodenplatten (Abb. 28). Hingegen zeigte sich hier anhand einer auftauchenden Steinpackung

[1345] Freundlicher Hinweis U. Thanheiser (Januar 2015).
[1346] Ob eventuell sogar ein intentionelles Pressen der Weintrauben für die Produktion von Wein angenommen werden kann, ist fraglich. Jedoch zeigen naturwissenschaftliche Untersuchungen aus Armenien (Barnard et al. 2011), aber auch aus Griechenland (Garnier – Valamoti 2016), dass eine prinzipielle Produktion von Wein bereits ab dem späten 5. Jt. v. Chr. anzunehmen ist.
[1347] SE 1448, 1478.
[1348] SE 1449, 4505, 4511–12.
[1349] SE 4503, 4506.
[1350] Lab.-Nr. MAMS-20778.
[1351] SE 1458, 1501.
[1352] SE 1450, 4507–10 mit Interface (SE 1504).
[1353] SE 1450, 4507–08.
[1354] SE 4508.
[1355] SE 4509.
[1356] SE 4510.
[1357] Lab.-Nr. MAMS-20362, MAMS-20777.

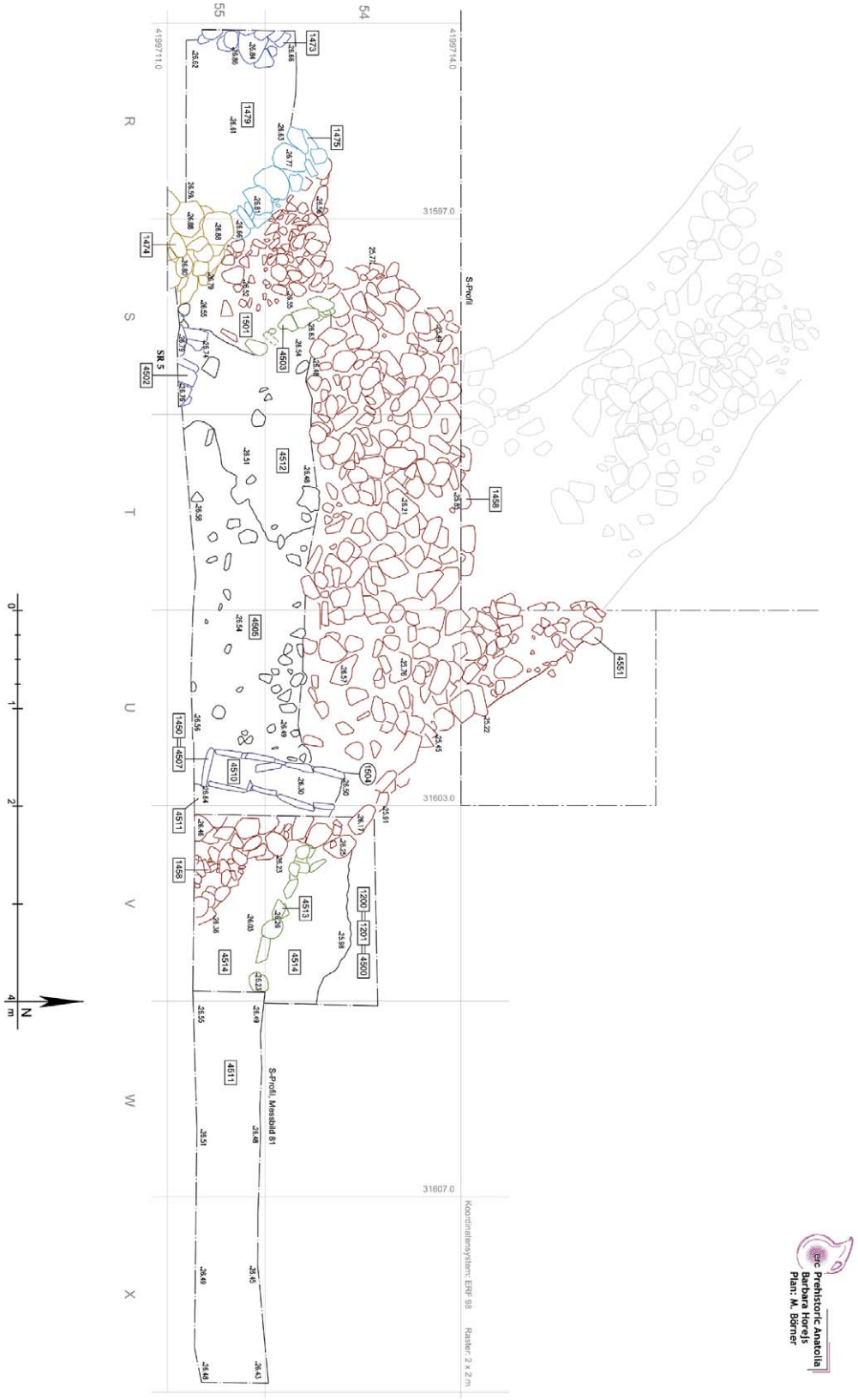


Abb. 26 Abschlussplan der ausgegrabenen Befunde in den Schnitten N6–7 an der nördlichen Abbruchkante. (Plan: M. Börner/ERC Prehistoric Anatolia)



Abb. 27 Planierung ÇuHö VIb/VII (SE 4511) mit verbranntem Lehm und Holzkohle im östlichen Bereich des Areals N7. (Foto: Ch. Schwall/ERC Prehistoric Anatolia)



Abb. 28 Steinkistenkonstruktion vor und nach der Freilegung im Schnitt N7. (Fotos: E. Endarova, F. Ostmann/ERC Prehistoric Anatolia)

im nördlichen Bereich deutlich, dass die gesamte Konstruktion bis in die Grabenverfüllung (C) eintieft.[1358] Somit kann eine Anlage der Steinkiste nach der Verfüllung des Grabens und der damit einhergehenden Planierung, vor der Anlage des ersten Laufhorizontes der Siedlung ÇuHö VIb, belegt werden. Der „Steinkistenkomplex" ist daher zeitlich an das Ende der Planierungsvorgänge ÇuHö VIb/VII zu setzen.

Die Form und Anordnung der Steinplattensetzung erinnern auf den ersten Blick an ein Grab.[1359] Ein kontemporärer Befund einer Kinderbestattung (ÇuHö VII) in einem Steinkistengrab wurde bereits im Jahr 2007 in Schnitt N3, ebenfalls unmittelbar im Bereich der rezenten Abbruchkante im Norden, freigelegt (s. u. Beitrag Horejs in diesem Band, Kap. II.1.).[1360] Vergleichbar konstruierte Steinkisten, in denen sich Bestattungen finden, sind von spätchalkolithischen (Dedecik-Heybelitepe, Schicht B, Grab 1–3)[1361] und Frühbronzezeit 1-zeitlichen (Ahlatlı Tepecik,[1362] Babaköy,[1363] Bakla Tepe,[1364] auf Bozcaada,[1365] Kusura[1366] und Yortan[1367])[1368] Fundorten in Westanatolien bekannt. In den spätchalkolithischen (älteres Stratum B) bis frühbronzezeitlichen (jüngeres Stratum B und C) Schichten vom Hanay Tepe[1369] sind zudem neben anderen Gräbern drei Kindergräber bekannt, die in Kisten aus Lehmziegeln niedergelegt wurden. Eine dieser Kisten (Nr. 1555) wurde sowohl aus Ton als auch Stein errichtet. Eine eindeutige Zuweisung dieser Gräber in das ältere oder jüngere Stratum B ist nicht möglich. Gräber dieser Form finden sich vermehrt erst ab der Frühbronzezeit in Westanatolien und darüber hinaus auch auf den Kykladen, wo Steinkistengräber die gängige Grabform zu dieser Zeit darstellen.[1370] Neben den Befunden vom Dedecik-Heybelitepe gestaltet sich die Suche nach weiteren Vergleichen, vermutlich auch bedingt durch den Forschungsstand, schwierig. Ein weiterer, deutlich älterer Hinweis auf Steinkistengräber stammt aus der Troas. In der Siedlung Kumtepe IA1 fand sich ein Grab, das zwar keine vollständige Kistenkonstruktion aufweist, dennoch sind gerade Längsseiten mit zwei massiven Steinplatten und weiteren Steinen ausgestattet.[1371] Somit lässt sich eine derartige Niederlegung bereits im 5. Jt. v. Chr. in Westanatolien belegen. Hinweise auf Steinkistengräber, die ebenfalls früher datieren, sind auch von den Kykladen bekannt. So finden sich beispielsweise in der Nekropole von Kephala auf Keos neben Gräbern mit Einfassungen aus kleinformatigen Steinsetzungen auch zwei Steinkistengräber.[1372]

Die Vergleiche zeigen, dass die Steinkistenkonstruktion aus dem Schnitt N7 von der Art her zu Gräbern dieser Form passen würde. Interessant ist jedoch, dass bei der im Schnitt N7 vorgefundenen Steinkiste weder eine Bestattung noch sonstige Funde festgestellt werden konnten. Aufgrund der fundleeren Verfüllung der Steinkistenkonstruktion rückt eine Einordnung als mögliche symbolische Bestattung in den Vordergrund. Dass diese Annahme keineswegs abwegig ist, zeigen Befunde aus den Nekropolen von Devnja, Durankulak und Varna an der bulgarischen

[1358] SE 1458, 1501.
[1359] Der Befund eines Grabes, das in eine Grabenverfüllung eingetieft ist, ist auch aus Palamari (Skyros) bekannt (Theochari – Parlama 1997, 347, Abb. 2; 350–352, Abb. 7). Jedoch wurde das Grab, anders als bei dem Befund vom Çukuriçi Höyük, nicht im Zusammenhang mit der Grabenverfüllung angelegt, sondern später.
[1360] Horejs 2008a, Abb. 8; Horejs 2008b, 97; Horejs 2010a, 168; Horejs – Schwall 2015, 461, 463, Abb. 6.
[1361] Herling et al. 2008, 17–19.
[1362] Mitten – Yüğrüm 1974, 26.
[1363] Bittel 1939–1941, 10, 19, Abb. 14; 20, Abb. 15.
[1364] Erkanal – Özkan 1999b, 124, 193, Abb. 26; Massa – Şahoğlu 2011, 167, Abb. 4; Şahoğlu 2016, 169–170.
[1365] Sevinç – Takaoğlu 2004, 136–137, Abb. 2; Blum et al. 2014, 806, Abb. 32.
[1366] Stewart 1937, 55–56.
[1367] Kâmil 1982, 8, Abb. 9.80.
[1368] Vgl. zusammenfassend zu den Bestattungssitten zu dieser Zeit: Özgüç 1948, 41–51; Derin 2009, 261; Massa – Şahoğlu 2011.
[1369] Calvert 1881, 789, Nr. 1553–1555.
[1370] Doumas 1977, 37–47; Rambach 2000, 1–2, Abb. 1; Massa – Şahoğlu 2011, 164, Abb. 2; Rambach 2011, 130; Stampolidis – Sotirakopoulou 2011, 86–92.
[1371] Bertram – Karul 2014, 1063, Abb. 2–3.
[1372] Coleman 1977, 48, Taf. 21.2, 23.

Schwarzmeerküste.[1373] Dort werden als symbolische Gräber (Kenotaphe) Bestattungen bezeichnet, „[…] in denen Grabinventar vorhanden ist, jedoch jegliche Spuren eines Menschenskelettes fehlen".[1374] Solche sind bereits ab dem späten 6. Jt. v. Chr. belegt. Dass das Fehlen von Grabbeigaben im Fall der Kiste vom Çukuriçi Höyük keineswegs gegen eine Interpretation als Kenotaph spricht und lediglich eine andere Sitte widerspiegelt, belegt die zuvor erwähnte Kinderbestattung vom Çukuriçi Höyük, die keinerlei Beigaben enthielt. Die Parallelen aus Bulgarien zeigen jedoch eindrücklich, dass symbolische Gräber, der anatolischen Chronologie folgend, bereits in mittelchalkolithischer Zeit anzutreffen sind. Gerade die Motivation symbolische Bestattungen anzulegen, lässt auf ein Fehlen des eigentlichen Körpers schließen, der, unter welchen Umständen auch immer (z. B. im Meer, bei kriegerischen Auseinandersetzungen oder Handelsreisen), zurückgeblieben ist.[1375]

IV.1.1.3. Graben (Komplex 5)

Der bogenförmig verlaufende Graben wurde in den Arealen N6–7 auf einer Länge von etwa 17 m erfasst (Abb. 18, 29, 32). Mit einer maximalen Breite von etwa 6 m und einer Tiefe von ca. 2,5 m stellt der Graben ein imposantes Bauwerk dar. Im Profil hat die Anlage eine etwa trichterförmige Gestalt mit einer flachen Sohle, einer steileren äußeren und einer seichteren inneren Wandung (Abb. 30–31).[1376]

Vom angrenzenden Material setzt sich der Graben vor allem durch seine Lehm-Stein-Packung ab, die mehrheitlich aus groß- bis mittelformatigen Bruch- und Feldsteinen besteht und den Großteil der Verfüllung (C) darstellt. Reste dieser Verfüllung wurden sowohl im Schnitt N7 als auch anhand von mehreren Befunden mit Steinkonzentrationen, die erst im Verlauf der Grabung als Bestandteile der Zuschüttung erkannt wurden, in der Fläche N6 nachgewiesen (Abb. 29, 32).[1377] Eine geologische Bestimmung der ergrabenen Steine durch D. Wolf hat ergeben, dass es sich vorwiegend um metamorphe Gesteine handelt.[1378] Die 189 makroskopisch untersuchten Steine der Grabenverfüllung wurden 13 verschiedenen Gesteinsarten zugewiesen.[1379] Eine von Wolf durchgeführte Kartierung der Gesteinsvorkommen im Umfeld des Siedlungshügels hat gezeigt, dass diese Gesteinstypen alle lokal verfügbar sind.[1380] Interessanterweise beginnt die Lehm-Stein-Packung der Grabenverfüllung C im Westen des Grabens auf einem höheren Niveau (Westen: 26,75 m; Osten: 26,46 m), weshalb eine Zuschüttung vom inneren Siedlungsbereich wahrscheinlich ist. Es ist davon auszugehen, dass es sich bei der Verfüllung um Material handelt, das sich bereits auf der Telloberfläche befand. Sowohl die große Anzahl an Steinen als auch zahlreiche Reste von verbranntem Lehm und verkohlten Hölzern deuten auf Architekturreste hin, die durch Feuereinwirkung zerstört wurden. Zudem weisen auch die Funde aus der Grabenverfüllung C sowie aus den darüber liegenden Schichten der Planierung deutliche Brandspuren auf. Somit können die Grabenverfüllung C und die darüber befindlichen Anschüttungen als Planierung (ÇuHö VIb/VII) der älteren Siedlungsphase ÇuHö VII für die Anlage der jüngeren Siedlung ÇuHö VIb angesehen werden.

Unterhalb der Zuschüttung flachen die Verfüllschichten von der steilen Grabenflanke im Osten nach Westen ab und folgen in etwa der Form des Sohlengrabens. Hierbei können drei schmale

---

[1373] Boyadzhiev 2004.
[1374] Boyadzhiev 2004, 73.
[1375] Boyadzhiev 2004, 76.
[1376] Zu den verschiedenen Formen von Gräben siehe Ivanova 2008, 112.
[1377] N7: SE 1458, 1501; N6: SE 1205–06, 1208, 1215, 1218, 1231, 1258, 1283, 1288, 1307, 1309–10, 1341, 1343–45, 1349, 1368, 4551 mit Interface (SE 1771=4554).
[1378] Die geologischen Arbeiten am Tell und im Umfeld in den Kampagnen 2011 und 2012 wurden von D. Wolf im Rahmen einer Doktorarbeit an der Martin-Luther-Universität Halle-Wittenberg durchgeführt (Wolf 2017).
[1379] Wolf 2017, 68–69.
[1380] Schwall et al. eingereicht.



Abb. 29 Überblicksfoto mit den bogenförmig verlaufenden Resten der Grabenverfüllung im Schnitt N6. (Foto: H. Natho/ERC Prehistoric Anatolia)

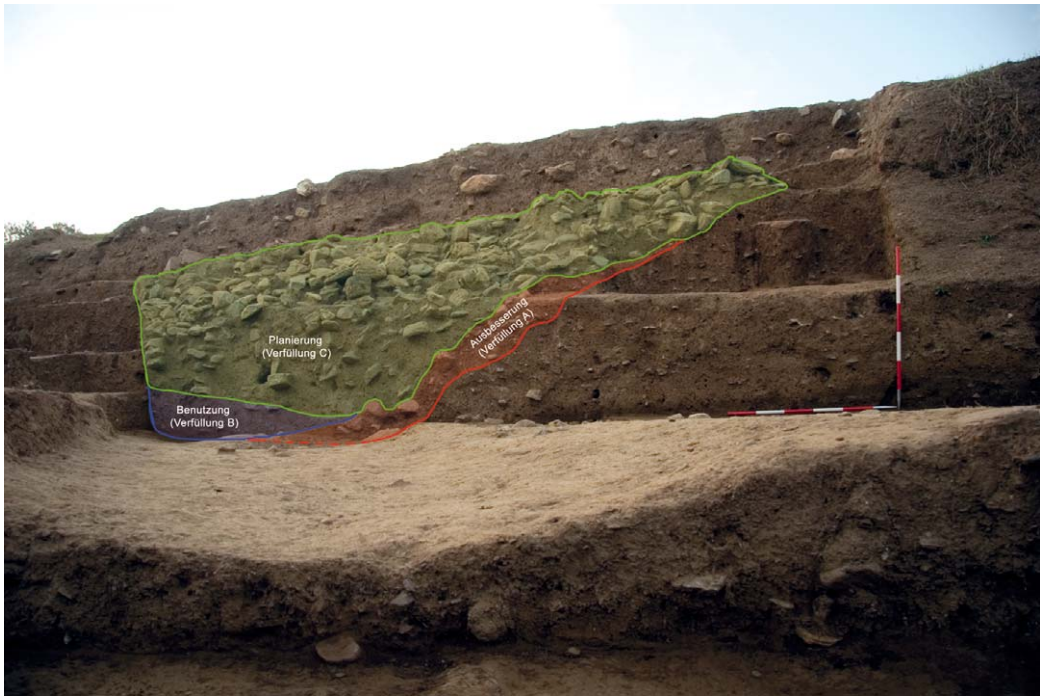


Abb. 30 Perspektivische Ansicht des Grabenprofils mit den Verfüllungen (A–C) vom Schnitt N6 aus Richtung Süden gesehen. (Foto: F. Ostmann; Bearbeitung: Ch. Schwall/beide ERC Prehistoric Anatolia)

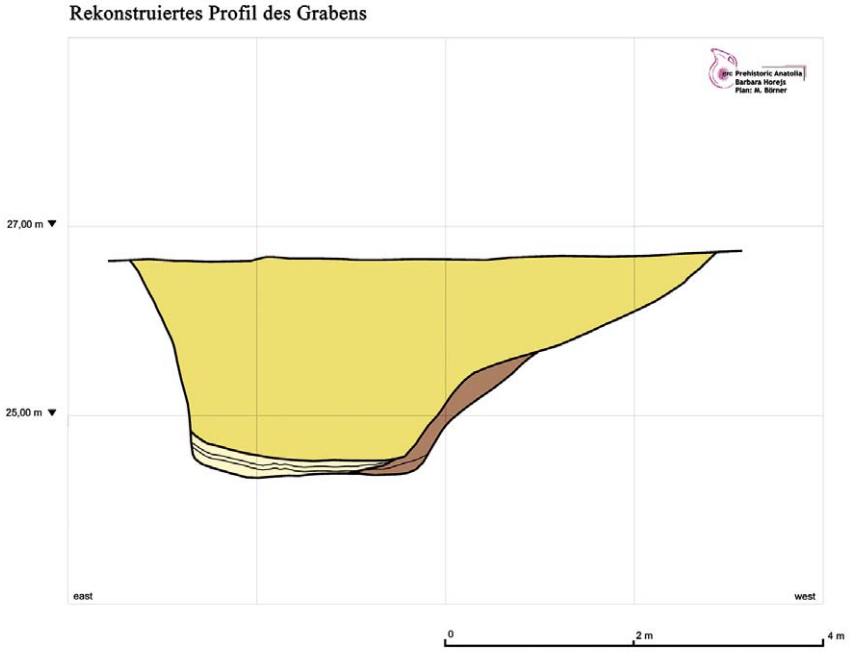


Abb. 31 Rekonstruktion des Grabenprofils. (Plan: M. Börner/ERC Prehistoric Anatolia)

Sedimentbänder (Verfüllung B) unterschieden werden (Abb. 24).[1381] Die Schichten unterscheiden sich insbesondere in ihrer materiellen Zusammensetzung stark von der darüber liegenden Zuschüttung. Im Gegensatz zur Verfüllung C, die einen hohen Anteil an groß- bis mittelformatigen Bruch- und Feldsteinen aufweist, finden sich in den schmalen Bändern dieser Ablagerungen nur vereinzelt Steine mit einer Größe von 5–10 cm. Der Großteil des Materials wird von kleinen, abgerundeten Steinchen geprägt, die in einem schluffigen Sediment eingelagert sind. Diese Schichten der Grabenverfüllung B können als Ablagerungen, bedingt durch Einschwemmungen oder aufgrund von gravitativem Transport während des Benutzungszeitraums des Grabens, interpretiert werden. Hinweise, die auf eine längere Auflassung des Grabens vor der endgültigen Verfüllung hindeuten, konnten nicht festgestellt werden. Im Gegenteil, die jüngere Grabenverfüllung (C) grenzt sich zur darunter liegenden Verfüllung (B) aufgrund der teils flach aufliegenden Steine der Zuschüttung ab. Somit kann auf eine zeitnahe Verfüllung des Grabens nach der Aufgabe geschlossen werden.

Die älteste der drei Verfüllschichten (A) besteht sowohl aus kleineren Steinchen als auch aus klein- bis mittelformatigen Steinen, die unmittelbar auf der ursprünglichen Sohle des Grabens aufliegen und sich im Profil, aber auch teilweise in der Fläche nachweisen lassen (Abb. 24, 29, 32).[1382] Es besteht die Möglichkeit, dass es sich hierbei um eine Grabenausbesserung oder -instandsetzung handelt. Insbesondere die teils größeren Steine im Bereich der inneren Grabenflanke könnten womöglich zur Befestigung des Erdmaterials gedient haben. Auch die Steinkonzentrationen, die sich nicht flächig auf der ursprünglichen Grabensohle finden, würden im Zusammenhang mit einer partiellen Befestigung der inneren Grabenseite Sinn machen. So könnten diese im Laufe der Zeit, wiederum bedingt durch Auswaschungen oder gravitativem Transport, zur Sohle gelangt sein.

[1381] SE 1350, 4553, 4556–57 mit Interface (SE 1394=4555).
[1382] SE 1235, 1241, 1254–55, 1306, 1340, 1334–35, 1351, 1561, 1735, 1766 mit Interface (SE 1381, 1583=1754).

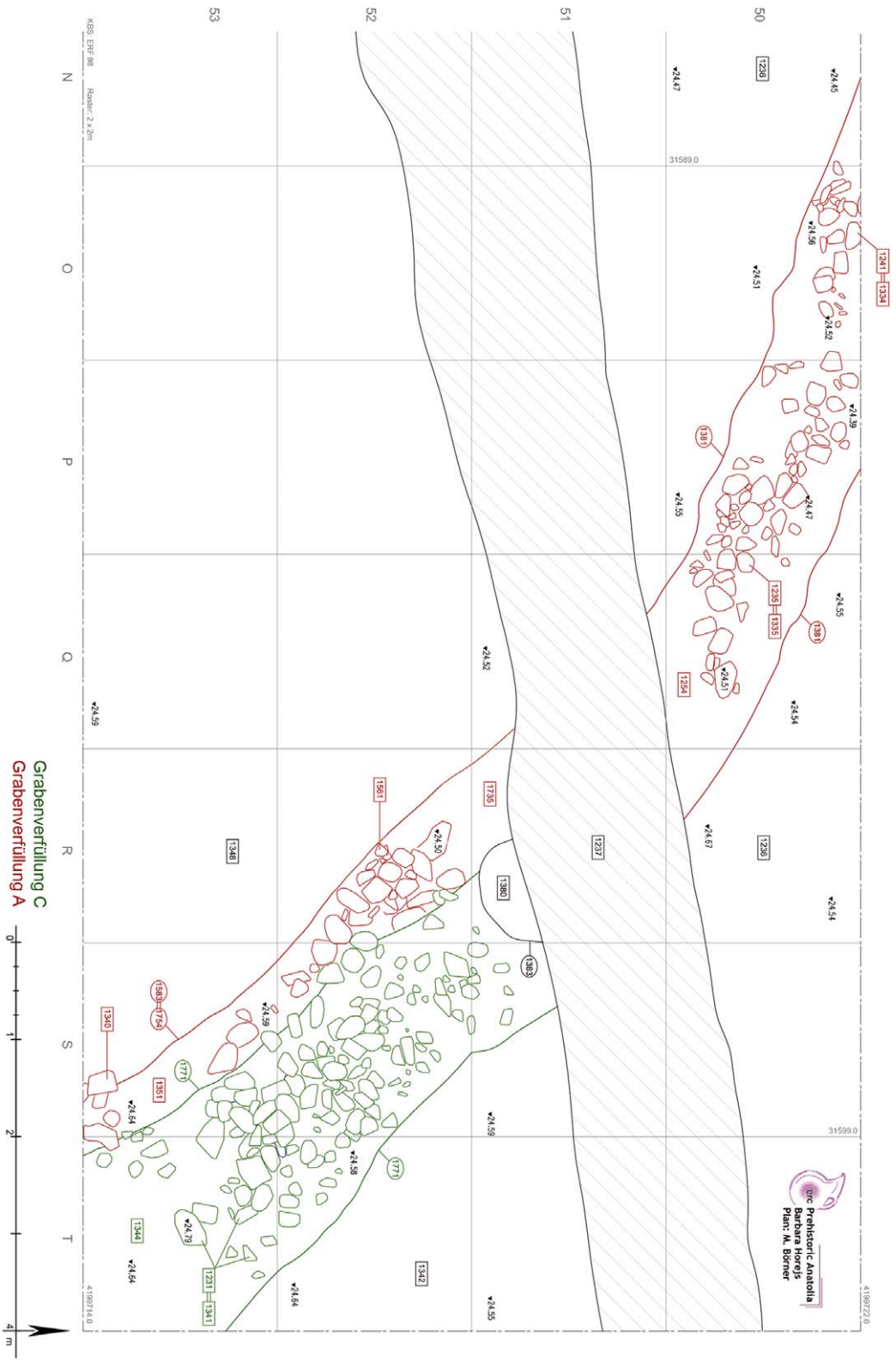


Abb. 32 Plan mit den Resten der Grabenverfüllungen A und C im Schnitt N6.
(Plan: M. Börner/ERC Prehistoric Anatolia)

Wie viel Zeit letztendlich von der Anlage, einer möglichen Ausbesserung, der Benutzung bis hin zur Aufgabe vergangen ist, kann nur vermutet werden. Die Präsenz von lediglich flachen Sedimentbändern deutet jedoch keine allzu lange Nutzungsdauer des Grabenwerkes in der Siedlungsphase ÇuHö VII an. Radiokarbondaten der Grabenverfüllungen A[1383] und C[1384] grenzen den Zeitraum zwischen 3300–2900 v. Chr. ein (vgl. IV.1.4.; Tab. 1). Da abgesehen vom Graben mögliche Befunde der Siedlung ÇuHö VII lediglich aus den Nordschnitten bekannt sind (vgl. IV.3.1.), steht der Graben weitestgehend isoliert da. Über die genaue Funktion des Grabens als Siedlungsbegrenzung oder etwa als Befestigung kann daher nur spekuliert werden. Hinweise auf eine zusätzliche Befestigung in Form von Palisaden oder Mauerzügen konnten im unmittelbaren äußeren Grabenbereich nicht angetroffen werden.[1385] Allerdings weist die mächtige Steinverfüllung innerhalb des Grabens auf eine Bebauung hin, die sich im Innenbereich des Grabens befand. Die durch Prospektion nachgewiesene Architektur im Inneren der Grabenanlage unterstützt die Vermutung einer zugehörigen Siedlung (vgl. Abb. 18). Offen bleiben muss, ob es sich bei der Steinverfüllung eventuell sogar um die Reste einer Umfassungsmauer auf der Innenseite des Grabens handeln könnte. Für eine mögliche Präsenz einer derartigen Mauer sprechen die hohe Anzahl der teilweise großformatigen Steine sowie die Tatsache, dass sich die steinerne Verfüllung in verschiedenen Abschnitten des Grabens im Areal N7 und M1 findet. Betrachtet man die Funktion eines fortifikatorischen Grabens, so dient dieser, wie von M. Ivanova beschrieben, zur Verlangsamung der Angreifer, bevor diese die Siedlung erreichen (s. u. IV.1.3.2.).[1386] Folgt man dieser Annahme, würde so eine zusätzliche, innere Verteidigungsmauer Sinn ergeben. Ohne Zweifel stellt der Graben jedenfalls ein mächtiges Bauwerk des späten 4. Jts. v. Chr. dar, welches in seinen Ausmaßen bislang ohne Vergleiche in Westanatolien und den angrenzenden Gebieten ist. Lediglich aus der spätchalkolithischen Siedlung von Barcın Höyük (1. Hälfte des 4. Jts. v. Chr.) ist ebenfalls eine Grabenanlage mit deutlich kleinformatigeren Abmessungen bekannt (Breite 2,6 m; erh. Tiefe 0,4 m).[1387] Ein fortifikatorischer Charakter ist hier nicht anzunehmen, eher ist der Graben wohl als Siedlungseinfassung zu verstehen.[1388]

IV.1.2. Befunde in der Fläche M1

Die Grabungsfläche M1 (349 m^2; Abb. 18, 33) befindet sich im mittleren Bereich auf der erhaltenen Tellkuppe. Wie bereits erwähnt, war es das Ziel, in diesem Areal frühbronzezeitliche und spätchalkolithische Siedlungsreste zu erfassen.[1389] In dieser Arbeit liegt der Schwerpunkt auf den Siedlungen der Phasen ÇuHö VI–V.

Eine zusammenfassende Publikation der frühbronzezeitlichen Stratigraphie und Architektur aus dem Areal M1 sowie den Südschnitten S1–4 befindet sich derzeit in Vorbereitung.[1390] Wichtige Grundlagen zu den frühbronzezeitlichen Phasen des Çukuriçi Höyük wurden bereits von der Ausgräberin Horejs in Vorberichten und Detailstudien publiziert.[1391] Siedlungsreste der Phasen ÇuHö VI–V wurden insgesamt auf 174 m^2 in dieser Fläche freigelegt (Abb. 34). Die beiden

[1383] Lab.-Nr. MAMS-20526, MAMS-20769. – Bei dem Datum der Probe MAMS-20526 handelt es sich um einen Ausreißer, der an den Beginn des 2. Jts. v. Chr. datiert (vgl. IV.1.4.).

[1384] Lab.-Nr. MAMS-15267, MAMS-20770, MAMS-20771.

[1385] Im Osten des Schnittes N7 wurde kein äußeres Laufniveau des Grabens erfasst. Die Struktur SE 4513 und die Lehmschicht SE 4514 liegen tiefer als die Steinverfüllung und sind wohl der spätneolithischen Phase ÇuHö VIII zuzurechnen. Die tiefer liegende Schicht SE 4552 gehört der Phase ÇuHö IX an. Im Westen konnten, bedingt durch die Bebauung der Siedlung ÇuHö VIb und die kleinformatige Fläche, keine tieferen Strukturen ergraben werden.

[1386] Ivanova 2008, 112.

[1387] Gerritsen et al. 2010, 199, 217, Abb. 5B.

[1388] Gerritsen et al. 2010, 199.

[1389] Diese befanden sich unter dem gestörten Oberflächenmaterial: SE 5001, 5200–01, 5401 mit Interface (SE 5000=5400).

[1390] Grasböck et al. in Vorbereitung.

[1391] Horejs 2008a; Horejs 2008b; Horejs 2008c; Horejs 2009a; Horejs 2009b; Horejs 2010a; Horejs et al. 2010; Horejs 2011a; Horejs 2011b; Horejs et al. 2011; Horejs 2013a; Horejs 2013b; Horejs 2014b; Horejs – Mehofer 2015.



Abb. 33 Überblicksfoto des Schnittes M1 nach Beendigung der Ausgrabungen 2014.
(Foto: N. Gail/ERC Prehistoric Anatolia, ÖAI)

Siedlungsphasen können jeweils in zwei Subphasen (b–a) untergliedert werden. Diese Unterteilung wurde vorgenommen, da – im Gegensatz zu den definierten Phasen – keine grundsätzliche Umstrukturierung des Siedlungsareals registriert werden konnte. Bedingt durch Abgrabungsprozesse im Rahmen der Anlage in der frühbronzezeitlichen Phase ÇuHö IV haben sich Reste der Siedlung ÇuHö Va nur im südwestlichen Bereich des Areals erhalten. Schichten der Subphasen ÇuHö Vb und VIa wurden im westlichen und mittleren Abschnitt sowie im nördlichen Bereich der Fläche erfasst. Massive Abgrabungsprozesse fanden im Nordosten von M1 statt, wodurch hier die Siedlungsreste bis auf die Subphase ÇuHö VIb abgetragen wurden (Abb. 35).

Im Hinblick auf die Planierungen zwischen den einzelnen Subphasen ÇuHö IV/Va, Va/Vb, Vb/VIa, VIa/VIb, VIb/VII sei vorab angemerkt, dass diese im Zuge der Neuanlegung der jeweils jüngeren Siedlungen durchgeführt wurden. Da es sich dabei um ein Ereignis handelt, das somit nach der vorherigen Siedlung anzusetzen ist, werden diese stratigraphisch der jeweils jüngeren (Sub)phase zugerechnet (vgl. Abb. 35; Beil. 3; IX.1.). Das zu erwartende Fundmaterial innerhalb der Planierungen ist demnach jedoch der älteren (Sub)phase zuzurechnen (s. u. IV.4–7.; Tab. 4).

Anders gestaltet sich der Sachverhalt bei den Abgrabungen, die im Rahmen der Anlage der Siedlungsphase ÇuHö IV entstanden sind. Hier wurden die älteren Schichten in einzelnen Bereichen teils massiv bis in die Planierung ÇuHö Va/Vb, Vb/VIa und VIa/VIb abgegraben. Da die Schichten der jüngeren (Sub)phasen ÇuHö VI–V nicht mehr vorhanden waren, wurden die Schichten als Planierung ÇuHö IV/Vb, IV/VIa und IV/VIb benannt. Es handelt sich bei diesen Schichten somit um ältere Planierungen, die vor der Errichtung der Phase ÇuHö IV anzusetzen sind und somit stratigraphisch wie die Planierungen ÇuHö Va/Vb, Vb/VIa und VIa/VIb behandelt werden (vgl. Abb. 35; Beil. 3; IX.1.).

Im Folgenden sollen nun die Befunde der Phasen ÇuHö VI–V im Schnitt M1 vorgestellt und anschließend anhand von kontemporären Vergleichen im Arbeitsgebiet zusammen mit der Siedlungsstruktur diskutiert werden.



Abb. 34 Übersichtsplan der ausgegrabenen Strukturen der Phasen ÇuHö VI–V im Schnitt M1. (Plan: M. Börner/ERC Prehistoric Anatolia)

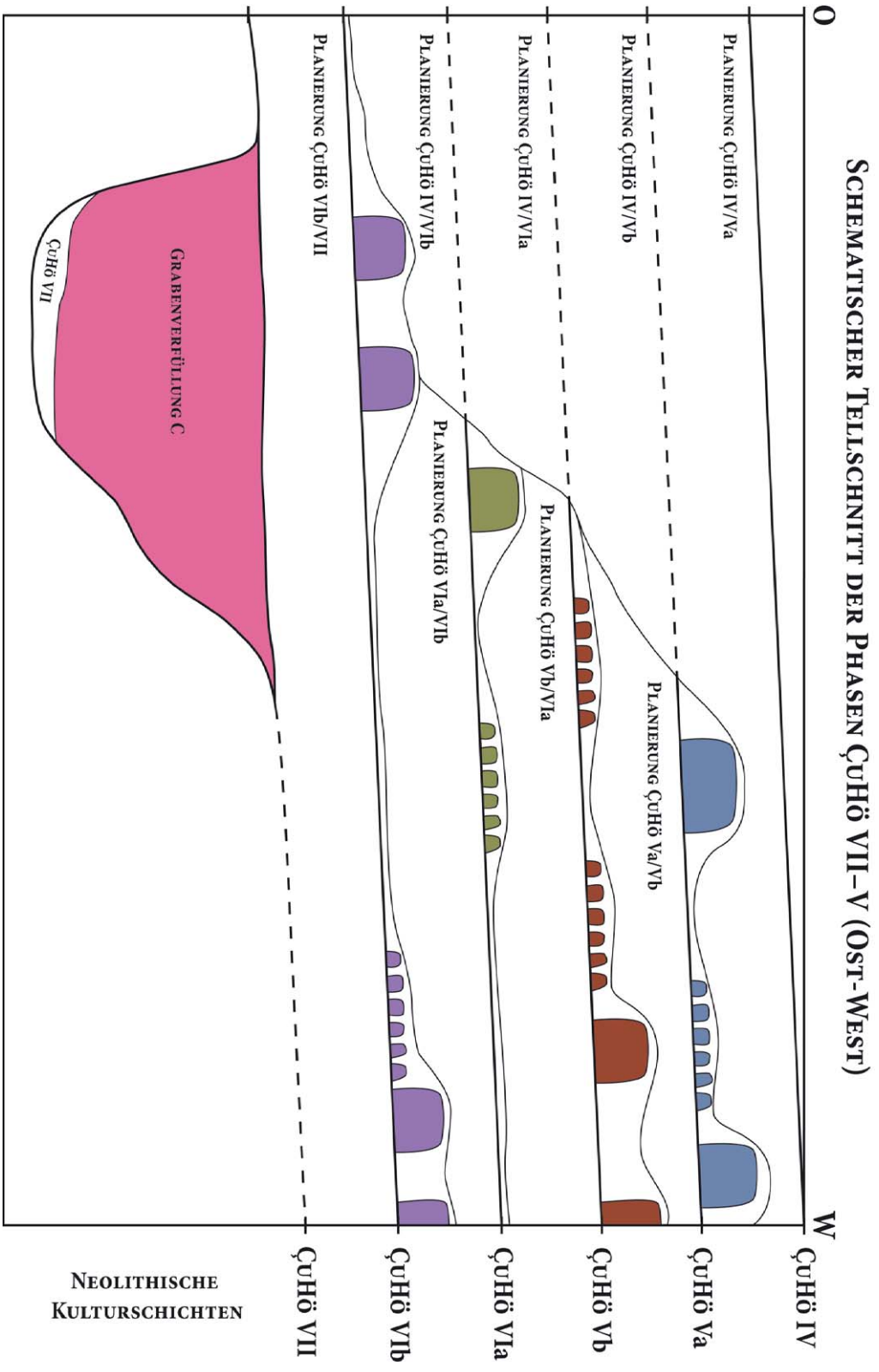


Abb. 35 Schematischer Tellquerschnitt (Ost-West) der Phasen ÇuHö VII–V.
(Graphik: Ch. Schwall/ERC Prehistoric Anatolia)



Abb. 36 Die Befunde der Subphase ÇuHö VIb und der Planierung ÇuHö VIb/VII.
(Foto: Ch. Schwall/ERC Prehistoric Anatolia)

IV.1.2.1. Die Siedlung ÇuHö VIb

Außer im Schnitt N7 (s. o. IV.1.1.) wurden Befunde der Siedlung ÇuHö VIb im östlichen Bereich des Areals M1 ergraben. Unterhalb der frühbronzezeitlichen Bebauung des Raums 54 wurde eine massive Planierschicht (ÇuHö IV/VIb) erfasst.[1392] Bereits während der Ausgrabung fiel der hohe Anteil an neolithischer Keramik in dieser Schicht ins Auge (s. u. IV.4.2.1.). Eine äquivalente Zusammensetzung konnte auch bei den Planierschichten ÇuHö VIa/VIb im Areal unter Raum 41 registriert werden.[1393] Es ist anzunehmen, dass für die Planierung zwischen den beiden Siedlungen der Phase ÇuHö VI Erdmaterial aus neolithischen Kulturschichten des Tells verwendet wurde (s. u. IV.4.2.1.).

Unterhalb der Planierung wurden zwei Mauerzüge[1394] auf einem Nutzungshorizont[1395] freigelegt (Abb. 36–37). Die beiden Mauern sind etwa West-Ost ausgerichtet und ungefähr 1 m nach Norden und 0,5 m nach Osten hin versetzt gebaut. Fundamentierungen wurden bei keiner der freigelegten Mauern aus den Phasen ÇuHö VI–V nachgewiesen. Die in zwei Lagen erhaltene Mauer SE 5348 verläuft ins östliche Profil und ist auf einer Länge von 0,95 m sichtbar. Südlich dieser Mauer wurde nahe der Profilgrenze eine Metallnadel mit Öhr (Taf. 90.1; 91.1) auf dem Nutzungshorizont gefunden. Die deutlich schlechter erhaltene Mauer SE 5405 besitzt eine Länge von 1,85 m.

[1392] SE 5324.
[1393] SE 5591–92.
[1394] SE 5348, 5405.
[1395] SE 5350.

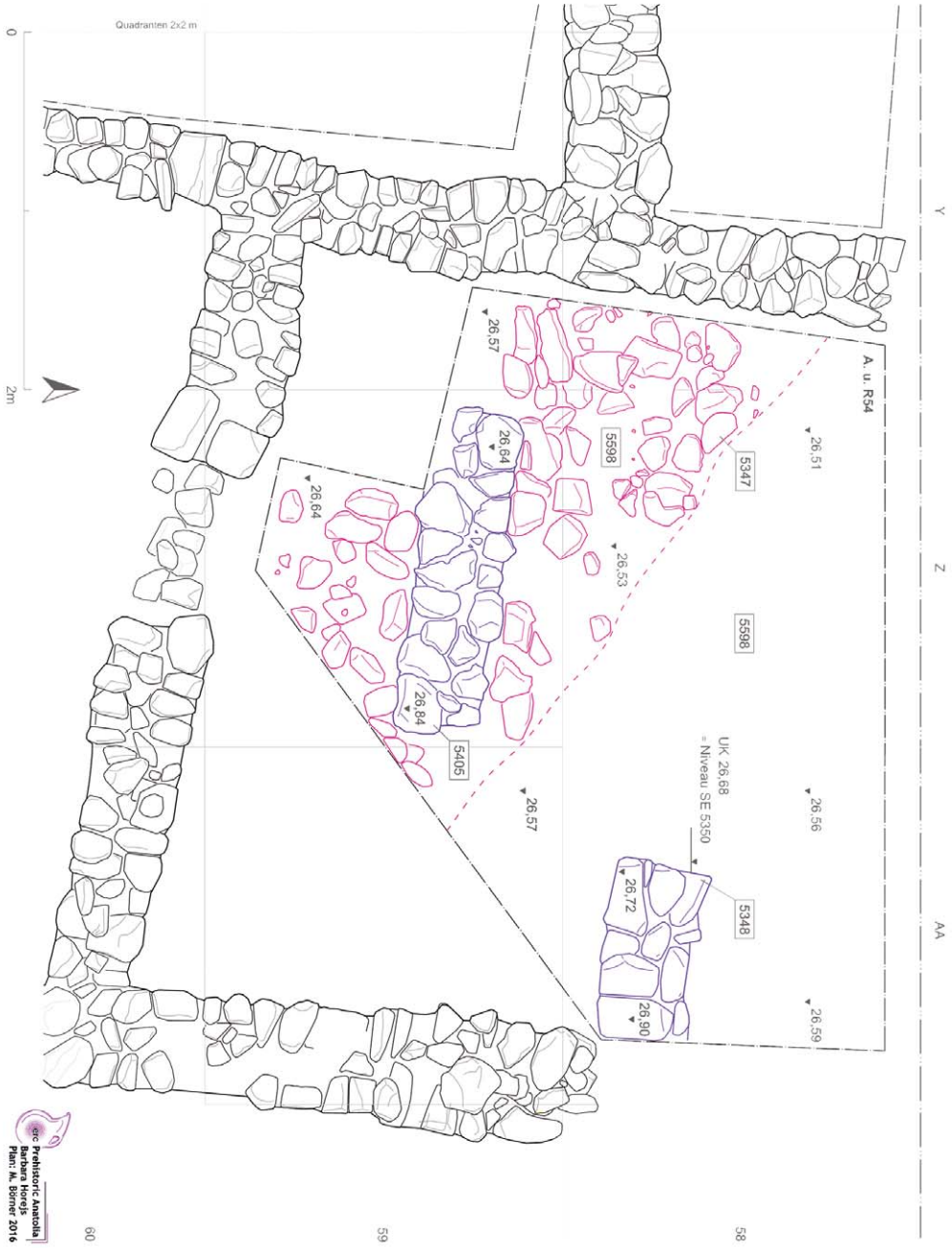


Abb. 37 Befunde der Subphase ÇuHö VIb und die Grabenverfüllung VIb/VII.
(Plan: M. Börner/ERC Prehistoric Anatolia)

Unterhalb der Mauer SE 5348 sowie der Mauer SE 5405 folgt auf dem darunter liegenden Nutzungshorizont eine flächige Planierung,[1396] die nach Osten hin über eine Schicht mit regellos angeordneten Steinen (SE 5347) zieht. Nach dem Abbau des Laufniveaus der Phase ÇuHö VIb (SE 5350) stellte sich heraus, dass sich die Mauer SE 5405 unmittelbar auf der ausgedehnten

[1396] SE 5598.

Schicht mit großformatigen Bruch- und Feldsteinen befindet.[1397] Sowohl aufgrund der Anordnung und Größe der Steine innerhalb dieser Schicht, dem rekonstruierten Grabenverlaufs, als auch durch den Vergleich der Höhen mit denen im Schnitt N7 ist davon auszugehen, dass hier die Grabenverfüllung C im Areal M1 erfasst wurde. Hieraus resultiert eine unmittelbare stratigraphische Verbindung der beiden Grabungsflächen. Sowohl die Schicht mit der Steinkonzentration (SE 5347) als auch die darüber ziehende Lehmschicht (SE 5598) sind der Planierung ÇuHö VIb/VII zuzurechnen. Interessanterweise befindet sich die Mauer SE 5405, wie ebenfalls im Schnitt N7 (s. o. IV.1.1.1.) ersichtlich, oberhalb des ehemaligen Grabenbereichs; die Mauer SE 5348 verläuft sogar außerhalb des rekonstruierten Grabenverlaufs. Daher kann auch anhand der Befunde der Fläche M1 eine Aufgabe der ehemaligen Grabengrenze mit einer Expansion der Siedlungsfläche nach Norden hin in der Subphase ÇuHö VIb und somit vermutlich eine Vergrößerung der Siedlung belegt werden.

IV.1.2.2. Die Siedlung ÇuHö VIa

Siedlungsreste der Subphase ÇuHö VIa wurden im mittleren Abschnitt des nördlichen Bereichs ausgegraben (Abb. 34, 38). Die Strukturen dieser Subphase haben sich nur sehr schlecht erhalten und es kann zudem von Steinraub zum Bau der jüngeren Siedlung ÇuHö Vb ausgegangen werden.

Neben dem Abschnitt eines Hausgrundrisses (RH 1) wurde eine unmittelbar westlich benachbarte Steinreihenstruktur (SR 3) und eine nördlich anschließende Aktivitätszone unterhalb der Planierschichten ÇuHö Vb/VIa,[1398] IV/VIa[1399] erfasst (Abb. 36).

Zu dem vermutlich rechteckigen Hausgrundriss RH 1 zählen zwei, teils stark gestörte, Mauerabschnitte mit einer sichtbaren Länge von 3,4 und 8,1 m, die eine Ecke bilden (Abb. 39). Der kurze Mauerabschnitt wurde im Areal unter Raum 41 ergraben und verläuft vom Eckbereich schräg in südöstlicher Richtung ins Profil.[1400] Aufgrund der schlechten Erhaltung kann ein zweischaliger Aufbau lediglich vermutet werden. Teilweise sind noch zwei Steinlagen erkennbar. Reste des längeren Mauerabschnittes finden sich im nordwestlichen Bereich der Mauer SE 5587. Hier wurde ein Eckbereich mit einem weiteren Verlauf der Mauer in südwestlicher Richtung festgestellt. Ein solcher Verlauf, unterhalb der Steinreihenstruktur SR 1 der Subphase ÇuHö Vb, wird anhand des Mauersegmentes SE 5586 nahe dem Westprofil belegt. Die stratigraphische Position zu den jüngeren Strukturen ist anhand dieses Mauerabschnittes klar erkennbar (Abb. 40). Interessanterweise finden sich an diesem Mauersegment auf der östliche erhaltenen Seite senkrecht gesetzte Schalensteine. Ein derartiger Aufbau ist auch an einem 1,6 m langen Mauerabschnitt im Areal unter Raum 38 ersichtlich (Abb. 38, 42).[1401] Diese Bauweise ist bislang vom Çukuriçi Höyük unbekannt, findet sich jedoch auch an der großen Mauer SE 5522 aus der Subphase ÇuHö Va (s. u. IV.1.2.4.).[1402] Da der Mauerabschnitt mit dem Segment im Areal unter Raum 41 fluchtet und zudem unter die frühbronzezeitliche Mauer verläuft, ist eine Verbindung anzunehmen. Der im Areal unter Raum 38 erfasste Mauerabschnitt SE 5479 fluchtet darüber hinaus mit einer ca. 2 m langen Steinstruktur, die in das südliche Profil dieses Areals verläuft (Abb. 38).[1403] Es stellte sich heraus, dass es sich bei der Steinstruktur mit aneinander gesetzten Steinen um die Reste eines weiteren, schlecht erhaltenen Mauerabschnittes des Hauses RH 1 handelt, welcher sich auch im Profil deutlich abzeichnet (vgl. Abb. 41).[1404] Die schlechte Erhaltung der Mauer scheint dem Steinraub

[1397] SE 5347.
[1398] SE 5539=5465, 5543.
[1399] SE 5422, 5444=5448=5464.
[1400] SE 5587.
[1401] SE 5479.
[1402] Ebenfalls senkrecht gesetzte, großformatige Schalensteine in den untersten Lagen der Mauern sind auch aus dem frühbronzezeitlichen Thermi I auf Lesbos bekannt (Lamb 1936, Taf. 2.8).
[1403] SE 5480.
[1404] SE 5604.



Abb. 38 Befunde der Subphase ÇuHö VIa im Schnitt M1. (Plan: M. Börner/ERC Prehistoric Anatolia)

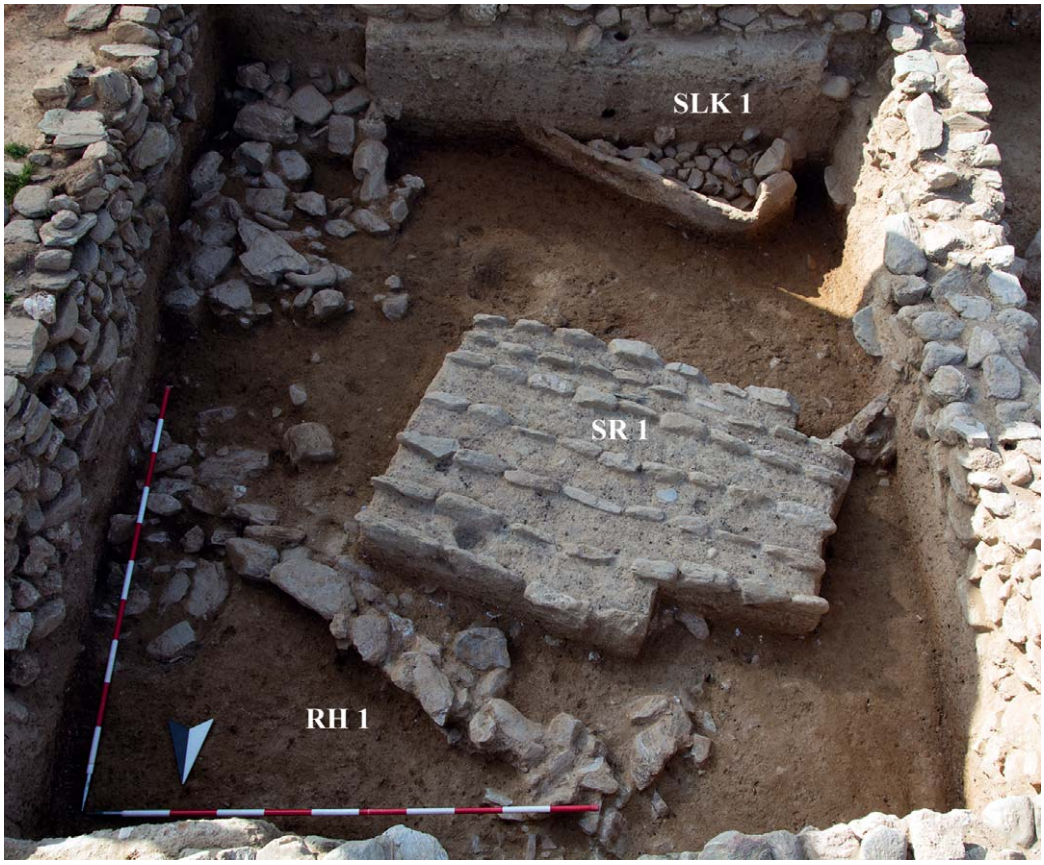


Abb. 39 Hausreste (RH 1) der Subphase ÇuHö VIa im Schnitt M1. (Foto: M. Börner/ERC Prehistoric Anatolia)

geschuldet. Da sich die länglichen Schalensteine der Mauer für den Bau der Steinreihenstrukturen eignen, ist zu vermuten, dass diese für den Bau der nahe gelegenen Steinreihenstrukturen SR 1–2 der Subphase ÇuHö Vb verwendet wurden (s. u. IV.1.2.3.).

Spärliche Reste eines Nutzungshorizontes, bestehend aus einem Lehmstampfboden, wurden in beiden Arealen im Innenbereich erfasst.[1405] Auf diesem fand sich im Areal unter Raum 41 ein Spinnwirtel und ein Knochenspatelfragment (Taf. 58.28–29; 79.29). Ein Radiokarbondatum dieses Bodenniveaus datiert zwischen 3300–3000 v. Chr. (vgl. IV.1.4.; Tab. 1).[1406] Zudem wurde eine erhebliche Konzentration an klein- bis großformatigen Steinen im östlichen Bereich des Areals innerhalb des Hauses RH 1 freigelegt, welche sich bereits in der jüngeren Siedlung ÇuHö Vb abzeichnete.[1407] Es ist davon auszugehen, dass es sich dabei um Reste der einplanierten Nordwest-Südostmauer 5587 und vermutlich um die, nicht im Grabungsbereich erfasste, Nordost-Südwest verlaufende Mauer handelt. Reste des inneren Bodenniveaus[1408] haben sich im Areal unter Raum 38, südöstlich der Mauerreste SE 5479 und 5480, erhalten. Im nordöstlichen Bereich dieser Fläche fand sich ein runder Lehmfleck, bei dem es sich um die Verfüllung eines Pfostenlochs handeln dürfte.[1409]

[1405] SE 5590, 5602.
[1406] Lab.-Nr. MAMS-26311.
[1407] SE 5327.
[1408] SE 5602.
[1409] SE 5603.



Abb. 40 Mauerabschnitt SE 5586 unterhalb der Steinreihenstruktur SR 1 im Areal unter Raum 41.
(Foto: L. Vangelov/ERC Prehistoric Anatolia)



Abb. 41 *Cheese pot* (Taf. 22–23; 50–51) im Außenbereich des Mauerrestes SE 5480 im Areal unter Raum 38.
(Foto: Ch. Schwall/ERC Prehistoric Anatolia)

Außerhalb des Hausbefundes RH 1 ist im südwestlichen Bereich vor allem der Fund einer Keramikansammlung zu nennen (Abb. 41).[1410] Hierbei handelt es sich hauptsächlich um die Fragmente eines großformatigen *cheese pot* (Taf. 22–23; 50–51). Die Ansammlung liegt zum einen auf dem Steinversturz der Mauer, zum anderen auf dem äußeren Laufniveau[1411] der Subphase ÇuHö VIa, welches ein deutliches Gefälle in Richtung Norden und Westen aufweist. Eine weitere Keramikkonzentration mit zahlreichen Bruchstücken von gebranntem Lehm und verkohlten botanischen Resten findet sich weiter nördlich im westlichen Bereich des Areals unter Raum 38.[1412] ^{14}C-Daten aus der Keramikansammlung sowie der darüber liegenden Planierschicht SE 5465 weisen, wie die Daten aus dem Innenbereich des Hauses RH 1, in die letzten drei Jahrhunderte des 4. Jts. v. Chr. (vgl. IV.1.4.; Tab. 1).[1413]

Im nördlichen Bereich der Außenfläche, in den Arealen unter Raum 38 und 47, wurden die Reste einer etwa Nordwest-Südost orientierten Steinreihenstruktur (SR 3) erfasst (Abb. 42).[1414] Zwar wird die Struktur durch die frühbronzezeitliche West-Ost-Mauer zwischen Raum 38 und 47 gestört und ist dort nicht erhalten, jedoch wurden sieben Steinreihen auf einer Länge von 2,8 m und Breite von 1,8 m nachgewiesen. Hauptsächlich im Bereich der Steinreihenstruktur fanden sich zahlreiche Reste verbrannter Botanik. Etwa 4 m östlich der Steinreihenstruktur SR 3 befindet sich unmittelbar nördlich des Hausbefundes RH 1 eine Pflasterung auf dem Laufniveau im Außenbereich,[1415] die vom Areal unter Raum 41 bis 53 verläuft (Abb. 43).[1416] Die Pflasterung besteht vor allem aus kleinformatigen, teils abgerundeten Steinen; auch sind abgerollte Keramikfragmente Bestandteil dieser Oberflächenbefestigung. Auffallend sind zudem Spondylusschalen, die zusätzlich auf der Steinpflasterung lagen (vgl. Abb. 43–44). Das zugehörige Laufniveau SE 5589 in dem Areal unter Raum 41 wird durch Radiokarbondaten in den Zeitraum 3300–3000 v. Chr. datiert (vgl. IV.1.4; Tab. 1).[1417]

Im Bereich der nördlichen Schnittgrenze wurde neben der Steinpflasterung der Boden eines großen Gefäßes[1418] (Taf. 20.535) freigelegt (Abb. 43–44). Der Boden war mit Sediment[1419] verfüllt und in eine kleine, seichte Grube[1420] eingetieft. Getreidereste[1421] innerhalb der Verfüllung des Bodens legen nahe, dass es sich hierbei um die Reste eines Vorratsgefäßes handelt.[1422] Die Datierung des Getreides aus dem Vorratsgefäß ergab wiederum eine Zeitspanne von 3300–3000 v. Chr. (vgl. IV.1.4.; Tab. 1).[1423] In nächster Nähe fand sich westlich des Gefäßes eine kleine, leicht ovale Aschekonzentration, die wenige Zentimeter in das Laufniveau eintieft.[1424] Auf der östlichen Seite wurde zudem ein Pfostenloch ausgegraben (Abb. 43–44).[1425] Aufgrund der Lage unmittelbar an der nördlichen Schnittgrenze muss eine Funktion dieses Pfostenlochs innerhalb der Aktivitätszone offen bleiben. Im Südosteck des Areals unter Raum 53 wurde eine Steinstruktur bestehend aus jeweils zwei sichtbaren Steinen angeschnitten, die ein Eck bilden (Abb. 43).[1426] Der südliche Bereich der Struktur ist bis zur Begrenzung durch die frühbronzezeitlichen Mauern mit einer

[1410] SE 5514.
[1411] SE 5503.
[1412] SE 5585.
[1413] Lab.-Nr. MAMS-25028, MAMS-26313.
[1414] SE 5474.
[1415] SE 5589 (Areal unter Raum 41), 5472 (Areal unter Raum 53).
[1416] SE 5588 (Areal unter Raum 41), 5468 (Areal unter Raum 53).
[1417] Lab.-Nr. MAMS-26306.
[1418] SE 5446.
[1419] SE 5445.
[1420] Grubeninterface (SE 5473).
[1421] Freundliche Mitteilung U. Thanheiser (Juli 2015).
[1422] Hierfür spricht auch die Warengruppe (WG 15) des Bodens (s. u. IV.4.3.4.5.).
[1423] Lab.-Nr. MAMS-25027.
[1424] SE 5447 mit Interface (SE 5460).
[1425] SE 5443 mit Interface (SE 5466).
[1426] SE 5449.



Abb. 42 Steinreihenstruktur SR 3 und die Mauern SE 5487 und 5604 des Hauses RH 1 im Areal unter Raum 38. (Foto: Ch. Schwall/ERC Prehistoric Anatolia)



Abb. 43: Aktivitätszone nördlich des Hauses RH 1 im Areal unter Raum 53.
(Foto: Ch. Schwall/ERC Prehistoric Anatolia)



Abb. 44 Boden eines Vorratsgefäßes (Taf. 20.535) in situ im Areal unter Raum 53.
(Foto: Ch. Schwall/ERC Prehistoric Anatolia)

Lehmschicht verfüllt.[1427] Es ist fraglich und konnte aufgrund des Verlaufs unterhalb der Mauern nicht geklärt werden, ob es sich hierbei um eine Steinkonstruktion, möglicherweise eine Steinkiste (s. o. IV.1.1.2.), oder eine andersartige rechteckige Konstruktion (s. u. IV.1.2.3.) handelt. Jedenfalls scheint hier aufgrund der Eckbildung keine Steinreihenstruktur erfasst worden zu sein.

Bei den gesamten Befunden der Subphase ÇuHö VIa ist sowohl das deutliche Süd-Nord als auch West-Ost verlaufende Gefälle des Nutzungsniveaus, auf dem sich die Reste der Siedlung finden, auffällig. Hier kann ein maximaler Unterschied von etwa 0,5 m ausgemacht werden.[1428] Ein derartiger Verlauf kann auch für die Schichten der folgenden Siedlungsphase ÇuHö V beobachtet werden (vgl. Abb. 35). Auffällig sind ferner die rotbraune Färbung eines Großteils der Lehmschichten sowie der hohe Anteil an gebrannten Lehmfragmenten und verkohlten botanischen Resten. Eine Zerstörung des hier erfassten Siedlungsareals durch Feuer ist daher anzunehmen. Vereinzelt weisen Bruchstücke von gebranntem Lehm Abdrücke von Hölzern auf und belegen die Präsenz von Lehm-Flechtwerk-Konstruktionen in dieser Subphase. Vermutlich sind diese Reste im Zusammenhang mit dem Wandaufbau des Hauses RH 1 zu sehen. Die Wände sind somit in Lehm-Flechtwerk-Bauweise oberhalb der Steinsockel zu rekonstruieren. Eine Analyse der Holzkohlefragmente durch B. Eichhorn ergab, dass sich vor allem Hölzer von Eichen in den Schichten der Subphase ÇuHö VIa und den abdeckenden Planierschichten ÇuHö Vb/VIa und IV/Va finden.[1429] Der Bau von Lehm-Flechtwerk-Konstruktionen aus diesen Hölzern scheint somit wahrscheinlich.

IV.1.2.3. Die Siedlung ÇuHö Vb

Zu der Siedlung ÇuHö Vb gehört der Großteil der Befunde der Phasen ÇuHö VI–V im Schnitt M1. Neben den Resten eines Rundbaus (RB 1) wurden zwei Steinreihenstrukturen (SR 1–2) sowie eine Stein-Lehm-Konstruktion (SLK 1) freigelegt (Abb. 45). Auch für diese Subphase kann ein von Süd-Nord als auch West-Ost gerichtetes Gefälle registriert werden (vgl. Abb. 35). Dies lässt sich insbesondere an den Höhen der Laufniveaus von RB 1 im Westen (SE 5537; 27,46 m) und SR 1 im Osten (SE 5325; 27,12 m) erkennen. Somit ist hier ein maximaler Unterschied von ca. 0,35 m festzuhalten.

Die Radialmauer des Rundbaus RB 1 wurde im Westen des Schnittes zum Teil in mehreren Arealen unter der frühbronzezeitlichen Bebauung erfasst.[1430] Somit können ein äußerer und ein innerer Durchmesser dieser Mauer von ca. 5 m beziehungsweise 4,1 m belegt werden (Abb. 45–48). Der Bau besitzt im Westen einen 0,7 m breiten, West-Ost ausgerichteten Eingang. Am besten ist der Aufbau der Mauer im Areal unter Raum 48 ersichtlich. Es handelt sich um eine zweischalige Mauer mit kleineren Füllsteinen. Sie ist bis zu 46 cm breit und vertikal in zwei bis drei Lagen (max. Höhe 28 cm) erhalten. Im Süden werden die Radialmauerabschnitte von der Mauer des jüngeren Rundbaus RB 2 überlagert, der nahezu kongruent über den RB 1 gebaut wurde, jedoch einen geringeren Durchmesser besitzt. Dies lässt sich insbesondere im Südprofil des Areals unter Raum 48 belegen. Da die Mauer des RB 2 in diesem Bereich im Zuge der Anlage der frühbronzezeitlichen Siedlungsphase ÇuHö IV vollständig in der Fläche zerstört wurde, haben sich beide Mauern hier nur noch im Profil erhalten (Abb. 47).[1431] Steinkonzentrationen innerhalb der Planierung zwischen Subphasen ÇuHö Va/Vb im nördlichen Bereich des Rundbaus RB 1 stellen wohl Mauerreste des Rundbaus RB 1 dar.[1432] Da sich die Steine sowohl im Areal unter Raum 48

[1427] SE 5459.

[1428] So finden sich die Strukturen im Südwesten auf einer Höhe von 27,41 m (Unterkante Mauer SE 5604); im Nordosten hingegen auf 26,90 m (Unterkante Mauer SE 5587).

[1429] Neben Eichen finden sich noch weitere Belege von Nadelhölzern, Zürgelbäumen, Erdbeerbäumen, Eschen, Kiefern und Rosen oder Mandeln (freundliche Mitteilung B. Eichhorn; Februar 2016).

[1430] SE 5427, 5531 (Areal unter Raum 48), 5487 (Areal unter Raum 37), 5515 (Areal unter Raum 36), 5527 (Areal unter Freifläche).

[1431] SE 5531 (RB 1), 5532 (RB 2).

[1432] SE 5478, 5453.

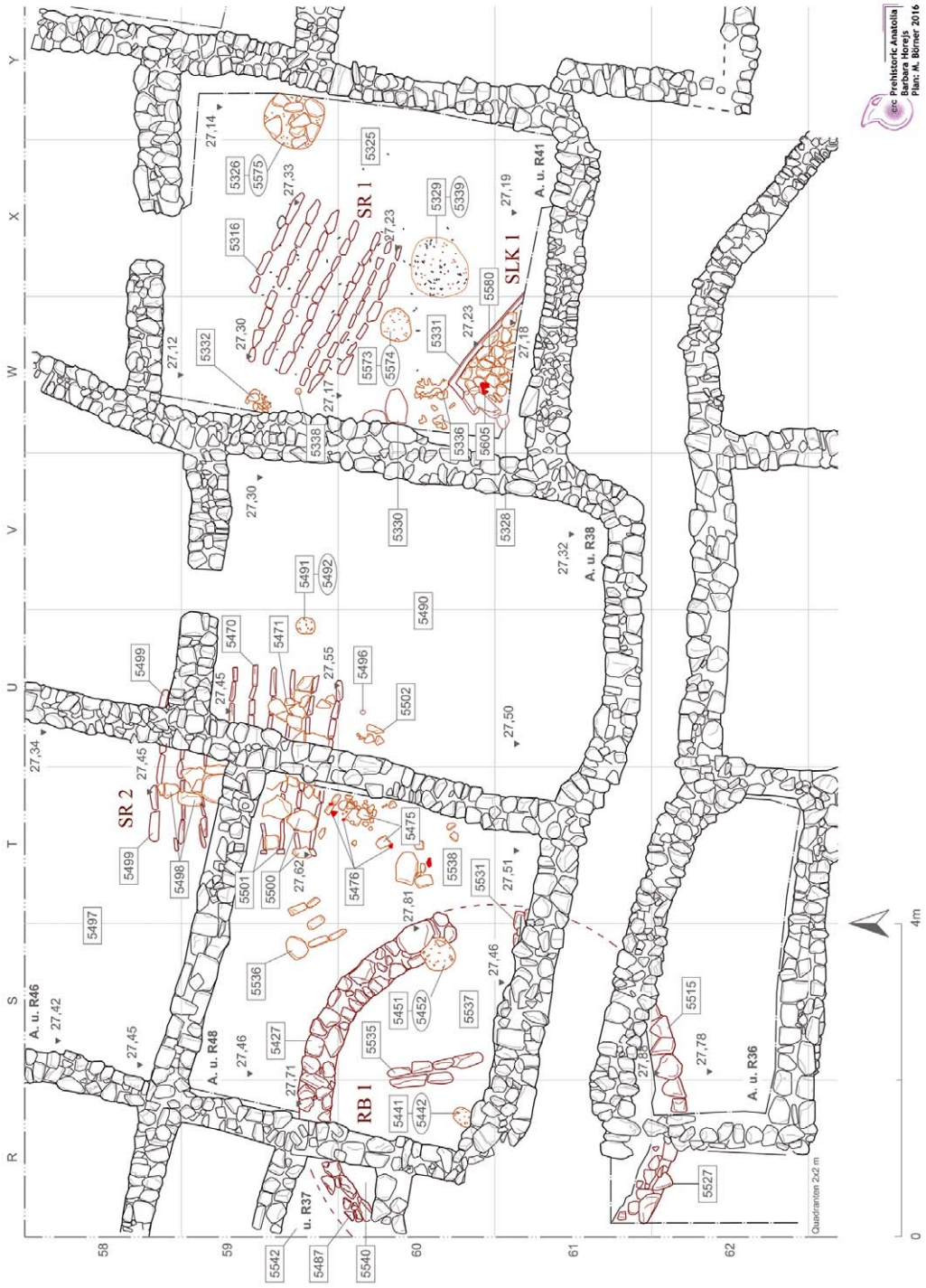


Abb. 45 Befunde der Subphase ÇuHö Vb im Schnitt M1. (Plan: M. Börner/ERC Prehistoric Anatolia)



Abb. 46 Die erhaltenen Strukturen der Rundbauten RB 1 und RB 2 (Blick Richtung Norden).
(Foto: Ch. Schwall/ERC Prehistoric Anatolia)



Abb. 47 Profilansicht der Radialmauern von den Rundbauten RB 1 und RB 2 (Blick Richtung Süden).
(Foto: Ch. Schwall/ERC Prehistoric Anatolia)

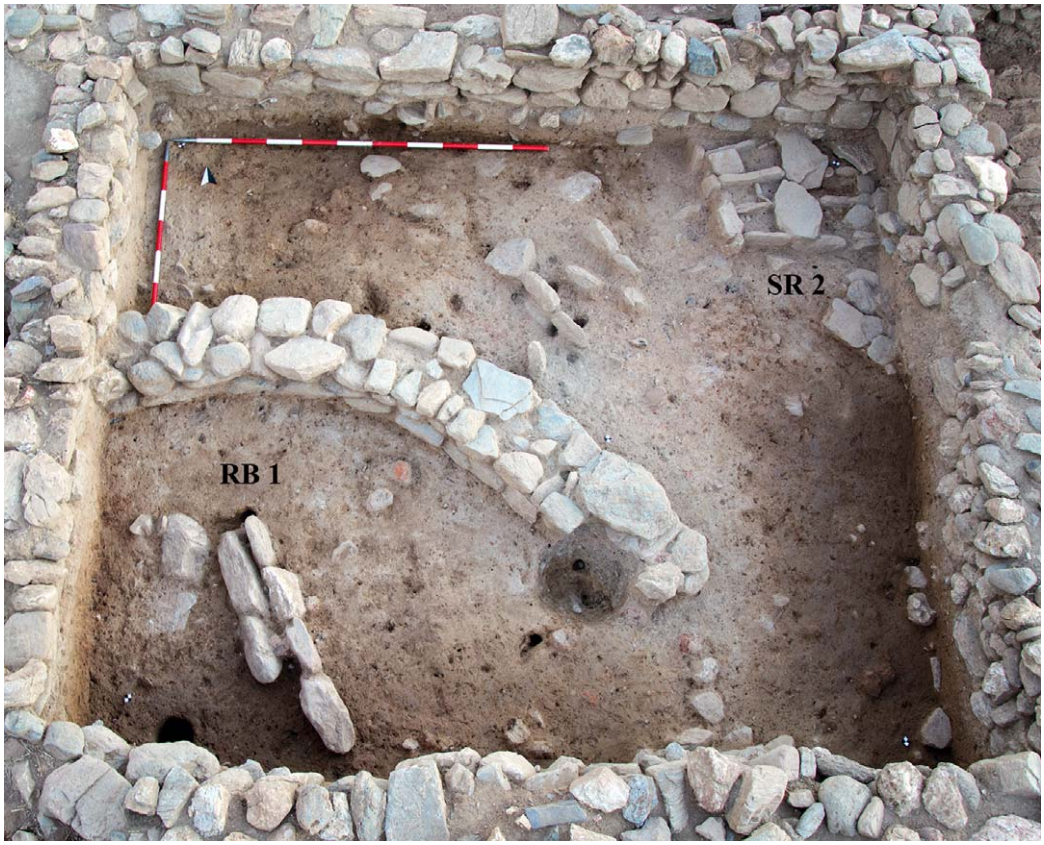


Abb. 48 Befunde der Subphase ÇuHö Vb im Areal unter Raum 48. (Foto: Ch. Schwall/ERC Prehistoric Anatolia)

als auch 46 nachweisen lassen, ist von einer Einplanierung in Richtung Norden auszugehen. Aus dieser Planierung ist auch der Fund eines Steingefäßes zu erwähnen (Taf. 65.55; 83.55), welches im östlichen Außenbereich des Baus zutage kam.[1433]

Im Inneren des Rundbaus RB 1 wurden Teile des zugehörigen Bodenniveaus in den Arealen unter Raum 37 und 48 erfasst (Abb. 48).[1434] Nach Osten hin lässt sich der Boden schlecht vom Laufniveau im Außenbereich des Rundbaus abgrenzen.[1435] Innerhalb des Rundbaus befindet sich eine lineare Steinstruktur aus zwei parallelen, freistehenden Steinreihen.[1436] Es scheint sich hierbei um eine Installation im Inneren zu handeln. Etwa mittig im Rundbau wurde ein Pfostenloch festgestellt.[1437] Hierbei kann vermutlich von einem Stützpfosten für die Dachkonstruktion ausgegangen werden. Unklar muss bleiben, ob es sich dabei um ein Flach- oder Spitzdach handelt.[1438] Kontemporäre Befunde von großformatigeren Rundbauten, die jedoch aufgrund von Installationen im Inneren als Wohnbauten zu interpretieren sind, finden sich auf Zypern.[1439] Für diese wird als Dachkonstruktion ein Flachdach angenommen.[1440] Eine (Pfosten-)grube[1441] findet

[1433] SE 5432.
[1434] SE 5537 (Areal unter Raum 48), 5540 (Areal unter Raum 37).
[1435] SE 5538.
[1436] SE 5535.
[1437] SE 5441 mit Interface (SE 5442).
[1438] Für Diskussionen zu dieser Problematik sei T. Bratschi gedankt.
[1439] Thomas 2005; Clarke 2007, 115; Peltenburg 2014, 255–257.
[1440] Thomas 2005, 119.
[1441] SE 5451 mit Interface (SE 5452).



Abb. 49 Gebrannte Lehmfragmente mit Holzabdrücken und zusätzlich aufgetragener Lehmverkleidung (plane Seite). (Foto: Ch. Schwall/ERC Prehistoric Anatolia)

sich unmittelbar nördlich des Eingangsbereichs im Osten und wurde teilweise auf der Innenseite in die Mauer SE 5427 hinein gebaut. Diese kann vermutlich im Zusammenhang mit einer Tür im Eingangsbereich gesehen werden. Beim Rundbau RB 1 scheint es sich aufgrund der Befunde im Inneren als auch aufgrund der Größe nicht um einen Wohnbau zu handeln. Kontemporäre Vergleiche (s. u. IV.2.3.) wie auch die weiteren Installationen im Umfeld dieses Baus legen eine Interpretation als Speicherbau nahe.

Im Zusammenhang mit dem Rundbau RB 1 und den weiteren Strukturen der Subphase ÇuHö Vb ist der hohe Anteil an Bruchstücken von gebranntem Lehm mit Holzabdrücken von Interesse, die sich innerhalb der Planierschichten[1442] ÇuHö Va/Vb und IV/Vb im Umfeld des Rundbaus RB 1, aber auch oberhalb der restlichen Befunde dieser Subphase fanden.[1443] Die Durchmesser der Holzabdrücke variieren und besitzen vorwiegend eine Größe zwischen 3–8 cm. Zusammen mit den zahlreichen Holzfragmenten belegen diese eine Präsenz von Lehm-Flechtwerk-Architektur, die wohl als Aufbau der Steinsockel zu rekonstruieren ist. Anhand einiger Fragmente lässt sich die Konstruktionsweise in Form von vertikal gesetzten Hölzern mit Lehm in den Zwischenräumen der Hölzer erkennen. Zur Verkleidung wurde darüber nochmals eine Schicht aus Lehm aufgetragen (Abb. 49). Analysen der Holzkohlefragmente durch Eichhorn haben ergeben, dass sich Hölzer von Nadelbäumen, Zürgelbäumen, Ölbäumen/Oleaster, Erdbeerbäumen, Eschen und Eichen in den Schichten der Subphase ÇuHö Vb finden.[1444] Prinzipiell ist daher eine Verwendung dieser Holzarten für den Bau von Lehm-Flechtwerk-Konstruktionen wahrscheinlich.

Im Außenbereich[1445] des Rundbaus RB 1 kamen im nordöstlichen Bereich zwei Strukturen zum Vorschein. Neben einer kleinformatigen Stein(reihen)struktur[1446] bestehend aus 3 × 1 × 2 vertikal gesetzten Steinen mit einer Deckplatte wurden im Nordosteck des Areals vier Steinreihen mit Deckplatten einer Steinreihenstruktur (SR 2) freigelegt (Abb. 50). Bei dieser Steinreihenstruktur handelt es sich um eine 2,4 × 2,4 m große und 15 cm hohe Struktur, die in den Arealen unter Raum 38, 46 und 48 auf dem äußeren Laufniveau[1447] erfasst wurde. Im Areal unter Raum 47 ist lediglich ein vertikal gesetzter Stein der Konstruktion ersichtlich, der im Profil unterhalb der

[1442] SE 5450, 5454, 5467, 5477, 5489, 5524, 5533–34.
[1443] SE 5302=5576.
[1444] Freundliche Mitteilung B. Eichhorn (Februar 2016).
[1445] SE 5338, 5542.
[1446] SE 5536.
[1447] SE 5490 (Areal unter Raum 38), 5497 (Areal unter Raum 46), 5538 (Areal unter Raum 48).



Abb. 50 Steinreihenstruktur SR 2 unterhalb der frühbronzezeitlichen Mauern.
(Foto: M. Börner/ERC Prehistoric Anatolia)

frühbronzezeitlichen Mauer steckt und zu der nördlichsten Steinreihe im Areal unter Raum 46 gehört. Die Reste der Steinreihenstruktur SR 2 wurden in diesem Bereich im Zuge des Baus der Siedlungsphase ÇuHö IV entfernt. Insgesamt besteht die Konstruktion aus neun Steinreihen,[1448] auf denen flache Steinplatten[1449] aufliegen. Ein solcher Aufbau lässt sich mit der Steinreihenstruktur SR 5 der Subphase ÇuHö VIb aus dem Schnitt N7 vergleichen (vgl. IV.1.1.1.; SR 5). Unmittelbar südlich der Steinreihenstruktur lag ein Klopfstein[1450] (Abb. 51; Taf. 63.53; 83.53), der neben den Befunden im Umfeld der Steinreihenstrukturen SR 5 als auch SR 1 (s. u.) einen Hinweis auf Nahrungsaufbereitung in unmittelbarer Nähe dieser Installationen andeutet. Östlich der Steinreihenstruktur SR 2 tieft ein Pfostenloch[1451] in den erfassten Laufhorizont[1452] im Areal unter Raum 38 ein. Ob das Pfostenloch im Zusammenhang mit der Steinreihenstruktur SR 2 gesehen werden kann, muss aufgrund seiner isoliert wirkenden Platzierung im ergrabenen Areal unklar bleiben.

Wie bei dem Siedlungsausschnitt aus der Subphase ÇuHö VIb kann auch bei der Subphase ÇuHö Vb von einer Zerstörung durch Feuer ausgegangen werden. Darauf deuten die zahlreichen Reste verbrannten Lehms und verbannter Organik auf den Nutzungshorizonten und in den darüber befindlichen Planierschichten hin. Insbesondere im südlichen Bereich der Steinreihenstruktur SR 2 finden sich verschobene Steinplatten dieser Struktur zusammen mit einer

[1448] SE 5470 (Areal unter Raum 38), 5499 (Areal unter Raum 46), 5501 (Areal unter Raum 48).
[1449] SE 5471 (Areal unter Raum 38), 5498 (Areal unter Raum 46), 5500 (Areal unter Raum 48).
[1450] SE 5496.
[1451] SE 5491 mit Interface (SE 5492).
[1452] SE 5490.



Abb. 51 Klopfstein (Taf. 63.53) und partiell sichtbare zoomorphe Figurine (Taf. 64.54) südlich der Steinreihenstruktur SR 2 im Areal unter Raum 38. (Foto: Ch. Schwall/ERC Prehistoric Anatolia)



Abb. 52 Gefäßreste mit Weißbemalung (Taf. 31.874) südlich der Steinreihenstruktur SR 2 im Areal unter Raum 48. (Foto: Ch. Schwall /ERC Prehistoric Anatolia)

großen Anzahl an gebrannten Lehmfragmenten sowie verbrannten organischen Resten.[1453] Unter den verschobenen Platten kamen zahlreiche Keramikfragmente, die teilweise im Verbund lagen, zutage (Abb. 52; Taf. 31.874).[1454] Zu den organischen Resten aus diesem Bereich zählen hier, neben Fragmenten von Hölzern, vor allem verkohlte Traubenkerne und Feigen. Das gleiche Bild findet sich auch unmittelbar östlich der trennenden Frühbronzezeitmauer im Areal unter Raum 38. Neben flachen Steinen ist eine Konzentration aus verbrannten Lehmfragmenten und verbrannter Organik zu nennen.[1455] Bemerkenswerterweise kam zwischen diesen Fragmenten eine zoomorphe Figurine (Taf. 64.54; 84.54; vgl. Abb. 51: partiell sichtbarer Steinkern etwa 20 cm westlich des Nordpfeils) zum Vorschein. Weitere Kleinfunde, repräsentiert durch Knochengeräte (Taf. 48–51; 83.49), wurden vom Laufhorizont SE 5490 in diesem Areal geborgen. Radiokarbondatierungen aus diesem Nutzungshorizont, dem Kontext der zoomorphen Figurine als auch der abdeckenden Planierschicht in diesem Bereich, belegen eine Datierung zwischen 3300 und 3000 v. Chr. (vgl. IV.1.4.; Tab. 1).[1456]

Weiter östlich findet sich eine weitere Aktivitätszone im Areal unter Raum 41, welche ebenso der Subphase ÇuHö Vb angehört und mit einer Planierung (ÇuHö IV/Vb) bedeckt war, die eine Vielzahl organischer Reste und gebrannter Lehmbrocken enthielt.[1457] Innerhalb dieser Planierung ist der Fund einer anthropomorphen Figurine aus Ton (Taf. 67.59; 85.59) hervorzuheben. Datierungen eines Traubenkerns und einer Feige (Abb. 53) aus dieser Schicht weisen in die letzten drei Jahrhunderte des 4. Jts. v. Chr. (vgl. IV.1.4.; Tab. 1).[1458]

Zu den erfassten Strukturen in diesem Areal zählt weiterhin die Steinreihenstruktur SR 1, mehrere Gruben sowie die Stein-Lehm-Konstruktion SLK 1 (Abb. 45, 54, 57), die sich auf einem gemeinsamen Laufniveau[1459] befinden. Aufgrund zweier Anpassungen eines Bodenfragmentes (Taf. 30.842), die sowohl auf dem Laufniveau (SE 5325) als auch auf dem Nutzungshorizont (SE 5490) des benachbarten Areals unter Raum 38 gefunden wurden, ist eine stratigraphische/zeitliche Verbindung anhand dieser Funde ersichtlich. Die Nordost-Südwest ausgerichtete Steinreihenstruktur SR 1 besteht aus sieben Steinreihen mit einer Länge von 1,6 m und einer Breite von 2,2 m.[1460] Flach aufliegende Steinplatten wurden anders als bei der SR 2 nicht angetroffen. Es scheint möglich, dass Steinreihenstrukturen neben Steinplatten eine hölzerne Plattform oder eine andersartige organische Auflage oberhalb der Steinreihen besaßen. Wie bei den anderen Strukturen



Abb. 53 Radiokarbondatierte verkohlte Feige aus der Planierung ÇuHö IV/Vb im Areal unter Raum 41. (Foto: Ch. Schwall/ERC Prehistoric Anatolia)

[1453] SE 5475.
[1454] SE 5476.
[1455] SE 5502.
[1456] Lab.-Nr. MAMS-26307, MAMS-26310, MAMS-25029.
[1457] SE 5302.
[1458] Lab.-Nr. MAMS-20360, MAMS-20361.
[1459] SE 5325.
[1460] SE 5316.

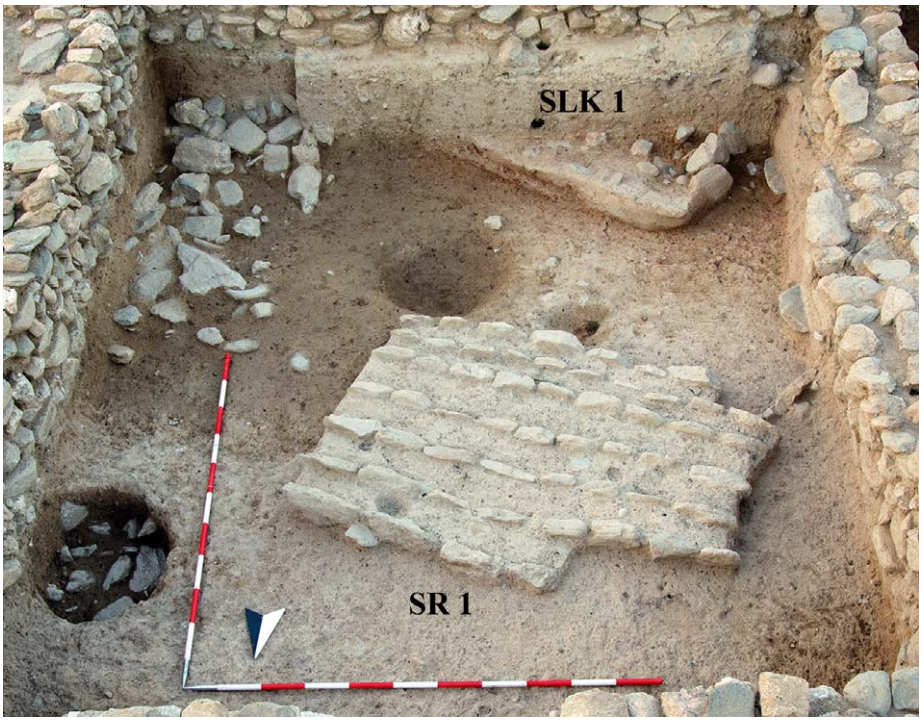


Abb. 54 Befunde der Subphase ÇuHö Vb im Areal unter Raum 41.
(Foto: Ch. Schwall/ERC Prehistoric Anatolia)

konnten auch hier botanische Reste mit einem hohen Anteil an Feigen und Trauben (Abb. 55) zwischen den Steinreihen sowie im Umfeld der Steinreihenstruktur SR 1 angetroffen werden.[1461]

Unmittelbar südlich an SR 1 angrenzend wurden eine größere[1462] und eine kleinere, in etwa runde[1463] Grube erfasst. In der Verfüllung dieser Gruben fanden sich wiederum zahlreiche botanische Reste sowie verbrannte Lehmbruchstücke mit Holzabdrücken. Insbesondere der hohe Anteil an Feigen und Hülsenfrüchten aus der Grube SE 5329 ist auffällig.[1464] Aufgrund der vielen gebrannten Lehmbruchstücke scheint es möglich, dass die Verfüllung der Grube erst im Zuge der Zerstörung dieses Areal erfolgte. Ob es sich bei den Gruben um Vorratsgruben handelt, ist aufgrund der geringen Tiefe fraglich. Wahrscheinlich besaßen sie eine gewisse Funktion im Zusammenhang mit der Steinreihenstruktur SR 1 und der Stein-Lehm-Konstruktion SLK 1. Radiokarbondatierungen vom Laufniveau SE 5325 als auch aus der Grube SE 5329 decken etwa eine Zeitspanne zwischen 3300 und 2900 v. Chr. ab (vgl. IV.1.4.; Taf. 1).[1465] Eine weitere Grube unklarer Funktion, die mit Steinen verfüllt war, fand sich im nordöstlichen Grenzbereich des Areals unter Raum 41.[1466] Aus dieser Stammen eine komplett erhaltene Ahle aus Arsenkupfer (Taf. 91.9) sowie eine Steinscheibe (Taf. 62.46). Weitere Funde sind vom Nutzungshorizont dieses Areals zu erwähnen. Neben Knochenahlen (Taf. 62.43–45; 82.43) wurden drei Steingeräte in nächster Nähe westlich der Steinreihenstruktur gefunden (Abb. 56). Dabei handelt es sich um einen Klopfstein

[1461] Insgesamt wurden 106 Feigen (ganze Früchte und Fragmente) und 742 Traubenkerne vom Laufniveau SE 5325 geborgen (freundlicher Hinweis U. Thanheiser; März 2016).
[1462] SE 5329 mit Interface (SE 5339).
[1463] SE 5573 mit Interface (SE 5574).
[1464] Aus dieser Grube stammen insgesamt 138 Feigen (ganze Früchte und Fragmente), somit mehr als vom gesamten Laufniveau SE 5325, und 144 Hülsenfrüchte (freundlicher Hinweis U. Thanheiser; März 2016).
[1465] Lab.-Nr. MAMS-26309, MAMS-26316.
[1466] SE 5326 mit Interface (SE 5575).



Abb. 55 Verkohlte Traubenkerne vom Laufniveau SE 5325 der Subphase ÇuHö Vb im Areal unter Raum 41. (Foto: Ch. Schwall/ERC Prehistoric Anatolia)

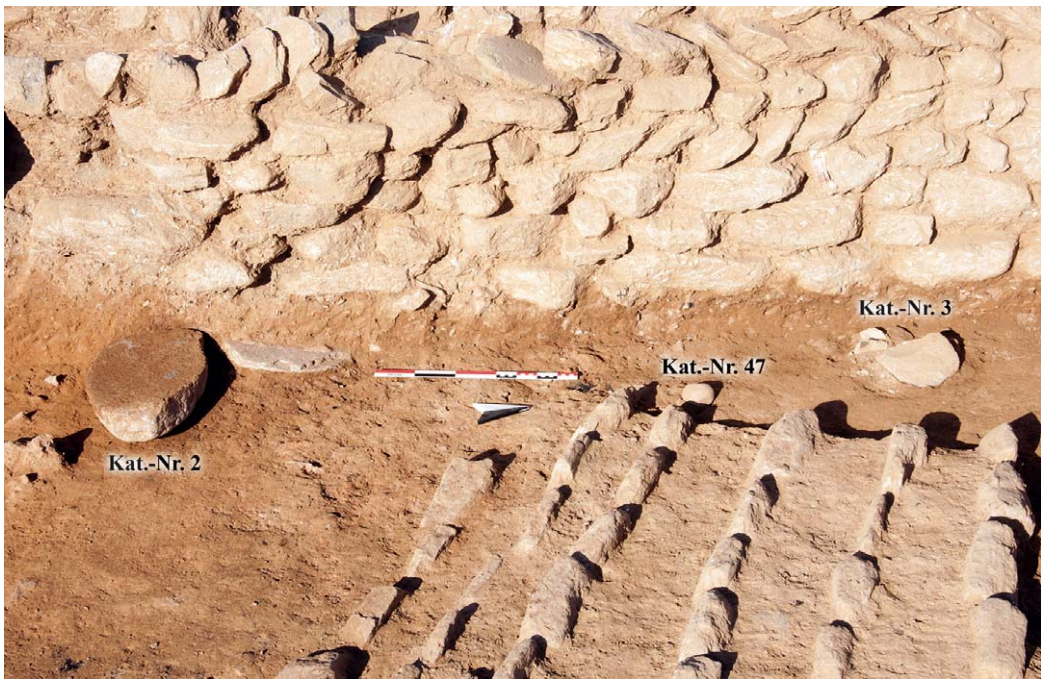


Abb. 56 Steingeräte (Reibstein, Taf. 95.2; Mörser, Taf. 96.3; Klopfstein, Taf. 82.47) westlich der Steinreihenstruktur SR 1. (Foto: Ch. Schwall/ERC Prehistoric Anatolia)



Abb. 57 Seitenansicht der Stein-Lehm-Konstruktion SLK 1 im südlichen Bereich des Areals unter Raum 41 (Blick Richtung Süden). (Foto: Ch. Schwall/ERC Prehistoric Anatolia)



Abb. 58 Steinerne Bodenpflasterung der Stein-Lehm-Konstruktion SLK 1 mit darauf liegenden Keramikfragmenten (vgl. Taf. 35.980). (Foto: Ch. Schwall/ERC Prehistoric Anatolia)

(Taf. 63.47; 82.47),[1467] den Unterlieger eines Reibsteins (Taf. 95.2) sowie um einen zerbrochenen Mörser (Taf. 95.3). Ein weiterer Klopfstein (Taf. 61.42; 82.42) wurde ebenfalls auf dem Nutzungsniveau 5325 geborgen. Der Reibstein wurde neben einem weiteren größeren Stein, der im Westprofil des Areals steckt, gefunden.[1468] Das Möserfragment gehört zu einer kleinformatigen Steinansammlung.[1469] Die Steingeräte im Umfeld der Steinreihenstruktur SR 1 belegen neben den

[1467] SE 5338.
[1468] SE 5330.
[1469] SE 5332.

Befunden mit Steingeräten im Kontext der SR 2 (s. o.) und der SR 5 im Schnitt N7 (vgl. IV.1.1.1.) eindrücklich, dass eine Nahrungsaufbereitung in direkter Nachbarschaft zu den Steinreihenstrukturen stattgefunden hat. Es ist anzunehmen, dass das gesamte Areal auch für Lagerungszwecke verwendet wurde. Dies unterstützt neben dem Rundbau RB 1 auch eine Stein-Lehm-Konstruktion (SLK 1), die unweit südlich von SR 1 partiell erfasst wurde.[1470]

Hierbei handelt es sich um eine Nordost-Südwest ausgerichtete, rechteckige Struktur, die in Kompositbauweise gefertigt wurde und ein abgerundetes Eck bildet (Abb. 57). Der Nordost-Südwest verlaufende Abschnitt (ca. 1 m) dieser Struktur wurde aus hochkant aneinander gesetzten Steinen gebaut.[1471] Drei Steine sind sichtbar und verlaufen in das Südprofil des Areals unter Raum 41. Der restliche Nordost-Südwest (ca. 0,3 m) und Nordwest-Südost (ca. 1,75 m) verlaufende Teil dieser Struktur wurde aus Lehm gefertigt, der in mehreren Lagen aufgetragen wurde.[1472] An dem vordersten Stein der Struktur SE 5328 setzt die Lehmstruktur an und wurde im seitlichen Bereich zum Stein hin verstrichen. Insgesamt hat sich diese Kompositstruktur in einer Höhe von 25 cm erhalten. Eine Ansammlung von gebranntem Lehm nordöstlich dieser Struktur scheint von dieser verstürzt zu sein.[1473] Eine Lehm-Flechtwerk-Konstruktion wurde an keinem Abschnitt dieser Struktur nachgewiesen. Daher scheinen die Lehmfragmente aus den Gruben zwischen der SR 1 und der Stein-Lehm-Konstruktion SLK 1 wohl von einem anderen Bau zu stammen, der im diesem Bereich nicht erfasst wurde. Innerhalb der SLK 1 wurde nach der Entnahme der Verfüllung,[1474] die im Zusammenhang mit der Planierung ÇuHö IV/Vb zu sehen ist, eine flächige Steinpflasterung[1475] im Bodenbereich freigelegt (Abb. 58). Auf dem befestigten Bodenbereich, welcher wohl als Schutz vor Feuchtigkeit fungierte, fanden sich mehrere Keramikscherben;[1476] unter diesen auch ein großformatiges Fragment einer Schale (Taf. 35.980). Gemeinsam mit dem Rundbau RB 1 und den Steinreihenstrukturen SR 1–2 weist so auch der Befund der Stein-Lehm-Konstruktion SLK 1 auf eine Installation hin, die in den Bereich der Vorratsspeicherung eingeordnet werden kann.

IV.1.2.4. Die Siedlung ÇuHö Va

Strukturen der Subphase ÇuHö Va haben sich aufgrund der frühbronzezeitlichen Bebauung der Phase ÇuHö IV lediglich im Westen der Fläche M1 erhalten. Oberhalb dieser Subphase befinden sich mehrere Schichten, die der Planierung ÇuHö IV/Va angehören.[1477] Darüber wurde unterhalb der frühbronzezeitlichen Architektur der Phase ÇuHö IV eine flächige Schicht, bestehend aus einem Lehm-Kiesel-Gemisch, ergraben (Abb. 59). Interessanterweise fanden sich Schichten mit einer derartigen Zusammensetzung unterhalb der gesamten in der Fläche M1 erfassten frühbronzezeitlichen Architektur der Phase ÇuHö IV und repräsentieren gleichzeitig den ältesten durchgehenden Nutzungshorizont dieser Siedlungsphase.[1478]

Neben den spärlichen Resten eines Rundbaus (RB 2), der nahezu kongruent über den älteren Rundbau RB 1 gebaut wurde (s. o. IV.1.2.3.), wurden südlich des Baus eine Steinreihenstruktur (SR 4) und eine Umfassungsmauer des Areals freigelegt (Abb. 60–61).

Mauerabschnitte des Rundbaus RB 2 wurden nur teilweise im Areal unter Raum 36 sowie unter der Freifläche erfasst, da sich diese unterhalb frühbronzezeitlicher Strukturen befinden.[1479] Der Bau besitzt einen äußeren Durchmesser von 4,4 m (Abb. 46, 60–61). Der innere Durchmesser

[1470] SE 5328, 5331.
[1471] SE 5328.
[1472] SE 5331.
[1473] SE 5336.
[1474] SE 5576.
[1475] SE 5580.
[1476] SE 5605.
[1477] SE 5017–20, 5058–59, 5356, 5409, 5433, 5435, 5486, 5506, 5518–19, 5521, 5523.
[1478] Grasböck et al. in Vorbereitung.
[1479] SE 5516, 5528.



Abb. 59 Steinreihenstruktur SR 4 der Subphase ÇuHö Va mit darüber liegender Planierung und Schichten der Phase ÇuHö IV. (Foto: Ch. Schwall /ERC Prehistoric Anatolia)

kann aufgrund der bekannten Mauerbreite aus dem Südprofil des Areals unter Raum 48 (Abb. 47) auf 3,5 m rekonstruiert werden.[1480] Wie beim Rundbau RB 1 legt auch eine Steinkonzentration[1481] innerhalb der Planierung ÇuHö IV/Va im Areal unter Raum 48 eine Einebnung des nördlichen Radialmauerabschnittes nach Norden hin nahe. Reste des zugehörigen Bodenniveaus im Inneren des Rundbaus konnten nur noch, schlecht erhalten, im Areal unter Raum 37 und 48 ergraben werden.[1482] Ein Pfostenloch im Inneren des Baus deutet, wie bereits beim Rundbau RB 1, auf einen Stützpfosten der Dachkonstruktion hin.[1483] Radiokarbondaten datieren das zugehörige Bodenniveau sowie die darüber liegende Planierung in die Zeit zwischen 3300 und 2900 v. Chr. (vgl. IV.1.4.; Tab. 1).[1484]

Das äußere, zum Rundbau RB 2 zugehörige Nutzungsniveau hat sich in den nördlicheren Arealen unter Raum 37 und 48, bedingt durch die bereits erwähnte frühbronzezeitliche Bebauung der Phase ÇuHö IV, nicht erhalten. Lediglich vier Pfostenlöcher tiefen hier in die Planierung[1485] ÇuHö Va/Vb ein (Abb. 60). Zwei der Pfostenlöcher[1486] befinden sich vor dem Eingangsbereich, der jedoch nur für den älteren Rundbau RB 1 nachgewiesen ist. Geht man aufgrund der nahezu kongruenten Platzierung des Rundbaus RB 2 von einer gewissen Bebauungskontinuität aus, so wäre eine äquivalente Position des Eingangsbereichs für den jüngeren Bau denkbar. Die beiden Pfostenlöcher könnten so eventuell als Stützpfosten einer Überdachung des Eingangsbereichs zu verstehen sein. Ob die beiden anderen Pfostenlöcher[1487] womöglich auch im Zusammenhang mit

[1480] SE 5532.
[1481] SE 5433.
[1482] SE 5434 (Areal unter Raum 48), 5488 (Areal unter Raum 37).
[1483] SE 5439 mit Interface (SE 5440).
[1484] Lab.-Nr. MAMS-25026, MAMS-26308.
[1485] SE 5477.
[1486] SE 5458 mit Interface (SE 5457), 5455 mit Interface (SE 5456).
[1487] SE 5437 mit Interface (SE 5438), 5428 mit Interface (SE 5429).

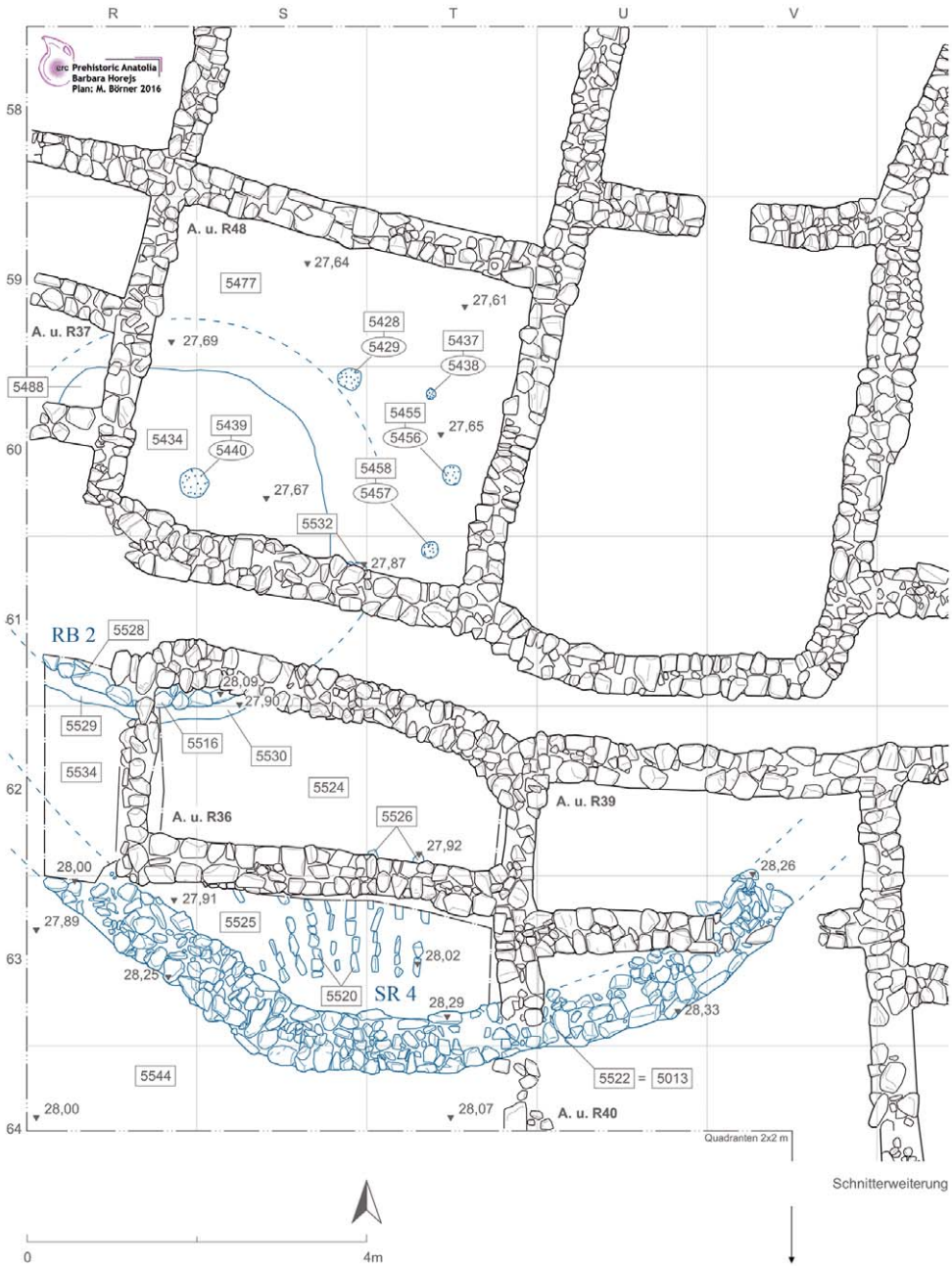


Abb. 60 Befunde der Subphase ÇuHö Va im Schnitt M1. (Plan: M. Börner/ERC Prehistoric Anatolia)

dem Rundbau RB 2 zu sehen sind, kann aufgrund der schlechten Erhaltung der Befunde in diesem Bereich nicht entschieden werden.

Im südlichen Bereich des Rundbaus RB 2 wurde lediglich im Areal unter der Freifläche südlich des Raums 36 das zugehörige Nutzungsniveau in der Fläche erfasst.[1488] Im übrigen Bereich des Areals unter Raum 36 und westlich des Raums 36 wurden die Schichten im Rahmen der

[1488] SE 5525.



Abb. 61 Architektonische Befunde der Subphasen ÇuHö Vb–a im Südwesten der Fläche M1.
(Foto: M. Börner/ERC Prehistoric Anatolia)



Abb. 62 Steinreihenstruktur SR 4 mitsamt der Einfassungsmauer SE 5522 der Subphase ÇuHö Va.
(Foto: Ch. Schwall/ERC Prehistoric Anatolia)



Abb. 63 Einfassungsmauer 5522 im ausgegrabenen Areal der Subphase ÇuHö Va. (Foto: Ch. Schwall/ERC Prehistoric Anatolia)

Bebauung der Phase ÇuHö IV nahezu vollständig entfernt. Lediglich oberhalb der Radialmauer des Rundbaus RB 1 lässt sich der Nutzungshorizont stratigraphisch nachweisen.[1489] Unweit südlich des Rundbaus befindet sich eine Steinreihenstruktur (SR 4), die teilweise von einer Mauer der Phase ÇuHö IV bedeckt ist (Abb. 62).[1490] Anhand von zwei Steinen[1491] im Profil des Areals unter Raum 36 kann ein Verlauf nach Norden hin belegt werden. Zugleich wird das fehlende Nutzungsniveau hierdurch ersichtlich. Wie auch bei den anderen Steinreihenstrukturen fanden sich im Bereich der SR 4 zahlreiche Reste verbrannter Botanik. Radiokarbondaten verbrannter Feigen aus diesem Bereich weisen in die letzten drei Jahrhunderte des 4. Jts. v. Chr. (vgl. IV.1.4.; Tab. 1).[1492]

Interessanterweise werden sowohl der Rundbau RB 2 als auch die Steinreihenstruktur SR 4 von einer bis zu 0,85 m dicken, massiven Mauer[1493] eingefasst, die im Zuge der Anlage der jüngeren Siedlungsphase ÇuHö IV später wieder einplaniert wurde.[1494] Sie verläuft bogenförmig, kann auf einer Länge von 8,9 m nachgewiesen werden und ist etwa 25 cm hoch erhalten (Abb. 63).

[1489] SE 5529 (Areal unter Freifläche), 5530 (Areal unter Raum 36).
[1490] SE 5520.
[1491] SE 5526.
[1492] Lab.-Nr. MAMS-26312, MAMS-26315.
[1493] SE 5522=5013.
[1494] SE 5521 (einplanierte Steine der Mauer SE 5522).

Im Osten und Westen konnte die Mauer nicht weiter verfolgt werden, da sie in diesen Bereichen durch die jüngere frühbronzezeitliche Bebauung (Osten) und eine Pithosgrube (Westen) zerstört wurde. Dennoch ist aufgrund des bekannten Verlaufs eine Umfassung des Rundbaus RB 2 anzunehmen. Die Konstruktionsweise der Mauer mit großen, senkrecht gestellten Schalensteinen ist bislang nur von den Mauerabschnitten des Hauses RH 1 der Subphase ÇuHö VIa bekannt (s. o. IV.1.2.2.). Im äußeren Bereich der Mauer SE 5522 wurden keine unmittelbar angrenzenden Befunde nachgewiesen. Lediglich die horizontale Ausbreitung der Einplanierung weist hier auf das Nutzungsniveau[1495] hin.

Somit deuten die Befunde der Subphase ÇuHö Va auf eine ähnliche Bebauung wie in der älteren Siedlung der Subphase ÇuHö Vb hin. Ein Unterschied lässt sich anhand der massiven Mauer ausmachen, welche den Ausschnitt der Siedlung umfasst. Ebenso weisen die Befunde der Subphase ÇuHö Va als auch die darüber liegenden Planierschichten zahlreiche verbrannte Lehmfragmente und Botanikreste auf. Es kann auch hier von einer Zerstörung dieses Bereichs der Siedlung ÇuHö Va durch Feuer ausgegangen werden.

IV.1.3. Zusammenfassende Betrachtung der Siedlungen ÇuHö VII–V

Im Hinblick auf die Phasen ÇuHö VII–V bleibt festzuhalten, dass lediglich Ausschnitte der einzelnen Siedlungen bekannt sind. Trotzdem lassen sich anhand der ergrabenen Befunde Aussagen im Hinblick auf die Siedlungsstruktur ableiten. Weiterhin erlauben die detaillierten Ausgrabungen inklusive Sieben und Schlemmen der Sedimente einen tiefen Einblick in die Funktion und Nutzung der einzelnen Bereiche.

IV.1.3.1. Die innere Siedlungsstruktur

Anhand der ausgegrabenen Befunde der Phasen ÇuHö VI–V ist grundsätzlich davon auszugehen, dass es sich um eine Siedlung mit freistehenden Bauten handelt. Dies deuten auch die Ergebnisse der geophysikalischen Prospektion an (vgl. Abb. 18). Aus beiden Subphasen der Phase ÇuHö VI wurde freistehende Architektur mit benachbarten Installationen in Form von Steinreihenstrukturen (SR 3, 5) erfasst. Bei den Mauerzügen aus der Subphase ÇuHö VIa ist davon auszugehen, dass diese Bestandteile eines schlecht erhaltenen (Wohn-)hauses (RH 1) darstellen. Ebenfalls freistehende Bauten sind aus beiden Subphasen der Phase ÇuHö V bekannt. Aus der älteren Siedlung ist ein Rundbau (RB 1) sowie mehrere Installationen in Form von Steinreihenstrukturen (SR 1–2) und einer Stein-Lehm-Konstruktion (SLK 1) zu erwähnen. Vergleiche für Rundbauten dieser Art sind aus mehreren zeitgleichen Siedlungen (z. B. Bakla Tepe, Myrina und Poliochni) bekannt und werden dort als Speicherbauten angesehen (s. u. IV.2.3.).[1496] Ein Fehlen von weiteren klaren Parametern,[1497] vor allem Öfen und Herdstellen, eines Wohnhauses im Schachner'schen Sinne spricht für eine Interpretation als Vorratsbau. Bei dem ausgegrabenen Bereich der Siedlung ÇuHö Vb scheint es sich um ein besonderes Areal innerhalb der Siedlung zu handeln, in dem die Haltbarmachung und Lagerung von Nahrungsmitteln aber auch die Nahrungsaufbereitung im Fokus stand. Dass aber auch Nahrungskonsum auf öffentlichen Plätzen, wie von P. Halstead vorgeschlagen, in diesem Bereich der Siedlung stattgefunden hat, deutet die hohe Anzahl der Funde von Schalen und Kannen an (vgl. IV.4.5.).[1498] Eine äquivalente Nutzung des Areals kann aufgrund eines Rundbaus (RB 2) und einer Steinreihenstruktur (SR 4) auch in der Siedlung ÇuHö Va angenommen werden. Die bereits ersichtliche, besondere Nutzung des Areals innerhalb der Siedlung wird nochmals unterstrichen durch die Eingrenzung dieses Bereichs durch eine große Mauer. Ob

[1495] SE 5544.
[1496] Kouka 2014b, 46, Abb. 2; Şahoğlu – Tuncel 2014, 68–70, Abb. 6; Horejs – Schwall 2015, 463–464, Abb. 7.
[1497] Schachner 1999b, 6.
[1498] Halstead 1995, 16–17.

diese Einfassung zum Schutz der gelagerten Nahrungsmittel vor Tieren diente oder einen Zugang nur bestimmten Personen erlaubte, muss offen bleiben. Auf jeden Fall weist die Umfassungsmauer eines Bereichs innerhalb der Siedlung ÇuHö Va auf eine räumliche Strukturierung des Siedlungsareals am Beginn der Frühbronzezeit hin. Das Dörren und die Lagerung von Lebensmitteln fanden in einem Areal der Siedlung statt, für das möglicherweise in der Subphase ÇuHö Va eine gemeinschaftliche Lagerung von Nahrungsmitteln angenommen werden kann. Eine derartige Funktion des Bereichs scheint bereits ab der spätchalkolithischen Subphase ÇuHö Vb nachweisbar. Die Nutztierhaltung innerhalb der Siedlung ist daher eher unwahrscheinlich und ist, wie in Schachners Modell vorgeschlagen, neben weiteren agrarwirtschaftlichen Tätigkeiten im Umfeld der Siedlung anzunehmen.[1499] Eine räumlich strukturierte Organisation der Siedlung wird neben der Tierhaltung auch anhand der Keramikproduktion deutlich. Belege hierfür konnten im ergrabenen Areal der frühbronzezeitlichen Siedlung nicht erfasst werden, wodurch diese in einem anderen Bereich der Siedlung stattgefunden haben muss.[1500]

Beim Vergleich der hinreichend großflächig ergrabenen Siedlungen des späten 4. Jts. v. Chr. fällt auf, dass generell von Siedlungen mit freistehenden Gebäuden auszugehen ist, wie diese beispielsweise neben dem Çukuriçi Höyük von Bakla Tepe V[1501] und Kuruçay Höyük 6[1502] bekannt sind. Zwar suggerieren die Pläne der Siedlung von Kuruçay Höyük 6 eine agglutinierende Bauweise, jedoch hat B. Düring in seiner Diskussion des Fundplatzes herausstellen können, dass diese Siedlung mehrere Subphasen besitzt und hier freistehende, nebeneinander angeordnete Bauten anzunehmen sind.[1503] Anhand dieser Anordnung wird jedenfalls ein in sich geschlossener Charakter der Siedlung deutlich.[1504] Eine abweichende Bauweise entlang einer Außenmauer wird nur für die Siedlung von Küllüoba (5–3, „Transitional Period“) erwähnt.[1505] Laut Efe lässt sich hier schon das von Korfmann definierte *Anatolische Siedlungsschema*[1506] erkennen, welches in der Frühbronzezeit 1 gängig wird.[1507] Ob bereits in der Phase Küllüoba 6 ein Zusammenwachsen einzelner Bauten und letztlich das Hinzufügen einer Außenmauer angenommen werden kann, muss aufgrund der kleinräumig erfassten Strukturen in der Siedlung offen bleiben.[1508]

Interessanterweise können für die Phase ÇuHö IV mehrere Bauphasen angenommen werden, aus denen sich eine klare Entwicklung von freistehenden Bauten hin zu einer agglutinierenden Bauweise abzeichnet.[1509] Dies unterstreicht eine generelle Veränderung der Siedlungsstruktur von freistehenden Bauten hin zu einer agglutinierenden Bauweise wie sie in der Frühbronzezeit 1 neben dem radialen *Anatolischen Siedlungsschema*[1510] letztlich besonders entlang der Küstenzone Westanatoliens und in der Ostägäis gängig wird.

[1499] Vgl. hierzu Schachner 1999b, 20–21, Abb. 4.

[1500] Es ist zu vermuten, dass die Keramikproduktion neben versorgungstechnischen Gründen, nicht zuletzt wegen der Brandgefahr, im Randbereich oder gar außerhalb der Siedlungen stattgefunden hat, wie dies auch für die Bronzezeit in der Ägäis angenommen wird (Dickinson 2008, 95).

[1501] Şahoğlu – Tuncel 2014, 68.

[1502] Duru 1996, Taf. 32, 34; Duru 2008, 123–127, Abb. 231–232.

[1503] Düring 2011a, 228. – Belege für eine agglutinierende Bauweise in chalkolithischer Zeit stammen aus der mittelchalkolithischen Siedlung von Gülpınar (vgl. zusammenfassend Takaoğlu – Özdemir 2013, 17–19, Abb. 2–3).

[1504] Schachner 1999b, 59–60; Horejs – Schwall 2015, 465.

[1505] Fidan 2012, 7–9, Abb. 7; Fidan 2014, 18, 24, Abb. 1–2; Fidan et al. 2015, 64–65. – Die „Transitional Period“ bei E. Fidan ist aufgrund des angegebenen Zeitraums (Fidan 2012, 6; Fidan 2014, 18; vgl. Fidan et al. 2015, 64) als auch der Funde (Efe – Ay 2000) noch zum Spätchalkolithikum zu zählen (vgl. III.4.1.5.5.).

[1506] Korfmann 1983, 222–241. – Zur Diskussion des Siedlungsschemas siehe Schachner 1999b, 131–132, Anm. 344; Kouka 2002, 153–154.

[1507] Efe 2003b, 268–269.

[1508] Efe – Ay 2000, 3–6; Efe – Ay-Efe 2001, 45–46; Efe 2002a, 316–317.

[1509] Grasböck et al. in Vorbereitung.

[1510] Zur Variation des *Anatolischen Siedlungsschemas* und zum Auftauchen dieses Typs bereits in neolithischer/chalkolithischer Zeit siehe Kouka 2002, 153–154.

IV.1.3.2 Die äußere Siedlungsstruktur

Bauten oder Installationen im Inneren der Siedlung ÇuHö VII konnten im Rahmen der Ausgrabungen auf dem Çukuriçi Höyük bislang nicht erfasst werden, da die Strukturen dieser Siedlung in nahezu allen Bereichen von den Kulturschichten der jüngeren Siedlungsphasen ÇuHö VI–III bedeckt waren. Lediglich im Bereich der Nordschnitte wurden Schichten dieser Siedlungsphase ergraben (vgl. IV.3.1.). Dennoch belegen die Ergebnisse der geophysikalischen Untersuchung (vgl. Abb. 18) die Präsenz von Bauten der Phase ÇuHö VII. Die Außengrenze der Siedlung ließ sich anhand des mächtigen Grabens nachweisen. Die steinerne Verfüllung mit gebrannten Lehmfragmenten und verkohlten botanischen Resten weist hier lediglich indirekt auf Bauten innerhalb der Siedlung hin (vgl. IV.1.1.3.). Eine genaue Funktion des Grabens als Siedlungsbegrenzung oder etwa als Befestigung muss daher offen bleiben. Ob die folgenden Siedlungen der Phasen ÇuHö VI–V ebenfalls eine Siedlungsbegrenzung (Graben, Mauer oder Wall) aufwiesen, kann anhand des derzeitigen Grabungsstandes nicht belegt werden. Aufgrund der massiven, rezenten Zerstörungsmaßnahmen ist es zudem fraglich, ob sich eine mögliche Siedlungsbegrenzung überhaupt noch nachweisen lässt. Ein derartig großer Graben mit einer Breite von ca. 6 m und einer Tiefe von 2,5 m spätchalkolithischer Zeitstellung ist jedenfalls singulär im Arbeitsgebiet. Eine weitere, deutlich kleinere Grabenanlage (Breite 2,6 m; erh. Tiefe 0,4 m) findet sich nur noch in Barcın Höyük.[1511] Weitere Siedlungseinfassungen in Form von Mauern, Palisaden oder Gräben sind bislang nur aus früheren neolithisch/frühchalkolithischen bis mittelchalkolithischen Kontexten im Arbeitsgebiet, insbesondere aus Türkisch-Thrakien (Aktopraklık, Aşağı Pınar und Hoca Çeşme) bekannt.[1512] In der Troas scheint ebenfalls die Siedlung Gülpınar von einer Mauer umgeben zu sein.[1513] Einfassungsmauern, die zwar keine Siedlung, sondern nur einen Quellbereich eingrenzen, sind auch von Emporio IX–VII/VI zu erwähnen und lassen sich von der mittel- bis in die spätchalkolithische Zeit verfolgen.[1514]

Generell kann ein vermehrtes Auftauchen von Einfassungen im späten 6. Jt. und am Beginn des 5. Jts. v. Chr. in Südosteuropa registriert werden.[1515] Siedlungseinfassungen lassen sich im 5. Jt. v. Chr. auch in den westlich und östlich gelegenen Gebieten des nördlichen Arbeitsgebietes finden, wie dies beispielsweise Befunde von Dikili Tash[1516] (Griechenland), Yunatsite[1517] oder Drama[1518] (beide Bulgarien) belegen. Ebenso wie bei den Siedlungen in Türkisch-Thrakien kann spätestens in der 2. Hälfte des 5. Jts. v. Chr. ein Siedlungsabbruch und damit einhergehend eine Veränderung der Siedlungstätigkeit in Bulgarien als auch in Nordostgriechenland verzeichnet werden.[1519]

Ob der Graben der Phasen ÇuHö VII eventuell bereits im Zusammenhang mit den auftauchenden Fortifikationen der Siedlungen zu Beginn der Frühbronzezeit 1 im Arbeitsgebiet zu sehen ist, sei dahingestellt.[1520] Es finden sich jedenfalls keine klaren Hinweise auf Fortifikationen oder Einfassungen in den kontemporären, großflächig ergrabenen Siedlungen Kurucay Höyük 6[1521] und Bakla Tepe V.[1522] Lediglich für Küllüoba 5–3 wird eine teils verstärkte Außenmauer der Siedlung mit an die Innenwand gebauten Häusern als Verteidigungsmauer angesprochen.[1523]

[1511] Gerritsen et al. 2010, 199, 217, Abb. 5B.
[1512] Karul 2006.
[1513] Takaoğlu – Özdemir 2013, 17–19; vgl. Vandam 2015, 289–290.
[1514] Hood 1981/1982, 92, Abb. 51; 94–111; vgl. Schoop 2005, 234, Abb. 6.3.
[1515] Aslanis 2015, 397–399. – Zu den eingefassten und befestigten Siedlungen im Raum Nordost-Bulgariens des 5. Jts. v. Chr. siehe Ivanova 2008, 136–147.
[1516] Darque et al. 2015, 411–413, Abb. 18–19.
[1517] Ivanova 2008, 334; Aslanis 2015, 395–397.
[1518] Ivanova 2008, 279; Gleser – Thomas 2012, 59–67, 325, 330.
[1519] Özdoğan 2014, 211, 213; Aslanis 2015, 401; Darque et al. 2015, 414.
[1520] Eine Zusammenstellung der Frühbronzezeit 1-zeitlichen Siedlungen mit Befestigung im Arbeitsgebiet findet sich in Horejs – Schwall im Druck. – Vgl. ebenso Ivanova 2008, 271–335.
[1521] Duru 1996, Taf. 32, 34; Duru 2008, 123, Abb. 231–232; Düring 2011a, 225, Abb. 6.8.
[1522] Erkanal – Özkan 1999b, 169, Abb. 2; Şahoğlu 2008a, 496, Abb. 3; Şahoğlu – Tuncel 2014, 67, Abb. 3.
[1523] Efe 2001d, 99–100; Efe 2003b, 268–269; Fidan 2012, 7–9, Abb. 7; Fidan 2014, 18, 24, Abb. 1–2; Fidan et al. 2015, 64–65.

Interessant erscheint in diesem Zusammenhang, dass alle ausgegrabenen Bereiche der Siedlungen ÇuHö VII–V durch Feuer zerstört wurden, wie dies zahlreiche Funde verbrannten Lehms als auch verkohlter Botanik andeuten. Dies steht im Kontrast zu den Befunden der neolithischen und frühbronzezeitlichen Siedlungsphasen, aus denen es kein Anzeichen für einen flächigen Brandhorizont gibt. Die Funde von sowohl komplett erhaltenen Gefäßen und funktionsfähigen Steingeräten aus den Subphase ÇuHö VIb und Vb als auch der hohe Anteil an verbrannten Nahrungsmitteln (vor allem Feigen, Trauben) deuten auf eine plötzliche Zerstörung der Areale innerhalb der Siedlungen hin. Offen bleiben muss jedoch die Frage, ob es sich um eine vollständige Zerstörung der Siedlungen oder nur einzelner Bereiche handelt. Experimental-archäologische und ethnoarchäologische Forschungen von Brandeinwirkungen auf Lehm-Flechtwerk-Architektur zeigen, dass durch den Brand einer Behausung in einer Siedlung mit freistehenden Bauten nicht automatisch größere Schäden entstehen.[1524] Ein Brandhorizont eines größeren Areals lässt hingegen auf ein intentionelles Verbrennen schließen.[1525] Insbesondere die Brandeinwirkung auf die Bebauung der großflächig freigelegten Subphase ÇuHö Vb auf etwa 96 m^2 deutet auf eine solche absichtliche Zerstörung hin. Ob dies eventuell einen rituellen Beweggrund hatte oder möglicherweise auf kriegerische Ereignisse zurückzuführen ist, ist nur schwer zu beantworten. Gegen eine geplante Verbrennung der Siedlung durch ihre Bewohner sprechen in situ-Befunde. Insbesondere die hohe Anzahl an Nahrungsmitteln, wie Trauben und Feigen, wären bei einer intentionellen Zerstörung sicherlich nicht zurückgeblieben.[1526] Einen weiteren Hinweis auf eine Zerstörung im Kontext gewalttätiger Ereignisse liefern Fragmente von Schleudergeschossen aus den Planierungen der Siedlung ÇuHö Vb/VIa (Taf. 59.34; 80.34) und ÇuHö Va/Vb (Taf. 66.57; 84.57), die sich des Öfteren im Kontext von Zerstörungshorizonten in Siedlungen finden.[1527] Unter diesem Blickwinkel würde der mächtige Graben der Siedlung ÇuHö VII neben einer Einfassung eher eine fortifikatorische Konnotation bekommen, zumal die Verfüllung des Grabens (ÇuHö VIb/VII) Siedlungsreste mit deutlicher Brandeinwirkung enthält. Die mächtige und vor allem relativ homogene steinerne Verfüllung (s. o. IV.1.1.3.), welche an zwei verschiedenen Abschnitten gleichermaßen erfasst wurde, deutet neben Architekturresten von Behausungen auch auf eine Befestigungsmauer im inneren Grabenbereich hin.[1528] Hierfür würde auch die eigentliche Funktion eines fortifikatorischen Grabenwerkes sprechen, wodurch Angreifer aufgehalten oder verlangsamt werden sollen, bevor sie die Siedlung erreichen.[1529] Ohne einen weiteren Schutz im Inneren würde alleine der Aufwand des Baus eines solch großformatigen Grabens nur bedingt Sinn ergeben. Auch wenn eine abschließende Beurteilung des Bauwerks nicht möglich ist, soll an dieser Stelle dennoch vermutet werden, dass es sich um einen fortifikatorischen Graben handelt.

IV.1.4. Absolute Datierungen der Phasen ÇuHö VII–V

Insgesamt wurden aus den Siedlungsphasen ÇuHö VII–V, die zwischen 2011 und 2014 ausgegraben wurden, 30 Proben mittels der Radiokarbonmethode datiert (Tab. 1). Alle Proben wurden im ^{14}C-Labor des Curt-Engelhorn-Zentrums für Archäometrie in Mannheim gemessen. Kalibriert wurden die Daten mit dem Programm OxCal v4.2.4[1530] unter der Verwendung der Kalibrationskurve INTCAL13.[1531]

[1524] Ivanova 2008, 106–109.
[1525] Ivanova 2008, 107.
[1526] Ivanova 2008, 108.
[1527] Korfmann 1972, 109, 137, 219, 228–229; Ivanova 2008, 60–63, 109. – Zum Einsatz der Schleudern als Waffe siehe jüngst Horejs 2015.
[1528] In diesem Punkt ist die Homogenität der Steinpackung auffallend und könnte hier für Reste einer nahe gelegenen Mauer sprechen. Wenn es sich um Siedlungsschutt aus dem inneren Siedlungsbereich handeln würde, der in den Graben geschoben wurde, wäre hier ein heterogener Charakter des Materials mit deutlich mehr Erdmaterial zu vermuten.
[1529] Ivanova 2008, 112.
[1530] https://c14.arch.ox.ac.uk/embed.php?File=oxcal.html (Ch. Bronk Ramsey).
[1531] Reimer et al. 2013.

Lab.-Nr. [MAMS]	Proben-Nr. [ÇuHö]	$\delta^{13}C$ [‰]	^{14}C-Alter [BP]	cal 1σ [BC]	cal 2σ [BC]	Material	(Sub) Phase
ÇuHö Va							
25026	14/5435/11/1	-22,6	4459 ± 25	3320–3030	3332–3024	*Fabaceae cult.*	**IV/Va**
26308	14/5434/11/1	-30,8	4429 ± 27	3263–2946	3322–2926	*Vitis vinifera*	**Va**
26312	14/5525/11/1	-26,7	4476 ± 29	3328–3096	3338–3029	*Ficus carica*	**Va**
26315	14/5525/11/2	-24,9	4507 ± 22	3338–3111	3346–3101	*Ficus carica*	**Va**
ÇuHö Vb							
20360	13/5302/11/1	-27,8	4502 ± 18	3335–3108	3340–3101	*Ficus carica*	**IV/Vb**
20361	13/5302/11/2	-33,2	4453 ± 17	3309–3029	3327–3025	*Vitis vinifera*	**IV/Vb**
25029	14/5467/11/1	-26,6	4493 ± 27	3332–3104	3342–3095	*Cerealia*	**IV/Vb**
26309	14/5325/11/1	-26,5	4445 ± 28	3312–3024	3331–2939	*Ficus carica*	**Vb**
26316	14/5329/11/1	-27,8	4478 ± 22	3326–3098	3337–3032	*Cerealia*	**Vb**
26310	14/5490/11/1	-26,1	4495 ± 30	3333–3104	3346–3094	*Ficus carica*	**Vb**
26307	14/5502/11/1	-26,2	4455 ± 28	3320–3028	3334–3020	*Fabaceae cult.*	**Vb**
ÇuHö VIa							
25028	14/5465/11/1	-20,2	4480 ± 25	3327–3098	3338–3032	*Fabaceae cult.*	**Vb/VIa**
25027	14/5445/11/1	-23,5	4450 ± 25	3313–3027	3331–3018	*Cerealia*	**VIa**
26313	14/5585/11/1	-26,0	4452 ± 22	3312–3028	3328–3023	*Vitis vinifera*	**VIa**
26306	14/5589/11/1	-25,7	4460 ± 27	3322–3030	3334–3023	*Cerealia*	**VIa**
26311	14/5590/11/1	-25,6	4469 ± 29	3327–3092	3337–3026	*Ficus carica*	**VIa**
ÇuHö VIb							
20772	11/1446/11/1	-34,5	4426 ± 21	3095–3023	3310–2928	*Fabaceae cult.*	**VIa/VIb**
20773	11/1447/11/1	-23,5	4439 ± 20	3262–3025	3326–2973	*Fabaceae cult.*	**VIa/VIb**
15271	11/1462/11/1	-28,8	4458 ± 28	3322–3029	3335–3021	*Fabaceae cult.*	**VIa/VIb**
20774	11/1451/11/1	-30,5	4468 ± 20	3323–3093	3332–3029	*Fabaceae cult.*	**VIb**
20775	11/1492/11/1	-22,3	4480 ± 21	3326–3099	3337–3040	*Fabaceae cult.*	**VIb**
20776	12/4504/12/1	-27,6	4441 ± 20	3262–3026	3326–3015	*Vitis vinifera*	**VIb**
ÇuHö VII							
15267	11/1206/11/1	-32,2	4366 ± 28	3011–2921	3086–2907	*Cerealia*	**VIb/VII**
20770	11/1309/11/1	-21,4	4432 ± 24	3261–3022	3323–2931	*Fabaceae cult.*	**VIb/VII**
20771	11/1343/12/2	-26,4	4388 ± 21	3077–2929	3089–2919	*Ficus carica*	**VIb/VII**
20777	12/4509/11/1	-24,7	4489 ± 21	3329–3103	3337–3096	*Fabaceae cult.*	**VIb/VII**
20362	12/4510/11/1	-33,5	4442 ± 17	3262–3027	3322–3019	*Hordeum vulgare*	**VIb/VII**
20778	12/4511/10/1	-24,0	4469 ± 21	3323–3094	3333–3030	*Fabaceae cult.*	**VIb/VII**
20769	11/1254/11/1	-28,7	4443 ± 21	3263–3025	3327–3016	*Vitis vinifera*	**VII**
20526	12/1735/11/1	-31,6	3534 ± 22	1916–1781	1937–1773	nicht bestimmt	**VII**

Tab. 1 Radiokarbondaten der Siedlungsphasen ÇuHö VII–V aus den Arealen M1 und N6–7 (n=30).

Bei den für die Datierung verwendeten botanischen Resten wurden ausschließlich kurzlebige Proben berücksichtigt (Tab. 1).[1532] Bereits anhand der Tabelle wird deutlich, dass die Werte der Radiokarbondaten sehr homogen sind. Diese decken einen maximalen Zeitraum von

[1532] Zur generellen Unterscheidung zwischen kurz- und langlebigen Daten: Renfrew – Bahn 2001, 143; Allen – Huebert 2014, 257, 260–261.

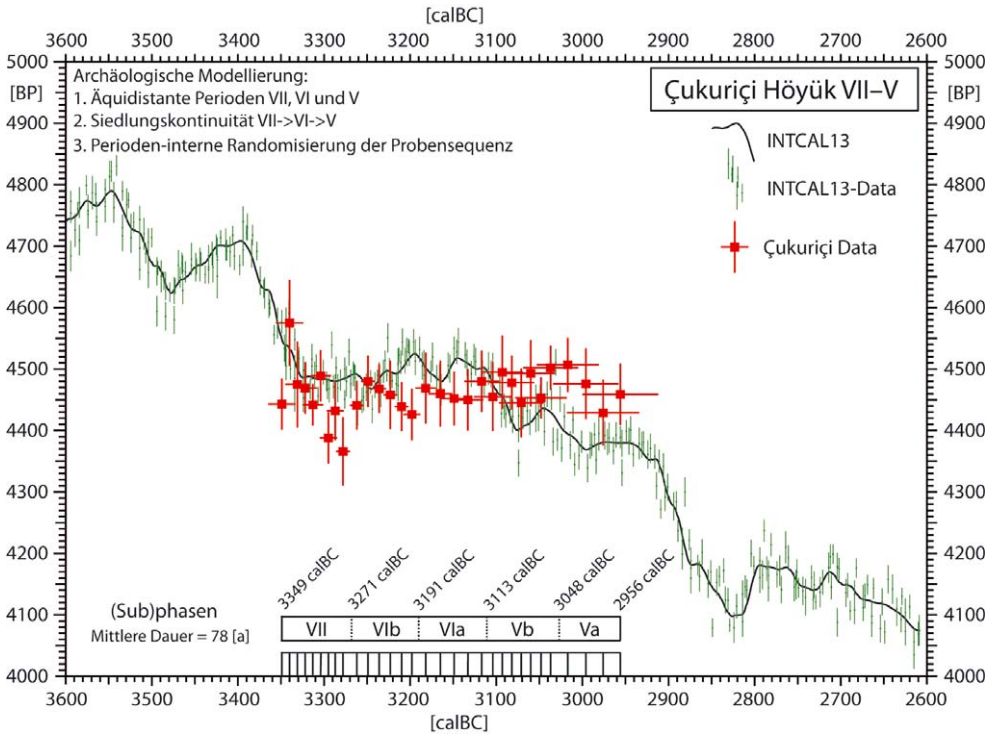


Abb. 64 GMCWM-Resultate für die Phasen ÇuHö VII–V (Datengrundlage: Tab. 2).
(Diagramm: B. Weninger/Universität Köln, ERC Prehistoric Anatolia)

3338–2921 v. Chr. (cal 1σ) beziehungsweise 3346–2907 v. Chr. (cal 2σ) ab. Lediglich eine Messwert (MAMS-20526) weicht mit einer Datierung an den Beginn des 2. Jts. v. Chr. stark von der Messreihe ab und kann hier als Ausreißer angesehen werden. Die Probe scheint wohl aus jüngeren Schichten nach unten verlagert worden zu sein (z. B. durch Bioturbation). Da es keinerlei Besiedlungsspuren dieses Zeitraums auf dem Tell oder in seiner näheren Umgebung gibt, ist anzunehmen, dass es sich hierbei um einen botanischen Rest handelt, der aus einer natürlichen Bodenbildung stammt. Der hier erfasste Zeitraum weist somit in das ausgehende Spätchalkolithikum und den Beginn der Frühbronzezeit 1.

Dieses Ergebnis zeigt auch eine Modellierung aller kurzlebigen Radiokarbondaten der Siedlungsphasen ÇuHö VII–V (n=31)[1533] mit Hilfe der Gaussian Monte Carlo Wiggle Matching Methode (GMCWM) durch B. Weninger (Tab. 2; Abb. 64).[1534] Diese Modellierung der Daten legt eine bruchlose Siedlungsaktivität von 3349–2956 v. Chr. mit einer ungefähren Dauer der einzelnen Siedlungen von 78 Jahren nahe (Abb. 64). Somit lässt sich eine kontinuierliche Besiedlung des Çukuriçi Höyük vom Spätchalkolithikum bis zur Frühbronzezeit 1 nachweisen, wie sie auch von anderen Fundorten im Arbeitsgebiet bekannt ist (vgl. VI.2.).

[1533] Zwei weitere kurzlebige Daten der Phase ÇuHö VII (VERA-4652, *Ficus carica*, 4475 ± 35; VERA-4653, *Cerealia*, 4575 ± 35) aus den Ausgrabungen der Nordschnitte N1–3 (s. u. IV.3.1.) wurden für eine gesamtheitliche Betrachtung angefügt. Der Ausreißer MAMS-20526 wurde für die Modellierung nicht berücksichtigt.

[1534] Für die Modellierung der Radiokarbondaten und weitere Diskussionen sei B. Weninger an dieser Stelle gedankt. – Zum Verfahren siehe Benz et al. 2012, 299–301; Weninger – Easton 2014, 164–165. – Zur Modellierung der Messdaten wurde zuvor eine Verdopplung der Standardabweichung der archäologischen Daten vorgenommen (vgl. Tab. 1 und 2).

Lab.-Nr.	Proben-Nr. [ÇuHö]	^{14}C-Alter [BP]	(Sub)Phase	cal 1σ [BC]
MAMS-25026	14/5435/11/1	4459 ± 50	**Va**	2956 ± 22
MAMS-26308	14/5434/11/1	4429 ± 54	**Va**	2976 ± 21
MAMS-26312	14/5525/11/1	4476 ± 58	**Va**	2996 ± 19
MAMS-26315	14/5525/11/2	4507 ± 44	**Va**	3017 ± 18
MAMS-20360	13/5302/11/1	4502 ± 36	**Vb**	3037 ± 16
MAMS-20361	13/5302/11/2	4453 ± 34	**Vb**	3048 ± 15
MAMS-25029	14/5467/11/1	4493 ± 54	**Vb**	3060 ± 14
MAMS-26309	14/5325/11/1	4445 ± 56	**Vb**	3071 ± 13
MAMS-26316	14/5329/11/1	4478 ± 44	**Vb**	3082 ± 13
MAMS-26310	14/5490/11/1	4495 ± 60	**Vb**	3093 ± 12
MAMS-26307	14/5502/11/1	4455 ± 56	**Vb**	3104 ± 11
MAMS-25028	14/5465/11/1	4480 ± 50	**VIa**	3117 ± 10
MAMS-25027	14/5445/11/1	4450 ± 50	**VIa**	3133 ± 9
MAMS-26313	14/5585/11/1	4452 ± 44	**VIa**	3149 ± 8
MAMS-26306	14/5589/11/1	4460 ± 54	**VIa**	3165 ± 7
MAMS-26311	14/5590/11/1	4469 ± 58	**VIa**	3182 ± 6
MAMS-20772	11/1446/11/1	4426 ± 42	**VIb**	3198 ± 5
MAMS-20773	11/1447/11/1	4439 ± 40	**VIb**	3210 ± 4
MAMS-15271	11/1462/11/1	4458 ± 56	**VIb**	3223 ± 4
MAMS-20774	11/1451/11/1	4468 ± 40	**VIb**	3236 ± 4
MAMS-20775	11/1492/11/1	4480 ± 42	**VIb**	3249 ± 4
MAMS-20776	12/4504/12/1	4441 ± 40	**VIb**	3262 ± 4
MAMS-15267	11/1206/11/1	4366 ± 56	**VII**	3278 ± 4
MAMS-20770	11/1309/11/1	4432 ± 48	**VII**	3287 ± 5
MAMS-20771	11/1343/12/2	4388 ± 42	**VII**	3295 ± 5
MAMS-20777	12/4509/11/1	4489 ± 42	**VII**	3304 ± 6
MAMS-20362	12/4510/11/1	4442 ± 34	**VII**	3313 ± 6
MAMS-20778	12/4511/10/1	4469 ± 42	**VII**	3322 ± 7
VERA-4652	316/11/1	4475 ± 70	**VII**	3331 ± 7
VERA-4653	317/11/1	4575 ± 70	**VII**	3340 ± 8
MAMS-20769	11/1254/11/1	4443 ± 42	**VII**	3349 ± 8

Tab. 2 GMCWM-Ergebnisse für die Phasen ÇuHö VII–V (n=31; Gaussian CalScale Error: ±10 a; Gaussian CalCurve Error: ±10 BP; Calibration Curve: INTCAL13). (Modellierung: B. Weninger/Universität Köln, ERC Prehistoric Anatolia)

IV.2. Exkurs: Wohn- und Nutzbautypen in Westanatolien und der Ostägäis

Architekturreste sind mittlerweile von einer Vielzahl von Fundorten des 5. und 4. Jts. v. Chr. im Arbeitsgebiet bekannt, jedoch handelt es sich dabei zumeist nur um einzelne oder partiell erhaltene Mauerzüge, die nur ansatzweise Informationen zur Form und Bauweise der chalkolithischen Architektur liefern. Dennoch ist auch die Betrachtung der Architektur wichtig, um so Gemeinsamkeiten und Unterschiede herauszuarbeiten.[1535]

[1535] Bei diesem Abschnitt handelt es sich um eine erweiterte Fassung des gemeinsam mit Horejs verfassten Beitrages (Horejs – Schwall 2015).

Prinzipiell können vier Typen von Wohn- und Nutzbauten in Westanatolien und der Ostägäis unterschieden werden (Abb. 65–66): rechteckige Bauten (Typ 1), elliptische oder apsidiale Bauten (Typ 2), Rundbauten (Typ 3) und Steinreihenstrukturen (Typ 4). Im Arbeitsgebiet findet sich die gesamte Variationsbreite von verschiedenen Bauweisen und -materialien, die von Schachner für die prähistorische Architektur angenommen werden.[1536]

IV.2.1. Rechteckbauten

Als häufigstes finden sich Hinweise auf rechteckige Bauten (Typ 1; Abb. 65) im Arbeitsgebiet. Neben vollständig erfassten Grundrissen dieses Typs haben sich oftmals nur Mauerecken erhalten. Ebenfalls können, wie in Bakla Tepe V,[1537] rechteckige Bauten teilweise einen apsidialen Anbau besitzen, dennoch sollen rechtwinklige Mauerabschnitte hier zu den Rechteckbauten des Typs 1 gezählt werden. Im Hinblick auf die Bauweise und die benutzten Baustoffe wurden verschiedene Konstruktionen für Rechteckbauten verwendet.

So sind Bauten, die lediglich aus Lehmziegeln hergestellt wurden, aus Aphrodisias-Pekmez SC 2,[1538] Barcın Höyük[1539] und Beycesultan SC 1–4[1540] bekannt. Kleinformatige, lineare Strukturen stammen zudem aus Demircihüyük[1541] und aus Küllüoba 4[1542] und könnten möglicherweise auch eine solche Bauweise andeuten. Interessanterweise findet sich diese Bauweise insbesondere im östlichen Bereich Westanatoliens und lässt hier eine lokale Bautradition vermuten.

Rechteckige Bauten aus Stampflehm (Pisé) sind bislang nur in Form von kleinformatigen Bauten, vermutlich Vorratsbauten, vom Çukuriçi Höyük Vb (SLK 1), Küllüoba 3[1543] und aus Liman Tepe VIIa[1544] bekannt. Mauerzüge aus Stampflehm, die von der Größe her eventuell zu Wohnbauten gehören könnten, werden lediglich von Özdoğan aus Tilkiburnu in Türkisch-Thrakien beschrieben.[1545] Ob es sich dabei um Mauern rechteckiger Bauten handelt, bleibt unklar.

Bauten, die eine rechteckige Form haben und lediglich in Lehm-Flechtwerk-Bauweise hergestellt wurden sind aus Upper Bağbaşı[1546] bekannt, finden sich aber auch schon in mittelchalkolithischer Zeit in den Siedlungen von Aşağı Pınar[1547] (5–2).

Abgesehen von diesen Konstruktionsarten sind zudem Kompositbauweisen, bestehend aus einem Steinsockel mit Lehm-Flechtwerk- oder Lehmziegelaufbau, aus dem Arbeitsgebiet bekannt. Erstere sind für die Bauten aus Bakla Tepe V[1548] und dem Bau RH 1 vom Çukuriçi Höyük VIa anzunehmen. Darüber hinaus sind auch aus Upper Bağbaşı[1549] Steinstrukturen mit Lehm-Flechtwerk-Überbau zu erwähnen. Dass diese Bauweise vermutlich bereits in älterer,

---

[1536] Schachner 1999b, 23–24.

[1537] Erkanal – Özkan 1999b, 132; Kouka 2002, 36, 40; Erkanal 2008a, 168; Erkanal – Şahoğlu 2012a, 92–93; Şahoğlu – Tuncel 2014, 68; Tuncel im Druck.

[1538] Sharp Joukowsky 1986, 65–72, Abb. 37 (Level VIID–C).

[1539] Gerritsen et al. 2010, 200.

[1540] Lloyd – Mellaart 1962, 19–26.

[1541] Lediglich ein Abschnitt einer Mauer wurde bei den Ausgrabungen in Demircihüyük erfasst (Korfmann 1983, 27; vgl. Seeher 2012, 118). Es ist unklar, ob diese zu einem rechteckigen Bau gehört oder nicht.

[1542] Aus der Phase Küllüoba 4 wird eine Lehmziegelstruktur über einem älteren Gebäude erwähnt (Efe – Ay 2000, 7). Möglicherweise handelt es sich hier um einen Bau, der nur aus Lehmziegeln errichtet wurde.

[1543] Efe – Ay 2000, 3, 7, 79, Abb. 26d.

[1544] Kouka 2009, 143.

[1545] Özdoğan 1982, 4–5.

[1546] Eslick 1992, 15–16.

[1547] Karul 2003.

[1548] Es handelt sich hierbei um rechteckige Häuser, die eine Apsis besitzen können (vgl. Erkanal – Özkan 1999b, 132; Kouka 2002, 36, 40; Erkanal 2008a, 168; Erkanal – Şahoğlu 2012a, 92–93; Şahoğlu – Tuncel 2014, 68; Tuncel im Druck). Neben der vorwiegenden Bauweise in Lehm-Flechtwerk-Technik finden sich vereinzelt auch Hinweise auf den Einsatz von Lehmziegeln (Şahoğlu – Tuncel 2014, 68).

[1549] Eslick 1992, 15–16.

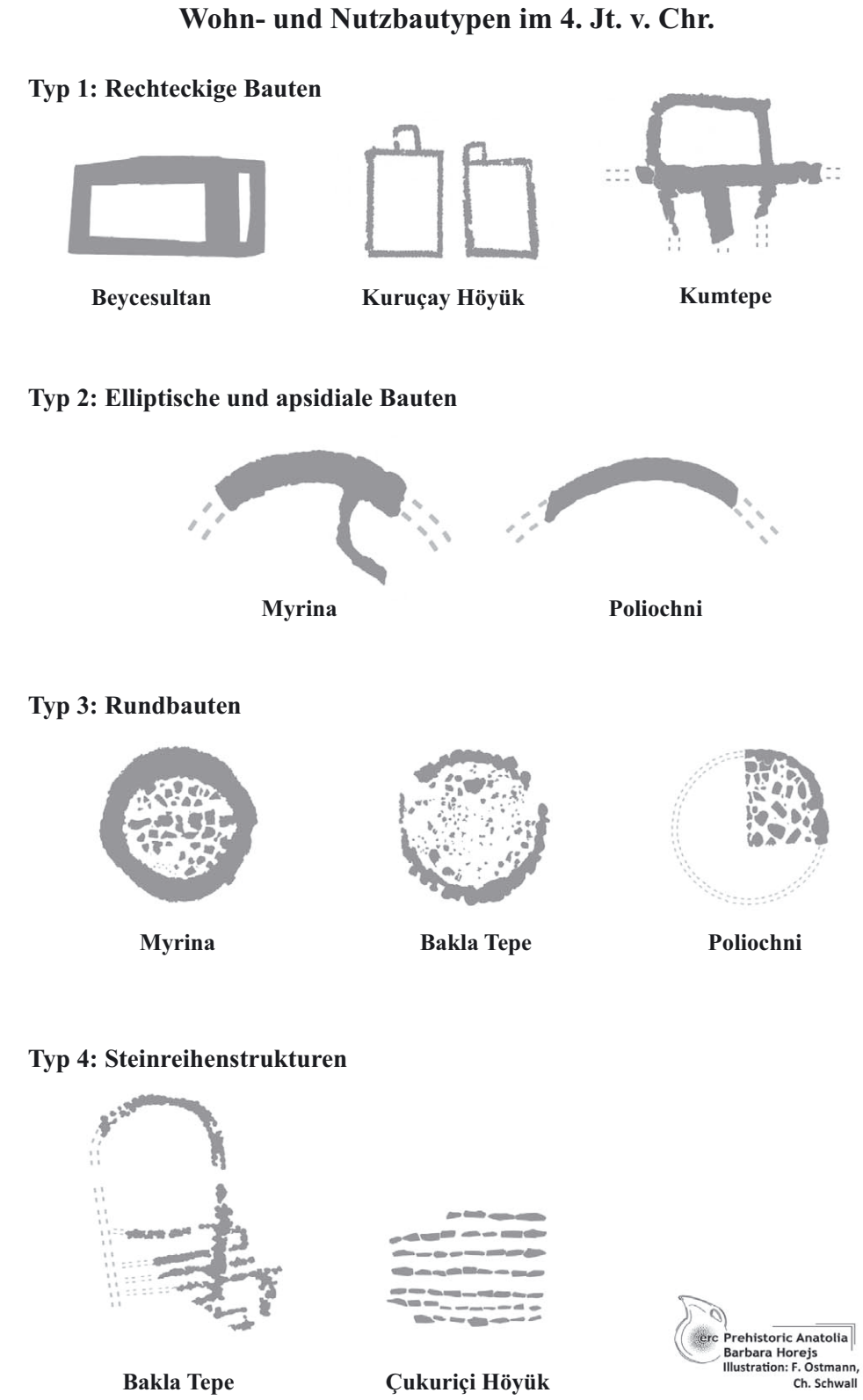


Abb. 65 Typen von Wohn- und Nutzbauten im 4. Jt. v. Chr. im Arbeitsgebiet.
(nach Horejs – Schwall 2015, 464, Abb. 7)

mittelchalkolithischer Zeit verwendet wurde, deuten die Befunde aus Gülpınar[1550] und der Suluin-Höhle[1551] an. Steinsockel mit Lehmziegelüberbau sind ebenfalls häufig belegt, so aus den Siedlungen Beycesultan SC3–4,[1552] Çine-Tepecik Höyüğü IV,[1553] Küllüoba 6–3,[1554] Kumtepe IB[1555] und besonders aus Kuruçay Höyük 6A–3.[1556] Hinweise auf eine ältere Präsenz dieser Konstruktionsweise lassen wiederum mittelchalkolithische Befunde aus Kumtepe IA?,[1557] Orman Fidanlığı VII[1558] und Tigani III[1559] (Samos) vermuten.

Neben den zuvor erwähnten Konstruktionsweisen sind von mehreren Fundorten steinerne Architekturreste bekannt, jedoch ist unklar, ob diese Mauern einen Überbau aus Lehmziegeln, Lehm-Flechtwerk oder Stampflehm besaßen, oder, ob diese vollständig aus Stein errichtet wurden.[1560] Solche Mauern mittel- bis spätchalkolithischer Zeit stammen von folgenden Fundorten: Çukuriçi Höyük VI,[1561] Dedecik-Heybelitepe,[1562] Ege Gübre II,[1563] Gavurtepe Höyük[1564] (SC oder

[1550] Özgünel – Kaplan 2009, 409–411, 427–429, Plan 1–2, Abb. 1–2; Özgünel – Kaplan 2010, 76–77, 86, Abb. 1; Özgünel – Kaplan 2011, 213–214, 223–224, Abb. 1–2; Özgünel – Kaplan 2012, 146–151, 163, Plan 2; 165. Abb. 1; Takaoğlu – Özdemir 2013, 17–19. – Eine Bauweise wird in Lehm-Flechtwerk-Technik angenommen (Özgünel – Kaplan 2012, 146).

[1551] Taşkıran 2011; Taşkıran 2012, 54. – Im Zusammenhang mit den Räumen spricht Taşkıran von Lehmziegelablagerungen (Taşkıran 2011, 120, 124), jedoch scheint es sich dabei eher um Rückstände von Lehm-Flechtwerk-Konstruktionen zu handeln.

[1552] Aus Beycesultan sind lediglich zwei kleinformatige Mauerabschnitte bekannt, die auf eine Verwendung von Steinsockeln für An- und Umbaumaßnahmen an den Lehmziegelbauten hinweisen (Lloyd – Mellaart 1962, 25–26, Taf. 5).

[1553] Laut Günel gehört das Gebäude 1 zu den Phasen IV und III und ist demnach in den Übergang zwischen Spätchalkolithikum und Frühbronzezeit zu datieren, vgl. Günel 2013, 19; Günel 2014b, 85–87, Abb. 3–4; Günel 2014c, 291.

[1554] Efe – Ay 2000, 3–7; Efe – Ay-Efe 2001, 45–47; Efe 2002a, 316–317; Efe 2003a, 462; Fidan 2012, 7; Fidan 2014, 18.

[1555] Korfmann et al. 1995, 248–250 (IB2–4); Bertram – Karul 2014, 1067 (IB1), 1068–1069 (IB2). – Zur Frage des Überbaus der Steinsockel merkt Sperling für Kumtepe IB1 (Sperling 1976, 327), IB2 (Sperling 1976, 330–331) und IB4 (Sperling 1976, 342) braune Erde an, die er für Rückstände von Lehmziegelwänden hält (Sperling 1976, 355). – Korfmann erwähnt aus der Subphase B2 „[…] gelbe[n] Lehm, der von der Mauerkante abfiel." (Korfmann et al. 1995, 246). Eben diesen gelben Lehm spricht er auch im Zusammenhang mit Lehmziegelmauern aus Kumtepe IC1c an (Korfmann et al. 1995, 247). Auch Bertram und Karul vermerken Lehmziegelreste aus Kumtepe IB3 (Bertram – Karul 2014, 1070). Somit scheinen für die Kumtepe IB-Horizonte Steinsockel mit Lehmziegelmauern annehmbar.

[1556] Duru 1996, 5–17; Duru 2008, 123–133.

[1557] Lineare Mauerzüge und ein schlecht erhaltenes Mauereck sind aus Kumtepe IA3 bekannt (Bertram – Karul 2014, 1065–1066, Abb. 5–6). Zwar fehlen Hinweise auf einen Überbau dieser Mauern in Form von beispielsweise Lehmziegeln, jedoch geben in diesem Punkt die Anmerkungen von Sperling einen Hinweis. Aus der Schicht Kumtepe IA2 erwähnt er aus der abdeckenden Planierschicht Bestandteile (braune Erde, Brocken roter Erde, gelber Mörtel), die er, wie in Kumtepe IB, für vergangene Lehmziegelüberbauten hält (Sperling 1976, 325). Dennoch muss die Frage des Überbaus hier offen bleiben.

[1558] Efe 2001b, 14–16, Abb. 14; 118, Taf. 8a.

[1559] Hierbei handelt es sich lediglich um die Reste eines schlecht erhaltenen Mauerecks, das aus der Phase III bekannt ist (Felsch 1988, 15, Abb. 3, Taf. 2.5; 39). Da ebenfalls aus der Phase III Lehmziegelreste stammen, lassen diese einen derartigen Überbau vermuten (Felsch 1988, 11, Abb. 1). Zwei weitere, lineare Mauerabschnitte sind ebenso aus der Phase I bekannt (Felsch 1988, 14, Taf. 2.4; 21, Abb. 7–8, Taf. 3.2–3; 39). Aufgrund einer rötlichen Lehmpackung neben einem Mauerabschnitt nimmt Felsch hier eine verstürzte Lehmwand an (Felsch 1988, 14). Es bleibt offen, ob er damit eventuell Reste einer Lehmziegelmauer meint.

[1560] Reste eines rechteckigen Baus, der nach Sampson ins 5./4. Jt. v. Chr. datieren soll, wurden auch in Nyfi auf Ikaria entdeckt (Sampson et al. 2012, 7). Nähere Informationen zur Bauweise werden hier nicht angegeben.

[1561] Horejs – Schwall 2015, 461, Abb. 4; siehe Beitrag Horejs in diesem Band (Kap. II.2.). – Es handelt sich hier um Architektur aus dem Schnitt N4, die vermutlich der Siedlungsphase ÇuHö VI zugewiesen werden kann (s. u. IV.3.1.).

[1562] Herling et al. 2008, 16–20, Abb. 2.

[1563] Es scheint sich hierbei vermutlich um Reste rechteckiger Mauerzüge zu handeln (Sağlamtimur – Ozan 2012, 228, Abb. 6a). Eine Datierung muss jedoch aufgrund der Diskrepanz der Radiokarbondaten zur Keramikchronologie auch hier offen bleiben (vgl. III.4.1.2.3.).

[1564] Aufgrund des Publikationsstandes ist unklar, ob es sich um Bauten der spätchalkolithischen „Bauschichten VI und VII" (Meriç 2009, 124) oder um frühbronzezeitliche Architektur handelt, vgl. Meriç 1990, 180, 183, Abb. 3; Meriç 1993, 355–356, 359, Abb. 1.

FBZ 1?), Karaağaçtepe P.1[1565] (SC oder FBZ 1?), Myrina 1–2[1566] (Lemnos), Poliochni nero[1567] (Lemnos), Uğurlu-Zeytinlik III[1568] und II[1569] (Imbros), Ulucak Höyük[1570] und Yarımhöyük[1571] (SC oder FBZ 1?).

Rechteckige Bauten besitzen somit eine weite Verbreitung und lassen sich im gesamten Arbeitsgebiet nachweisen (Abb. 64). Laut Schachner repräsentiert die eckige Form die Mehrheit der anatolischen Wohnbauten.[1572]

IV.2.2. Elliptische oder apsidiale Bauten

Elliptische oder apsidiale Bauten (Typ 2; Abb. 65) stellen neben den rechteckigen Bauten eine weitere Form, insbesondere für Wohnbauten, dar. Auch für diesen Typ finden sich in den seltensten Fällen vollständig erhaltene Bauten. Oftmals sind nur kurvolineare Strukturen fassbar, die auf eine Präsenz von elliptischen oder apsidialen Bauten hinweisen. Ebenso wie bei den Rechteckbauten können auch hier unterschiedliche Konstruktionstechniken und Baumaterialien registriert werden.

Lediglich ein Hinweis auf einen Bau, der in Lehm-Flechtwerk-Technik hergestellt wurde, stammt aus der spätchalkolithischen Siedlung von Liman Tepe (VIIa).[1573] In Bakla Tepe V wurden solche Konstruktionen neben vereinzelten Hinweisen auf Lehmziegel als Überbau auf Steinsockeln von Rechteckbauten mit apsidialem Ende verwendet.[1574]

Aus Menekşe Çatağı am Marmara-Meer können mehrere elliptische Bauten, eventuell aus Stampflehm oder Lehmziegeln gefertigt,[1575] angeführt werden, welche in die mittelchalkolithische Zeit datieren.[1576] Vermutlich kurvolineare Architektur in Form eines Steinsockels mit Pisé-Überbau scheint auch aus Ulucak Höyük IIIb vorzuliegen.[1577]

Weitere Anzeichen auf kurvolineare Strukturen, eventuell mit Lehmziegelüberbau, sind aus den mittel- und spätchalkolithischen Siedlungen von Kumtepe (IA3[1578] und IB1[1579]) zu nennen. Ein kurvolinearer Bau (evtl. D-förmig) mit Lehmziegelaufbau könnte sich möglicherweise am

---

[1565] Reste eines vermutlich rechteckigen Baus sind vom ältesten, ergrabenen Niveau in Karaağaçtepe (P.1) bekannt, jedoch ist unklar, ob diese Reste spätchalkolithisch oder frühbronzezeitlich datieren (Demangel 1926, 15–18, Abb. 14–16; vgl. Blum et al. 2014, 775).

[1566] Dova 1997b, 284–292, Zeichnung 2α–γ; vgl. Kouka 2002, 22, 39, Anm. 208; Kouka 2014b, 47.

[1567] Kouka 2002, 34–37, Anm. 191; Kouka 2014b, 45–46, Abb. 2A. – Zu den Wandkonstruktionen siehe bes. Kouka 2002, 37, Anm. 191.

[1568] Erdoğu 2014a, 162, 174, Abb. 16.

[1569] Erdoğu 2011b, 48, 54, Abb. 3–4; Erdoğu 2012, 366–367, 373, Abb. 2–3; Erdoğu – Yücel 2013, 187, 192, Abb. 2; Erdoğu 2014a, 163–164, 177, Abb. 21–22.

[1570] Çilingiroğlu et al. 2004, 18, 91, Abb. 12.

[1571] Aufgrund des Grabungs- und Publikationsstandes muss leider offen bleiben, ob es sich hierbei um Bauten frühbronzezeitlicher oder spätchalkolithischer Zeitstellung handelt (Ekinci – Öztürk 1999, 42, 51, Plan 2).

[1572] Schachner 1999b, 36.

[1573] Kouka 2009, 143; Tuncel (im Druck). – Die Wände des Baus wurden in Lehm-Flechtwerk-Bauweise hergestellt (Kouka 2009, 143; Erkanal – Şahoğlu 2012b, 221; Tuncel im Druck).

[1574] Erkanal – Özkan 1999b, 132; Kouka 2002, 36, 40; Erkanal 2008a, 168; Erkanal – Şahoğlu 2012a, 92–93; Şahoğlu – Tuncel 2014, 68, Abb. 4–5; Tuncel im Druck.

[1575] In der Publikation werden lediglich „kerpiç duvarın“ erwähnt (Erim-Özdogan – Isin 2002, 316). Laut dem archäologischen Wörterbuch des TAY-Projektes kann es sich hierbei um Lehmziegelwände oder Lehmwände handeln (Tanındı 2005, 80 s. v. „kerpiç duvar“).

[1576] Erim-Özdogan – Isin 2002, 316–317, 322, Abb. 4.

[1577] Çevik – Vuruşkan 2014, 586–587, 596, Abb. 6; Erdoğu – Çevik 2015, 37.

[1578] Von Kumtepe IA3 werden die Reste einer gekrümmten Mauer erwähnt (Bertram – Karul 2014, 1065–1066), die eventuell zu einem kurvolinearen Bau gehören könnte. Ebenso wie bei den rechteckigen Bauten können nach Sperling (Sperling 1976, 325) auch hier wahrscheinlich Lehmziegel als Überbau in Betracht gezogen werden (vgl. IV.2.1.).

[1579] Bertram – Karul 2014, 1067. – Vermutlich sind auch hier, wie bei den Rechteckbauten aus Kumtepe IB Lehmziegel als Überbau anzunehmen (vgl. IV.2.1.).

Yeşilova Höyüğü in Izmir rekonstruieren lassen. Hier wurden als Grubenhäuser gedeutete Befunde ausgegraben. Innerhalb einer Grube konnten in der älteren Subphase II.2 Stein- und Lehmziegelreste erfasst werden, [1580] die eine kurvolineare Form andeuten und an einen D-förmigen Bau aus Emporio VIII[1581] (Chios) erinnern lassen.

Der Bau aus Emporio VIII gehört, wie bei den rechteckigen Bauten, zu einer Reihe von Befunden, bei denen unklar ist, ob diese vollständig aus Stein errichtet wurden oder einen Aufbau aus Lehmziegeln, Lehm-Flechtwerk oder Stampflehm besaßen. Hierzu zählen wiederum sowohl Strukturen aus dem Mittel- und Spätchalkolithikum: Çukuriçi Höyük VI,[1582] Gali,[1583] Kastro Alimnia[1584] (Alimnia), Myrina 2[1585] (Lemnos) und Poliochni nero[1586] (Lemnos). Eine weitere kurvolineare Mauer, die wahrscheinlich einen zugehörigen Hofbereich umschließt, ist weiterhin aus Uğurlu-Zeytinlik II[1587] (Imbros) bekannt und ist mit dem ergrabenen Haus auf Gali vergleichbar.

Bei einem Blick auf die Verbreitung der elliptischen oder apsidialen Bauten fällt auf, dass diese insbesondere eine ägäische Affinität besitzen. Neben Fundorten auf den Inseln lassen sich solche Bauten lediglich im Küstengebiet Westanatoliens nachweisen (Abb. 66). Interessanterweise sind jedoch apsidiale Bauten von dem zentralanatolischen Fundort Çadır Höyük bekannt, die um die Mitte des 4. Jts. v. Chr. datieren.[1588] Das Vorhandensein von typischen Architekturformen der Ostägäis und Westanatoliens könnte eventuell einen kulturellen Einfluss des Westens auf das zentralanatolische Gebiet andeuten.[1589]

IV.2.3. Rundbauten

Im Gegensatz zu den vorherigen Typen handelt es sich bei den Rundbauten (Typ 3; Abb. 65) im Arbeitsgebiet lediglich um kleinformatige Konstruktionen, die sich neben größeren rechteckigen, elliptischen oder apsidialen Bauten in den Siedlungen finden. Neben den Abmessungen deutet das Fehlen von Installationen und Herdstellen, wie diese beispielsweise aus den größeren Rundbauten mittelchalkolithischer Zeitstellung (ca. 3400–2900 v. Chr.) Zyperns bekannt sind,[1590] gegen eine Interpretation als Wohnbau. Vielmehr ist eine Funktion als Speicherbau für diese Bauten anzunehmen.

Aus der älteren, mittelchalkolithischen Siedlung von Liman Tepe VIIb stammen Rundbauten, die aus Lehmziegeln errichtet wurden.[1591]

Rundbauten mit Steinsockel und einem Lehm-Flechtwerk-Aufbau können vom Çukuriçi Höyük aus beiden Siedlungen der Phase ÇuHö V (RB 1–2) angeführt werden. Ebenfalls finden

---

[1580] Derin 2007, 378–379; Derin 2008, 219; Derin et al. 2009, 8, 33, Abb. 4; Derin 2011b, 98, Abb. 4; 103; Derin 2012b, 178–179, 186, Abb. 4.

[1581] Hood 1981/1982, 97–104, Abb. 53.

[1582] Horejs 2008a; Horejs 2008b, 96–97, Abb. 6; siehe Beitrag Horejs in diesem Band (Kap. II.1.). – Es handelt sich hier um schlecht erhaltene Architekturreste aus dem Schnitt N1. Aufgrund der gekrümmten Form geht Horejs von Resten eines elliptischen oder apsidialen Baus aus (Horejs 2008b, 97).

[1583] Sampson 1988a, 45–55, 61; Sampson 2006, 234–235, 237–238, Abb. 233–235.

[1584] Sampson 1987, 79–80, 97–99; Sampson 2006, 231–232, Abb. 225; vgl. Kouka 2002, 40.

[1585] Dova 1997b, 284–292, Zeichnung 2α, γ; vgl. Kouka 2002, 22, 39, Anm. 208; Kouka 2014b, 47.

[1586] Kouka 2002, 34–37, Anm. 191; 40; Kouka 2014b, 45–46, Abb. 2A.

[1587] Erdoğu 2011b, 48, 54, Abb. 3; Erdoğu 2012, 367, 373, Abb. 2; Erdoğu – Yücel 2013, 187, 192, Abb. 2; Erdoğu 2014a; 164, 177, Abb. 21.

[1588] Şerifoğlu et al. 2014, 85–86, 95, Abb. 2; Steadman et al. 2015, 89–92, Abb. 2–3.

[1589] Schwall – Horejs im Druck.

[1590] Vgl. zusammenfassend Peltenburg 2014, 255–257.

[1591] Kouka erwähnt runde Silos, die Lehmziegelwände besaßen (Kouka 2002, 143). – Neben Lehmziegeln wird aus dieser älteren Siedlung auch Lehm-Flechtwerk-Architektur erwähnt (Erkanal – Şahoğlu 2012b, 221; Tuncel im Druck).

sich solche Bauten, für die eine Lehm-Flechtwerk-Konstruktion oberhalb der Steinsockel angenommen wird, mit einem gepflasterten Boden aus der Siedlung Bakla Tepe V.[1592]

Weitere Rundbauten, jedoch mit unklarem Wandaufbau, stammen aus Poliochni nero[1593] und Myrina 2.[1594] Ebenso wie die Rundbauten aus Bakla Tepe besitzen die Bauten aus Poliochni nero und ein Bau aus Myrina 2 einen gepflasterten Boden. Interessanterweise befindet sich im Bau aus Myrina 2 eine mittlere Unterteilung durch eine Mauer. Um eine solche innere Teilung könnte es sich eventuell auch bei der linearen Steinstruktur SE 5535 im Innern des RB 1 der Subphase ÇuHö Vb handeln. Aus Milet I ist ebenfalls ein Mauerabschnitt bekannt, der zusammen mit dem anstehenden Fels eine runde Struktur bildet.[1595] Zwei runde Steinsetzungen, bei denen es sich vermutlich um Reste von Rundbauten handelt, finden sich auch in der mittelchalkolithischen Siedlung von Çine-Tepecik Höyüğü IV.[1596] Eine weitere runde Struktur ist zudem vom ältesten, ergrabenen Niveau in Karaağaçtepe (P.1) bekannt, jedoch muss es unklar bleiben, ob diese Struktur spätchalkolithisch oder frühbronzezeitlich datiert.[1597]

Ebenso wie die elliptischen oder apsidialen Bauten lassen sich auch die Rundbauten speziell in den maritimen und küstennahen Regionen des Arbeitsgebietes nachweisen (Abb. 66). Lediglich ein weiterer Hinweis findet sich deutlich weiter östlich im Inland in der Siedlung Küllüoba. Efe rekonstruiert anhand einer kurvolinearen Struktur aus der Siedlung Küllüoba 6 einen Rundbau und interpretiert diesen als Silo.[1598] Anhand der erhaltenen Reste ist es jedoch fraglich, ob es sich hierbei um eine Rundbau handelt.

IV.2.4. Steinreihenstrukturen

Als Steinreihenstrukturen (Typ 4; Abb. 65) werden parallel aneinander gesetzte, lineare Steinreihen angesprochen. Solche Steinkonstruktionen finden sich im Arbeitsgebiet als Plattformen in allen vier Siedlungen der Phasen Çukuriçi Höyük VI–V (SR 1–5) und als innere Struktur in Rechteck- oder Apsidenbauten in Bakla Tepe V[1599] und Liman Tepe VIIa.[1600] Neben diesen beiden Fundorten ist eine vergleichbare Konstruktion dieser Art, ebenfalls spätchalkolithischer Zeitstellung, vom zentralanatolischen Fundort Çamlıbel Tarlası (Phase I) bekannt.[1601] Eine Funktion dieser Konstruktionen kann vermutlich im Zusammenhang mit dem Schutz vor Bodenfeuchtigkeit gesehen werden.[1602]

[1592] Erkanal – Özkan 1999b, 133; Kouka 2002, 36, 39; Erkanal 2008a, 168, 177, Abb. 16; Erkanal – Şahoğlu 2012a, 92–93; Şahoğlu – Tuncel 2014, 68–71, Abb. 6; Tuncel im Druck.

[1593] Bernabò-Brea 1964, 45–57, 73–103. – Kouka 2002, 34–41, Plan 2; Kouka 2014b, 45–46, Abb. 2A. – Zu den Wandkonstruktionen siehe bes. Kouka 2002, 37, Anm. 191.

[1594] Dova 1997b, 284–292, Zeichnung 2γ, Abb. 3; Kouka 2002, 22, 39; Kouka 2014b, 47. – Bei den partiell erfassten Strukturen der Phase II scheint es sich aufgrund der Größe auch um Rundbauten zu handeln (Dova 1997b, 285, Zeichnung 2α).

[1595] Niemeier 2000, 125–126, Abb. 2; Niemeier 2007, 6, Taf. 1.1; Kouka 2014b, 53. – In Milet I findet sich ein runder Mauerabschnitt, der zusammen mit dem Felsgestein eine runde, eingetiefte Struktur ergibt.

[1596] Zwei runde Steinsetzungen, vermutlich Reste von Rundbauten, sind von diesem Fundort bekannt, vgl. Günel 2007, 234, 242, Abb. 3; Günel 2014b, 87–88, Abb. 6–7.

[1597] Demangel 1926, 15–18, Abb. 14–16; vgl. Blum et al. 2014, 775.

[1598] Efe – Ay-Efe 2001, 45–46, 66, Abb. 5; Efe 2002a, 316–317, 324, Abb. 1.

[1599] Erkanal – Özkan 1999b, 130–134; Kouka 2002, 36, 40; Erkanal 2008a, 168, 176–177, Abb. 14–15; Şahoğlu 2008a, 484–485, 497, Abb. 5; Erkanal – Şahoğlu 2012a, 92–93; Şahoğlu – Tuncel 2014, 68, Abb. 4–5; Tuncel im Druck.

[1600] Erkanal et al. 2016, 331–332, 339, Abb. 8.

[1601] Schoop 2010, 192–194, Abb. 49, 51; Schoop 2015, 51–52. – Ein kleiner Annex mit Steinreihen ist aus ÇBT I bekannt. Von Schoop wird angenommen, dass dieser als Kornspeicher gedient hat und die Steinreihen als Schutz vor Feuchtigkeit des Bodens gedient haben. Ein weiterer als Kornspeicher gedeuteter Bau findet sich in der Siedlung ÇBT II.

[1602] Dies wird auch für die Befunde aus Bakla Tepe und Çamlıbel Tarlası angenommen, vgl. Schoop 2010, 192; Şahoğlu – Tuncel 2014, 68; Schoop 2015, 51; Tuncel im Druck.

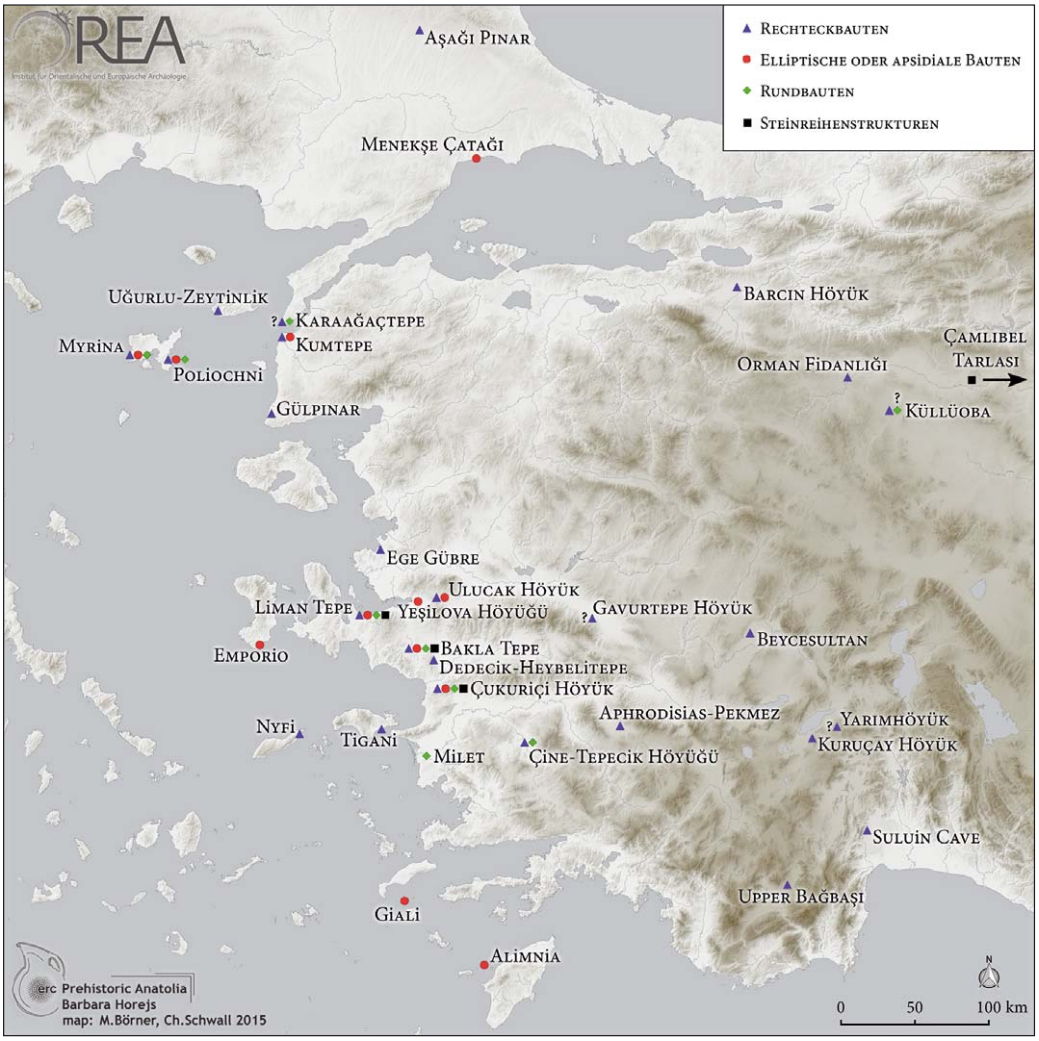


Abb. 66 Verbreitung der Wohn- und Nutzbauten im 4. Jt. v. Chr. im Arbeitsgebiet. (Karte: M. Börner, Ch. Schwall/ERC Prehistoric Anatolia)

Die Steinreihenstrukturen werden in Bakla Tepe als „grill plan houses“ angesprochen,[1603] da sie von Erkanal mit den monumentalen neolithischen Rechteckbauten Ostanatoliens verglichen wurden. Diese vorwiegend in das Präkeramische Neolithikum datierenden Bauten besitzen eine innere Unterteilung in Form von parallelen Mauern und werden in der Literatur als *Grillplanbauten*, wie beispielsweise in Çayönü, angesprochen.[1604] Da sich die hier besprochenen Bauten und Installationen sowohl in ihrer Größe, ihrer Funktion, ihrer Zeitstellung und nicht zuletzt auch anhand ihrer geographischen Position von den neolithischen Bauten unterscheiden, wird hier zur klaren Abgrenzung die Bezeichnung *Steinreihenstruktur* verwendet.

Eine Interpretation als Konstruktionen für Vorratsbauten, wie dies von Schoop vorgeschlagen wurde, ist sicherlich im Zusammenhang mit jüngeren Strukturen zu sehen. In Bezug auf Bakla

[1603] Als weitere Vergleiche führt Erkanal Strukturen aus Bademağacı, Emporio (Chios) und Thessalien an (Erkanal – Özkan 1999b; 132; Erkanal 2008a, 168).

[1604] Aurenche 2007, 62; Erim-Özdoğan 2011, 194–201, 241, Abb. 8; 242–243, Abb. 11, 14–15.

Tepe hat bereits Kouka auf eine Nutzung der Steinreihenstrukturen in den Apsiden als Bodenisolierung für Lagerungstätigkeiten hingewiesen und vergleicht die Steinreihenstrukturen generell mit jüngeren frühbronzezeitlichen Konstruktionen aus Thermi I–III and Emporio III.[1605] Gerade diese von ihr als „Plattformunterlagen" interpretierte Strukturen aus Thermi I–III[1606] erlauben einen Vergleich mit den Steinreihenstrukturen SR 1–5 vom Çukuriçi Höyük. So findet sich in Thermi II eine Gruppe von nebeneinander gebauten Plattformen auf einer Freifläche. Kouka geht hier von gemeinschaftlich genutzten Vorratseinrichtungen innerhalb der Siedlung aus.[1607] Eine Interpretation eines gemeinschaftlich genutzten Areals für die Aufbereitung und Speicherung von Vorräten ist auch für das Areal der Siedlungen Çukuriçi Höyük Vb–a annehmbar (s. o. IV.1.3.1.).

Zusammenfassend kann festgehalten werden, dass rechteckige Bauten des Typs 1 eine weite Verbreitung im Arbeitsgebiet finden (Abb. 66). Hingegen zeigen elliptische und apsidiale Bauten (Typ 2), Rundbauten (Typ 3) und auch die Steinreihenstrukturen (Typ 4) einen deutlichen ägäischen Bezug. Lediglich die Steinreihenstruktur aus Çamlıbel Tarlası und kurvolineare Strukturen aus Küllüoba 6 sowie Çadır Höyük weisen auf eine Präsenz derartiger Formen in Richtung Zentralanatoliens hin. Ob diese eventuell als architektonische Einflüsse des Westens zu verstehen sind, muss anhand der isoliert wirkenden Vergleiche offen bleiben.

IV.3. Korrelation der Befunde mit den übrigen ergrabenen Arealen

Auch im nördlichen Bereich des Tells wurden Ausgrabungen durchgeführt, die spätchalkolithische Befunde erbrachten (Abb. 18). Diese Strukturen wurden in den Nordschnitten N1–4 erfasst (siehe hierzu Beitrag Horejs in diesem Band).[1608] Obwohl keine direkte stratigraphische Anbindung zwischen diesen Befunden und den Schnitten N6–7 und M1 existiert, können dennoch mehrere Belege für eine Korrelation herangezogen werden. So wird einerseits eine äquivalente spätchalkolithische Datierung der Befunde durch Radiokarbondaten und das Fundmaterial belegt.[1609] Anderseits ist die stratigraphische Abfolge der Siedlungsphasen ÇuHö VII–V mit einem abfallenden Terrain von Westen nach Osten (Abb. 35) und Süden nach Norden (Abb. 67) bekannt. Da sich der Schnitt M1 etwa 10 m östlich der Nordschnitte N1–4 befindet, können die Höhen der ergrabenen Befunde aus der Fläche M1 für eine Korrelation mit diesen herangezogen werden.

IV.3.1. Die Nordschnitte N1–3

Im oberen Abschnitt des Areals N1–3 wurden zwei Schichten angetroffen, die auf prähistorische Aktivitäten hindeuten, jedoch aufgrund rezenter Planierungsvorgänge und Baumgruben stark gestört waren. Diese Befunde mit vornehmlich prähistorischem Material, die jedoch nicht mit Sicherheit als geschlossener Kontext zu betrachten sind, wurden von Horejs der Phase ÇuHö II zugewiesen.[1610] Das oberste Niveau besitzt Höhen zwischen 27,61–27,46 m.[1611] Diese Werte lassen sich mit denen der Nutzungsniveaus der Subphase ÇuHö Vb (27,51–27,42 m; Abb. 45) im

[1605] Kouka 2002, 40, Anm. 225. – Auch Erkanal vergleicht die Stukturen mit denen aus Emporio (Erkanal – Özkan 1999b, 132, Anm. 67; Erkanal 2008a, 168). Hinweise für Lagerungstätigkeiten im Zusammenhang mit den Steinreihenstrukturen werden durch verkohltes Getreide zwischen den Steinreihen angedeutet (Erkanal – Özkan 1999b, 135). Eine genaue Verortung dieser Befunde bleibt jedoch offen.

[1606] Kouka 2002, 152, 161–163, 170–171, Plan 14, 17, 20.

[1607] Kouka 2002, 163.

[1608] Horejs 2008a; Horejs 2008b, 97–98, Abb. 8; Horejs – Schwall 2015, 460–462.

[1609] Zwei Radiokarbondaten kurzlebiger Proben wurden auch bei der hier durchgeführten Auswertung der ^{14}C-Daten mit einbezogen (VERA-4652; VERA-4653; vgl. IV.1.4; Tab. 2).

[1610] Horejs 2008b, 98, Abb. 8.

[1611] Siehe Beitrag Horejs in diesem Band (Kap. II.1.).

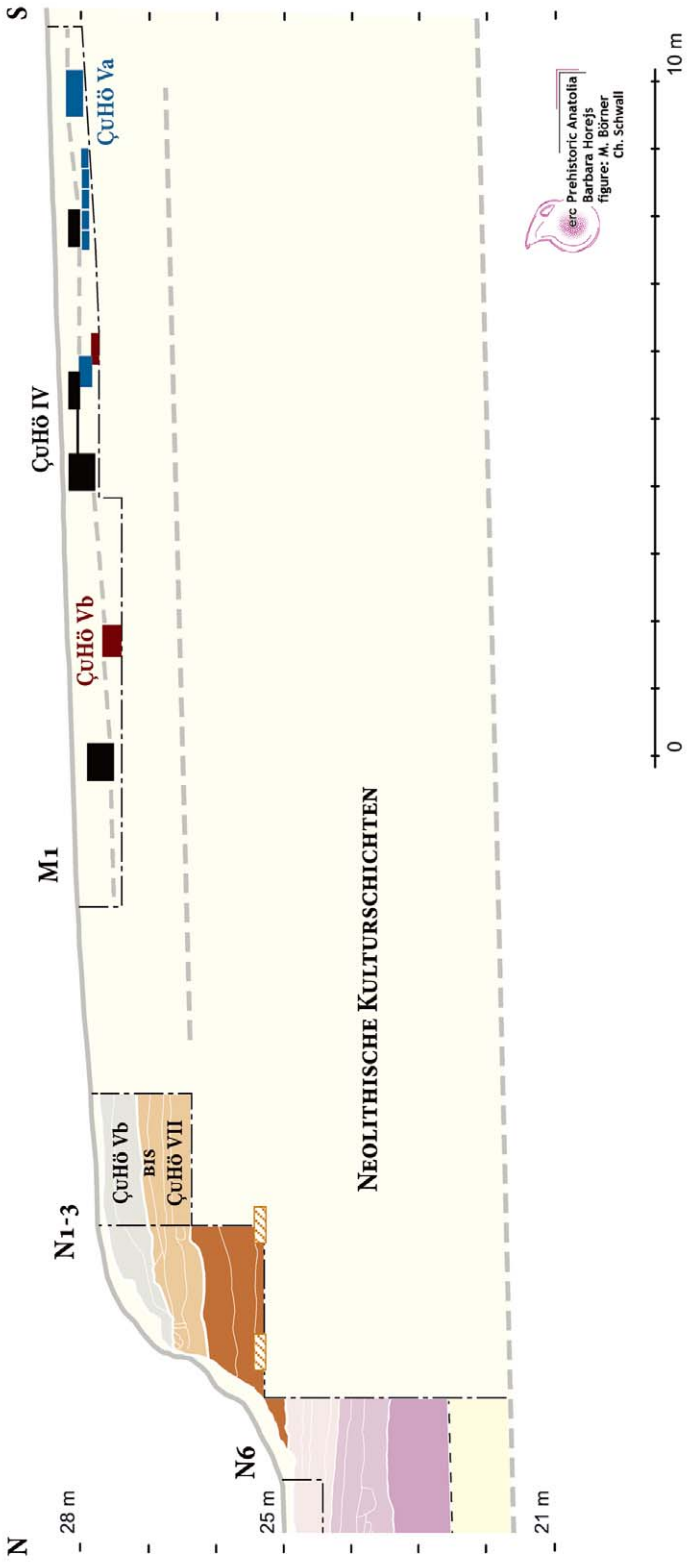


Abb. 67 Schematischer Querschnitt (Nord-Süd) der Areale M1 und N1–3.
(Grundlage: B. Horejs; Graphik: M. Börner, Ch. Schwall/ERC Prehistoric Anatolia)

Nordwesten des Schnittes M1 vergleichen und legen eine Zugehörigkeit zu dieser Siedlung nahe (Tab. 3). Architektonische Reste in Form einer teilweise erfassten Steinreihenstruktur wurden auf dem älteren Niveau erfasst.[1612] Die Höhen liegen hier zwischen 27,28 m und 27,18 m. Im westlichen Bereich des Schnittes M1 lassen sich diese Werte am besten mit den Befunden der Subphase ÇuHö VIa (27,24–26,91 m; vgl. Abb. 38) im Areal unter Raum 38 vergleichen (Tab. 3). Zwar finden sich aufgrund des West-Ost gerichteten Gefälles solche Werte auch auf dem Laufniveau der Subphase Vb im Areal unter Raum 41, jedoch scheint eine Zuweisung zur Phase ÇuHö VI aufgrund des jüngeren Niveaus im Nordschnitt wahrscheinlicher.

Unterhalb dieser Befunde kam ein Laufniveau mit Architekturresten zutage, aufgrund dessen von Horejs die Phase ÇuHö VI definiert wurde.[1613] Die Höhen dieses Niveaus (26,84–26,67 m) passen zu den ergrabenen Befunden der Subphase ÇuHö VIb (26,79–26,57 m; vgl. Abb. 21, 37), die in den Arealen N7 und M1 erfasst wurden (Tab. 3).

Die tiefer liegenden Befunde eines Kindergrabes sowie weitere Reste eines Laufhorizontes werden, Horejs folgend, der Phase ÇuHö VII zugewiesen.[1614] In den neueren Grabungen wurden, abgesehen vom Graben (s. o. IV.1.1.3.), keine weiteren Befunde dieser Siedlungsphase erfasst.

Für eine Korrelation der bestehenden stratigraphischen Verhältnisse in den Schnitten ergibt sich nun zusammenfassend folgendes Bild:

	M1	N6–7	N1–3	N4	Efes Müzesi
ÇuHö Va	**ÇuHö Va**	nicht erhalten	nicht erhalten	nicht erhalten	**ÇuHö IV?/Va?**
ÇuHö Vb	**ÇuHö Vb**	nicht erhalten	**ÇuHö II**	**N4**	nicht ergraben
ÇuHö VIa	**ÇuHö VIa**	nicht erhalten	**ÇuHö II**	**N4**	nicht ergraben
ÇuHö VIb	**ÇuHö VIb**	**ÇuHö VIb**	**ÇuHö VI**	**N4**	nicht ergraben
ÇuHö VII	nicht ergraben	**ÇuHö VII**	**ÇuHö VII**	nicht ergraben	nicht ergraben

Tab. 3 Korrelation der ergrabenen Befunde in den unterschiedlichen Arealen mit den Siedlungsphasen.

IV.3.2. Der Nordschnitt N4

Insgesamt drei Nutzungsniveaus wurden während den Ausgrabungen im Schnitt N4 erfasst.[1615] Wie in den Nordschnitten N1–3 waren auch hier die Schichten stark durch die rezenten Planierungsvorgänge beeinträchtigt.

Bei der obersten Schicht handelt es sich um einen inneren oder äußeren Bereich mit mehreren Fundlagen, die von vermutlich verstürzter Lehm-Flechtwerk-Architektur bedeckt war.[1616] Die Höhen dieser Niveaus liegen zwischen 27,46–27,42 m.[1617] Diese Werte lassen sich mit den bereits erwähnten Höhen der Subphase ÇuHö Vb (27,51–27,42 m; Abb. 45) im westlichen Abschnitt des Areals M1 vergleichen (Tab. 3).

Auf einem weiteren Nutzungsniveau mit Höhenwerten um 27,30 m wurden die Reste eines einplanierten Ofens freigelegt.[1618] Auch diese Höhen deuten, wie in den Nordschnitten N1–3, eine Verbindung zur Subphase ÇuHö VIa (27,24–26,91 m; vgl. Abb. 38) im Schnitt M1 an (Tab. 3).

[1612] Horejs – Schwall 2015, 462, Abb. 5; siehe Beitrag Horejs in diesem Band (Kap. II.1.).
[1613] Horejs 2008a; Horejs 2008b, 97–98, Abb. 8; siehe Beitrag Horejs in diesem Band (Kap. II.1.).
[1614] Horejs 2008a; Horejs 2008b, 97–98, Abb. 8; Horejs – Schwall 2015, 463, Abb. 6; siehe Beitrag Horejs in diesem Band (Kap. II.1.).
[1615] Siehe Beitrag Horejs in diesem Band (Kap. II.2.).
[1616] Horejs – Schwall 2015, 460; siehe Beitrag Horejs in diesem Band (Kap. II.2.).
[1617] Siehe Beitrag Horejs in diesem Band (Kap. II.2.).
[1618] Siehe Beitrag Horejs in diesem Band (Kap. II.2.).

Das tiefste ergrabene Niveau im Schnitt N4 besitzt zwei Mauerzüge.[1619] Die Unterkante einer Mauer wurde bei den Ausgrabungen erreicht. Die Höhenwerte des Horizontes, auf dem die Mauer steht, liegen zwischen 26,88–26,84 m und lassen sich wahrscheinlich mit den Werten der Subphase ÇuHö VIb (26,79–26,57 m; vgl. Abb. 21, 37), die in den Arealen N7 und M1 erfasst wurden (Tab. 3), in Verbindung setzen.

IV.3.3. Die Ausgrabungen des Efes Müzesi

Im Rahmen der Ausgrabungen des Efes Müzesi (1995–1996) am Çukuriçi Höyük wurden mehrere Flächen geöffnet, die zahlreiche Funde erbrachten.[1620] Insbesondere aus den Grabungen von 1996 stammen aus der Fläche 1 und 2 mehrere Schalenfragmente mit *rolled rims*, die eine spätchalkolithische Einordnung nahe legen.[1621]

Hilfreich ist in diesem Zusammenhang ein Blick auf die erfassten frühbronzezeitlichen Befunde in der Fläche 1, die bis zu einer Tiefe von 28,66 m ergraben wurden.[1622] Das hier untersuchte Areal wurde ebenfalls im Rahmen der Ausgrabungen der Südschnitte S1–4 zwischen 2007 und 2009 erfasst.[1623] Die freigelegte Architektur und die Befunde können mit der Bauphase 1 der frühbronzezeitlichen Phase ÇuHö IV gleichgesetzt werden, die bis auf eine Tiefe von 28,72 m verfolgt werden konnte.[1624]

Interessant sind nun die Befunde aus der Fläche 2, die nordwestlich der Fläche 1 angelegt wurde.[1625] Dieser Bereich wurde bis auf eine Tiefe von 28,23 m ausgegraben.[1626] Lediglich in den obersten Schichten fanden sich hier Architekturreste. Auf dem tiefsten Niveau kam hingegen eine Keramikansammlung zutage. Beim Vergleich der Höhe mit den Befunden des Areals M1 fällt auf, dass die erhaltenen Höhen der Einfassungsmauer der Subphase ÇuHö Va (SE 5522) zwischen 28,25 und 28,33 m liegen. Die Höhen des zugehörigen Laufniveaus außerhalb und innerhalb der Mauer befinden sich bei 28,07–27,91 m. Berücksichtigt man das Süd-Nord gerichtete Gefälle, so ist es wahrscheinlich, dass in der Fläche 2 der Museumsgrabung bereits Siedlungsschichten angeschnitten wurden, die tiefer als die Bebauung der Phase ÇuHö IV lagen. Eine Korrelation mit den ausgegrabenen Befunden der neueren Grabungen gestaltet sich aufgrund der vorliegenden Daten und der Entfernung vom Schnitt M1 schwierig. Dennoch wäre eine Verbindung des Befundes mit Schichten der frühen Phase ÇuHö IV oder der Subphase ÇuHö Va denkbar (Tab. 3).

IV.4. Die Keramik

Während der spätchalkolithischen Ausgrabungen in den Arealen N6–7 und M1 wurden insgesamt 13977 Keramikscherben ausgegraben, bei denen es sich um 2129 charakteristische Fragmente handelt. Für die Phase ÇuHö V sowie die zugehörigen Planierschichten zwischen IV/Vb–a und Va/Vb können 694 diagnostische Stücke aus dem Areal M1 herangezogen werden. Für die Phase ÇuHö VI mitsamt den Planierungen ÇuHö IV/VIb–a, Vb/VIa und VIa/VIb sind 712 Fragmente aus dem Schnitt M1 sowie 94 aus dem Schnitt N7 anzuführen. Der Phase ÇuHö VII sowie der Planierung ÇuHö VIb/VIII sind 723 Scherben zuzuweisen.

[1619] Horejs – Schwall 2015, 461, Abb. 4; siehe Beitrag Horejs in diesem Band (Kap. II.2.).
[1620] Evren – İçten 1998; Evren 1999.
[1621] Evren 1999, 28, Abb. 16–17.
[1622] Evren 1999, 24, Abb. 3; 25, Abb. 6.
[1623] Horejs et al. 2011, 40, Abb. 6 (Räume 16 und 18); Grasböck 2013, 68–70, Taf. 54–60; Grasböck et al. in Vorbereitung.
[1624] Grasböck et al. in Vorbereitung.
[1625] Evren 1999, 23, Zeichnung 2; 25, Abb. 10; Farbabb. 16–17.
[1626] Evren 1999, 25, Abb. 10.

Für die Auswertung sei vorab angemerkt, dass die Keramik und die weiteren Funde der Phase ÇuHö VII und VI sowie der Subphasen ÇuHö Vb und Va zusammen mit ihren Planierungen betrachtet werden (vgl. Abb. 35). Im Fall der Phase ÇuHö VII ist dies die Planierung ÇuHö VIb/VII, welche die Strukturen (den Graben) der älteren Siedlung ÇuHö VII bedeckt. Zwar ist diese Planierung stratigraphisch dem jüngeren Horizont ÇuHö VIb zuzurechnen, da die Planierung im Rahmen der Anlage des jüngeren Horizontes errichtet wurde. Das Fundmaterial der Planierung kann jedoch folglich keiner jüngeren Siedlung als ÇuHö VII angehören. Basierend auf der gleichen Annahme werden dem Material der Siedlung ÇuHö VIb die Planierung zwischen den Subphasen ÇuHö VIa/VIb bzw. der Siedlung ÇuHö VIa die Planierung ÇuHö Vb/VIa zugeordnet. In der Phase ÇuHö V sind dies entsprechend die Planierung ÇuHö Va/Vb für den älteren und ÇuHö IV/Va für den jüngeren Abschnitt. Interessant sind die verbleibenden Planierungen ÇuHö IV/VIb, IV/VIa und IV/Vb. Diese Schichten wurden direkt unterhalb der Befunde der frühbronzezeitlichen Siedlung ÇuHö IV angetroffen und sind das Resultat massiver Abgrabungsprozesse zur Anlage der Siedlung. Bei diesen Planierungen handelt es sich nicht um Schichten, die im Zusammenhang mit dem Bau der Siedlung aufgetragen wurden, sondern um Schichtreste älterer Siedlungen. Im Falle der Planierung ÇuHö IV/VIb wurden die jüngeren Siedlungsschichten der Phase ÇuHö V und der Subphase ÇuHö VIa durch die frühbronzezeitlichen Abgrabungsprozesse bis zur Planierung ÇuHö VIa/VIb vollständig entfernt. Der verbliebene Rest dieser Planierung wird hier aufgrund der fehlenden jüngeren Schichtabfolge der Phase ÇuHö V und der Subphase ÇuHö VIa als ÇuHö IV/VIb bezeichnet. Äquivalent ist der Sachverhalt bei den anderen beiden Planierungen ÇuHö IV/VIa und IV/Vb zu betrachten. Wie bei den zuvor erwähnten Planierschichten ist somit auch für das Fundmaterial dieser Schichten eine ältere Datierung anzunehmen. Zur Übersicht der Zuordnung der Planierungen zu den Siedlungsphasen siehe Tabelle 4:

<table>
<tr><th>ÇuHö VII</th><th colspan="2">ÇuHö VI</th><th colspan="2">ÇuHö V</th></tr>
<tr><td rowspan="3">ÇuHö VIb/VII</td><td>ÇuHö VIb</td><td>ÇuHö VIa</td><td>ÇuHö Vb</td><td>ÇuHö Va</td></tr>
<tr><td>ÇuHö VIa/VIb</td><td>ÇuHö Vb/VIa</td><td>ÇuHö Va/Vb</td><td rowspan="2">ÇuHö IV/Va</td></tr>
<tr><td>ÇuHö IV/VIb</td><td>ÇuHö IV/VIa</td><td>ÇuHö IV/Vb</td></tr>
</table>

Tab. 4 Zuordnung des Fundmaterials der Planierungen zu den Siedlungsphasen.

IV.4.1. Fundaufnahme und Methodik

Die Fundaufnahme erfolgte im Grabungshaus der Ausgrabung Ephesos des Österreichischen Archäologischen Institutes (ÖAI) in Selçuk (Türkei) innerhalb dreier Depotkampagnen in den Jahren 2013–2015. Die hierbei zugrunde liegende Methodik basiert auf einem von Horejs entwickelten System.[1627] Nach der Säuberung wurde die Keramik kontextuell untersucht und nach diagnostischen Fragmenten (Rand, Boden, Henkel, Fuß, verzierte Wandfragmente) und Wandscherben ausgelegt. Darauf folgend wurde nach Anpassungen in angrenzenden, stratigraphisch parallelen Kontexten gesucht und anschließend die charakteristischen Fragmente mit einer Fundnummer beschriftet. Zur statistischen Aufnahme der Keramik wurde im Anschluss die Anzahl der charakteristischen und uncharakteristischen Fragmente ermittelt. Zudem wurde die durchschnittliche Fragmentgröße, kleiner oder größer 5 cm, vermerkt, um eine statistische Größe des Zerscherbungsgrades der Keramik aus den jeweiligen stratigraphischen Einheiten zu ermitteln. In weiterer Folge wurden die diagnostischen Fragmente fotografiert, ausgewählte Stücke gezeichnet, je nach Signifikanz digitalisiert und in die Projektdatenbank eingeben. Für die Dokumentation von

[1627] Horejs 2007, 19–22; vgl. ebenso Röcklinger 2015, 15–20.

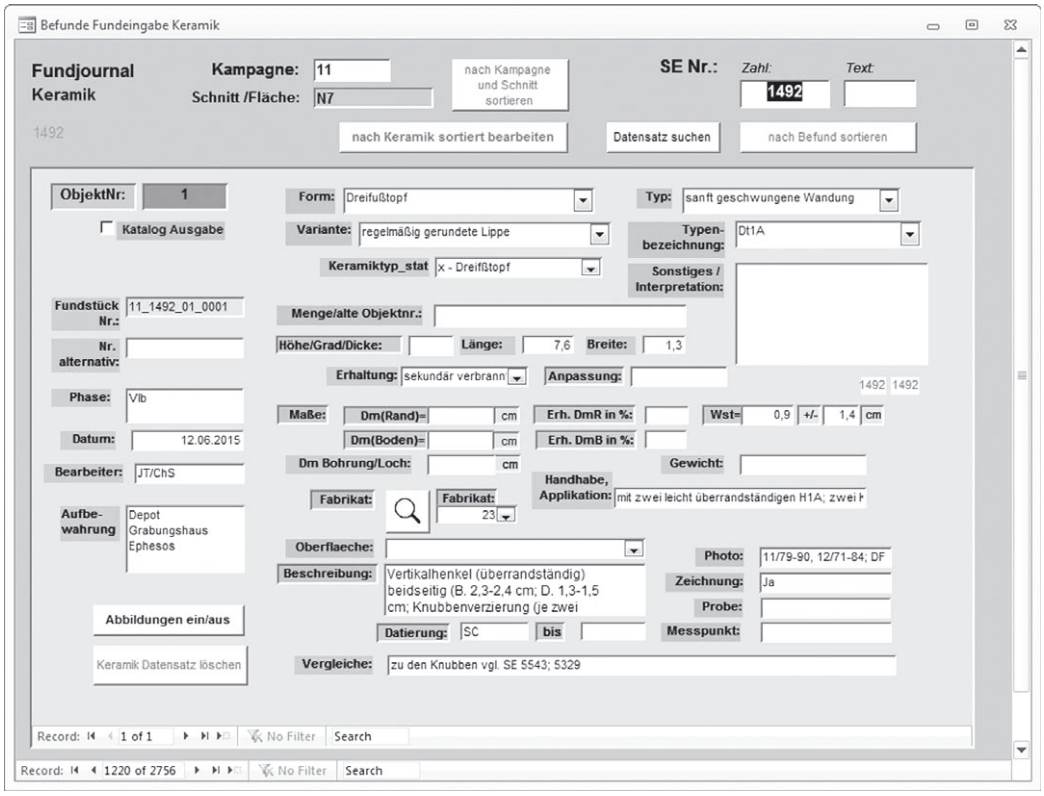


Abb. 68 Datenbankeingabeformular für die Keramik der Projektdatenbank. (Graphik: ERC Prehistoric Anatolia)

Fragmenten eines speziellen Gefäßes (Taf. 22–23.543) wurde aufgrund der schlechten Erhaltung und damit verbunden der hohen Bruchgefahr ein 3D-Steifenlichtscanner anstatt der zeichnerischen Dokumentation eingesetzt.[1628]

Mit Hilfe der Datenbank (Abb. 68) werden jeweils nach Fundnummer einerseits allgemeine Informationen (z. B. Aufbewahrungsort, Erhaltungszustand, Beschreibung) und technische Parameter (z. B Abmessungen, Wandstärke, der prozentuale Erhaltungsgrad von Rändern und Böden) erfasst. Andererseits beinhaltet jeder Datensatz Angaben zu typologischen Merkmalen (Form, Typ, Variante, vorhandene Handhaben oder Applikationen), die auf einer im Rahmen des Projekts entwickelten Typologie basieren (s. u. IV.4.3.). Ein weiterer wichtiger Punkt sind technologische Parameter, wie die Oberfläche und das Fabrikat einer Scherbe. Die Bestimmung der Fabrikate wurde makroskopisch anhand von Warengruppen durchgeführt. Bei den Warengruppen handelt es sich um Gruppen, in denen Waren mit ähnlichen Eigenschaften (Härte, Porosität, Bruch, Farbe, Magerung, Oberflächenbeschaffenheit) zusammengefasst werden (s. u. IV.4.2.).[1629] Diese Vorgehensweise ermöglicht eine flexible und schnellere Untersuchung von größeren Keramikmengen vor Ort, auch ohne weitere technische Hilfsmittel.[1630] Anhand einer ausgelegten Vergleichssammlung können so die Waren bestimmt werden. Eine exakte Analyse der einzelnen Warengruppen findet letztlich anhand von Dünnschliffen im Rahmen archäometrischer Analysen statt.[1631]

[1628] Bei dem Gerät handelt es sich um einen Breuckmann 3D Streifenlichtscanner (Modell: smartSCAN-C5 LED white). Für den Scan der Gefäßfragmente und ihre anschließende Bearbeitung sei an dieser Stelle M. Börner besonders gedankt.

[1629] Horejs 2007, 52–59; Horejs 2010b, 20–23.

[1630] Horejs 2010b, 21.

[1631] Peloschek 2016a; Peloschek 2016b, 190–196; Peloschek 2017, 132.

Härte[1]		
Härte	*Beschreibung*	*Stufe der Mohs'schen* Härteskala
weich	mit dem Fingernagel ritzbar	1–2
hart	mit dem Messer ritzbar	3–4
sehr hart	mit dem Messer schwer/nicht ritzbar	5–6

Porosität[2]	
Porosität	*Beschreibung*
feinporig	mit freiem Auge keine Poren erkennbar
fein-mittel	fein- bis mittelporig
mittelporig	vereinzelt Poren erkennbar
mittel-grob	mittel- bis grobporig
grobporig	Poren größer 0,5 mm

Bruch[3]
glatt, glatt bis leicht schiefrig, leicht schiefrig, schiefrig, körnig

Farbe
Die Farbe der Oberfläche (OF) sowie des Kerns wird anhand der „Munsell Soil Color Charts“ bestimmt. Grundsätzlich sind die Farben schwarz, grau, braun, rot, beige und gelb mit unterschiedlichen Mischungen und Übergängen, wie rotbraun oder rötlich braun bis braun, vertreten.

Magerung
Magerungspartikel[4]
Einzelstück (Einsprengling), Glimmer (gold, silber), Glimmer oberflächlich (gold, silber), Körner (braune, dunkelgraue, gelbe, hellgraue, orange, rote, schwarze, weiße), Pflanzenreste, Poren, Quarz, Sand, Steinchen

Häufigkeit[5]			
Häufigkeit	*Form*	*Korngröße*	*Abmessungen*
häufig (>25%)	gerundet	sehr fein	0,02–0,04 cm
häufig-mittel	gerundet-länglich	fein	0,04–0,2 cm
mittel (5–25%)	eckig	mittel	0,2–0,4 cm
mittel-selten	eckig-länglich	grob	0,4–0,6 cm
selten (1–5%)	länglich	sehr grob	0,6–0,8 cm
vereinzelt (0–1%)			

Oberflächenbehandlung[6]	
Behandlungsarten	
Art	*Beschreibung*
verstrichen	„Verstreichen der Oberfläche mit nassen Händen“[7]
geglättet	„Behandlung der feuchten bis lederharten Oberfläche mit einem Gegenstand (Kiesel, Holz, etc.), der Glättspuren hinterläßt“[8]
poliert	„Behandlung der feuchten bis lederharten Oberfläche mit einem weichen Gegenstand (Tuch, Leder, etc.), der keine Spuren hinterläßt“[9]
engobiert	„[…] einheitlich glatt[er], aber im Unterschied zur Politur stumpf und leicht seifig[er]“ Oberflächenüberzug[10]

Kombinationsmöglichkeiten der Oberflächenbehandlung[11]	
Code	*Beschreibung*
MVUS	mittelfein verstrichen und Schlicker
GV	grob verstrichen
GVUS	grob verstrichen und Schlicker
FG	fein geglättet
FGV	fein geglättet und verstrichen
SFGP	sehr fein geglättet und poliert
FGUE	fein geglättet und engobiert
MG	mittelfein geglättet
MGUE	mittelfein geglättet und engobiert
GG	grob geglättet
GGUS	grob geglättet und Schlicker
GGUV	grob geglättet und verstrichen
GGGV	grob geglättet, grob verstrichen
PUVE	poliert und verziert
S	seifig

Tab. 5 Tabelle der definierten Kriterien und Parameter für die Klassifikation der Warengruppen. (**1.** Vgl. Horejs 2007, 53, Abb. 6; **2.** Vgl. Horejs 2007, 54, Abb. 7; **3.** Vgl. Horejs 2007, 54, Abb. 9; **4.** Vgl. Horejs 2007, 58, Abb. 14; **5.** Vgl. Horejs 2007, 58, Abb. 15; **6.** Vgl. Horejs 2007, 55–57; **7.** Horejs 2007, 55; **8.** Horejs 2007, 56; **9.** Horejs 2007, 56; **10.** Horejs 2007, 56; **11.** Vgl. Horejs 2007, 57, Abb. 13).

IV.4.2. Warengruppen

Als Warengruppen werden Fabrikate bezeichnet, die sich aufgrund ähnlicher Kriterien makroskopisch oder vereinzelt mit Hilfe einer Handlupe gruppieren lassen.[1632] Vorteile dieser Klassifizierung sind eine flexible und zügige Bearbeitung von größeren Keramikmassen. Darüber hinaus können neue Warengruppen je nach Bedarf angefügt werden. Jede einzelne Warengruppe wird anhand von Härte, Porosität, Bruch, Farbe, Magerung, Oberflächenbeschaffenheit, äußere/innere Farbe und der Farbe im Bruch beschrieben. Die einzelnen Kriterien der Warengruppenklassifikation mit den relevanten Parametern für die betreffenden spätchalkolithischen Warengruppen sind in Tabelle 5 angeführt.

Eine Zuweisung der spezifischen Warengruppen zu der entsprechenden Zeitstellung basiert auf der absoluten bzw. relativen Dominanz der Warengruppen innerhalb der Schichten und Phasen des Neolithikums, Spätchalkolithikums und der Frühbronzezeit. Derzeit wurden für die Keramik des Çukuriçi Höyük 146 Warengruppen des Neolithikums, des späten Chalkolithikums und der Frühbronzezeit bestimmt.[1633] Für den Fall, dass die Ware einer Scherbe nicht bestimmbar ist (z. B. aufgrund der Erhaltung) und eine Definition einer neuen Warengruppe nicht gerechtfertigt ist, wird das Fragment als „unbestimmbar“ (WG 0) deklariert. Für die spätchalkolithischen Phasen konnten insgesamt 31 Warengruppen (WG 15–40, 100, 103, 112, 114–115) makroskopisch ermittelt werden.[1634] Unter diesen finden sich Warengruppen feiner (FK, n=7), mittelfeiner (MK, n=16), mittelfeiner bis grober (MK-GK, n=1) und grober (GK, n=7) Keramik (Tab. 6; vgl. IX.2.). Ein Fabrikat der Grobkeramik kann zudem als Pithosware (WG 35) angesprochen werden. Bei den Oberflächenfarben der Warengruppen dominieren rötliche bis braune Farbtöne (vgl. Taf. 45.1–2).

[1632] Horejs 2007, 52–59; Horejs 2010b, 20–23; vgl. Röcklinger 2015, 21–27.

[1633] Stand: 11.09.2015.

[1634] Der überwiegende Teil der spätchalkolithischen Warengruppen wurden von Horejs und Traumüller definiert. Für eine Verwendung der Warengruppen im Rahmen dieser Arbeit sei Horejs gedankt.

Warengruppe	Kurzbeschreibung
15	GK; OF GVUS, stumpf und uneben, rötlich braun bis braun; dunkelgrauer Kern
16	GK; OF GGUS, rau, dunkelrotbraun; durchgehend dunkelgrauer bis schwarzer Kern
17	MK; OF GVUS, 1 mm rötlich braun bis gelbbraun (Überzug?); OF außen grob verstrichen, rau, uneben, stumpf; OF innen grob geglättet; dunkelgrauer Kern
18	FK; OF FG, mit rotem Überzug, glatt; teilweise breiter dunkelrotbrauner bis durchgehend braun gebrannter Kern
19	FK; OF FG, leicht glänzend, dunkelgrau bis schwarz; durchgehend dunkelgrauer bis schwarzer Kern
20	GK; OF GGUS, mit dünnem Überzug, leicht uneben, leicht glänzend beige bis braun; schwarzer Kern
21	MK; OF GV, leicht uneben, stumpf, rau, rot bis rotbraun; dunkelrotbrauner Kern (stark gemagerte Ware)
22	FK; OF FG, eben, leicht glänzend, rotbraun bis beige; breiter grauer Kern
23	GK; OF GGGV, uneben, rot bis braun (oxidierend gebrannt); grauer Kern
24	FK; OF FG, glatt, braun; durchgehend dunkelgrauer Kern
25	MK; OF FGV, mit braunem Überzug, leicht glänzend, deckend grau (10YR5/2–2.5Y5/2) bemalt; dunkelgrauer Kern
26	MK; OF GG, außen rot (oxidierend gebrannt), innen schwarz, im Bruch OF außen rot, innen schwarz; schwarzer Kern
27	MK; OF FG, dicht, glatt, braun bis schwarz; dunkelgrauer Kern
28	FK; OF MG, braun; dunkelbrauner Kern
29	FK; OF SFGP, dicht, glänzend, rot bis schwarz; dunkelgrauer Kern
30	MK; OF GG, rau, stumpf; OF und Kern durchgehend rot
31	MK; OF mit rotem Überzug und FG (EFG), glänzend, glatt, eben; dunkelrotbrauner Kern
32	GK; OF GVUS, rau, uneben, braun; brauner Kern
33	FK; OF PUVE, glänzend glatt schwarz, Glättspuren sichtbar, Bemalung deckend grau (7.5YR6/1–2.5Y5/1); dunkelgrauer bis schwarzer Kern
34	GK; OF GGUS, rot bis braun, uneben; dunkelgrauer Kern
35	GK; Pithosware; OF MG, dichte, rot bis rotbraun; durchgehend roter Kern
36	MK; OF FG, eben, braun und dicht, Glättspuren sichtbar; rötlich brauner Kern
37	MK; OF FG, braungrau bis braun, leicht glänzend; dunkelgrauer Kern
38	MK; OF GG, matt, leicht rau, dunkelgrau; rötlich brauner Kern
39	MK; OF MG, stumpf, dunkelrötes braun; dunkelrotbrauner bis schwarzer Kern
40	MK; OF MVUS, rau, matt, braun bis grau; brauner bis dunkelgrauer Kern
100	MK; OF MG, mit beigem bis braunen Überzug (Schlicker?), rau, aber ebene OF; Pflanzenreste an der OF erkennbar; hoher Glimmeranteil an der OF, dadurch stark glänzend; dunkelgrauer Kern
103	MK; OF MGUE, mit beigen Überzug, Glättspuren innen schwach sichtbar, schwach uneben; durchgehend grauer Kern
112	MK-GK; OF GG, OF mit Schlicker, stumpf, uneben, grob verstrichen (Spuren sichtbar), rötliches braun bis braun; dunkelgrauer Kern
114	MK; OF S, seidig glänzend, sanft geglättet, sehr talgige, seifige Ware, OF innen lachsfarben; Bruch durchgehend rotbraun bis grau; braungrauer Kern mit Glimmer
115	MK; OF SFGP, dunkelbraun bis hellbraun; Kern rotbraun mit Glimmer und schwarzgrauen Einschlüssen

Tab. 6 Kurzbeschreibung der spätchalkolithischen Waren. Zu den Warengruppen vgl. IX.2.

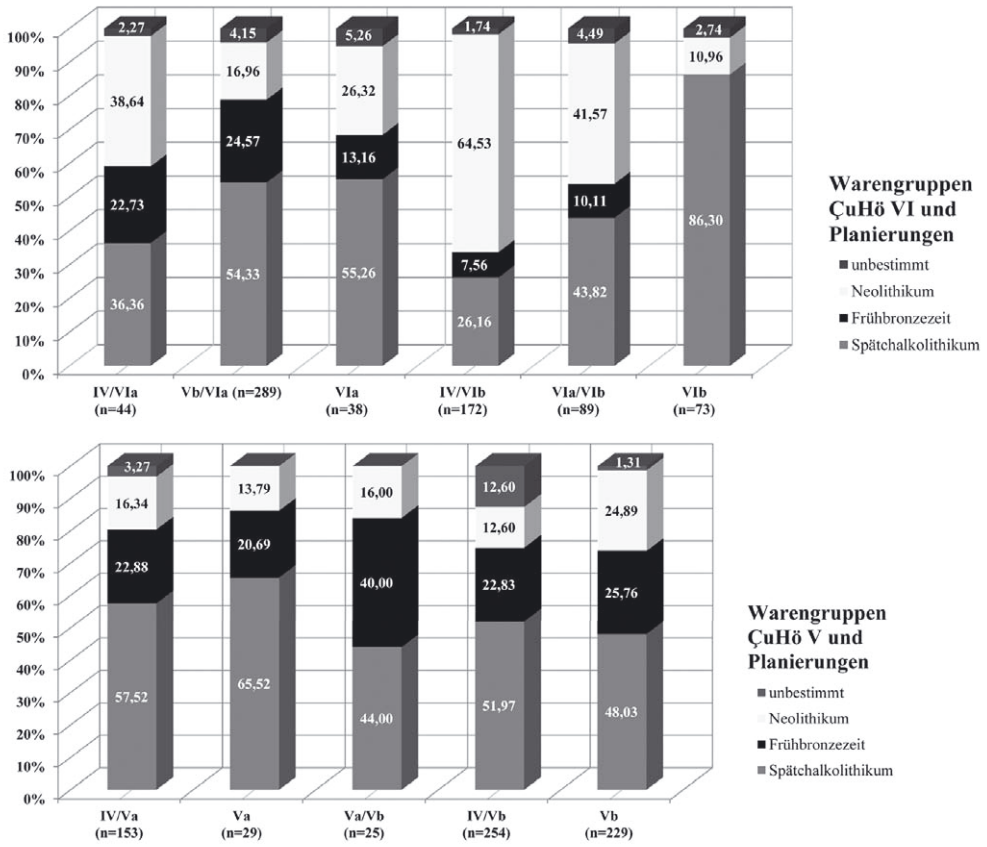


Abb. 69 Verteilung der neolithischen, spätchalkolithischen und frühbronzezeitlichen Warengruppen je nach Subphase und Planierung der Siedlungen ÇuHö VI–V. (Graphik: Ch. Schwall/ERC Prehistoric Anatolia)

Lediglich vereinzelt finden sich beige oder schwarze Oberflächen bei der mittelfeinen Keramik. Hingegen sind schwarze Oberflächen öfters bei der Feinkeramik vertreten.

IV.4.2.1 Verteilung der Warengruppen

Im Folgenden soll das Verhältnis der spätchalkolithischen Fabrikate zu den älteren neolithischen und jüngeren frühbronzezeitlichen Warengruppen betrachtet werden. Insgesamt wurden 1422 Fragmente für die Analyse herangezogen, bei denen es sich um 1106 charakteristische Scherben aus spätchalkolithischen Waren, 283 Fragmente aus frühbronzeitlichen Waren und 10 ausgewählte Fragmente aus neolithischen Waren handelt. Von weiteren 23 diagnostischen Scherben konnte die Warengruppe nicht bestimmt werden.

Bei den Warengruppen zeigt sich deutlich, dass es sich bei den 690 Scherben der Phase ÇuHö V mitsamt Planierungen lediglich bei ca. der Hälfte (360 Fragmente ≙ 52,17%; Abb. 69) um Warengruppen spätchalkolithischer Zeitstellung handelt. Das gleiche Bild zeigt sich in der Phase ÇuHö VI sowie den Planierungen. Von den insgesamt 705 Fragmenten aus den Schnitten M1 und N7 gehören 341 Scherben (48,37%; Abb. 69) den Fabrikaten des Spätchalkolithikums an. Für die Phase ÇuHö VII mitsamt Planierung können von 722 Fragmenten 405 Scherben (56,09%; Abb. 70) genannt werden. Das Material der Planierungen zwischen den Phasen und Subphasen wird, wie in Tabelle 4 aufgegliedert, den jeweiligen Siedlungsphasen ÇuHö VII bis V zugeordnet. Der prozentuale Anteil der Warengruppen innerhalb dieser Schichten zeigt keine besondere

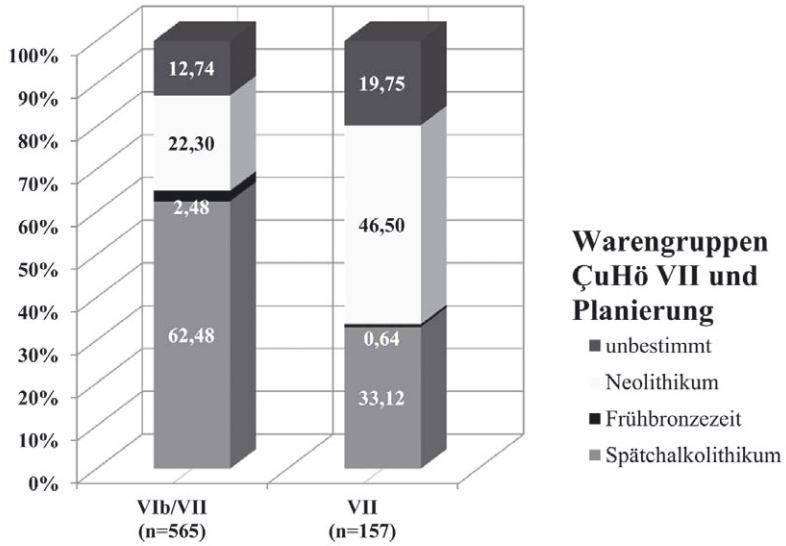


Abb. 70 Verteilung der neolithischen, spätchalkolithischen und frühbronzezeitlichen Warengruppen der Phase ÇuHö VII mitsamt Planierung.
(Graphik: Ch. Schwall/ERC Prehistoric Anatolia)

Abweichung in Bezug auf die generelle Warenverteilung der Nutzungsniveaus (vgl. Abb. 69–70). Abgesehen von Planierungen mit einem hohen Anteil an neolithischen Waren (ÇuHö IV/VIa, IV/VIb, VIa/VIb) dominieren die spätchalkolithischen Warengruppen (vgl. Abb. 69–70). Bei der Betrachtung der Verteilung ist insbesondere die Zunahme der frühbronzezeitlichen Warengruppen von der Phase ÇuHö VII bis V interessant. Hingegen nehmen die neolithischen Warengruppen ab. Der leichte Anstieg der neolithischen Waren (47,57–65,53%) in den Planierungshorizonten der Phase ÇuHö VI (Abb. 69) lässt sich auf eine Verlagerung von älteren Kulturschichten im Zuge von Planierungsvorgängen zwischen den Phasen bzw. Subphasen zurückführen. Ein deutlicher Anteil an neolithischen Waren findet sich ebenfalls in der Phase ÇuHö VII (46,50%; Abb. 70). Da das Material aus dem Bereich des spätchalkolithischen Grabens stammt, der in ältere spätneolithische Schichten eintieft, verwundert dies nicht. Die Vermutung liegt nahe, dass das neolithische Material gerade im nördlichen Grabungsabschnitt von N6 im Zusammenhang mit einem neolithischen Haus (Komplex 9) gesehen werden kann, in welches der Graben eintieft; zum anderen hat sich älteres Material während der Benutzung des Grabens aus den Wänden herausgelöst und sich auf der Sohle des Grabens ablagert.

Unter den Fragmenten, die aus neolithischen Warengruppen hergestellt wurden, finden sich wenige Formen, die charakteristisch für die spätchalkolithische Zeit sind. Es handelt sich hierbei lediglich um acht Warengruppen (10 Fragmente; vgl. Tab. 7), die anscheinend trotz des Hiatus zwischen neolithischer und spätchalkolithischer Zeit weiterlaufen (vgl. IV.4.3.). Abgesehen von den neolithischen Warengruppen des Fundspektrums fällt der Anstieg der frühbronzezeitlichen Fabrikate von der Phase ÇuHö VII bis V auf. Wie die Diskussion der Radiokarbondaten gezeigt hat (s. o. IV.1.4.) und auch die typologische Auswertung (s. u. IV.4.3.) zeigen wird, kann die Subphase ÇuHö Va bereits dem beginnenden Abschnitt der Frühbronzezeit 1 zugerechnet werden. Die Präsenz von Warengruppen, die für die frühbronzezeitlichen Phasen ÇuHö IV–III definiert wurden, besonders unter den Funden der älteren Siedlungen ÇuHö VII–Vb, lässt auf ein möglicherweise früheres Auftauchen, bereits in spätchalkolithischer Zeit, schließen. Im Folgenden soll eruiert werden, ob es sich, abhängig von der Quantität, um Funde handelt, die durch Bioturbation in tiefere Schichten gelangt sein können, oder, ob ein früheres Auftauchen der frühbronzezeitlichen Warengruppen anzunehmen ist.

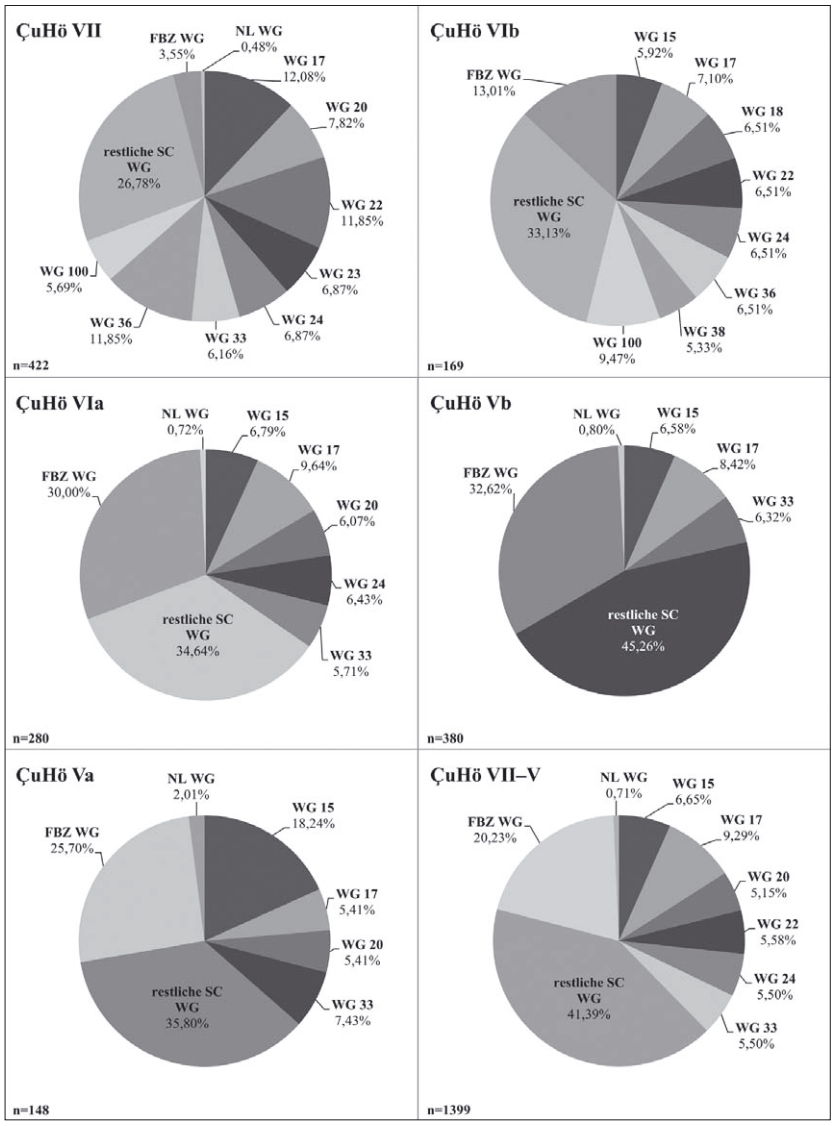


Abb. 71 Die am häufigsten vertretenen spätchalkolithischen Warengruppen der Phasen ÇuHö VII–V. (Graphik: Ch. Schwall/ERC Prehistoric Anatolia)

Bei der Korrelation der einzelnen Warengruppen mit den einzelnen Phasen und Subphasen kann festgehalten werden, dass sich einzelne Warengruppen in ihrer Quantität deutlich von den übrigen abheben. Bei den hier betrachteten spätchalkolithischen Warengruppen (n=1106) wurden diejenigen gefiltert, die über 5% der Gesamtanzahl der Warengruppen je Phase und Subphase liegen (Abb. 71). Es wird deutlich, dass die Häufigkeit der spätchalkolithischen Warengruppen von der Phase ÇuHö VII–V abnimmt. Waren es in der Phase ÇuHö VII und Subphase ÇuHö VIb noch acht Warengruppen, die über 5% der Gesamtzahl lagen, so finden sich in den Subphasen ÇuHö VIb und VIa lediglich drei bzw. vier Warengruppen. Bezogen auf das Gesamtspektrum der Warengruppen heben sich sechs Warengruppen von den übrigen spätchalkolithischen Fabrikaten ab. Hierzu zählen drei feinkeramische (WG 22, 24, 33), eine mittelfeinkeramische (WG 17) und zwei grobkeramische (WG 15, 20) Warengruppen (vgl. Abb. 71). Unter diesen stellt die Warengruppe 17 das einzige Fabrikat dar, welches von der Phase ÇuHö VII–V durchweg über 5% des

Neolithische Warengruppen						
Warengruppe	**ÇuHö VII**	**ÇuHö VIb**	**ÇuHö VIa**	**ÇuHö Vb**	**ÇuHö Va**	**Σ**
WG 11	**1**	0	0	0	0	**1**
WG 72	0	0	0	**1**	0	**1**
WG 74	0	0	**1**	0	0	**1**
WG 88	0	0	0	0	**2**	**2**
WG 91	0	0	0	**1**	0	**1**
WG 92	**1**	0	0	0	**1**	**2**
WG 94	0	0	**1**	0	0	**1**
WG 104	0	0	0	**1**	0	**1**
Σ	**2**	**0**	**2**	**3**	**3**	**10**
Spätchalkolithische Warengruppen						
Warengruppe	**ÇuHö VII**	**ÇuHö VIb**	**ÇuHö VIa**	**ÇuHö Vb**	**ÇuHö Va**	**Σ**
WG 15	**12**	**10**	**19**	**25**	**27**	**93**
WG 16	**2**	**1**	**1**	**4**	**2**	**10**
WG 17	**51**	**12**	**27**	**32**	**8**	**130**
WG 18	**10**	**11**	**13**	**6**	**3**	**43**
WG 19	**15**	**6**	**4**	**6**	**1**	**32**
WG 20	**33**	**8**	**17**	**6**	**8**	**72**
WG 21	0	0	0	**2**	0	**2**
WG 22	**50**	**11**	**6**	**7**	**4**	**78**
WG 23	**29**	**7**	**7**	**2**	**1**	**46**
WG 24	**29**	**11**	**18**	**15**	**4**	**77**
WG 25	**1**	**1**	**1**	0	**1**	**4**
WG 26	**2**	**2**	**2**	0	0	**6**
WG 27	**1**	0	**2**	**7**	**1**	**11**
WG 28	**7**	**3**	0	**5**	**3**	**18**
WG 29	**18**	**6**	**6**	**9**	**1**	**40**
WG 30	0	**6**	**3**	**8**	**3**	**20**
WG 31	**2**	**4**	**5**	**3**	**1**	**15**
WG 32	**3**	0	**6**	**14**	**5**	**28**
WG 33	**26**	0	**16**	**24**	**11**	**77**
WG 34	**4**	**1**	**1**	0	0	**6**
WG 35	0	**1**	**3**	0	**3**	**7**
WG 36	**50**	**11**	**1**	**1**	**1**	**64**
WG 37	**8**	**8**	**10**	**18**	**7**	**51**
WG 38	**9**	**9**	**8**	**14**	**2**	**42**
WG 39	**4**	0	0	**3**	0	**7**
WG 40	**5**	**1**	**4**	**7**	**2**	**19**
WG 100	**24**	**16**	**6**	**16**	**1**	**63**
WG 103	**9**	**1**	**5**	**14**	**2**	**31**
WG 112	0	0	**2**	**2**	0	**4**
WG 114	**1**	0	**1**	0	0	**2**
WG 115	0	0	0	**3**	**5**	**8**
Σ	**405**	**147**	**194**	**253**	**107**	**1106**

Frühbronzezeitliche Warengruppen						
Warengruppe	**ÇuHö VII**	**ÇuHö VIb**	**ÇuHö VIa**	**ÇuHö Vb**	**ÇuHö Va**	**Σ**
WG 41	**1**	0	**4**	**3**	0	**8**
WG 42	0	**1**	0	**2**	0	**3**
WG 43	0	0	**4**	**2**	**5**	**11**
WG 44	**3**	**2**	**3**	**2**	0	**10**
WG 46	**1**	0	**1**	**5**	**1**	**8**
WG 47	0	0	**2**	**5**	**1**	**8**
WG 48	**1**	0	**1**	**4**	0	**6**
WG 49	0	**2**	**17**	**16**	**7**	**42**
WG 50	0	0	0	**1**	0	**1**
WG 51	**2**	0	**5**	**6**	**2**	**15**
WG 52	0	0	0	**2**	0	**2**
WG 53	**1**	0	**6**	**5**	0	**12**
WG 54	**1**	0	0	**1**	0	**2**
WG 55	**1**	**3**	**14**	**13**	**3**	**34**
WG 56	**1**	0	0	**1**	**1**	**3**
WG 57	0	0	**3**	**5**	0	**8**
WG 58	0	0	0	**7**	**5**	**12**
WG 59	0	**6**	**6**	**4**	**1**	**17**
WG 60	0	**1**	**1**	**1**	0	**3**
WG 61	0	**1**	**3**	**13**	**3**	**20**
WG 76	0	0	0	**1**	0	**1**
WG 77	0	0	0	**1**	0	**1**
WG 78	0	**1**	**4**	**11**	**3**	**19**
WG 79	0	0	**1**	0	0	**1**
WG 80	**1**	**1**	**2**	**3**	**1**	**8**
WG 82	**1**	**2**	**2**	**3**	0	**8**
WG 83	0	0	0	0	**1**	**1**
WG 84	0	0	**1**	**4**	**1**	**5**
WG 85	**1**	0	**3**	0	**3**	**7**
WG 86	0	0	0	**1**	**0**	**1**
WG 87	0	**1**	0	0	**1**	**2**
WG 110	0	**1**	0	**2**	0	**3**
WG 111	0	0	**1**	**0**	**0**	**1**
Σ	**15**	**22**	**84**	**124**	**38**	**283**
Σ (alle WG)	**422**	**169**	**280**	**380**	**148**	**1399**

Tab. 7 Verteilung der relevanten neolithischen, spätchalkolithischen und frühbronzezeitlichen Warengruppen auf die Siedlungsphasen ÇuHö VII–V (n=1399). Bei den neolithischen Warengruppen handelt es sich nur um eine Auswahl bestimmter charakteristischer Fragmente. Zu den Warengruppen vgl. IX.2.

Gesamtspektrums ausmacht. Abgesehen von der prozentualen Auswertung ist die Präsenz einer Pithosware (WG 35) mit 0,5% des gesamten Warenspektrums von Interesse. So liefert dieses Fabrikat einen Hinweise auf Vorratsgefäße, wie dies auch anhand der Beschaffenheit sowie der großen Keramikformen (s. u.) für die Warengruppe 15 angenommen wird.

Auch eine Betrachtung der frühbronzezeitlichen Warengruppen (n=283) liefert interessante Ergebnisse. Aufgrund der deutlich geringeren Anzahl im Fundspektrum wurden alle Warengruppen, die über 1% der Gesamtanzahl der Warengruppen je Phase und Subphase liegen, berücksichtigt.

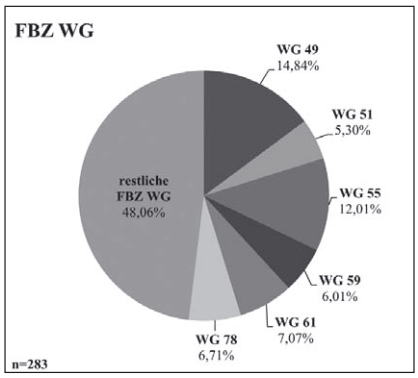


Abb. 72 Die am häufigsten vertretenen frühbronzezeitlichen Warengruppen der Phasen ÇuHö VII–V. (Graphik: Ch. Schwall/ERC Prehistoric Anatolia)

Eine stetige Zunahme der „frühbronzezeitlichen" Warengruppen kann von der Phase ÇuHö VII bis V registriert werden. Auffälligerweise überwiegen auch hier sechs Warengruppen im Gegensatz zu den übrigen frühbronzezeitlichen Fabrikaten (Abb. 72). Kann bezüglich der Häufigkeit bei den spätchalkolithischen Warengruppen nur ein mittelfeines Fabrikat (WG 17) festgehalten werden, so besitzen diese bei den frühbronzezeitlichen Warengruppen neben einer Grobkeramik (WG 51) die Mehrheit (WG 49, 55, 59, 61, 78). Gemessen an der Gesamtzahl der erfassten frühbronzezeitlichen Fabrikate (n=283) im Fundmaterial stellen diese sechs Warengruppen mehr als die Hälfte (147 Stk.) dar. Der Verdacht liegt nahe, dass es sich aufgrund der Häufigkeit um „frühbronzezeitliche" Warengruppen handelt, die bereits in spätchalkolithischer Zeit einsetzen und dann in der folgenden Frühbronzezeit gängig werden.

Einen genaueren Einblick in die Zusammensetzung der spätchalkolithischen Warengruppen bieten archäometrische Untersuchungen, die von L. Peloschek durchgeführt wurden.[1635] Allgemein kann festgehalten werden, dass die Warengruppen des Spätchalkolithikums insbesondere durch ihren grobkörnigen Charakter auffallen.

Als petrographisches Hauptfabrikat (EPH-METAMORPHIC_01) kann ein Fabrikat mit einem hohen Anteil an Glimmerschiefer und Quarz-Glimmerschiefer angesehen werden, dem mehrere Warengruppen (WG 16–19, 21–26, 30, 32, 35–36, 38–39, 100, 115) zugeordnet werden können. Dieses Hauptfabrikat setzt bereits in den neolithischen Phasen ein und lässt sich bis in die Frühbronzezeit verfolgen. Varianten dieses Hauptfabrikates existieren in Form von Waren mit sehr feinen Quarz- und Glimmeranteilen (EPH-METAMORPHIC_07: WG 29, 33) sowie mit einem höheren Anteil an Epidot (EPH-METAMORPHIC_02: WG 18).

Warengruppen, die mit großen Serpentinitfragmenten (bis 3 mm; EPH-SERP_01: WG 20, 23, 34), zerkleinerten Marmorfragmenten (EPH-MARBLE_01/02: WG 15, 27, 112) oder Marmormehl (EPH-MARBLE_03: WG 40) gemagert wurden, sind weiterhin unter den Fabrikaten zu erwähnen. Das Fabrikat mit Serpentinitanteilen wird besonders ab den Phase ÇuHö VII–VI gängig und lässt sich nur vereinzelt in den früheren Siedlungsphasen nachweisen. Die Magerung der Keramik mit Marmorpartikeln kann erst ab der spätchalkolithischen Phase ÇuHö VII nachgewiesen werden und stellt somit eine Neuerung im Spektrum der Fabrikate dar.

Neben den zuvor erwähnten Fabrikaten finden sich im Inventar Fabrikate, die nur in geringer Anzahl vertreten sind. Hierzu gehört ein metamorphes Fabrikat, welches dem Hauptfabrikat ähnelt, jedoch weniger Einschlüsse besitzt (EPH-METAMORPHIC_11: WG 103). Weiterhin sind ein mikritsches (EPH-MICRITE_01/03: WG 37) und ein talkreiches Fabrikat (EPH-TALC_01: WG 114) zu erwähnen. Da es sich bei Talk um ein sekundäres, metamorph-metasomatisch gebildetes Umwandlungsprodukt handelt,[1636] bei dem Serpentinite ebenfalls Ausgangsgesteine darstellen, ist zu vermuten, dass der Ton des Talkfabrikates aus der Umgebung der Tonentnahmestätten für die Serpentinit-Fabrikate stammt. Als letztes sind Fabrikate mit vulkanischen Magerungspartikeln intermediärer bis felsischer Zusammensetzung zu nennen (EPH-SILICEOUS_01/02: WG 28, 31), die sich nur auf die spätneolithischen und spätchalkolithischen Phasen des Çukuriçi Höyük beschränken.

[1635] Zu den hier angeführten Ergebnissen dieser Untersuchungen siehe Peloschek 2016a, 254–256; Peloschek 2016b, 190–196, 200; Peloschek 2017, 132. Für weitere Informationen zu den Keramikanalysen sei L. Peloschek gedankt.
[1636] Okrusch – Matthes 2014, 171.

Untersuchungen im Umfeld der Siedlung haben ergeben, dass passende Tonlagerstätten für das Ausgangsmaterial der Fabrikate lokal bzw. regional anstehen und von einer lokalen Keramikproduktion auszugehen ist. Lediglich bei den Fabrikaten mit vulkanischen Magerungsgesteinen intermediärer bis felsischer Art bedarf es weiterer Untersuchungen. Zwar sind kleinformatige Vorkommen vulkanischer Gesteine aus dem weiteren Umfeld des Çukuriçi Höyük bekannt, jedoch deuten Analysen frühbronzezeitlicher Reibsteine aus Vulkanit an, dass vulkanische Gesteine wohl als Importe aus entfernteren Gebieten in die Siedlung gekommen sind.[1637]

IV.4.3. Typologie der Keramik

Die Typologie der Keramik orientiert sich an der Systematik, die von der Ausgräberin B. Horejs für den Çukuriçi Höyük definiert und eingeführt wurde. Mittels einer für die gesamte Grabung entwickelten Typendefinition und Datenbank (vgl. Abb. 68; IV.4.1.) wurde die Keramik im Rahmen der Fundaufnahme erfasst. Bei der folgenden Betrachtung wird diesem System mit einer Einteilung in Form, Typ und Variante für die Keramik der unterschiedlichen Siedlungsphasen des Çukuriçi Höyük gefolgt.[1638] In diesem Teil der Arbeit sollen die relevanten Gefäßformen der Siedlungsphasen ÇuHö VII–V behandelt werden. Grundsätzlich lässt sich die Keramik in offene und geschlossene Gefäßformen einteilen, neben denen noch Sonderformen und charakteristische Gefäßteile als Formengruppen erfasst wurden.[1639] Zu den offenen Gefäßformen zählen Schalen und Schüsseln sowie Töpfe und Dreifußkochtöpfe unterschiedlicher Variationen. Zu den geschlossenen Formen gehören Halsgefäße, engmundige Gefäße, Kannen und Krüge. Zu den Sonderformen zählen sogenannte *cheese pots*, Backwannen und Teller. Auffallend sind zudem Bestandteile großer Vorratsgefäße (Abb. 73).

Jedem Gefäß wird in dieser Einteilung eine Typenbezeichnung (z. B. S3B) zugeordnet. Diese beinhaltet Informationen zur generellen Form (z. B. S = Schale), dem Typ (z. B. 3 = Knickrandschale), wodurch Angaben zum Profil des Gefäßes gemacht werden, und zur Variante, d. h. die Ausbildung des Randes oder der Lippe (z. B. B = spitz ausgezogene Lippe).[1640] Für eine Übersicht der hier relevanten Rand- und Lippenformen siehe Abb. 74. Auch die charakteristischen Gefäßteile werden nach diesem System eingeteilt: Henkel (H) mit ovalem Querschnitt (1), unverziert (A) = H1A.

Im Folgenden sollen nun die einzelnen offenen und geschlossenen Gefäßformen, Sonderformen und Gefäßbestandteile der einzelnen Siedlungen ÇuHö VII, VIb–a sowie Vb–a vorgestellt werden. Die Funde der Planierschichten werden, wie in Tab. 4 angegeben (vgl. IV.4.), den jeweiligen Phasen und Subphasen zugeordnet. Von den insgesamt 1422 Keramikfragmenten, die für die Auswertung der Warengruppen herangezogen wurden (vgl. IV.4.2.1.), werden hier nur 1345 für die Auswertung berücksichtigt (vgl. IX.3.). Die verringerte Anzahl ergibt sich dadurch, dass bedingt durch den hohen Anteil an neolithischem Material lediglich die Warengruppen des Materials der Planierschichten SE 5324 (58 Stk.), 5591 (9 Stk.) und 5592 (10 Stk.) aufgrund eingeschränkter Aussagefähigkeit erfasst wurden. Lediglich zwei aussagekräftige Fragmente der SE 5591 wurden komplett aufgenommen. Daher stehen für die formtypische Auswertung 1345 Objekte zur Verfügung, welche sich wie folgt aufteilen: offene (304 Stk.) und geschlossene (335 Stk.) Gefäßformen, Sonderformen (18 Stk.), Gefäßteile (510 Stk.), verzierte Fragmente (98 Stk.), unbestimmbare Randfragmente (77 Stk.) und Handhaben (21 Stk.). Somit ergibt sich

[1637] Vgl. Schwall et al. eingereicht – Zu den Ergebnissen des Tonlagerstättensurveys siehe Peloschek 2017, 133–136, Abb. 6.4.

[1638] Vgl. Horejs 2007, 89–90.

[1639] Vgl. Horejs 2007, 89.

[1640] Kann der Typ einer jeweiligen Form nicht bestimmt werden, so wird hierfür eine „0“ eingesetzt (z. B. Dt0 = Dreifußkochtopf unbekannten Typs). Bei unbestimmbaren Randfragmenten wird der Typ „R0“ und für nur im Ansatz erhaltene Handhaben „WS4“ (Ansatz einer Handhabe) vergeben.

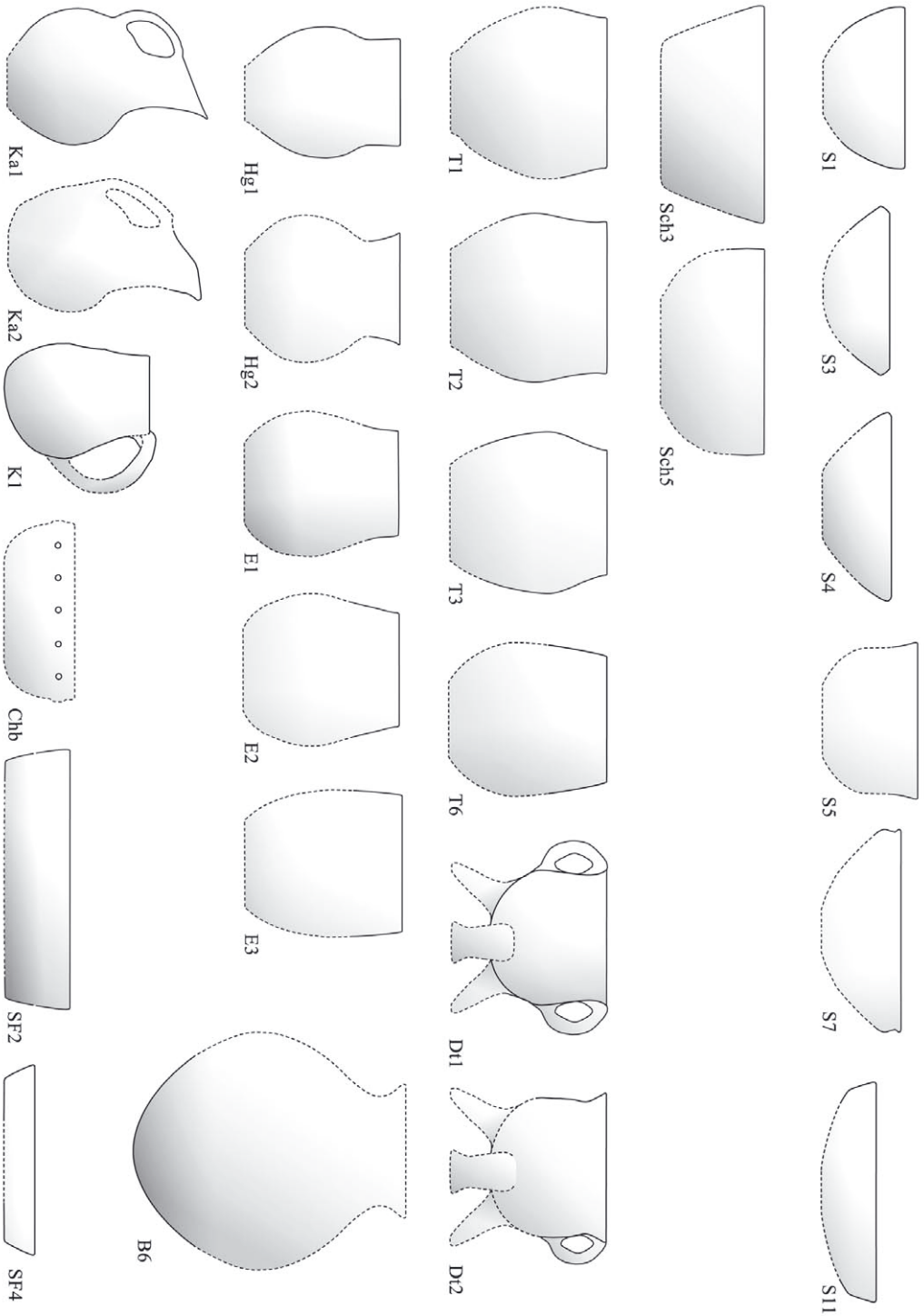


Abb. 73 Typologie der Gefäßformen der Phasen ÇuHö VII–V.
(Graphik: Ch. Schwall, M. Röcklinger/ERC Prehistoric Anatolia)

A	regelmäßig gerundete Lippe	
B	spitz ausgezogene Lippe	
C	leicht verdickte Lippe	
D	horizontal abgestrichene Lippe	
F	nach innen geschwollener Rand	
G	schräg nach außen abgestrichener und verdickter Rand	
H	schräg nach außen abgestrichener Rand	
I	außen verdickte Lippe	
K	schräg nach innen abgestrichene und verdickte Lippe	
L	ausbiegender verdickter Rand	
N	innen abgestrichene Lippe	
O	außen abgestrichene Lippe	
P	schräg nach innen abgestrichener Rand	
Q	gerollter Rand	
S	ausbiegender Rand	
T	horizontal abgestrichener und nach außen verdickter Rand	
U	nach innen verdickte Lippe	

Abb. 74 Relevante Rand- und Lippenformen der Phasen ÇuHö VII–V. (Graphik: M. Röcklinger/ERC Prehistoric Anatolia)

Offene Gefäßformen						
Schalen						
	ÇuHö VII	**ÇuHö VIb**	**ÇuHö VIa**	**ÇuHö Vb**	**ÇuHö Va**	**Σ**
S1	**9**	**1**	**20**	**46**	**17**	**93**
S3	**5**	**2**	**12**	**5**	**1**	**25**
S4	**35**	**11**	**30**	**33**	**11**	**120**
S5	0	0	**6**	**7**	**2**	**15**
S7	**1**	0	0	0	0	**1**
S11	0	0	**1**	**1**	0	**2**
Σ	**50**	**14**	**69**	**92**	**31**	**256**
Schüsseln						
Sch3	**4**	0	0	**6**	**1**	**11**
Sch5	**3**	0	0	0	0	**3**
Σ	**7**	**0**	**0**	**6**	**1**	**14**
Töpfe						
T1	0	0	**2**	0	0	**2**
T2	**6**	0	**5**	**3**	**2**	**16**
T3	**1**	**2**	**3**	0	0	**6**
T6	**3**	0	**2**	**1**	0	**6**
Σ	**10**	**2**	**12**	**4**	**2**	**30**
Dreifußkochtöpfe						
Dt1	0	**1**	**1**	**1**	0	**3**
Dt2	0	0	0	0	**1**	**1**
Σ	**0**	**1**	**1**	**1**	**1**	**4**
Σ	**67**	**17**	**82**	**103**	**35**	**304**

Tab. 8 Verteilung der offenen Gefäßformen auf die Siedlungsphasen ÇuHö VII–V (n=304; vgl. IX.3.).

eine Anzahl von 1363 Keramikfragmenten. Von diesen müssen 18 Exemplare[1641] abgezogen werden, da es sich bei diesen um Handhaben oder Dekor an bereits gezählten Objekten handelt.

IV.4.3.1. Offene Gefäßformen

Zu den offenen Gefäßformen zählen Schalen, Schüsseln, Töpfe und Dreifußkochtöpfe (vgl. Tab. 8; Abb. 80). Diese haben Gefäßöffnungen, die entweder genauso groß oder größer als der maximale Durchmesser des Bauches sind.[1642]

IV.4.3.1.1. Schalen

Schalen machen 38,91% des gesamten Formenspektrums innerhalb der Siedlungen ÇuHö VII–V aus und können von den Schüsseln aufgrund des Verhältnisses der geringeren Höhe zum größeren Randdurchmesser abgegrenzt werden.[1643] Zu den hier vertretenen Schalenformen gehören: kalottenförmige Schalen (S1), Knickrandschalen (S3), weitmundige Schalen (S4), Schalen mit einer sanft geschwungenen Wandung (S5), Kehlrandschalen mit s-förmigen Profil (S7) und

[1641] 3 (Ö3), 3 (Kn1), 4 (WS1), 1 (WS9), 1 (WS2D), 6 (Kn4).
[1642] Horejs 2007, 89.
[1643] Seeher 1987a, 25; Horejs 2007, 90; Schreg 2007, 31; Blum 2012, 195; Röcklinger 2015, 36–37.

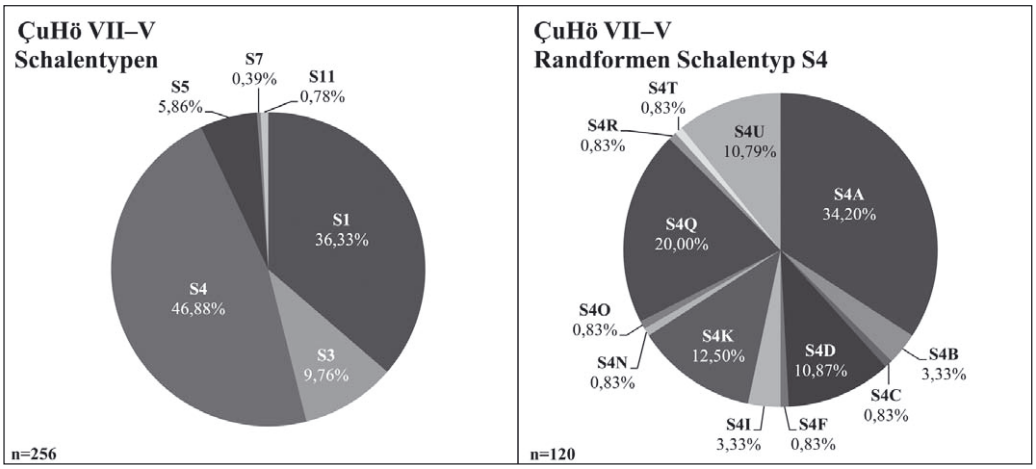


Abb. 75 Verteilung der Schalentyen (links) sowie der Randformen der Schalen des Typs S4 auf die Siedlungsphasen ÇuHö VII–V. (Graphik: Ch. Schwall/ERC Prehistoric Anatolia)

weitmundige Schalen mit nach innen geklapptem Rand (S11; vgl. Abb. 73). Von den insgesamt 256 Schalenfragmenten wird der überwiegende Teil durch kalottenförmige (36,33%) und weitmundige (46,88%) Schalen repräsentiert (Abb. 75; Tab. 8). Prinzipiell lässt sich von Phase ÇuHö VII bis Subphase ÇuHö Vb ein Anstieg der Schalen von 11,44% auf 24,08% registrieren. Im Inventar findet sich kein Fragment mit zugehörigem Boden, jedoch stammen beispielsweise aus den Planierungen ÇuHö VIb/VII (Taf. 12.297) und ÇuHö IV/Va (Taf. 43.1269) Flachböden (B1A; s. u. IV.4.3.4.5.), die aufgrund ihrer Form zu Schalen gehören.

Die kalottenförmigen Schalen (**S1**) besitzen eine halbsphärische Form und sind mit 95 Exemplaren im Inventar vertreten.[1644] Insbesondere ab der Subphase ÇuHö VIa finden sie sich vermehrt im Inventar. Mit insgesamt 60,00% (n=57) überwiegen deutlich die kalottenförmigen Schalen mit einer regelmäßig gerundeten Randlippe (S1A; vgl. z. B. Taf. 8.206; 35.980). Auffällig ist zudem das Vorkommen von Randformen mit nach innen verdickter Lippe (S1U) vor allem in der Subphase ÇuHö Vb mit 10 von insgesamt 12 Exemplaren (vgl. z. B. Taf. 32.886; 36.1004). In den Subphasen ÇuHö VIa und Vb finden sich zudem zwei Ränder mit gerolltem Rand (S1Q) an diesem Schalentyp.[1645] Schräg nach innen abgestrichene und verdickte Lippen (S1K) sind jeweils durch ein Exemplar in den Siedlungen ÇuHö Vb und Va vertreten (Taf. 36.1016; Kat.-Nr. 1284). Als Handhaben der kalottenförmigen Schalen sind kleinformatige randständige oder leicht unterrandständige, unverzierte Vertikalhenkel mit ovalem Querschnitt (H1A; vgl. z. B. Taf. 25.567; 43.1257; s. u. IV.4.3.4.1.) oder Bandhenkel (H3A; vgl. z. B. Taf. 29.812; s. u. IV.4.3.4.1.) bekannt. Außerdem findet sich eine randständige, horizontal durchbohrte Knubbe (Kn1; Kat.-Nr. 1193; s. u. IV.4.3.4.2.) und eine leicht unterrandständige, walzenförmige Schnuröse an den Gefäßen (Ö1Ca; Taf. 39.1100; s. u. IV.4.3.4.4.). Aufgrund der bereits oben erwähnten Fragmente von Flachböden (B1A; Taf. 12.297; 43.1269; s. u. IV.4.3.4.5.) scheint eine solche Bodengestaltung wahrscheinlich. Eventuell könnte ein Miniaturgefäß des Typs S1 auch einen Rundboden besitzen (Taf. 29.798; s. u. IV.4.3.4.5.), jedoch ist unsicher, ob bei diesem Fragment eine Randpartie erhalten ist, weshalb hier vordergründig von einem Boden ausgegangen werden muss.

[1644] Kat.-Nr. 40–41, 142–144, 212–214, 223, 504, 536, 548–549, 562, 564–568, 572, 577–581, 653, 702, 708–709, 786, 788, 812, 815, 818, 820–822, 824, 880, 882, 885–886, 891, 894, 975, 980, 984, 986, 1004–1005, 1008, 1011–1014, 1016, 1019, 1021–1022, 1024, 1026, 1100, 1104–1106, 1110, 1113, 1115–1116, 1119, 1121–1125, 1127–1128, 1193, 1198, 1200, 1218, 1220, 1223, 1257–1259, 1284, 1287–1293, 1328.

[1645] Kat.-Nr. 786, 1012.

Bei Knickrandschalen (**S3**) handelt es sich um eine bauchige Schale mit einem charakteristisch einknickenden Randbereich. Insgesamt 25 Fragmente von Knickrandschalen (9,76% aller Schalen) sind im Fundmaterial vertreten (Abb. 75; Tab. 8). Diese finden sich bereits ab der Phase ÇuHö VII (5 Stk.) und besitzen neben einem markanten Umbruch des Randbereichs (vgl. z. B. Taf. 8.200; 9.222) teilweise auch eine sanfter profilierte Umbruchzone (vgl. z. B. Taf. 8.208, 211). Der Neigungswinkel liegt bei drei Exemplaren bei 50°, jeweils ein Exemplar besitzt einen Winkel von 39° und 68°.[1646] Mehr Exemplare stammen aus dem Material, dass zur Siedlung ÇuHö VIa (12 Stk.) gerechnet werden kann (vgl. z. B. Taf. 24.561; 25.585; 47.1). Hier liegen die Winkel der verschiedenen Knicke, neben einer Ausnahme mit 22°, zwischen 40° und 74°.[1647] Interessanterweise finden sich seit der Subphase ÇuHö VIa Knickrandschalen, die aus typisch frühbronzezeitlichen Warengruppen (WG 41, 48, 50, 53, 55, 61; n=12) hergestellt wurden.[1648] Hingegen sind nur noch zwei typisch spätchalkolithische Fabrikate bei diesen Schalentypen vertreten (WG 19, 37; n=6).[1649] Unter diesen stechen insbesondere die Warengruppen 53 und 55 hervor. Daher kann bereits in spätchalkolithischer Zeit ein Einsetzen der später typischen Waren für die Produktion von Knickrandschalen belegt werden. Die Variation der Lippenformen der Knickrandschalen ist begrenzt. Deutlich überwiegt der Anteil mit regelmäßig gerundeter Lippe (S3A; 20 von 25 Stk.). Lediglich vereinzelt treten Schalen mit spitz ausgezogener Lippe (S3B; vgl. z. B. Taf. 24.561) auf. Als Handhaben finden sich an zwei Exemplaren der Subphase ÇuHö VIa unterknickständige, horizontal durchbohrte Knubben (Kn1; Taf. 24.561; 25.585; s. u. IV.4.3.4.2.) sowie aus der Subphase ÇuHö Vb ein randständiger Horizontalhenkel mit triangulärem Querschnitt (H7B, vgl. Kat.-Nr. 1107; s. u. IV.4.3.4.1.).[1650] Als Bodenform der Knickrandschalen sind, aufgrund der Analogien zum frühbronzezeitlichen Formenspektrum der Phasen ÇuHö III–IV, Rundböden (B6) wahrscheinlich.[1651] Dennoch können auch andere Bodenlösungen nicht ausgeschlossen werden.

Die weitmundigen Schalen (**S4**) besitzen eine ausladende Form mit einer geraden bis geschwungenen Wandung (vgl. z. B. Taf. 2.64; 4.116). Mit 46,88% (n=120; Tab. 8) aller Schalen stellt dieser Typ die gängigste Variante der Schalen dar und ist in allen Phasen (ÇuHö VII–V) vertreten (Abb. 75).[1652] Bei Schalen dieser Art zeigt eine Analyse der Randformen Auffälligkeiten (Abb. 75). Mit 34,20% dominieren die Ränder mit regelmäßig gerundeter Lippe (S4A). Gefolgt werden diese von Exemplaren mit eingerolltem Rand (S4Q; 20,00%; vgl. z. B. Taf. 27.714; 46.1), sogenanntem *rolled rims*, die für das Spätchalkolithikum charakteristisch sind, und Schalen mit schräg nach innen abgestrichener und verdickter Lippe (S4K; 12,50%; vgl. z. B. Taf. 35.982; 46.2). Auffällig sind die unterschiedlich ausgeprägten Randformen der S4K-Variante (vgl. z. B. Taf. 26.661; 35.982).[1653] Anhand dieser scheint hier ein Entwicklungsprozess der Varianten mit eingerolltem Rand (S4Q) zu Exemplaren mit schräg nach innen abgestrichener und verdickter Lippe (S4K) fassbar, die letztlich mit dem Beginn der Frühbronzezeit 1, am Beginn von Troia I (Blegen Typ A6) gängig werden (Abb. 76).[1654] Die gleichzeitige Präsenz beider Randformen

[1646] Kat.-Nr. 200, 208, 211, 218, 222.
[1647] Kat.-Nr. 560–561, 570–571, 574–576, 582–585, 790.
[1648] Kat.-Nr. 560–561, 570–571, 574, 584–585, 790, 884, 1107, 1111–1112.
[1649] Kat.-Nr. 575–576, 582–583, 1020, 1221.
[1650] Diese Henkel sind auch aus den frühbronzezeitlichen Phasen des Çukuriçi Höyük bekannt (Röcklinger 2015, 38). Ein weiterer Henkel mit einer solchen Form, ebenfalls von einer Knickrandschale, wurde bei der Museumsgrabung 1996 gefunden und dürfte auch ebenfalls der Frühbronzezeit angehören (Evren 1999, 29, Abb. 19).
[1651] Röcklinger 2015, 37.
[1652] Kat.-Nr. 7, 32–33, 64, 74–76, 113–116, 170–171, 174–178, 201–207, 209, 215–217, 219–221, 376, 382–383, 439–440, 472, 474–475, 484, 495, 502–503, 505, 522, 547, 558–559, 563, 569, 573, 586, 652, 654–662, 703, 705, 707, 710–717, 789, 807, 813–814, 816–817, 819, 823, 878–879, 887, 889, 893, 982–983, 1000, 1006–1007, 1009–1010, 1015, 1017–1018, 1023, 1025, 1101–1103, 1108–1109, 1114, 1117–1118, 1120, 1126, 1194, 1197, 1199, 1201, 1222, 1283, 1285–1286, 1294, 1329–1330.
[1653] Je nach stärkerer Ausprägung des Randes zur Variante S4Q oder S4K wurden die Übergangsformen den jeweiligen Varianten zugewiesen.
[1654] Vgl. Blegen et al. 1950, 58–59, Taf. 253–255.

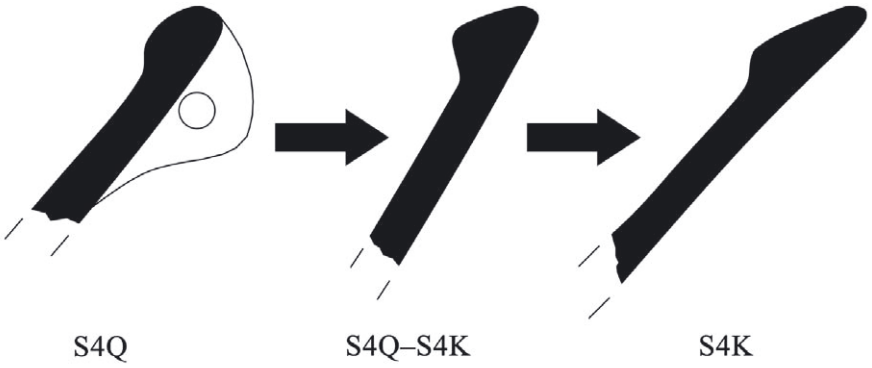


Abb. 76 Entwicklungsprozess von der Randform mit eingerolltem Rand (S4Q) zur schräg nach innen abgestrichenen und verdickten Lippe (S4K). (Graphik: Ch. Schwall/ERC Prehistoric Anatolia)

verdeutlicht zudem, dass mit einem dynamischen Transformationsprozess zu rechnen ist, in dem diese Formen einige Zeit nebeneinander existieren, bevor sie sich ablösen. Im Hinblick auf die übrigen Randformen lässt sich keine Tendenz für ein Auslaufen oder Einsetzen zu einem bestimmten Zeitpunkt nachweisen. Als Handhaben finden sich in der Phase ÇuHö VII zwei Exemplare mit randständigen, horizontalen Tunnelösen (Ö3; Taf. 4.116; 9.220; s. u. IV.4.3.4.4.) sowie eine Schale mit einem ebenfalls randständigen, unverzierten Vertikalhenkel mit breitem Querschnitt (H2A; Taf. 6.174; s. u. IV.4.3.4.1.). Beide Handhaben, Ö3 (Taf. 27.714; s. u. IV.4.3.4.4.) und ein kleinformatiger H2A (Taf. 21.547; s. u. IV.4.3.4.1.), sind auch aus der Subphase ÇuHö VIa bekannt. Ab der Subphase ÇuHö Vb treten keine Tunnelösen mehr an den weitmundigen Schalen auf. Aus diesem Horizont sind hingegen randständige, unverzierte Vertikalhenkel mit ovalem (H1A; Taf. 35.985; s. u. IV.4.3.4.1.) und breitem (H2A; Taf. 29.816; 37.1018; s. u. IV.4.3.4.1.) Querschnitt bekannt. Im Material der Subphase ÇuHö Va findet sich lediglich ein randständiger, eingesattelter Bandhenkel (H3C; Taf. 42.1222; s. u. IV.4.3.4.1.). Wie auch bei den Schalen des Typs S1 deuten die gefundenen Flachböden (B1A; Taf. 12.297; 43.1269; s. u. IV.4.3.4.5.) eine solche Bodenform der Schalen an. Interessant ist zudem eine mit Weißbemalung verzierte Wandscherbe (WS1; s. u. IV.4.4.1.) aus der Subphase ÇuHö Va. Bei dieser ist der Rand zwar nicht vollständig erhalten, jedoch handelt es sich eindeutig um ein Randfragment einer S4K (Taf. 41.1215). Im Randbereich trägt diese Schale als Dekor eine Kreuzschraffur, die sich vornehmlich auf den Lippenbereich beschränkt.

Schalen mit einer sanft geschwungenen Wandung (**S5**) besitzen einen leicht ausladenden Randbereich, der nach unten hin steil abfällt und in einer einziehenden unteren Gefäßpartie, vermutlich mit Flachboden, endet. Unter den Schalentypen ist diese Art von Schalen mit lediglich 15 Exemplaren nur in geringem Ausmaß (5,86%) im Inventar enthalten (Abb. 75; Tab. 8).[1655] Auch die Varianz der Lippenformen ist gering. So finden sich nur Exemplare mit regelmäßig gerundeter (S5A) und spitz ausgezogener (S5B) Lippe. Generell sind solche Schalen aus typisch spätchalkolithischen Fabrikaten hergestellt. Erst ab der Subphase ÇuHö VIa tauchen im Material wenige Exemplare aus „frühbronzezeitlichen“ Waren auf. Gefertigt aus neolithischen Waren ist dieser Typ jedoch aus Schichten der Phasen ÇuHö VII–Vb bekannt. Ein deutlich früheres

[1655] Kat.-Nr. 530, 651, 701, 704, 706, 787, 881, 883, 890, 892, 896–898, 1219, 1292.

Auftreten der Schalen des Typs S5 ist bereits in spätneolithischer Zeit (ÇuHö IX–VIII) belegt.[1656] Bei den Funden aus der Phase ÇuHö VII–Vb scheint es aufgrund der Warengruppe möglich, dass es sich um ältere, verlagerte Scherben handelt. Bei den Schalenfragmenten aus Waren der hier betrachteten Zeitstellung sind Imitationen dieses Typs hingegen denkbar.

Im gesamten Inventar findet sich ein kleines Fragment einer Kehlrandschale mit s-förmigem Profil und regelmäßig gerundeter Lippe (**S7**A; Taf. 9.210; Tab. 8). Das Fragment stammt aus der Planierung ÇuHö VIb/VII und ist somit der Siedlungsphase ÇuHö VII zuzurechnen. Zwar überrascht die Singularität dieses Schalentyps, jedoch ist dies vielleicht den nur ausschnittweise erfassten Befunde und dem somit noch relativ unbekannten Spektrum an keramischem Material der Phase ÇuHö VII geschuldet.

Mit lediglich zwei Exemplaren sind im Material weitmundige Schalen mit nach innen geklapptem Rand (**S11**) vertreten. Die Fragmente besitzen beide eine regelmäßig gerundete Lippe (S11A; Taf. 24.549; 39.1116; Tab. 8) und stammen aus den Horizonten ÇuHö VIa und Vb. Auch diese beiden Fragmente stehen relativ isoliert da. Fraglich ist, ob diese als Ausläufer einer eher inneranatolischen Schalenform im zentralägäischen Küstengebiet aufzufassen sind, wie dies vergleichbare Funde aus Demircihüyük denkbar erscheinen lassen.[1657]

IV.4.3.1.2. Schüsseln

Schüsseln können aufgrund des Verhältnisses ihrer Höhe zum Randdurchmesser von den Schalen abgegrenzt werden. Mit lediglich 14 Exemplaren ist der Anteil an Schüsseln im Inventar nur gering (Abb. 73; Tab. 8). Zwei Typen können anhand ihrer Randfragmente unterschieden werden.

Schüsseln mit einer steilen bis konischen Wandung (**Sch3**) sind mit 11 der 14 Exemplare im Material vertreten (vgl. z. B. Taf. 32.888; 34.977; Tab. 8) und beschränken sich auf die Phasen ÇuHö VII und V.[1658] Bei der Randform dominieren, neben zwei Einzelstücken (Sch3D, Sch3K), die Ränder mit regelmäßig abgerundeter Lippe (Sch3A) mit 9 Fragmenten. Als Handhaben können randständige Vertikalhenkel mit ovalem (H1A; Taf. 34.977; s. u. IV.4.3.4.1.) und breitem (H2A; Taf. 35.985; s. u. IV.4.3.4.1.) Querschnitt genannt werden. Die steile bis konische Form spricht für eine abgeflachte Bodenpartie dieses Typs.

Zu den Schüsseln mit einer geraden Wandung (**Sch5**) zählen drei Fragmente.[1659] Diese stammen allesamt aus der Phase ÇuHö VII. Ein Boden mit Scheibenbasis (B2B; Taf. 13.307; Tab. 8), der ebenfalls aus dieser Phase stammt, könnte als Boden für Schüsseln dieser Form gedient haben (s. u. IV.4.3.4.5.).

Interessanterweise wurden drei Schüsseln der Phase ÇuHö VII sowie der Subphasen ÇuHö Vb und Va (Taf. 32.888; Kat.-Nr. 169, 1327) aus der typisch frühbronzezeitlichen Warengruppe 51 hergestellt. Dies spricht für ein früheres Auftreten dieser Warengruppe in spätchalkolithischer Zeit. Dass es sich bei beiden Schüsseltypen jedenfalls um Formen handelt, die bereits aus neolithischen Waren gefertigt wurden, zeigen Fragmente (n=13), die vor allem aus der Phase ÇuHö VII stammen (9 von 13). Bei diesen Objekten scheint es sich, wie bei den Schalen S5, um verlagertes Material zu handeln. Die lediglich drei Fragmente der Schüsseln des Typs 5 aus der Phase ÇuHö VII belegen, dass dieser Typ in der spätchalkolithischen Zeit keine Rolle mehr spielte. Vielmehr sind die Schalen des Typs 5 dem Neolithikum zuzurechnen, wie Funde aus den Phasen ÇuHö IX und VIII zeigen.[1660] Anhand dieser älteren Vergleiche ist ein Boden in Form einer Scheibenbasis

---

[1656] Galik – Horejs 2011, 87, Abb. 5b; Horejs 2012, 129, Abb. 6B; 131, Abb. 10C. – Zur Datierung siehe Horejs et al. 2015, 313.

[1657] Vgl. z. B. Seeher 1987a, Taf. 24.20; 25.9, 18. – Seeher behandelt diese Schalen zusammen mit den Kehlrandschalen (Typ 2; Seeher 1987a, 39).

[1658] Kat.-Nr. 73, 169, 198–199, 888, 895, 977, 985, 1098–1099, 1327. – Auch bei dem Randfragment Kat.-Nr. 428 scheint es sich vermutlich um eine Schüssel zu handeln.

[1659] Kat.-Nr. 197, 380–381.

[1660] Galik – Horejs 2011, 87, Abb. 5c; Horejs 2012, 131, Abb. 10E.

für die Schüsseln denkbar. Dass die Schüsseln des Typs 3 auch in neolithischer Zeit schon gefertigt wurden, belegen ebenfalls Fragmente aus den neolithischen Warengruppen. Jedoch kann für diese, trotz des Fehlens in der Phase ÇuHö VIa, aufgrund der Funde in der Phase ÇuHö V und der typisch frühbronzezeitlichen Warengruppen, eine längere Laufzeit angenommen werden.

IV.4.3.1.3. Töpfe

Bei den Töpfen handelt es sich um hohe, offene Gefäße, die ihren maximalen Durchmesser am Gefäßkörper besitzen. Eine Abgrenzung der Töpfe von den engmundigen Gefäßen (s. u. IV.4.3.2.2.) ist alleine anhand der kleinteiligen Fragmente oftmals schwierig (vgl. z. B. die Typen T6 und E2–3). Dass sich Topfformen somit unter den ähnlichen engmundigen Gefäßen finden, ist daher nicht auszuschließen.

Insgesamt finden sich 30 Randfragmente von Töpfen im Inventar (Tab. 8). Über 20 Exemplare stammen aus den Schichten der Phasen ÇuHö VII (10 Stk.) und VIa (12 Stk.). Es lassen sich bei den Töpfen für die hier behandelten Siedlungsphasen vier unterschiedliche Typen anführen (T1–3, T6; vgl. Abb. 73). Die Ausbildung des Bodens der Töpfe ist unklar. Bodenfragmente lassen sowohl Flachböden, Scheibenbasen als auch Standringe möglich erscheinen.

Töpfe mit einer sanft geschwungenen Wandung (**T1**) und mit einem weichen, bauchigen Übergang vom Gefäßoberteil zum -unterteil sind nur durch zwei Fragmente der Phase ÇuHö VIa (Taf. 28.791; Kat.-Nr. 588) belegt.

Töpfe mit einer steil konkaven Wandung (**T2**) sind durch 16 Fragmente vertreten. Das Oberteil dieses Typs fällt steil, leicht geschwungen ab und geht in ein bauchiges Unterteil über. Töpfe dieser Art finden sich ab der Phase ÇuHö VII im Inventar. Interessant ist in diesem Zusammenhang, dass nur zwei Randformen auftreten. Mit 13 von 16 Exemplaren dominieren die Ränder mit regelmäßig gerundeter Lippe (T2A;[1661] vgl. z. B. Taf. 1.1; 3.77) gegenüber den Vertretern mit horizontal abgestrichener Lippe (T2D;[1662] vgl. Taf. 25.589) deutlich. Ein Fragment eines Topfes besitzt einen unterrandständigen Vertikalhenkel mit breitem Querschnitt (H2A; Taf. 14.384; s. u. IV.4.3.4.1.). Auffällig ist zudem ein kleines Topffragment, das lineare Weißbemalung (WS1; s. u. IV.4.5.1.) in Form von zwei horizontal verlaufenden Linien unmittelbar unterhalb des Randbereichs und weiteren Resten auf dem Gefäßkörper besitzt (Taf. 29.825).

Lediglich wenige Fragmente (6 Stück) von Töpfen mit schräg konkaver Wandung (**T3**) finden sich in den Siedlungen ÇuHö VII bis VIa. Dieser Topftyp besitzt eine schräge und leicht konkave obere Partie, die sich, im Gegensatz zu den vorherigen Typen T1–2, deutlich markanter zum Unterteil hin absetzt. Auch hier finden sich nur Ränder mit regelmäßig gerundeter Lippe (T3A;[1663] vgl. z. B. Taf. 20.537) oder horizontal abgestrichener Lippe (T3D;[1664] vgl. Taf. 15.434). Bemerkenswerterweise lassen sich Töpfe dieser Art bereits in den spätneolithischen Schichten nachweisen.[1665] Ob das Fehlen dieses Topftyps in der Phase ÇuHö V als langsames Auslaufen dieses Typs gewertet werden kann, bleibt bis zur vollständigen Auswertung der Keramik der frühbronzezeitlichen Phase ÇuHö IV abzuwarten. Jedoch spricht das Fehlen dieses Typs aus frühbronzezeitlichen Waren in der Siedlungsphase ÇuHö III für eine derartige Vermutung.[1666]

Töpfe mit einer steilen Wandung (**T6**) ähneln den engmundigen Gefäßen der Typen E2–3 (s. u. IV.4.3.2.2.) und grenzen sich von diesen besonders durch ihre Größe und Dicke der Wandung ab. Diesem Typ können sechs Randfragmente zugeordnet werden, die sich vereinzelt in den Siedlungen ÇuHö VII, VIa und Vb finden. Wie bei den zuvor genannten Topftypen T2–3 sind wiederum

[1661] Kat.-Nr. 1, 42–43, 77, 226, 384, 664, 719, 825–827, 1295–1296.
[1662] Kat.-Nr. 589–590, 718.
[1663] Kat.-Nr. 496, 537, 720.
[1664] Kat.-Nr. 434, 441, 721.
[1665] Galik – Horejs 2011, 87, Abb. 5e.
[1666] Röcklinger 2015, 40–41.

nur die Ränder mit regelmäßig gerundeter Lippe (T6A;[1667] vgl. z. B. Taf. 32.899) oder horizontal abgestrichener Lippe (T6D;[1668] Taf. 10.224–225, 227) bekannt. Da sich dieser Topftyp lediglich mit einem Exemplar in der Subphase ÇuHö Vb findet, stellt sich auch hier die Frage nach einem möglichen Auslaufen dieses Typs in der spätchalkolithischen Zeit. Im frühbronzezeitlichen Material der Siedlung ÇuHö III ist dieser Typ jedenfalls nicht belegt,[1669] jedoch muss wiederum eine Auswertung des Materials der Phase ÇuHö IV abgewartet werden, bevor endgültige Schlüsse gezogen werden können. Eine Präsenz des Typs bereits in neolithischer Zeit, kann derzeit ausgeschlossen werden. Dennoch spielt vielleicht hier, neben der geringen Anzahl der sicher klassifizierbaren Gefäße, auch die Nähe der Form zu den engmundigen Gefäßen eine Rolle. Da gerade die Randfragmente des Topftyps T6 denen der engmundigen Gefäße E2–3 nahe stehen (s. u. IV.4.3.2.2.), scheint es möglich, dass kleinformatigere Topftypen mangels der Erhaltung in diese Formgruppe mit einbezogen wurden.

IV.4.3.1.4. Dreifußkochtöpfe

Bei den Dreifußkochtöpfen können zwei Typen unterschieden werden (Abb. 73). Zum einen gibt es Exemplare mit einer sanft geschwungenen Wandung (Dt1); zum anderen mit einem trichterförmig ausladenden Rand (Dt2).

Zum Typ der Dreifußkochtöpfe mit sanft geschwungener Wandung (**Dt1**) und zu den charakteristischen Füßen, die am unteren Gefäßbereich ansetzen, zählen 3 der 4 Fragmente (Tab. 8). Neben einem Exemplar, dass bis auf die Füße nahezu vollständig erhalten ist (Taf. 17.489), finden sich zwei weitere Fragmente, die diesem Typ zugerechnet werden können (Taf. 31.869; Kat.-Nr. 591). Das gut erhaltene Exemplar stammt aus der Phase ÇuHö VIb. Die anderen beiden stammen aus der Subphase ÇuHö Vb. Der fast vollständig erhaltene Dreifußkochtopf besitzt eine regelmäßig gerundete Lippe (Dt1A) und zwei leicht überrandständige Vertikalhenkel mit ovalem Querschnitt (H1A; s. u. IV.4.3.4.1.). Deutlich erkennbar sind drei Fußansätze im seitlichen, unteren Bereich des Gefäßes. Aufgrund der zahlreichen Fußfragmente, teilweise mit einem Ansatz an ein größeres Gefäßfragment (vgl. Taf. 3.68), unter den Funden sind diese sicher Dreifußkochtöpfen zuzuordnen. Als Zierelement finden sich auf den Seitenflächen des Dreifußkochtopfes zwei nebeneinander sitzende, einfache Knubbenapplikationen (Kn4; s. u. IV.4.3.4.2.). Gerade diese Applikationen sind charakteristisch für Dreifußkochtöpfe und treten auch im frühbronzezeitlichen Inventar auf.[1670] Ein ebensolcher Dekor ist auch von zwei weiteren Randfragmenten (Taf. 31.869; Kat.-Nr. 591) und einer Wandscherbe, die vermutlich zu einem Dreifußkochtopf gehört (Taf. 28.778), bekannt.

Lediglich ein Fragment kann einem Dreifußkochtopf des Typs **Dt2**A (Taf. 42.1224; Tab. 8) zugeordnet werden. Das Fragment aus der bereits frühbronzezeitlichen Subphase ÇuHö Va zeigt ein typisches Profil mit einer trichterförmig ausladenden Randpartie, welches deutliche Parallelen zu den Dreifußkochtöpfen der späteren frühbronzezeitlichen Phasen ÇuHö IV–III am Çukuriçi Höyük erkennen lässt.[1671] Zudem besitzt dieser Kochtopf einen randständigen Henkel mit einem ovalen Querschnitt, der im äußeren Bereich eingesattelt ist (H1C; s. u. IV.4.3.4.1.).

[1667] Kat.-Nr. 587, 663, 899.
[1668] Kat.-Nr. 224–225, 227.
[1669] Röcklinger 2015, 40–41.
[1670] Röcklinger 2015, 41. – Gute Vergleiche, zwar hier an einem Dt2A, finden sich auch in den spätchalkolithischen Schichten vom Heraion (Kouka 2014b, 51, Abb. 4A; Kouka 2015, 240, Abb. 6c).
[1671] Horejs 2010a, 168–169, 175, Abb. 7a; Horejs et al. 2011, 45, Abb. 8.1; Röcklinger 2015, 41.

Geschlossene Gefäßformen						
Halsgefäße						
	ÇuHö VII	**ÇuHö VIb**	**ÇuHö VIa**	**ÇuHö Vb**	**ÇuHö Va**	**Σ**
Hg1	**9**	**5**	**1**	**8**	**5**	**28**
Hg2	**22**	**5**	**22**	**21**	**14**	**84**
Σ	**31**	**10**	**23**	**29**	**19**	**112**
Engmundige Gefäße						
	ÇuHö VII	**ÇuHö VIb**	**ÇuHö VIa**	**ÇuHö Vb**	**ÇuHö Va**	**Σ**
E1	**42**	**14**	**11**	**12**	**2**	**81**
E2	**57**	**7**	**17**	**21**	**8**	**110**
E3	**2**	**2**	**1**	0	0	**5**
Σ	**101**	**23**	**29**	**33**	**10**	**196**
Krüge						
	ÇuHö VII	**ÇuHö VIb**	**ÇuHö VIa**	**ÇuHö Vb**	**ÇuHö Va**	**Σ**
K1	0	**1**	0	0	0	**1**
Σ	**0**	**1**	**0**	**0**	**0**	**1**
Kannen						
	ÇuHö VII	**ÇuHö VIb**	**ÇuHö VIa**	**ÇuHö Vb**	**ÇuHö Va**	**Σ**
Ka0	**5**	0	**2**	**11**	**2**	**20**
Ka1	**1**	0	0	0	0	**1**
Ka2	**3**	0	0	**2**	0	**5**
Σ	**9**	**0**	**2**	**13**	**2**	**26**
Σ	**141**	**34**	**54**	**75**	**31**	**335**

Tab. 9 Verteilung der geschlossenen Gefäßformen auf die Siedlungsphasen ÇuHö VII–V (n=335; vgl. IX.3.).

IV.4.3.2. Geschlossene Gefäßformen

Zu den geschlossenen Gefäßen zählen Formen, deren Gefäßöffnung kleiner ist als der maximale Durchmesser des Bauches.[1672] Im Folgenden werden hier Halsgefäße, engmundige Gefäße, Kannen und Krüge behandelt (Tab. 9; Abb. 80).

IV.4.3.2.1. Halsgefäße

Zu den Halsgefäßen zählen hohe, teils großformatige, geschlossene Gefäße mit einem klar abgesetzten Hals (Abb. 73). Die Halsgefäße sind insgesamt mit 112 Exemplaren (8,33%) im gesamten Inventar vertreten (Tab. 9). Unterschieden werden bei dieser Form Typen mit gerader (Hg1)[1673] und geschwungener Wandung (Hg2).[1674] Letztere stellen mit 75,00% (n=84) den größten Anteil der Halsgefäße dar. Mangels vollständiger Profile muss die Bodenform der Gefäße offen bleiben. Angemerkt sei zu dieser Gefäßform, dass eventuell kleinformatige Randfragmente von Kannen (s. u. IV.4.3.2.4.) oder Dreifußkochtöpfen (s. u. IV.4.3.1.4.) aufgrund der ähnlichen Form und der mangelnden Unterscheidungsmöglichkeit, in diese Gefäßform miteinbezogen sein können.

[1672] Horejs 2007, 89.

[1673] Kat.-Nr. 86, 89, 150, 227, 279, 285–286, 397, 399, 454, 477, 511, 515, 523, 542, 833, 835, 919, 989–990, 1034–1035, 1135, 1203–1204, 1229, 1299, 1332.

[1674] Kat.-Nr. 48, 66, 87–88, 122–124, 148–149, 153–154, 158, 179, 237, 278, 280–284, 396, 398, 453, 476, 478, 490, 500, 538, 551, 599–603, 674–677, 729–736, 795–796, 810, 831–832, 834, 915–920, 922, 988, 1002, 1033, 1091, 1136–1143, 1202, 1205–1206, 1230, 1263–1266, 1280, 1298, 1300–1303.

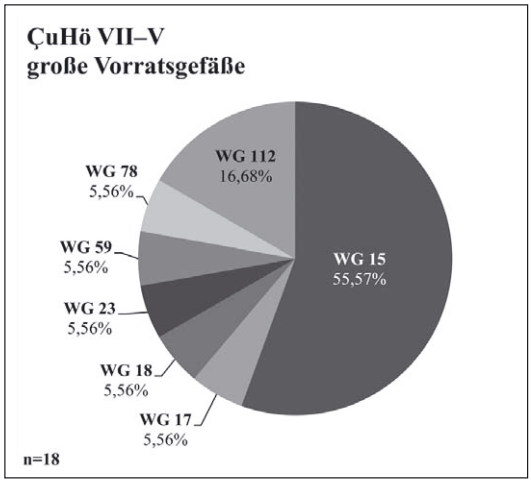


Abb. 77 Verteilung spezifischer Warengruppen auf große Vorratsgefäße der Phasen ÇuHö VII–V. (Graphik: Ch. Schwall/ERC Prehistoric Anatolia)

Halsgefäße mit einer geraden Wandung (**Hg1**) besitzen eine etwa zylinderförmige Halspartie mit einem abgesetzten Übergang zum Gefäßkörper (vgl. z. B. Taf. 21.542). Fragmente des Typs Hg1 finden sich in allen Phasen (ÇuHö VII–V; Tab. 9). Die Randform variiert, jedoch überwiegen regelmäßig gerundete Lippen (Hg1A; vgl. z. B. Taf. 39.1135) mit 10 von 28 Exemplaren. Als Handhaben finden sich an den Gefäßen unverzierte, rand- und unterrandständige Vertikalhenkel mit ovalem (H1A; Taf. 41.1204; s. u. IV.4.3.4.1.) oder breitem Querschnitt (H2A; Taf. 11.277; Kat.-Nr. 454; s. u. IV.4.3.4.1.).

Die Halsgefäße mit geschwungener Wandung (**Hg2**) besitzen eine ausladende Halspartie, die sich nach unten hin verjüngt und sanft in den Gefäßkörper übergeht. Wie bei den Halsgefäßen des Typs Hg1 sind Bruchstücke solcher Gefäße in allen hier bearbeiteten Siedlungsphasen vertreten (Tab. 9). Ein Gefäß, dessen Profil bis auf den Boden weitestgehend erhalten ist, stammt aus der Phase ÇuHö VIb (Hg2H; Taf. 17.490). Dieses Gefäß besitzt einen langen geschwungenen Hals, der in einen tief sitzenden Bauch übergeht. Am Gefäßkörper finden sich zwei gegenüberliegende Ansätze unverzierter Vertikalhenkel mit ovalem Querschnitt (H1A; s. u. IV.4.3.4.1.). Ob die Henkel randständig oder unterrandständig ansetzen, kann aufgrund der Erhaltung nicht gesagt werden. Auch bei diesem Typ variieren die Randformen, jedoch dominieren mit 64,29% (n=54) die regelmäßig gerundeten Lippen (Hg2A; vgl. z. B. Taf. 6.179).

Auffallend sind unter den Halsgefäßen Fragmente, die auf sehr große Gefäße schließen lassen. Hier sollen nur Gefäße berücksichtigt werden, die einen Randdurchmesser besitzen, der größer als 30 cm ist. Insgesamt finden sich 18 Exemplare aus den Phasen ÇuHö VII–V, auf die dies zutrifft. Fünf Fragmente können dem Typ Hg1[1675] (vgl. z. B. Taf. 29.833; 33.919; 39.1135) zugewiesen werden und 13 Stück dem Typ Hg2[1676] (vgl. z. B. Taf. 5.149; 12.283–284; 37.1033; 41.1202; 44.1298). Aufgrund der Größe liegt eine Funktion als Vorratsgefäße nahe. Von diesen 18 Exemplaren können 10 Fragmente der Warengruppe 15 zugeordnet werden (Abb. 77; Taf. 47.2). Hierbei handelt es sich vermutlich um eine spezifische Ware, die für die Produktion solcher Gefäße verwendet wurde. Diesen großformatigen Gefäßen sind sicherlich außergewöhnlich große Vertikalhenkel des Inventares zuzuordnen, die ebenfalls aus der Warengruppe 15 hergestellt wurden (vgl. z. B. Taf. 36.995; 40.1152; 42.1235; 47.2; s. u. IV. 4.3.4.1.). Auch sind Wandscherben mit Durchlochungen (WS3) aus der gleichen Waren mit diesen zu verbinden (s. u. IV.4.4.4.). Aus der Subphase ÇuHö VIa stammt das Fragment eines sehr großen Rundbodens mit aufgetragener Standfläche (B6B; Taf. 20.535; s. u. IV.4.3.4.5.). Auch dieser wurde aus der Warengruppe 15 hergestellt und es ist davon auszugehen, dass dieser zu den großen Vorratsgefäßen gehört (vgl. B6; Abb. 73).

Pithoi, die für die frühbronzezeitlichen Schichten typisch sind, können für die Phasen ÇuHö VII–V nicht belegt werden. Jedoch finden sich ein Rand- und ein Bodenfragment (Taf. 45.1 unten links), die beide aus der grobkeramischen Warengruppe 35 hergestellt wurden. Diese

[1675] Kat.-Nr. 833, 919, 989, 1135, 1204.
[1676] Kat.-Nr. 149, 283–284, 476, 600–602, 1002, 1033, 1202, 1206, 1266, 1298.

Warengruppe wurde in der Frühbronzezeit neben der typisch frühbronzezeitlichen Warengruppe 45 für die Herstellung von Pithoi verwendet.[1677] Das Randfragment (Kat.-Nr. 1196) unbestimmter Form stammt aus der Subphase ÇuHö Va, besitzt einen Randdurchmesser von 54 cm mit einer Wandstärke von 1,1 cm und liefert so einen Hinweis, dass Vorratsgefäße aus dieser Ware hergestellt wurden. Das Fragment des Bodens (Kat.-Nr. 608; Durchmesser 16 cm) mit einer Wandstärke von 1,7 cm spricht ebenfalls für ein relativ großes Gefäß; dieses Fragment wurde jedoch im Material der Subphase ÇuHö VIa gefunden. Große Vorratsgefäße wurden offenbar während der spätchalkolithischen Zeit aus einer favorisierten Warengruppe (WG 15) hergestellt.[1678] Dennoch deutet das Bodenfragment aus der Subphase ÇuHö VIa bereits zu dieser Zeit eine Verwendung der späteren Pithosware Warengruppe 35 für die Herstellung von großen Vorratsgefäßen an. Ob sich hier letztendlich ein Trend in der Entwicklung von großen Vorratsgefäßen zu den Pithoi der frühbronzezeitlichen Horizonte ÇuHö Va–III abzeichnet, kann aufgrund des singulären Fundes nur vermutet werden.

IV.4.3.2.2. Engmundige Gefäße

Zu den engmundigen Gefäßen zählen solche Gefäße, deren Mündung kleiner ist als der maximale Umfang des Gefäßkörpers. Wie bereits bei den Töpfen (s. o. IV.4.3.1.3.) erwähnt, finden sich hier Formen, die den Topfformen nahe stehen. Auch mögliche kleinteilige Krug- (vgl. Taf. 16.471; s. u. IV.4.3.2.3.) oder Becherfragmente können sich aufgrund der ähnlichen Randform und der fehlenden Unterscheidungsmöglichkeit unter diesen befinden. Insgesamt können den engmundigen Gefäßen 196 Fragmente zugeordnet werden (Tab. 9). Dies entspricht 14,57% der Gesamtmenge der charakteristischen Fragmente. Drei Typen von engmundigen Gefäßen lassen sich in dem hier bearbeiteten Spektrum unterscheiden (Abb. 73): engmundige Gefäße mit steil konkavem Hals (E1), mit konisch einziehendem (E2) und konvex einziehendem Hals (E3). Auch bei den engmundigen Gefäßen muss die Bodenform der Gefäße mangels vollständiger Profile offen bleiben.

Den Gefäßen mit einem steil konkaven Hals (**E1**) können 81 Exemplare (41,33% aller engmundigen Gefäßfragmente) zugeschrieben werden und finden sich in allen Phasen (ÇuHö VII–V; Tab. 9).[1679] Mit 59,26% (n=48) heben sich Gefäße mit regelmäßig gerundeter Lippe (E1A; vgl. z. B. Taf. 15.447; 19.527) deutlich von den übrigen Randformen ab. Lediglich Exemplare mit einer spitz ausgezogenen Lippe (E1B; vgl. z. B. Taf. 10.232) sind noch mit über zehn Fragmenten (n=12; 14,81%) im Inventar vertreten. Als Handhabe ist ein unverzierter, randständiger Vertikalhenkel mit einem breiten Querschnitt (H2A; s. u. IV.4.3.4.1.) zu nennen (Taf. 19.527). Unterrandständige Handhaben sind lediglich durch einen nicht weiter bestimmbaren Ansatz einer Handhabe (WS4; Kat.-Nr. 264) belegt.

Engmundige Gefäße vom zweiten Typ (**E2**) stellen mit 56,12% (n=110; Tab. 9) die Mehrheit der Fragmente dieser Form.[1680] Die konisch einziehende Halspartie ist charakteristisch für diesen Typ. Ebenso wie der Typ E1 finden sich Fragmente dieser Gefäße in allen Phasen (ÇuHö VII–V).

[1677] Eder 2015, 12; Röcklinger 2015, 32.

[1678] Interessanterweise findet sich eine makroskopisch nahezu identische Ware, die wohl ebenfalls für große Gefäße verwendet wurde, auch unter den spätchalkolithischen Funden aus Milet. Für diese Information und Fotos der Ware sei O. Kouka vielmals gedankt.

[1679] Kat.-Nr. 2, 18–20, 35, 44, 47, 78, 80–81, 84, 118, 121, 229, 231, 233–235, 240, 244–248, 251–253, 256, 259, 262–264, 267–268, 271–275, 389, 393–394, 443–445, 447–450, 485–486, 499, 506, 508–509, 527, 592–593, 598, 666, 669, 724–726, 794, 808–809, 828, 830, 903–904, 906, 913, 1030–1031, 1129–1130, 1132–1133, 1225–1226.

[1680] Kat.-Nr. 3–4, 8, 12–17, 21, 34, 36–37, 45–46, 58–59, 79, 82–83, 85, 112, 117, 119–120, 145–147, 155, 157, 228, 230, 232, 236, 238–239, 241–243, 249–250, 254–255, 257–258, 260–261, 265–266, 270, 276, 386–388, 390–392, 395, 446, 451–452, 497–498, 507, 510, 550, 594–597, 665, 667–668, 670–673, 722, 727–728, 792–793, 829, 900–902, 905, 907–912, 914, 921, 974, 987, 1027–1029, 1032, 1131, 1134, 1227–1228, 1260–1262, 1279, 1297, 1331.

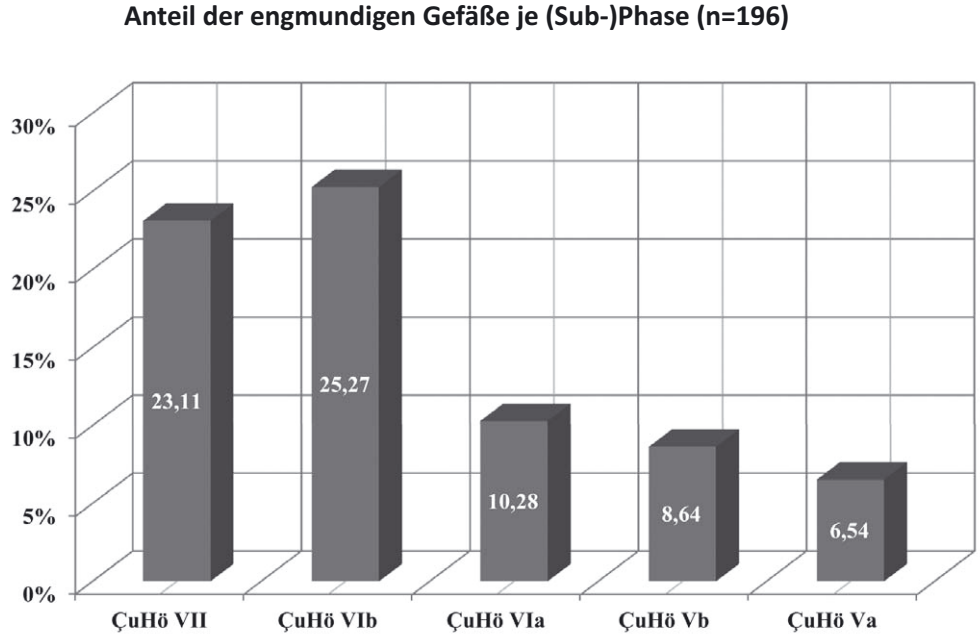


Abb. 78 Verteilung der engmundigen Gefäße auf die Phasen ÇuHö VII–V.
(Graphik: Ch. Schwall/ERC Prehistoric Anatolia)

Auch bei diesem Typ variieren die Randformen. Allerdings dominieren die regelmäßig gerundeten Lippen (E2A; vgl. z. B. Taf. 10.242; 18.507) mit 47,27% (n=52) im Spektrum. Diese werden gefolgt von leicht verdickten Lippen (E2C; 18,18%; n=20), spitz ausgezogenen Lippen (E2B; 15,45%; n=17) und horizontal abgestrichenen Lippen (E2D; 10,00%; n=11). Handhaben finden sich nur in Form von randständigen Vertikalhenkeln an zwei Fragmenten dieses Typs. Dabei handelt es sich einmal um einen Henkel mit ovalem Querschnitt (H1; Kat.-Nr. 119; s. u. IV.4.3.4.1.), der nicht weiter bestimmbar ist, sowie um einen unverzierten Henkel mit breitem, leicht kantig wirkendem Querschnitt (H2A; Taf. 18.507; s. u. IV.4.3.4.1.).

Die engmundigen Gefäße mit konvex einziehender Halspartie (**E3**) sind mit fünf Exemplaren nur ansatzweise im Inventar vertreten (Tab. 9).[1681] Alle Bruchstücke stammen aus den Phasen ÇuHö VII–VI und besitzen eine regelmäßig gerundete Lippenform (E3A; vgl. z. B. 21.723). Ein Ansatz einer randständigen Handhabe (WS4; Kat.-Nr. 385) deutet auf einen Vertikalhenkel hin. Interessant ist die geringe Anzahl dieses Typs sowie das vollkommene Fehlen in der Phase ÇuHö V. Bedingt durch die geringe Anzahl an Fragmenten lässt sich nur vermuten, dass dies eine Relevanz besitzt, zumal sich der Typ E3 noch im frühbronzezeitlichen Formenspektrum der Phase ÇuHö III findet.[1682] Für eine gewisse Kontinuität sprechen zumindest Funde aus den neolithischen Phasen und deuten eine längere Laufzeit dieses Typs an.[1683]

Bei einer Betrachtung der Verteilung der Gefäße mit engmundiger Form in ihrer Gesamtheit (Tab. 9) fällt auf, dass der Anteil dieser Gefäße im Inventar von den Phasen ÇuHö VII bis V abnimmt. Stellen die engmundigen Gefäße in der Phase ÇuHö VII und Subphase ÇuHö VIb noch über 20% des Gesamtinventars, so finden sich in der Subphase ÇuHö VIa nur noch knapp 10% (Abb.78). In der Phase ÇuHö V sinkt der Anteil letztlich auf ca. 6,5%.

[1681] Kat.-Nr. 269, 385, 442, 487, 723.
[1682] Röcklinger 2015, 45. – Eine Auswertung der Keramik der Phase ÇuHö IV bleibt abzuwarten.
[1683] Horejs 2012, 131, Abb. 10D.

IV.4.3.2.3. Krüge

Lediglich ein, nahezu vollständig erhaltener, Krug des Typs **K1** mit einer sackförmigen Grundform, die sich zur Mündung hin verjüngt (Taf. 16.471), findet sich im gesamten Inventar (Abb. 73; Tab. 9). Wie bereits erwähnt, kann nicht ausgeschlossen werden, dass sich, aufgrund der ähnlichen Form, Fragmente von Krügen den Typs K1 unter den engmundigen Gefäßen befinden (s. o. IV.4.3.2.2.). Der Krug stammt aus der Subphase ÇuHö VIb und besitzt eine regelmäßig abgerundete Lippe (K1A) und einen leicht überrandständigen, unverzierten Vertikalhenkel mit ovalem Querschnitt (H1A; s. u. IV.4.3.4.1.). Weiterhin besitzt der Krug einen einfachen Rundboden (B6A).

IV.4.3.2.4. Kannen

Gesicherte Kannenfragmente lassen sich nur in geringem Maße im Inventar nachweisen. Da der Zerscherbungsgrad der Kannen aufgrund der geringen Wandstärke oftmals sehr hoch ist, sind die Bruchstücke zumeist sehr kleinteilig erhalten. Daher kann nicht ausgeschlossen werden, dass sich einige Randfragmente von Kannen auch unter den Halsgefäßen (s. o. IV.4.3.2.1.) finden. Prinzipiell besitzen die Kannen eine Halspartie, die an einen kugelförmigen Gefäßkörper ansetzt. Als unterer Abschluss wird ein Rundboden oder ein schwach profilierter Flachboden (B1A; vgl. z. B. Taf. 42.1233; s. u. IV.4.3.4.5.) gedient haben.[1684] Vom Gefäßrand erstreckt sich bei diesen Kannen ein Vertikalhenkel, der am Gefäßkörper ansetzt (vgl. z. B. Taf. 24.552).

Im Typenspektrum der Phasen ÇuHö VII–V finden sich zwei unterschiedliche Kannentypen (Abb. 73): Schnabelkannen mit einem konkav geschwungenen Hals (Ka1) sowie Schnabelkannen mit einem zylinderförmigen Hals (Ka2). Insgesamt finden sich 26 Kannenfragmente (2,00% des Gesamtinventars) in den Phasen ÇuHö VII und V sowie in der Subphase ÇuHö VIa (Tab. 9). Von den 26 Fragmenten können jedoch nur 5 Bruchstücke eindeutig den Typen Ka1–2 zugeordnet werden. Bei den anderen 20 Fragmenten handelt es sich um Bruchstücke, die zwar von der Gefäßmündung, aber nicht aus dem Bereich des Ausgusses stammen, daher müssen diese als Kannen unbestimmten Typs (**Ka0**) definiert werden.

Kannen des Typs **Ka1** besitzen eine konkav geschwungene Profilierung. Lediglich ein Kannenfragment (Kat.-Nr. 377) ist aus der Phase ÇuHö VII bekannt und kann diesem Typ zugewiesen werden (Tab. 9). Zwar finden sich keine weiteren Fragmente, die diesem Typ eindeutig entsprechen, jedoch erlauben Analogien aus den spätchalkolithischen und frühbronzezeitlichen Schichten des Çukuriçi Höyük eine sichere Einordnung.[1685] Charakteristisch für diese Kannen sind Ausgüsse mit einem spitz zulaufenden Abschluss (Au1; Taf. 16.458; s. u. IV.4.3.4.8.).

Schnabelkannen mit Zylinderhals gehören dem Typ **Ka2** an und sind mit fünf Exemplaren in der Phase ÇuHö VII und der Subphase ÇuHö Vb vertreten (Tab. 9).[1686] Diese Kannen besitzen oftmals eine deutlich abgesetzte Halspartie, die zumeist in einem kurzen Ausguss mit eckigem Abschluss endet (Au2; vgl. z. B. Taf. 5.160; s. u. IV.4.3.4.8.). Als Handhaben können zwei überrandständige Henkel genannt werden. Bei einem Henkel handelt es sich um ein unverziertes Exemplar mit ovalem Querschnitt (H1A; Kat.-Nr. 552); bei dem zweiten handelt es sich um einen Bandhenkel unbestimmter Variante (H3; Kat.-Nr. 92).

Die Fragmente der Kannen (**Ka0**) überwiegen mit 20 Exemplaren (Tab. 9).[1687] Es sind Randfragmente, die sich mitunter nur schwer von den Halsgefäßen (s. o. IV.4.3.2.1.) abgrenzen lassen.

[1684] Ein weiteres Fragment eines kugeligen Körpers, der vermutlich zu einer Kanne gehörte und Weißbemalung trägt, stammt aus der Subphase ÇuHö Vb (Taf. 31.874).

[1685] In den spätchalkolithischen Schichten finden sich Fragmente dieses Typs (Horejs 2014a, 28, Abb. 10.Ka1M); siehe Beitrag Horejs in diesem Band (Kap. III.1.). Eine nahezu vollständig erhaltene Kanne dieses Typs stammt weiterhin aus Schichten der Frühbronzezeit 1 (Horejs 2008c, Abb. 15).

[1686] Kat.-Nr. 92, 180, 289, 836, 923.

[1687] Kat.-Nr. 90–91, 287–288, 290, 552, 604, 837–840, 991, 1036–1038, 1144–1146, 1304–1305.

Eine Zuordnung dieser Fragmente zu den Kannen basiert auf der Profilform, der Ausprägung des Randes, der Ware und den Analogien speziell zu den Kannenformen der spätchalkolithischen (N1–4) und frühbronzezeitlichen Siedlungsphasen des Çukuriçi Höyük.[1688] Auffällig ist in diesem Zusammenhang, dass 16 von 26 Fragmenten der Kannen der feinkeramischen Warengruppe 33 zuzurechnen sind.[1689] Bei den restlichen Scherben handelt es sich ebenfalls um fein- bis mittelkeramische Waren. An zwei Fragmenten finden sich Handhaben in Form von rand- und überrandständigen, unverzierten Henkeln mit ovalem Querschnitt (H1A; Taf. 12.288; 24.552; s. o. IV.4.3.2.1.). Ein Rand- oder Ausgussfragment trägt Weißbemalung (WS1; s. u. IV.4.4.1.) in Form von horizontalen Linien im Randbereich (Taf. 40.1146). Dieses Fragment wurde auch aus der feinkeramischen Warengruppe 33 hergestellt. Im Inventar sind sieben Halsfragmente mit einer Umbruchszone zum Gefäßkörper vertreten, die ebenfalls mit weißer Farbe bemalt wurden.[1690] Es ist allerdings unklar, ob diese letztendlich zu Kannen gehören oder nicht. Die Tatsache, dass vier dieser Halsfragmente (vgl. Taf. 26.641; 27.693; 40.1184; 43.1250) und insgesamt 13 der 24 Fragmente mit Weißbemalung aus der Ware 33 hergestellt wurden, gibt dennoch einen Hinweis auf die Zuordnung dieser Fragmente zu den Kannen.

IV.4.3.3. Sonderformen

Unter den Sonderformen werden Gefäße angeführt, bei denen es sich um spezielle, meist singuläre Formen im Gefäßspektrum handelt (SF 2, 4–6; Abb. 73).

Gesondert werden in diesem Zusammenhang die sogenannten *cheese pots* (Chb; Abb. 73) aufgeführt. Für solche Gefäße finden sich zwar mehrere Exemplare im Inventar, jedoch rechtfertigt die Variationsbreite der Form eine eingehendere Betrachtung.

Das determinierende Kriterium zur Einordnung eines Gefäßes als *cheese pot* ist eine Lochreihe unterhalb des Gefäßrandes. Insgesamt finden sich 13 Exemplare im Inventar (Tab. 10), die außer in der Subphase ÇuHö VIb auch aus den übrigen Siedlungen bekannt sind und hauptsächlich aus grober Keramik (insbesondere WG 32) hergestellt wurden.[1691] Da es verschiedene Gefäßformen gibt, kann den *cheese pots* kein bestimmter Typ (**Chb0**) zugeordnet werden. Neben Fragmenten, die einen schalenartigen Profilverlauf andeuten (vgl. z. B. Taf. 35.979), weisen andere Fragmente auf einen geraden Profilverlauf hin (vgl. z. B. Taf. 27.678; 33.924). Zudem müssen die Gefäße nicht zwingend eine runde Form besitzen, wie Randfragmente mit einem ovalen (Taf. 22–23.543; 50–51) bis eventuell sogar rechteckigen (Taf. 34.978) Verlauf nahe legen. So existieren neben schalenartigen zudem wannenartige Gefäße, wie dies insbesondere das Profil eines großen Exemplars belegt (Taf. 22–23.543; 50–51).[1692] Interessanterweise zeigt dieses Profil, dass sich der Gefäßrand auf einer Seite zum Gefäßboden hin verjüngt und öffnet. Ein derartiger Profilverlauf ist nicht unbekannt und findet sich beispielsweise an Fragmenten aus Tigani[1693] auf Samos oder der Malkayası-Höhle.[1694] Als Randformen fallen neben regelmäßig gerundeten Lippen (Chb0A; 4 von 13 Exemplaren; vgl. z. B. Taf. 22–23.543) insbesondere schräg nach außen abgestrichene und verdickte Ränder (Chb0G; 7 von 13 Exemplaren; vgl. Taf. 34.978; 35.979) auf. Durchlochte Wandfragmente (WS3; s. u. IV.4.4.4.) deuten ebenso auf *cheese pots* im Inventar hin. Als Bodenform kann zumindest für ein Exemplar ein Flachboden mit gerundetem Übergang zur Basis (B1A; Taf. 22–23.543; 50–51) festgehalten werden. Dass die Böden in der Form als auch der

[1688] Röcklinger 2015, 301, Taf. 29.
[1689] Kat.-Nr. 90–92, 180, 288–289, 552, 604, 991, 1036–1038, 1145–1146, 1304–1305.
[1690] Kat.-Nr. 641, 645, 693, 998–999, 1184, 1250.
[1691] Kat.-Nr. 67, 93, 543, 605, 678, 924, 978–979, 1039–1041, 1207, 1306.
[1692] Als Vergleich für ein gut erhaltenes wannenartiges Exemplar, zwar frühhelladischer Zeitstellung und aus Griechenland (Tsepi, Attika), siehe Pantelidou Gofa 2013, 173, Abb. 1; Pantelidou Gofa 2016, Taf. 108–109.1782 (freundlicher Hinweis E. Alram-Stern).
[1693] Felsch 1988, Taf. 35.8 (vermutlich Ph. IV).
[1694] Peschlow-Bindokat – Gerber 2012, 110, Abb. 47.

Sonderformen						
	ÇuHö VII	**ÇuHö VIb**	**ÇuHö VIa**	**ÇuHö Vb**	**ÇuHö Va**	**Σ**
Chb0	**2**	0	**3**	**6**	**2**	**13**
SF2	0	0	0	0	**2**	**2**
SF4	**1**	0	0	0	0	**1**
SF5	0	0	**1**	0	0	**1**
SF6	0	0	0	**1**	0	**1**
Σ	**3**	**0**	**4**	**7**	**4**	**18**

Tab. 10 Verteilung der Sonderformen auf die Siedlungsphasen ÇuHö VII–V (n=18; vgl. IX.3.).

Technik variieren, ist anzunehmen. Dies deutet nicht zuletzt ein Fragment eines Mattenabdruckes (WS8; Taf. 28.777; vgl. IV.4.5.5.) auf einem Boden der Warengruppe 32 an. Dieser kann zwar nicht zweifelsfrei einem *cheese pot* zugewiesen werden, dennoch macht die Ware eine derartige Zuweisung denkbar.

Es stellt sich die Frage, wie die Variationsbreite der Form der *cheese pots* zu interpretieren ist. Wie der Name schon andeutet, wird angenommen, dass diese Gefäße zur Herstellung von Milchprodukten wie Käse verwendet wurden, jedoch ist auch eine Verwendung zum Kochen möglich.[1695] Abgesehen von unterschiedlichen Einsatzmöglichkeiten der Gefäße, eventuell abhängig von der Form, sollte der möglicherweise rein funktionale Charakter der Lochreihe unterhalb des Randes nicht außer Acht gelassen werden. Abgesehen von der jeweiligen Verwendung scheint es denkbar, dass es sich hierbei um Löcher zur Befestigung einer organischen Abdeckung zum Schutz des Inhaltes handeln könnte. Mit Hilfe von Schnüren könnte so die Abdeckung am Randbereich des Gefäßes befestigt worden sein. Interessant sind in diesem Zusammenhang auch die dominierenden, schräg nach außen abgestrichenen und verdickten Ränder der *cheese pot*-Fragmente vom Çukuriçi Höyük (vgl. z. B. Taf. 34.978; 35.979). Die Löcher befinden sich unterhalb der äußeren Verdickung und unterstützen eine feste und sichere Fixierung einer Abdeckung.

Als Sonderform 2 (**SF2**; Abb. 73) werden Backwannen mit einem leicht ausklappenden Rand und einem flachen Boden bezeichnet, die aus Grobkeramik hergestellt wurden. Zwei Fragmente, vermutlich zu einem Gefäß gehörig, sind aus der frühbronzezeitlichen Subphase ÇuHö Va bekannt (Taf. 44.1281).

Ein singulärer Fund stellt ein Fragment eines Tellers (**SF4**; Abb. 71) aus der Siedlungsphase ÇuHö VII dar (Taf. 8.196). Dieser besitzt ein konisch verlaufendes Profil und einen runden Boden.

Überraschenderweise stammt ein Grifffragment einer Kykladenpfanne (**SF5**) aus einer Schicht, die der Subphase ÇuHö VIa zugerechnet werden kann (Taf. 26.649).[1696] Das Fragment eines fischschwanzförmigen, durchlochten Griffes ist auf beiden Flachseiten verziert. Auf der Oberseite finden sich vom Randbereich nach innen verlaufende, lineare Ritzungen, die weiß inkrustiert sind und spitz zulaufende Dreiecke darstellen. Diese sind wiederum mit inkrustierten Ritzungen gefüllt. Auf der Unterseite sind kleine keilförmige Einstiche (*Kerbschnitt*) zu sehen, die ebenfalls mit weißer Farbe inkrustiert sind. Zwei weitere Fragmente vergleichbaren Dekors wie auf der Oberseite des Griffes sind aus einem vermischten, rezent gestörten Kontext aus dem Areal M1 bekannt.[1697] Jedoch legen gerade der Dekor der Fragmente sowie die Ware nahe, dass es sich um

[1695] Hood 1981/1982, 174; Alram-Stern 2014, 314.
[1696] Für Hinweise zu diesem Fund sei E. Alram-Stern und J. Maran gedankt.
[1697] ÇuHö 12/5001/1/1 und 12/5001/1/159.

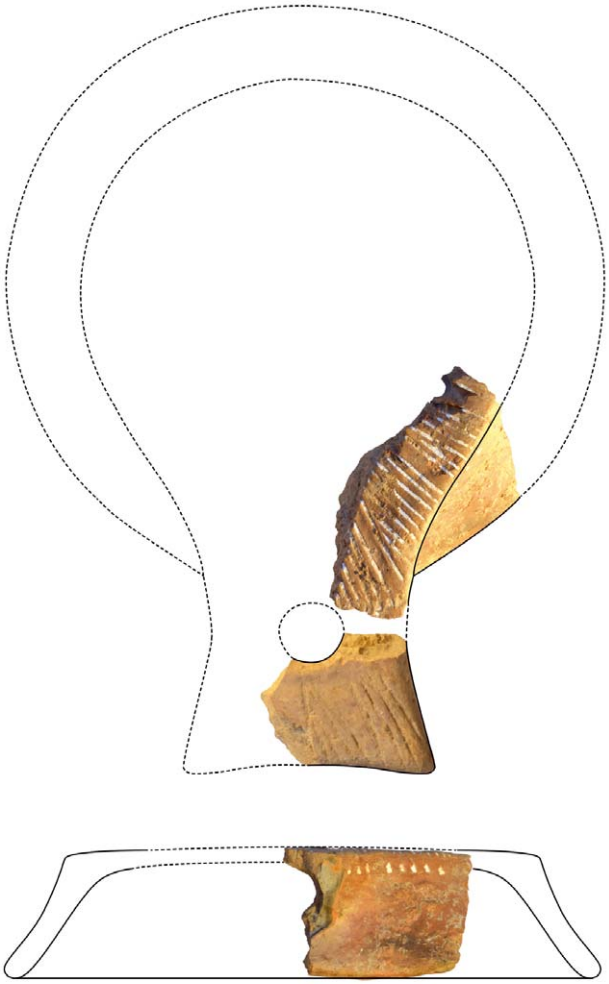


Abb. 79 Ergänzungsvorschlag der Kykladenpfanne vom Çukuriçi Höyük. (Fotos: Th. Urban; Graphik: Ch. Schwall, M. Röcklinger/alle ERC Prehistoric Anatolia)

Fragmente eines Gefäßes handeln dürfte (Abb. 79). Exemplare mit einem nahezu identischen linearen Dekor sind aus Bakla Tepe[1698] und Liman Tepe[1699] bekannt. Die Parallelen in der Motivik und ihrer Syntax, für die es keine direkten Entsprechungen auf den Kykladen gibt, deuten auf eine lokale Gruppe an der zentralwestanatolischen Küste hin. Es scheint sich bei diesen Funden um Imitationen der kykladischen Exemplare zu handeln. Dies wird auch durch die petrographischen Untersuchungen am Exemplar vom Çukuriçi Höyük unterstützt. Die Analysen von L. Peloschek deuten darauf hin, dass lokale/regionale Tonrohstoffe für die Herstellung verwendet wurden.[1700] Interessant ist der stratigraphische Kontext, der in die spätchalkolithische Zeit weist. Auch wenn das Grifffragment weit unterhalb der frühbronzezeitlichen Bebauung gefunden wurde, darf bei einem Einzelstück keineswegs die Möglichkeit einer Verlagerung, wie beispielsweise durch

[1698] Şahoğlu 2006; Şahoğlu 2008b, 154–155, 161, Abb. 5a; Erkanal – Şahoğlu 2012a, 94.
[1699] Kouka 2009, 145, Abb. 7; Erkanal – Şahoğlu 2012b, 225, Abb. 7.
[1700] Freundliche Mitteilung L. Peloschek (Februar 2016).

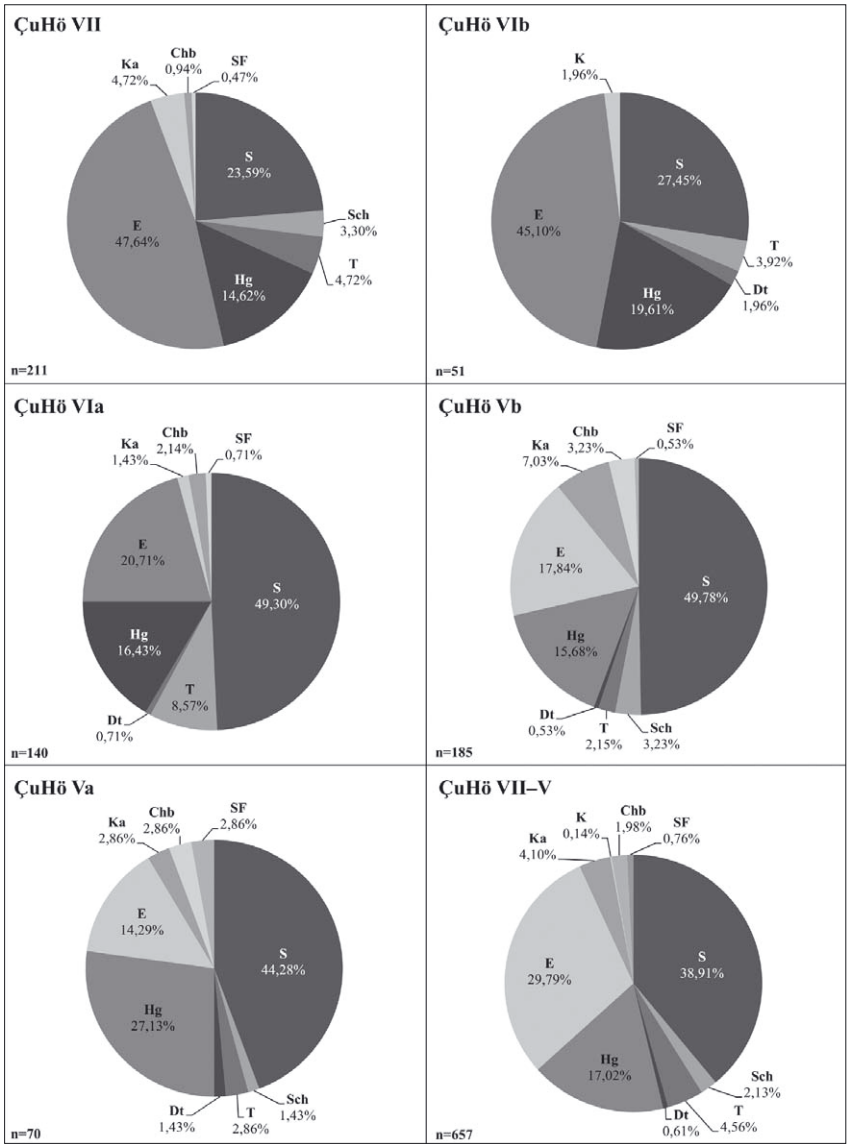


Abb. 80 Verteilung der einzelnen Gefäßformen auf die Phasen ÇuHö VII–V.
(Graphik: Ch. Schwall/ERC Prehistoric Anatolia)

Bioturbation ausgeschlossen werden, insbesondere wenn sich vermutlich zugehörige Fragmente des Gefäßes in jüngeren Schichten finden. Ebenfalls gegen eine Frühdatierung spricht, dass diese Pfannen erst in der Kampos Gruppe ab Frühkykladisch Ib (ab 2900 v. Chr.) auf den Kykladen auftauchen und eine weiträumige Verbreitung bis in das griechische Festland zeigen.[1701] Zwar scheinen sich die Kykladenpfannen aus den sogenannten Schalen oder Deckeln des Typs *Bratislava*,[1702] die speziell für den Balkanraum typisch sind,[1703] entwickelt zu haben, eine Datierung in

[1701] Coleman 1985, 192, Abb. III.1; Rambach 2000, 201–203, 434; Alram-Stern im Druck.
[1702] Maran 1997, 178; Maran 1998, 344–346.
[1703] Maran 1997, 191, Abb. 8; Maran 1998, 346, Taf. 73; Vgl. ebenso Coleman 2011 und mit jüngst publizierten Funden aus Serbien: Jovanović – Blagojević 2014.

die 2. Hälfte des 4. Jts. v. Chr. ist jedoch nicht anzunehmen.[1704] Generell legen die linearen und kurvolinearen Ritzverzierungen der Schalen/Deckel des Typs *Bratislava* auf dem griechischen Festland, wie beispielsweise aus Tsepi nahe Marathon, im Vergleich mit dem Dekor der Kykladenpfannen eine frühere Entwicklung der Motivik auf dem griechischen Festland nahe.[1705]

Als weitere Sonderform ist ein flaches, rechtwinkliges Keramikfragment mit einem etwa geraden Profil (**SF6**) zu nennen (Taf. 32.877). Das Fragment stammt aus der Subphase ÇuHö Vb und besitzt eine gerade verlaufende Seite. Vom Profil her ähnelt das Fragment Backplatten, wie sie beispielsweise aus Kuruçay 6A bekannt sind,[1706] jedoch besitzen diese eine runde Form. Aufgrund der kleinformatigen Erhaltung muss offen bleiben, ob es sich hierbei eventuell um ein Fragment einer flachen Backplatte handelt oder nicht.

IV.4.3.4. Gefäßbestandteile

Zu den Gefäßbestandteilen zählen Handhaben (Henkel, Griffknubben und -lappen, Ösen), Bodenformen, Füße, Deckel und Ausgussformen, die im Folgenden ausgewertet werden (Tab. 11; Abb. 92).

IV.4.3.4.1. Henkel

Im Inventar der Siedlungsphasen ÇuHö VII–V finden sich insgesamt 262 Henkelfragmente, die weiter in Vertikal- (H1–3, 8) und Horizontalhenkel (H4–7) unterteilt werden können (Abb. 81).[1707] Bei einem Exemplar handelt es sich um den Henkel eines Deckels (H9; Taf. 38.1096).

Vertikalhenkel des Typs **H1** mit ovalem Querschnitt stellen mit 58,40% (n=153) aller bestimmbarer Henkel deutlich die Mehrheit dar (Tab. 11; Abb. 82) und finden sich in allen hier betrachteten Siedlungen des Çukuriçi Höyük. Im Hinblick auf die Ausprägung der Henkel können auch diese wiederum in mehrere Varianten unterteilt werden. Neben unverzierten Henkeln (H1A) finden sich Sporenhenkel (H1B) sowie eingesattelte (H1C) und durchlochte (H1E) Exemplare.

Mit 141 von 153 Exemplaren (92,15%) überwiegen die unverzierten Henkel (H1A) deutlich (vgl. z. B. Taf. 4.132; 7.185).[1708] Auffallend unter den Henkeln sind insbesondere große Exemplare (Taf. 36.995; 40.1152; 42.1235), die aus der Warengruppe 15 hergestellt wurden und vermutlich zu großen Vorratsgefäßen gehören (s. o. IV.4.3.2.1.). Neben diesen großformatigen Henkeln finden sich über-, unter- und randständige Handhaben des Typs H1A an einem Krug (K1A; Taf. 16.471; s. o. IV.4.3.2.3.), an Halsgefäßen der Typen Hg1 (vgl. z. B. Taf. 41.1204; s. o. IV.4.3.2.1.) und Hg2 (vgl. z. B. Taf. 6.179; s. o. IV.4.3.2.1.), an Kannen (Ka0; vgl. z. B. Taf. 12.288; 24.552; s. o. IV.4.3.2.4.), an Schüsseln (Sch3; Taf. 34.977; s. o. IV.4.3.1.2.) sowie an Schalen der Typen S1 (vgl. z. B. Taf. 43.1257; s. o. IV.4.3.1.1.) und S4 (vgl. z. B. Taf. 37.1018; s. o. IV.4.3.1.1.).

Ein Henkelfragment mit kleinen sporenartigen Verzierungen (H1B; Taf. 7.184) stammt aus der Phase ÇuHö VII.

Henkel mit einer eingesattelten Außenseite (H1C; vgl. z.B. Taf. 3.98) sind mit zehn Exemplaren belegt und finden sich, außer in Subphase ÇuHö VIb, im Material der restlichen Siedlungs-

---

[1704] Zachos – Douzougli im Druck.

[1705] Pantelidou Gofa 2005, 310–316, Taf. 6.2; 9.1; 13.4; 16.1; Pantelidou Gofa 2016, 164–166, Taf. 76–77.1608; vgl. besonders: Zachos – Douzougli im Druck; für weitere Vergleiche siehe Coleman 2011.

[1706] Duru 1996, Taf. 57.2–3.

[1707] Ein Henkelfragment (Kat.-Nr. 626) muss aufgrund der Erhaltung unbestimmt bleiben.

[1708] Kat.-Nr. 24–25, 38–39, 52, 72, 96, 100–104, 130–132, 161–162, 168, 172, 183, 185–187, 324, 328–331, 333, 335–336, 341–345, 409, 411–412, 415, 460–463, 479, 492, 513, 521, 540, 545, 611–613, 617–618, 623, 629, 631, 685–687, 689, 691, 748, 751–756, 760–761, 763, 764, 802, 847–848, 852–853, 942–943, 948, 952, 976, 993–995, 1045, 1047, 1049, 1052–1053, 1056, 1058–1061, 1063, 1065–1066, 1070, 1092, 1150, 1152–1154, 1157–1158, 1160–1162, 1164–1165, 1167–1168, 1170–1171, 1173–1174, 1209, 1235–1242, 1307–1311, 1313–1314, 1333, 1335–1336, 1338–1339.

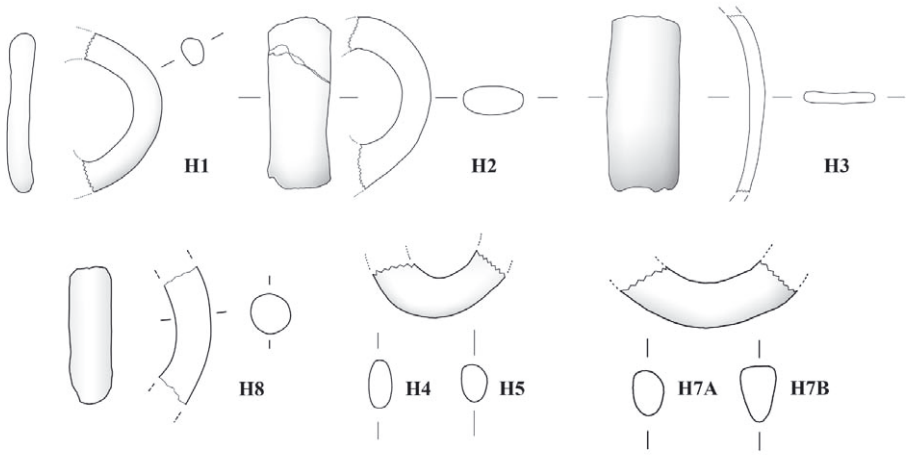


Abb. 81 Schematische Darstellung der Henkeltypen.
(Graphik: M. Röcklinger, Ch. Schwall/ERC Prehistoric Anatolia)

schichten.[1709] Als Handhabe findet sich diese Henkelform mit einem leicht eingesattelten Exemplar an einem Randfragment eines Dreifußkochtopfes (Dt2; Taf. 42.1224; s. o. IV.4.3.1.4.). Wie bei den Henkeln des Typs H1A sind auch hier großformatige Henkel zu nennen, die wohl zu Vorratsgefäßen gehören dürften (Taf. 21.546; 30.851; 47.2).

Lediglich ein Henkel mit einer Durchlochung (H1E; Taf. 28.767) stammt aus der Subphase ÇuHö VIa und gehört vermutlich zu einer Kanne.

Neben den Vertikalhenkeln des Typs H1 sind die Henkel mit breitem Querschnitt (**H2**) mit 27,48% (n=72) aller bestimmbarer Henkel im Inventar der Phasen ÇuHö VII–V vertreten (Tab. 11; Abb. 82). Auch diese können in unverzierte (H2A) und durchlochte (H2B) Exemplare eingeteilt werden.

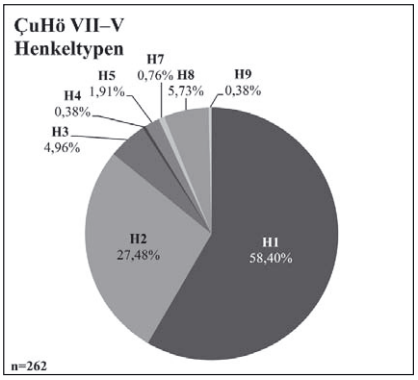


Abb. 82 Verteilung der verschiedenen Henkeltypen im Gefäßspektrum.
(Graphik: Ch. Schwall/ ERC Prehistoric Anatolia)

Mit 68 von 72 Objekten besitzen die Henkel des Typs H2A (vgl. z. B. Taf. 18.507) ein deutliches Übergewicht und sind in allen hier betrachteten Siedlungsphasen vertreten.[1710] In Form von rand- und unterrandständigen Handhaben finden sich derartige Henkel an verschiedenen Gefäßen, so an Schalen (S4; vgl. z. B. Taf. 6.174; 21.547; 29.816; s. o. IV.4.3.1.1.), an einer Schüssel (Sch3; Taf. 35.985; s. o. IV.4.3.1.2.), an einem Topf (T2; Taf. 14.384; s. o. IV.4.3.1.3.), an Halsgefäßen (Hg1; vgl. z. B. Taf. 11.277; Hg2; vgl. z. B. Taf. 3.66; s. o. IV.4.3.2.1.) sowie an engmundigen Gefäßen der Typen E1 (Taf. 19.527; s. o. IV.4.3.2.2.) und E2 (Taf. 18.507; s. o. IV.4.3.2.2.).

[1709] Kat.-Nr. 70–71, 98, 546, 616, 620, 749, 851, 1312, 1315.

[1710] Kat.-Nr. 97, 128–129, 133–134, 151, 326–327, 332, 334, 337–340, 407–408, 410, 414, 435, 459, 493, 512, 525–526, 614–615, 621, 627, 630, 688, 690, 750, 757–759, 762, 765–766, 768, 803, 849–850, 856–857, 941, 944, 946–947, 949–951, 1001, 1048, 1050, 1051, 1054, 1057, 1151, 1156, 1163, 1169, 1172, 1208, 1234, 1270–1271, 1303, 1334, 1337.

Gefäßbestandteile						
Henkel						
	ÇuHö VII	**ÇuHö VIb**	**ÇuHö VIa**	**ÇuHö Vb**	**ÇuHö Va**	**Σ**
H0	0	0	**1**	0	0	**1**
H1	**44**	**8**	**32**	**46**	**23**	**153**
H2	**22**	**5**	**17**	**22**	**6**	**72**
H3	**2**	0	**4**	**7**	0	**13**
H4	0	0	0	**1**	0	**1**
H5	**1**	0	**2**	**1**	**1**	**5**
H7	0	0	**2**	0	0	**2**
H8	**1**	**1**	**5**	**8**	0	**15**
H9	0	0	0	**1**	0	**1**
Σ	**70**	**14**	**63**	**86**	**30**	**263**
Griffknubben und Knubben						
	ÇuHö VII	**ÇuHö VIb**	**ÇuHö VIa**	**ÇuHö Vb**	**ÇuHö Va**	**Σ**
G1	0	0	**1**	**2**	0	**3**
G4	**9**	**1**	0	**1**	0	**11**
G5	**1**	0	0	**2**	0	**3**
G6	0	0	0	**1**	0	**1**
G7	0	0	0	0	**1**	**1**
Kn1	0	0	**2**	0	**1**	**3**
Kn2	0	0	0	**1**	0	**1**
Kn3	0	0	**1**	0	0	**1**
Σ	**10**	**1**	**4**	**7**	**2**	**24**
Grifflappen						
	ÇuHö VII	**ÇuHö VIb**	**ÇuHö VIa**	**ÇuHö Vb**	**ÇuHö Va**	**Σ**
La0	0	0	**1**	**1**	0	**2**
La3	**1**	0	**1**	**1**	0	**3**
La4	0	**1**	0	**1**	0	**2**
La5	**1**	0	0	0	0	**1**
Σ	**2**	**1**	**2**	**3**	**0**	**8**
Ösen						
	ÇuHö VII	**ÇuHö VIb**	**ÇuHö VIa**	**ÇuHö Vb**	**ÇuHö Va**	**Σ**
Ö1	**5**	0	**1**	0	0	**6**
Ö2	**4**	0	0	**1**	**1**	**6**
Ö3	**2**	0	**1**	0	0	**3**
Σ	**11**	**0**	**2**	**1**	**1**	**15**
Böden						
	ÇuHö VII	**ÇuHö VIb**	**ÇuHö VIa**	**ÇuHö Vb**	**ÇuHö Va**	**Σ**
B1	**16**	**2**	**10**	**4**	**4**	**36**
B2	**31**	**2**	**10**	**15**	**2**	**60**
B3	**1**	**1**	0	**2**	0	**4**
B6	0	**1**	**3**	**2**	0	**6**
Σ	**48**	**6**	**23**	**23**	**6**	**106**

Füße						
	ÇuHö VII	**ÇuHö VIb**	**ÇuHö VIa**	**ÇuHö Vb**	**ÇuHö Va**	**Σ**
F0	**1**	0	**4**	**1**	**2**	**8**
F1	**3**	0	**3**	**5**	**1**	**12**
F3	**8**	**4**	**1**	**14**	**7**	**34**
F4	**6**	0	**3**	**8**	**3**	**20**
F5	0	0	0	**1**	**1**	**2**
Σ	**18**	**4**	**11**	**29**	**14**	**76**
Deckel						
	ÇuHö VII	**ÇuHö VIb**	**ÇuHö VIa**	**ÇuHö Vb**	**ÇuHö Va**	**Σ**
De1	**3**	0	**1**	0	0	**4**
De2	**3**	**1**	**1**	**3**	0	**8**
De3	**1**	0	0	0	0	**1**
Σ	**7**	**1**	**2**	**3**	**0**	**13**
Ausgüsse						
	ÇuHö VII	**ÇuHö VIb**	**ÇuHö VIa**	**ÇuHö Vb**	**ÇuHö Va**	**Σ**
Au0	**1**	0	0	0	0	**1**
Au1	0	**1**	0	0	0	**1**
Au2	**2**	0	0	**1**	0	**3**
Σ	**3**	**1**	**0**	**1**	**0**	**5**
Σ	**169**	**28**	**107**	**153**	**53**	**510**

Tab. 11 Verteilung der Gefäßbestandteile auf die Siedlungsphasen ÇuHö VII–V (n=510; vgl. IX.3.).

Durchlochte Henkel mit breitem Querschnitt (H2B; vgl. Taf. 13.325) sind hingegen nur durch drei Exemplare aus der Phase ÇuHö VII bekannt.[1711]

Insgesamt 13 Bandhenkel (**H3**) stammen aus dem Fundmaterial der Siedlungen ÇuHö VII, VIa und Vb und können in unverzierte (H3A) und eingesattelte (H3C) Exemplare unterteilt werden (Tab. 11; Abb. 82).

Zu den unverzierten Bandhenkeln (H3A) zählen zehn Fragmente.[1712] Ein randständiger Henkel dieses Typs ist von einem Randfragment einer kalottenförmigen Schale belegt (S1; Taf. 29.812; s. o. IV.4.3.1.1.).

Neben den unverzierten Typen finden sich auch drei Bandhenkel mit eingesattelter Außenseite (H3C).[1713] Wiederum von einer Schale stammt ein randständiger Henkel dieses Typs (S4; Taf. 42.1222; s. o. IV.4.3.1.1.).

15 Henkel mit rundem Querschnitt (**H8**; Tab. 11; Abb. 82) stammen aus den Schichten der Siedlungen ÇuHö VII, VI und Vb. Dabei handelt es sich ausnahmslos um unverzierte Typen (H8B; vgl. z. B. Taf. 17.491; 26.622), die rand- (vgl. z. B. Taf. 25.619) oder leicht unterrandständig (vgl. z. B. Taf. 25.610) am Gefäßrand ansetzen.[1714]

Neben den Vertikalhenkeln finden sich einige wenige Henkeltypen (8 Stk.), die auf eine horizontale Anbringung schließen lassen (Tab. 11; Abb. 82). Zu diesen Typen zählen Horizontalhenkel mit breitem (**H4**) oder ovalem (**H5**) Querschnitt sowie randständige Exemplare (**H7**).

[1711] Kat.-Nr. 99, 323, 325.
[1712] Kat.-Nr. 26, 531, 541, 684, 747, 870–871, 1068, 1159, 1166.
[1713] Kat.-Nr. 413, 854, 945.
[1714] Kat.-Nr. 105, 491, 610, 619, 622, 624, 628, 855, 872, 1046, 1062, 1064, 1067, 1069, 1155.

So stammt ein Fragment mit einem breiten Querschnitt (H4) aus der Subphase ÇuHö Vb;[1715] unverzierte Henkel mit ovalem Querschnitt (H5A; vgl. z. B. Taf. 1.23) sind hingegen aus den Phasen ÇuHö VII, V und Subphase VIa bekannt.[1716] Den randständigen Horizontalhenkeln gehören zwei Varianten, mit ovalem (H7A) und triangulärem (H7B) Querschnitt an, die beide aus Kontexten der Subphase ÇuHö VIa stammen.[1717] Ein überrandständiger Henkel des Typs H7B ist darüber hinaus von einer Knickrandschale (S3; Kat.-Nr. 1107; vgl. 4.3.1.1.) der Subphase ÇuHö Vb belegt.

Einen singulären Fund stellt ein Bruchstück eines Vierpasshenkels (**H9**A; Taf. 38.1096) mit Knubbenapplikation (WS5B) dar, der in der Planierung ÇuHö IV/Vb gefunden wurde. Solche Henkel sind aus den spätchalkolithischen Schichten Westanatoliens und der Ostägäis nicht bekannt, jedoch findet sich eine Parallele in einem Henkel eines Deckels frühbronzezeitlicher Zeitstellung. Ein ebenfalls singulärer Vergleich hierfür bietet Blegens Deckel Typ D18 („[…] four-armed crown-handle […]“) aus dem Material von Troia I.[1718] Es ist anzunehmen, dass sich dieser kleinformatige Fund in ältere Schichten verlagert hat oder die Entwicklung derartiger Henkel bereits früher einsetzt.

IV.4.3.4.2. Griffknubben und Knubben

Neben Henkeln lassen sich als Handhaben Griffknubben (G1, 4–7) bzw. Knubben (Kn1–3) in geringer Zahl unter den Funden nachweisen (Tab. 11; Abb. 83). Bei den 19 Griffknubben, die am Gefäßkörper befestigt sind, können verschiedene Typen unterschieden werden.

Am häufigsten kommen mit 11 von 19 Exemplaren (57,89%) kurze, gerade und vertikal durchlochte Griffknubben vor (**G4**k; vgl. z. B. Taf. 14.353).[1719] Derartige Handhaben können den Siedlungen ÇuHö VII, VIb und Vb zugewiesen werden.

Einfache, nach oben gebogene Griffknubben ohne Durchlochung (**G1**; vgl. z. B. 28.770) werden durch drei Exemplare aus den Subphasen ÇuHö VIa und Vb repräsentiert.[1720] Eine Griffknubbe liefert Informationen zur Anbringungstechnik beim Herstellungsprozess. Die dem Gefäß zugewandte Seite ist mit mehreren vertikalen Furchen versehen (Taf. 28.770). Diese begünstigen den Halt der vermutlich lederharten Griffknubbe am Gefäßkörper vor dem Keramikbrand.

Weitere drei Griffknubben können einem hochgezogenen, vertikal durchlochten Typ (**G5**) zugeordnet werden. Diese finden sich sowohl in der Phase ÇuHö VII und der Subphase ÇuHö Vb.[1721]

Anhand von einem Exemplar sind jeweils ausgezogene Griffknubben dreieckiger Form (**G6**B) sowie einfacher, triangulärer Form (**G7**) im Fundmaterial belegt.[1722] Beide Typen sind vertikal durchlocht. Der Typ G6 stammt aus der Subphase ÇuHö Vb; G7 hingegen aus der Subphase ÇuHö Va.

Knubben sind lediglich durch fünf Exemplare im Inventar nachgewiesen (Tab. 11; Abb. 84). Drei runde horizontale Knubben (**Kn1**; vgl. z. B. Taf. 24.561; 25.585) sind von kalottenförmigen Schalen (S1) und Knickrandschalen (S3) der Subphasen ÇuHö VIa und Va belegt (s. o. IV.4.3.1.1.).[1723] Bei den anderen Typen handelt es sich um Einzelstücke mit einer vertikal durchlochten Knubbe runder Form (**Kn2**) aus der Subphase ÇuHö Vb und einer horizontal durchlochten, breiten Knubbe (**Kn3**) aus der Subphase ÇuHö VIa.[1724] Einfache Knubben (**Kn4**), die als

[1715] Kat.-Nr. 940.
[1716] Kat.-Nr. 23, 683, 811, 846, 1195.
[1717] Kat.-Nr. 609 (H7A), 746 (H7B).
[1718] Blegen et al. 1950, 75, Abb. 231.37.978.
[1719] Kat.-Nr. 54, 351–355, 418–420, 514, 957.
[1720] Kat.-Nr. 770, 954, 1090.
[1721] Kat.-Nr. 61, 956, 1093.
[1722] Kat.-Nr. 955 (G6B), 1243 (G7).
[1723] Kat.-Nr. 561, 585.
[1724] Kat.-Nr. 1097 (Kn2), 557 (Kn3).

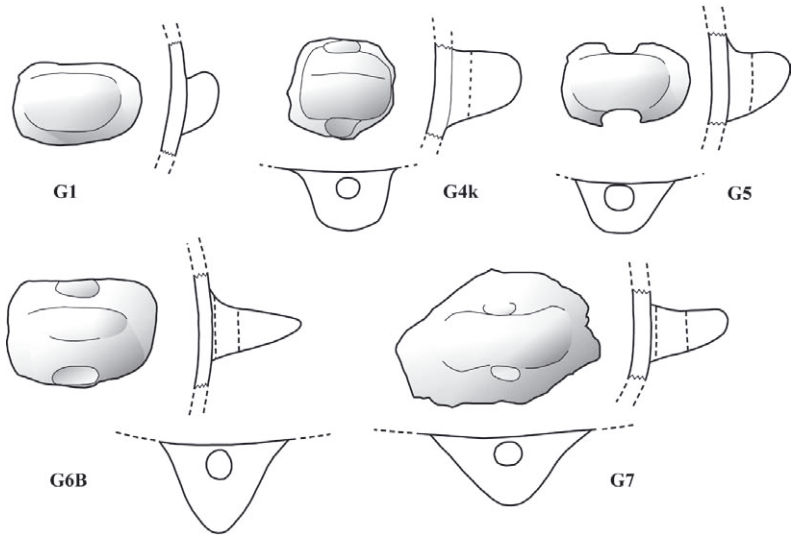


Abb. 83 Schematische Darstellung der Griffknubbentypen.
(Graphik: M. Röcklinger, Ch. Schwall/ERC Prehistoric Anatolia)

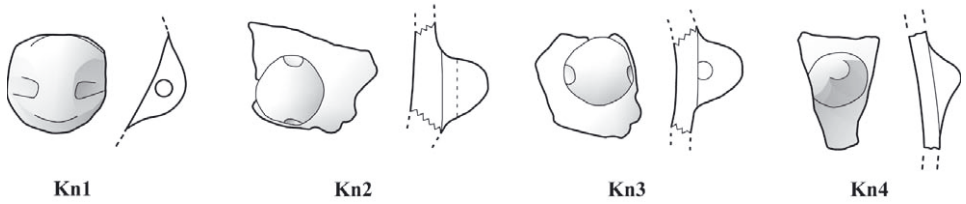


Abb. 84 Schematische Darstellung der Knubbentypen.
(Graphik: M. Röcklinger, Ch. Schwall/ERC Prehistoric Anatolia)

Applikationen an Gefäßen oder Gefäßbestandteilen dienen, finden sich in allen hier betrachteten Siedlungsphasen, so beispielsweise an Dreifußkochtöpfen[1725] (Dt; vgl. z. B. Taf. 13.489; 22.778; 24.869; s. o. IV.4.3.1.4.), an einem Deckel (De2B; Taf. 33.939; s. u. IV.4.3.4.7.) oder an einem Vierpasshenkel eines Deckels (H9A; Taf. 38.1096; s. o. IV.4.3.4.1.). Da solche Knubben als Zierelement fungieren und auch von mehreren Wandscherben (WS5B; vgl. z. B. Taf. 4.138; 14.366; 44.1275; s. u. IV.4.4.3.) bekannt sind, werden diese im Kapitel Verzierungen (s. u. IV.4.4.) näher besprochen.

IV.4.3.4.3. Grifflappen

Insgesamt sind acht Grifflappen (La; Tab. 11; Abb. 85) unter den hier bearbeiteten Funden vertreten, von denen jedoch zwei (La0) aufgrund ihrer Erhaltung nicht näher bestimmt werden können.[1726] Die restlichen sechs Objekte gehören den Typen La3–5 an.

Bei den Grifflappen des Typs **La3** handelt es sich um trapezförmige Handhaben. Drei Objekte (Taf. 6.173; 24.556; 31.875) wurden in den Schichten der Phase ÇuHö VII und den Subphasen

[1725] Kat.-Nr. 489, 591, 869, 1186.
[1726] Kat.-Nr. 650 (wahrscheinlich ein Bruchstück eines La3?), 876.



Abb. 85 Darstellung der unterschiedlichen Grifflappentypen.
(Fotos: Th. Urban; Graphik: Ch. Schwall/beide ERC Prehistoric Anatolia)

ÇuHö VIa und Vb gefunden. Zwei Grifflappen gerader Form scheinen am Gefäßkörper befestigt gewesen zu sein. Bei dem dritten Grifflappen (Taf. 31.875) handelt es sich um eine Handhabe, die bogenförmig aus dem Gefäßrand herauswächst. Vermutlich gehören diese Grifflappen zu großformatigen (Vorrats-)Gefäßen.

Bemerkenswerterweise stammen aus den Subphasen ÇuHö VIb und Vb zwei flache, kleinformatige, flossenförmige Grifflappen (**La4**; Taf. 19.528; 36.1003). Weitere Vergleiche sind aus den älteren und jüngeren Siedlungsphasen des Çukuriçi Höyük bislang nicht bekannt. Gute Vergleiche können jedoch aus der spätchalkolithischen Siedlung Liman Tepe VIIa angeführt werden. Hier finden sich derartige Grifflappen als überrandständige Applikationen an einer weitmundigen Schale.[1727] Die „frühbronzezeitlichen" Warengruppen (WG 61 und 87) mit dunkler, leicht glänzender Oberfläche deuten darauf hin, dass diese Applikationen am Çukuriçi Höyük Bestandteile von Schalen oder möglichen kleinformatigen Halsgefäßen sein könnten. Unter Berücksichtigung von zwei kleinformatigen, konischen Füßen mit spitzen Enden (F5; vgl. 34.959; 44.1317; s. u. IV.4.3.4.6.) erscheint eine mögliche Zugehörigkeit zu kleinen Halsgefäßen, sogenannten Yortan-Gefäßen, auch nicht ganz abwegig.[1728] Letztlich kann somit auch nicht ausgeschlossen werden, dass es sich bei den Funden um frühbronzezeitliche Intrusionen handelt.

Neben diesen Grifflappenformen stammt ein Einzelstück dreieckiger Form (**La5**; Taf. 7.195) aus der Phase ÇuHö VII.

IV.4.3.4.4. Ösen

Schnur- (Ö1), Röhren- (Ö2) und Tunnelösen (Ö3) sind mit 15 Exemplaren unter den Funden vertreten (Ö; Tab. 11; Abb. 86).

Zu den Schnurösen zählen walzenförmige (Ö1Ca) Exemplare, die auch eingesattelt (Ö1Cb) sein können. Sechs Fragmente können diesem Typ zugerechnet werden. Vier einfache, walzenförmige Schnurösen (**Ö1**Ca; vgl. z. B. Taf. 28.769) sind aus den Siedlungsschichten ÇuHö VII und VIa bekannt.[1729] Ein Fragment (Taf. 14.349) besitzt zwei parallel nebeneinander befestigte Schnurösen, die auf einem kugeligen Gefäßkörper sitzen.[1730] In der Subphase ÇuHö Vb findet sich eine Schnuröse dieser Form, die an einer kalottenförmigen Schale unterrandständig befestigt ist (S1A; Taf. 39.1100; s. o. IV.4.3.1.1.). Zwei weitere leicht eingesattelte Ösen (Ö1Cb; Taf. 1.10; 2.53) stammen aus der Phase ÇuHö VII.

[1727] Erkanal et al. 2016, 331, 339, Abb. 7.
[1728] Zu den Yortan-Gefäßen siehe Kâmil 1982, Abb. 25–27.
[1729] Kat.-Nr. 349–350, 417, 769.
[1730] Ein ebenfalls kugeliges Gefäß mit Schnurösen ist aus der Phase ÇuHö VI aus dem Schnitt N1 bekannt (siehe Beitrag Horejs in diesem Band, Kap. III.1.).

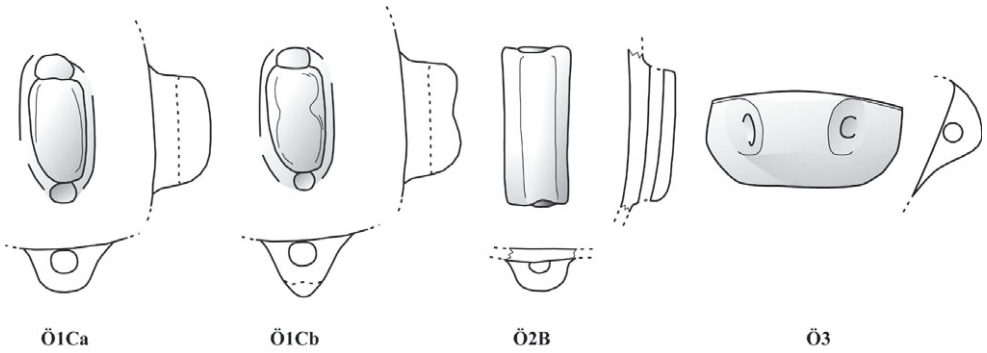


Abb. 86 Schematische Darstellung der unterschiedlichen Ösentypen.
(Fotos: Th. Urban; Graphik: Ch. Schwall/beide ERC Prehistoric Anatolia)

Röhrenösen mit einfachem Ösenabschluss (**Ö2**B; vgl. z. B. Taf. 14.347) sind durch sechs Exemplare belegt.[1731] Vier Fragmente mit Ösen dieser Form wurden in den Schichten der Phase ÇuHö VII gefunden; zwei weitere in den Subphasen ÇuHö Vb und Va.

Tunnelösen (**Ö3**) sind mit drei randständigen Exemplaren an weitmundigen Schalen erhalten. Zwei finden sich an Exemplaren mit nach innen verdickter Lippe aus der Phase ÇuHö VII (S4U; Taf. 4.116; 9.220; s. o. IV.4.3.1.1.). Eine weitere Tunnelöse stammt aus der Phase ÇuHö VIa und befindet sich an einer Schale mit *rolled rim* (S4Q; Taf. 27.714; s. o. IV.4.3.1.1.).

IV.4.3.4.5. Böden

Insgesamt können 106 (7,88%) Bestandteile von Böden im gesamten Inventar nachgewiesen werden. Dabei handelt es sich um verschiedene Ausformungen der Böden, wie Flachböden (B1), Scheibenbasen (B2), Standringe (B3) und Rundböden (B6; Tab. 11; Abb. 87). Scheibenbasen und Flachböden dominieren mit ca. 90% aller Böden (Abb. 88).

Zu den Flachböden (33,96%) zählen Varianten mit abgerundetem (B1A) oder eckigem (B1B) Übergang zur Basis, abgerundetem Übergang zu einer ovalen Basis (B1C) und mit einer abgesetzten Standfläche (B1D; Tab. 11; Abb. 87–88).

Flachböden der Variante **B1**A mit einem abgerundeten Übergang (vgl. z. B. 12.297) überwiegen mit 14 von 36 Fragmenten bei diesem Bodentyp und können bis auf die Subphase ÇuHö Vb in allen Siedlungsphasen nachgewiesen werden.[1732] Aufgrund des erhaltenen Profils einiger Fragmente können Böden dieser Art zum einen Schalen (vgl. z. B. Taf. 12.297; 43.1269; s. o. IV.4.3.1.1.), zum anderen Kannen (vgl. z. B. Taf. 42.1233; s. o. IV.4.3.2.4.) zugewiesen werden. Eine derartige Ausformung des Bodens ist zudem von einem *cheese pot* (Taf. 22–23.543; 50–51; s. o. IV.4.3.3.) bekannt.

Die Variante B1B mit eckigem Übergang zur Basis ist mit 9 von 36 Fragmenten in den Schichten der Siedlungen ÇuHö VII und VIa vertreten.[1733] Da gerade Gefäße mit ovaler Mündung und Böden aus den neolithischen Phasen am Çukuriçi Höyük bekannt sind,[1734] besteht die Möglichkeit, dass diese im Kontext eines Auslaufens neolithischer Formen zu sehen sind.

[1731] Kat.-Nr. 346, 348–349, 416, 953, 1210.
[1732] Kat.-Nr. 22, 50, 297, 314–316, 319, 455, 488, 739, 800, 1233, 1267, 1269.
[1733] Kat.-Nr. 293, 311–312, 403, 738, 740, 744, 797, 799.
[1734] Horejs 2012, 121.

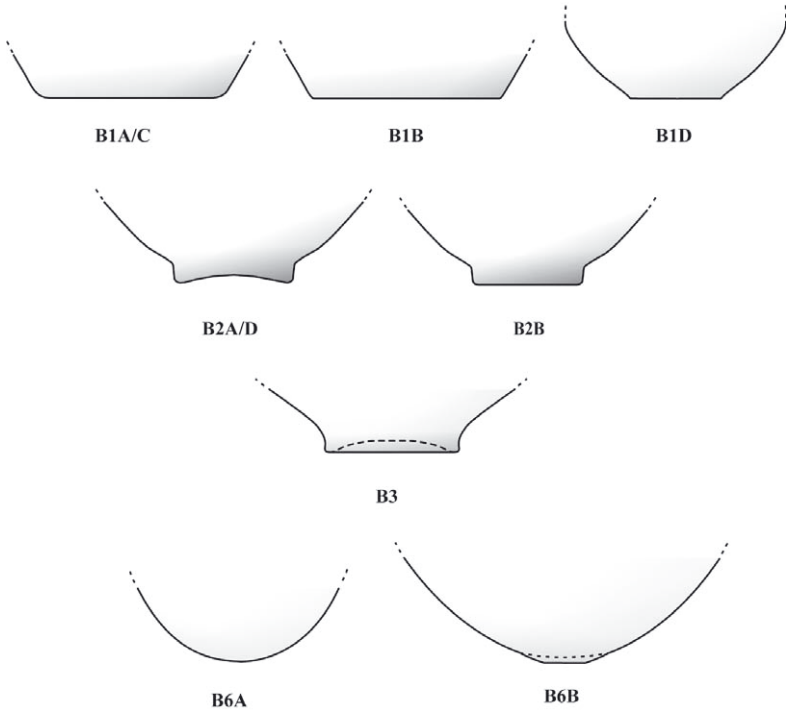


Abb. 87 Schematische Darstellung der Bodentypen und -varianten. (Graphik: M. Röcklinger, Ch. Schwall/ERC Prehistoric Anatolia)

Flachböden mit ovaler Grundform (B1C) und einem abgerundetem Übergang zur Basis können nur an vier Exemplaren, wiederum der Siedlungen ÇuHö VII und VIa, nachgewiesen werden.[1735]

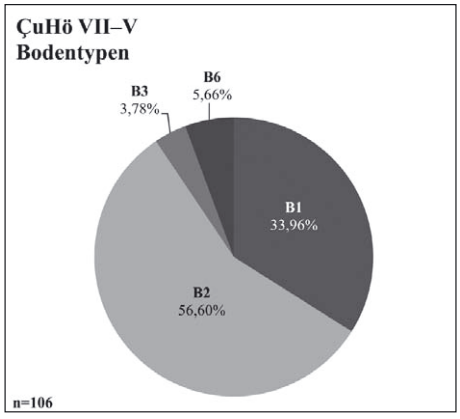


Abb. 88 Verteilung der verschiedenen Bodentypen im Gefäßspektrum. (Graphik: Ch. Schwall/ERC Prehistoric Anatolia)

Mit ebenso vielen Stücken wie der Variante B1B finden sich auch Flachböden mit abgesetzter Standfläche (B1D).[1736] Diese Variante findet sich außer in der Subphase ÇuHö VIb in allen Siedlungsphasen.

Böden mit Scheibenbasen (B2) stellen mit 56,60% (n=60; Tab. 11; Abb. 87–88) mehr als die Hälfte der gefundenen Bodenfragmente dar. Auch dieser Typ kann in Varianten mit eingewölbter Standfläche (B2A), mit gerader Standfläche (B2B) und mit gerader Standfläche, aber ovaler Scheibenbasis (B2D) unterteilt werden. Bei sechs Fragmenten kann aufgrund der Erhaltung die Variante nicht bestimmt werden.[1737] Solche, teils großformatige, Scheibenbasen können vermutlich mit Töpfen (vgl. z. B. Taf. 2.49; s. o. IV.4.3.1.3.) oder Halsgefäßen und engmundigen Gefäßen (vgl. z. B. Taf. 7.181;

[1735] Kat.-Nr. 306, 308, 741, 745.
[1736] Kat.-Nr. 302, 318, 379, 608, 992, 1042, 1147–1148, 1231.
[1737] Kat.-Nr. 125, 299, 304, 317, 405, 925.

13.298; s. o. IV.4.3.2.1–2.), aber auch Schüsseln (vgl. z. B. Taf. 13.307; s. o. IV.4.3.1.2.) in Verbindung gebracht werden.

Scheibenbasen mit eingewölbter Standfläche (**B2**A) können mit 19 Exemplaren in allen hier behandelten Siedlungsphasen nachgewiesen werden.[1738]

Zu den meisten Exemplaren dieses Bodentyps gehören jedoch mit 34 Fragmenten (76,47%) Scheibenbasen mit gerader Standfläche (B2B; vgl. z. B. 2.49; 13.298).[1739] Diese sind, abgesehen von der Subphase ÇuHö Va, aus allen anderen Siedlungen bekannt.

Lediglich ein Einzelstück stellt ein Fragment einer ovalen Scheibenbasis (B2D; Kat.-Nr. 126) aus der Siedlungsphase ÇuHö VII dar. Die Warengruppe dieses Fragments ist nicht eindeutig ermittelbar, daher ist es möglich, dass es sich hierbei aufgrund der Form um ein Bodenfragment neolithischer Zeitstellung handelt (s. o. B1C).

Im dem gesamten Inventar finden sich vier Böden mit Standringen (**B3**; Taf. 19.524; 33.937; 40.1149; Tab. 11; Abb. 87–88).[1740] Jeweils ein Fragment stammt aus der Phase ÇuHö VII bzw. Subphase ÇuHö VIb; zwei Fragmente sind aus der Subphase ÇuHö Vb bekannt. Anhand der erhaltenen Bruchstücke scheint es denkbar, dass diese eventuell zu Töpfen gehören.

Insgesamt sechs Bruchstücke von Rundböden (B6) wurden in den Schichten der Siedlungsphase ÇuHö VI und der Subphase ÇuHö Vb gefunden. Eines dieser Fragmente kann aufgrund seiner Erhaltung nicht näher bestimmt werden (B60; Kat.-Nr. 844). Die anderen können in einfache Rundböden (B6A) und solchen mit aufgetragener Standfläche (B6B) unterteilt werden (Tab. 11; Abb. 87–88).

Zu der einfachen Variante (**B6**A; vgl. z. B. Taf. 29.798; 30.842) gehören vier Exemplare der Subphasen ÇuHö VIb–a und Vb.[1741] Ein Fragment (Taf. 21.544) ist eventuell einem Dreißfußkochtopf zuzuordnen, wie der Profilverlauf im Vergleich mit einem nahezu vollständig erhaltenen Exemplar aus der Subphase ÇuHö VIb (Dt1; Taf. 17.489; s. o. IV.4.3.1.4.) vermuten lässt. Dass Rundböden jedenfalls Bestandteile von Krügen sein können, belegt ein, ebenfalls in der Subphase ÇuHö VIb gefundener, gut erhaltener Krug (K1A; Taf. 16.471; s. o. IV.4.3.2.3.). Unklar muss letztlich das Fragment eines kleinformatigen Objektes der Subphase ÇuHö VIa bleiben. Der Boden besitzt eine Abplatzung (Taf. 29.798), scheint aber als Rundboden rekonstruierbar. Jedoch kann auch ein Ansatz eines Standfußes kann nicht ausgeschlossen werden. Ebenfalls muss offen bleiben, ob sich hier eine wenige Millimeter große Randpartie erhalten hat oder ob es sich hier lediglich um einen stark abgerundeten Bruch handelt. Würde man von einer Randpartie ausgehen, so könnte es sich hier um ein Miniaturgefäß in Form einer kleinformatigen Schale (S1) handeln. Aufgrund der unsicheren Bestimmung wird dieser Fund hier als Bodenfragment gezählt.

Ein großformatiger Boden mit aufgetragener Standfläche (B6B; Taf. 20.535) stammt aus der Subphase ÇuHö VIa. Es ist anzunehmen, dass es sich hierbei um den Boden eines großformatigen Vorratsgefäßes handelt (vgl. Abb. 73; s. o. IV.4.3.2.1.).

IV.4.3.4.6. Füße

Vier verschiedene Fußtypen (F1, 3–5) können anhand von 76 Fragmenten der Phasen ÇuHö VII–V nachgewiesen werden (Tab. 11; Abb. 89; Taf. 49.2). Generell lässt sich ein Anstieg der Füße im Inventar von der Phase ÇuHö VII (3,89%) zu V (7,84%) verzeichnen. Von den 76 Fragmenten können acht Bruchstücke aufgrund ihrer Erhaltung keinem Typ zugeordnet werden.[1742] Die anderen 68 Objekte können in Füße mit einer geraden (F1), ausgezipfelten (F3) oder trapezförmigen

[1738] Kat.-Nr. 9, 60, 159, 182, 292, 294, 301, 310, 401, 404, 473, 539, 607, 926–928, 931, 1232, 1268.
[1739] Kat.-Nr. 49, 51, 56, 69, 181, 291, 295–296, 298, 300, 303, 305, 307, 309, 313, 520, 606, 679–682, 737, 742–743, 841, 843, 929–930, 932–936, 938.
[1740] Kat.-Nr. 402, 524, 937, 1149.
[1741] Kat.-Nr. 456, 544, 798, 842.
[1742] Kat.-Nr. 163, 632, 635, 773, 775, 1071, 1246, 1340.



Abb. 89 Darstellung der unterschiedlichen Fußtypen und -varianten.
(Fotos: Th. Urban; Graphik: Ch. Schwall/beide ERC Prehistoric Anatolia)

Standfläche (F4) unterteilt werden. Gesondert sind Füße mit einer konischen Form und spitzem Ende (F5) zu nennen. Die Füße F1 und 3–4 sind als Bestandteile von Dreifußkochtöpfen (s. o. IV.4.3.1.4.) anzusehen, wie dies beispielsweise der nahezu vollständig erhaltene Dreifußkochtopf aus der Subphase ÇuHö VIb (Dt1; Taf. 17.489), aber auch ein großes Fragment mit Ansatz des Bodens aus der Phase ÇuHö VII (Taf. 2.68) belegen.[1743] Die kleinformatigen Füße des Typs F5 deuten zudem eine mögliche Präsenz von Yortan-Gefäßen an (vgl. auch IV.4.3.4.3.).

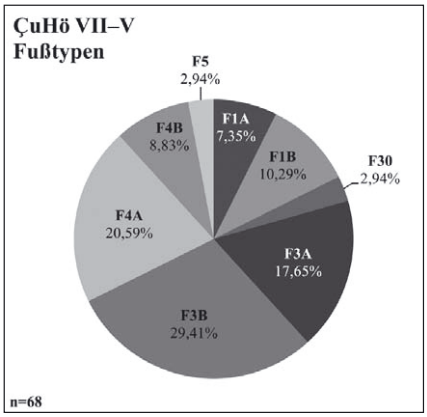


Abb. 90 Verteilung der verschiedenen Fußtypen und -varianten im Gefäßspektrum. (Graphik: Ch. Schwall/ERC Prehistoric Anatolia)

Füße des Typs **F1** stellen 17,64% (n=12; Abb. 90) der Füße dar und finden sich mit eckigem (F1A) und gerundetem Übergang (F1B). Dieser Fußtyp ist interessant, da er besonders in den frühbronzezeitlichen Schichten des Çukuriçi Höyük gängig wird und die ausgezipfelten und trapezförmigen Exemplare (F3–4) ablöst.

Fünf Füße mit eckigem Übergang (F1A; vgl. z. B. Taf. 38.1094; 42.1244) sind aus den Schichten der Phasen ÇuHö VII und V bekannt.[1744] Zu solchen Füßen mit abgerundeter Standfläche (F1B; vgl. z. B. Taf. 26.634; 28.772; 34.962; 40.1178) zählen sieben Funde der Phase ÇuHö VII und den Subphasen ÇuHö VIa und Va.[1745]

Die Mehrzahl der Füße stellen mit 47,06% (n=34; Abb. 90) die ausgezipfelten (**F3**) Exemplare. Diese existieren in den Varianten mit flacher (F3A) oder gerundeter (F3B) Basis. Zwei Exemplare können aufgrund ihrer Erhaltung keiner Variante

[1743] Weitere Füße mit einem wahrscheinlichen Ansatz an einen Dreifußkochtopf (Kat.-Nr. 135, 858, 1073, 1246).
[1744] Kat.-Nr. 357, 421, 996, 1094, 1244.
[1745] Kat.-Nr. 27, 634, 636, 772, 868, 962, 1178.

zugewiesen werden (F30).[1746] Eine flache Basis (F3A; vgl. z. B. 15.423; 30.858; 34.964; 43.1273) besitzen zwölf Füße, die in Schichten der Phase ÇuHö VII, V und der Subphase ÇuHö VIa gefunden wurden.[1747] Am häufigsten sind die Füße mit gerundeter Basis vertreten (F3B; n=20; vgl. z. B. Taf. 14.356; 41.1214).[1748] Diese finden sich ebenso wie die Variante F3A in den Phasen ÇuHö VII, V und zusätzlich in der Subphase ÇuHö VIb.

Zu den trapezförmigen Füße (**F4**) zählen 20 Exemplaren (29,42%; Abb. 90). Auch dieser Fußtyp kann in eine Variante mit flacher (F4A) und eine mit gerundeter (F4B) Basis eingeteilt werden. Exemplare mit flacher, trapezförmiger Standfläche (F4A; vgl. z. B. Taf. 3.68; 14.358; 34.958; 41.1213) sind mit 14 Fragmenten, wie die Füße des Typs F3A, in den Phasen ÇuHö VII, V und der Subphase ÇuHö VIa anzutreffen.[1749] Aus den gleichen Siedlungen stammen auch die Funde mit den abgerundeten Standflächen (F4B; vgl. z. B. Taf. 4.135; 41.1211), die durch sechs Exemplare belegt sind.[1750]

Zwei singuläre, kleinformatige, konische Füße mit spitzer Standfläche (**F5**; Taf. 34.959; 44.1317; Abb. 90) können aus beiden Subphasen der Phase ÇuHö V angeführt werden.

IV.4.3.4.7. Deckel

Bei den 13 Deckelfragmenten lassen sich drei Typen voneinander abgrenzen (Tab. 11; Abb. 91). Dabei handelt es sich um Stulpdeckel (De1), Flachdeckel (De2) und einen kalottenförmigen Deckel (De3).

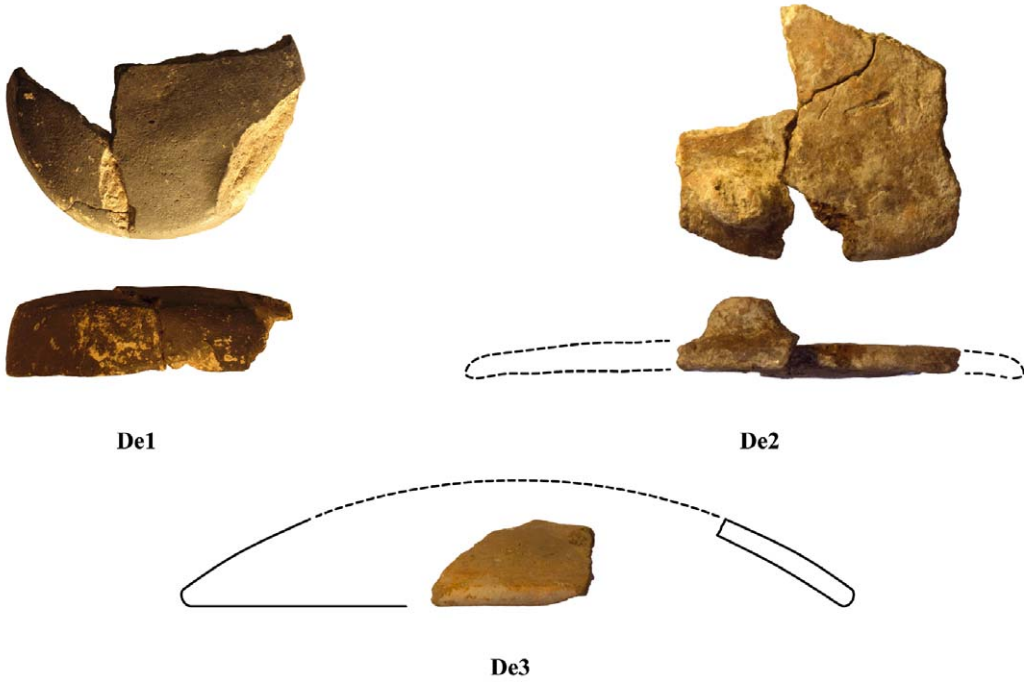


Abb. 91 Darstellung der unterschiedlichen Deckeltypen.
(Fotos: Th. Urban; Graphik: Ch. Schwall/beide ERC Prehistoric Anatolia)

[1746] Kat.-Nr. 1075, 1316.
[1747] Kat.-Nr. 136, 426, 633, 858, 963–964, 1076, 1175, 1245, 1247, 1273, 1341.
[1748] Kat.-Nr. 164, 188, 356, 359, 422, 424, 464, 480, 501, 516, 960–961, 1072, 1074, 1180–1183, 1212, 1214.
[1749] Kat.-Nr. 55, 68, 358, 692, 771, 859–861, 958, 1073, 1177, 1179, 1213, 1272.
[1750] Kat.-Nr. 11, 135, 137, 774, 1176, 1211.

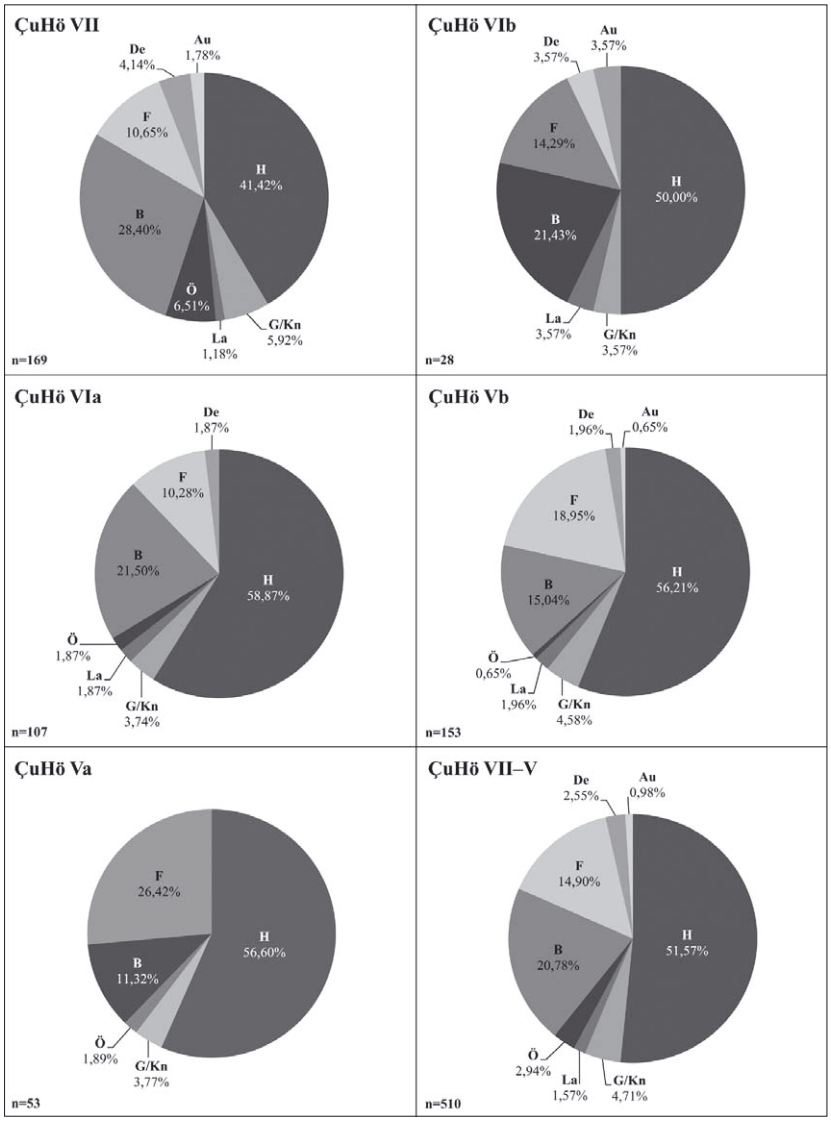


Abb. 92 Verteilung der einzelnen Gefäßbestandteile auf die Phasen ÇuHö VII–V. (Graphik: Ch. Schwall/ERC Prehistoric Anatolia)

Den Stulpdeckeln gehören vier Bruchstücke an, denen zwei Varianten zugeordnet werden können: unverzierte Deckel (**De1**A; vgl. z. B. Taf. 4.127) und Exemplare mit einer Ösenapplikation (De1B; Taf. 24. 553).[1751] Die Deckel der Variante De1A besitzen eine leicht gewölbte bis markant vom Rand abgesetzte Oberseite und stammen aus der Phase ÇuHö VII und Subphase ÇuHö VIa. Bei der Variante De1B mit Ösenapplikation befindet sich eine kleine Vertikalöse am Randbereich eines Stulpdeckels aus der Subphase ÇuHö VIa.

Flachdeckel sind mit acht Exemplaren im Inventar vertreten und aus den Phasen ÇuHö VII, VI und der Subphase ÇuHö Vb bekannt. Auch diese Deckelart kann in zwei Varianten, eine unverzierte (**De2**A; vgl. Taf. 37.1043) und eine verzierte (De2B; vgl. Taf. 15.406), unterteilt werden.

[1751] Kat.-Nr. 95, 127, 320 (De1); 553 (De2).

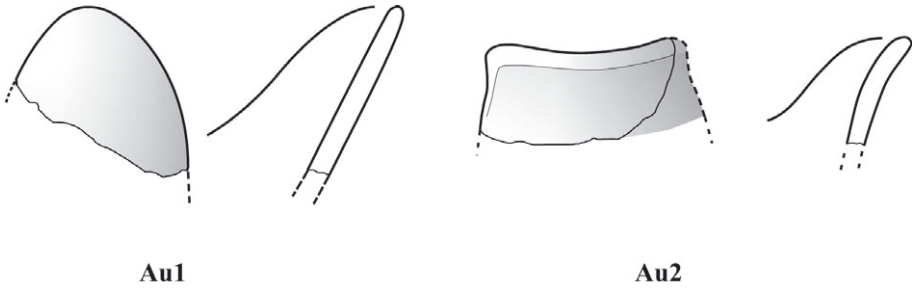


Abb. 93 Schematische Darstellung der Ausgusstypen.
(Graphik: M. Röcklinger, Ch. Schwall/ERC Prehistoric Anatolia)

Von der Variante De2A können sechs Fragmente angeführt werden,[1752] bei denen sich teilweise Ansätze von Handhaben auf der Deckeloberseite finden (vgl. Taf. 13.321; 16.457). Bei zwei Fragmenten handelt es sich um etwa ovale Henkel, die im Randbereich des Deckels ansetzen (Taf. 5.155; 30.845). Interessant ist zudem die Unterseite eines Deckelfragmentes, auf dem sich deutlich dunkel gefärbte Schmauchspuren abzeichnen (Taf. 5.155). Der etwa radiale Verlauf dieser Spuren lässt auf Rückstände schließen, die vermutlich im Zusammenhang mit dem Kochprozess zu sehen sind. Möglicherweise war dies ein Deckel eines Dreifußkochtopfes. Der verzierten Variante De2B gehören zwei Fragmente an.[1753] Ein Bruchstück besitzt kurze Einkerbungen (s. u. IV.4.4.2.5.) am Übergang zwischen Deckelrand und -oberseite (Taf. 15.406). Das zweite Exemplar (Taf. 33.939) besitzt eine Einstichverzierung (s. u. IV.4.4.2.3.) am äußeren Randbereich des Deckels sowie eine Knubbenapplikation (Kn4; s. o. IV.4.3.4.2.).

Als dritter Deckeltyp ist ein kalottenförmiger Deckel anzufügen (**De3**; Taf. 3.94). Zwar ähnelt dieser Typ generell den weitmundigen Schalen (S4), jedoch lässt sich ein Bruchstück dieses Deckels deutlich aufgrund der sehr flachen Form abgrenzen, für die sich keine Parallelen bei den Schalen des Inventars finden.

IV.4.3.4.8. Ausgüsse

Zwei Ausgusstypen (Au; Tab. 11; Abb. 93) lassen sich im Fundmaterial voneinander abgrenzen. Dabei handelt es sich um einen spitz zulaufenden Ausguss (**Au1**; Taf. 16.458) aus der Subphase ÇuHö VIb. Drei weitere können dem Typ mit eckigem Abschluss (**Au2**; Taf. 4.160) zugewiesen werden.[1754] Diese sind sowohl aus der Phase ÇuHö VII und der Subphase Vb bekannt. Ein Fragment kann aufgrund seiner Erhaltung keinem bestimmten Typ zugeordnet werden (**Au0**; Taf. 15.400). Ausgüsse sind bislang nur für Kannen (s. o. IV.4.3.2.4.) belegt.

IV.4.4. Verzierungen

Mehrere Verzierungsarten können bei der Keramik der Phasen ÇuHö VII–V festgehalten werden (Tab. 12). Da sich der Dekor zumeist auf Wandscherben findet, werden diese im System am Çukuriçi Höyük mit „WS0“ (charakteristisches Wandfragment) abgekürzt. Hierzu zählen Weißbemalung (WS1), Impressoverzierung (WS2A Fingereindrücke, WS2B Rillen, WS2D Einstiche, WS2E Ritzungen, WS9 Einkerbungen) sowie plastischer Dekor in Form von Appliken (WS5B).

[1752] Kat.-Nr. 155, 321, 457, 801, 845, 1043.
[1753] Kat.-Nr. 406, 939.
[1754] Kat.-Nr. 160, 322, 1044.

Verzierungsarten						
	ÇuHö VII	**ÇuHö VIb**	**ÇuHö VIa**	**ÇuHö Vb**	**ÇuHö Va**	**Σ**
WS1	**4**	0	**5**	**13**	**6**	**28**
WS2A	**3**	0	0	**2**	0	**5**
WS2B	0	0	0	0	**1**	**1**
WS2D	0	0	**1**	**2**	0	**3**
WS2E	**2**	0	0	**1**	0	**3**
WS3	**6**	**5**	**7**	**8**	**10**	**36**
WS5B	**4**	**2**	**5**	**7**	**1**	**19**
WS8	0	0	**1**	0	0	**1**
WS9	**1**	0	0	0	**1**	**2**
Σ	**20**	**7**	**19**	**32**	**19**	**98**

Tab. 12 Verteilung der Verzierungsarten auf die Siedlungsphasen ÇuHö VII–V (n=98; vgl. IX.3.).

Mit insgesamt 61 Objekten (4,53%) des gesamten Fundspektrums ist dieser Dekor nur in geringer Menge vertreten (Tab. 12).

Weiterhin werden dieser Gruppe noch Durchlochungen (WS3) und Mattenabdrücke (WS8) angefügt, wobei es sich bei diesen Charakteristika wahrscheinlich vordergründig um technische Details anstatt um Dekor handelt (Tab. 12).

IV.4.4.1. Weißbemalung

Als Weißbemalung wird hier eine Bemalung aus heller, zumeist milchig weißer Farbe auf einer dunkleren oder helleren Oberfläche bezeichnet.[1755] Ein derartiger Dekor (**WS1**) findet sich auf mehreren Fragmenten der Keramik der Phasen ÇuHö VII, V und der Subphase ÇuHö VIa (Taf. 48; 49.1). Es handelt sich hierbei ausschließlich um lineare Dekor in Form von parallelen (vgl. z. B. Taf. 31.874) oder sich kreuzenden Linienbündeln (vgl. z. B. Taf. 38.1084; 41.1216).

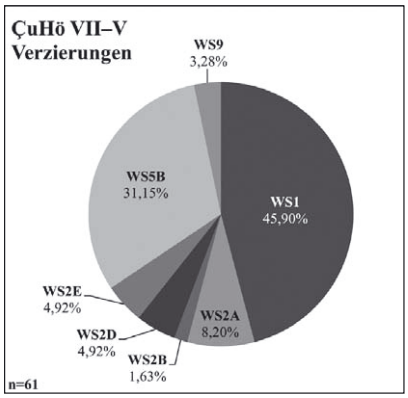


Abb. 94 Verteilung der verschiedenen Verzierungsarten der Phasen ÇuHö VII–V (ohne WS3 und WS8). (Graphik: Ch. Schwall/ERC Prehistoric Anatolia)

Insgesamt sind aus den hier bearbeiteten Schichten 28 Fragmente mit einem solchen Dekor belegt.[1756] Dies entspricht etwa der Hälfte (45,90%; Tab. 12; Abb. 94) der gesamten verzierten Keramikfunde. Bei diesen handelt es sich großteils um Wandscherben geschlossener Gefäße, die vermutlich großteils von Kannen (s. o. IV.4.3.2.4.) stammen. Dies deuten auch sieben Halsfragmente mit einer Umbruchszone zum Gefäßkörper an, die horizontale Linien im Bereich des Umbruchs tragen (vgl. Taf. 48.1; 49.1).[1757] Darüber hinaus sind horizontale Linien auf einem Rand- oder Ausgussfragment einer Kanne (Ka0;

[1755] Die Färbung der Oberfläche ist teilweise irreführend, da sich auch Fragmente finden, die starken, sekundären Brandeinwirkungen ausgesetzt waren, wodurch sich die Farbe der Scherbe teilweise oder ganz verändert hat.

[1756] Kat.-Nr. 5–6, 371, 640–641, 645, 693–694, 873–874, 965–967, 970, 998–999, 1084, 1184, 1215–1216, 1249–1251, 1343.

[1757] Kat.-Nr. 641, 645, 693, 998–999, 1184, 1250.

Taf. 40.1146) sowie seitlich auf der Gefäßwandung eines Vertikalhenkels (H1A; Taf. 40.1171) zu finden, der ebenfalls zu einer Kanne gehören dürfte. Weißbemalung lässt sich auf keiner Handhabe nachweisen, jedoch im unmittelbaren Bereich. Neben dem zuvor erwähnten Vertikalhenkel ist ein senkrecht verlaufendes Linienbündel zwischen einer doppelten Schnuröse (Ö1Ca; Taf. 14.349), die auf einem kugeligen Gefäßkörper sitzt, belegt.

Weiterhin weisen zwei Bruchstücke offener Gefäßformen Weißbemalung auf. Bei einem Randfragment eines kleinen Topfes (T2A; Taf. 29.825; s. o. IV.4.3.1.3) der Subphase ÇuHö Vb findet sich unterhalb der Lippe ein horizontales Linienbündel sowie darunter weitere Reste eines diagonalen Linienbündels. Ein weiterer Beleg kann von einer Wandscherbe mit verziertem Randbereich aus der Subphase ÇuHö Va angeführt werden. Zwar ist der Rand nicht vollständig erhalten, jedoch zeigt das Profil, dass es sich um ein Randfragment einer weitmundigen Schale (S4K; Taf. 41.1215; s. o. IV.4.3.1.1.) handelt. Der Randbereich trägt Reste von Weißbemalung in Form einer Kreuzschraffur, die sich vornehmlich auf den inneren, verdickten Lippenbereich beschränkt. Ein solcher Dekor in diesem Bereich der Schalen ist zumeist in Form von (inkrustierter) Ritzverzierung aus Frühbronzezeit 1-Zusammenhängen bekannt, wie beispielsweise Funde aus Troia Ia,[1758] Kumtepe IC[1759] oder Emporio V[1760] belegen. Neben den Radiokarbondaten (s. o. IV.1.4.) unterstützen somit auch die Randform sowie die Syntax des Dekors eine Einordnung der Subphase ÇuHö Va an den Beginn der Frühbronzezeit 1.

IV.4.4.2. Impressoverzierung

Zu dieser Dekorationsgruppe, bei der es sich um negativ eintiefende Verzierung auf der Gefäßoberfläche handelt, können unterschiedliche Techniken beobachtet werden (WS2, 9).[1761] Impressoverzierung ist mit 22,95% (14 Stk.) unter den Verzierungsarten vertreten (Tab. 12; Abb. 94).

IV.4.4.2.1. Fingereindrücke

Auf der Gefäßoberfläche verteilte Fingereindrücke (**WS2A**; vgl. z. B. Taf. 2.29–30) sind von insgesamt fünf Scherben des Inventars bekannt (Tab. 12; Abb. 94).[1762] Diese stammen aus der Siedlungsphase ÇuHö VII und der Subphase ÇuHö Vb. Die sichelförmigen Eindrücke, bei denen der Abdruck der Fingernägel teils gut zu erkennen ist, besitzen eine Länge zwischen 0,8–1,5 cm. Diese Dekorationstechnik ist bereits aus den älteren, spätneolithischen Schichten des Çukuriçi Höyük,[1763] aber auch anderen Fundorten des Spätneolithikums und des Frühchalkolithikums in Westanatolien bekannt.[1764]

IV.4.4.2.2. Rillen

Dekor in Form von eingetieften Rillen (**WS2B**; Taf. 42.1233; Tab. 12; Abb. 94) befindet sich lediglich auf der oberen Hälfte eines Gefäßkörpers, vermutlich einer Kanne (s. o. IV.4.3.2.4.), der Subphase ÇuHö Va. Es handelt sich hier um insgesamt sieben Rillen mit einer Länge von bis zu 4 cm, die ein Muster formen. Eine vertikal zum Gefäßboden verlaufende Rille findet sich in der Mitte. Jeweils drei weitere schließen mit einem Versatz im Winkel von etwa 45° links und rechts an und verlaufen schräg nach außen.

[1758] Blegen et al. 1950, Taf. 234.29 (Ia); 238.13 (Ic)
[1759] Vgl. Sperling 1976, Taf. 77.
[1760] Hood 1981/1982, 234, Abb. 114.5.
[1761] Zu den Techniken vgl. zusammenfassend Schreg 2007, 38–39.
[1762] Kat.-Nr. 29–30, 364, 968–969.
[1763] Horejs 2012, 119; Horejs 2016, 148.
[1764] Çilingiroğlu 2010; Çilingiroğlu 2016, 76, Abb. 4.1; 81–83; vgl. Horejs 2016, 148.

IV.4.4.2.3. Einstiche

Einstichverzierung (**WS2D**; Taf. 27.696; 38.1085; Tab. 12; Abb. 94) kann an zwei Fragmenten der Subphasen ÇuHö VIa und Vb nachgewiesen werden. Das Bruchstück aus der Subphase ÇuHö Vb besitzt kleine, runde Einstiche (Taf. 27.696). Zwar befindet sich dieser Dekor in eingeritzten Zonen bereits in mittelchalkolithischer Zeit (vgl. V.1.6.), jedoch belegen derartige Funde aus frühen Schichten von Troia I ein wiederholtes Auftreten dieser Tradition in der Frühbronzezeit 1.[1765] Da das kleinformatige Fragment aus der Planierschicht zwischen Phase ÇuHö IV/Vb stammt, kann eine Zugehörigkeit zu den frühbronzezeitlichen Schichten nicht ausgeschlossen werden. Bei dem zweiten Bruchstück der Subphase ÇuHö VIa (Taf. 38.1085) sind deutlich größere und gröber gearbeitete Einstiche zu erkennen, die nicht mit der zuvor erwähnten Scherbe zu vergleichen sind.

Auf der Oberseite eines Deckels (De2B; Taf. 26.939; vgl. IV.4.3.4.7.) der Phase ÇuHö Vb findet sich im Randbereich zudem eine Einstichverzierung.

IV.4.4.2.4. Ritzungen

Drei Wandscherben mit Ritzdekor (**WS2E**; vgl. z. B. Taf. 2.31; 38.1086; Tab. 12; Abb. 92) stammen aus der Phase ÇuHö VII und der Subphase ÇuHö Vb.[1766] Auf einer kleinen Scherbe (Taf. 38.1086) finden sich lineare, teils ungeordnete Einritzungen. Lediglich auf einem Exemplar der Phase ÇuHö VII (Taf. 2.31) scheint sich eine Schraffur abzuzeichnen.

IV.4.4.2.5. Einkerbungen

Ein Fragment aus der Subphase ÇuHö Va zeigt Einkerbungen in Form eines Fischgrätmusters (**WS9**; Taf. 44.1274; Tab. 12; Abb. 94) an der Umbruchzone einer Wandscherbe. Die Breite des Musters beträgt 1,2 cm. Das erhaltene, relativ flache Profil in Kombination mit der grobkeramischen Warengruppen 15 lässt vermutlich auf ein großes Vorratsgefäß schließen. Zwar sind keine weiteren Entsprechungen für einen solchen Dekor unter den Funden vom Çukuriçi Höyük bekannt, jedoch ist diese Motivik gut belegt, insbesondere von den Schalenrändern der Frühbronzezeit 1-Leitform vom Typ Blegen A6 aus den Schichten von Troia Ia–b.[1767] Neben den Radiokarbondaten (s. o. IV.1.4.) und dem Randfragment einer Typ Blegen A6-Schale mit Weißbemalung (s. o. IV.4.4.1.) spricht auch dieser Dekor für eine frühbronzezeitliche Zeitstellung der Subphase ÇuHö Va.

Ebenfalls sind kurze Einkerbungen vom Randbereich eines Deckels (De2B; Taf. 11.406; vgl. IV.4.3.4.7.) bekannt, der aus der Phase ÇuHö VII stammt.

IV.4.4.3. Appliken

Plastische Applikationen sind ausschließlich anhand von einfachen Knubben (Kn4; s. o. IV.4.3.4.2.) mit 19 Exemplaren (31,15%) im Fundmaterial vertreten (Tab. 12; Abb. 94). Wandscherben mit einer oder zwei Knubbenapplikationen (**WS5B**; vgl. z. B. Taf. 4.138; 14.366; 28.778; 44.1275) sind mit 13 Exemplaren aus allen hier betrachteten Phasen bekannt.[1768] Es handelt sich um warzenartige Aufsätze runder bis leicht ovaler Form. An weiteren sechs diagnostischen Fragmenten im Gefäßspektrum finden sich ebenfalls solche Knubben. Derartige Applikationen sind als Zierelement an Dreifußkochtöpfen (Dt1A; vgl. Taf. 17.489; 31.869; s. o. IV.4.3.1.4.) der Subphasen

[1765] Blegen et al. 1950, Taf. 230.33.159, 35.648.
[1766] Kat.-Nr. 31, 368, 1086.
[1767] Blegen et al. 1950, Taf. 234.24–25.
[1768] Kat.-Nr. 138, 156, 366, 481, 644, 695, 778, 806, 997, 1078, 1186, 1188, 1275.

ÇuHö VIb und Vb jeweils mit zwei nebeneinander sitzenden Knubben belegt.[1769] Aus der Subphase ÇuHö VIb stammt ein Fragment eines Dreifußkochtopfes mit lediglich einer Knubbe (Kat.-Nr. 591). Vermutlich handelt es sich bei der Wandscherbe mit zwei Knubben (Taf. 28.778) ebenfalls um das Fragment eines Dreifußkochtopfes. Neben einem Randfragment unbestimmter Form mit einer Knubbe (Kat.-Nr. 372) sind zwei weitere von einem Deckelfragment (De2B; Taf. 33.939; s. o. IV.4.3.4.7.) sowie ein Henkelfragment eines Deckels (H9A; Taf. 38.1096; s. o. IV.4.3.4.1.) bekannt.

IV.4.4.4. Durchlochungen

Eine oder mehrere Durchlochungen in Wandfragmenten (**WS3**; vgl. z. B. Taf. 41.1217; 44.1320; Tab. 12), finden sich an insgesamt 36 Exemplaren der Phasen ÇuHö VII–V.[1770] Es ist möglich, dass einige dieser Bruchtücke zu *cheese pots* (s. o. IV.4.3.3.) gehören. Eine Lochung unterhalb des Randes findet sich auch an einem unbestimmten (R0) und zwei weiteren Randfragmenten von Schalen (S1, 5).[1771] Aufgrund der kleinen Fragmente ist jedoch unklar, ob sich weitere Durchlochungen an den Gefäßen finden. Ist dies der Fall, so scheint auch hier eine möglicherweise äquivalente, funktionale Interpretation, wie für die *cheese pots*, zur Befestigung einer Abdeckung denkbar. Auch an einem Rand eines großen Halsgefäßes, vermutlich eines Vorratsgefäßes, (s. o. IV.4.3.2.1.) ist eine Durchlochung bekannt (Taf. 11.282). Interessant sind in diesem Zusammenhang durchlochte Wandfragmente, die sich in ihrer Wandstärke von den übrigen Fragmenten abheben und anhand des erkennbaren Profils wohl zu Vorratsgefäßen gehören. Unterstützt wird diese Annahme dadurch, dass 21 der 36 Funde aus der grobkeramischen Warengruppe 15 hergestellt wurden (vgl. z. B. Taf. 20.533; 41.1217; 44.1320).[1772] Insgesamt 13 dieser Exemplare stammen aus den Subphasen ÇuHö Vb–a. Eine Funktion der Durchlochungen, insbesondere bei den Wandscherben dieser Gefäße, muss mangels vollständiger Exemplare jedoch offen bleiben.

Auffallend ist neben diesen Exemplaren ein Wandfragment mit neun Durchlochungen aus der Subphase ÇuHö Vb (Taf. 38.1095). Es scheint sich hier wohl um das Fragment eines Siebgefäßes unbestimmter Form zu handeln.

IV.4.4.5. Mattenabdrücke

Die Verwendung von Matten bei der Keramikherstellung kann durch ein Bodenfragment mit einem Mattenabdruck (Taf. 28.777; Tab. 12) aus der Subphase ÇuHö VIa belegt werden. Das Fragment wurde aus der Warengruppe 32 hergestellt. Aus diesem Fabrikat wurden mehrere *cheese pots* hergestellt. Da Mattenabdrücke an Böden von *cheese pots* in Westanatolien und der Ostägäis bekannt sind, ist eine dahingehende Einordnung wahrscheinlich (vgl. auch V.2.1.).[1773]

IV.4.5. Quantitative Auswertung der Formen

Wie die Auswertung der einzelnen Keramikformen und Gefäßbestandteile der Phasen ÇuHö VII–V gezeigt hat, kann von einem sehr einheitlichen Spektrum ausgegangen werden. Im Inventar können keine Brüche im Hinblick auf die Formen zwischen den Phasen und Subphasen festgehalten

[1769] Ein äquivalenter Dekor findet sich auch an Randfragmenten, vermutlich von Dreifußkochtöpfen, aus der spätchalkolithischen Siedlung vom Heraion auf Samos (Kouka 2014b, 51, Abb. 4A; Kouka 2015, 240, Abb. 6c).

[1770] Kat.-Nr. 28, 191, 365, 369–370, 425, 469–470, 483, 517–518, 532–533, 638, 643, 776, 804–805, 1079–1081, 1095, 1185, 1187, 1189–1190, 1217, 1248, 1319–1324, 1342, 1344.

[1771] Kat.-Nr. 700, 705, 819.

[1772] Kat.-Nr. 469–470, 483, 532–533, 638, 643, 805, 1079, 1185, 1187, 1189–1190, 1217, 1320–1324, 1342, 1344.

[1773] Als Beispiel für Funde aus Westanatolien siehe: Şahoğlu – Tuncel 2014, 75 (Bakla Tepe V); aus der Ostägäis siehe: Alram-Stern 1996, 160–161; vgl. zusammenfassend Horejs – Schwall im Druck.

werden, jedoch können quantitative Veränderungen registriert werden, die Tendenzen einer Entwicklung aufzeigen.

Bei den Gefäßformen (Abb. 80) dominieren die engmundigen Gefäße in der Phase ÇuHö VII und der Subphase ÇuHö VIb das Formenspektrum und stellen fast die Hälfte aller Formen. Zusammen mit den Halsgefäßen überwiegen mit ca. 2/3 aller Formen somit deutlich die geschlossenen Gefäße in den beiden Siedlungen (ÇuHö VII: 66,98%; ÇuHö VIb: 66,67%). Offene Gefäßformen sind hingegen nur zu ca. 1/3 im Formenspektrum vertreten (ÇuHö VII: 31,61%; ÇuHö VIb: 33,33%). Unter diesen besitzen die Schalenformen den größten Anteil mit etwa 25% aller Formen.

Dieses Bild ändert sich in den Subphasen ÇuHö VIa, Vb und Va. Nun dominieren die offenen Gefäßformen, darunter die Schalen, deutlich das Inventar. Die Schalenformen stellen hierbei fast die Hälfte der Formen, mit einem leichten Rückgang in der Subphase ÇuHö Va (44,28%). Geschlossene Gefäße sind in den Siedlungen ÇuHö VIa (38,57%) und Vb (40,55%) nur noch mit etwa 40% im Gefäßspektrum vertreten. In der Subphase ÇuHö Va kann ein leichter Anstieg, speziell der Halsgefäße, registriert werden (44,28%).

Phasenübergreifend kann somit festgehalten werden, dass Schalen mit etwa 40%, engmundige Gefäße mit ca. 30% und Halsgefäße mit ungefähr 20% den Großteil der Formen der Phasen ÇuHö VII–V stellen.

Neben den Gefäßformen lohnt auch ein Blick auf die Gefäßbestandteile (Abb. 92). In allen Phasen überwiegt deutlich der Anteil der Henkel. Von der Phase ÇuHö VII zur Subphase ÇuHö VIb ist ein Anstieg von 41,42% auf 50,00% zu registrieren. In den Subphasen ÇuHö VIa, Vb und Va schwankt der Prozentsatz zwischen 50–60%. Interessant ist ein genereller Trend zur Abnahme der Gefäßböden und Zunahme der Füße der Phasen ÇuHö VII–V. Stellen die Böden in der Phase ÇuHö VII noch 28,40% aller Gefäßteile, so sind sie in der Subphase ÇuHö Va nur noch mit 11,32% vertreten. Genau umgekehrt verhält sich dies bei den Füßen. Hier steigt der Anteil von 10,65% (ÇuHö VII) auf 26,42% (ÇuHö Va). Dies lässt auf eine Zunahme der Dreifußkochtöpfe schließen.

In ihrer Gesamtheit auf die Phasen ÇuHö VII–V betrachtet, stellen die Henkel ungefähr die Hälfte der Gefäßbestandteile. Es folgen mit ungefähr 20% die Böden und mit ca. 15% die Füße.

Aufgrund der geringen Anzahl kann für die Verzierungsarten lediglich eine Tendenz festgehalten werden. Auffällig scheint eine Zunahme der Weißbemalung ab der Phase ÇuHö VII (9 Stk.; ÇuHö VII: 4 Stk.; ÇuHö VIa: 5 Stk.) zur Phase ÇuHö V (19 Stk.; ÇuHö Vb: 13 Stk.; ÇuHö Va: 6 Stk.). Generell überwiegen die Weißbemalung mit 47,46% und die Appliken mit 32,20% unter den Verzierungsarten der Phasen ÇuHö VII–V (Abb. 94).

Basierend auf den Studien von H. Riemer zur Funktion der einzelnen Gefäßformen[1774] können engmundige Gefäße und Halsgefäße der (Langzeit-)*Lagerung* bzw. dem *Transport* zugewiesen werden. Töpfe, Dreifußkochtöpfe und Schüsseln werden für die *Zubereitung* von Lebensmitteln verwendet. Schalen und Kannen fallen in die Rubrik *Konsum*. Bei dieser Einteilung können, wie Riemer zeigen konnte, diese drei Bereiche aufgrund spezifischer Gefäßabmessungen überlappen.[1775] Auch die Möglichkeit der Präsenz von Kannen unter den Halsgefäßen bzw. Krügen und Töpfen unter den engmundigen Gefäßen muss hier beachtet werden, weshalb eine Einteilung des Materials der Phasen ÇuHö VII–V in diese Gruppen nur als funktionale Tendenz verstanden werden soll (Abb. 95).

Formen der Lagerung und des Transportes (E, Hg) scheinen gegenüber den anderen Siedlungen in der Phase ÇuHö VII und der Subphase ÇuHö VIb somit zu überwiegen. Eine leichte Zunahme ist hier wieder in der Subphase ÇuHö Va zu registrieren. Gefäße, die für die Zubereitung verwendet wurden (Sch, T, Dt, Chb), finden sich bis zu ca. 10% im Inventar aller Phasen und besitzen somit lediglich einen geringen Anteil. Kochen fand somit in allen drei Siedlungsphasen

[1774] Vgl. Riemer 1997, 125, Abb. 3.
[1775] Riemer 1997, 124–126.

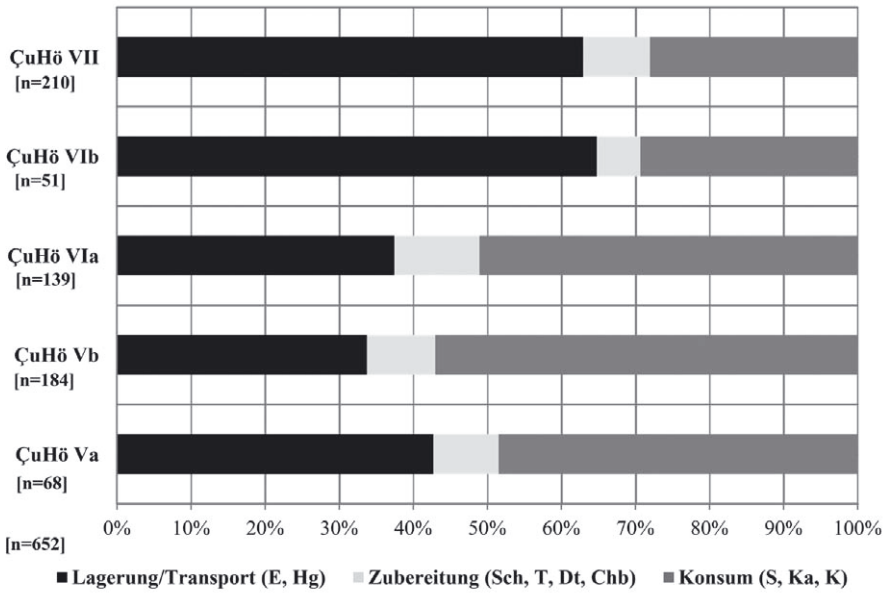


Abb. 95 Korrelation der Gefäßformen je Funktion in den Phasen ÇuHö VII–V.
(Graphik: Ch. Schwall/ERC Prehistoric Anatolia)

gleichermaßen statt. Kannen, Krüge und Schalen werden dem Konsum zugeordnet und stellen ab der Subphase ÇuHö VIa ungefähr die Hälfte des Formenspektrums dar.

Insgesamt suggeriert diese Verteilung, dass anhand der Gefäßformen aller Phasen vordergründig Tätigkeiten im Zusammenhang mit der Lagerung und dem Konsum belegt sind. Die ergrabenen Befunde der Bereiche deuten auf ein Areal hin, in dem zumindest ab der Phase ÇuHö V Tätigkeiten im Zusammenhang mit der Lagerung durchgeführt wurden (vgl. IV.1.2.3–4.). Hierzu zählt auch die Vorbereitung von Nahrungsmitteln für die Lagerung, wie anhand der Steinreihenstrukturen belegt ist. Dass auch der Konsum von Nahrung innerhalb dieses Areals eine Rolle spielte, deutet der hohe Anteil an Konsumgeschirr an. Es ist anzunehmen, dass dies, wie von Halstead vorgeschlagen, auch auf öffentlichen Plätzen geschehen ist.[1776] Steingeräte, wie Reibsteine, Mörser und Klopfsteine im direkten Umfeld der Steinreihenstrukturen, die zur Nahrungsaufbereitung verwendet wurden, unterstützen diese Annahme.

IV.4.6. Korrelation der Warengattungen mit den Keramikformen

Die Korrelation der einzelnen Warengattungen (s. o. IV.4.2.) mit den Formen bietet das Potenzial Veränderungen bei den technologischen Details der Gefäßformen in den jeweiligen Phasen und Subphasen zu analysieren. Bei den hier bearbeiteten Phasen ÇuHö VII–V ist dies wohl aufgrund der relativ kurzen Zeitspanne von etwa 400 Jahren nicht der Fall, daher kann eine zusammenfassende Betrachtung erfolgen (Abb. 96).

Wie im Diagramm (Abb. 96) zu sehen, überwiegen die fein- bis mittelfeinkeramischen Warengattungen im Fundmaterial.

[1776] Halstead 1995, 16–17. – Dies wird auch durch die Untersuchungen von S. G. Souvatzi gestützt, die bei der Analyse der Funde von Dimini (Thessalien) keinen Unterschied zwischen den Inventaren innerhalb der Häuser und der Freiflächen sieht (Souvatzi 2008, 127–130).

Schalen und Schüsseln sind hauptsächlich aus mittelfeinen und feinen Warengruppen hergestellt. Eine derartige Verteilung lässt sich auch für die Kannen und die engmundigen Gefäße beobachten. Letztere finden sich in geringerem Maße auch noch in groben Warengruppen. Die hohen Prozentsätze der Schalen, Kannen und auch engmundigen Gefäße sind auffallend und passen zu der hier durchgeführten Einteilung der Gefäßformen für den *Konsum* nach Riemer (S, Ka, K; s. o. IV.4.5.; Abb. 96).[1777] Der Anteil an feinkeramischen engmundigen Gefäßen könnte hier für die Präsenz von Bechern oder Krügen sprechen, die aufgrund des Zerscherbungsgrades nicht fassbar sind. Ebenso spricht der Anteil an Halsgefäßen aus feinen Waren für die Präsenz von Kannen, die ebenso aufgrund der Erhaltung nicht identifizierbar waren. Töpfe, Dreifußkochtöpfe und Halsgefäße sind vorwiegend aus mittelfeinen bis groben Waren gefertigt. Sowohl die Halsgefäße, als auch der Anteil an grobkeramischen, engmundigen Gefäßen deuten auf die Präsenz von Gefäßen für eine Verwendung als *Lager*- bzw. *Transport*gefäße im Riemer'schen Sinne hin (s. o. IV.4.5.; Abb. 96). Eine Tendenz zu den grobkeramischen Warengruppen zeigen *cheese pots*, aber auch Töpfe, Dreifußkochtöpfe und Schüsseln, für die eine Funktion zur *Zubereitung* von Speisen anzunehmen ist (Abb. 96). Eine Verknüpfung der Formen scheint so mit den mittelfeinen bis groben Warengruppen möglich. Jedoch ist hierbei anzumerken, dass sich im Vergleich zu den übrigen Formen lediglich eine geringe Anzahl dieser Gefäßformen im gesamten Keramikspektrum findet. Der einzige Krug im Inventar wurde aus einer grobkeramischen Ware gefertigt. Daher sind bei den engmundigen Gefäßen aus grober Ware neben Gefäßen mit einer Funktion für Lager- und Transportzwecke auch Gefäße für den Konsum zu erwarten.

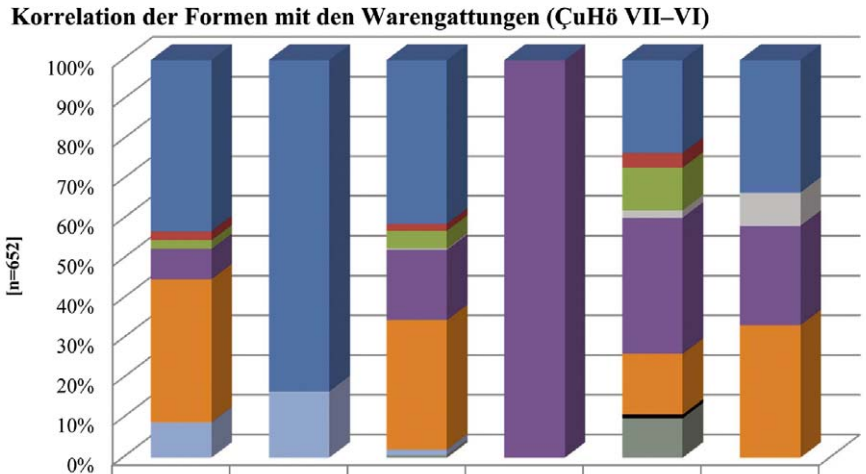
Bei der Betrachtung der Warengattungen und ihrer Funktion (Abb. 97) lässt sich deutlich erkennen, dass Gefäßformen des *Konsums* hauptsächlich aus feinen bis mittelfeinen Waren gefertigt wurden. Solche Formen, für die ein Einsatz bei der *Zubereitung* angenommen werden kann, besitzen eine Tendenz zu den mittelfeinen bis groben Fabrikaten. Größere Halsgefäße und engmundige Formen, für die eine Funktion zur *Lagerung*/zum *Transport* wahrscheinlich ist, gehören ebenfalls den mittelfeinen bis groben Waren an. Der Anteil an feinkeramischen Gefäßen dieser Gruppen scheint wohl kleinformatiges Konsumgeschirr (Becher, Krüge, Kannen) darzustellen, welches aufgrund der geringen Fragmentgröße nicht differenziert werden konnte.

Interessanterweise ähnelt dieses Ergebnis der Aufteilung der Warengattungen und ihrer Funktion stark den Resultaten der von M. Röcklinger durchgeführten Analysen für die frühbronzezeitliche Siedlungsphase ÇuHö III.[1778] Dies spricht für eine grundsätzliche Kontinuität in der Keramikproduktion der spätchalkolithischen bis frühbronzezeitlichen Phasen des Çukuriçi Höyük.

IV.4.7. Chronologische Bewertung der Keramik der Phasen ÇuHö VII–V

Bei der Analyse der Keramik der Siedlungsphasen ÇuHö VII–V hat sich gezeigt, dass diese als homogen angesehen werden kann (vgl. Abb. 80, 92; vgl. IV.4.5.). Es finden sich keine grundlegenden Veränderungen im Formenspektrum, die einen Bruch in der Keramiktradition andeuten. Im Gegenteil, die Zusammensetzung der Inventare der einzelnen Phasen und Subphasen lassen einen kontinuierlichen Entwicklungsprozess erkennen. Ältere chalkolithische Formen und Dekorationsarten laufen weiter bis in die beginnende Frühbronzezeit 1 und spätere Leitformen der Frühbronzezeit 1 tauchen, wie an anderen Fundorten zu sehen ist (z. B. Kumtepe IB), bereits im Spätchalkolithikum auf. Nichtsdestotrotz ist es möglich, den Beginn der Frühbronzezeit aufgrund der durchgehenden stratigraphischen Sequenz des Siedlungshügels sowie charakteristischen Leitfunde ab der Subphase ÇuHö Va anzusetzen. Im Folgenden sollen ausgewählte Keramikformen und Dekorationsarten, die als chronologische Marker angesehen werden können, aus den Siedlungsphasen ÇuHö VII bis V besprochen werden. Eine eingehendere Diskussion solcher Marker der mittel- und/oder spätchalkolithischen Zeitstellung im gesamten Arbeitsgebiet findet sich im

[1777] Riemer 1997.
[1778] Röcklinger 2015, 60–62.



	FK [n=255]	FK-MK [n=12]	MK [n=289]	MK-GK [n=3]	GK [n=111]	unbest. [n=12]
S	97	10	119	0	26	4
Sch	5	0	5	0	4	0
T	5	0	13	0	12	0
Dt	0	0	1	0	2	1
Hg	17	0	51	3	38	3
E	81	0	94	0	17	4
K	0	0	0	0	1	0
Ka	20	2	4	0	0	0
Chb	0	0	2	0	11	0

Abb. 96 Korrelation der Gefäßformen mit den Warengattungen der Phasen ÇuHö VII–V.
(Graphik: Ch. Schwall/ERC Prehistoric Anatolia)

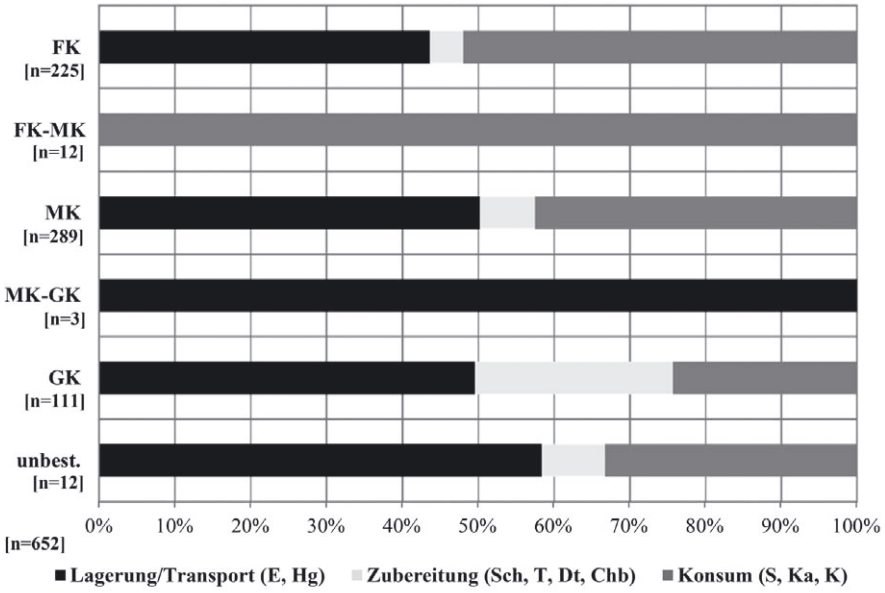


Abb. 97 Korrelation der Warengattungen je Funktion der Gefäßformen in den Phasen ÇuHö VII–V.
(Graphik: Ch. Schwall/ERC Prehistoric Anatolia)

Kapitel V. Diese werden herangezogen, um neben den Radiokarbondatierungen (s. o. IV.1.4.) auch relativchronologische Argumente für eine Datierung in das späte 4. und das beginnende 3. Jt. v. Chr. zu liefern.

Wie bereits angemerkt, besitzen einige Keramikformen und Dekorationsarten eine lange lokale Tradition, die sich teilweise bereits ab dem späten 6./frühen 5. Jt. v. Chr. bis in das 3. Jt. v. Chr. nachweisen lässt. Zu solchen Gefäßen zählen die *cheese pots* (vgl. V.2.1.), welche ab der Phase ÇuHö VII[1779] (vgl. IV.4.3.3.) bis in frühbronzezeitliche Siedlungsphasen im Fundspektrum des Çukuriçi Höyük präsent sind. Eine ebenfalls lange Laufzeit, die in der Region bis mindestens ins 5. Jt. v. Chr. zurückreicht, kann für die Weißbemalung und die Ritzverzierung (vgl. V.2.3–4) festgehalten werden. Dekor in Form von Weißbemalung (vgl. IV.4.4.1.) findet sich ebenso wie Ritzverzierungen (vgl. IV.4.4.2.4.) ab der Phase ÇuHö VII.[1780] Beide lassen sich bis in die Phase ÇuHö III weiterverfolgen.[1781] Neben Keramikformen und -dekorationen besitzt auch ein technologischer Aspekt, belegt durch die Verwendung von Matten bei der Keramikherstellung, eine längere Laufzeit vom 6. bis ins 3. Jt. v. Chr. (vgl. V.2.2.). Dies lässt sich anhand von Mattenabdrücken auf den Gefäßböden nachweisen. Vom Çukuriçi Höyük kann neben dem kleinen Fragment aus der Subphase ÇuHö VIa (vgl. IV.4.4.5.) ein Boden mit Mattenabdruck aus der frühbronzezeitlichen Phase ÇuHö IV angeführt werden.[1782] Aufgrund der fehlenden Anzeichen für eine mittelchalkolithische Besiedlung des Çukuriçi Höyük,[1783] anhand fehlender charakteristischer Funde als auch stratigraphischer Belege, können die Funde, abhängig von ihrer (Sub)phasenzugehörigkeit dem Spätchalkolithikum bzw. der beginnenden Frühbronzezeit 1 zugerechnet werden.

Chronologische Marker, welche zwar teilweise bis in die Frühbronzezeit weiterlaufen, jedoch erst im 4. Jt. v. Chr. einsetzen, lassen sich durch mehrere charakteristische Formen und Gefäßbestandteile der Siedlungsphasen ÇuHö VII–V definieren.

Mehrere Funde, wie Schalenformen und Gefäßbestandteile aus dem Inventar, erlauben einen Vergleich zu kontemporären Siedlungen im Arbeitsgebiet. Zu nennen ist ein trapezförmiger, randständiger Grifflappen (La3; Taf. 24.875; vgl. IV.4.3.4.3.) für den sich ein guter Vergleich im Material vom Kuruçay Höyük (Level 4) findet.[1784]

Weiterhin sind verschiedene Fußformen zu nennen, die am Çukuriçi Höyük ab der Phase ÇuHö VII auftauchen (F1, 3–4; vgl. IV.4.3.4.6.) und eine gute Basis für Vergleiche bieten.[1785] Besonders ausgezipfelte und trapezförmige Füße sind von spätchalkolithischen Fundorten im Einzugsgebiet des Büyük Menderes bekannt (vgl. V.3.4.). Wie bereits anhand dieser Fußformen im Inventar des Çukuriçi Höyük belegt, lässt sich eine Entwicklung von den trapezförmigen/ausgezipfelten hin zu den rechteckigen Füßen nachweisen, die ab der Frühbronzezeit 1 gängig werden. Eine derartige Annahme wird auch durch die Vergleiche von anderen Fundorten bestätigt.

Ab dem Spätchalkolithikum treten im Inventar der Phasen ÇuHö VII–V chronologisch relevante Marker bei den Schalenformen auf. Wenige Funde von Schalen mit eingeklapptem Rand (S11; vgl. IV.4.3.1.1.) lassen Vergleiche mit den spätchalkolithischen Schichten von Barcın

---

[1779] Hierzu siehe auch Horejs 2014a, 26.

[1780] Hierzu siehe auch Horejs 2014a, 26.

[1781] Röcklinger 2015, 59–60. – Ritzungsdekor frühbronzezeitlicher Zeitstellung ist auch aus Grabungen des Efes Müzesi (s. o. IV.3.3.) bekannt (Evren 1999, Farbabb. 4).

[1782] ÇuHö 13/5304/1/9.

[1783] Lediglich der Fund eines hornartig ausgeformten Bandhenkels (vgl. Horejs in Vorbereitung, Taf. 59.4) könnte auf eine mittelchalkolithische Zeitstellung hinweisen. Anhand des singulären Fundes ist jedoch nicht von einer Besiedlung auf dem Çukuriçi Höyük, sondern eventuell an einem Ort im Umfeld des Siedlungshügels auszugehen. Fundorte mittelchalkolithischer Zeitstellung im näheren Umfeld des Çukuriçi Höyük sind bislang nicht bekannt. Hornhenkel aus dem *Kaystros*-Tal sind nur aus den von R. Meriç durchgeführten Surveys am Arapkahve und Ufaktepe belegt (Meriç 2009, 139, Taf. 1.K9–11).

[1784] Duru 1996, Taf. 94.2.

[1785] Solche wurden auch bei den Grabungen der Nordschnitte gefunden (siehe Beitrag Horejs in diesem Band, Kap. III.1.). – Zu Füßen aus den Altgrabungen frühbronzezeitlicher Zeitstellung siehe Evren – İçten 1998, 121, Abb. 3; 122, Abb. 5; 123, Abb. 6; Evren 1999, 29, Abb. 25, Farbabb. 9.

Höyük[1786] und Demircihüyük[1787] in Nordwestanatolien zu. Eine größere Verbreitung in Westanatolien und auch auf den vorgelagerten Inseln der Ostägäis zeigen Kehl- und Knickrandschalen, die aus spätchalkolithischen Schichten stammen (vgl. V.3.2–3.). Speziell die Knickrandschalen stellen in diesem Zusammenhang ebenfalls eine Leitform in der Frühbronzezeit 1 dar, wie auch die Funde aus Troia bestätigen.[1788] Am Çukuriçi Höyük findet sich lediglich ein Fragment einer scharf profilierten Kehlrandschale (S7; Taf. 9.210; vgl. IV.4.3.1.1), das aus den Schichten der Phase ÇuHö VII stammt. Hingegen sind Knickrandschalen (S3; vgl. IV.4.3.1.1.) gut belegt und werden in den frühbronzezeitlichen Siedlungsphasen ÇuHö IV–III zu chronologischen Markern.[1789]

Besonders datierungsrelevant für die zweite Hälfte des 4. Jts. v. Chr. sind Schalen mit eingerolltem Rand (*rolled rim*; vgl. V.3.1.). Solche Randformen finden sich vor allem an weitmundigen Schalen (S4Q; Taf. 46.1) und sind für alle hier bearbeiteten Phasen des Çukuriçi Höyük belegt (vgl. IV.4.3.1.1.).[1790] Interessanterweise kann für diese Randform ein Transformationsprozess hin zu Typen mit schräg nach innen abgestrichener und verdickter Lippe (S4K; Taf. 46.2) auf dem Çukuriçi Höyük nachgewiesen werden (vgl. Abb. 76). Schräg nach innen abgestrichenen und verdickten Lippen stellen Leitformen der beginnenden Frühbronzezeit 1 dar und finden sich gehäuft an Schalen vom Typ Blegen A6[1791] aus den frühen Schichten von Troia I, aber auch in Kumtepe IC1.[1792] Aus den frühbronzezeitlichen Schichten von Troia I sind hingegen keine Schalen mit *rolled rim* bekannt. Beide Randformen mit Rändern, die eine Kombination aus beiden Formen aufweisen (S4Q-S4K), finden sich nebeneinander in den Phasen ÇuHö VII–V.[1793] Auch aus den Schichten vom Kumtepe IB3–4 sind sowohl *rolled rims* als auch Übergangsformen bekannt.[1794] Interessanterweise sind Schalen mit *rolled rim* auch in Schichten der beginnenden Frühbronzezeit am Çukuriçi Höyük und am Kumtepe IC1 vertreten.[1795] Es scheint sich hierbei um einen dynamischen Transformationsprozess der Randformen in den letzten Jahrhunderten des 4. Jts. v. Chr. zu handeln, die letztendlich in den Schalenformen des Typs Blegen A6 kulminieren und mit ihren teils elaborierten Rändern eine Leitform für die beginnende Frühbronzezeit darstellen.

Die Periodendefinition des Çukuriçi Höyük mit einem Beginn der Frühbronzezeit ab der Subphase ÇuHö Va wird durch externe Parallelen bestätigt, die als chronologische Marker verstanden werden. Dies wird zum einen an einem Randfragment mit Verzierung einer Schale des Typs

---

[1786] Gerritsen et al. 2010, 220, Abb. 7.4; vgl. Seeher 2012, 125, Abb. 1.1.

[1787] Seeher 1987a, Taf. 25, 9, 12, 18; vgl. Seeher 2012, 125, Abb. 1.4.

[1788] Dies zeigen die Ergebnisse der Seriation dieses Typs Blegen A12 (Blegen et al. 1950, 60–61) von B. Weninger deutlich (Weninger 2002, 1050, Abb. 5).

[1789] Zu den frühbronzezeitlichen Siedlungsphasen siehe: Horejs et al. 2011, 42, Anm. 80; Röcklinger 2015, 38, 56. – Vgl. ebenso Evren – İçten 1998, 121, Abb. 3; 122, Abb. 5; 124, Abb. 7–8; Evren 1999, 27, Abb. 12–13, Farbabb. 6, 9. Bei den drei Exemplaren, die von A. Evren 1999 publiziert wurden, wird nur die Fläche 1 und 2 angegeben. Es lässt sich hier nicht auflösen, aus welchem Schnitt und welchen Befundhöhen diese stammen. Somit muss eine Verbindung zu den tieferen prä-ÇuHö IV-Schichten, wie sie vermutlich in der Fläche 2 erfasst wurden (s. o. IV.3.3.), offen bleiben. – Eine gesicherte spätchalkolithische Zeitstellung ist für die Funde aus den Nordschnitten belegt (siehe Beitrag Horejs in diesem Band, Kap. III.1.).

[1790] *Rolled rims* sind auch aus den Nordschnitten belegt (Horejs 2008b, 97, Abb. 7b; siehe Beitrag Horejs in diesem Band, Kap. III.1.). – Ebenfalls stammen Schalen mit *rolled rim* aus den Museumsgrabungen (Evren – İçten 1998, 122, Abb. 4; Evren 1999, 28, Abb. 16–17). Gerade bei den zwei 1999 publizierten Exemplaren muss, wie bei den Knickrandschalen, offen bleiben, ob diese möglicherweise aus prä-ÇuHö IV-Befunden stammen (s. o. IV.3.3.).

[1791] Vgl. Blegen et al. 1950, 58–59, Taf. 253–255.

[1792] Sperling 1976, 347, Abb. 23.705, Taf. 77; Korfmann et al. 1995, 268, Abb. 26.6.

[1793] S4Q (vgl z. B. ÇuHö VII: Taf. 2.64; ÇuHö VIa: Taf. 21.662, 714; ÇuHö Va: Taf. 35.1283); S4Q-S4K (vgl. z. B. ÇuHö VII: Taf. 5.170; ÇuHö VIb: Taf. 14.505; ÇuHö VIa: Taf. 20.661); S4K (vgl. z. B. ÇuHö VII: Taf. 1.7; ÇuHö Vb: Taf. 27.982; ÇuHö Va: Taf. 32.1215).

[1794] So beispielsweise aus den Schichten von Kumtepe IB3: *rolled rim* (vgl. z. B. Sperling 1976, 335, Abb. 15.541), Übergangsform (vgl. z. B. Sperling 1976, 334, Abb. 14.517; Korfmann et al. 1995, 274, Abb. 31.4); IB4: *rolled rim* (vgl. z. B. Sperling 1976, 340, Abb. 19.605; Korfmann et al. 1995, 271, Abb. 29.2), Übergangsform (vgl. z. B. Sperling 1976, 340, Abb. 19.610; 341, Abb. 20.647).

[1795] Kumtepe IC1 (vgl. z. B. Sperling 1976, 347, Abb. 22.702; Korfmann et al. 1995, 262, Abb. 22.5).

Blegen A6 deutlich (Taf. 32.1215; vgl. IV.4.4.1.). Zum anderen besitzt eine Wandscherbe aus der gleichen Subphase Einkerbungen in Form eines Fischgrätmusters (Taf. 34.1274; vgl. IV.4.4.2.5.). Diese Motivik ist bislang singulär in den Schichten des Çukuriçi Höyük, jedoch sind externe Parallelen wiederum aus Troia, aber auch vom Hanay Tepe und aus Emporio, bekannt. In Troia findet sich eine entsprechende Motivik auf Rändern von Typ Blegen A6 Schalen aus den Schichten von Troia Ia–b.[1796] Vom Hanay Tepe stammen Parallelen vermutlich aus dem jüngeren Stratum B.[1797] Ebenfalls findet sich diese Motivik auf Kannen und Töpfen der frühbronzezeitlichen Schichten Emporio V–IV.[1798] Dies unterstützt eine zeitliche Verortung der Subphase ÇuHö Va an den Beginn des 3. Jts. v. Chr. Die Phasen ÇuHö VII–VI und die Subphase ÇuHö Vb können hingegen in das ausgehende 4. Jt. v. Chr. gesetzt werden. Sowohl die stratigraphischen Befunde, die Radiokarbondaten als auch das homogene keramische Inventar sprechen für eine bruchlose Entwicklung vom Spätchalkolithikum zur Frühbronzezeit 1 auf dem Çukuriçi Höyük.[1799]

IV.5. Die Kleinfunde

Aus den Ausgrabungen in den Arealen N6–7 und M1 stammen insgesamt 86 Kleinfunde der Siedlungsphasen ÇuHö VII–V (Tab. 13; Taf. 52–89; vgl. IX.4.). Ferner wurde eine Figurine des Typs Kiliya (Taf. 75) im rezent gestörten Oberflächenmaterial gefunden. Da dieser Typ charakteristisch für das 5. und 4. Jt. v. Chr. ist,[1800] wird diese hier ebenfalls betrachtet. Eine Zuordnung des Fundmaterials aus den Planierungen erfolgt äquivalent zur Vorgehensweise bei der Keramik (s. o. IV.4.; Tab. 4).[1801] Im Gegensatz zu den anderen Siedlungen erbrachten die Schichten, die der Siedlung ÇuHö Vb zugewiesen werden können, etwa doppelt so viele Kleinfunde. Dies lässt sich durch die deutlich größere Fläche erklären, auf der Siedlungsreste dieser Subphase ergraben wurden. Im Folgenden werden die Kleinfunde in die Materialgruppen Ton-, Knochen- und Steinobjekte unterteilt und besprochen (Tab. 13). Im Hinblick auf die Steinobjekte ist zu Beginn anzumerken, dass eine geologische Bestimmung der Artefakte makroskopisch mit Hilfe einer Lupe stattgefunden hat. Als Basis für die Einordnung der Gesteinsrohstoffe wurde eine von D. Wolf angelegte Gesteinssammlung verwendet, die im Rahmen des geologischen Lagerstättensurvey im Umfeld des Çukuriçi Höyük erstellt wurde. Der Großteil der Gesteine wurde, sofern nicht anders angegeben, vom Autor selbst bestimmt.

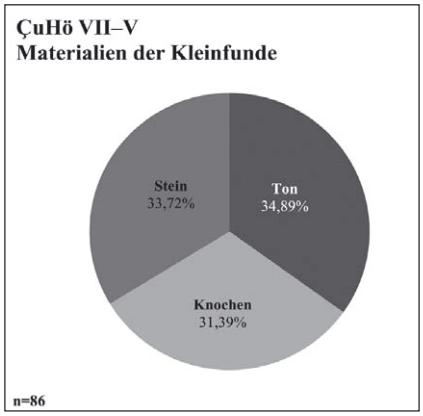


Abb. 98 Anteil der Ton-, Knochen- und Steinobjekte im Kleinfundspektrum der Phasen ÇuHö VII–V. (Graphik: Ch. Schwall/ERC Prehistoric Anatolia)

Interessanterweise sind die drei Fundgruppen mit jeweils etwa einem Drittel (Abb. 98) zu gleichen Anteilen im Fundspektrum vertreten.

[1796] Blegen et al. 1950, Taf. 234.24–25.
[1797] Virchow 1883, Taf. 8.7.
[1798] Hood 1981/1982, 235, Abb. 115.10–11.
[1799] Dies scheint auch für andere Siedlungen im Arbeitsgebiet der Fall zu sein (vgl. hierzu VI.2.).
[1800] Seeher 1992.
[1801] Bei den Kleinfunden aus den Planierungen ÇuHö VIa/VIb und IV/VIb (Kat.-Nr. 18–23, 25) ist es aufgrund des hohen Anteils an neolithischen Waren (s. o. IV.4.2.1) möglich, dass es sich um ältere, neolithische Funde handelt.

Tonobjekte						
	ÇuHö VII	ÇuHö VIb	ÇuHö VIa	ÇuHö Vb	ÇuHö Va	Σ
Keramikscheiben (durchlocht)	4	2	1	1	0	8
Keramikscheiben	2	1	0	1	1	5
Webgewichte	0	0	0	2	5	7
Spinnwirtel	0	1	2	0	0	3
Keramiklöffel	1	0	0	0	0	1
Schleudergeschosse	0	0	1	1	0	2
Figurinen	0	0	0	4	0	4
Σ	7	4	4	9	6	30
Knochenobjekte						
	ÇuHö VII	ÇuHö VIb	ÇuHö VIa	ÇuHö Vb	ÇuHö Va	Σ
Knochenahlen	1	1	3	4	0	9
Knochennadeln	1	0	0	1	0	2
Knochenspatel	0	0	2	1	0	3
Knochenlöffel	0	1	0	0	0	1
Knochenperlen	0	0	0	0	1	1
Knochenobjekte (unklar)	0	3	0	6	2	11
Σ	2	5	5	12	3	27
Steinobjekte						
	ÇuHö VII	ÇuHö VIb	ÇuHö VIa	ÇuHö Vb	ÇuHö Va	Σ
Klopfsteine	1	0	1	4	2	8
Dechselklingen	2	0	0	2	0	4
Steinbeile	0	0	1	0	0	1
Glättsteine	0	1	1	0	0	2
Steinscheiben	1	0	1	1	0	3
Steinperlen	0	1	0	0	2	3
Steinanhänger	1	0	0	0	0	1
Steingefäße	0	0	0	1	0	1
Steinobjekte (unklar)	0	1	2	2	1	6
Σ	5	3	6	10	5	29
Σ(gesamt)	14	12	15	31	14	86

Tab. 13 Verteilung der Kleinfundgruppen auf die Siedlungsphasen ÇuHö VII–V (n=86; vgl. IX.4.).

IV.5.1. Tonobjekte

Insgesamt wurden 30 Tonobjekte in den Schichten der Siedlungsphasen ÇuHö VII–V gefunden. Zu diesen zählen Keramikscheiben, ein Keramiklöffel, Schleudergeschosse, Spinnwirtel, Webgewichte sowie Figurinen.

IV.5.1.1. Keramikscheiben

Keramikscheiben (vgl. z. B. Taf. 58.26), teilweise mit Durchlochung (vgl. z. B. Taf. 54.9; 77.12; 81.37), stellen mit 13 Objekten die Mehrzahl der Tonobjekte dar (Tab. 13).[1802] Mit neun Exemplaren finden sich Keramikscheiben insbesondere in den Siedlungen ÇuHö VII und VIb. Bei der Betrachtung der Fabrikate zeigen die spätchalkolithischen Warengruppen (WG 17–18, 30, 100; vgl. IX.2.) mit sieben Exemplaren[1803] ein deutliches Übergewicht gegenüber drei Funden[1804] aus neolithischen Warengruppen. Drei Fabrikate konnten nicht bestimmt werden.[1805] Es ist möglich, dass die aus neolithischen Waren gefertigten Funde aus älteren Schichten stammen oder eventuell aus älteren Scherben hergestellt wurden. Ein Weiterlaufen der Warengruppen kann jedenfalls anhand der Keramikformen nicht bestätigt werden.

IV.5.1.2. Webgewichte

Mit sieben Objekten finden sich Webgewichte im Fundspektrum, die sich auf die Siedlungsphase ÇuHö V[1806] beschränken. Der Großteil (5 Ex.) stammt aus der Subphase ÇuHö Va, welche bereits der beginnenden Frühbronzezeit zugewiesen werden kann (s. o. IV.1.4.; IV.4.7). Typologisch lassen sich die Webgewichte in zwei Arten unterteilen: Webgewichte zylindrischer Form (Typ I; vgl. z. B. Taf. 73.84; 84.58) und eiförmige Webgewichte (Typ II; vgl. z. B. Taf. 69.71; 87.71).[1807] Der Typ I überwiegt mit fünf Exemplaren deutlich.[1808] Im Hinblick auf die verwendeten Waren ähneln drei Exemplare der Warengruppe 16;[1809] drei weitere können der Warengruppe 32[1810] zugewiesen werden und die Ware eines Webgewichtes bleibt unbestimmt.[1811] Das bestimmbare Webgewicht der Subphase ÇuHö Vb (Taf. 66.58; 84.58) wurde wahrscheinlich aus der Warengruppe 16 hergestellt. Die Präsenz von vermutlich zwei spätchalkolithischen Warengruppen für die Herstellung von Webgewichten im Fundmaterial deutet eine gezielte Auswahl des Materials für die Herstellung dieser Objekte an.

[1802] Keramikscheiben (durchlocht): Kat.-Nr. 1, 5, 9, 12, 15, 24, 37, 56; Keramikscheiben: Kat.-Nr. 6, 8, 26, 68, 82. – Keramikscheiben mit oder ohne Durchlochung sind auch aus den Grabungen der Nordschnitte N1–4 bekannt (siehe Beitrag Horejs in diesem Band, Kap. III.2.).

[1803] Kat.-Nr. 1, 8–9, 12, 24, 56, 68.

[1804] Kat.-Nr. 5, 26, 82.

[1805] Kat.-Nr. 6, 15, 37.

[1806] Kat.-Nr. 58, 71–72, 80, 83–84, 86. – Zwei weitere Webgewichte stammen aus den Grabungen der Schnitte N3–4 (Horejs 2014a, 25, Abb. 8; siehe Beitrag Horejs in diesem Band, Kap. III.2.). Ob es sich bei einem weiteren Tonobjekt (Galik et al. 2012, 267, Abb. 3.1) aus spätneolithischen Schichten des Çukuriçi Höyük um ein Webgewicht handelt und damit für eine frühe Präsenz des Textilhandwerks spricht, ist fraglich. Zudem könnte es sich hier auch um ein verlagertes Objekt handeln.

[1807] Britsch – Horejs 2014, 229–230, Abb. 4.1–2. – Für Diskussionen zu den Webgewichten und Spinnwirteln sei Ch. Britsch gedankt.

[1808] Kat.-Nr. 58, 80, 83–84, 86. – Ein Fragment (Kat.-Nr. 72) ist nicht klassifizierbar.

[1809] Kat.-Nr. 58, 72, 80.

[1810] Kat.-Nr. 83–84, 86.

[1811] Kat.-Nr. 71.

IV.5.1.3. Spinnwirtel

Spinnwirtel sind anhand von drei Exemplaren der Siedlungen ÇuHö VIb und VIa belegt.[1812] Auch diese können ihrer Form nach klassifiziert werden.[1813] Zwei Spinnwirtel besitzen eine runde Form (Typ IIc; vgl. z. B. Taf. 56.16; 77.16); ein weiteres Exemplar eine konische Form (Typ IID; Taf. 58.29; 79.29). Ebenso wie bei den Webgewichten lassen sich auch für die Produktion der Spinnwirtel zwei spätchalkolithische Warengruppen (WG 32, 49) nachweisen. Petrographische Analysen wurden an einem Spinnwirtelfragment (Kat.-Nr. 38) im Rahmen einer größeren Analysereihe von L. Peloschek durchgeführt. Die Zusammensetzung entspricht grundsätzlich dem Fabrikat EPH-METAMORPHIC_01 (vgl. IV.4.2.1.). Jedoch besitzt dieses Fabrikat Konzentrationen an eisenhaltigen Lehmeinschlüssen, weshalb für dieses Einzelstück ein gesondertes metamorphes Fabrikat (EPH-METAMORPHIC_16) definiert wurde.[1814]

Ob das gegenseitige Ausschließen der Spinnwirtel und Webgewichte in den Siedlungsphasen dem Zufall geschuldet ist oder eine Bedeutung hat, kann aufgrund der geringen Fundanzahl aus den einzelnen Siedlungen nicht entschieden werden.

IV.5.1.4. Keramiklöffel

Ein Fragment eines Keramiklöffels stammt aus der Phase ÇuHö VII (Taf. 52.2; 76.2). Dieser wurde aus einer neolithischen Warengruppe hergestellt. Ein vergleichbarer Fund ist aus den spätchalkolithischen Schichten der Ausgrabungen im Schnitt N3 bekannt.[1815] Weiterhin wurden Keramiklöffel auch in den spätneolithischen Siedlungen des Çukuriçi Höyük gefunden.[1816]

IV.5.1.5. Schleudergeschosse

Als weitere Funde sind zwei Fragmente bikonischer Schleudergeschosse zu erwähnen, die den Subphasen ÇuHö VIa und Vb (Taf. 59.34; 66.57; 80.34; 84.57) zugewiesen werden können.[1817] In beiden Fällen wurde eine für die frühbronzezeitlichen Schichten des Çukuriçi Höyük typische Warengruppe verwendet (WG 58; vgl. IX.2.). Hier deutet sich ein früheres Einsetzen dieser Warengruppe bereits in spätchalkolithischer Zeit an. Diese Annahme wird auch durch die Gefäßkeramik gestützt (s. o. IV.4.2.1.). Da lediglich zwei Funde vorhanden sind, muss offen bleiben, ob die Warengruppe exklusiv für die Herstellung von Schleudergeschossen verwendet wurde.

IV.5.1.6. Figurinen

Bemerkenswert sind vier Objekte, die als Figurinen bzw. Bestandteile von anthropomorphen und zoomorphen Figurinen eingeordnet werden können und allesamt aus Schichten der Subphase ÇuHö Vb stammen.[1818]

Eine abstrakte anthropomorphe Figurine stammt aus der Planierung ÇuHö IV/Vb und wird durch das Fragment eines zylinderförmigen Torsos (Taf. 67.59; 85.59) repräsentiert. Dieser zeigt im oberen und unteren Bereich Bruchstellen. In Form von kurzen dreieckigen Stummeln werden die vermutlich angewinkelten Arme auf beiden Seiten des Torsos angedeutet, welche zudem etwa mittig Durchlochungen tragen. Unterhalb der Durchlochungen finden sich zwei rundlich bis oval

[1812] Kat.-Nr. 16, 29, 38.
[1813] Britsch – Horejs 2014, 228, Abb. 2; 231.
[1814] Für Informationen zu den Analyseergebnissen des Spinnwirtels sei L. Peloschek gedankt.
[1815] Siehe Beitrag Horejs in diesem Band (Kap. III.2.).
[1816] Vgl. Galik et al. 2012, 267, Abb. 3.6.
[1817] Ein weiteres Fragment eines Schleudergeschosses kam auch im Schnitt N3 bei den Grabungen in den Nordschnitten zutage (siehe Beitrag Horejs in diesem Band, Kap. III.2.).
[1818] Kat.-Nr. 54, 59, 62–63.

ausgeformte, flache Aufsätze, die als Brüste verstanden werden können und das Geschlecht der Figur kennzeichnen. Etwas tiefer findet sich ca. mittig eine runde Einkerbung, die eventuell als Darstellung der primären Geschlechtsorgane angesehen werden kann. Im unteren Bereich der Figurine ist die Bruchfläche stark abgerundet und es ist eine etwa kegelförmige, spitz zulaufende Eintiefung zu erkennen, die von unten in den Körper hineinführt. Als Fabrikat konnte die Warengruppe 49 mit einem hohen Anteil an Glimmer bestimmt werden.

Als zoomorphe Figurine kann ein wiederum kopfloses Exemplar angeführt werden (Taf. 64.54; 84.54). Die Figurine fand sich zwischen Bruchstücken von verbranntem Lehm auf dem Laufhorizont der Subphase ÇuHö Vb unmittelbar südlich der Steinreihenstruktur SR 2 (Abb. 51). Interessanterweise wurde diese Figurine um einen länglichen Steinkern geformt, der sich an der Bruchstelle des Kopfbereichs deutlich erkennen lässt. Neben dem Kopfansatz besitzt das Exemplar fünf weitere Fortsätze, von denen ebenfalls zwei abgebrochen sind. Drei Fortsätze zeigen nach unten und zwei sind nach oben gerichtet. Die Oberfläche der Figurine ist geglättet. Eine Deutung der Figurine als stilisierter Fisch ist denkbar.[1819] Die unteren drei Fortsätze würden demnach im vorderen Bereich die Brustflossen und im hinteren Bereich den unteren Teil der Schwanzflosse darstellen. Auf der Oberseite findet sich der obere Abschnitt der Schwanzflosse sowie die Rückenflosse. Damit die Figurine stehen konnte wurden die unteren Extremitäten zurechtgebogen. Der Ton konnte der Warengruppe 57 zugewiesen werden.

Zwei weitere Objekte stammen aus der Planierung ÇuHö IV/Vb. Das erste Objekt ist als Tierkopf mit Hals anzusprechen (Taf. 67.62; 86.62). Hierbei handelt es sich vermutlich um den Kopf einer Figurine oder um ein Tierkopfprotom eines Gefäßes. Der Hals besitzt einen ovalen Querschnitt und verbreitert sich zum durchlochten Kopf hin. Die Durchlochung im Kopfbereich fungiert in der Seitenansicht als Auge. Die Mundpartie besitzt ein regelmäßig abgerundetes Ende. Durch die stilisierte Darstellung wird eine zoologische Einordnung zwar erschwert, dennoch spricht die erkennbare Physiognomie für die Identifikation als Schlangenkopf.[1820] Als Fabrikat ist die Warengruppe 17 zu nennen.

Das zweite Objekt stellt ein Beinchen dar (Taf. 68.63). Aufgrund der abgewinkelten Form und des Bruchs im Bereich des Ansatzes ist die Zugehörigkeit zu einer vierbeinigen, vermutlich zoomorphen, Figurine annehmbar. Das Bein wurde aus der Warengruppe 49 hergestellt.

Im Hinblick auf die verwendeten Fabrikate ist anzumerken, dass alle Figurinen lokal und aus feinen bis mittelfeinen Warengruppen gefertigt wurden. Zwei Objekte wurden zudem aus der gleichen Warengruppe (WG 49) hergestellt.

IV.5.2. Knochenobjekte

Zu den Knochenobjekten zählen 27 Funde, die in allen Siedlungen der Phasen ÇuHö VII–V gefunden wurden (Tab. 13). Zu nennen sind Knochennadeln, -ahlen, -spatel sowie ein Knochenlöffel und eine Knochenperle. Aufgrund des hauptsächlich kleinteiligen Charakters der Fragmente ist eine Zuweisung bei elf Funden nur bedingt möglich.[1821] Bei der Mehrzahl dieser unbestimmten Bruchstücke könnte es sich um Bruchstücke von Ahlen oder Spateln handeln, die vorwiegend in der Phase ÇuHö V (8 Stk.) gefunden wurden.

[1819] Für Diskussionen hinsichtlich einer zoologischen Einordnung dieses Objektes sei A. Galik gedankt.

[1820] Gegen eine Interpretation als (Wasser-)vogel sprechen, laut A. Galik, der lange Hals, die schwache Ausformung des Kopfes sowie die regelmäßig abgerundete Mundpartie, welche sich nicht verjüngt und bei einem Vogel zu erwarten wäre. – Für Diskussionen hinsichtlich einer zoologischen Einordnung dieses Objektes sei ebenfalls A. Galik gedankt.

[1821] Kat.-Nr. 20–22, 49–52, 60, 67, 75–76.

IV.5.2.1. Knochenahlen

Unter den Knochengerätefragmenten stellen die Ahlen mit neun Objekten den Großteil der Funde dar, die sich von der Phase ÇuHö VII bis zur Suphase ÇuHö Vb im Spektrum finden.[1822] Neben massiveren, dickeren Objekten (vgl. z. B. Taf. 59.31–32) sind flache, filigrane Objekte (vgl. z. B. Taf. 62.43–44; 81.35; 82.43) im Inventar vertreten.

IV.5.2.2. Knochennadeln

Knochennadeln sind in Form eines Schaftes mit angefangener Durchbohrung (Taf. 52.3) und einer fein gearbeiteten Knochenspitze (Taf. 69.66) aus den Siedlungen ÇuHö VII und Vb bekannt.

IV.5.2.3. Knochenspatel

Ebenfalls in geringer Anzahl, mit drei Exemplaren, können Knochenspatelfragmente genannt werden (vgl. z. B. Taf. 69.65; 85.65), die aus den Subphasen ÇuHö VIa und Vb stammen.[1823]

IV.5.2.4. Knochenlöffel

Als Einzelstück kann das Fragment eines Knochenlöffels (Taf. 57.23; 78.23) der Siedlung ÇuHö VIb angesehen werden. Da dieses Objekt jedoch aus dem Kontext einer Planierung mit einer Vielzahl von neolithischen Funden stammt (s. o. IV.4.2.1.), ist eine möglicherweise ältere Datierung nicht auszuschließen.[1824]

IV.5.2.5. Knochenperlen

Die Produktion von Schmuckobjekten aus Knochen kann anhand eines zylinderförmigen Perlenfragments (Taf. 70.77; 87.77) belegt werden.[1825]

IV.5.3. Steinobjekte

Den Steinobjekten können 29 Funde zugerechnet werden, die ein Spektrum von unterschiedlichen Geräten und Schmuckgegenständen sowie ein Gefäß umfassen (Tab. 13). Auch bei dieser Fundgruppe sind mehrere Fragmente anzuführen, deren Ansprache teilweise aufgrund der geringen Größe unklar bleiben muss.[1826] Bei der Mehrzahl scheint es sich wohl um Bruchstücke von Beilen, Dechseln oder Hämmern zu handeln.

IV.5.3.1. Klopfsteine

Zahlenmäßig am häufigsten vertreten sind die Klopfsteine (vgl. z. B. Taf. 63.47; 82.42) mit insgesamt acht Exemplaren.[1827] Zwar sind diese bereits ab der Phase ÇuHö VII belegt, finden jedoch

[1822] Kat.-Nr. 4, 18, 31–32, 35, 43–45, 48.
[1823] Kat.-Nr. 28, 36, 65.
[1824] Dies gilt auch für die Knochenobjekte Kat.-Nr. 18, 20–22.
[1825] Hinsichtlich der Form wird hier der Einteilung von E. Baysal gefolgt (Baysal 2014, 4, Tab. 1), die alle Perlenfunde des Çukuriçi Höyük bearbeitet.
[1826] Kat.-Nr. 19, 27, 41, 61, 69, 85. – Bei dem Nackenfragment Kat.-Nr. 27 ist eine möglicherweise ältere, neolithische Zeitstellung aufgrund der Funde aus der Planierschicht ÇuHö IV/VIb (s. o. IV.4.2.1) nicht auszuschließen.
[1827] Kat.-Nr. 7, 39, 42, 47, 53, 64, 74, 81. – Ein Klopfstein ist ebenfalls aus dem Schnitt N3 bekannt (vgl. Beitrag Horejs in diesem Band, Kap. III.2.).

ein deutliches Übergewicht in der Phase ÇuHö V mit sechs Objekten. Für Klopfsteine wurde hartes und kompaktes Gesteinsmaterial ausgewählt, wie beispielsweise Exemplare aus Amphibolit, Periodiotit oder Schmirgel belegen. Interessant sind im Hinblick auf diese Geräte zwei in situ Befunde von Klopfsteinen, die sich unmittelbar neben den Steinreihenstrukturen SR 1 (Taf. 63.47; 82.47; Abb. 56) und SR 2 (Taf. 63.53; 83.53; Abb. 51) in der Subphase ÇuHö Vb fanden (s. o. IV.1.2.3.).

IV.5.3.2. Dechselklingen

Vier Dechselklingen, darunter drei breite (Taf. 55.13; 56.14; 70.73; 77.14; 87.73) und eine schmale (Taf. 69.70; 86.70) Klinge sind aus den Phasen ÇuHö VII und V bekannt. Das einzige, vollständig erhaltene Exemplar stammt aus der Subphase ÇuHö Va. Interessant ist ein Objekt der Phase ÇuHö VII, welches großer Hitzeeinwirkung ausgesetzt war (Taf. 56.14; 77.14). Hierdurch hat sich das Gestein erheblich verfärbt; zudem findet sich auf der Klinge ein nichtmetallischer Schlackerückstand. Im seitlichen Bereich der Dechselklinge ist ein geglätteter Bereich auffällig, der im Zusammenhang mit der Schäftung gesehen werden kann. Eine nachträgliche Bearbeitung, wohl zum Nachschärfen, kann zudem im Bereich der Klinge registriert werden und deutet auf eine intensive Nutzung hin. In allen Fällen handelt es sich um kompaktes, hartes Gestein wie Serpentinit, Peridotit und Gneis.[1828]

IV.5.3.3. Steinbeile

Lediglich ein schlecht erhaltenes Steinbeil ist aus der Subphase ÇuHö VIa bekannt (Taf. 61.40). Die Schneide ist abgebrochen und die Bruchfläche ist abgerundet, vermutlich abgerollt.

IV.5.3.4. Glättsteine

Als weitere Geräte sind zwei Glättsteine zu nennen, die in den Subphasen ÇuHö VIb und VIa gefunden wurden. Ein Glättstein besitzt eine runde Form mit einer abgeflachten Ober- und Unterseite (Taf. 56.17). Auf der Unterseite dieses Objektes hat sich ein plan abgeriebener Bereich erhalten. Für das Fragment eines weiteren Glättsteins ist eine gestreckt-ovale Grundform rekonstruierbar (Taf. 59.30; 80.30). Die Oberfläche sowie die Arbeitsfläche im unteren Bereich sind stark geglättet. Die Glättsteine wurden aus Glimmerschiefer und Serpentinit hergestellt.

Ein weiterer Glättstein stammt aus dem Nordschnitt N1 (vgl. Beitrag Horejs in diesem Band, Kap. III.2.).

IV.5.3.5. Steinscheiben

Unter den Funden sind weiterhin drei Steinscheiben zu erwähnen, die eine polygonale (Taf. 55.11; 60.33; 76.11) bis runde (Taf. 62.46) Form besitzen und aus Gneis und Glimmerschiefer gefertigt wurden. Die Steinscheiben wurden in den Schichten der Siedlungen ÇuHö VII, VIa und Vb gefunden. Auch aus den Ausgrabungen im Nordschnitt N1 stammt eine Steinscheibe (vgl. Beitrag Horejs in diesem Band, Kap. III.2.).

[1828] Das Gestein der Dechselklinge Kat.-Nr. 14 konnte aufgrund der Veränderung durch Feuereinwirkung nicht makroskopisch bestimmt werden.

IV.5.3.6. Steinperlen und -anhänger

Drei Steinperlen unterschiedlicher Größe wurden in den Subphasen ÇuHö VIb und Va gefunden.[1829] In allen Fällen handelt es sich um flache, scheibenartige Perlen (Taf. 57.25; 70.78; 71.79; 79.25; 88.78).[1830] Zwei dieser Perlen wurden aus Peridotit gefertigt. Die dritte Perle stammt aus einem grünlichen Material, das makroskopisch nicht näher bestimmt werden kann.

Als Anhänger kann ein kleiner, abgerundeter, leicht konkav ausgearbeiteter Stein aus Marmor interpretiert werden, der eine Durchlochung besitzt (Taf. 54.10; 76.10). Einen weiteren Hinweis auf einen Anhänger stellt womöglich ein längliches Fragment mit abgerundetem Ende dar, das ebenfalls eine Durchlochung besitzt und aus Glimmerschiefer besteht (Taf. 73.85; 89.86).

IV.5.3.7. Steingefäße

Singulär ist der Fund eines Doppelgefäßes aus Stein, von dem sich eine Hälfte erhalten hat (Taf. 65.55; 83.55). Die erhaltene Hälfte des Gefäßes besitzt eine runde Grundform mit flachen Rändern und flachem Boden. Die Ausarbeitung des Gefäßinneren besitzt ebenfalls eine runde Form. Von den Rändern verjüngt sich die Innenseite etwas und besitzt ein leicht konkaves unteres Ende. Sowohl das Äußere als auch das Innere des Gefäßes ist stark geglättet. Der Ansatz der zweiten Schale ist deutlich erkennbar und lässt auf eine zweite, ebenfalls runde Gefäßhälfte schließen. Die Bruchflächen sind abgerundet, weshalb das Zerbrechen und eine anschließende Weiterverwendung angenommen werden kann. Gefunden wurde das Gefäß in der Planierung ÇuHö Va/Vb. Als Gestein wurde ein Glimmerschiefer mit hohem Fuchsitanteil gewählt.

IV.5.3.8. Figurinen

Bemerkenswert ist das Bruchstück einer anthropomorphen, marmornen Figurine des Typs Kiliya (Taf. 75.87).[1831] Dies wurde im rezent gestörten Oberflächenmaterial (ÇuHö I) gefunden. Im Zuge der Zerstörung des Siedlungshügels, bedingt durch die landwirtschaftliche Nutzung des Tells, wurden große Bereiche planiert (s. o. IV.). Hierbei wurden neben frühbronzezeitlichen auch spätchalkolithische Schichten zerstört und verlagert. Daher ist anzunehmen, dass der Fund aus den tiefer liegenden, spätchalkolithischen Siedlungsschichten stammt.

Generell handelt es sich bei dem Typus der Kiliya-Figurinen um eine stehende, weibliche Person mit flachem Körper und einem plastisch ausgearbeitetem Kopf.[1832] Die wenigen plastischen Ausarbeitungen, wie die Ohren, Augen und die Nase, beschränken sich vorwiegend auf den Kopf. Die unteren Extremitäten werden oftmals lediglich durch Einritzungen gekennzeichnet.

Bei dem Exemplar vom Çukuriçi Höyük hat sich nur der untere Teil erhalten. Der Kopf und der Hals der Figurine sind abgebrochen. Jedoch sind die Merkmale dieses Figurinentyps anhand der angewinkelten Arme, des flachen Körpers und der gekennzeichneten Füße klar erkennbar. Ritzungen finden sich nicht auf dem Objekt.

IV.5.4. Zusammenfassende Betrachtung der Kleinfunde

Bei den hier betrachteten Kleinfunden handelt es sich grundsätzlich um ein gängiges Siedlungsspektrum des alltäglichen Lebens. Neben Werkzeugen (Knochen- und Steingeräte) und Geräten

[1829] Kat.-Nr. 25, 78–79. – Bei der Perle Kat.-Nr. 25 ist es aufgrund des hohen Anteils an neolithischen Waren (s. o. IV.4.2.1.) in der Planierung ÇuHö IV/VIb möglich, dass es sich um einen älteren, neolithischen Fund handelt.

[1830] Hinsichtlich der Form wird hier der Einteilung von Baysal gefolgt (Baysal 2014, 4, Tab. 1).

[1831] Für eine detaillierte Beschreibung und Untersuchung der Kiliya-Figurine siehe Schwall – Horejs 2017, 54–55, Abb. 3.1.

[1832] Siehe hierzu Seeher 1992.

aus dem Bereich des spezialisierten Handwerks (Spinnwirtel, Webgewichte) sind Waffen (Schleudergeschosse), Schmuckgegenstände (Perlen und Anhänger) und Figurinen im Inventar vertreten. Funde dieser Art sind auch von mehreren spätchalkolithischen Fundorten im Arbeitsgebiet bekannt.[1833]

Auffällig ist das Auftauchen der Funde von Webgewichten ab der Phase ÇuHö V (Tab. 13; s. o. IV.5.1.2.). Dass dies sicherlich nicht als repräsentatives Bild für die Siedlungsphasen ÇuHö VII–V zu sehen und lediglich auf den Befund im ergrabenen Areal zurückzuführen ist, belegen die Webgewichtsfunde der Nordschnitte N3–4.[1834] Der Fund aus dem N3 belegt die Präsenz von Webgewichten bereits in der Phase ÇuHö VII. Ob ebenfalls die vermehrten Funde an Knochenobjekten (Tab. 13; s. o. IV.5.2.) auf eine Verwendung im Zusammenhang mit der Textilproduktion zu sehen sind, muss derzeit noch offen bleiben.[1835] Interessant ist die zylindrische bis eiförmige Gestalt der Webgewichte, die vom Çukuriçi Höyük stammen. Wie Schoop in der jüngst publizierten Zusammenstellung der Webgewichte des 4. Jts. v. Chr. zeigt, stammen mehrere Belege und sogar Hinweise auf Webstühle aus Westanatolien.[1836] Jedoch finden sich an diesen Fundorten keine Webgewichte, die von der Form her mit denen des Çukuriçi Höyük vergleichbar sind. Parallelen für Webgewichte zylindrischer Form sind jedoch aus der benachbarten spätchalkolithischen Siedlung Bakla Tepe zu nennen.[1837] Weitere Hinweise auf vergleichbare Exemplare, die jedoch eine Datierung vom Spätchalkolithikum bis zur Frühbronzezeit 1 zulassen, stammen aus der untersten Siedlungsphase (P.1) vom Karaağaçtepe auf der Gelibolu-Halbinsel.[1838] Auffällig ist die geringe Anzahl an Fundorten mit zylindrischen Webgewichten. Bislang sind diese somit nur von maximal drei Fundorten im Küstengebiet Westanatoliens im 4 Jt. v. Chr. belegt. Gängig sind Webgewichte zylindrischer Form hingegen im späten 5. und frühen 4. Jt. v. Chr. im balkanischen Gebiet, wie dies beispielsweise die Funde aus der Devetaki-Höhle,[1839] von Dolno Dryanovo-Gradishteto,[1840] Tatul[1841] und der Yagodina-Höhle[1842] zeigen.[1843] Neben den westanatolischen Funden sind weitere Objekte aus dem ägäischen Raum und den angrenzenden Gebieten bekannt, die ins 4. Jt. v. Chr. datieren, wie Funde aus Mikrothiva[1844] im Westen sowie Agios Ioannis (Thasos),[1845] Sitagroi

[1833] Aphrodisias-Pekmez SC 1–4 (Sharp Joukowsky 1986, 197–287); Upper Bağbaşı (Eslick 1992, 35–41, Taf. 57–62); Bakla Tepe V (Erkanal – Özkan 1999b, 135–136; Erkanal – Şahoğlu 2012a, 93; Şahoğlu – Tuncel 2014, 71–72); Barcın Höyük V (Gerritsen et al. 2010, 207); Beycesultan SC 1–4 (Lloyd – Mellaart 1962, 268, Abb. F.2; 269, 273, 275); Dedecik-Heybelitepe (Schicht B; Herling et al. 2008, 26–28, jedoch ohne eine Differenzierung, ob diese zur Schicht A oder B gehören); Demircihüyük Phase C–G (Baykal-Seeher – Obladen-Kauder 1996); Emporio VII/VI (Hood 1981/1982, 623–678); Giali (Sampson 1988a); Hanay Tepe, älteres Stratum B (Stratum B ohne Differenzierung: Calvert 1881; Virchow 1883, 74–81, Taf. 12–13; Lamb 1932, 119–120; Schachner 1999a, 19–22, 43–44, Abb. 31–32; Blum et al. 2014, Taf. 1); Karaağaçtepe (SC oder FBZ?; Demangel 1926, 22–33; Blum et al. 2014, Taf. 2); Kumtepe IB (Sperling 1976, 329, 331, 337–338, 342, 344, Taf. 70–71; Korfmann et al. 1995, 287–288, Abb. 41); Kuruçay Höyük 6A–3 (Duru 1996, 51–56, 59–61); Liman Tepe VIIa (Kouka 2009, 143); Orman Fidanlığı VII (Ay-Efe 2001); Tigani IV (Felsch 1988, 130–135); Yeşilova Höyüğü (Caymaz 2013, 111, Abb. 22).

[1834] Siehe Beitrag Horejs in diesem Band (Kap. III.2.).

[1835] Mit dieser Thematik beschäftigt sich Ch. Britsch in einer laufenden Studie zur „use-wear" Analyse im Rahmen der Textilproduktion.

[1836] Schoop 2014, 432–434, Abb. 3.

[1837] Erkanal – Özkan 1999b, 136, 198, Abb. 39; Şahoğlu – Tuncel 2014, 71–72, Abb. 8.

[1838] Demangel 1926, 22, Abb. 23.1; 28, Abb. 31.3; 33.

[1839] Mikov – Dzhambazov 1960, 88, 93, Abb. 70c; vgl. Leshtakov et al. 2016, 204.

[1840] Todorova 2016, 183, Abb. 3. – Hierbei handelt es sich jedoch um einen Streufund.

[1841] Petrova 2008, 96, Abb. 1.5; Leshtakov et al. 2016, 203–204, Abb. 11.8.

[1842] Todorova – Avramova 2016, 265, Abb. 13.10–11; vgl. Leshtakov et al. 2016, 204.

[1843] Vgl. zusammenfassend: Petrova 2011. – Für Hinweise zu den balkanischen Webgewichten sei V. Petrova im Rahmen der EAA-Tagung 2014 in Istanbul gedankt.

[1844] Ein zylindrisches Webgewicht findet sich im Archäologischen Museum von Volos (freundlicher Hinweis Ch. von Hauff, April 2016).

[1845] Papadopoulos et al. 2001, 58, 64, Abb. 3; Maniatis – Papadopoulos 2011, 22.

IV[1846] und der Katarraktes-Höhle (Phase B) bei Sidirokastro[1847] im Norden zeigen. Die Verwendung von zylindrischen Webgewichten scheint sich daher vom balkanischen Raum ausgebreitet zu haben und neben der Verwendung von tropfenförmigen Gewichten[1848] in der Küstenregion Westanatoliens adaptiert worden zu sein.[1849] Hierfür spricht das Weiterlaufen dieser Form auch in den frühbronzeitlichen Siedlungen, wie dies beispielsweise die Funde des Çukuriçi Höyük[1850] aber auch zylindrische Webgewichte aus Poliochni azzuro[1851] zeigen.

Viel diskutiert hinsichtlich ihrer Funktion sind bis heute die (durchlochten) Keramikscheiben (s. o. IV.5.1.1.). Für diese kann ein breites Spektrum an Interpretationen angenommen werden. Keramikscheiben mit zentraler Durchlochung werden oftmals als Spinnwirtel[1852] interpretiert, jedoch irritiert L. Rahmstorf folgend die Präsenz von Keramikscheiben mit mehreren dezentralen Durchlochungen oder ohne Durchlochung. Daher spricht er sich, neben einer möglicherweise provisorischen Verwendung von Keramikscheiben mit einer zentrierten Durchlochung als Spinnwirtel,[1853] für eine eher einfache funktionale Verwendung als Gefäßdeckel[1854] aus. Auch der mögliche Gebrauch als Netzsenker wurde in den letzten Jahren des Öfteren diskutiert.[1855] Britsch und Horejs schlagen in diesem Zusammenhang die Verwendung der durchlochten Keramikscheiben als Gewichte von Stellnetzen vor.[1856] Neben leichteren Scheiben fanden auch schwere Exemplare, je nach Beschaffenheit des Meeresbodens, Verwendung.[1857] Wichtig war nur ein ungefähr gleiches Gewicht der verwendeten Scheiben, um eine korrekte Funktion zu gewährleisten.[1858] Keramikscheiben ohne Durchlochung könnten in diesem Fall Rohlinge darstellen, wie beispielsweise ein Halbfabrikat mit angefangener Bohrung (Taf. 57.24; 79.24) belegt. Objekte mit seitlichen Einkerbungen, die ebenfalls als Netzsenker interpretiert werden, finden sich nicht im Inventar. Auffallend ist jedoch, dass neben den Keramikscheiben zudem Steinscheiben (s. o. IV.5.3.5.), die ebenfalls keine Durchlochung aufweisen, unter den Funden vorhanden sind. Bedingt durch den höheren Arbeitsaufwand für eine Durchbohrung der Objekte aus Stein ist hier eine andere Interpretation anzunehmen. Neben Gefäßdeckeln, wie bereits erwähnt, könnten sowohl die Stein- als auch die Keramikscheiben als Kern gedient haben, um den gesponnene Fäden gewickelt wurden. Einen derartigen Interpretationsansatz liefern zwei Bälle aus Leinengarn, die in Ägypten gefunden und mittels Röntgenaufnahmen untersucht wurden.[1859] Deutlich zeichnen sich

---

[1846] Elster 2003a, 240–241, Abb. 6.19a; Elster 2003b, 266, Taf. 6.9b–c.

[1847] Siros – Miteletsis 2016, 328, 330, Abb. 16.5.

[1848] Vgl. hierzu Schoop 2014, 432–433. – Ein weiteres, etwa ovales Objekt mit einer horizontalen Durchlochung, das eventuell ins 4. Jt. v. Chr. datieren könnte, wurde auf Giali gefunden (Sampson 1988a, 174, Abb. 95.63; 202, Zeichnung 83.63) und deutet neben den anatolischen Exemplaren die generelle Präsenz unterschiedlicher Formen an.

[1849] In diesem Zusammenhang wären weitere Untersuchungen zur Verbreitung dieser Webgewichtsform sinnvoll, die im Rahmen dieser Arbeit nicht durchgeführt werden konnten.

[1850] Britsch – Horejs 2014, 229–231, Abb. 4.

[1851] Bernabo-Breà 1964, 595–596, Taf. 82a.

[1852] Eine derartige Vermutung wurde bereits früh von Calvert (1881, 788) für die Keramikscheiben vom Hanay Tepe vorgeschlagen: „Wirtel aus Marmor und hartem Stein sind selten, während kreisrunde, in der Mitte durchbohrte Topfscherben, die man an Stelle der Wirtel benutzte, zahlreich vorkommen“. Schon Virchow äußerte sich im Hinblick auf eine derartige Verwendung eher skeptisch (1883, 80): „Ich will über die Gebrauchsweise dieser Stücke nicht streiten, jedoch namentlich in Bezug auf die ersteren [durchlochten Keramikscheiben] meine Zweifel an der Richtigkeit der Deutung nicht unterdrücken.“ – Vgl. zuletzt Britsch – Horejs 2014, 234; Rahmstorf 2015, 5; Rahmstorf et al. 2015, 270.

[1853] Rahmstorf et al. 2015, 270. – Gegen eine Interpretation als Spinnwirtel sprechen sich ebenfalls Britsch und Horejs aus (Britsch – Horejs 2014, 234).

[1854] Vgl. zuletzt Rahmstorf 2015, 5.

[1855] Vgl. zuletzt Britsch – Horejs 2014, 234–236; Hansen 2015, 285.

[1856] Britsch – Horejs 2014, 234–236.

[1857] Britsch – Horejs 2014, 235.

[1858] Britsch – Horejs 2014, 234–235.

[1859] Cartland 1918, 139, Taf. 22.

hier rundlich geschlagene Stein- oder Keramikscheiben ab, die als Kern zum Aufwickeln der Fäden verwendet wurden.

Bemerkenswert ist zudem die Präsenz von Figurinen, die neben einer profanen auch eine rituelle Deutung zulassen und so möglicherweise religiöse oder numinose Handlungen andeuten können.[1860] Für die anthropomorphe Figurine des Typs Kiliya (Taf. 75.97) sind zahlreiche Parallelen bekannt,[1861] die in das 5. bis 4. Jt. v. Chr. weisen.[1862] Interessanterweise beschränkt sich die Verbreitung der Kiliya-Figurinen auf das Gebiet Westanatoliens (Abb. 99) und deutet hier einen Interaktionsraum mit ähnlichen religiösen bzw. rituell-sozialen Vorstellungen an.[1863] Für die Einordnung der anderen, aus lokalem Ton hergestellten, anthropomorphen Figurine (Taf. 67.59; 85.59) finden sich keine Vergleiche aus dem 4. Jt. v. Chr. in Westanatolien. Ikonographische Parallelen für den Torso können jedoch aus deutlich älteren Kontexten herangezogen werden, wie dies besonders ein Beispiel aus Orman Fidanlığı I zeigt.[1864] Datiert werden die Schichten Orman Fidanlığı I–V in das zweite Viertel des 6. Jts. v. Chr.[1865] Für einen Teil der dort gefundenen Figurinen werden Verbindungen nach Türkisch-Thrakien und in das thrakische Gebiet Bulgariens angenommen.[1866] Hinweise auf ebenfalls ältere, jedoch vergleichbare Figurinen können auch aus diesem Gebiet angeführt werden. Exemplare mit partiellen Durchlochungen im Bereich der Arme sind so aus Aşağı Pınar bekannt und datieren in die zweite Hälfte des 6. Jts. v. Chr.[1867] Weitere Vergleiche sind aus Nordostbulgarien bekannt.[1868] Ein Fund aus Podgorica in der Region Tărgovište besitzt auffällige Parallelen in der Form des Körpers.[1869] Die Figurinen aus Nordwestbulgarien datieren ebenfalls wie die Exemplare aus Aşağı Pınar in das ausgehende 6. Jt. v. Chr.[1870] Neben dem zeitlichen Unterschied irritiert auf den ersten Blick die große Entfernung zwischen dem thrakischen Gebiet und der zentralwestanatolischen Küstenregion. Für eine Verbindung der türkischen Westküste nach Norden hin im späten 6. und frühen 5. Jt. v. Chr. spricht hingegen der Fund eines Figurinenfragments aus den Schichten von Ulucak Höyük III.[1871] Diese kann mit den zuvor erwähnten Exemplaren im thrakischen Raum verglichen werden.

An diesem Punkt muss angemerkt werden, dass prinzipiell die Möglichkeit besteht, dass Figurinen deutlich älterer Zeitstellung auch in prähistorischer Zeit aufgefunden wurden und somit in jüngere Fundkontexte gelangten.[1872] Ein derartiges Szenario kann für den Fund vom Çukuriçi Höyük ausgeschlossen werden, da die Figurine aus lokalem Ton hergestellt wurde.[1873] Zudem kann das Fabrikat mit einer Warengruppe (WG 49) verbunden werden, die am Çukuriçi Höyük erst ab spätchalkolithischer Zeit im Inventar vertreten ist. Daher ist von einer Herstellung der Figurine im ausgehenden 4. Jt. v. Chr. auszugehen. Zwar kann eine mögliche Imitation aufgrund der Kenntnis älterer Funde nicht ausgeschlossen werden, ein jüngst publizierter Fund aus Strofilas auf Andros bietet jedoch eine Option, die in die spätchalkolithische Zeit datiert.[1874] Die Figurine besitzt einen zylindrischen Körper mit zwei seitlich abstehenden dreieckigen Stummelärmchen.

[1860] Hansen 2007, 319.
[1861] Vgl. hierzu Schwall – Horejs 2017, 58.
[1862] Seeher 1992, 170; Schoop 2005, 269; Takaoğlu 2005, 36–39; Düring 2011a, 222; Düring 2014, 13–18; Schwall – Horejs 2017, 58–61, Abb. 3.6.
[1863] Die Funde mit der Provenienz Kirşehir stammen aus dem Kunsthandel, weshalb die Richtigkeit der Angaben aufgrund der sonstigen Verbreitung in Westanatolien zweifelhaft ist (Seeher 1992, 164–165).
[1864] Ay-Efe 2001, 147, Abb. 1.3; 155, Taf. Ic.
[1865] Efe 2001b, 57, Tab. 22; vgl. Schoop 2005, 302, Abb. 7.5.
[1866] Ay-Efe 2001, 131–132.
[1867] Hansen 2007, 171–174, Abb. 77–78.
[1868] Vajsov 1990; Vajsov 1998.
[1869] Vajsov 1998, 132.
[1870] Vajsov 1998, 134, Abb. 12.
[1871] Çevik – Vuruşkan 2014, 587, 596, Abb. 7. – Zur hier angegebenen abweichenden Datierung siehe III.4.1.2.6.
[1872] Vgl. Seeher 1992, 163; Hansen 2007, 108; Düring 2014, 15.
[1873] Für eine Expertise sei an dieser Stelle wiederum L. Peloschek gedankt.
[1874] Televantou 2016, 46, Abb. 14.

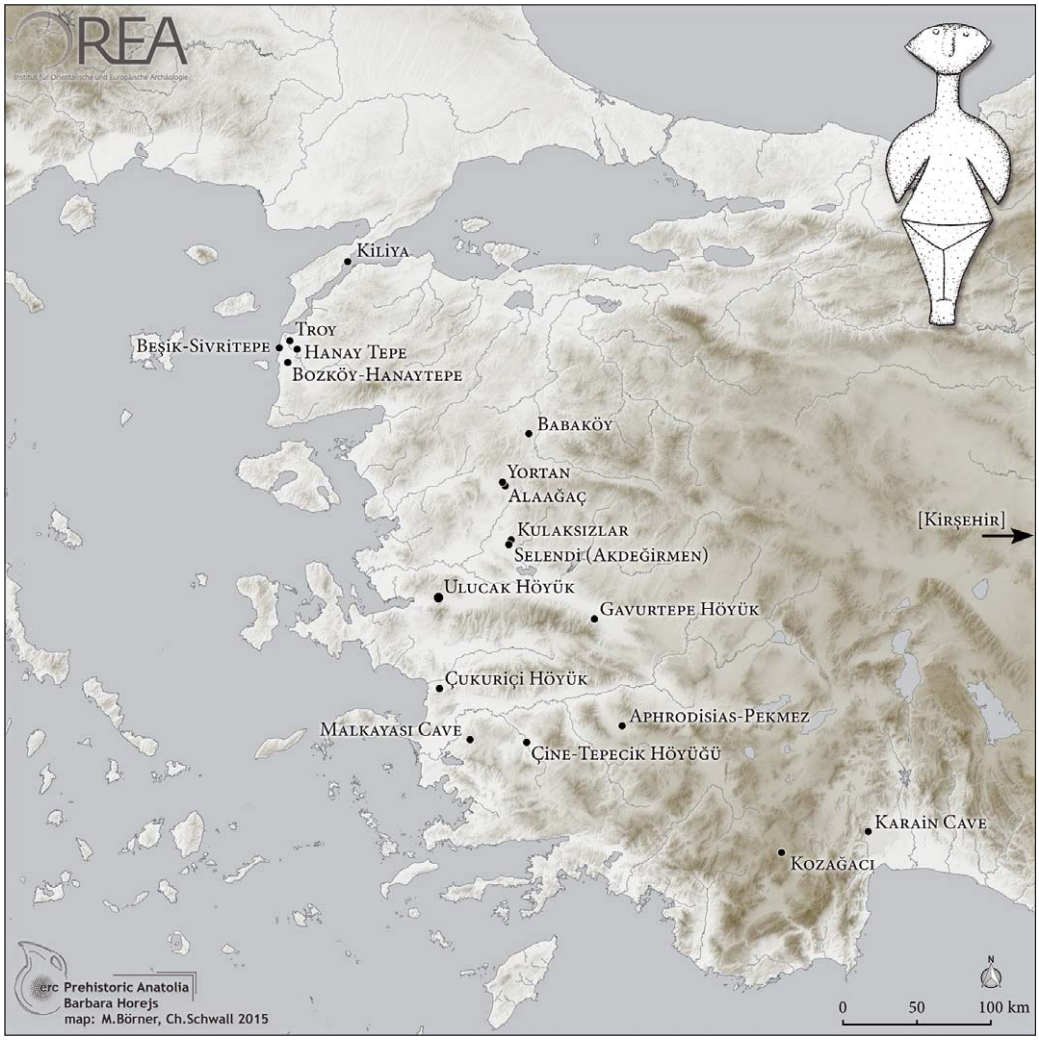


Abb. 99 Verbreitung der Figurinen des Typs Kiliya. (Karte: M. Börner, Ch.Schwall/ERC Prehistoric Anatolia)

Durchlochungen sowie die als Brüste gedeuteten Applikationen fehlen jedoch. Ein möglicher Vergleich stammt somit aus dem Gebiet der Kykladen und könnte neben der Keramik auch anhand der Figuralplastik Kontakte zwischen diesen Gebieten andeuten. Dass eine solche Annahme denkbar ist, belegen zwei spätere Funde, vermutlich lokal hergestellter, schematischer Figurinen des Typs Beycesultan aus Akrotiri (Santorini), welche typisch für die Frühbronzezeit 1 in Westanatolien sind.[1875]

Vergleiche für die zoomorphen Darstellungen, für die der Verfasser eine Deutung als Fisch (Taf. 64.54; 84.54) und Schlangenkopf (Taf. 67.62; 86.62) vorschlagen möchte, sind im Arbeitsgebiet bislang ohne Vergleich. Lediglich aus der Malkayası-Höhle stammt eine kleine Tierfigurine, die als mögliche Darstellung eines Reptils interpretiert wird.[1876]

[1875] Sotirakopoulou 2008, 128–129, Abb. 14.16; 133; vgl. Höckmann 1977, 173–175, Abb. 176. – Zu der Entwicklung und Verbreitung schematischer Figurinen aus Stein im westanatolischen Gebiet siehe Schwall – Horejs 2017, 63, Abb. 3.15.

[1876] Gerber 2006, 86, Abb. 78.

Auch für das exzeptionelle Doppelgefäß (Taf. 65.55; 83.55) aus Stein kann aus dem Arbeitsgebiet kein direkter Vergleich angeführt werden. Eine Präsenz von Doppelgefäßen in spätchalkolithischen Zusammenhängen wird aber durch den Fund eines kannenförmigen Doppelgefäßes aus Kuruçay Höyük 6A belegt.[1877]

Abschließend kann gesagt werden, dass auch die Kleinfunde der spätchalkolithischen Siedlungen des Çukuriçi Höyük eine Einbindung der Siedlung in regionale und überregionale Kommunikations- und Austauschsysteme belegen. Dies wird insbesondere durch die Verbreitung der Kiliya-Figurinen ersichtlich. Darüber hinaus zeichnet sich anhand der Funde von zylindrischen Webgewichten ab, dass sich über die ägäischen Austauschnetzwerke technologisches Wissen, wie auch im Fall der Mattenabdrücke (s. u. V.2.2.), verbreitet hat.

IV.6. Die Metallfunde

Insgesamt kamen 13 Metallfunde in den Siedlungsphasen ÇuHö VI–V zutage.[1878] Aus der Phase ÇuHö VII sind keine Funde bekannt. Zu den Funden zählen Ahlen, Nadeln, ein Meißel und Drahtfragmente (Tab. 14; Taf. 90–93; vgl. IX.5.):

Am häufigsten sind Nadelfragmente[1879] mit jeweils fünf Exemplaren unter den Funden der Phase ÇuHö VI und der Subphase ÇuHö Va vertreten. Zu den Nadeln zählen Exemplare mit Öhr

Metallfunde						
	ÇuHö VII	**ÇuHö VIb**	**ÇuHö VIa**	**ÇuHö Vb**	**ÇuHö Va**	**Σ**
Ahlen	0	**1**	0	**2**	0	**3**
Nadeln	0	**1**	**2**	0	**2**	**5**
Meißel	0	0	0	**1**	0	**1**
Drähte	0	**1**	**3**	0	0	**4**
Σ(gesamt)	**0**	**3**	**5**	**3**	**2**	**13**

Tab. 14 Verteilung der Metallfunde auf die Siedlungsphasen ÇuHö VII–V (n=13; vgl. IX.5.).

(Taf. 90.1, 12; 91.1, 12; Kat.-Nr. 13) und ein Exemplar mit tropfenförmigem Kopf und umlaufender Leiste (Taf. 90.4; 92.4).[1880] Dem Fragment mit tropfenförmigem Kopf ist wohl der untere Bestandteil einer Nadel (Taf. 90.5; 92.5; 93.5) aus derselben stratigraphischen Einheit zuzuweisen. Beide Fragmente besitzen den gleichen Schaftdurchmesser sowie einen leichten Knick im Bruchbereich.[1881] Somit können insgesamt vier vollständig erhaltene Nadeln (vgl. z. B. Taf. 92.4–5) nachgewiesen werden. Ebenfalls komplett erhalten haben sich drei Ahlen (Taf. 90.3, 9, 11; 93.11), die aus den Subphasen ÇuHö VIb und Vb stammen. Neben zwei kleineren Exemplaren kann ein

[1877] Duru 1996, Taf. 58.10; vgl. Schoop 2005, 166, Taf. 110.17.

[1878] Drei weitere Metallfunde stammen aus den Nordschnitten N3–4, die der Phase ÇuHö VI und vermutlich ÇuHö V zuzuweisen sind (vgl. IV.3). – Vgl. Mehofer 2014b, 229–233, Taf. 3.

[1879] Kat.-Nr. 1, 4–5, 12–13.

[1880] Hier wird der Einteilung von Mehofer gefolgt (Mehofer 2014b, 68–71).

[1881] Da der obere Bestandteil der Nadel vor der abschließenden Bearbeitung ins Museum Selçuk gebracht wurde und der untere Teil sich im Depot des Grabungshauses befindet, konnte eine direkte Anpassung vom Verfasser nicht mehr durchgeführt werden.

längeres Exemplar (Taf. 90.9; 91.9) erwähnt werden.[1882] Aus der Subphase ÇuHö Vb kann weiterhin ein vollständig erhaltener Meißel (Taf. 90.10; 93.10) angeführt werden. Neben diesen Geräten sind insgesamt vier Drahtfragmente[1883] (vgl. z. B. Taf. 93.6–8) aus der Phase ÇuHö VI bekannt. Auffallend ist der hohe Anteil an, zwar deformierten, aber dennoch vollständig erhaltenen Objekten. Die Nadel mit Öhr als auch die Ahlen können wahrscheinlich im Zusammenhang mit der Textilproduktion und der Lederverarbeitung gesehen werden. Bei der fein ausgearbeiteten Nadel mit tropfenförmigem Kopf ist eine Verwendung als Schmuckgegenstand sicherlich auch denkbar.

Materialanalysen wurden in einem breiten Analyseprogramm von M. Mehofer im Rahmen des Projektes durchgeführt.[1884] Bei den hier bearbeiteten Objekten ergaben Untersuchungen mittels pXRF, dass es sich in allen Fällen um Arsenkupfer handelt.[1885] Eine derartige Zusammensetzung kann auch für drei Objekte aus den spätchalkolithischen Schichten der Nordschnitte angenommen werden, die mittels Spurenelement- und Bleiisotopenanalysen untersucht wurden.[1886] Als Herkunft des Metalls werden aufgrund des Vergleichs dieser Analysen mit bestehenden Daten und Surveyergebnissen im Umland des Çukuriçi Höyük von Mehofer Lagerstätten im westanatolischen Raum angenommen, die derzeit noch nicht lokalisiert wurden.[1887]

Öfen oder Hinweise, die auf Metallverarbeitung hindeuten, sind aus den untersuchten Flächen der hier betrachteten Phasen ÇuHö VII–V nicht bekannt. Dass dennoch von lokalen metallurgischen Aktivitäten innerhalb der spätchalkolithischen Siedlungen auf dem Çukuriçi Höyük ausgegangen werden kann, belegen Funde aus dem Nordschnitt N4. Aus dieser Fläche stammt neben dem Fund einer Ahle und eines Metallquaders, der von Mehofer als Rohmetallbarren oder Halbfertigprodukt angesehen wird, verschlackter Lehm, der auf metallurgische Aktivitäten hinweist.[1888] Zudem kam in einer tiefer gelegenen Schicht ein einplanierter Ofen zum Vorschein, der von Mehofer als metallurgischer Ofen angesprochen wird.[1889]

Neben Metallfunden kann somit für die spätchalkolithischen Siedlungen am Çukuriçi Höyük eine Verarbeitung von Arsenkupfer angenommen werden. Belege für spezialisierte Handwerkstätigkeiten im metallurgischen Sektor sind für das Arbeitsgebiet bereits aus dem späten 5. Jt. v. Chr. und insbesondere aus dem 4. Jt. v. Chr. bekannt und können aus mehreren Siedlungen angeführt werden.[1890]

IV.7. Reibsteine, Mörser und Türangelsteine

Reibsteine, Mörser und Türangelsteine sind mit zwölf Exemplaren aus den Siedlungen ÇuHö VI–V (Tab. 15; Taf. 94–103) belegt. Der überwiegende Anteil, elf Objekte, kam in der Phase ÇuHö V zutage.

Mit insgesamt acht Objekten stellen die Reibsteine die Mehrzahl der Funde dar.[1891] Generell kann bei diesen zwischen einem unbeweglichen, unteren Stein (Unterlieger) und einem beweglichen oberen Part (Läufer) unterschieden werden.[1892] Unter den Reibsteinen findet sich lediglich ein Unterlieger (Taf. 95), der eine etwa ovale Form besitzt, vollständig erhalten ist und aus der

[1882] Zwei Ahlen stammen aus den Nordschnitten N3–4, die der Phase ÇuHö VI und vermutlich ÇuHö V zuzuweisen sind (vgl. IV.3). – Vgl. Mehofer 2014b, 80, Taf. 26. 58–59.
[1883] Kat.-Nr. 2, 6–8.
[1884] Mehofer 2014b.
[1885] Für Informationen zu den Analyseergebnissen sei M. Mehofer gedankt.
[1886] Mehofer 2014b, 229–233.
[1887] Mehofer 2014b, 362–368.
[1888] Mehofer 2014b, 151–153, 229, Taf. 3.
[1889] Mehofer 2014b, 151; vgl. Beitrag Horejs in diesem Band, Kap. II.2.
[1890] Siehe hierzu zusammenfassend Mehofer 2014a, 468–471; Mehofer 2014b, 18–20.
[1891] Kat.-Nr. 2, 4–9, 11. – Zwei weitere fanden sich zudem im Schnitt N4 (vgl. Beitrag Horejs in diesem Band, Kap. III.2.).
[1892] Zur verwendeten Terminologie im westanalolischen Raum siehe Baykal-Seeher – Obladen-Kauder 1996, 171.

Reibsteine, Mörser und Türangelsteine						
	ÇuHö VII	**ÇuHö VIb**	**ÇuHö VIa**	**ÇuHö Vb**	**ÇuHö Va**	**Σ**
Reibsteine	0	0	0	**4**	**4**	**8**
Mörser	0	**1**	0	**1**	0	**2**
Türangelsteine	0	0	0	0	**2**	**2**
Σ(gesamt)	**0**	**1**	**0**	**5**	**6**	**12**

Tab. 15 Verteilung der Reibsteine, Mörser und Türangelsteine auf die Phasen ÇuHö VII–V (n=12; vgl. IX.6.).

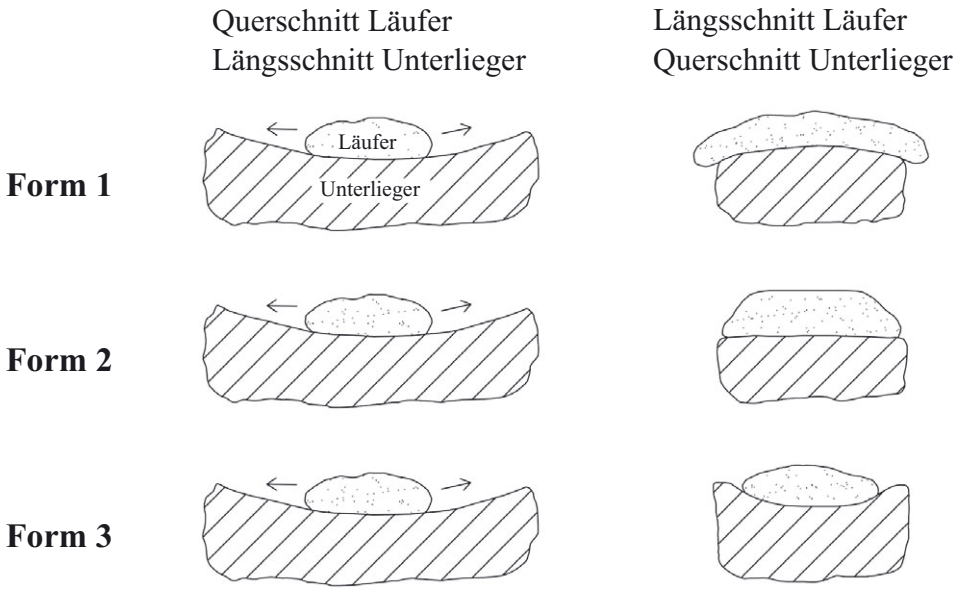


Abb. 100 Schematische Darstellung der verschiedenen Reibsteinformen.
(Graphik: Ch. Schwall/ERC Prehistoric Anatolia)

Subphase ÇuHö Vb stammt. Bei den übrigen Funden handelt es sich allesamt um Bruchstücke von Läufern mit einer ovalen bis länglichen Grundform. Die Bestandteile der Reibsteine lassen sich weiter in drei grundlegende Formtypen einteilen (Abb. 100):[1893]

Form 1: Der Läufer ist im Längsschnitt länger als der Unterlieger breit ist. Die Reibfläche des Unterliegers ist im Querschnitt konvex, wohingegen die des Läufers im Längsschnitt konkav ausgeformt ist.

Form 2: Der Läufer ist im Längsschnitt genauso lang wie die Breite des Unterliegers. Die Reibfläche des Unterliegers ist im Querschnitt ebenso wie die des Läufers im Längsschnitt plan.

Form 3: Der Läufer ist im Längsschnitt kürzer als der Unterlieger breit ist. Die Reibfläche des Unterliegers ist im Querschnitt konkav, wohingegen die des Läufers im Längsschnitt konvex ausgeformt ist.

[1893] Zimmermann 1988, 724–725, Abb. 640. – Zur grundsätzlichen Dreiteilung siehe ebenso Baykal-Seeher – Obladen-Kauder 1996, 171, Abb. 140.

Unter den Reibsteinfunden der Siedlungsphasen ÇuHö VI–V sind die Formen 1 und 2 vertreten. Der Unterlieger (Taf. 95) kann der Form 2 zugeordnet werden. Vier Läufer (Taf. 97, 99, 103; Kat.-Nr. 11) gehören der Form 1 an; drei der Form 2 (Taf. 98, 100–101). Einige Läufer besitzen deutliche Abnutzungsspuren, wie die teils stark konvex abgeriebenen Reibflächen im Querschnitt der Form 2 zeigen (Taf. 98, 101). Bei der Form 1 äußert sich dies durch die geringe Dicke des Steins und die deutlich konkav abgeriebene Reibfläche im Längsschnitt (Taf. 97, 103). Alle Reibsteine wurden aus Glimmerschieferarten hergestellt. Unter diesen überwiegt mit fünf Exemplaren der Anteil an quarzreichem Glimmerschiefer.

Neben den Reibsteinen sind aus den Subphasen ÇuHö VIb und Vb zwei Mörser (Taf. 94, 96) bekannt, von denen einer nahezu vollständig erhalten ist. Beide Objekte wurden aus Glimmerschiefer hergestellt.

Zwei Türangelsteine (Taf. 102; Kat.-Nr. 12) mit kleinformatigen Eintiefungen auf der Oberseite sind aus der Subphase ÇuHö Va bekannt. Beide wurden aus Glimmerschiefer gefertigt.

Die Mehrzahl der Funde stammt aus Planierungen; lediglich 4 der 12 Objekte wurden im Kontext von Aktivitätszonen (ÇuHö VIb und Vb) gefunden.[1894] Dies verwundert nicht, wurden Reibsteine und Mörser, nachdem sie unbrauchbar geworden waren, doch oftmals als Baumaterial (z. B. für Mauern, Pflasterungen) verwendet oder in Planierungen oder Auffüllungen entsorgt.[1895] Die Funde aus dem Kontext von Aktivitätszonen können im Zusammenhang mit der Nahrungsaufbereitung gesehen werden. In beiden Fällen fanden sich Geräte in unmittelbarer Nähe zweier Steinreihenstrukturen (SR 1; s. o. IV.1.2.1. und SR 5; s. o. IV.1.2.3.), die als Dörrplattformen interpretiert werden können.

Der als Gesteinsrohstoff verwendete Glimmerschiefer steht im Umkreis der Siedlung lokal an.[1896] Mehrere Funde besitzen eine unbearbeitete Ober- oder Unterseite,[1897] weshalb davon ausgegangen werden kann, dass hier Fluss- und Feldsteine, die eine günstige Grundform besaßen, für die Herstellung der Geräte ausgewählt wurden. Dies legt einen gewissen Pragmatismus bei der Rohstoffauswahl für die Reibsteine, Mörser und Türangelsteine nahe.

[1894] Kat.-Nr. 1–4.
[1895] Vgl. Baykal-Seeher – Obladen-Kauder 1996, 171–172.
[1896] Schwall et al. eingereicht.
[1897] Kat.-Nr. 1–3, 6, 8, 10, 12.

V. Chronologisch relevante Marker in der Keramik des 5. und/oder 4. Jts. v. Chr.

Im Folgenden sollen unterschiedliche Formen, Gefäßbestandteile und Dekorationsarten der Gefäßkeramik im Arbeitsgebiet angeführt werden, bei denen es sich um chronologisch relevante Marker handelt. Diese können sich sowohl auf die mittel- oder spätchalkolithische Zeit beschränken als auch eine längere Laufzeit haben, so dass diese auch im 5. und 4. Jt. v. Chr. zu finden sind. Ein weiterer Faktor sind regionale und überregionale Verbreitungsmuster, wodurch sich einzelne Regionen abgrenzen lassen, aber auch Kontakte fassbar werden. Die Referenzen zu den in diesem Kapitel angegebenen Fundorten finden sich in den Kapiteln III.4.1–3. bzw. IV.4.

V.1. Marker mittelchalkolithischer Zeitstellung

V.1.1. Politurmusterverzierung[1898] (Abb. 101)

Die Politurmusterverzierung zeigt eine überregionale Verbreitung von Türkisch-Thrakien bis nach Südwestanatolien und darüber hinaus. Ein Einsetzen dieser Dekoration kann vermutlich bereits im ausgehenden 6. Jt. v. Chr. registriert werden (vgl. III.4.1–3.). Vereinzelte Funde sind aber auch noch von Fundorten des 4. Jts. v. Chr. bekannt, weshalb hier von einem Auslaufen der Tradition im 4. Jt. v. Chr. ausgegangen wird.[1899] Interressant ist zudem die Syntax der Motivik, die lokale Eigenarten aufweist (Abb. 14). Die unterschiedlichen Politurmusterverzierungen streuen zwar und besitzen mitunter eine weite Verbreitung, dennoch zeichnen sich Kernzonen mit einem erhöhten Vorkommen an Scherben des spezifischen Dekors ab.

Auf Türkisch-Thrakien scheint sich ein feldförmiger Dekor zu beschränken, der aus Bereichen besteht, die mit horizontalen, vertikalen und schrägen Linien gefüllt sind. Muster mit schrägen Linien finden sich interessanterweise besonders in Emporio VIII. In der Troas tritt ein feldförmiges Muster mit einer Einteilung in kleinformatige verzierte Bereiche auf. Diese Bereiche, bestehend aus schräg nebeneinander gesetzten Bändern, sind teils sehr filigran, ordentlich und elaboriert, mit linearem Dekor und vereinzelt Punkten verziert. In der zentralen Ostägäis und in der zentralen westanatolischen Küstenregion, im Einzugsgebiet des Büyük Menderes, existieren ebenfalls feldförmige Politurmuster, jedoch unterscheiden diese sich von der sehr filigranen, linearen Verzierung der Troas aufgrund der ungeordneten und nachlässig wirkenden Ausführung.

Bedingt durch die lange Laufzeit der Politurmusterverzierung und die verfügbaren absoluten Datierungen ist derzeit unklar, inwieweit sich ein chronologisches Moment in den unterschiedlichen Dekorsystemen widerspiegelt. Nichtsdestotrotz kann die Politurmusterverzierung als überregionaler chronologischer Marker des Mittelchalkolithikums im Arbeitsgebiet angesehen werden.

[1898] Obwohl es sich bei dem Begriff „Politur*musterverzierung*“ um einen Pleonasmus handelt, soll dieser Begriff beibehalten werden, da er sich als Terminus in der Forschung eingebürgert hat (vgl. Parzinger 2005; Schoop 2005).

[1899] Vgl, Schoop 2005, 268.

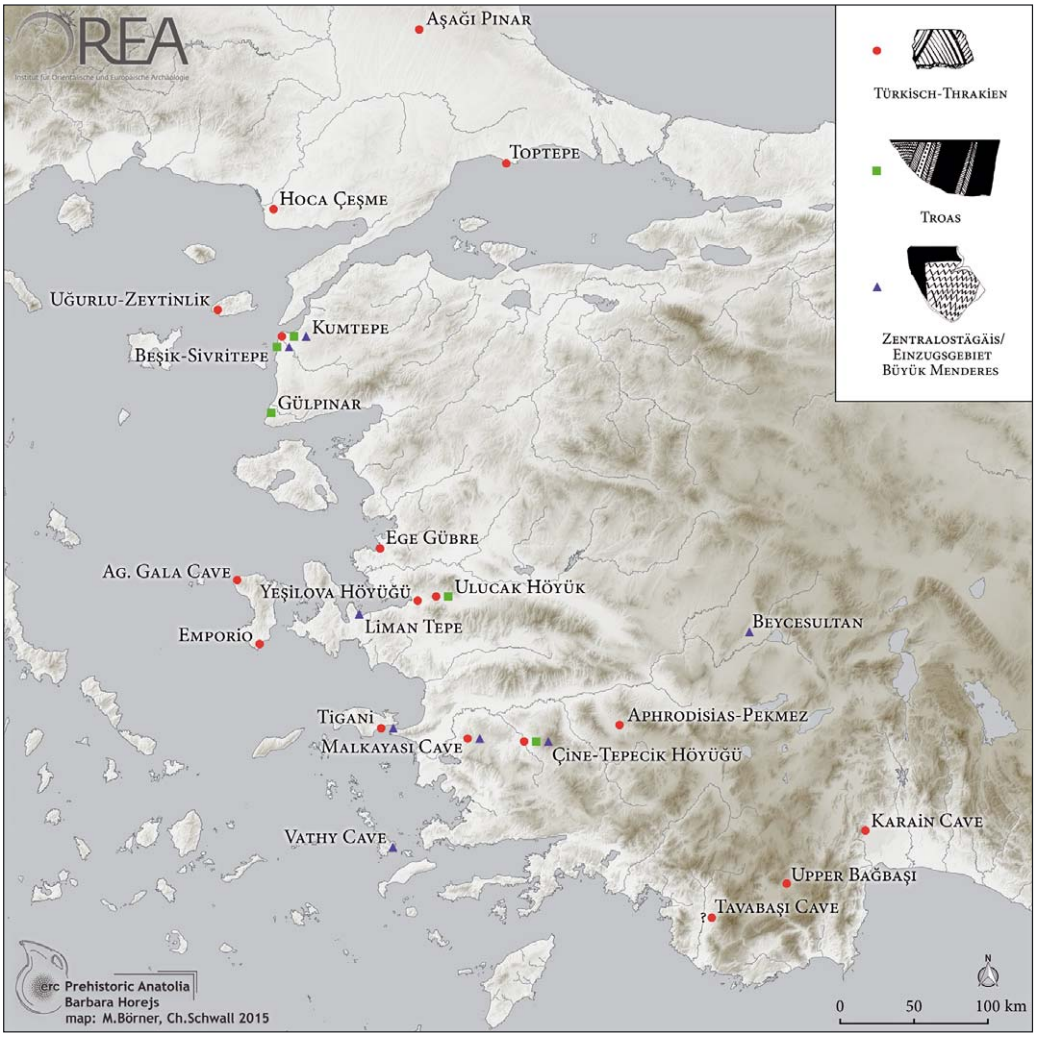


Abb. 101: Verbreitung der Politurmusterverzierung im Arbeitsgebiet mit einer Unterteilung in die postulierten Variationen. (Karte: M. Börner, Ch. Schwall/ERC Prehistoric Anatolia; Legende: nach Schoop 2005, Taf. 145.14; Takaoğlu 2006b, 364, Abb. 10; Felsch 1988, Taf. 67.351)

Fundorte:
Agio Gala, Obere Höhle, ohne Kontext (Chios), Aphrodisias-Pekmez SC 1–4, Aşağı Pınar 3–2, Upper Bağbaşı, Beşik-Sivritepe, Beycesultan SC 2, Çine-Tepecik Höyüğü IV, Ege Gübre II, Emporio VIII–VII/VI (Chios), Gülpınar, Hoça Çesme Ia, Karain-Höhle II/III, Kumtepe IA, Liman Tepe VIIb, Malkayası-Höhle, Tavabaşı-Höhle(?), Tigani II–IV (Samos), Toptepe I, Vathy-Höhle (Kalymnos), Uğurlu-Zeytinlik II (Imbros), Ulucak Höyük III, Yeşilova Höyüğü II

V.1.2. Hornhenkel (Abb. 102)

Neben der Politurmusterware gehören Hornhenkel zu Funden, die wahrscheinlich ebenfalls im späten 6. Jt. v. Chr. aufkommen und charakteristisch für das Mittelchalkolithikum sind (vgl. III.4.1–3.). Funde sind von Türkisch-Thrakien im Norden bis in die südwestanatolische Region in der Elmalı-Ebene bekannt und stammen wiederum von küsten- oder flussnahen Fundorten. Lediglich die Funde aus Orman Fidanlığı auf dem anatolischen Plateau scheinen auf den ersten

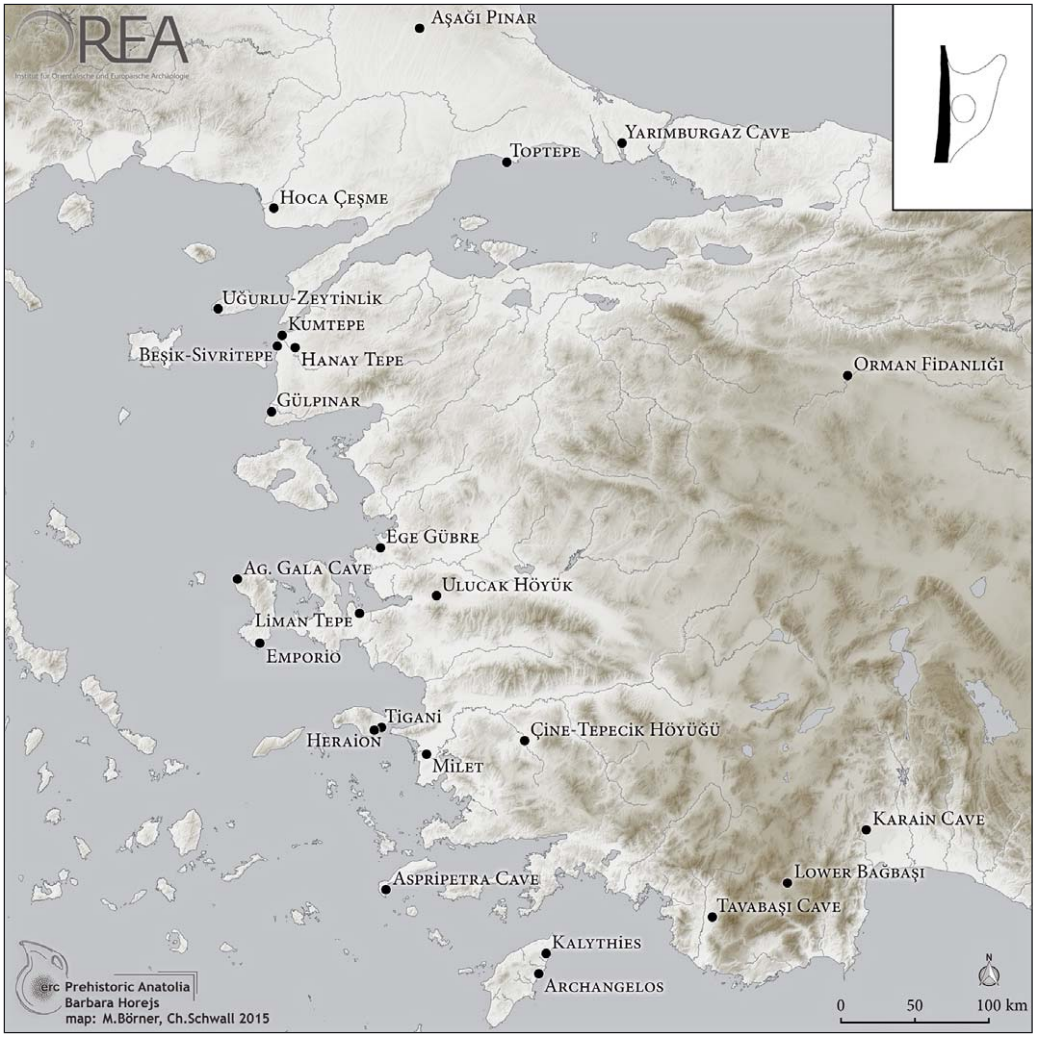


Abb. 102: Verbreitung der Hornhenkel im Arbeitsgebiet.
(Karte: M. Börner, Ch. Schwall/ERC Prehistoric Anatolia; Legende: nach Günel 2014b, 95, Taf. 3)

Blick etwas isoliert, jedoch zeigt der Raum zwischen der Troas und dem anatolischen Plateau nur eine Forschungslücke aufgrund fehlender Ausgrabungen. Surveyfunde geben allerdings Hinweise auf eine Präsenz von chalkolithischen Fundorten.[1900] Dass Hornhenkel an weiteren Fundorten mittelchalkolithischer Zeitstellung in Zentralanatolien nicht unbekannt sind, zeigen beispielsweise Funde aus Büyük Güllücek.[1901] Die Henkel stammen auch aus Schichten des 5. Jts. v. Chr. in der Ägäis sowie auf dem griechischen Festland und sind somit im transägäischen Kontext zu sehen.[1902]

[1900] French 1961; French 1969; Akdeniz 2010, 74–75.
[1901] Schoop 2005, Taf. 9.21; 11.6.
[1902] So beispielsweise aus Thessalien (Visviki-Magula, Arapi-Stufe, Alram-Stern – Dousougli-Zachos 2015, 203, 207, Tab. 96, Taf. 207.I,Fr-008) oder auf Euboia (Tharrounia II, Stufe SN Ib; Alram-Stern 1996, 143), aber auch in der Saliagos-Kultur auf den Kykladen (Alram-Stern 1996, 146) oder Sitagroi I–II in Makedonien (Alram-Stern 1996, 152).

Fundorte:
Agio Gala, Obere Höhle, Upper Levels (Chios), Archangelos I (Rhodos), Aşağı Pınar 3–2, Aspripetra-Höhle (Kos), Lower Bağbaşı, Beşik-Sivritepe, Çine-Tepecik Höyüğü IV, Ege Gübre II, Emporio X und VIII (Chios), Gülpınar, Hanay Tepe (älteres Stratum B), Heraion SC (Samos), Hoça Çesme I, Kalythies II (Rhodos), Karain-Höhle (II/III), Kumtepe IA, Liman Tepe VIIb, Milet I, Orman Fidanlığı VII, Tavabaşı-Höhle, Tigani I–II (Samos), Toptepe I, Uğurlu-Zeytinlik III–II (Imbros), Ulucak Höyük III, Yarımburgaz-Höhle Schicht "0"

V.1.3. Gefensterte Hohlbasen

Auch gefensterte Hohlbasen stellen einen wichtigen Gefäßbestandteil dar, über welche sich Verbindungen von der Troas nach Türkisch-Thrakien, aber auch bis in die zentrale Ostägäis fassen lassen. Neben einer Verbreitung speziell im nördlichen Bereich des Arbeitsgebietes stellen die gefensterten Hohlbasen einen chronologischen Marker des 5. Jts. v. Chr. dar.

Fundorte:
Aşağı Pınar 2, Alacalıgöl (Survey), Beşik-Sivritepe, Gülpınar, Heraion SC (Samos), Kumtepe IA, Tigani III (Samos)

V.1.4. Lang gezogene Stabhenkel mit Knubben (Abb. 103)

Eine regionale Verbreitung mit Bezug auf das zentrale westanatolische Gebiet sowie die unmittelbar vorgelagerten ostägäischen Inseln lässt sich anhand von Stabhenkeln mit Knubben und/oder Ritzverzierung nachweisen. Neben Fundorten im Küstengebiet fallen zudem die Fundorte Çine-Tepecik Höyüğü und Kulaksızlar (Survey) auf, da diese an Flussläufen im Hinterland liegen. Interessant ist zudem, dass diese Henkel in Südwestanatolien nicht anzutreffen sind. Es scheint sich hier um eine regionale Form zu handeln, die sich auf das nördliche sowie das zentrale westanatolische Gebiet und die vorgelagerten Inseln beschränkt.

Fundorte:
Alacalıgöl (Survey), Beşik-Sivritepe(?), Çine-Tepecik Höyüğü IV, Emporio IX/VIII (Chios), Gülpınar, Kulaksızlar (Survey), Liman Tepe VIIb, Milet I, Tigani II/III? (Samos), Yeşilova Höyüğü II

V.1.5. Schalen mit Einstichreihen auf dem Rand

Schalen mit Einstichreihen auf dem Rand sind vorwiegend aus der Troas bekannt und scheinen sich speziell auf diese Region im 5. Jt. v. Chr. zu konzentrieren. Wie bei den gefensterten Hohlbasen (vgl. V.1.3.) und den lang gezogenen Stabhenkeln mit Knubben und/oder Ritzverzierung (vgl. V.1.4.) werden auch hier, zwar in geringerem Ausmaß, durch den Fund vom Yeşilova Höyüğü Kontakte in Richtung Süden angedeutet. Auch diese Funde stellen somit ein regionales und chronologisches Charakteristikum des 5. Jts. v. Chr., vor allem in der Troas, dar.

Fundorte:
Alacalıgöl (Survey), Beşik-Sivritepe, Gülpınar, Hanay Tepe (älteres Stratum B), Liman Tepe (Larisa; Survey), Yeşilova Höyüğü II

V.1.6. Ritzverzierung mit Einstichen (Abb. 104)

Geometrische Bereiche (z. B. Rechtecke und Dreiecke), die mit Einstichen gefüllt sind, stammen von mehreren Fundorten im zentralen Küstengebiet, dem südlichen Westanatolien sowie auf den vorgelagerten Inseln. Auffallenderweise steht die Verbreitung dieser Dekorationsart in Kontrast zur Verteilung der gefensterten Hohlbasen (vgl. V.1.3.), der lang gezogenen Stabhenkel mit Knub-

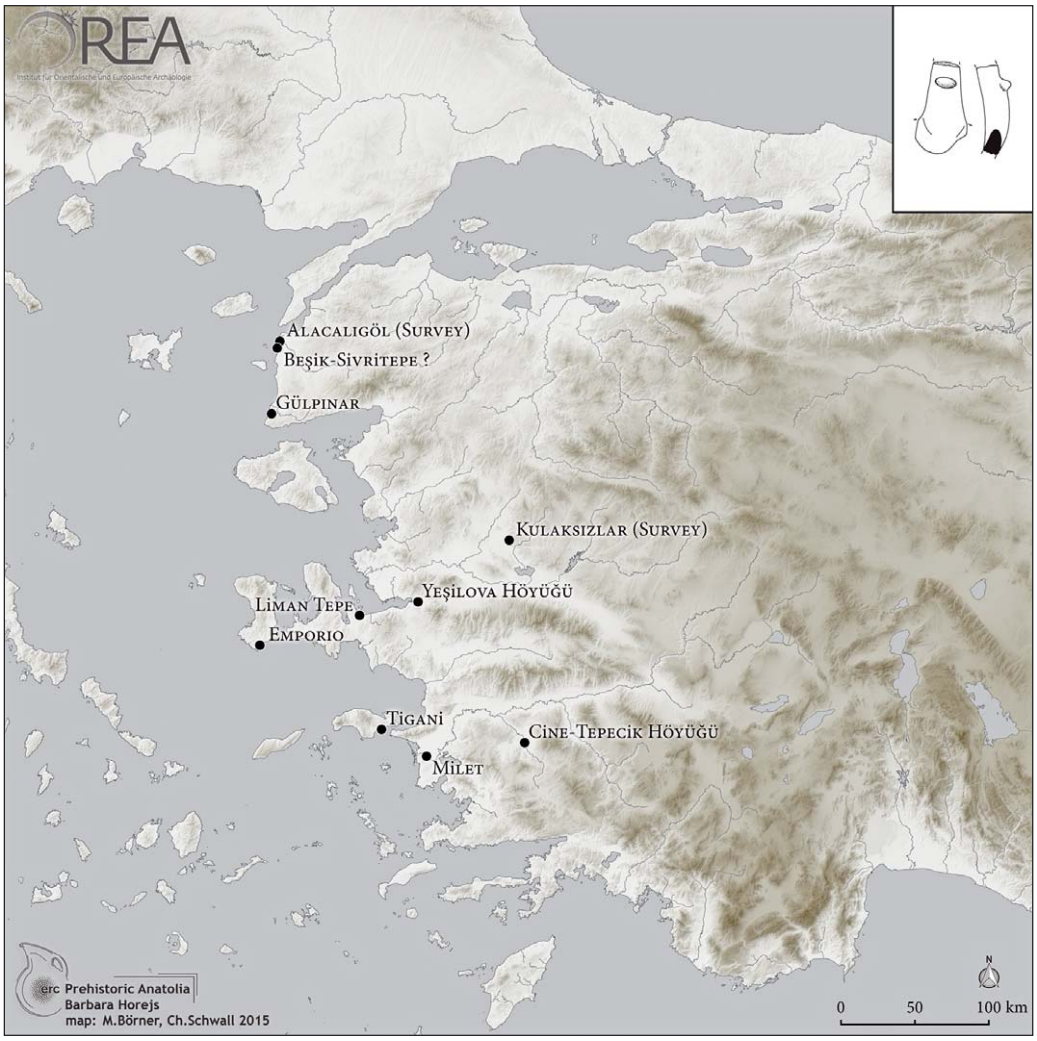


Abb. 103: Verbreitung der Stabhenkel mit Knubben im Arbeitsgebiet.
(Karte: M. Börner, Ch. Schwall/ERC Prehistoric Anatolia; Legende: nach Takaoğlu 2006a, 296, Abb. 6.2)

ben und/oder Ritzverzierung (vgl. V.1.4.) sowie den Schalen mit Einstichreihen auf dem Rand (vgl. V.1.5.). Diese scheinen sich im nord- und südwestanatolischen Gebiet auszuschließen. Es zeichnet sich hier deutlich eine Gruppe ab, bei der das zentralwestanatolische Küstengebiet anscheinend als Kontaktzone nach Norden hin fungierte. Aber auch die Funde im Einzugsgebiet des Büyük Menderes unterstreichen wiederholt die Gewichtung der Flussläufe für die Erschließung des Hinterlandes, wie dies auch an den Funden aus den Höhlen Karain und Tavabaşı im Süden deutlich wird. Ein wiederholtes Auftreten dieses Dekors ist wohl in der Frühbronzezeit 1 zu verzeichnen (vgl. IV.4.5.2.3.)

Fundorte:
Agio Gala, Obere Höhle, Upper Levels (Chios), Agio Varvara-Höhle (Kalymnos), Çine-Tepecik Höyüğü IV, Ege Gübre II, Karain-Höhle II/III, Liman Tepe VIIb, Malkayası-Höhle, Tavabaşı-Höhle, Tigani III (Samos)

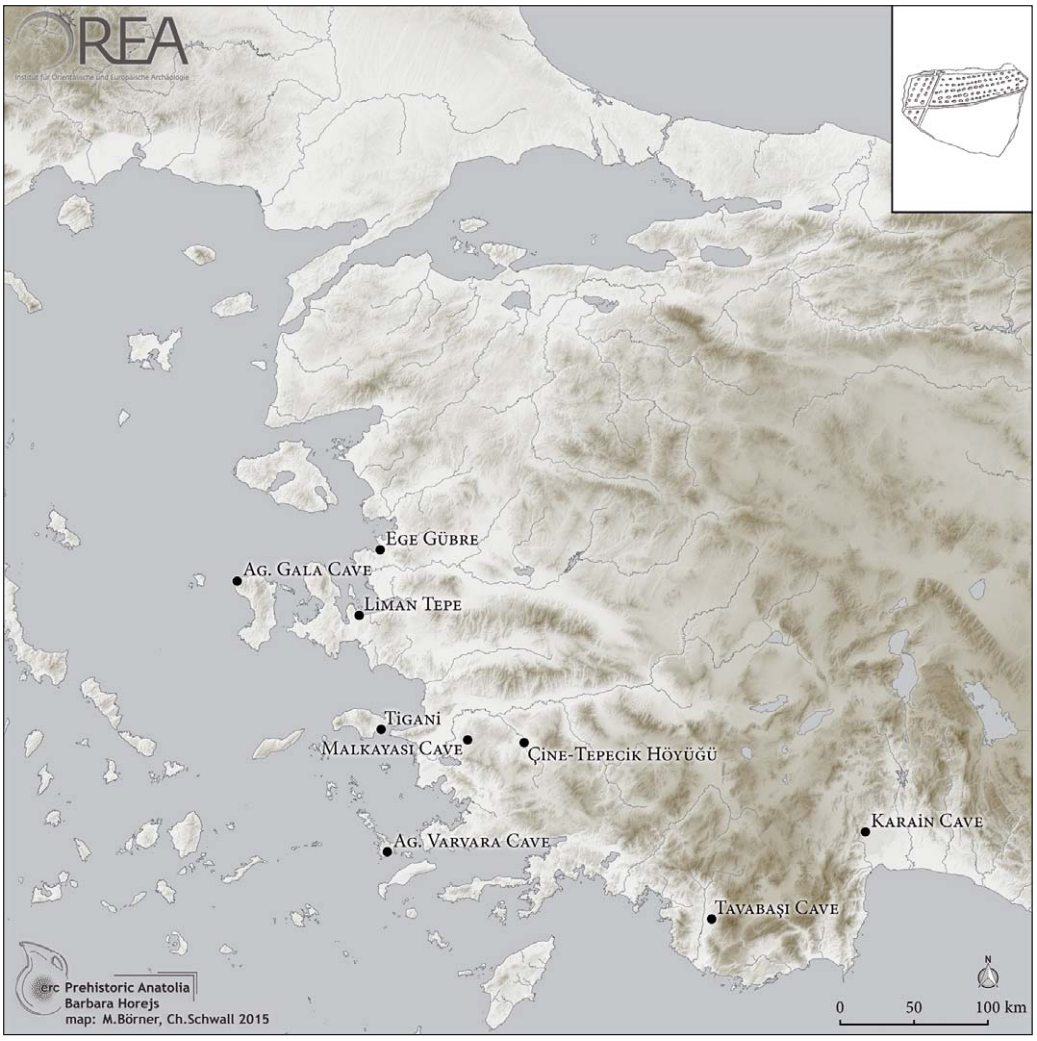


Abb. 104: Verbreitung der Ritzverzierung mit Einstichen im Arbeitsgebiet.
(Karte: M. Börner, Ch. Schwall/ERC Prehistoric Anatolia; Legende: nach Felsch 1988, Taf. 66.311)

V.1.7. Henkel mit Pilzkopfaufsatz

Eine ähnliche überregionale Verbreitung wie die Hornhenkel (vgl. V.1.2.), nur etwas ausgedünnter und auf Westanatolien beschränkt, zeigen auch die Henkel mit Pilzkopfaufsatz. Diese sind an Fundorten mittelchalkolithischer Zeitstellung anzutreffen.

Fundorte:
Çine-Tepecik Höyüğü IV, Ege Gübre II, Emporio VIII (Chios), Gülpınar, Hanay Tepe (älteres Stratum B), Orman Fidanlığı VII, Tavabaşı-Höhle, Tigani III (Samos), Uğurlu-Zeytinlik II (Imbros), Yeşilova Höyüğü II, Yassıtepe Höyüğü

V.1.8. Einfache Henkel mit Knubbe (Abb. 105)

Ebenso wie die Gefäße mit zonalem Einstich (vgl. V.1.6.) findet sich plastischer Dekor in Form einer Knubbe auf dem Henkel im zentral- und südwestanatolischen Gebiet. Auch diese Dekorationsart zeigt eine südlich orientierte Verbreitung mit der Küstenregion Zentralwestanatoliens als



Abb. 105: Verbreitung der Gefäße mit einer Knubbe auf dem Henkel im Arbeitsgebiet.
(Karte: M. Börner, Ch. Schwall/ERC Prehistoric Anatolia; Legende: nach Hood 1981/1982, 269, Abb. 128. ohne Nr)

Kontaktzone zwischen Nord und Süd. Die Funde von der Malkayası- und Karain-Höhle heben abermals die Bedeutsamkeit der Flusswege bereits im 5. Jt. v. Chr. hervor. Etwas abgelegen erscheint hingegen der Fund aus Kızılbel in der Elmalı-Ebene.

Fundorte:
Emporio VIII (Chios), Karain-Höhle II/III, Kızılbel, Malkayası-Höhle, Tigani II–III (Samos), Vathy-Höhle (Kalymnos), Yeşilova Höyüğü II

V.1.9. Krüge mit einziehendem unteren Ende und Ritzverzierung (Abb. 106)

In Türkisch-Thrakien besitzen Krüge mit zylinder- bis kegelförmigen Hals und linearer Ritzverzierung eine regionale Verbreitung im 5. Jt. v. Chr. Lediglich ein Gefäß aus Tigani auf Samos deutet eine vergleichbare Form und einen entsprechenden Dekor an. Folgt man einer Verbindung zwischen diesen beiden Gebieten aufgrund des Exemplares aus Tigani, so ist diese lokale Imitation(?) vermutlich über die maritimen Kontakte zu erklären.

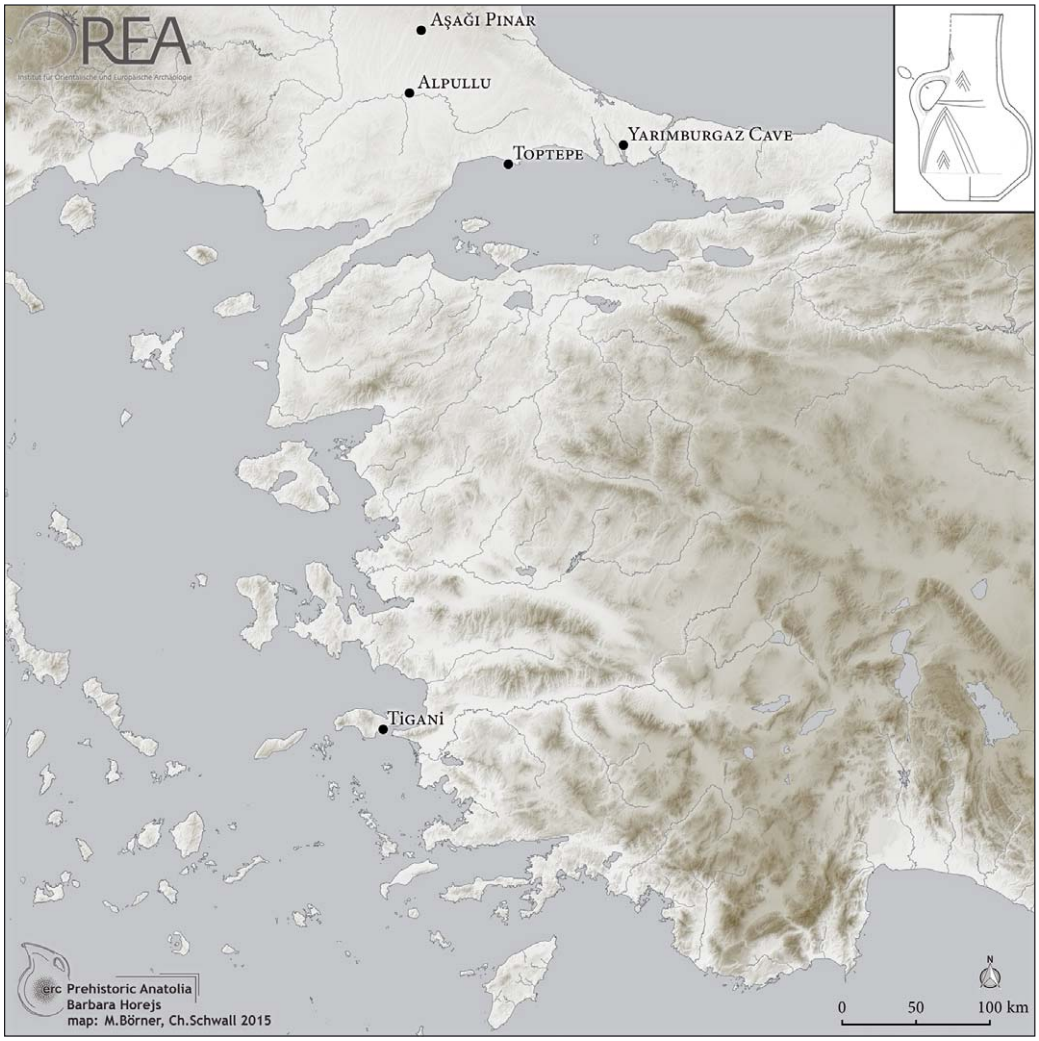


Abb. 106: Verbreitung der Krüge mit einziehendem unteren Ende und Ritzverzierung im Arbeitsgebiet. (Karte: M. Börner, Ch.Schwall/ERC Prehistoric Anatolia; Legende: nach Parzinger 2005, 107, Taf. 1.1)

Fundorte:
Alpullu, Aşağı Pınar 3–2, Tigani II (Samos), Toptepe I–II, Yarımburgaz-Höhle Schicht "0"

V.1.10. Überrandständige vertikale Grifflappen

Charakteristische überrandständige vertikale Grifflappen, wie sie aus dem zentralostägäischen Gebiet und der Dodekanes bekannt sind, legen eine regionale Verbreitung nahe. Vergleichbare Grifflappen finden sich in den mittelchalkolithischen Schichten Westanatoliens nicht. Ob sich ihre Verbreitung wirklich, wie es den Anschein hat, nur auf das mittlere und südliche Gebiet der Ostägäis beschränkt, muss aufgrund der fehlenden Datengrundlage in der Nordostägäis offen bleiben. Generell gestaltet sich auch die chronologische Einordnung, insbesondere der Fundorte der Dodekanes, schwierig. Eine chronologische Einordnung in die erste Hälfte des 5. Jts. v. Chr., zumindest der rhodischen Funde, scheint jedoch aufgrund der Vergleiche mit den Funden aus der Zentralostägäis vertretbar.

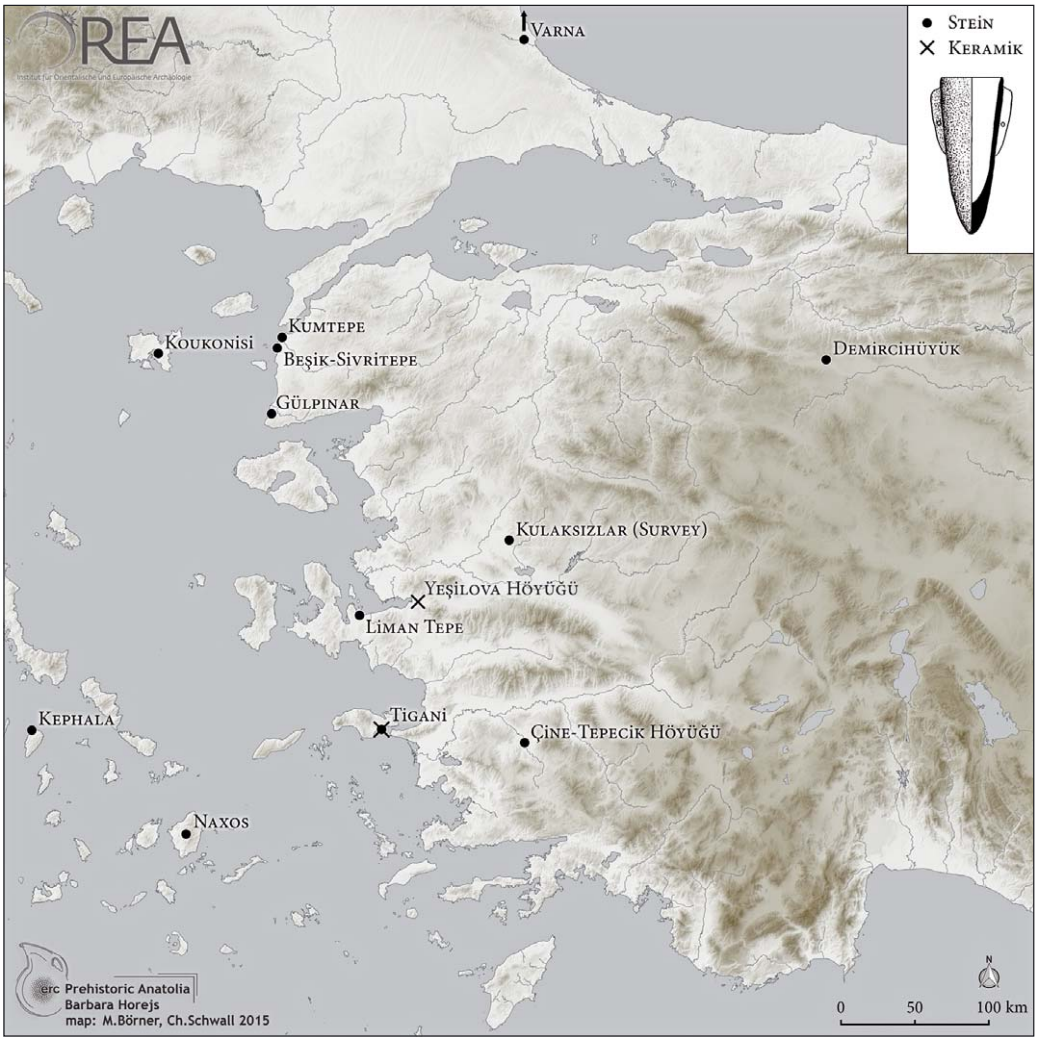


Abb. 107: Verbreitung der spitzbodigen Becher im Arbeitsgebiet.
(Karte: M. Börner, Ch. Schwall/ERC Prehistoric Anatolia; Legende: nach Takaoğlu 2005, 15, Abb. 4.3)

Fundorte:
Agio Gala, Obere Höhle, Upper Levels (Chios), Cheiromandres-Höhle (Kalymnos), Emporio X–IX (Chios), Kalythies I–II (Rhodos), Tigani I (Samos), Vathy-Höhle (Kalymnos)

V.1.11. Spitzbodige Becher (Abb. 107)

Ein charakteristischer Gefäßtyp ist der spitzbodige Becher aus Stein, zumeist Marmor, der sich vereinzelt auch in Keramik findet. Eine westanatolische Herkunft wird aufgrund der Marmorwerkstatt von Kulaksızlar angenommen.[1903] Dort wurden derartige Becher wie auch Figurinen des Typs Kiliya produziert. Zwar handelt es sich hierbei nur um Surveyfunde, dennoch deutet

[1903] Takaoğlu 2005, 37.

die Keramik von Kulaksızlar im Vergleich mit der Keramik anderer Fundplätze eine Zeitstellung im 5. Jt. v. Chr. an. Die Verbreitung von spitzbodigen Bechern aus Stein vermittelt eine genuine westanatolische/ostägäische Verortung dieses Typs im 5. Jt. v. Chr. Funde solcher Art sind darüber hinaus jedoch auch aus Kephala auf Keos (Grab), vermutlich Naxos und dem Gräberfeld von Varna I in Bulgarien bekannt und weisen auf Fernkontakte zu dieser Zeit hin.[1904] Offen bleiben muss, ob es sich dabei um Importe oder lokale Imitationen handelt. Wünschenswert wären in diesem Zusammenhang naturwissenschaftliche Analysen des Marmors, um die Frage einer möglichen Herkunft aus Westanatolien (Kulaksızlar?) zu diskutieren. Auf jeden Fall stellen die Marmorbecher aufwendig produzierte Objekte dar, welche anhand ihrer Form und stilistischen Gemeinsamkeiten belegen, dass der Bedarf an solchen speziellen Gefäßen in den Gesellschaften über weite geographische Räume gegeben war.

Fundorte:
Beşik-Sivritepe, Çine-Tepecik Höyüğü IV, Demircihüyük, Gülpınar, Koukonisi (Lemnos), Kulaksızlar (Survey), Kumtepe IA, Liman Tepe VIIb, Tigani II–III und IV (Samos), Yeşilova Höyüğü II

V.2. Marker mittel- und spätchalkolithischer Zeitstellung

V.2.1. *Cheese pots*[1905] (Abb. 108)

Als sogenannte *cheese pots* werden Gefäße mit einer Lochreihe unter dem Rand bezeichnet. Mehrere Einsatzmöglichkeiten werden für diese Gefäße angenommen, so beispielsweise die Verwendung zur Milchverarbeitung oder zum Kochen.[1906] Aufgrund der unterschiedlichen Formen dieser Gefäße sollte jedoch eine rein funktionale Interpretation der Lochreihe nicht außer Acht gelassen werden (s. o. IV.4.3.3.). Hierbei könnte es sich lediglich um eine Reihe handeln, die zum Verschließen des Gefäßes mit einer organischen Abdeckung genutzt wurde. Die Löcher könnten in diesem Fall zum Befestigen der Abdeckung mit Schnüren gedient haben. Jedenfalls deuten frühe Funde, wie beispielsweise von Emporio X und Tigani I, ein Auftauchen der *cheese pots* im späten 6. Jt. v. Chr. an. Ein transägäisches Verbreitungsmuster mit einem deutlichen Fokus auf das maritime Gebiet der Ägäis ist anhand der Verteilung der Funde klar ersichtlich. Dies deutet auch die Verbreitung im Küstengebiet Westanatoliens sowie entlang des Büyük Menderes, der das Hinterland erschließt, an. In den östlicheren Fundorten Beycesultan und Kuruçay kommen *cheese pots* nicht mehr im Inventar vor.

Fundorte:
Agio Gala, Obere Höhle, Upper Levels (Chios), Alacalıgöl (Survey), Alimnia, Aphrodisias-Pekmez SC 2–4, Aspripetra-Höhle (Kos), Bakla Tepe V, Beşik-Sivritepe, Boztepe, Çine-Tepecik Höyüğü IV, Çukuriçi Höyük VII–Vb, Dedecik-Heybelitepe (Schicht B), Ege Gübre II, Emporio X–VI (Chios), Giali, Gülpınar, Heraion SC (Samos), Kalythies II–III (Rhodos), Karaburun, Karain-Höhle II/III, Kızılbel, Kumtepe IA, Liman Tepe VIIb–a, Malkayası-Höhle, Milet I (SC oder

[1904] Ivanov 1978, 16, Abb. 6 (zur Datierung des Gräberfeldes siehe jüngst: Krauß et al. 2014); Getz-Gentle 1996, 52–53; Takaoğlu 2002, 78–79; Takaoğlu 2005, 37–38; Lichter 2011, 37–39; Takaoğlu 2011, 161–162; Düring 2014, 13–16. – Auf dem griechischen Festland ist diese Art von Becher auch im 4. Jt. v. Chr. bekannt, wie Funde aus Mikrothiva zeigen: Adrymi-Sismani 2007, 76, Taf. 12l; Adrymi-Sismani 2016, 409, Abb. 19; vgl. ebenso Tsirtsoni 2014, 291, Anm. 59.

[1905] Zu den kartierten Fundorten außerhalb des Arbeitsgebietes siehe Alram-Stern 2014, 315, Abb. 7. – Der Fundort Tavşan Adası wird ebenso wie Iasos ausgeklammert. Bei Tavşan Adası wurden keine chalkolithischen Schichten ergraben. Freundliche Mitteilung F. Bertemes (Mai 2014); vgl. ebenso: TA1 <http://www.minoer.uni-halle.de/html/Kampagne2011.html> (16.02.2016). Aufgrund der unzureichenden Hinweise für eine Einordung der Funde von Iasos als chalkolithisch, wie von Gerber vorgeschlagen (Gerber 2014), wurden diese ebenfalls nicht mit kartiert.

[1906] Vgl z. B. Alram-Stern 2014, 313–314.



Abb. 108: Verbreitung der *cheese pots* in der Ägäis und den angrenzenden Gebieten.
(Karte: M. Börner, Ch. Schwall/ERC Prehistoric Anatolia; Legende: nach Takaoğlu 2006a, 301, Abb. 11.32)

FBZ?), Myrina 1 (Lemnos), Partheni (Leros), Poliochni nero (Lemnos), Tigani I und IV (Samos), Vathy-Höhle (Kalymnos), Yassıtepe Höyüğü III1, Yeşilova Höyüğü II

V.2.2. Mattenabdrücke (Abb. 109)[1907]

Neben der weiträumigen Verbreitung von Keramikformen und -dekorationen lässt ein technologischer Aspekt überregionale, transägäische Kontakte bereits im 5. Jt. v. Chr. erkennen. Dies ist anhand der Verwendung von Matten bei der Keramikherstellung möglich.

Scheinen die Anfänge aufgrund der Funde hierfür im Balkan und in Nordgriechenland zu liegen, so findet sich diese Herstellungstechnik ab dem 5. Jt. v. Chr. in der gesamten Ägäis und den angrenzenden Gebieten. Insbesondere die Wasserwege scheinen hierbei wiederum eine zentrale Rolle zu spielen. Zeigt doch die Verbreitung eine Präsenz der Funde vornehmlich in küstennahen Regionen der Ägäis oder entlang der Flussläufe, die ins Hinterland führen.

Fundorte:
Agio Gala, Untere Höhle (Chios), Alacalıgöl (Survey), Alimnia, Aphrodisias-Pekmez SC 1–4, Aşağı Pınar 7–6 und 2, Upper Bağbaşı, Bakla Tepe V, Beşik-Sivritepe, Bozköy-Hanaytepe (Survey), Charkadiko-Höhle (Tilos), Çine-Tepecik Höyüğü IV, Çukuriçi Höyük VIa, Emporio IX (Chios), Giali, Gülpınar, Halasarna (Kos; Survey), Hanay Tepe (Stratum B), Kalythies II–III (Rhodos), Malkayası-Höhle, Milet I, Partheni (Leros), Tigani Ph.? (Samos), Tilkiburnu, Toptepe oder Yarımburgaz-Höhle?, Ulucak Höyük III

[1907] Zu den Literaturnachweisen der Survey-Fundorte sowie der Fundorte außerhalb des Arbeitsgebietes siehe Horejs – Schwall im Druck.



Abb. 109: Verbreitung der Mattenabdrücke in der Ägäis und den angrenzenden Gebieten.
(Karte: M. Börner, Ch. Schwall/ERC Prehistoric Anatolia)

V.2.3. Lineare Weißbemalung (Abb. 110)

Eine überregionale Verbreitung im Arbeitsgebiet kann für die lineare Weißbemalung festgehalten werden. Abgesehen von den Funden im westanatolischen Hinterland und in Nordwestanatolien findet dieser Dekor eine weite Verbreitung im 5. und 4. Jt. v. Chr. in der Ägäis als auch auf dem griechischen Festland.[1908] Eine genauere zeitliche Einordnung gestaltet sich schwierig, da sich dieser lineare Dekor auch noch im frühen 3. Jt. v. Chr. in Westanatolien findet.[1909] Die neuen Funde vom Çukuriçi Höyük mit einer Bemalung im Halsbereich relativieren eine von Schoop vorgeschlagene Frühdatierung solcher Funde basierend auf den Exemplaren aus der Phase Tigani IV und Orman Fidanlığı VII im Gegensatz zu den Beycesultan SC 1- und Emporio VII/VI-Funden.[1910] Die Bemalung der Halszone scheint somit kein chronologisches Merkmal darzustellen.

Fundorte:
Agio Gala, Obere Höhle, Upper Levels (Chios), Archangelos I (Rhodos), Aphrodisias-Pekmez SC 1–4, Bakla Tepe V, Beycesultan SC 1–4, Çukuriçi Höyük VII–Vb, Demircihüyük (SC und/oder FBZ), Emporio X–VI (Chios), Kalythies I–III (Rhodos), Küllüoba 6–5, Kumtepe IA–B,

[1908] Vgl. Sotirakopoulou 1996, 592–595; Broodbank 2000, 162; Thater 2016, 16–18.
[1909] Sperling 1976, 324, Anm. 12; Seeher 1987a, 68–71; Sotirakopoulou 1996, 589.
[1910] Schoop 2005, 257, 267–268, 300.

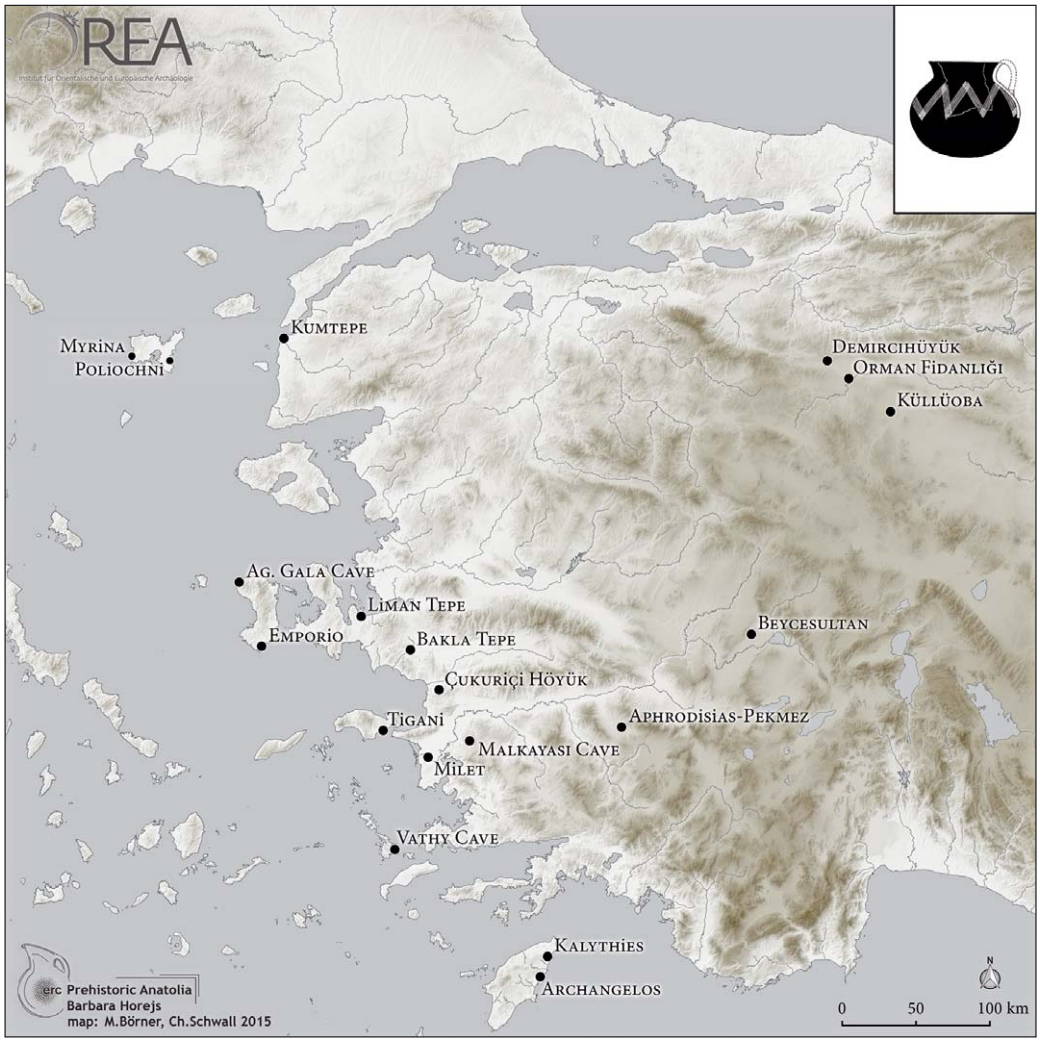


Abb. 110: Verbreitung der linearen Weißbemalung im Arbeitsgebiet.
(Karte: M. Börner, Ch. Schwall/ERC Prehistoric Anatolia; Legende: nach Lloyd – Mellaart 1962, 98, Abb. P.11.9)

Liman Tepe VIIa, Malkayası-Höhle, Milet I, Myrina 2 (Lemnos), Orman Fidanlığı VII, Poliochni nero (Lemnos), Tigani I und IV (Samos), Vathy-Höhle (Kalymnos)

V.2.4. Ritzverzierung

Die Ritzverzierung, bestehend aus vornehmlich linearen Motiven (teilweise mit geritzter Füllung) findet sich im Mittel- und Spätchalkolithikum auf Gefäßen. In frühen Horizonten des nördlichen Bereichs des Arbeitsgebietes, wie beispielsweise in Aşağı Pınar und Uğurlu-Zeytinlik auf Imbros, können auch Dreiecks- und Spiralmotive auftreten. Besonders bei den für Türkisch-Thrakien typischen Krügen (vgl. V.1.9.) ist die lineare Ritzverzierung neben der Form ein charakteristisches Merkmal.

Fundorte:
Alpullu, Aşağı Pınar 3–2, Beşik-Sivritepe, Çukuriçi Höyük VII und Vb, Demircihüyük, Ege Gübre II, Emporio VIII (Chios), Gülpınar, Ilıpınar IV (mit Inkrustation), Karain-Höhle II/III, Kuruçay Höyük 6A–6, Liman Tepe VIIb, Malkayası-Höhle, Tigani II–IV (Samos), Toptepe I–IV, Uğurlu-Zeytinlik III (Imbros), Ulucak Höyük III, Vathy-Höhle (Kalymnos), Yarımburgaz-Höhle Schicht "0"



Abb. 111: Verbreitung der *rolled rim bowls* in der Ägäis und den angrenzenden Gebieten.
(Karte: M. Börner, Ch. Schwall/ERC Prehistoric Anatolia; Legende: nach Sperling 1976, 335, Abb. 15.536)

V.3. Marker spätchalkolithischer Zeitstellung

V.3.1. Schalen mit eingerolltem Rand[1911] (*rolled rim bowls*; Abb. 111)

Die charakteristischen Schalen mit eingerolltem Rand, sogenannte *rolled rim bowls*, zeigen eindrücklich die Verbindungen mit der Ägäis und anderen Fundorten der Küstenregion Westanatoliens. Schalen mit einem solchen Rand besitzen eine weite Verbreitung in der gesamten Ägäis und den angrenzenden Küstenzonen, weshalb diese Form als transägäisches Phänomen angesehen werden kann. Auffallenderweise finden sich solche Schalen in Westanatolien in der 2. Hälfte des 4. Jts. v. Chr. auch an Fundorten im Hinterland (Aphrodisias-Pekmez, Gavurtepe Höyük), die sich nicht in direkter Nähe der großen Wasserläufe befinden. Es scheint hier eine Intensivierung der Konnektivität fassbar, die eine Einbindung auch von abgelegenen Siedlungen möglich machte.

Fundorte:
Agio Varvara-Höhle (Kalymnos), Aphrodisias-Pekmez SC 3, Bakla Tepe V, Çukuriçi Höyük VII–V, Dedecik-Heybelitepe (Schicht B), Emporio VII/VI (Chios), Gavurtepe Höyük VI, Hanay Tepe (älteres Stratum B), Heraion SC (Samos), Karaağaçtepe, Kumtepe IB, Liman Tepe VIIa, Myrina 1 (Lemnos), Poliochni nero (Lemnos), Ulucak Höyük III, Yassıtepe Höyüğü, Yeşilova Höyüğü II

V.3.2. Knickrandschalen (Abb. 112)

Knickrandschalen sind in Westanatolien weit verbreitet und finden sich auch auf den vorgelagerten Inseln der Nord- und Zentralostägäis. Die Lücke, im nördlichen als auch im südwestlichen

[1911] Zu den kartierten Fundorten außerhalb des Arbeitsgebietes siehe Alram-Stern 2014, 314, Abb. 6.

Gebiet, ist wohl dem Forschungsstand der Fundorte des 4. Jts. v. Chr. geschuldet (vgl. V.1.2.). Es ist hier von einer anatolischen Formentradition auszugehen, die bereits zu dieser Zeit greifbar ist und letztlich zu einer der charakteristischen Formen der Frühbronzezeit 1 (vgl. z. B. Troia I) wird.[1912]

Fundorte:
Aphrodisias-Pekmez SC 2–4, Asopos Tepesi VIIa, Bakla Tepe V, Barcın Höyük V, Çukuriçi Höyük VII–Vb, Demircihüyük, Emporio VII/VI (Chios), Hanay Tepe (älteres Stratum B), Ilıpınar IV, Kumtepe IB, Liman Tepe VIIa, Yassıtepe Höyüğü

V.3.3. Kehlrandschalen (Abb. 112)

Ebenso wie die Knickrandschalen lässt sich auch für die Kehlrandschalen eine weite Verbreitung im westanatolischen Gebiet bis hin zu den nord- und ostägäischen Inseln belegen. Auch bei diesen Schalen ist aufgrund der früh datierenden Funde in Nordwestanatolien[1913] von einem Ursprung im westanatolischen Gebiet auszugehen.

Fundorte:
Bakla Tepe V, Barcın Höyük V, Beycesultan SC 3–4, Çukuriçi Höyük VII, Demircihüyük, Emporio VII/VI (Chios), Giali, Keçiçayırı, Kumtepe IB, Kuruçay Höyük 6A, Myrina 1–2 (Lemnos), Poliochni nero (Lemnos)

V.3.4. Füße (Abb. 113)

Auch anhand der Fußformen lassen sich Unterschiede feststellen. Im Fokus stehen hierbei insbesondere die trapezförmigen und ausgezipfelten Formen, die eine lokale Verbreitung, insbesondere im Einzugsgebiet des Büyük Menderes erkennen lassen. Die Funde in der zentralen Küstenregion Westanatoliens sowie auf den vorgelagerten Inseln Chios und Samos deuten eine regionale Keramiktradition an. Diese scheint sich, abgesehen von den Fundorten Aphrodisias-Pekmez und möglicherweise Beycesultan, auf das zentralwestanatolische Küstengebiet zu beschränken. Rechteckige und konische Fußformen sind nur von einigen Fundorten in dieser Region bekannt, finden sich aber beide zudem in der Troas am Kumtepe. Da die eckigen Fußformen in der zentralwestanatolischen Region in der Frühbronzezeit 1 gängig werden, scheint sich hier bereits die Entwicklung hin zum frühbronzezeitlichen Formenspektrum anzudeuten. Gleiches ist wohl bis zu einem gewissen Maß auch für die Fußformen in der Troas anzunehmen.

Fundorte:
- *trapezförmig* und *ausgezipfelt*: Aphrodisias-Pekmez SC 2 und 4, Bakla Tepe V, Beycesultan SC 1(?), Çukuriçi Höyük VII–Vb, Dedecik-Heybelitepe (Schicht B), Emporio VII/VI (Chios), Milet I, Tigani IV (Samos)
- *rechteckig*: Çukuriçi Höyük VII–Vb, Kumtepe IB, Milet I, Beycesultan SC 1(?)
- *rund*: Aphrodisias-Pekmez SC 2, Bakla Tepe V, Kumtepe IA–B

V.3.5. Randständige und unterrandständige Grifflappen

Grifflappen dieser Art sind nur auf Westanatolien beschränkt. Es scheint denkbar, dass die randständigen und unterrandständigen Grifflappen an größeren Gefäßen einen inneranatolischen Einfluss im Formenspektrum widerspiegeln.

[1912] Vgl. Blegen Typ A12 (Weninger 2002, 1050, Abb. 5).
[1913] Vgl. Seeher 2012.

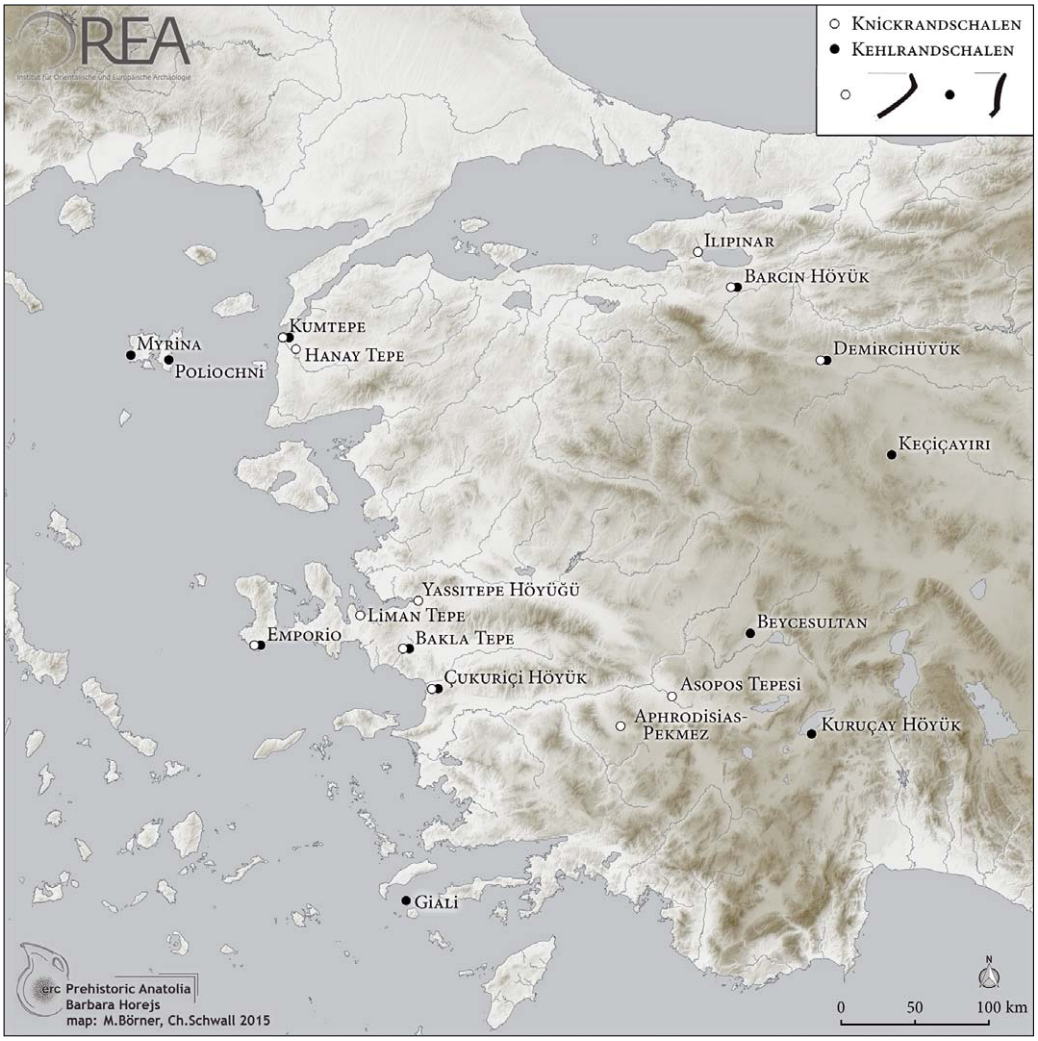


Abb. 112: Verbreitung der Knick- und Kehlrandschalen im Arbeitsgebiet. (Karte: M. Börner, Ch. Schwall/ERC Prehistoric Anatolia; Legende: nach Seeher 1987a, Taf. 24.6; Gerritsen et al. 2010, 220, Abb. 7.4)

Fundorte:
▪ *randständig*: Barcın Höyük V, Çukuriçi Höyük Vb, Kuruçay Höyük 4–3
▪ *unterrandständig*: Upper Bağbaşı, Barcın Höyük V, Boztepe, Çukuriçi Höyük VII und VIa, Demircihüyük, Kuruçay Höyük 6–3

V.4. Zusammenfassende Betrachtungen

Generell kann für die chronologischen Marker des 5. bis 4. Jts. v. Chr. in der westanatolischen Küstenregion ein starker ägäischer Einfluss festgehalten werden. Ein Blick auf die Funde Westanatoliens und der benachbarten Regionen ist daher essenziell, um regionale und überregionale Kontakte und somit kulturelle Einflüsse oder Kommunikationswege fassen zu können. Neben den Fundorten im Küstengebiet Westanatoliens sind insbesondere die Fundorte auf den vorgelagerten ostägäischen Inseln zu nennen. Deutlich zeigen sich Gemeinsamkeiten in der mittel- bis spätchalkolithischen Keramik, weshalb dieses Gebiet, ohne Rücksicht auf die heutigen politischen

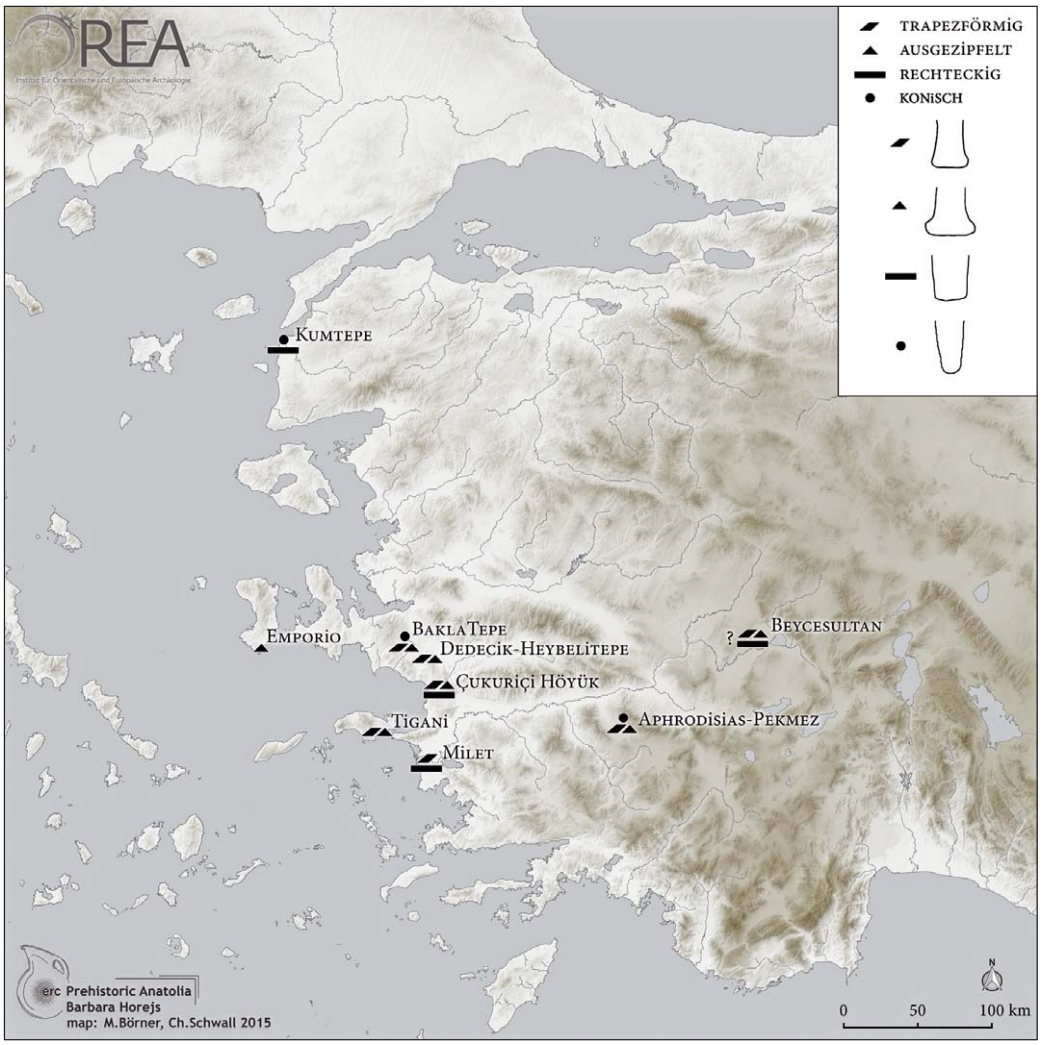


Abb. 113: Verbreitung der verschiedenen Fußformen im Arbeitsgebiet. (Karte: M. Börner, Ch. Schwall/ERC Prehistoric Anatolia; Legende: nach Caymaz 2013, 107, Abb. 18.19; Sharp Joukowsky 1986, 547, Abb. 393.39, 559, Abb. 402.30; Korfmann et al. 1995, 281, Abb. 36.7)

und geographischen Grenzen, als eine kulturelle Einheit betrachtet werden muss. Die Fundorte im Hinterland Westanatoliens befinden sich in der Nähe der großen Flussläufe, wie dem Büyük Menderes, über den diese Region erschlossen wurde. Dies unterstreichen die unterschiedlichen Keramikfunde eindrücklich. Somit kann von einer starken Nutzung der maritimen als auch der fluvialen Wasserwege ausgegangen werden, die damit eine zentrale Rolle zur Identifizierung der Kommunikationsrouten darstellen. Je nach Keramikform oder Dekorationsart sind unterschiedliche regionale als auch überregionale, teils transägäische, Verbreitungsmuster fassbar.

Eine überregionale, transägäische Verbreitung lässt sich auch an den technologischen Details ausmachen, wie dies bei Mattenabdrücken (vgl. V.2.2.) der Fall ist. Eine solche Verbreitung kann ab dem 5. Jt. v. Chr. festgehalten werden. Auffallend ist auch hier die Nähe zu den Wasserwegen. Ein derartiges Muster lässt sich zudem anhand von Keramikformen, wie *cheese pots* und *rolled rims* (vgl. V.2.1., V.3.1.), als auch plastischem und bemaltem Dekor (Hornhenkel, Weißbemalung; vgl. V.1.2., V.2.3.) ausmachen, die sich entweder auf das 5. oder 4. Jt. v. Chr. beschränken oder in beiden Jahrtausenden anzutreffen sind.

Für spitzbodige Becher (vgl. V.1.11.) aus Marmor, seltener aus Keramik, kann eine überregionale Verbreitung im 5. Jt. v. Chr. mit einer vermutlich genuin westanatolischen Herkunft angenommen werden. Zwei Steingefäße sind darüber hinaus aus Grabkontexten in den Kykladen und aus Bulgarien bekannt. Die Fundorte solcher Objekte in der Ägäis als auch ein Fernkontakt in Richtung Norden deuten einen gewissen Prestigecharakter dieser Gefäße zu dieser Zeit an.

Auch die Politurmusterverzierung ist hierbei mit einem Schwerpunkt für das 5. Jt. v. Chr. für Westanatolien zu nennen (vgl. V.1.1.). Vereinzelte Funde aus späteren Kontexten deuten vermutlich lediglich das Auslaufen dieser Tradition in diesem Gebiet an.[1914] Hingegen lässt sich ein Einsetzen dieser Dekorationsart ab dem späten 5. Jt. v. Chr. in der Attika-Kephala-Kultur beobachten.[1915] Somit ist für die Politurmusterverzierung, mit einem zeitlichen Versatz und einer Verlagerung des Verbreitungsschwerpunktes, eine prinzipiell transägäische Verbreitung zu vermerken.[1916]

Signifikant für die 2. Hälfte des 4. Jts. v. Chr. sind Schalen mit eingerolltem Rand (*rolled rim*; vgl. V.3.1.), die sich im gesamten Ägäisgebiet und in den angrenzenden Küstenregionen finden.[1917] In Westanatolien beschränken sich diese Funde auf die Troas sowie auf das zentralwestanatolische Küstengebiet mitsamt den vorgelagerten Inseln und entlang der ins Hinterland führenden Flussläufe.

Eine regionale Verbreitung im westanatolischen/ostägäischen Gebiet lässt sich hingegen für das 5. Jt. v. Chr. anhand von unterschiedlichen Dekorarten festhalten. Stabhenkel mit Knubben (vgl. V.1.4.) und mit Einstichreihen verzierte Ränder (vgl. V.1.5.) zeigen eine deutliche Verteilung im zentral- und nordwestanatolischen Küstengebiet sowie entlang der ins Hinterland führenden Flüsse. Knubben auf Henkeln (vgl. V.1.8.) und mit Einstichen gefüllte Zonen (vgl. V.1.6.) hingegen beschränken sich auf das süd- und zentralwestanatolische Gebiet mit Einbeziehung der erschließenden fluvialen Wege. Abgesehen von der Kontaktzone an der mittleren Ägäisküste Westanatoliens schließen sich diese Dekorarten im Norden und Süden aus. In diesem Zusammenhang ist sicher der Büyük Menderes zu sehen, über den sich das Gebiet Westanatoliens erschließen ließ. Dies deuten auch die Vergleichsfundorte, welche direkt an diesem Fluss oder seinen Nebenarmen liegen, an. Für die Kontakt- und Kommunikationswege der Siedlungen im Inland stellen somit die Flussläufe zentrale Schnittstellen zum maritimen Gebiet dar.

Krüge mit gerader bis kegelförmiger Halspartie, einziehendem unteren Ende und Ritzverzierung (vgl. V.1.9.) sind für den Raum Türkisch-Thrakiens typisch. Es scheint möglich den Fund eines solchen Gefäßes aus Tigani mit den nördlicheren Exemplaren in Verbindung zu setzen. Hierfür spricht auch die Verbreitung der gefensterten Hohlbasen (vgl. V.1.3.), die sich vor allem in der Troas, aber auch in Türkisch-Thrakien und auf Samos finden.

Im 4. Jt. v. Chr. finden Knick- und Kehlrandschalen (vgl. V.3.2.–3.) eine weite Verbreitung. Sie lassen sich, vermutlich mit einem zeitlichen Versatz, vor allem in Westanatolien aber auch auf den vorgelagerten Inseln finden. Randständige und unterrandständige Grifflappen (vgl. V.3.5.) besitzen ebenfalls eine vorwiegend auf Westanatolien beschränkte Verbreitung.

Regionale Aspekte sind an den Fußformen von Dreifußkochtöpfen auszumachen (vgl. V.3.4.). Besitzen diese im 4. Jt. v. Chr. eine konische und rechteckige Form in Westanatolien, so finden sich in der zentralwestanatolischen Küstenregion sowie entlang der Wasserwege ins Hinterland trapezförmige, ausgezipfelte und rechteckige Füße. Insbesondere bei den trapezförmigen und ausgezipfelten Füßen scheint es sich um eine regionale Eigenart zu handeln, die speziell für das Einzugsgebiet des Büyük Menderes signifikant ist.

Anhand der Verteilungsmuster der unterschiedlichen Keramikformen und -dekoration zeigt sich deutlich, dass die westanatolische Küstenregion und die Ostägäis als eine kulturelle Einheit zur Zeit des Mittel- und Spätchalkolithikums aufzufassen sind. Zudem lässt sich eine starke

[1914] Schoop 2005, 268, Anm. 314.
[1915] Broodbank 2000, 163; Alram-Stern 2014, 312, Abb. 5.
[1916] Vgl. auch Çayır-Böyükulusoy 2014, 100, Karte 1.
[1917] Vgl. Alram-Stern 2014, 314, Abb. 6.

ägäische Affinität für die Küstenregion nachweisen. Trotz der teilweise weit verbreiteten Keramikelemente, die eine gewisse Uniformität suggerieren, sind sowohl im 5. als auch 4. Jt. v. Chr. regionale Keramikausprägungen fassbar. Die bislang bestehende und oftmals erkennbare „Grenze“ in der Forschung zwischen der Ostägäis und Westanatolien muss aufgrund der Funde, speziell in der Küstenregion, aufgehoben werden. Vielmehr muss dieses Gebiet als Kontaktzone zwischen West und Ost verstanden werden, in der sich sowohl Keramiktradtionen der Ägäis als auch Anatoliens in einem Interaktionsraum finden.

VI. Mögliche Faktoren für die soziokulturellen Entwicklungen vom 5. bis zum frühen 3. Jt. v. Chr. in Westanatolien und der Ostägäis

Die in den vorherigen Kapiteln durchgeführte Chronologiediskussion sowie die Befund- und Materialstudien bilden eine wichtige Grundlage für eine erstmalige Diskussion und Bewertung der soziokulturellen Entwicklungen im 5. und 4. Jt. v. Chr. in Westanatolien und der Ostägäis. Gerade auf Basis der detaillierten Untersuchungen zur Chronologie und der neuen Daten vom Çukuriçi Höyük sowie anderen Fundorten im Arbeitsgebiet lassen sich Veränderungen auf struktureller Ebene wie auch technologische und ökonomische Entwicklungen zeigen. Im Folgenden sollen diese Ergebnisse unter Berücksichtigung des derzeitigen Forschungsstandes diskutiert und bewertet werden, um so eine Diskussionsbasis für zukünftige Forschungen in diesem Gebiet zu liefern.

Das 5. und 4. Jt. v. Chr. ist eine Zeit, in der eine Reihe von Innovationen[1918] (z. B. Kupfermetallurgie, Pflug, Wagen) entstanden, die maßgeblich zu der Entwicklung von protourbanen Siedlungen am Beginn des 3. Jts. v. Chr. führten. Die Anfänge dieser Entwicklung sind mit dem Beginn des Mittelchalkolithikums in der zweiten Hälfte des 6. Jts. v. Chr. anzusetzen. In dieser Zeit vollzog sich ein deutlicher Bruch zum vorangegangenen Abschnitt des Frühchalkolithikums. Wie bereits von Schoop erwähnt, handelt es sich bei dem anatolischen „Frühchalkolithikum" lediglich um eine Konstruktion Mellaarts, welche auf der beginnenden Gefäßbemalung (*red on cream*)[1919] in Hacılar V basiert.[1920] In der materiellen Kultur ist jedoch kein Bruch zu verzeichnen, weshalb das Frühchalkolithikum als Retardation des Neolithikums angesehen werden kann.[1921] Neue Keramikformen und Dekorationstechniken treten jedoch in der zweiten Hälfte des 6. Jts. v. Chr. auf und indizieren einen grundlegenden Wandel (vgl. V.1.). Ab dieser Zeit zeichnet sich, laut Schoop, eine Intensivierung von Kontakten mit dem südlichen Balkanraum ab, die sich nicht zuletzt auch im Keramikrepertoire widerspiegelt.[1922] Eine derartige Annahme ist nicht unbegründet, deuten doch insbesondere Funde von Mattenabdrücken (vgl. V.2.2.), aber auch Hornhenkel (vgl. V.1.2.) und die Politurmusterverzierung (vgl. V.1.1.) eine frühe Präsenz in den nördlichen Fundorten des Arbeitsgebietes an. Offen bleibt die Frage nach den Gründen für einen Abbruch der neolithischen Traditionen.[1923] Klimatische Ereignisse in Form eines *Rapid Climate Change* (RCC) scheinen jedenfalls kein Auslöser für diese Entwicklung zu sein.[1924] Zielführend könnte eventuell der Blick auf das Ergebnis dieses Wandels im 5. Jts. v. Chr. sein. Bereits im 5. Jt. v. Chr. kann ein hohes Maß an Konnektivität in der gesamten Ägäis und den angrenzenden Gebieten nachgewiesen werden (s. u.). Zwar lassen sich Austauschsysteme und Kontakte bereits in der neolithischen Zeit vor allem am Bezug von Obsidian

[1918] Siehe hierzu Hansen 2014b, 244, Abb. 1.
[1919] Mellaart 1970, 109.
[1920] Schoop 2005, 173, 353; Schoop 2011, 153–157.
[1921] Schoop 2005, 173; Schoop 2011, 157; Schoop 2014, 425.
[1922] Schoop 2014, 425.
[1923] Schoop 2005, 354; Schoop 2011, 157; Schoop 2014, 425.
[1924] Weninger et al. 2009, 48–49.

aufzeigen,[1925] jedoch stellt möglicherweise der Beginn der Etablierung von Kommunikations- und Austauschsystemen[1926] den Beweggrund für soziokulturelle Veränderungen ab der zweiten Hälfte des 6. Jts. v. Chr. dar.

VI.1. Die Bedeutung von Kommunikations- und Austauschsystemen

Wie bereits von Takaoğlu angemerkt, können enge Kontakte zwischen Westanatolien und der Ostägäis bereits im 5. Jt. v. Chr. festgehalten werden.[1927] Als Vergleiche hierfür führt er die Funde von Kulaksızlar an.[1928] Die hier durchgeführten Vergleichsstudien ausgewählter Keramikfunde Westanatoliens und der ostägäischen Inseln (vgl. V.1.–2.) zeigen ein ähnliches Bild und unterstreichen die Annahme, dass es sich bei diesen Gebieten um eine zusammenhängende, kulturelle Einheit handelt. Neben regionalen zeichnen sich auch überregionale Verbreitungsmuster im Arbeitsgebiet ab, die auf ein hohes Maß an Konnektivität der Gesellschaften schließen lassen. Auffallend ist in diesem Punkt die Lage der mittelchalkolithischen Fundorte im küstennahen Gebiet oder entlang der Flussläufe, durch die sich das Hinterland erschließen lässt. Somit scheinen gerade die maritimen und fluvialen Wasserwege ein entscheidender Faktor für die Herausbildung von Kommunikations- und Austauschsystemen gewesen zu sein. Dass bereits im 5. Jt. v. Chr. von einem hohen Grad an Vernetzung ausgegangen werden kann, deutet neben der Verbreitung unterschiedlicher Keramikformen und Keramikdekorationen auch ein technologischer Aspekt – die Verwendung von Matten bei der Keramikherstellung – an. Bereits im 5. Jt. v. Chr. zeigen Mattenabdrücke ein überregionales, transägäisches Verteilungsmuster (vgl. V.2.2.). Eine ebenfalls weiträumige Verbreitung im ägäischen Raum belegen zudem die Funde von *cheese pots* (vgl. V.2.1.) im 5. und 4. Jt. v. Chr. Diese veranschaulichen eindrücklich die Verflechtungen im ägäischen Raum.[1929] Auffällig ist auch hier wieder die Lage der Fundorte, vornehmlich in küstennahen Regionen der Ägäis oder entlang der Flussläufe.

Neben der Verbreitung von Keramik lassen sich auch anhand von Rohmaterialen, wie im Falle des Obsidians, Kommunikations- und Austauschnetzwerke erkennen. Generell besitzt die Auswahl und Beschaffung bestimmter Rohmaterialien für die Herstellung von beispielsweise Arbeitsgeräten oder Schmuckgegenständen eine lange Tradition und kann insbesondere am Obsidian bereits über weite Strecken im Neolithikum und sogar früheren Zeiten belegt werden (s. o.). Neben einer weiten Verbreitung des Obsidians von der Insel Melos[1930] (Kykladen) findet sich Obsidian von der Insel Giali[1931] (Dodekanes), teilweise neben melischem Obsidian, vorwiegend an Fundorten der Südostägäis. Der Giali-Obsidian scheint daher hauptsächlich eine regionale Verbreitung in der Dodekanes zu besitzen[1932] und spielte wohl in Westanatolien lediglich eine untergeordnete Rolle. Interessanterweise zeigt der Bezug von melischem Obsidian eine erstaunliche diachrone Kontinuität,

---

[1925] Broodbank 2000, 157–159; Georgiadis 2008, 102; Perlès et al. 2011, 45–48; Düring 2014, 9–13; Milić 2014, 288–289; Horejs et al. 2015, 293–295, 316–319; Carter et al. 2016, 20, 25; Horejs 2016, 155–157; Milić 2016, 112–114.

[1926] Als „Kommunikations- und Austauschsysteme“ werden regionale und überregionale Interaktionssysteme verstanden, aus denen sich Netzwerke entwickeln können, die zur Herausbildung von „Interaktionsräumen“ führen. Zu Interaktionsräumen siehe die Definition bei J. Maran für das 3. Jt. v. Chr. (Maran 1998, 417; vgl. ebenso Rahmstorf 2006, 81).

[1927] Takaoğlu 2004, 2. – Zudem hat bereits C. Broodbank auf die frühe Präsenz martimer Mobilität in der Ägäis, nicht nur zwischen Westanatolien und der Ostägäis, hingewiesen (Broodbank 2006, 211–220, Abb. 2–3).

[1928] Takaoğlu 2004, 2–3.

[1929] Lokale und ausgeweitete Kontake zu dieser Zeit werden von mehreren Autoren ebenfalls für die Kykladen angenommen; vgl. Maran 1998, 135–138; Broodbank 2000, 156–170; Maran 2000, 191–192; Kouka 2008, 272–274; Alram-Stern 2014.

[1930] Georgiadis 2008, 102–103; Milić 2014, 287.

[1931] Georgiadis 2008, 106–111; Carter et al. 2016, 21, Abb. 14B.

[1932] Georgiadis 2008, 113; Milić 2014, 287; Carter et al. 2016, 20–22, Abb. 14B.

wie dies – trotz eines Hiatus – am Beispiel der Siedlung Çukuriçi Höyük[1933] vom Neolithikum bis zur Frühbronzezeit deutlich wird. Zwar kann am Çukuriçi Höyük vom beginnenden 6. Jt. bis zum letzten Drittel des 4. Jts. v. Chr. eine Siedlungsunterbrechung festgestellt werden, dennoch findet sich melischer Obsidian auch zu dieser Zeit an mehreren Fundorten im Arbeitsgebiet. Belege aus dem 5. und 4. Jt. v. Chr. können aus Aphrodisias-Pekmez SC 1–4,[1934] Beşik-Sivritepe,[1935] Gülpınar[1936] und Liman Tepe VIIb[1937] angeführt werden. Weitere Obsidianfunde, bei denen es sich vermutlich um melisches Material handelt, werden von Alimnia,[1938] Emporio VIII[1939] (Chios), Kalythies II–III[1940] (Rhodos), Kumtepe IA1,[1941] Partheni[1942] (Leros) und Tigani II–IV[1943] (Samos) genannt. Es kann daher von Obsidian-Austauschnetzwerken ausgegangen werden, die zum einen Kontinuität erkennen lassen, zum anderen eine gezielte Auswahl und Nachfrage, insbesondere nach melischem Obsidian, suggerieren. Die Dominanz des Obsidians aus Melos scheint durch den einfacheren Transport über den Seeweg gegenüber den anatolischen Lagerstätten erklärbar. Im Gegensatz zum Giali-Obsidian enthält das melische Gestein keine sphärolithischen Einschlüsse und besitzt dadurch bessere Materialeigenschaften. Die Herstellung der Lithikartefakte und die damit verbundene vorherige Bearbeitung des Kerns ist ein wichtiger Schritt in der *chaîne opératoire* der Lithikproduktion und legt in neolithischer Zeit eine spezialisierte Verarbeitung des Gesteins nahe.[1944] In der Frühbronzezeit kann hingegen ein niedrigerer technologischer Grad bei der Herstellung von Lithikartefakten beobachtet werden.[1945] Das Interesse galt zu dieser Zeit mit Hilfe der „direct percussion technique“ oder „ad hoc flake tool production“ Abschläge zu erhalten, die nicht zwingend eine weitere Modifikation für die Benutzung benötigten.[1946] Ob dies generell auch für die spätchalkolithische Lithikproduktion im Arbeitsgebiet angenommen werden kann, bedarf aufgrund der Datengrundlage weiterer Untersuchungen, jedoch deuten die Lithikfunde der spätchalkolithischen Siedlungen vom Çukuriçi Höyük eine mit der Frühbronzezeit vergleichbare Herstellung an.[1947]

Im Zusammenhang mit der Verbreitung von spitzbodigen Bechern (vgl. V.1.11.) aus Marmor hat jüngst B. Düring auf eine generelle Veränderung der Austauschnetzwerke von neolithischer zu chalkolithischer Zeit hingewiesen.[1948] Dienten die Austauschnetzwerke in früheren Zeiten vorwiegend der Beschaffung von Rohmaterial, so sieht Düring anhand der Verbreitung der spitzbodigen Marmorbecher einen Wandel hin zum Austausch von teils aufwendig hergestellten, handwerklichen Erzeugnissen.[1949] Neben einer Produktionsstätte solcher Becher als auch Kiliya-Figurinen in Kulaksızlar[1950] finden sich mehrere Exemplare spitzbodiger Becher in Westanatolien (vgl. V.1.11.). Überregionale Vergleiche sind darüber hinaus von den Kykladen und aus Bulgarien bekannt und deuten somit Fernkontakte an, geht man von einer westanatolischen Provienz aus. Zwar muss

[1933] Bergner et al. 2009; Galik – Horejs 2011, 88–89; Knitter et al. 2012, 362; Knitter et al. 2013, 4; Horejs et al. 2015, 305, 314–316. – Die Lithikfunde der hier bearbeiteten Phasen werden derzeit von P. Nedelcheva, Universität Sofia ausgewertet.
[1934] Blackman 1986.
[1935] Korfmann 1986, 310.
[1936] Takaoğlu – Özdemir 2013, 27.
[1937] Kouka 2009, 143; Erkanal – Şahoğlu 2012b, 221.
[1938] Sampson 1987, 84–85, 184; Kaczanowska et al. 2006, 463; Sampson 2006, 232.
[1939] Hood 1981/1982, 103.
[1940] Sampson 1987, 46–48; Kaczanowska et al. 2006; Sampson 2006, 248.
[1941] Sperling 1976, 323.
[1942] Sampson 1987, 91; Sampson 2006, 231.
[1943] Felsch 1988, 223–236.
[1944] Horejs et al. 2015, 315.
[1945] Shimelmitz 2011, 516–518; Gatsov – Nedelcheva 2014, 416.
[1946] Gatsov – Nedelcheva 2014, 416.
[1947] Für Informationen zu den spätchalkolithischen Lithikfunden vom Çukuriçi Höyük sei P. Nedelcheva gedankt.
[1948] Düring 2014, 7.
[1949] Düring 2011b, 806; Düring 2014, 8–9, 18.
[1950] Takaoğlu 2005.

mangels naturwissenschaftlicher Analysen des Marmors eine Zuweisung der Becher zur angenommenen Produktionsstätte Kulaksızlar offen bleiben, jedoch belegen die Funde prinzipiell eine Nachfrage nach solchen Fertigprodukten jenseits von Westanatolien.[1951] Im Kontrast hierzu steht die restriktive Verbreitung der Kiliya-Figurinen auf dem Gebiet Westanatoliens (Abb. 99).[1952] Neben einem Austauschnetzwerk, das sich auf Westanatolien beschränkt, scheint die Verbreitung dieses Figurinentyps ebenso einen religiösen Interaktionsraum, der sich auf die Westtürkei beschränkt, widerzuspiegeln.[1953] Die Verbreitung von Marmorartefakten scheint, wie von Düring erwähnt, eine ältere Tradition zu besitzen, die bis ins 6. Jt. v. Chr. zurückreicht.[1954] Dies deuten Marmorarmringe an, welche sich hauptsächlich in der ersten Hälfte des 6. Jts. v. Chr. finden.[1955] Schoop merkt eine vordergründige Verteilung der Funde im Steppengebiet und im nördlichen Bergland Anatoliens an und erwähnt, dass aufgrund des Fehlens von Rohstoffquellen im Süden bereits zu dieser Zeit exklusive Kommunikationsstrukturen zwischen den beiden Gebieten bestanden haben müssen.[1956] In Westanatolien und in der Ostägäis finden sich nur spärliche Hinweise auf Marmorarmringe, die, laut Schoop, nicht zweifelsfrei in das 5. Jt. v. Chr. datiert werden können, wie dies die Fragmente aus der Agio Gala-Höhle (Obere Höhle) auf Chios belegen.[1957] Interessant sind in diesem Zusammenhang die Funde einer Vielzahl von Marmorarmringfragmenten aus Ulucak Höyük III.[1958] Die angegebene Datierungsspanne für Ulucak Höyük III bewegt sich um die Mitte des 6. Jts. v. Chr. und wird somit als frühchalkolithisch eingestuft.[1959] Wie bereits diskutiert (s. o. III.4.1.2.6.), ist eine derartige chronologische Einordung problematisch, da die Funde, vor allem die Keramik, bereits deutlich das mittelchalkolithische Formenspektrum aufzeigen und sich mit Funden des späten 6. und der ersten Hälfte des 5. Jts. v. Chr. vergleichen lassen. Folgt man einer jüngeren Datierung, so könnten die neuen Funde von Marmorarmringfragmenten für eine Präsenz im älteren Abschnitt der mittelchalkolithischen Zeit sprechen. Bezugnehmend auf Dürings Annahme von Austauschnetzwerken, über die sich aufwendig hergestellte Fertigprodukte aus Stein verbreitet haben, scheinen die Wurzeln im 6. Jt. v. Chr. zu liegen. Die Nachfrage nach solchen Produkten lässt sich somit bereits früher nachweisen. Dass hierdurch Interaktionsräume gegeben waren, aus denen Kommunikations- und Austauschnetzwerke entstanden sind, die zu einer Vernetzung im Laufe des 6., besonders aber im 5. und 4. Jt. v. Chr. geführt haben, scheint dem Autor wahrscheinlich. Das maritime Gebiet hat wohl eine Verbreitung von Objekten, aber auch technologischem Wissen (vgl. Mattenabdrücke, s. o. V.2.2.; zylindrische Webgewichte, s. o. IV.5.3.) begünstigt und somit als Vermittler zwischen verschiedenen Gebieten fungiert. Es ist daher anzunehmen, dass Kommunikations- und Austauschsysteme eine entscheidende Rolle für die soziokulturellen Entwicklungen insbesondere im 5. und 4. Jt. v. Chr. gespielt haben.

Dass jedoch weitere Faktoren, wie beispielsweise strukturelle Veränderungen innerhalb der Siedlungen, nötig waren, um die Voraussetzung für eine solche Entwicklung zu ermöglichen, die letztlich zur Entstehung von komplexen Gesellschaften in der Frühbronzezeit geführt haben, ist nicht von der Hand zu weisen.

[1951] Düring 2014, 14–16.
[1952] Düring 2014, 15; Schwall – Horejs 2017, 59, Abb. 3.6.
[1953] Schwall – Horejs 2017, 66–70.
[1954] Düring 2014, 15.
[1955] Ünlüsoy 2002, 560; Schoop 2005, 346.
[1956] Schoop 2005, 346.
[1957] Hood 1981/1982, 67, Abb. 44.329–330, 332–333; vgl. Schoop 2005, 345–346. – Auch S. Ünlüsoy sieht ab der Mitte des 6. Jts. v. Chr. keine konkreten Hinweise für Funde mittelchalkolithischer Zeitstellung.
[1958] Caymaz 2013, 110, Abb. 21.12–15; Çevik – Vuruşkan 2014, 587, 596, Abb. 7.
[1959] Çevik – Vuruşkan 2014, 586; Erdoğu – Çevik 2015, 37.

VI.2. Permanente Siedlungen als Überlebensstrategie?

Die Entstehung und Etablierung von permanenten, ganzjährig bewohnten Siedlungen stellt eine wichtige Grundlage für die Entwicklungen im 5. und 4. Jt. v. Chr. dar. Im Folgenden sollen für Westanatolien und die Ostägäis verschiedene Belege angeführt werden, die auf das Vorhandensein von permanenten Siedlungen schließen lassen.

Düring ging in seiner 2011 erschienenen Arbeit „The Prehistory of Asia Minor. From Complex Hunter-Gatherers to Early Urban Societies" aufgrund des Fehlens von öffentlichen Gebäuden, möglichen Befestigungsstrukturen der Siedlung und der instabilen Architektur vorwiegend von kurzlebigen Ansiedlungen in Westanatolien aus.[1960] Hieraus folgerte er, dass die kurzlebigen Ansiedlungen wahrscheinlich mit dem „mobile way of life" von Hirtennomaden in Verbindung gebracht werden können und es deshalb schwierig sei, Siedlungen dieser Zeitstellung in Westanatolien zu finden.[1961] Dieses Bild hat sich jedoch aufgrund der neueren Forschungergebnisse in den letzten Jahren geändert.

Die Auswertung der Architektur im Arbeitsgebiet (vgl. IV.2.) hat gezeigt, dass unterschiedliche Typen und Bauweisen nebeneinander bestehen. Insbesondere anhand der Konstruktion von Wohn- und Nutzbauten mit Steinsockeln wird eine solide Bauweise bereits im 5. und 4. Jt. v. Chr. belegt, die letztlich in den späteren frühbronzezeitlichen Siedlungen und Zentren gängig wird. Insbesondere im Fall der Siedlungphase VII des Çukuriçi Höyük spricht die Anlage eines monumentalen Grabens (Breite: 6 m; Tiefe: 2,5 m) für eine permanente Siedlungstätigkeit. Der Aufwand für die Errichtung dieses Bauwerkes kann wohl als Resultat einer kollektiven Arbeit der Siedlungsbewohner gesehen werden und scheint im Kontext einer saisonalen Ansiedlung unwahrscheinlich.

Neben der soliden Bauweise der Wohnarchitektur sind Konstruktionen oder Installationen, die als Bauten für die intentionelle Lagerung[1962] von Nahrungsmitteln angesehen werden, auffällig.[1963] So finden sich beispielsweise in Beycesultan SC 3[1964] und Kumtepe IB[1965] Anbauten an Wohnhäusern, die als Speicher interpretiert werden. Derartige Konstruktionen befinden sich auch in der Siedlung Kuruçay Höyük 6.[1966] Generell sind eine Vielzahl von Strukturen, die vermutlich im Zusammenhang mit Lagerungstätigkeiten stehen, aus dem Arbeitsgebiet bekannt und können bis in die mittelchalkolithische Zeit zurückdatiert werden (Çine-Tepecik Höyüğü IV,[1967] Gülpınar,[1968] Liman Tepe VIIb,[1969] Suluin-Höhle,[1970] Uğurlu-

[1960] Düring 2011a, 254; vgl. ebenso Düring 2011b, 799–801, 808.
[1961] Düring 2011a, 254.
[1962] „Intentionelle Vorratshaltung" ist im Sinne des Vorhandenseins „[…] eines strukturierten Lebensmittelmanagements mit geplanter Vorratshaltung als Basis für eine dauerhafte Siedlungstätigkeit" zu verstehen (siehe unten; vgl. Maran 1998, 303; Groot – Lentjes 2013; Horejs 2014a, 34).
[1963] Vgl. hierzu ebenfalls Horejs – Schwall 2015, 463–465.
[1964] Ab Beycesultan SC1 finden sich immer wieder rechteckige Konstruktionen aus Lehmziegeln innerhalb der Bauten (Lloyd – Mellaart 1962, 19–26). Interessant ist ein rechteckiger Anbau aus Beycesultan SC 3, der laut den Ausgräbern „[…] a considerable quantity of carbonized wheat […]" enthielt (Lloyd – Mellaart 1962, 24, Abb. 6, Taf. 4b) und als Vorratsbau angesehen werden kann.
[1965] Kumtepe IB4 (Korfmann et al. 1995, 249, 252, Abb. 17). – Ein weiterer Vorratsbereich wird auch aus Kumtepe IB3 erwähnt (Bertram – Karul 2014, 1070, Abb. 10).
[1966] Duru 1996, Taf. 32, 34; Duru 2008, 123–127, Abb. 231–232.
[1967] Im Inneren von zwei runden Strukturen wurden Reibsteine und Gefäße gefunden, weshalb Günel hier eine Interpretation als Vorratsspeicher in Betracht zieht, vgl. Günel 2007, 234, 242, Abb. 3; Günel 2014b, 87–88, Abb. 6–7.
[1968] In Gülpınar werden schmale, lange Strukturen als Vorratsbauten angesprochen (Özgünel – Kaplan 2009, 427, Plan 1; 429, Abb. 3; Takaoğlu – Özdemir 2013, 18–19). Innerhalb einer Struktur wurden acht Reibsteine deponiert.
[1969] Kouka erwähnt runde Silos aus der älteren Siedlung LMT VIIb (Kouka 2009, 143).
[1970] Taşkıran nimmt an, dass es sich bei den Räumen A–C um Vorratsräume handeln könnte (Taşkıran 2011).

Zeytinlik III–II,[1971] Ulucak Höyük IIIa[1972]). Freistehende Rundbauten (Bakla Tepe V,[1973] Çukuriçi Höyük V, Küllüoba 6?,[1974] Myrina 2,[1975] Poliochni nero;[1976] vgl. IV.2.3.) finden sich neben anderen Konstruktionen im 4. Jt. v. Chr. (Küllüoba 6–3,[1977] Liman Tepe VIIa,[1978] Milet I[1979]) ebenfalls in Westanatolien und der Ostägäis. Der Bau von Speicherbauten entlang eines Weges (Bakla Tepe) oder im Umfeld von Dörrplattformen (Çukuriçi Höyük) belegt eine Überschussproduktion von Nahrungsmitteln, die gespeichert wurden, und unterstreicht somit das Vorhandensein eines strukturierten Lebensmittelmanagements mit geplanter Vorratshaltung als Basis für eine dauerhafte Siedlungstätigkeit. Vorläufige botanische Analysen lassen die Verarbeitung von Früchten, vor allem Feigen und Trauben, in den Siedlungen ÇuHö V erkennen. Dies deckt sich mit den Auswertungen des Materials der Grabungen aus den Schnitten N1–3.[1980] Ob es sich im Bereich der Nordschnitte und des Areals M1 in den Phasen Çukuriçi Höyük VII–V möglicherweise generell um ein Areal handelt, das für die (gemeinschaftliche) Lagerung und Aufbereitung von Nahrungsmitteln bestimmt war, muss offen bleiben. Jedenfalls legen die Befunde aus dem 4. Jt. v. Chr. eine gewisse räumliche Organisation innerhalb der Siedlungen des Çukuriçi Höyük nahe.

Hinweise auf generelle Subsistenzstrategien der spätchalkolithischen Siedlungen im Küstengebiet Westanatoliens liefern archäobotanische und -zoologische Untersuchungen. Botanische Untersuchungen an den spätchalkolithischen Fundplätzen Bakla Tepe V und Liman Tepe VII,[1981] Çukuriçi Höyük VII–Vb[1982] und Kumtepe IB[1983] haben ergeben, dass neben Getreide Hülsenfrüchte, Obst, Nüsse und Wildpflanzen als Nahrungsmittel herangezogen wurden. Gerste, Einkorn und Emmer können sowohl für Kumtepe IA als auch für Kumtepe IB nachgewiesen werden. Interessanterweise ist eine Veränderung, die S. Riehl mit einer Spezialisierung des Getreideanbaus verbindet, von Kumtepe IB1–2 (vorwiegend Gerste) zu IB3 (vorwiegend Emmer und Einkorn)

[1971] Aus der Phase III sind runde, in den Boden eingetiefte Silos bekannt, vgl. Erdoğu 2011b, 48; Erdoğu 2012, 367; Erdoğu 2013, 5, 21, Abb. 23; Erdoğu – Yücel 2013, 188; Erdoğu 2014a, 162, 174, Abb. 16. Erdoğu nimmt hier eine räumliche Organisation innerhalb der Siedlung an, da sich die Silos nur im westlichen Bereich finden. – Aus der Phase II wird der südwestliche Bereich innerhalb des Gebäudes 1 als Lagerbereich interpretiert (Erdoğu 2014a, 164).

[1972] Für Ulucak werden fünf Silos erwähnt, die wohl aus einem einreihigen Steinsockel mit einer Piséwand gebaut wurden (Erdoğu – Çevik 2015, 37).

[1973] Erkanal – Özkan 1999b, 133; Kouka 2002, 36, 39; Erkanal 2008a, 168, 177, Abb. 16; Erkanal – Şahoğlu 2012a, 92–93; Şahoğlu – Tuncel 2014, 68–71, Abb. 6; Tuncel im Druck. – Weiterhin geht Kouka, aufgrund von späteren Befunden aus Thermi I–III und Emporio III, auch davon aus, dass es sich bei den Bauten mit apsidialem Ende aus Bakla Tepe um normale Wohnbauten handelt (Kouka 2002, 40, Anm. 225). Die Apsis kann nach ihr verschiedene Funktionen, unter anderem zur Lagerung, gehabt haben.

[1974] Efe – Ay-Efe 2001, 45–46, 66, Abb. 5; Efe 2002a, 316–317, 324, Abb. 1. – Efe rekonstruiert anhand der kurvolinearen Struktur sogar einen Rundbau und geht von den Resten eines Silos aus (Efe – Ay-Efe 2001, 45; Efe 2002a, 316–317).

[1975] Der Rundbau aus Myrina III wird als „silo“ angesprochen (Dova 1997b, 287, Abb. 2γ; 290–291, Abb. 3); vgl. Kouka 2002, 36; Kouka 2014b, 47. Neben dem runden findet sich weiterhin ein rechteckiger Vorratsbau (Kouka 2014b, 47).

[1976] Bernabò-Brea 1964, 45–57, 73–103; Kouka 2002, 34–41, Plan 2; Kouka 2014b, 45–46, Abb. 2A. – Bei den Rundbauten kann von Vorratsbauten ausgegangen werden (Kouka 2014b, 47). Ein Mörser aus dem direkten Umfeld eines teilweise erfassten Rundbaus mit gepflastertem Boden (unter dem Megaron 605, erste „capanna“, Kouka 2002, 43), spricht zudem für Nahrungsaufbereitung im Umfeld der Bauten.

[1977] Aus Küllüoba sind rechteckige Konstruktionen und Vorratsgruben bekannt, vgl. Efe 1999, 166, 176, Abb. 2; Efe – Ay 2000, 3, 7, 79, Abb. 26d; Efe – Ay-Efe 2001, 45–47; Efe 2003a, 462, 465, Abb. 1.

[1978] Aus der Siedlung LMT VIIa erwähnt Kouka rechteckige Vorratsbauten mit Pisé-Wänden (Kouka 2009, 143).

[1979] Die runde Vorratsgrube mit einem Mauerabschnitt, der zusammen mit dem Felsgestein eine runde Struktur ergibt, wird ebenfalls als Vorratsinstallation interpretiert, vgl. Niemeier 2000, 125–126, Abb. 2; Niemeier 2007, 6, Taf. 1.1; Kouka 2014b, 53.

[1980] Thanheiser – Wiesinger 2011, 53, Abb. 13.

[1981] Oybak – Doğan 2008.

[1982] Thanheiser – Wiesinger 2011, 51, Tab. 1. – Die archäobotanischen Studien beschränken sich derzeit hauptsächlich auf die Grabungen der Nordschnitte. Für Informationen zu den derzeit laufenden Auswertungen der hier bearbeiteten Ausgrabungen sei U. Thanheiser gedankt.

[1983] Riehl 1999a, 374, 396–397; Riehl 1999b, 39–40; Riehl – Marinova 2008, 303–305; Riehl et al. 2014a, 739–747.

zu erkennen.[1984] In Bakla Tepe V findet sich ebenfalls hauptsächlich Einkorn und Emmer und in deutlich geringerer Anzahl Gerste.[1985] Genau das umgekehrte Bild zeigt die Auswertung der Schichten aus Liman Tepe VII.[1986] Die vorläufigen Untersuchungen der botanischen Reste vom Çukuriçi Höyük VII–VI belegen Spelzgerste.[1987] Weitere Auswertungen sind jedoch hier noch abzuwarten. Aus allen Siedlungen sind Weintrauben belegt.[1988] Feigen sind nur vom Kumtepe und Çukuriçi Höyük bekannt.[1989] Interessanterweise stammen Reste von Olivenkernen lediglich vom Çukuriçi Höyük und fanden sich in geringen Mengen in der Siedlungenphase ÇuHö VII[1990] und der Subphase ÇuHö Vb.[1991] In der Troas sind Olivenkerne bislang erstmals in Schichten von Troia IIa belegt.[1992] Somit scheinen derzeit die frühesten Olivenkerne im Fundspektrum aus dem zentralwestanatolischen Küstengebiet zu stammen. Gemeinsamkeiten, aber auch regionale Unterschiede zeichnen sich somit für die Verwendung der Nutzpflanzen ab.

Die verfügbaren archäozoologischen Untersuchungen der spätchalkolithischen Siedlung vom Bakla Tepe[1993] und Çukuriçi Höyük[1994] zeigen, nicht zuletzt aufgrund ihrer geographischen Lage, eine deutliche Affinität zur Nutzung der maritimen Ressourcen.[1995] Insbesondere die Untersuchungen von A. Galik am Çukuriçi Höyük haben gezeigt, dass, im Gegensatz zu den früheren Epochen in den spätchalkolithischen Siedlungen, der Fang von Fischen und das Sammeln von Schalentieren gegenüber der Viehzucht dominieren.[1996] Diese maritime Nutzung steht im Kontrast zu Siedlungen, die im Inland liegen. Dies verdeutlichen die archäozoologischen Untersuchungen, die ebenfalls von Galik in der spätchalkolithischen Siedlung von Barcın Höyük durchgeführt wurden.[1997] Hier dominiert die Viehzucht, wohingegen nur ein geringer Anteil an Fischen und Muscheln, jedoch aus Süßwasserkontexten, im Fundspektrum anzumerken ist.[1998] Anhand der archäozoologischen Studien ist klar ersichtlich, dass neben Landwirtschaft der Zugriff auf natürliche Ressourcen stark abhängig vom Standort der Siedlung war.

Dass Kommunikations- und Austauschsysteme bei der Etablierung von permanenten Siedlungen und letztlich der Herausbildung von protourbanen Strukturen einen hohen Stellenwert einnehmen, verdeutlichen die Forschungen des „Fragile Crescent Project“ zum 4. und 3. Jt. v. Chr. im nördlichen Bereich des Fruchtbaren Halbmondes in der Türkei, Syrien und dem Irak.[1999] Der Fokus dieses Projektes lag auf der Urbanisierung dieser Region unter Einbeziehung archäologischer und geographischer Analysen. Basierend auf den landschaftlichen Gegebenheiten und den klimatischen Verhältnissen wurde das Gebiet in Gunstzonen für die landwirtschaftliche Nutzung

[1984] Riehl 1999a, 397; Riehl 1999b, 39; Riehl – Marinova 2008, 305, Abb. 4; Riehl et al. 2014a, 744–745; Riehl et al. 2014b, 374, Abb. 3.
[1985] Oybak – Doğan 2008, 400, 402, Tab. 1.
[1986] Oybak – Doğan 2008, 400, 403, Tab. 2.
[1987] Thanheiser – Wiesinger 2011, 51, Tab. 1.
[1988] Riehl 1999a, 397; Riehl 1999b, 39; Oybak – Doğan 2008, 402, Tab. 1; Riehl – Marinova 2008, 305, Abb. 4; Thanheiser – Wiesinger 2011, 52; Riehl et al. 2014a, 744.
[1989] Riehl 1999a, 39; Riehl 1999b, 39; Riehl – Marinova 2008, 305, Abb. 4; Thanheiser – Wiesinger 2011, 52; Riehl et al. 2014a, 744.
[1990] Thanheiser – Wiesinger 2011, 53.
[1991] Freundliche Mitteilung U. Thanheiser (August 2015).
[1992] Riehl – Marinova 2008, 305; Riehl et al. 2014a, 745.
[1993] Reese 2006, 626–627, 630.
[1994] Galik 2011; Galik 2014, 386–388, Abb. 1A. – Für diese Studien wurden nur die Funde der Grabungen aus dem Bereich der Nordschnitte N1–4 herangezogen.
[1995] H.-P. Uerpmann erwähnt für Kumtepe allgemein, dass neben Viehzucht auch Jagd, Fischfang und Schalentiere eine Rolle spielten (Uerpmann 2003, 253–254). Für Kumtepe IA wird insbesondere der Zugriff auf die maritimen Ressourcen erwähnt (Riehl et al. 2014a, 744). Ob dies auch noch für Kumtepe IB anzunehmen ist, lässt sich nicht ersehen (Uerpmann 2003; Riehl et al. 2014).
[1996] Galik 2014, 387, Abb. 1A; 391.
[1997] Gerritsen et al. 2010, 209–210; Galik 2014.
[1998] Gerritsen et al. 2010, 209–210; Galik 2014, 387, Abb. 1B; 391.
[1999] Wilkinson et al. 2013b; Wilkinson et al. 2014.

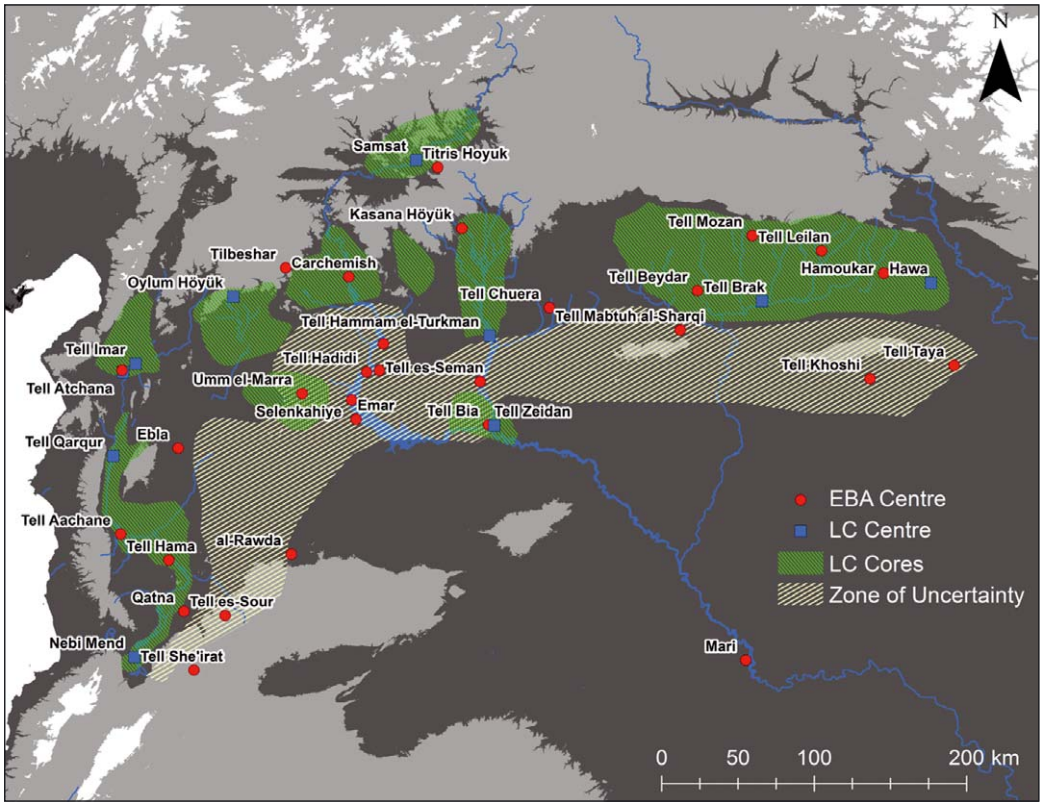


Abb. 114: Bedeutende spätchalkolithische und frühbronzezeitliche Fundorte im nördlichen Fruchtbaren Halbmond. (Wilkinson et al. 2014, 77, Abb. 17)

eingeteilt. Berücksichtigt wurden in diesem Zusammenhang die Niederschlagsraten, wodurch sich ein bogenförmiger Korridor im Fruchtbaren Halbmond ergibt, in dem der geringe Niederschlag einen deutlichen Risikofaktor für die landwirtschaftliche Nutzung darstellt.[2000] Dieser Raum wird in der Studie als „zone of uncertainty" definiert (Abb. 114).[2001] Wie die archäologischen Untersuchungen anhand bereits bestehender Daten und neu durchgeführter Surveys in diesem Gebiet zeigen,[2002] finden sich spätchalkolithische Siedlungen vorwiegend im nördlichen Bereich der „zone of uncertainty" und hauptsächlich innerhalb der postulierten landwirtschaftlichen Gunstzonen (Abb. 114).[2003] In der Frühbronzezeit lässt sich dieses Bild noch erweitern. Neben Siedlungen im Bereich der eben erwähnten Gunstzonen lassen sich nun auch Siedlungen innerhalb der „zone of uncertainty" nachweisen (Abb. 114).[2004]

Als Erklärung für eine Ausbreitung der Siedlungstätigkeit auch in diese Risikozone hinein wird von T. J. Wilkinson und Kollegen ein „Model of Agriculture Cores and Pastoralism" angeführt.[2005] Demnach können die Anfänge der Ausbreitung der Siedlungen in die „zone of uncertainty" um 3000 v. Chr. gefasst werden.[2006] Dies wird mit einem Bedürfnis zur Erschließung

[2000] Wilkinson – Hritz 2013, 10, Abb. 2.1; 15, Abb. 2.5; Wilkinson et al. 2014, 54, Abb. 3.
[2001] Wilkinson et al. 2014, 55–57.
[2002] Zu den Surveygebieten siehe Wilkinson et al. 2013b, 35, Abb. 3.1; Wilkinson et al. 2014, 61, Abb. 4.
[2003] Wilkinson et al. 2013b, 38; Wilkinson et al. 2014, 75–80.
[2004] Wilkinson et al. 2014, 80–82.
[2005] Wilkinson et al. 2014, 82–84.
[2006] Wilkinson et al. 2014, 82.

von Weideland, eventuell aufgrund der gesteigerten Nachfrage nach Wolle bzw. Textilprodukten, verknüpft.[2007] Unter diesem Blickwinkel könnten die Siedlungen innerhalb des risikobehafteten Sektors als Knotenpunkte eines strukturierten Netzwerkes innerhalb eines mobilen pastoralistischen Systems in der „zone of uncertainty" zu verstehen sein und als fixe Anlaufstellen gedient haben.[2008] Eine Versorgung der Siedlungen würde dementsprechend keinesfalls nur auf die eigene risikoreiche Subsistenzwirtschaft und der Schafzucht basieren, sondern würde durch den Austausch mit anderen frühbronzezeitlichen Siedlungen der Gunstzonen gesichert.[2009] Somit deutet die Präsenz von Siedlungen in den suboptimalen Steppenregionen[2010] auf die enorme Bedeutung von Kommunikations- und Austauschsystemen hin, wodurch eine Standortsicherung, bedingt durch eine notfalls externe Versorgung, erreicht werden konnte.[2011]

Wie die Fallstudie im Gebiet des Fruchtbaren Halbmonds gezeigt hat, ist gerade die Konnektivität ein wichtiger Bestandteil von Überlebensstrategien in Gebieten mit suboptimalen landwirtschaftlichen Bedingungen. Auch in Westanatolien und der Ostägäis scheint sich eine ebenfalls hohe Bedeutung der Kommunikations- und Austauschsysteme beim Blick auf die Verteilung der Siedlungen abzuzeichnen. Lagen im Mittelchalkolithikum die Siedlungen großteils im küstennahen Gebiet und entlang der Flussläufe, die ins Hinterland führen, so finden sich im Spätchalkolithikum Siedlungen in Regionen, die weiter im Hinterland liegen und keine unmittelbaren fluvialen Anbindungen über die großen Flussläufe Westanatoliens besitzen (Abb. 115–116). Die vermehrte Anzahl der Siedlungen im Hinterland setzt sich auch in der Frühbronzezeit 1 fort und kann wohl neben effizienten Subsitenzstrategien auch aufgrund einer Versorgung, bedingt durch die Einbindung in Kommunikations- und Austauschsysteme, erklärt werden.[2012] Dass dies wohl zur Beständigkeit der Siedlungen führte, lässt sich anhand mehrerer Fundorte im Arbeitsgebiet nachweisen, die im 4. Jt. v. Chr. beginnen und eine bruchlose Besiedlung bis ins 3. Jt. v. Chr. andeuten (Abb. 115).[2013] Auch hier scheint es kein Zufall zu sein, dass sich diese hauptsächlich in der Ostägäis und im Küstengebiet Westanatoliens finden.

Der Erfolg einer solchen auf Vernetzung basierenden Strategie zeigt sich auch unter Berücksichtigung der in den letzten Jahren oftmals diskutierten *Rapid Climate Changes* (RCC). Für den hier betrachteten Zeitraum ist die Entwicklung zwischen 6000–5200 BP in Südosteuropa interessant, welche vermutlich zu trockeneren und kühleren Bedingungen führte.[2014] Auffallenderweise korreliert der Zeitraum des RCC mit dem Abbruch der mehrphasigen Siedlungen in Südosteuropa gegen Ende des 5. Jts. v. Chr. und einer Wiederbesiedlung im späten 4. Jt. v. Chr.[2015] Auch im Arbeitsgebiet lässt sich ein Abbruch der mittelchalkolithischen Siedlungen im 5. Jt. v. Chr. verfolgen. Es ist hierbei jedoch nicht von einem vollständigen Abbruch der Siedlungstätigkeit auszugehen, wie dies die Befundlage in Türkisch-Thrakien (s. o. III.4.3.) suggeriert. Die jüngsten Forschungen in Ostmakedonien, Griechisch-Thrakien sowie Thasos (s. o. III.4.4.) und im thrakischen Teil Bulgariens haben gezeigt, dass eher von einer Veränderung der Siedlungstätigkeit auszugehen ist

[2007] Wilkinson et al. 2014, 57, 82. – Als Beispiel wird hier die hohe Anzahl an Schafen aus Ebla angeführt (Wilkinson et al. 2014, 84).

[2008] Wilkinson et al. 2014, 57, 84.

[2009] Wilkinson et al. 2014, 84, 96.

[2010] Vgl. Wilkinson et al. 2014, 95, Abb. 22.

[2011] Wilkinson et al. 2014, 96.

[2012] Eine Zunahme der Siedlungsaktivität ab dem ausgehenden Spätchalkolithikum kann auch in der Troas verfolgt werden (vgl. Blum et al. 2014, 810–811).

[2013] Ausgegrabene Fundorte im Arbeitsgebiet, für die ein bruchloser Übergang vom Spätchalkolithikum zur Frühbronzezeit 1 anzunehmen ist: Archontiki? (Psara), Bakla Tepe, Çine-Tepecik Höyüğü, Çukuriçi Höyük, Dermatas (Lemnos), Emporio (Chios), Gavurtepe Höyük, Hanay Tepe?, Heraion (Samos), Karaağaçtepe, Karain-Höhle, Küllüoba, Kumtepe, Liman Tepe, Milet, Myrina (Lemnos), Poliochni (Lemnos), Yarımhöyük?, Yassıtepe Höyüğü, Yeşilova Höyüğü. – Vgl. ebenso Blum et al. 2014, 808–809, Abb. 34.

[2014] Weninger et al. 2009, 8, 34–44, 49; Riehl et al. 2014a, 739, 757; Riehl et al. 2014b, 371, Abb. 2; Clarke et al. 2016, 9.

[2015] Vgl. hierzu die Radiokarbondaten des Projektes „Balkans 4000: A la recherche du millénaire perdu" (Tsirtsoni 2014, 283–291; Maniatis et al. 2016, 50–65, Tab. 1).

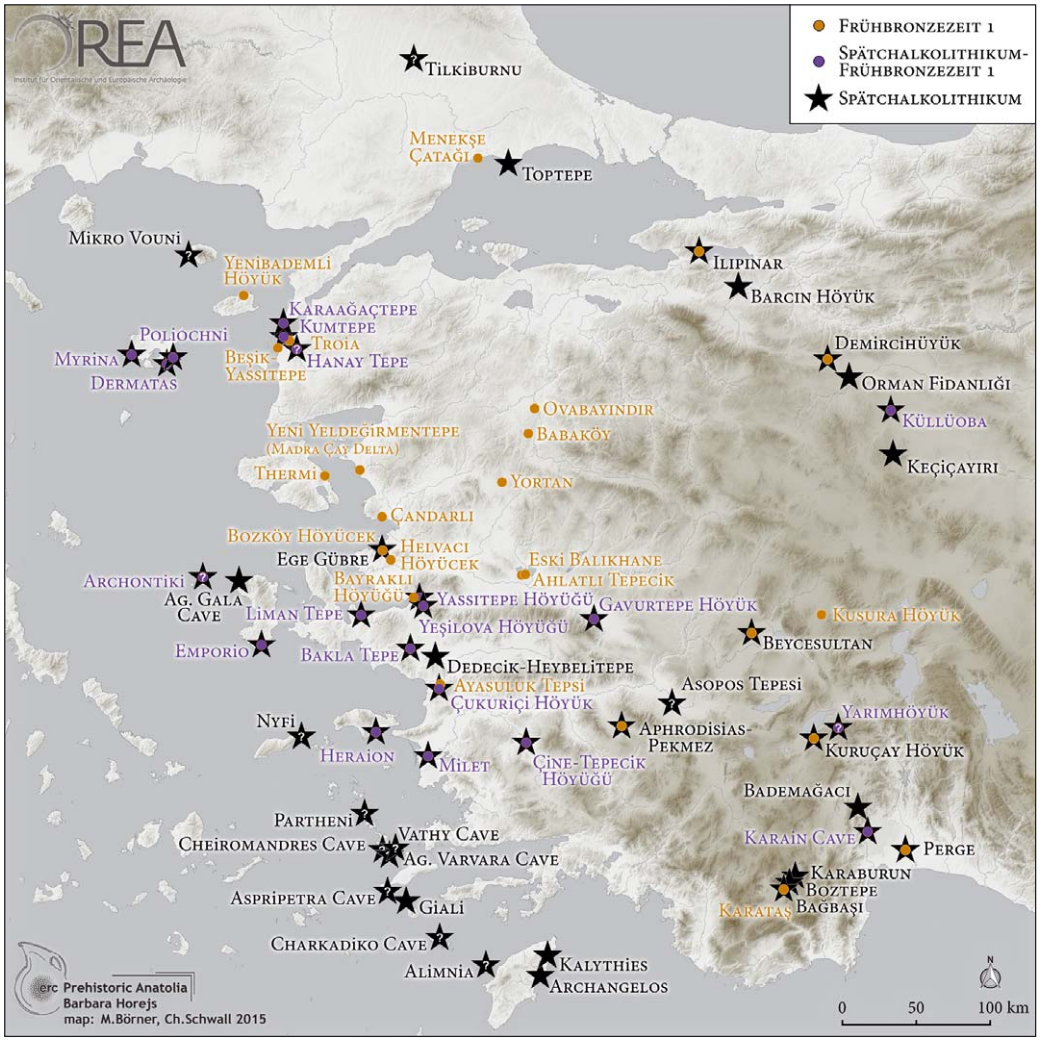


Abb. 115: Verbreitung der spätchalkolithischen und frühbronzezeitlichen Fundorte im Arbeitsgebiet. (Karte: M. Börner, Ch. Schwall/ERC Prehistoric Anatolia)

(vgl. Abb. 15–16).[2016] So finden sich mehrere Belege für Siedlungsaktivitäten im ausgehenden 5. Jt. v. Chr. sowie im frühen und mittleren 4. Jt. v. Chr. auch in Westanatolien und der Ostägäis (vgl. Abb. 5–13), weshalb verallgemeinernde Interpretationen problematisch sind. Hier bedarf es detaillierter Untersuchungen des jeweiligen Fundortes und seiner geographischen Lage zur Ursachenanalyse, zumal eine längerfristige Bindung an einem Ort bzw. die Aufgabe dieser Kontinuität sicherlich auch auf soziokulturelle Beweggründe zurückzuführen ist. Eine deutliche Zunahme der Siedlungstätigkeit ist dann wieder im späten 4. Jt. v. Chr. zu verzeichnen. Um 3000 v. Chr. finden sich wiederum Hinweise auf eine Klimaveränderung hin zu trockeneren Gegebenheiten,[2017] jedoch sind diesmal keine Siedlungsabbrüche zu verzeichnen. Im Gegenteil, die Mehrheit der Siedlungen scheint bruchlos bis in die Frühbronzezeit 1 weiterzulaufen (Abb. 115). Es ist

[2016] Vgl. hierzu: Tsirtsoni 2014, 283–291; Tsirtsoni 2016c.
[2017] Clarke et al. 2016, 9–11, Abb. 4–5.

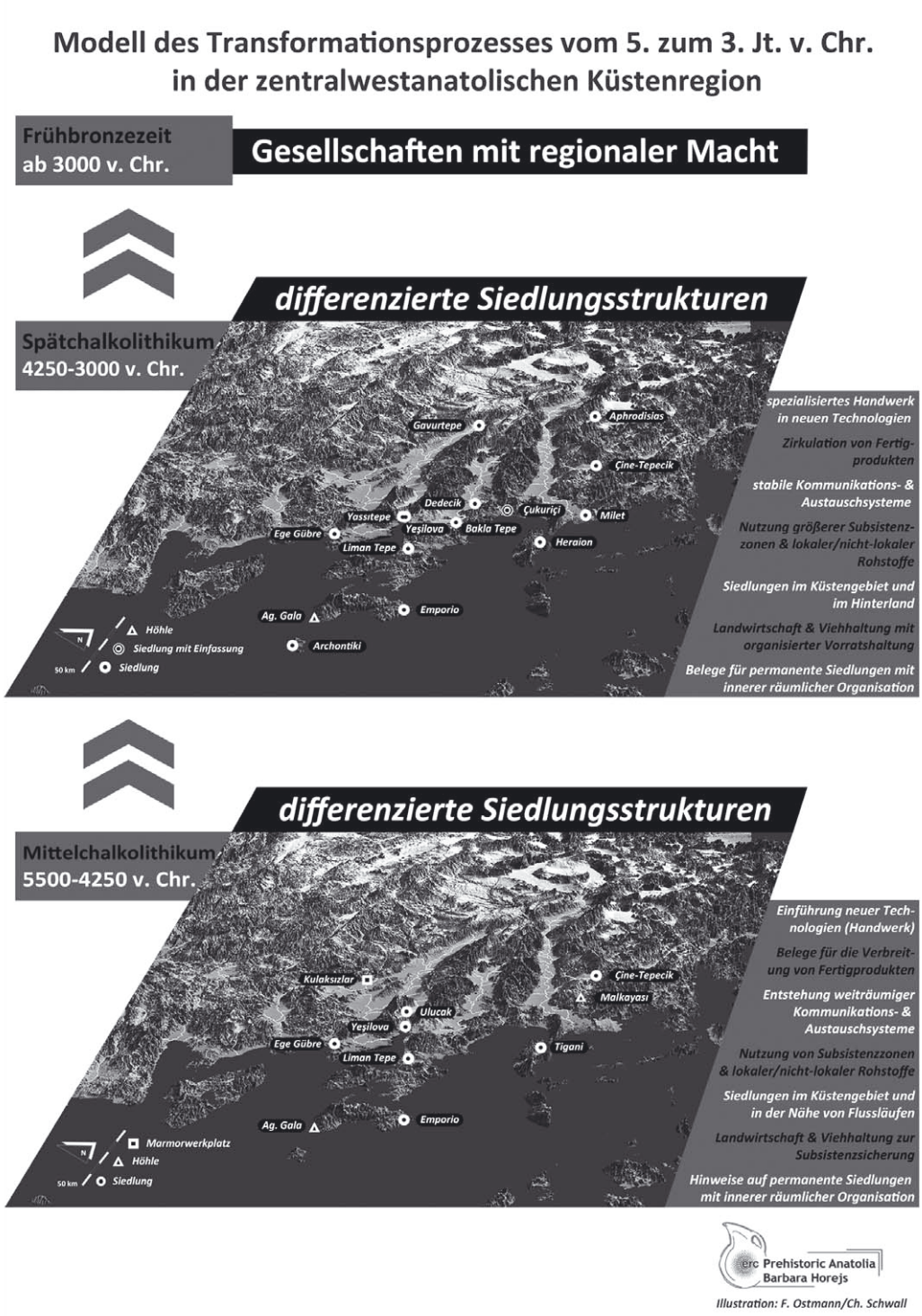


Abb. 116: Modell des Transformationsprozesses in der zentralwestanatolischen Küstenregion (5. bis 3. Jt. v. Chr.). (nach Horejs 2014a, 33, Abb. 12)

möglicherweise davon auszugehen, dass die Bevölkerung sich nun besser auf externe Veränderungen, wie klimatische Ereignisse, einstellen konnte.[2018] Die Intensivierung und die Einbettung in Kommunikations- und Austauschsysteme scheint für ein solches Unterfangen unerlässlich gewesen zu sein und letztlich werden diese Systeme sogar die Basis für die Herausbildung von protourbanen Gesellschaften im 3. Jt. v. Chr. gelegt haben.[2019]

VI.3. Spezialisiertes Handwerk

Die Verbreitung von spezialisierten Handwerkstätigkeiten[2020] scheint vermutlich mit der Herausbildung und Etablierung von Kommunikations- und Austauschsystemen, bereits in mittelchalkolithischer Zeit, einherzugehen. Resultierend aus der stärkeren Vernetzung haben diese wohl neben der Zirkulation von Gütern auch als Träger von Wissen im 5. und 4. Jt. v. Chr. gedient. Für frühe Beispiele spezialisierten Handwerks finden sich im Arbeitsgebiet Hinweise aus dem Sektor der Metallurgie, des Textilhandwerks und der Steinbearbeitung anhand von Marmorartefakten (s. o. VI.1.).

Generell kann die alte Frage, *wann* und *wo* sich die Metallurgie entwickelt hat, bis heute nicht abschließend beantwortet werden. Neben Hinweisen auf das intentionelle Schmelzen von Kupfer aus dem Nahen und Mittleren Osten im 5. Jt. v. Chr. stammen die frühesten Belege derzeit aus Südosteuropa (Belovode, Ostserbien) und datieren in das ausgehende 6./frühe 5. Jt. v. Chr.[2021] Der Fund einer Ahle aus einem Grab in Tel Tsaf in Israel wird ebenfalls als Hinweis für frühe Metallurgie im späten 6. und frühen 5. Jt. v. Chr. gedeutet.[2022] Da von Tel Tsaf jedoch keinerlei Funde dieses Zeithorizontes bekannt sind, die auf eine pyrometallurgische Verarbeitung von Kupfer hinweisen, kann das Objekt lediglich als Indiz gewertet werden.

Die frühesten Hinweise auf Metallverarbeitung finden sich im späten 5. Jt. v. Chr. in Westanatolien anhand eines Tiegels, einer Kupfernadel und -ahle aus Orman Fidanlığı VII.[2023] Prinzipiell kann ab dieser Zeit eine Zunahme der Metallartefakte registriert werden.[2024] Sowohl in der Ägäis als auch in Westanatolien finden sich Anzeichen für eine Intensivierung des Metallhandwerks im 4. Jt. v. Chr., wie die jüngst vorgelegten Zusammenstellungen von Alram-Stern und Mehofer belegen.[2025]

Eine solche Entwicklung lässt sich auch an einem anderen Handwerkszweig, dem Textilhandwerk, nachweisen. Wie Schoop ebenfalls jüngst zusammenfassend darlegen konnte, stammen aus Westanatolien vereinzelt Hinweise auf Textilien, die an das Ende des 7. Jts. v. Chr. zurückdatiert werden können (Ulucak Höyük Vb).[2026] Mehrere, dennoch spärliche Belege finden sich in West- und Zentralanatolien für die frühe Verwendung von Spinnwirteln und Webgewichten, welche eine Herstellung von Textilien bereits in spätneolithischer und frühchalkolithischer Zeit andeuten.[2027] Die Anzahl der Spinnwirtel überwiegt in diesem Zusammenhang deutlich gegenüber den Webgewichten. Im Mittelchalkolithikum zeichnet sich etwa das gleiche Bild ab, jedoch nimmt die Anzahl der Webgewichte zu.[2028] Eine deutliche Veränderung wird hingegen im Spätchalkolithikum

[2018] Clarke et al. 2016, 9.
[2019] Horejs 2014a, 25–31, 34–35.
[2020] Unter „spezialisierte Handwerkstätigkeiten“ werden hier Handwerkszweige zusammengefasst, die ein bestimmtes technologisches und auch technisches Wissen erfordern, wie beispielsweise die Metallurgie und die Textilproduktion (siehe unten; vgl. Maran 1998, 302–303; Kerner 2010, 180–182; Horejs 2014a, 25).
[2021] Radivojević et al. 2010; Radivojević 2015; vgl. Pernicka 2014, 450.
[2022] Garfinkel et al. 2014.
[2023] Ay-Efe 2001, 139; Efe 2002b, 50–51; vgl. Mehofer 2014a, 468; Mehofer 2014b, 18.
[2024] Yalçın 2000b.
[2025] Alram-Stern 2014, 316–319, Abb. 8; Mehofer 2014a, 468–471, Abb. 4; Mehofer 2014b, 18–20, Abb. 2.
[2026] Çilingiroğlu 2009, 15–17, Abb. 7; Çilingiroğlu et al. 2012a, 173, Abb. 32; vgl. Schoop 2014, 426.
[2027] Schoop 2014, 430–431, Abb. 1.
[2028] Schoop 2014, 431–432, Abb. 2.

ersichtlich.[2029] Spinnwirtel und Webgewichte finden sich an nahezu jedem Fundort. Daher geht Schoop von einem deutlichen Aufschwung der Textilproduktion im 4. Jt. v. Chr. aus und schlägt anhand archäozoologischer Untersuchungen ein auf Wolle basierendes Textilhandwerk im Spätchalkolithikum vor.[2030] Interessant ist in diesem Zusammenhang die unterschiedliche Form der Webgewichte. Neben tropfenförmigen Gewichten finden sich zylindrische Webgewichte ausschließlich in der küstennahen Region des Arbeitsgebietes. Diese Gewichtsform ist hingegen im balkanischen Gebiet gut belegt und zudem auch von anderen Fundplätzen des ägäischen Raums im 4. Jt. v. Chr. bekannt (s. o. IV.5.4.). Der ansonsten fremde Charakter dieser Webgewichtsform in Westanatolien lässt darauf schließen, dass sich die Verwendung zylindrischer Webgewichte und somit das technische Wissen von Norden her im ägäischen Raum verbreitet hat.

Sowohl im Bereich der Metallurgie als auch im Textilhandwerk lässt sich eine deutliche Intensivierung dieser spezialisierten Handwerkszweige im 4. Jt. v. Chr. nachweisen. Die Anfänge dieser dynamischen Entwicklung scheinen in beiden Fällen bereits im späten 5. Jt. v. Chr. fassbar zu sein. Diese maßgeblichen Veränderungen im Bereich des spezialisierten Handwerks und die weiträumige Ausbreitung im Spätchalkolithikum kann wohl als Resultat einer Intensivierung der Kommunikations- und Austauschsysteme gesehen werden, die auch technisches Wissen transportiert haben. Auch anhand der Handwerkszweige scheint sich trotz des Siedlungsabbruchs im ausgehenden Mittelchalkolithikum eine Kontinuität, Weiterentwicklung und Intensivierung im 4. Jt. v. Chr. anzudeuten. Daher ist von einer grundsätzlichen Besiedlung des Arbeitsgebietes, jedoch einer veränderten Siedungstätigkeit an anderen Plätzen, auszugehen.

Zusammenfassend lassen sich im 5. und insbesondere im 4. Jt. v. Chr. tiefgreifende technologische und ökonomische Veränderungen ausmachen, mit denen wohl auch soziokulturelle Entwicklungen der Gesellschaft einhergingen, die wir daraus indirekt erschließen können. In Westanatolien als auch in der Ostägäis zeigen sowohl die solide Bauweise der Architektur als auch die intentionelle (evtl. gemeinschaftliche) Vorratshaltung, dass permanente Siedlungen, neben ersten Hinweisen in mittelchalkolithischer Zeit, bereits im Spätchalkolithikum existiert haben. Es ist anzunehmen, dass der Erfolg der Beständigkeit dieser Siedlungen auf einer stärkeren Vernetzung basierte, wodurch sich Interaktionsräume geformt haben. Diese bilden letztlich die Grundlage für eine gesicherte Versorgung der Siedlungen und eine Erschließung neuer Siedlungsräume, auch in abgelegeneren Regionen. Gerade die Absicherung der Versorgung mit einer gezielten Überschussproduktion für Vorratszwecke oder Austausch kann als Voraussetzung für die Erschließung neuer Bereiche, wie beispielsweise das spezialisierte Handwerk, angesehen werden. Im Verbund mit einer Intensivierung der Kommunikations- und Austauschnetzwerke sind daher auch die Verbreitung von technologischem Wissen und so die Etablierung spezialisierter Handwerkszweige, wie der Metallurgie und des Textilhandwerks, zu sehen. Es ist davon auszugehen, dass diese Veränderungen auch Auswirkungen auf die soziokulturelle Entwicklung und Gliederung der Gesellschaft hatten und letztlich den Anstoß für eine beginnende Entwicklung hin zu unterschiedlichen sozialen Bereichen und Aufgaben innerhalb der Gesellschaft lieferten.[2031] Somit scheint ein dynamischer Transformationsprozess im 5. und insbesondere im 4. Jt. v. Chr. fassbar (Abb. 116).[2032] In dieser Zeit fanden soziokulturelle Entwicklungen statt, die letztendlich die Basis für die Herausbildung von protourbanen Gesellschaften im 3. Jt. v. Chr. in der Ägäis und Anatolien gelegt haben.

[2029] Schoop 2014, 432–434, Abb. 3.
[2030] Schoop 2014, 434, 439.
[2031] Horejs 2014a, 34–35.
[2032] Horejs 2014a, 34–35; Tsirtsoni 2014, 291–295.

VII. Zusammenfassung – Summary – Özet

Zusammenfassung

Das 5. und 4. Jt. v. Chr. gehören bis dato zu einer der unzureichend erforschten Perioden in Westanatolien und der Ostägäis. Daher stand dieser Zeitraum, ausgehend von den Forschungen am Çukuriçi Höyük, einer Tellsiedlung im mittleren Küstengebiet Westanatoliens, im Fokus dieser Studie.

Nach der anatolischen Teminologie wird der hier betrachtete Zeitabschnitt als „Chalkolithikum“ bezeichnet, wobei das mittlere Chalkolithikum nach U.-D. Schoop den Zeitraum von 5500 bis 4250 v. Chr. und das Spätchalkolithikum die Zeit ab 4250 bis 3000 v. Chr. abdeckt.[2033] In der Ostägäis wird dieser Zeitraum, der griechischen Terminologie folgend, als „Spätneolithikum“ benannt, wobei der jüngere Abschnitt des Spätneolithikums oder auch Endneolithikums aufgrund der aufkommenden Kupfermetallurgie auch hier als „Chalkolithikum“ bezeichnet wird. Diese unterschiedlichen chronologischen und terminologischen Systeme, die teilweise in derselben Region nebeneinander bestehen, erschweren eine Auseinandersetzung mit diesen Perioden.

Wie die bislang publizierten, zuammenfassenden Arbeiten zum Chalkolithikum in Westanatolien von U.-D. Schoop und B. Düring gezeigt haben,[2034] fehlen insbesondere in der Küstenregion Westanatoliens Fundorte mittel- und spätchalkolithischer Zeitstellung. Darüber hinaus werden, mit Ausnahme der Fundorte auf Chios und Samos, die ostägäischen Inseln sowie die Dodekanes in diesen vorangegangenen Arbeiten nicht betrachtet. Jedoch ist ein Blick auf die benachbarten Regionen essenziell, um regionale und überregionale Kontakte und somit auch kulturelle Einflüsse fassen zu können. Aus diesem Grund werden die angrenzenden Gebiete in dieser Studie, ausgehend von der zentralwestanatolischen Küstenregion, mit einbezogen. Das Arbeitsgebiet erstreckt sich von Türkisch-Thrakien, der Marmara-Region und der Troas im Norden bis in das pisidische Gebiet Südwestanatoliens. Die östliche Grenze bildet die von U.-D. Schoop als Posuk-Sakarya-Gebiet bezeichnete Region,[2035] da J. Seeher für das Spätchalkolithikum östlich von Demircihüyük eine Grenze zwischen den Kulturgebieten Westanatoliens und Zentralanatoliens annimmt.[2036] Westlich werden die ostägäischen Inseln und die Dodekanes miteinbezogen.

Zwar liegt der Fokus dieser Arbeit, ausgehend vom Çukuriçi Höyük auf dem 4. Jt. v. Chr., dennoch werden auch die älteren mittelchalkolithischen Fundorte des 5. Jts. v. Chr. berücksichtigt, da sich bereits zu dieser Zeit Entwicklungen abzeichnen, die ausschlaggebend für das anschließende Spätchalkolithikum sind, wie die Ergebnisse zeigen. Eine ausführliche Recherche nach Fundorten des Mittel- und Spätchalkolithikums im Arbeitsgebiet ergab, dass derzeit insgesamt 69 mittel- und/oder spätchalkolithische Fundorte bekannt sind, die durch klein- oder großflächige Ausgrabungen untersucht wurden. Vor allem die intensiven Forschungen in den letzten zehn Jahren erbrachten neue Fundorte in der zentralen Küstenregion Westanatoliens. Die Lücke im Norden Westanatoliens spiegelt wohl nur den Forschungsstand wider und muss weiterhin ein Desiderat bleiben. Surveys in diesem Gebiet zeigen jedoch, dass Fundorte dieser Zeitstellung vorhanden sind.

[2033] Schoop 2005.
[2034] Schoop 2005; Düring 2011a.
[2035] Schoop 2005, 18, Abb. 1.1.
[2036] Seeher 1987a, 63.

Zum Verständnis der Entwicklungen in Westanatolien und den angrenzenden Gebieten in der mittel- und spätchalkolithischen Zeit ist eine vorherige Synchronisation der Chronologie und eine damit verbundene Auseinandersetzung und Diskussion der chronologischen Stellung der 69 Fundorte unerlässlich. Neben der grundlegenden Arbeit von U.-D. Schoop[2037] wurden hierfür die absolut- und relativchronologischen Daten der neuen Ausgrabungen seit der Publikation Schoops im Arbeitsgebiet berücksichtigt. Die Chronologiediskussion der Fundorte hat gezeigt, dass die Qualität der Datengrundlage je nach Region stark variiert. Weiterhin lassen sich im Fundspektrum chronologische Marker des 5. und 4. Jts. v. Chr. erkennen. Interessant ist ein Siedlungsabbruch im Laufe des 5. Jts. v. Chr. mit der Tendenz eines früheren Abbruchs im nördlichen Bereich des Arbeitsgebietes. Dennoch finden sich mehrere Hinweise auf Siedlungsaktivitäten im späten 5. und im 4. Jt. v. Chr. im Arbeitsgebiet, weshalb keinesfalls von einer generellen Siedlungsunterbrechung gesprochen werden kann. Eine deutliche Zunahme der Siedlungsaktivität kann ab der zweiten Hälfte des 4. Jts. v. Chr. registriert werden.

Die Ausgrabungen zwischen 2011–2014 auf dem Çukuriçi Höyük bilden den Ausgangspunkt für eine erstmalige intensive Betrachtung der Entwicklungen im 4. Jt. v. Chr. in dem Küstengebiet Westanatoliens und seinen angrenzenden Gebieten. Für diese Zeitstellung relevant sind die Siedlungsphasen ÇuHö VII–V, die sich in fünf Siedlungen aufteilen (ÇuHö VII, VIb–a, Vb–a). Radiokarbondaten datieren diese Siedlungsphasen in das späte 4. und frühe 3. Jt. v. Chr. Die jüngste Siedlung ÇuHö Va repräsentiert den Beginn der Frühbronzezeit 1 nach Meinung des Autors.

Die älteste Siedlung der Phase ÇuHö VII wurde von einem gewaltigen Graben umgeben, für den ein fortifikatorischer Charakter vermutet werden kann. Auf den Bedarf einer solchen Einfassung weisen flächige Brandhorizonte mit in situ Funden und Schleudergeschossfragmenten hin, die jeweils das Ende der Siedlungen ÇuHö VII–V markieren. Die Befunde aller hier betrachteten Siedlungsphasen belegen anhand der soliden Bauweise der Architektur als auch der intentionellen Vorratshaltung, dass es sich um ganzjährige Siedlungen gehandelt hat. In der Phase ÇuHö V wurden in diesem Zusammenhang Bereiche innerhalb der Siedlungen erfasst, die auf Areale für die gemeinschaftliche Lagerung von Nahrungsmitteln hindeuten. Interessant ist der Vergleich der vier Architekturtypen, die aus den Phasen des Çukuriçi Höyük belegt sind: Rechteckbauten, elliptische oder apsidiale Bauten, Rundbauten und Steinreihenstrukturen. Abgesehen von den Rechteckbauten, die eine weiträumige Verbreitung erkennen lassen, zeigen die anderen Typen einen deutlichen Bezug zum ägäischen Gebiet.

Die Auswertung der Keramik hat gezeigt, dass sich ein Spektrum unterschiedlicher Keramikformen (Schalen, Schüsseln, Töpfe, Dreifußkochtöpfe, Halsgefäße, engmundige Gefäße, Krüge, Kannen, *cheese pots*, große Vorratsgefäße) im Inventar findet, das keine grundlegende Veränderung von der Phase ÇuHö VII zu V zeigt. Dass dennoch eine Entwicklung fassbar ist, kann beispielsweise an Schalenrändern mit gerolltem Rand (S4Q; *rolled rim*) und mit schräg nach innen abgestrichener und verdickter Lippe (S4K; Typ Blegen A6) belegt werden. Neben diesen Randformen finden sich Ränder im Material der Phasen ÇuHö VII bis V, die eine Kombination beider Charakteristika (S4Q-S4K) erkennen lassen. Es scheint sich daher um einen dynamischen Transformationsprozess der Randformen in den letzten Jahrhunderten des 4. Jts. v. Chr. zu handeln, aus dem letztendlich die für die Frühbronzezeit 1 typischen Schalenformen des Typs Blegen A6 entstanden sind. Eine derartige Entwicklung wird zudem durch das Auftauchen klarer frühbronzezeitlicher Formen mitsamt Dekorationen im Material der Subphase ÇuHö Va belegt. Das Ergebnis der typologischen Untersuchung kann auch durch die Auswertung der Warengruppen belegt werden. Interessanterweise ähnelt das Resultat der Aufteilung der Warengattung und ihrer Funktion stark den Ergebnissen der von M. Röcklinger durchgeführten Analysen für die frühbronzezeitliche Siedlungsphase ÇuHö III.[2038] Daher kann von einer grundsätzlichen Kontinuität in der Keramikproduktion der spätchalkolithischen bis frühbronzezeitlichen Phasen des Çukuriçi

[2037] Schoop 2005.
[2038] Röcklinger 2015.

Höyük ausgegangen werden. Ein Vergleich der Keramikformen mit den Inventaren kontemporärer Siedlungen im Arbeitsgebiet zeigt darüber hinaus, dass die Siedlungen auch anhand der Keramik eine deutliche Affinität zum ägäischen Gebiet, aber auch zum westanatolischen Hinterland erkennen lassen. Hierdurch können sowohl regionale als auch überregionale Kontakte angenommen werden.

Die Kleinfunde, Metallfunde und Steingeräte der Phasen ÇuHö VII bis V zeigen ein zu erwartendes, gängiges Spektrum an Siedlungsfunden des alltäglichen Lebens. Neben Werkzeugen, Waffen und Schmuckgegenständen sind Figurinen im Inventar vertreten. Inventare dieser Art sind von mehreren spätchalkolithischen Fundorten im Arbeitsgebiet bekannt. Besonders zu erwähnen sind in diesem Zusammenhang Belege für spezialisierte Handwerkstätigkeiten in Form von Textilproduktion und Metallurgie innerhalb der Siedlung. Vor allem die Metallurgie wird in den jüngeren frühbronzezeitlichen Siedlungsphasen ÇuHö IV–III eine zentrale Rolle spielen.

Unter Berücksichtigung der ausgewerteten Keramik vom Çukuriçi Höyük und der eingangs durchgeführten Chronologiediskussion zeichnen sich im Arbeitsgebiet deutlich regionale und überregionale Verbreitungsmuster anhand signifikanter Keramikfunde sowohl in mittel- als auch in spätchalkolithischer Zeit ab. In diesem Punkt ist insbesondere die Lage der Fundstellen des 5. und 4. Jts. v. Chr. im Küstengebiet Westanatoliens oder entlang der Flussläufe, die das Hinterland erschließen, auffällig. Dies lässt auf intensive Kontakte vor allem im Bereich der maritimen und fluvialen Wasserwege schließen. Für das 5. und 4. Jt. v. Chr. kann daher von weiträumigen Kommunikations- und Austauschsystemen ausgegangen werden. Neben unterschiedlichen Keramikformen und -dekorationen lässt auch ein technologischer Aspekt überregionale, transägäische Kontakte bereits im 5. Jt. v. Chr. erkennen, beispielsweise anhand der Verwendung von Matten bei der Keramikherstellung. Doch nicht nur die Keramikfunde, auch die Verbreitung von Rohstoffen, wie beispielsweise Obsidian, und auch aufwendig hergestellte Fertigprodukte belegen eindrücklich den hohen Grad an Konnektivität der maritimen Region, wodurch diese schon früh als Verteiler von Objekten, aber auch als Multiplikator von Wissen fungiert hat.

Dass die Herausbildung und Etablierung von Kommunikations- und Austauschsystemen einen erheblichen Anteil an der Entstehung von ganzjährig bewohnten Siedlungen hatte, ist anzunehmen. Gerade im 4. Jt. v. Chr. finden sich neben einer soliden Bauweise der Architektur Belege für intentionelle Vorratshaltung und somit gezielter Überschussproduktion innerhalb der Siedlungen. Auffallend ist auch, dass sich die spätchalkolithischen Siedlungen nun nicht mehr auf das Küstengebiet und entlang der ins Hinterland führenden Wasserwege beschränken. So finden sich gerade im zentralwestanatolischen Küstengebiet auch Siedlungen im Hinterland. Es scheint, dass neben eigenen Subsistenzstrategien durch die Kontakte eine Versorgung der Siedlungen in abgelegenen Regionen, so auch im Hinterland von Westanatolien, gesichert wurde. Unter Berücksichtigung einer Versorgungssicherung der Siedlungen scheint es auch kein Zufall zu sein, dass sich insbesondere im 4. Jt. v. Chr. eine Intensivierung von spezialisierten Handwerkstätigkeiten, wie Metallurgie und Textilproduktion, registrieren lässt.

Das 5. und insbesondere das 4. Jt. v. Chr. kann somit als eine Zeit des Wandels und der Transformation in der Ägäis und in Anatolien verstanden werden, in der zahlreiche Innovationen ihre Ursprünge besitzen. Die von K. Bittel erwähnte „gemeinsame Wurzel“,[2039] auf die alles zurückgeht, lässt sich wohl in der Intensivierung regionaler und überregionaler Kontakte erkennen, wodurch Kommunikations- und Austauschsysteme beginnen konnten, sich zu entwickeln. Die daraus resultierende Existenzsicherung und die Zunahme von spezialisiertem Handwerk zeigt, dass sich neben materiellen Gütern auch technologisches Wissen durch diese Kontakte verbreitet haben dürfte, und dies deutet zugleich soziokulturelle Veränderungen an. Diese dynamischen Entwicklungen bildeten letztlich die Basis für die Entstehung der protourbanen Zentren im 3. Jt. v. Chr.

[2039] Bittel 1942.

Summary

The 5th and 4th millennia BC belong to the hitherto insufficiently investigated periods in western Anatolia and the east Aegean. Therefore, the focus of this study lies especially on this timeframe, based on the research at Çukuriçi Höyük, a tell settlement on the central western Anatolian coastline.

According to the Anatolian terminology, the considered period of time is termed 'Chalcolithic'. Referring to U.-D. Schoop,[2033] this period can be subdivided into the Middle Chalcolithic, which covers the timeframe from 5500 to 4250 BC, and the Late Chalcolithic covering the time between 4250 and 3000 BC. In the east Aegean this period is termed 'Late Neolithic' following the Greek terminology, whereby the latest part of the Late Neolithic or Final Neolithic is also named 'Chalcolithic' based on the emerging copper metallurgy. Especially these different chronological and terminological systems, which are partially used next to each other in one single area, essentially make the discussion of these periods more complicated.

The so far published synoptic studies dealing with the Chalcolithic in western Anatolia by U.-D. Schoop and B. Düring have shown that especially the western Anatolian coastal region lacks sites dating to the Middle and Late Chalcolithic.[2034] Moreover, with exception of sites on Chios and Samos, the east Aegean islands and the Dodecanese has not been considered in the already published works. However, a glance on the neighbouring regions is essential for understanding regional and supra-regional contacts and thus cultural influences. Therefore, the neighbouring regions were included in this study, originating at the central western Anatolian coastal region. The area of interest extends from Turkish-Thrace, the Marmara region and the Troad in the north to the Pisidian region in southwestern Anatolia. The eastern border is formed by the Posuk-Sakarya region, designated by U.-D. Schoop[2035] and based on J. Seehers assumption that for the Late Chalcolithic a border between a western and eastern cultural area can be drawn east of Demircihüyük.[2036] To the west, the east Aegean islands and the Dodecanese are included.

Although the focus of this work is set on the 4th millennium BC, originating at the excavations at Çukuriçi Höyük, the older Middle Chalcolithic sites of the 5th millennium BC are considered as well, because already during this time developments are detectable which are decisive for the following Late Chalcolithic. Detailed investigations on sites dating to the Middle and Late Chalcolithic in the area of interest revealed that 69 Middle and/or Late Chalcolithic sites have been investigated by small- or large-scale excavations so far. Especially the intensive research activities of the past ten years brought about new sites at the central western Anatolian coastal region. The gap in the north of western Anatolia only reflects the state of research and must still be regarded as a desideratum. However, surveys conducted in this region show that sites dating to these periods exist.

For understanding the developments in western Anatolia and the neighbouring regions during the Middle and Late Chalcolithic, a prior synchronisation of the chronology and subsequently a discussion and assessment of the chronological position of the 69 sites is mandatory. Besides the fundamental study of U.-D. Schoop,[2037] the absolute and relative chronological data of the new excavations within the area of interest were taken into account for this purpose. The chronological discussion of the sites has shown that the quality of data differs significantly among the regions. Furthermore, distinct chronological markers of the 5th and 4th millennia BC were identified within the find assemblage. Interestingly, settlement abandonments in the course of the 5th millennium BC have been recognised with a tendency of an earlier abandonment in the northern part of

[2033] Schoop 2005.
[2034] Schoop 2005; Düring 2011a.
[2035] Schoop 2005, 18, Fig. 1.1.
[2036] Seeher 1987a, 63.
[2037] Schoop 2005.

the area of interest. However, several indications of settlement activities in the area of interest during the late 5th and the 4th millennia BC have been detected. For that reason, a general hiatus of settlements in this region has to be negated. A significant increase of settlement activity can be recognised from the second half of the 4th millennium BC onwards.

The excavations conducted between 2011 and 2014 at Çukuriçi Höyük form the starting point for an initial intensive treatment of the developments during the 4th millennium BC in the coastal region of western Anatolia and the adjacent regions. Significant for this period are the phases ÇuHö VII–V, which can be subdivided into five settlements (ÇuHö VII, VIb–a, Vb–a). Radiocarbon dates confirm a dating of these settlement phases into the late 4th and early 3rd millennium BC. According to the author, the latest settlement ÇuHö Va already represents the beginning of the Early Bronze Age 1.

The oldest settlement of phase ÇuHö VII was surrounded by a huge ditch, for which a fortifying character can be assumed. The need of such an enclosure is indicated by extended burnt layers with in situ finds and sling missiles, which mark the destruction of each settlement of ÇuHö VII–V. Due to the solid architectural structures as well as the intentional food storage, the remains of all considered settlement phases in this study underline the permanent character of the settlements. In this context, areas within the settlement of phase ÇuHö V were detected which indicate a communal storage of food. Comparisons regarding the four architectural types which have been attested in the phases of Late Chalcolithic Çukuriçi Höyük are interesting: rectangular buildings, elliptic or apsidal buildings, circular buildings and ‘stone row structures’. Apart from rectangular buildings, which show a supra-regional distribution, the other types are more common in the Aegean.

The pottery analysis has shown that different shapes (shallow bowls, deep bowls, jars, tripod cooking pots, neck vessels, narrow mouthed vessels, mugs, jugs, cheese pots and large storage vessels) are part of the find assemblage, which, however, shows no fundamental change from phase ÇuHö VII to V onwards. Nevertheless, a development is attested regarding the rims of shallow rolled rim bowls (SQ4) and bowls with a thickened and inside bevelled lip (S4K; Blegen A6 type). Besides these rim shapes, rims showing a combination of both characteristics (S4Q-S4K) can be found in the assemblage of the phases ÇuHö VII to V. Therefore, a dynamic transformation process of the rim shapes during the last centuries of the 4th millennium BC seems to take place, which finally led to the emergence of the typical Early Bronze Age 1 bowl shapes of the Blegen A6 type. Such a development is, moreover, attested by the occurrence of explicit Early Bronze Age shapes together with their decoration in the assemblage of subphase ÇuHö Va. The results of these typological studies are supported by the analysis of the fabrics. Interestingly, the results of the allocation of the different fabric types and their function resemble the results of the investigated pottery of the Early Bronze Age settlement phase ÇuHö III conducted by M. Röcklinger.[2038] Therefore, it is possible to assume a general continuity for the pottery production from the Late Chalcolithic to the Early Bronze Age phases of Çukuriçi Höyük. Moreover, comparisons of the pottery shapes with assemblages of contemporaneous settlements within the area of interest also reveal that based on the pottery the settlements show a striking affinity to the Aegean region on the one hand, but on the other hand connections to the western Anatolia hinterland are recognizable as well. Thus, both regional as well as supra-regional contacts must be assumed.

The small finds, metal finds and stone tools of the phases ÇuHö VII to V show an expected, common spectrum of a daily life settlement find assemblage. Besides tools, weapons and jewellery, figurines are included as well. Such find assemblages are well known from several Late Chalcolithic sites in the area of interest. Particularly evidence of specialised craft activities such as textile production and metallurgy within the settlement must be mentioned in this context. Especially the metallurgy will play a crucial role during the latter Early Bronze Age 1 settlement phases ÇuHö IV–III.

[2038] Röcklinger 2015.

Taking the analysed pottery from Çukuriçi Höyük and the previously performed chronological discussion into account, clear regional and supra-regional distribution patterns can be recognised based on significant pottery finds in the area of interest during the Middle as well as the Late Chalcolithic. In that respect, especially the location of the sites of the 5th and 4th millennia BC at the coastal region of western Anatolia or along the river courses, providing access to the hinterland, is remarkable. This seems to imply particularly intensive contacts in the maritime region and on the fluvial waterways. Thus, large-scale communication and exchange systems must be assumed for the 5th and 4th millennia BC. Besides different pottery shapes and decorations, technological aspects, for example the use of mats for the manufacture of pottery, also indicate supra-regional, trans-aegean contacts already during the 5th millennium BC. However, not only the pottery finds, but also the distribution of raw materials, e.g. obsidian, as well as elaborate finished goods impressively attest the high degree of connectivity in the maritime region, whereby this region had already quite early functioned as a distributor of goods and also as a multiplier of knowledge.

One may assume that the formation and establishment of communication and exchange systems had a significant proportion of the emergence of permanent settlements. Besides a solid construction technique of the architecture, evidence of intentional food storage and, thus, a calculated surplus production within the settlements are attested especially in the 4th millennium BC. It is also remarkable that the location of the Late Chalcolithic settlements is no longer restricted to the coastal region and along the waterways leading to the hinterland. Thus, settlements are detected also in the hinterland of the central western Anatolian coastal region. It seems that besides own subsistence strategies, the supply of the settlements in remote regions, including the hinterland of western Anatolia, was ensured by contacts. In consideration of a security of supply of the settlements, it seems to be no coincidence that particularly during the 4th millennium BC an intensification of specialised craft activities, such as metallurgy and textile production, can be recorded.

The 5th and especially the 4th millennium BC can therefore be understood as a time of change and transformation in the Aegean and Anatolia, in which numerous innovations have their origins. The ‘joint root’ mentioned by K. Bittel,[2039] which is responsible for all developments, is probably recognizable by the intensification of regional and supra-regional contacts, through which communication and exchange systems could emerge. Hence, the resulting livelihood and the rise of specialised crafts show that besides material goods also technological knowledge was spread through these contacts and, moreover, socio-cultural changes were indicated at the same time. Finally, these dynamic developments form the basis of the emergence of the proto urban centres of the 3rd millennium BC.

[2039] Bittel 1942.

Özet

M.Ö. 5. ve 4. bin yıllar Batı Anadolu'da ve doğu Ege'de şimdiye kadar yeterince araştırılmamıştır. Elinizdeki çalışma Batı Anadolu sahil şeridinde yer alan Çukuriçi Höyük'te yapılan araştırmaları temel alarak söz konusu zaman dilimine odaklanmaktadır.

Bu dönem, Anadolu terminolojisinde 'Kalkolitik' olarak adlandırılmaktadır ve U.-D. Schoop'a göre Orta Kalkolitik (M.Ö. 5500–4250) ve Son Kalkolitik (M.Ö. 4250–3000) olarak iki alt döneme ayrılabilir.[2033] Yunan terminolojisinde bu dönem doğu Ege'de 'Son Neolitik', dönemin sonlarıysa 'Final Neolitik' olarak adlandırılmakla birlikte gelişmekte olan bakır madenciliği dikkate alınarak 'Kalkolitik' olarak da adlandırılmıştır. Özellikle aynı bölge için birbiri yerine kullanılan farklı kronolojik ve terminolojik sistemler sözü edilen zaman dilimi üzerine yapılan tartışmaların daha karmaşık hale gelmesine neden olmaktadır.

U.-D. Schoop ve B. Düring tarafından Batı Anadolu'da Kalkolitikle ilgili şimdiye kadar yapılan çalışmalar,[2034] özellikle Batı Anadolu'nun sahil kesiminde Orta ve Son Kalkolitik'e tarihlenebilecek yerleşim olmadığını göstermektedir. Daha önce yayınlanan çalışmalarda Chios ve Samos dışındaki doğu Ege Adaları ve On İki Ada hakkında da bilgi yoktur. Bununla birlikte komşu bölgelerde olup bitenlere bakmak, bölgesel ve bölgeler arası ilişkileri ve kültürel etkileşimleri anlamak için elzemdir. Bu çalışmada komşu olarak adlandırılan bölgeler, Batı Anadolu sahil şeridinin orta kısmına göre konumlandırılmıştır. Bu bölge kuzeyde Doğu Trakya, Marmara Bölgesi ve Troas'tan, Güneybatı Anadolu'da Pisidia'ya kadar uzanmaktadır. Bölgenin doğu sınırı Porsuk-Sakarya'ya dayanır. Bu sınır, U.-D. Schoop'un[2035] tanımlamaları ve J. Seeher'in Son Kalkolitik'te doğu ve batıdaki kültür bölgeleri arasında Demircihöyük'ün[2036] doğusundan bir sınır çizilebileceğine dair görüşü temel alınarak belirlenmiştir. Batıda, doğu Ege Adaları ve On İki Ada yer alır.

Bu çalışma her ne kadar Çukuriçi Höyük kazılarında ortaya çıkartılan M.Ö. 4. bin yıla ait bulgulara odaklanmaktaysa da M.Ö. 5. bin yıla tarihlenen Orta Kalkolitik yerleşimleri de değerlendirilmektedir. Zira, Son Kalkolitik'teki varlığı kesin olarak bilinen bazı kültürel gelişimler bu dönemde izlenebilmektedir. Sözü edilen bölgelerde şimdiye kadar Orta ve/veya Son Kalkolitik Dönem'e tarihlenen 69 yerleşimde küçük ya da büyük ölçekli kazı yapılmıştır. Özellikle son on yılda gerçekleştirilen yoğun araştırmalar neticesinde Batı Anadolu kıyısının orta kesiminde yeni yerleşimler ortaya çıkmıştır. Bu dönemde Batı Anadolu'nun kuzeyindeki boşluk bölgedeki araştırma eksikliğinden kaynaklanmaktadır. Bununla birlikte, bölgede yapılan yüzey araştırmaları bu döneme tarihlenebilecek yerleşimlerin mevcudiyetine işaret etmektedir.

Orta ve Son Kalkolitik boyunca Batı Anadolu ve ona komşu bölgelerdeki gelişmeleri anlamak için öncelikle kronolojinin senkronize edilmesi, sonrasında sözü edilen 69 yerleşimin kronolojisinin tartışılması ve değerlendirilmesi zorunludur. Bu amaçla, U.-D. Schoop'un temel alınan çalışmasının[2037] yanı sıra bahsi geçen bölgelerdeki yeni kazıların mutlak ve göreli kronolojik verileri de incelenmiştir. Yerleşimlerin kronolojisi üzerine yapılan çalışma, kronolojik veri kalitesinin bölgeler arasında önemli ölçüde farklı olduğunu göstermiştir. Bununla birlikte, M.Ö. 5. ve 4. bin yıl kronolojilerinin belirleyicisi olarak buluntu toplulukları da incelenmektedir. İlginç bir şekilde, M.Ö. 5. bin yılda görülen yerleşimlerin terk edilmesi eğilimi kuzeyde daha erken bir tarihte başlamıştır. Yine de sözünü ettiğimiz bölgede M.Ö. 5. ve 4. bin yıllar boyunca çeşitli yerleşimlerin varlığı bilinmektedir. Bu nedenle bölgede genel olarak bir *hiatus* olduğundan bahsedilemeyeceği gibi M.Ö. 4. bin yılın ikinci yarısından başlayarak yerleşimlerin sayısında belirgin bir artış olduğu söylenebilir.

[2033] Schoop 2005.
[2034] Schoop 2005; Düring 2011a.
[2035] Schoop 2005, 18, Res. 1.1.
[2036] Seeher 1987a, 63.
[2037] Schoop 2005.

2011–2014 yılları arasında Çukuriçi Höyük'te yapılan kazılar, Batı Anadolu kıyısında ve ona komşu bölgelerde M.Ö. 4. binyıldaki gelişmelerin ayrıntılı bir şekilde değerlendirilebilmesi için bir başlangıç noktası oluşturmaktadır. Çukuriçi Höyük'te bu dönemi temsil eden önemli tabakalar ÇuHö VII–V olarak adlandırılmaktadır ve bu tabakalardaki yerleşimler kendi içinde beşe ayrılabilir (ÇuHö VII, VIB–a, Vb–a). Karbon analizi sonuçlarına göre bu yerleşimler M.Ö. 4. bin yılın sonu ile 3. bin yılın başına tarihlenebilir. Bu çalışmanın yazarına göre yerleşimin en geç tabakası olan ÇuHö Va, böylesi erken bir tarihte olsa bile, İlk Tunç Çağ 1 özellikleri göstermektedir.

ÇuHö VII. tabakanın en eski yerleşimi savunma amaçlı yapıldığı varsayılabilecek büyük bir hendekle çevrilidir. ÇuHö VII–V tabakalarındaki yerleşimler tahrip olmuştur; yanmış tabakalarda ortaya çıkartılan insitu buluntular ve sapan taneleri, savunma ihtiyacının diğer göstergeleridir. Bundan dolayı, kalıcı mimari yapıların yanı sıra bilinçli yapıldığı anlaşılan depolama alanları da bu çalışmada ele alınan tüm yerleşimlerin daimi karakterinin altını çizmektedir. ÇuHö V yerleşiminde yiyeceklerin ortak bir şekilde depolandığı alanlar tespit edilmiştir. Çukuriçi Höyük'ün Son Kalkolitik Çağ tabakalarında ortaya çıkartılan dört yapı tipi vardır: dikdörtgen planlı yapılar, eliptik ya da apsidal yapılar, yuvarlak planlı yapılar ve 'taş dizili yapılar'. Bölgeler arası dağılım gösteren dikdörtgen planlı yapıların dışındaki tipler Ege Bölgesi'nde daha yaygındır.

Buluntu topluluğunun bir parçası olan farklı tipteki çanak çömleklerin (sığ ve derin kâseler, çömlekler, üç ayaklı pişirme kapları, boyunlu kaplar, dar ağızlı kaplar, kulplu kaplar, testiler, *cheese pots* olarak bilinen kaplar ve büyük depolama kapları) analizi ÇuHö VII'den ÇuHö V'in başlangıcına kadarki sürede kap biçimlerinde köklü bir değişiklik olmadığına işaret etmektedir. Bununla birlikte, yuvarlak dönüşlü sığ kâselerin (SQ4; *rolled rim*) ve içe dönük kalınlaştırılmış dudaklı çanakların (S4K, Blegen A6 tip) ağız tiplerinde bir gelişim görülmektedir. ÇuHö VII ve ÇuHö V arasındaki dönemde, bu biçimlerin yanı sıra her iki ağız biçiminin (S4Q-S4K) kombinasyonu olarak kabul edilebilecek örnekler de mevcuttur. Ağız tiplerinde M.Ö. 4. bin yılın son yüzyılları boyunca gözlemlenen dinamik bir gelişim vardır. Bu biçimler, sonrasında Blegen'in A6 olarak adlandırdığı İlk Tunç Çağ I'in tipik kap biçimlerine dönüşmüştür. ÇuHö Va'nın alt evrelerinde ortaya çıkan İlk Tunç Çağ'a özgü bezeme tiplerinin varlığı da söz konusu değişimi kanıtlamaktadır. Tipolojik çalışmaların sonuçları çanak çömlek üretimiyle ilgili analizlerle desteklenmektedir. İlginç bir şekilde, bu çanak çömleğin farklı üretim biçimlerinin yerleşimdeki dağılımı ve işlevsel özellikleri, ÇuHö III. tabakada bulunan ve daha önce M. Röcklinger tarafından incelenen İlk Tunç Çağ çanak çömleğiyle benzerdir.[2038] Çukuriçi Höyük'teki çanak çömlek üretiminde Son Kalkolitik'ten İlk Tunç Çağ'a kadar genel bir devamlılık olduğunu söylemek mümkündür. Çukuriçi Höyük çanak çömlek biçim ve grupları yukarıda sözü edilen bölgelerdeki çağdaş yerleşimlerden elde edilen verilerle karşılaştırılmış ve bu kültürün bir yandan Ege Bölgesi'ndeki yerleşimlerde bulunanlarla çarpıcı bir benzerlik gösterdiği, öte yandan İç Batı Anadolu'yla bağlantılı olduğu tespit edilmiştir. Bu nedenle, sözü edilen dönem için yapılacak değerlendirmelerde bölgesel ve bölgeler arası bağlantıların göz önünde bulundurulması zorunludur.

ÇuHö VII–V tabakalarındaki küçük buluntular, metal objeler ve taş aletlerden oluşan buluntu topluluğu, beklendiği gibi, gündelik yaşamın ortak sürdürüldüğü bir yerleşim formasyonuna işaret eder. Aletlerin yanı sıra, silahlar, takılar ve heykelcikler de bu gruba dahil edilebilir. Bu durum yukarıda sözü edilen bölgelerdeki Son Kalkolitik yerleşimlerinde bulunan buluntu topluluklarından da iyi bilinmektedir. Yerleşimdeki dokumacılık ve metalurji gibi uzmanlaşmış zanaat faaliyetlerine dair bulgular da bu bağlamda değerlendirilmelidir. Özellikle metalurji, daha sonraki İlk Tunç Çağ I dönemi yerleşiminde (ÇuHö IV–III) önemli rol oynamıştır.

Orta ve Son Kalkolitik Dönem'e ilişkin bölgesel ve bölgeler arası kültürel dağılım modelleri, Çukuriçi Höyük çanak çömleği üzerine yapılan analizlere, kronoloji üzerine daha önce yapılan tartışmalara ve çanak çömlek bulgularına dayanılarak tanımlanabilir. Bu bakımdan, özellikle M.Ö. 5. ve 4. bin yıllarda Batı Anadolu'nun kıyı kesiminde ya da nehir yatakları boyunca yer alan yerleşimlerin coğrafi konumları iç bölgelerle iletişim sağlamasının bir kanıtı olarak değerlendi-

[2038] Röcklinger 2015.

rilebilir. Öyle görünüyor ki denize yakın bölgeler ve akarsu yolları önemli temas noktalarıydı. Dolayısıyla, M.Ö. 5. ve 4. bin yıllarda büyük ölçekli iletişim ve değiş-tokuş sistemlerinin kurulduğu söylenebilir. Farklı kap biçimleri ve bezemelerin yanı sıra, çanak çömlek yapımında hasır kullanımı gibi teknolojik ögelerin varlığı da bölgeler arası ve Ege'nin her iki kıyısı arasındaki iletişimin M.Ö. 5. bin yılda çoktan başlamış olduğunu göstermektedir. Yalnızca çanak çömleğe dair bulgular değil aynı zamanda ham madelerin (örneğin obsidyen) ve özenle tamamlanmış mamullerin dağılımı, deniz kıyısında yer alan bölgeler arasında yüksek düzeyde bağlantı kurulduğuna kanıt teşkil eder. Bu bölge, zaten çok daha erken dönemlerden itibaren malların diğer bölgelere dağıtıldığı ve bilgi birikiminin çoğaldığı bir yer olarak işlerlik kazanmıştır.

İletişim ve değiş tokuş sistemlerinin varlığı, kalıcı yerleşimler kurulduğunun önemli bir belirtisidir. Kalıcı bir mimari tekniğin yanı sıra bilinçli yapılan depolama alanları ve hesaplanabilen artık ürünlerin varlığı özellikle M.Ö. 4. bin yıla içkindir. Dikkat edilmesi gereken diğer bir olgu da Son Kalkolitik'te yerleşim yeri seçimlerinin yalnızca kıyı bölgeleriyle ya da iç bölgelerle bağlantısı olan akarsu boylarıyla sınırlı olmadığıdır. Zira Batı Anadolu'nun kıyı bölgesinin iç kısımlarında da yerleşimler tespit edilmiştir. Öyle görünüyor ki yerleşimlerin kendine özgü geçim stratejileri, Batı Anadolu'nun iç kısımlarını da kapsayan uzak bölgelerle bağlantıları sayesinde destekleniyordu. Yerleşimlerin daimi arzı göz önüne alındığında metalurji ve dokuma gibi uzmanlaşmış zanaat faaliyetlerinin özellikle M.Ö. 4. bin yıl boyunca yoğunlaşması tesadüf değildir.

M.Ö. 5. ve özellikle 4. bin yıllar Ege ve Anadolu'da bir çok yeniliğin ortaya çıktığı bir değişim ve dönüşüm dönemi olarak anlaşılabilir. K. Bittel'in tüm bu gelişmelerin nedeni olarak öne sürdüğü 'ortak köken' görüşü,[2039] muhtemelen iletişim ve değiş tokuş sistemlerinin ortaya çıkmasıyla gelişen bölgesel ve bölgeler arası güçlü bağlantılara tekabül etmektedir. Dolayısıyla, sözü edilen geçim biçimlerinin ve uzmanlaşmış zanaatlerin ortaya çıkışı, üretilen malların yanı sıra teknolojiye dair bilginin de birbiriyle iletişimde olan bölgeler arasında yayıldığını ve aynı zamanda sosyo-kültürel bir değişimin yaşandığını göstermektedir. Sonuç olarak, sözü edilen gelişimler M.Ö. 3. bin yılda ortaya çıkan proto-kent merkezlerinin temelini oluşturmaktadır.

Çeviren: Sidar Gündüzalp

[2039] Bittel 1942.

VIII. Literaturverzeichnis

Abbasoğlu 2004a
H. Abbasoğlu, Perge 2003, Anadolu Akdenizi Arkeoloji Haberleri 2, 2004, 45–54.

Abbasoğlu 2004b
H. Abbasoğlu, 2003 Yılı Perge Kazı ve Onarım Çalışmaları, Türk Eskiçağ Bilimleri Enstitüsü Haberler 18, 2004, 25–27.

Abbasoğlu 2009a
H. Abbasoğlu, Perge 2008, Anadolu Akdenizi Arkeoloji Haberleri 7, 2009, 61–69.

Abbasoğlu 2009b
H. Abbasoğlu, Perge Kazı ve Onarım Çalışmaları – 2008, Türk Eskiçağ Bilimleri Enstitüsü Haberler 28, 2009, 31–34.

Abbasoğlu – Martini 1996
H. Abbasoğlu – W. Martini, Perge Akropolisinde 1994 Yılında Yapılan Çalışmalar, Kazı Sonuçları Toplantısı 17, 2/1995, 1996, 121–127.

Abbasoğlu – Martini 1998
H. Abbasoğlu – W. Martini, Perge Akropolisinde 1996 Yılında Yapılan Çalışmalar, Kazı Sonuçları Toplantısı 19, 2/1997, 1998, 93–105.

Abbasoğlu – Martini 1999
H. Abbasoğlu – W. Martini, Perge Akropolisinde 1997 Yılında Yapılan Çalışmalar, Kazı Sonuçları Toplantısı 20, 2/1998, 1999, 179–194.

Abbasoğlu – Martini 2003
H. Abbasoğlu – W. Martini, Die Akropolis von Perge 1. Survey und Sondagen 1994–1997 (Mainz 2003).

Acheilara 2008
L. Acheilara, Myrina in prehistoric times, in: Erkanal et al. 2008, 1–8.

Adrymi-Sismani 2007
V. Adrymi-Sismani, Le site chalcolithique de Microthèbes au carrefour du monde Égéen et des Balkans du Nord, in: I. Galanaki – H. Tomas – Y. Galanaki – R. Laffineur (Hrsg.), Between the Aegean and Baltic Seas. Prehistory Across Borders. Proceedings of the International Conference Bronze and Early Iron Age Interconnections and Contemporary Developments between the Aegean and the Regions of the Balkan Peninsula, Central and Northern Europe, University of Zagreb, 11–14 April 2005, Aegaeum 27 (Liège 2007) 73–80.

Adrymi-Sismani 2016
V. Adrymi-Sismani, The settlement at the Mikrothives interchange and the transition from the Chalcolithic to the Early Bronze Age, in: Tsirtsoni 2016a, 395–416.

Akdeniz 2010
E. Akdeniz, Kulaksızlar Atölyesinde Kilya Tipi Figürin Üretimi, Olba 18, 2010, 65–83.

Algan et al. 2011
O. Algan – M. N. Yalçın – M. Özdoğan – Y. Yılmaz – E. Sarı – E. Kırcı-Elmas – İ. Yılmaz – Ö. Bulkan – D. Ongan – C. Gazioğlu – A. Nazike – M. A. Polat – E. Meriç, Holocene coastal change in the ancient harbor of Yenikapı-Istanbul and its impact on cultural history, Quaternary Research 76, 2011, 30–45.

Allen – Huebert 2014
M. S. Allen – J. M. Huebert, Short-lived plant materials, long-lived trees, and Polynesian ^{14}C dating. Considerations for ^{14}C sample selection and documentation, Radiocarbon 56, 1, 2014, 257–276.

Alram-Stern 1996
E. Alram-Stern, Die ägäische Frühzeit, 2. Serie, Forschungsbericht 1975–1993, 1. Band. Das Neolithikum in Griechenland mit Ausnahme von Kreta und Zypern, Veröffentlichungen der Mykenischen Kommission 16 (Wien 1996).

Alram-Stern 2001
E. Alram-Stern, Kontinuität und Diskontinuität im Chalkolithikum und der beginnenden Frühbronzezeit Südgriechenlands (mit einem Beitrag von Peter Stadler), in: P. Roman – S. Diamandi (Hrsg.), Cernavoda III – Boleráz. Ein vorgeschichtliches Phänomen zwischen dem Oberrhein und der Unteren Donau. Symposium Mangalia/Neptun (18.–24. Oktober 1999), Studia Danubia Series Symposia II (Bukarest 2001) 89–108.

Alram-Stern 2004
E. Alram-Stern, Die ägäische Frühzeit, 2. Serie, Forschungsbericht 1975–2002, 2. Band. Teil 1 und 2. Die Frühbronzezeit in Griechenland mit Ausnahme von Kreta, Veröffentlichungen der Mykenischen Kommission 21 (Wien 2004).

Alram-Stern 2007
E. Alram-Stern, Das Chalkolithikum in Südgriechenland. Versuch einer chronologischen und topographischen Gliederung, in: F. Lang – C. Reinholdt – J. Weilhartner (Hrsg.), ΣΤΕΦΑΝΟΣ ΑΡΙΣΤΕΙΟΣ. Archäologische Forschungen zwischen Nil und Istros. Festschrift für Stefan Hiller zum 65. Geburtstag (Wien 2007) 1–10.

Alram-Stern 2014
E. Alram-Stern, Times of change. Greece and the Aegean during the 4th millennium BC, in: Horejs – Mehofer 2014, 305–327.

Alram-Stern im Druck
E. Alram-Stern, The network of the Kampos Group. Crete in context, in: 11th International Cretological Congress, Rethymnon, 21–27 October 2011 (im Druck).

Alram-Stern – Dousougli-Zachos 2015
E. Alram-Stern – A. Dousougli-Zachos, Das Spätneolithikum und das Chalkolithikum, in: E. Alram-Stern – A. Dousougli-Zachos (Hrsg.), Die deutschen Ausgrabungen 1941 auf der Visviki-Magula/Velestrino. Die neolithischen Befunde und Funde, Beiträge zur ur- und frühgeschichtlichen Archäologie des Mittelmeer-Kulturraumes 36 (Bonn 2015) 125–215.

Andersson Strand – Nosch 2015
E. Andersson Strand – M.-L. Nosch (Hrsg.), Tools, Textiles and Contexts. Investigating Textile Production in the Aegean and Eastern Mediterranean Bronze Age, Ancient Textiles Series 21 (Oxford 2015).

Arsebük et al. 2010
G. Arsebük – F. C. Howell – St. L. Kuhn – W. Farrand – M. Özbaşaran – M. C. Stiner, The caves of Yarımburgaz. Geological context and history of investigations, in: F. C. Howell – G. Arsebük – St. L. Kuhn – M. Özbaşaran – M. C. Stiner (Hrsg.), Culture and Biology at a Crossroads. The Middle Pleistocene Record of Yarımburgaz Cave (Thrace, Turkey) (Istanbul 2010) 1–27.

Aslan – Polat 2012
R. Aslan – F. Polat (Hrsg.), Bozköy-Hanaytepe ve Çevresi Prehistorik Dönem Araştırmaları, Studies on the Troad 2 (Çanakkale 2012).

Aslan et al. 2011
R. Aslan – St. W. E. Blum – T. L. Kienlin – F. E. Uysal – S. Kirschner, 2009 Yılı Bozköy-Hanaytepe ve Çevresi Prehistorik Dönem Yüzey Araştırması, Araştırma Sonuçları Toplantısı 28, 2/2010, 2011, 291–302.

Aslanis 2015
I. Aslanis, Settlement patterns in the Chalcolithic and Early Bronze Age. The case of the prehistoric settlement of Yunatsite, Bulgaria, in: Hansen et al. 2015, 395–402.

Aurenche 2007
O. Aurenche, Das „Goldene Dreieck" und die Anfänge des Neolithikums im Vorderen Orient, in: Badisches Landesmuseum Karlsruhe (Hrsg.), Die ältesten Monumente der Menschheit. Vor 12.000 Jahren in Anatolien. Ausstellungskatalog Karlsruhe (Karlsruhe 2007) 50–65.

Ay-Efe 2001
D. Ş. M. Ay-Efe, The small finds of Orman Fidanlığı, in: Efe 2001b, 127–157.

Bachmayer et al. 1976
F. Bachmayer – N. Symeonides – R. Seemann – H. Zapfe, Die Ausgrabungen in der Zwergelefantenhöhle „Charkadio“ auf der Insel Tilos (Dodekanes, Griechenland) in den Jahren 1974 und 1975, Annalen des Naturhistorischen Museums in Wien 80, 1976, 113–144.

Badisches Landesmuseum Karlsruhe 2011
Badisches Landesmuseum Karlsruhe (Hrsg.), Kykladen. Lebenswelten einer frühgriechischen Kultur. Ausstellungskatalog Karlsruhe (Darmstadt 2011).

Bakalakis – Sakellariou 1981
G. Bakalakis – A. Sakellariou, Paradimi, Heidelberger Akademie der Wissenschaften, Internationale Interakademische Kommission für die Erforschung der Vorgeschichte des Balkans 2 (Mainz 1981).

Barnard et al. 2011
H. Barnard – A. N. Dooley – G. Areshian – B. Gasparyan – K. F. Faull, Chemical evidence for wine production around 4000 BCE in the Late Chalcolithic Near Eastern highlands, Journal of Archaeological Science 38, 2011, 977–984.

Barros Sivelo 1875
R. Barros Sivelo, Antigüedades de Galicia (Coruña 1875).

Bartelheim – Krauß 2012
M. Bartelheim – R. Krauß, Sense and non-sense of the term ‘Chalcolithic’, in: M. J. Allen – J. Gardiner – A. Sheridan (Hrsg.), Is there a British Chalcolithic? People, Place and Polity in the Later 3rd Millennium, Prehistoric Society Research Paper 4 (Oxford 2012) 85–97.

Baykal-Seeher – Obladen-Kauder 1996
A. Baykal-Seeher – J. Obladen-Kauder, Demircihüyük IV. Die Kleinfunde. A. Die lithischen Kleinfunde. B. Die Kleinfunde aus Ton, Knochen und Metall (Mainz 1996).

Baysal 2014
E. Baysal, A preliminary typology for beads from the Neolithic and Chalcolithic levels of Barcın Höyük, Anatolia Antiqua 22, 2014, 1–10.

Baysal – Erdoğu 2014
E. Baysal – B. Erdoğu, Frog in the pond. Gökçeada (Imbros), an Aegean stepping-stone in the Chalcolithic use of spondylus shell, Proceedings of the Prehistoric Society 80, 2014, 363–378.

Begemann et al. 1992
F. Begemann – S. Schmitt-Strecker – E. Pernicka, The metal finds from Thermi III–V. A chemical and lead-isotope study, Studia Troica 2, 1992, 219–239.

Begemann et al. 1994
F. Begemann – E. Pernicka – S. Schmitt-Strecker, Metal finds from Ilıpınar and the advent of arsenic copper, Anatolica 20, 1994, 203–219.

Belli 2000
O. Belli (Hrsg.), Türkiye Arkeolojisi ve İstanbul Üniversitesi (1932–1999) (Istanbul 2000).

Belli 2001
O. Belli (Hrsg.), Istanbul University’s Contributions to Archaeology in Turkey (1932–2000) (Istanbul 2001).

Benz et al. 2012
M. Benz – A. Coşkun – I. Hajdas – K. Deckers – S. Riehl – K. W. Alt – B. Weninger – V. Özkaya, Methodological implications of new radiocarbon dates from the early holocene site of Körtik Tepe, southeast Anatolia, in: E. Boaretto – N. R. Rebello Franco (Hrsg.), Proceedings of the 6th International Radiocarbon and Archaeology Symposium, Radiocarbon 54, 3–4, 2012, 291–304.

Benzi 2008
M. Benzi, A forgotten island. Kalymnos in the Late Neolithic period, in: Erkanal et al. 2008, 85–108.

Bergner et al. 2009
M. Bergner – B. Horejs – E. Pernicka, Zur Herkunft der Obsidianartefakte vom Çukuriçi Höyük, Studia Troica 18, 2009, 251–273.

Bernabò-Brea 1964
L. Bernabò-Brea, Poliochni. Città preistorica nell'isola di Lemnos I (Rom 1964).

Bernabò-Brea 1976
L. Bernabò-Brea, Poliochni. Città preistorica nell'isola di Lemnos II (Rom 1976).

Bertram – Karul 2014
J.-K. Bertram – N. Karul, Anmerkungen zur Stratigraphie des Kumtepe. Die Ergebnisse der Grabungen in den Jahren 1994 und 1995, in: Pernicka et al. 2014, 1058–1084.

Bieg et al. 2009
G. Bieg – St. W. E. Blum – R. Körpe – N. Sevinç – R. Aslan, Yeşiltepe, eine Siedlung der Frühbronzezeit am Oberlauf des Skamander, Studia Troica 18, 2009, 199–228.

Bingöl et al. 2012
O. Bingöl – A. Öztan – H. Taşkıran (Hrsg.), Dil ve Tarih-Coğrafya Fakültesi 75. Yıl Armağani. Arkeoloji Bölümü Tarihçesi ve Kazıları (1936–2011), Anadolu Armağan Serisi Supplement 3, 2 (Ankara 2012).

Bittel 1934
K. Bittel, Prähistorische Forschungen in Kleinasien, Istanbuler Forschungen 6 (Istanbul 1934).

Bittel 1939
K. Bittel, Archäologische Funde aus der Türkei 1934–1938, Archäologischer Anzeiger 1939, 94–207.

Bittel 1939–1941
K. Bittel, Ein Gräberfeld der Yortan-Kultur bei Babaköy, Archiv für Orientforschung 13, 1939–1941, 1–31.

Bittel 1942
K. Bittel, Kleinasiatische Studien, Istanbuler Mitteilungen Beiheft 5 (Istanbul 1942).

Bittel 1950a
K. Bittel, Zur Chronologie der anatolischen Frühkulturen, in: G. Behrens – J. Werner (Hrsg.), Reinecke Festschrift zum 75. Geburtstag von Paul Reinecke am 25. September 1947 (Mainz 1950) 13–25.

Bittel 1950b
K. Bittel, Grundzüge der Vor- und Frühgeschichte Kleinasiens, 2. Auflage (Tübingen 1950).

Bittel – Otto 1939
K. Bittel – H. Otto, Demirci-Hüyük. Eine vorgeschichtliche Siedlung an der phrygisch-bithynischen Grenze (Berlin 1939).

Blackman 1986
M. J. Blackman, The provenance of obsidian artefacts from Late Chalcolithic levels at Aphrodisias, in: Sharp Joukowsky 1986, 279–285.

Blegen et al. 1950
C. W. Blegen – J. L. Caskey – M. Rawson – J. Sperling, Troy I. General Introduction. The First and Second Settlement (Princeton 1950).

Blum 2012
St. W. E. Blum, Die ausgehende frühe und beginnende mittlere Bronzezeit in Troia. Archäologische Untersuchungen zu ausgewählten Fundkomplexen der Perioden Troia IV und Troia V, Studia Troica Monographien 4 (Darmstadt 2012).

Blum 2014
St. W. E. Blum, The Middle Chalcolithic cultural sequence of the Troad (northwest Anatolia). Chronological and interregional assessment, in: Horejs – Mehofer 2014, 125–155.

Blum et al. 2011
St. W. E. Blum – R. Alsan – F. E. Uysal – S. Kirschner – St. Kraus, Archäologische Untersuchungen zur voreisenzeitlichen Kultursequenz des Bozköy-Hanaytepe, Nordwesttürkei, Studia Troica 19, 2011, 119–177.

Blum et al. 2014
St. W. E. Blum – M. Thater – D. Thumm-Doğrayan, Die Besiedlung der Troas vom Neolithikum bis zum Beginn der mittleren Bronzezeit. Chronologische Sequenz und Siedlungsstruktur, in: Pernicka et al. 2014, 770–863.

Boulotis 1997
Χρ. Μπουλώτης, Κουκονήσι Λήμνου. Τέσσερα χρόνια ανασκαφικής έρευνας. Θέσεις και υποθέσεις, in: Doumas – La Rosa 1997, 230–272.

Boulotis 2010
Ch. Boulotis, Koukonisi (Lemnos), un site portuaire florissant du Bronze Moyen et du début du Bronze Récente dans le nord de l'Égée, Bulletin de Correspondance Hellénique Supplement 52, 2010, 891–907.

Boyadzhiev 2004
Y. Boyadzhiev, Über die frühesten symbolischen Bestattungen, in: V. Nikolov – K. Bačvarov (Hrsg.), Von Domica bis Drama. Gedenkschrift für Jan Lichardus (Sofia 2004) 73–77.

Böyükulusoy 2006
K. Böyükulusoy, Bakla Tepe Eski Tunç Çağı Boya Bezemeli Seramiği, in: Erkanal-Öktü et al. 2006, 185–190.

Britsch – Horejs 2014
Ch. Britsch – B. Horejs, The role of textile production and fishing in the EBA metallurgical centre of Çukuriçi Höyük, Ägypten und Levante 24, 2014, 229–242.

Brodie et al. 2008
N. Brodie – J. Doole – G. Gavalas – C. Renfrew (Hrsg.), Horizon / Ορίζων. A Colloquium on the Prehistory of the Cyclades (Cambridge 2008).

Broodbank 1999
C. Broodbank, Colonization and configuration in the insular Neolithic of the Aegean, in: P. Halstead (Hrsg.), Neolithic Society in Greece, Sheffield Studies in Aegean Archaeology 2 (Sheffield 1999) 15–41.

Broodbank 2000
C. Broodbank, An Island Archaeology of the Early Cyclades (Cambridge 2000).

Broodbank 2006
C. Broodbank, The origins and early development of Mediterranean maritime activity, Journal of Mediterranean Archaeology 19, 2, 2006, 199–230.

Brückner et al. 2006
H. Brückner – M. Müllenhoff – R. Gehrels – A. Herda – M. Knipping – A. Vött, From archipelago to floodplain – geographical and ecological changes in Miletus and its environs during the past six millennia (western Anatolia, Turkey), in: B. Eitel (Hrsg.), Holocene Landscape Development and Geoarchaeological Research, Zeitschrift für Geomorphologie Supplement 142 (Berlin 2006) 63–83.

Buchholz 1982
H.-G. Buchholz, Archäologische Beobachtungen im Westteil der Insel Kos, in: H.-G. Buchholz – E. Althaus (Hrsg.), Nisyros – Giali – Kos. Ein Vorbericht über archäologisch-mineralogische Forschungen auf griechischen Inseln, Archäologische Obsidian-Forschungen 1 (Mainz 1982) 41–63.

Calvert 1859
F. Calvert, The tumulus of Hanai Tepeh in the Troas, The Archaeological Journal 16, 1859, 1–6.

Calvert 1881
F. Calvert, Thymbra, Hanaï Tepeh, in: Schliemann 1881, 782–797.

Carter et al. 2016
T. Carter – D. A. Contreras – K. Campeau – K. Freund, Spherulites and aspiring elites. The identification, distribution, and consumption of Giali obsidian (Dodecanese, Greece), Journal of Mediterranean Archaeology 29, 1, 2016, 3–36.

Cartland 1918
B. M. Cartland, Balls of thread wound on pieces of pottery, The Journal of Egyptian Archaeology 5, 2, 1918, 139.

Çayır-Böyükulusoy 2014
Ü. Çayır-Böyükulusoy, Batı Anadolu Kalkolitik Çağ Seramiğinde Perdah Bezeme Tekniği, in: A. Engin – B. Helwing – B. Uysal (Hrsg.), Armizzi. Engin Özgen'e Armağan / Studies in Honor of Engin Özgen (Ankara 2014) 81–100.

Caymaz 2013
T. Caymaz, Yeni Veriler Işığında Orta Batı Anadolu Kalkolitik Çağ Kültürü, Arkeoloji Dergisi 18, 2013, 39–112.

Çevik – Vuruşkan 2014
Ö. Çevik – O. Vuruşkan, Ulucak Höyük 2012–2013 Yılı Kazı Çalışmaları, Kazı Sonuçları Toplantısı 36, 1/2014, 2014, 583–599.

Çilingiroğlu 2009
Ç. Çilingiroğlu, Of stamps, loom weights and spindle whorls. Contextual evidence on the function(s) of Neolithic stamps from Ulucak, İzmir, Turkey, Journal of Mediterranean Archaeology 22, 1, 2009, 3–27.

Çilingiroğlu 2010
Ç. Çilingiroğlu, The appearance of impressed pottery in the Neolithic Aegean and its implications for maritime networks in the Eastern Mediterranean, Türkiye Bilimler Akademisi Arkeoloji Dergisi 13, 2010, 9–22.

Çilingiroğlu 2016
Ç. Çilingiroğlu, Impressed pottery as a proxy for connectivity in the Neolithic Aegean and Eastern Mediterranean, in: Molloy 2016, 75–96.

Çilingiroğlu – Çilingiroğlu 2007
A. Çilingiroğlu – Ç. Çilingiroğlu, Ulucak, in: Özdoğan – Başgelen 2007, 361–372.

Çilingiroğlu – Dedeoğlu 2007
A. Çilingiroğlu – F. Dedeoğlu, Ulucak Höyüğü Kazıları 2005 Yılı Çalışmaları, Kazı Sonuçları Toplantısı 28, 1/2006, 2007, 137–146.

Çilingiroğlu et al. 2004
A. Çilingiroğlu – Z. Derin – E. Abay – H. Sağlamtimur – İ. Kayan, Ulucak Höyük. Excavations Conducted between 1995 and 2000, Ancient Near Eastern Studies Supplement 15 (Louvain 2004).

Çilingiroğlu et al. 2012a
A. Çilingiroğlu – Ö. Çevik – Ç. Çilingiroğlu, Ulucak Höyüğü, in: Özdöğan et al. 2012a, 158–168.

Çilingiroğlu et al. 2012b
A. Çilingiroğlu – Z. Mercangöz – G. Polat (Hrsg.), Ege Üniversitesi Arkeoloji Kazıları (Izmir 2012).

Clarke 2007
J. Clarke, On the Margins of Southwest Asia. Cyprus in the 6th to 4th Millennia B.C. (Oxford 2007).

Clarke u. a .2016
J. Clarke – N. Brooks – E. B. Banning – M. Bar-Matthews – S. Campbell – L. Clare – M. Cremaschi – S. di Lernia – N. Drake – M. Gallinaro – S. Manning – K. Nicoll – G. Philip – S. Rosen – U.-D. Schoop – M. A. Tafuri – B. Weninger – A. Zerboni, Climatic changes and social transformations in the Near East and North Africa during the 'long' 4th millennium BC. A comparative study of environmental and archaeological evidence, Quaternary Science Reviews 136, 2016, 96–121.

Coleman 1977
J. E. Coleman, Keos I. Kephala. A Late Neolithic Settlement and Cemetery (Princeton 1977).

Coleman 1985
J. E. Coleman, "Frying pans" of the Early Bronze Age Aegean, American Journal of Archaeology 89, 2, 1985, 191–219.

Coleman 1992
J. E. Coleman, Greece, the Aegean, and Cyprus, in: R. W. Ehrich (Hrsg.), Chronologies in Old World Archaeology, 3. Auflage (Chicago 1992) 247–288.

Coleman 2011
J. E. Coleman, The Petromagula-Doliana Group and the beginning of the Early Bronze Age, in: D. Katsonopoulou (Hrsg.), Helike IV. Ancient Helike and Aigialeia. Protohelladika. The Southern and Central Greek Mainland (Athen 2011) 13–44.

Daniel 1950
G. E. Daniel, A Hundred Years of Archaeology (London 1950).

Darque – Tsirtsoni 2010
P. Darque – Z. Tsirtsoni, Evidence from Dikili Tash (eastern Macedonia, Greece) and the tell issue, in: S. Hansen (Hrsg.), Leben auf dem Tell als soziale Praxis. Beiträge des Internationalen Symposiums in Berlin vom 26.–27. Februar 2007, Kolloquien zur Vor- und Frühgeschichte 14 (Bonn 2010) 55–69.

Darque et al. 2007
P. Darque – H. Koukouli-Chryssanthaki – D. Malamidou – R. Treuil – Z. Tsirtsoni, Recent researches at the Neolithic settlement of Dikili Tash, eastern Macedonia, Greece. An overview, in: Todorova et al. 2007, 247–256.

Darque et al. 2015
P. Darque – Z. Tsirtsoni – H. Koukouli-Chryssanthaki – D. Malamidou, New insights to the Copper Age economy and chronology at the tell settlement of Dikili Tash (northern Greece), in: Hansen et al. 2015, 403–417.

Davis 1992
J. L. Davis, Review of Aegean prehistory I. The islands of the Aegean, American Journal of Archaeology 94, 4, 1992, 699–756.

Dawson 2014
H. Dawson, Mediterranean Voyages. The Archaeology of Island Colonisation and Abandonment (Walnut Creek 2014).

Demangel 1926
R. Demangel, Le tumulus dit de Protésilas. Fouilles du Corps d'occupation français de Constantinople 1 (Paris 1926).

Demoule – Perlès 1993
J.-P. Demoule – C. Perlès, The Greek Neolithic. A new review, Journal of World Prehistory 7, 4, 1993, 355–416.

Derin 2006a
Z. Derin, İzmir'den İki Yeni Prehistorik Yerleşim Yeri. Yassıtepe Höyüğü, Çakallar Tepesi Höyüğü, Arkeoloji Dergisi 7, 1, 2006, 1–15.

Derin 2006b
Z. Derin, Yeşilova Höyüğü Kurtarma Kazısı – 2005, Türk Eskiçağ Bilimleri Enstitüsü Haberler 22, 2006, 39–40.

Derin 2007a
Z. Derin, Yeşilova Höyük, in: Özdoğan – Başgelen 2007, 377–384.

Derin 2007b
Z. Derin, Yeşilova Höyüğü Kazısı – 2006, Türk Eskiçağ Bilimleri Enstitüsü Haberler 23, 2007, 38–39.

Derin 2008
Z. Derin, İzmir Yeşilova Höyüğü, in: B. Can – M. Işıklı (Hrsg.), Doğudan Yükselen Işık. Arkeoloji Yazıları Anadolu Arkeolojisine Katkılar. Atatürk Üniversitesi 50. Yıl Armağan Kitabı (Istanbul 2008) 217–230.

Derin 2009
Z. Derin, The interpretation of the change and variations observed in the burial customs at the Early Bronze Age in western Anatolia, in: H. Sağlamtimur – E. Abay – Z. Derin – A. Ü. Erdem – A. Batmaz – F. Dedeoğlu – M. Erdalkıran – M. Bilge Baştürk – E. Konakçı (Hrsg.), Altan Çilingiroğlu'na Armağan. Urartu krallığı'na adanmış bir hayat / A Life Dedicated to Urartu on the Shores of the Upper Sea (Istanbul 2009) 257–268.

Derin 2010a
Z. Derin, İzmir'in Prehistorik Yerleşimi Yeşilova Höyüğü 2008 Yılı Çalışmaları, Kazı Sonuçları Toplantısı 31, 1/2009, 2010, 475–491.

Derin 2010b
Z. Derin, İzmir'in Tarih Öncesi Dönemi ve Yeşilova Höyüğu, in: G. Gökçay (Hrsg.), Dr. Eren Akçiçek'e Armağan (Izmir 2010) 57–71.

Derin 2011a
Z. Derin, İzmir-Yeşilova Höyüğü 2009 Yılı Kazı Çalışmaları, Kazı Sonuçları Toplantısı 32, 4/2010, 2011, 315–491.

Derin 2011b
Z. Derin, Yeşilova Höyük, in: Krauß 2011, 95–106.

Derin 2012a
Z. Derin, İzmir'in Prehistorik Yerleşim Alanı Yeşilova Höyüğü – 2010, Kazı Sonuçları Toplantısı 33, 2/2011, 2012, 39–56.

Derin 2012b
Z. Derin, Yeşilova Höyük, in: Özdoğan et al. 2012b, 177–195.

Derin 2012c
Z. Derin, Yeşilova Höyük, in: Çilingiroğlu et al. 2012b, 169–180.

Derin – Caymaz 2013
Z. Derin – T. Caymaz, İzmir'in Prehistorik Yerleşim Alanı – Yeşilova Höyüğü 2012 Yılı Çalışmaları, Kazı Sonuçları Toplantısı 34, 1/2012, 2013, 119–142.

Derin – Caymaz 2014
Z. Derin – T. Caymaz, İzmir-Yeşilova Höyüğü 2011 Yılı Çalışmaları, Kazı Sonuçları Toplantısı 35, 1/2013, 2014, 419–433.

Derin – Öner 1997
Z. Derin – E. Öner, Ulucak Höyük Kazıları ve Paleo-Coğrafya Araştırmaları, Kazı Sonuçları Toplantısı 18, 1/1996, 1997, 411–439.

Derin et al. 2009
Z. Derin – F. Ay – T. Caymaz, İzmir'in Prehistorik Yerleşimi – Yeşilova Höyüğü 2005–2006 Yılı Çalışmaları, Arkeoloji Dergisi 13, 2009, 7–58.

Derin et al. 2014
Z. Derin – T. Caymaz – G. Sümer, İzmir'in Prehistorik Yerleşim Alanı Yeşilova Höyüğü 2013 Yılı Çalışmaları, Kazı Sonuçları Toplantısı 36, 2/2014, 2014, 447–466.

Derin et al. 2016
Z. Derin – T. Caymaz – G. Eroğlu, İzmir-Yeşilova Höyüğü 2014 Yılı Çalışmaları, Kazı Sonuçları Toplantısı 37, 1/2015, 2016, 159–174.

Devetze 1997
Α. Δεβετζή, Η παρουσία των λίθινων αγγείων ως ένδειξη των σχέσεων των νησιών του Βορείου Αιγαίου με του υπόλοιπο αιγαιακό χώρο, in: Doumas – La Rosa 1997, 556–568.

Dickinson 2008
O. Dickinson, The Aegean Bronze Age, 13. Auflage (Cambridge 2008).

Dinç 1996
R. Dinç, 1994 Yılı Akhisar – Kulaksızlar Mermer İdol Atölyesi Yuzey Araştırması, Araştırma Sonuçları Toplantısı 13, 2/1995, 1996, 11–41.

Dönmez 2011
Ş. Dönmez, Yeni Arkeolojik Araştırmalar Işığında İstanbul'un (Tarihi Yarımada) Neolitik, Kalkolitik ve Demir Çağı Kültürleri Üzerine Genel Değerlendirmeler, Vakıf Restorasyon Yıllığı 2, 2011, 19–25.

Doumas 1977
Ch. Doumas, Early Bronze Age Burial Habits in the Cyclades, Studies in Mediterranean Archaeology 48 (Göteborg 1977).

Doumas – La Rosa 1997
Ch. G. Doumas – V. La Rosa (Hrsg.), Η Πολιόχνη και ή Πρώιμη Εποχή του Χαλκού στο Βόρειο Αιγαίο. Διεθνές Συνέδριο Αθήνα, 22–25 Απριλίου 1996 / Poliochni e l'antica età del bronzo nell'Egeo settentrionale. Convegno Internazionale Atene, 22–25 Aprile 1996 (Athen 1997).

Dousougli 1992
A. Dousougli, Die chalkolithische sog. „Attika-Kephala Kultur" des südwestgriechischen Raumes. Chronologische und räumliche Gliederung und auswärtige Beziehungen, Studia Praehistorica 11–12, 1992, 275–279.

Dova 1997a
Α. Ντόβα, Η Λήμνος κατά τους προϊστορικούς χρόνους, in: Λ. Γ. Μενδώνη (Hrsg.), Πολιόχνη. Λήμνω εν αμιχθαλοέσση. Ένα κέντρο της πρώιμης εποχής του Χαλκού στο Βόρειο Αιγαίο (Athen 1997) 23–26.

Dova 1997b
Α. Ντόβα, Μύρινα Λήμνου: Οι αρχαιότερες φάσεις του προϊστορικού οικισμού, in: Doumas – La Rosa 1997, 282–297.

Dova 2003
Α. Ντόβα, Οι φάσεις εξέλιξης του προϊστορικού οικισμού στη Μύρινα Λήμνου, in: Α. Βλαχόπουλος – Κ. Μπίρταχα (Hrsg.), Αργοναύτης. Τιμητικός τόμος για τον καθηγητή Χρίστο Ντούμα από τους φοιτητές του στο Πανεπιστήμιο Αθηνών (1980–2000) (Athen 2003) 101–125.

Driehaus 1960
J. Driehaus, Die Altheimer Gruppe und das Jungneolithikum in Mitteleuropa (Mainz 1960).

Düring 2011a
B. S. Düring, The Prehistory of Asia Minor. From Complex Hunter-Gatherers to Early Urban Societies (Cambridge 2011).

Düring 2011b
B. S. Düring, Millennia in the middle? Reconsidering the Chalcolithic of Asia Minor, in: Steadman – McMahon 2011, 796–812.

Düring 2014
B. S. Düring, Material and craft networks in the prehistory of Asia Minor. Transformations in values and societies, in: K. Rebay-Salisbury – A. Brysbaert – L. Foxhall (Hrsg.), Knowledge Networks and Craft Traditions in the Ancient World. Material Crossovers (London 2014) 7–22.

Duru 1981
R. Duru, Kuruçay Höyüğü Kazıları 1979, Kazı Sonuçları Toplantısı 2/1980, 1981, 47–51.

Duru 1982a
R. Duru, Kuruçay Höyüğü Kazıları, 1980, Kazı Sonuçları Toplantısı 3/1981, 1982, 5–8.

Duru 1982b
R. Duru, Kuruçay Höyüğü Kazıları. 1980 Çalişma Raporu, Anadolu Araştırmaları. Jahrbuch für Kleinasiatische Forschung 8, 1982, 1–17.

Duru 1983a
R. Duru, Kuruçay Höyüğü Kazıları 1981, Kazı Sonuçları Toplantısı 4/1982, 1983, 31–38.

Duru 1983b
R. Duru, Kuruçay Höyüğü Kazıları. 1981 Çalişmaları Raporu, Anadolu Araştırmaları. Jahrbuch für Kleinasiatische Forschung 9, 1983, 13–40.

Duru 1983c
R. Duru, Kuruçay Höyüğü Kazıları. 1982 Çalişmaları Raporu, Anadolu Araştırmaları. Jahrbuch für Kleinasiatische Forschung 9, 1983, 81–89.

Duru 1984
R. Duru, Kuruçay Höyüğü 1982, Kazı Sonuçları Toplantısı 5/1983, 1984, 67–69.

Duru 1985
R. Duru, Kuruçay Höyüğü – 1983, Kazı Sonuçları Toplantısı 6/1984, 1985, 5–10.

Duru 1986
R. Duru, Kuruçay Höyüğü Kazıları – 1984, Kazı Sonuçları Toplantısı 7/1985, 1986, 23–27.

Duru 1987
R. Duru, Kuruçay Höyüğü Kazıları 1985, Kazı Sonuçları Toplantısı 8, 1/1986, 1987, 75–80.

Duru 1988
R. Duru, Kuruçay Höyüğü Kazıları, 1986, Kazı Sonuçları Toplantısı 9, 1/1987, 1988, 65–70.

Duru 1989
R. Duru, Kuruçay Höyüğü Kazıları – 1987, Kazı Sonuçları Toplantısı 10, 1/1988, 1989, 57–60.

Duru 1990
R. Duru, Kuruçay Höyüğü Kazıları, 1988 Çalişma Raporu, Kazı Sonuçları Toplantısı 11, 1/1989, 1990, 81–90.

Duru 1996
R. Duru, Kuruçay Höyük II. 1978–1988 Kazılarını Sonuçları. Geç Kalkolitik ve İlk Tunç Çağı Yerleşmeleri (Ankara 1996).

Duru 2000
R. Duru, Burdur Bölgesi Araştırmaları ve Kuruçay Höyüğü Kazıları, in: Belli 2000, 54–58.

Duru 2001
R. Duru, Surveys in the Burdur region and the Kuruçay Höyük excavations, in: Belli 2001, 44–47.

Duru 2008
R. Duru, Burdur – Antalya Bölgesi'nin Altı Bin Yılı. MÖ 800'den MÖ 2000'e (Antalya 2008).

Duru 2012
R. Duru, The Neolithic of the Lakes region. Hacilar – Kuruçay Höyük – Höyücek – Bademağcı Höyük, in: Özdoğan et al. 2012b, 1–65.

Duru – Umurtak 2004
R. Duru – G. Umurtak, Bademağacı Kazıları 2003 / Excavations at Bademağacı in 2003, Anadolu Akdenizi Arkeoloji Haberleri 2, 2004, 15–20.

Duru – Umurtak 2007
R. Duru – G. Umurtak, Bademağacı Kazıları 2006 Yılı Çalışmaları / Excavations at Bademağacı 2006, Anadolu Akdenizi Arkeoloji Haberleri 5, 2007, 6–11.

Duru – Umurtak 2008a
R. Duru – G. Umurtak, Bademağacı Kazıları, 2006, Kazı Sonuçları Toplantısı 29, 2/2007, 2008, 187–196.

Duru – Umurtak 2008b
R. Duru – G. Umurtak, Bademağacı 2004–2006 Çalışma Raporu, Belleten. Türk Tarih Kurumu 72, 2008, 193–216.

Duru – Umurtak 2011
R. Duru – G. Umurtak, Bademağacı 2010 Yılı Kazıları / Excavations at Bademağacı in 2010, Anadolu Akdenizi Arkeoloji Haberleri 9, 2011, 7–15.

Duru – Umurtak 2012
R. Duru – G. Umurtak, Bademağacı Kazıları 2010 Yılı Çalışmaları Raporu, Kazı Sonuçları Toplantısı 33, 2/2011, 2012, 115–123.

Eder 2015
S. Eder, Die frühbronzezeitlichen Pithoi vom Çukuriçi Höyük (Bachelorarbeit, Universität Wien 2015).

Efe 1988
T. Efe, Demircihüyük III.2. Die Keramik 2. C. Die Frühbronzezeitliche Keramik der jüngeren Phasen (ab Phase H) (Mainz 1988).

Efe 1990
T. Efe, An inland Anatolian site with Pre-Vinča elements. Orman Fidanlığı, Eskişehir, Germania 68, 1990, 67–113.

Efe 1996
T. Efe, Orman Fidanlığı'nda 1992–1994 Yılları Arasında Yapılan Kurtarma Kazılari, Kazı Sonuçları Toplantısı 17, 1/1995, 1996, 95–107.

Efe 1998
T. Efe, Seyitgazi/Küllüoba 1996 Yılı Kazısı, Kazı Sonuçları Toplantısı 19, 1/1997, 1998, 151–171.

Efe 1999
T. Efe, Küllüoba 1997 Yılı Kazısı, Kazı Sonuçları Toplantısı 20, 1/1998, 1999, 165–181.

Efe 2000a
T. Efe, Kütahya, Bilecik ve Eskişehir İlleri Yüzey Araştırmaları ve Orman Fidanlığı Kurtarma Kazıları, in: Belli 2000, 103–109.

Efe 2000b
T. Efe, Seyitgazi/Küllüoba Kazısı, in: Belli 2000, 118–122.

Efe 2001a
T. Efe, Küllüoba 1999 Yılı Kazısı, Kazı Sonuçları Toplantısı 21, 1/2000, 2001, 105–118.

Efe 2001b
T. Efe, The Salvage Excavations at Orman Fidanlığı. A Chalcolithic Site in Inland Northwestern Anatolia (Istanbul 2001).

Efe 2001c
T. Efe, Survey in the provinces of Kütahya, Bilecik and Eskişehir, and the Orman Fidanlığı salvage excavations, in: Belli 2001, 84–89.

Efe 2001d
T. Efe, Seyitgazi/Küllüoba excavations, in: Belli 2001, 97–101.

Efe 2002a
T. Efe, Küllüoba 2000 Yılı Kazısı, Kazı Sonuçları Toplantısı 23, 2/2001, 2002, 315–326.

Efe 2002b
T. Efe, The interaction between cultural/political entities and metalworking in western Anatolia during the Chalcolithic and Early Bronze Ages, in: Ü. Yalçın (Hrsg.), Anatolian Metal II, Der Anschnitt Beiheft 15, Veröffentlichungen aus dem Deutschen Bergbau-Museum 109 (Bochum 2002) 49–65.

Efe 2003a
T. Efe, Küllüoba 2001 Yılı Kazı Çalışmaları, Kazı Sonuçları Toplantısı 24, 2/2002, 2003, 461–466.

Efe 2003b
T. Efe, Küllüoba and the initial stages of urbanism in western Anatolia, in: M. Özdoğan – H. Hauptmann – N. Başgelen (Hrsg.), From Villages to Towns. Studies Presented to Ufuk Esin (Istanbul 2003) 265–282.

Efe 2007a
T. Efe, Küllüoba 2005 Yılı Kazı Çalışmaları, Kazı Sonuçları Toplantısı 28, 1/2006, 2007, 71–90.

Efe 2007b
T. Efe, Küllüoba Kazıları ve Anadolu Tarihöncesi Araştırmalarına Katkısı, in: G. Umurtak – Ş. Dönmez – A. Yurtsever (Hrsg.), Refik Duru'ya Armağan (Istanbul 2007) 103–114.

Efe 2008
T. Efe, Keçiçayırı'nda Ölü Hediyesi Olarak Bulunmuş Olan İki Geç Kalkolitik Kap, in: Tahran et al. 2008, 243–250.

Efe – Ay 2000
T. Efe – D. Ş. M. Ay, Early Bronze Age I pottery from Küllüoba near Seyitgazi, Eskişehir, Anatolica Antiqua 8, 2000, 1–87.

Efe – Ay-Efe 2001
T. Efe – D. Ş. M. Ay-Efe, Küllüoba: İç Kuzeybatı Anadolu'da Bir İlk Tunç Çağı Kenti. 1996–2000 Yılları Arasında Yapılan Kazı Çalışmalarının Genel Değerlendirmesi, Türkiye Bilimler Akademisi Arkeoloji Dergisi 4, 2001, 43–78.

Efe – Ay-Efe 2007
T. Efe – D. Ş. M. Ay-Efe, The Küllüoba excavations and the cultural/political development of western Anatolia before the second millennium BC, in: M. Alparslan – M. Doğan-Alparslan – H. Peker (Hrsg.), Belkıs Dinçol ve Ali Dinçol'a Armağan (Istanbul 2007) 251–267.

Efe – Fidan 2008
T. Efe – E. Fidan, Complex two in the Early Bronze II upper town of Küllüoba near Eskişehir, Anatolica 34, 2008, 67–102.

Efe et al. 2011
T. Efe – D. Sarı – E. Fidan, The significance of the Keçiçayırı excavations in the prehistory of inland northwest Anatolia, in: A. N. Bilgen – R. von den Hoff – S. Sandalcı – S. Silek (Hrsg.), Archaeological Research in Western Central Anatolia. Proceedings of the 3rd International Symposium of Archaeology, 8–9 March 2010, Kütahya (Kütahya 2011) 9–28.

Efe et al. 2012
T. Efe – I. Gatsov – P. Nedelcheva, Keçiçayırı. A Neolithic settlement near Seyitgazi, Eskişehir, in: Özdoğan et al. 2012b, 227–236.

Efe et al. 2013
T. Efe – E. Fidan – D. Sarı – M. Türkteki, Küllüoba 2011 Yılı Kazı Çalışmaları, Kazı Sonuçları Toplantısı 34, 1/2012, 2013, 195–200.

Efstratiou 1996
N. Efstratiou, The settlement of Marki Evrou, in: Alram-Stern 1996, 572–580.

Efstratiou et al. 1998
N. Efstratiou – M. P. Fumanal – C. Ferrer – D. Urem Kostos – A. Curci – A. Tagliacozzo – G. Stratouli – S. M. Valamoti – M. Ntinou – E. Badal – M. Madella – K. Skourtopoulou, Excavations at the Neolithic settlement of Makri, Thrace, Greece (1988–1996). A preliminary report, Saguntum. Papeles del Laboratorio de Arqueología de Valencia 31, 1998, 11–62.

Ekinci – Öztürk 1999
H. A. Ekinci – İ. Öztürk, Yarımhöyük Kurtarma Kazısı 1997, Müze Kurtarma Kazıları Semineri 9/1998, 1999, 41–62.

Elster 2003a
E. S. Elster, Tools of the spinner, weaver, and mat maker, in: Elster – Renfrew 2003, 229–250.

Elster 2003b
E. S. Elster, Catalog of the tools of the spinner, weaver, and mat maker, in: Elster – Renfrew 2003, 258–282.

Elster – Renfrew 2003
E. S. Elster – C. Renfrew (Hrsg.), Prehistoric Sitagroi. Excavations in Northern Greece, 1968–1970. Volume 2. The Final Report, Monumenta Archaeologica 20 (Los Angeles 2003).

Erdoğu 1997
B. Erdoğu, Edime İli 1995 Yılı Yüzey Araştırması, Araştırma Sonuçları Toplantısı 14, 1/1996, 1997, 273–291.

Erdoğu 1999a
B. Erdoğu, 1997 Yılı Edirne İli Yüzey Araştırması, Araştırma Sonuçları Toplantısı 16, 2/1998, 1999, 345–358.

Erdoğu 1999b
B. Erdoğu, The Late Chalcolithic pottery from the sites of Kavaklı and Yumurta Tepe in the province of Edirne, eastern Thrace, Proceedings of the Prehistoric Society 65, 1999, 457–464.

Erdoğu 2001
B. Erdoğu, Neolithic and Chalcolithic Cultures in Turkish Thrace (Dissertation, Durham University 2001). Online <http://etheses.dur.ac.uk/3994/> (letzter Zugriff 8. Aug. 2017).

Erdoğu 2005
B. Erdoğu, Prehistoric Settlements of Eastern Thrace. A Reconsideration, British Archaeological Reports. International Series 1424 (Oxford 2005).

Erdoğu 2010
B. Erdoğu, Gökçeada Uğurlu-Zeytinlik Kazıları – 2009, Türk Eskiçağ Bilimleri Enstitüsü Haberler 29, 2010, 26–28.

Erdoğu 2011a
B. Erdoğu, Gökçeada Uğurlu-Zeytinlik Kazısı 2009 Yılı Çalışmaları, Kazı Sonuçları Toplantısı 32, 1/2010, 2011, 119–127.

Erdoğu 2011b
B. Erdoğu, A preliminary report from the 2009 and 2010 field seasons at Uğurlu on the island of Gökçeada, Anatolica 37, 2011, 45–65.

Erdoğu 2012
B. Erdoğu, 2010 Yılı Gökçeada Uğurlu-Zeytinlik Kazı Çalışmaları, Kazı Sonuçları Toplantısı 33, 1/2011, 2012, 365–374.

Erdoğu 2013
B. Erdoğu, Uğurlu. A Neolithic settlement on the Aegean island of Gökçeada, in: Özdoğan et al. 2013, 1–33.

Erdoğu 2014a
B. Erdoğu, Gökçeada Uğurlu archaeological project. A preliminary report from the 2011–2013 field seasons, Anatolica 40, 2014, 157–178.

Erdoğu 2014b
B. Erdoğu, 2013 Yılı Gökçeada Uğurlu-Zeytinlik Kazı Çalışmaları, Kazı Sonuçları Toplantısı 36, 1/2014, 2014, 167–173.

Erdoğu – Çevik 2015
B. Erdoğu – Ö. Çevik, Batı Anadolu Kronolojisi ve Terminolojisi. Sorunlar ve Öneriler, Anadolu Prehistorya Araştırmaları Dergisi 1, 2015, 29–45.

Erdoğu – Yücel 2013
B. Erdoğu – N. Yücel, Gökçeada Uğurlu-Zeytinlik Kazısı 2011 Yılı Çalışmaları, Kazı Sonuçları Toplantısı 34, 1/2012, 2013, 187–194.

Erdoğu – Yücel 2016
B. Erdoğu – N. Yücel, Gökçeada Uğurlu-Zeytinlik 2014 Yılı Kazı Çalışmaları, Kazı Sonuçları Toplantısı 37, 1/2015, 2016, 195–200.

Erdoğu et al. 2014
B. Erdoğu – O. Özbek – N. Yücel, Gökçeada Uğurlu-Zeytinlik Kazısı 2012 Yılı Çalışmaları, Kazı Sonuçları Toplantısı 35, 2/2013, 2014, 204–210.

Erim-Özdoğan 2011
A. Erim-Özdoğan, Çayönü, in: M. Özdoğan – N. Başgelen – P. Kuniholm (Hrsg.), The Neolithic in Turkey. New Excavations and New Research I. The Tigris Basin (Istanbul 2011) 185–269.

Erim-Özdoğan – Işın 2002
A. Erim-Özdoğan – M. Işın, Tekirdağ Menekşe Çatağı Kurtarma Kazıları, Kazı Sonuçları Toplantısı 23, 1/2001, 2002, 313–326.

Erim-Özdoğan – Işın 2003
A. Erim-Özdoğan – M. Işın, Tekirdağ Menekşe Çatağı, Doğu Çatak Kazısı, Kazı Sonuçları Toplantısı 24, 1/2002, 2003, 377–388.

Erim-Özdoğan et al. 2004
A. Erim-Özdoğan – F. Aksaç – M. Işın, Tekirdağ Menekşe Çatağı, Doğu Çatak Kazısı, Kazı Sonuçları Toplantısı 25, 2/2003, 2004, 421–434.

Erkanal 1997
H. Erkanal, Archaeological Researches at Liman Tepe (Urla 1997).

Erkanal 1998
H. Erkanal, 1996 Liman Tepe Kazıları, Kazı Sonuçları Toplantısı 19, 1/1997, 1998, 379–398.

Erkanal 1999a
H. Erkanal, 1997 Liman Tepe Kazıları, Kazı Sonuçları Toplantısı 20, 1/1998, 1999, 325–336.

Erkanal 1999b
H. Erkanal, Early Bronze Age fortification systems in Izmir region, in: P. P. Betancourt – V. Karageorghis – R. Laffineur – W.-D. Niemeier (Hrsg.), Meletemata. Studies in Aegean Archaeology Presented to Malcolm H. Wiener as He Enters His 65th Year, Aegaeum 20 (Liège 1999) 237–242.

Erkanal 2000
H. Erkanal, 1998 Yılı Liman Tepe Kazıları, Kazı Sonuçları Toplantısı 21, 1/1999, 2000, 251–262.

Erkanal 2008a
H. Erkanal, Die neuen Forschungen in Bakla Tepe bei Izmir, in: Erkanal et al. 2008, 165–177.

Erkanal 2008b
H. Erkanal, Liman Tepe. New light on prehistoric Aegean cultures, in: Erkanal et al. 2008, 179–190.

Erkanal 2011a
H. Erkanal, Bakla Tepe, in: Karul 2011, 225.

Erkanal 2011b
H. Erkanal, Liman Tepe, in: Karul 2011, 230–231.

Erkanal – Günel 1996
H. Erkanal – S. Günel, 1994 Liman Tepe Kazıları, Kazı Sonuçları Toplantısı 17, 1/1995, 1996, 305–327.

Erkanal – Günel 1997
H. Erkanal – S. Günel, 1995 Yılı Liman Tepe Kazıları, Kazı Sonuçları Toplantısı 18, 1/1996, 1997, 231–260.

Erkanal – Hüryılmaz 1994
H. Erkanal – H. Hüryılmaz, 1992 Liman Tepe Kazıları, Kazı Sonuçları Toplantısı 15, 1/1993, 1994, 361–373.

Erkanal – Özkan 1997
H. Erkanal – T. Özkan, 1995 Bakla Tepe Kazıları, Kazı Sonuçları Toplantısı 18, 1/1996, 1997, 261–279.

Erkanal – Özkan 1998
H. Erkanal – T. Özkan, 1996 Bakla Tepe Kazıları, Kazı Sonuçları Toplantısı 19, 1/1997, 1998, 399–425.

Erkanal – Özkan 1999a
H. Erkanal – T. Özkan, 1997 Bakla Tepe Kazıları, Kazı Sonuçları Toplantısı 20, 1/1998, 1999, 337–355.

Erkanal – Özkan 1999b
H. Erkanal – T. Özkan, Bakla Tepe Kazıları / Excavations at Bakla Tepe, in: H. Erkanal – T. Özkan (Hrsg.), Tahtalı Barajı Kurtarma Kazısı Projesi / Tahtalı Dam Salvage Excavations Project (Izmir 1999) 12–42, 108–138.

Erkanal – Özkan 2000
H. Erkanal – T. Özkan, 1998 Bakla Tepe Kazıları, Kazı Sonuçları Toplantısı 21, 1/1999, 2000, 263–278.

Erkanal – Şahoğlu 2012a
H. Erkanal – V. Şahoğlu, Bakla Tepe (1995–2001), in: Bingöl et al. 2012, 91–98.

Erkanal – Şahoğlu 2012b
H. Erkanal – V. Şahoğlu, Liman Tepe (1992–), in: Bingöl et al. 2012, 219–230.

Erkanal et al. 2003
H. Erkanal – M. Artzy – O. Kouka, 2001 Yılı Liman Tepe Kazıları, Kazı Sonuçları Toplantısı 24, 1/2002, 2003, 423–436.

Erkanal et al. 2004
H. Erkanal – M. Artzy – O. Kouka, 2002 Yılı Liman Tepe Kazıları, Kazı Sonuçları Toplantısı 25, 2/2003, 2004, 165–178.

Erkanal et al. 2008
H. Erkanal – H. Hauptmann – V. Şahoğlu – R. Tuncel (Hrsg.), The Aegean in the Neolithic, Chalcolithic and the Early Bronze Age. Proceedings of the International Symposium, October 13th–19th 1997, Urla – İzmir (Turkey) (Ankara 2008).

Erkanal et al. 2009
H. Erkanal – V. Şahoğlu – R. Tuncel – O. Kouka – L. Keskin – İ. Tuğu, Liman Tepe 2007 Yılı Kazıları, Kazı Sonuçları Toplantısı 30, 1/2008, 2009, 299–322.

Erkanal et al. 2016
H. Erkanal – A. Aykurt – K. Büyükulusoy – İ. Tuğu – R. Tuncel – V. Şahoğlu, Liman Tepe 2014 Yılı Kara ve Sualtı Kazıları, Kazı Sonuçları Toplantısı 37, 1/2015, 2016, 323–340.

Erkanal-Öktü et al. 2006
A. Erkanal-Öktü – E. Özgen – S. Günel – A. T. Ökse – H. Hüryılmaz – H. Tekin – N. Çınardalı-Karaaslan – B. Uysal – F. A. Karaduman – A. Engin – R. Spieß – A. Aykurt – R. Tuncel – U. Deniz – A. Rennie (Hrsg.), Studies in Honor of Hayat Erkanal. Cultural Reflections (Istanbul 2006).

Eslick 1980
Ch. Eslick, Middle Chalcolithic pottery from southwestern Anatolia, American Journal of Archaeology 84, 1, 1980, 5–14.

Eslick 1992
Ch. Eslick, Elmalı-Karataş I. The Neolithic and Chalcolithic Periods. Bağbaşı and Other Sites (Bryn Mawr 1992).

Evren 1999
A. Evren, Efes Çukuriçi Höyüğü 1996 Yılı Kazısı, Arkeoloji ve Sanat 92, 1999, 22–32.

Evren – İçten 1998
A. Evren – C. İçten, Efes Çukuriçi ve Arvalya (Gül hanım) Höyükleri, Müze Kurtarama Kazıları Semineri 7/1997, 1998, 111–133.

Facorellis – Maniatis 2002
G. Facorellis – I. Maniatis, Radiocarbon dating of the Neolithic settlement of Ftelia on Mykonos, in: Sampson 2002, 309–315.

Felsch 1988
R. Felsch, Das Kastro Tigani. Die spätneolithische und chalkolithische Siedlung, Samos II (Bonn 1988).

Fidan 2012
E. Fidan, Küllüoba İlk Tunç Çağı Mimarisi, Mimarlar, Arkeologlar, Sanat Tarihçiler ve Restoratörler Ortak Platformu Yayınıdır E-Dergi 7, 2012, 1–44.

Fidan 2014
E. Fidan, Küllüoba İlk Tunç Çağı Mimarlığında Taş Kullanımı ve Taş Yataklarının Araştırılması, Uluslararası Arkeometri Sonuçları Toplantısı 29, 2014, 18–28.

Fidan et al. 2015
E. Fidan – D. Sarı – M. Türkteki, An overview of the western Anatolian Early Bronze Age, European Journal of Archaeology 18, 1, 2015, 60–89.

Fischer 1976
U. Fischer, Ein Chronologiesystem im Neolithikum, Germania 54, 1976, 182–184.

Fischer 1991
U. Fischer, Zur Terminologie der kupferführenden Perioden in West- und Süddeutschland, in: Lichardus 1991, 735–746.

French 1961
D. H. French, Late Chalcolithic pottery in north-west Turkey and the Aegean, Anatolian Studies 11, 1960, 99–141.

French 1964
D. H. French, Excavations at Can Hasan. Third preliminary report, 1963, Anatolian Studies 14, 1964, 125–137.

French 1967
D. H. French, Prehistoric sites in northwest Anatolia I. The Iznik area, Anatolian Studies 17, 1967, 49–100.

French 1969
D. H. French, Prehistoric sites in northwest Anatolia II. The Balıkesir and Akhisar/Manisa areas, Anatolian Studies 19, 1969, 41–98.

Furness 1956
A. Furness, Some early pottery of Samos, Kalimnos and Chios, Proceedings of the Prehistoric Society 22, 1956, 173–212.

Gabriel 2000
U. Gabriel, Mitteilung zum Stand der Neolithikumsforschung in der Umgebung von Troia (Kumtepe 1993–1995; Beşik-Sivritepe 1983–1984, 1987, 1998–1999), Studia Troica 10, 2000, 233–238.

Gabriel 2001a
U. Gabriel, Die ersten menschlichen Spuren in der Umgebung Troias. Grabungsergebnisse am Kumtepe und Beşik-Sivritepe, in: Archäologisches Landesmuseum Baden-Württemberg (Hrsg.), Troia. Traum und Wirklichkeit. Ausstellungskatalog Stuttgart (Stuttgart 2001) 343–346.

Gabriel 2001b
U. Gabriel, Eine neue Sichtweise des „vor-troianischen Horizontes". Ergebnisse der Ausgrabungen am Kumtepe 1993–1995, in: P. Roman – S. Diamandi (Hrsg.), Cernavoda III – Boleráz. Ein vorgeschichtliches Phänomen zwischen dem Oberrhein und der Unteren Donau. Symposium Mangalia/Neptun, 18–24 Oktober 1999, Studia Danubia Series Symposia II (Bukarest 2001) 84–87.

Gabriel 2006
U. Gabriel, Ein Blick zurück. Das fünfte Jahrtausend vor Christus in der Troas, in: M. O. Korfmann (Hrsg.), Troia. Archäologie eines Siedlungshügels und seiner Landschaft (Mainz 2006) 355–360.

Gabriel 2014
U. Gabriel, Die Keramik der troadischen Fundorte Kumtepe IA, Beşik-Sivritepe und Çıplak Köyü im Kontext ihrer überregionalen Vergleichsfunde, in: E. Pernicka – C. Brian Rose – P. Jablonka (Hrsg.), Troia 1987–2012. Grabungen und Forschungen I. Forschungsgeschichte, Methoden und Landschaft, Studia Troica Monographien 5 (Bonn 2014) 991–1057.

Gabriel et al. 2004
U. Gabriel – R. Aslan – St. W. E. Blum, Alacalıgöl. Eine neuentdeckte Siedlung des 5. Jahrtausends v. Chr. in der Troas, Studia Troica 14, 2004, 121–133.

Galik 2011
A. Galik, Die spätchalkolithischen bis frühbronzezeitlichen Tierreste vom Çukuriçi Höyük, in: Horejs et al. 2011, 54–60.

Galik 2014
A. Galik, Late Chalcolithic subsistence strategies on the basis of two examples. The Çukuriçi Höyük in western Anatolia and the Barcın Höyük in northwestern Anatolia, in: Horejs – Mehofer 2014, 385–394.

Galik – Horejs 2011
A. Galik – B. Horejs, Çukuriçi Höyük. Various aspects of its earliest settlement, in: Krauß 2011, 83–94.

Galik et al. 2012
A. Galik – B. Horejs – B. Nessel, Der nächtliche Jäger als Beute. Studien zur prähistorischen Leopardenjagd, Prähistorische Zeitschrift 87, 2, 2012, 261–307.

Garfinkel et al. 2014
Y. Garfinkel – F. Klimscha – S. Shalev – D. Rosenberg, The beginning of metallurgy in the southern Levant. A late 6th millennium calBC copper awl from Tel Tsaf, Israel, PLoS ONE 9, 3, 2014, 1–6.

Garnier – Valamoti 2016
N. Garnier – S. M. Valamoti, Prehistoric wine-making at Dikili Tash (northern Greece). Integrating residue analysis and archaeobotany, Journal of Archaeological Science 74, 2016, 195–206.

Garstang 1953
J. Garstang, Prehistoric Mersin. Yümük Tepe in Southern Turkey (Oxford 1953).

Gatsov – Nedelcheva 2014
I. Gatsov – P. Nedelcheva, Lithic production before and after the 4th millennium BC on the lower Danube, in southeast Bulgaria, the Marmara region and the east Aegean, in: Horejs – Mehofer 2014, 413–419.

Georgiadis 2008
M. Georgiadis, The obsidian in the Aegean beyond Melos. An outlook from Yali, Oxford Journal of Archaeology 27, 2, 2008, 101–117.

Georgiadis 2012
M. Georgiadis, Kos in the Neolithic and Early Bronze Age. The Halasarna Finds and the Aegean Settlement Pattern, Prehistory Monographs 58 (Philadelphia 2012).

Gerber 2003
Ch. Gerber, Die prähistorischen Funde des Latmos, in: A. Peschlow-Bindokat (Hrsg.), Frühe Menschenbilder. Die prähistorischen Felsmalereien des Latmos-Gebirges (Westtürkei) (Mainz 2003) 76–84.

Gerber 2006
Ch. Gerber, Malkayası Mağarası, in: A. Peschlow-Bindokat (Hrsg.), Tarihöncesi İsan Resimleri. Latmos Dağları'ndaki Prehistorik Kaya Resimleri (Istanbul 2006) 84–87.

Gerber 2014
Ch. Gerber, Iasos, the Carian Chalcolithic and its relations with northern central Anatolia, in: Horejs – Mehofer 2014, 105–124.

Gerritsen 2010a
F. Gerritsen, The NIT excavations at Barcın Höyük, 2009, Annual Report of the Netherlands Institute in Turkey 2009, 2010, 11–16.

Gerritsen 2010b
F. Gerritsen, Barcın Höyük excavations, 2008, Kazı Sonuçları Toplantısı 31, 1/2009, 2010, 411–420.

Gerritsen – Özbal 2008
F. Gerritsen – R. Özbal, Barcın Höyük Kazıları – 2007, Türk Eskiçağ Bilimleri Enstitüsü Haberler 25, 2008, 23–24.

Gerritsen – Özbal 2009
F. Gerritsen – R. Özbal, Barcın Höyük excavations, 2007, Kazı Sonuçları Toplantısı 30, 3/2008, 2009, 457–464.

Gerritsen – Özbal 2012
F. Gerritsen – R. Özbal, The NIT excavations at Barcın Höyük, 2011, Annual Report of the Netherlands Institute in Turkey 2011, 2012, 3–9.

Gerritsen et al. 2010
F. Gerritsen – R. Özbal – L. Thissen – H. Özbal – A. Galik, The Late Chalcolithic settlement of Barcın Höyük, Anatolica 36, 2010, 197–225.

Gerritsen et al. 2013
F. Gerritsen – R. Özbal – L. Thissen, Barcın Höyük. The beginnings of farming in the Marmara region, in: Özdoğan et al. 2013, 93–112.

Getz-Gentle 1996
P. Getz-Gentle, Stone vessels of the Cyclades in the Early Bronze Age (University Park, PA 1996).

Gleser – Thomas 2012
R. Gleser – M. Thomas, Merdžumekja-Südosthang. Späte Kupferzeit und früheste Bronzezeit. Ergebnisse siedlungsarchäologischer Forschungen, Drama. Forschungen in einer Mikroregion 1 (Bonn 2012).

Görsdorf 2005
J. Görsdorf, ^{14}C-Datierungen aus Aşağı Pınar, in: Parzinger – Schwarzberg 2005, 417–422.

Götze 1927
A. Götze, Mühle, in: M. Ebert (Hrsg), Reallexikon der Vorgeschichte (Berlin 1927) 321–324.

Götze 1933
A. Götze, Kleinasien, Handbuch der Altertumswissenschaften III, 3.1 (München 1933).

Götze 1957
A. Götze, Kleinasien, Handbuch der Altertumswissenschaften III, 3.1, 2. Auflage (München 1957).

Govedarica 2016
B. Govedarica, Das Phänomen der balkanischen Kupferzeit, in: V. Nikolov – W. Schier (Hrsg.), Der Schwarzmeerraum vom Neolithikum bis in die Früheisenzeit (6000–600 v. Chr.). Kulturelle Interferenzen in der zirkumpontischen Zone und Kontakte mit ihren Nachbargebieten, Prähistorische Archäologie in Südosteuropa 30 (Rahden/Westfalen 2016) 11–22.

Grammenos 1991
Δ. Β. Γραμμένος, Νεολιθικές έρευνες στην Κεντρική και Ανατολική Μακεδονία, Βιβλιοθήκη της εν Αθήναις Αρχαιολογικής Εταιρείας 117 (Athen 1991).

Grasböck 2013
St. Grasböck, Die Siedlungsorganisation des Çukuriçi Höyük. Architektur- und Funktionsanalyse der frühbronzezeitlichen Besiedlungsphasen (Diplomarbeit, Universität Wien 2013).

Grasböck et al. in Vorbereitung
St. Grasböck – T. Bratschi – B. Horejs – Ch. Schwall, Stratigraphie und Architektur der frühbronzezeitlichen Siedlungsphasen ÇuHö IV und III (in Vorbereitung).

Groot – Lentjes 2013
M. Groot – D. Lentjes, Studying subsistence and surplus production, in: M. Groot – D. Lentjes – J. Zeiler (Hrsg.), Barely Surviving or more than Enough? The Environmental Archaeology of Subsistence, Specialisation and Surplus Food Production (Leiden 2013) 7–27.

Gündem 2012
C. Y. Gündem, The subsistence economy in inland northwestern Anatolia during the Chalcolithic and Early Bronze Age, Mimarlar, Arkeologlar, Sanat Tarihçiler ve Restoratörler Ortak Platformu Yayınıdır E-Dergi 7, 2012, 250–300.

Günel 2003
S. Günel, Vorbericht über die Oberflächenbegehungen in den Provinzen Aydın und Muğla, Anatolia Antiqua 11, 2003, 75–100.

Günel 2004a
S. Günel, Batı Anadolu Bölgesi Tarihöncesi Dönemlerine Yeni Katkılar, Belleten 67, 250, 2004, 719–738.

Günel 2004b
S. Günel, Aydın Bölgesi Yüzey Araştırmaları. Erken Dönem Yerleşmeleri ve Buluntuları Işığında Kültürel Gelişimi, in: Z. Çizmeli-Öğün – T. Sipahi – L. Keskin (Hrsg.), I.–II. Ulusal Arkeolojik Araştırmalar Sempozyumu, Anadolu Supplement 1 (Ankara 2004) 95–114.

Günel 2004c
S. Günel, Yüzey Araştırmaları Işığında Aydın Yöresi Kültürel Gelişiminde Erken Dönemler, Türk Arkeoloji ve Etnografya Dergisi 4, 2004, 1–12.

Günel 2006a
S. Günel, A new early settlement on the plain of Çine (Marsyas) in western Anatolia. Tepecik Höyüğü in the light of surface survey, in: Erkanal-Öktü 2006, 401–410.

Günel 2006b
S. Günel, Çine-Tepecik Höyüğü 2004 Yılı Kazıları, Kazı Sonuçları Toplantısı 27, 1/2005, 2006, 19–28.

Günel 2006c
S. Günel, New contributions to western Anatolia cultural history. Aydın region survey project, Prähistorische Zeitschrift 81, 2, 2006, 153–174.

Günel 2007
S. Günel, Çine-Tepecik Höyüğü 2005 Yılı Kazıları, Kazı Sonuçları Toplantısı 28, 1/2006, 2007, 231–247.

Günel 2008a
S. Günel, Çine-Tepecik Höyüğü 2006 Yılı Kazıları, Kazı Sonuçları Toplantısı 29, 1/2007, 2008, 73–90.

Günel 2008b
S. Günel, Çine-Tepecik Höyük‘te Bulunan Mermer İdoller, in: Tahran et al. 2008, 251–260.

Günel 2008c
S. Günel, Çine-Tepecik Kazıları ve Bölge Arkeolojisine Katkıları / Excavations at Çine-Tepecik and its contributions to the regional archaeology, in: A. Erkanal-Öktü – S. Günel – U. Deniz (Hrsg.), Batı Anadolu ve Doğu Akdeniz Geç Tunç Çağı Kültürleri Üzerine Yeni Araştırmalar / International Symposium of New Investigations on Western Anatolia and Eastern Mediterranean in Late Bronze Age, 24–25 April 2007, Hacettepe Üniversitesi Ankara (Ankara 2008) 129–139.

Günel 2009
S. Günel, Çine-Tepecik Höyüğü 2007 Yılı Kazıları, Kazı Sonuçları Toplantısı 30, 1/2008, 2009, 227–240.

Günel 2012
S. Günel, Çine-Tepecik 2010 Yılı Kazıları, Kazı Sonuçları Toplantısı 33, 2/2011, 2012, 19–38.

Günel 2013
S. Günel, Çine-Tepecik Kazıları, Türk Eskiçağ Bilimleri Enstitüsü Haberler 36, 2013, 18–20.

Günel 2014a
S. Günel, Çine-Tepecik 2012 Yılı Kazıları, Kazı Sonuçları Toplantısı 35, 2/2013, 2014, 111–123.

Günel 2014b
S. Günel, New contributions regarding prehistoric cultures in Meander region: Çine-Tepecik, in: Horejs – Mehofer 2014, 83–104.

Günel 2014c
S. Günel, Çine-Tepecik 2013 Yılı Kazıları, Kazı Sonuçları Toplantısı 36, 2/2014, 2014, 287–299.

Günel 2016
S. Günel, Çine-Tepecik 2014 Yılı Kazıları, Kazı Sonuçları Toplantısı 37, 1/2015, 2016, 201–214.

Hachmann 1991
R. Hachmann, Das Problem einer Kupferzeit, in: Lichardus 1991, 699–713.

Halstead 1995
P. Halstead, From sharing to hoarding. The Neolithic foundations of Aegean Bronze Age society, in: R. Laffineur – W.-D. Niemeier (Hrsg.), Politeia. Society and State in the Aegean Bronze Age. Proceedings of the 5th International Aegean Conference, Archäologisches Institut der Universität Heidelberg, 10–13 April 1994, Aegaeum 12 (Liège 1995) 11–21.

Hansen 2007
S. Hansen, Bilder vom Menschen der Steinzeit. Untersuchungen zur anthropomorphen Plastik der Jungsteinzeit und Kupferzeit in Südosteuropa, Archäologie in Eurasien 20 (Mainz 2007).

Hansen 2014a
S. Hansen, Neolithic figurines in Anatolia, in: Özdoğan et al. 2014, 265–292.

Hansen 2014b
S. Hansen, The 4th millennium. A watershed in European prehistory, in: Horejs – Mehofer 2014, 243–259.

Hansen 2015
S. Hansen, Pietrele – A lakeside settlement, 5200–4250 BC, in: Hansen et al. 2015, 273–293.

Hansen et al. 2015
S. Hansen – P. Raczky – A. Anders – A. Reingruber (Hrsg.), Neolithic and Copper Age between the Carpathians and the Aegean Sea. Chronologies and Technologies from the 6th to the 4th Millennium BCE, Archäologie in Eurasien 31 (Bonn 2015).

Harmankaya 2008
S. Harmankaya, Menekşe Çatağı (Tekirdağ) Yerleşmesinin 1993–2002 Yılı Kazılarında Ele Geçen Demir Buluntular, in: Tahran et al. 2008, 261–274.

Harris 1979
E. C. Harris, The laws of archaeologicals, World Archaeology 11, 1, 1979, 111–117.

Harris 1997
E. C. Harris, Principles of Archaeological Stratigraphy, 3. Auflage (London 1989).

Hauptmann 1986
H. Hauptmann, Probleme des Chalkolithikums in Griechenland, A Béri Balogh Ádám Múseum Évkönye 13, 1986, 19–30.

Heidenreich 1935/1936
R. Heidenreich, Vorgeschichtliches in der Stadt Samos, Mitteilungen des Deutschen Archäologischen Instituts, Athenische Abteilung 60/61, 1935/1936, 125–183.

Hellström 1987
P. Hellström, Conclusions, in: P. Hellström (Hrsg.), Paradeisos. A Late Neolithic Settlement in Aegean Thrace, Memoir Medelhavsmuseet 7 (Stockholm 1987) 135–139.

Herling et al. 2008
L. Herling – K. Kasper – C. Lichter – R. Meriç, Im Westen nichts Neues? Ergebnisse der Grabungen 2003 und 2004 in Dedecik-Heybelitepe, Istanbuler Mitteilungen 58, 2008, 15–65.

Höckmann 1977
O. Höckmann, The Neolithic and Early Bronze Age idols of Anatolia, in: J. Thimme (Hrsg.), Art and Culture of the Cyclades. Handbook of an Ancient Civilization (Karlsruhe 1977) 173–184.

Hood 1981/1982
S. Hood, Excavations in Chios 1938–1955. Prehistoric Emporio and Ayio Gala I–II, The British School at Athens, Supplementary 15/16 (Oxford 1981/1982).

Hope Simpson – Lazenby 1962
R. Hope Simpson – J. F. Lazenby, Notes from the Dodecanese, The Annual of the British School at Athens 57, 1962, 154–175.

Hope Simpson – Lazenby 1970
R. Hope Simpson – J. F. Lazenby, Notes from the Dodecanese II, The Annual of the British School at Athens 65, 1970, 47–77.

Hope Simpson – Lazenby 1973
R. Hope Simpson – J. F. Lazenby, Notes from the Dodecanese III, The Annual of the British School at Athens 68, 1973, 127–179.

Horejs 2007
B. Horejs, Das prähistorische Olynth. Ausgrabungen in der Toumba Agios Mamas 1994–1996. Die spätbronzezeitliche handgemachte Keramik der Schichten 13 bis 1, Prähistorische Archäologie in Südosteuropa 21 (Rahden/Westfalen 2007).

Horejs 2008a
B. Horejs, Çukuriçi Höyük. A new excavation project in the eastern Aegean, 4 Feb. 2008. Online <http://www.aegeobalkanprehistory.net/index.php?p=article&id_art=9> (letzter Zugriff 8. Aug. 2017).

Horejs 2008b
B. Horejs, Erster Grabungsbericht zu den Kampagnen 2006–2007 am Çukuriçi Höyük, Jahreshefte des Österreichischen Archäologischen Institutes in Wien 77, 2008, 91–106.

Horejs 2008c
B. Horejs, Çukuriçi Höyük, in: Österreichisches Archäologisches Institut (Hrsg.), Wissenschaftlicher Jahresbericht des Österreichischen Archäologischen Instituts 2008 (Wien 2008) 19–20.

Horejs 2009a
B. Horejs, Metalworkers at the Çukuriçi Höyük? An Early Bronze Age mould and a ‘Near Eastern weight’ from western Anatolia, in: T. L. Kienlin – B. Roberts (Hrsg.), Metals and Societies. Studies in Honour of Barbara S. Ottaway, Universitätsforschungen zur prähistorischen Archäologie 169 (Bonn 2009) 358–368.

Horejs 2009b
B. Horejs, Çukuriçi Höyük, in: Österreichisches Archäologisches Institut (Hrsg.), Wissenschaftlicher Jahresbericht des Österreichischen Archäologischen Instituts 2009 (Wien 2009) 17–18.

Horejs 2010a
B. Horejs, Çukuriçi Höyük. Neue Ausgrabungen auf einem Tell bei Ephesos, in: S. Aybek – A. Kazım Öz (Hrsg.), Metropolis Ionia II. Yolların Kesiştiği Yer/The Land of the Crossroads. Festschrift für Recep Meriç (Istanbul 2010) 167−175.

Horejs 2010b
B. Horejs, Possibilities and limitations in analysing ceramic wares, in: B. Horejs – R. Jung – P. Pavúk (Hrsg.), Analysing Pottery. Processing – Classification – Publication, Studia Archaeologica et Mediaevalia 10 (Bratislava 2010) 15–27.

Horejs 2011a
B. Horejs, Neues zur Frühbronzezeit in Westanatolien, in: F. Blakolmer – C. Reinholdt – J. Weilhartner – G. Nightingale (Hrsg.), Österreichische Forschungen zur Ägäischen Bronzezeit 2009. Akten der Tagung am Fachbereich Altertumswissenschaften der Paris-Lodron-Universität Salzburg vom 6. bis 7. März 2009 (Wien 2011) 157–171.

Horejs 2011b
B. Horejs, Çukuriçi Höyük, in: Österreichisches Archäologisches Institut (Hrsg.), Wissenschaftlicher Jahresbericht des Österreichischen Archäologischen Instituts 2011 (Wien 2011) 26–29.

Horejs 2012
B. Horejs, Çukuriçi Höyük. A Neolithic and Bronze Age settlement in the region of Ephesos, in: Özdoğan et al. 2012b, 117–131.

Horejs 2013a
B. Horejs, Çukuriçi Höyük, in: Österreichisches Archäologisches Institut (Hrsg.), Wissenschaftlicher Jahresbericht des Österreichischen Archäologischen Instituts 2012 (Wien 2013) 5–9.

Horejs 2013b
B. Horejs, Çukuriçi Höyük, in: Österreichisches Archäologisches Institut (Hrsg.), Wissenschaftlicher Jahresbericht des Österreichischen Archäologischen Instituts 2013 (Wien 2013) 5–10.

Horejs 2014a
B. Horejs, Proto-urbanisation without urban centres? A model of transformation for the Izmir region in the 4th millennium BC, in: Horejs – Mehofer 2014, 15–41.

Horejs 2014b
B. Horejs, Çukuriçi Höyük, in: Österreichisches Archäologisches Institut (Hrsg.), Wissenschaftlicher Jahresbericht des Österreichischen Archäologischen Instituts 2014 (Wien 2014) 6–9.

Horejs 2015
B. Horejs, Frühe Schleudern als Waffe, in: H. Meller – M. Schefzik (Hrsg.), Krieg. Eine archäologische Spurensuche. Begleitband zur Sonderausstellung vom 06.11.2015–22.05.2016 im Landesmuseum Sachsen-Anhalt (Halle 2015) 153–154.

Horejs 2016
B. Horejs, Aspects of connectivity on the centre of the Anatolian Aegean coast in 7th millennium BC, in: Molley 2016, 143–167.

Horejs 2017a
B. Horejs, Çukuriçi Höyük 1. Anatolia and the Aegean from the 7th to the 3rd Millennium BC, Oriental and European Archaeology 5 (Wien 2017).

Horejs 2017b
B. Horejs, The Çukuriçi Höyük research project, in: Horejs 2017a, 11–26.

Horejs in Vorbereitung
B. Horejs (Hrsg.), Çukuriçi Höyük. The Late Neolithic Settlement VIII (in Vorbereitung).

Horejs – Mehofer 2014
B. Horejs – M. Mehofer (Hrsg.), Western Anatolia Before Troy. Proto-Urbanisation in 4th Millennium BC? Proceedings of the International Symposium held at the Kunsthistorisches Museum Wien, Vienna, Austria, 21–24 November, 2012, Oriental and European Archaeology 1 (Wien 2014).

Horejs – Mehofer 2015
B. Horejs – M. Mehofer, Early Bronze Age metal workshops at Çukuriçi Höyük. Production of arsenical copper at the beginning of the 3rd millennium BC, in: A. Hauptmann – D. Modarressi-Tehrani (Hrsg.), Archaeometallurgy in Europe III. Proceedings of the 3rd International Conference, Deutsches Bergbau-Museum Bochum, 29 June – 1 July 2011, Der Anschnitt Beiheft 26, Veröffentlichungen aus dem Deutschen Bergbau-Museum Bochum 202 (Bochum 2015) 165–176.

Horejs – Schwall 2015
B. Horejs – Ch. Schwall, New light on a nebulous period – western Anatolia in the 4th millennium BC. Architecture and settlement structures as cultural patterns?, in: Hansen et al. 2015, 457–474.

Horejs – Schwall im Druck
B. Horejs – Ch. Schwall, Interaction as a stimulus? Çukuriçi Höyük and the transition from the Late Chalcolithic period to the Early Bronze Age in western Anatolia, in: S. Dietz – F. Mavridis – Ž. Tankosic – T. Takaoğlu (Hrsg.), Communities in Transition. The Circum-Aegean Area in the 5th and 4th Millennia BC (im Druck).

Horejs – Weninger 2016
B. Horejs – B. Weninger, Early Troy and its significance for the Early Bronze Age in western Anatolia, in: Pernicka et al. 2016, 123–145.

Horejs et al. 2010
B. Horejs – M. Mehofer – E. Pernicka, Metallhandwerker im frühen 3. Jt. v. Chr. Neue Ergebnisse vom Çukuriçi Höyük, Istanbuler Mitteilungen 60, 2010, 7–37.

Horejs et al. 2011
B. Horejs – A. Galik – U. Thanheiser – S. Wiesinger, Aktivitäten und Subsistenz in den Siedlungen des Çukuriçi Höyük. Der Forschungsstand nach den Ausgrabungen 2006–2009, Prähistorische Zeitschrift 86, 2011, 31–66.

Horejs et al. 2015
B. Horejs – B. Milić – F. Ostmann – U. Thanheiser – B. Weninger – A. Galik, The Aegean in the early 7th millennium BC. Maritime networks and colonization, Journal of World Prehistory 28, 4, 2015, 289–330.

Işın 1995
M. A. Işın, Menekşe Çatağı 1993 Yıl Kurtarma Kazısı, Müze Kurtarma Kazıları Semineri 5/1994, 1995, 17–26.

Işın – Özdoğan 1997
M. A. Işın – A. Özdoğan, Tekirdağ Menekşe Çatağı Kazısı 1995 Yılı Sonu Bilimsel Raporu, Müze Kurtarma Kazıları Semineri 7/1996, 1997, 89–98.

Işın – Özdoğan 1998
M. A. Işın – A. Özdoğan, Tekirdağ-Menekşe Çatağı 1996 Yılsonu Bilimsel Raporu, Müze Kurtarma Kazıları Semineri 8/1997, 1998, 363–379.

Ivanov 1978
I. S. Ivanov, Les fouilles archéologiques de la nécropole chalcolithique à Varna (1972–1975), Studia Praehistorica 1–2, 1978, 13–26.

Ivanova 2008
M. Ivanova, Befestigte Siedlungen auf dem Balkan, in der Ägäis und in Westanatolien, ca. 5000–2000 v. Chr., Tübinger Schriften zur ur- und frühgeschichtlichen Archäologie 8 (Münster 2008).

Jacopich 1928
G. Jacopich, Coo – Grotta di Aspri Petra, in: Maiuri – Jacopich 1928, 99–100.

Johnson 1999
M. Johnson, Chronology of Greece and south-east Europe in the Final Neolithic and Early Bronze Age, Proceedings of the Prehistoric Society 65, 1999, 319–336.

Jovanović – Blagojević 2014
B. Jovanović – M. Blagojević, Bratislava type lids as indicators of early copper metallurgy in the early Chalcolithic of central and southeast Europe, in: W. Schier – F. Draşovean (Hrsg.), The Neolithic and Eneolithic in Southeast Europe. New Approach to Dating and Cultural Dynamics in the 6th to 4th Millennium BC, Prähistorische Archäologie in Südosteuropa 28 (Rahden/Westfalen 2014) 409–412.

Kaczanowska et al. 2006
M. Kaczanowska – J. K. Kozlowski – A. Sampson, Neolithic chipped stone industries from the island Rhodes. A case study of the Ayios Georgios cave near Kalythies, in: Erkanal-Öktü 2006, 458–466.

Kadish 1971
B. Kadish, Excavations of prehistoric remains at Aphrodisias, 1968 and 1969, American Journal of Archaeology 75, 1971, 121–140.

Kâmil 1982
T. Kâmil, Yortan Cemetery in the Early Bronze Age of Western Anatolia, British Archaeological Reports. International Series 145 (Oxford 1982).

Kansu 1972
Ş. A. Kansu, Yarımburgaz (Küçükçekmece-İstanbul) Mağarasında Türk Tarih Kurumu Adına Yapılan Prehistorya Araştırmaları ve Tuzla Kalkolitiğinde Yeni Gözlemler, in: VII. Türk Tarih Kongresi (Ankara 1972) 22–32.

Kaplan et al. 2013
D. Kaplan – T. Gürdal – A. Özdemir, 2011 Yılı Gülpınar (Smintheion) Kazıları (32. Yıl), Kazı Sonuçları Toplantısı 34, 2/2012, 2013, 391–402.

Kaplan et al. 2014
D. Kaplan – T. Gürdal – A. Özdemir, 2012 Yılı Gülpınar Kazıları (33. Yıl), Kazı Sonuçları Toplantısı 35, 1/2013, 2014, 135–145.

Kaptan 1998
E. Kaptan, Bakla Tepe'de eski metalurjiye ait buluntular, Arkeometri Sonuçları Toplantısı 13, 1998, 103–114.

Kartal 2007
M. Kartal, Karain Mağarası Kazıları 2006 / Excavations at Karain cave in 2006, Anadolu Akdenizi Arkeoloji Haberleri 5, 2007, 12–15.

Kartal 2008
M. Kartal, Karain Mağarası Kazıları 2007 / Excavations at Karain cave in 2007, Anadolu Akdenizi Arkeoloji Haberleri 6, 2008, 24–28.

Kartal 2009
M. Kartal, Karain Mağarası Kazıları 2008 Yılı Kazıları / Excavations at Karain cave in 2008, Anadolu Akdenizi Arkeoloji Haberleri 7, 2009, 22–25.

Kartal – Yalçınkaya 2012
M. Kartal – I. Yalçınkaya, Karain Mağarası 2011 Kazıları / Excavations at Karain cave in 2011, Anadolu Akdenizi Arkeoloji Haberleri 10, 2012, 27–29.

Karul 2003
N. Karul, Die Architektur von Aşağı Pınar, in: Karul et al. 2003, 42–154.

Karul 2006
N. Karul, Kuzeybatı Anadolu'da Neolitik ve Kalkolitik Çağ Yerleşimlerinin Sınırlandırılması, in: Erkanal-Öktü et al. 2006, 479–486.

Karul – Bertram 2005
N. Karul – J.-K. Bertram, From Anatolia to Europe. The ceramic sequence of Hoca Çeşme in Turkish Thrace, in: C. Lichter (Hrsg.), How Did Farming Reach Europe? Anatolian-European Relations from the Second Half of the 7th Through the First Half of the 6th Millennium cal BC. Proceedings of the International Workshop, 20–22 May 2004, Istanbul, Byzas 2 (Istanbul 2005) 117–129.

Karul et al. 2003
N. Karul – Z. Eres – M. Özdoğan – H. Parzinger (Hrsg.), Aşağı Pınar I. Einführung, Forschungsgeschichte, Stratigraphie und Architektur, Studien im Thrakien-Marmara-Raum 1 = Archäologie in Eurasien 15 (Mainz 2003).

Kayan 2014
İ. Kayan, Paleogeography of the coastal regions of Turkey during the Neolithic Period, in: Özdoğan et al. 2014, 95–123.

Keller 1863
F. Keller, Pfahlbauten. 5. Bericht, Mittheilungen der Antiquarischen Gesellschaft in Zürich 14, 6 (Zürich 1863).

Kerner 2010
S. Kerner, Craft specialization and its relation with social organisation in the late 6th to early 4th millennium BCE of the Southern Levant, Paléorient 36, 1, 2010, 179–198.

Kiyak et al. 2010
N. G. Kiyak – T. Takaoğlu – A. E. Erginal – H. Ozcan, Luminescence dating of prehistoric site of Smintheion (Gülpınar) in NW Turkey, Mediterranean Archaeology and Archaeometry 10, 4, 2010, 35–42.

Kızıltan – Polat 2013
Z. Kızıltan – M. A. Polat, The Neolithic at Yenikapı. Marmaray-Metro project rescue excavations, in: Özdoğan et al. 2013, 113–165.

Klejn 1972
L. S. Klejn, Die Konzeption des „Neolithikums“, „Äneolithikums“ und der „Bronzezeit“ in der archäologischen Wissenschaft der Gegenwart, in: L. S. Klejn – St. Tabaczyński (Hrsg.), Neolithische Studien I (Berlin 1972) 7–29.

Knitter et al. 2012
D. Knitter – M. Bergner – B. Horejs – B. Schütt – M. Meyer, Concepts of Centrality and Models of Exchange in Prehistoric western Anatolia, in: W. Bebermeier – R. Hebenstreit – E. Kaiser – J. Krause (Hrsg.), Landscape Archaeology. Proceedings of the International Conference Held in Berlin, 6–8 June 2012, eTopoi. Journal for Ancient Studies, Special Volume 3, 2012, 361–368. Online <http://journal.topoi.org/index.php/etopoi/article/view/135/160> (letzter Zugriff 8. Aug. 2017).

Knitter et al. 2013
D. Knitter – H. Blum – B. Horejs – O. Nakoinz – B. Schütt – M. Meyer, Integrated centrality analysis. A diachronic comparison of selected western Anatolian locations, Quaternary International 312, 2013, 45–56.

Koder – Ladstätter 2010
J. Koder – S. Ladstätter, Ephesos 2008, Kazı Sonuçları Toplantısı 31, 3/2009, 2010, 321–336.

Kökten 1955
K. Kökten, Antalya’da Karain Mağarasında Yapılan Prehistorya Araştırmalarına Toplu Bir Bakış, Belleten, Türk Tarih Kurumu 19, 1955, 271–283.

Kontaxi et al. 2006
Χ. Κονταξή – Β. Γιαννόπουλος – Α. Καζνέση, Το σπήλαιο του ‘Ορφέα’ Αλιστράτης Σερρών και η ευρύτερη περιοχή. Πρώτες σπηλαιολογικές και αρχαιολογικές έρευνες, Το Αρχαιολογικό Έργο στη Μακεδονία και στη Θράκη 18/2004, 2006, 57–62.

Korfmann 1972
M. Korfmann, Schleuder und Bogen in Südwestasien. Von den frühesten Belegen bis zum Beginn der historischen Stadtstaaten, Antiquitas. Reihe III. Abhandlungen zur Vor- und Frühgeschichte, zur klassischen und provinzial-römischen Archäologie und zur Geschichte des Altertums 13 (Bonn 1972).

Korfmann 1979
M. Korfmann, Demircihüyük. Die Ergebnisse der Grabungen von 1976 und 1977, Istanbuler Mitteilungen 29, 1979, 9–47.

Korfmann 1983
M. Korfmann, Demircihüyük I. Architektur, Stratigraphie und Befunde (Mainz 1983).

Korfmann 1985
M. Korfmann, Beşik-Tepe. Vorbericht über die Ergebnisse der Grabung von 1983. Grabungen am Beşik-Yassıtepe und Beşik-Sivritepe, Archäologischer Anzeiger 1985, 157–172.

Korfmann 1986
M. Korfmann, Beşik-Tepe. Vorbericht über die Ergebnisse der Grabung von 1984. Grabungen am Beşik-Yassıtepe, Beşik-Sivritepe und Beşik-Gräberfeld, Archäologischer Anzeiger 1986, 303–363.

Korfmann 1989
M. Korfmann, Beşik-Tepe. Vorbericht über die Ergebnisse der Grabung von 1987 und 1988. Auswertungsarbeiten Beşik-Sivritepe, Beşik-Yassıtepe, Beşik-Gräberfeld und Grabungen am Beşik-Sivritepe, Archäologischer Anzeiger 1989, 473–481.

Korfmann – Kromer 1993
M. Korfmann – B. Kromer, Demircihüyük, Beşik-Tepe, Troia. Eine Zwischenbilanz zur Chronologie dreier Orte in Westanatolien, Studia Troica 3, 1993, 135–171.

Korfmann et al. 1995
M. Korfmann – Ç. Girgin – Ç. Morçöl – S. Kılıç, Kumtepe 1993. Bericht über die Rettungsgrabung, Studia Troica 5, 1995, 237–289.

Korkut 2012
T. Korkut, Tlos 2010 Kazı Etkinlikleri, Kazı Sonuçları Toplantısı 33, 1/2011, 2012, 453–474.

Korkut 2013
T. Korkut, Tlos 2011 Kazı Etkinlikleri, Kazı Sonuçları Toplantısı 34, 3/2012, 2013, 189–204.

Korkut et al. 2014
T. Korkut – G. Işın – T. Takaoğlu, Tavabaşı Mağarası, in: T. Korkut, Tlos 2012 Kazı Etkinlikleri, Kazı Sonuçları Toplantısı 35, 3/2013, 2014, 109–110.

Korkut et al. 2015
T. Korkut – G. Işın – T. Takaoğlu – B. Özdemir, Tlos Antik Kenti Yakınlarındaki Tavabaşı Mağarası Kaya Resimleri, Türkiye Bilimler Akademisi Arkeoloji Dergisi 18, 2015, 37–49.

Koşay – Sperling 1936
H. Z. Koşay – J. Sperling, Troad'da Dört Yerleşme Yeri (Istanbul 1936).

Kouka 2002
O. Kouka, Siedlungsorganisation in der Nord- und Ostägäis während der Frühbronzezeit (3. Jt. v. Chr.), Internationale Archäologie 58 (Rahden/Westfalen 2002).

Kouka 2008
O. Kouka, Diaspora, presence or interaction? The Cyclades and the Greek mainland from the Final Neolithic to Early Bronze II, in: Brodie et al. 2008, 271–279.

Kouka 2009
O. Kouka, Third millennium BC Aegean chronology. Old and new data from the perspective of the third millennium AD, in: S. W. Manning – M. J. Bruce (Hrsg.), Tree-Rings, Kings, and Old World Archaeology and Environment. Papers Presented in Honor of Peter Ian Kuniholm (Oxford 2009) 133–149.

Kouka 2012a
O. Kouka, Samos, Heraion, in: Deutsches Archäologisches Institut, Jahresbericht 2011, Archäologischer Anzeiger 2012, 1, Beiheft, 100–101.

Kouka 2012b
O. Kouka, Prehistoric Ionia reconsidered. New excavations at the Heraion, Samos, and on the western littoral of Asia Minor, Bulletin of the Institute of Classical Studies of the University of London 55, 2, 2012, 125–126.

Kouka 2014a
O. Kouka, The prehistoric settlement under the Heraion of Samos, in: A. Gagatsis – P. Eteokleous (Hrsg.), A. G. Leventis Research Projects 2000–2016. Reviews and Contribution (Nicosia 2014) 51–63.

Kouka 2014b
O. Kouka, Past stories – modern narratives. Cultural dialogues between East Aegean islands and the West Anatolian mainland in the 4th millennium BC, in: Horejs – Mehofer 2014, 43–63.

Kouka 2015
O. Kouka, Prehistoric Heraion reconsidered. Glimpses on the excavation 2009–2013 north of the sacred road in: D. Panagiotopoulos – I. Kaiser – O. Kouka (Hrsg.), Ein Minoer im Exil. Festschrift für Wolf-Dietrich Niemeier, Universitätsforschungen zur prähistorischen Archäologie 270 (Bonn 2015) 223–242.

Koukouli-Chrysanthaki 1992
Χ. Κουκούλη-Χρυσανθάκη, Πρωτοϊστορική Θάσος. Τα νεκροταφεία του οικισμού Καστρί, Δημοσιεύματα του Αρχαιολογικού Δελτίου 45 (Athen 1992).

Koukouli-Chrysanthaki – Papadopoulos 2016
Ch. Koukouli-Chrysanthaki – S. Papadopoulos, The island of Thasos from the Neolithic to the Early Bronze Age. Excavation data and absolute dates, in: Tsirtsoni 2016a, 339–358.

Krauß 2008
R. Krauß, Karanovo und das südosteuropäische Chronologiesystem aus heutiger Sicht, Eurasia Antiqua 14, 2008, 117–149.

Krauß 2011
R. Krauß (Hrsg.), Beginnings – New Research in the Appearance of the Neolithic between Northwest Anatolia and the Carpathian Basin. Papers of the International Workshop 8th–9th April 2009, Istanbul, Menschen – Kulturen – Traditionen. Studien aus den Forschungsclustern des Deutschen Archäologischen Instituts 1 (Rahden/Westfalen 2011).

Krauß et al. 2014
R. Krauß – S. Zäuner – E. Pernicka, Statistical and anthropological analysis of the Varna necropolis, in: H. Meller – R. Risch – E. Pernicka (Hrsg.), Metalle der Macht – Frühes Gold und Silber. 6. Mitteldeutscher Archäologentag vom 17. bis 19. Oktober 2013 in Halle (Saale), Tagungen des Landesmuseums für Vorgeschichte Halle 11 (Halle 2014) 371–387.

Kromer et al. 2003
B. Kromer – M. Korfmann – P. Jablonka, Heidelberg radiocarbon dates for Troia I to VIII and Kumtepe, in: Wagner et al. 2003, 43–54.

Ladstätter 2014
S. Ladstätter, Efes 2013, Kazı Sonuçları Toplantısı 36, 2/2014, 2014, 601–616.

Lamb 1932
W. Lamb, Schliemann's prehistoric sites in the Troad, Prähistorische Zeitschrift 23, 1932, 111–131.

Lamb 1936
W. Lamb, Excavations at Thermi in Lesbos (Cambridge 1936).

Leshtakov et al. 2016
K. Leshtakov – N. Todorova – V. Petrova, Late Chalcolithic Tatul, in: Tsirtsoni 2016a, 187–207.

Levi 1929
D. Levi, La Grotta di Aspripetra a Coo, Annuario della Scuola Archeologica di Atene e delle Missioni Italiane in Oriente 8–9/1925–1926, 1929, 235–312.

Lichardus 1991
J. Lichardus (Hrsg.), Die Kupferzeit als historische Epoche. Symposion Saarbrücken und Otzenhausen 6.–13.11.1988, Saarbrücker Beiträge zur Altertumskunde 55 (Bonn 1991).

Lichter 2011
C. Lichter, Von nichts kommt nichts. Steinzeitliche Vorgänger der Kykladenkultur, in: Badisches Landesmuseum Karlsruhe 2011, 32–40.

Lichter – Meriç 2005
C. Lichter – R. Meriç, Dedecik-Heybelitepe, Archäologischer Anzeiger 2005, 2, 204–205.

Lichter – Meriç 2007
C. Lichter – R. Meriç, Dedecik-Heybelitepe, in: Özdoğan – Başgelen 2007, 385–386.

Lichter – Meriç 2012
C. Lichter – R. Meriç, Dedecik-Heybelitepe. Excavations at a Neolithic settlement in the Torbalı Plain, in: Özdoğan et al. 2012b, 133–138.

Lloyd – Mellaart 1958
S. Lloyd – J. Mellaart, Beycesultan excavations. Fourth preliminary report, 1957, Anatolian Studies 8, 1958, 93–125.

Lloyd – Mellaart 1959
T S. Lloyd – J. Mellaart, Excavations at Beycesultan, 1958, Anatolian Studies 9, 1959, 35–50.

Lloyd – Mellaart 1962
S. Lloyd – J. Mellaart, Beycesultan I. The Chalcolithic and Early Bronze Age Levels (London 1962).

Lüning 1996
J. Lünig, Erneute Gedanken zur Benennung der neolithischen Perioden, Germania 74, 1, 1996, 233–237.

Maiuri 1928
A. Maiuri, Esplorazione di Grotte con Avanzi Preistorici nell'isola di Calimno, in: Maiuri – Jacopich 1928, 104–117.

Maiuri – Jacopich 1928
A. Maiuri – G. Jacopich (Hrsg.), Clara Rhodos I. Rapporto generale sul servizio archeologico a Rodi e nelle isole dipendenti dall'anno 1912 all'anno 1927 (Rhodos 1928).

Malamidou 2007
D. Malamidou, Kryoneri: a Neolithic and Early Bronze Age settlement in the lower Strymon valley, in: Todorova et al. 2007, 297–308.

Malamidou 2016
D. Malamidou, Kryoneri, Nea Kerdyllia. A settlement of the Late Neolithic and Early Bronze Age on the lower Strymon valley, eastern Macedonia, in: Tsirtsoni 2016a, 299–315.

Maniatis – Facorellis 2012
Γ. Μανιάτης – Γ. Φακορέλλης, Χρονολόγηση με ραδιοάνθρακα των οικιστικών φάσεων του προϊστορικού οικισμού στα Λιμενάρια Θάσου, in: Papadopoulos – Malamidou 2012a, 275–291.

Maniatis – Papadopoulos 2011
Y. Maniatis – S. Papadopoulos, ^{14}C dating of a Final Neolithic–Early Bronze Age transition period settlement at Aghios Ioannis on Thassos (north Aegean), Radiocarbon 53, 1, 2011, 21–37.

Maniatis et al. 2014
Y. Maniatis – Z. Tsirtsoni – Ch. Oberlin – P. Darque – Ch. Koukouli-Chryssanthaki – D. Malamidou – T. Siros – M. Miteletsis – S. Papadopoulos – B. Kromer, New ^{14}C evidence for the Late Neolithic–Early Bronze Age transition in southeast Europe, Open Journal of Archaeometry 2:5262, 2014, 43–50.

Maniatis et al. 2015
Y. Maniatis – N. Nerantzis – S. Papadopoulos, Radiocarbon dating of Aghios Antonios, Potos, and intersite chronological variability in south Thasos, Greece, Radiocarbon 57, 5, 2015, 807–823.

Maniatis et al. 2016
Y. Maniatis – Ch. Oberlin – Z. Tsirtsoni, "Balkans 4000". The radiocarbon dates from archaeological contexts, in: Tsirtsoni 2016a, 41–65.

Manning 2008
S. W. Manning, Some initial wobbly steps towards a Late Neolithic to Early Bronze Age III radiocarbon chronology for the Cyclades, in: Brodie et al. 2008, 55–59.

Mansel 1937
A. M. Mansel, Les fouilles de 1936–37 en Thrace, La Turquie Kemaliste 21/22, 1937, 36–46.

Mansel 1938
A. M. Mansel, Trakyanın Kültür ve Tarihi, Edirne ve Yöresi Eski Eserleri Sevenler Kurumu Yayınlarından 5 (Istanbul 1938).

Mansel 1939
A. M. Mansel, Alpullu Preistorik Keramikleri, in: Tebliğler Kitabı I. XVIII inci Beynelmilel Antropoloji ve Prehistorik Arkeoloji Kongresi, Istanbul – Ankara, 18–25 Eylül 1939 (Ankara 1939) 162–163.

Mansel 1940
A. M. Mansel, Trakya Hafriyatı, Belleten. Türk Tarih Kurumu 5, 1940, 89–139.

Maran 1997
J. Maran, Neue Ansätze für die Beurteilung der Balkanisch-Ägäischen Beziehungen im 3. Jahrtausend v. Chr., in: P. Roman (Hrsg.), The Thracian World at the Crossroads of Civilizations. Proceedings of the Seventh International Congress of Thracology, Constanţa – Mangalia – Tulcea, 20–26 May 1996 (Bukarest 1997) 171–192.

Maran 1998
J. Maran, Kulturwandel auf dem griechischen Festland und den Kykladen im späten 3. Jahrtausend v. Chr. Studien zu den kulturellen Verhältnissen in Südosteuropa und dem zentralen sowie östlichen Mittelmeerraum in der späten Kupfer- und frühen Bronzezeit, Universitätsforschungen zur prähistorischen Archäologie 53 (Bonn 1998).

Maran 2000
J. Maran, Das ägäische Chalkolithikum und das erste Silber in Europa, in: C. Işık (Hrsg.), Studien zur Religion und Kultur Kleinasiens und des ägäischen Bereichs. Festschrift für Baki Öğün zum 75. Geburtstag, Asia Minor Studien 39 (Bonn 2000) 179–193.

Martini 2003
W. Martini, Topographie und Architektur, in: Abbasoğlu – Martini 2003, 11–78.

Martini 2010
W. Martini, Die Akropolis von Perge in Pamphylien. Vom Siedlungsplatz zur Akropolis, Sitzungsberichte der Wissenschaftlichen Gesellschaft an der Johann Wolfgang Goethe-Universität Frankfurt am Main 48, 1 (Stuttgart 2010).

Massa – Şahoğlu 2011
M. Massa – V. Şahoğlu, Western Anatolian burial customs during the Early Bronze Age, in: Şahoğlu – Sotirakopoulou 2011, 164–171.

Matsas 1987
Δ. Μάτσας, Σαμοθράκη 1987: Αρχαιολογικές και εθνοαρχαιολογικές εργασίες, Το Αρχαιολογικό Έργο στη Μακεδονία και Θράκη 1, 1987, 499–503, 546.

Mehofer 2014a
M. Mehofer, Metallurgy during the Chalcolithic and the beginning of the Early Bronze Age in western Anatolia, in: Horejs – Mehofer 2014, 43–63.

Mehofer 2014b
M. Mehofer, Spätchalkolithische und frühbronzezeitliche Metallurgie auf dem Çukuriçi Höyük. Metallverarbeitung im 4. und 2. Jt. v. Chr. in Westanatolien (Dissertation, Universität Tübingen 2014).

Melas 1985
M. Melas, The Islands of Karpathos, Saros and Kasos in the Neolithic and Bronze Age, Studies in Mediterranean Archaeology 68 (Göteborg 1988).

Melas 1988
M. Melas, Exploration in the Dodecanese. New prehistoric and Mycenaean finds, The Annual of the British School at Athens 83, 1988, 283–311.

Mellaart 1970
J. Mellaart, Excavations at Hacılar (Edinburgh 1970).

Mellink 1959
M. J. Mellink, Archaeology in Asia Minor, American Journal of Archaeology 63, 1, 1959, 73–85.

Mellink 1960
M. J. Mellink, Archaeology in Asia Minor, American Journal of Archaeology 64, 1, 1960, 57–69.

Mellink 1965
M. J. Mellink, Anatolian chronology, in: R. W. Ehrich (Hrsg.), Chronologies in Old World Archaeology (Chicago 1965) 101–131.

Mellink 1968
M. J. Mellink, Excavations at Karataş-Semayük in Lycia, 1967, American Journal of Archaeology 72, 3, 1968, 246–263.

Mellink 1969
M. J. Mellink, Excavations at Karataş-Semayük in Lycia, 1968, American Journal of Archaeology 73, 3, 1969, 319–331.

Mellink 1970
M. J. Mellink, Excavations at Karataş-Semayük in Lycia, 1969, American Journal of Archaeology 74 3, 1970, 245–259.

Mellink 1971
M. J. Mellink, Excavations at Karataş-Semayük in Lycia, 1970, American Journal of Archaeology 75, 3, 1971, 245–255.

Mellink 1973
M. J. Mellink, Excavations at Karataş-Semayük in Lycia, 1972, American Journal of Archaeology 77, 3, 1973, 293–307.

Mellink 1975
M. J. Mellink, Excavations at Karataş-Semayük in Lycia, 1974, American Journal of Archaeology 79, 4, 1975, 349–355.

Mellink 1992
M. J. Mellink, Anatolian chronology, in: R. W. Ehrich (Hrsg.), Chronologies in Old World Archaeology, 3. Auflage (Chicago 1992) 207–220.

Meriç 1989
R. Meriç, 1987 Yılı Alaşehir Kazısı, Kazı Sonuçları Toplantısı 10, 1/1988, 1989, 157–170.

Meriç 1990
R. Meriç, 1988 Yılı Alaşehir Kazısı, Kazı Sonuçları Toplantısı 11, 1/1989, 1990, 179–190.

Meriç 1993
R. Meriç, 1991 Yılı Alaşehir Kazısı, Kazı Sonuçları Toplantısı 14, 2/1992, 1993, 355–363.

Meriç 1994
R. Meriç, 1992 Yılı Alaşehir Kazısı Raporu, Kazı Sonuçları Toplantısı 15, 2/1993, 1994, 422–424.

Meriç 2009
R. Meriç, Das Hinterland von Ephesos. Archäologisch-topographische Forschungen im Kaystros-Tal, Ergänzungshefte zu den Jahresheften des Österreichischen Archäologischen Institutes in Wien 12 (Wien 2009).

Meriç et al. 2005
R. Meriç – A. K. Öz – A. E. Meriç, Metropolis Kazıları, 2003, Kazı Sonuçları Toplantısı 26, 2/2004, 2005, 137–146.

Meriç et al. 2006
R. Meriç – A. K. Öz – A. E. Meriç – S. Aybek, Metropolis 2004 Yılı Kazı Çalışmaları, Kazı Sonuçları Toplantısı 27, 1/2005, 2006, 249–260.

Mikov – Dzhambazov 1960
В. Миков – Н. Джамбазов, Деветашката пещера (Sofia 1960).

Milić 2014
M. Milić, PXRF characterisation of obsidian from central Anatolia, the Aegean and central Europe, Journal of Archaeological Science 41, 2014, 285–296.

Milić 2016
M. Milić, A question of scale? Connecting communities through obsidian exchange in the Neolithic Aegean, Anatolia and Balkans, in: Molloy 2016, 97–122.

Milojčič 1961
V. Milojčič, Die prähistorische Siedlung unter dem Heraion. Grabung 1953 und 1955, Samos I (Bonn 1961).

Mitten – Yüğrüm 1974
D. G. Mitten – G. Yüğrüm, Ahlatlı Tepecik beside the Gygean Lake, Archaeology 27, 1, 1974, 22–29.

Molley 2016
B. P. C. Molley (Hrsg.), Of Odysseys and Oddities. Scales and Modes of Interaction between Prehistoric Aegean Societies and their Neighbours (Oxford 2016).

Much 1885
M. Much, Die Kupferzeit in Europa und ihr Verhältnis zur Cultur der Indogermanen, Mittheilungen der k. k. Central-Commission zur Erforschung und Erhaltung der kunst- und historischen Denkmale NF 11, 1885, C–CIX.

Much 1893
M. Much, Die Kupferzeit in Europa und ihr Verhältnis zur Kultur der Indogermanen (Jena 1893).

Müller 1997
J. Müller, Neolithische und chalkolithische Spondylus-Artefakte. Anmerkungen zu Verbreitung, Tauschgebiet und sozialer Funktion, in: C. Becker – M.-L. Dunkelmann – C. Metzner-Nebelsick – H. Peter-Röcher – M. Roeder – B. Teržan (Hrsg.), Χρόνος. Beiträge zur prähistorischen Archäologie zwischen Nord- und Südeuropa. Festschrift für Bernhard Hänsel, Internationale Archäolgie – Studia honoraria 1 (Espelkamp 1997) 91–106.

Müller-Karpe 1974
H. Müller-Karpe, Handbuch der Vorgeschichte III, 1 (München 1974).

Nêmejcová-Pavúková 1993
V. Nêmejcová-Pavúková, Zum Charakter des Chalkolithikums im nordägäischen Raum, Anatolica 19, 1993, 243–249.

Neustupný 1991
E. Neustupný, Zum Begriff des mitteleuropäischen Äneolithikums, in: Lichardus 1991, 747–752.

Niemeier 2000
W.-D. Niemeier, Milet. Knotenpunkt im bronzezeitlichen Metallhandel zwischen Anatolien und der Ägäis?, in: Yalçın 2000a, 125–136.

Niemeier 2007
W.-D. Niemeier, Milet von den Anfängen menschlicher Besiedlung bis zur ionischen Wanderung, in: J. Cobet – V. von Graeve – W.-D. Niemeier – K. Zimmermann (Hrsg.), Frühes Ionien. Eine Bestandsaufnahme. Panionion-Symposion Güzelçamlı, 26 September – 1 Oktober 1999, Milesische Forschungen 5 (Mainz 2007) 3–20.

Okrusch – Matthes 2014
M. Okrusch – S. Matthes, Mineralogie. Eine Einführung in die spezielle Mineralogie, Petrologie und Lagerstättenkunde, 9. Auflage (Berlin, Heidelberg 2014).

Oybak – Doğan 2008
E. Oybak – C. Doğan, Plant remains from Liman Tepe and Bakla Tepe in the Izmir region, in: Erkanal et al. 2008, 399–406.

Özbal – Gerritsen 2011
R. Özbal – F. Gerritsen, 2009 Yılı Barcın Höyük Kazıları, Kazı Sonuçları Toplantısı 32, 2/2010, 2011, 198–208.

Özbal – Gerritsen 2013
R. Özbal – F. Gerritsen, 2011 Yılı Barcın Höyük Kazıları, Kazı Sonuçları Toplantısı 34, 1/2012, 2013, 159–168.

Özcelik 2012
K. Özcelik, Karain mağarası kazıları (1985–), in: Bingöl et al. 2012, 37–42.

Özdemir 2007
A. Özdemir, An experimental study of mat impressions on pot bases from Chalcolithic Gülpınar (Smintheion), in: T. Takaoğlu (Hrsg.), Ethnoarchaeological Investigations in Rural Anatolia 4 (Istanbul 2007) 73–85.

Özdemir 2012
A. Özdemir, Kalkolitik Smintheion (Gülpınar)'da Dokumacılık ve Hasırcılık, Anadolu 38, 2012, 139–153.

Özdemir 2013
A. Özdemir, Kalkolitik Smintheion (Gülpınar) Yerleşiminde Hasırcılık ve Dokumacılık, Studies on the Troad 3 (Çanakkale 2013).

Özdemir et al. 2014
A. Özdemir – A. O. Bamyacı – Ç. Yavşan, Kalkolitik Smintheion (Gülpınar) Buluntusu Antropomorfik Objeler, Höyük 5, 2014, 11–24.

Özdoğan 1982
M. Özdoğan, Tilkiburun. A Late Chalcolithic site in eastern Thrace, Anatolica 9, 1982, 1–26.

Özdoğan 1983a
M. Özdoğan, Trakya ve Doğu Marmara Araştırmaları 1981 Yılı Çalışmaları, Kazı Sonuçları Toplantısı 4/1982, 1983, 137–142.

Özdoğan 1983b
M. Özdoğan, Trakya'da Tarihöncesi Araştırmalarının Bugünkü Durumu ve Bazı Sorunlar, Güney-Doğu Avrupa Araştırmaları Dergisi 10–11, 1983, 21–58.

Özdoğan 1984
M. Özdoğan, Doğu Marmara ve Trakya Araştırmaları, 1982, Araştırma Sonuçları Toplantısı 1/1983, 1984, 63–68, 238–240.

Özdoğan 1985a
M. Özdoğan, The Chalcolithic pottery of Yarımburgaz cave, in: M. Liverani – A. Palmieri – R. Peroni (Hrsg.), Studi di Paletnologia in Onore di S. M. Puglisi (Rom 1985) 177–189.

Özdoğan 1985b
M. Özdoğan, 1983 Yılı Doğu Marmara ve Trakya Araştırmaları, Araştırma Sonuçları Toplantısı 2/1984, 1985, 221–232.

Özdoğan 1986a
M. Özdoğan, Prehistoric sites in the Gelibolu peninsula, Anadolu Araştırmaları, Jahrbuch für Kleinasiatische Forschung 10, 1986, 51–66.

Özdoğan 1986b
M. Özdoğan, 1984 Yılı Trakya ve Doğu Marmara Araştırmaları, Araştırma Sonuçları Toplantısı 3/1985, 1986, 409–420.

Özdoğan 1986c
M. Özdoğan, Trakya Bölgesinde Yapılan Tarihöncesi Araştırmaları, in: IX. Türk Tarih Kongresi (Ankara 1986) 29–39.

Özdoğan 1988a
M. Özdoğan, 1986 Yılı Trakya ve Marmara Bölgesi Araştırmaları, Araştırma Sonuçları Toplantısı 5, 2/1987, 1988, 157–173.

Özdoğan 1988b
M. Özdoğan, Yarımburgaz Mağarası 1986 Yılı Kazı Çalışmaları, Araştırma Sonuçları Toplantısı 5, 2/1987, 1988, 323–346.

Özdoğan 1989
M. Özdoğan, 1989 Yılı Edirne ve Balıkesir İlleri Yüzey Araştırması, Araştırma Sonuçları Toplantısı 6/1988, 1989, 571–590.

Özdoğan 1990a
M. Özdoğan, Yarımburgaz Mağarası, in: X. Türk Tarih Kongresi (Ankara 1990) 373–388.

Özdoğan 1990b
M. Özdoğan, 1988 Yılı Trakya ve Marmara Araştırmaları, Araştırma Sonuçları Toplantısı 7/1989, 1990, 443–457.

Özdoğan 1991a
M. Özdoğan, 1989 Yılı Marmara Bölgesi Araştırmaları ve Toptepe Kazısı, Kazı Sonuçları Toplantısı 12, 1/1990, 1991, 345–375.

Özdoğan 1991b
M. Özdoğan, Eastern Thrace before the beginning of Troy I. An archaeological dilemma, in: Lichardus 1991, 217–225.

Özdoğan 1992
M. Özdoğan, 1990 Yılı Trakya ve Marmara Bölgesi Araştırmaları, Araştırma Sonuçları Toplantısı 9/1991, 1992, 405–423.

Özdoğan 1993
M. Özdoğan, Vinça and Anatolia. A new look at a very old problem (or redefining Vinça culture from the perspective of Near Eastern tradition), Anatolica 19, 1993, 173–193.

Özdoğan 1998a
M. Özdoğan, Tarihöncesi Dönemlerde Anadolu ile Balkanlar Arasındaki Kültür İlişkileri ve Trakya'da Yapılan Yeni Kazı Çalışmaları, Türkiye Bilimler Akademisi Arkeoloji Dergisi 1, 1998, 63–93.

Özdoğan 1998b
M. Özdoğan, Hoca Çeşme. An Early Neolithic Anatolian colony in the Balkans?, in: P. Anreiter – L. Bartosiewicz – E. Jerem – W. Meid (Hrsg.), Man and the Animal World. Studies in Archaeozoology, Archaeology, Anthropology and Palaeolinguistics in Memorian Sándor Bökönyi, Archaeolingua 8 (Budapest 1998) 435–451.

Özdoğan 1999
M. Özdoğan, Anadolu'dan Avrupa'ya Açılan Kapı. Trakya. Gerçekleşen Çalışmalar ve Beklentiler, Arkeoloji ve Sanat 90, 1999, 2–28.

Özdoğan 2000a
M. Özdoğan, Kırklareli Kazıları. Aşağı Pınar ve Kanlıgeçit, in: Belli 2000, 69–76.

Özdoğan 2000b
M. Özdoğan, Toptepe Kazısı, in: Belli 2000, 77–79.

Özdoğan 2000c
M. Özdoğan, Tilkiburnu, in: Belli 2000, 110.

Özdoğan 2001a
M. Özdoğan, 2000 Kırklareli Aşağı Pınar Kazısı, Türk Eskiçağ Bilimleri Enstitüsü Haberler 12, 2001, 12.

Özdoğan 2001b
M. Özdoğan, Yarımburgaz Cave excavations, in: Belli 2001, 8–11.

Özdoğan 2001c
M. Özdoğan, Kırklareli excavations. Aşağı Pınar and Kanlıgeçit, in: Belli 2001, 56–63.

Özdoğan 2001d
M. Özdoğan, Toptepe excavation, in: Belli 2001, 64–66.

Özdoğan 2001e
M. Özdoğan, Tilkiburnu excavation, in: Belli 2001, 90.

Özdoğan 2001f
M. Özdoğan, Marmara region surface survey, in: Belli 2001, 284–288.

Özdoğan 2003a
M. Özdoğan, The prehistory of northwestern Turkey, in: D. V. Grammenos (Hrsg.), Recent Research in the Prehistory of the Balkans, Publications of the Archaeological Institute of Northern Greece 3 (Thessaloniki 2003) 329–368.

Özdoğan 2003b
M. Özdoğan, Aşağı Pınar. Figurines et vaisselles cultuelles, Les Dossiers d'Archéologie 281, 2003, 14–18.

Özdoğan 2003c
M. Özdoğan, Le vase anthropomorphe de Toptepe, Les Dossiers d'Archéologie 281, 2003, 19.

Özdoğan 2003d
M. Özdoğan, Hoca Çeşme. Un site du Néolithique Ancien en Thrace, Les Dossiers d'Archéologie 281, 2003, 26–29.

Özdoğan 2004
M. Özdoğan, The fourth millennium in eastern Thrace. An archaeological enigma, in: B. Hänsel – E. Studeníková (Hrsg.), Zwischen Karpaten und Ägäis. Neolithikum und ältere Bronzezeit. Gedenkschrift für Viera Němejcová-Pavúková, Internationale Archäologie – Studia honoraria 21 (Rahden/Westfalen 2004) 19–26.

Özdoğan 2008
M. Özdoğan, Trakya'dan Neolitik Döneme Ait İnsan Betimlemeli Bir Kap, in: Tahran et al. 2008, 379–388.

Özdoğan 2011a
M. Özdoğan, Aşağı Pınar, in: N. Karul (Hrsg.), Anadolu'nun Arkeoloji Atlasi. Tarihöncesinden Demir Çağı'na (Istanbul 2011) 119.

Özdoğan 2011b
M. Özdoğan, Eastern Thrace. The contact zone between Anatolia and the Balkans, in: Steadman – McMahon 2011, 657–682.

Özdoğan 2011c
M. Özdoğan, Submerged sites and drowned topographies along the Anatolian coasts. An overview, in: J. Benjamin – C. Bonsall – C. Pickard – A. Fischer (Hrsg.), Submerged Prehistory (Oxford 2011) 219–229.

Özdoğan 2013
M. Özdoğan, Neolithic sites in Marmara region. Fikirtepe, Pendik, Yarımburgaz, Toptepe, Hoca Çeşme and Aşağı Pınar, in: Özdoğan et al. 2013, 167–269.

Özdoğan 2014
M. Özdoğan, In quest of a missing era in eastern Thrace. Dilemma of the 4th millennium, in: Horejs – Mehofer 2014, 203–215.

Özdoğan – Başgelen 2007
M. Özdoğan – N. Başgelen (Hrsg.), Türkiye'de Neolitik Dönem. Anadolu'da Uyarlığın Doğuşu ve Avrupa'ya Yayılımı. Yeni Kazılar – Yeni Bulgular (Istanbul 2007).

Özdoğan – Dede 1998
M. Özdoğan – Y. Dede, An anthropomorphic vessel from Toptepe – eastern Thrace, in: M. Stefanovich – H. Todorova – H. Hauptmann (Hrsg.), James Harvey Gaul in Memoriam, In the Steps of James Harvey Gaul 1 (Sofia 1998) 143–152.

Özdoğan – Işın 1999
A. Özdoğan – M. A. Işın, Tekirdağ Menekşe Çatağı Kazıları 1997 Yılı Çalışmaları, Kazı Sonuçları Toplantısı 20, 1/1998, 1999, 295–310.

Özdoğan – Işın 2000
A. Özdoğan – M. A. Işın, Tekirdağ Menekşe Çatağı 1998 Yılı Çalışmaları, Kazı Sonuçları Toplantısı 21, 1/1999, 2000, 239–250.

Özdoğan – Koyunlu 1986
M. Özdoğan – A. Koyunlu, Yarımburgaz Mağarası. 1986 Yılı Çalışmalarının İlk Sonuçları ve Bazı Gözlemler, Arkeoloji ve Sanat 32–33, 1986, 4–17.

Özdoğan – Özbaşaran Dede 1990
M. Özdoğan – N. Özbaşaran Dede, 1989 Yılı Toptepe Kurtarma Kazısı, Arkeoloji ve Sanat 13, 46–49, 1990, 2–23.

Özdoğan – Parzinger 1995
M. Özdoğan – H. Parzinger, Kırklareli Höyöğü 1993 Yılı Kazısı, Kazı Sonuçları Toplantısı 16, 1/1994, 1995, 43–67.

Özdoğan – Parzinger 2000
M. Özdoğan – H. Parzinger, Aşağı Pınar and Kanlıgeçit excavations. Some new evidence on early metallurgy from eastern Thrace, in: Yalçın 2000a, 83–91.

Özdoğan – Parzinger 2012
M. Özdoğan – H. Parzinger (Hrsg.), Die frühbronzezeitliche Siedlung von Kanlıgeçit bei Kırklareli. Ostthrakien während des 3. Jahrtausends v. Chr. im Spannungsfeld von anatolischer und balkanischer Kulturentwicklung, Studien im Thrakien-Marmara-Raum 3, Archäologie in Eurasien 27 (Köthen 2012).

Özdoğan – Schwarzberg 2006
E. Özdoğan – H. Schwarzberg, Aşağı Pınar Höyöğü Çalışmaları – 2005, Türk Eskiçağ Bilimleri Enstitüsü Haberler 21, 2006, 15–16.

Özdoğan – Schwarzberg 2008
E. Özdoğan – H. Schwarzberg, Aşağı Pınar Kazı Çalışmaları – 2007, Türk Eskiçağ Bilimleri Enstitüsü Haberler 25, 2008, 21–22.

Özdoğan et al. 1991
M. Özdoğan – Y. Miyake – N. Özbaşaran Dede, An interim report on excavations at Yarımburgaz and Toptepe in eastern Thrace, Anatolica 17, 1991, 59–121.

Özdoğan et al. 1997a
M. Özdoğan – H. Parzinger – N. Karul, Kırklareli Höyöğü 1995 Yılı Kazısı, Kazı Sonuçları Toplantısı 18, 1/1996, 1997, 53–80.

Özdoğan et al. 1997b
M. Özdoğan – H. Parzinger – N. Karul, Kırklareli Kazıları. Aşağı Pınar ve Kanlıgeçit Höyükleri, Arkeoloji ve Sanat 77, 1997, 2–11.

Özdoğan et al. 1998
M. Özdoğan – H. Parzinger – N. Karul, Kırklareli Höyöğü 1996 Yılı Kazısı, Kazı Sonuçları Toplantısı 19, 1/1997, 1998, 126–130.

Özdoğan et al. 1999
M. Özdoğan – H. Parzinger – N. Karul, Kırklareli Höyöğü 1997 Yılı Kazısı, Kazı Sonuçları Toplantısı 20, 1/1998, 1999, 139–164.

Özdoğan et al. 2000
M. Özdoğan – H. Parzinger – N. Karul, 1998 Yılı Kırklareli Höyöğü Kazıları, Kazı Sonuçları Toplantısı 21, 1/1999, 2000, 93–108.

Özdoğan et al. 2001
M. Özdoğan – N. Karul – A. Ayhan, Kırklareli Höyöğü 1999 Yılı Çalışmaları, Kazı Sonuçları Toplantısı 22, 1/2000, 2001, 83–94.

Özdoğan et al. 2002
M. Özdoğan – N. Karul – A. Ayhan, Kırklareli Höyöğü 2000 Yılı Kazısı, Kazı Sonuçları Toplantısı 23, 2/2001, 2002, 307–314.

Özdoğan et al. 2005
M. Özdoğan – N. Karul – E. Özdoğan, Kırklareli Höyöğü 2003 Yılı Kazısı, Kazı Sonuçları Toplantısı 26, 1/2004, 2005, 321–332.

Özdoğan et al. 2007
E. Özdoğan – H. Schwarzberg – M. Özdoğan, Kırklareli Höyöğü 2005 Yılı Çalışmaları, Kazı Sonuçları Toplantısı 27, 2/2006, 2007, 253–268.

Özdoğan et al. 2008
E. Özdoğan – H. Schwarzberg – M. Özdoğan – H. Parzinger – E. Güldoğan, 2006 Yılı Kırklareli Höyöğü Çalışmaları, Kazı Sonuçları Toplantısı 29, 1/2007, 2008, 39–58.

Özdoğan et al. 2009
M. Özdoğan – H. Parzinger – E. Özdoğan – H. Schwarzberg, Kırklareli Höyöğü Aşağı Pınar Kazısı 2007 Yılı Çalışmaları, Kazı Sonuçları Toplantısı 30, 2/2008, 2009, 233–248.

Özdoğan et al. 2010
E. Özdoğan – H. Schwarzberg – M. Özdoğan, Kırklareli Höyöğü 2008 Yılı Çalışmaları, Kazı Sonuçları Toplantısı 31, 2/2009, 2010, 357–374.

Özdoğan et al. 2012a
M. Özdoğan – H. Parzinger – Z. Eres – Ö. Yılmaz, Cultural sequence, stratification and architectural remains, in: Özdoğan – Parzinger 2012, 19–52.

Özdoğan et al. 2012b
M. Özdoğan – N. Başgelen – P. Kuniholm (Hrsg.), The Neolithic in Turkey 4. New Excavations & New Research. Western Turkey (Istanbul 2012).

Özdoğan et al. 2013
M. Özdoğan – N. Başgelen – P. Kuniholm (Hrsg.), The Neolithic in Turkey 5. New Excavations & New Research. Northwestern Turkey and Istanbul (Istanbul 2013).

Özdoğan et al. 2014
M. Özdoğan – N. Başgelen – P. Kuniholm (Hrsg.), The Neolithic in Turkey 6. 10500–5200 BC: Environment, Settlement, Flora, Fauna, Dating, Symbols of Belief, with Views from North, South, East, and West (Istanbul 2014).

Özgüç 1948
T. Özgüç, Die Bestattungsbraeuche im vorgeschichtlichen Anatolien, Veröffentlichungen der Universität Ankara 14 (Ankara 1948).

Özgünel – Kaplan 2009
C. Özgünel – D. Kaplan, 2007 Yılı Gülpınar/Smintheion Kazı Çalışmaları (28. Yıl), Kazı Sonuçları Toplantısı 30, 4/2008, 2009, 409–432.

Özgünel – Kaplan 2010
C. Özgünel – D. Kaplan, 2008 Yılı Gülpınar/Smintheion Kazı Çalışmaları (29. Yıl), Kazı Sonuçları Toplantısı 31, 2/2009, 2010, 75–90.

Özgünel – Kaplan 2011
C. Özgünel – D. Kaplan, 2009 Yılı Gülpınar Kazıları (30. Yıl), Kazı Sonuçları Toplantısı 32, 1/2010, 2011, 212–229.

Özgünel – Kaplan 2012
C. Özgünel – D. Kaplan, 2010 Yılı Gülpınar/Smintheion Kazı Çalışmaları (31. Yıl), Kazı Sonuçları Toplantısı 33, 1/2011, 2012, 145–171.

Pantelidou Gofa 2005
Μ. Παντελίδου Γκόφα, Τσέπι Μαραθώνος. Το πρωτο-ελλαδικό νεκροταφείο, Βιβλιοθήκη της εν Αθήναις Αρχαιολογικής Εταιρείας 235 (Athen 2005).

Pantelidou Gofa 2013
Μ. Παντελίδου Γκόφα, Ανασκαφή Τσέπι Μαραθώνος, Πρακτικά της εν Αθήναις Αρχαιολογικής Εταιρείας 165/2010, 2013, 171–175.

Pantelidou Gofa 2016
Μ. Παντελίδου Γκόφα, Τσέπι Μαραθώνος. Ο αποθέτης 39 του προϊστορικού νεκροταφείου, Βιβλιοθήκη της εν Αθήναις Αρχαιολογικής Εταιρείας 310 (Athen 2016).

Papadopoulos – Malamidou 2008
S. Papadopoulos – D. Malamidou, Limenaria, a Neolithic and Early Bronze Age settlement at Thasos, in: Erkanal et al. 2008, 427–445.

Papadopoulos – Malamidou 2012a
Σ. Παπαδόπουλος – Δ. Μαλαμίδου, Δέκα Χρόνια Ανασκαφικής Έρευνας στον Προϊστορικό Οικισμό Λιμεναρίων Θάσου, Πρακτικά Ημερίδας, Θάσος, 11 Ιουλίου 2003 (Thessaloniki 2012).

Papadopoulos – Malamidou 2012b
Σ. Παπαδόπουλος – Δ. Μαλαμίδου, Προϊστορικός οικισμός Λιμεναρίων: το χρονικό της έρευνας, in: Papadopoulos – Malamidou 2012a, 37–50.

Papadopoulos et al. 2001
Σ. Παπαδόπουλος – Γ. Αριστοδήμου – Δ. Κουγιουμτζόγλου – Φ. Μεγαλούδη, Η τελική νεολιθική και η πρώιμη εποχή του χαλκού στη Θάσο. Η ανασκαφική έρευνα στις θέσεις Άγιος Ιωάννης και Σκάλα Σωτήρος, Το Αρχαιολογικό Έργο στη Μακεδονία και Θράκη 15, 2001, 55–65.

Pariente 1993
A. Pariente, Chronique des fouilles et découvertes archéologiques en Grèce en 1992, Bulletin de Correspondance Hellénique 117, 1993, 757–913.

Parzinger 1989
H. Parzinger, Zur frühesten Besiedlung Milets, Istanbuler Mitteilungen 39, 1989, 415–431.

Parzinger 1993
H. Parzinger, Studien zur Chronologie und Kulturgeschichte der Jungstein-, Kupfer- und Frühbronzezeit zwischen Karpaten und mittlerem Taurus (Mainz 1993).

Parzinger 2005
H. Parzinger, Die mittel- und spätneolithische Keramik aus Aşağı Pınar, Grabungen 1993–1998, in: Parzinger – Schwarzberg 2005, 1–245.

Parzinger – Özdoğan 1995
H. Parzinger – M. Özdoğan, Die Ausgrabungen in Kırklareli (Türkisch-Thrakien) und ihre Bedeutung für die Kulturbeziehungen zwischen Anatolien und dem Balkan vom Neolithikum bis zur Frühbronzezeit, Bericht der Römisch-Germanischen Kommission 76, 1995, 5–29.

Parzinger – Schwarzberg 2005
H. Parzinger – H. Schwarzberg (Hrsg.), Aşağı Pınar II. Die mittel- und spätneolithische Keramik, Studien im Thrakien-Marmara-Raum 2, Archäologie in Eurasien 18 (Mainz 2005).

Parzinger et al. 1999
H. Parzinger – M. Özdoğan – N. Karul, An der Schwelle vom Orient zum Okzident. Die deutsch-türkischen Ausgrabungen in Kırklareli, Türkisch-Thrakien, Antike Welt 30, 4, 1999, 325–336.

Peloschek 2016a
L. Peloschek, Archaeometric analyses of ceramic household inventories. Current research in Ephesos and at Çukuriçi Höyük, Arkeometri Sonuçları Toplantısı 31/2015, 2016, 253–260.

Peloschek 2016b
L. Peloschek, Verarbeitungsprozesse von Tonrohstoffen im prähistorischen und frühkaiserzeitlichen Ephesos, in: K. Piesker (Hrsg.), Wirtschaft als Machtbasis. Beiträge zur Rekonstruktion vormoderner Wirtschaftssysteme in Anatolien, Byzas 22 (Istanbul 2016) 187–205.

Peloschek 2017
L. Peloschek, Social dynamics and the development of new pottery signatures at Çukuriçi Höyük. 7th to 3rd millennium BC, in: Horejs 2017a, 125–137.

Peltenburg 2014
E. Peltenburg, Cyprus during the Chalcolithic period, in: M. Steiner – A. E. Killebrew (Hrsg.), The Oxford Handbook of the Archaeology of the Levant: c. 8000–332 BCE (Oxford 2014) 252–265.

Perinçek 2010
D. Perinçek, The geoarcheology of the Yenikapı excavation site in the last 8000 years and geological traces of natural disasters (Istanbul – Turkey), Bulletin of the Mineral Research and Exploration 141, 2010, 69–92.

Perlès et al. 2011
C. Perlès – T. Takaoğlu – B. Gratuze, Melian obsidian in NW Turkey. Evidence for Early Neolithic trade, Journal of Field Archaeology 36, 1, 2011, 42–49.

Pernicka 2014
E. Pernicka, The development of metallurgy in western Anatolia, the Aegean and southeastern Europe before Troy, in: Horejs – Mehofer 2014, 447–461.

Pernicka et al. 2014
E. Pernicka – C. Brian Rose – P. Jablonka (Hrsg.), Troia 1987–2012: Grabungen und Forschungen I. Forschungsgeschichte, Methoden und Landschaft, Studia Troica Monographien 5 (Bonn 2014).

Pernicka et al. 2016
E. Pernicka – S. Ünlüsoy – St. W. E. Blum (Hrsg.), Early Bronze Age Troy. Chronology, Cultural Development, and Interregional Contacts. Proceedings of an International Conference held at the University of Tübingen, 8th–10th May 2009, Studia Troica Monographien 8 (Bonn 2016).

Peschlow-Bindokat 2003
A. Peschlow-Bindokat (Hrsg.), Frühe Menschenbilder. Die prähistorischen Felsmalereien des Latmos-Gebirges (Westtürkei) (Mainz 2003).

Peschlow-Bindokat 2006
A. Peschlow-Bindokat (Hrsg.), Tarihöncesi İnsan Resimleri. Latmos Dağları'ndaki Prehistorik Kaya Resimleri (Istanbul 2006).

Peschlow-Bindokat – Gerber 2004
A. Peschlow-Bindokat – Ch. Gerber, Die Arbeiten des Jahres 2002 in Herakleia am Latmos und Umgebung (Bafa Gölü/Beşparmak), Araştırma Sonuçları Toplantısı 21, 2/2003, 2004, 201–210.

Peschlow-Bindokat – Gerber 2012
A. Peschlow-Bindokat – Ch. Gerber, The Latmos-Beşparmak mountains. Sites with early rock paintings in western Anatolia, in: Özdoğan et al. 2012, 67–115.

Petrova 2008
В. Петрова, Малки находки от глина от Татул, in: Ιστορική Τοπογραφία της ελληνοβουλγαρικής διασυνοριακής Π εριοχής. Πρακτικά Επιστημονικής Συνάντησης, 7–8 Νοεμβρίου 2008, Σουφλί (Soufli 2008) 89–98.

Petrova 2011
В. Петрова, Предачество и тъкачество в Севернобалканската област през бронзовата и ранножелязната епоха (III – средата на първо хилядолетие пр. Хр.) (Dissertation, St. Kliment Ohridski Universität Sofia 2011).

Poblome et al. 2016
J. Poblome – R. Vandam – B. Neyt – P. Degryse – K. Eekelers – B. Scott, The 2014 archaeological and geological surveys in the territory of Sagalassos, Araştırma Sonuçları Toplantısı 33, 1/2015, 2016, 247–266.

Poulaki-Pantermali et al. 2006
Ε. Πουλάκη-Παντερμαλή – Μ. Βαξεβανόπουλος – Σ. Κουλίδου – Α. Σύρος, Καταρράκτες (Φράγμα) Σιδηροκάστρου 2004, Το Αρχαιολογικό Έργο στη Μακεδονία και στη Θράκη 18/2004, 2006, 63–69.

Quitta 1987
H. Quitta, Die Demircihüyük ^{14}C-Datenliste, in: M. Korfmann (Hrsg.), Demircihüyük II. Die Ergebnisse der Ausgrabungen 1975–1978. Naturwissenschaftliche Untersuchungen (Mainz 1987) 12–13.

Radivojević 2015
M. Radivojević, Inventing metallurgy in western Eurasia. A look through the microscope lens, Cambridge Archaeological Journal 25, 2015, 321–338.

Radivojević et al. 2010
M. Radivojević – T. Rehren – E. Pernicka – D. Šljivar – M. Brauns – D. Borić, On the origins of extractive metallurgy. New evidence from Europe, Journal of Archaeological Science 37, 2010, 2775–2787.

Rahmstorf 2006
L. Rahmstorf, Zur Ausbreitung vorderasiatischer Innovationen in die frühbronzezeitliche Ägäis, Prähistorische Zeitschrift 81, 2, 2006, 49–96.

Rahmstorf 2015
L. Rahmstorf, An introduction to the investigation of archaeological textile tools, in: Andersson Strand – Nosch 2015, 1–23.

Rahmstorf et al. 2015
L. Rahmstorf – M. Siennicka – E. Andersson Strand – M.-L. Nosch – J. Cutler, Textile tools from Tiryns, mainland Greece, in: Andersson Strand – Nosch 2015, 267–278.

Rambach 2000
J. Rambach, Kykladen I. Die Frühe Bronzezeit. Grab- und Siedlungsbefunde, Beiträge zur ur- und frühgeschichtlichen Archäologie des Mittelmeer-Kulturraums 33 (Bonn 2000).

Rambach 2011
J. Rambach, Spiegel des Lebens? Grabausstattung und Totenfürsorge, in: Badisches Landesmuseum Karlsruhe 2011, 120–131.

Reese 2006
D. S. Reese, The exploitation of aquatic resources at Bakla Tepe, Liman Tepe and Panaztepe, in: Erkanal-Öktü et al. 2006, 626–630.

Reimer et al. 2013
P. J. Reimer – E. Bard – A. Bayliss – J. W. Beck – P. G. Blackwell – Ch. Bronk Ramsey – C. E. Buck – H. Cheng – R. L. Edwards – M. Friedrich – P. M. Grootes – Th. P. Guilderson – H. Haflidason – I. Hajdas – Ch. Hatté – T. J. Heaton – D. L. Hoffmann – A. G. Hogg – K. A. Hughen – K. F. Kaiser – B. Kromer – St. W. Manning – M. Niu – R. W. Reimer – D. A. Richards – E. M. Scott – J. R. Southon – R. A. Staff – Ch. S. M. Turney – J. van der Plicht, INTCAL13 and MARINE13 radicarbon age calibration curves 0–50,000 years cal BP, Radiocarbon 55, 4, 2013, 1869–1887.

Renfrew 1971
C. Renfrew, Sitagroi, radiocarbon and the prehistory of south-east Europe, Antiquity 45, 1971, 275–282.

Renfrew 1972
C. Renfrew, The Emergence of Civilisation. The Cyclades and the Aegean in the Third Millennium B.C. (London 1972).

Renfrew 1986
C. Renfrew, The Sitagroi sequence, in: C. Renfrew – M. Gimbutas – E. S. Elster (Hrsg.), Excavations at Sitagroi. A Prehistoric Village in Northeast Greece I, Monumenta Archaeologica 13 (Los Angeles 1986) 147–174.

Renfrew – Bahn 2001
C. Renfrew – P. Bahn, Archaeology. Theories, Methods and Practice, 4. Auflage (London 2001).

Riehl 1999a
S. Riehl, Archäobotanik in der Troas, Studia Troica 9, 1999, 367–409.

Riehl 1999b
S. Riehl, Bronze Age Environment and Economy in the Troad. The Archaeobotany of Kumtepe and Troy, BioArchaeologica 2 (Tübingen 1999).

Riehl – Marinova 2008
S. Riehl – E. Marinova, Mid-holocene vegetation change in the Troad (W Anatolia). Man-made or natural, Vegetation History and Archaeobotany 17, 2008, 297–312.

Riehl et al. 2014a
S. Riehl – E. Marinova – H.-P. Uerpmann, Landschaftsgeschichte der Troas. Bioarchäologische Forschungen, in: Pernicka et al. 2014, 732–769.

Riehl et al. 2014b
S. Riehl – K. Pustovoytov – H. Othmanli, Agricultural patterns in the Aegean in the 4th millennium BC. An explanatory model, in: Horejs – Mehofer 2014, 367–384.

Riemer 1997
H. Riemer, Form und Funktion. Zur systematischen Aufnahme und vergleichenden Analyse prähistorischer Gefäßkeramik, Archäologische Informationen 20, 1, 1997, 117–131.

Röcklinger 2015
M. Röcklinger, Die frühbronzezeitliche Keramik vom Çukuriçi Höyük. Kontextuelle Analysen zur Gefäßkeramik der Phase III (Masterarbeit, Universität Wien 2015).

Rómer 1876
F. Rómer, The prehistoric antiquities of Hungary, Annual Report of the Smithsonian Institution 1876, 1876, 394–401.

Roodenberg 1995
J. J. Roodenberg, Stratigraphy and architecture, in: J. J. Roodenberg (Hrsg.), The Ilıpınar Excavations I (Leiden 1995) 35–76.

Roodenberg 2001
J. J. Roodenberg, A Late Chalcolithic cemetery at Ilıpınar in northwestern Anatolia, in: R. M. Boehmer – J. Maran (Hrsg.), Lux Orientis. Archäologie zwischen Asien und Europa. Festschrift für Harald Hauptmann zum 65. Geburtstag, Internationale Archäologie – Studia honoraria 12 (Rahden/Westfalen 2001) 351–355.

Roodenberg 2008
J. J. Roodenberg, The Late Chalcolithic cemetery, in: J. J. Roodenberg – S. Alpaslan Roodenberg (Hrsg.), Life and Death in a Prehistoric Settlement in Northwest Anatolia. The Ilıpınar Excavations III. With Contributions on Hacılartepe and Menteşe (Leiden 2008) 315–333.

Roodenberg – Schier 2001
J. J. Roodenberg – W. Schier, Radicarbon determinations, in: J. J. Roodenberg – L. C. Thissen (Hrsg.), The Ilıpınar Excavations II (Leiden 2001) 257–278.

Roodenberg et al. 1989/1990
J. J. Roodenberg – L. C. Thissen – H. Buitenhuis, Preliminary report on the archaeological investigations at Ilıpınar in NW Anatolia, Anatolica 16, 1989/1990, 61–141.

Roodenberg et al. 2008
J. J. Roodenberg – A. van As – S. Alpaslan Roodenberg, Barcın Hüyük in the plain of Yenişehir (2005–2006). A preliminary note on the fieldwork, pottery and human remains of the prehistoric levels, Anatolica 34, 2008, 53–66.

Rüstem et al. 2002
A. Rüstem – St. W. E. Blum – G. Kastl – F. Schweizer – D. Thumm (Hrsg.). Mauerschau. Festschrift für Manfred Korfmann (Remshalden-Grunbach 2002).

Sağlamtimur 2011
H. Sağlamtimur, Environmental factors in the Neolithic settlement of Ege Gübre, in: Krauß 2011, 77–82.

Sağlamtimur 2012
H. Sağlamtimur, The Neolithic settlement of Ege Gübre, in: Özdoğan et al. 2012b, 197–225.

Sağlamtimur – Ozan 2012
H. Sağlamtimur – A. Ozan, Ege Gübre Neolitik Yerleşimi, in: Çilingiroğlu et al. 2012b, 222–241.

Şahoğlu 2006
V. Şahoğlu, "Cycladic frying pans" from Bakla Tepe, in: Erkanal-Öktü 2006, 689–696.

Şahoğlu 2008a
V. Şahoğlu, Liman Tepe and Bakla Tepe. New evidence for the relations between the Izmir region, the Cyclades and the Greek mainland during the late fourth and third millennia BC, in: Erkanal et al. 2008, 483–501.

Şahoğlu 2008b
V. Şahoğlu, Crossing borders. The Izmir region as a bridge between the east and the west during the Early Bronze Age, in: C. Gillis – B. Sjöberg (Hrsg.), Crossing Borders. Trade and Production in Premonetary Greece. Proceedings of the 7th, 8th and 9th International Workshops, Athens 1997–1999 (Savedalen 2008) 153–173.

Şahoğlu 2009
V. Şahoğlu, Izmir region excavations and research project (IRERP), Bulletin of the Institute of Classical Studies of the University of London 52, 1, 2009, 263–264.

Şahoğlu 2016
V. Şahoğlu, Early Bronze Age cemeteries at Bakla Tepe. Changing patterns, in: Pernicka et al. 2016, 167–182.

Şahoğlu – Sotirakopoulou 2011
V. Şahoğlu – P. Sotirakopoulou (Hrsg.), Across. The Cyclades and Western Anatolia During the 3rd Millenium BC. Ausstellungskatalog Istanbul (Istanbul 2011).

Şahoğlu – Tuncel 2014
V. Şahoğlu – R. Tuncel, New insights into the Late Chalcolithic of coastal western Anatolia. A view from Bakla Tepe, Izmir, in: Horejs – Mehofer 2014, 65–82.

Sampson 1979
A. Sampson, Finds of the Neolithic period from Rhodes, Αρχαιολογικά Ανάλεκτα εξ Αθηνών 12, 1979, 24–39.

Sampson 1984
A. Sampson, The Neolithic of the Dodecanese and Aegean Neolithic culture, The Annual of the British School at Athens 79, 1984, 239–249.

Sampson 1987
Α. Σάμψων, Η Νεολιθική περίοδος στα Δωδεκνησα. Έκδοση του Ταμείου Αρχαιολογικών Πόρων και Απαλλοτριώσεων (Athen 1987).

Sampson 1988a
Α. Σάμψων, Η Νεολιθική κατοίκηση στο Γυαλί της Νισύρου (Athen 1988).

Sampson 1988b
A. Sampson, Periodic and seasonal usage of two Neolithic caves in Rhodes, in: S. Dietz – I. Papachristodoulou (Hrsg.), Archaeology in the Dodecanese (Kopenhagen 1988) 10–16.

Sampson 1993
A. Sampson, Skoteini, Tharrounia. The Cave, the Settlement and the Cemetery (Athen 1993).

Sampson 2002
A. Sampson (Hrsg.), The Neolithic Settlement at Ftelia, Mykonos (Rhodos 2002).

Sampson 2006
Α. Σάμψων, Η προϊστορία του Αιγαίου. Παλαιολιθική – Μεσολιθική – Νεολιθική (Athens 2006).

Sampson 2008
A. Sampson, The Sarakenos Cave at Akraephnion, Boeotia, Greece I. The Neolithic and the Bronze Age (Athen 2008).

Sampson et al. 2012
A. Sampson, Mesolithic occupations and environments on the island of Ikaria, Aegean, Greece, Folia Quaternaria 80, 2012, 5–40.

Sayın et al. 1995
N. Sayın – M. K. Tuncer – N. Orbay – M. Özdoğan – A. Özdoğan – F. Özçep – M. Hısarlı, Menekşe Çatağı Höyüğünde Arkeojeofizik Çalışmalar, Jeofizik Dergisi 9, 1–2, 1995, 25–29.

Schachner 1999a
A. Schachner, Der Hanay Tepe und seine Bedeutung für die bronzezeitliche Topographie der Troas. Die prähistorischen Funde der Grabungen von Frank Calvert im Berliner Museum für Vor- und Frühgeschichte, Acta Praehistorica et Archaeologica 31, 1999, 7–47.

Schachner 1999b
A. Schachner, Von der Rundhütte zum Kaufmannshaus. Kulturhistorische Untersuchungen zur Entwicklung prähistorischer Wohnhäuser in Zentral-, Ost- und Südostanatolien, British Archaeological Reports. International Series 807 (Oxford 1999).

Schliemann 1881
H. Schliemann, Ilios. Stadt und Land der Trojaner. Forschungen und Entdeckungen in der Troas und besonders auf der Baustelle von Troja (Leipzig 1881).

Schliemann 1884
H. Schliemann, Troja. Ergebnisse meiner neuesten Ausgrabungen auf der Baustelle von Troja, in den Heldengraebern, Bunarbaschi und anderen Orten der Troas im Jahre 1882 (Leipzig 1884).

Schoop 2005
U.-D. Schoop, Das anatolische Chalkolithikum. Eine chronologische Untersuchung zur vorbronzezeitlichen Kultursequenz im nördlichen Zentralanatolien und den angrenzenden Gebieten, Urgeschichtliche Studien 1 (Großschönau 2005).

Schoop 2010
U.-D. Schoop, Ausgrabungen in Çamlıbel Tarlası 2009, in: A. Schachner, Die Ausgrabungen in Boğazköy-Ḫattuša 2009, Archäologischer Anzeiger 2010, 1, 191–201.

Schoop 2011
U.-D. Schoop, The Chalcolithic on the plateau, in: Steadman – McMahon 2011, 150–173.

Schoop 2014
U.-D. Schoop, Weaving society in Late Chalcolithic Anatolia. Textile production and social strategies in the 4th millennium BC, in: Horejs – Mehofer 2014, 421–446.

Schoop 2015
U.-D. Schoop, Çamlıbel Tarlası. Late Chalcolithic settlement and economy in the Budaközü valley (north-central Anatolia), in: Steadman – McMahon 2015, 46–68.

Schreg 2007
R. Schreg, Keramik aus Südwestdeutschland. Eine Hilfe zur Beschreibung, Bestimmung und Datierung archäologischer Funde vom Neolithikum bis zur Neuzeit, 3. Auflage (Tübingen 2007).

Schwall – Horejs 2017
Ch. Schwall – B. Horejs, Western Anatolian impact on Aegean figurines and religion?, in: Horejs 2017a, 53–77.

Schwall – Horejs im Druck
Ch. Schwall – B. Horejs, Permanent or seasonal? Evidence of settlements in Late Chalcolithic western Anatolia, in: B. Horejs – Ch. Schwall – V. Müller – M. Luciani – M. Ritter – M. Guidetti – R. Salisbury – F. Höflmayer– T. Bürge (Hrsg.), Proceedings of the 10th International Congress on the Archaeology of the Ancient Near East (im Druck).

Schwall et al. eingereicht
Ch. Schwall – M. Brandl – T. M. Gluhak – B. Milić – L. Peloschek – L. Sørensen – D. Wolf – B. Horejs, From near and far. Stone procurement and exchange at Çukuriçi Höyük in western Anatolia, Journal of Lithic Studies (eingereicht).

Schwarzberg – Özdoğan 2005
H. Schwarzberg – E. Özdoğan, Zwischen Ost und West. Deutsch-türkische Forschungen am neolithischen Siedlungshügel von Aşağı Pınar (Türkisch-Thrakien), Archaeologia Circumpontica 3, 2005, 7–9.

Schwarzberg – Özdoğan 2013
H. Schwarzberg – E. Özdoğan, Archäologische Ausgrabungen in Kırklareli. Zwei Jahrzehnte türkisch-deutscher Forschung in Ostthrakien, in: Ü. Yalçın (Hrsg.), Anatolian Metal VI, Der Anschnitt Beiheft 25, Veröffentlichungen aus dem Deutschen Bergbau-Museum Bochum 195 (Bochum 2013) 123–144.

Seeher 1985
J. Seeher, Vorläufiger Bericht über die Keramik des Beşik-Sivritepe, Archäologischer Anzeiger 1985, 172–182.

Seeher 1987a
J. Seeher, Demircihüyük III.1. Die Keramik 1. A. Die neolithische und chalkolithische Keramik. B. Die Frühbronzezeitliche Keramik der älteren Phasen (bis Phase G) (Mainz 1987).

Seeher 1987b
J. Seeher, Prähistorische Funde aus Gülpınar-Chryse. Neue Belege für einen vor-trojanischen Horizont an der Nordwestküste Kleinasiens, Archäologischer Anzeiger 1987, 533–556.

Seeher 1988
J. Seeher, Antalya Yakınlarında Karain Mağarasındaki Kalkolitik Çağ Buluntuları, Araştırma Sonuçları Toplantısı 5, 2/1987, 1988, 221–238.

Seeher 1990
J. Seeher, Der Übergang vom Neolithikum zum Chalkolithikum in Nordwestanatolien, in: X. Türk Tarih Kongresi (Ankara 1990) 54–64.

Seeher 1992
J. Seeher, Die kleinasiatischen Marmorstatuetten vom Typ Kiliya, Archäologischer Anzeiger 1992, 2, 153–170.

Seeher 2012
J. Seeher, Ilıpınar, Barcın Höyük and Demircihüyük. Some remarks on the Late Chalcolithic period in north-western Anatolia, Anatolica 38, 2012, 117–127.

Şerifoğlu et al. 2014
T. E. Şerifoğlu – G. McMahon – S. R. Steadman, Orta Anadolu Platosu'ndaki Çadır Höyük'te 2013 Sezonu, Kazı Sonuçları Toplantısı 36, 3/2014, 2014, 85–98.

Sevinç – Takaoğlu 2004
N. Sevinç – T. Takaoğlu, The Early Bronze Age on Tenedos/Bozcaada, Studia Troica 14, 2004, 135–140.

Sharp Joukowsky 1986
M. Sharp Joukowsky, Prehistoric Aphrodisias. An Account of the Excavations and Artifact Studies. Volume 1. Excavations and Studies (Providence 1986).

Shimelmitz 2011
R. Shimelmitz, Lithic industries of prehistoric Anatolia. An overview, in: Yakar 2011, 477–536.

Şimşek 2010
C. Şimşek, 2008 Yılı Laodikeia Antik Kenti Kazısı, Kazı Sonuçları Toplantısı 31, 4/2009, 2010, 101–134.

Şimşek 2011
C. Şimşek, 2009 Yılı Laodikeia Antik Kenti Kazıları, Kazı Sonuçları Toplantısı 32, 3/2010, 2011, 447–474.

Şimşek 2012
C. Şimşek, 2010 Yılı Laodikeia Kazıları, Kazı Sonuçları Toplantısı 33, 4/2011, 2012, 569–601.

Şimşek 2014
C. Şimşek, 2013 Yılı Laodikeia Kazı ve Restorasyon Çalışmaları, Kazı Sonuçları Toplantısı 36, 3/2014, 2014, 633–660.

Şimşek – Konakçı 2013
C. Şimşek – E. Konakçı, Güneybatı Anadolu'da Yeni Bir Prehistorik Yerleşim: Asopos Tepesi, Arkeoloji Dergisi 18, 2013, 1–37.

Siros – Miteletsis 2016
A. Siros – M. Miteletsis, The "Katarraktes" cave at Sidirokastro, Serres district, in: Tsirtsoni 2016a, 317–337.

Sorrentino 1997
C. Sorrentino, Poliochni: Il material faunistico, in: Doumas – La Rosa 1997, 157–167.

Sotirakopoulou 1996
P. Sotirakopoulou, Late Neolithic pottery from Akrotiri on Thera. Its relations and the consequent implications, in: Alram-Stern 1996, 581–607.

Sotirakopoulou 1999
Π. Σωτηρακοπούλου, Ακρωτήρι Θήρας. Η Νεολιθική και η Πρώιμη Εποχή του Χαλκού επί τη βάσει της κεραμεικής (Athen 1999).

Sotirakopoulou 2008
P. Sotirakopoulou, Akrotiri, Thera. The Late Neolithic and Early Bronze Age phases in light of recent excavations at the site, in: Brodie et al. 2008, 121–134.

Souvatzi 2008
S. G. Souvatzi, A Social Archaeology of Households in Neolithic Greece. An Anthropological Approach (Cambridge 2008).

Sperling 1976
J. Sperling, Kumtepe in the Troad. Trial excavations 1934, Hesperia. Journal of the American School of Classical Studies at Athens 45, 1976, 305–364.

Stampolidis – Sotirakopoulou 2011
N. Ch. Stampolidis – P. Sotirakopoulou, Early Cycladic religion and burial habits, in: Şahoğlu – Sotirakopoulou 2011, 86–99.

Steadman – McMahon 2011
S. R. Steadman – G. McMahon (Hrsg.), The Oxford Handbook of Ancient Anatolia (Oxford 2011).

Steadman – McMahon 2015
S. R. Steadman – G. McMahon (Hrsg.), The Archaeology of Anatolia. Recent Discoveries (2011–2014). Volume I (Cambridge 2015).

Steadman et al. 2015
S. R. Steadman – G. McMahon – J. C. Ross – M. Cassis – T. E. Şerifoğlu – B S. Arbuckle – S. E. Adcock – S. Alpaslan Roodenberg – M. von Baeyer – A. J. Lauricella, The 2013 and 2014 excavation seasons at Çadir Höyük on the Anatolian North Central Plateau, Anatolica 41, 2015, 87–123.

Stewart 1937
J. R. Stewart, The cemetery, in: W. Lamb, Excavations at Kusura near Afyon Karahisar, Archaeologia 86, 1937, 54–64.

Stock 2015
F. Stock, Ephesus and the Ephesia. Palaeogeographical and Geoarchaeological Research about a Famous City in Western Anatolia (Dissertation, Universität zu Köln 2015). Online <http://kups.ub.uni-koeln.de/6368/> (letzter Zugriff 8. Aug. 2017).

Stock et al. 2013
F. Stock – A. Pint – B. Horejs – S. Ladstätter – H. Brückner, In search of the harbours. New evidence of Late Roman and Byzantine harbours of Ephesus, Quaternary International 312, 2013, 57–69.

Stock et al. 2015
F. Stock – L. Ehlers – B. Horejs – M. Knipping – S. Ladstätter – S. Seren – H. Brückner, Neolithic settlement sites in western Turkey. Palaeogeographic studies at Çukuriçi Höyük and Arvalya Höyük, Journal of Archaeological Science: Reports 4, 2015, 565–577.

Strahm 1981
Ch. Strahm, Die Bedeutung der Begriffe Kupferzeit und Bronzezeit, Slovenská Archeológia 29, 1, 1981, 191–202.

Tahran et al. 2008
T. Tahran – A. Tibet – E. Konyar (Hrsg.), Muhibbe Darga Armağanı (Istanbul 2008).

Takaoğlu 2002
T. Takaoğlu, Chalcolithic marble working at Kulaksızlar in western Anatolia, Türkiye Bilimler Akademisi Arkeoloji Dergisi 5, 2002, 71–93.

Takaoğlu 2004
T. Takaoğlu, Interactions in the fifth millenium B.C. Eastern Aegean: New evidence, Anatolia Antiqua 12, 2004, 1–6.

Takaoğlu 2005
T. Takaoğlu, A Chalcolithic Marble Workshop at Kulaksızlar in Western Anatolia. An Analysis of Production and Craft Specialization, British Archaeological Reports. International Series 1358 (Oxford 2005).

Takaoğlu 2006a
T. Takaoğlu, The Late Neolithic in the eastern Aegean. Excavations at Gülpınar in the Troad, Hesperia. Journal of the American School of Classical Studies at Athens 75, 2006, 289–315.

Takaoğlu 2006b
T. Takaoğlu, Pattern-burnished pottery from Gülpınar in the Troad, in: E. Öztepe – M. Kadıoğlu (Hrsg.), Patronus. Coşkun Özgünel'e 65. Yaş Armağanı (Istanbul 2006) 345–350.

Takaoğlu 2011
T. Takaoğlu, Stone artefacts and idols in western Anatolia, in: Şahoğlu – Sotirakopoulou 2011, 158–163.

Takaoğlu – Özdemir 2013
T. Takaoğlu – A. Özdemir, Smintheion Öncesi. Prehistorik Yerleşim, in: C. Özgünel (Hrsg.), Smintheion. Apollon Smintheus'un İzinde (Istanbul 2013) 15–27.

Tanındı 2005
O. Tanındı (Hrsg.), arkeo / archaeo / archéo / archäo – Sözcük Tabanı / Word Base / Base de Mot / Wort Basis, Türkiye Arkeolojik Yerleşmeleri 6 – Ek 2 (Istanbul 2005).

Taşkıran 2011
H. Taşkıran, Suluin Mağarası Kazıları 2007–2010, Anadolu Akdenizi Arkeoloji Haberleri 9, 2011, 119–127.

Taşkıran 2012
H. Taşkıran, Suluin Mağarası Kazısı (2007–), in: Bingöl et al. 2012, 53–56.

Taşkıran 2013
H. Taşkıran, Suluin Mağarası Kazısı 2012, Anadolu Akdenizi Arkeoloji Haberleri 11, 2013, 144–148.

Taşkıran – Aksu 2011
H. Taşkıran – S. E. Aksu, Suluin Mağarası Kazısı-2008, Kazı Sonuçları Toplantısı 32, 3/2010, 2011, 36–45.

Taşkıran et al. 2011
H. Taşkıran – S. E. Aksu – M. B. Kösem – K. Özçelik, Suluin Mağarası Kazısı-2009, Kazı Sonuçları Toplantısı 32, 4/2010, 2011, 427–439.

Taşkıran et al. 2012
H. Taşkıran – K. Özçelik – M. B. Kösem, Suluin Mağarası Kazısı-2010, Kazı Sonuçları Toplantısı 33, 2/2011, 2012, 1–17.

Taşkıran et al. 2013
H. Taşkıran – M. B. Kösem – K. Özçelik – İ. D. Yaman, 2011 Yılı Suluin Mağarası Kazısı, Kazı Sonuçları Toplantısı 34, 1/2012, 2013, 23–38.

Taşkıran et al. 2014
H. Taşkıran – K. Özçelik – M. B. Kösem – Y. Aydın – İ. D. Yaman – M. Karakoç, 2012 Yılı Suluin Mağarası Kazısı, Kazı Sonuçları Toplantısı 35, 1/2013, 2014, 211–232.

Televantou 2016
Ch. A. Televantou, Figurines from Strofilas, Andros, in: C. Renfrew – M. Marthari – M. Boyd (Hrsg.), Early Cycladic Sculpture in Context (Oxford 2016) 37–54.

Thanheiser – Wiesinger 2011
U. Thanheiser – S. Wiesinger, Die Pflanzenfunde, in: Horejs et al. 2011, 50–54.

Thater 2016
M. Thater, White painted pottery in Early Bronze Age Troy, in: Pernicka et al. 2016, 13–38.

Theochari – Parlama 1997
Μ. Δ. Θεοχάρη – Λ. Παρλαμά, Παλαμάρι Σκύρου. Η οχυρωμένη πόλη της Πρώιμης Χαλκοκρατίας in: Doumas – La Rosa 1997, 344–356.

Thissen 1989/1990
L. Thissen, The pottery of Ilıpınar. A preliminary assessment, in: Roodenberg et al. 1989/1990, 80–111.

Thomas 2005
G. Thomas, House form and cultural identity in Chalcolithic Cyprus, in: J. Clarke (Hrsg.), Archaeological Perspectives on the Transmission and Transformation of Culture in the Eastern Mediterranean, Levant Supplementary Series 2 (Oxford 2005) 118–124.

Thomsen 1837
Ch. Thomsen, Leitfaden zur Nordischen Alterthumskunde (Kopenhagen 1837).

Tiné 1997
V. Tiné, Nuovi dati su Poliochni Nero, in: Doumas – La Rosa 1997, 34–57.

Todorova et al. 2007
H. Todorova – M. Stefanovich – G. Ivanov (Hrsg.), The Struma/Strymon River Valley in Prehistory. Proceedings of the International Symposium 'Strymon Praehistoricus', Kjustendil-Blagoevgrad (Bulgaria) and Serres-Amphipolis (Greece), 27 September – 1 October 2004 (Sofia 2007).

Todorova 2016
N. Todorova, The Final Chalcolithic site in the "Gradishteto" locality near the village of Dolno Dryanovo, southwest Bulgaria, in: Tsirtsoni et al. 2016, 169–186.

Todorova – Avramova 2016
N. Todorova – M. Avramova, The Yagodina cave and the final stages of the Chalcolithic in the western Rhodope mountains, in: Tsirtsoni et al. 2016, 249–268.

Touchais 1984
G. Touchais, Chronique des fouilles et découvertes archéologiques en Grèce en 1983, Bulletin de Correspondance Hellénique 108, 1984, 735–843.

Touloumis – Peristeri 1994
Κ. Τουλούμης – Κ. Περιστέρη, , Ανασκαφή στον Αρκαδικό Δράμας 1991. Προκαταρκτικές παρατηρήσεις για την οργάνωση του χώρου με βάση τη διάκριση εσωτερικών και εξωτερικών χώρων, Το Αρχαιολογικό Έργο στη Μακεδονία και στη Θράκη 5/1991, 1994, 359–369.

Treuil 1992
R. Treuil, La chronologie. Les datations par le C14, in: R. Treuil (Hrsg.), Dikili Tash. Village Préhistorique de Macédoine Orientale I. Fouilles de Jean Deshayes (1961–1975), Bulletin de Correspondance Hellénique Supplement 24 (Paris 1992) 33–36.

Tsirtsoni 2014
Z. Tsirtsoni, Formation or transformation? The 4th millennium BC in the Aegean and the Balkans, in: Horejs – Mehofer 2014, 275–304.

Tsirtsoni 2016a
Z. Tsirtsoni (Hrsg.), The Human Face of Radiocarbon. Reassessing Chronology in Prehistoric Greece and Bulgaria, 5000–3000 cal BC, Travaux de la Maison de l'Orient et de la Méditerranée 69 (Lyon 2016).

Tsirtsoni 2016b
Z. Tsirtsoni, The Late Neolithic II (Chalcolithic)-Early Bronze Age transition at the tell of Dikili Tash, in: Tsirtsoni 2016a, 272–297.

Tsirtsoni 2016c
Z. Tsirtsoni, Concluding remarks, in: Tsirtsoni 2016a, 453–464.

Tuncel 2008
R. Tuncel, The Izmir region excavations and research project (IRERP). Survey program: New prehistoric settlements in the Izmir region, in: Erkanal et al. 2008, 581–592.

Tuncel im Druck
R. Tuncel, The Late Chalcolithic period in the Izmir region, in: Ch. Doumas – A. Giannikouri – O. Kouka, The Aegean Early Bronze Age. New Evidence. International Conference, 11–14 April 2008 (im Druck).

Türkteki 2009
M. Türkteki, Küllüoba Kazı Çalışmaları 2008, Türk Eskiçağ Bilimleri Enstitüsü Haberler 27, 2009, 20–21.

Uerpmann 2003
H.-P. Uerpmann, Environmental aspects of economic changes in Troia, in: Wagner et al. 2003, 251–262.

Umurtak 2003
G. Umurtak, A short report on a group of prehistoric pottery, in: Abbasoğlu – Martini 2003, 81–85.

Umurtak 2005
G. Umurtak, A study on the dating of new groups of pottery from Bademağacı Höyük and some reflections on the Late Chalcolithic cultures of southwestern Anatolia, Anatolia Antiqua 13, 2005, 53–69.

Ünlüsoy 2002
S. Ünlüsoy, Neolithische und chalkolithische Steinarmringe. Untersuchungen zur Chronologie und Verbreitung von Steinarmringen im Nahen Osten und in der Ägäis, in: Rüstem et al. 2002, 541–566.

Vajsov 1990
I. Vajsov, La sculpture anthropomorphe du site néolithique d'Oussoé près du village d'Asparoukhovo, département de Varna, Studia Praehistorica 10, 1990, 103–141.

Vajsov 1998
I. Vajsov, The typology of the anthropomorphic figurines from northeastern Bulgaria, in: M. Stefanovich – H. Todorova – H. Hauptmann (Hrsg.), James Harvey Gaul in Memoriam, In the Steps of James Harvey Gaul 1 (Sofia 1998) 107–141.

Vandam 2015
R. Vandam, The Burdur plain survey (SW Turkey). In search of the Middle Chalcolithic (5500–4200 BCE), in: Steadman – McMahon 2015, 278–297.

Vargas et al. 1995
A. Vargas – K. Τουλουμής – I. Αναγνωστου – Σ. Βαλαμώτη – P. Χρηστίδου, Ανασκαφές στην προϊστορική τούμπα του Αρκαδικού Δράμας, Το Αρχαιολογικό Έργο στη Μακεδονία και στη Θράκη 6/1992, 1995, 577–583.

Vilanova 1884
M. Vilanova y Piera, Du cuivre et du bronze en Espagne et de la période qui les a précédés, in: Congrès International d'Anthropologie et d'Archéologie Préhistoriques, Compte Rendu de la Neuvième Session à Lisbonne 1880 (Lissabon 1884) 352–357.

Virchow 1880
R. Virchow, Bericht über den internationalen prähistorischen Congress in Lissabon, Zeitschrift für Ethnologie der Deutschen Gesellschaft für Völkerkunde und der Berliner Gesellschaft für Anthropologie, Ethnologie und Urgeschichte 12, 1880, 333–355.

Virchow 1881
R. Virchow, Kupferplättchen aus einem Grabe von Janischewek, Zeitschrift für Ethnologie der Deutschen Gesellschaft für Völkerkunde und der Berliner Gesellschaft für Anthropologie, Ethnologie und Urgeschichte 13, 1881, 103.

Virchow 1883
R. Virchow, Alttrojanische Gräber und Schädel, Abhandlungen der Deutschen Akademie der Wissenschaften zu Berlin 1882, 1883, 3–152.

Voigtländer 1981
W. Voigtländer, Milet 1980. Vorbericht über die Arbeiten des Jahres 1980. Grabung westlich des Buleuterion, Istanbuler Mitteilungen 31, 1981, 106–130.

Voigtländer 1982
W. Voigtländer, Milet 1981. Vorbericht über die Arbeiten des Jahres 1981. Funde aus der Insula westlich des Buleuterion in Milet, Istanbuler Mitteilungen 32, 1982, 30–173.

von Pulszky 1877
F. von Pulszky, L'âge du cuivre en Hongrie, in: Congrès International d'Anthropologie et d'Archéologie Préhistoriques, Compte-Rendu de la Huitième Session à Budapest 1876 (Budapest 1877) 220–236.

von Pulszky 1884
F. von Pulszky, Die Kupfer-Zeit in Ungarn (Budapest 1884).

Wace – Thompson 1912
A. J. B. Wace – M. S. Thompson, Prehistoric Thessaly. Being Some Account of Recent Excavations and Explorations in North-Eastern Greece from Lake Kopais to the Borders of Macedonia (Cambridge 1912).

Wagner et al. 2003
G. A. Wagner – E. Pernicka – H.-P. Uerpmann (Hrsg.), Troia and the Troad. Scientific Approaches (Berlin 2003).

Weinberg 1947
S. S. Weinberg, Aegean Chronology. Neolithic Period and Early Bronze Age, American Journal of Archaeology 51, 1947, 165–182.

Weninger 2002
B. Weninger, Pottery seriation dating at Troy in the Early Bronze Age, based on the Cincinnati classification system, in: Rüstem et al. 2002, 1035–1062.

Weninger – Easton 2014
B. Weninger – D. Easton, The Early Bronze Age chronology of Troy (periods I–III). Pottery seriation, radiocarbon dating and the gap, in: Horejs – Mehofer 2014, 157–200.

Weninger et al. 2009
B. Weninger – L. Clare – E. J. Rohling – O. Bar-Yosef – U. Böhner – M. Budja – M. Bundschuh – A. Feurdean – H.-G. Gebel – O. Jöris – J. Linstädter – P. Mayewski – T. Mühlenbruch – A. Reingruber – G. Rollefson – D. Schyle – L. Thissen – H. Todorova – Ch. Zielhofer, The impact of rapid climate change on prehistoric societies during the holocene in the eastern Mediterranean, Documenta Praehistorica 36, 2009, 7–59.

Wilde 1862
W. R. Wilde, A Descriptive Catalogue of the Antiquities of Gold in the Museum of the Royal Irish Academy (Dublin 1862).

Wilkinson – Hritz 2013
T. J. Wilkinson – C. Hritz, Physical geography, environmental change and the role of water, in: Wilkinson et al. 2013a, 9–33.

Wilkinson et al. 2013a
T. J. Wilkinson – M. Gibson – M. Widell (Hrsg.), Models of Mesopotamian Landscapes. How Small-Scale Processes Contributed to the Growth of Early Civilizations, British Archaeological Reports. International Series 2552 (Oxford 2013).

Wilkinson et al. 2013b
T. J. Wilkinson – J. A. Ur – C. Hritz, Settlement archaeology of Mesopotamia, in: Wilkinson et al. 2013a, 34–55.

Wilkinson et al. 2014
T. J. Wilkinson – G. Philip – J. Bradbury – R. Dunford – D. Donoghue – N. Galiatsatos – D. Lawrence – A. Ricci – S. L. Smith, Contextualizing early urbanization. Settlement cores, early states and agro-pastoral strategies in the fertile cresent during the fourth and third millennia BC, Journal of World Prehistory 27, 2014, 43–109.

Wolf 2017
D. Wolf, Studien zur Geologie im Kaystrostal. Zur Nutzung von Lagerstätten und Rohstoffen in der Urgeschichte (Dissertation, Martin-Luther-Universität Halle-Wittenberg 2017).

Worsaae 1849
J. J. A. Worsaae, The Primeval Antiquities of Denmark (London 1849).

Wrede 1935/1936
W. Wrede, Vorgeschichtliches in der Stadt Samos, Fundtatsachen, Mitteilungen des Deutschen Archäologischen Instituts, Athenische Abteilung 60/61, 1935/1936, 113–124.

Yakar 1979
J. Yakar, Troy and Anatolian Early Bronze Age chronology, Anatolian Studies 29, 1979, 51–67.

Yakar 1985
J. Yakar, The Later Prehistory of Anatolia. The Late Chalcolithic and Early Bronze Age, British Archaeological Reports. International Series 268 (Oxford 1985).

Yakar 2011
J. Yakar, Reflections of Ancient Anatolian Society in Archaeology. From Neolithic Village Communities to EBA Towns and Polities (Istanbul 2011).

Yalçın 2000a
Ü. Yalçın (Hrsg.), Anatolian Metal I, Der Anschnitt Beiheft 13, Veröffentlichungen aus dem Deutschen Bergbau-Museum Bochum 92 (Bochum 2000).

Yalçın 2000b
Ü. Yalçın, Anfänge der Metallverwendung in Anatolien, in: Yalçın 2000, 17–30.

Yalçınkaya 1987
I. Yalçınkaya, 1985 Yılı Karain Kazıları, Kazı Sonuçları Toplantısı 8, 1/1986, 1987, 21–37.

Yalçınkaya 1991
I. Yalçınkaya, 1989 Yılı Karain Kazıları, Kazı Sonuçları Toplantısı 12, 1/1990, 1991, 43–70.

Yalçınkaya 1992
I. Yalçınkaya, 1990 Yılı Karain Kazıları, Kazı Sonuçları Toplantısı 13, 1/1991, 1992, 33–54.

Yalçınkaya 1995
I. Yalçınkaya, Karain Kazıları, 1993, Kazı Sonuçları Toplantısı 16, 1/1994, 1995, 1–25.

Yalçınkaya – Otte 1999
I. Yalçınkaya – M. Otte, 1997 Yılı Karain Kazısı, Kazı Sonuçları Toplantısı 20, 1/1998, 1999, 23–37.

Yalçınkaya et al. 2000
I. Yalçınkaya – M. Otte – H. Taşkıran – K. Özçelik – A. L. Atıcı – M. B. Kösem – C. M. Erek – M. Kartal, 1998 Yılı Karain Kazısı, Kazı Sonuçları Toplantısı 21, 1/1999, 2000, 15–28.

Yalçınkaya et al. 2004
I. Yalçınkaya – H. Taşkıran – M. Kartal – M. B. Kösem, 2002 Yılı Karain Kazıları, Kazı Sonuçları Toplantısı 25, 2/2003, 2004, 19–28.

Yalçınkaya et al. 2005
I. Yalçınkaya – H. Taşkıran – M. Kartal – K. Özçelik – B. C. Sevencan, 2003 Yılı Karain Mağarası Kazısı, Kazı Sonuçları Toplantısı 26, 2/2004, 2005, 215–224.

Yalçınkaya et al. 2008
I. Yalçınkaya – H. Taşkıran – M. Kartal – K. Özçelik – M. B. Kösem – G. Kartal, 2006 Yılı Karain Mağarası Kazısı, Kazı Sonuçları Toplantısı 29, 1/2007, 2008, 467–482.

Yalçınkaya et al. 2009
I. Yalçınkaya – H. Taşkıran – M. Kartal – K. Özçelik – M. B. Kösem – G. Kartal, 2007 Yılı Karain Mağarası Kazıları, Kazı Sonuçları Toplantısı 30, 2/2008, 2009, 285–300.

Yalçınkaya et al. 2010
I. Yalçınkaya – H. Taşkıran – M. Kartal – K. Özçelik – M. B. Kösem – G. Kartal, 2008 Yılı Karain Mağarası Kazıları, Kazı Sonuçları Toplantısı 31, 4/2009, 2010, 41–62.

Yalçınkaya et al. 2011
I. Yalçınkaya – H. Taşkıran – K. Özçelik – M. B. Kösem, 2009 Yılı Karain Mağarası Kazıları, Kazı Sonuçları Toplantısı 32, 3/2010, 2011, 22–35.

Yalçınkaya et al. 2012
I. Yalçınkaya – H. Taşkıran – M. Kartal – K. Özçelik – M. B. Kösem, 2010 Yılı Karain Mağarası Kazıları, Kazı Sonuçları Toplantısı 33, 2/2011, 2012, 373–392.

Yalçınkaya et al. 2013
I. Yalçınkaya – H. Taşkıran – M. Kartal – K. Özçelik – M. B. Kösem – G. Kartal, 2011Yılı Karain Mağarası Kazıları, Kazı Sonuçları Toplantısı 34, 1/2012, 2013, 1–22.

Yalçınkaya et al. 2014a
I. Yalçınkaya – H. Taşkıran – M. Kartal – K. Özçelik – M. B. Kösem – G. Kartal – Y. Aydın – İ. D. Yaman – M. Karakoç – B. Fındık, 2012 Yılı Karain Mağarası Kazıları, Kazı Sonuçları Toplantısı 35, 1/2013, 2014, 233–252.

Yalçınkaya et al. 2014b
I. Yalçınkaya – H. Taşkıran – M. Kartal – K. Özçelik – M. B. Kösem – G. Kartal – Y. Aydın – M. Karakoç – B. Fındık – E. Erbil, 2013 Yılı Karain Mağarası Kazıları, Kazı Sonuçları Toplantısı 36, 1/2014, 2014, 441–458.

Yaman 2012
İ. D. Yaman, Karain Mağarası B Gözü'nde tespit edilen arkeolojik hiatüsler, Ankara Üniversitesi Dil ve Tarih-Coğrafya Fakültesi Dergisi 52, 2, 2012, 167–181.

Yavşan 2013
Ç. Yavşan, Kalkolitik Smintheion (Gülpınar) Kazıları Buluntusu Deniz Kabukları, Studies on the Troad 5 (Çanakkale 2013).

Zachos 2008
K. Zachos, Ayios Dhimitrios. A Prehistoric Settlement in the Southwestern Peloponnes. The Neolithic and Early Helladic Periods, British Archaeological Reports. International Series1770 (Oxford 2008).

Zachos – Douzougli im Druck
K. Zachos – A. Douzougli, Attica and the Cyclades from the Chalcolithic to the Early Bronze Age, in: Ch. G. Doumas – A. Giannikouri – O. Kouka (Hrsg.), The Aegean Early Bronze Age. New Evidence. International Conference Athens, 11–14 April 2008 (Athen im Druck).

Zimmermann 1988
A. Zimmermann, Steine, in: U. Boelicke – D. v. Brandt – J. Lüning – P. Stehli – A. Zimmermann (Hrsg.), Der bandkeramische Siedlungsplatz Langeweiler 8, Gemeinde Aldenhoven, Kreis Düren, Rheinische Ausgrabungen 28 (Köln 1988) 569–787.

IX. Kataloge

Die Katalognummern (IX.3–6.) entsprechen den Nummern der Tafelabbildungen der jeweiligen Fundkategorien (s. u. Kap. X.). Ein Querverweis zu den Tafeln findet sich bei den Katalogeinträgen. Zu den in den Katalogen verwendeten Abkürzungen siehe:

Dm. (Durchmesser); erh. (erhalten); max. (maximal); OF (Oberfläche).

IX.1. Stratigraphische Einheiten (SE)

ÇuHö VII

Grabenverfüllung A

SE 1235
Kampagne: 2011
Schnitt: N6
Quadrant: P/50
Ansprache: Steinkonzentration
Zugehörigkeit: Komplex 5, Grabenverfüllung A
Interpretation: Steinkonzentration in der Grabenverfüllung A
Befundtyp: Verfüllung
Material: vgl. SE 1335
Schichtung: vgl. SE 1335
Ausrichtung/Form/Maße: vgl. SE 1335
Abgrenzung: vgl. SE 1335

SE 1241
Kampagne: 2011
Schnitt: N6
Quadrant: O/50
Ansprache: Steinkonzentration
Zugehörigkeit: Komplex 5, Grabenverfüllung A
Interpretation: Steinkonzentration in der Grabenverfüllung A
Befundtyp: Verfüllung
Material: vgl. SE 1334
Schichtung: vgl. SE 1334
Ausrichtung/Form/Maße: vgl. SE 1334
Abgrenzung: vgl. SE 1334

SE 1254
Kampagne: 2011
Schnitt: N6
Quadrant: P–Q/50
Ansprache: dunkelbraune Lehmverfüllung
Zugehörigkeit: Komplex 5, Grabenverfüllung A
Interpretation: Lehmschicht der Grabenverfüllung A
Befundtyp: Verfüllung
Material: sandiger Lehm
Konsistenz: weich, schmierig
Farbe: dunkelbraun
Einschlüsse: vereinzelt gebrannter Lehm und Holzkohle
Schichtung: regellose Anordnung der Steine
Ausrichtung/Form/Maße: schmal, leicht bogenförmig; Nordwest-Südost ausgerichtet (ca. 4 × 2 m); im Norden durch die Schnittgrenze begrenzt, im Süden durch den Leitungsgraben
Abgrenzung: wohl mit SE 1735 südlich des Leitungsgrabens gleichzusetzen

SE 1255
Kampagne: 2011
Schnitt: N6
Quadrant: P/50
Ansprache: braune Lehmschicht
Zugehörigkeit: Komplex 5, Grabenverfüllung A
Interpretation: Lehmschicht der Grabenverfüllung A
Befundtyp: Verfüllung
Material: sandiger Lehm
Konsistenz: sandig, feinkörnig
Farbe: bräunlich
Einschlüsse: vereinzelt Bruch- und Feldsteine (bis 15 cm)
Schichtung: keine Schichtung erkennbar
Ausrichtung/Form/Maße: formloser Fleck etwa 40 × 60 cm)
Abgrenzung: zu SE 1254 gut

SE 1306
Kampagne: 2011
Schnitt: N6
Quadrant: S/53, Q–T/53
Ansprache: gelbbrauner Lehm
Zugehörigkeit: Komplex 5, Grabenverfüllung A
Interpretation: Lehmschicht der Grabenverfüllung A
Befundtyp: Verfüllung
Material: sandiger Lehm
Konsistenz: relativ weich
Farbe: gelblich braun mit deutlichem Rotanteil

Einschlüsse: klein- bis mittelformatige Feld- und Bruchsteine (5–15 cm)
Schichtung: wirkt kompakt
Ausrichtung/Form/Maße: unregelmäßige Form
Abgrenzung: gleichzusetzen mit SE 1351

SE 1334
Kampagne: 2011
Schnitt: N6
Quadrant: O/50
Ansprache: Steinansammlung
Zugehörigkeit: Komplex 5, Grabenverfüllung A
Interpretation: Steinkonzentration in der Grabenverfüllung A
Befundtyp: Verfüllung
Material: mittelgroße Feld- und Bruchsteine
Schichtung: Steinkonzentration, eingebettet in Sediment der SE 1254
Ausrichtung/Form/Maße: längliche Anordnung (ca. 1,4 × 0,5 m) der Steinansammlung im nordwestlichen Bereich von SE 1254; nahe der westlichen Grabengrenze gelegen; im Norden begrenzt durch die Profilgrenze
Abgrenzung: vermutlich Teil von SE 1235=1335

SE 1335
Kampagne: 2011
Schnitt: N6
Quadrant: P–Q/50
Ansprache: Steinkonzentration
Zugehörigkeit: Komplex 5, Grabenverfüllung A
Interpretation: Steinkonzentration in der Grabenverfüllung A
Befundtyp: Verfüllung
Material: klein- und mittelformatige Bruch- und Feldsteine (5–20 cm), sandiger Lehm zwischen den Steinen
Konsistenz: Lehm teilweise sandig bis schluffig
Farbe: rotbraun
Schichtung: Steinkonzentration, eingebettet in Sediment der SE 1254
Ausrichtung/Form/Maße: längliche Anordnung (ca. 4 × 0,5–0,75 m) der Steinansammlung im Bereich von SE 1254; im Norden begrenzt durch die Profilgrenze
Abgrenzung: vermutlich Teil von SE 1241=1334; Lehm nicht von SE 1254 unterscheidbar, daher wohl Bestandteil von SE 1254

SE 1340
Kampagne: 2011
Schnitt: N6
Quadrant: S/53
Ansprache: Stein-Lehm-Gemisch
Zugehörigkeit: Komplex 5, Grabenverfüllung A
Interpretation: Lehm-Stein-Ansammlung der Grabenverfüllung A
Befundtyp: Verfüllung
Material: sandiger Lehm, Bruch- und Feldsteine
Konsistenz: hart getrocknet
Farbe: graubraun
Einschlüsse: mittel- bis großformatige Feld- und Bruchsteine (10–30 cm)
Schichtung: in der Fläche keine Schichtung erkennbar; im Bereich der westlichen Grabenflanke deutlich erkennbar; im unteren Bereich des Profils findet sich eine Ansammlung (gravitative Verlagerung?)
Ausrichtung/Form/Maße: unregelmäßig verlaufende Form in der Fläche; wird im Süden durch die Profilkante begrenzt; max. Ausdehnung 2 × 1 m; im Profil längliches, leicht gestreckt S-förmiges Band an der westlichen Grabenflanke
Abgrenzung: zur Umgebung gut aufgrund der Steine; im Profil ebenfalls gut aufgrund der Steine zur Grabenverfüllung B und C

SE 1351
Kampagne: 2011
Schnitt: N6
Quadrant: R–T/52–53
Ansprache: rotbraunes Lehmband
Zugehörigkeit: Komplex 5, Grabenverfüllung A
Interpretation: Lehmschicht der Grabenverfüllung A
Befundtyp: Verfüllung
Material: sandiger Lehm
Konsistenz: hart getrocknet
Farbe: rotbräunlich
Einschlüsse: klein- bis großformatige Feld- und Bruchsteine (5–35 cm)
Schichtung: kompakt, vereinzelt Steineinschlüsse verschiedener Größe
Ausrichtung/Form/Maße: auf einer Länge von etwa 5 m erhalten; die Breite variiert (etwa 1 m im Norden, 0,3 m im Süden); im Norden begrenzt durch den Leitungsgraben, im Süden durch Schnittgrenze
Abgrenzung: zur angrenzenden SE 1348 aufgrund der Farbe und der Steine; zu den anderen Verfüllschichten aufgrund der Farbe; gleichzusetzen mit SE 1306

SE 1381
Kampagne: 2011
Schnitt: N6
Quadrant: N–R/50–51
Ansprache: Grabeninterface (im Norden)
Zugehörigkeit: Komplex 5, Grabenverfüllung A
Interpretation: Interface von Grabenverfüllung A
Befundtyp: Interface
Ausrichtung/Form/Maße: schmal, leicht bogenförmig; Nordwest-Südost ausgerichtet (ca. 4 × 2 m); schlechter erhalten als im Süden; max. Tiefe hier 15 cm
Abgrenzung: Forsetzung des Interface im Süden (SE 1583=1754)

SE 1561
Kampagne: 2012
Schnitt: N6
Quadrant: R/52
Ansprache: Steinverfüllung
Zugehörigkeit: Komplex 5, Grabenverfüllung A
Interpretation: lokale Steinkonzentration in der Grabenverfüllung A
Befundtyp: Verfüllung
Material: große Feld- und Bruchsteine (15–40 cm), dazwischen teils sandiger Lehm
Konsistenz: Lehm zwischen den Steinen sehr hart

Farbe: rotbraun
Schichtung: kein Verband erkennbar
Ausrichtung/Form/Maße: lokale Konzentration; folgt der SE 1735, jedoch nur im westlichen Bereich entlang des Grabeninterface
Abgrenzung: zu SE 1735 sehr gut; wahrscheinlich zu verbinden mit den Steinkonzentrationen im nördlichen Abschnitt (SE 1235=1335, 1241=1334)

SE 1583
Kampagne: 2012
Schnitt: N6
Quadrant: R–T/51–53
Ansprache: Grabeninterface
Zugehörigkeit: Komplex 5, Grabenverfüllung A
Interpretation: Interface von Grabenverfüllung A
Befundtyp: Interface
Ausrichtung/Form/Maße: der Form eines Parallelogramms folgend; Nordwest-Südost ausgerichtet (ca. 7 × 3 m); die gestreckt u-förmige Grabensohle hat im Profil eine Breite von ca. 3 m
Abgrenzung: Forsetzung des Interface im Norden (SE 1381)

SE 1735
Kampagne: 2012
Schnitt: N6
Quadrant: Q–T/51–53
Ansprache: Material der Grabensohle
Zugehörigkeit: Komplex 5, Grabenverfüllung A
Interpretation: Lehmschicht der Grabenverfüllung A
Befundtyp: Verfüllung
Material: sandiger Lehm
Konsistenz: weich, teilweise sandig und schluffig
Farbe: hellbraun bis beige mit Graustich
Einschlüsse: teilweise kleinere Steine (3–5 cm)
Schichtung: keine Schichtung erkennbar
Ausrichtung/Form/Maße: etwa gerade bis teils unregelmäßig verlaufende Grenzen im Westen und Osten; etwa die Form eines Parallelogramms (ca. 6 × 2,5 m); im Norden begrenzt durch den Leitungsgraben; im Süden durch Schnittgrenze
Abgrenzung: zum angrenzenden neolithischen Material sehr gut aufgrund der Farbe; zum Grabeninterface aufgrund der sandigen Konsistenz; zu SE 1561 gut; zu SE 1766 unklar, evtl. gleichzusetzen; wohl mit SE 1254 nördlich des Leitungsgrabens gleichzusetzen

SE 1754
Kampagne: 2012
Schnitt: N6
Quadrant: R–T/51–53
Ansprache: Grabeninterface
Zugehörigkeit: Komplex 5, Grabenverfüllung A
Interpretation: Interface von Grabenverfüllung A
Befundtyp: Interface
Ausrichtung/Form/Maße: vgl. SE 1583
Abgrenzung: vgl. SE 1583

SE 1766
Kampagne: 2012
Schnitt: N6
Quadrant: T/53
Ansprache: Lehm-Stein-Schicht
Zugehörigkeit: Komplex 5, Grabenverfüllung A
Interpretation: Lehmschicht der Grabenverfüllung A
Befundtyp: Verfüllung
Material: sandiger Lehm, im unteren Bereich feinkörnig bis schluffig
Konsistenz: hart getrocknet
Farbe: dunkelbraun, leicht rötlich
Einschlüsse: mittel- bis großformatige Steine (bis 35 cm)
Schichtung: lediglich im westlichen Bereich, entlang des Grabeninterface fassbar; im unteren Bereich eine Ansammlung von größeren Steinen auf sandigem, schluffigem Material
Ausrichtung/Form/Maße: längliches Band im Bereich des westlichen Grabeninterface; Abmessungen aufgrund der undeutlichen Abgrenzung zu SE 1735 nicht feststellbar
Abgrenzung: zu SE 1735 diffus und undeutlich, eventuell zusammengehörig; zum Interface aufgrund des Materialunterschiedes (sandig, schlufig) sehr gut

Grabenverfüllung B

SE 1350
Kampagne: 2011
Schnitt: N6
Quadrant: S–T/51–52
Ansprache: rotbraunes Lehmband
Zugehörigkeit: Komplex 5, Grabenverfüllung B
Interpretation: Lehmschicht der Grabenverfüllung B
Befundtyp: Verfüllung
Material: sandiger Lehm mit einem hohen Anteil an sandigem Material
Konsistenz: sandig, bröselig
Farbe: rotbraun bis leicht braungrau
Einschlüsse: kleine Steine (1–3 cm)
Schichtung: keine Schichtung erkennbar; wirkt fast wie homogenes sandiges Material; evtl. von Ost nach West eingeschwemmt
Ausrichtung/Form/Maße: in der Fläche als schmales Band entlang der östlichen Grabengrenze erkennbar (ca. 4 × 0,3 m); im Profil auch als schmales Band zu erkennen, das von Ost nach West leicht abfällt; im Norden begrenzt durch den Leitungsgraben; im Süden durch Schnittgrenze
Abgrenzung: zu SE 1344=4551, 1343=1231 aufgrund des Materialunterschiedes (fehlende Steine sowie sandiges Material) sehr gut; gleichzusetzen mit SE 4557

SE 1394
Kampagne: 2011
Schnitt: N6
Quadrant: R–T/51–53
Ansprache: Grabeninterface
Zugehörigkeit: Komplex 5, Grabenverfüllung B
Interpretation: Interface der Grabenverfüllung B
Befundtyp: Interface
Ausrichtung/Form/Maße: längliches Band mit unregelmäßigen Außengrenzen; Nordwest bis Südwest

verlaufend; auf einer Länge von etwa 7 m verfolgbar (max. erh. Breite 1,5 m); im Osten fast identisch mit Grabeninterface SE 1771=4554
Abgrenzung: gleichzusetzen mit SE 4555

SE 4553
Kampagne: 2013
Schnitt: N7
Quadrant: U/53
Ansprache: feinkörnige Lehmpackung
Zugehörigkeit: Komplex 5, Grabenverfüllung B
Interpretation: Lehmschicht der Grabenverfüllung B (Einschwemmung?)
Befundtyp: Verfüllung
Material: feinkörniger Lehm
Konsistenz: feinkörnig, schmierig, bricht feinbröselig, schluffig
Farbe: hellgrau bis hellbraun
Einschlüsse: sehr kleine Steine (kleiner 1 cm)
Schichtung: flächig erhalten, kompakte Verfüllung
Ausrichtung/Form/Maße: von Nordwesten etwa schräg Richtung Südosten verlaufend; Länge (West-Ost) max. 0,9 m; Breite (Nord-Süd) max. 1,3 m; Form etwa dreieckig bedingt durch die Schnittgrenzen; nach der Schnitterweiterung S–U/53 flächig im Bereich des Grabens
Abgrenzung: zu SE 4556 aufgrund der kleineren Fraktionierung des Materials

SE 4555
Kampagne: 2013
Schnitt: N7
Quadrant: S–U/53–51
Ansprache: Grabeninterface
Zugehörigkeit: Komplex 5, Grabenverfüllung B
Interpretation: Interface von Grabenverfüllung B
Befundtyp: Interface
Ausrichtung/Form/Maße: nur in einem Quadranten erfasst, daher etwa dreieckige Form (West-Ost ca. 1 m; Nord-Süd ca. 1,3 m)
Abgrenzung: gleichzusetzen mit SE 1394

SE 4556
Kampagne: 2013
Schnitt: N7
Quadrant: U/53
Ansprache: Verfüllung
Zugehörigkeit: Komplex 5, Grabenverfüllung B
Interpretation: Lehmschicht der Grabenverfüllung B
Befundtyp: Verfüllung
Material: sandiger Lehm mit erhöhtem Gehalt an Tonmineralien
Konsistenz: sehr sandig, teils schmierig
Farbe: hellbraun
Einschlüsse: kleinere Steine (großteils unter 1 cm; vereinzelt bis 3 cm)
Schichtung: keine Schichtung erkennbar, wirkt eingeschwemmt
Ausrichtung/Form/Maße: von Nordwesten etwa schräg Richtung Südosten verlaufend; Länge (West-Ost) max. 0,9 m; Breite (Nord-Süd) max. 1,3 m; Form etwa dreieckig, bedingt durch die Schnittgrenzen des Quadranten
Abgrenzung: zu SE 4557=1350 aufgrund der geringeren Größe der Steine und des Tongehalts gut

SE 4557
Kampagne: 2013
Schnitt: N7
Quadrant: U/53
Ansprache: Verfüllung
Zugehörigkeit: Komplex 5, Grabenverfüllung B
Interpretation: Lehmschicht der Grabenverfüllung B
Befundtyp: Verfüllung
Material: sandiger Lehm (hoher Sandgehalt)
Konsistenz: sehr sandig
Farbe: braungrau mit deutlichem Rotstich
Einschlüsse: kleine Steine (1–3 cm)
Schichtung: wirkt fast wie homogenes sandiges Material; evtl. von Ost nach West eingeschwemmt
Ausrichtung/Form/Maße: von Nordwesten etwa schräg Richtung Südosten verlaufend; Länge (West-Ost) max. 1 m; Breite (Nord-Süd) max. 1,5 m; Form etwa dreieckig bedingt durch die Schnittgrenzen; im Profil ebenfalls als schmales Band zu erkennen, das von Ost nach West leicht abfällt
Abgrenzung: gleichzusetzen mit SE 1350; aufgrund des sandigen Materials und der fehlenden größeren Steine zu SE 4551=1344 sehr gut

Planierung ÇuHö VIb/VII

Grabenverfüllung C

SE 1205
Kampagne: 2011
Schnitt: N6
Quadrant: S–T/53
Ansprache: bräunlich graue Lehmschicht
Zugehörigkeit: Komplex 5, Grabenverfüllung C
Interpretation: Lehmschicht der Grabenverfüllung C
Befundtyp: Verfüllung
Material: sandiger Lehm
Konsistenz: hartgetrocknet, brüchig, bricht bröselig
Farbe: graubraun
Einschlüsse: sehr wenige Steine (1–3 cm)
Schichtung: keine Schichtung; vermutlich Einschüttung
Ausrichtung/Form/Maße: formlos; partiell auf SE 1206 verteilt
Abgrenzung: zu SE 1201 und 1206 gut

SE 1206
Kampagne: 2011
Schnitt: N6
Quadrant: S–T/53
Ansprache: gelblich braune Lehmschicht
Zugehörigkeit: Komplex 5, Grabenverfüllung C
Interpretation: Lehmschicht der Grabenverfüllung C
Befundtyp: Verfüllung
Material: sandiger Lehm

Konsistenz: hart getrocknet, teils verfestigt
Farbe: gelblich braun, sehr hell im Farbton
Einschlüsse: unterschiedlich viele Bruchsteine (im nördlichen wenige, im westlichen Abschnitt viele)
Schichtung: kompakt und hart, keine Schichtung erkennbar
Ausrichtung/Form/Maße: an der südlichen Schnittgrenze ca. auf einer Länge von 2,30 m verlaufend
Abgrenzung: zu SE 1205 gut anhand der Farbe

SE 1208
Kampagne: 2011
Schnitt: N6
Quadrant: T/53
Ansprache: verkohltes Holz
Zugehörigkeit: Komplex 5, Grabenverfüllung C
Interpretation: Holzkohleeinschüsse in der Grabenverfüllung C
Befundtyp: Ascheschicht
Material: Holzkohle
Konsistenz: aschig, porös, leicht brüchig
Farbe: oben schwarz, nach unten grau auslaufend
Schichtung: steckt im Profil, schwarze Maserung im oberen Bereich erkennbar, nach unten verwaschen
Ausrichtung/Form/Maße: annähernd quadratische Form der Einschlüsse, an den Rändern unregelmäßig
Abgrenzung: zu SE 1201 unklar
Fundvermischung: eventuell Intrusion aus der rezent gestörten Schicht SE 1201?

SE 1215
Kampagne: 2011
Schnitt: N6
Quadrant: S–T/52–53
Ansprache: gelblich braune Lehmschicht
Zugehörigkeit: Komplex 5, Grabenverfüllung C
Interpretation: Lehmschicht der Grabenverfüllung C
Befundtyp: Verfüllung
Material: sandiger Lehm
Konsistenz: hart getrocknet, bricht bröselig, feinkörnig
Farbe: gelblich braun
Einschlüsse: wenige Bruchsteine (3–7 cm), wenig verziegelter Lehm
Schichtung: sehr kompakt, jedoch ohne Schichtung
Ausrichtung/Form/Maße: unregelmäßige Form
Abgrenzung: zu SE 1206 gut

SE 1218
Kampagne: 2011
Schnitt: N6
Quadrant: S–T/53
Ansprache: Lehm-Stein-Schicht
Zugehörigkeit: Komplex 5, Grabenverfüllung C
Interpretation: Steinkonzentration in der Grabenverfüllung C
Befundtyp: Verfüllung
Material: sandiger Lehm; mittel- bis großformatige Bruch- und Feldsteine (10–30 cm)
Konsistenz: hart getrocknet
Farbe: graubraun
Einschlüsse: gebrannter Lehm
Schichtung: teilweise liegen die Steine übereinander, andere unweit davon eingebettet im Sediment
Ausrichtung/Form/Maße: größte Konzentration im südöstlichen Bereich, nach Norden abnehmend
Abgrenzung: zu SE 1288 aufgrund der Farbe des Lehms

SE 1231
Kampagne: 2011
Schnitt: N6
Quadrant: R–S/52
Ansprache: Steinansammlung
Zugehörigkeit: Komplex 5, Grabenverfüllung C
Interpretation: Steinkonzentration in der Grabenverfüllung C
Befundtyp: Verfüllung
Material: vgl. SE 1341
Schichtung: vgl. SE 1341
Ausrichtung/Form/Maße: vgl. SE 1341
Abgrenzung: vgl. SE 1341; gleichzusetzen mit SE 1341

SE 1258
Kampagne: 2011
Schnitt: N6
Quadrant: S–T/53
Ansprache: Grabenverfüllung
Zugehörigkeit: Komplex 5, Grabenverfüllung C
Interpretation: Lehm-Stein-Gemisch in der Grabenverfüllung C
Befundtyp: Verfüllung
Material: mittel- und großformatige Bruch- und Feldsteine (15–30 cm) eingebettet in einer Lehmschicht
Konsistenz: sehr sandig und bröselig
Farbe: grau
Einschlüsse: vereinzelt gebrannter Lehm, stellenweise viele Holzkohlebruchstücke
Schichtung: keine Schichtung oder Verband erkennbar
Ausrichtung/Form/Maße: die Ausrichtung der Steinkonzentration mitsamt Lehmschicht läuft von Nordwest nach Südost und verschwindet in der südlichen Profilkante; ca. auf einer Länge von 3 m sichtbar
Abgrenzung: zu SE 1206 und 1208 gut

SE 1283
Kampagne: 2011
Schnitt: N6
Quadrant: S/53
Ansprache: Fundlage
Zugehörigkeit: Komplex 5, Grabenverfüllung C
Interpretation: Fundansammlung innerhalb der Planierung
Befundtyp: Fundansammlung
Material: Keramik
Schichtung: eine Schichtung erkennbar; vermutlich eingebettet in SE 1307=1309=1310
Ausrichtung/Form/Maße: keine Ausrichtung; erkennbarer Standfuß im Westen
Abgrenzung: zu SE 1288 und 1307=1309=1310 gut

SE 1288
Kampagne: 2011
Schnitt: N6

Quadrant: S–T/52–53
Ansprache: rotbrauner Lehm
Zugehörigkeit: Komplex 5, Grabenverfüllung C
Interpretation: Lehmschicht der Grabenverfüllung C
Befundtyp: Verfüllung
Material: sandiger Lehm
Konsistenz: getrocknet, eher brüchig bis bröselig
Farbe: hellbraun mit Rotstich
Einschlüsse: klein- bis mittelformatige Bruch- und Feldsteine (5–10 cm)
Schichtung: keine Schichtung erkennbar
Ausrichtung/Form/Maße: keine klare Ausrichtung erkennbar
Abgrenzung: zu SE 1215 gut

SE 1307
Kampagne: 2011
Schnitt: N6
Quadrant: S–T/52–53
Ansprache: grauer Lehm
Zugehörigkeit: Komplex 5, Grabenverfüllung C
Interpretation: Lehmschicht der Grabenverfüllung C
Befundtyp: Verfüllung
Material: sandiger Lehm
Konsistenz: hart getrocknet
Farbe: grau bis graubraun, teilweise mit Gelbstich
Einschlüsse: klein- bis mittelformatige Steine (5–25 cm); Bruchstücke von verbranntem Lehm; Holzkohlepartikel
Schichtung: keine direkte Schichtung erkennbar; wirkt wie eine Schüttung, da unterschiedliche Steinkonzentration und Lehmfarben
Ausrichtung/Form/Maße: im Profil trichterförmig; in der Fläche unregelmäßig länglich; im Süden begrenzt durch die Schnittgrenze
Abgrenzung: gleichzusetzen mit SE 1309, 1310

SE 1309
Kampagne: 2011
Schnitt: N6
Quadrant: S–T/52–53
Ansprache: graue Lehmschicht
Zugehörigkeit: Komplex 5, Grabenverfüllung C
Interpretation: Lehmschicht der Grabenverfüllung C
Befundtyp: Verfüllung
Material: vgl. SE 1307
Konsistenz: vgl. SE 1307
Farbe: vgl. SE 1307
Einschlüsse: vgl. SE 1307
Schichtung: vgl. SE 1307
Ausrichtung/Form/Maße: vgl. SE 1307
Abgrenzung: gleichzusetzen mit SE 1307, 1310

SE 1310
Kampagne: 2011
Schnitt: N6
Quadrant: S–T/52–53
Ansprache: graue Lehmschicht
Zugehörigkeit: Komplex 5, Grabenverfüllung C
Interpretation: Lehmschicht der Grabenverfüllung C
Befundtyp: Verfüllung
Material: vgl. SE 1307
Konsistenz: vgl. SE 1307
Farbe: vgl. SE 1307
Einschlüsse: vgl. SE 1307
Schichtung: vgl. SE 1307
Ausrichtung/Form/Maße: vgl. SE 1307
Abgrenzung: gleichzusetzen mit SE 1307, 1309

SE 1341
Kampagne: 2011
Schnitt: N6
Quadrant: S–T/52–53
Ansprache: Steinkonzentration
Zugehörigkeit: Komplex 5, Grabenverfüllung C
Interpretation: Steinkonzentration innerhalb der Grabenverfüllung C
Befundtyp: Verfüllung
Material: kleine, mittelgroße bis große Bruch- und Feldsteine (bis 40 cm)
Schichtung: die Steine liegen teilweise in SE 1344; keine Struktur erkennbar
Ausrichtung/Form/Maße: Steinkonzentration ist Nordwest-Südost ausgerichtet; längliche Form; etwa auf 2,5 m fassbar; nach Nordwesten verjüngt sich diese und dünnt aus; im Norden begrenzt durch den Leitungsgraben; im Süden durch Schnittgrenze
Abgrenzung: vermutlich Bestandteile der SE 1344; zu SE 1343 und 1349 gut aufgrund der Farbe von SE 1344; gleichzusetzen mit SE 1231

SE 1343
Kampagne: 2011
Schnitt: N6
Quadrant: S–T/51–53
Ansprache: hellgraue Lehmschicht
Zugehörigkeit: Komplex 5, Grabenverfüllung C
Interpretation: Lehmschicht der Grabenverfüllung C
Befundtyp: Verfüllung
Material: sandiger Lehm
Konsistenz: sehr hart
Farbe: hellgrau
Einschlüsse: einige Stücke gebrannter Lehm; vereinzelt klein- bis mittelformatige Steine (5–20 cm)
Schichtung: im oberen Bereich sind Steine und gebrannter Lehm eingedrückt
Ausrichtung/Form/Maße: verläuft als Band von Nordwesten nach Südosten (ca. 20–40 cm breit); im Norden begrenzt durch den Leitungsgraben; im Süden durch Schnittgrenze
Abgrenzung: zu SE 1344 gut; gleichzusetzen mit SE 1349

SE 1344
Kampagne: 2011
Schnitt: N6
Quadrant: R–T/51–53
Ansprache: Lehmschicht von SE 1341
Zugehörigkeit: Komplex 5, Grabenverfüllung C
Interpretation: Lehmschicht der Grabenverfüllung C
Befundtyp: Verfüllung
Material: sandiger Lehm
Konsistenz: hart bis bröselig
Farbe: gelb bis rötlich braun

Einschlüsse: viel gebrannter Lehm, Holzkohle und Keramikfragmente
Schichtung: keine Schichtung erkennbar; die Steine der SE 1341=1231 sind in die Lehmschicht eingebettet
Ausrichtung/Form/Maße: länglicher Verlauf, von Nordwest nach Südost auf einer Länge von etwa 5 × 0,8 m verfolgbar
Abgrenzung: zu SE 1343=1349 gut aufgrund der Farbe; SE 1341=1231 Bestandteil der Schicht

SE 1345
Kampagne: 2011
Schnitt: N6
Quadrant: T/53
Ansprache: Lehm-Stein-Ansammlung
Zugehörigkeit: Komplex 5, Grabenverfüllung C
Interpretation: Lehm-Stein-Ansammlung der Grabenverfüllung C
Befundtyp: Verfüllung
Material: sandiger Lehm; klein- bis mittelformatige Feld- und Bruchsteine
Konsistenz: hart getrockneter Lehm
Farbe: graubrauner Lehm
Einschlüsse: viele Feld- und Bruchsteine (bis ca. 30 cm); vereinzelt gebrannter Lehm und Holzkohleflocken
Schichtung: keine Schichtung erkennbar
Ausrichtung/Form/Maße: unregelmäßig länglich; auf einer Länge von ca. 0,8 × 0,6 m fassbar
Abgrenzung: zu den SE 1307=1309=1310 diffus

SE 1349
Kampagne: 2011
Schnitt: N6
Quadrant: R–T/51–53
Ansprache: hellgraue Lehmschicht
Zugehörigkeit: Komplex 5, Grabenverfüllung C
Interpretation: Lehmschicht der Grabenverfüllung C
Befundtyp: Verfüllung
Material: vgl. SE 1343
Konsistenz: vgl. SE 1343
Farbe: vgl. SE 1343
Einschlüsse: vgl. SE 1343
Schichtung: vgl. SE 1343
Ausrichtung/Form/Maße: verläuft als Band von Nordwesten nach Südosten (ca. 20 cm breit); im Norden begrenzt durch den Leitungsgraben; im Süden durch Schnittgrenze
Abgrenzung: zu SE 1344 gut gleichzusetzen mit SE 1343

SE 1368
Kampagne: 2011
Schnitt: N6
Quadrant: T/53
Ansprache: Steinkonzentration mit Lehmbettung
Zugehörigkeit: Komplex 5, Grabenverfüllung C
Interpretation: Stein-Lehm-Schicht der Grabenverfüllung C
Befundtyp: Verfüllung
Material: sandiger Lehm; mittel- und großformatige Feld- und Bruchsteine (bis 40 cm)
Konsistenz: hart getrockneter Lehm
Farbe: gelbgrau bis graubraun
Einschlüsse: verbrannter Lehm; Holzkohle; Keramik
Schichtung: keine Schichtung erkennbar; Lehm-Stein-Gemisch
Ausrichtung/Form/Maße: unregelmäßige Form, ca. auf 1,5 × 0,9 m erhalten
Abgrenzung: aufgrund der Farbe der Lehmschicht zu SE 1258 und 1344 gut

SE 1458
Kampagne: 2011
Schnitt: N7
Quadrant: R–V/54–55
Ansprache: Steinverfüllung
Zugehörigkeit: Komplex 5, Grabenverfüllung C
Interpretation: Steine der Grabenverfüllung
Befundtyp: Verfüllung
Material: klein- und großformatige Feld- und Bruchsteine (bis 45 cm)
Schichtung: recht kompakte Schüttung; kein Verband erkennbar; läuft im Westen schräg aus; im oberen Bereich kleinformatigere Steine im Westen
Ausrichtung/Form/Maße: am Übergang zu N6 im Nordwesten nicht mehr vorhanden; folgt in etwa der Form eines Parallelogramms (ca. 7,5 × 1,5 m), da der Graben schräg angeschnitten wurde
Abgrenzung: zu den Planierungen SE 4511 und 4512 sehr gut; zu SE 1475 ebenfalls sehr gut

SE 1501
Kampagne: 2011
Schnitt: N7
Quadrant: R–S/54–55
Ansprache: Grabenverfüllung
Zugehörigkeit: Komplex 5, Grabenverfüllung C
Interpretation: Erdmaterial der Grabenverfüllung C
Befundtyp: Verfüllung
Material: graubrauner sandiger Lehm (zwischen den Steinen der Verfüllung)
Konsistenz: fest, hart getrocknet
Farbe: grau mit deutlichem Braunstich
Einschlüsse: Bruchstücke von gebranntem Lehm, Holzkohlefragmente
Schichtung: keine Schichtung erkennbar; als Schüttung im Zusammenhang mit SE 1458 zu sehen
Ausrichtung/Form/Maße: am Übergang zu N6 im Nordwesten nicht mehr vorhanden; folgt in etwa der Form eines Parallelogramms (ca. 7,5 × 1,5 m), da der Graben schräg angeschnitten wurde
Abgrenzung: zu den Planierungen SE 4511 und 4512 sehr gut aufgrund der Farbe sowie der Steine der SE 1458

SE 1771
Kampagne: 2012
Schnitt: N6
Quadrant: R–T/51–53
Ansprache: Grabeninterface
Zugehörigkeit: Komplex 5, Grabenverfüllung C
Interpretation: Interface der Grabenverfüllung C
Befundtyp: Interface

Ausrichtung/Form/Maße: längliches Band mit unregelmäßigen Außengrenzen; Nordwest bis Südost verlaufend; auf einer Länge von etwa 7 m verfolgbar (Breite erh. max. 2 m)
Abgrenzung: gleichzusetzen mit SE 4554

SE 4551
Kampagne: 2013
Schnitt: N7
Quadrant: U/54
Ansprache: Stein-Lehm-Ansammlung
Zugehörigkeit: Komplex 5, Grabenverfüllung C
Interpretation: Lehm-Stein-Schicht der Grabenverfüllung C
Befundtyp: Verfüllung
Material: sandiger Lehm
Konsistenz: Erdmaterial zwischen den Steinen ist hart getrocknet
Farbe: teils gelbbraun bis dunkelbraun, auch graubraun mit Rotstich
Einschlüsse: große (30–40 cm), mittelgroße (15–20 cm) sowie kleine (bis 10 cm) Bruch- und Feldsteine
Schichtung: Steine ungeordnet übereinander liegend und dem Verlauf der Grabenverfüllung folgend
Ausrichtung/Form/Maße: von Nordwesten etwa schräg Richtung Südosten verlaufend; Länge (West-Ost) max. 1,15 m; Breite (Nord-Süd) max. 1,5 m; Form etwa dreieckig bedingt durch die Schnittgrenzen des Quadranten
Abgrenzung: anhand der Stein-Lehm-Ansammlung zu SE 4552 sehr gut; im Süden fließend zu SE 1458, 1501
Bemerkungen: vgl. Skizze auf der RS des SE-Blattes

SE 4554
Kampagne: 2013
Schnitt: N7
Quadrant: U/53
Ansprache: Grabeninterface
Zugehörigkeit: Komplex 5, Grabenverfüllung C
Interpretation: Interface der Grabenverfüllung C
Befundtyp: Interface
Ausrichtung/Form/Maße: nur in einem Quadranten erfasst, daher etwa dreieckige Form (West-Ost ca. 1 m; Nord-Süd ca. 1,3 m)
Abgrenzung: gleichzusetzen mit SE 1771

SE 5347
Kampagne: 2013
Schnitt: N7
Quadrant: Y–AA/58–59
Ansprache: große Steinansammlung
Zugehörigkeit: Komplex 5, Grabenverfüllung C
Interpretation: Steine der Grabenverfüllung C
Befundtyp: Verfüllung
Material: mittel- bis großformatige Bruch- und Feldsteine (15–40 cm)
Schichtung: nebeneinander und übereinander liegende Steine
Ausrichtung/Form/Maße: im westlichen Bereich des Areals unter Raum 54 ergraben; unregelmäßige Form im nordöstlichen Bereich; teilweise noch vom Erdmaterial SE 5598 bedeckt
Abgrenzung: zu SE 5598 aufgrund der Steine sehr gut

Planierschicht

SE 1449
Kampagne: 2011
Schnitt: N7
Quadrant: U–X/54–55
Ansprache: graue Lehmschicht
Zugehörigkeit: Planierung
Interpretation: Planierschicht mit verbrannten Materialien
Befundtyp: Lehmschicht
Material: sandiger Lehm, kleine Steine (bis 5 cm)
Konsistenz: hart getrocknet
Farbe: grau bis bräunlich
Einschlüsse: kleine Steine (bis 10 cm), vereinzelt kleine Partikel von verbranntem Lehm (1–3 cm)
Schichtung: keine Schichtung erkennbar; regellos verteiltes Material
Ausrichtung/Form/Maße: schmale Schicht, die sich auf ca. 4 m im Osten des Schnittes erhalten hat; Verlauf ist ebenso im Profil ersichtlich; im Norden durch die Abbruchkante begrenzt; im Süden durch die Profilgrenze
Abgrenzung: zu SE 1448 und 4511 im Nordprofil aufgrund der Farbe sehr gut; durch eine Vielzahl von Tiergängen gestört

SE 4503
Kampagne: 2012
Schnitt: N7
Quadrant: S/54–55
Ansprache: Steinansammlung
Zugehörigkeit: Planierung
Interpretation: Steinansammlung in einer Planierschicht
Befundtyp: Steinkonzentration
Material: klein- bis mittelformatige Feld- und Bruchsteine (10–20 cm)
Schichtung: nebeneinander und vereinzelt übereinander liegende Steine
Ausrichtung/Form/Maße: etwa längliche Form; Konzentration auf etwa 1 × 0,2 m feststellbar
Abgrenzung: zu SE 4505 gut; Verbindung zu SE 4506 annehmbar, da diese im oberen Bereich liegen

SE 4505
Kampagne: 2012
Schnitt: N7
Quadrant: S–U/54–55
Ansprache: hellbraune Lehmschicht
Zugehörigkeit: Planierung
Interpretation: Planierschicht unterhalb des Laufniveaus SE 1448
Befundtyp: Lehmschicht
Material: sandiger Lehm
Konsistenz: hart getrocknet
Farbe: hellbraun

Einschlüsse: kleinere Steine (bis ca. 10–15 cm); teilweise Fragmente von gebranntem Lehm; vereinzelt Ascherückstände und Holzkohleflitter
Schichtung: flächig ausgebreitet; teilweise höher erhalten im Westen
Ausrichtung/Form/Maße: schmale, großflächige Schicht, die sich auf ca. 6 m erstreckt; im Norden durch die Abbruchkante begrenzt; im Süden durch die Profilgrenze
Abgrenzung: aufgrund der Farbe und Einschlüsse zu SE 4512 gut; zu SE 1448 ebenfalls aufgrund der Einschlüsse gut

SE 4506
Kampagne: 2012
Schnitt: N7
Quadrant: S/55
Ansprache: Steinansammlung
Zugehörigkeit: Planierung
Interpretation: Steinansammlung in einer Planierschicht
Befundtyp: Steinkonzentration
Material: mittelformatige (15–20 cm) und vereinzelt kleinformatige Feld- und Bruchsteine (bis 10 cm)
Schichtung: nebeneinander und übereinander liegende Steine in der Nähe der südlichen Schnittgrenze
Ausrichtung/Form/Maße: formlose Konzentration der Steine auf etwa 0,6 × 0,3 m
Abgrenzung: zu SE 4505 gut; Verbindung zu SE 4503 annehmbar

SE 4511
Kampagne: 2012
Schnitt: N7
Quadrant: V–X/54–55
Ansprache: rotbraune Lehmschicht
Zugehörigkeit: Planierung
Interpretation: Planierschicht mit verbrannten Materialien (vgl. SE 4512 im Westen)
Befundtyp: Lehmschicht
Material: verziegelter Lehm, kleine Steine (bis 5 cm); Holzkohle
Konsistenz: hart getrocknet
Farbe: hellrot, orange bis braun, zum Teil dunkelbraune bis schwarze Bereiche (Asche, Holzkohle)
Einschlüsse: große Fragmente von gebranntem Lehm; Ascherückstände (Ascheschlieren, lokal teils große Einschlüsse) und Holzkohlebruchstücke
Schichtung: keine Schichtung oder Verband erkennbar; regellos verteiltes Material
Ausrichtung/Form/Maße: schmale, großflächige Schicht, die sich auf ca. 6 m östlich der Steinkistenkonstruktion erstreckt; Verlauf ist auch im Profil ersichtlich; im Norden durch die Abbruchkante begrenzt; im Süden durch die Profilgrenze
Abgrenzung: aufgrund der Farbe zu SE 1449 sehr gut; vermutlich mit SE 4512 gleichzusetzen; durch eine Vielzahl von Tiergängen gestört
Bemerkungen: Unterschiedliche Schüttungen und Materialien in derselben Planierschicht: wahrscheinlich Reste von Wandverputz im Osten (X/55); Reste von Lehmziegeln (W–X/55); hellbrauner bis brauner Lehm mit Holzkohleflocken und gebrannten Lehmbruchstücken (V/54–55; W/55); dunkle, aschige Linse (W/55)

SE 4512
Kampagne: 2012
Schnitt: N7
Quadrant: S–U/54–55
Ansprache: dunkelrote bis schwarze Lehmschicht
Zugehörigkeit: Planierung
Interpretation: Planierschicht mit verbrannten Materialien (vgl. SE 4511 im Osten)
Befundtyp: Lehmschicht
Material: sandiger Lehm, Asche, Holzkohleeinschlüsse
Konsistenz: hart getrocknet, teilweise aschig (weich)
Farbe: dunkelrot bis schwarz mit weißen bis grauen Aschebestandteilen
Einschlüsse: Fragmente von gebranntem Lehm; Ascherückstände und Holzkohlebruchstücke (lokal teils große Einschlüsse)
Schichtung: keine Schichtung oder Verband erkennbar; regellos verteiltes Material
Ausrichtung/Form/Maße: schmale, großflächige Schicht, die sich auf ca. 5 m erstreckt, jedoch nur im Westen und westlich der Steinkistenkonstruktion ergraben wurde; Verlauf im Profil ersichtlich; im Norden durch die Abbruchkante begrenzt; im Süden durch die Profilgrenze
Abgrenzung: zu SE 4505 aufgrund der Farbe und der Einschlüsse gut; vermutlich mit SE 4511 gleichzusetzen

SE 5598
Kampagne: 2014
Schnitt: M1
Quadrant: Y–AA/58–59
Ansprache: braune Lehmschicht
Zugehörigkeit: Planierung
Interpretation: Planierschicht mit verbrannten Materialien
Befundtyp: Lehmschicht
Material: sandiger Lehm mit Holzkohleschlieren
Konsistenz: hart getrocknet
Farbe: braun bis rotbraun mit schwarzen Einschlüssen
Einschlüsse: kleinere und mittelgroße Steine (bis 20 cm), vereinzelt größere Steine; Holzkohlebruchstücke
Schichtung: keine Schichtung erkennbar
Ausrichtung/Form/Maße: im Bereich des Areals unterhalb von Raum 54 erfasst; die Form folgt den Schnittgrenzen; teils noch auf den Steinen der Grabenverfüllung (SE 5347) liegend
Abgrenzung: zu SE 5350 diffus, jedoch abgrenzbar aufgrund der Höhe der Mauerzüge; zu SE 5347 aufgrund der Steine gut

Steinkistenkomplex

SE 1450
Kampagne: 2011
Schnitt: N7

Quadrant: U–V/54
Ansprache: Steinsetzung
Zugehörigkeit: Steinkistenkomplex
Interpretation: vertikale Steinsetzungen der Steinkistenkonstruktion
Befundtyp: Steinkonzentration
Material: vgl. SE 4507
Schichtung: vgl. SE 4507
Ausrichtung/Form/Maße: vgl. SE 4507
Abgrenzung: gleichzusetzen mit SE 4507

SE 1504
Kampagne: 2011
Schnitt: N7
Quadrant: U–V/54–55
Ansprache: Interface der Steinkistenkonstruktion
Zugehörigkeit: Steinkistenkomplex
Interpretation: Interface der Steinkistenkonstruktion
Befundtyp: Interface
Ausrichtung/Form/Maße: nordöstlich (NNO) bis südwestlich (SSW) orientiert; Abmessungen erh. Länge max. 1, 5m, Breite 0,42 m, Tiefe 0,3 m

SE 4507
Kampagne: 2012
Schnitt: N7
Quadrant: U–V/54–55
Ansprache: Wandplatten
Zugehörigkeit: Steinkistenkomplex
Interpretation: vertikale Steinsetzungen der Steinkistenkonstruktion
Befundtyp: Steinkonstruktion
Material: flache, unbearbeitete Steinplatten, die bis zu 0,4 m lang und 0,08 m breit sein können
Schichtung: senkrecht aneinander gesetzte Steinplatten
Ausrichtung/Form/Maße: die Steinsetzungen folgen einer rechteckigen Form (erh. Länge max. 1,5 m, Breite 0,4 m); im Norden durch die Abbruchkante gestört
Abgrenzung: zu SE 1458 und 1501 im Profil sehr gut; ebenso zu SE 4505, 4511 und 4512 sehr gut; gleichzusetzen mit SE 1450

SE 4508
Kampagne: 2012
Schnitt: N7
Quadrant: U–V/54–55
Ansprache: Steinplatten
Zugehörigkeit: Steinkistenkomplex
Interpretation: Deckplatten der Steinkistenkonstruktion
Befundtyp: Steinkonstruktion
Material: flache Steinplatten, nicht bearbeitet (15–30 cm)
Schichtung: die Steinplatten liegen teils auf den senkrecht gesetzten Randsteinen, teils im Innenbereich der Konstruktion
Ausrichtung/Form/Maße: die Steinplatten folgen weitestgehend der rechteckigen Form der Steinkistenkonstruktion (max. 1,5 × 0,4 m); im Norden durch die Abbruchkante gestört
Abgrenzung: sehr deutlich zu anderen SE aufgrund der Steine

SE 4509
Kampagne: 2012
Schnitt: N7
Quadrant: U–V/54–55
Ansprache: hellbraune Lehmschicht
Zugehörigkeit: Steinkistenkomplex
Interpretation: Deckschicht im oberen Bereich der Steinkiste zwischen den Steinplatten SE 4508
Befundtyp: Lehmschicht
Material: hellbrauner Lehm
Konsistenz: hart getrocknet
Farbe: hellbraun
Schichtung: kompakt; teilweise sind Steinplatten der SE 4508 ins Material gedrückt
Ausrichtung/Form/Maße: folgt den Grenzen der Steinkistenkonstruktion (erh. Länge max. 1,5 m, Breite 0,4 m); im Norden durch die Abbruchkante gestört
Abgrenzung: zu SE 1448 undeutlich; zu SE 4510 diffus

SE 4510
Kampagne: 2012
Schnitt: N7
Quadrant: U–V/54–55
Ansprache: hellbrauner Lehm
Zugehörigkeit: Steinkistenkomplex
Interpretation: Verfüllung der Steinkistenkonstruktion
Befundtyp: Verfüllung
Material: Lehm
Konsistenz: sehr fein; teils leicht schmierig
Farbe: hellbraun
Einschlüsse: vereinzelt kleine Kiesel und Steine (bis 3 cm)
Schichtung: sehr homogen
Ausrichtung/Form/Maße: folgt den Grenzen der Steinkistenkonstruktion (erh. Länge max. 1,5 m, Breite 0,4 m); im Norden durch die Abbruchkante gestört
Abgrenzung: nach oben zu SE 4509 diffus; nach unten zu SE 1458 und 1501 aufgrund der Steine der Grabenverfüllung C sehr gut; das untere Ende wird zudem durch das Ende der Vertikalplatten angezeigt (keine Bodenplatten vorhanden)

ÇuHö VIb

SE 1448
Kampagne: 2011
Schnitt: N7
Quadrant: S–V/54–55
Ansprache: hellbraune Lehmschicht
Interpretation: Laufhorizont außerhalb der westlich anschließenden Architektur
Befundtyp: Laufhorizont
Material: sandiger Lehm; kleinere Steine (bis 3 cm, vereinzelt bis 5 cm)
Konsistenz: hart getrocknet
Farbe: hellbraun mit leichtem Rotstich
Schichtung: wirkt kompakt
Ausrichtung/Form/Maße: bedingt durch die Schnittgrenze im Süden und die Abruchkante im Norden auf

etwa 8 m Richtung Osten verfolgbar; Nord-Süd-Ausdehnung max. 1,3 m
Abgrenzung: zu SE 1478 aufgrund der Farbe gut; zu den Fundlagen (SE 1451, 1492 und 4504) sehr gut; ebenfalls zur SR 5 und SE 4501 sehr gut

SE 1451
Kampagne: 2011
Schnitt: N7
Quadrant: S/55
Ansprache: Fundlage „Mörser“
Interpretation: Fundlage auf Laufniveau
Befundtyp: Fundansammlung
Material: Keramik, Mörser
Schichtung: neben- und aneinander liegende Funde wirkt verstürzt
Ausrichtung/Form/Maße: formlose Konzentration an Funden; befindet sich unmittelbar nördlich der Steinreihenstruktur (SR 5)
Abgrenzung: zu SE 1448 aufgrund der horizontalen Ausbreitung der Funde gut; vermutlich im Zusammenhang mit SE 1492 und 4504 zu sehen

SE 1473
Kampagne: 2011
Schnitt: N7
Quadrant: R/54–55
Ansprache: Mauer
Interpretation: Südwest-Nordost verlaufender Mauerabschnitt
Befundtyp: Steinmauer
Material: mittelgroße (15–20 cm) und große (bis 30 cm) Feld- und Bruchsteine
Schichtung: 2 Lagen erhalten (vertikal); zweischalig mit Füllsteinen in der Mitte (horizontal)
Ausrichtung/Form/Maße: sichtbare/erhaltene Länge 0,77 m, Breite 0,48 m, erh. Höhe 0,3 m; Südwest-Nordost ausgerichteter Mauerzug, der schräg ins Westprofil verläuft; im Norden vermutlich durch die Abbruchkante gestört
Abgrenzung: zu SE 1479 aufgrund der Steine sehr gut

SE 1474
Kampagne: 2011
Schnitt: N7
Quadrant: R–S/55
Ansprache: Mauer
Interpretation: Südwest-Nordost verlaufender Mauerabschnitt
Befundtyp: Steinmauer
Material: mittelgroße (10–15 cm) und große (bis 30 cm) Feld- und Bruchsteine
Schichtung: 2 Lagen erhalten (vertikal); zweischalig mit Füllsteinen in der Mitte (horizontal), nach Osten leicht geböscht wirkend
Ausrichtung/Form/Maße: sichtbare Länge 0,85 m, Breite 0,56 m, erh. Höhe 0,35 m; Südwest-Nordost ausgerichteter Mauerzug, der ins Südprofil verläuft
Abgrenzung: zu SE 1479 und 1478 aufgrund der Steine gut; zu SE 1475 undeutlich, jedoch Superposition erkennbar

SE 1475
Kampagne: 2011
Schnitt: N7
Quadrant: R–S/54–55
Ansprache: Steinstruktur
Interpretation: Nordwest-Südost verlaufender, schlecht erhaltener Mauerabschnitt?
Befundtyp: Steinkonstruktion
Material: mehrere große Steine (bis 30 cm) in einer Reihe gesetzt; im nördlichen Bereich zudem kleinere Steine (bis 10 cm)
Schichtung: 1 Lage erhalten (vertikal); vermutlich zweischalig mit Füllsteinen in der Mitte (horizontal), dies jedoch nur im nördlichen Abschnitt erhalten; weiterer Verlauf im Norden durch die Abbruchkante gestört; im südlichen Abschnitt von Mauer SE 1474 überlagert
Ausrichtung/Form/Maße: erh. Länge 1,3 m, Breite 0,4 m; erh. Höhe 0,35 m; Nordwest-Südost ausgerichteter Mauerzug
Abgrenzung: zu SE 1479 sehr gut; zu SE 1474 undeutlich; zu SE 1501 und 1458 gut abgrenzbar

SE 1476
Kampagne: 2011
Schnitt: N7
Quadrant: R/55
Ansprache: Steinanhäufung
Interpretation: vermutlich verstürzte Architektur (vermutlich zur Steinstruktur SE 1475 zugehörig)
Befundtyp: Steinkonzentration
Material: ein mittelgroßer Stein (bis 15 cm); mehrere kleine Steine (bis 10 cm)
Ausrichtung/Form/Maße: formlose, kleinformatige Anhäufung; südwestlich neben SE 1475 gelegen
Abgrenzung: in der Fläche und zur SE 1475 gut

SE 1477
Kampagne: 2011
Schnitt: N7
Quadrant: S/54–55
Ansprache: Steinansammlung
Interpretation: vermutlich verstürzte Architektur (evtl. zur Steinstruktur SE 1475 zugehörig)
Befundtyp: Steinkonzentration
Material: mehrere kleinere (bis 15 cm) und größere Steine (bis 30 cm)
Ausrichtung/Form/Maße: formlose Anhäufung; nordöstlich neben SE 1475 gelegen
Abgrenzung: zu SE 1478 aufgrund der Steine gut; zu SE 1475 ebenfalls gut

SE 1478
Kampagne: 2011
Schnitt: N7
Quadrant: R–S/54–55
Ansprache: graubraune Lehmschicht
Interpretation: Laufhorizont außerhalb der westlich anschließenden Architektur
Befundtyp: Laufhorizont
Material: sandiger Lehm mit kleineren Steinen (kleiner 5 cm); Keramik

Konsistenz: hart getrocknet
Farbe: graubraun
Einschlüsse: wenige Steine (bis 5 cm)
Schichtung: wirkt kompakt
Ausrichtung/Form/Maße: etwa trapezförmig (2 × 1,8 m); begrenzt durch die Schnittgrenze im Süden und die Abbruchkante im Norden
Abgrenzung: zu SE 1446 gut, zu SE 1448 aufgrund der Farbe ebenfalls gut

SE 1479
Kampagne: 2011
Schnitt: N7
Quadrant: R–S/54–55
Ansprache: braune Lehmschicht
Interpretation: Laufhorizont innerhalb der Mauerabschnitte SE 1473, 1474 und 1475
Befundtyp: Laufhorizont
Material: sandiger Lehm
Konsistenz: hart getrocknet
Farbe: dunkles rotbraun bis braun
Einschlüsse: wenige Steine (bis 3 cm)
Schichtung: wirkt kompakt und gefestigt
Ausrichtung/Form/Maße: etwa trapezförmig 1,8 × 1,5 m; begrenzt durch die Mauern SE 1473, 1474 und 1475 im Westen und Osten; im Süden durch die Schnittgrenze; im Norden durch die Abbruchkante gestört
Abgrenzung: aufgrund der Steine zu SE 1474–76 sehr gut

SE 1492
Kampagne: 2011
Schnitt: N7
Quadrant: T/55
Ansprache: Fundlage „Kochtopf"
Interpretation: Keramikgefäß auf Laufniveau
Befundtyp: Fundansammlung
Material: Keramik
Schichtung: nahezu vollständig erhaltenes Gefäß auf dem Laufhorizont SE 1448
Ausrichtung/Form/Maße: liegt auf der Seite, etwa 0,15 cm nördlich der Profilgrenze
Abgrenzung: zu SE 1448 gut; vermutlich im Zusammenhang mit SE 1451 und 4504 zu sehen

SE 4501
Kampagne: 2012
Schnitt: N7
Quadrant: S–T/54–55
Ansprache: flache Steinplatten
Zugehörigkeit: Steinreihenstruktur (SR 5)
Interpretation: verschobene, unbearbeitete Steinplatten der Steinreihenstruktur SE 4502
Befundtyp: Steinkonzentration
Material: mehrere große Steinplatten (20–35 cm)
Schichtung: ca. 7 nebeneinander und teilweise übereinander liegende Steinplatten
Ausrichtung/Form/Maße: nördlich der Steinkonstruktion SE 4502 beginnend und Richtung Nordosten auf einer Länge von etwa 2 m verfolgbar
Abgrenzung: zu SE 1448 und den Fundlagen (SE 1451, 1492, 4504) sehr gut; der Mörser der Fundlage SE 1451 liegt zum Teil auf einer Steinplatte

SE 4502
Kampagne: 2012
Schnitt: N7
Quadrant: S/55
Ansprache: Steinstruktur
Zugehörigkeit: Steinreihenstruktur (SR 5)
Interpretation: Steinreihenstruktur
Befundtyp: Steinkonstruktion
Material: 2 flache Steinplatten (bis 35 cm, unbearbeitete); 3 Feld- und Bruchsteine (soweit erkennbar bis 20 cm)
Schichtung: 2 nebeneinander liegende Steinplatten, die auf 3 senkrecht gesetzten Steinen aufliegen (nur im Profil erkennbar)
Ausrichtung/Form/Maße: befindet sich etwa 30 cm östlich der Mauer SE 1474; leicht Nordwest-Südost ins Profil der südlichen Schnittgrenze verlaufend; sichtbare Länge ca. 1 m, Breite ca. 0,3 m; Form: etwa gestreckt trapezförmiges Eck sichtbar
Abgrenzung: zu SE 1448 sehr gut

SE 4504
Kampagne: 2012
Schnitt: N7
Quadrant: S–T/54–55
Ansprache: Keramikkonzentration mit botanischen Resten
Interpretation: Fundlage auf Laufniveau
Befundtyp: Fundansammlung
Material: Keramik; Holzkohle, verbrannte botanische Reste
Konsistenz: sehr brüchige Keramik
Farbe: dunkel bis schwarz
Schichtung: flächige Ausbreitung der Keramik und botanischen Reste
Ausrichtung/Form/Maße: unregelmäßig abgerundeter Bereich der Konzentration (ca. 0,5 × 0,4 m)
Abgrenzung: zu SE 1448 aufgrund der horizontalen Ausbreitung der Funde sowie schwarzer Einschlüsse gut; vermutlich im Zusammenhang mit SE 1451 und 1492 zu sehen
Fundvermischung: zu SE 1447 annehmbar, insbesondere die botanischen Reste

SE 5348
Kampagne: 2013
Schnitt: M1
Quadrant: AA/58–59
Bereich: Areal unter Raum 54
Ansprache: Mauer (W-O)
Interpretation: Mauerzug
Befundtyp: Steinmauer
Material: klein- bis mittelformatige Bruch- und Feldsteine
Schichtung: 2 Lagen erhalten (vertikal); grundsätzlich zweischalig mit Füllsteinen (horizontal)

Ausrichtung/Form/Maße: im Osten durch die Schnittgrenze begrenzt, Mauer läuft nach Osten weiter; West-Ost-Ausrichtung; ergrabene Länge 0,95 m, Breite 0,5 m, erh. Höhe 0,22 m

SE 5350
Kampagne: 2013
Schnitt: M1
Quadrant: Y–AA/58–59
Bereich: Areal unter Raum 54
Ansprache: braune Lehmschicht
Interpretation: Laufhorizont
Befundtyp: Laufhorizont
Material: sandiger Lehm
Konsistenz: hart getrocknet
Farbe: braun bis dunkelbraun
Einschlüsse: kleinere Steine (bis 10 cm)
Schichtung: keine Schichtung erkennbar
Ausrichtung/Form/Maße: im Bereich des Areals unterhalb von Raum 54 erfasst; die Form folgt den Schnittgrenzen
Abgrenzung: zu SE 5324 aufgrund der Farbe (dunkler Braunton) gut; zu SE 5598 diffus, jedoch gut abgrenzbar aufgrund der Mauerzüge SE 5348 und 5405

SE 5405
Kampagne: 2014
Schnitt: M1
Quadrant: Z/59
Bereich: Areal unter Raum 54
Ansprache: Mauer (W-O)
Interpretation: Mauerabschnitt
Befundtyp: Steinmauer
Material: klein- bis mittelformatige Bruch- und Feldsteine
Schichtung: 1 Lage erhalten (vertikal); zweischalig mit Füllsteinen (horizontal); Struktur der Mauer nur noch rudimentär erkennbar
Ausrichtung/Form/Maße: West-Ost-Ausrichtung; ergraben Länge 1,85 m, Breite max. 0,56 m, erh. Höhe 0,25 m
Abgrenzung: errichtet auf Laufniveau SE 5350 sowie den Steinen der Grabenverfüllung C (SE 5347); in diesem Bereich ist das Laufniveau über den Steinen sehr dünn

Planierung ÇuHö VIa/VIb

SE 1445
Kampagne: 2011
Schnitt: N7
Quadrant: R–S/54–55
Ansprache: dunkelbraune Lehmschicht
Zugehörigkeit: Planierung
Interpretation: Planierschicht
Befundtyp: Lehmschicht
Material: sandiger Lehm
Konsistenz: hart getrocknet
Farbe: dunkelbraun bis gräulich
Einschlüsse: Bruch- und Feldsteine (bis 10 cm)
Schichtung: kompakt, keine Schichtung erkennbar
Ausrichtung/Form/Maße: großflächige, etwa trapezförmige Deckschicht (ca. 3 × 1,4 m); im Norden durch die Abbruchkante begrenzt; im Westen und Süden durch die Schnittgrenze
Abgrenzung: deutlicher farblicher Unterschied zur SE 1446 im Osten

SE 1446
Kampagne: 2011
Schnitt: N7
Quadrant: S–T/54–55
Ansprache: rotbraune Lehmschicht
Zugehörigkeit: Planierung
Interpretation: Planierschicht
Befundtyp: Lehmschicht
Material: sandiger Lehm
Konsistenz: hart getrocknet
Farbe: braun mit starkem Rotstich
Einschlüsse: viele kleine Bruchsteine (bis 5 cm); wenige größere Bruchsteine (10–15 cm)
Schichtung: kompakt, keine Schichtung erkennbar
Ausrichtung/Form/Maße: etwa trapezförmig (ca. 2,3 × 1,4 m); im Norden durch die Abbruchkante begrenzt; im Süden durch die Schnittgrenze
Abgrenzung: aufgrund der Farbe und Bruchsteine zu den angrenzenden SE 1445 und 1447 gut

SE 1447
Kampagne: 2011
Schnitt: N7
Quadrant: T/54–55
Ansprache: graubraune Lehmschicht
Zugehörigkeit: Planierung
Interpretation: Planierschicht
Befundtyp: Lehmschicht
Material: sandiger Lehm
Konsistenz: relativ weich
Farbe: grau bis braun
Einschlüsse: wenige Bruchsteine
Schichtung: deutlich sandiger als die angrenzenden Schichten (SE 1446, 1448)
Ausrichtung/Form/Maße: etwa trapezförmig (ca. 1,3 m × 1,5 m)
Abgrenzung: besonders durch die Konsistenz ist eine Abgrenzung zu den SE 1446 und 1448 möglich
Fundvermischung: zu SE 4504 annehmbar, insbesondere bei den botanischen Resten

SE 1457
Kampagne: 2011
Schnitt: N7
Quadrant: R/55
Ansprache: Fundlage „Keramikfragmente“
Zugehörigkeit: Planierung
Interpretation: Fundansammlung innerhalb der Planierung
Befundtyp: Fundansammlung

Material: wenig große und mehrere kleinere Keramikfragmente sowie Muscheln
Schichtung: teilweise ineinander geschachtelte Keramikfragmente
Ausrichtung/Form/Maße: keine Form erkennbar; Verteilung ca. über 1 m unweit der südlichen Schnittgrenze
Abgrenzung: zu SE 1462 gehörig; zum umgebenden Material gut

SE 1462
Kampagne: 2011
Schnitt: N7
Quadrant: R/55
Ansprache: Fundlage
Zugehörigkeit: Planierung
Interpretation: Fundansammlung innerhalb der Planierung
Befundtyp: Fundansammlung
Material: Keramik, Knochen
Ausrichtung/Form/Maße: formlose Verteilung über einen Bereich von etwa 0,3 × 0,4 m
Abgrenzung: zu SE 1457 zugehörig (schräger Schichtverlauf von West nach Ost); zum umgebenden Material gut

SE 1463
Kampagne: 2011
Schnitt: N7
Quadrant: R/54–55
Ansprache: Steinansammlung
Zugehörigkeit: Planierung
Interpretation: Steinansammlung innerhalb der Planierschicht
Befundtyp: Steinkonzentration
Material: 2 große Steine (20–30 cm), viele kleine Steine (bis 10–15 cm)
Schichtung: keine Schichtung erkennbar
Ausrichtung/Form/Maße: zum Teil im West-Profil steckend; in der Fläche keiner Form folgend
Abgrenzung: zur Lehmschicht SE 1445 anhand der Steine gut

SE 5591
Kampagne: 2014
Schnitt: M1
Quadrant: W–Y/58–61
Bereich: Areal unter Raum 41
Ansprache: rotbraune Lehmschicht
Zugehörigkeit: Planierung
Interpretation: Planierschicht
Material: sandiger Lehm
Konsistenz: hart
Farbe: braun bis dunkelbraun mit Rotstich
Einschlüsse: kleinere Steine, kleinere Brocken von gebranntem Lehm, Holzkohleflitter
Schichtung: flächig unterhalb des Bodenniveaus (SE 5589 und 5590) liegend
Ausrichtung/Form/Maße: begrenzt durch das Areal und die FBZ-Mauern
Abgrenzung: zu SE 5589 und 5592 sehr gut

SE 5592
Kampagne: 2014
Schnitt: M1
Quadrant: X–Y/59
Bereich: Areal unter Raum 41
Ansprache: dunkelbraune Lehmschicht
Zugehörigkeit: Planierung
Interpretation: wahrscheinlich Bestandteil der Grabenverfüllung C
Material: sandiger Lehm
Konsistenz: hart
Farbe: dunkelbraun
Einschlüsse: im westlichen Teil vereinzelt großformatige Steine (40–50 cm), im östlichen Bereich groß- und mittelformatige Steine
Schichtung: kompakte Lehmschicht mit Steinen; eine größere Ansammlung von Steinen im östlichen Bereich ergraben, zieht vermutlich nach Osten weiter
Ausrichtung/Form/Maße: im nordöstlichen Zwickel des Areals unter Raum 41 ergraben; Form: etwa dreieckig aufgrund der vorgegebenen Fläche durch die Mauer SE 5587 und die Grenzen des Areals und Raumes 41
Abgrenzung: aufgrund der Farbe zu SE 5591 sehr gut

Planierung ÇuHö IV/VIb

SE 5324
Kampagne: 2013
Schnitt: M1
Quadrant: Y–AA/58–59
Bereich: Areal unter Raum 54
Ansprache: braune Lehm-Steinchen-Schicht
Zugehörigkeit: Planierung
Interpretation: Planierung
Befundtyp: Lehmschicht
Material: sandiger Lehm mit einer Vielzahl von kleineren Steinen
Konsistenz: hart (feucht aufgrund der Tiefe)
Farbe: braun mit deutlichem Rotstich
Einschlüsse: viele kleine Steine (1–2 cm)
Schichtung: homogen wirkend mit einem deutlichen Anteil an kleinen Steinen
Ausrichtung/Form/Maße: im Bereich des Areals unterhalb von Raum 54 erfasst; die Form folgt den Schnittgrenzen
Abgrenzung: zu SE 5295 sehr gut aufgrund der kleinen Steine

ÇuHö VIa

SE 5327
Kampagne: 2013
Schnitt: M1
Quadrant: Y/59
Bereich: Areal unter Raum 41
Ansprache: Steinansammlung (SO)

Interpretation: Steinansammlung (vermutlich Reste der Mauern des RH 1)
Befundtyp: Steinkonzentration
Material: große und mittelformatige Bruch- und Feldsteine (bis 40 cm)
Schichtung: teils nebeneinander, teils übereinander liegend; keine Struktur fassbar (wirkt verstürzt?)
Ausrichtung/Form/Maße: ins Süd- und Ostprofil unterhalb der Mauern des Raumes 41 verlaufend; unregelmäßige Form; Nord-Süd-Ausdehnung ca. 1,8 m, West-Ost 1,15 m
Abgrenzung: zu SE 5302 und 5325 sehr gut aufgrund der Steine

SE 5443
Kampagne: 2014
Schnitt: M1
Quadrant: X/58
Bereich: Areal unter Raum 53
Ansprache: graue Verfüllung
Interpretation: Pfostenlochverfüllung
Befundtyp: Pfostenloch
Material: sandiger Lehm
Konsistenz: bröselig, bricht leicht
Farbe: grau bis leicht braun
Einschlüsse: kleinere Steine (bis 2 cm)
Schichtung: Verfüllung wirkt kompakt
Ausrichtung/Form/Maße: im nördlichen Bereich des Areals unter Raum 53 gelegen; leicht ovale Form (0,36 × 0,33 m)
Abgrenzung: aufgrund der Farbe und Konsistenz zu SE 5448 gut

SE 5445
Kampagne: 2014
Schnitt: M1
Quadrant: X/58
Bereich: Areal unter Raum 53
Ansprache: Keramik-Lehm-Füllung
Interpretation: Verfüllung im Inneren des Gefäßes SE 5446
Befundtyp: Grube
Material: sandiger Lehm, Keramik
Konsistenz: locker, bröselig
Farbe: rotbraun
Einschlüsse: Keramikbruchstücke verschiedener Größe (zu SE 5446 gehörig)
Schichtung: keine Schichtung erkennbar
Ausrichtung/Form/Maße: im nördlichen Bereich, unmittelbar an der Schnittgrenze im Areal unter Raum 53 gelegen; Inhalt von SE 5446
Abgrenzung: zu SE 5448 aufgrund der Begrenzung durch die Keramik gut, anhand der Farbe des Lehms jedoch nur schwer unterscheidbar

SE 5446
Kampagne: 2014
Schnitt: M1
Quadrant: X/58
Bereich: Areal unter Raum 53
Ansprache: Gefäßunterteil
Interpretation: Gefäßunterteil in einer Grube
Befundtyp: Fundansammlung
Material: Keramik
Ausrichtung/Form/Maße: im nördlichen Bereich, unmittelbar an der Schnittgrenze im Areal unter Raum 53 gelegen; unregelmäßige Form; auf ca. 0,3 m fassbar
Abgrenzung: zu SE 5445 und 5448 aufgrund der Keramik sehr gut

SE 5447
Kampagne: 2014
Schnitt: M1
Quadrant: W–X/58
Bereich: Areal unter Raum 53
Ansprache: weißer Lehmfleck
Interpretation: Verfüllung einer flachen Grube oder aschige Lehmschicht auf dem Laufhorizont?
Befundtyp: Ascheschicht
Material: aschiges Material mit einem leicht sandigen Anteil
Konsistenz: aschig, mit leicht bröseligen Bestandteilen
Farbe: weiß bis grau
Einschlüsse: kleinere Steine (1–3 cm)
Schichtung: wirkt homogen
Ausrichtung/Form/Maße: im nördlichen Bereich, unmittelbar an der Schnittgrenze im Areal unter Raum 53 gelegen; leicht ovale Form (0,4 × 0,3 m)
Abgrenzung: zu SE 5448 aufgrund der Farbe gut

SE 5449
Kampagne: 2014
Schnitt: M1
Quadrant: Y/58
Bereich: Areal unter Raum 53
Ansprache: Steinstruktur
Interpretation: Steinkonstruktion (evtl. Steinkiste?)
Befundtyp: Steinkonstruktion
Material: mittelgroße Bruch- und Feldsteine
Schichtung: jeweils 2 vertikal nebeneinander gesetzte flache Steine, die eine Ecke bilden
Ausrichtung/Form/Maße: im südöstlichen Eck des Grabungsbereichs im Areal unter Raum 53 gelegen; 2 lineare Strukturen: Südwest-Nordost ausgerichtete Setzung (sichtbare Länge 0,4 m, Breite 0,07 m), Nordwest-Südost ausgerichtete Setzung (sichtbare Länge 0,42 m, Breite 0,06 m)
Abgrenzung: aufgrund der Steine zu SE 5422 und 5459 sehr gut; aufgrund dem unteren Ende der Steinplatten ebenso zu SE 5472 gut

SE 5459
Kampagne: 2014
Schnitt: M1
Quadrant: Y/58
Bereich: Areal unter Raum 53
Ansprache: hellrotbraune Verfüllung
Interpretation: Verfüllung der Steinstruktur
Befundtyp: Verfüllung
Material: sandiger Lehm
Konsistenz: hart getrocknet, kompakt

Farbe: hellbraun mit deutlichem Rotstich
Einschlüsse: kleinere Steine (bis 2 cm)
Schichtung: keine Schichtung erkennbar
Ausrichtung/Form/Maße: im südöstlichen Eck des Grabungsbereichs im Areal unter Raum 53 gelegen; schräg ins Profil unter der FBZ-Mauer SE 5084 verlaufend; Form folgt der Steinstruktur SE 5449, nur ein ca. dreieckiger Bereich sichtbar
Abgrenzung: zu SE 5449 aufgrund der Steine gut; zu SE 5422 diffus

SE 5460
Kampagne: 2014
Schnitt: M1
Quadrant: U–X/58
Bereich: Areal unter Raum 53
Ansprache: Interface des aschigen Lehmflecks
Interpretation: Interface des aschigen Lehmflecks (Grube?)
Befundtyp: Interface
Ausrichtung/Form/Maße: unmittelbar südlich der nördlichen Schnittgrenze des Areals unter Raum 53, in direkter Nähe zu den SE 5445, 5446, 5473 gelegen; runde Form; Dm. ca. 0,4 m, Tiefe wenige cm (s. SE 5466)

SE 5466
Kampagne: 2014
Schnitt: M1
Quadrant: X/58
Bereich: Areal unter Raum 53
Ansprache: Interface
Interpretation: Pfostenlochinterface
Befundtyp: Pfostenloch
Ausrichtung/Form/Maße: unmittelbar südlich der Schnittgrenze im Norden des Areals unter Raum 53; runde Form; Dm. ca. 0,3 m, Tiefe ca. 0,15 m

SE 5468
Kampagne: 2014
Schnitt: M1
Quadrant: W–Y/58
Bereich: Areal unter Raum 53
Ansprache: Lehm-Stein-Horizont
Interpretation: Pflasterung und Funde auf einem Nutzungsniveau
Befundtyp: Pflasterung
Material: sandiger Lehm sowie kleinere Bruch- und Feldsteine (bis 15 cm)
Konsistenz: hart getrockneter Lehm
Einschlüsse: 2 große Spondyli sowie weitere Funde
Schichtung: flächige Ausdehnung ersichtlich, keine Lagen erkennbar
Ausrichtung/Form/Maße: flächig im Areal unter Raum 53, begrenzt durch die FBZ-Mauern sowie die Schnittgrenze im Norden; die Form folgt der Begrenzung des Areals unter Raum 53
Abgrenzung: aufgrund der Steine und des aufliegenden Materials zu SE 5472 gut; schließt an den Befund SE 5588 der Pflasterung im Norden des Areals unter Raum 41 an

SE 5472
Kampagne: 2014
Schnitt: M1
Quadrant: W–Y/58
Bereich: Areal unter Raum 53
Ansprache: hellbraune Lehmschicht
Interpretation: Nutzungsniveau
Befundtyp: Laufhorizont
Material: sandiger Lehm
Konsistenz: hart getrocknet
Farbe: hellbraun mit leichtem Rotstich
Einschlüsse: vereinzelt kleinere Steine (bis 5 cm)
Schichtung: wirkt kompakt und gefestigt
Ausrichtung/Form/Maße: im Bereich des Areals unterhalb von Raum 53 erfasst; die Form folgt den Schnittgrenzen und den FBZ-Mauern
Abgrenzung: zu SE 5449, 5468 sowie den eingetieften Befunden sehr gut

SE 5473
Kampagne: 2014
Schnitt: M1
Quadrant: X/58
Bereich: Areal unter Raum 53
Ansprache: Grubeninterface
Interpretation: Grubeninterface
Befundtyp: Grube
Ausrichtung/Form/Maße: unmittelbar an der nördlichen Schnittgrenze des Areals unter Raum 53 gelegen; flache etwa halbsphärische Eintiefung in den Laufhorizont (SE 5472); Dm. ca. 0,35 m; Tiefe max. 0,07 m

SE 5474
Kampagne: 2014
Schnitt: M1
Quadrant: U/58
Bereich: Areal unter Raum 47
Ansprache: Steinreihen
Zugehörigkeit: Steinreihenstruktur (SR 4)
Interpretation: Steinreihenstruktur
Befundtyp: Steinkonstruktion
Material: mittelgroße und kleine Feld- und Bruchsteine
Schichtung: nebeneinander gesetzte, vertikale Steine, die parallele Reihen (7 Stück) bilden; Struktur fällt nach Osten hin stark ab; im Bereich des Durchgangs zwischen den FBZ-Räumen 38 und 47 nicht erhalten, vermutlich während der Maueranlegung entfernt
Ausrichtung/Form/Maße: im Südwesteck des Areals unter Raum 47, unter den Mauern SE 5078 (S) und 5052 (W) weiterlaufend ins Areal unter Raum 38; unregelmäßige Form, ehemals wohl quadratisch bis rechteckig; Länge max. 2,8 m (Nordwest-Südost); Breite max. 1,8 m (Südwest-Nordost)
Abgrenzung: zu SE 5465 und 5503 sehr gut

SE 5479
Kampagne: 2014
Schnitt: M1
Quadrant: V/59–60
Bereich: Areal unter Raum 38

Ansprache: Steinsetzung
Zugehörigkeit: Rechteckhaus 1 (RH 1)
Interpretation: partieller Mauerzug der Längsseite des RH 1
Befundtyp: Steinmauer
Material: große Feldsteine als hochkant gesetzte Schalensteine; kleinformatige Füllsteine
Einschlüsse: am Südwestende befindet sich ein Türangelstein (unklar, ob dieser verbaut wurde oder eine Funktion hatte)
Schichtung: 1 Lage erhalten (vertikal), diese besteht aus hochkant gesetzten Schalensteinen (vgl. Mauer SE 5586); einige Schalensteine wurden vermutlich für den Bau von SR 1 verwendet; zweischalig mit Füllsteinen (horizontal)
Ausrichtung/Form/Maße: Nordost-Südwest-Ausrichtung; an beiden Enden stark gestört; ergrabene Länge 1,6 m, Breite 0,53 m, erh. Höhe 0,30 m
Abgrenzung: zu SE 5467 gut; zugehörig zu Mauer SE 5586 im Areal unter Raum 41, Verlauf unter den FBZ-Mauern SE 5079 und 5517 sehr gut erkennbar

SE 5480
Kampagne: 2014
Schnitt: M1
Quadrant: U–V/60–61
Bereich: Areal unter Raum 38
Ansprache: Steinstruktur
Zugehörigkeit: Rechteckhaus 1 (RH 1)
Interpretation: Reste der Mauer SE 5604 mit Steinversturz dieser Mauer
Befundtyp: Steinstruktur
Material: kleine bis große Feld- und Bruchsteine
Schichtung: mehrere Steine (7 Stück) scheinen eine lineare Struktur zu bilden; westlich und östlich davon weitere Steinansammlungen (Versturz?)
Ausrichtung/Form/Maße: im südwestlichen Bereich des Areals, evtl. Richtung Nordosten weiter verlaufend; (Länge ca. 2 m, Breite 0,3 bis max. 1 m im Süden); etwa lineare Form mit Steinansammlungen im Südwesten und Südosten der Struktur, die ins Profil ziehen
Abgrenzung: zu SE 5465 sehr gut
Fundvermischung: Reste der Mauer SE 5604 und des Versturzes in der Fläche schlecht trennbar

SE 5503
Kampagne: 2014
Schnitt: M1
Quadrant: U–W/58–59
Bereich: Areal unter Raum 47
Ansprache: braune Lehmschicht
Interpretation: Laufhorizont im westlichen Außenbereich vom RH 1
Befundtyp: Laufhorizont
Material: sandiger Lehm
Konsistenz: hart getrocknet
Farbe: braun mit deutlichem Rotstich
Einschlüsse: kleinere Steine, vereinzelt Kiesel, Holzkohlefragmente
Schichtung: wirkt kompakt; fällt von Süden nach Norden und von West nach Ost hin ab
Ausrichtung/Form/Maße: liegt flächig im Areal unter Raum 47 und großteils unter Raum 38; Form definiert durch die FBZ-Mauern des Raumes
Abgrenzung: aufgrund der Steinreihen SE 5474, der Mauer SE 5479 sowie der Funde der SE 5585; zudem aufgrund der Konsistenz zu SE 5467=5539 (wirkt gefestigt)

SE 5514
Kampagne: 2014
Schnitt: M1
Quadrant: U/61
Bereich: Areal unter Raum 38
Ansprache: Fundlage *cheese pot*
Interpretation: Fundlage (verstürztes Gefäß?)
Befundtyp: Fundansammlung
Material: Keramik
Schichtung: großteils nebeneinander an der Steinstruktur SE 5480 liegend
Ausrichtung/Form/Maße: westlich der Steinstruktur SE 5480 liegend; unregelmäßige Form (ca. 0,5 × 0,4 m)
Abgrenzung: zu SE 5480 und Planierung SE 5465=5539 sehr gut

SE 5585
Kampagne: 2014
Schnitt: M1
Quadrant: U/60
Bereich: Areal unter Raum 38
Ansprache: gebrannte Lehm-Keramik-Ansammlung
Interpretation: vermutlich verstürzte Keramik auf dem Laufniveau im westlichen Außenbereich des RH 1
Befundtyp: Fundansammlung
Material: gebrannter Lehm, Keramik, sandiger Lehm
Konsistenz: Lehm (hart gebrannt)
Farbe: Lehm (rotbraun)
Einschlüsse: eine Vielzahl verbrannter Botanik zwischen dem Lehm und der Keramik (insbesondere Kerne/Feigen)
Schichtung: horizontale Ausbreitung; teils neben- und übereinander liegend
Ausrichtung/Form/Maße: im östlichen Bereich des Areals unter Raum 38; unregelmäßige Ansammlung (ca. 1,2 × 0,5 m)
Abgrenzung: aufgrund des Lehms und der Keramik zu SE 5503 gut

SE 5586
Kampagne: 2014
Schnitt: M1
Quadrant: W/59–60
Bereich: Areal unter Raum 41
Ansprache: Mauerfortsetzung von SE 5479
Zugehörigkeit: Rechteckhaus 1 (RH 1)
Interpretation: Mauerabschnitt
Befundtyp: Steinmauer
Material: klein- bis mittelformatige Bruch- und Feldsteine
Schichtung: 1 Lage erhalten (vertikal); zweischalig mit Füllsteinen (horizontal); Struktur der Mauer nur noch rudimentär erkennbar; besitzt zwei hochkant gestellte Schalensteine (vgl. Mauer SE 5479)

Ausrichtung/Form/Maße: Nordost-Südwest-Ausrichtung; am Nordostende stark gestört; ergrabene Länge 0,55 m, erh. Breite max. 0,15 m; erh. Höhe 0,23 m
Abgrenzung: zugehörig zu Mauer SE 5479 im Areal unter Raum 38; fluchtet mit dem Nordost-Südwest ausgerichteten Mauerrest von Mauer SE 5587

SE 5587
Kampagne: 2014
Schnitt: M1
Quadrant: W–Y/59–60
Bereich: Areal unter Raum 41
Ansprache: Mauer (NW-SO)
Zugehörigkeit: Rechteckhaus 1 (RH 1)
Interpretation: Mauerabschnitt
Befundtyp: Steinmauer
Material: klein- bis großformatige Bruch- und Feldsteine
Schichtung: 1 bis 2 Lagen erhalten (vertikal); zweischalige Mauer? (horizontal); keine größeren, hochkant gestellten Blöcke als Schalung, (vgl. Mauer SE 5479)
Ausrichtung/Form/Maße: Nordwest-Südost-Ausrichtung; Mauer wirkt auseinandergerissen; ergrabene Länge 3,4 m; Breite 0,78 m (fraglich aufgrund der schlechten Erhaltung), erh. Höhe 0,25 m
Abgrenzung: zugehörig zu Mauer SE 5479 im Areal unter Raum 38; evtl. mit Mauer SE 5586 vezahnt; aufgrund der Erhaltung unklar

SE 5588
Kampagne: 2014
Schnitt: M1
Quadrant: X/58–59
Bereich: Areal unter Raum 41
Ansprache: kleines Steinpflaster
Interpretation: Steinpflaster
Befundtyp: Pflasterung
Material: kleinformatige Steine, zumeist flach
Einschlüsse: Keramik
Schichtung: großteils horizontal liegende Steine
Ausrichtung/Form/Maße: im nördlichen Bereich der Mauern SE 5586 und 5587 des RH 1; begrenzt durch die FBZ-Mauern, Verlauf in das Areal unter Raum 53 jedoch unterhalb der FBZ-Eingangssituation klar ersichtlich; keine Form ermittelbar, vermutlich größerer Bereich nördlich von RH 1
Abgrenzung: aufgrund der Steine zu SE 5543 und 5589 sehr gut; schließt an den Befund SE 5468 der Pflasterung im Süden des Areals unter Raum 53 an

SE 5589
Kampagne: 2014
Schnitt: M1
Quadrant: W–Y/59
Bereich: Areal unter Raum 41
Ansprache: braune Lehmschicht Nord
Interpretation: Laufhorizont im Außenbereich des RH 1
Befundtyp: Laufhorizont
Material: sandiger Lehm
Konsistenz: hart
Farbe: braun
Einschlüsse: kleinere Steine, Holzkohleflocken
Schichtung: wirkt kompakt
Ausrichtung/Form/Maße: im nördlichen und westlichen Bereich der Mauern SE 5586 und 5587 im Areal unter Raum 41; folgt der Begrenzung der Mauern sowie der Begrenzung des Areals durch die FBZ-Mauern
Abgrenzung: zu SE 5588 sehr gut; zu SE 5543 aufgrund der Höhe der Befunde und der Beschaffenheit der Schicht

SE 5590
Kampagne: 2014
Schnitt: M1
Quadrant: W–Y/59–61
Bereich: Areal unter Raum 41
Ansprache: braune Lehmschicht (S)
Zugehörigkeit: Rechteckhaus 1 (RH 1)
Interpretation: Bodenniveau im Inneren des RH 1
Befundtyp: Laufhorizont
Material: sandiger Lehm
Konsistenz: hart
Farbe: braun
Einschlüsse: Holzkohleflocken, kleinere Steine (bis 3 cm)
Schichtung: wirkt kompakt in der Fläche liegend
Ausrichtung/Form/Maße: im Innenbereich der Mauern SE 5586 und 5587 im Areal unter Raum 41; begrenzt durch die Mauern SE 5586 und 5587 sowie das Areal, welches durch die FBZ-Mauern begrenzt wird
Abgrenzung: zu SE 5543 diffus, Abgrenzung aufgrund der Befundhöhen und der Beschaffenheit der Schicht

SE 5602
Kampagne: 2014
Schnitt: M1
Quadrant: U–V/60–61
Bereich: Areal unter Raum 38
Ansprache: hellbraune Lehm-Steinchen-Schicht
Zugehörigkeit: Rechteckhaus 1 (RH 1)
Interpretation: partiell erhaltener Laufhorizont im Innenbereich von RH 1
Befundtyp: Laufhorizont
Material: sandiger Lehm
Konsistenz: hart getrocknet
Farbe: hellbraun
Einschlüsse: kleinere (1–3 cm), vereinzelt größere Steine (bis 5 cm)
Schichtung: wirkt kompakt
Ausrichtung/Form/Maße: im nordöstlichen Zwickel zwischen Mauer SE 5479 und der östlichen Grenze definiert; Form etwa dreieckig, durch die Mauer SE 5479 und östliche Grenze des Areals unter Raum 38 vorgegeben
Abgrenzung: aufgrund der Höhe von SE 5479 und der kleinen Steine innerhalb der Schicht; zu SE 5465=5539 diffus, lediglich ansatzweise aufgrund der Farbe
Fundvermischung: zu SE 5465 annehmbar

SE 5603
Kampagne: 2014
Schnitt: M1

Quadrant: V/60
Bereich: Areal unter Raum 38
Ansprache: grauer Lehmfleck
Interpretation: evtl. Pfostenlochverfüllung? (nicht ausgegraben)
Befundtyp: Pfostenloch?
Material: sandiger Lehm
Konsistenz: hart getrocknet
Farbe: grau mit Braunstich
Schichtung: wirkt homogen
Ausrichtung/Form/Maße: im Innenbreich des rechteckigen Gebäudes, unmittelbar westlich der östlichen Begrenzung des Areals unter Raum 38 gelegen; runde Form (Dm. ca. 0,15 m)
Abgrenzung: zu SE 5602 sehr gut aufgrund der Farbe

SE 5604
Kampagne: 2014
Schnitt: M1
Quadrant: U/61
Bereich: Areal unter Raum 38
Ansprache: Mauerrest im Profil
Zugehörigkeit: Rechteckhaus 1 (RH 1)
Interpretation: Mauerstumpf von RH 1
Befundtyp: Steinmauer
Material: mittel- und großformatige Bruch- und Feldsteine
Schichtung: 1 Lage erhalten (vertikal), vermutlich hochkant gesetzte Schalensteine sind nach Osten verstürzt (vgl. Mauer SE 5479); zweischalig mit Füllsteinen (horizontal)
Ausrichtung/Form/Maße: Nordwest-Südost-Ausrichtung; nur im Südprofil des Areals unter Raum 38 erhalten; fluchtet mit dem Verlauf der Mauer SE 5479; ergraben Länge 1,6 m, Breite 0,53 m, erh. Höhe 0,30 m
Abgrenzung: zu SE 5467 gut; zugehörig zu Mauer SE 5586 im Areal unter Raum 41, Verlauf unter den FBZ-Mauern SE 5079 und SE 5517 deutlich erkennbar
Fundvermischung: evtl. gehören Steine der SE 5480 zu den sehr schlecht erhaltenen Resten der Mauer in der Fläche

Planierung ÇuHö Vb/VIa

SE 5465
Kampagne: 2014
Schnitt: M1
Quadrant: U–W/58–59
Bereich: Areal unter Raum 47
Ansprache: hellbraune Lehmschicht
Zugehörigkeit: Planierung
Interpretation: Planierschicht
Befundtyp: Lehmschicht
Material: sandiger Lehm
Konsistenz: hart getrocknet
Farbe: hellbraun, leicht gelbstichig
Einschlüsse: kleinere (bis 4 cm), vereinzelt größere Steine (bis 10 cm)
Schichtung: keine innere Struktur erkennbar
Ausrichtung/Form/Maße: flächig im Areal unter Raum 47; Form folgt den Begrenzungen des Raumes 47

SE 5539
Kampagne: 2014
Schnitt: M1
Quadrant: T–V/59–61
Bereich: Areal unter Raum 38
Ansprache: braungraue Lehmschicht
Zugehörigkeit: Planierung
Interpretation: Planierschicht
Befundtyp: Lehmschicht
Material: sandiger Lehm
Konsistenz: hart getrocknet
Farbe: hellbraune bis braungraue Farbe, leicht gelbstichig
Einschlüsse: kleinere Steine (vereinzelt bis 10 cm)
Schichtung: kompakte Lehmschicht
Ausrichtung/Form/Maße: flächig im Areal unter Raum 38; folgt der Begrenzung des Areals durch die FBZ-Mauern
Abgrenzung: zu den Fundansammlungen und Steinstrukturen sehr gut; zu SE 5602 diffus, lediglich ansatzweise aufgrund der Farbe zu SE 5465=5539; anhand der Konsistenz zu SE 5503
Fundvermischung: beinhaltet evtl. Funde von SE 5602

SE 5543
Kampagne: 2014
Schnitt: M1
Quadrant: W–Y/58–61
Bereich: Areal unter Raum 41
Ansprache: graubraune Lehmschicht
Zugehörigkeit: Planierung
Interpretation: Planierschicht
Befundtyp: Lehmschicht
Material: sandiger Lehm
Konsistenz: hart getrocknet
Farbe: grau mit Braunstich
Einschlüsse: kleinere Steine, Holzkohleflitter und -brocken, teilweise verbrannte Körner und Feigen, vereinzelt klein- bis mittelformatige Steine
Schichtung: wirkt kompakt, keine Schichtung erkennbar
Ausrichtung/Form/Maße: flächig im Areal unter Raum 41; Fom durch die FBZ-Mauern von Raum 41 vorgegeben
Abgrenzung: im Vergleich zu SE 5325 deutlich grauerer Anteil im Sediment

Planierung ÇuHö IV/VIa

SE 5422
Kampagne: 2014
Schnitt: M1
Quadrant: W–Y/58
Bereich: Areal unter Raum 53
Ansprache: braune Lehmschicht
Zugehörigkeit: Planierung

Interpretation: Planierschicht
Befundtyp: Lehmschicht
Material: sandiger Lehm
Konsistenz: hart getrocknet
Farbe: rotbraun bis braun
Einschlüsse: gebrannter Lehm, Holzkohleflitter und -bruchstücke
Schichtung: keine direkte Schichtung erkennbar
Ausrichtung/Form/Maße: flächig unterhalb des Areals unter Raum 53; begrenzt durch die FBZ-Mauern
Abgrenzung: zu SE 5337 aufgrund der Kiesel gut

SE 5444
Kampagne: 2014
Schnitt: M1
Quadrant: X/58
Bereich: Areal unter Raum 53
Ansprache: Stein-Lehm-Verfüllung
Zugehörigkeit: Planierung
Interpretation: Planierschicht
Befundtyp: Lehmschicht
Material: sandiger Lehm, kleine Steine
Konsistenz: hart getrocknet
Farbe: rotbraun
Einschlüsse: kleine Steine (bis 5 cm)
Schichtung: keine Schichtung erkennbar
Ausrichtung/Form/Maße: folgt den Begrenzungen des Areals unter Raum 53 durch die Schnittgrenze im Norden und die FBZ-Mauern
Abgrenzung: gleichzusetzen mit SE 5448 und 5464

SE 5448
Kampagne: 2014
Schnitt: M1
Quadrant: W–Y/58
Bereich: Areal unter Raum 53
Ansprache: rotbraune Lehmschicht
Zugehörigkeit: Planierung
Interpretation: Planierschicht
Befundtyp: Lehmschicht
Material: sandiger Lehm
Konsistenz: hart getrocknet
Farbe: rotbraun
Einschlüsse: kleinere Steine (bis 10 cm)
Schichtung: keine direkte Schichtung erkennbar
Ausrichtung/Form/Maße: folgt den Begrenzungen des Areals durch die Schnittgrenzen im Norden und die FBZ-Mauern
Abgrenzung: gleichzusetzen mit SE 5444 und 5464

SE 5464
Kampagne: 2014
Schnitt: M1
Quadrant: X/58
Bereich: Areal unter Raum 53
Ansprache: braune Lehm-Kieselschicht
Zugehörigkeit: Planierung
Interpretation: Planierschicht
Befundtyp: Lehmschicht
Material: sandiger Lehm
Konsistenz: hart getrocknet
Farbe: rotbraun
Einschlüsse: kleine (2–5 cm) und vereinzelt größere (bis 10 cm) Steine
Schichtung: gemischtes Material, keine Schichtung erkennbar
Ausrichtung/Form/Maße: folgt den Begrenzungen des Areals unter Raum 53 durch die Schnittgrenze im Norden und die FBZ-Mauern
Abgrenzung: gleichzusetzen mit SE 5444, 5448

ÇuHö Vb

SE 5316
Kampagne: 2013
Schnitt: M1
Quadrant: W–X/59–60
Bereich: Areal unter Raum 41
Ansprache: parallele Steinreihen
Zugehörigkeit: Steinreihenstruktur (SR 1)
Interpretation: Steinreihenstruktur
Befundtyp: Steinkonzentration
Material: klein- und mittelformatige Bruch- und Feldsteine
Schichtung: senkrecht nebeneinander gesetzte Steine (7 lineare Reihen)
Ausrichtung/Form/Maße: etwa rechteckige Form der gesamten Steinstruktur (ca. 1,2 × 2,10 m); unterschiedliche Abstände zwischen den Reihen (0,1–0,25 m)
Abgrenzung: zu SE 5302 und 5325 aufgrund der Steine sehr gut

SE 5325
Kampagne: 2013
Schnitt: M1
Quadrant: W–Y/58–61
Bereich: Areal unter Raum 41
Ansprache: rotbraune Lehmschicht
Interpretation: Laufniveau
Befundtyp: Laufhorizont
Material: sandiger Lehm
Konsistenz: hart getrocknet
Farbe: rotbraun
Einschlüsse: vereinzelt kleine Steine (ca. 3 cm), Bruchstücke von gebranntem Lehm, Holzkohlebruchstücke (ca. 3 cm)
Schichtung: kompakt, gefestigt
Ausrichtung/Form/Maße: liegt flächig im Areal unter Raum 41; die Form wird durch die FBZ-Mauern des Raumes 41 vorgegeben
Abgrenzung: zu SE 5302 mäßig gut, am ehesten aufgrund der etwas rötlicheren Farbe; zu den übrigen Befunden gut

SE 5326
Kampagne: 2013
Schnitt: M1
Quadrant: Y/59
Bereich: Areal unter Raum 41
Ansprache: Steinansammlung (NO)
Interpretation: Grubenverfüllung mit einer Vielzahl von Steinen

Befundtyp: Grube
Material: mittelformatige Bruch- und Feldsteine (bis 20 cm)
Schichtung: teils nebeneinander, teils übereinander liegend; keine Schichtung erkennbar
Ausrichtung/Form/Maße: im Osten, unter die Ostmauer von Raum 41 ziehend; etwa halbrunde unregelmäßige Ansammlung (Nord-Süd 0,75 m, West-Ost 0,65 m)
Abgrenzung: zu SE 5305 und 5325 gut

SE 5328
Kampagne: 2013
Schnitt: M1
Quadrant: W/60–61
Bereich: Areal unter Raum 41
Ansprache: Steinsetzung (SW)
Zugehörigkeit: Stein-Lehm-Konstruktion (SLK 1)
Interpretation: Steinsetzung der Stein-Lehm-Konstruktion SLK 1
Befundtyp: Steinstruktur
Material: klein- und mittelformatige Bruch- und Feldsteine
Schichtung: großteils nebeneinander gesetzte Steine
Ausrichtung/Form/Maße: im Südwesteck des Areals unterhalb der Mauern des Raumes 41 gelegen; lineare Ausrichtung (Länge ca. 0,7 m)
Abgrenzung: zu SE 5302 und 5325 gut; zwischen SE 5325 und 5331 undeutlich

SE 5329
Kampagne: 2013
Schnitt: M1
Quadrant: W–X/60
Bereich: Areal unter Raum 41
Ansprache: gebrannter Lehm
Interpretation: Grubenverfüllung mit gebranntem Lehm und verkohlten botanischen Resten
Befundtyp: gebrannter Lehm
Material: gebrannter Lehm
Konsistenz: sehr hart gebrannt
Farbe: orange, rot bis braun gebrannt
Einschlüsse: teilweise verbrannte Holzkohlefragmente; eine Vielzahl von verbrannten Feigen
Schichtung: keine Schichtung erkennbar; neben- und übereinander liegende „Batzen“ (hochdt. Brocken) von gebranntem Lehm
Ausrichtung/Form/Maße: südlich der SR 1 gelegen (in ca. 0,2 m Entfernung); etwa rundliche Form (Nord-Süd ca. 0,7 m, West-Ost ca. 1 m)
Abgrenzung: zu SE 5302 und 5325 aufgrund der Härte und Farbe gut

SE 5330
Kampagne: 2013
Schnitt: M1
Quadrant: W/60
Bereich: Areal unter Raum 41
Ansprache: Steine im Westen
Interpretation: 2 Steine
Befundtyp: Steinkonzentration
Material: 2 großformatige Feldsteine (Stein 1 ca. 40 cm; Stein 2 auf etwa 15 cm Länge sichtbar)
Einschlüsse: Stein 1 ist ein Reibstein (**Taf. 95**)
Schichtung: flach nebeneinander liegende Steine
Ausrichtung/Form/Maße: im Westen des Grabungsareals teilweise unter dem Mauerbereich von Raum 41 liegend; unregelmäßige Form
Abgrenzung: zu SE 5302 und 5325 gut

SE 5331
Kampagne: 2013
Schnitt: M1
Quadrant: W/60–61
Bereich: Areal unter Raum 41
Ansprache: gebrannte Lehmstruktur
Zugehörigkeit: Stein-Lehm-Konstruktion (SLK 1)
Interpretation: Lehmstruktur der SLK 1
Befundtyp: gebrannter Lehm
Material: gebrannter Lehm
Konsistenz: hart gebrannt
Farbe: orange, rot bis dunkelrot, braun
Einschlüsse: kleine Holzkohlepartikel
Schichtung: kompakt wirkend; bildet Richtung Norden hin, schräg abfallend nach Südosten, eine lineare Struktur, ebenso Richtung Südwesten mit der Steinstruktur SE 5328
Ausrichtung/Form/Maße: im Südwesteck des Areals unterhalb von Raum 41 gelegen; schräg von Nordwesten nach Südosten abfallend im Osten (ca. 1,75 m), von Nordosten nach Südwesten im Westen (ca. 0,3 m); ein abgerundet rechtwinkliger Verlauf erkennbar; Höhe max. erh. 0,25 m
Abgrenzung: zu SE 5325 und 5328 gut

SE 5332
Kampagne: 2013
Schnitt: M1
Quadrant: W/59
Bereich: Areal unter Raum 41
Ansprache: kleine Steinansammlung (NW)
Interpretation: kleine Steinanhäufung
Befundtyp: Steinkonzentration
Material: 1 Stein, kleine Kiesel
Einschlüsse: ein Mörserfragment (**Taf. 96**)
Schichtung: kleine Anhäufung auf SE 5325 liegend
Ausrichtung/Form/Maße: westlich der SR 1; unregelmäßig abgerundete Form (ca. 0,3 × 0,3 m)
Abgrenzung: zu SE 5302 und 5325 gut

SE 5336
Kampagne: 2013
Schnitt: M1
Quadrant: W/60
Bereich: Areal unter Raum 41
Ansprache: gebrannter Lehm
Interpretation: Ansammlung von gebranntem Lehm (evtl. zugehörig zu SLK 1)
Befundtyp: gebrannter Lehm
Material: gebrannter Lehm
Konsistenz: hart gebrannt
Farbe: orange, rot bis rotbraun
Einschlüsse: Holzkohlepartikel
Schichtung: kein Verband erkennbar, verschiedene Lehmbrocken nebeneinander und übereinander liegend

Ausrichtung/Form/Maße: nordwestlich der SLK 1 im östlichen Bereich des Areals unter Raum 41 liegend
Abgrenzung: zu SE 5302 und 5325 aufgrund der Farbe und Härte; zu SE 5331 (SLK 1) aufgrund der fehlenden Struktur

SE 5338
Kampagne: 2013
Schnitt: M1
Quadrant: W 59
Bereich: Areal unter Raum 41
Ansprache: Klopfstein
Interpretation: Klopfstein auf Nutzungsniveau
Befundtyp: Fundansammlung
Ausrichtung/Form/Maße: unmittelbar westlich der Steinreihenstruktur SR1, in der Nähe des Reibsteins (**Taf. 95**) und Mörserfragments (**Taf. 96**)
Abgrenzung: zu SE 5325 in der Fläche sehr gut

SE 5339
Kampagne: 2013
Schnitt: M1
Quadrant: W–X/60
Bereich: Areal unter Raum 41
Ansprache: Grubeninterface
Interpretation: Grubeninterface
Befundtyp: Grube
Ausrichtung/Form/Maße: südlich von SR 1, östlich der Grube SE 5573 (IF 5574); im West-Ost-Profil etwa gleichmäßig abfallende Grubenwände, im Nord-Süd-Profil von Norden deutlich stärker abfallend (Nord-Süd ca. 0,95 m, West-Ost ca. 0,7 m, Tiefe max. 0,18 m)

SE 5427
Kampagne: 2014
Schnitt: M1
Quadrant: R–T/59–60
Bereich: Areal unter Raum 48
Ansprache: kurvolineare Mauer
Zugehörigkeit: Rundbau 1 (RB 1)
Interpretation: Radialmauerabschnitt
Befundtyp: Steinmauer
Material: mittel- bis großformatige Feld- und Bruchsteine (20–50 cm)
Schichtung: 2–3 Lagen erhalten (vertikal); zweischalig mit Füllsteinen (horizontal)
Ausrichtung/Form/Maße: kurovlineare Form (Länge 3,35 m, Breite 0,4–0,46 m, Höhe max. 0,28 m)
Abgrenzung: zu den Mauerabschnitten SE 5515, 5531, 5527, 5487 gehörig

SE 5441
Kampagne: 2014
Schnitt: M1
Quadrant: R/60
Bereich: Areal unter Raum 48
Ansprache: grau bis schwarze Stein-Lehm-Verfüllung
Interpretation: Pfostenlochverfüllung
Befundtyp: Pfostenloch
Material: sandiger Lehm
Konsistenz: hart, bricht in Brocken
Farbe: hellgrau bis dunkelgrau/schwarz
Einschlüsse: Holzkohle, kleine Steine und Kiesel (bis 3 cm)
Schichtung: wirkt kompakt
Ausrichtung/Form/Maße: im Südwesteck des Areals, teils unterhalb der FBZ-Mauer SE 5032; runde Form (ca. 0,2 × 0,23 m)
Abgrenzung: zu SE 5437 aufgrund der Farbe und Konsistenz

SE 5442
Kampagne: 2014
Schnitt: M1
Quadrant: R/60
Ansprache: Pfostenlochinterface
Zugehörigkeit: Areal unter Raum 48
Interpretation: Pfostenlochinterface
Befundtyp: Pfostenloch
Ausrichtung/Form/Maße: im Südwesteck des Areals, teils nicht ganz erfasst; ovale Form (0,2 × 0,25 m), Tiefe 0,12 m

SE 5451
Kampagne: 2014
Schnitt: M1
Quadrant: S–T/60
Bereich: Areal unter Raum 48
Ansprache: graue Lehm-Stein-Schicht
Interpretation: Grubenverfüllung (Pfostengrube?)
Befundtyp: Grube
Material: sandiger Lehm
Konsistenz: extrem hart, bricht in Brocken
Farbe: gräulich
Einschlüsse: kleine Steine und Kiesel (bis 5 cm)
Schichtung: wirkt kompakt
Ausrichtung/Form/Maße: unmittelbar an dem südöstlichen Ende der kurvolinearen Mauer SE 5427 im südlichen Bereich gelegen; halbkreisförmig an die Mauer SE 5427 anlaufend (etwa 0,5 × 0,4 m)
Abgrenzung: zu SE 5427 und 5437 gut aufgrund der Farbe und Konsistenz

SE 5452
Kampagne: 2014
Schnitt: M1
Quadrant: S–T/60
Bereich: Areal unter Raum 48
Ansprache: Grubeninterface
Interpretation: Grubeninterface (Pfostengrube?)
Befundtyp: Grube
Ausrichtung/Form/Maße: unmittelbar an dem südöstlichen Ende der Mauer SE 5427 im südlichen Bereich gelegen (Länge 0,5 m, Breite 0,36 m, Tiefe ca. 0,1 m); ca. halbkreisförmig an die Mauer SE 5427 anlaufend

SE 5470
Kampagne: 2014
Schnitt: M1
Quadrant: T–U/59–60
Bereich: Areal unter Raum 38
Ansprache: Steinreihen
Zugehörigkeit: Steinreihenstruktur (SR 2)

Interpretation: Steinreihenstruktur
Befundtyp: Steinkonzentration
Material: flache Steine (max. 40 cm lang)
Schichtung: senkrecht nebeneinander gesetzte Steine (6 Reihen sichtbar)
Ausrichtung/Form/Maße: im Nordwesten des Areals unter Raum 38; Teil einer etwa rechteckigen Steinstruktur (West-Ost ca. 1 m, Nord-Süd ca. 1,6 m)
Abgrenzung: zu SE 5467 sehr gut; zu SE 5490 etwas diffus

SE 5471
Kampagne: 2014
Schnitt: M1
Quadrant: U/59
Bereich: Areal unter Raum 38
Ansprache: flache Steine
Zugehörigkeit: Steinreihenstruktur (SR 2)
Interpretation: aufgelegte Platten auf den Steinreihen von SR 2
Befundtyp: Steinkonstruktion
Material: flache Steinplatten, teilweise sekundär verwendete Reibsteine
Schichtung: liegen flach auf den Steinreihen (SE 5470), teils verschoben und zwischen die Reihen gerutscht
Ausrichtung/Form/Maße: über SE 5470 in dem Areal unter Raum 38; flache, längliche Platten (20–30 cm)
Abgrenzung: zu SE 5470 und 5467 deutlich abgrenzbar

SE 5475
Kampagne: 2014
Schnitt: M1
Quadrant: T/59–60
Bereich: Areal unter Raum 48
Ansprache: gebrannter Lehm-Steinversturz
Interpretation: Versturz bzw. verschobenes Material von SR 2 auf dem Laufhorizont im Außenbereich von RB 1
Befundtyp: Steinkonzentration
Material: gebrannter Lehm, mittelgroße bis kleine Steine, 1 großer Stein (etwa 35 cm)
Farbe: gebrannter Lehm (orangerot bis dunkelbraun/schwarz)
Schichtung: liegt auf dem Laufhorizont SE 5538 und bedeckt teilweise die Keramikansammlung SE 5476
Ausrichtung/Form/Maße: im östlichen Bereich des Areals unter Raum 48; setzt sich unter der FBZ-Mauer SE 5045 fort (vgl. SE 5502); unregelmäßige Form
Abgrenzung: zu SE 5538 und 5476 gut; teils unter der Mauer 5045 liegend; vermutlich gleichzusetzen mit SE 5502 (vgl. Areal unter Raum 38)

SE 5476
Kampagne: 2014
Schnitt: M1
Quadrant: T/59–60
Bereich: Areal unter Raum 48
Ansprache: Keramikfundlage
Zugehörigkeit: Planierung
Interpretation: Keramikfundlage auf dem Laufhorizont im Außenbereich von RB 1
Befundtyp: Fundansammlung
Material: Keramik (teilweise mit Weißbemalung)
Schichtung: kleinformatige Keramikansammlungen flach auf dem Laufniveau SE 5538 liegend, teilweise bedeckt von SE 5475
Ausrichtung/Form/Maße: an mehreren Stellen auf SE 5538 gelegen; keine Form erkennbar
Abgrenzung: deutlich zu SE 5538 und der darüber liegenden Planierschicht SE 5477 bzw. der Steinkonzentration SE 5475

SE 5487
Kampagne: 2014
Schnitt: M1
Quadrant: R/59–60
Bereich: Areal unter Raum 37
Ansprache: Mauerabschnitt
Zugehörigkeit: Rundbau 1 (RB 1)
Interpretation: Radialmauerabschnitt
Befundtyp: Steinmauer
Material: große bis mittelgroße Feld- und Bruchsteine (20–30 cm)
Schichtung: 1 bis max. 2 Lagen erhalten (vertikal); zweischalig mit Füllsteinen (horizontal)
Ausrichtung/Form/Maße: etwa diagonal durch das Areal unter Raum 37 (Nordost-Südwest) verlaufend; kurvolineare Form (Länge 0,87 m, Breite 0,3–0,45 m, erh. Höhe etwa 0,12 m)
Abgrenzung: zu den Mauerabschnitten SE 5427, 5527, 5515, 5531 gehörig

SE 5490
Kampagne: 2014
Schnitt: M1
Quadrant: T–V/59–61
Bereich: Areal unter Raum 38
Ansprache: braune Lehmschicht
Interpretation: Laufhorizont
Befundtyp: Laufhorizont
Material: sandiger Lehm, kleinere Steine
Konsistenz: hart getrocknet
Farbe: braun mit leichtem Rotstich
Einschlüsse: Holzkohleflocken, vereinzelt Bruchstücke von gebranntem Lehm
Schichtung: wirkt kompakt und gefestigt
Ausrichtung/Form/Maße: liegt flächig im Areal unter Raum 38; die Form folgt der Begrenzung des Raumes
Abgrenzung: zu SE 5467 teils etwas diffus, unterscheidbar aber aufgrund der Höhen von SE 5470, 5471 und der gebrannten Lehmansammlung SE 5502

SE 5491
Kampagne: 2014
Schnitt: M1
Quadrant: U–V/59
Bereich: Areal unter Raum 38
Ansprache: graugelbe Verfüllung
Interpretation: Pfostenlochverfüllung
Befundtyp: Pfostenloch
Material: sandiger Lehm
Konsistenz: hart getrocknet
Farbe: graugelb
Einschlüsse: 1 Stein (bis 10 cm)

Schichtung: wirkt homogen
Ausrichtung/Form/Maße: östlich der Steinreihenstruktur SR 2 gelegen; runde Form (Dm. 0,18 m)
Abgrenzung: zu SE 5467 und 5490 aufgrund der Farbe gut

SE 5492
Kampagne: 2014
Schnitt: M1
Quadrant: U–V/59
Bereich: Areal unter Raum 38
Ansprache: Pfostenlochinterface
Interpretation: Pfostenlochinterface
Befundtyp: Pfostenloch
Ausrichtung/Form/Maße: östlich der Steinreihenstruktur SR 2 gelegen; runde Form (Dm. 0,18 m), Tiefe 0,1 m

SE 5496
Kampagne: 2014
Schnitt: M1
Quadrant: U/59
Bereich: Areal unter Raum 38
Ansprache: Klopfstein
Interpretation: Klopfstein auf dem Laufniveau SE 5490 (**Taf. 63.53**; **83.53**)
Befundtyp: Fundansammlung
Ausrichtung/Form/Maße: liegt auf dem Laufniveau SE 5490, unweit der Steinreihenstruktur SR 2
Abgrenzung: zu SE 5467 und 5490 sehr gut

SE 5497
Kampagne: 2014
Schnitt: M1
Quadrant: S–U/58–59
Bereich: Areal unter Raum 46
Ansprache: hellbraune Lehmschicht
Interpretation: Laufhorizont
Befundtyp: Laufhorizont
Material: sandiger Lehm
Konsistenz: hart getrocknet
Farbe: hellbraun
Einschlüsse: kleinere Bruchsteinstücke (2–3 cm)
Schichtung: wirkt kompakt und gefestigt
Ausrichtung/Form/Maße: flächig im Areal unter Raum 46 gelegen; die Form folgt der Begrenzung des Areals durch die FBZ-Mauern
Abgrenzung: zu SE 5454 etwas unklar, jedoch anhand der Höhen der Steinreihenstruktur SR 2 gut abgrenzbar

SE 5498
Kampagne: 2014
Schnitt: M1
Quadrant: T–U/58–59
Bereich: Areal unter Raum 46
Ansprache: flache Steine
Zugehörigkeit: Steinreihenstruktur (SR 2)
Interpretation: aufgelegte Platten über den Steinreihen der Steinreihenstruktur
Befundtyp: Steinkonstruktion
Material: flache Steinplatten (20–40 cm)
Schichtung: liegen flach auf/zwische den Steinreihen SE 5499, teils verrutscht und verschoben
Ausrichtung/Form/Maße: im Bereich der Steinreihen SE 5499 (Südostecke) des Raumes; etwa rechteckig, durch die Südwestmauern des Raumes 46 begrenzt
Abgrenzung: zu SE 5454 und 5497 sehr gut

SE 5499
Kampagne: 2014
Schnitt: M1
Quadrant: T–U/58–59
Bereich: Areal unter Raum 46
Ansprache: Steinreihen
Zugehörigkeit: Steinreihenstruktur (SR 2)
Interpretation: Steinreihenstruktur
Befundtyp: Steinkonstruktion
Material: flache Steine (bis 45 cm lang)
Schichtung: senkrecht nebeneinander gesetzte Steine, Reihen deutlich erkennbar
Ausrichtung/Form/Maße: im Südosten des Areals unter Raum 46 gelegen; Teil einer etwa rechteckigen Steinkonstruktion (West-Ost max. 1,2 m, Nord-Süd max. 0,9 m)
Abgrenzung: zu SE 5454 und 5497 gut

SE 5500
Kampagne: 2014
Schnitt: M1
Quadrant: T–U/58–59
Bereich: Areal unter Raum 48
Ansprache: flache Steine
Zugehörigkeit: Steinreihenkonstruktion (SR 2)
Interpretation: flache Platten über den Steinreihen der Steinreihenstruktur
Befundtyp: Steinkonstruktion
Material: flache Steinplatten (15–40 cm), teilweise sekundär verwendete Reibsteine
Schichtung: liegen flach auf SE 5501 auf, teils zwischen den Reihen verschoben
Ausrichtung/Form/Maße: über SE 5501 im Areal unter Raum 48; Platten sind flach und länglich
Abgrenzung: zu SE 5501 und der Planierschicht SE 5409=5435 sehr gut

SE 5501
Kampagne: 2014
Schnitt: M1
Quadrant: T–U/59
Ansprache: Steinreihen
Zugehörigkeit: Areal unter Raum 48
Interpretation: flache Steine
Schichtung: senkrecht nebeneinander gesetzte senkrechte Steine (4 Reihen sichtbar)
Ausrichtung/Form/Maße: im Nordosten des Areals unter Raum 48 liegend; Länge (West-Ost) ca. 1 m, Breite (Nord-Süd) 0,8 m; Teil einer etwa recheckigen Konstruktion
Abgrenzung: zu Planierschicht 5409=5435 und SE 5477 sehr gut
Bemerkungen: Vgl. SE 5499 (Raum 46) und 5470 (Raum 38)

SE 5502
Kampagne: 2014
Schnitt: M1
Quadrant: U/59–60
Bereich: Areal unter Raum 38
Ansprache: gebrannter Lehm
Interpretation: Ansammlung von vermutlich verstürztem Material
Befundtyp: gebrannter Lehm
Material: gebrannte Lehmbrocken (bis 15 cm)
Konsistenz: hart gebrannt
Farbe: orangerot bis dunkelbraun/grauschwarz
Schichtung: liegt auf Laufniveau SE 5490
Ausrichtung/Form/Maße: im westlichen Bereich des Areals unter Raum 38, in der Nähe der FBZ-Mauer SE 5045; setzt sich unter der Mauer nach Westen fort; unregelmäßige Form der Ansammlung (max. 0,6 × 0,4 m)
Abgrenzung: zu SE 5467 und 5490 sehr gut; vermutlich gleichzusetzen mit SE 5475 (vgl. Areal unter Raum 48)

SE 5515
Kampagne: 2014
Schnitt: M1
Quadrant: R–S/61–62
Bereich: Areal unter Raum 36
Ansprache: Mauerabschnitt
Zugehörigkeit: Rundbau 1 (RB 1)
Interpretation: Radialmauerabschnitt
Befundtyp: Steinmauer
Material: mittel- bis großformatige Feld- und Bruchsteine (bis 30 cm)
Schichtung: 1 Lage sichtbar (vertikal); zweischalig mit Füllsteinen (horizontal)
Ausrichtung/Form/Maße: kurvolineare Form, West-Ost gebogen (Länge 1,3 m, Breite min. 0,4 m, erh. Höhe ca. 0,11 m)
Abgrenzung: zu den Mauerabschnitten SE 5427, 5531, 5527, 5487 gehörig; teils durch Mauer SE 5516 (RB 2) verdeckt

SE 5527
Kampagne: 2014
Schnitt: M1
Quadrant: R/61–62
Bereich: Areal unter Freifläche
Ansprache: Mauerabschnitt (tief)
Zugehörigkeit: Rundbau 1 (RB 1)
Interpretation: Radialmauerabschnitt
Befundtyp: Steinmauer
Material: mittelformatige bis teils großformatige Feld- und Bruchsteine (bis 35 cm)
Schichtung: 1 Lage sichtbar (vertikal); zweischalig mit Füllsteinen (horizontal)
Ausrichtung/Form/Maße: kurvolineare Form, West-Ost gebogen (Länge 1,15 m, Breite 0,43 m, erh. Höhe ca. 0,12 m)
Abgrenzung: zu den Mauerabschnitten SE 5427, 5531, 5515, 5487 gehörig

SE 5531
Kampagne: 2014
Schnitt: M1
Quadrant: S–T/61
Bereich: Areal unter Raum 48
Ansprache: Mauer im Profil unten
Zugehörigkeit: Rundbau 1 (RB 1)
Interpretation: Radialmauerabschnitt im Südprofil des Areals unter Raum 48 (unter FBZ-Mauer SE 5302)
Befundtyp: Steinmauer
Material: mittelformatige Bruch- und Feldsteine (bis 25 cm)
Schichtung: 1 Lage erhalten (vertikal); zweischalig mit Füllsteinen (horizontal)
Ausrichtung/Form/Maße: im Profil etwa rechteckig (erh. Höhe 0,21 m, Breite 0,46 m)
Abgrenzung: zu den Mauerabschnitten SE 5427, 5527, 5515, 5487 gehörig

SE 5535
Kampagne: 2014
Schnitt: M1
Quadrant: R–S/60
Bereich: Areal unter Raum 48
Ansprache: Steinstruktur
Zugehörigkeit: Rundbau 1 (RB 1)
Interpretation: Steinstruktur im inneren Bereich des RB 1
Befundtyp: Steinstruktur
Material: 1 großer, 5 mittelgroße Steine
Schichtung: vertikal aneinander gesetzte Steine (30–45 cm) ergeben eine lineare Struktur
Ausrichtung/Form/Maße: etwa in der Mitte des Rundbaus gelegen; leicht Nordwest-Südost ausgerichtet (Länge max. 1,2 m, Breite max. 35 cm); lineare Struktur unregelmäßiger Form
Abgrenzung: zu SE 5477 gut; zu Laufhorizont SE 5537 aufgrund der Höhen und im Vergleich mit den Mauern von RB 1 ebenso gut

SE 5536
Kampagne: 2014
Schnitt: M1
Quadrant: S–T/59
Bereich: Areal unter Raum 48
Ansprache: Steinstruktur
Interpretation: kleinformatige Steinreihenkonstruktion im nördlichen Außenbereich von RB 1
Befundtyp: Steinkonstruktion
Material: mittelgroße Feld- und Bruchsteine (20–30 cm)
Schichtung: senkrecht nebeneinander gesetzte Steine (3 Reihen zu 3 × 1 × 2 Steinen), im nördlichen Bereich sitzt ein Stein auf einer flachen Steinplatte
Ausrichtung/Form/Maße: nördlich des RB 1 gelegen; etwa quadratische Form; Nordwest-Südost orientiert; Länge (Nordwest-Südost) max. 0,5 m, Breite (West-Ost) max. 0,55 m
Abgrenzung: zu SE 5477 und 5538 sehr gut

SE 5537
Kampagne: 2014
Schnitt: M1
Quadrant: R–S/59–61

Bereich: Areal unter Raum 48
Ansprache: hellbraune Lehmschicht
Zugehörigkeit: Rundbau 1 (RB 1)
Interpretation: Laufhorizont im Innenbereich von RB 1
Befundtyp: Laufhorizont
Material: sandiger Lehm mit deutlichem Anteil kleiner Steine
Konsistenz: hart getrocknet
Farbe: hellbraun
Einschlüsse: kleinere Steine (großteils 1–2 cm, vereinzelt bis 5 cm)
Schichtung: wirkt kompakt in RB 1 liegend
Ausrichtung/Form/Maße: flächig im Bereich von RB 1 liegend; etwa 1/4 der Fläche sichtbar, der Rest befindet sich unter den FBZ-Mauern
Abgrenzung: zu SE 5477 aufgrund der Höhe der Mauern von RB 1; vermutlich gleichzusetzen mit SE 5540

SE 5538
Kampagne: 2014
Schnitt: M1
Quadrant: R–T/59
Bereich: Areal unter Raum 48
Ansprache: braune Lehmschicht
Interpretation: Laufhorizont im Außenbereich von RB 1
Befundtyp: Laufhorizont
Material: sandiger Lehm
Konsistenz: hart getrocknet
Farbe: braun mit leichtem Graustich
Einschlüsse: vereinzelt kleinere Steine und Keramikbruchstücke
Schichtung: wirkt kompakt in der Fläche liegend
Ausrichtung/Form/Maße: nördlich und östlich von RB 1; die Form folgt der Begrenzung des Areals durch die FBZ-Mauern
Abgrenzung: zu SE 5477 aufgrund der Steinreihenstruktur SR 2 sowie des RB 1; vermutlich gleichzusetzen mit SE 5542

SE 5540
Kampagne: 2014
Schnitt: M1
Quadrant: R/60
Bereich: Areal unter Raum 37
Ansprache: braune Lehmschicht
Zugehörigkeit: Rundbau 1 (RB 1)
Interpretation: Laufhorizont im Inneren des RB 1
Befundtyp: Laufhorizont
Material: sandiger Lehm mit einer Vielzahl kleiner Steine
Konsistenz: hart getrocknet
Farbe: hellbraun bis braun
Einschlüsse: kleinere Steine (bis 2 cm)
Schichtung: wirkt kompakt
Ausrichtung/Form/Maße: im Bereich südlich der Mauer SE 5487; verläuft unter den FBZ-Mauern weiter; Form bedingt durch die FBZ-Mauern wie ein Kreissegment
Abgrenzung: zu SE 5533 aufgrund des Materials und der Unterkante von Mauer SE 5487; vermutlich gleichzusetzen mit SE 5537

SE 5542
Kampagne: 2014
Schnitt: M1
Quadrant: R/60
Bereich: Areal unter Raum 37
Ansprache: graubraune Lehmschicht
Interpretation: Laufhorizont zu RB 1 im Außenbereich
Befundtyp: Laufhorizont
Material: sandiger Lehm
Konsistenz: hart getrocknet
Farbe: braun mit Graustich
Schichtung: kompakt
Ausrichtung/Form/Maße: nördlich der Mauer SE 5487 gelegen; Form definiert durch den Bereich unter den FBZ-Mauern bis zur Mauer SE 5487
Abgrenzung: aufgrund der Unterkante von Mauer SE 5487; vermutlich gleichzusetzen mit SE 5538

SE 5573
Kampagne: 2014
Schnitt: M1
Quadrant: W/60
Bereich: Areal unter Raum 41
Ansprache: gebrannte Lehmansammlung
Interpretation: Grubenverfüllung
Befundtyp: gebrannter Lehm
Material: gebrannte Lehmbruchstücke mit sandigem Material gemischt
Konsistenz: hart getrocknet
Farbe: braungrau (Lehm), orangerot bis dunkelbraun (gebrannter Lehm)
Einschlüsse: gebrannte Lehmbruchstücke (bis 10 cm), verbrannte Holzkohlebruchstücke und Botanik
Schichtung: regellose Verteilung der Lehmbruchstücke
Ausrichtung/Form/Maße: unmittelbar südlich der Steinreihenstruktur SR 1 und neben der Grube SE 5329 (IF 5339) gelegen; runde Form (Dm. 0,4 m)
Abgrenzung: deutlich zu SE 5302 und 5325

SE 5574
Kampagne: 2014
Schnitt: M1
Quadrant: W/60
Bereich: Areal unter Raum 41
Ansprache: Grubeninterface
Interpretation: Grubeninterface
Befundtyp: Grube
Ausrichtung/Form/Maße: westlich der Grube SE 5329 (IF SE 5339) gelegen; etwa runde Form (Nord-Süd 0,39 m, West-Ost 0,41 m)

SE 5575
Kampagne: 2014
Schnitt: M1
Quadrant: X–Y/59
Bereich: Areal unter Raum 41
Ansprache: Grubeninterface
Interpretation: Grubeninterface
Befundtyp: Grube
Ausrichtung/Form/Maße: im Osten nicht ergraben, da unter die Mauer des Raumes 41 ziehend; längliche,

ovale Form (Nord-Süd ca. 0,8 m, West-Ost 0,6 m); unebene Grubensohle

SE 5580
Kampagne: 2014
Schnitt: M1
Quadrant: W–X/60–61
Bereich: Areal unter Raum 41
Ansprache: Steinpflasterung
Zugehörigkeit: Stein-Lehm-Konstruktion (SLK 1)
Interpretation: Steinpflasterung im Bodenbereich der SLK 1
Befundtyp: Pflasterung
Material: mittelgroße Steine (15–25 cm)
Schichtung: flach nebeneinander gesetzte Steine
Ausrichtung/Form/Maße: im südwestlichen Bereich des Areals unter Raum 41 gelegen; aufgrund der Begrenzung durch das Südprofil etwa dreieckige Form; Nordwest-Südost 1,35 m (sichtbar), Südwest-Nordost 0,75 m (sichtbar)
Abgrenzung: zu SE 5576=5302 aufgrund der Steine problemlos

SE 5605
Kampagne: 2014
Schnitt: M1
Quadrant: W/60–61
Bereich: Areal unter Raum 41
Ansprache: Keramik auf SE 5580
Zugehörigkeit: Stein-Lehm-Konstruktion (SLK 1)
Interpretation: Funde auf der Steinpflasterung innerhalb der SLK 1
Befundtyp: Fundansammlung
Schichtung: 2 Keramikansammlungen liegen flach auf SE 5580 auf
Ausrichtung/Form/Maße: auf der Steinpflasterung der SLK 1 gelegen; etwa eine 20 cm große Scherbe im östlichen Bereich und eine etwa 15 cm große Ansammlung bestehend aus 3 Scherben im westlichen Bereich; keine regelmäßige Anordnung
Abgrenzung: zu SE 5302=5576 und 5580 eindeutig

Planierung ÇuHö Va/Vb

SE 5432
Kampagne: 2014
Schnitt: M1
Quadrant: T/61
Bereich: Areal unter Raum 48
Ansprache: runder Stein
Zugehörigkeit: Planierung
Interpretation: runder Stein (**Taf. 65.55**; **83.55**)
Befundtyp: Steinkonzentration
Material: Stein (Dm. 15 cm)
Schichtung: Stein in Planierschicht SE 5477
Ausrichtung/Form/Maße: unmittelbar nördlich der FBZ-Mauer SE 5032
Abgrenzung: Bestandteil der Planierschicht SE 5477

SE 5477
Kampagne: 2014
Schnitt: M1
Quadrant: R–T/59–61
Bereich: Areal unter Raum 48
Ansprache: hellbraune Lehmfläche
Zugehörigkeit: Planierung
Interpretation: Planierung oberhalb des RB 1 (Innen- und Außenbereich)
Befundtyp: Lehmschicht
Material: sandiger Lehm
Konsistenz: hart getrocknet
Farbe: hellbraun, leicht rotstichig
Einschlüsse: kleinere Steine (2–5 cm)
Schichtung: wirkt kompakt
Ausrichtung/Form/Maße: liegt im angrenzenden Areal nördlich und östlich der kurvolinearen Mauer SE 5427; Form durch die Mauern des FBZ-Raumes 48 definiert
Abgrenzung: zu SE 5538 etwas diffus, jedoch aufgrund der Mauer SE 5427 sowie des SR 2 und der SE 5475–76 abgrenzbar

SE 5478
Kampagne: 2014
Schnitt: M1
Quadrant: S/59
Bereich: Areal unter Raum 48
Ansprache: Steinansammlung
Zugehörigkeit: Planierung
Interpretation: verschobene Steine der Mauer SE 5427 innerhalb der Planierung SE 5477(?)
Befundtyp: Steinkonzentration
Material: große Feld- und Bruchsteine (30–40 cm)
Schichtung: großteils nebeneinander, in zwei Fällen leicht übereinander innerhalb Planierschicht SE 5477 liegend
Ausrichtung/Form/Maße: nördlich der Mauer SE 5427; keine unmittelbare Form erkennbar (ca. 1 × 0,8 m)
Abgrenzung: zu Planierschicht SE 5477 eindeutig

SE 5489
Kampagne: 2014
Schnitt: M1
Quadrant: R/59–60
Bereich: Areal unter Raum 37
Ansprache: hellbraune Lehmschicht
Zugehörigkeit: Planierung
Interpretation: Planierschicht im inneren Bereich oberhalb des älteren RB 1
Befundtyp: Lehmschicht
Material: sandiger Lehm
Konsistenz: hart getrocknet
Farbe: hellbraun (leicht rotstichig)
Einschlüsse: kleinere Steine (2–5 cm), Holzkohlereste
Schichtung: wirkt kompakt
Ausrichtung/Form/Maße: liegt nördlich der Mauer SE 5487; Form durch die Mauern von Raum 37 vorgegeben
Abgrenzung: zu SE 5542 aufgrund der Farbe und Konsistenz

SE 5524
Kampagne: 2014
Schnitt: M1
Quadrant: R–T/61–62
Bereich: Areal unter Raum 36
Ansprache: rotbraunes Lehmband
Zugehörigkeit: Planierung
Interpretation: dünne Planierschicht oberhalb des älteren RB 1
Befundtyp: Lehmschicht
Material: sandiger Lehm
Konsistenz: hart getrocknet
Farbe: vorwiegend braun mit Rotstich, teilweise rote Flecken
Einschlüsse: vereinzelt klein- bis mittelformatige Steine
Schichtung: keine Schichtung erkennbar, wirkt kompakt
Ausrichtung/Form/Maße: zwischen den Mauern SE 5516 (oben) und 5515 (unten); schmales Band, im Profil gut sichtbar
Abgrenzung: zu beiden Mauern im Profil sehr gut

SE 5533
Kampagne: 2014
Schnitt: M1
Quadrant: R/59–60
Bereich: Areal unter Raum 37
Ansprache: hellbraune Lehmschicht
Zugehörigkeit: Planierung
Interpretation: Planierschicht im äußeren Bereich oberhalb des älteren RB 1
Befundtyp: Lehmschicht
Material: sandiger Lehm
Konsistenz: hart getrocknet
Farbe: hellbraun
Einschlüsse: kleinere Steine (2–4 cm)
Schichtung: wirkt kompakt
Ausrichtung/Form/Maße: im südöstlichen Bereich von Mauer SE 5487 gelegen; begrenzt von Mauer SE 5487 und der Schnittgrenze des Areals unter Raum 37
Abgrenzung: zu SE 5540 und Mauer SE 5487 aufgrund der Farbe gut

SE 5534
Kampagne: 2014
Schnitt: M1
Quadrant: R/61–62
Bereich: Areal unter Freifläche
Ansprache: braune Lehmschicht
Zugehörigkeit: Planierung
Interpretation: Planierschicht im äußeren Bereich oberhalb des älteren RB 1
Befundtyp: Lehmschicht
Material: sandiger Lehm
Konsistenz: hart getrocknet
Farbe: hellbraun bis graustichig
Einschlüsse: kleinere Steine
Schichtung: wirkt kompakt
Ausrichtung/Form/Maße: im südlichen Bereich der Mauer SE 5528 gelegen; Form durch Mauer SE 5487 und die Grenzen von Areal unter Raum 37 vorgegeben
Abgrenzung: zu SE 5529 diffus, lediglich aufgrund der Mauer SE 5527

Planierung ÇuHö IV/Vb

SE 5302
Kampagne: 2013
Schnitt: M1
Quadrant: W–Y/60–61
Bereich: Areal unter Raum 41
Ansprache: rotbraune Lehmschicht
Zugehörigkeit: Planierung
Interpretation: Planierschicht
Befundtyp: Lehmschicht
Material: sandiger Lehm
Konsistenz: hart getrocknet
Farbe: rotbraun
Einschlüsse: vereinzelt kleinere Steine (bis 5 cm), gebrannter Lehm, eine Vielzahl verbrannter Organikreste (Holz, Feigen, kleinere Fragmente)
Schichtung: wirkt kompakt und homogen
Ausrichtung/Form/Maße: liegt flächig im Areal unter Raum 41; die Form folgt der Grabungsgrenze bedingt durch die FBZ-Mauern des Raumes 41
Abgrenzung: zu SE 5301 aufgrund der Farbe, ebenso zu SE 5325 (rotbraun); gleichzusetzen mit SE 5576

SE 5450
Kampagne: 2014
Schnitt: M1
Quadrant: S/58
Bereich: Areal unter Raum 46
Ansprache: gebrannte Lehmlage
Zugehörigkeit: Planierung
Interpretation: eine größere Lage gebrannter Lehmfragmente innerhalb der Planierschicht
Befundtyp: gebrannter Lehm
Material: gebrannter Lehm
Konsistenz: hart gebrannt
Farbe: orange bis rotbraun
Einschlüsse: vereinzelt kleinere Steine
Schichtung: vermutlich eine lokale Schüttung innerhalb der Planierung; stark durch Tiergänge gestört
Ausrichtung/Form/Maße: im westlichen Teil des Areals unter Raum 46; unregelmäßige Form (laut M. Börner wie ein Eichhörnchen); West-Ost max. 1,4 m, Nord-Süd max. ca. 0,9 m, Dicke max. 0,02 m
Abgrenzung: aufgrund der Farbe sehr gut abgrenzbar

SE 5453
Kampagne: 2014
Schnitt: M1
Quadrant: S–T/58–59
Bereich: Areal unter Raum 46
Ansprache: Steinansammlung
Zugehörigkeit: Planierung
Interpretation: Bestandteil der Planierung SE 5454, vermutlich Reste des planierten, älteren RB 1
Befundtyp: Steinkonzentration

Material: kleine und mittelgroße Feld- und Bruchsteine (5–25 cm)
Schichtung: befinden sich ungeordnet in der Planierschicht SE 5454
Ausrichtung/Form/Maße: unter der Mauer SE 5038 Richtung Norden verlaufend; keine unmittelbare Form erkennbar
Abgrenzung: zu SE 5454 gut
Bemerkungen: Vgl. SE 5433 unter Raum 48

SE 5454
Kampagne: 2014
Schnitt: M1
Quadrant: S–U/58–59
Bereich: Areal unter Raum 46
Ansprache: graubraune Lehmschicht
Zugehörigkeit: Planierung
Interpretation: Planierschicht
Befundtyp: Lehmschicht
Material: sandiger Lehm
Konsistenz: hart getrocknet
Farbe: rotbraun, teilweise graue Anteile
Einschlüsse: kleinere Steine
Schichtung: wirkt kompakt
Ausrichtung/Form/Maße: flächig im Areal unter Raum 46
Abgrenzung: zu den Steinen (SE 5453) innerhalb der Planierschicht gut

SE 5467
Kampagne: 2014
Schnitt: M1
Quadrant: T–U/59–61
Bereich: Areal unter Raum 38
Ansprache: braune Lehm-Kieselschicht
Zugehörigkeit: Planierung
Interpretation: Planierschicht
Befundtyp: Lehmschicht
Material: sandiger Lehm, Kieselsteine
Konsistenz: hart getrocknet
Farbe: rot-braun
Einschlüsse: vereinzelt größere Steine (bis 20 cm)
Schichtung: keine Schichtung erkennbar
Ausrichtung/Form/Maße: liegt flächig im Areal unter Raum 38; die rechteckige Form wird durch die Raumgrenzen definiert
Abgrenzung: sehr gut aufgrund der Farbe zu SE 5310=5311; zu SE 5490 etwas diffus

SE 5576
Kampagne: 2014
Schnitt: M1
Quadrant: W/60–61
Bereich: Areal unter Raum 41
Ansprache: Verfüllung in SE 5331
Zugehörigkeit: Planierung
Interpretation: Verfüllung der Lehmstruktur zu Planierung SE 5302 zugehörig
Befundtyp: Lehmschicht
Material: sandiger Lehm
Konsistenz: hart getrocknet
Farbe: hellbraune bis rotbraune Bestandteile
Einschlüsse: kleinere Steine (2–3 cm), 3 größere Steine (bis 10 cm), kleinere Holzkohlepartikel und teilweise verkohlte Botanik (Feigen)
Schichtung: keine Schichtung erkennbar
Ausrichtung/Form/Maße: im Südwestbereich des Areals, innerhalb der Lehmstruktur SE 5331; die dreieckige Form folgt den Grenzen der Lehmstruktur bzw. der Profilgrenze im Süden
Abgrenzung: mit SE 5302 gleichzusetzen

ÇuHö Va

SE 5013
Kampagne: 2012
Schnitt: M1
Quadrant: V/63–64
Bereich: Areal unter Raum 40
Ansprache: Mauer
Interpretation: Radialmauerabschnitt
Befundtyp: Steinmauer
Material: vgl. SE 5522
Schichtung: vgl. SE 5522
Ausrichtung/Form/Maße: vgl. SE 5522
Abgrenzung: gleichzusetzen mit Mauer SE 5522

SE 5428
Kampagne: 2014
Schnitt: M1
Quadrant: S/59
Bereich: Areal unter Raum 48
Ansprache: braune Verfüllung
Interpretation: Pfostenlochverfüllung
Befundtyp: Pfostenloch
Material: sandiger Lehm
Konsistenz: weich, bröselig
Farbe: hellbraun
Einschlüsse: kleine Steine (vor allem Kiesel)
Schichtung: homogen, soweit ersichtlich
Ausrichtung/Form/Maße: nördlich der Mauer SE 5427; etwa rundliche Form (0,28 x 0,25 m)
Abgrenzung: zu SE 5477 aufgrund der Härte der Wandung, nicht aufgrund der Farbe

SE 5429
Kampagne: 2014
Schnitt: M1
Quadrant: S/59
Bereich: Areal unter Raum 48
Ansprache: Pfostenlochinterface
Interpretation: Pfostenlochinterface
Befundtyp: Pfostenloch
Ausrichtung/Form/Maße: nördlich der Mauer SE 5427; etwa rundliche Form (0,28 × 0,25 cm), Tiefe ca. 0,12 m

SE 5434
Kampagne: 2014
Schnitt: M1
Quadrant: R-T/59-61
Bereich: Areal unter Raum 48

Ansprache: rote Lehmfläche
Zugehörigkeit: Rundbau 2 (RB 2)
Interpretation: Reste des Bodenniveaus des jüngeren RB 2
Befundtyp: Laufhorizont
Material: gebrannter Lehm; sandiges Lehm-Gemisch
Konsistenz: teils hart gebrannt und getrocknet, teils sehr feinkörnig
Farbe: dunkelrot bis rotbraun
Einschlüsse: kleinere Steine, Holzkohle, verbrannte organische Reste
Schichtung: wirkt kompakt
Ausrichtung/Form/Maße: flächig bis zur Mauer SE 5427 verfolgbar sowie darüber hinaus ins südwestliche Profil; die Form folgt einem Kreisabschnitt bis zur SE Mauerbegrenzung im Süden
Abgrenzung: aufgrund der roten Farbe gut, im Westen zu 5435 diffus; SE 5434 entspricht SE 5488 im Areal unter Raum 37

SE 5437
Kampagne: 2014
Schnitt: M1
Quadrant: T/59
Bereich: Areal unter Raum 48
Ansprache: Kieselfüllung
Interpretation: Pfostenlochverfüllung
Befundtyp: Pfostenloch
Material: sandiger Lehm
Einschlüsse: eine Vielzahl kleiner Kieselsteine (1–2 cm)
Schichtung: homogene Füllung
Ausrichtung/Form/Maße: im Nordosten des Areals gelegen; Form leicht oval (0,16 × 0,13 m)
Abgrenzung: zu SE 5477 aufgrund der Kiesel

SE 5438
Kampagne: 2014
Schnitt: M1
Quadrant: T/59
Ansprache: Pfostenlochinterface
Zugehörigkeit: Areal unter Raum 48
Interpretation: Pfostenlochinterface
Befundtyp: Pfostenloch
Ausrichtung/Form/Maße: im Nordosten des Areals gelegen; Form leicht oval (0,16 × 0,12 m), Tiefe 0,06 m

SE 5439
Kampagne: 2014
Schnitt: M1
Quadrant: R/60
Bereich: Areal unter Raum 48
Ansprache: graue Stein-Lehm-Verfüllung
Zugehörigkeit: Rundbau 2 (RB 2)
Interpretation: Pfostenlochverfüllung
Befundtyp: Pfostenloch
Material: sandiger Lehm
Konsistenz: hart getrocknet
Farbe: hellgrau bis grau
Einschlüsse: kleine Steine, vor allem Kiesel (bis 4 cm), 2 größere Steine (bis 10 cm) im Westen
Schichtung: wirkt kompakt
Ausrichtung/Form/Maße: im Südwesteck des Areals gelegen; etwa runde Form, im Westen durch die Steine begrenzt (0,33 × 0,27 m)
Abgrenzung: aufgrund der Farbe und Konsistenz zu SE 5434 gut

SE 5440
Kampagne: 2014
Schnitt: M1
Quadrant: R/60
Bereich: Areal unter Raum 48
Ansprache: Pfostenlochinterface
Zugehörigkeit: Rundbau 2 (RB 2)
Interpretation: Pfostenlochinterface
Befundtyp: Pfostenloch
Ausrichtung/Form/Maße: im Südwesteck des Areals gelegen; runde Form (Dm. 0,3 m), Tiefe ca. 0,1 m

SE 5455
Kampagne: 2014
Schnitt: M1
Quadrant: T/60
Bereich: Areal unter Raum 48
Ansprache: braungraue Verfüllung
Interpretation: Pfostenlochverfüllung
Befundtyp: Pfostenloch
Material: feiner, sandiger Lehm
Konsistenz: weich, leicht schmierig
Farbe: dunkelbraun mit Graustich
Einschlüsse: kleine Steine (bis 1 cm), vereinzelt Kieselsteine
Schichtung: keine Schichtung erkennbar
Ausrichtung/Form/Maße: im östlichen Bereich des Areals gelegen; runde Form (Dm. 0,23 m)
Abgrenzung: zu SE 5477 aufgrund der Farbe und Konsistenz gut

SE 5456
Kampagne: 2014
Schnitt: M1
Quadrant: T/60
Bereich: Areal unter Raum 48
Ansprache: Pfostenlochinterface
Interpretation: Pfostenlochinterface
Befundtyp: Pfostenloch
Ausrichtung/Form/Maße: im östlichen Bereich des Areals gelegen; runde Form (Dm. 0,23 m), Tiefe 0,13 m

SE 5457
Kampagne: 2014
Schnitt: M1
Quadrant: T/61
Bereich: Areal unter Raum 48
Ansprache: Pfostenlochinterface
Interpretation: Pfostenlochinterface
Befundtyp: Pfostenloch
Ausrichtung/Form/Maße: im südöstlichen Bereich des Areals gelegen; runde Form (Dm. 0,2 m), Tiefe 0,09 m

SE 5458
Kampagne: 2014

Schnitt: M1
Quadrant: T/61
Bereich: Areal unter Raum 48
Ansprache: Kiesel-Stein-Verfüllung
Interpretation: Pfostenlochverfüllung
Befundtyp: Pfostenloch
Material: sandiger Lehm, Kieselsteine
Konsistenz: hart getrocknet
Farbe: rotbraun
Einschlüsse: 1 großer Stein
Schichtung: keine Schichtung erkennbar
Ausrichtung/Form/Maße: im südöstlichen Bereich des Areals gelegen; runde Form (Dm. 0,2 m)
Abgrenzung: aufgrund der Kiesel zu Planierschicht SE 5477 gut

SE 5488
Kampagne: 2014
Schnitt: M1
Quadrant: R/59–60
Bereich: Areal unter Raum 37
Ansprache: rote Lehmfläche
Zugehörigkeit: Rundbau 2 (RB 2)
Interpretation: Reste des Bodenniveaus des jüngeren RB 2
Befundtyp: Laufhorizont
Material: gebrannter Lehm, sandiges Lehm-Gemisch
Konsistenz: getrocknet, hart gebrannt (Lehmbrocken), extrem feinkörnig
Farbe: dunkelrot bis rotbraun
Einschlüsse: vereinzelt kleinere Steine
Schichtung: wirkt kompakt
Ausrichtung/Form/Maße: südöstlich der Mauer SE 5487 sowie darüber ziehend
Abgrenzung: zu Planierschicht SE 5486 sehr gut; SE 5488 entspricht SE 5434 im Areal unter Raum 48

SE 5516
Kampagne: 2014
Schnitt: M1
Quadrant: R–S/61–62
Bereich: Areal unter Raum 36
Ansprache: Mauerring
Zugehörigkeit: Rundbau 2 (RB 2)
Interpretation: Radialmauerabschnitt
Befundtyp: Steinmauer
Material: mittel- bis großformatige Feld- und Bruchsteine (bis 30 cm)
Schichtung: 1 Lage sichtbar (vertikal); zweischalig mit Füllsteinen (horizontal)
Ausrichtung/Form/Maße: kurvolineare Form, West-Ost gebogen (Länge 0,86 m sichtbar, Breite 0,12 m sichtbar, erh. Höhe 0,27 m); im Nordwesteck des Areals unter Raum 36 erfasst; nach Norden oberhalb Mauer SE 5515 auf dem Laufhorizont SE 5530 errichtet
Abgrenzung: zu den Mauerabschnitten SE 5528 und 5532 gehörig

SE 5520
Kampagne: 2014
Schnitt: M1
Quadrant: S–T/63
Bereich: Areal unter Freifläche
Ansprache: Steinreihen
Zugehörigkeit: Steinreihenkonstruktion (SR 2)
Interpretation: Steinreihenkonstruktion
Befundtyp: Steinkonstruktion
Material: klein- bis mittelformatige Feld- und Bruchsteine
Schichtung: senkrecht in Reihen aneinander gesetzte Steine (8 Reihen sichtbar)
Ausrichtung/Form/Maße: verläuft südlich der FBZ-Mauer SE 5005 (Raum 36) in Richtung Süden bis an die Mauer SE 5522; West-Ost ausgerichtet; rechteckige Form rekonstruierbar (Länge 1,8 m, sichtbare Breite 0,9 m)
Abgrenzung: zu SE 5518 und 5525 eindeutig; gehört zu SE 5526 (Areal unter Raum 36)

SE 5522
Kampagne: 2014
Schnitt: M1
Quadrant: R–V/62–64
Bereich: Areal unter Freifläche
Ansprache: große Mauer
Interpretation: Radialmauer
Befundtyp: Steinmauer
Material: mittelformatige bis teils großformatige Feld- und Bruchsteine (bis 45 cm)
Schichtung: 1–2 Lagen (vertikal); zweischalig mit großen Füllsteinen (horizontal); Außenschale aus hochkant gestellten, großformatigen Gesteinsblöcken
Ausrichtung/Form/Maße: kurvolineare Form, West-Ost gebogen (Länge 8,9 m, Breite 0,72–0,79 m, erh. Höhe ca. 0,25 m)
Abgrenzung: Verlauf Richtung Osten im Areal unter Raum 39 unklar; gleichzusetzen mit SE 5013

SE 5525
Kampagne: 2014
Schnitt: M1
Quadrant: R–T/62
Bereich: Areal unter Freifläche
Ansprache: rotbraune Lehmschicht
Interpretation: Nutzungsniveau zu Steinreihenstruktur SR 4
Befundtyp: Laufhorizont
Material: sandiger Lehm mit kleinen Steine
Konsistenz: hart getrocknet
Farbe: rotbraun
Schichtung: keine Schichtung erkennbar
Ausrichtung/Form/Maße: südlich der FBZ-Mauer SE 5005; etwa halbkreisförmig, durch FBZ-Mauer im Norden und Mauer SE 5522 im Süden definiert
Abgrenzung: zu SE 5518 etwas diffus, jedoch aufgrund der Mauer SE 5520 abgrenzbar

SE 5526
Kampagne: 2014
Schnitt: M1
Quadrant: S–T/62
Bereich: Areal unter Raum 36
Ansprache: Steinreihenrest
Zugehörigkeit: Steinreihenkonstruktion (SR 2)

Interpretation: Bestandteil der SR 2 unter der FBZ-Mauer SE 5005
Befundtyp: Steinkonstruktion
Material: kleinformatige Steine
Schichtung: 2 vertikal stehende Steine sind im Südprofil des Areals unter Raum 36 unterhalb der Mauer SE 5005 sichtbar; fluchten mit den Steinreihen im Areal unter der Freifläche
Ausrichtung/Form/Maße: keine Form erkennbar, da nur 2 Steine leicht aus dem Südprofil (etwa 20 cm) herausragen; die Steine befinden sich auf einer Ebene
Abgrenzung: deutlich zu SE 5506 und 5524; gehört zu SE 5520 (Areal unter Freifläche)

SE 5528
Kampagne: 2014
Schnitt: M1
Quadrant: R/61
Bereich: Areal unter Freifläche
Ansprache: Mauerabschnitt (oben)
Zugehörigkeit: Rundbau 2 (RB 2)
Interpretation: Radialmauerabschnitt
Befundtyp: Steinmauer
Material: mittelformatige Feld- und Bruchsteine (bis 25 cm)
Schichtung: 2 Lagen sichtbar (vertikal); zweischalig mit Füllsteinen (horizontal) oberhalb der Mauer SE 5527 auf dem Laufhorizont SE 5529 errichtet; 0,4 m nach Norden versetzt
Ausrichtung/Form/Maße: kurvolineare Form, West-Ost gebogen (sichtbare Länge 1,1 m, sichtbare Breite 0,28 m, erh. Höhe 0,28 m)
Abgrenzung: zu den Mauerabschnitten SE 5516 und 5532 gehörig

SE 5529
Kampagne: 2014
Schnitt: M1
Quadrant: R–S/61–62
Bereich: Areal unter Freifläche
Ansprache: rotbraunes Lehmband
Zugehörigkeit: Rundbau 2 (RB 2)
Interpretation: Reste des Laufhorizontes im Innenbereich des RB 2
Befundtyp: Laufhorizont
Material: sehr fein, lehmig
Konsistenz: fest
Farbe: braun mit deutlichem Rotstich
Schichtung: kompakt
Ausrichtung/Form/Maße: schmales Band im Profil gut sichtbar; zwischen der Mauer SE 5228 (oben) und über SE 5534
Abgrenzung: im Profil sehr gut abgrenzbar

SE 5530
Kampagne: 2014
Schnitt: M1
Quadrant: R–S/61–62
Bereich: Areal unter Raum 36
Ansprache: braunrote Lehmschicht
Interpretation: Laufhorizont im Außenbereich des RB 2
Befundtyp: Laufhorizont
Material: sehr feines, lehmiges Material
Konsistenz: fest
Farbe: braun mit deutlichem Rotstich
Schichtung: keine Schicht erkennbar; kompakt
Ausrichtung/Form/Maße: flächig im Areal unter Raum 36; Form durch die FBZ-Mauern vorgegeben
Abgrenzung: zu SE 5524 diffus

SE 5532
Kampagne: 2014
Schnitt: M1
Quadrant: S–T/61
Bereich: Areal unter Raum 48
Ansprache: Mauer im Profil oben
Zugehörigkeit: Rundbau 2 (RB 2)
Interpretation: Radialmauerabschnitt des RB 2 im Südprofil des Areals unter Raum 48
Befundtyp: Steinmauer
Material: mittel- und kleinformatige Bruch- und Feldsteine (bis 25 cm)
Schichtung: 1 Lage erhalten (vertikal); zweischalig mit kleineren Füllsteinen (horizontal)
Ausrichtung/Form/Maße: im Profil etwa rechteckig (Breite 0,42 m, erh. Höhe 0,16 m); westlich versetzt
Abgrenzung: zu den Mauerabschnitten SE 5516 und 5528 gehörig

SE 5544
Kampagne: 2014
Schnitt: M1
Quadrant: R–T/62–64
Bereich: Areal unter Freifläche
Ansprache: braune Lehmschicht
Interpretation: Laufhorizont außerhalb der Mauer SE 5522
Befundtyp: Laufhorizont
Material: sandiger Lehm
Konsistenz: hart getrocknet
Farbe: braun mit leichtem Rotstich
Einschlüsse: kleinere Steine (bis 4 cm), ansonsten eher homogen
Schichtung: wirkt kompakt
Ausrichtung/Form/Maße: im Südwestbereich des Schnittes M1; Form durch West- und Südprofil sowie Mauer SE 5522 vorgegeben
Abgrenzung: aufgrund der Steine der SE 5521, die auf dem Niveau aufliegen, gut

Planierung ÇuHö IV/Va

SE 5017
Kampagne: 2012
Schnitt: M1
Quadrant: R–T/62–63
Bereich: Areal unter Freifläche
Ansprache: braune Lehm-Kieselschicht
Zugehörigkeit: Planierung
Interpretation: Planierschicht
Befundtyp: Lehmschicht

Material: sandiger Lehm mit Kieseln und Steinen durchsetzt
Konsistenz: getrocknet, hart
Farbe: rötlich braun
Einschlüsse: viele Kiesel, ein geringerer Anteil an kleinen Bruchsteine (beide bis 3 cm)
Ausrichtung/Form/Maße: unregelmäßige Form
Abgrenzung: mit SE 5018–20 oberer Bestandteil von SE 5521

SE 5018
Kampagne: 2012
Schnitt: M1
Quadrant: R–T/63–64
Bereich: Areal unter Freifläche
Ansprache: Stein-Lehm-Schicht
Zugehörigkeit: Planierung
Interpretation: Bestandteil der Planierung, vermutlich Teil von SE 5521
Befundtyp: Lehmschicht
Material: mittel- bis großformatige Bruch- und Feldsteine (15-30 cm)
Schichtung: obere Schicht der Planierung
Ausrichtung/Form/Maße: etwa bogenförmig verlaufend (6 × 1,5 m), folgt in der Form der Steinkonzentration SE 5521
Abgrenzung: mit SE 5017, 5019–20 oberer Bestandteil von SE 5521

SE 5019
Kampagne: 2012
Schnitt: M1
Quadrant: R–T/63–64
Bereich: Areal unter Freifläche
Ansprache: braune Lehmschicht
Zugehörigkeit: Planierung
Interpretation: Bestandteil der Planierschicht
Befundtyp: Lehmschicht
Material: sandiger Lehm
Konsistenz: hart getrocknet, kompakt
Farbe: rötlich braun
Einschlüsse: wenige Steine (bis 4 cm); gebrannter Lehm (bis 2 cm)
Schichtung: keine Schichtung erkennbar; lokale Ausdehnung
Ausrichtung/Form/Maße: unregelmäßige Form
Abgrenzung: mit SE 5017, 5018 und 5020 oberer Bestandteil von SE 5521

SE 5020
Kampagne: 2012
Schnitt: M1
Quadrant: T/63
Bereich: Areal unter Freifläche
Ansprache: Asche-Holzkohleschicht
Zugehörigkeit: Planierung
Interpretation: lokaler Bestandteil der Planierung
Befundtyp: Ascheschicht
Material: feines, aschiges Material
Konsistenz: getrocknet, pudrig
Farbe: hellgrau bis grau
Einschlüsse: Holzkohleflocken; vereinzelt kleinere Steine (bis 5 cm); gebrannter Lehm
Schichtung: lokaler Fleck innerhalb der Planierschicht
Ausrichtung/Form/Maße: rundlich bis ovaler Fleck (ca. 0,5 × 0,6 m)
Abgrenzung: mit SE 5017–19 oberer Bestandteil von SE 5521

SE 5058
Kampagne: 2012
Schnitt: M1
Quadrant: U–V/63–64
Bereich: Areal unter Raum 40
Ansprache: brauner Lehmfleck
Zugehörigkeit: Planierung
Interpretation: Planierschicht
Befundtyp: Lehmschicht
Material: sandiger Lehm
Konsistenz: hart getrocknet
Farbe: rötlich braun
Einschlüsse: viele kleine Steine (1–2 cm); wenige größere (zwischen 5–10 cm); Rückstände von gebranntem Lehm
Schichtung: wirkt kompakt
Ausrichtung/Form/Maße: unregelmäßige Form, durch die Schnittgrenze im Süden, etwa trapezförmig (ca. 8 × 2 m)

SE 5059
Kampagne: 2012
Schnitt: M1
Quadrant: U–V/63
Bereich: Areal unter Raum 40
Ansprache: braune Lehm-Steinschicht
Zugehörigkeit: Planierung
Interpretation: Planierschicht
Befundtyp: Lehmschicht
Material: sandiger Lehm
Konsistenz: hart getrocknet
Farbe: rötlich braun
Einschlüsse: kleine bis mittelgroße Steine (5–20 cm)
Schichtung: keine innere Struktur erkennbar, wirkt kompakt
Ausrichtung/Form/Maße: im Zwickel zwischen den FBZ-Mauern SE 5003=5011, 5004 und der Mauer SE 5522=5013 erhalten (ca. 3 × 1 m)
Abgrenzung: gleichzusetzen mit SE 5518
Fundvermischung: Steine von SE 5059 vermutlich zu SE 5521 gehörig

SE 5356
Kampagne: 2013
Schnitt: M1
Quadrant: R/62
Bereich: Areal unter Freifläche
Ansprache: rotbraune Lehmschicht
Zugehörigkeit: Planierung
Interpretation: Planierschicht
Befundtyp: Lehmschicht
Material: sandiger Lehm
Konsistenz: hart getrocknet
Farbe: rötlich braun

Einschlüsse: wenige Steine (bis 2 cm)
Schichtung: fest, kompakt
Ausrichtung/Form/Maße: im westlichen Bereich des Raumes 36

SE 5409
Kampagne: 2014
Schnitt: M1
Quadrant: R–T/59–61
Bereich: Areal unter Raum 48
Ansprache: hellbraune Lehmschicht
Zugehörigkeit: Planierung
Interpretation: Planierschicht
Befundtyp: Lehmschicht
Material: getrockneter Lehm
Konsistenz: hart getrocknet
Farbe: hellbraun bis braun
Einschlüsse: teilweise kleine Kiesel
Schichtung: keine Struktur erkennbar
Ausrichtung/Form/Maße: südlich der Mauer SE 5427, jedoch mit SE 5435 flächig im Areal unter Raum 48
Abgrenzung: gleichzusetzen mit SE 5435

SE 5433
Kampagne: 2014
Schnitt: M1
Quadrant: S–T/59–60
Bereich: Areal unter Raum 48
Ansprache: Steinansammlung (N)
Zugehörigkeit: Planierung
Interpretation: Steinansammlung innerhalb der Planierung (vermutlich Reste des einplanierten jüngeren RB 2)
Befundtyp: Steinkonzentration
Material: mittelgroße Bruch- und Feldsteine (10–35 cm)
Schichtung: großteils nebeneinander, teilweise übereinander liegend
Ausrichtung/Form/Maße: insbesondere im nördlichen Bereich des Areals von Westen nach Osten verfolgbar; keine geregelte Form erkennbar
Abgrenzung: zu SE 5409 und 5435 aufgrund des Materials sehr gut

SE 5435
Kampagne: 2014
Schnitt: M1
Quadrant: R–T/59–61
Bereich: Areal unter Raum 48
Ansprache: hellbraune bis graue Lehmfläche
Zugehörigkeit: Planierung
Interpretation: Planierschicht
Befundtyp: Lehmschicht
Material: sandiger Lehm
Konsistenz: hart getrocknet
Farbe: hellbraune bis graue Schicht
Einschlüsse: kleinere Steine, wenige Kiesel, kleinere Keramikbruchstücke
Schichtung: wirkt kompakt
Ausrichtung/Form/Maße: flächig im nördlichen und östlichen Areal unter Raum 48
Abgrenzung: mit SE 5409 gleichzusetzen

SE 5486
Kampagne: 2014
Schnitt: M1
Quadrant: R/60
Bereich: Areal unter Raum 37
Ansprache: rotbraune Verfüllung
Zugehörigkeit: Planierung
Interpretation: Planierschicht
Befundtyp: Lehmschicht
Material: feinsandig mit geringem tonigen Anteil
Konsistenz: bröselig, sehr locker
Farbe: rotbraun
Einschlüsse: viele kleinere Steine (max. 1 cm), Holzkohleflocken
Schichtung: recht homogen
Ausrichtung/Form/Maße: Befund nur angeschnitten, verläuft unter die Südmauer von Raum 37 und in das Westprofil von M1
Abgrenzung: zu SE 5488 durch Material und Farbe gut

SE 5506
Kampagne: 2014
Schnitt: M1
Quadrant: R–T/61–62
Bereich: Areal unter Raum 36
Ansprache: rotbraune Lehmschicht mit Kiesel
Zugehörigkeit: Planierung
Interpretation: Planierschicht
Befundtyp: Lehmschicht
Material: sandiger Lehm
Konsistenz: hart getrocknet
Farbe: rotbraun
Einschlüsse: kleine Steine, vor allem Kiesel (2–3 cm), Holzkohlereste und weitere verbrannte Botanik
Schichtung: wirkt kompakt
Ausrichtung/Form/Maße: flächig im Areal unter Raum 36 liegend; Form durch FBZ-Raum definiert
Abgrenzung: aufgrund der Kiesel sehr gut

SE 5518
Kampagne: 2014
Schnitt: M1
Quadrant: S–T/63
Bereich: Areal unter Freifläche
Ansprache: rotbraune Lehmschicht
Zugehörigkeit: Planierung
Interpretation: Planierschicht über der SR 4 im Innenbereich der Mauer SE 5522
Befundtyp: Lehmschicht
Material: sandiger Lehm
Konsistenz: hart getrocknet
Farbe: rotbraun
Einschlüsse: kleinere Steine; vereinzelt im nördlichen Bereich Kiesel
Schichtung: wirkt kompakt
Ausrichtung/Form/Maße: südlich der Mauer SE 5005; unregelmäßige Form
Abgrenzung: deutlich aufgrund der Farbe

SE 5519
Kampagne: 2014
Schnitt: M1

Quadrant: R/61–62
Bereich: Areal unter Freifläche
Ansprache: braune Lehmschicht
Zugehörigkeit: Planierung
Interpretation: Planierschicht
Befundtyp: Lehmschicht
Material: sandiger Lehm
Konsistenz: hart getrocknet
Farbe: dunkelbraun
Einschlüsse: klein- bis mittelformatige Steine
Schichtung: keine Schichtung erkennbar
Ausrichtung/Form/Maße: westlich der Mauern von Raum 36; etwa rechteckiger Bereich erfasst

SE 5521
Kampagne: 2014
Schnitt: M1
Quadrant: R–T/62–64
Bereich: Areal unter Freifläche
Ansprache: Steinansammlungen
Zugehörigkeit: Planierung
Interpretation: Steine der einplanierten Mauer SE 5522
Befundtyp: Steinkonzentration
Material: klein- bis mittelformatige, teilweise große Bruchsteine; dazwischen Bereiche mit sandigem Lehm
Schichtung: liegen auf bzw. neben der Mauer SE 5522
Ausrichtung/Form/Maße: Steinansammlung ohne ersichtliche Setzung mit einem kurvolinearen Verlauf (Länge max. 5,8 m; Breite 1,2 bis 2 m)
Abgrenzung: zu SE 5522 etwas diffus
Fundvermischung: Steine von SE 5059 vermutlich zu SE 5521 gehörig

SE 5523
Kampagne: 2014
Schnitt: M1
Quadrant: R–T/63–64
Bereich: Areal unter Freifläche
Ansprache: braune Lehmschicht
Zugehörigkeit: Planierung
Interpretation: Planierung im äußeren Bereich der Mauer SE 5522
Befundtyp: Lehmschicht
Material: sandiger Lehm mit kleineren Steinen
Konsistenz: hart getrocknet
Farbe: braun mit Rotstich
Schichtung: wirkt kompakt
Ausrichtung/Form/Maße: im Zwickel der südwestlichen Schnittgrenze; durch die südliche und westliche Schnittgrenze, der SE 5521 und der Mauer SE 5522 begrenzt
Abgrenzung: zu SE 5521 gut

ÇuHö I

SE 1199
Kampagne: 2011
Schnitt: N6/N7
Quadrant: I–T/50–54
Ansprache: rezente Oberfläche
Interpretation: Oberflächeninterface (N6–7)
Befundtyp: Oberfläche
Ausrichtung/Form/Maße: erstreckt sich über die gesamten Schnitte
Abgrenzung: gleichzusetzen mit SE 4600

SE 1200
Kampagne: 2011
Schnitt: N6/N7
Quadrant: I–T/50–54
Ansprache: rötlich braune Erd-/Lehmschicht
Interpretation: rezent gestörte Oberfläche
Befundtyp: Oberflächenmaterial
Material: vgl. SE 1201
Konsistenz: vgl. SE 1201
Farbe: vgl. SE 1201
Einschlüsse: vgl. SE 1201
Schichtung: vgl. SE 1201
Ausrichtung/Form/Maße: vgl. SE 1201
Abgrenzung: gleichzusetzen mit SE 1201, 4500, 4601

SE 1201
Kampagne: 2011
Schnitt: N6/N7
Quadrant: I–T/50–54
Ansprache: rötlich braune Erd-/Lehmschicht
Interpretation: rezent gestörte Oberfläche (Ackeroberfläche und humoser Boden)
Befundtyp: Oberflächenmaterial
Material: sandiger Lehm, rezente Vegetationsreste
Konsistenz: hauptsächlich sehr trocken, bröckelig, bricht im Ackerbereich
Farbe: braun, leicht rotstichig (trocken), dunkelbraun (feucht)
Einschlüsse: viele Bruchsteine (bis 20 cm); mäßig stark durchwurzelt abhängig vom Bereich
Schichtung: keine Schichtung erkennbar; stark gelockert auf der Ackeroberfläche; kompakt im Randbereich
Ausrichtung/Form/Maße: flächig im gesamten Schnitt N6
Abgrenzung: gleichzusetzen mit SE 1200, 4500, 4601

SE 4500
Kampagne: 2012
Schnitt: N7
Quadrant: R–X/54–55
Ansprache: Zuschüttung
Interpretation: Schnittzuschüttung; rezent gestörtes Material
Befundtyp: Oberflächenmaterial
Material: ehemaliger Aushub; rezent gestörtes Oberflächenmaterial im Bereich des Schnittes
Schichtung: keine Schichtung, da Zuschüttung
Ausrichtung/Form/Maße: gesamte Fläche des Schnittes N7 und die Böschung von Komplex 5
Abgrenzung: gleichzusetzen mit SE 1200, 1201, 4601

SE 4600
Kampagne: 2014
Schnitt: N7
Quadrant: R–X/54–55

Ansprache: Oberflächeninterface (N7)
Interpretation: Oberflächeninterface
Befundtyp: Oberfläche
Ausrichtung/Form/Maße: erstreckt sich über den gesamten Schnitt (14 × 3 m)
Abgrenzung: gleichzusetzen mit SE 1199

SE 4601
Kampagne: 2014
Schnitt: N7
Quadrant: R–X/54–55
Ansprache: Zuschüttung
Interpretation: Schnittzuschüttung; rezent gestörtes Material
Befundtyp: Oberflächenmaterial
Material: ehemaliger Aushub; rezent gestörtes Oberflächenmaterial im Bereich des Schnittes
Schichtung: keine Schichtung, da Zuschüttung
Ausrichtung/Form/Maße: gesamte Fläche des Schnittes N7 und die Böschung von Komplex 5 (N6)
Abgrenzung: gleichzusetzen mit SE 1200, 1201, 4500

SE 5000
Kampagne: 2012
Schnitt: M1
Quadrant: R–AB/58–64
Ansprache: Oberflächeninterface (M1)
Interpretation: Oberflächeninterface
Befundtyp: Oberfläche
Ausrichtung/Form/Maße: gesamte Schnittoberfläche M1 (22 × 13 m); Niveau von Norden nach Süden hin abfallend bedingt durch rezente Planierungsmaßnahmen auf dem Tell
Abgrenzung: gleichzusetzen mit SE 5400

SE 5001
Kampagne: 2012
Schnitt: M1
Quadrant: R–AB/58–64
Ansprache: gestörtes Oberflächenmaterial
Interpretation: gestörtes Oberflächenmaterial
Befundtyp: Oberflächenmaterial
Material: humose Erde, Erd-/Lehm-Gemisch
Konsistenz: hart getrocknet und stellenweise stark verfestigt (bedingt durch Fahrzeugspuren und Planierungen auf dem Tell)
Farbe: braungrau bis rötlich braun
Einschlüsse: Steinkonzentrationen in den Quadranten V–W/59–60 und U–V/61–62; rezente Brandspuren (Asche) im Bereich T–U/60–61; kleiner Erdhaufen in U–V/60; von U–AB/62–64 Fahrzeugspuren (bis 15 cm); Münze TRY (1960); rezente Wasserleitung von AA/58–AB/62 verlaufend
Schichtung: kompakte, verfestigte Schicht, stellenweise durch Fahrzeuge tief eingedrückt; plattiger Bruch zu ungestörten Befunden
Ausrichtung/Form/Maße: flächige Ausdehnung über den gesamten Schnitt M1 (22 × 13 m); von Norden nach Süden abfallend; insbesondere ab den Quadranten W–AB/58–61; Abschiebung während der Planiermaßnahmen („Spuren“ sichtbar)
Abgrenzung: aufgrund der Härte und Farbe (rötliches braungrau) stellenweise gut abgrenzbar; bricht zu ungestörten Befunden plattig ab

SE 5200
Kampagne: 2013
Schnitt: M1
Quadrant: R–AB/58–64
Ansprache: gestörtes Oberflächenmaterial
Interpretation: Sammel- und Putzfunde beim Säubern von M1; rezent gestörtes Material im südöstlichen Schnittbereich (Z–AB/58–59)
Befundtyp: Oberfläche
Material: sandiger Lehm
Konsistenz: hart getrocknet und stellenweise stark verfestigt
Farbe: unterschiedlich; zumeist graubraun bis rotbraun
Einschlüsse: teilweise mittel- bis großformatige Steine; unterschiedliche rezente Materialien (Glas, Ziegel, verrostete Eisengegenstände, Plastik, Textilreste) insbesondere im südwestlichen Bereich
Schichtung: kompaktes, verfestigtes Material; im Bereich des Leitungsgrabens (AA/58–AB/62) rezentes, sandiges Sediment
Ausrichtung/Form/Maße: gesamter Bereich M1 (22 × 13 m)
Abgrenzung: gleichzusetzen mit SE 5001, 5401

SE 5201
Kampagne: 2013
Schnitt: M1
Quadrant: ---
Bereich: naher Außenbereich von M1
Ansprache: gestörtes Oberflächenmaterial
Interpretation: Sammelfunde beim Säubern im unmittelbaren Außenbereich von M1
Befundtyp: Oberflächenmaterial

SE 5400
Kampagne: 2014
Schnitt: M1
Quadrant: R–AB/58–68, V–Y/64–68
Ansprache: Oberflächeninterface (M1)
Interpretation: Oberflächeninterface
Befundtyp: Oberfläche
Ausrichtung/Form/Maße: erstreckt sich über den gesamten Schnitt M1 (22 × 13 m) mit Erweiterung (9 × 7 m)
Abgrenzung: gleichzusetzen mit SE 5000

SE 5401
Kampagne: 2014
Schnitt: M1
Quadrant: R–AB/58–68
Ansprache: gestörtes Oberflächenmaterial
Interpretation: gestörtes Oberflächenmaterial
Befundtyp: Oberflächenmaterial
Material: humose Erde, Erd-/Lehm-Gemisch
Konsistenz: hart getrocknet und stellenweise stark verfestigt (bedingt durch Fahrzeugspuren und Planierungen auf dem Tell)

Farbe: variiert, grau, graubraun bis dunkelbraun
Einschlüsse: Steine, Pflanzenreste, Müll (Plastik, Batterien, Bierflaschen (Efes, Tuborg), Yeni Raki-Flasche)
Schichtung: kompakte Störung über prähistorischen Befunden; gestörtes Material bricht schollenartig
Ausrichtung/Form/Maße: erstreckt sich über den gesamten Schnitt M1 (22 × 13 m) mit Erweiterung (9 × 7 m)
Abgrenzung: gleichzusetzen mit SE 5001, 5200; aufgrund der Härte und Farbe großteils gut abgrenzbar; bricht zu ungestörten Befunden plattig ab

Relevante SE der Phasen ÇuHö VIII und IX (vgl. Beil. 2)

SE 4513
Kampagne: 2012
Schnitt: N7
Quadrant: V/54–55
Ansprache: Steinstruktur
Interpretation: Steinstruktur?
Befundtyp: Steinstruktur
Material: klein- bis mittelformatige Bruch- und Feldsteine (15–25 cm)
Schichtung: teilweise senkrecht stehend, teilweise flach aufliegende Steine (gesetzt?); durch Grabenverfüllung C im Westen gestört
Ausrichtung/Form/Maße: lineare Struktur; Nordwest-Südost verlaufend (etwa 1,8 m lang)
Abgrenzung: deutlich zu SE 1458, 1501

SE 4514
Kampagne: 2012
Schnitt: N7
Quadrant: V/54–55
Ansprache: hellbraune Lehmschicht
Interpretation: Lehmschicht im östlichen Bereich neben dem Graben (Komplex 5)
Befundtyp: Lehmschicht
Material: sandiger Lehm
Konsistenz: hart getrocknet und kompakt
Farbe: hellbräunlich bis beige
Einschlüsse: kleine Steine (2–7 cm), Holzkohleflitter, wenig Keramikbruchstücke, wenig verbrannter Lehm, zwar unregelmäßig, aber vollständig durchsetzt
Schichtung: kompakt
Ausrichtung/Form/Maße: Material südlich und nördlich von SE 4513; im Westen von der Grabenverfüllung C gestört; im Norden durch die Abbruchkante begrenzt; im Süden und Westen durch die Schnittgrenze; Unterkante nicht erreicht
Abgrenzung: Übergang zu SE 4511 nur anhand der verziegelten Lehmflitter auszumachen, da in SE 4514 weniger vorhanden

SE 4552
Kampagne: 2013
Schnitt: N7
Quadrant: U/54
Ansprache: braune Lehmschicht
Interpretation: östlicher Außenbereich von Komplex 5
Befundtyp: Lehmschicht
Material: sandiger Lehm
Konsistenz: hart getrocknet
Farbe: braun bis grau
Einschlüsse: vereinzelt kleinere Steine (5–10 cm)
Schichtung: kompakt
Ausrichtung/Form/Maße: etwa dreieckig; im östlichen und nordwestlichen Bereich des Quadranten; im Südwesten an SE 4551 angrenzend
Abgrenzung: zu SE 4551 aufgrund der Steine sehr gut

IX.2. Warengruppen

Für eine Aufschlüsselung der im Warengruppenkatalog verwendeten Abkürzungen siehe Kapitel IV.4.2. (bes. Tab. 4).

IX.2.1. Spätchalkolithische Warengruppen

WG	Härte	Bruch	Porosität	OF	Farbe OF innen	Farbe OF außen	Farbe Bruch Rand	Farbe Bruch Kern
15	hart	körnig	mittel-grob	GVUS	5YR5/6–7.5YR5/6	5YR5/6–7.5YR5/6	---	5Y2.5/1
Bemerkungen: GK; OF stumpf und uneben, rötlich braun bis braun; dunkelgrauer Kern. Bsp. ÇuHö 316/15								



WG	Härte	Bruch	Porosität	OF	Farbe OF innen	Farbe OF außen	Farbe Bruch
16	sehr hart	schiefrig	mittel-grob	GGUS	10YR4/2	5YR5/6–7.5YR5/6	5YR3/1–2.5/1
Bemerkungen: GK; OF rau, dunkelrotbraun; durchgehend dunkelgrauer bis schwarzer Kern. Bsp. ÇuHö 07/316/3							



WG	Härte	Bruch	Porosität	OF	Farbe OF innen	Farbe OF außen	Farbe Bruch Rand	Farbe Bruch Kern
17	hart	leicht schiefrig	mittelporig	GVUS	2.5YR4/4–5YR4/4	2.5YR4/6	5YR4/6	2.5Y3/1
Bemerkungen: MK; OF 1 mm rötlich braun bis gelbbraun (Überzug?); OF außen grob verstrichen, rau, uneben, stumpf; OF innen grob geglättet; dunkelgrauer Kern. Bsp. ÇuHö 06/89/1/6								



WG	Härte	Bruch	Porosität	OF	Farbe OF innen	Farbe OF außen	Farbe Bruch Rand	Farbe Bruch Kern
18	sehr hart	glatt	feinporig	FG	10YR4/2	10R4/6,8–2.5YR4/6,8	10R4/6,8–2.5YR4/6,8	5YR3/3
Bemerkungen: FK; OF mit rotem Überzug, glatt; teilweise breiter dunkelrotbrauner bis durchgehend braun gebrannter Kern. Bsp. ÇuHö 06/96/1/27								



WG	Härte	Bruch	Porosität	OF	Farbe OF innen	Farbe OF außen	Farbe Bruch
19	hart	etwa glatt bis leicht schiefrig	feinporig	FG	7.5YR3/1-2.5/1	7.5YR3/1-2.5/1	7.5YR3/1-2.5/1
Bemerkungen: FK; OF leicht glänzend, eben, dunkelgrau bis schwarz; durchgehend dunkelgrauer bis schwarzer Kern. Bsp. ÇuHö 07/316/15/1, ÇuHö 07/335/2/4							



WG	Härte	Bruch	Porosität	OF	Farbe OF innen	Farbe OF außen	Farbe Bruch Rand	Farbe Bruch Kern
20	hart	körnig	grobporig	GGUS	5YR4/4–7.5YR4/4	5YR4/4–7.5YR4/4	---	5YR2.5/1–7.5YR2.5/1
Bemerkungen: GK; OF mit dünnem Überzug, leicht uneben, leicht glänzend, beige bis braun; schwarzer Kern. Bsp. ÇuHö 07/316/3/24								



WG	Härte	Bruch	Porosität	OF	Farbe OF innen	Farbe OF außen	Farbe Bruch
21	hart	etwa glatt bis leicht schiefrig	mittelporig	GV	10R4/8	2.5YR5/8	10YR3/3, 4–2.5YR3/3,4
Bemerkungen: MK; OF leicht uneben, stumpf, rau, rot bis rotbraun; dunkelroter bis brauner Kern (stark gemagerte Ware). Bsp. ÇuHö 07/316/3/22							



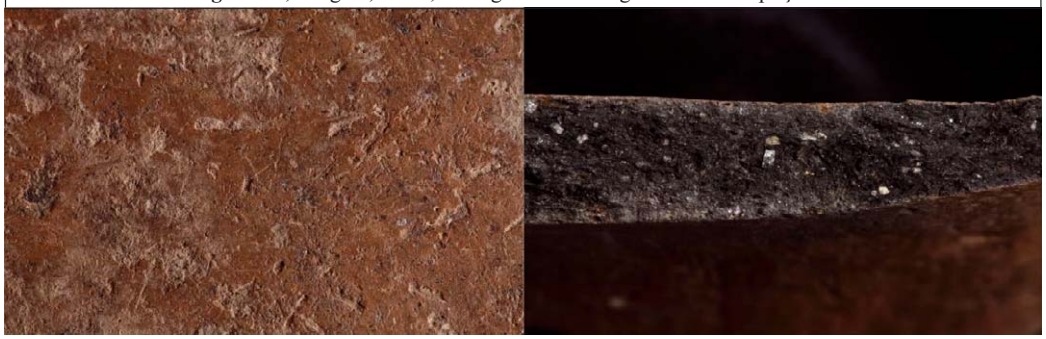
WG	Härte	Bruch	Porosität	OF	Farbe OF innen	Farbe OF außen	Farbe Bruch Rand	Farbe Bruch Kern
22	hart	leicht schiefrig	feinporig	FG	5YR5/4–7.5YR5/4	2.5YR4/6–7.5YR6/6	außen: 2.5YR4/8; innen: 2.5YR5/6–5YR5/6	10YR4/3
Bemerkungen: FK; OF eben, leicht glänzend, rotbraun bis beige; breiter grauer Kern. Bsp. ÇuHö 07/316/15/2								



WG	Härte	Bruch	Porosität	OF	Farbe OF innen	Farbe OF außen	Farbe Bruch
23	hart	körnig	grobporig	GGUV	5YR5/6–4/6	7.5YR4/2–4/3	5YR2.5/1–2.5/2
Bemerkungen: GK; OF uneben, rot bis braun (oxidierend gebrannt); grauer Kern. Bsp. ÇuHö 316/15							



WG	Härte	Bruch	Porosität	OF	Farbe OF innen	Farbe OF außen	Farbe Bruch
24	hart	etwa glatt bis leicht schiefrig	feinporig	FG	5YR5/6–7.5YR4/6	7.5YR4/6	7.5YR2.5/1
Bemerkungen: FK; OF glatt, braun; durchgehend dunkelgrauer Kern. Bsp. ÇuHö 06/96/5/10							



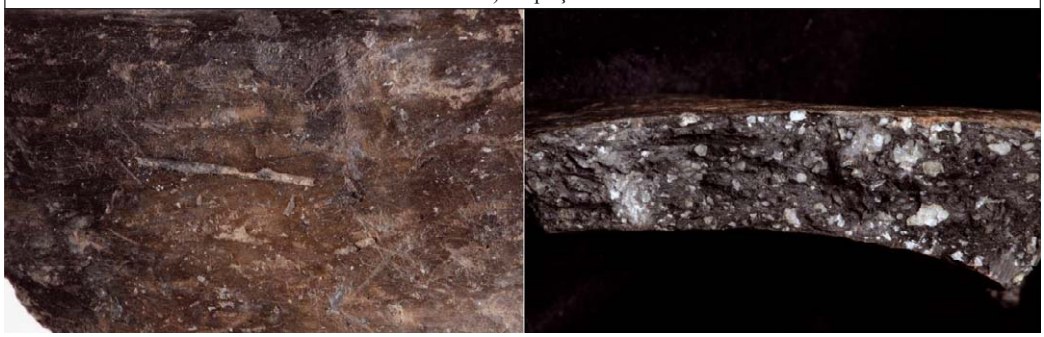
WG	Härte	Bruch	Porosität	OF	Farbe OF innen	Farbe OF außen	Farbe Bruch
25	hart	leicht schiefrig	mittelporig	FGV	7.5YR5/4	7.5YR5/6	10YR3/1
Bemerkungen: MK; OF mit braunem Überzug, leicht glänzend, deckend grau (10YR5/2–2.5Y5/2) bemalt; dunkelgrauer Kern. Bsp. ÇuHö 06/5/1/13							



WG	Härte	Bruch	Porosität	OF	Farbe OF innen	Farbe OF außen	Farbe Bruch Rand	Farbe Bruch Kern
26	hart	leicht schiefrig	mittelporig	GG	2.5YR2.5/1	2.5YR4/6–4/8	außen: 2.5YR4/6–4/8	2.5YR2.5/1
Bemerkungen: MK; OF außen rot (oxidierend gebrannt), innen schwarz; im Bruch OF außen rot, innen schwarz; schwarzer Kern. Bsp. ÇuHö 07/311/35/19								



WG	Härte	Bruch	Porosität	OF	Farbe OF innen	Farbe OF außen	Farbe Bruch
27	sehr hart	körnig	mittelporig	FG	7.5YR4/4–4/5	7.5YR4/4–4/5	10YR4/1
Bemerkungen: MK; OF dicht, glatt, braun bis schwarz; dunkelgrauer Kern (in der Magerung wie WG 15 und 40, aber andere OF). Bsp. ÇuHö 06/4/1/3							



WG	Härte	Bruch	Porosität	OF	Farbe OF innen	Farbe OF außen	Farbe Bruch
28	hart	etwa glatt bis leicht schiefrig	feinporig	MG	7.5YR5/6	5YR4/4–5YR4/6	7.5YR3/2
Bemerkungen: FK; OF braun; dunkelbrauner Kern. Bsp. ÇuHö 06/4/1/12							



WG	Härte	Bruch	Porosität	OF	Farbe OF innen	Farbe OF außen	Farbe Bruch
29	sehr hart	schiefrig	feinporig	SFGP	2.5YR4/6–5YR4/6	2.5YR4/6–5YR4/6 – 2.5YR2.5/1	5YR3/1–7.5YR2.5/1
Bemerkungen: FK; OF dicht, glänzend, rot bis schwarz; dunkelgrauer Kern. Bsp. ÇuHö 06/4/5/4							



WG	Härte	Bruch	Porosität	OF	Farbe OF innen	Farbe OF außen	Farbe Bruch
30	sehr hart	leicht schiefrig	mittelporig	GG	10R4/6–2.5YR4/6	2.5YR4/6	2.5YR4/8
Bemerkungen: MK; OF rau, stumpf; OF und Kern durchgehend rot. Bsp. ÇuHö 06/4/2/13							



WG	Härte	Bruch	Porosität	OF	Farbe OF innen	Farbe OF außen	Farbe Bruch
31	hart	etwa glatt bis leicht schiefrig	mittelporig	E	10R3/6	10R3/6	2.5YR3/4
Bemerkungen: MK; OF mit rotem Überzug und FG (EFG), glänzend, glatt, eben; dunkelrotbrauner Kern. Bsp. ÇuHö 06/311/30/2							



WG	Härte	Bruch	Porosität	OF	Farbe OF innen	Farbe OF außen	Farbe Bruch
32	hart	körnig	grobporig	GVUS	5YR5/4	5YR5/6–7.5YR5/6	5YR4/6–7.5YR4/6
Bemerkungen: GK; OF rau, uneben, braun; brauner Kern. Bsp. ÇuHö 07/311/30/7							



WG	Härte	Bruch	Porosität	OF	Farbe OF innen	Farbe OF außen	Farbe Bruch
33	hart	etwa glatt bis leicht schiefrig	feinporig	PUVE	5YR3/1–2.5/1	5YR2.5/1	5YR2.5/1
Bemerkungen: FK; OF glänzend glatt schwarz, Glättspuren sichtbar, Bemalung deckend grau (7.5YR6/1–2.5Y5/1); dunkelgrauer bis schwarzer Kern. Bsp. ÇuHö 06/5/1/16							



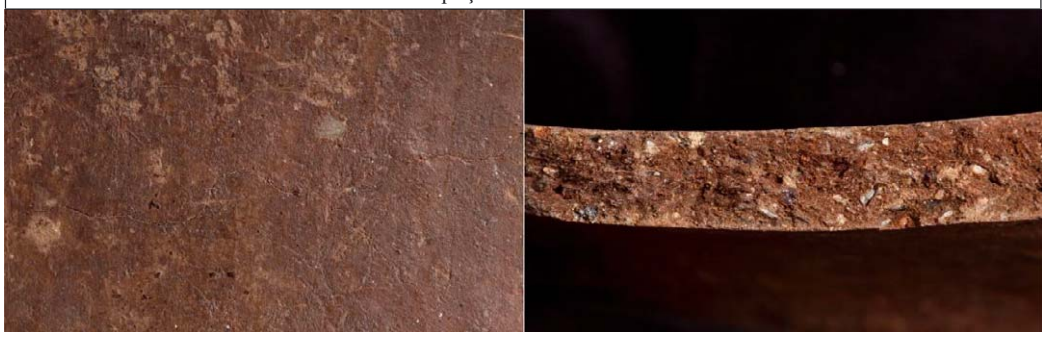
WG	Härte	Bruch	Porosität	OF	Farbe OF innen	Farbe OF außen	Farbe Bruch Rand	Farbe Bruch Kern
34	hart	körnig	grobporig	GGUS	2.5YR5/6	2.5YR5/6–4–6	2.5YR5/6–4–6	2.5YR2.5/1–3/1–5YR2.5/1
Bemerkungen: GK; OF uneben, rot bis braun; dunkelgrauer Kern. Bsp. ÇuHö 06/4/6/7								



WG	Härte	Bruch	Porosität	OF	Farbe OF innen	Farbe OF außen	Farbe Bruch
35	hart	körnig	grobporig	MG	2.5YR5/6–4/6	2.5YR5/6–4/6	2.5YR4/6
Bemerkungen: GK; Pithosware; OF dicht, rot bis rotbraun; durchgehend roter Kern. Bsp. ÇuHö 311/11							



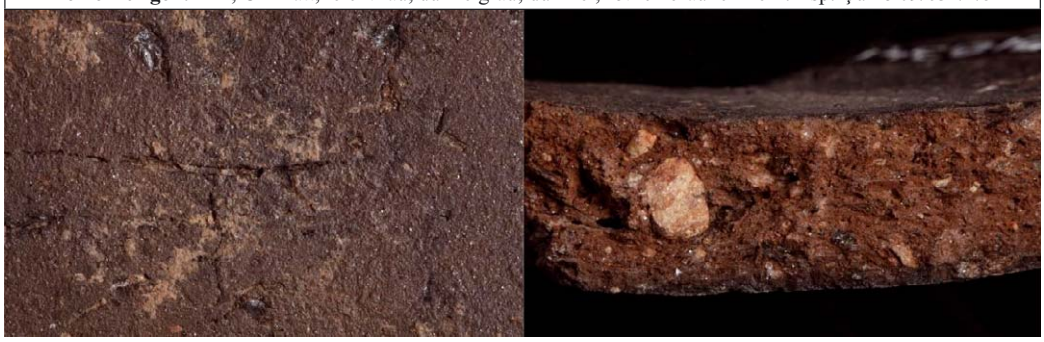
WG	Härte	Bruch	Porosität	OF	Farbe OF innen	Farbe OF außen	Farbe Bruch
36	hart	etwa glatt bis leicht schiefrig	mittelporig	FG	5YR5/6	7.5YR4/2–4/3	5YR3/3
Bemerkungen: MK; OF eben, dicht, braun, Glättspuren sichtbar; dunkler, rötlich brauner Kern. Bsp. ÇuHö 09/818/1/34							



WG	Härte	Bruch	Porosität	OF	Farbe OF innen	Farbe OF außen	Farbe Bruch
37	sehr hart	etwa glatt bis leicht schiefrig	mittelporig	FG	10YR 4/3	10YR2/1 – 2,5/N	4/N
Bemerkungen: MK; OF leicht glänzend, braungrau bis braun; dunkelgrauer Kern (in der Magerung wie WG 25). Bsp. ÇuHö 09/967/1							



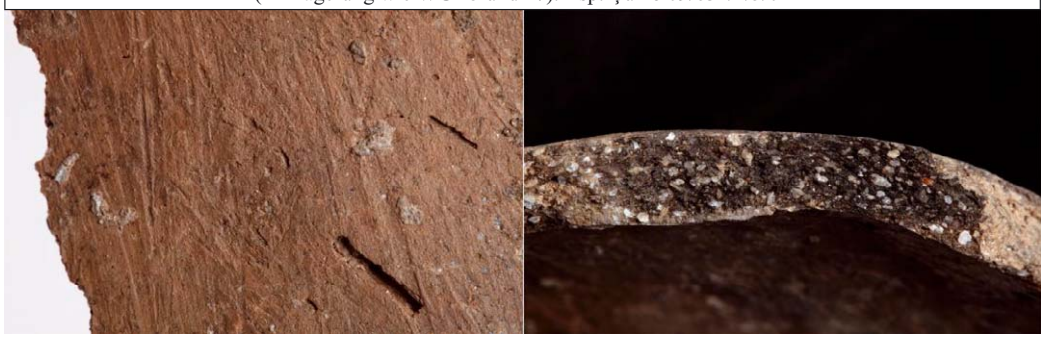
WG	Härte	Bruch	Porosität	OF	Farbe OF innen	Farbe OF außen	Farbe Bruch
38	weich	körnig	mittelporig	GG	7.5YR2.5/1	7.5YR3/1–2	5YR3/4
Bemerkungen: MK; OF matt, leicht rau, dunkelgrau; dunkler, rötlich brauner Kern. Bsp. ÇuHö 09/834/1/5							



WG	Härte	Bruch	Porosität	OF	Farbe OF innen	Farbe OF außen	Farbe Bruch
39	hart	etwa glatt bis leicht schiefrig	mittelporig	MG	5YR3/2–2.5YR3/2	5YR4/3–2.5YR4/3	5YR2.5/1–2.5YR2.5/1–2
Bemerkungen: MK; OF stumpf, dunkles rötlich braun; dunkelrotbrauner bis schwarzer Kern. Bsp. ÇuHö 09/967/1/6							



WG	Härte	Bruch	Porosität	OF	Farbe OF innen	Farbe OF außen	Farbe Bruch
40	hart	körnig	mittelporig	MVUS	5YR5/4	7.5YR5/4–5/6	7.5YR4/4–7.5YR3/1
Bemerkungen: MK; OF rau, matt, braun bis grau; brauner bis dunkelgrauer Kern (in Magerung wie WG 15 und 27). Bsp. ÇuHö 09/834/1/5/01							



WG	Härte	Bruch	Porosität	OF	Farbe OF innen	Farbe OF außen	Farbe Bruch
100	hart	leicht schiefrig	mittelporig	MGUE	7.5YR6/4-6	7.5YR6/4-6	10YR3/1
Bemerkungen: MK; OF mit beigem bis braunem Überzug (Schlicker?), rau, aber ebene OF; Pflanzenreste an der OF erkennbar; hoher Glimmeranteil an der OF, dadurch stark glänzend; dunkelgrauer Kern. Bsp. ÇuHö 11/1448/1/5							



WG	Härte	Bruch	Porosität	OF	Farbe OF innen	Farbe OF außen	Farbe Bruch
103	hart	schiefrig	fein-mittel	MGUE	10YR6/4	10YR6/4	10YR3/1-2.5Y3/1
Bemerkungen: MK; OF mit beigem Überzug, schwach uneben, Glättspuren innen schwach sichtbar; durchgehend grauer Kern. Bsp. ÇuHö 12/1449/1/221							



WG	Härte	Bruch	Porosität	OF	Farbe OF innen	Farbe OF außen	Farbe Bruch
112	hart	körnig	mittel-grob	GG	5YR5/3	5YR6/6	GLEY12.5/N
Bemerkungen: MK-GK; OF mit Schlicker, stumpf, uneben, grob verstrichen (Spuren sichtbar), rötliches braun bis braun; dunkelgrauer Kern. Bsp. ÇuHö 14/5325/1/45							



WG	Härte	Bruch	Porosität	OF	Farbe OF innen	Farbe OF außen	Farbe Bruch
114	weich	schiefrig	mittelporig	S	2.5YR6/4	10R5/3	10R4/2
Bemerkungen: MK; OF seidig glänzend, sanft geglättet, sehr talgige, seifige Ware, OF innen lachsfarben; Bruch durchgehend rotbraun bis grau; braun-grauer Kern mit Glimmer. Bsp. ÇuHö 14/5539/1/21							



WG	Härte	Bruch	Porosität	OF	Farbe OF innen	Farbe OF außen	Farbe Bruch
115	hart	leicht schiefrig	mittelporig	SFGP	7.5YR2.5/1	10YR4/3-7.5YR2.5/1	5YR3/3
Bemerkungen: MK; OF dunkelbraun bis hellbraun; rotbrauner Kern mit Glimmer und schwarz-grauen Einschlüssen. Bsp. ÇuHö 14/5467/1/29							



IX.2.2. Neolithische Warengruppen

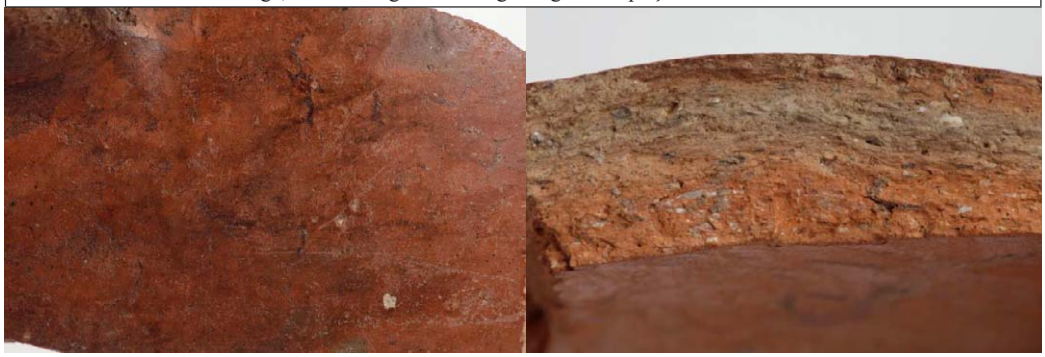
WG	Härte	Bruch	Porosität	OF	Farbe OF innen	Farbe OF außen	Farbe Bruch
11	weich	leicht schiefrig	fein-mittel	FG	5YR5/2–5/6	5YR5/2–5/6	5YR3/3–10R4/4
Bemerkungen: FK; OF dicht, glatt, braun (kein Überzug); rotbrauner Kern. Bsp. ÇuHö 06/116/1							



WG	Härte	Bruch	Porosität	OF	Farbe OF innen	Farbe OF außen	Farbe Bruch
72	hart	leicht schiefrig	fein-mittel	MG	7.5YR4/2–3, auch 7.5YR2.5/1	7.5YR4/2–3	10R3/6–4/6–8
Bemerkungen: FK–MK; OF leicht uneben, rötliches braun bis rötliches graubraun; durchgehend roter Kern. Bsp. ÇuHö 11/1393/1, 11/1249/1							



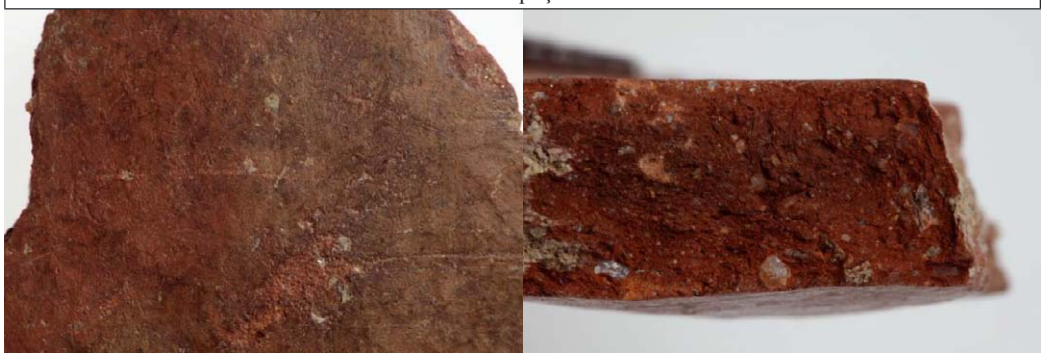
WG	Härte	Bruch	Porosität	OF	Farbe OF innen	Farbe OF außen	Farbe Bruch Rand	Farbe Bruch Kern
74	sehr hart	schiefrig	feinporig	SFGP	5YR/6/6	2.5YR5/6	5YR6/6–8	10YR6/3–4
Bemerkungen: FK; OF mit rotem Überzug(?), Glättspuren sichtbar, hellroter Scherben; grauer Kern, außen hell-orange, auch durchgehend orange möglich. Bsp. ÇuHö 11/1358/1/13								



WG	Härte	Bruch	Porosität	OF	Farbe OF innen	Farbe OF außen	Farbe Bruch
88	weich	schiefrig	fein-mittel	GG-MG	5YR4/2–3/2	5YR4/3	5YR2.5/2–3/2
Bemerkungen: FK–MK; OF schwach glänzend, Glättspuren sichtbar, braun bis dunkelbraun; stark glimmerhältige Ware, deshalb evtl. weich(?); brauner bis dunkelbrauner Kern. Bsp. ÇuHö 11/1297/1/39							



WG	Härte	Bruch	Porosität	OF	Farbe OF innen	Farbe OF außen	Farbe Bruch
91	hart	leicht schiefrig	fein-mittel	MG	10R4/6	10R4/6–2.5YR4/6, 5YR4/4	2.5YR4/6
Bemerkungen: FK–MK; OF schwach uneben, schwach glänzend, Glättspuren sichtbar; durchgehend roter Kern mit dichter OF. Bsp. ÇuHö 11/1290/1							



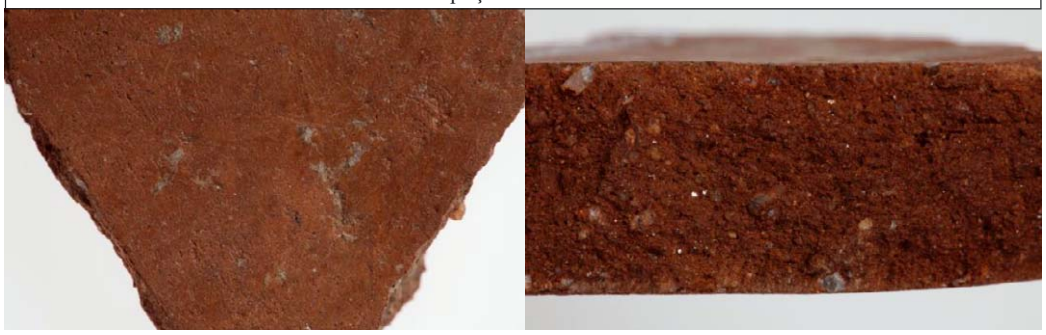
WG	Härte	Bruch	Porosität	OF	Farbe OF innen	Farbe OF außen	Farbe Bruch
92	weich	körnig	mittel-grob	MG	10R5/6	5YR5/4	10R4/6–3–6
Bemerkungen: MK–GK; OF stark glimmerhaltig, silbrig glänzende Glättspuren sichtbar; Magerungspartikel an der OF sichtbar; hellbraune bis rötliche OF; brauner bis roter Kern. Bsp. ÇuHö 11/1290/1							



WG	Härte	Bruch	Porosität	OF	Farbe OF innen	Farbe OF außen	Farbe Bruch Rand	Farbe Bruch Kern
94	hart	etwa glatt bis leicht schiefrig	feinporig	E	5YR5/6–8	5YR5/6–8	5YR5/6–8	7.5YR6/6
Bemerkungen: FK; OF mit hellorangem bis beigem, dünnen Überzug, glänzend und glatt, keine Glättspuren sichtbar; brauner bis hellgrauer Kern. Bsp. ÇuHö 11/1290/1 (siehe WG 2, gleicher Ton nur andere OF-Behandlung)								



WG	Härte	Bruch	Porosität	OF	Farbe OF innen	Farbe OF außen	Farbe Bruch
104	hart	leicht schiefrig	mittelporig	MG	2.5YR4/6–8	2.5YR4/6–8–5YR4/8	2.5YR4/6–8
Bemerkungen: MK; OF matt, schwach uneben, Glättspuren sichtbar; roter bis brauner Kern und OF. Bsp. ÇuHö 12/1637/1							



IX.2.3. Frühbronzezeitliche Warengruppen

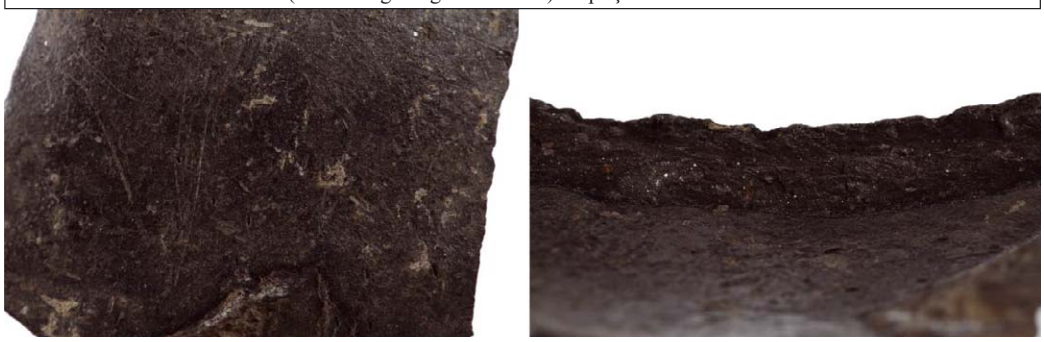
WG	Härte	Bruch	Porosität	OF	Farbe OF innen	Farbe OF außen	Farbe Bruch Rand	Farbe Bruch Kern
41	hart	etwa glatt bis leicht schiefrig	feinporig	FG	10YR5/1–2.5–Y5/1	10YR4/3–4/1–3/1	10YR4/3–4	2.5YR4/5–6
Bemerkungen: FK; OF glatt, leicht glänzend, braun bis graubraun, Ränder im Bruch braun; rotbrauner Kern. Bsp. ÇuHö 09/990/1								



WG	Härte	Bruch	Porosität	OF	Farbe OF innen	Farbe OF außen	Farbe Bruch
42	hart	leicht schiefrig	mittelporig	MG	2.5YR4/8	2.5YR4/8	7.5YR4/1
Bemerkungen: MK; OF matt, leicht uneben, rotbraun; grauer Kern. Bsp. ÇuHö 999/1							



WG	Härte	Bruch	Porosität	OF	Farbe OF innen	Farbe OF außen	Farbe Bruch
43	hart	etwa glatt bis leicht schiefrig	feinporig	FG	5YR2.5/1–7.5YR2.5/1	5YR2.5/1–7.5YR2.5/1	2.5YR/2.5/1–5YR2.5/1
Bemerkungen: FK; OF glatt, eben, leicht glänzend; dunkelgrauer bis schwarzer Kern und OF (in der Magerung wie WG 33). Bsp. ÇuHö 09/1015/1							



WG	Härte	Bruch	Porosität	OF	Farbe OF innen	Farbe OF außen	Farbe Bruch
44	hart	körnig	grobporig	GGGV	10R/4/8–2.5YR4/8–4/6	10R/4/8–2.5YR4/8–4/6, 5YR 5/6	10R/4/8–2.5YR4/8–4/6
Bemerkungen: GK; OF uneben, rau; durchgehend roter bis rotbrauner Kern und OF. Bsp. ÇuHö 09/1021/1							



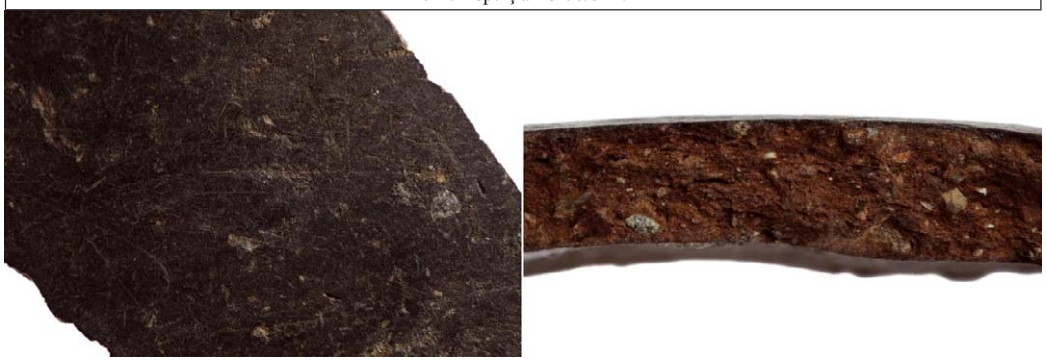
WG	Härte	Bruch	Porosität	OF	Farbe OF innen	Farbe OF außen	Farbe Bruch
46	hart	leicht schiefrig	mittelporig	MG	10R4/6–4/8–2.5YR4/6	2.5YR4/6–4/8–5YR4/6	2.5YR3/4–5YR3/4
Bemerkungen: MK; OF leicht uneben und glänzend (Überzug?), Glättspuren sichtbar, rot bis rötlich braun; durchgehend rotbrauner bis brauner Kern. Bsp. ÇuHö 09/990/1, ÇuHö 08/541/1							



WG	Härte	Bruch	Porosität	OF	Farbe OF innen	Farbe OF außen	Farbe Bruch
47	hart	etwa glatt bis leicht schiefrig	feinporig	MG	7.5YR5/4–10YR5/3	7.5YR5/4–10YR5/3	10YR4/2–3
Bemerkungen: FK; OF stumpf, eben, braun; durchgehend brauner Kern. Bsp. ÇuHö 09/925/1							



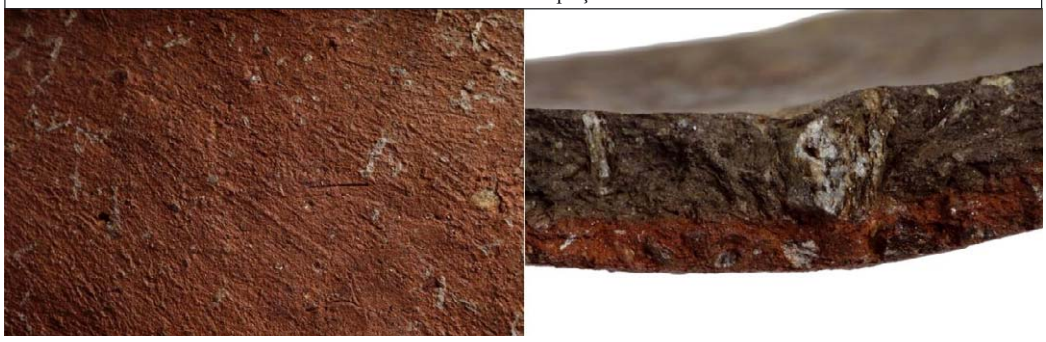
WG	Härte	Bruch	Porosität	OF	Farbe OF innen	Farbe OF außen	Farbe Bruch
48	hart	leicht schiefrig	mittelporig	FG	5YR3/1–7.5YR3/1	7.5YR2.5/1	5YR4/6–2.5YR4/6
Bemerkungen: MK; OF außen glatt, matt, leicht glänzend, dunkelgrau, OF innen GG; durchgehend rotbrauner Kern. Bsp. ÇuHö 08/541/1							



WG	Härte	Bruch	Porosität	OF	Farbe OF innen	Farbe OF außen	Farbe Bruch
49	weich	schiefrig	mittelporig	MG	7.5YR2.5/1–10YR3/1	7.5YR2.5/2–1–10YR3/1	7.5YR2.5YR
Bemerkungen: MK; OF eben, rissig, dunkelgrau; durchgehend dunkelgrauer Kern (Ware insgesamt stark glimmerhältig). Bsp. ÇuHö 08/575/1							



WG	Härte	Bruch	Porosität	OF	Farbe OF innen	Farbe OF außen	Farbe Bruch Rand	Farbe Bruch Kern
50	hart	körnig	mittelporig	GG	7.5YR2.5/1–10YR3/1–4/1–4/2	2.5YR4/6–4/8	außen: 2.5YR4/6–4/8	7.5YR2.5/1
Bemerkungen: MK; OF rau, eben, außen rot (oxidierend gebrannt, Überzug?), im Bruch Rand außen rot; grauer Kern und innerer Rand. Bsp. ÇuHö 09/1067/1								



WG	Härte	Bruch	Porosität	OF	Farbe OF innen	Farbe OF außen	Farbe Bruch
51	hart	körnig	grobporig	MG	10YR6/4	2.5YR4/4-4/6-7.5YR5/4	10YR4/2-2.5Y4/2
Bemerkungen: GK; OF mit äußerem Überzug, schwach uneben und glänzend, rotbraun; grauer Kern (in der Magerung wie WG 15, nur feiner). Bsp. ÇuHö 07/318/1							



WG	Härte	Bruch	Porosität	OF	Farbe OF innen	Farbe OF außen	Farbe Bruch Rand	Farbe Bruch Kern
52	hart	leicht schiefrig	mittelporig	MG	2.5YR4/8	10R4/6–2.5YR4/4	10YR3/1–4/2	außen: 2.5YR4/8
Bemerkungen: MK; OF eben, rissig, dunkelgrau; durchgehend dunkelgrauer Kern (Ware insgesamt stark glimmerhältig). Bsp. ÇuHö 09/1081/1								



WG	Härte	Bruch	Porosität	OF	Farbe OF innen	Farbe OF außen	Farbe Bruch
53	sehr hart	etwa glatt bis leicht schiefrig	feinporig	SFGP	2.5YR2.5/1	2.5YR2.5/1	5YR2.5/1–7.5YR2.5/1
Bemerkungen: FK; OF glatt, glänzend, Glättspuren sichtbar; dunkelgrauer bis schwarzer Kern und OF. Bsp. ÇuHö 09/1081/1							



WG	Härte	Bruch	Porosität	OF	Farbe OF innen	Farbe OF außen	Farbe Bruch
55	hart	leicht schiefrig	mittelporig	FG	10YR4/1	10YR3/1–2/1	2.5YR3/6–5YR3/4
Bemerkungen: MK; OF glatt und eben, glänzend, Glättspuren schwach sichtbar; dunkelgrau bis schwarz; durchgehend rotbrauner Kern. Bsp. ÇuHö 09/541/1							



WG	Härte	Bruch	Porosität	OF	Farbe OF innen	Farbe OF außen	Farbe Bruch
56	sehr hart	leicht schiefrig	mittelporig	MG	2.5YR2.5/1–5YR2.5/1	7.5YR3/2–7.5Y–R4/4	5YR4/4–7.5YR3/1
Bemerkungen: MK; OF braun bis grau, Glättspuren sichtbar; brauner bis grauer Kern. Bsp. ÇuHö 09/1054/1/1							



WG	Härte	Bruch	Porosität	OF	Farbe OF innen	Farbe OF außen	Farbe Bruch
57	hart	etwa glatt bis leicht schiefrig	fein-mittel	GG	7.5YR2.5/1	10YR3/1–2.5Y3/1	7.5YR4/6–7.5YR4/4
Bemerkungen: FK–MK; OF rau, eben, glänzend (glimmerhältig), grau bis dunkelgrau; brauner Kern. Bsp. ÇuHö 09/1054/1							



WG	Härte	Bruch	Porosität	OF	Farbe OF innen	Farbe OF außen	Farbe Bruch
58	hart	leicht schiefrig	mittel-grob	MG	2.5YR4/6–5YR4/6	5YR3/3	2.5YR4/8
Bemerkungen: GK; OF eben, leicht glänzend, rötliches dunkelbraun; durchgehend roter Kern (in der Magerung wie WG 30)							



WG	Härte	Bruch	Porosität	OF	Farbe OF innen	Farbe OF außen	Farbe Bruch Rand	Farbe Bruch Kern
59	hart	leicht schiefrig	mittelporig	FG	10YR5/3–5/4	5YR4/4–2.5YR4/6	außen: 10YR5/2	2.5Y4/8
Bemerkungen: MK; OF glatt, leicht glänzend, rotbraun bis braun; roter Kern. Bsp. ÇuHö 09/549/1/5								



WG	Härte	Bruch	Porosität	OF	Farbe OF innen	Farbe OF außen	Farbe Bruch
60	sehr hart	schiefrig	mittel-grob	GGUS	5YR4/3–7.5YR4/3	5YR4/3–7.5YR4/3	7.5YR3/2
Bemerkungen: GK; OF rau, matt, braun; durchgehend brauner Kern. Bsp. ÇuHö 08/575/1							



WG	Härte	Bruch	Porosität	OF	Farbe OF innen	Farbe OF außen	Farbe Bruch
61	hart	leicht schiefrig	feinporig	MG	GLEY 1 2.5/N	GLEY 1 2.5/N	7.5YR2.5/1
Bemerkungen: MK; OF glatt, schwach glänzend, dunkelgrau; durchgehend dunkelgrauer Kern. Bsp. ÇuHö 08/541/1							



WG	Härte	Bruch	Porosität	OF	Farbe OF innen	Farbe OF außen	Farbe Bruch Rand	Farbe Bruch Kern
76	hart	körnig	mittelporig	MG	2.5YR6/6–8	2.5YR5/6	2.5YR5/8	5YR5/6
Bemerkungen: MK; OF, glatt, matt, rot; dünner, brauner Kern. Bsp. ÇuHö 08/575/1								



WG	Härte	Bruch	Porosität	OF	Farbe OF innen	Farbe OF außen	Farbe Bruch
77	hart	körnig	mittel-grob	GGUS	10YR3/1	10YR5/4–6/4	10YR2/1–2.5Y4/1
Bemerkungen: GK; OF rau, uneben (Körner spürbar), braun bis grau; durchgehend grauer Kern. Bsp. ÇuHö 08/575/1							



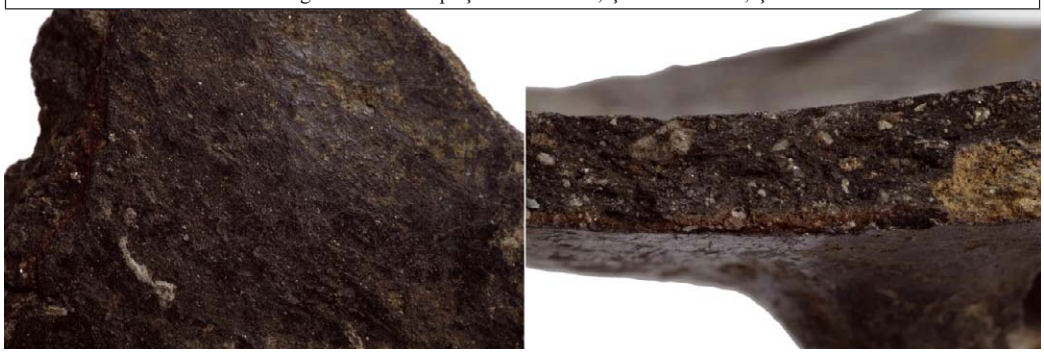
WG	Härte	Bruch	Porosität	OF	Farbe OF innen	Farbe OF außen	Farbe Bruch Rand	Farbe Bruch Kern
78	hart	leicht schiefrig	mittel-grob	GGUS	5YR5/4–7.5YR5/4	7.5YR 5/4	5YR5/8–7.5YR5/6	7.5YR 2.5/1
Bemerkungen: MK; OF rau, braun, Abdrücke von Pflanzenresten; breiter, grauer Kern. Bsp. ÇuHö 08/606/1								



WG	Härte	Bruch	Porosität	OF	Farbe OF innen	Farbe OF außen	Farbe Bruch Rand	Farbe Bruch Kern
79	hart	etwa glatt bis leicht schiefrig	feinporig	SFGP	10YR5/3–4	10YR5/3–4	7.5YR4/4	7.5YR2.5/1
Bemerkungen: FK–MK; OF dicht, glänzend, leicht uneben (Überzug?), braun; breiter, grauer Kern. Bsp. ÇuHö 08/575/1								



WG	Härte	Bruch	Porosität	OF	Farbe OF innen	Farbe OF außen	Farbe Bruch
80	hart	körnig	mittel-grob	FGUP	7.5YR3/1–2.5/1–10YR2/1	7.5YR3/1–2.5/1–10YR2/1	7.5YR2.5/1–10YR3/1
Bemerkungen: GK; OF mit dunkelgrauem bis schwarzem Überzug, leicht uneben, glänzend, Glättspuren sichtbar; brauner bis dunkelgrauer Kern. Bsp. ÇuHö 08/636/1, ÇuHö 08/595/1, ÇuHö 08/595/1/3							



WG	Härte	Bruch	Porosität	OF	Farbe OF innen	Farbe OF außen	Farbe Bruch Rand	Farbe Bruch Kern
82	hart	leicht schiefrig	feinporig	MG	5YR4/6–8	7.5YR4/3	2.5YR4/8	7.5YR4/1–10YR5/3
Bemerkungen: FK; OF eben, matt, braun bis rotbraun, Bruch uneinheitlich: von durchgehend rotbraun bis grau mit roten Rändern; grauer Kern (in der Magerung wie WG 22). Bsp. ÇuHö 08/636/1								



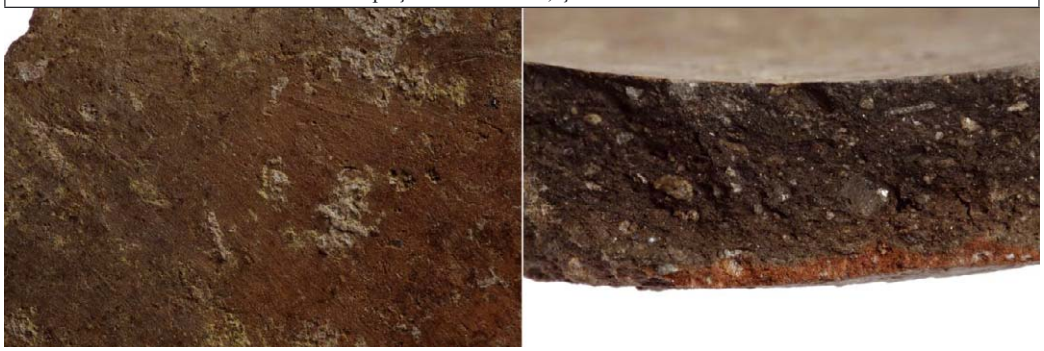
WG	Härte	Bruch	Porosität	OF	Farbe OF innen	Farbe OF außen	Farbe Bruch
83	hart	etwa glatt bis leicht schiefrig	feinporig	FG	10YR3/1	10YR3/1	2.5YR3/4–5YR3/3
Bemerkungen: FK; OF glänzend, glatt, Glättspuren sichtbar, dunkelbraun bis dunkelgrau; roter bis dunkelgrauer Kern. Bsp. ÇuHö 08/595/1, ÇuHö 08/673/1; abgerieben, deshalb auch ÇuHö 08/594/1/2							



WG	Härte	Bruch	Porosität	OF	Farbe OF innen	Farbe OF außen	Farbe Bruch
84	hart	körnig	feinporig	FG	7.5YR2.5/1–10YR3/1	7.5YR2.5/1–10YR3/1	7.5YR4/1–4/3
Bemerkungen: FK–MK; OF glatt, eben, leicht glänzend, dunkelbraun bis dunkelgrau; brauner bis grauer Kern. Bsp. ÇuHö 08/595/1							



WG	Härte	Bruch	Porosität	OF	Farbe OF innen	Farbe OF außen	Farbe Bruch
85	hart	schiefrig	mittelporig	MG	7.5YR5/3–4	7.5YR5/3–4, 2.5YR4/6–8	10YR4/2–3/2–3
Bemerkungen: MK; OF matt, leicht uneben, Glättspuren sichtbar, rötlich bis braun; durchgehend brauner Kern. Bsp. ÇuHö 08/609/1/5, ÇuHö 08/636/1							



WG	Härte	Bruch	Porosität	OF	Farbe OF innen	Farbe OF außen	Farbe Bruch Rand	Farbe Bruch Kern
86	hart	leicht schiefrig	mittelporig	GG	7.5YR5/3–4	7.5YR5/3–4	2.5YR4/8	5YR4/4–6–7.5YR4/4–6
Bemerkungen: MK; OF leicht uneben, stumpf, braun; brauner Kern (in der Magerung wie WG 22 bzw. WG 32). Bsp. ÇuHö 08/595/1, ÇuHö 08/636/1								



WG	Härte	Bruch	Porosität	OF	Farbe OF innen	Farbe OF außen	Farbe Bruch
87	hart	etwa glatt bis leicht schiefrig	feinporig	FG	5YR3/1–2.5/1	5YR3/1–2.5/1	5YR2.5/1–7.5YR3/1–2.5/1
Bemerkungen: FK; OF glatt, eben, leicht glänzend, braun bis dunkelgrau; rotbrauner bis dunkelgrauer Kern. Bsp. ÇuHö 08/595/1, ÇuHö 08/636/1							



WG	Härte	Bruch	Porosität	OF	Farbe OF innen	Farbe OF außen	Farbe Bruch
110	hart	etwa glatt	feinporig	GG	7.5YR 6/4	10R 5/8	GLEY 1 5/N
Bemerkungen: FK; OF grob geglättet (Magerung fühlbar), Bruch grau mit feinen schwarzen, gelben und weißen Einschlüssen, OF innen und außen beige bis roter Überzug, seifig; grauer Kern. Bsp. ÇuHö 07/368/1/707							



WG	Härte	Bruch	Porosität	OF	Farbe OF innen	Farbe OF außen	Farbe Bruch
111	hart	etwa glatt bis leicht schiefrig	feinporig	MG	10R4/6-8-2.5YR4/6	10R4/6-8-2.5YR4/6	2.5YR3/3-4
Bemerkungen: FK; OF eben, schwach glänzend, Glimmer an OF klar sichtbar, rot bis rotbraun; hellergrauer bis dunkelgrauer Kern. Bsp. ÇuHö 5001/1/4 (Kykladenpfanne)							



IX.3. Keramik

ÇuHö VII

Grabenverfüllung A

SE 1254

Töpfe

Kat.-Nr. 1 Taf. 1.1
Fundnr.: 11/1254/1/2
Form: Topf
Typ: steil konkave Wandung
Variante: regelmäßig gerundete Lippe
Typenbezeichnung: T2A
Erhaltungszustand: stellenweise versintert
Fabrikat: 17
Maße (cm):
Wandstärke: 0,8
Dm. (Rand): 23
Dm. (Rand, erhalten in %): 9–10

Engmundige Gefäße

Kat.-Nr. 2
Fundnr.: 11/1254/1/1
Form: Engmundig
Typ: Hals konisch einziehend
Variante: ausbiegender Rand
Typenbezeichnung: E1S
Erhaltungszustand: abgerieben, sekundär verbrannt
Fabrikat: 17
Maße (cm):
Wandstärke: 0,6
Dm. (Rand): 14
Dm. (Rand, erhalten in %): 14

Kat.-Nr. 3
Fundnr.: 11/1254/1/3
Form: Engmundig
Typ: Hals steil konkav
Variante: regelmäßig gerundete Lippe
Typenbezeichnung: E2A
Erhaltungszustand: versintert
Fabrikat: 39
Beschreibung: Dm. Rand nicht ermittelbar
Maße (cm):
Wandstärke: 0,6

Kat.-Nr. 4
Fundnr.: 11/1254/1/11
Form: Engmundig
Typ: Hals steil konkav
Variante: regelmäßig gerundete Lippe
Typenbezeichnung: E2A
Erhaltungszustand: abgerieben, stellenweise schwach versintert
Fabrikat: 36
Beschreibung: Dm. Rand nicht ermittelbar
Maße (cm):
Wandstärke: 0,4

Charakteristische Wandfragmente

Kat.-Nr. 5 Taf. 1.5
Fundnr.: 11/1254/1/9
Form: charakteristisches Wandfragment
Typ: bemalt
Typenbezeichnung: WS1
Erhaltungszustand: abgerieben
Fabrikat: 103
Beschreibung: Weißbemalung (Linienbündel) deckend grau erhalten (10YR6/2–3)
Maße (cm):
Wandstärke: 0,65

Kat.-Nr. 6 Taf. 1.6
Fundnr.: 11/1254/1/10
Form: charakteristisches Wandfragment
Typ: bemalt
Typenbezeichnung: WS1
Erhaltungszustand: abgerieben
Fabrikat: 37
Beschreibung: Weißbemalung (Linienbündel) deckend hellgrau erhalten (10YR6/1–2)
Maße (cm):
Wandstärke: 0,7

SE 1335

Schalen

Kat.-Nr. 7 Taf. 1.7
Fundnr.: 11/1335/1/1
Form: Schale
Typ: weitmundig
Variante: schräg nach innen abgestrichene und verdickte Lippe
Typenbezeichnung: S4K
Erhaltungszustand: stark abgerieben
Fabrikat: 29
Beschreibung: innen verdickter Rand abgeplatzt; nachträglicher Aufsatz des Randes bei der Herstellung deutlich erkennbar; Dm. Rand nicht ermittelbar
Maße (cm):
Wandstärke: 0,6

Engmundige Gefäße

Kat.-Nr. 8
Fundnr.: 11/1335/1/2
Form: Engmundig
Typ: Hals steil konkav
Variante: spitz ausgezogene Lippe
Typenbezeichnung: E2B
Erhaltungszustand: abgerieben

Fabrikat: 36
Maße (cm):
Wandstärke: 0,5
Dm. (Rand): 16
Dm. (Rand, erhalten in %): 6

Böden

Kat.-Nr. 9
Fundnr.: 11/1335/1/5
Form: Boden
Typ: Scheibenbasis
Variante: eingewölbte Standfläche
Typenbezeichnung: B2A
Erhaltungszustand: versintert
Fabrikat: 36
Maße (cm):
Wandstärke: 0,4
Dm. (Boden): 8
Dm. (Boden, erhalten in %): 15

Schnurösen

Kat.-Nr. 10 Taf. 1.10
Fundnr.: 11/1335/1/4
Form: Schnuröse
Typ: walzenförmig
Variante: eingesattelt
Typenbezeichnung: Ö1Cb
Erhaltungszustand: versintert
Fabrikat: 33
Beschreibung: Öse auf Wand aufgesetzt, Aufsatz deutlich erkennbar; Durchlochung oval
Maße (cm):
Höhe: 1,1
Länge: 3,1
Breite: 2
Wandstärke: 0,45
Dm. (Durchlochung): 0,4–0,6

Füße

Kat.-Nr. 11 Taf. 1.11
Fundnr.: 11/1335/1/6
Form: Fuß
Typ: trapezförmig
Variante: gerundete Basis
Typenbezeichnung: F4B
Erhaltungszustand: versintert, sekundär verbrannt
Fabrikat: 23
Maße (cm):
Länge: 5,35
Breite: 5,1

SE 1340

Engmundige Gefäße

Kat.-Nr. 12
Fundnr.: 11/1340/1/3
Form: Engmundig
Typ: Hals steil konkav
Variante: horizontal abgestrichene Lippe
Typenbezeichnung: E2D
Erhaltungszustand: versintert
Fabrikat: nicht bestimmbar
Beschreibung: FK, Magerung und Bruch ähnlich wie WG 24 oder 36
Maße (cm):
Wandstärke: 0,6
Dm. (Rand): 14
Dm. (Rand, erhalten in %): 6,5

Kat.-Nr. 13
Fundnr.: 11/1340/1/4
Form: Engmundig
Typ: Hals steil konkav
Variante: außen abgestrichene Lippe
Typenbezeichnung: E2I
Erhaltungszustand: abgerieben
Fabrikat: 36
Beschreibung: Dm. Rand nicht ermittelbar
Maße (cm):
Wandstärke: 0,6

SE 1351

Engmundige Gefäße

Kat.-Nr. 14
Fundnr.: 11/1351/1/13
Form: Engmundig
Typ: Hals steil konkav
Variante: regelmäßig gerundete Lippe
Typenbezeichnung: E2A
Erhaltungszustand: abgerieben
Fabrikat: 36
Maße (cm):
Wandstärke: 0,6
Dm. (Rand): 18
Dm. (Rand, erhalten in %): 6,5

Kat.-Nr. 15
Fundnr.: 11/1351/1/28
Form: Engmundig
Typ: Hals steil konkav
Variante: regelmäßig gerundete Lippe
Typenbezeichnung: E2A
Erhaltungszustand: abgerieben
Fabrikat: 36
Beschreibung: leicht oval
Maße (cm):
Wandstärke: 0,65
Dm. (Rand): ca. 14
Dm. (Rand, erhalten in %): 8

Kat.-Nr. 16
Fundnr.: 11/1351/1/38
Form: Engmundig
Typ: Hals steil konkav
Variante: leicht verdickte Lippe
Typenbezeichnung: E2C
Erhaltungszustand: abgerieben, schwach versintert
Fabrikat: 36

Beschreibung: Dm. Rand nicht ermittelbar
Maße (cm):
Wandstärke: 0,65

Kat.-Nr. 17
Fundnr.: 11/1351/1/41
Form: Engmundig
Typ: Hals steil konkav
Variante: leicht verdickte Lippe
Typenbezeichnung: E2C
Erhaltungszustand: abgerieben
Fabrikat: 38
Maße (cm):
Wandstärke: 0,6
Dm. (Rand): 12
Dm. (Rand, erhalten in %): 7

Kat.-Nr. 18
Fundnr.: 11/1351/1/47
Form: Engmundig
Typ: Hals konisch einziehend
Variante: leicht verdickte Lippe
Typenbezeichnung: E1C
Erhaltungszustand: abgerieben
Fabrikat: 48
Maße (cm):
Wandstärke: 0,6
Dm. (Rand): 14
Dm. (Rand, erhalten in %): 11

Kat.-Nr. 19
Fundnr.: 11/1351/1/48
Form: Engmundig
Typ: Hals konisch einziehend
Variante: regelmäßig gerundete Lippe
Typenbezeichnung: E1A
Erhaltungszustand: abgerieben
Fabrikat: 36
Beschreibung: Dm. Rand < 5 %, daher unsicher
Maße (cm):
Wandstärke: 0,6
Dm. (Rand): 24
Dm. (Rand, erhalten in %): 4,3

Kat.-Nr. 20
Fundnr.: 11/1351/1/60
Form: Engmundig
Typ: Hals konisch einziehend
Variante: regelmäßig gerundete Lippe
Typenbezeichnung: E1A
Erhaltungszustand: versintert
Fabrikat: 24
Beschreibung: Dm. Rand nicht ermittelbar
Maße (cm):
Wandstärke: 0,3

Kat.-Nr. 21
Fundnr.: 11/1351/1/61
Form: Engmundig
Typ: Hals steil konkav
Variante: innen abgestrichene Lippe
Typenbezeichnung: E2N
Erhaltungszustand: abgerieben
Fabrikat: 36
Beschreibung: Dm. Rand nicht ermittelbar
Maße (cm):
Wandstärke: 0,65

Böden

Kat.-Nr. 22
Fundnr.: 11/1351/1/27
Form: Boden
Typ: Flachboden
Variante: abgerundeter Übergang zur Basis
Typenbezeichnung: B1A
Erhaltungszustand: versintert
Fabrikat: 36
Beschreibung: Standfläche nur mehr partiell erhalten
Maße (cm):
Wandstärke: 0,75
Dm. (Boden): 12
Dm. (Boden, erhalten in %): 22

Horizontalhenkel

Kat.-Nr. 23 Taf. 1.23
Fundnr.: 11/1351/1/11
Form: Horizontalhenkel
Typ: ovaler Querschnitt
Variante: unverziert
Typenbezeichnung: H5A
Erhaltungszustand: abgerieben, sekundär verbrannt
Fabrikat: 100
Maße (cm):
Höhe: 3,7
Länge: 7,3
Breite: 2,6
Wandstärke: 0,6

Vertikalhenkel

Kat.-Nr. 24
Fundnr.: 11/1351/1/35
Form: Vertikalhenkel
Typ: ovaler Querschnitt
Variante: unverziert
Typenbezeichnung: H1A
Handhabe/Verzierung: WS4
Erhaltungszustand: abgerieben
Fabrikat: 20
Maße (cm):
Höhe: 1,4
Länge: erh. 3,9
Breite: 2,7
Wandstärke: 1,1

Kat.-Nr. 25
Fundnr.: 11/1351/1/37
Form: Vertikalhenkel
Typ: ovaler Querschnitt
Variante: unverziert
Typenbezeichnung: H1A
Erhaltungszustand: versintert

Fabrikat: 20
Maße (cm):
Höhe: 1,4
Länge: erh. 5,4
Breite: 2,2

Kat.-Nr. 26
Fundnr.: 11/1351/1/66
Form: Vertikalhenkel
Typ: Bandhenkel
Variante: unverziert
Typenbezeichnung: H3A
Erhaltungszustand: abgerieben
Fabrikat: 38
Maße (cm):
Höhe: 1,4
Länge: erh. 7,1
Breite: 3,6

Füße

Kat.-Nr. 27 Taf. 2.27
Fundnr.: 11/1351/1/30
Form: Fuß
Typ: gerade Standfläche
Variante: mit rundem Übergang
Typenbezeichnung: F1B
Erhaltungszustand: abgerieben, schwach versintert und sekundär verbrannt
Fabrikat: nicht bestimmbar
Beschreibung: verbrannt, MK-GK, Bruch und Magerung wie WG 44, 58, 30; verbreitert sich zur Standfläche hin leicht
Maße (cm):
Höhe: 1,4
Länge: erh. 4,4
Breite: 3,6

Charakteristische Wandfragmente

Kat.-Nr. 28 Taf. 2.28
Fundnr.: 11/1351/1/12
Form: charakteristisches Wandfragment
Typ: durchlocht/durchbohrt
Typenbezeichnung: WS3
Erhaltungszustand: abgerieben
Fabrikat: 16
Maße (cm):
Wandstärke: 1,8
Dm. (Durchlochung): 0,7

Kat.-Nr. 29 Taf. 2.29
Fundnr.: 11/1351/1/45
Form: charakteristisches Wandfragment
Typ: impressoverziert
Variante: Fingereindrücke
Typenbezeichnung: WS2A
Erhaltungszustand: abgerieben
Fabrikat: 26
Maße (cm):
Wandstärke: 0,6
Länge (Fingernägeleindrücke): bis 0,8

Kat.-Nr. 30 Taf. 2.30
Fundnr.: 11/1351/1/46
Form: charakteristisches Wandfragment
Typ: impressoverziert
Variante: Fingereindrücke
Typenbezeichnung: WS2A
Erhaltungszustand: abgerieben
Fabrikat: 26
Maße (cm):
Wandstärke: 0,65
Länge (Fingernägeleindrücke): bis 1,5

Kat.-Nr. 31 Taf. 2.31
Fundnr.: 11/1351/1/57
Form: charakteristisches Wandfragment
Typ: impressoverziert
Variante: Ritzung
Typenbezeichnung: WS2E
Erhaltungszustand: abgerieben
Fabrikat: 39
Maße (cm):
Wandstärke: 0,55
Länge (Ritzungen): bis 1,2

SE 1735

Schalen

Kat.-Nr. 32
Fundnr.: 12/1735/1/2
Form: Schale
Typ: weitmundig
Variante: leicht verdickte Lippe
Typenbezeichnung: S4C
Erhaltungszustand: abgerieben
Fabrikat: 36
Maße (cm):
Wandstärke: 0,6
Dm. (Rand): 22
Dm. (Rand, erhalten in %): 7

Kat.-Nr. 33
Fundnr.: 12/1735/1/18
Form: Schale
Typ: weitmundig
Variante: spitz ausgezogene Lippe
Typenbezeichnung: S4B
Erhaltungszustand: abgerieben
Fabrikat: 18
Maße (cm):
Wandstärke: 0,7
Dm. (Rand): 19
Dm. (Rand, erhalten in %): 6,3

Engmundige Gefäße

Kat.-Nr. 34
Fundnr.: 12/1735/1/3
Form: Engmundig
Typ: Hals steil konkav
Variante: regelmäßig gerundete Lippe
Typenbezeichnung: E2A

Erhaltungszustand: abgerieben
Fabrikat: 36
Maße (cm):
Wandstärke: 0,5
Dm. (Rand): 22
Dm. (Rand, erhalten in %): 5

Kat.-Nr. 35
Fundnr.: 12/1735/1/4
Form: Engmundig
Typ: Hals konisch einziehend
Variante: regelmäßig gerundete Lippe
Typenbezeichnung: E1A
Erhaltungszustand: abgerieben
Fabrikat: 36
Beschreibung: Dm. Rand < 5 %, daher unsicher
Maße (cm):
Wandstärke: 0,6
Dm. (Rand): 30
Dm. (Rand, erhalten in %): 2,2

Kat.-Nr. 36
Fundnr.: 12/1735/1/26
Form: Engmundig
Typ: Hals steil konkav
Variante: regelmäßig gerundete Lippe
Typenbezeichnung: E2A
Erhaltungszustand: abgerieben
Fabrikat: 24
Maße (cm):
Wandstärke: 0,55
Dm. (Rand): 16
Dm. (Rand, erhalten in %): 7

Kat.-Nr. 37
Fundnr.: 12/1735/1/28
Form: Engmundig
Typ: Hals steil konkav
Variante: leicht verdickte Lippe
Typenbezeichnung: E2C
Erhaltungszustand: abgerieben
Fabrikat: 23
Beschreibung: Dm. Rand nicht ermittelbar
Maße (cm):
Wandstärke: 0,6

Vertikalhenkel

Kat.-Nr. 38
Fundnr.: 12/1735/1/12
Form: Vertikalhenkel
Typ: ovaler Querschnitt
Variante: unverziert
Typenbezeichnung: H1A
Erhaltungszustand: abgerieben
Fabrikat: 38
Beschreibung: Oberfläche kaum erhalten
Maße (cm):
Höhe: 1,7
Länge: erh. 5,1
Breite: 2

Kat.-Nr. 39
Fundnr.: 12/1735/1/22
Form: Vertikalhenkel
Typ: ovaler Querschnitt
Variante: unverziert
Typenbezeichnung: H1A
Erhaltungszustand: abgerieben
Fabrikat: 16
Maße (cm):
Höhe: 2,5
Länge: 5,9
Breite: 4
Wandstärke: 1

Grabenverfüllung B

SE 4553

Schalen

Kat.-Nr. 40
Fundnr.: 13/4553/1/5
Form: Schale
Typ: kalottenförmig
Variante: horizontal abgestrichene Lippe
Typenbezeichnung: S1D
Erhaltungszustand: abgerieben
Fabrikat: 36
Maße (cm):
Wandstärke: 0,5
Dm. (Rand): 10
Dm. (Rand, erhalten in %): 10

Kat.-Nr. 41
Fundnr.: 13/4553/1/9
Form: Schale
Typ: kalottenförmig
Variante: regelmäßig gerundete Lippe
Typenbezeichnung: S1A
Erhaltungszustand: stark abgerieben
Fabrikat: 100
Beschreibung: Dm. Rand nicht ermittelbar
Maße (cm):
Wandstärke: 0,7

Töpfe

Kat.-Nr. 42 Taf. 2.42
Fundnr.: 13/4553/1/12
Form: Topf
Typ: steil konkave Wandung
Variante: regelmäßig gerundete Lippe
Typenbezeichnung: T2A
Erhaltungszustand: abgerieben
Fabrikat: 15
Maße (cm):
Wandstärke: 1
Dm. (Rand): 34
Dm. (Rand, erhalten in %): 11

Kat.-Nr. 43
Fundnr.: 13/4553/1/27
Form: Topf
Typ: steil konkave Wandung
Variante: regelmäßig gerundete Lippe
Typenbezeichnung: T2A
Erhaltungszustand: versintert
Fabrikat: 28
Maße (cm):
Wandstärke: 0,7
Dm. (Rand): 22
Dm. (Rand, erhalten in %): 6

Engmundige Gefäße

Kat.-Nr. 44
Fundnr.: 13/4553/1/18
Form: Engmundig
Typ: Hals konisch einziehend
Variante: leicht verdickte Lippe
Typenbezeichnung: E1C
Erhaltungszustand: abgerieben
Fabrikat: 36
Maße (cm):
Wandstärke: 0,5
Dm. (Rand): 14
Dm. (Rand, erhalten in %): 7

Kat.-Nr. 45
Fundnr.: 13/4553/1/28
Form: Engmundig
Typ: Hals steil konkav
Variante: regelmäßig gerundete Lippe
Typenbezeichnung: E2A
Erhaltungszustand: abgerieben
Fabrikat: 24
Maße (cm):
Wandstärke: 0,4
Dm. (Rand): 16
Dm. (Rand, erhalten in %): 7

Kat.-Nr. 46
Fundnr.: 13/4553/1/29
Form: Engmundig
Typ: Hals steil konkav
Variante: regelmäßig gerundete Lippe
Typenbezeichnung: E2A
Erhaltungszustand: abgerieben
Fabrikat: 36
Maße (cm):
Wandstärke: 0,7
Dm. (Rand): 12
Dm. (Rand, erhalten in %): 7

Kat.-Nr. 47
Fundnr.: 13/4553/1/31
Form: Engmundig
Typ: Hals konisch einziehend
Variante: leicht verdickte Lippe
Typenbezeichnung: E1C
Erhaltungszustand: abgerieben, sekundär verbrannt
Fabrikat: 36
Maße (cm):
Wandstärke: 0,35
Dm. (Rand): 16
Dm. (Rand, erhalten in %): 6

Halsgefäße

Kat.-Nr. 48
Fundnr.: 13/4553/1/11
Form: Halsgefäß
Typ: geschwungene Wandung
Variante: regelmäßig gerundete Lippe
Typenbezeichnung: Hg2A
Erhaltungszustand: stark abgerieben
Fabrikat: 100
Maße (cm):
Wandstärke: 0,7
Dm. (Rand): 14
Dm. (Rand, erhalten in %): 7

Böden

Kat.-Nr. 49 Taf. 2.49
Fundnr.: 13/4553/1/22
Form: Boden
Typ: Scheibenbasis
Variante: gerade Standfläche
Typenbezeichnung: B2B
Erhaltungszustand: abgerieben
Fabrikat: 17
Maße (cm):
Wandstärke: 0,7
Dm. (Boden): 16
Dm. (Boden, erhalten in %): 16

Kat.-Nr. 50
Fundnr.: 13/4553/1/23
Form: Boden
Typ: Flachboden
Variante: abgerundeter Übergang zur Basis
Typenbezeichnung: B1A
Erhaltungszustand: abgerieben
Fabrikat: 18
Maße (cm):
Wandstärke: 0,7
Dm. (Boden): 18
Dm. (Boden, erhalten in %): 9

Kat.-Nr. 51
Fundnr.: 13/4553/1/32
Form: Boden
Typ: Scheibenbasis
Variante: gerade Standfläche
Typenbezeichnung: B2B
Erhaltungszustand: abgerieben
Fabrikat: 18
Maße (cm):
Wandstärke: 0,5
Dm. (Boden): 6
Dm. (Boden, erhalten in %): 13

Vertikalhenkel

Kat.-Nr. 52
Fundnr.: 13/4553/1/15
Form: Vertikalhenkel
Typ: ovaler Querschnitt
Variante: unverziert
Typenbezeichnung: H1A
Erhaltungszustand: abgerieben
Fabrikat: 15
Maße (cm):
Höhe: 2,55
Breite: 4,1

Schnurösen

Kat.-Nr. 53 Taf. 2.53
Fundnr.: 13/4553/1/19
Form: Schnuröse
Typ: walzenförmig
Variante: eingesattelt
Typenbezeichnung: Ö1Cb
Erhaltungszustand: abgerieben
Fabrikat: 100
Maße (cm):
Höhe: 2,1
Länge: 4,4
Breite: 2,75
Wandstärke: 0,5
Dm. (Durchlochung): 0,9–1

Griffknubben

Kat.-Nr. 54 Taf. 2.54
Fundnr.: 13/4553/1/7
Form: Griffknubbe
Typ: gerade
Variante: kurz
Typenbezeichnung: G4k
Erhaltungszustand: abgerieben
Fabrikat: 36
Maße (cm):
Höhe: 2
Länge: 2,2
Breite: 3,9
Wandstärke: 0,4
Dm. (Durchlochung): 0,8

Füße

Kat.-Nr. 55 Taf. 2.55
Fundnr.: 13/4553/1/2
Form: Fuß
Typ: trapezförmig
Variante: flache Basis
Typenbezeichnung: F4A
Erhaltungszustand: abgerieben
Fabrikat: 18
Beschreibung: nur leicht ausgezipfelt bzw. trapezförmig
Maße (cm):
Höhe: 1,2
Breite: 2,9–3,35

Planierung ÇuHö VIb/VII

Grabenverfüllung C

SE 1206

Böden

Kat.-Nr. 56
Fundnr.: 11/1206/1/1
Form: Boden
Typ: Scheibenbasis
Variante: flache Standfläche
Typenbezeichnung: B2B
Erhaltungszustand: abgerieben
Fabrikat: 38
Maße (cm):
Wandstärke: 0,9
Dm. (Boden): 10
Dm. (Boden, erhalten in %): 7

Randfragmente

Kat.-Nr. 57
Fundnr.: 11/1206/1/7
Form: Randfragment
Typ: unbestimmbar
Variante: innen abgestrichene Lippe
Typenbezeichnung: R0N
Erhaltungszustand: versintert
Fabrikat: 100
Beschreibung: FK, kaum Magerungsbestandteile, nur selten feiner Silberglimmer; Poren selten, gerundet und fein; Dm. Rand nicht ermittelbar
Maße (cm):
Wandstärke: 0,35

SE 1215

Engmundige Gefäße

Kat.-Nr. 58
Fundnr.: 11/1215/1/4
Form: Engmundig
Typ: Hals steil konkav
Variante: horizontal abgestrichene Lippe
Typenbezeichnung: E2D
Erhaltungszustand: abgerieben
Fabrikat: 56
Beschreibung: Dm. Rand nicht ermittelbar
Maße (cm):
Wandstärke: 0,8

Kat.-Nr. 59
Fundnr.: 11/1215/1/5
Form: Engmundig
Typ: Hals steil konkav
Variante: regelmäßig gerundete Lippe
Typenbezeichnung: E2A
Erhaltungszustand: abgerieben
Fabrikat: 36

Beschreibung: Dm. Rand nicht ermittelbar
Maße (cm):
Wandstärke: 0,5

Böden

Kat.-Nr. 60
Fundnr.: 11/1215/1/17
Form: Boden
Typ: Scheibenbasis
Variante: eingewölbte Standfläche
Typenbezeichnung: B2A
Erhaltungszustand: versintert
Fabrikat: 36
Maße (cm):
Wandstärke: 0,75
Dm. (Boden): 5,4
Dm. (Boden, erhalten in %): 16

Griffknubben

Kat.-Nr. 61
Fundnr.: 11/1215/1/18
Form: Griffknubbe
Typ: hochgezogen
Typenbezeichnung: G5
Erhaltungszustand: abgerieben
Fabrikat: 31
Maße (cm):
Höhe: erh. 1,9
Länge: erh. 2,3
Breite: 2,6
Wandstärke: 0,5
Dm. (Durchlochung): 0,8

Randfragmente

Kat.-Nr. 62
Fundnr.: 11/1215/1/13
Form: Randfragment
Typ: unbestimmbar
Variante: regelmäßig gerundete Lippe
Typenbezeichnung: R0A
Erhaltungszustand: abgerieben
Fabrikat: 100
Maße (cm):
Wandstärke: 0,45
Dm. (Rand): 12
Dm. (Rand, erhalten in %): 7

Kat.-Nr. 63
Fundnr.: 11/1215/1/19
Form: Randfragment
Typ: unbestimmbar
Variante: regelmäßig gerundete Lippe
Typenbezeichnung: R0A
Erhaltungszustand: abgerieben
Fabrikat: 17
Beschreibung: Dm. Rand nicht ermittelbar
Maße (cm):
Wandstärke: 0,55

SE 1218

Schalen

Kat.-Nr. 64 Taf. 2.64
Fundnr.: 11/1218/1/1
Form: Schale
Typ: weitmundig
Variante: gerollter Rand
Typenbezeichnung: S4Q
Erhaltungszustand: abgerieben
Fabrikat: 29
Maße (cm):
Wandstärke: 0,7
Dm. (Rand): 42
Dm. (Rand, erhalten in %): 7,5

Randfragmente

Kat.-Nr. 65
Fundnr.: 11/1218/1/2
Form: Randfragment
Typ: unbestimmbar
Variante: regelmäßig gerundete Lippe
Typenbezeichnung: R0A
Erhaltungszustand: versintert
Fabrikat: 82
Maße (cm):
Dm. (Rand): 14–15
Dm. (Rand, erhalten in %): 8

SE 1258

Halsgefäße

Kat.-Nr. 66 Taf. 3.66
Fundnr.: 11/1258/1/2
Form: Halsgefäß
Typ: geschwungene Wandung
Variante: regelmäßig gerundete Lippe
Typenbezeichnung: Hg2A
Handhabe/Verzierung: unterrandständiger H2A
Erhaltungszustand: abgerieben, stellenweise schwach versintert
Fabrikat: 20
Maße (cm):
Wandstärke: 0,6
Dm. (Rand): 10
Dm. (Rand, erhalten in %): 14

Cheese pots

Kat.-Nr. 67
Fundnr.: 11/1258/1/1
Form: Cheese pot
Typ: unbestimmbar
Variante: regelmäßig gerundete Lippe
Typenbezeichnung: Chb0A
Erhaltungszustand: versintert
Fabrikat: 32
Beschreibung: eine Durchlochung, ca. zur Hälfte im Bruch erhalten

Maße (cm):
Wandstärke: 1,45
Dm. (Rand): ca. 20
Dm. (Durchlochung): 0,7

SE 1283

Füße

Kat.-Nr. 68 Taf. 3.68
Fundnr.: 11/1283/1/1
Form: Fuß
Typ: trapezförmig
Variante: flache Basis
Typenbezeichnung: F4A
Erhaltungszustand: versintert
Fabrikat: 38
Maße (cm):
Höhe: 2
Länge: ca. 5,9
Breite: 4,7–6,6
Wandstärke: 0,8

SE 1288

Böden

Kat.-Nr. 69
Fundnr.: 11/1288/1/7
Form: Boden
Typ: Scheibenbasis
Variante: gerade Standfläche
Typenbezeichnung: B2B
Erhaltungszustand: versintert
Fabrikat: 54
Maße (cm):
Wandstärke: 0,7
Dm. (Boden): 8
Dm. (Boden, erhalten in %): 23

Vertikalhenkel

Kat.-Nr. 70
Fundnr.: 11/1288/1/3
Form: Vertikalhenkel
Typ: ovaler Querschnitt
Variante: eingesattelt
Typenbezeichnung: H1C
Erhaltungszustand: abgerieben
Fabrikat: 38
Maße (cm):
Höhe: 0,95
Länge: 2,3
Breite: 2,1

Kat.-Nr. 71
Fundnr.: 11/1288/1/4
Form: Vertikalhenkel
Typ: ovaler Querschnitt
Variante: eingesattelt
Typenbezeichnung: H1C
Erhaltungszustand: abgerieben
Fabrikat: 17
Maße (cm):
Höhe: 1,6
Länge: 3,65
Breite: 3,5

Kat.-Nr. 72
Fundnr.: 11/1288/1/8
Form: Vertikalhenkel
Typ: ovaler Querschnitt
Variante: unverziert
Typenbezeichnung: H1A
Erhaltungszustand: abgerieben, sekundär verbrannt
Fabrikat: 17
Maße (cm):
Höhe: 1,5
Länge: 3,4
Breite: 2,2

SE 1307

Schüsseln

Kat.-Nr. 73
Fundnr.: 11/1307/1/29
Form: Schüssel
Typ: steile Wandung
Variante: regelmäßig gerundete Lippe
Typenbezeichnung: Sch3A
Erhaltungszustand: abgerieben
Fabrikat: 36
Beschreibung: Dm. Rand nicht ermittelbar
Maße (cm):
Wandstärke: 0,7

Schalen

Kat.-Nr. 74
Fundnr.: 11/1307/1/13
Form: Schale
Typ: weitmundig
Variante: außen verdickte Lippe
Typenbezeichnung: S4I
Erhaltungszustand: abgerieben
Fabrikat: 37
Beschreibung: Dm. Rand nicht ermittelbar
Maße (cm):
Wandstärke: 0,7

Kat.-Nr. 75
Fundnr.: 11/1307/1/24
Form: Schale
Typ: weitmundig
Variante: spitz ausgezogene Lippe
Typenbezeichnung: S4B
Erhaltungszustand: abgerieben
Fabrikat: nicht bestimmbar
Maße (cm):
Wandstärke: 0,7
Dm. (Rand): 30
Dm. (Rand, erhalten in %): 6

Kat.-Nr. 76
Fundnr.: 11/1307/1/93
Form: Schale
Typ: weitmundig
Variante: gerollter Rand
Typenbezeichnung: S4Q
Erhaltungszustand: abgerieben
Fabrikat: 37
Beschreibung: Dm. Rand nicht ermittelbar
Maße (cm):
Wandstärke: 0,7

Töpfe

Kat.-Nr. 77 Taf. 3.77
Fundnr.: 11/1307/1/37
Form: Topf
Typ: steil konkave Wandung
Variante: regelmäßig gerundete Lippe
Typenbezeichnung: T2A
Erhaltungszustand: gut
Fabrikat: 23
Maße (cm):
Wandstärke: 0,8
Dm. (Rand): 32
Dm. (Rand, erhalten in %): 8

Engmundige Gefäße

Kat.-Nr. 78
Fundnr.: 11/1307/1/36
Form: Engmundig
Typ: Hals konisch einziehend
Variante: innen abgestrichene Lippe
Typenbezeichnung: E1N
Erhaltungszustand: abgerieben
Fabrikat: 36
Maße (cm):
Wandstärke: 0,4
Dm. (Rand): 16
Dm. (Rand, erhalten in %): 6

Kat.-Nr. 79
Fundnr.: 11/1307/1/46
Form: Engmundig
Typ: Hals steil konkav
Variante: leicht verdickte Lippe
Typenbezeichnung: E2C
Erhaltungszustand: abgerieben, stellenweise versintert
Fabrikat: 24
Maße (cm):
Wandstärke: 0,6
Dm. (Rand): 18
Dm. (Rand, erhalten in %): 5

Kat.-Nr. 80
Fundnr.: 11/1307/1/47
Form: Engmundig
Typ: Hals konisch einziehend
Variante: regelmäßig gerundete Lippe
Typenbezeichnung: E1A
Erhaltungszustand: abgerieben
Fabrikat: 36
Beschreibung: Dm. Rand nicht ermittelbar
Maße (cm):
Wandstärke: 0,7

Kat.-Nr. 81
Fundnr.: 11/1307/1/50
Form: Engmundig
Typ: Hals konisch einziehend
Variante: regelmäßig gerundete Lippe
Typenbezeichnung: E1A
Erhaltungszustand: abgerieben
Fabrikat: 20
Maße (cm):
Wandstärke: 0,55
Dm. (Rand): 12
Dm. (Rand, erhalten in %): 6

Kat.-Nr. 82
Fundnr.: 11/1307/1/51
Form: Engmundig
Typ: Hals steil konkav
Variante: horizontal abgestrichene Lippe
Typenbezeichnung: E2D
Erhaltungszustand: abgerieben, sekundär verbrannt
Fabrikat: 23
Beschreibung: Dm. Rand nicht ermittelbar
Maße (cm):
Wandstärke: 0,75

Kat.-Nr. 83
Fundnr.: 11/1307/1/60
Form: Engmundig
Typ: Hals steil konkav
Variante: leicht verdickte Lippe
Typenbezeichnung: E2C
Erhaltungszustand: abgerieben, sekundär verbrannt
Fabrikat: 36
Maße (cm):
Wandstärke: 0,5
Dm. (Rand): 20
Dm. (Rand, erhalten in %): 5

Kat.-Nr. 84
Fundnr.: 11/1307/1/61
Form: Engmundig
Typ: Hals konisch einziehend
Variante: regelmäßig gerundete Lippe
Typenbezeichnung: E1A
Erhaltungszustand: abgerieben, sekundär verbrannt
Fabrikat: nicht bestimmbar
Beschreibung: FK-MK, Magerung ähnlich WG 36
Maße (cm):
Wandstärke: 0,4
Dm. (Rand): 10
Dm. (Rand, erhalten in %): 10

Kat.-Nr. 85
Fundnr.: 11/1307/1/125
Form: Engmundig
Typ: Hals steil konkav
Variante: regelmäßig gerundete Lippe

Typenbezeichnung: E2A
Erhaltungszustand: abgerieben
Fabrikat: 22
Maße (cm):
Wandstärke: 0,65
Dm. (Rand): 12
Dm. (Rand, erhalten in %): 6

Halsgefäße

Kat.-Nr. 86
Fundnr.: 11/1307/1/26
Form: Halsgefäß
Typ: gerade Wandung
Variante: nach innen geschwollener Rand
Typenbezeichnung: Hg1F
Erhaltungszustand: abgerieben
Fabrikat: nicht bestimmbar
Maße (cm):
Wandstärke: 0,6
Dm. (Rand): 8
Dm. (Rand, erhalten in %): 9

Kat.-Nr. 87
Fundnr.: 11/1307/1/35
Form: Halsgefäß
Typ: geschwungene Wandung
Variante: regelmäßig gerundete Lippe
Typenbezeichnung: Hg2A
Erhaltungszustand: abgerieben
Fabrikat: 36
Maße (cm):
Wandstärke: 0,7
Dm. (Rand): 20
Dm. (Rand, erhalten in %): 5

Kat.-Nr. 88
Fundnr.: 11/1307/1/38
Form: Halsgefäß
Typ: geschwungene Wandung
Variante: regelmäßig gerundete Lippe
Typenbezeichnung: Hg2A
Erhaltungszustand: gut
Fabrikat: 23
Maße (cm):
Wandstärke: 0,6
Dm. (Rand): 28
Dm. (Rand, erhalten in %): 5

Kat.-Nr. 89
Fundnr.: 11/1307/1/57
Form: Halsgefäß
Typ: gerade Wandung
Variante: innen abgestrichene Lippe
Typenbezeichnung: Hg1N
Erhaltungszustand: sekundär verbrannt
Fabrikat: nicht bestimmbar
Beschreibung: Oberfläche nicht erhalten; FK-MK, Bruch und Magerung ähnlich WG 24; Dm. Rand nicht ermittelbar
Maße (cm):
Wandstärke: 0,7

Kannen

Kat.-Nr. 90
Fundnr.: 11/1307/1/52
Form: Kanne
Typ: unbestimmbar
Variante: unbestimmbar
Typenbezeichnung: Ka0
Erhaltungszustand: abgerieben
Fabrikat: 33
Beschreibung: Dm. Rand nicht ermittelbar
Maße (cm):
Wandstärke: 0,5

Kat.-Nr. 91
Fundnr.: 11/1307/1/67
Form: Kanne
Typ: unbestimmbar
Variante: unbestimmbar
Typenbezeichnung: Ka0
Erhaltungszustand: abgerieben
Fabrikat: 33
Maße (cm):
Wandstärke: 0,4
Dm. (Rand): 6,5
Dm. (Rand, erhalten in %): 6

Kat.-Nr. 92
Fundnr.: 11/1307/1/74
Form: Kanne
Typ: Schnabelkanne
Typenbezeichnung: Ka2
Handhabe/Verzierung: überrandständiger H3
Erhaltungszustand: abgerieben
Fabrikat: 33
Beschreibung: Dm. Rand nicht ermittelbar
Maße (cm):
Wandstärke: 0,35

Cheese pots

Kat.-Nr. 93
Fundnr.: 11/1307/1/56
Form: Cheese pot
Typ: unbestimmbar
Typenbezeichnung: Chb0A
Erhaltungszustand: sekundär verbrannt
Fabrikat: 44
Beschreibung: Durchlochungen konisch
Maße (cm):
Wandstärke: 0,7
Dm. (Rand): 24
Dm. (Rand, erhalten in %): 7
Dm. (Durchlochung): 0,35–0,5

Deckel

Kat.-Nr. 94 **Taf. 3.94**
Fundnr.: 11/1307/1/40
Form: Deckel
Typ: kalottenförmiger Deckel
Typenbezeichnung: De3

Erhaltungszustand: abgerieben
Fabrikat: 25
Maße (cm):
Dm. (Deckel): 26
Dm. (Deckel, erhalten in %): 6
Wandstärke: 0,8

Kat.-Nr. 95
Fundnr.: 11/1307/1/90
Form: Deckel
Typ: Stulpdeckel
Variante: unverziert
Typenbezeichnung: De1A
Erhaltungszustand: abgerieben
Fabrikat: nicht bestimmbar
Maße (cm):
Dm. (Deckel): 15
Dm. (Deckel, erhalten in %): 15
Wandstärke: 0,5

Vertikalhenkel

Kat.-Nr. 96
Fundnr.: 11/1307/1/95
Form: Vertikalhenkel
Typ: ovaler Querschnitt
Variante: unverziert
Typenbezeichnung: H1A
Handhabe/Verzierung: mit WS4
Erhaltungszustand: abgerieben
Fabrikat: 17
Maße (cm):
Höhe: 2,2
Breite: 3,5
Wandstärke: 1

Kat.-Nr. 97
Fundnr.: 11/1307/1/96
Form: Vertikalhenkel
Typ: breiter Querschnitt
Variante: unverziert
Typenbezeichnung: H2A
Erhaltungszustand: abgerieben
Fabrikat: 23
Maße (cm):
Höhe: 1,75
Breite: 3,7

Kat.-Nr. 98 Taf. 3.98
Fundnr.: 11/1307/1/98
Form: Vertikalhenkel
Typ: ovaler Querschnitt
Variante: eingesattelt
Typenbezeichnung: H1C
Handhabe/Verzierung: mit randständigem WS4
Erhaltungszustand: sekundär verbrannt
Fabrikat: 20
Maße (cm):
Höhe: 1,7
Länge: erh. 4,6
Breite: 2,6

Kat.-Nr. 99
Fundnr.: 11/1307/1/104
Form: Vertikalhenkel
Typ: breiter Querschnitt
Variante: durchlocht
Typenbezeichnung: H2B
Erhaltungszustand: abgerieben
Fabrikat: 33
Maße (cm):
Höhe: 0,75
Länge: erh. 2,9
Breite: 2
Dm. (Durchlochung): 0,4

Kat.-Nr. 100
Fundnr.: 11/1307/1/106
Form: Vertikalhenkel
Typ: ovaler Querschnitt
Variante: unverziert
Typenbezeichnung: H1A
Erhaltungszustand: abgerieben, sekundär verbrannt
Fabrikat: 20
Maße (cm):
Höhe: 1,85
Breite: 3,25

Kat.-Nr. 101
Fundnr.: 11/1307/1/107
Form: Vertikalhenkel
Typ: ovaler Querschnitt
Variante: unverziert
Typenbezeichnung: H1A
Erhaltungszustand: abgerieben
Fabrikat: 29
Beschreibung: eventuell von einer Kanne
Maße (cm):
Höhe: 1,4
Breite: 2,3

Kat.-Nr. 102
Fundnr.: 11/1307/1/109
Form: Vertikalhenkel
Typ: ovaler Querschnitt
Variante: unverziert
Typenbezeichnung: H1A
Handhabe/Verzierung: WS4
Erhaltungszustand: abgerieben
Fabrikat: 23
Maße (cm):
Höhe: 2
Breite: 3,6
Wandstärke: 0,75

Kat.-Nr. 103
Fundnr.: 11/1307/1/120
Form: Vertikalhenkel
Typ: ovaler Querschnitt
Variante: unverziert
Typenbezeichnung: H1A
Erhaltungszustand: abgerieben
Fabrikat: 55

Beschreibung: eventuell von einer Kanne
Maße (cm):
Höhe: 1,5
Länge: erh. 3,3
Breite: 1,8

Kat.-Nr. 104 Taf. 3.104
Fundnr.: 11/1307/1/132
Form: Vertikalhenkel
Typ: ovaler Querschnitt
Variante: unverziert
Typenbezeichnung: H1A
Handhabe/Verzierung: randständige WS4 an R0C
Erhaltungszustand: abgerieben
Fabrikat: 20
Maße (cm):
Höhe: 1,7
Länge: erh. 3,5
Breite: 2,9
Wandstärke: 0,8

Kat.-Nr. 105
Fundnr.: 11/1307/1/133
Form: Vertikalhenkel
Typ: runder Querschnitt
Variante: unverziert
Typenbezeichnung: H8B
Erhaltungszustand: abgerieben
Fabrikat: 46
Maße (cm):
Höhe: 1,7
Länge: erh. 6,2
Breite: 1,7
Wandstärke: 0,7

Charakteristische Wandfragmente

Kat.-Nr. 106
Fundnr.: 11/1307/1/102
Form: charakteristisches Wandfragment
Typ: Ansatz einer Handhabe
Typenbezeichnung: WS4
Erhaltungszustand: abgerieben
Fabrikat: 23
Beschreibung: Abmessungen aufgrund der Erhaltung nicht ermittelbar
Maße (cm):
Wandstärke: 0,7

Randfragmente

Kat.-Nr. 107
Fundnr.: 11/1307/1/9
Form: Randfragment
Typ: unbestimmbar
Variante: unbestimmbar
Typenbezeichnung: R0
Erhaltungszustand: abgerieben
Fabrikat: 17
Beschreibung: Orientierung unklar; Dm. Rand nicht ermittelbar

Kat.-Nr. 108
Fundnr.: 11/1307/1/21
Form: Randfragment
Typ: unbestimmbar
Variante: unbestimmbar
Typenbezeichnung: R0
Erhaltungszustand: abgerieben, sekundär verbrannt
Fabrikat: nicht bestimmbar
Beschreibung: MK-GK, Bruch und Magerung wie WG 17
Maße (cm):
Wandstärke: 0,7

Kat.-Nr. 109
Fundnr.: 11/1307/1/31
Form: Randfragment
Typ: unbestimmbar
Variante: unbestimmbar
Typenbezeichnung: R0
Erhaltungszustand: abgerieben
Fabrikat: 18
Beschreibung: Orientierung unklar; Dm. Rand nicht ermittelbar
Maße (cm):
Wandstärke: 0,55

Kat.-Nr. 110
Fundnr.: 11/1307/1/62
Form: Randfragment
Typ: unbestimmbar
Variante: unbestimmbar
Typenbezeichnung: R0
Erhaltungszustand: sekundär verbrannt
Fabrikat: 23
Beschreibung: vermutlich engmundige Form; Orientierung unklar
Maße (cm):
Wandstärke: 0,6
Dm. (Rand): 12
Dm. (Rand, erhalten in %): 9

Kat.-Nr. 111
Fundnr.: 11/1307/1/124
Form: Randfragment
Typ: unbestimmbar
Variante: unbestimmbar
Typenbezeichnung: R0
Erhaltungszustand: sekundär verbrannt
Fabrikat: nicht bestimmbar
Beschreibung: aufgrund der Erhaltung nicht näher bestimmbar; MK, Magerung ähnlich wie WG 15; Dm. Rand nicht ermittelbar
Maße (cm):
Wandstärke: 0,6

SE 1309

Engmundige Gefäße

Kat.-Nr. 112
Fundnr.: 11/1309/1/1
Form: Engmundig

Typ: Hals steil konkav
Variante: horizontal abgestrichene Lippe
Typenbezeichnung: E2D
Erhaltungszustand: abgerieben
Fabrikat: 41
Beschreibung: Oberfläche mittelfein geglättet; Dm. Rand nicht ermittelbar
Maße (cm):
Wandstärke: 0,35

SE 1343

Schalen

Kat.-Nr. 113 Taf. 4.113
Fundnr.: 11/1343/1/4
Form: Schale
Typ: weitmundig
Variante: horizontal abgestrichene Lippe
Typenbezeichnung: S4D
Erhaltungszustand: versintert
Fabrikat: 37
Maße (cm):
Wandstärke: 0,8
Dm. (Rand): 24
Dm. (Rand, erhalten in %): 5

Kat.-Nr. 114
Fundnr.: 11/1343/1/14
Form: Schale
Typ: weitmundig
Variante: schräg nach innen abgestrichene und verdickte Lippe
Typenbezeichnung: S4K
Erhaltungszustand: abgerieben
Fabrikat: 44
Beschreibung: Dm. Rand nicht ermittelbar
Maße (cm):
Wandstärke: 0,7

Kat.-Nr. 115
Fundnr.: 11/1343/1/15
Form: Schale
Typ: weitmundig
Variante: regelmäßig gerundete Lippe
Typenbezeichnung: S4A
Erhaltungszustand: abgerieben, stellenweise schwach versintert
Fabrikat: 20
Beschreibung: Rand uneben
Maße (cm):
Wandstärke: 0,75
Dm. (Rand): 30
Dm. (Rand, erhalten in %): 5

Kat.-Nr. 116 Taf. 4.116
Fundnr.: 11/1343/1/20
Form: Schale
Typ: weitmundig
Variante: nach innen verdickte Lippe
Typenbezeichnung: S4U
Handhabe/Verzierung: randständige Ö3
Erhaltungszustand: abgerieben
Fabrikat: 33
Beschreibung: Dm. Rand nicht ermittelbar
Maße (cm):
Höhe: 0,8
Länge: 3,6
Breite: 2,7
Wandstärke: 0,8

Engmundige Gefäße

Kat.-Nr. 117
Fundnr.: 11/1343/1/2
Form: Engmundig
Typ: Hals steil konkav
Variante: regelmäßig gerundete Lippe
Typenbezeichnung: E2A
Erhaltungszustand: abgerieben
Fabrikat: 24
Maße (cm):
Wandstärke: 0,5
Dm. (Rand): 18
Dm. (Rand, erhalten in %): 8

Kat.-Nr. 118
Fundnr.: 11/1343/1/5
Form: Engmundig
Typ: Hals konisch einziehend
Variante: innen abgestrichene Lippe
Typenbezeichnung: E1N
Erhaltungszustand: versintert
Fabrikat: 36
Maße (cm):
Wandstärke: 0,7
Dm. (Rand): 10
Dm. (Rand, erhalten in %): 6

Kat.-Nr. 119
Fundnr.: 11/1343/1/11
Form: Engmundig
Typ: Hals steil konkav
Variante: regelmäßig gerundete Lippe
Typenbezeichnung: E2A
Handhabe/Verzierung: mit randständigem H1
Erhaltungszustand: versintert, sekundär verbrannt
Fabrikat: 20
Beschreibung: Dm. Rand nicht ermittelbar
Maße (cm):
Wandstärke: 0,7

Kat.-Nr. 120
Fundnr.: 11/1343/1/13
Form: Engmundig
Typ: Hals steil konkav
Variante: horizontal abgestrichene Lippe
Typenbezeichnung: E2D
Erhaltungszustand: abgerieben
Fabrikat: 34
Maße (cm):
Wandstärke: 0,9
Dm. (Rand): 28
Dm. (Rand, erhalten in %): 5

Kat.-Nr. 121 Taf. 4.121
Fundnr.: 11/1343/1/29
Form: Engmundig
Typ: Hals konisch einziehend
Variante: horizontal abgestrichene Lippe
Typenbezeichnung: E1D
Erhaltungszustand: gut
Fabrikat: 23
Beschreibung: Dm. Rand nicht ermittelbar
Maße (cm):
Wandstärke: 0,7
Dm. (Rand): 24
Dm. (Rand, erhalten in %): 7

Halsgefäße

Kat.-Nr. 122
Fundnr.: 11/1343/1/17
Form: Halsgefäß
Typ: geschwungene Wandung
Variante: regelmäßig gerundete Lippe
Typenbezeichnung: Hg2A
Erhaltungszustand: abgerieben
Fabrikat: 20
Beschreibung: Dm. Rand nicht ermittelbar
Maße (cm):
Wandstärke: 0,7

Kat.-Nr. 123
Fundnr.: 11/1343/1/27
Form: Halsgefäß
Typ: geschwungene Wandung
Variante: regelmäßig gerundete Lippe
Typenbezeichnung: Hg2A
Erhaltungszustand: abgerieben, leicht versintert
Fabrikat: 17
Maße (cm):
Wandstärke: 0,8
Dm. (Rand): 11
Dm. (Rand, erhalten in %): 12

Kat.-Nr. 124
Fundnr.: 11/1343/1/28
Form: Halsgefäß
Typ: geschwungene Wandung
Variante: regelmäßig gerundete Lippe
Typenbezeichnung: Hg2A
Erhaltungszustand: abgerieben
Fabrikat: 17
Maße (cm):
Wandstärke: 0,8
Dm. (Rand): 12
Dm. (Rand, erhalten in %): 10

Böden

Kat.-Nr. 125
Fundnr.: 11/1343/1/9
Form: Boden
Typ: Scheibenbasis
Variante: unbestimmbar
Typenbezeichnung: B20
Erhaltungszustand: abgerieben, teilweise versintert
Fabrikat: nicht bestimmbar
Beschreibung: FK, Magerung wie WG 36 und 39; Variante aufgrund der Erhaltung nicht bestimmbar
Maße (cm):
Wandstärke: 0,8
Dm. (Rand): 8
Dm. (Rand, erhalten in %): 20

Kat.-Nr. 126
Fundnr.: 11/1343/1/37
Form: Boden
Typ: Scheibenbasis oval
Variante: gerade Standfläche
Typenbezeichnung: B2D
Erhaltungszustand: abgerieben
Fabrikat: nicht bestimmbar
Beschreibung: FK, Magerung ähnlich wie WG 24
Maße (cm):
Wandstärke: 0,5
Dm. (Boden): 10
Dm. (Boden, erhalten in %): 21

Deckel

Kat.-Nr. 127 Taf. 4.127
Fundnr.: 11/1343/1/38
Form: Deckel
Typ: Stulpdeckel
Variante: unverziert
Typenbezeichnung: De1A
Erhaltungszustand: abgerieben
Fabrikat: 33
Maße (cm):
Wandstärke: 0,6
Dm. (Deckel): 9
Dm. (Deckel, erhalten in %): 28

Vertikalhenkel

Kat.-Nr. 128
Fundnr.: 11/1343/1/23
Form: Vertikalhenkel
Typ: breiter Querschnitt
Variante: unverziert
Typenbezeichnung: H2A
Erhaltungszustand: abgerieben, sekundär verbrannt
Fabrikat: 20
Maße (cm):
Höhe: 2
Länge: erh. 7,1
Breite: 4,1

Kat.-Nr. 129
Fundnr.: 11/1343/1/24
Form: Vertikalhenkel
Typ: breiter Querschnitt
Variante: unverziert
Typenbezeichnung: H2A
Erhaltungszustand: abgerieben

Fabrikat: 39
Maße (cm):
Höhe: 1,2
Länge: erh. 3,8
Breite: 2,9

Kat.-Nr. 130
Fundnr.: 11/1343/1/39
Form: Vertikalhenkel
Typ: ovaler Querschnitt
Variante: unverziert
Typenbezeichnung: H1A
Erhaltungszustand: abgerieben
Fabrikat: 34
Maße (cm):
Höhe: 1,8
Länge: erh. 7,7
Breite: 3,7

Kat.-Nr. 131
Fundnr.: 11/1343/1/40
Form: Vertikalhenkel
Typ: ovaler Querschnitt
Variante: unverziert
Typenbezeichnung: H1A
Erhaltungszustand: abgerieben
Fabrikat: 15
Maße (cm):
Höhe: 2,6
Länge: erh. 8,4
Breite: 4,5

Kat.-Nr. 132 Taf. 4.132
Fundnr.: 11/1343/1/41
Form: Vertikalhenkel
Typ: ovaler Querschnitt
Variante: unverziert
Typenbezeichnung: H1A
Erhaltungszustand: abgerieben
Fabrikat: 23
Beschreibung: eventuell Kanne
Maße (cm):
Höhe: 1,5
Länge: erh. 7,5
Breite: 3,3
Dm. (Rand): 12
Dm. (Rand, erhalten in %): 16

Kat.-Nr. 133
Fundnr.: 11/1343/1/48
Form: Vertikalhenkel
Typ: breiter Querschnitt
Variante: unverziert
Typenbezeichnung: H2A
Erhaltungszustand: abgerieben
Fabrikat: 20
Maße (cm):
Höhe: 1,4
Länge: erh. 3,7 cm
Breite: erh. 2,9

Kat.-Nr. 134
Fundnr.: 11/1343/1/49
Form: Vertikalhenkel
Typ: breiter Querschnitt
Variante: unverziert
Typenbezeichnung: H2A
Erhaltungszustand: abgerieben, sekundär verbrannt
Fabrikat: 23
Maße (cm):
Höhe: 1,7
Länge: erh. 6,9
Breite: 3,3

Füße

Kat.-Nr. 135 Taf. 4.135
Fundnr.: 11/1343/1/25
Form: Fuß
Typ: trapezförmig
Variante: gerundete Basis
Typenbezeichnung: F4B
Erhaltungszustand: versintert
Fabrikat: 23
Maße (cm):
Höhe: 1,6
Länge: 4,8
Breite: 2,5–4,3
Wandstärke: 0,4

Kat.-Nr. 136
Fundnr.: 11/1343/1/42
Form: Fuß
Typ: ausgezipfelte Standfläche
Variante: flache Basis
Typenbezeichnung: F3A
Erhaltungszustand: abgerieben
Fabrikat: 20
Maße (cm):
Höhe: 1,5
Länge: erh. 3,5
Breite: erh. 2,1

Kat.-Nr. 137 Taf. 4.137
Fundnr.: 11/1343/1/51
Form: Fuß
Typ: trapezförmig
Variante: gerundete Basis
Typenbezeichnung: F4B
Erhaltungszustand: sekundär verbrannt
Fabrikat: 32
Maße (cm):
Höhe: 1,4
Breite: 2,6–4,1

Charakteristische Wandfragmente

Kat.-Nr. 138 Taf. 4.138
Fundnr.: 11/1343/1/44
Form: charakteristisches Wandfragment
Typ: Applike

Variante: Knubbe
Typenbezeichnung: WS5B
Handhabe/Verzierung: Kn4
Erhaltungszustand: sekundär verbrannt
Fabrikat: 23
Beschreibung: runde Knubbe
Maße (cm):
Höhe: 0,9
Wandstärke: 0,6
Dm. (Knubbe): ca. 2

Randfragmente

Kat.-Nr. 139
Fundnr.: 11/1343/1/30
Form: Randfragment
Typ: unbestimmbar
Variante: unbestimmbar
Typenbezeichnung: R0
Erhaltungszustand: abgerieben
Fabrikat: 20
Beschreibung: Rand uneben, Orientierung unklar
Maße (cm):
Wandstärke: 0,8

Kat.-Nr. 140
Fundnr.: 11/1343/1/34
Form: Randfragment
Typ: unbestimmbar
Variante: unbestimmbar
Typenbezeichnung: R0
Erhaltungszustand: abgerieben, sekundär verbrannt
Fabrikat: 20
Beschreibung: Dm. Rand nicht ermittelbar
Maße (cm):
Wandstärke: 0,5

Kat.-Nr. 141
Fundnr.: 11/1343/1/47
Form: Randfragment
Typ: unbestimmbar
Variante: unbestimmbar
Typenbezeichnung: R0
Erhaltungszustand: abgerieben
Fabrikat: nicht bestimmbar
Beschreibung: Orientierung unklar; offene Gefäßform; FK-MK, Magerung ähnlich wie WG 24; Dm. Rand nicht ermittelbar
Maße (cm):
Wandstärke: 0,35

SE 1344

Schalen

Kat.-Nr. 142
Fundnr.: 11/1344/1/5
Form: Schale
Typ: kalottenförmig
Variante: regelmäßig gerundete Lippe
Typenbezeichnung: S1A
Erhaltungszustand: versintert
Fabrikat: 53
Beschreibung: leicht abgerieben
Maße (cm):
Wandstärke: 0,7
Dm. (Rand): 28
Dm. (Rand, erhalten in %): 5

Kat.-Nr. 143 Taf. 5.143
Fundnr.: 11/1344/1/16
Form: Schale
Typ: kalottenförmig
Variante: horizontal abgestrichene Lippe
Typenbezeichnung: S1D
Erhaltungszustand: versintert
Fabrikat: 20
Maße (cm):
Wandstärke: 0,85
Dm. (Rand): 22
Dm. (Rand, erhalten in %): 6

Kat.-Nr. 144
Fundnr.: 11/1344/1/18
Form: Schale
Typ: kalottenförmig
Variante: spitz ausgezogene Lippe
Typenbezeichnung: S1B
Erhaltungszustand: abgerieben, versintert
Fabrikat: 85
Beschreibung: ovale Form
Maße (cm):
Wandstärke: 0,8
Dm. (Rand): 16
Dm. (Rand, erhalten in %): 8

Engmundige Gefäße

Kat.-Nr. 145
Fundnr.: 11/1344/1/6
Form: Engmundig
Typ: Hals steil konkav
Variante: regelmäßig gerundete Lippe
Typenbezeichnung: E2A
Erhaltungszustand: abgerieben, versintert und sekundär verbrannt
Fabrikat: 103
Maße (cm):
Wandstärke: 0,35
Dm. (Rand): 9,8
Dm. (Rand, erhalten in %): 8

Kat.-Nr. 146
Fundnr.: 11/1344/1/7
Form: Engmundig
Typ: Hals konisch einziehend
Variante: ausbiegender Rand
Typenbezeichnung: E2S
Erhaltungszustand: versintert
Fabrikat: 23
Maße (cm):
Wandstärke: 0,9
Dm. (Rand): 10
Dm. (Rand, erhalten in %): 12

Kat.-Nr. 147
Fundnr.: 11/1344/1/9
Form: Engmundig
Typ: Hals steil konkav
Variante: leicht verdickte Lippe
Typenbezeichnung: E2C
Erhaltungszustand: abgerieben, versintert
Fabrikat: 18
Maße (cm):
Wandstärke: 0,55
Dm. (Rand): 20
Dm. (Rand, erhalten in %): 5

Halsgefäße

Kat.-Nr. 148 Taf. 5.148
Fundnr.: 11/1344/1/1
Form: Halsgefäß
Typ: geschwungene Wandung
Variante: außen verdickte Lippe
Typenbezeichnung: Hg2I
Handhabe/Verzierung: WS4
Erhaltungszustand: gut
Fabrikat: 17
Maße (cm):
Wandstärke: 0,8
Dm. (Rand): 20–22
Dm. (Rand, erhalten in %): 12–13

Kat.-Nr. 149 Taf. 5.149
Fundnr.: 11/1344/1/2
Form: Halsgefäß
Typ: geschwungene Wandung
Variante: ausbiegender Rand
Typenbezeichnung: Hg2S
Handhabe/Verzierung: mit WS4
Erhaltungszustand: abgerieben
Fabrikat: 15
Beschreibung: Rand innen etwas verdickt
Maße (cm):
Wandstärke: 1,1
Dm. (Rand): 42
Dm. (Rand, erhalten in %): 13

Kat.-Nr. 150
Fundnr.: 11/1344/1/4
Form: Halsgefäß
Typ: gerade Wandung
Variante: ausbiegender Rand
Typenbezeichnung: Hg1S
Handhabe/Verzierung: randständige WS4
Erhaltungszustand: abgerieben
Fabrikat: 51
Beschreibung: Dm. Rand nicht ermittelbar
Maße (cm):
Wandstärke: 0,6

Vertikalhenkel

Kat.-Nr. 151
Fundnr.: 11/1344/1/3
Form: Vertikalhenkel
Typ: breiter Querschnitt
Variante: unverziert
Typenbezeichnung: H2A
Erhaltungszustand: abgerieben
Fabrikat: 20
Maße (cm):
Höhe: 1,8
Länge: erh. 4,8
Breite: 4

Randfragmente

Kat.-Nr. 152
Fundnr.: 11/1344/1/14
Form: Randfragment
Typ: unbestimmbar
Variante: horizontal abgestrichene Lippe
Typenbezeichnung: R0D
Erhaltungszustand: abgerieben
Fabrikat: 24
Beschreibung: Dm. Rand nicht ermittelbar
Maße (cm):
Wandstärke: 0,7

SE 1345

Halsgefäße

Kat.-Nr. 153
Fundnr.: 11/1345/1/1
Form: Halsgefäß
Typ: geschwungene Wandung
Variante: regelmäßig gerundete Lippe
Typenbezeichnung: Hg2A
Handhabe/Verzierung: WS4
Erhaltungszustand: abgerieben
Fabrikat: 17
Maße (cm):
Wandstärke: 0,7
Dm. (Rand): 21
Dm. (Rand, erhalten in %): 5

Kat.-Nr. 154
Fundnr.: 11/1345/1/2
Form: Halsgefäß
Typ: geschwungene Wandung
Variante: ausbiegender Rand
Typenbezeichnung: Hg2S
Erhaltungszustand: abgerieben
Fabrikat: 20
Maße (cm):
Wandstärke: 0,45
Dm. (Rand): 15,2
Dm. (Rand, erhalten in %): 10

Deckel

Kat.-Nr. 155 Taf. 5.155
Fundnr.: 11/1345/1/8
Form: Deckel
Typ: Flachdeckel
Variante: unverziert

Typenbezeichnung: De2A
Erhaltungszustand: versintert
Fabrikat: 23
Beschreibung: Schmauchspuren auf der Unterseite
Maße (cm):
Wandstärke: 0,9
Dm. (Deckel): 18
Dm. (Deckel, erhalten in %): 16

Charakteristische Wandfragmente

Kat.-Nr. 156
Fundnr.: 11/1345/1/7
Form: charakteristisches Wandfragment
Typ: Applike
Variante: Knubbe
Typenbezeichnung: WS5B
Handhabe/Verzierung: Kn4
Erhaltungszustand: versintert
Fabrikat: 39
Maße (cm):
Wandstärke: 0,4
Dm. (Knubbe): 1,1

SE 1368

Engmundige Gefäße

Kat.-Nr. 157
Fundnr.: 11/1368/1/5
Form: Engmundig
Typ: Hals steil konkav
Variante: regelmäßig gerundete Lippe
Typenbezeichnung: E2A
Erhaltungszustand: abgerieben
Fabrikat: 36
Maße (cm):
Wandstärke: 0,35
Dm. (Rand): 9
Dm. (Rand, erhalten in %): 7

Halsgefäße

Kat.-Nr. 158
Fundnr.: 11/1368/1/1
Form: Halsgefäß
Typ: geschwungene Wandung
Variante: horizontal abgestrichene Lippe
Typenbezeichnung: Hg2D
Erhaltungszustand: abgerieben
Fabrikat: 37
Maße (cm):
Wandstärke: 0,8
Dm. (Rand): 13
Dm. (Rand, erhalten in %): 6

Böden

Kat.-Nr. 159
Fundnr.: 11/1368/1/8
Form: Boden
Typ: Scheibenbasis
Variante: gerade Standfläche
Typenbezeichnung: B2A
Erhaltungszustand: abgerieben
Fabrikat: 38
Maße (cm):
Wandstärke: 0,5
Dm. (Boden): 12
Dm. (Boden, erhalten in %): 11

Ausgüsse

Kat.-Nr. 160 Taf. 5.160
Fundnr.: 11/1368/1/3
Form: Ausguss
Typ: eckiger Abschluss
Typenbezeichnung: Au2
Erhaltungszustand: abgerieben
Fabrikat: 33
Beschreibung: Ausguss von einer Schnabelkanne
Maße (cm):
Wandstärke: 0,5
Dm. (Rand): 8
Dm. (Rand, erhalten in %): 18

Vertikalhenkel

Kat.-Nr. 161
Fundnr.: 11/1368/1/11
Form: Vertikalhenkel
Typ: ovaler Querschnitt
Variante: unverziert
Typenbezeichnung: H1A
Handhabe/Verzierung: WS4
Erhaltungszustand: abgerieben, stark versintert
Fabrikat: 23
Maße (cm):
Höhe: 2,3
Länge: erh. 5,8
Breite: 3,6

Kat.-Nr. 162
Fundnr.: 11/1368/1/13
Form: Vertikalhenkel
Typ: ovaler Querschnitt
Variante: unverziert
Typenbezeichnung: H1A
Handhabe/Verzierung: mit WS4
Erhaltungszustand: abgerieben, sekundär verbrannt
Fabrikat: 38
Maße (cm):
Höhe: 1,5
Länge: erh. 6,5
Breite: 2,6

Füße

Kat.-Nr. 163
Fundnr.: 11/1368/1/12
Form: Fuß
Typenbezeichnung: F00
Erhaltungszustand: abgerieben, sekundär verbrannt
Fabrikat: 20

Beschreibung: ovaler Querschnitt
Maße (cm):
Höhe: 1,9
Breite: 3,4

Kat.-Nr. 164 Taf. 5.164
Fundnr.: 11/1368/1/15
Form: Fuß
Typ: ausgezipfelte Standfläche
Variante: flache Basis
Typenbezeichnung: F3B
Erhaltungszustand: abgerieben, sekundär verbrannt
Fabrikat: 100
Maße (cm):
Breite: 2,9–4

Charakteristische Wandfragmente

Kat.-Nr. 165
Fundnr.: 11/1368/1/10
Form: charakteristisches Wandfragment
Typ: Ansatz einer Handhabe
Typenbezeichnung: WS4
Erhaltungszustand: abgerieben
Fabrikat: 23
Maße (cm):
Höhe: 2,6
Länge: erh. 3,8
Breite: 6,6

Randfragmente

Kat.-Nr. 166
Fundnr.: 11/1368/1/4
Form: Randfragment
Typ: unbestimmbar
Variante: schräg nach innen abgestrichener Rand
Typenbezeichnung: R0P
Erhaltungszustand: sekundär verbrannt
Fabrikat: 36
Beschreibung: FK-MK, Magerung ähnlich wie WG 36; Dm. Rand nicht ermittelbar
Maße (cm):
Wandstärke: 0,7

Kat.-Nr. 167
Fundnr.: 11/1368/1/7
Form: Randfragment
Typ: unbestimmbar
Typenbezeichnung: R0
Erhaltungszustand: abgerieben
Fabrikat: 20
Maße (cm):
Wandstärke: 0,6

SE 1458

Vertikalhenkel

Kat.-Nr. 168
Fundnr.: 11/1458/1/1
Form: Vertikalhenkel
Typ: ovaler Querschnitt
Variante: unverziert
Typenbezeichnung: H1A
Erhaltungszustand: abgerieben, versintert
Fabrikat: 17
Maße (cm):
Höhe: 2,1
Länge: 7,9
Breite: 3

SE 1501

Schüsseln

Kat.-Nr. 169
Fundnr.: 11/1501/1/4
Form: Schüssel
Typ: steile Wandung
Variante: regelmäßig gerundete Lippe
Typenbezeichnung: Sch3A
Erhaltungszustand: gut
Fabrikat: 51
Maße (cm):
Wandstärke: 1,1
Dm. (Rand): 48
Dm. (Rand, erhalten in %): 7

Schalen

Kat.-Nr. 170 Taf. 6.170
Fundnr.: 11/1501/1/2
Form: Schale
Typ: weitmundig
Variante: schräg nach innen abgestrichene und verdickte Lippe
Typenbezeichnung: S4K
Erhaltungszustand: abgerieben
Fabrikat: 29
Maße (cm):
Wandstärke: 0,7
Dm. (Rand): 38
Dm. (Rand, erhalten in %): 7,5

Kat.-Nr. 171
Fundnr.: 11/1501/1/3
Form: Schale
Typ: weitmundig
Variante: innen abgestrichene Lippe
Typenbezeichnung: S4N
Handhabe/Verzierung: WS4
Erhaltungszustand: abgerieben
Fabrikat: 23
Beschreibung: mit Handhabe, vermutlich randständiger Vertikalhenkel; Dm. Rand nicht ermittelbar
Maße (cm):
Wandstärke: 1
Dm. (Rand): rund 30–40

Vertikalhenkel

Kat.-Nr. 172
Fundnr.: 11/1501/1/6

Form: Vertikalhenkel
Typ: ovaler Querschnitt
Variante: unverziert
Typenbezeichnung: H1A
Erhaltungszustand: abgerieben, versintert
Fabrikat: 23
Beschreibung: große Gesteinsfragmente in der Magerung
Maße (cm):
Höhe: 4,1
Länge: 5,2
Breite: 3
Wandstärke: 0,9

SE 4551

Grifflappen

Kat.-Nr. 173 Taf. 6.173
Fundnr.: 13/4551/1/29
Form: Grifflappen
Typ: trapezförmig
Typenbezeichnung: La3
Erhaltungszustand: gut
Fabrikat: 114
Maße (cm):
Höhe: 2,1
Länge: 5,7
Breite (Ansatz): erh. 6,7
Breite (Ende): 4,5

Schalen

Kat.-Nr. 174 Taf. 6.174
Fundnr.: 13/4551/1/8
Form: Schale
Typ: weitmundig
Variante: gerollter Rand
Typenbezeichnung: S4Q
Handhabe/Verzierung: mit randständigem H2A
Erhaltungszustand: abgerieben
Fabrikat: 33
Maße (cm):
Wandstärke: 0,7
Dm. (Rand): 20
Dm. (Rand, erhalten in %): 9

Kat.-Nr. 175
Fundnr.: 13/4551/1/9
Form: Schale
Typ: weitmundig
Variante: regelmäßig gerundete Lippe
Typenbezeichnung: S4A
Erhaltungszustand: versintert
Fabrikat: 80
Beschreibung: Dm. Rand nicht ermittelbar
Maße (cm):
Wandstärke: 0,65

Kat.-Nr. 176
Fundnr.: 13/4551/1/10
Form: Schale
Typ: weitmundig
Variante: schräg nach innen abgestrichene und verdickte Lippe
Typenbezeichnung: S4K
Erhaltungszustand: abgerieben
Fabrikat: 33
Beschreibung: Orientierung nicht möglich; Dm. Rand nicht ermittelbar
Maße (cm):
Wandstärke: 0,7

Kat.-Nr. 177
Fundnr.: 13/4551/1/16
Form: Schale
Typ: weitmundig
Variante: gerollter Rand
Typenbezeichnung: S4Q
Erhaltungszustand: versintert
Fabrikat: 44
Beschreibung: Dm. Rand nicht ermittelbar
Maße (cm):
Wandstärke: 0,4

Kat.-Nr. 178 Taf. 6.178
Fundnr.: 13/4551/1/30
Form: Schale
Typ: weitmundig
Variante: gerollter Rand
Typenbezeichnung: S4Q
Erhaltungszustand: abgerieben
Fabrikat: 33
Beschreibung: Dm. Rand nicht ermittelbar
Maße (cm):
Wandstärke: 0,5

Halsgefäße

Kat.-Nr. 179 Taf. 6.179
Fundnr.: 13/4551/1/18
Form: Halsgefäß
Typ: geschwungene Wandung
Variante: regelmäßig gerundete Lippe
Typenbezeichnung: Hg2A
Handhabe/Verzierung: leicht unterrandständiger H1A
Erhaltungszustand: abgerieben
Fabrikat: 20
Maße (cm):
Wandstärke: 0,9
Dm. (Rand): 13
Dm. (Rand, erhalten in %): 13

Kannen

Kat.-Nr. 180
Fundnr.: 13/4551/1/3
Form: Kanne
Typ: Schnabelkanne
Typenbezeichnung: Ka2
Erhaltungszustand: gut, leicht versintert
Fabrikat: 33
Beschreibung: gehört zur Wandscherbe 13/4551/1/5 (Kat.-Nr. 192), keine direkte Anpassung

Maße (cm):
Wandstärke: 0,4
Dm. (Rand): 7
Dm. (Rand, erhalten in %): 11

Böden

Kat.-Nr. 181 Taf. 7.181
Fundnr.: 13/4551/1/4
Form: Boden
Typ: Scheibenbasis
Variante: flache Standfläche
Typenbezeichnung: B2B
Erhaltungszustand: abgerieben
Fabrikat: 18
Maße (cm):
Wandstärke: 0,9
Dm. (Boden): 5
Dm. (Boden, erhalten in %): 30

Kat.-Nr. 182
Fundnr.: 13/4551/1/19
Form: Boden
Typ: Scheibenbasis
Variante: eingewölbte Standfläche
Typenbezeichnung: B2A
Erhaltungszustand: abgerieben
Fabrikat: 18
Maße (cm):
Wandstärke: 1,05
Dm. (Boden): 9
Dm. (Boden, erhalten in %): 11

Vertikalhenkel

Kat.-Nr. 183
Fundnr.: 13/4551/1/6
Form: Vertikalhenkel
Typ: ovaler Querschnitt
Variante: unverziert
Typenbezeichnung: H1A
Erhaltungszustand: gut
Fabrikat: 20
Maße (cm):
Höhe: 2,8
Länge: erh. 4,8
Breite: 2,5

Kat.-Nr. 184 Taf. 7.184
Fundnr.: 13/4551/1/21
Form: Vertikalhenkel
Typ: ovaler Querschnitt
Variante: Sporenhenkel
Typenbezeichnung: H1B
Erhaltungszustand: abgerieben
Fabrikat: 23
Maße (cm):
Höhe: erh. 2,6

Kat.-Nr. 185 Taf. 7.185
Fundnr.: 13/4551/1/22
Form: Vertikalhenkel
Typ: ovaler Querschnitt
Variante: unverziert
Typenbezeichnung: H1A
Erhaltungszustand: abgerieben
Fabrikat: 23
Beschreibung: Hg1S
Maße (cm):
Höhe: 1,8
Länge: ca. 11,5
Breite: 2,6
Wandstärke: 0,6

Kat.-Nr. 186
Fundnr.: 13/4551/1/25
Form: Vertikalhenkel
Typ: ovaler Querschnitt
Variante: unverziert
Typenbezeichnung: H1A
Erhaltungszustand: gut
Fabrikat: 20
Maße (cm):
Höhe: 1,7
Länge: erh. 9,3
Breite: 4

Kat.-Nr. 187
Fundnr.: 13/4551/1/27
Form: Vertikalhenkel
Typ: ovaler Querschnitt
Variante: unverziert
Typenbezeichnung: H1A
Handhabe/Verzierung: vermutlich randständiger Henkel
Erhaltungszustand: abgerieben
Fabrikat: 17
Maße (cm):
Höhe: 1,6
Länge: erh. 5,2
Breite: 3

Füße

Kat.-Nr. 188 Taf. 7.188
Fundnr.: 13/4551/1/28
Form: Fuß
Typ: ausgezipfelte Standfläche
Variante: gerundete Basis
Typenbezeichnung: F3B
Erhaltungszustand: abgerieben
Fabrikat: 32
Maße (cm):
Höhe: 1,5
Breite: 3,1–4

Charakteristische Wandfragmente

Kat.-Nr. 189
Fundnr.: 13/4551/1/7
Form: charakteristisches Wandfragment
Typ: Ansatz einer Handhabe
Typenbezeichnung: WS4
Erhaltungszustand: abgerieben

Fabrikat: 23
Beschreibung: Dm. Rand nicht ermittelbar
Maße (cm):
Wandstärke: 0,7

Kat.-Nr. 190
Fundnr.: 13/4551/1/31
Form: charakteristisches Wandfragment
Typ: Ansatz einer Handhabe
Typenbezeichnung: WS4
Erhaltungszustand: abgerieben
Fabrikat: 17
Maße (cm):
Höhe: 3,7
Länge: erh. 6,1

Kat.-Nr. 191
Fundnr.: 13/4551/1/32
Form: charakteristisches Wandfragment
Typ: durchlocht/durchbohrt
Typenbezeichnung: WS3
Erhaltungszustand: abgerieben
Fabrikat: 33
Maße (cm):
Wandstärke: 0,6
Dm. (Durchlochung): 0,6

Wandfragmente

Kat.-Nr. 192
Fundnr.: 13/4551/1/5
Form: Wandfragment
Typ: unbestimmbar
Variante: unbestimmbar
Typenbezeichnung: R0
Erhaltungszustand: abgerieben
Fabrikat: 33
Beschreibung: gehört zur Wandscherbe 13/4551/1/3 (Kat.-Nr. 180), keine direkte Anpassung
Maße (cm):
Wandstärke: 0,4

Randfragmente

Kat.-Nr. 193
Fundnr.: 13/4551/1/1
Form: Randfragment
Typ: unbestimmbar
Variante: außen verdickte Lippe
Typenbezeichnung: R0I
Handhabe/Verzierung: mit randständigem WS4
Erhaltungszustand: gut
Fabrikat: 17
Beschreibung: Dm. Rand nicht ermittelbar
Maße (cm):
Wandstärke: 0,6

Kat.-Nr. 194
Fundnr.: 13/4551/1/20
Form: Randfragment
Typ: unbestimmbar
Variante: unbestimmbar
Typenbezeichnung: R0
Handhabe/Verzierung: randständiger H1
Erhaltungszustand: abgerieben
Fabrikat: 23
Beschreibung: Kanne oder Krug
Maße (cm):
Wandstärke: 0,7

Planierschicht

SE 1449

Grifflappen

Kat.-Nr. 195 Taf. 7.195
Fundnr.: 11/1449/1/85
Form: Grifflappen
Typ: dreieckig
Typenbezeichnung: La5
Erhaltungszustand: abgerieben
Fabrikat: 22
Beschreibung: triangulärer Grifflappen mit einer Eintiefung
Maße (cm):
Höhe: 1,4
Länge: 3,7
Breite: 4,2
Dm. (Eintiefung): 2
Tiefe (Eintiefung): 1

Kat.-Nr. 196 Taf. 8.196
Fundnr.: 11/1449/1/124
Form: Sonderform
Typ: Teller
Typenbezeichnung: SF4
Erhaltungszustand: abgerieben
Fabrikat: 22
Maße (cm):
Wandstärke: 0,6
Dm. (Rand): 17
Dm. (Boden): 16
Dm. (Rand, erhalten in %): 7
Dm. (Boden, erhalten in %): 10

Schüsseln

Kat.-Nr. 197
Fundnr.: 11/1449/1/92
Form: Schüssel
Typ: mit gerader Wandung
Variante: spitz ausgezogene Lippe
Typenbezeichnung: Sch5B
Erhaltungszustand: gut, leicht abgerieben
Fabrikat: 22
Beschreibung: oval
Maße (cm):
Wandstärke: 0,5
Dm. (Rand): 16
Dm. (Rand, erhalten in %): 10,5

Kat.-Nr. 198
Fundnr.: 11/1449/1/96
Form: Schüssel
Typ: steile Wandung
Variante: horizontal abgestrichene Lippe
Typenbezeichnung: Sch3D
Erhaltungszustand: an der Außenseite stark abgerieben, an der Innenseite versintert
Fabrikat: 22
Maße (cm):
Wandstärke: 0,9
Dm. (Rand): 12
Dm. (Rand, erhalten in %): 22

Kat.-Nr. 199 Taf. 8.199
Fundnr.: 11/1449/1/103
Form: Schüssel
Typ: steile Wandung
Variante: regelmäßig gerundete Lippe
Typenbezeichnung: Sch3A
Erhaltungszustand: abgerieben, versintert
Fabrikat: 22
Beschreibung: Dm. Rand < 5 %, daher unsicher
Maße (cm):
Wandstärke: 0,6
Dm. (Rand): 17
Dm. (Rand, erhalten in %): 4

Schalen

Kat.-Nr. 200 Taf. 8.200
Fundnr.: 11/1449/1/8
Form: Schale
Typ: Knickrandschale
Variante: regelmäßig gerundete Lippe
Typenbezeichnung: S3A
Erhaltungszustand: leicht abgerieben
Fabrikat: 19
Beschreibung: poliert
Maße (cm):
Winkel (Knick): 50°
Länge: 1
Breite: 0,8
Wandstärke: 0,6
Dm. (Rand): 24
Dm. (Rand, erhalten in %): 7

Kat.-Nr. 201
Fundnr.: 11/1449/1/9
Form: Schale
Typ: weitmundig
Variante: gerollter Rand
Typenbezeichnung: S4Q
Erhaltungszustand: abgerieben
Fabrikat: 29
Beschreibung: Dm. Rand < 5 %, daher unsicher
Maße (cm):
Wandstärke: 0,5
Dm. (Rand): 26
Dm. (Rand, erhalten in %): 3,4

Kat.-Nr. 202 Taf. 8.202
Fundnr.: 11/1449/1/11
Form: Schale
Typ: weitmundig
Variante: gerollter Rand
Typenbezeichnung: S4Q
Erhaltungszustand: stark abgerieben
Fabrikat: 33
Maße (cm):
Wandstärke: 0,6
Dm. (Rand): 50
Dm. (Rand, erhalten in %): 5,5

Kat.-Nr. 203
Fundnr.: 11/1449/1/12
Form: Schale
Typ: weitmundig
Variante: regelmäßig gerundete Lippe
Typenbezeichnung: S4A
Erhaltungszustand: abgerieben, leicht versintert
Fabrikat: 19
Beschreibung: Dm. Rand < 5 %, daher unsicher
Maße (cm):
Wandstärke: 0,9
Dm. (Rand): 30
Dm. (Rand, erhalten in %): 4,3

Kat.-Nr. 204 Taf. 8.204
Fundnr.: 11/1449/1/19
Form: Schale
Typ: weitmundig
Variante: spitz ausgezogene Lippe
Typenbezeichnung: S4B
Erhaltungszustand: abgerieben
Fabrikat: 22
Maße (cm):
Wandstärke: 0,8
Dm. (Rand): 24
Dm. (Rand, erhalten in %): 5

Kat.-Nr. 205 Taf. 8.205
Fundnr.: 11/1449/1/21
Form: Schale
Typ: weitmundig
Variante: gerollter Rand
Typenbezeichnung: S4Q
Handhabe/Verzierung: mit leicht unterrandständiger WS4
Erhaltungszustand: abgerieben
Fabrikat: 29
Maße (cm):
Wandstärke: 0,8
Dm. (Rand): 22
Dm. (Rand, erhalten in %): 8

Kat.-Nr. 206 Taf. 8.206
Fundnr.: 11/1449/1/22
Form: Schale
Typ: weitmundig
Variante: regelmäßig gerundete Lippe

Typenbezeichnung: S4A
Erhaltungszustand: abgerieben
Fabrikat: 29
Maße (cm):
Wandstärke: 0,8
Dm. (Rand): 26
Dm. (Rand, erhalten in %): 7

Kat.-Nr. 207
Fundnr.: 11/1449/1/26
Form: Schale
Typ: weitmundig
Variante: regelmäßig gerundete Lippe
Typenbezeichnung: S4A
Erhaltungszustand: sehr stark sekundär verbrannt
Fabrikat: 19
Beschreibung: Oberfläche ist sehr brüchig; Dm. Rand < 5 %, daher unsicher
Maße (cm):
Wandstärke: 0,8
Dm. (Rand): 30
Dm. (Rand, erhalten in %): 4

Kat.-Nr. 208 Taf. 9.208
Fundnr.: 11/1449/1/31
Form: Schale
Typ: Knickrandschale
Variante: regelmäßig gerundete Lippe
Typenbezeichnung: S3A
Erhaltungszustand: abgerieben
Fabrikat: 19
Beschreibung: Dm. Rand < 5 %, daher unsicher
Maße (cm):
Winkel (Knick): 39°
Länge: 1,4
Breite: 0,8
Wandstärke: 0,6
Dm. (Rand): 20
Dm. (Rand, erhalten in %): 3

Kat.-Nr. 209
Fundnr.: 11/1449/1/36
Form: Schale
Typ: weitmundig
Variante: regelmäßig gerundete Lippe
Typenbezeichnung: S4A
Erhaltungszustand: gut, leicht abgerieben
Fabrikat: 37
Beschreibung: poliert; Dm. Rand < 5 %, daher unsicher
Maße (cm):
Wandstärke: 0,5
Dm. (Rand): 20
Dm. (Rand, erhalten in %): 4

Kat.-Nr. 210 Taf. 9.210
Fundnr.: 11/1449/1/67
Form: Schale
Typ: Kehlrandschale mit s-förmigem Profil
Variante: regelmäßig gerundete Lippe
Typenbezeichnung: S7A
Erhaltungszustand: abgerieben
Fabrikat: 22
Beschreibung: Dm. Rand < 5 %, daher unsicher
Maße (cm):
Wandstärke: 0,5
Dm. (Rand): 28
Dm. (Rand, erhalten in %): 4,5

Kat.-Nr. 211 Taf. 9.211
Fundnr.: 11/1449/1/90
Form: Schale
Typ: Knickrandschale
Variante: regelmäßig gerundete Lippe
Typenbezeichnung: S3A
Erhaltungszustand: abgerieben
Fabrikat: 17
Maße (cm):
Winkel (Knick): 68°
Länge: 2,8
Breite: 1,2
Wandstärke: 1,2
Dm. (Rand): 28
Dm. (Rand, erhalten in %): 14,5

Kat.-Nr. 212
Fundnr.: 11/1449/1/91
Form: Schale
Typ: kalottenförmig
Variante: horizontal abgestrichene und leicht verdickte Lippe
Typenbezeichnung: S1D
Erhaltungszustand: abgerieben, versintert und sekundär verbrannt
Fabrikat: 38
Beschreibung: Dm. Rand < 5 %, daher unsicher
Maße (cm):
Wandstärke: 0,8
Dm. (Rand): 30
Dm. (Rand, erhalten in %): 2,7

Kat.-Nr. 213
Fundnr.: 11/1449/1/113
Form: Schale
Typ: kalottenförmig
Variante: schräg nach außen abgestrichener Rand
Typenbezeichnung: S1H
Erhaltungszustand: abgerieben
Fabrikat: 18
Beschreibung: eventuell schon Knickrandidee erkennbar
Maße (cm):
Wandstärke: 0,6
Dm. (Rand): 14
Dm. (Rand, erhalten in %): 7,2

Kat.-Nr. 214
Fundnr.: 11/1449/1/118
Form: Schale
Typ: kalottenförmig
Variante: horizontal abgestrichene Lippe
Typenbezeichnung: S1D
Erhaltungszustand: gut
Fabrikat: 29
Beschreibung: Dm. Rand < 5 %, daher unsicher

Maße (cm):
Wandstärke: 0,8
Dm. (Rand): 20
Dm. (Rand, erhalten in %): 4,5

Kat.-Nr. 215 Taf. 9.215
Fundnr.: 11/1449/1/174
Form: Schale
Typ: weitmundig
Variante: regelmäßig gerundete Lippe
Typenbezeichnung: S4A
Erhaltungszustand: abgerieben
Fabrikat: 23
Beschreibung: Dm. Rand nicht ermittelbar

Kat.-Nr. 216
Fundnr.: 11/1449/1/182
Form: Schale
Typ: weitmundig
Variante: horizontal abgestrichene Lippe
Typenbezeichnung: S4D
Erhaltungszustand: äußere Oberfläche stark versintert, innen sehr gut erhalten
Fabrikat: 29
Beschreibung: Dm. Rand < 5 %, daher unsicher
Maße (cm):
Wandstärke: 0,8
Dm. (Rand): 26
Dm. (Rand, erhalten in %): 2,3

Kat.-Nr. 217 Taf. 9.217
Fundnr.: 11/1449/1/191
Form: Schale
Typ: weitmundig
Variante: schräg nach innen abgestrichene und verdickte Lippe
Typenbezeichnung: S4K
Erhaltungszustand: abgerieben, sekundär verbrannt
Fabrikat: 36
Beschreibung: Dm. Rand < 5%, daher unsicher
Maße (cm):
Wandstärke: 0,7
Dm. (Rand): 32
Dm. (Rand, erhalten in %): 1,3

Kat.-Nr. 218
Fundnr.: 11/1449/1/193
Form: Schale
Typ: Knickrandschale
Variante: regelmäßig gerundete Lippe
Typenbezeichnung: S3A
Erhaltungszustand: abgerieben
Fabrikat: 19
Maße (cm):
Winkel (Knick): 50°
Länge: 1,2
Breite: 0,7
Wandstärke: 0,4
Dm. (Rand): 20
Dm. (Rand, erhalten in %): 5

Kat.-Nr. 219
Fundnr.: 11/1449/1/195
Form: Schale
Typ: weitmundig
Variante: regelmäßig gerundete Lippe
Typenbezeichnung: S4A
Erhaltungszustand: versintert
Fabrikat: 24
Beschreibung: Dm. Rand < 5 %, daher unsicher
Maße (cm):
Wandstärke: 0,7
Dm. (Rand): 22
Dm. (Rand, erhalten in %): 3

Kat.-Nr. 220 Taf. 9.220
Fundnr.: 11/1449/1/202
Form: Schale
Typ: weitmundig
Variante: nach innen verdickte Lippe
Typenbezeichnung: S4U
Handhabe/Verzierung: mit randständiger Ö3
Erhaltungszustand: abgerieben
Fabrikat: 33
Maße (cm):
Breite: 2,3
Wandstärke: 0,65
Dm. (Rand): 26
Dm. (Rand, erhalten in %): 6
Dm. (Durchlochung): 1,2

Kat.-Nr. 221 Taf. 9.221
Fundnr.: 11/1449/1/216
Form: Schale
Typ: weitmundig
Variante: schräg nach innen abgestrichene und verdickte Lippe
Typenbezeichnung: S4K
Erhaltungszustand: abgerieben; Außenseite abgeplatzt, sehr viele Brüche
Fabrikat: 29
Beschreibung: Dm. Rand < 5 %, daher unsicher
Maße (cm):
Wandstärke: 0,9
Dm. (Rand): 24
Dm. (Rand, erhalten in %): 3,3

Kat.-Nr. 222 Taf. 9.222
Fundnr.: 11/1449/1/221
Form: Schale
Typ: Knickrandschale
Variante: regelmäßig gerundete Lippe
Typenbezeichnung: S3A
Erhaltungszustand: abgerieben
Fabrikat: 103
Beschreibung: Knickrandschale mit sehr ausgeprägtem, leicht einbiegendem Rand
Maße (cm):
Winkel (Knick): 50°
Länge: 2,2
Breite: 1,1
Wandstärke: 0,5

Dm. (Rand): 25
Dm. (Rand, erhalten in %): 5

Kat.-Nr. 223
Fundnr.: 11/1449/1/225
Form: Schale
Typ: kalottenförmig
Variante: regelmäßig gerundete Lippe
Typenbezeichnung: S1A
Erhaltungszustand: sehr gut
Fabrikat: 24
Beschreibung: Dm. Rand < 5 %, daher unsicher
Maße (cm):
Wandstärke: 0,8
Dm. (Rand): 20
Dm. (Rand, erhalten in %): 3,3

Töpfe

Kat.-Nr. 224 Taf. 10.224
Fundnr.: 11/1449/1/24
Form: Topf
Typ: steile Wandung
Variante: horizontal abgestrichene Lippe
Typenbezeichnung: T6D
Erhaltungszustand: abgerieben
Fabrikat: 17
Beschreibung: geformt in Wulsttechnik
Maße (cm):
Wandstärke: 1
Dm. (Rand): 19
Dm. (Rand, erhalten in %): 8

Kat.-Nr. 225 Taf. 10.225
Fundnr.: 11/1449/1/176
Form: Topf
Typ: steile Wandung
Variante: horizontal abgestrichene Lippe
Typenbezeichnung: T6D
Erhaltungszustand: abgerieben, versintert
Fabrikat: 24
Maße (cm):
Wandstärke: 1,8
Dm. (Rand): 24
Dm. (Rand, erhalten in %): 8

Kat.-Nr. 226 Taf. 10.226
Fundnr.: 11/1449/1/186
Form: Topf
Typ: steil konkave Wandung
Variante: regelmäßig gerundete Lippe
Typenbezeichnung: T2A
Erhaltungszustand: versintert, sekundär verbrannt
Fabrikat: 29
Maße (cm):
Wandstärke: 0,9
Dm. (Rand): 14
Dm. (Rand, erhalten in %): 11

Kat.-Nr. 227 Taf. 10.227
Fundnr.: 11/1449/1/215
Form: Topf
Typ: steile Wandung
Variante: horizontal abgestrichene Lippe
Typenbezeichnung: T6D
Handhabe/Verzierung: mit randständiger WS4
Erhaltungszustand: abgerieben, versintert
Fabrikat: 27
Beschreibung: Dm. Rand < 5 %, daher unsicher
Maße (cm):
Wandstärke: 1
Dm. (Rand): 28
Dm. (Rand, erhalten in %): 3,3

Engmundige Gefäße

Kat.-Nr. 228
Fundnr.: 11/1449/1/4
Form: Engmundig
Typ: Hals steil konkav
Variante: innen abgestrichene Lippe
Typenbezeichnung: E2N
Erhaltungszustand: abgerieben
Fabrikat: 22
Maße (cm):
Wandstärke: 0,8
Dm. (Rand): 14
Dm. (Rand, erhalten in %): 7

Kat.-Nr. 229
Fundnr.: 11/1449/1/5
Form: Engmundig
Typ: Hals konisch einziehend
Variante: regelmäßig gerundete Lippe
Typenbezeichnung: E1A
Erhaltungszustand: äußere Oberfläche sehr stark abgerieben
Fabrikat: 36
Maße (cm):
Wandstärke: 0,5
Dm. (Rand): 14
Dm. (Rand, erhalten in %): 7,7

Kat.-Nr. 230
Fundnr.: 11/1449/1/7
Form: Engmundig
Typ: Hals steil konkav
Variante: regelmäßig gerundete Lippe
Typenbezeichnung: E2A
Erhaltungszustand: sehr stark abgeriebene Oberfläche
Fabrikat: 36
Beschreibung: oval
Maße (cm):
Wandstärke: 0,6
Dm. (Rand): 12
Dm. (Rand, erhalten in %): 7

Kat.-Nr. 231
Fundnr.: 11/1449/1/14
Form: Engmundig
Typ: Hals konisch einziehend
Variante: regelmäßig gerundete Lippe
Typenbezeichnung: E1A
Erhaltungszustand: abgerieben, sehr stark versintert

Fabrikat: 36
Beschreibung: Dm. Rand < 5 %, daher unsicher
Maße (cm):
Wandstärke: 0,5
Dm. (Rand): 20
Dm. (Rand, erhalten in %): 3,7

Kat.-Nr. 232 Taf. 10.232
Fundnr.: 11/1449/1/16
Form: Engmundig
Typ: Hals steil konkav
Variante: spitz ausgezogene Lippe
Typenbezeichnung: E2B
Erhaltungszustand: versintert
Fabrikat: 22
Maße (cm):
Wandstärke: 0,5
Dm. (Rand): 10
Dm. (Rand, erhalten in %): 10

Kat.-Nr. 233
Fundnr.: 11/1449/1/18
Form: Engmundig
Typ: Hals konisch einziehend
Variante: regelmäßig gerundete Lippe
Typenbezeichnung: E1A
Erhaltungszustand: abgerieben
Fabrikat: 28
Maße (cm):
Wandstärke: 0,6
Dm. (Rand): 24
Dm. (Rand, erhalten in %): 5

Kat.-Nr. 234
Fundnr.: 11/1449/1/20
Form: Engmundig
Typ: Hals konisch einziehend
Variante: regelmäßig gerundete Lippe
Typenbezeichnung: E1A
Erhaltungszustand: abgerieben
Fabrikat: 17
Maße (cm):
Wandstärke: 0,7
Dm. (Rand): 12
Dm. (Rand, erhalten in %): 10

Kat.-Nr. 235 Taf. 10.235
Fundnr.: 11/1449/1/23
Form: Engmundig
Typ: gerade Wandung
Variante: nach außen verdickte Lippe
Typenbezeichnung: E1I
Erhaltungszustand: abgerieben, versintert und sekundär verbrannt
Fabrikat: 23
Maße (cm):
Wandstärke: 0,8
Dm. (Rand): 12
Dm. (Rand, erhalten in %): 5

Kat.-Nr. 236
Fundnr.: 11/1449/1/28
Form: Engmundig
Typ: Hals steil konkav
Variante: leicht verdickte Lippe
Typenbezeichnung: E2C
Erhaltungszustand: Oberfläche sehr stark abgerieben
Fabrikat: 24
Beschreibung: WG Bestimmung aufgrund des Kerns
Maße (cm):
Wandstärke: 0,7
Dm. (Rand): 20
Dm. (Rand, erhalten in %): 4

Kat.-Nr. 237
Fundnr.: 11/1449/1/30
Form: Engmundig
Typ: geschwungene Wandung
Variante: regelmäßig gerundete Lippe
Typenbezeichnung: Hg2A
Erhaltungszustand: versintert
Fabrikat: 36
Maße (cm):
Wandstärke: 0,7
Dm. (Rand): 19
Dm. (Rand, erhalten in %): 6,7

Kat.-Nr. 238
Fundnr.: 11/1449/1/33
Form: Engmundig
Typ: Hals steil konkav
Variante: spitz ausgezogene Lippe
Typenbezeichnung: E2B
Erhaltungszustand: abgerieben, leicht versintert
Fabrikat: 36
Maße (cm):
Wandstärke: 0,6
Dm. (Rand): 40
Dm. (Rand, erhalten in %): 21

Kat.-Nr. 239
Fundnr.: 11/1449/1/37
Form: Engmundig
Typ: Hals steil konkav
Variante: regelmäßig gerundete Lippe
Typenbezeichnung: E2A
Erhaltungszustand: stark abgerieben, sekundär verbrannt
Fabrikat: 24
Beschreibung: Dm. Rand < 5 %, daher unsicher
Maße (cm):
Wandstärke: 0,5
Dm. (Rand): 24
Dm. (Rand, erhalten in %): 3,3

Kat.-Nr. 240
Fundnr.: 11/1449/1/38
Form: Engmundig
Typ: Hals konisch einziehend
Variante: regelmäßig gerundete Lippe
Typenbezeichnung: E1A
Erhaltungszustand: stark abgerieben, versintert

Fabrikat: 18
Maße (cm):
Wandstärke: 0,5
Dm. (Rand): 12
Dm. (Rand, erhalten in %): 5,5

Kat.-Nr. 241
Fundnr.: 11/1449/1/93
Form: Engmundig
Typ: Hals steil konkav
Variante: horizontal abgestrichene Lippe
Typenbezeichnung: E2D
Erhaltungszustand: abgerieben, versintert
Fabrikat: 22
Maße (cm):
Wandstärke: 0,5
Dm. (Rand): 10
Dm. (Rand, erhalten in %): 14

Kat.-Nr. 242 Taf. 10.242
Fundnr.: 11/1449/1/95
Form: Engmundig
Typ: Hals konisch einziehend
Variante: regelmäßig gerundete Lippe
Typenbezeichnung: E2A
Erhaltungszustand: abgerieben
Fabrikat: 22
Maße (cm):
Wandstärke: 0,9
Dm. (Rand): 7
Dm. (Rand, erhalten in %): 7

Kat.-Nr. 243
Fundnr.: 11/1449/1/97
Form: Engmundig
Typ: Hals steil konkav
Variante: außen verdickte Lippe
Typenbezeichnung: E2I
Erhaltungszustand: abgerieben, sekundär verbrannt
Fabrikat: 22
Maße (cm):
Wandstärke: 0,6
Dm. (Rand): 14
Dm. (Rand, erhalten in %): 7,5

Kat.-Nr. 244
Fundnr.: 11/1449/1/98
Form: Engmundig
Typ: Hals konisch einziehend
Variante: regelmäßig gerundete Lippe
Typenbezeichnung: E1A
Erhaltungszustand: abgerieben
Fabrikat: 24
Maße (cm):
Wandstärke: 0,7
Dm. (Rand): 16
Dm. (Rand, erhalten in %): 7

Kat.-Nr. 245
Fundnr.: 11/1449/1/100
Form: Engmundig
Typ: Hals konisch einziehend
Variante: regelmäßig gerundete Lippe
Typenbezeichnung: E1A
Erhaltungszustand: äußere Oberfläche stark abgerieben, sekundär verbrannt
Fabrikat: 24
Beschreibung: leicht oval
Maße (cm):
Wandstärke: 0,4
Dm. (Rand): 10
Dm. (Rand, erhalten in %): 11,5

Kat.-Nr. 246
Fundnr.: 11/1449/1/102
Form: Engmundig
Typ: Hals konisch einziehend
Variante: leicht verdickte Lippe
Typenbezeichnung: E1C
Erhaltungszustand: stark abgerieben, sekundär verbrannt
Fabrikat: 22
Beschreibung: Dm. Rand < 5 %, daher unsicher
Maße (cm):
Wandstärke: 0,8
Dm. (Rand): 16
Dm. (Rand, erhalten in %): 4,7

Kat.-Nr. 247
Fundnr.: 11/1449/1/107
Form: Engmundig
Typ: Hals konisch einziehend
Variante: regelmäßig gerundete Lippe
Typenbezeichnung: E1A
Erhaltungszustand: abgerieben
Fabrikat: 36
Maße (cm):
Wandstärke: 0,5

Kat.-Nr. 248
Fundnr.: 11/1449/1/108
Form: Engmundig
Typ: Hals konisch einziehend
Variante: spitz ausgezogene Lippe
Typenbezeichnung: E1B
Erhaltungszustand: abgerieben, versintert und sekundär verbrannt
Fabrikat: 40
Maße (cm):
Wandstärke: 0,5
Dm. (Rand): 24
Dm. (Rand, erhalten in %): 8,3

Kat.-Nr. 249
Fundnr.: 11/1449/1/111
Form: Engmundig
Typ: Hals steil konkav
Variante: regelmäßig gerundete Lippe
Typenbezeichnung: E2A
Erhaltungszustand: abgerieben, versintert und sekundär verbrannt
Fabrikat: 22
Maße (cm):
Wandstärke: 0,5

Dm. (Rand): 13
Dm. (Rand, erhalten in %): 8,4

Kat.-Nr. 250
Fundnr.: 11/1449/1/114
Form: Engmundig
Typ: Hals steil konkav
Variante: regelmäßig gerundete Lippe
Typenbezeichnung: E2A
Erhaltungszustand: abgerieben
Fabrikat: 17
Maße (cm):
Wandstärke: 0,8
Dm. (Rand): 12
Dm. (Rand, erhalten in %): 11,5

Kat.-Nr. 251 Taf. 11.251
Fundnr.: 11/1449/1/116
Form: Engmundig
Typ: Hals konisch einziehend
Variante: innen abgestrichene Lippe
Typenbezeichnung: E1N
Erhaltungszustand: versintert
Fabrikat: 22
Maße (cm):
Wandstärke: 0,6
Dm. (Rand): 16
Dm. (Rand, erhalten in %): 10

Kat.-Nr. 252
Fundnr.: 11/1449/1/117
Form: Engmundig
Typ: Hals konisch einziehend
Variante: regelmäßig gerundete Lippe
Typenbezeichnung: E1A
Erhaltungszustand: sehr gut
Fabrikat: 36
Maße (cm):
Wandstärke: 0,4
Dm. (Rand): 11
Dm. (Rand, erhalten in %): 6

Kat.-Nr. 253
Fundnr.: 11/1449/1/119
Form: Engmundig
Typ: Hals konisch einziehend
Variante: regelmäßig gerundete Lippe
Typenbezeichnung: E1A
Erhaltungszustand: abgerieben, versintert
Fabrikat: 24
Maße (cm):
Wandstärke: 0,5
Dm. (Rand): 24
Dm. (Rand, erhalten in %): 8

Kat.-Nr. 254
Fundnr.: 11/1449/1/120
Form: Engmundig
Typ: Hals steil konkav
Variante: leicht verdickte Lippe
Typenbezeichnung: E2C
Erhaltungszustand: abgerieben, versintert und sekundär verbrannt
Fabrikat: 40
Maße (cm):
Wandstärke: 0,5
Dm. (Rand): 10
Dm. (Rand, erhalten in %): 13

Kat.-Nr. 255
Fundnr.: 11/1449/1/121
Form: Engmundig
Typ: Hals steil konkav
Variante: leicht verdickte Lippe
Typenbezeichnung: E2C
Erhaltungszustand: abgerieben
Fabrikat: 24
Beschreibung: Dm. Rand < 5 %, daher unsicher
Maße (cm):
Wandstärke: 0,6
Dm. (Rand): 13
Dm. (Rand, erhalten in %): 4

Kat.-Nr. 256
Fundnr.: 11/1449/1/122
Form: Engmundig
Typ: Hals konisch einziehend
Variante: regelmäßig gerundete Lippe
Typenbezeichnung: E1A
Erhaltungszustand: versintert
Fabrikat: nicht bestimmbar
Beschreibung: WG ähnlich WG 22
Maße (cm):
Wandstärke: 0,5
Dm. (Rand): 10
Dm. (Rand, erhalten in %): 6

Kat.-Nr. 257
Fundnr.: 11/1449/1/158
Form: Engmundig
Typ: Hals steil konkav
Variante: horizontal abgestrichene Lippe
Typenbezeichnung: E2D
Erhaltungszustand: abgerieben
Fabrikat: 36
Beschreibung: leicht oval
Maße (cm):
Wandstärke: 0,5
Dm. (Rand): 12
Dm. (Rand, erhalten in %): 8

Kat.-Nr. 258
Fundnr.: 11/1449/1/159
Form: Engmundig
Typ: Hals steil konkav
Variante: leicht verdickte Lippe
Typenbezeichnung: E2C
Erhaltungszustand: abgerieben
Fabrikat: 22
Maße (cm):
Wandstärke: 0,6
Dm. (Rand): 14
Dm. (Rand, erhalten in %): 8

Kat.-Nr. 259
Fundnr.: 11/1449/1/160
Form: Engmundig
Typ: Hals konisch einziehend
Variante: regelmäßig gerundete Lippe
Typenbezeichnung: E1A
Erhaltungszustand: abgerieben
Fabrikat: 22
Beschreibung: Dm. Rand < 5%, daher unsicher
Maße (cm):
Wandstärke: 0,2
Dm. (Rand): 18
Dm. (Rand, erhalten in %): 3,4

Kat.-Nr. 260
Fundnr.: 11/1449/1/162
Form: Engmundig
Typ: Hals steil konkav
Variante: regelmäßig gerundete Lippe
Typenbezeichnung: E2A
Erhaltungszustand: abgerieben, sekundär verbrannt
Fabrikat: 17
Beschreibung: Oberflächefarbe rot (10R–5/8); Dm. Rand < 5 %, daher unsicher
Maße (cm):
Wandstärke: 0,8
Dm. (Rand): 20
Dm. (Rand, erhalten in %): 4

Kat.-Nr. 261
Fundnr.: 11/1449/1/164
Form: Engmundig
Typ: Hals steil konkav
Variante: regelmäßig gerundete Lippe
Typenbezeichnung: E2A
Erhaltungszustand: abgerieben
Fabrikat: 24
Beschreibung: Dm. Rand nicht ermittelbar
Maße (cm):
Wandstärke: 0,6

Kat.-Nr. 262
Fundnr.: 11/1449/1/165
Form: Engmundig
Typ: Hals konisch einziehend
Variante: regelmäßig gerundete Lippe
Typenbezeichnung: E1A
Erhaltungszustand: abgerieben
Fabrikat: 36
Maße (cm):
Wandstärke: 0,4
Dm. (Rand): 10
Dm. (Rand, erhalten in %): 5

Kat.-Nr. 263
Fundnr.: 11/1449/1/166
Form: Engmundig
Typ: Hals konisch einziehend
Variante: regelmäßig gerundete Lippe
Typenbezeichnung: E1A
Erhaltungszustand: abgerieben, stark sekundär verbrannt
Fabrikat: 22
Maße (cm):
Wandstärke: 0,5
Dm. (Rand): 20
Dm. (Rand, erhalten in %): 5

Kat.-Nr. 264
Fundnr.: 11/1449/1/167
Form: Engmundig
Typ: Hals konisch einziehend
Variante: regelmäßig gerundete Lippe
Typenbezeichnung: E1A
Handhabe/Verzierung: mit unterrandständiger WS4
Erhaltungszustand: abgerieben
Fabrikat: 17
Beschreibung: Dm. Rand < 5 %, daher unsicher
Maße (cm):
Wandstärke: 0,7
Dm. (Rand): 20
Dm. (Rand, erhalten in %): 4,7

Kat.-Nr. 265
Fundnr.: 11/1449/1/170
Form: Engmundig
Typ: Hals steil konkav
Variante: leicht verdickte Lippe
Typenbezeichnung: E2C
Erhaltungszustand: abgerieben
Fabrikat: 17
Beschreibung: Dm. Rand < 5 %, daher unsicher
Maße (cm):
Wandstärke: 0,8
Dm. (Rand): 30
Dm. (Rand, erhalten in %): 3,7

Kat.-Nr. 266
Fundnr.: 11/1449/1/172
Form: Engmundig
Typ: Hals steil konkav
Variante: spitz ausgezogene Lippe
Typenbezeichnung: E2B
Erhaltungszustand: abgerieben
Fabrikat: 22
Beschreibung: Dm. Rand nicht ermittelbar
Maße (cm):
Wandstärke: 0,6

Kat.-Nr. 267 Taf. 11.267
Fundnr.: 11/1449/1/177
Form: Engmundig
Typ: Hals konisch einziehend
Variante: spitz ausgezogene Lippe
Typenbezeichnung: E1B
Erhaltungszustand: abgerieben
Fabrikat: 17
Maße (cm):
Wandstärke: 0,5
Dm. (Rand): 8
Dm. (Rand, erhalten in %): 9

Kat.-Nr. 268
Fundnr.: 11/1449/1/178

Form: Engmundig
Typ: Hals konisch einziehend
Variante: regelmäßig gerundete Lippe
Typenbezeichnung: E1A
Erhaltungszustand: stark versintert, sekundär verbrannt
Fabrikat: 100
Beschreibung: Dm. Rand < 5 %, daher unsicher
Maße (cm):
Wandstärke: 0,6
Dm. (Rand): 22
Dm. (Rand, erhalten in %): 4,5

Kat.-Nr. 269
Fundnr.: 11/1449/1/179
Form: Engmundig
Typ: Hals konvex einziehend
Variante: regelmäßig gerundete Lippe
Typenbezeichnung: E3A
Erhaltungszustand: gut
Fabrikat: 22
Beschreibung: Dm. Rand < 5 %, daher unsicher
Maße (cm):
Wandstärke: 0,4
Dm. (Rand): 16
Dm. (Rand, erhalten in %): 4

Kat.-Nr. 270
Fundnr.: 11/1449/1/183
Form: Engmundig
Typ: Hals steil konkav
Variante: regelmäßig gerundete Lippe
Typenbezeichnung: E2A
Erhaltungszustand: gut
Fabrikat: 36
Beschreibung: Dm. Rand < 5 %, daher unsicher
Maße (cm):
Wandstärke: 0,7
Dm. (Rand): 30
Dm. (Rand, erhalten in %): 3,5

Kat.-Nr. 271
Fundnr.: 11/1449/1/190
Form: Engmundig
Typ: Hals konisch einziehend
Variante: spitz ausgezogene Lippe
Typenbezeichnung: E1B
Erhaltungszustand: abgerieben
Fabrikat: 24
Beschreibung: Dm. Rand < 5 %, daher unsicher
Maße (cm):
Wandstärke: 0,5
Dm. (Rand): 10
Dm. (Rand, erhalten in %): 4

Kat.-Nr. 272
Fundnr.: 11/1449/1/192
Form: Engmundig
Typ: Hals konisch einziehend
Variante: regelmäßig gerundete Lippe
Typenbezeichnung: E1A
Erhaltungszustand: abgerieben
Fabrikat: 19
Beschreibung: Dm. Rand < 5 %, daher unsicher
Maße (cm):
Wandstärke: 0,5
Dm. (Rand): 14
Dm. (Rand, erhalten in %): 4

Kat.-Nr. 273
Fundnr.: 11/1449/1/209
Form: Engmundig
Typ: Hals konisch einziehend
Variante: regelmäßig gerundete Lippe
Typenbezeichnung: E1A
Erhaltungszustand: gut, leicht versintert
Fabrikat: 22
Beschreibung: Dm. Rand < 5 %, daher unsicher
Maße (cm):
Wandstärke: 0,6
Dm. (Rand): 26
Dm. (Rand, erhalten in %): 3

Kat.-Nr. 274
Fundnr.: 11/1449/1/211
Form: Engmundig
Typ: Hals konisch einziehend
Variante: regelmäßig gerundete Lippe
Typenbezeichnung: E1A
Erhaltungszustand: abgerieben
Fabrikat: 100
Maße (cm):
Wandstärke: 0,5
Dm. (Rand): 12
Dm. (Rand, erhalten in %): 6

Kat.-Nr. 275
Fundnr.: 11/1449/1/219
Form: Engmundig
Typ: Hals konisch einziehend
Variante: regelmäßig gerundete Lippe
Typenbezeichnung: E1A
Erhaltungszustand: gut, leicht versintert
Fabrikat: 31
Maße (cm):
Wandstärke: 0,4
Dm. (Rand): 14
Dm. (Rand, erhalten in %): 6

Kat.-Nr. 276
Fundnr.: 11/1449/1/222
Form: Engmundig
Typ: Hals steil konkav
Variante: regelmäßig gerundete Lippe
Typenbezeichnung: E2A
Erhaltungszustand: abgerieben
Fabrikat: 17
Maße (cm):
Wandstärke: 0,7
Dm. (Rand): 24
Dm. (Rand, erhalten in %): 5

Halsgefäße

Kat.-Nr. 277 Taf. 11.277
Fundnr.: 11/1449/1/3
Form: Halsgefäß

Typ: gerade Wandung
Variante: regelmäßig gerundete Lippe
Typenbezeichnung: Hg1A
Handhabe/Verzierung: mit unterrandständigem H2A
Erhaltungszustand: abgerieben
Fabrikat: 17
Maße (cm):
Höhe: 1,4
Länge: 5,2
Breite: 4,6
Wandstärke: 0,8
Dm. (Rand): 12
Dm. (Rand, erhalten in %): 9

Kat.-Nr. 278 Taf. 11.278
Fundnr.: 11/1449/1/25
Form: Halsgefäß
Typ: geschwungene Wandung
Variante: regelmäßig gerundete Lippe
Typenbezeichnung: Hg2A
Erhaltungszustand: leicht abgerieben
Fabrikat: 34
Maße (cm):
Wandstärke: 1,3
Dm. (Rand): 26
Dm. (Rand, erhalten in %): 5

Kat.-Nr. 279 Taf. 11.279
Fundnr.: 11/1449/1/32
Form: Halsgefäß
Typ: gerade Wandung
Variante: spitz ausgezogene Lippe
Typenbezeichnung: Hg1B
Erhaltungszustand: versintert
Fabrikat: 100
Maße (cm):
Wandstärke: 0,5
Dm. (Rand): 20
Dm. (Rand, erhalten in %): 5,5

Kat.-Nr. 280
Fundnr.: 11/1449/1/99
Form: Halsgefäß
Typ: geschwungene Wandung
Variante: regelmäßig gerundete Lippe
Typenbezeichnung: Hg2A
Erhaltungszustand: abgerieben
Fabrikat: 19
Maße (cm):
Wandstärke: 0,5
Dm. (Rand): 10
Dm. (Rand, erhalten in %): 10

Kat.-Nr. 281 Taf. 11.281
Fundnr.: 11/1449/1/115
Form: Halsgefäß
Typ: geschwungene Wandung
Variante: spitz ausgezogene Lippe
Typenbezeichnung: Hg2B
Erhaltungszustand: abgerieben, versintert und sekundär verbrannt
Fabrikat: 22
Maße (cm):
Wandstärke: 0,5
Dm. (Rand): 24
Dm. (Rand, erhalten in %): 5

Kat.-Nr. 282 Taf. 11.282
Fundnr.: 11/1449/1/185
Form: Halsgefäß
Typ: geschwungene Wandung
Variante: nach innen geschwollener Rand
Typenbezeichnung: Hg2F
Handhabe/Verzierung: mit leicht unterrandständigem WS4 (vermutlich H1)
Erhaltungszustand: abgerieben, versintert und sekundär verbrannt
Fabrikat: 15
Maße (cm):
Wandstärke: 1,5
Dm. (Rand): 25
Dm. (Durchlochung): 0,8
Dm. (Rand, erhalten in %): 5,4

Kat.-Nr. 283 Taf. 12.283
Fundnr.: 11/1449/1/207
Form: Halsgefäß
Typ: geschwungene Wandung
Variante: regelmäßig gerundete Lippe
Typenbezeichnung: Hg2A
Handhabe/Verzierung: mit unterrandständigem WS4 (vermultich H1)
Erhaltungszustand: gut, leicht versintert
Fabrikat: 15
Beschreibung: Vorratsgefäß?
Maße (cm):
Wandstärke: 1,5
Dm. (Rand): 44
Dm. (Rand, erhalten in %): 7,1

Kat.-Nr. 284 Taf. 12.284
Fundnr.: 11/1449/1/208
Form: Halsgefäß
Typ: geschwungene Wandung
Variante: regelmäßig gerundete Lippe
Typenbezeichnung: Hg2A
Handhabe/Verzierung: mit unterrandständigem WS4 (vermultich H1)
Erhaltungszustand: abgerieben, versintert
Fabrikat: 15
Beschreibung: eventuell. zu 12/4509/1/1 gehörig (Kat.-Nr. 436); Vorratsgefäß?
Maße (cm):
Wandstärke: 1,6
Dm. (Rand): 40
Dm. (Rand, erhalten in %): 22,5

Kat.-Nr. 285
Fundnr.: 11/1449/1/217
Form: Halsgefäß
Typ: gerade Wandung
Variante: regelmäßig gerundete Lippe
Typenbezeichnung: Hg1A
Erhaltungszustand: sekundär verbrannt

Fabrikat: 100
Maße (cm):
Wandstärke: 0,4
Dm. (Rand): 16
Dm. (Rand, erhalten in %): 9

Kat.-Nr. 286
Fundnr.: 11/1449/1/226
Form: Halsgefäß
Typ: gerade Wandung
Variante: spitz ausgezogene Lippe
Typenbezeichnung: Hg1B
Erhaltungszustand: versintert, sekundär verbrannt
Fabrikat: 22
Maße (cm):
Wandstärke: 0,6
Dm. (Rand): 22
Dm. (Rand, erhalten in %): 5

Kannen

Kat.-Nr. 287
Fundnr.: 11/1449/1/187
Form: Kanne
Typ: unbestimmbar
Variante: unbestimmbar
Typenbezeichnung: Ka0
Handhabe/Verzierung: mit leicht überrandständigem WS4
Erhaltungszustand: sekundär verbrannt
Fabrikat: 103
Beschreibung: Dm. Rand < 5 %, daher unsicher
Maße (cm):
Höhe: 1,1
Breite: 2,2
Wandstärke: 0,4
Dm. (Rand): 8
Dm. (Rand, erhalten in %): 2

Kat.-Nr. 288 Taf. 12.288
Fundnr.: 11/1449/1/188
Form: Kanne
Typ: unbestimmbar
Variante: unbestimmbar
Typenbezeichnung: Ka0
Handhabe/Verzierung: mit überandständigem H1A
Erhaltungszustand: Oberfläche zum Teil abgeplatzt, da sekundär verbrannt
Fabrikat: 33
Maße (cm):
Höhe: 1
Länge: erh. 1,5
Breite: 2,1
Wandstärke: 0,6
Dm. (Rand): 4
Dm. (Rand, erhalten in %): 35

Kat.-Nr. 289
Fundnr.: 11/1449/1/194
Form: Kanne
Typ: Schnabelkanne
Typenbezeichnung: Ka2
Erhaltungszustand: gut, leicht abgerieben
Fabrikat: 33
Maße (cm):
Länge: 2,8
Breite: 4,8
Wandstärke: 0,4

Kat.-Nr. 290
Fundnr.: 11/1449/1/210
Form: Kanne
Typ: unbestimmbar
Variante: unbestimmbar
Typenbezeichnung: Ka0
Erhaltungszustand: abgerieben
Fabrikat: 24
Maße (cm):
Wandstärke: 0,5
Dm. (Rand): 8
Dm. (Rand, erhalten in %): 12

Böden

Kat.-Nr. 291
Fundnr.: 11/1449/1/39
Form: Boden
Typ: Scheibenbasis
Variante: gerade Standfläche
Typenbezeichnung: B2B
Erhaltungszustand: sehr stark abgerieben
Fabrikat: 22
Beschreibung: WG schlecht bestimmbar
Maße (cm):
Wandstärke: 0,6
Dm. (Boden): 5
Dm. (Boden, erhalten in %): 21

Kat.-Nr. 292
Fundnr.: 11/1449/1/40
Form: Boden
Typ: Scheibenbasis
Variante: eingewölbte Standfläche
Typenbezeichnung: B2A
Erhaltungszustand: abgerieben, versintert
Fabrikat: 28
Maße (cm):
Wandstärke: 0,8
Dm. (Boden): 9
Dm. (Boden, erhalten in %): 30

Kat.-Nr. 293
Fundnr.: 11/1449/1/44
Form: Boden
Typ: Flachboden
Variante: eckiger Übergang zur Basis
Typenbezeichnung: B1B
Erhaltungszustand: abgerieben
Fabrikat: 17
Maße (cm):
Wandstärke: 0,8
Dm. (Boden): ca 12
Dm. (Boden, erhalten in %): 5,5

Kat.-Nr. 294
Fundnr.: 11/1449/1/51
Form: Boden
Typ: Scheibenbasis
Variante: eingewölbte Standfläche
Typenbezeichnung: B2A
Erhaltungszustand: abgerieben
Fabrikat: 36
Maße (cm):
Wandstärke: 0,7
Dm. (Boden): 12
Dm. (Boden, erhalten in %): 16

Kat.-Nr. 295
Fundnr.: 11/1449/1/53
Form: Boden
Typ: Scheibenbasis
Variante: gerade Standfläche
Typenbezeichnung: B2B
Erhaltungszustand: stark abgerieben, versintert
Fabrikat: 36
Maße (cm):
Dm. (Boden): 8
Dm. (Boden, erhalten in %): 21,4

Kat.-Nr. 296
Fundnr.: 11/1449/1/54
Form: Boden
Typ: Scheibenbasis
Variante: gerade Standfläche
Typenbezeichnung: B2B
Erhaltungszustand: abgerieben
Fabrikat: 24
Maße (cm):
Wandstärke: 0,8
Dm. (Boden): 10
Dm. (Boden, erhalten in %): 13

Kat.-Nr. 297 Taf. 12.297
Fundnr.: 11/1449/1/56
Form: Boden
Typ: Flachboden
Variante: abgerundeter Übergang zur Basis
Typenbezeichnung: B1A
Erhaltungszustand: abgerieben
Fabrikat: 33
Beschreibung: wahrscheinlich Boden von einer weitmundigen Schale
Maße (cm):
Wandstärke: 0,8
Dm. (Boden): 6
Dm. (Boden, erhalten in %): 29

Kat.-Nr. 298 Taf. 13.298
Fundnr.: 11/1449/1/57
Form: Boden
Typ: Scheibenbasis
Variante: gerade Standfläche
Typenbezeichnung: B2B
Erhaltungszustand: versintert
Fabrikat: 17
Maße (cm):
Wandstärke: 0,5
Dm. (Boden): 7
Dm. (Boden, erhalten in %): 40

Kat.-Nr. 299
Fundnr.: 11/1449/1/59
Form: Boden
Typ: Scheibenbasis
Variante: unbestimmbar
Typenbezeichnung: B20
Erhaltungszustand: sehr stark abgerieben, sekundär verbrannt
Fabrikat: 37
Maße (cm):
Wandstärke: 0,9
Dm. (Boden): 6
Dm. (Boden, erhalten in %): 26

Kat.-Nr. 300
Fundnr.: 11/1449/1/126
Form: Boden
Typ: Scheibenbasis
Variante: gerade Standfläche
Typenbezeichnung: B2B
Erhaltungszustand: abgerieben, versintert
Fabrikat: 100
Maße (cm):
Wandstärke: 0,5
Dm. (Boden): 11
Dm. (Boden, erhalten in %): 27

Kat.-Nr. 301
Fundnr.: 11/1449/1/127
Form: Boden
Typ: Scheibenbasis
Variante: eingewölbte Standfläche
Typenbezeichnung: B2A
Erhaltungszustand: abgerieben, versintert
Fabrikat: 19
Maße (cm):
Wandstärke: 0,4
Dm. (Boden): 6
Dm. (Boden, erhalten in %): 14

Kat.-Nr. 302
Fundnr.: 11/1449/1/128
Form: Boden
Typ: Flachboden
Variante: abgesetzte Standfläche
Typenbezeichnung: B1D
Erhaltungszustand: stark abgerieben, sekundär verbrannt
Fabrikat: 28
Beschreibung: Dm. Boden nicht ermittelbar
Maße (cm):
Wandstärke: 0,6

Kat.-Nr. 303
Fundnr.: 11/1449/1/129
Form: Boden

Typ: Scheibenbasis
Variante: gerade Standfläche
Typenbezeichnung: B2B
Erhaltungszustand: versintert, sehr stark sekundär verbrannt
Fabrikat: 40
Beschreibung: Oberflächefarbe hellrot (10R–6/8)
Maße (cm):
Dm. (Boden): 9
Dm. (Boden, erhalten in %): 17

Kat.-Nr. 304
Fundnr.: 11/1449/1/131
Form: Boden
Typ: Scheibenbasis
Variante: unbestimmbar
Typenbezeichnung: B20
Erhaltungszustand: abgerieben, versintert und sekundär verbrannt
Fabrikat: 24
Maße (cm):
Wandstärke: 0,5

Kat.-Nr. 305
Fundnr.: 11/1449/1/132
Form: Boden
Typ: Scheibenbasis
Variante: gerade Standfläche
Typenbezeichnung: B2B
Erhaltungszustand: abgerieben, versintert und sekundär verbrannt
Fabrikat: 22
Maße (cm):
Wandstärke: 0,6

Kat.-Nr. 306
Fundnr.: 11/1449/1/134
Form: Boden
Typ: Flachboden oval
Variante: abgerundeter Übergang zur Basis
Typenbezeichnung: B1C
Erhaltungszustand: stark sekundär verbrannt
Fabrikat: nicht bestimmbar
Beschreibung: WG ähnelt WG 23
Maße (cm):
Wandstärke: 1
Dm. (Boden): 8–9
Dm. (Boden, erhalten in %): 35

Kat.-Nr. 307 Taf. 13.307
Fundnr.: 11/1449/1/135
Form: Boden
Typ: Scheibenbasis
Variante: gerade Standfläche
Typenbezeichnung: B2B
Erhaltungszustand: abgerieben
Fabrikat: 17
Maße (cm):
Wandstärke: 0,8
Dm. (Boden): 8
Dm. (Boden, erhalten in %): 45

Kat.-Nr. 308
Fundnr.: 11/1449/1/136
Form: Boden
Typ: Flachboden oval
Variante: abgerundeter Übergang zur Basis
Typenbezeichnung: B1C
Erhaltungszustand: abgerieben, leicht sekundär verbrannt
Fabrikat: 22
Maße (cm):
Wandstärke: 0,4
Dm. (Boden): 7–8
Dm. (Boden, erhalten in %): 22

Kat.-Nr. 309
Fundnr.: 11/1449/1/137
Form: Boden
Typ: Scheibenbasis
Variante: gerade Standfläche
Typenbezeichnung: B2B
Erhaltungszustand: abgerieben
Fabrikat: 28
Maße (cm):
Wandstärke: 0,7
Dm. (Boden): 7
Dm. (Boden, erhalten in %): 27

Kat.-Nr. 310
Fundnr.: 11/1449/1/139
Form: Boden
Typ: Scheibenbasis
Variante: eingewölbte Standfläche
Typenbezeichnung: B2A
Erhaltungszustand: stark abgerieben, versintert
Fabrikat: nicht bestimmbar
Beschreibung: WG aufgrund des Erhaltungszustandes nicht bestimmbar, Ähnlichkeiten mit WG 24 und 29
Maße (cm):
Wandstärke: 0,7
Dm. (Boden): 14
Dm. (Boden, erhalten in %): 7

Kat.-Nr. 311
Fundnr.: 11/1449/1/140
Form: Boden
Typ: Flachboden
Variante: eckiger Übergang zur Basis
Typenbezeichnung: B1B
Erhaltungszustand: abgerieben, versintert
Fabrikat: 17
Maße (cm):
Wandstärke: 0,7
Dm. (Boden): 8
Dm. (Boden, erhalten in %): 15

Kat.-Nr. 312
Fundnr.: 11/1449/1/141
Form: Boden
Typ: Flachboden
Variante: abgesetzte Standfläche
Typenbezeichnung: B1B

Erhaltungszustand: abgerieben, versintert
Fabrikat: 24
Maße (cm):
Wandstärke: 0,8
Dm. (Boden): 8
Dm. (Boden, erhalten in %): 14

Kat.-Nr. 313
Fundnr.: 11/1449/1/142
Form: Boden
Typ: Scheibenbasis
Variante: gerade Standfläche
Typenbezeichnung: B2B
Erhaltungszustand: abgerieben
Fabrikat: 36
Maße (cm):
Wandstärke: 0,5
Dm. (Boden): 6
Dm. (Boden, erhalten in %): 25,5

Kat.-Nr. 314
Fundnr.: 11/1449/1/143
Form: Boden
Typ: Flachboden
Variante: abgerundeter Übergang zur Basis
Typenbezeichnung: B1A
Erhaltungszustand: versintert
Fabrikat: 22
Beschreibung: abgerieben
Maße (cm):
Wandstärke: 0,5
Dm. (Boden): 7
Dm. (Boden, erhalten in %): 20

Kat.-Nr. 315
Fundnr.: 11/1449/1/144
Form: Boden
Typ: Flachboden
Variante: abgerundeter Übergang zur Basis
Typenbezeichnung: B1A
Erhaltungszustand: abgerieben
Fabrikat: 22
Maße (cm):
Wandstärke: 0,7
Dm. (Boden): 10
Dm. (Boden, erhalten in %): 9

Kat.-Nr. 316
Fundnr.: 11/1449/1/157
Form: Boden
Typ: Flachboden
Variante: abgerundeter Übergang zur Basis
Typenbezeichnung: B1A
Erhaltungszustand: abgerieben
Fabrikat: 22
Maße (cm):
Wandstärke: 0,5
Dm. (Boden): 13
Dm. (Boden, erhalten in %): 8,3

Kat.-Nr. 317
Fundnr.: 11/1449/1/173
Form: Boden
Typ: Scheibenbasis
Variante: unbestimmbar
Typenbezeichnung: B20
Erhaltungszustand: abgerieben
Fabrikat: 24
Beschreibung: Standfläche nicht erhalten
Maße (cm):
Wandstärke: 1
Dm. (Boden): 14
Dm. (Boden, erhalten in %): 9

Kat.-Nr. 318
Fundnr.: 11/1449/1/198
Form: Boden
Typ: Flachboden
Variante: abgesetzte Standfläche
Typenbezeichnung: B1D
Erhaltungszustand: abgerieben, äußere Oberfläche stark versintert
Fabrikat: 36
Maße (cm):
Wandstärke: 0,5
Dm. (Boden): 13
Dm. (Boden, erhalten in %): 12

Kat.-Nr. 319
Fundnr.: 11/1449/1/199
Form: Boden
Typ: Flachboden
Variante: abgerundeter Übergang zur Basis
Typenbezeichnung: B1A
Erhaltungszustand: abgerieben, leicht sekundär verbrannt
Fabrikat: 17
Maße (cm):
Wandstärke: 0,5
Dm. (Boden): 5
Dm. (Boden, erhalten in %): 18

Deckel

Kat.-Nr. 320
Fundnr.: 11/1449/1/52
Form: Deckel
Typ: Stulpdeckel
Variante: unverziert
Typenbezeichnung: De1A
Erhaltungszustand: abgerieben
Fabrikat: 11
Maße (cm):
Wandstärke: 0,9
Dm. (Deckel): 14–16
Dm. (Deckel, erhalten in %): 14

Kat.-Nr. 321 Taf. 13.321
Fundnr.: 11/1449/1/155
Form: Deckel
Typ: Flachdeckel
Variante: unverziert
Typenbezeichnung: De2A
Handhabe/Verzierung: mit WS4 auf der Oberseite

Erhaltungszustand: abgerieben, versintert und sekundär verbrannt
Fabrikat: 100
Maße (cm):
Dm. (Durchlochung): 0,7–1
Dm. (Deckel oben): 11
Dm. (Deckel oben, erhalten in %): 11
Dm. (Deckel unten): 12
Dm. (Deckel unten, erhalten in %): 10

Ausgüsse

Kat.-Nr. 322
Fundnr.: 11/1449/1/218
Form: Ausguss
Typ: eckiger Abschluss
Typenbezeichnung: Au2
Erhaltungszustand: gut
Fabrikat: 33
Beschreibung: leicht abgerieben
Maße (cm):
Länge: 2
Breite: 2,3
Wandstärke: 0,5

Vertikalhenkel

Kat.-Nr. 323
Fundnr.: 11/1449/1/55
Form: Vertikalhenkel
Typ: breiter Querschnitt
Variante: durchlocht
Typenbezeichnung: H2B
Erhaltungszustand: abgerieben, versintert
Fabrikat: 17
Maße (cm):
Höhe: 1,3
Länge: erh. 9,3
Breite: 3,2
Dm. (Durchlochung): 0,8

Kat.-Nr. 324
Fundnr.: 11/1449/1/61
Form: Vertikalhenkel
Typ: ovaler Querschnitt
Variante: unverziert
Typenbezeichnung: H1A
Erhaltungszustand: versintert, sekundär verbrannt
Fabrikat: 33
Maße (cm):
Höhe: 1,8
Länge: 12
Breite: 2,4
Wandstärke: 0,4

Kat.-Nr. 325 Taf. 13.325
Fundnr.: 11/1449/1/64
Form: Vertikalhenkel
Typ: breiter Querschnitt
Variante: durchlocht
Typenbezeichnung: H2B
Erhaltungszustand: abgerieben
Fabrikat: 17
Beschreibung: je eine Durchlochung am oberen und unteren Ansatz des Henkels; vermutlich überrandständig und von einer Kanne
Maße (cm):
Höhe: 1,4
Länge: 9,2
Breite: 3,4–5,1
Wandstärke: 0,55
Dm. (Durchlochung): 0,8

Kat.-Nr. 326
Fundnr.: 11/1449/1/65
Form: Vertikalhenkel
Typ: breiter Querschnitt
Variante: unverziert
Typenbezeichnung: H2A
Erhaltungszustand: abgerieben, versintert; Rand ausgebrochen
Fabrikat: 17
Maße (cm):
Höhe: 1,7
Länge: erh. 5,8
Breite: 4,2
Wandstärke: 0,8

Kat.-Nr. 327
Fundnr.: 11/1449/1/66
Form: Vertikalhenkel
Typ: breiter Querschnitt
Variante: unverziert
Typenbezeichnung: H2A
Erhaltungszustand: abgerieben, versintert
Fabrikat: 15
Maße (cm):
Höhe: 1,5
Länge: 8,2
Breite: 3,8

Kat.-Nr. 328
Fundnr.: 11/1449/1/68
Form: Vertikalhenkel
Typ: ovaler Querschnitt
Variante: unverziert
Typenbezeichnung: H1A
Erhaltungszustand: abgerieben
Fabrikat: 19
Maße (cm):
Höhe: 1,4
Länge: erh. 3,6
Breite: 2,9

Kat.-Nr. 329
Fundnr.: 11/1449/1/70
Form: Vertikalhenkel
Typ: ovaler Querschnitt
Variante: unverziert
Typenbezeichnung: H1A
Erhaltungszustand: abgerieben, versintert und sekundär verbrannt
Fabrikat: 15
Maße (cm):

Höhe: 2,7
Länge: erh. 8,1
Breite: 4,2

Kat.-Nr. 330
Fundnr.: 11/1449/1/71
Form: Vertikalhenkel
Typ: ovaler Querschnitt
Variante: unverziert
Typenbezeichnung: H1A
Erhaltungszustand: stark abgerieben
Fabrikat: 17
Maße (cm):
Höhe: 2,1
Länge: erh. 6,5
Breite: 3
Wandstärke: 0,6

Kat.-Nr. 331
Fundnr.: 11/1449/1/77
Form: Vertikalhenkel
Typ: ovaler Querschnitt
Variante: unverziert
Typenbezeichnung: H1A
Erhaltungszustand: abgerieben
Fabrikat: 19
Maße (cm):
Höhe: 1,1
Länge: 2,5
Breite: 1,6

Kat.-Nr. 332
Fundnr.: 11/1449/1/80
Form: Vertikalhenkel
Typ: breiter Querschnitt
Variante: unverziert
Typenbezeichnung: H2A
Erhaltungszustand: gut, leicht abgerieben
Fabrikat: 103
Maße (cm):
Höhe: 0,7
Länge: 3,6
Breite: 1,2

Kat.-Nr. 333
Fundnr.: 11/1449/1/146
Form: Vertikalhenkel
Typ: ovaler Querschnitt
Variante: unverziert
Typenbezeichnung: H1A
Handhabe/Verzierung: unterrandständig
Erhaltungszustand: abgerieben, versintert und leicht sekundär verbrannt
Fabrikat: 100
Maße (cm):
Höhe: 2,2
Länge: erh. 5
Breite: 3,2
Wandstärke: 0,6

Kat.-Nr. 334
Fundnr.: 11/1449/1/147
Form: Vertikalhenkel
Typ: breiter Querschnitt
Variante: unverziert
Typenbezeichnung: H2A
Erhaltungszustand: versintert
Fabrikat: 17
Maße (cm):
Höhe: 2,1
Länge: erh. 7,5
Breite: 4,5
Wandstärke: 0,8

Kat.-Nr. 335
Fundnr.: 11/1449/1/149
Form: Vertikalhenkel
Typ: ovaler Querschnitt
Variante: unverziert
Typenbezeichnung: H1A
Erhaltungszustand: abgerieben, sekundär verbrannt
Fabrikat: 22
Maße (cm):
Höhe: 1,8
Länge: erh. 4,8
Breite: 2,1

Kat.-Nr. 336
Fundnr.: 11/1449/1/152
Form: Vertikalhenkel
Typ: ovaler Querschnitt
Variante: unverziert
Typenbezeichnung: H1A
Erhaltungszustand: abgerieben, versintert und sekundär verbrannt
Fabrikat: 17
Maße (cm):
Höhe: 1,7–2
Länge: erh. 6,1
Breite: 2,7–3,2
Wandstärke: 0,9

Kat.-Nr. 337
Fundnr.: 11/1449/1/154
Form: Vertikalhenkel
Typ: breiter Querschnitt
Variante: unverziert
Typenbezeichnung: H2A
Erhaltungszustand: abgerieben, versintert und sekundär verbrannt
Fabrikat: 17
Maße (cm):
Höhe: 1,4
Länge: erh. 4,5
Breite: 4,5

Kat.-Nr. 338
Fundnr.: 11/1449/1/168
Form: Vertikalhenkel
Typ: breiter Querschnitt
Variante: unverziert
Typenbezeichnung: H2A
Erhaltungszustand: abgerieben
Fabrikat: 33

Maße (cm):
Höhe: 1
Länge: erh. 5,7
Breite: 2,8

Kat.-Nr. 339
Fundnr.: 11/1449/1/169
Form: Vertikalhenkel
Typ: breiter Querschnitt
Variante: unverziert
Typenbezeichnung: H2A
Erhaltungszustand: abgerieben
Fabrikat: 33
Maße (cm):
Höhe: 0,7
Länge: erh. 2
Breite: 1,7
Wandstärke: 0,8

Kat.-Nr. 340
Fundnr.: 11/1449/1/212
Form: Vertikalhenkel
Typ: breiter Querschnitt
Variante: unverziert
Typenbezeichnung: H2A
Handhabe/Verzierung: unterrandständig
Erhaltungszustand: abgerieben, leicht versintert
Fabrikat: 17
Maße (cm):
Höhe: 1,5
Länge: erh. 4,3
Breite: 4,1
Wandstärke: 0,7

Kat.-Nr. 341
Fundnr.: 11/1449/1/213
Form: Vertikalhenkel
Typ: ovaler Querschnitt
Variante: unverziert
Typenbezeichnung: H1A
Erhaltungszustand: abgerieben, leicht versintert
Fabrikat: 22
Maße (cm):
Höhe: 1,3
Länge: erh. 4,2
Breite: 2,1

Kat.-Nr. 342
Fundnr.: 11/1449/1/228
Form: Vertikalhenkel
Typ: ovaler Querschnitt
Variante: unverziert
Typenbezeichnung: H1A
Erhaltungszustand: gut, leicht sekundär verbrannt
Fabrikat: 40
Beschreibung: Vorratsgefäß?
Maße (cm):
Höhe: 3,3
Länge: erh. 9,6
Breite: 4,2
Wandstärke: 0,8

Kat.-Nr. 343
Fundnr.: 11/1449/1/229
Form: Vertikalhenkel
Typ: ovaler Querschnitt
Variante: unverziert
Typenbezeichnung: H1A
Erhaltungszustand: sekundär verbrannt
Fabrikat: 103
Maße (cm):
Höhe: 1,2
Länge: erh. 2,3
Breite: 1,9
Wandstärke: 0,2

Kat.-Nr. 344
Fundnr.: 11/1449/1/230
Form: Vertikalhenkel
Typ: ovaler Querschnitt
Variante: unverziert
Typenbezeichnung: H1A
Erhaltungszustand: abgerieben
Fabrikat: 17
Maße (cm):
Höhe: 1,9
Länge: erh. 4,4
Breite: 2

Kat.-Nr. 345
Fundnr.: 11/1449/1/232
Form: Vertikalhenkel
Typ: ovaler Querschnitt
Variante: unverziert
Typenbezeichnung: H1A
Erhaltungszustand: leicht versintert, sekundär verbrannt
Fabrikat: 33
Beschreibung: wahrscheinlich von einer Kanne
Maße (cm):
Höhe: 1,6
Länge: erh. 6,5
Breite: 2,3
Wandstärke: 0,5

Röhrenösen

Kat.-Nr. 346
Fundnr.: 11/1449/1/151
Form: Röhrenöse
Typ: einfacher Ösenabschluss
Typenbezeichnung: Ö2B
Erhaltungszustand: abgerieben, sekundär verbrannt
Fabrikat: 36
Maße (cm):
Höhe: 0,85
Länge: 2,7
Breite: 1,4
Wandstärke: 0,6
Dm. (Durchlochung): 0,5–0,6

Kat.-Nr. 347 **Taf. 14.347**
Fundnr.: 11/1449/1/200
Form: Röhrenöse

Typ: einfacher Ösenabschluss
Typenbezeichnung: Ö2B
Erhaltungszustand: abgerieben, leicht versintert
Fabrikat: 22
Maße (cm):
Höhe: 0,5
Länge: 4,3
Breite: 2–2,3
Wandstärke: 0,6
Dm. (Durchlochung): 0,9–1,1

Kat.-Nr. 348
Fundnr.: 11/1449/1/201
Form: Röhrenöse
Typ: einfacher Ösenabschluss
Typenbezeichnung: Ö2B
Erhaltungszustand: sehr stark sekundär verbrannt
Fabrikat: 100
Beschreibung: Oberflächefarbe hellrot (2.5YR–6/6)
Maße (cm):
Höhe: 0,4
Länge: 2
Breite: 1,1
Wandstärke: 0,4
Dm. (Durchlochung): 0,6

Schnurösen

Kat.-Nr. 349 Taf. 14.349
Fundnr.: 11/1449/1/220
Form: Schnuröse
Typ: walzenförmig
Typenbezeichnung: Ö1Ca
Handhabe/Verzierung: mit WS1
Erhaltungszustand: sekundär verbrannt
Fabrikat: 103
Beschreibung: Weißbemalung (Linienbündel), schwach erkennbare doppelte Öse, gebändert bemalt (vgl. 1449/1/206; Kat.-Nr. 371)
Maße (cm):
Höhe: 0,6
Länge: 3,7
Breite: 2,1
Wandstärke: 0,4
Dm. (Durchlochung): 0,7

Kat.-Nr. 350
Fundnr.: 11/1449/1/62
Form: Schnuröse
Typ: walzenförmig
Typenbezeichnung: Ö1Ca
Erhaltungszustand: Oberfläche sehr stark abgerieben
Fabrikat: 36
Beschreibung: WG aufgrund des Kerns bestimmt
Maße (cm):
Höhe: 0,5
Länge: 5,1

Griffknubben

Kat.-Nr. 351
Fundnr.: 11/1449/1/75
Form: Griffknubbe
Typ: gerade
Variante: kurz
Typenbezeichnung: G4k
Erhaltungszustand: versintert
Fabrikat: 22
Beschreibung: ovale Lochung (0,9 × 2 cm)
Maße (cm):
Höhe: 2
Länge: 2
Breite: erh. 4
Wandstärke: 0,5

Kat.-Nr. 352
Fundnr.: 11/1449/1/81
Form: Griffknubbe
Typ: gerade
Variante: kurz
Typenbezeichnung: G4k
Erhaltungszustand: abgerieben, versintert
Fabrikat: 29
Maße (cm):
Länge: 2,2
Dm. (Durchlochung): 0,9

Kat.-Nr. 353 Taf. 14.353
Fundnr.: 11/1449/1/145
Form: Griffknubbe
Typ: gerade
Variante: kurz
Typenbezeichnung: G4k
Erhaltungszustand: abgerieben
Fabrikat: 29
Maße (cm):
Höhe: 1,9
Länge: 2,8
Breite: 4,6
Wandstärke: 0,7
Dm. (Durchlochung): 1,9

Kat.-Nr. 354
Fundnr.: 11/1449/1/148
Form: Griffknubbe
Typ: gerade flache Standfläche
Variante: kurz
Typenbezeichnung: G4k
Erhaltungszustand: versintert, sekundär verbrannt
Fabrikat: 28
Maße (cm):
Höhe: 1,2–1,8
Länge: 2,6
Breite: 2,9
Wandstärke: 0,7
Dm. (Durchlochung): 0,8

Kat.-Nr. 355 Taf. 14.355
Fundnr.: 11/1449/1/153
Form: Griffknubbe
Typ: ausgezogen
Variante: runde Form
Typenbezeichnung: G6A
Erhaltungszustand: abgerieben, versintert

Fabrikat: 22
Beschreibung: Lochung leicht oval
Maße (cm):
Höhe: 1,2
Länge: 2,2
Breite: 3,5
Wandstärke: 0,6
Dm. (Durchlochung): 0,8–0,9

Füße

Kat.-Nr. 356 Taf. 14.356
Fundnr.: 11/1449/1/82
Form: Fuß
Typ: ausgezipfelte Standfläche
Variante: gerundete Basis
Typenbezeichnung: F3B
Erhaltungszustand: gut, leicht abgerieben und versintert
Fabrikat: 17
Maße (cm):
Höhe: 1,8
Länge: erh. 7,9
Breite: 4,2–6,8
Breite (Standfläche): 6,8

Kat.-Nr. 357 Taf. 14.357
Fundnr.: 11/1449/1/83
Form: Fuß
Typ: gerade Standfläche
Variante: mit eckigem Übergang
Typenbezeichnung: F1A
Erhaltungszustand: abgerieben, versintert und leicht sekundär verbrannt
Fabrikat: 20
Maße (cm):
Höhe: 1,5
Länge: erh. 6,1
Breite: 3,5

Kat.-Nr. 358 Taf. 14.358
Fundnr.: 11/1449/1/84
Form: Fuß
Typ: trapezförmig
Variante: flache Basis
Typenbezeichnung: F4A
Erhaltungszustand: versintert
Fabrikat: 17
Maße (cm):
Höhe: 1,1
Länge: 5,8
Breite: 3,2–4,2

Kat.-Nr. 359
Fundnr.: 11/1449/1/214
Form: Fuß
Typ: ausgezipfelte Standfläche
Variante: gerundete Basis
Typenbezeichnung: F3B
Erhaltungszustand: sekundär verbrannt; Oberfläche abgerieben und zum Teil abgeplatzt
Fabrikat: 17
Maße (cm):
Höhe: 2,1
Länge: erh. 4
Breite: 4,3

Charakteristische Wandfragmente

Kat.-Nr. 360
Fundnr.: 11/1449/1/58
Form: charakteristisches Wandfragment
Typ: Ansatz einer Handhabe
Typenbezeichnung: WS4
Erhaltungszustand: abgerieben
Fabrikat: 20
Beschreibung: vermutlich H1A
Maße (cm):
Wandstärke: 0,8

Kat.-Nr. 361
Fundnr.: 11/1449/1/60
Form: charakteristisches Wandfragment
Typ: Ansatz einer Handhabe
Typenbezeichnung: WS4
Erhaltungszustand: abgerieben, versintert
Fabrikat: 20
Maße (cm):
Höhe: 2,4
Länge: 4,1
Breite: 4,2

Kat.-Nr. 362
Fundnr.: 11/1449/1/69
Form: charakteristisches Wandfragment
Typ: Ansatz einer Handhabe
Typenbezeichnung: WS4
Erhaltungszustand: abgerieben
Fabrikat: 20
Beschreibung: randständiger Henkel (vermutlich H1, 2,5 × 5,6 cm)
Maße (cm):
Dm. (Rand): 18
Dm. (Rand, erhalten in %): 13,3

Kat.-Nr. 363
Fundnr.: 11/1449/1/72
Form: charakteristisches Wandfragment
Typ: Ansatz einer Handhabe
Typenbezeichnung: WS4
Erhaltungszustand: abgerieben, leicht sekundär verbrannt
Fabrikat: 24
Beschreibung: wahrscheinlich Gkn
Maße (cm):
Länge: 5,4
Breite: 3,9
Wandstärke: 0,5
Dm. (Durchlochung): ca. 1

Kat.-Nr. 364
Fundnr.: 11/1449/1/86
Form: charakteristisches Wandfragment
Typ: impressoverziert

Variante: Fingereindrücke
Typenbezeichnung: WS2A
Erhaltungszustand: abgerieben
Fabrikat: 24
Maße (cm):
Länge: 2,7
Breite: 3,2
Wandstärke: 0,9

Kat.-Nr. 365
Fundnr.: 11/1449/1/87
Form: charakteristisches Wandfragment
Typ: durchlocht/durchbohrt
Typenbezeichnung: WS3
Erhaltungszustand: abgerieben
Fabrikat: 19
Maße (cm):
Wandstärke: 0,7
Dm. (Durchlochung): 0,4

Kat.-Nr. 366 Taf. 14.366
Fundnr.: 11/1449/1/88
Form: charakteristisches Wandfragment
Typ: Applike
Variante: Knubbe
Typenbezeichnung: WS5B
Handhabe/Verzierung: Kn4
Erhaltungszustand: abgerieben
Fabrikat: 17
Maße (cm):
Höhe: 1,3
Länge: 1,1
Breite: 1,5
Wandstärke: 0,5

Kat.-Nr. 367
Fundnr.: 11/1449/1/150
Form: charakteristisches Wandfragment
Typ: Ansatz einer Handhabe
Typenbezeichnung: WS4
Erhaltungszustand: abgerieben, versintert
Fabrikat: 20
Maße (cm):
Länge: 4,8
Breite: 5,2
Wandstärke: 0,8

Kat.-Nr. 368
Fundnr.: 11/1449/1/156
Form: charakteristisches Wandfragment
Typ: impressoverziert
Variante: Ritzung
Typenbezeichnung: WS2E
Erhaltungszustand: sekundär verbrannt
Fabrikat: 24
Maße (cm):
Länge: 3,3
Breite: 2,7
Wandstärke: 0,5

Kat.-Nr. 369
Fundnr.: 11/1449/1/203
Form: charakteristisches Wandfragment
Typ: durchlocht/durchbohrt
Typenbezeichnung: WS3
Erhaltungszustand: abgerieben
Fabrikat: 100
Maße (cm):
Länge: 6,3
Breite: 5,7
Wandstärke: 0,6
Dm. (Durchlochung): 0,7

Kat.-Nr. 370
Fundnr.: 11/1449/1/205
Form: charakteristisches Wandfragment
Typ: durchlocht/durchbohrt
Typenbezeichnung: WS3
Erhaltungszustand: gut, leicht abgerieben
Fabrikat: 40
Maße (cm):
Länge: 2,2
Breite: 2,6
Wandstärke: 0,6
Dm. (Durchlochung): 0,7

Kat.-Nr. 371 Taf. 14.371
Fundnr.: 11/1449/1/206
Form: charakteristisches Wandfragment
Typ: bemalt
Typenbezeichnung: WS1
Erhaltungszustand: sekundär verbrannt
Fabrikat: 33
Beschreibung: Weißbemalung (Linienbündel); gehört wahrscheinlich zu erg. 11/1449/1/220 (Kat.-Nr. 349)
Maße (cm):
Länge: 5,2
Breite: 4,5
Wandstärke: 0,4

Randfragmente

Kat.-Nr. 372
Fundnr.: 11/1449/1/27
Form: Randfragment
Typ: unbestimmbar
Variante: unbestimmbar
Typenbezeichnung: R0
Handhabe/Verzierung: mit unterrandständigem WS4 oder einer unterrandständigen Kn4
Erhaltungszustand: stark abgerieben
Fabrikat: 103
Maße (cm):
Wandstärke: 0,6
Dm. (Rand): 7
Dm. (Rand, erhalten in %): 11

Kat.-Nr. 373
Fundnr.: 11/1449/1/35
Form: Randfragment
Typ: unbestimmbar
Variante: regelmäßig gerundete Lippe
Typenbezeichnung: R0A
Erhaltungszustand: sehr schlecht erhalten

Fabrikat: 24
Beschreibung: Ware über Kern bestimmt; Form des Gefäßes (S4A?) unklar; Dm. Rand < 5 %, daher unsicher
Maße (cm):
Wandstärke: 0,6
Dm. (Rand): 28
Dm. (Rand, erhalten in %): 3

Kat.-Nr. 374
Fundnr.: 11/1449/1/94
Form: Randfragment
Typ: unbestimmbar
Variante: unbestimmbar
Typenbezeichnung: R0
Erhaltungszustand: abgerieben
Fabrikat: 19

Kat.-Nr. 375
Fundnr.: 11/1449/1/196
Form: Randfragment
Typ: unbestimmbar
Variante: regelmäßig gerundete Lippe
Typenbezeichnung: R0A
Erhaltungszustand: abgerieben
Fabrikat: 100
Beschreibung: Typ unbestimmbar aufgrund der geringen Größe
Maße (cm):
Wandstärke: 0,6

SE 4503

Schalen

Kat.-Nr. 376 Taf. 14.376
Fundnr.: 12/4503/1/1
Form: Schale
Typ: weitmundig
Variante: gerollter Rand
Typenbezeichnung: S4Q
Erhaltungszustand: gut, leicht abgerieben
Fabrikat: 29
Beschreibung: Dm. Rand < 5 %, daher unsicher
Maße (cm):
Wandstärke: 0,7
Dm. (Rand): 13
Dm. (Rand, erhalten in %): 3

SE 4505

Kannen

Kat.-Nr. 377
Fundnr.: 12/4505/1/2
Form: Kanne
Typ: konkav geschwungener Hals
Variante: hochgezogener Ausguss
Typenbezeichnung: Ka1
Erhaltungszustand: abgerieben
Fabrikat: 29
Beschreibung: Fragment eines leicht geschwungenen Halses mit Übergang zu einem vermutlich spitz auslaufenden Ausguss; Dm. (Übergang Hals): 8 cm (erh. 22%)
Maße (cm):
Wandstärke: 0,5
Dm. (Rand): 7
Dm. (Rand, erhalten in %): 19

Randfragmente

Kat.-Nr. 378
Fundnr.: 12/4505/1/1
Form: Randfragment
Typ: unbestimmbar
Variante: regelmäßig gerundete Lippe
Typenbezeichnung: R0A
Handhabe/Verzierung: mit randständigem WS4
Erhaltungszustand: gut
Fabrikat: 17
Maße (cm):
Wandstärke: 0,8
Dm. (Rand): 12
Dm. (Rand, erhalten in %): 5,1

SE 4506

Böden

Kat.-Nr. 379
Fundnr.: 12/4506/1/1
Form: Boden
Typ: Flachboden
Variante: abgesetzte Standfläche
Typenbezeichnung: B1D
Erhaltungszustand: abgerieben, sekundär verbrannt
Fabrikat: 22
Maße (cm):
Wandstärke: 0,7
Dm. (Boden): 7
Dm. (Boden, erhalten in %): 8,3

SE 4511

Schüsseln

Kat.-Nr. 380
Fundnr.: 12/4511/1/32
Form: Schüssel
Typ: Schüssel mit gerader Wandung
Variante: regelmäßig gerundete Lippe
Typenbezeichnung: Sch5A
Erhaltungszustand: abgerieben
Fabrikat: 24
Maße (cm):
Wandstärke: 0,7

Kat.-Nr. 381
Fundnr.: 12/4511/1/35
Form: Schüssel
Typ: Schüssel mit gerader Wandung
Variante: regelmäßig gerundete Lippe
Typenbezeichnung: Sch5A
Erhaltungszustand: abgerieben

Fabrikat: 22
Maße (cm):
Wandstärke: 0,6
Dm. (Rand): 14
Dm. (Rand, erhalten in %): 7

Schalen

Kat.-Nr. 382
Fundnr.: 12/4511/1/3
Form: Schale
Typ: weitmundig
Variante: horizontal abgestrichene Lippe
Typenbezeichnung: S4D
Erhaltungszustand: gut
Fabrikat: 36
Beschreibung: Dm. Rand nicht ermittelbar
Maße (cm):
Wandstärke: 0,6

Kat.-Nr. 383
Fundnr.: 12/4511/1/53
Form: Schale
Typ: weitmundig
Variante: horizontal abgestrichene Lippe
Typenbezeichnung: S4D
Erhaltungszustand: gut
Fabrikat: 29
Maße (cm):
Wandstärke: 0,8
Dm. (Rand): 14
Dm. (Rand, erhalten in %): 6

Töpfe

Kat.-Nr. 384 Taf. 14.384
Fundnr.: 12/4511/1/30
Form: Topf
Typ: steil konkave Wandung
Variante: regelmäßig gerundete Lippe
Typenbezeichnung: T2A
Handhabe/Verzierung: mit unterrandständigem H2A
Erhaltungszustand: abgerieben, versintert
Fabrikat: 34
Beschreibung: Dm. Rand < 5 %, daher unsicher
Maße (cm):
Höhe: 1,3–1,8
Länge: 5,8
Breite: 3,2–3,7
Wandstärke: 1,1
Dm. (Rand): 20
Dm. (Rand, erhalten in %): 4

Engmundige Gefäße

Kat.-Nr. 385
Fundnr.: 12/4511/1/5
Form: Engmundig
Typ: Hals konvex einziehend
Variante: regelmäßig gerundete Lippe
Typenbezeichnung: E3A
Handhabe/Verzierung: mit randständigem WS4
Erhaltungszustand: abgerieben
Fabrikat: 20
Beschreibung: Dm. Rand < 5 %, daher unsicher
Maße (cm):
Wandstärke: 1
Dm. (Rand): 18
Dm. (Rand, erhalten in %): 4

Kat.-Nr. 386
Fundnr.: 12/4511/1/6
Form: Engmundig
Typ: Hals steil konkav
Variante: regelmäßig gerundete Lippe
Typenbezeichnung: E2A
Erhaltungszustand: abgerieben
Fabrikat: 22
Beschreibung: Dm. Rand < 5 %, daher unsicher
Maße (cm):
Wandstärke: 0,6
Dm. (Rand): 14
Dm. (Rand, erhalten in %): 4

Kat.-Nr. 387
Fundnr.: 12/4511/1/8
Form: Engmundig
Typ: Hals steil konkav
Variante: spitz ausgezogene Lippe
Typenbezeichnung: E2B
Erhaltungszustand: abgerieben
Fabrikat: 22
Beschreibung: Dm. Rand < 5 %, daher unsicher
Maße (cm):
Wandstärke: 0,7
Dm. (Rand): 26
Dm. (Rand, erhalten in %): 3,2

Kat.-Nr. 388
Fundnr.: 12/4511/1/10
Form: Engmundig
Typ: Hals steil konkav
Variante: regelmäßig gerundete Lippe
Typenbezeichnung: E2A
Erhaltungszustand: abgerieben, sekundär verbrannt
Fabrikat: 22
Beschreibung: Oberflächefarbe hellrot (10R–6/8)
Maße (cm):
Wandstärke: 0,7
Dm. (Rand): 8
Dm. (Rand, erhalten in %): 5

Kat.-Nr. 389
Fundnr.: 12/4511/1/17
Form: Engmundig
Typ: Hals konisch einziehend
Variante: horizontal abgestrichene Lippe
Typenbezeichnung: E1D
Erhaltungszustand: gut
Fabrikat: 36
Maße (cm):
Wandstärke: 0,5
Dm. (Rand): 10
Dm. (Rand, erhalten in %): 8

Kat.-Nr. 390
Fundnr.: 12/4511/1/37
Form: Engmundig
Typ: Hals steil konkav
Variante: regelmäßig gerundete Lippe
Typenbezeichnung: E2A
Erhaltungszustand: abgerieben, versintert und sekundär verbrannt
Fabrikat: 22
Beschreibung: Oberflächefarbe rot (2.5YR–5/8); Dm. Rand < 5 %, daher unsicher
Maße (cm):
Wandstärke: 0,5
Dm. (Rand): 22
Dm. (Rand, erhalten in %): 3

Kat.-Nr. 391
Fundnr.: 12/4511/1/39
Form: Engmundig
Typ: Hals steil konkav
Variante: regelmäßig gerundete Lippe
Typenbezeichnung: E2A
Erhaltungszustand: versintert, sekundär verbrannt
Fabrikat: 20
Maße (cm):
Wandstärke: 1,2
Dm. (Rand): 14
Dm. (Rand, erhalten in %): 5

Kat.-Nr. 392
Fundnr.: 12/4511/1/54
Form: Engmundig
Typ: Hals steil konkav
Variante: regelmäßig gerundete Lippe
Typenbezeichnung: E2A
Erhaltungszustand: gut, leicht abgerieben
Fabrikat: 19
Maße (cm):
Wandstärke: 0,5
Dm. (Rand): 6
Dm. (Rand, erhalten in %): 12

Kat.-Nr. 393
Fundnr.: 12/4511/1/63
Form: Engmundig
Typ: Hals konisch einziehend
Variante: regelmäßig gerundete Lippe
Typenbezeichnung: E1A
Erhaltungszustand: gut, leicht abgerieben
Fabrikat: 36
Maße (cm):
Wandstärke: 0,5
Dm. (Rand): 12
Dm. (Rand, erhalten in %): 8

Kat.-Nr. 394
Fundnr.: 12/4511/1/65
Form: Engmundig
Typ: Hals konisch einziehend
Variante: regelmäßig gerundete Lippe
Typenbezeichnung: E1A
Erhaltungszustand: versintert
Fabrikat: 36
Beschreibung: Dm. Rand < 5 %, daher unsicher
Maße (cm):
Wandstärke: 0,4
Dm. (Rand): 14
Dm. (Rand, erhalten in %): 4

Kat.-Nr. 395
Fundnr.: 12/4511/1/67
Form: Engmundig
Typ: Hals steil konkav
Variante: regelmäßig gerundete Lippe
Typenbezeichnung: E2A
Erhaltungszustand: abgerieben, leicht versintert
Fabrikat: 28
Beschreibung: Dm. Rand < 5 %, daher unsicher
Maße (cm):
Wandstärke: 0,6
Dm. (Rand): 13
Dm. (Rand, erhalten in %): 4,5

Halsgefäße

Kat.-Nr. 396
Fundnr.: 12/4511/1/2
Form: Halsgefäß
Typ: geschwungene Wandung
Variante: regelmäßig gerundete Lippe
Typenbezeichnung: Hg2A
Handhabe/Verzierung: mit unterrandständigem WS4
Erhaltungszustand: abgerieben
Fabrikat: 17
Maße (cm):
Wandstärke: 0,7
Dm. (Rand): 20
Dm. (Rand, erhalten in %): 7,8

Kat.-Nr. 397
Fundnr.: 12/4511/1/21
Form: Halsgefäß
Typ: gerade Wandung
Variante: regelmäßig gerundete Lippe
Typenbezeichnung: Hg1A
Erhaltungszustand: abgerieben, sekundär verbrannt
Fabrikat: 100
Maße (cm):
Wandstärke: 0,6
Dm. (Rand): 16
Dm. (Rand, erhalten in %): 5

Kat.-Nr. 398
Fundnr.: 12/4511/1/31
Form: Halsgefäß
Typ: geschwungene Wandung
Variante: regelmäßig gerundete Lippe
Typenbezeichnung: Hg2A
Handhabe/Verzierung: mit randständigem H2
Erhaltungszustand: abgerieben
Fabrikat: 23
Maße (cm):
Höhe: 1,5

Länge: 4
Breite: 2,5
Wandstärke: 0,7
Dm. (Rand): 14
Dm. (Rand, erhalten in %): 14

Kat.-Nr. 399
Fundnr.: 12/4511/1/34
Form: Halsgefäß
Typ: gerade Wandung
Variante: innen abgestrichene Lippe
Typenbezeichnung: Hg1N
Erhaltungszustand: abgerieben
Fabrikat: 100
Maße (cm):
Wandstärke: 0,7
Dm. (Rand): 12
Dm. (Rand, erhalten in %): 7

Ausgüsse

Kat.-Nr. 400 Taf. 15.400
Fundnr.: 12/4511/1/18
Form: Ausguss
Typ: unbestimmbar
Typenbezeichnung: Au0
Erhaltungszustand: abgerieben
Fabrikat: 29
Maße (cm):
Länge: 2,9
Breite: 4,9
Wandstärke: 0,7

Böden

Kat.-Nr. 401
Fundnr.: 12/4511/1/11
Form: Boden
Typ: Scheibenbasis
Variante: eingewölbte Standfläche
Typenbezeichnung: B2A
Erhaltungszustand: abgerieben, sekundär verbrannt; Wand nicht erhalten
Fabrikat: 22
Maße (cm):
Dm. (Boden): 5
Dm. (Boden, erhalten in %): 18

Kat.-Nr. 402
Fundnr.: 12/4511/1/12
Form: Boden
Typ: Standring
Typenbezeichnung: B3
Erhaltungszustand: abgerieben, sekundär verbrannt
Fabrikat: 22
Maße (cm):
Dm. (Boden): 8
Dm. (Boden, erhalten in %): 46

Kat.-Nr. 403
Fundnr.: 12/4511/1/13
Form: Boden
Typ: Flachboden
Variante: eckiger Übergang zur Basis
Typenbezeichnung: B1B
Erhaltungszustand: abgerieben, sekundär verbrannt
Fabrikat: 22
Maße (cm):
Wandstärke: 0,4
Dm. (Boden): 10
Dm. (Boden, erhalten in %): 6

Kat.-Nr. 404
Fundnr.: 12/4511/1/44
Form: Boden
Typ: Scheibenbasis
Variante: eingewölbte Standfläche
Typenbezeichnung: B2A
Erhaltungszustand: abgerieben, versintert
Fabrikat: 22
Maße (cm):
Wandstärke: 0,6
Dm. (Boden): 12
Dm. (Boden, erhalten in %): 8

Kat.-Nr. 405
Fundnr.: 12/4511/1/45
Form: Boden
Typ: Scheibenbasis
Variante: unbestimmbar
Typenbezeichnung: B20
Erhaltungszustand: versintert
Fabrikat: 100
Maße (cm):
Wandstärke: 0,6
Dm. (Boden): 6
Dm. (Boden, erhalten in %): 12

Deckel

Kat.-Nr. 406 Taf. 15.406
Fundnr.: 12/4511/1/58
Form: Deckel
Typ: Flachdeckel
Variante: verziert
Typenbezeichnung: De2B
Erhaltungszustand: sekundär verbrannt
Fabrikat: 100
Beschreibung: mit Einkerbungen an der Oberkante (Länge: 0,3–0,4 cm; Abstand: 0,3–0,4 cm)
Maße (cm):
Wandstärke: 0,7
Dm. (Deckel): 10
Dm. (Deckel, erhalten in %): 12

Vertikalhenkel

Kat.-Nr. 407
Fundnr.: 12/4511/1/14
Form: Vertikalhenkel
Typ: breiter Querschnitt
Variante: unverziert
Typenbezeichnung: H2A
Erhaltungszustand: abgerieben

Fabrikat: 20
Maße (cm):
Höhe: 1,7
Länge: erh. 4,4
Breite: 3,2

Kat.-Nr. 408
Fundnr.: 12/4511/1/15
Form: Vertikalhenkel
Typ: breiter Querschnitt
Variante: unverziert
Typenbezeichnung: H2A
Erhaltungszustand: sekundär verbrannt
Fabrikat: 19
Maße (cm):
Höhe: 1,3
Länge: erh. 3,3
Breite: 2,5

Kat.-Nr. 409
Fundnr.: 12/4511/1/23
Form: Vertikalhenkel
Typ: ovaler Querschnitt
Variante: unverziert
Typenbezeichnung: H1A
Erhaltungszustand: abgerieben, sekundär verbrannt
Fabrikat: 100
Maße (cm):
Höhe: 2,2
Länge: erh. 3,9
Breite: 3,3

Kat.-Nr. 410
Fundnr.: 12/4511/1/24
Form: Vertikalhenkel
Typ: breiter Querschnitt
Variante: unverziert
Typenbezeichnung: H2A
Erhaltungszustand: abgerieben
Fabrikat: 15
Maße (cm):
Höhe: 2,1
Länge: erh. 8
Breite: 3,9

Kat.-Nr. 411
Fundnr.: 12/4511/1/25
Form: Vertikalhenkel
Typ: ovaler Querschnitt
Variante: unverziert
Typenbezeichnung: H1A
Erhaltungszustand: abgerieben, versintert und sekundär verbrannt
Fabrikat: 24
Maße (cm):
Höhe: 1,4
Länge: erh. 5,2
Breite: 1,5–1,7

Kat.-Nr. 412
Fundnr.: 12/4511/1/26
Form: Vertikalhenkel
Typ: ovaler Querschnitt
Variante: unverziert
Typenbezeichnung: H1A
Erhaltungszustand: gut, leicht versintert
Fabrikat: 17
Maße (cm):
Höhe: 1,5
Länge: erh. 5
Breite: 2,5

Kat.-Nr. 413
Fundnr.: 12/4511/1/46
Form: Vertikalhenkel
Typ: Bandhenkel
Variante: eingesattelt
Typenbezeichnung: H3C
Erhaltungszustand: abgerieben, sekundär verbrannt
Fabrikat: 103
Maße (cm):
Höhe: 1,9
Länge: 2,8
Breite: 3,5
Wandstärke: 0,6

Kat.-Nr. 414
Fundnr.: 12/4511/1/70
Form: Vertikalhenkel
Typ: breiter Querschnitt
Variante: unverziert
Typenbezeichnung: H2A
Erhaltungszustand: sekundär verbrannt
Fabrikat: 23
Maße (cm):
Höhe: 1,5
Länge: erh. 5,2
Breite: 2,9

Kat.-Nr. 415
Fundnr.: 12/4511/1/71
Form: Vertikalhenkel
Typ: ovaler Querschnitt
Variante: unverziert
Typenbezeichnung: H1A
Erhaltungszustand: abgerieben, versintert und sekundär verbrannt
Fabrikat: nicht bestimmbar
Beschreibung: WG nicht bestimmbar, Oberfläche wie WG 33; Oberflächefarbe hellrot (2.5YR–6/6)
Maße (cm):
Höhe: 1
Länge: erh. 1,2
Breite: 1,7

Röhrenösen

Kat.-Nr. 416
Fundnr.: 12/4511/1/28
Form: Röhrenöse
Typ: einfacher Ösenabschluss
Typenbezeichnung: Ö2B
Erhaltungszustand: abgerieben, versintert
Fabrikat: 22

Beschreibung: Höhe nicht ermittelbar
Maße (cm):
Länge: 3
Breite: 1,7
Dm. (Durchlochung): ca. 0,5

Schnurösen

Kat.-Nr. 417
Fundnr.: 12/4511/1/61
Form: Schnuröse
Typ: walzenförmig
Typenbezeichnung: Ö1Ca
Erhaltungszustand: abgerieben
Fabrikat: 100
Beschreibung: Höhe nicht ermittelbar
Maße (cm):
Länge: 3,1
Breite: 2,2
Dm. (Durchlochung): 0,7–1

Griffknubben

Kat.-Nr. 418
Fundnr.: 12/4511/1/27
Form: Griffknubbe
Typ: gerade
Variante: kurz
Typenbezeichnung: G4k
Erhaltungszustand: versintert
Fabrikat: 36
Beschreibung: WG aufgrund der Versinterung unsicher; im Bruch Ähnlichkeiten mit WG 36
Maße (cm):
Höhe: 1,5
Länge: 2,2
Breite: erh. 2,3
Dm. (Durchlochung): ca. 0,9

Kat.-Nr. 419
Fundnr.: 12/4511/1/59
Form: Griffknubbe
Typ: gerade
Variante: kurz
Typenbezeichnung: G4k
Erhaltungszustand: gut, leicht abgerieben
Fabrikat: 22
Maße (cm):
Höhe: 2,5
Länge: 2,3
Breite: erh. 4,7

Kat.-Nr. 420
Fundnr.: 12/4511/1/73
Form: Griffknubbe
Typ: gerade
Variante: kurz
Typenbezeichnung: G4k
Erhaltungszustand: abgerieben, sekundär verbrannt
Fabrikat: 22
Maße (cm):
Höhe: 2,1
Länge: 2,8
Breite: 1,2
Wandstärke: 0,6
Dm. (Durchlochung): 1,1

Füße

Kat.-Nr. 421
Fundnr.: 12/4511/1/16
Form: Fuß
Typ: gerade Standfläche
Variante: mit eckigem Übergang
Typenbezeichnung: F1A
Erhaltungszustand: gut, leicht abgerieben
Fabrikat: 92
Maße (cm):
Höhe: 1,2
Länge: erh. 4,5
Breite: 3,4

Kat.-Nr. 422 Taf. 15.422
Fundnr.: 12/4511/1/49
Form: Fuß
Typ: ausgezipfelte Standfläche
Variante: gerundete Basis
Typenbezeichnung: F3B
Erhaltungszustand: abgerieben, leicht versintert und sekundär verbrannt
Fabrikat: 17
Maße (cm):
Höhe: 1–1,8
Länge: 4,5
Breite: 2,9
Breite (Standfläche): 4,7

Kat.-Nr. 423 Taf. 15.423
Fundnr.: 12/4511/1/50
Form: Fuß
Typ: ausgezipfelte Standfläche
Variante: flache Basis
Typenbezeichnung: F3A
Erhaltungszustand: abgerieben, sekundär verbrannt
Fabrikat: 37
Maße (cm):
Höhe: 1,2
Breite: 2,4
Breite (Standfläche): 3,5

Kat.-Nr. 424
Fundnr.: 12/4511/1/51
Form: Fuß
Typ: ausgezipfelte Standfläche
Variante: gerundete Basis
Typenbezeichnung: F3B
Erhaltungszustand: abgerieben, sekundär verbrannt
Fabrikat: 20
Maße (cm):
Höhe: 1,2
Länge: 2,6
Breite: 4,9
Breite (Standfläche): 5,8

Charakteristische Wandfragmente

Kat.-Nr. 425
Fundnr.: 12/4511/1/29
Form: charakteristisches Wandfragment
Typ: durchlocht/durchbohrt
Typenbezeichnung: WS3
Erhaltungszustand: abgerieben
Fabrikat: 33
Maße (cm):
Länge: 2,3
Breite: 2,5
Wandstärke: 0,6
Dm. (Durchlochung): 0,4

Randfragmente

Kat.-Nr. 426
Fundnr.: 12/4511/1/7
Form: Randfragment
Typ: unbestimmbar
Variante: regelmäßig gerundete Lippe
Typenbezeichnung: R0A
Erhaltungszustand: abgerieben
Fabrikat: 29
Beschreibung: 2 Durchlochungen (WS3) unter dem Rand; Dm. Rand < 5 %, daher unsicher
Maße (cm):
Wandstärke: 0,6
Dm. (Rand): 28
Dm. (Durchlochung): 0,3
Dm. (Rand, erhalten in %): 3

Kat.-Nr. 427
Fundnr.: 12/4511/1/9
Form: Randfragment
Typ: unbestimmbar
Variante: regelmäßig gerundete Lippe
Typenbezeichnung: R0A
Erhaltungszustand: abgerieben
Fabrikat: 17
Beschreibung: Dm. Rand nicht ermittelbar
Maße (cm):
Wandstärke: 0,6

Kat.-Nr. 428 Taf. 15.428
Fundnr.: 12/4511/1/20
Form: Randfragment
Typ: unbestimmbar
Variante: regelmäßig gerundete Lippe
Typenbezeichnung: R0A
Handhabe/Verzierung: mit randständigem H2A
Erhaltungszustand: stark versintert, sekundär verbrannt
Fabrikat: 17
Beschreibung: vermutlich Sch3
Maße (cm):
Wandstärke: 0,8
Höhe: 1,2
Länge: 5,9
Breite: 2,9–3,5
Dm. (Rand): 20
Dm. (Rand, erhalten in %): 10

Kat.-Nr. 429
Fundnr.: 12/4511/1/38
Form: Randfragment
Typ: unbestimmbar
Variante: regelmäßig gerundete Lippe
Typenbezeichnung: R0A
Erhaltungszustand: gut
Fabrikat: 100
Beschreibung: Dm. Rand < 5 %, daher unsicher
Maße (cm):
Wandstärke: 0,6
Dm. (Rand): 30
Dm. (Rand, erhalten in %): 2,7

Kat.-Nr. 430
Fundnr.: 12/4511/1/62
Form: Randfragment
Typ: unbestimmbar
Variante: regelmäßig gerundete Lippe
Typenbezeichnung: R0A
Handhabe/Verzierung: mit randständigem H1
Erhaltungszustand: abgerieben, sekundär verbrannt
Fabrikat: 17
Maße (cm):
Höhe: 1,3
Länge: 2,3
Breite: 2,8
Wandstärke: 0,6
Dm. (Rand): 10
Dm. (Rand, erhalten in %): 13,8

Kat.-Nr. 431
Fundnr.: 12/4511/1/64
Form: Randfragment
Typ: unbestimmbar
Variante: regelmäßig gerundete Lippe
Typenbezeichnung: R0A
Erhaltungszustand: abgerieben
Fabrikat: 24
Beschreibung: Dm. Rand nicht ermittelbar
Maße (cm):
Wandstärke: 0,8

Kat.-Nr. 432
Fundnr.: 12/4511/1/66
Form: Randfragment
Typ: unbestimmbar
Variante: regelmäßig gerundete Lippe
Typenbezeichnung: R0A
Erhaltungszustand: abgerieben, sekundär verbrannt
Fabrikat: 20
Beschreibung: Dm. Rand < 5 %, daher unsicher
Maße (cm):
Wandstärke: 0,8
Dm. (Rand): 24
Dm. (Rand, erhalten in %): 3,2

Kat.-Nr. 433
Fundnr.: 12/4511/1/68
Form: Randfragment
Typ: unbestimmbar

Variante: regelmäßig gerundete Lippe
Typenbezeichnung: R0A
Erhaltungszustand: gut
Fabrikat: 22
Maße (cm):
Wandstärke: 0,6
Dm. (Rand): 12
Dm. (Rand, erhalten in %): 7,8

Steinkistenkomplex

SE 4509

Töpfe

Kat.-Nr. 434 Taf. 15.434
Fundnr.: 12/4509/1/3
Form: Topf
Typ: schräg konkave Wandung
Variante: horizontal abgestrichene Lippe
Typenbezeichnung: T3D
Erhaltungszustand: sekundär verbrannt
Fabrikat: 15
Maße (cm):
Wandstärke: 0,9
Dm. (Rand): 26
Dm. (Rand, erhalten in %): 8

Vertikalhenkel

Kat.-Nr. 435
Fundnr.: 12/4509/1/2
Form: Vertikalhenkel
Typ: breiter Querschnitt
Variante: unverziert
Typenbezeichnung: H2A
Erhaltungszustand: abgerieben
Fabrikat: 19
Beschreibung: Höhe nicht ermittelbar, weil horizontal gebrochen
Maße (cm):
Länge: erh. 3,2
Breite: 2,8

Randfragmente

Kat.-Nr. 436
Fundnr.: 12/4509/1/1
Form: Randfragment
Typ: unbestimmbar
Variante: ausbiegender Rand
Typenbezeichnung: R0S
Erhaltungszustand: stark abgerieben, versintert
Fabrikat: 15
Beschreibung: gehört wahrscheinlich zu 12/1449/1/208 (Kat.-Nr. 284)
Maße (cm):
Wandstärke: 2,8
Dm. (Rand): 40
Dm. (Durchlochung): 0,7
Dm. (Rand, erhalten in %): 5,4

Kat.-Nr. 437
Fundnr.: 12/4509/1/4
Form: Randfragment
Typ: unbestimmbar
Variante: regelmäßig gerundete Lippe
Typenbezeichnung: R0A
Erhaltungszustand: abgerieben
Fabrikat: 23
Maße (cm):
Wandstärke: 0,9
Dm. (Rand): 20
Dm. (Rand, erhalten in %): 5

Kat.-Nr. 438
Fundnr.: 12/4509/1/5
Form: Randfragment
Typ: unbestimmbar
Variante: regelmäßig gerundete Lippe
Typenbezeichnung: R0A
Erhaltungszustand: abgerieben
Fabrikat: 22
Beschreibung: Dm. Rand nicht ermittelbar
Maße (cm):
Länge: 1,8
Breite: 2,5
Wandstärke: 0,8

ÇuHö VIb

N7

SE 1448

Schalen

Kat.-Nr. 439
Fundnr.: 11/1448/1/11
Form: Schale
Typ: weitmundig
Variante: regelmäßig gerundete Lippe
Typenbezeichnung: S4A
Erhaltungszustand: gut, leicht abgerieben an der Lippe
Fabrikat: 19
Maße (cm):
Wandstärke: 0,7
Dm. (Rand): 24
Dm. (Rand, erhalten in %): 8

Kat.-Nr. 440 Taf. 15.440
Fundnr.: 11/1448/1/19
Form: Schale
Typ: weitmundig
Variante: horizontal abgestrichene Lippe
Typenbezeichnung: S4D
Erhaltungszustand: stark abgerieben
Fabrikat: 29
Maße (cm):
Wandstärke: 1
Dm. (Rand): 30
Dm. (Rand, erhalten in %): 6,7

Töpfe

Kat.-Nr. 441
Fundnr.: 11/1448/1/20
Form: Topf
Typ: schräg konkave Wandung
Variante: horizontal abgestrichene Lippe
Typenbezeichnung: T3D
Erhaltungszustand: abgerieben
Fabrikat: 20
Beschreibung: Dm. Rand < 5 %, daher unsicher
Maße (cm):
Wandstärke: 1,7
Dm. (Rand): 52
Dm. (Rand, erhalten in %): 3,7

Engmundige Gefäße

Kat.-Nr. 442
Fundnr.: 11/1448/1/1
Form: Engmundig
Typ: Hals konvex einziehend
Variante: regelmäßig gerundete Lippe
Typenbezeichnung: E3A
Erhaltungszustand: abgerieben
Fabrikat: 17
Beschreibung: Dm. Rand < 5 %, daher unsicher
Maße (cm):
Wandstärke: 0,7
Dm. (Rand): 19
Dm. (Rand, erhalten in %): 2

Kat.-Nr. 443
Fundnr.: 11/1448/1/2
Form: Engmundig
Typ: Hals konisch einziehend
Variante: regelmäßig gerundete Lippe
Typenbezeichnung: E1A
Erhaltungszustand: gut, leicht abgerieben
Fabrikat: 22
Beschreibung: Dm. Rand < 5 %, daher unsicher
Maße (cm):
Wandstärke: 0,4
Dm. (Rand): 24
Dm. (Rand, erhalten in %): 3

Kat.-Nr. 444
Fundnr.: 11/1448/1/4
Form: Engmundig
Typ: Hals konisch einziehend
Variante: regelmäßig gerundete Lippe
Typenbezeichnung: E1A
Handhabe/Verzierung: mit WS4
Erhaltungszustand: abgerieben; Oberfläche zu einem großen Teil abgeplatzt
Fabrikat: 15
Maße (cm):
Wandstärke: 1,2
Dm. (Rand): 22
Dm. (Rand, erhalten in %): 5

Kat.-Nr. 445
Fundnr.: 11/1448/1/5
Form: Engmundig
Typ: Hals konisch einziehend
Variante: regelmäßig gerundete Lippe
Typenbezeichnung: E1A
Erhaltungszustand: sehr gut
Fabrikat: 100
Maße (cm):
Wandstärke: 0,6
Dm. (Rand): 12
Dm. (Rand, erhalten in %): 6

Kat.-Nr. 446
Fundnr.: 11/1448/1/6
Form: Engmundig
Typ: Hals steil konkav
Variante: regelmäßig gerundete Lippe
Typenbezeichnung: E2A
Erhaltungszustand: abgerieben
Fabrikat: 100
Maße (cm):
Wandstärke: 0,6
Dm. (Rand): 13
Dm. (Rand, erhalten in %): 6

Kat.-Nr. 447 Taf. 15.447
Fundnr.: 11/1448/1/7
Form: Engmundig
Typ: Hals konisch einziehend
Variante: regelmäßig gerundete Lippe
Typenbezeichnung: E1A
Erhaltungszustand: sekundär verbrannt; Rand abgeplatzt
Fabrikat: 100
Maße (cm):
Wandstärke: 0,4
Dm. (Rand): 14
Dm. (Rand, erhalten in %): 6

Kat.-Nr. 448
Fundnr.: 11/1448/1/8
Form: Engmundig
Typ: Hals konisch einziehend
Variante: regelmäßig gerundete Lippe
Typenbezeichnung: E1A
Erhaltungszustand: sehr gut
Fabrikat: 100
Maße (cm):
Wandstärke: 0,6
Dm. (Rand): 12
Dm. (Rand, erhalten in %): 15

Kat.-Nr. 449
Fundnr.: 11/1448/1/9
Form: Engmundig
Typ: Hals konisch einziehend
Variante: regelmäßig gerundete Lippe
Typenbezeichnung: E1A
Erhaltungszustand: abgerieben, sekundär verbrannt
Fabrikat: 100
Beschreibung: Dm. Rand < 5 %, daher unsicher

Maße (cm):
Wandstärke: 0,5
Dm. (Rand): 26
Dm. (Rand, erhalten in %): 3

Kat.-Nr. 450 Taf. 15.450
Fundnr.: 11/1448/1/10
Form: Engmundig
Typ: Hals konisch einziehend
Variante: regelmäßig gerundete Lippe
Typenbezeichnung: E1A
Erhaltungszustand: abgerieben, versintert und sekundär verbrannt
Fabrikat: 17
Maße (cm):
Wandstärke: 1
Dm. (Rand): 22
Dm. (Rand, erhalten in %): 8

Kat.-Nr. 451
Fundnr.: 11/1448/1/31
Form: Engmundig
Typ: Hals steil konkav
Variante: regelmäßig gerundete Lippe
Typenbezeichnung: E2A
Erhaltungszustand: abgerieben
Fabrikat: 100
Beschreibung: Dm. Rand < 5 %, daher unsicher
Maße (cm):
Wandstärke: 0,5
Dm. (Rand): 18
Dm. (Rand, erhalten in %): 3

Kat.-Nr. 452
Fundnr.: 11/1448/1/32
Form: Engmundig
Typ: Hals steil konkav
Variante: regelmäßig gerundete Lippe
Typenbezeichnung: E2A
Erhaltungszustand: abgerieben
Fabrikat: 100
Beschreibung: Dm. Rand < 5 %, daher unsicher
Maße (cm):
Wandstärke: 0,6
Dm. (Rand): 16
Dm. (Rand, erhalten in %): 2,5

Halsgefäße

Kat.-Nr. 453 Taf. 16.453
Fundnr.: 11/1448/1/21
Form: Halsgefäß
Typ: geschwungene Wandung
Variante: außen abgestrichene Lippe
Typenbezeichnung: Hg2O
Erhaltungszustand: gut
Fabrikat: 15
Maße (cm):
Wandstärke: 1,8
Dm. (Rand): 24
Dm. (Rand, erhalten in %): 13

Kat.-Nr. 454
Fundnr.: 11/1448/1/22
Form: Halsgefäß
Typ: gerade Wandung
Variante: regelmäßig gerundete Lippe
Typenbezeichnung: Hg1A
Handhabe/Verzierung: randständiger H2A
Erhaltungszustand: abgerieben
Fabrikat: 23
Maße (cm):
Wandstärke: 0,5
Dm. (Rand): 13
Dm. (Rand, erhalten in %): 12

Böden

Kat.-Nr. 455
Fundnr.: 11/1448/1/15
Form: Boden
Typ: Flachboden
Variante: abgerundeter Übergang zur Basis
Typenbezeichnung: B1A
Erhaltungszustand: gut
Fabrikat: 37
Maße (cm):
Wandstärke: 0,6
Dm. (Boden): 5
Dm. (Boden, erhalten in %): 20

Kat.-Nr. 456
Fundnr.: 11/1448/1/27
Form: Boden
Typ: Rundboden
Variante: einfach
Typenbezeichnung: B6A
Erhaltungszustand: abgerieben
Fabrikat: 15
Beschreibung: Ton in mehreren Lagen aufgetragen; vermutlich von einem großen Vorratsgefäß; Dm. Boden nicht ermittelbar
Maße (cm):
Höhe: 3

Deckel

Kat.-Nr. 457 Taf. 16.457
Fundnr.: 11/1448/1/13
Form: Deckel
Typ: Flachdeckel
Variante: unverziert
Typenbezeichnung: De2A
Handhabe/Verzierung: mit WS4 auf der Oberseite
Erhaltungszustand: sehr gut
Fabrikat: 100
Maße (cm):
Wandstärke: 0,9
Dm. (Deckel oben): 11
Dm. (Deckel oben, erhalten in %): 13,5
Dm. (Deckel unten): 12
Dm. (Deckel unten, erhalten in %): 12

Ausgüsse

Kat.-Nr. 458 Taf. 16.458
Fundnr.: 11/1448/1/12
Form: Ausguss
Typ: spitz zulaufender Abschluss
Typenbezeichnung: Au1
Erhaltungszustand: abgerieben, sekundär verbrannt
Fabrikat: 103
Maße (cm):
Länge: 5,8
Breite: 5,4
Wandstärke: 0,5

Vertikalhenkel

Kat.-Nr. 459
Fundnr.: 11/1448/1/3
Form: Vertikalhenkel
Typ: breiter Querschnitt
Variante: unverziert
Typenbezeichnung: H2A
Erhaltungszustand: abgerieben
Fabrikat: 38
Maße (cm):
Höhe: 1,6
Länge: erh. 3,9
Breite: 3,6

Kat.-Nr. 460
Fundnr.: 11/1448/1/16
Form: Vertikalhenkel
Typ: ovaler Querschnitt
Variante: unverziert
Typenbezeichnung: H1A
Erhaltungszustand: abgerieben
Fabrikat: 38
Maße (cm):
Höhe: 1,5
Länge: erh. 4,9
Breite: 2,3–2,8

Kat.-Nr. 461 Taf. 16.461
Fundnr.: 11/1448/1/17
Form: Vertikalhenkel
Typ: ovaler Querschnitt
Variante: unverziert
Typenbezeichnung: H1A
Erhaltungszustand: abgerieben
Fabrikat: 29
Beschreibung: Querschnitt in der Mitte oval (1,8 × 2,4 cm), in der Nähe des Ansatzes breit (1,3 × 3 cm)
Maße (cm):
Höhe: 1,3–1,8
Länge: 4,2
Breite: 2,4–3

Kat.-Nr. 462
Fundnr.: 11/1448/1/25
Form: Vertikalhenkel
Typ: ovaler Querschnitt
Variante: unverziert
Typenbezeichnung: H1A
Erhaltungszustand: abgerieben, sekundär verbrannt
Fabrikat: 15
Maße (cm):
Höhe: 1,5
Länge: erh. 10,1
Breite: 3,1–3,5
Wandstärke: 0,8

Kat.-Nr. 463
Fundnr.: 11/1448/1/28
Form: Vertikalhenkel
Typ: ovaler Querschnitt
Variante: unverziert
Typenbezeichnung: H1A
Erhaltungszustand: abgerieben
Fabrikat: 15
Maße (cm):
Höhe: 2,2
Länge: erh. 5,6
Breite: 3,6

Füße

Kat.-Nr. 464 Taf. 16.464
Fundnr.: 11/1448/1/29
Form: Fuß
Typ: ausgezipfelte Standfläche
Variante: gerundete Basis
Typenbezeichnung: F3B
Erhaltungszustand: stark abgerieben, versintert
Fabrikat: 38
Maße (cm):
Höhe: 1,2
Länge: 4,7
Breite: 1,8
Breite (Standfläche): erh. 3,1

Charakteristische Wandfragmente

Kat.-Nr. 465
Fundnr.: 11/1448/1/18
Form: charakteristisches Wandfragment
Typ: Ansatz einer Handhabe
Typenbezeichnung: WS4
Erhaltungszustand: abgerieben
Fabrikat: 100
Maße (cm):
Höhe: 1,6
Länge: 2,5
Breite: 4,1
Wandstärke: 0,5

Kat.-Nr. 466
Fundnr.: 11/1448/1/23
Form: charakteristisches Wandfragment
Typ: Ansatz einer Handhabe
Typenbezeichnung: WS4
Erhaltungszustand: abgerieben, leicht versintert
Fabrikat: 38

Beschreibung: Ansatz eines F0 sichtbar
Maße (cm):
Höhe: 2,7
Breite: 5,3
Wandstärke: 1

Kat.-Nr. 467
Fundnr.: 11/1448/1/24
Form: charakteristisches Wandfragment
Typ: Ansatz einer Handhabe
Typenbezeichnung: WS4
Erhaltungszustand: abgerieben, sekundär verbrannt
Fabrikat: 15
Beschreibung: Ansatz eines F0 sichtbar
Maße (cm):
Höhe: 2,8
Breite: 5,3
Wandstärke: 0,8

Kat.-Nr. 468
Fundnr.: 11/1448/1/26
Form: charakteristisches Wandfragment
Typ: Ansatz einer Handhabe
Typenbezeichnung: WS4
Erhaltungszustand: gut
Fabrikat: 15
Beschreibung: Henkelansatz
Maße (cm):
Wandstärke: 1,2

Kat.-Nr. 469
Fundnr.: 11/1448/1/33
Form: charakteristisches Wandfragment
Typ: durchlocht/durchbohrt
Typenbezeichnung: WS3
Erhaltungszustand: abgerieben
Fabrikat: 15
Beschreibung: ovale Durchlochung
Maße (cm):
Wandstärke: 1,4
Dm. (Durchlochung): 0,9–0,6

Kat.-Nr. 470
Fundnr.: 11/1448/1/34
Form: charakteristisches Wandfragment
Typ: durchlocht/durchbohrt
Typenbezeichnung: WS3
Erhaltungszustand: abgerieben
Fabrikat: 15
Beschreibung: ovale Durchlochung
Maße (cm):
Wandstärke: 1,5
Dm. (Durchlochung): 0,6–0,8

SE 1451

Krüge

Kat.-Nr. 471 Taf. 16.471
Fundnr.: 11/1451/1/1
Form: Krug
Typ: sackförmig
Variante: regelmäßig gerundete Lippe
Typenbezeichnung: K1A
Handhabe/Verzierung: mit leicht überrandständigem H1A und B6A
Erhaltungszustand: Gefäß zu ca. 70% erhalten; abgerieben
Fabrikat: 23
Beschreibung: Dm. Rand oval
Maße (cm):
Höhe: 1,6
Länge: 6,4
Wandstärke: 0,4
Dm. (Rand, oval): 6–7
Dm. (Rand, erhalten in %): 100

SE 1476

Schalen

Kat.-Nr. 472 Taf. 17.472
Fundnr.: 11/1476/1/1
Form: Schale
Typ: weitmundig
Variante: nach innen verdickte Lippe
Typenbezeichnung: S4U
Erhaltungszustand: leicht abgerieben und versintert
Fabrikat: 37
Maße (cm):
Wandstärke: 0,7
Dm. (Rand): 18
Dm. (Rand, erhalten in %): 7

Böden

Kat.-Nr. 473
Fundnr.: 11/1476/1/2
Form: Boden
Typ: Scheibenbasis
Variante: eingewölbte Standfläche
Typenbezeichnung: B2A
Erhaltungszustand: abgerieben, stark versintert und sekundär verbrannt
Fabrikat: 22
Maße (cm):
Wandstärke: 0,4
Dm. (Boden): 4
Dm. (Boden, erhalten in %): 19

SE 1478

Schalen

Kat.-Nr. 474
Fundnr.: 11/1478/1/1
Form: Schale
Typ: weitmundig
Variante: gerollter Rand
Typenbezeichnung: S4Q
Erhaltungszustand: abgerieben
Fabrikat: 29
Beschreibung: Dm. Rand nicht ermittelbar

Maße (cm):
Wandstärke: 0,7

Kat.-Nr. 475
Fundnr.: 11/1478/1/2
Form: Schale
Typ: weitmundig
Variante: T–Rand
Typenbezeichnung: S4R
Erhaltungszustand: abgerieben
Fabrikat: 37
Maße (cm):
Wandstärke: 0,9
Dm. (Rand): 18
Dm. (Rand, erhalten in %): 6,5

Halsgefäße

Kat.-Nr. 476
Fundnr.: 11/1478/1/8
Form: Halsgefäß
Typ: geschwungene Wandung
Variante: regelmäßig gerundete Lippe
Typenbezeichnung: Hg2A
Handhabe/Verzierung: mit randständigem WS4
Erhaltungszustand: abgerieben
Fabrikat: 23
Maße (cm):
Wandstärke: 0,8
Dm. (Rand): 30
Dm. (Rand, erhalten in %): 7

Kat.-Nr. 477
Fundnr.: 11/1478/1/9
Form: Halsgefäß
Typ: gerade Wandung
Variante: horizontal abgestrichene Lippe
Typenbezeichnung: Hg1D
Erhaltungszustand: abgerieben
Fabrikat: 20
Maße (cm):
Wandstärke: 0,8
Dm. (Rand): 22
Dm. (Rand, erhalten in %): 5,3

Kat.-Nr. 478
Fundnr.: 11/1478/1/10
Form: Halsgefäß
Typ: geschwungene Wandung
Variante: regelmäßig gerundete Lippe
Typenbezeichnung: Hg2A
Erhaltungszustand: stark abgerieben, leicht versintert und sekundär verbrannt
Fabrikat: 17
Maße (cm):
Höhe: 2
Länge: 10,6
Breite: 3
Wandstärke: 0,8
Dm. (Rand): 22
Dm. (Rand, erhalten in %): 10,5

Vertikalhenkel

Kat.-Nr. 479
Fundnr.: 11/1478/1/4
Form: Vertikalhenkel
Typ: ovaler Querschnitt
Variante: unverziert
Typenbezeichnung: H1A
Erhaltungszustand: abgerieben
Fabrikat: 23
Maße (cm):
Höhe: 1,7
Länge: erh. 4,9
Breite: 3,4

Füße

Kat.-Nr. 480
Fundnr.: 11/1478/1/3
Form: Fuß
Typ: ausgezipfelte Standfläche
Variante: gerundete Basis
Typenbezeichnung: F3B
Erhaltungszustand: abgerieben, sekundär verbrannt
Fabrikat: 17
Maße (cm):
Höhe: 1,7
Länge: erh. 5,2
Breite: 2,6
Breite (Standfläche): 3,8

Charakteristische Wandfragmente

Kat.-Nr. 481
Fundnr.: 11/1478/1/5
Form: charakteristisches Wandfragment
Typ: Applike
Variante: Knubbe
Typenbezeichnung: WS5B
Handhabe/Verzierung: Kn4
Erhaltungszustand: gut, leicht abgerieben
Fabrikat: 23
Maße (cm):
Wandstärke: 1,3
Länge (Knubbe): 2
Breite (Knubbe): 1,8
Höhe (Knubbe): ca. 0,5

Kat.-Nr. 482
Fundnr.: 11/1478/1/7
Form: charakteristisches Wandfragment
Typ: Ansatz einer Handhabe
Typenbezeichnung: WS4
Erhaltungszustand: abgerieben, versintert
Fabrikat: 17
Maße (cm):
Länge: 7,5
Breite: 8,9
Wandstärke: 0,9

Kat.-Nr. 483
Fundnr.: 11/1478/1/11

Form: charakteristisches Wandfragment
Typ: durchlocht/durchbohrt
Typenbezeichnung: WS3
Erhaltungszustand: abgerieben
Fabrikat: 15
Maße (cm):
Wandstärke: 1,5
Dm. (Durchlochung): 0,6

SE 1479

Schalen

Kat.-Nr. 484
Fundnr.: 11/1479/1/3
Form: Schale
Typ: weitmundig
Variante: schräg nach innen abgestrichene und verdickte Lippe
Typenbezeichnung: S4K
Erhaltungszustand: abgerieben
Fabrikat: 37
Beschreibung: Dm. Rand < 5 %, daher unsicher
Maße (cm):
Wandstärke: 0,6
Dm. (Rand): 30
Dm. (Rand, erhalten in %): 3,2

Engmundige Gefäße

Kat.-Nr. 485
Fundnr.: 11/1479/1/1
Form: Engmundig
Typ: Hals konisch einziehend
Variante: regelmäßig gerundete Lippe
Typenbezeichnung: E1A
Erhaltungszustand: gut
Fabrikat: 36
Beschreibung: großer Glimmerpartikel an der inneren Oberfläche
Maße (cm):
Wandstärke: 0,6
Dm. (Rand): 16
Dm. (Rand, erhalten in %): 6,7

Kat.-Nr. 486
Fundnr.: 11/1479/1/2
Form: Engmundig
Typ: Hals konisch einziehend
Variante: regelmäßig gerundete Lippe
Typenbezeichnung: E1A
Erhaltungszustand: abgerieben
Fabrikat: 25
Beschreibung: nicht bemalt; Dm. Rand < 5 %, daher unsicher
Maße (cm):
Wandstärke: 1,4
Dm. (Rand): 30
Dm. (Rand, erhalten in %): 3

Kat.-Nr. 487
Fundnr.: 11/1479/1/4
Form: Engmundig
Typ: Hals konvex einziehend
Variante: regelmäßig gerundete Lippe
Typenbezeichnung: E3A
Erhaltungszustand: versintert
Fabrikat: 34
Beschreibung: Dm. Rand < 5 %, daher unsicher
Maße (cm):
Wandstärke: 2,4
Dm. (Rand): 30
Dm. (Rand, erhalten in %): 3

Böden

Kat.-Nr. 488
Fundnr.: 11/1479/1/9
Form: Boden
Typ: Flachboden
Variante: abgerundeter Übergang zur Basis
Typenbezeichnung: B1A
Erhaltungszustand: versintert
Fabrikat: 19
Maße (cm):
Wandstärke: 0,6
Dm. (Boden): 8
Dm. (Boden, erhalten in %): 12

SE 1492

Dreifußtöpfe

Kat.-Nr. 489 Taf. 17.489
Fundnr.: 11/1492/1/1
Form: Dreifußtopf
Typ: sanft geschwungene Wandung
Variante: regelmäßig gerundete Lippe
Typenbezeichnung: Dt1A
Handhabe/Verzierung: mit 2 leicht überrandständigen H1A; 2 Kn4 auf den Gefäßseiten; 3 WS4 (Füße)
Erhaltungszustand: zu ca. 80% erhalten; sekundär verbrannt
Fabrikat: 23
Beschreibung: beidseitig überrandständige Vertikalhenkel; Knubbenapplikation (je 2 Kubben an beiden Frontseiten); Fußansätze oval (4,5 × 2,4 cm)
Maße (cm):
Länge: 7,6
Breite: 1,3
Wandstärke: 0,9
Dm. (Rand, oval): 12–14
Dm. (Rand, erhalten in %): 100
Breite (Henkel): 2,3–2,4
Dicke (Henkel): 1,3–1,5

SE 4504

Halsgefäße

Kat.-Nr. 490 Taf. 17.490
Fundnr.: 12/4504/1/1
Form: Halsgefäß
Typ: geschwungene Wandung

Variante: schräg nach außen abgestrichener Rand
Typenbezeichnung: Hg2H
Handhabe/Verzierung: mit 2, vermutlich randständigen H1A
Erhaltungszustand: zu ca. 70% erhalten; stark abgerieben, sekundär verbrannt
Fabrikat: 20
Beschreibung: an der Innenseite versintert, sehr langer Hals und gedrungen, breiter Bauch mit 2 Henkelansätzen
Maße (cm):
Wandstärke: 0,8
Dm. (Rand): 10
Dm. (Rand, erhalten in %): 23
Breite (Henkel): 3,2–3,3
Dicke (Henkel): 2–2,2

Vertikalhenkel

Kat.-Nr. 491 Taf. 17.491
Fundnr.: 12/4504/1/4
Form: Vertikalhenkel
Typ: runder Querschnitt
Variante: unverziert
Typenbezeichnung: H8B
Erhaltungszustand: abgerieben, versintert und sekundär verbrannt
Fabrikat: 38
Maße (cm):
Höhe: 1,4–1,8
Länge: 10,9
Breite: 2–2,6

Kat.-Nr. 492
Fundnr.: 12/4504/1/5
Form: Vertikalhenkel
Typ: ovaler Querschnitt
Variante: unverziert
Typenbezeichnung: H1A
Erhaltungszustand: gut
Fabrikat: 100
Maße (cm):
Höhe: 1,5
Länge: erh. 7,3
Breite: 2,4

Kat.-Nr. 493 Taf. 17.493
Fundnr.: 12/4504/1/6
Form: Vertikalhenkel
Typ: breiter Querschnitt
Variante: unverziert
Typenbezeichnung: H2A
Erhaltungszustand: sehr gut
Fabrikat: 29
Beschreibung: extrem glatt polierte Oberfläche, fast eckige Kanten
Maße (cm):
Höhe: 1,1
Länge: erh. 3,5
Breite: 2,5

Charakteristische Wandfragmente

Kat.-Nr. 494
Fundnr.: 12/4504/1/2
Form: charakteristisches Wandfragment
Typ: unbestimmbar
Variante: unbestimmbar
Typenbezeichnung: WS0
Erhaltungszustand: versintert
Fabrikat: 100
Beschreibung: unklar, ob Boden oder Deckel
Maße (cm):
Wandstärke: 0,6
Dm. (Boden/Deckel?): 8
Dm. (Boden/Deckel?, erhalten in %): 19

M1

SE 5350

Schalen

Kat.-Nr. 495
Fundnr.: 13/5350/1/3
Form: Schale
Typ: weitmundig
Variante: regelmäßig gerundete Lippe
Typenbezeichnung: S4A
Erhaltungszustand: abgerieben
Fabrikat: 36
Maße (cm):
Wandstärke: 0,5
Dm. (Rand): 20
Dm. (Rand, erhalten in %): 5

Töpfe

Kat.-Nr. 496
Fundnr.: 13/5350/1/7
Form: Topf
Typ: schräg konkave Wandung
Variante: regelmäßig gerundete Lippe
Typenbezeichnung: T3A
Erhaltungszustand: versintert
Fabrikat: 22
Beschreibung: Dm. Rand < 5 %, daher unsicher
Maße (cm):
Wandstärke: 0,6
Dm. (Rand): 8
Dm. (Rand, erhalten in %): 4

Engmundige Gefäße

Kat.-Nr. 497
Fundnr.: 13/5350/1/6
Form: Engmundig
Typ: Hals konisch einziehend
Variante: spitz ausgezogene Lippe
Typenbezeichnung: E2B
Erhaltungszustand: abgerieben
Fabrikat: 24

Beschreibung: Dm. Rand < 5%, daher unsicher
Maße (cm):
Wandstärke: 1,3
Dm. (Rand): 20
Dm. (Rand, erhalten in %): 3

Kat.-Nr. 498
Fundnr.: 13/5350/1/10
Form: Engmundig
Typ: Hals konisch einziehend
Variante: regelmäßig gerundete Lippe
Typenbezeichnung: E2A
Erhaltungszustand: sekundär verbrannt
Fabrikat: 24
Maße (cm):
Wandstärke: 0,6
Dm. (Rand): 7
Dm. (Rand, erhalten in %): 6

Kat.-Nr. 499
Fundnr.: 13/5350/1/13
Form: Engmundig
Typ: Hals steil konkav
Variante: horizontal abgestrichene Lippe
Typenbezeichnung: E1D
Erhaltungszustand: versintert
Fabrikat: 22
Maße (cm):
Wandstärke: 0,4
Dm. (Rand): 10
Dm. (Rand, erhalten in %): 7

Halsgefäße

Kat.-Nr. 500
Fundnr.: 13/5350/1/9
Form: Halsgefäß
Typ: geschwungene Wandung
Variante: regelmäßig gerundete Lippe
Typenbezeichnung: Hg2A
Erhaltungszustand: versintert
Fabrikat: 17
Maße (cm):
Wandstärke: 0,9
Dm. (Rand): 12
Dm. (Rand, erhalten in %): 7

Füße

Kat.-Nr. 501 Taf. 18.501
Fundnr.: 13/5350/1/11
Form: Fuß
Typ: ausgezipfelte Standfläche
Variante: gerundete Basis
Typenbezeichnung: F3B
Erhaltungszustand: sekundär verbrannt
Fabrikat: 35
Maße (cm):
Höhe: 1,6
Länge: 6,2
Breite: 3,9

Planierung ÇuHö VIa/VIb

N7

SE 1445

Schalen

Kat.-Nr. 502 Taf. 18.502
Fundnr.: 11/1445/1/1
Form: Schale
Typ: weitmundig
Variante: schräg nach innen abgestrichene und verdickte Lippe
Typenbezeichnung: S4K
Handhabe/Verzierung: mit randständigem WS4
Erhaltungszustand: abgerieben, versintert
Fabrikat: 37
Beschreibung: Durchlochung gleich unter dem Rand; Ansatz eines randständigen Vertikalhenkels
Maße (cm):
Wandstärke: 1,4
Dm. (Rand): 24
Dm. (Rand, erhalten in %): 7
Dm. (Durchlochung): 1,1

Kat.-Nr. 503
Fundnr.: 11/1445/1/3
Form: Schale
Typ: weitmundig
Variante: regelmäßig gerundete Lippe
Typenbezeichnung: S4A
Erhaltungszustand: abgerieben
Fabrikat: 37
Maße (cm):
Wandstärke: 1,1
Dm. (Rand): 22
Dm. (Rand, erhalten in %): 5

Kat.-Nr. 504 Taf. 18.504
Fundnr.: 11/1445/1/5
Form: Schale
Typ: kalottenförmig
Variante: regelmäßig gerundete Lippe
Typenbezeichnung: S1A
Erhaltungszustand: gut, leicht abgerieben
Fabrikat: 37
Maße (cm):
Wandstärke: 1,2
Dm. (Rand): 18
Dm. (Rand, erhalten in %): 5

Kat.-Nr. 505 Taf. 18.505
Fundnr.: 11/1445/1/6
Form: Schale
Typ: weitmundig
Variante: schräg nach innen abgestrichene und verdickte Lippe
Typenbezeichnung: S4K
Erhaltungszustand: abgerieben

Fabrikat: 29
Maße (cm):
Wandstärke: 0,7
Dm. (Rand): 30
Dm. (Rand, erhalten in %): 6

Engmundige Gefäße

Kat.-Nr. 506
Fundnr.: 11/1445/1/4
Form: Engmundig
Typ: Hals konisch einziehend
Variante: regelmäßig gerundete Lippe
Typenbezeichnung: E1A
Erhaltungszustand: abgerieben
Fabrikat: 100
Beschreibung: Dm. Rand < 5 %, daher unsicher
Maße (cm):
Wandstärke: 0,4
Dm. (Rand): 24
Dm. (Rand, erhalten in %): 2,7

Kat.-Nr. 507 Taf. 18.507
Fundnr.: 11/1445/1/10
Form: Engmundig
Typ: Hals steil konkav
Variante: regelmäßig gerundete Lippe
Typenbezeichnung: E2A
Handhabe/Verzierung: mit randständigem H2A
Erhaltungszustand: abgerieben, versintert
Fabrikat: 20
Beschreibung: randständiger Henkel H2A mit kantigen Seitenübergängen
Maße (cm):
Höhe: 1,8
Länge: 1,6
Breite: 3–3,5
Wandstärke: 0,7
Dm. (Rand): 30
Dm. (Rand, erhalten in %): 5

Kat.-Nr. 508
Fundnr.: 11/1445/1/13
Form: Engmundig
Typ: Hals steil konkav
Variante: spitz ausgezogene Lippe
Typenbezeichnung: E1B
Erhaltungszustand: abgerieben
Fabrikat: 36
Beschreibung: Dm. Rand nicht ermittelbar
Maße (cm):
Wandstärke: 0,4

Kat.-Nr. 509
Fundnr.: 11/1445/1/15
Form: Engmundig
Typ: Hals konisch einziehend
Variante: regelmäßig gerundete Lippe
Typenbezeichnung: E1A
Erhaltungszustand: abgerieben
Fabrikat: 22
Maße (cm):
Wandstärke: 0,5
Dm. (Rand): 8
Dm. (Rand, erhalten in %): 11

Kat.-Nr. 510
Fundnr.: 11/1445/1/16
Form: Engmundig
Typ: Hals steil konkav
Variante: spitz ausgezogene Lippe
Typenbezeichnung: E2B
Erhaltungszustand: abgerieben
Fabrikat: 24
Maße (cm):
Wandstärke: 0,5
Dm. (Rand): 12
Dm. (Rand, erhalten in %): 5

Halsgefäße

Kat.-Nr. 511
Fundnr.: 11/1445/1/7
Form: Halsgefäß
Typ: gerade Wandung
Variante: regelmäßig gerundete Lippe
Typenbezeichnung: Hg1A
Erhaltungszustand: stark abgerieben, versintert
Fabrikat: 24
Maße (cm):
Wandstärke: 0,5
Dm. (Rand): 18
Dm. (Rand, erhalten in %): 5

Vertikalhenkel

Kat.-Nr. 512
Fundnr.: 11/1445/1/9
Form: Vertikalhenkel
Typ: breiter Querschnitt
Variante: unverziert
Typenbezeichnung: H2A
Erhaltungszustand: gut, leicht abgerieben
Fabrikat: 20
Maße (cm):
Höhe: 1,5
Länge: 4,7
Breite: 3,8

Kat.-Nr. 513
Fundnr.: 11/1445/1/11
Form: Vertikalhenkel
Typ: ovaler Querschnitt
Variante: unverziert
Typenbezeichnung: H1A
Handhabe/Verzierung: mit WS4
Erhaltungszustand: schlechter Erhaltungszustand, nur Ansatz erhalten; abgerieben
Fabrikat: 20
Maße (cm):
Höhe: 1,8
Länge: erh. 4,2

Breite: 3,8
Wandstärke: 0,6

Griffknubben

Kat.-Nr. 514
Fundnr.: 11/1445/1/12
Form: Griffknubbe
Typ: gerade
Variante: kurz
Typenbezeichnung: G4k
Erhaltungszustand: abgerieben
Fabrikat: 22
Maße (cm):
Höhe: 1,4
Länge: 2,2
Breite: erh. 3,4
Wandstärke: 0,3
Dm. (Durchlochung): 1

SE 1446

Halsgefäße

Kat.-Nr. 515
Fundnr.: 11/1446/1/2
Form: Halsgefäß
Typ: gerade Wandung
Variante: regelmäßig gerundete Lippe
Typenbezeichnung: Hg1A
Erhaltungszustand: stark abgerieben, sekundär verbrannt
Fabrikat: 40
Maße (cm):
Wandstärke: 0,7
Dm. (Rand): 12
Dm. (Rand, erhalten in %): 11

Füße

Kat.-Nr. 516
Fundnr.: 11/1446/1/5
Form: Fuß
Typ: ausgezipfelte Standfläche
Variante: gerundete Basis
Typenbezeichnung: F3B
Erhaltungszustand: versintert
Fabrikat: 44
Maße (cm):
Höhe: 1,3
Länge: erh. 3,7
Breite: 2,4
Breite (Standfläche): 3,5

Charakteristische Wandfragmente

Kat.-Nr. 517
Fundnr.: 11/1446/1/3
Form: charakteristisches Wandfragment
Typ: durchlocht/durchbohrt
Typenbezeichnung: WS3
Erhaltungszustand: abgerieben, sekundär verbrannt
Fabrikat: 100
Maße (cm):
Wandstärke: 0,6
Dm. (Durchlochung, außen): 0,7
Dm. (Durchlochung, innen): 0,5

Kat.-Nr. 518
Fundnr.: 11/1446/1/4
Form: charakteristisches Wandfragment
Typ: durchlocht/durchbohrt
Typenbezeichnung: WS3
Erhaltungszustand: gut
Fabrikat: 100
Maße (cm):
Wandstärke: 0,4
Dm. (Durchlochung): 0,4

SE 1447

Schalen

Kat.-Nr. 519
Fundnr.: 11/1447/1/1
Form: Schale
Typ: Knickrandschale
Variante: regelmäßig gerundete Lippe
Typenbezeichnung: S3A
Erhaltungszustand: abgerieben
Fabrikat: 19
Maße (cm):
Winkel (Knick): 49°
Länge: 1,1
Breite: 0,9
Wandstärke: 0,8
Dm. (Rand): 10
Dm. (Rand, erhalten in %): 5

Böden

Kat.-Nr. 520
Fundnr.: 11/1447/1/2
Form: Boden
Typ: Scheibenbasis
Variante: gerade Standfläche
Typenbezeichnung: B2B
Erhaltungszustand: stark abgerieben, versintert
Fabrikat: 22
Maße (cm):
Wandstärke: 0,3
Dm. (Boden): 5
Dm. (Boden, erhalten in %): 28

Vertikalhenkel

Kat.-Nr. 521
Fundnr.: 11/1447/1/4
Form: Vertikalhenkel
Typ: ovaler Querschnitt
Variante: unverziert
Typenbezeichnung: H1A
Erhaltungszustand: abgerieben

Fabrikat: 38
Maße (cm):
Höhe: 1,3
Länge: erh. 3,1
Breite: 1,8

SE 1457

Schalen

Kat.-Nr. 522 Taf. 18.522
Fundnr.: 11/1457/1/2
Form: Schale
Typ: weitmundig
Variante: horizontal abgestrichene Lippe
Typenbezeichnung: S4D
Erhaltungszustand: abgerieben
Fabrikat: 20
Beschreibung: Rand zum Teil aufgrund des Abstriches uneben
Maße (cm):
Wandstärke: 0,8
Dm. (Rand): 39
Dm. (Rand, erhalten in %): 13,8

Halsgefäße

Kat.-Nr. 523 Taf. 19.523
Fundnr.: 11/1457/1/3
Form: Halsgefäß
Typ: gerade Wandung
Variante: außen verdickte Lippe
Typenbezeichnung: Hg1I
Erhaltungszustand: abgerieben, versintert und sekundär verbrannt
Fabrikat: 29
Maße (cm):
Wandstärke: 0,7
Dm. (Rand): 10
Dm. (Rand, erhalten in %): 35

Böden

Kat.-Nr. 524 Taf. 19.524
Fundnr.: 11/1457/1/5
Form: Boden
Typ: Standring
Typenbezeichnung: B3
Erhaltungszustand: abgerieben, versintert
Fabrikat: 17
Maße (cm):
Wandstärke: 0,8
Dm. (Boden): 6
Dm. (Boden, erhalten in %): 75

Vertikalhenkel

Kat.-Nr. 525
Fundnr.: 11/1457/1/7
Form: Vertikalhenkel
Typ: breiter Querschnitt
Variante: unverziert
Typenbezeichnung: H2A
Erhaltungszustand: abgerieben
Fabrikat: 19
Maße (cm):
Höhe: 1,1
Länge: erh. 5
Breite: 3

Kat.-Nr. 526
Fundnr.: 11/1457/1/9
Form: Vertikalhenkel
Typ: breiter Querschnitt
Variante: unverziert
Typenbezeichnung: H2A
Erhaltungszustand: sekundär verbrannt
Fabrikat: 19
Maße (cm):
Höhe: 0,9
Länge: erh. 4,1
Breite: 2,2

SE 1462

Engmundige Gefäße

Kat.-Nr. 527 Taf. 19.527
Fundnr.: 11/1462/1/1
Form: Engmundig
Typ: Hals steil konkav
Variante: regelmäßig gerundete Lippe
Typenbezeichnung: E1A
Handhabe/Verzierung: mit randständigem H2A
Erhaltungszustand: abgerieben, leicht versintert und sekundär verbrannt
Fabrikat: 17
Maße (cm):
Höhe: 1,8
Länge: 12,8
Breite: 4,3
Wandstärke: 1
Dm. (Rand): 14
Dm. (Rand, erhalten in %): 13

M1

SE 5591

Grifflappen

Kat.-Nr. 528 Taf. 19.528
Fundnr.: 14/5591/1/2
Form: Grifflappen
Typ: flossenförmig
Typenbezeichnung: La4
Erhaltungszustand: abgerieben
Fabrikat: 87
Maße (cm):
Höhe: 0,7
Länge: 2,2
Breite: erh. 2,1

Schalen

Kat.-Nr. 529 Taf. 19.529
Fundnr.: 14/5591/1/1
Form: Schale
Typ: Knickrandschale
Variante: regelmäßig gerundete Lippe
Typenbezeichnung: S3A
Erhaltungszustand: abgerieben
Fabrikat: 37
Beschreibung: Dm. Rand nicht ermittelbar
Maße (cm):
Länge: 1,2
Breite: 0,7
Wandstärke: 0,7

ÇuHö VIa

SE 5445

Schalen

Kat.-Nr. 530
Fundnr.: 14/5445/1/1
Form: Schale
Typ: sanft geschwungene Wandung
Variante: regelmäßig gerundete Lippe
Typenbezeichnung: S5A
Erhaltungszustand: abgerieben
Fabrikat: 47
Maße (cm):
Wandstärke: 0,65
Dm. (Rand): 12
Dm. (Rand, erhalten in %): 13

Vertikalhenkel

Kat.-Nr. 531
Fundnr.: 14/5445/1/3
Form: Vertikalhenkel
Typ: Bandhenkel
Variante: unverziert
Typenbezeichnung: H3A
Erhaltungszustand: abgerieben
Fabrikat: 103
Maße (cm):
Höhe: 0,7
Länge: erh. 1,4
Breite: 2,9

Charakteristische Wandfragmente

Kat.-Nr. 532
Fundnr.: 14/5445/1/4
Form: charakteristisches Wandfragment
Typ: durchlocht/durchbohrt
Typenbezeichnung: WS3
Erhaltungszustand: sekundär verbrannt
Fabrikat: 15
Beschreibung: abgeplatztes Fragment
Maße (cm):
Wandstärke: 1
Dm. (Durchlochung): 0,8

Kat.-Nr. 533 Taf. 20.533
Fundnr.: 14/5445/1/5
Form: charakteristisches Wandfragment
Typ: durchlocht/durchbohrt
Typenbezeichnung: WS3
Erhaltungszustand: sekundär verbrannt
Fabrikat: 15
Beschreibung: abgeplatztes Fragment
Maße (cm):
Wandstärke: 1,2
Dm. (Durchlochung): 0,7–1

Randfragmente

Kat.-Nr. 534
Fundnr.: 14/5445/1/2
Form: Randfragment
Typ: unbestimmbar
Variante: regelmäßig gerundete Lippe
Typenbezeichnung: R0A
Erhaltungszustand: versintert
Fabrikat: 23
Beschreibung: Dm. Rand nicht ermittelbar
Maße (cm):
Wandstärke: 2,3

SE 5446

Böden

Kat.-Nr. 535 Taf. 20.535
Fundnr.: 14/5446/1/1
Form: Boden
Typ: Rundboden
Variante: mit aufgetragener Standfläche
Typenbezeichnung: B6B
Erhaltungszustand: sekundär verbrannt
Fabrikat: 15
Beschreibung: Boden eines großen Vorratsgefäßes
Maße (cm):
Wandstärke: 1,1
Dm. (Boden): 5
Dm. (Boden, erhalten in %): 100

SE 5468

Schalen

Kat.-Nr. 536
Fundnr.: 14/5468/1/5
Form: Schale
Typ: kalottenförmig
Variante: regelmäßig gerundete Lippe
Typenbezeichnung: S1A
Erhaltungszustand: abgerieben
Fabrikat: 24
Maße (cm):
Wandstärke: 0,8

Dm. (Rand): 28
Dm. (Rand, erhalten in %): 5,5

Töpfe

Kat.-Nr. 537 Taf. 20.537
Fundnr.: 14/5468/1/1
Form: Topf
Typ: schräg konkave Wandung
Variante: regelmäßig gerundete Lippe
Typenbezeichnung: T3A
Erhaltungszustand: sekundär verbrannt
Fabrikat: 20
Maße (cm):
Wandstärke: 0,6
Dm. (Rand): 20
Dm. (Rand, erhalten in %): 6

Halsgefäße

Kat.-Nr. 538 Taf. 20.538
Fundnr.: 14/5468/1/2
Form: Halsgefäß
Typ: geschwungene Wandung
Variante: regelmäßig gerundete Lippe
Typenbezeichnung: Hg2A
Erhaltungszustand: abgerieben
Fabrikat: 24
Maße (cm):
Wandstärke: 0,9
Dm. (Rand): 22
Dm. (Rand, erhalten in %): 5,5

Böden

Kat.-Nr. 539
Fundnr.: 14/5468/1/12
Form: Boden
Typ: Scheibenbasis
Variante: eingewölbte Standfläche
Typenbezeichnung: B2A
Erhaltungszustand: abgerieben
Fabrikat: 18
Maße (cm):
Wandstärke: 1,1
Dm. (Boden): 7
Dm. (Boden, erhalten in %): 14

Vertikalhenkel

Kat.-Nr. 540
Fundnr.: 14/5468/1/9
Form: Vertikalhenkel
Typ: ovaler Querschnitt
Variante: unverziert
Typenbezeichnung: H1A
Erhaltungszustand: abgerieben
Fabrikat: 17
Maße (cm):
Höhe: 1,65
Länge: erh. 6,7
Breite: 2,7
Wandstärke: 0,6

Kat.-Nr. 541
Fundnr.: 14/5468/1/10
Form: Vertikalhenkel
Typ: Bandhenkel
Variante: unverziert
Typenbezeichnung: H3A
Erhaltungszustand: abgerieben
Fabrikat: 16
Maße (cm):
Höhe: 1,3
Länge: erh. 2,1
Breite: 3,7
Wandstärke: 0,6

SE 5514

Halsgefäße

Kat.-Nr. 542 Taf. 21.542
Fundnr.: 14/5514/1/2
Form: Halsgefäß
Typ: gerade Wandung
Variante: ausbiegender verdickter Rand
Typenbezeichnung: Hg1L
Erhaltungszustand: abgerieben
Fabrikat: 23
Beschreibung: Vorratsgefäß?
Maße (cm):
Wandstärke: 0,6
Dm. (Rand): 28
Dm. (Rand, erhalten in %): 12,5

Cheese pots

Kat.-Nr. 543 Taf. 22–23.543; 50–51
Fundnr.: 14/5514/1/1
Form: Cheese pot
Typ: unbestimmbar
Variante: regelmäßig gerundete Lippe
Typenbezeichnung: Chb0A
Erhaltungszustand: schlecht
Fabrikat: 44
Beschreibung: mehrere Bruchstücke zu einem Gefäß gehörig; gesamtes Profil erhalten; vermutlich ovale Form; unregelmäßige Randform; nach vorne hin geöffnet mit einem scharfen Übergang; gerundeter Übergang zur Basis (B1A); sehr großes Gefäß; Dm. Rand nicht ermittelbar, da gerader Verlauf; Anpassungen auf einer Länge von 50 cm erhalten
Maße (cm):
Wandstärke (Boden): 0,7
Wandstärke (im Bereich der Öffnung): bis 1,2
Dm. (Durchlochung): 0,4–0,75

SE 5585

Böden

Kat.-Nr. 544 Taf. 21.544
Fundnr.: 14/5585/1/3
Form: Boden
Typ: Rundboden
Variante: einfach

Typenbezeichnung: B6A
Erhaltungszustand: sekundär verbrannt
Fabrikat: 15
Beschreibung: Dm. Boden nicht ermittelbar
Maße (cm):
Wandstärke: 0,9

Vertikalhenkel

Kat.-Nr. 545
Fundnr.: 14/5585/1/1
Form: Vertikalhenkel
Typ: ovaler Querschnitt
Variante: unverziert
Typenbezeichnung: H1A
Erhaltungszustand: abgerieben
Fabrikat: 15
Maße (cm):
Höhe: 2,7
Länge: erh. ca. 10
Breite: 5,1
Wandstärke: 1

Kat.-Nr. 546 Taf. 21.546
Fundnr.: 14/5585/1/2
Form: Vertikalhenkel
Typ: ovaler Querschnitt
Variante: eingesattelt
Typenbezeichnung: H1C
Erhaltungszustand: abgerieben
Fabrikat: 15
Beschreibung: mit leicht unterrandständigem Ansatz an R0A
Maße (cm):
Höhe: 2,4
Länge: 14,2
Breite: 3,8

SE 5590

Schalen

Kat.-Nr. 547 Taf. 21.547
Fundnr.: 14/5590/1/1
Form: Schale
Typ: weitmundig
Variante: regelmäßig gerundete Lippe
Typenbezeichnung: S4A
Handhabe/Verzierung: mit randständigem H2A
Erhaltungszustand: abgerieben
Fabrikat: 55
Maße (cm):
Wandstärke: 0,55
Dm. (Rand): 20
Dm. (Rand, erhalten in %): 6

Kat.-Nr. 548 Taf. 21.548
Fundnr.: 14/5590/1/2
Form: Schale
Typ: kalottenförmig
Variante: regelmäßig gerundete Lippe
Typenbezeichnung: S1A
Erhaltungszustand: abgerieben
Fabrikat: 37
Maße (cm):
Wandstärke: 1
Dm. (Rand): 46
Dm. (Rand, erhalten in %): 6

Kat.-Nr. 549 Taf. 24.549
Fundnr.: 14/5590/1/6
Form: Schale
Typ: weitmundig mit nach innen geklapptem Rand
Variante: regelmäßig gerundete Lippe
Typenbezeichnung: S11A
Erhaltungszustand: abgerieben
Fabrikat: 49
Maße (cm):
Wandstärke: 1,05
Dm. (Rand): 24
Dm. (Rand, erhalten in %): 5,5

Engmundige Gefäße

Kat.-Nr. 550
Fundnr.: 14/5590/1/5
Form: Engmundig
Typ: Hals konisch einziehend
Variante: leicht verdickte Lippe
Typenbezeichnung: E2C
Erhaltungszustand: abgerieben
Fabrikat: 22
Maße (cm):
Wandstärke: 0,3
Dm. (Rand): 12
Dm. (Rand, erhalten in %): 10

Halsgefäße

Kat.-Nr. 551
Fundnr.: 14/5590/1/9
Form: Halsgefäß
Typ: geschwungene Wandung
Variante: regelmäßig gerundete Lippe
Typenbezeichnung: Hg2A
Erhaltungszustand: abgerieben
Fabrikat: 25
Beschreibung: Dm. Rand nicht ermittelbar
Maße (cm):
Wandstärke: 0,7

Kannen

Kat.-Nr. 552 Taf. 24.552
Fundnr.: 14/5590/1/3
Form: Kanne
Typ: unbestimmbar
Variante: unbestimmbar
Typenbezeichnung: Ka0
Handhabe/Verzierung: mit randständigem H1A
Erhaltungszustand: sehr stark sekundär verbrannt
Fabrikat: 33
Maße (cm):
Wandstärke: 0,5

Dm. (Rand): 8
Dm. (Rand, erhalten in %): 19

Deckel

Kat.-Nr. 553 Taf. 24.553
Fundnr.: 14/5590/1/12
Form: Deckel
Typ: Stulpdeckel
Variante: Ösenapplikation
Typenbezeichnung: De1B
Handhabe/Verzierung: mit Vertikalöse an der Oberseite
Erhaltungszustand: versintert
Fabrikat: 53
Maße (cm):
Wandstärke: 0,5
Dm. (Deckel): 9
Dm. (Deckel, erhalten in %): 12
Dm. (Durchlochung): 0,3

Randfragmente

Kat.-Nr. 554
Fundnr.: 14/5590/1/7
Form: Randfragment
Typ: unbestimmbar
Variante: außen verdickte Lippe
Typenbezeichnung: R0I
Erhaltungszustand: abgerieben
Fabrikat: 20
Maße (cm):
Wandstärke: 0,6
Dm. (Rand): 10
Dm. (Rand, erhalten in %): 11

Kat.-Nr. 555
Fundnr.: 14/5590/1/8
Form: Randfragment
Typ: unbestimmbar
Variante: regelmäßig gerundete Lippe
Typenbezeichnung: R0A
Erhaltungszustand: abgerieben
Fabrikat: 38
Beschreibung: Dm. Rand nicht ermittelbar, eventuell gerader Verlauf des Randes
Maße (cm):
Wandstärke: 0,7

Planierung ÇuHö Vb/VIa

SE 5465

Grifflappen

Kat.-Nr. 556 Taf. 24.556
Fundnr.: 14/5465/1/95
Form: Grifflappen
Typ: trapezförmig
Typenbezeichnung: La3
Handhabe/Verzierung: vermutlich unterrandständig
Erhaltungszustand: versintert
Fabrikat: 44
Maße (cm):
Höhe: erh. 5,6
Länge: erh. 7,1
Breite: erh. 9,9

Knubben

Kat.-Nr. 557
Fundnr.: 14/5465/1/121
Form: Knubbe
Typ: horizontal durchlochte breite Knubbe
Typenbezeichnung: Kn3
Erhaltungszustand: versintert
Fabrikat: 53
Maße (cm):
Höhe: 1,2
Länge: erh. 2,3
Breite: erh. 2,1
Wandstärke: 0,6
Dm. (Durchlochung): 0,4

Schalen

Kat.-Nr. 558
Fundnr.: 14/5465/1/3
Form: Schale
Typ: weitmundig
Variante: schräg nach innen abgestrichene und verdickte Lippe
Typenbezeichnung: S4K
Erhaltungszustand: sekundär verbrannt
Fabrikat: 55
Beschreibung: Dm. Rand nicht ermittelbar
Maße (cm):
Wandstärke: 0,75

Kat.-Nr. 559
Fundnr.: 14/5465/1/7
Form: Schale
Typ: weitmundig
Variante: schräg nach innen abgestrichene und verdickte Lippe
Typenbezeichnung: S4K
Erhaltungszustand: sekundär verbrannt
Fabrikat: 55
Beschreibung: Wandstärke nicht ermittelbar; Dm. Rand < 5 %, daher unsicher
Maße (cm):
Dm. (Rand): 20
Dm. (Rand, erhalten in %): 4

Kat.-Nr. 560
Fundnr.: 14/5465/1/16
Form: Schale
Typ: Knickrandschale
Variante: regelmäßig gerundete Lippe
Typenbezeichnung: S3A
Erhaltungszustand: abgerieben, versintert

Fabrikat: 55
Maße (cm):
Winkel (Knick): 62°
Länge: 1
Breite: 0,7
Wandstärke: 0,6
Dm. (Rand): 8
Dm. (Rand, erhalten in %): 15

Kat.-Nr. 561 Taf. 24.561
Fundnr.: 14/5465/1/17
Form: Schale
Typ: Knickrandschale
Variante: spitz ausgezogene Lippe
Typenbezeichnung: S3B
Handhabe: mit unterknickständiger Kn1
Erhaltungszustand: gut
Fabrikat: 55
Maße (cm):
Winkel (Knick): 73°
Länge: 1
Breite: 0,6
Wandstärke: 0,5
Dm. (Rand): 20
Dm. (Rand, erhalten in %): 10
Höhe (Kn1): 0,7
Länge (Kn1): 2,1
Breite (Kn1): 1,2
Dm. (Durchlochung, Kn1): 0,5

Kat.-Nr. 562
Fundnr.: 14/5465/1/18
Form: Schale
Typ: kalottenförmig
Variante: regelmäßig gerundete Lippe
Typenbezeichnung: S1A
Erhaltungszustand: sekundär verbrannt
Fabrikat: 43
Maße (cm):
Wandstärke: 0,5
Dm. (Rand): 20
Dm. (Rand, erhalten in %): 7

Kat.-Nr. 563
Fundnr.: 14/5465/1/21
Form: Schale
Typ: weitmundig
Variante: regelmäßig gerundete Lippe
Typenbezeichnung: S4A
Erhaltungszustand: abgerieben
Fabrikat: 84
Beschreibung: Dm. Rand < 5%, daher unsicher
Maße (cm):
Wandstärke: 0,55
Dm. (Rand): 24
Dm. (Rand, erhalten in %): 3,5

Kat.-Nr. 564 Taf. 24.564
Fundnr.: 14/5465/1/27
Form: Schale
Typ: kalottenförmig
Variante: regelmäßig gerundete Lippe
Typenbezeichnung: S1A
Handhabe/Verzierung: mit randständigem WS4
Erhaltungszustand: abgerieben
Fabrikat: 37
Beschreibung: Dm. Rand < 5 %, daher unsicher
Maße (cm):
Wandstärke: 1,2
Dm. (Rand): 56
Dm. (Rand, erhalten in %): 4,5

Kat.-Nr. 565
Fundnr.: 14/5465/1/28
Form: Schale
Typ: kalottenförmig
Variante: regelmäßig gerundete Lippe
Typenbezeichnung: S1A
Erhaltungszustand: abgerieben
Fabrikat: 51
Beschreibung: Dm. Rand < 5 %, daher unsicher
Maße (cm):
Wandstärke: 1
Dm. (Rand): 46
Dm. (Rand, erhalten in %): 4

Kat.-Nr. 566 Taf. 25.566
Fundnr.: 14/5465/1/32
Form: Schale
Typ: kalottenförmig
Variante: regelmäßig gerundete Lippe
Typenbezeichnung: S1A
Erhaltungszustand: sekundär verbrannt
Fabrikat: 37
Beschreibung: mit Durchlochung
Maße (cm):
Wandstärke: 0,7
Dm. (Rand): 26
Dm. (Durchlochung): 0,4
Dm. (Rand, erhalten in %): 7

Kat.-Nr. 567 Taf. 25.567
Fundnr.: 14/5465/1/33
Form: Schale
Typ: kalottenförmig
Variante: regelmäßig gerundete Lippe
Typenbezeichnung: S1A
Handhabe/Verzierung: mit randständigem H1A
Erhaltungszustand: sekundär verbrannt
Fabrikat: 55
Maße (cm):
Höhe: 1,2
Länge: 5,5
Breite: erh. 2
Wandstärke: 0,85
Dm. (Rand): 18
Dm. (Rand, erhalten in %): 7

Kat.-Nr. 568
Fundnr.: 14/5465/1/35
Form: Schale
Typ: kalottenförmig
Variante: regelmäßig gerundete Lippe
Typenbezeichnung: S1A

Erhaltungszustand: sekundär verbrannt
Fabrikat: 51
Maße (cm):
Wandstärke: 0,75
Dm. (Rand): 24
Dm. (Rand, erhalten in %): 7

Kat.-Nr. 569
Fundnr.: 14/5465/1/36
Form: Schale
Typ: weitmundig
Variante: regelmäßig gerundete Lippe
Typenbezeichnung: S4A
Erhaltungszustand: sekundär verbrannt
Fabrikat: 79
Beschreibung: Dm. Rand < 5%, daher unsicher
Maße (cm):
Wandstärke: 0,6
Dm. (Rand): 26
Dm. (Rand, erhalten in %): 3

Kat.-Nr. 570
Fundnr.: 14/5465/1/38
Form: Schale
Typ: Knickrandschale
Variante: regelmäßig gerundete Lippe
Typenbezeichnung: S3A
Erhaltungszustand: sekundär verbrannt
Fabrikat: 53
Maße (cm):
Winkel (Knick): 53°
Länge: 1
Breite: 0,7
Wandstärke: 0,45
Dm. (Rand): 10
Dm. (Rand, erhalten in %): 5

Kat.-Nr. 571
Fundnr.: 14/5465/1/40
Form: Schale
Typ: Knickrandschale
Variante: regelmäßig gerundete Lippe
Typenbezeichnung: S3A
Erhaltungszustand: gut
Fabrikat: 53
Maße (cm):
Winkel (Knick): 52°
Länge: 0,9
Breite: 0,7
Wandstärke: 0,3
Dm. (Rand): 16
Dm. (Rand, erhalten in %): 5

Kat.-Nr. 572
Fundnr.: 14/5465/1/42
Form: Schale
Typ: kalottenförmig
Variante: regelmäßig gerundete Lippe
Typenbezeichnung: S1A
Erhaltungszustand: sekundär verbrannt
Fabrikat: 22
Beschreibung: Dm. Rand nicht ermittelbar
Maße (cm):
Wandstärke: 1,1

Kat.-Nr. 573
Fundnr.: 14/5465/1/61
Form: Schale
Typ: weitmundig
Variante: regelmäßig gerundete Lippe
Typenbezeichnung: S4A
Erhaltungszustand: abgerieben
Fabrikat: 37
Maße (cm):
Wandstärke: 1,1
Dm. (Rand): 28
Dm. (Rand, erhalten in %): 6,5

Kat.-Nr. 574
Fundnr.: 14/5465/1/66
Form: Schale
Typ: Knickrandschale
Variante: regelmäßig gerundete Lippe
Typenbezeichnung: S3A
Erhaltungszustand: versintert
Fabrikat: 41
Beschreibung: Dm. Rand < 5 %, daher unsicher
Maße (cm):
Winkel (Knick): 22°
Länge: 1,2
Breite: 1,2
Wandstärke: 0,4
Dm. (Rand): 26
Dm. (Rand, erhalten in %): 4

Kat.-Nr. 575
Fundnr.: 14/5465/1/67
Form: Schale
Typ: Knickrandschale
Variante: regelmäßig gerundete Lippe
Typenbezeichnung: S3A
Erhaltungszustand: versintert
Fabrikat: 37
Maße (cm):
Winkel (Knick): 61°
Länge: 1,1
Breite: 0,7
Wandstärke: 0,7
Dm. (Rand): 14
Dm. (Rand, erhalten in %): 10,5

Kat.-Nr. 576
Fundnr.: 14/5465/1/68
Form: Schale
Typ: Knickrandschale
Variante: regelmäßig gerundete Lippe
Typenbezeichnung: S3A
Erhaltungszustand: gut
Fabrikat: 37
Maße (cm):
Winkel (Knick): 57°
Länge: 0,9
Breite: 0,7
Wandstärke: 0,4

Dm. (Rand): 18
Dm. (Rand, erhalten in %): 5,5

Kat.-Nr. 577
Fundnr.: 14/5465/1/70
Form: Schale
Typ: kalottenförmig
Variante: regelmäßig gerundete Lippe
Typenbezeichnung: S1A
Handhabe/Verzierung: mit WS4
Erhaltungszustand: sekundär verbrannt
Fabrikat: 37
Beschreibung: Dm. Rand nicht ermittelbar
Maße (cm):
Wandstärke: 0,9

Kat.-Nr. 578
Fundnr.: 14/5465/1/71
Form: Schale
Typ: kalottenförmig
Variante: regelmäßig gerundete Lippe
Typenbezeichnung: S1A
Erhaltungszustand: abgerieben
Fabrikat: 33
Beschreibung: Dm. Rand nicht ermittelbar
Maße (cm):
Wandstärke: 0,4

Kat.-Nr. 579
Fundnr.: 14/5465/1/72
Form: Schale
Typ: kalottenförmig
Variante: regelmäßig gerundete Lippe
Typenbezeichnung: S1A
Erhaltungszustand: sekundär verbrannt
Fabrikat: 85
Maße (cm):
Wandstärke: 0,8
Dm. (Rand): 14
Dm. (Rand, erhalten in %): 5

Kat.-Nr. 580 Taf. 25.580
Fundnr.: 14/5465/1/74
Form: Schale
Typ: kalottenförmig
Variante: regelmäßig gerundete Lippe
Typenbezeichnung: S1A
Handhabe/Verzierung: mit leicht unterrandständigem WS4
Erhaltungszustand: sekundär verbrannt
Fabrikat: 37
Beschreibung: Dm. Rand < 5%, daher unsicher
Maße (cm):
Wandstärke: 0,6
Dm. (Rand): 42
Dm. (Rand, erhalten in %): 3,5

Kat.-Nr. 581
Fundnr.: 14/5465/1/76
Form: Schale
Typ: kalottenförmig
Variante: außen abgestrichene Lippe
Typenbezeichnung: S1O
Erhaltungszustand: abgerieben
Fabrikat: 37
Maße (cm):
Wandstärke: 0,6
Dm. (Rand): 14
Dm. (Rand, erhalten in %): 10

Kat.-Nr. 582
Fundnr.: 14/5465/1/100
Form: Schale
Typ: Knickrandschale
Variante: regelmäßig gerundete Lippe
Typenbezeichnung: S3A
Erhaltungszustand: versintert
Fabrikat: 19
Beschreibung: Dm. Rand < 5%, daher unsicher
Maße (cm):
Winkel (Knick): 55°
Länge: 0,8
Breite: 0,95
Wandstärke: 0,5
Dm. (Rand): 14
Dm. (Rand, erhalten in %): 4

Kat.-Nr. 583
Fundnr.: 14/5465/1/103
Form: Schale
Typ: Knickrandschale
Variante: regelmäßig gerundete Lippe
Typenbezeichnung: S3A
Erhaltungszustand: versintert
Fabrikat: 19
Maße (cm):
Winkel (Knick): 43°
Länge: 0,8
Breite: 1,1
Wandstärke: 0,5
Dm. (Rand): 20
Dm. (Rand, erhalten in %): 6

Kat.-Nr. 584
Fundnr.: 14/5465/1/104
Form: Schale
Typ: Knickrandschale
Variante: regelmäßig gerundete Lippe
Typenbezeichnung: S3A
Erhaltungszustand: versintert
Fabrikat: 55
Maße (cm):
Winkel (Knick): 66°
Länge: 0,6
Breite: 1,1
Wandstärke: 0,5
Dm. (Rand): 16
Dm. (Rand, erhalten in %): 7

Kat.-Nr. 585 Taf. 25.585
Fundnr.: 14/5465/1/105
Form: Schale
Typ: Knickrandschale
Variante: spitz ausgezogene Lippe

Typenbezeichnung: S3B
Handhabe/Verzierung: mit unterknickständiger Kn1
Erhaltungszustand: sekundär verbrannt
Fabrikat: 53
Maße (cm):
Winkel (Knick): 40°
Länge: 1,1
Breite: 0,7
Wandstärke: 0,4
Dm. (Rand): 20
Dm. (Rand, erhalten in %): 5
Höhe (Kn1): 0,7
Länge (Kn1): 2,5
Breite (Kn1): 1,5
Dm. (Durchlochung, Kn1): 0,4

Kat.-Nr. 586
Fundnr.: 14/5465/1/109
Form: Schale
Typ: weitmundig
Variante: regelmäßig gerundete Lippe
Typenbezeichnung: S4A
Erhaltungszustand: abgerieben
Fabrikat: 19
Beschreibung: Dm. Rand < 5%, daher unsicher
Maße (cm):
Wandstärke: 0,75
Dm. (Rand): 30
Dm. (Rand, erhalten in %): 3

Töpfe

Kat.-Nr. 587
Fundnr.: 14/5465/1/64
Form: Topf
Typ: steile Wandung
Variante: regelmäßig gerundete Lippe
Typenbezeichnung: T6A
Erhaltungszustand: sekundär verbrannt
Fabrikat: 15
Maße (cm):
Wandstärke: 1,5
Dm. (Rand, innen): 22
Dm. (Rand, innen, erhalten in %): 6

Kat.-Nr. 588
Fundnr.: 14/5465/1/75
Form: Topf
Typ: sanft geschwungene Wandung
Variante: innen abgestrichene Lippe
Typenbezeichnung: T1N
Erhaltungszustand: sekundär verbrannt
Fabrikat: 20
Maße (cm):
Wandstärke: 0,8
Dm. (Rand): 16
Dm. (Rand, erhalten in %): 6

Kat.-Nr. 589 Taf. 25.589
Fundnr.: 14/5465/1/96
Form: Topf
Typ: steil konkave Wandung
Variante: horizontal abgestrichene Lippe
Typenbezeichnung: T2D
Erhaltungszustand: sekundär verbrannt
Fabrikat: 40
Maße (cm):
Wandstärke: 0,7
Dm. (Rand): 30
Dm. (Rand, erhalten in %): 6,5

Kat.-Nr. 590
Fundnr.: 14/5465/1/107
Form: Topf
Typ: steil konkave Wandung
Variante: horizontal abgestrichene Lippe
Typenbezeichnung: T2D
Erhaltungszustand: abgerieben
Fabrikat: 47
Maße (cm):
Wandstärke: 0,5
Dm. (Rand): 16
Dm. (Rand, erhalten in %): 6

Dreifußtöpfe

Kat.-Nr. 591
Fundnr.: 14/5465/1/39
Form: Dreifußtopf
Typ: sanft geschwungene Wandung
Variante: regelmäßig gerundete Lippe
Typenbezeichnung: Dt1A
Handhabe/Verzierung: mit Kn4
Erhaltungszustand: sekundär verbrannt
Fabrikat: 59
Maße (cm):
Wandstärke: 0,6
Dm. (Rand): 22
Dm. (Rand, erhalten in %): 6

Engmundige Gefäße

Kat.-Nr. 592
Fundnr.: 14/5465/1/4
Form: Engmundig
Typ: Hals steil konkav
Variante: spitz ausgezogene Lippe
Typenbezeichnung: E1B
Erhaltungszustand: sekundär verbrannt
Fabrikat: 17
Maße (cm):
Wandstärke: 0,55
Dm. (Rand): 10
Dm. (Rand, erhalten in %): 11

Kat.-Nr. 593
Fundnr.: 14/5465/1/20
Form: Engmundig
Typ: Hals steil konkav
Variante: leicht verdickte Lippe
Typenbezeichnung: E1C
Erhaltungszustand: sekundär verbrannt
Fabrikat: 24
Beschreibung: Dm. Rand < 5%, daher unsicher

Maße (cm):
Wandstärke: 0,65
Dm. (Rand): 20
Dm. (Rand, erhalten in %): 3

Kat.-Nr. 594
Fundnr.: 14/5465/1/31
Form: Engmundig
Typ: Hals konisch einziehend
Variante: regelmäßig gerundete Lippe
Typenbezeichnung: E2A
Erhaltungszustand: sekundär verbrannt
Fabrikat: 78
Maße (cm):
Wandstärke: 0,4
Dm. (Rand): 10
Dm. (Rand, erhalten in %): 9

Kat.-Nr. 595
Fundnr.: 14/5465/1/43
Form: Engmundig
Typ: Hals konisch einziehend
Variante: spitz ausgezogene Lippe
Typenbezeichnung: E2B
Erhaltungszustand: sekundär verbrannt
Fabrikat: 20
Maße (cm):
Wandstärke: 1,25
Dm. (Rand): 16
Dm. (Rand, erhalten in %): 5

Kat.-Nr. 596
Fundnr.: 14/5465/1/94
Form: Engmundig
Typ: Hals konisch einziehend
Variante: regelmäßig gerundete Lippe
Typenbezeichnung: E2A
Erhaltungszustand: sehr gut
Fabrikat: 85
Maße (cm):
Wandstärke: 0,7
Dm. (Rand): 18
Dm. (Rand, erhalten in %): 7

Kat.-Nr. 597
Fundnr.: 14/5465/1/101
Form: Engmundig
Typ: Hals konisch einziehend
Variante: regelmäßig gerundete Lippe
Typenbezeichnung: E2A
Erhaltungszustand: sekundär verbrannt
Fabrikat: 78
Maße (cm):
Wandstärke: 0,55
Dm. (Rand): 9
Dm. (Rand, erhalten in %): 10

Kat.-Nr. 598
Fundnr.: 14/5465/1/106
Form: Engmundig
Typ: Hals steil konkav
Variante: horizontal abgestrichene Lippe
Typenbezeichnung: E1D
Erhaltungszustand: sekundär verbrannt
Fabrikat: 74
Maße (cm):
Wandstärke: 0,6
Dm. (Rand): 12
Dm. (Rand, erhalten in %): 9

Halsgefäße

Kat.-Nr. 599
Fundnr.: 14/5465/1/1
Form: Halsgefäß
Typ: geschwungene Wandung
Variante: außen abgestrichene Lippe
Typenbezeichnung: Hg2O
Erhaltungszustand: sekundär verbrannt
Fabrikat: 17
Beschreibung: Dm. Rand nicht ermittelbar
Maße (cm):
Wandstärke: 1,2

Kat.-Nr. 600
Fundnr.: 14/5465/1/2
Form: Halsgefäß
Typ: geschwungene Wandung
Variante: ausbiegender Rand
Typenbezeichnung: Hg2S
Erhaltungszustand: sekundär verbrannt
Fabrikat: 15
Beschreibung: Dm. Rand < 5%, daher unsicher
Maße (cm):
Wandstärke: 1,5
Dm. (Rand): 50
Dm. (Rand, erhalten in %): 4,5

Kat.-Nr. 601
Fundnr.: 14/5465/1/62
Form: Halsgefäß
Typ: geschwungene Wandung
Variante: regelmäßig gerundete Lippe
Typenbezeichnung: Hg2A
Handhabe/Verzierung: mit WS4
Erhaltungszustand: sekundär verbrannt
Fabrikat: 112
Maße (cm):
Wandstärke: 1,2
Dm. (Rand, innen): 31
Dm. (Rand, innen, erhalten in %): 6

Kat.-Nr. 602
Fundnr.: 14/5465/1/65
Form: Halsgefäß
Typ: geschwungene Wandung
Variante: regelmäßig gerundete Lippe
Typenbezeichnung: Hg2A
Erhaltungszustand: sekundär verbrannt
Fabrikat: 15
Maße (cm):
Wandstärke: 1,7
Dm. (Rand): 42
Dm. (Rand, erhalten in %): 6,75

Kat.-Nr. 603
Fundnr.: 14/5465/1/98
Form: Halsgefäß
Typ: geschwungene Wandung
Variante: regelmäßig gerundete Lippe
Typenbezeichnung: Hg2A
Erhaltungszustand: sekundär verbrannt
Fabrikat: 17
Maße (cm):
Wandstärke: 0,65
Dm. (Rand): 12
Dm. (Rand, erhalten in %): 8

Kannen

Kat.-Nr. 604
Fundnr.: 14/5465/1/8
Form: Kanne
Typ: unbestimmbar
Variante: unbestimmbar
Typenbezeichnung: Ka00
Erhaltungszustand: gut
Fabrikat: 33
Maße (cm):
Wandstärke: 0,5
Dm. (Rand): 16
Dm. (Rand, erhalten in %): 6,5

Cheese pots

Kat.-Nr. 605
Fundnr.: 14/5465/1/122
Form: Cheese pot
Typ: unbestimmbar
Variante: innen abgestrichene Lippe
Typenbezeichnung: Chb0N
Erhaltungszustand: versintert
Fabrikat: 44
Beschreibung: Typ nicht bestimmbar, vermutlich gerader Verlauf; Durchlochungen kegelförmig von außen nach innen
Maße (cm):
Wandstärke: 1,35
Dm. (Durchlochung): 0,2–0,4

Böden

Kat.-Nr. 606
Fundnr.: 14/5465/1/26
Form: Boden
Typ: Scheibenbasis
Variante: gerade Standfläche
Typenbezeichnung: B2B
Erhaltungszustand: abgerieben
Fabrikat: 85
Maße (cm):
Wandstärke: 0,75
Dm. (Boden): 16
Dm. (Boden, erhalten in %): 11

Kat.-Nr. 607
Fundnr.: 14/5465/1/56
Form: Boden
Typ: Scheibenbasis
Variante: eingewölbte Standfläche
Typenbezeichnung: B2A
Erhaltungszustand: abgerieben
Fabrikat: 22
Maße (cm):
Wandstärke: 0,6
Dm. (Boden): 8
Dm. (Boden, erhalten in %): 14

Kat.-Nr. 608
Fundnr.: 14/5465/1/86
Form: Boden
Typ: Flachboden
Variante: abgesetzte Standfläche
Typenbezeichnung: B1D
Erhaltungszustand: abgerieben
Fabrikat: 35
Beschreibung: Standfläche stark abgerieben
Maße (cm):
Wandstärke: 1,7
Dm. (Boden): 16
Dm. (Boden, erhalten in %): 21

Horizontalhenkel

Kat.-Nr. 609
Fundnr.: 14/5465/1/111
Form: Horizontalhenkel
Typ: randständig
Variante: oval
Typenbezeichnung: H7A
Erhaltungszustand: abgerieben
Fabrikat: 30
Maße (cm):
Höhe: 0,95
Länge: erh. 2,65
Breite: 2,1

Vertikalhenkel

Kat.-Nr. 610 Taf. 25.610
Fundnr.: 14/5465/1/12
Form: Vertikalhenkel
Typ: runder Querschnitt
Variante: unverziert
Typenbezeichnung: H8B
Handhabe/Verzierung: setzt leicht unterrandständig an (E1A, eventuell ein Krug?)
Erhaltungszustand: sekundär verbrannt
Fabrikat: 51
Maße (cm):
Höhe: 1,85
Länge: erh. 6,7
Breite: 2,15
Wandstärke: 0,65
Dm. (Rand): 8
Dm. (Rand, erhalten in %): 12

Kat.-Nr. 611
Fundnr.: 14/5465/1/14

Form: Vertikalhenkel
Typ: ovaler Querschnitt
Variante: unverziert
Typenbezeichnung: H1A
Erhaltungszustand: sekundär verbrannt
Fabrikat: 15
Maße (cm):
Höhe: 1,3
Länge: erh. 4,15
Breite: 1,6

Kat.-Nr. 612
Fundnr.: 14/5465/1/22
Form: Vertikalhenkel
Typ: ovaler Querschnitt
Variante: unverziert
Typenbezeichnung: H1A
Handhabe/Verzierung: mit randständigem WS4
Erhaltungszustand: sekundär verbrannt
Fabrikat: 24
Maße (cm):
Höhe: 1,2
Länge: erh. 1,6
Breite: 2,3
Wandstärke: 0,4
Dm. (Rand): 4
Dm. (Rand, erhalten in %): 20

Kat.-Nr. 613
Fundnr.: 14/5465/1/23
Form: Vertikalhenkel
Typ: ovaler Querschnitt
Variante: unverziert
Typenbezeichnung: H1A
Erhaltungszustand: sekundär verbrannt
Fabrikat: 61
Maße (cm):
Höhe: 1
Länge: erh. 2,5
Breite: 2

Kat.-Nr. 614
Fundnr.: 14/5465/1/24
Form: Vertikalhenkel
Typ: breiter Querschnitt
Variante: unverziert
Typenbezeichnung: H2A
Erhaltungszustand: sekundär verbrannt
Fabrikat: 55
Maße (cm):
Höhe: 1,2
Länge: erh. 2,85
Breite: erh. 2,6

Kat.-Nr. 615
Fundnr.: 14/5465/1/25
Form: Vertikalhenkel
Typ: breiter Querschnitt
Variante: unverziert
Typenbezeichnung: H2A
Erhaltungszustand: abgerieben
Fabrikat: 20
Maße (cm):
Höhe: 1,1
Länge: erh. 3,2
Breite: 2,7

Kat.-Nr. 616
Fundnr.: 14/5465/1/46
Form: Vertikalhenkel
Typ: ovaler Querschnitt
Variante: eingesattelt
Typenbezeichnung: H1C
Erhaltungszustand: sekundär verbrannt
Fabrikat: 15
Maße (cm):
Höhe: 3,2
Länge: erh. 7,8
Breite: 5,8

Kat.-Nr. 617
Fundnr.: 14/5465/1/47
Form: Vertikalhenkel
Typ: ovaler Querschnitt
Variante: unverziert
Typenbezeichnung: H1A
Handhabe/Verzierung: mit leicht überrandständigem WS4
Erhaltungszustand: sekundär verbrannt
Fabrikat: 17
Maße (cm):
Höhe: 1,6
Länge: erh. 3,8
Breite: 2,6
Wandstärke: 0,7
Dm. (Rand): 8
Dm. (Rand, erhalten in %): 15

Kat.-Nr. 618
Fundnr.: 14/5465/1/48
Form: Vertikalhenkel
Typ: ovaler Querschnitt
Variante: unverziert
Typenbezeichnung: H1A
Erhaltungszustand: sekundär verbrannt
Fabrikat: 55
Maße (cm):
Höhe: 1,8
Länge: erh. 4,1
Breite: 2,3

Kat.-Nr. 619 Taf. 25.619
Fundnr.: 14/5465/1/49
Form: Vertikalhenkel
Typ: runder Querschnitt
Variante: unverziert
Typenbezeichnung: H8B
Handhabe/Verzierung: mit randständigem Ansatz an R0B
Erhaltungszustand: sekundär verbrannt
Fabrikat: 17
Maße (cm):
Höhe: 1,7
Länge: 4,8

Breite: 1,65
Wandstärke: 0,85

Kat.-Nr. 620
Fundnr.: 14/5465/1/50
Form: Vertikalhenkel
Typ: ovaler Querschnitt
Variante: eingesattelt
Typenbezeichnung: H1C
Erhaltungszustand: sekundär verbrannt
Fabrikat: 15
Maße (cm):
Höhe: 2,3
Länge: erh. 6,4
Breite: 5

Kat.-Nr. 621
Fundnr.: 14/5465/1/59
Form: Vertikalhenkel
Typ: breiter Querschnitt
Variante: unverziert
Typenbezeichnung: H2A
Erhaltungszustand: sekundär verbrannt
Fabrikat: 35
Maße (cm):
Höhe: 2,4
Länge: erh. 5,4
Breite: 3,6

Kat.-Nr. 622 Taf. 26.622
Fundnr.: 14/5465/1/77
Form: Vertikalhenkel
Typ: runder Querschnitt
Variante: unverziert
Typenbezeichnung: H8B
Erhaltungszustand: abgerieben
Fabrikat: 49
Maße (cm):
Höhe: 2,6
Länge: erh. 8,8
Breite: 2,7

Kat.-Nr. 623
Fundnr.: 14/5465/1/78
Form: Vertikalhenkel
Typ: ovaler Querschnitt
Variante: unverziert
Typenbezeichnung: H1A
Erhaltungszustand: sekundär verbrannt
Fabrikat: 59
Beschreibung: Seiten teilweise abgeflacht
Maße (cm):
Höhe: 2,1
Länge: erh 4,1
Breite: 2,4

Kat.-Nr. 624
Fundnr.: 14/5465/1/79
Form: Vertikalhenkel
Typ: runder Querschnitt
Variante: unverziert
Typenbezeichnung: H8B
Erhaltungszustand: abgerieben
Fabrikat: 51
Maße (cm):
Höhe: 1,35
Länge: erh. 5,3
Breite: 1,4

Kat.-Nr. 625
Fundnr.: 14/5465/1/80
Form: Vertikalhenkel
Typ: breiter Querschnitt
Variante: unverziert
Typenbezeichnung: H2A
Handhabe/Verzierung: mit randständigem WS4
Erhaltungszustand: sekundär verbrannt
Fabrikat: 23
Maße (cm):
Höhe: 1,2
Länge: erh. 5,9
Breite: 3,1

Kat.-Nr. 626
Fundnr.: 14/5465/1/81
Form: Vertikalhenkel
Typ: unbestimmbar
Variante: unbestimmbar
Typenbezeichnung: H0
Erhaltungszustand: sekundär verbrannt
Fabrikat: 103
Maße (cm):
Höhe: erh. 1,1
Länge: erh. 5,8
Breite: 2,4

Kat.-Nr. 627
Fundnr.: 14/5465/1/82
Form: Vertikalhenkel
Typ: breiter Querschnitt
Variante: unverziert
Typenbezeichnung: H2A
Handhabe/Verzierung: mit randständigem WS4
Erhaltungszustand: abgerieben
Fabrikat: 17
Maße (cm):
Höhe: 1,2
Länge: erh. 5,3
Breite: 3,5

Kat.-Nr. 628
Fundnr.: 14/5465/1/110
Form: Vertikalhenkel
Typ: runder Querschnitt
Variante: unverziert
Typenbezeichnung: H8B
Erhaltungszustand: sekundär verbrannt
Fabrikat: 20
Beschreibung: Zapfen erhalten (1,5 × 1,8 cm)
Maße (cm):
Länge: erh. 3,5
Dm. (Durchlochung): 2,5

Kat.-Nr. 629
Fundnr.: 14/5465/1/113
Form: Vertikalhenkel
Typ: ovaler Querschnitt
Variante: unverziert
Typenbezeichnung: H1A
Erhaltungszustand: abgerieben
Fabrikat: 49
Maße (cm):
Höhe: 1,6
Länge: erh. 3,7
Breite: 2,7

Kat.-Nr. 630
Fundnr.: 14/5465/1/114
Form: Vertikalhenkel
Typ: breiter Querschnitt
Variante: unverziert
Typenbezeichnung: H2A
Erhaltungszustand: sekundär verbrannt
Fabrikat: 20
Maße (cm):
Höhe: 1,3
Länge: erh. 3,3
Breite: 3,2

Kat.-Nr. 631
Fundnr.: 14/5465/1/115
Form: Vertikalhenkel
Typ: ovaler Querschnitt
Variante: unverziert
Typenbezeichnung: H1A
Erhaltungszustand: sekundär verbrannt
Fabrikat: 46
Maße (cm):
Höhe: 2,6
Länge: erh. 4,5
Breite: 3,1
Wandstärke: 0,8

Füße

Kat.-Nr. 632
Fundnr.: 14/5465/1/51
Form: Fuß
Typ: unbestimmbar
Variante: unbestimmbar
Typenbezeichnung: F0
Erhaltungszustand: sekundär verbrannt
Fabrikat: 112
Maße (cm):
Höhe: 1,75
Länge: erh. 4,1
Breite: 4,7

Kat.-Nr. 633
Fundnr.: 14/5465/1/55
Form: Fuß
Typ: ausgezipfelte Standfläche
Variante: flache Basis
Typenbezeichnung: F3A
Erhaltungszustand: sekundär verbrannt
Fabrikat: 20
Beschreibung: Standfläche stark abgerieben
Maße (cm):
Höhe: 0,85
Länge: erh. 2
Breite (Standfläche): 3,15

Kat.-Nr. 634 Taf. 26.634
Fundnr.: 14/5465/1/84
Form: Fuß
Typ: gerade Standfläche
Variante: gerundeter Übergang
Typenbezeichnung: F1B
Erhaltungszustand: versintert, sekundär verbrannt
Fabrikat: 20
Maße (cm):
Höhe: 2,8
Länge: 12,4
Breite: 6,9
Wandstärke: 0,9

Kat.-Nr. 635
Fundnr.: 14/5465/1/85
Form: Fuß
Typ: unbestimmbar
Typenbezeichnung: F0
Erhaltungszustand: sekundär verbrannt
Fabrikat: 30
Maße (cm):
Höhe: 1,2
Länge: erh. 3,1
Breite: 2,6

Kat.-Nr. 636
Fundnr.: 14/5465/1/118
Form: Fuß
Typ: gerade Standfläche
Variante: gerundeter Übergang
Typenbezeichnung: F1B
Erhaltungszustand: sekundär verbrannt
Fabrikat: 17
Maße (cm):
Höhe: 1,9
Länge: erh. 5,7
Breite: 3,3

Charakteristische Wandfragmente

Kat.-Nr. 637
Fundnr.: 14/5465/1/13
Form: charakteristisches Wandfragment
Typ: Ansatz einer Handhabe
Typenbezeichnung: WS4
Erhaltungszustand: sekundär verbrannt
Fabrikat: 17
Maße (cm):
Höhe: 1,6
Länge: erh. 3,6
Breite: 2,8
Wandstärke: 0,8

Kat.-Nr. 638
Fundnr.: 14/5465/1/15
Form: charakteristisches Wandfragment
Typ: durchlocht/durchbohrt
Typenbezeichnung: WS3
Erhaltungszustand: sekundär verbrannt
Fabrikat: 15
Maße (cm):
Wandstärke: 0,4
Dm. (Durchlochung): 0,25

Kat.-Nr. 639
Fundnr.: 14/5465/1/53
Form: charakteristisches Wandfragment
Typ: Ansatz einer Handhabe
Typenbezeichnung: WS4
Erhaltungszustand: versintert
Fabrikat: 15
Maße (cm):
Höhe: 2
Länge: erh. 2,7
Breite: 3,6
Wandstärke: 0,7

Kat.-Nr. 640 Taf. 26.640
Fundnr.: 14/5465/1/58
Form: charakteristisches Wandfragment
Typ: bemalt
Typenbezeichnung: WS1
Erhaltungszustand: sekundär verbrannt
Fabrikat: 33
Beschreibung: Weißbemalung (Linienbündel), schräg verlaufend
Maße (cm):
Wandstärke: 0,35

Kat.-Nr. 641 Taf. 26.641
Fundnr.: 14/5465/1/60
Form: charakteristisches Wandfragment
Typ: bemalt
Typenbezeichnung: WS1
Erhaltungszustand: sekundär verbrannt
Fabrikat: 33
Beschreibung: Weißbemalung (Linienbündel); Halsfragment einer Kanne?
Maße (cm):
Wandstärke: 0,6
Dm. (Hals, innen): 6
Dm. (Hals, innen, erhalten in %): 18

Kat.-Nr. 642
Fundnr.: 14/5465/1/83
Form: charakteristisches Wandfragment
Typ: Ansatz einer Handhabe
Typenbezeichnung: WS4
Handhabe/Verzierung: mit unterrandständiger H
Erhaltungszustand: sekundär verbrannt
Fabrikat: 60
Beschreibung: innen roter Überzug
Maße (cm):
Höhe: 2,5
Länge: erh. 4,7
Breite: 3,6
Wandstärke: 0,8

Kat.-Nr. 643
Fundnr.: 14/5465/1/90
Form: charakteristisches Wandfragment
Typ: durchlocht/durchbohrt
Typenbezeichnung: WS3
Erhaltungszustand: abgerieben
Fabrikat: 15
Maße (cm):
Wandstärke: 1,7
Dm. (Durchlochung): 1,2

Kat.-Nr. 644
Fundnr.: 14/5465/1/92
Form: charakteristisches Wandfragment
Typ: Applike
Variante: Knubbe
Typenbezeichnung: Kn4
Erhaltungszustand: sekundär verbrannt
Fabrikat: 20
Maße (cm):
Wandstärke: 0,8
Höhe (Kn4): 0,9
Dm. (Kn4): 1

Kat.-Nr. 645 Taf. 26.645
Fundnr.: 14/5465/1/93
Form: charakteristisches Wandfragment
Typ: bemalt
Typenbezeichnung: WS1
Erhaltungszustand: sekundär verbrannt
Fabrikat: 103
Beschreibung: Weißbemalung (Linienbündel); Halsfragment einer Kanne?
Maße (cm):
Wandstärke: 0,6
Dm. (Hals, innen): 8

Randfragmente

Kat.-Nr. 646
Fundnr.: 14/5465/1/30
Form: Randfragment
Typ: unbestimmbar
Variante: außen verdickte Lippe
Typenbezeichnung: R0I
Erhaltungszustand: sekundär verbrannt
Fabrikat: 36
Maße (cm):
Wandstärke: 0,55
Dm. (Rand): 16
Dm. (Rand, erhalten in %): 5

Kat.-Nr. 647
Fundnr.: 14/5465/1/63
Form: Randfragment
Typ: unbestimmbar
Variante: ausbiegender Rand

Typenbezeichnung: R0S
Erhaltungszustand: versintert
Fabrikat: 15
Beschreibung: Dm. Rand nicht ermittelbar
Maße (cm):
Wandstärke: 0,7

Kat.-Nr. 648
Fundnr.: 14/5465/1/108
Form: Randfragment
Typ: unbestimmbar
Variante: ausbiegender Rand
Typenbezeichnung: R0S
Erhaltungszustand: sekundär verbrannt
Fabrikat: 17
Maße (cm):
Wandstärke: 0,9
Dm. (Rand): 18
Dm. (Rand, erhalten in %): 6

SE 5539

Sonderformen

Kat.-Nr. 649 Taf. 26.649
Fundnr.: 14/5539/1/13
Form: Sonderform
Typ: Kykladenpfanne
Typenbezeichnung: SF5
Erhaltungszustand: abgerieben
Fabrikat: 111
Beschreibung: Kykladenpfanne mit Ritz-/Kerbverzierung und weißer Inkrustation; Motivik: mit Ritzungen gefüllte eingeritzte Dreiecke, keilförmige Einkerbungen (*Kerbschnitt*)
Maße (cm):
Höhe: 2,1
Länge: erh. 3,9
Breite: erh. 5

Kat.-Nr. 650
Fundnr.: 14/5539/1/21
Form: Grifflappen
Typ: unbestimmbar
Typenbezeichnung: La0
Handhabe/Verzierung: wahrscheinlich ein La3
Erhaltungszustand: abgerieben
Fabrikat: 114
Maße (cm):
Höhe: 2,6
Länge: erh. 4,8
Breite: erh. 3,5

Schalen

Kat.-Nr. 651
Fundnr.: 14/5539/1/1
Form: Schale
Typ: sanft geschwungene Wandung
Variante: regelmäßig gerundete Lippe
Typenbezeichnung: S5A
Erhaltungszustand: sekundär verbrannt
Fabrikat: 30
Maße (cm):
Wandstärke: 0,8
Dm. (Rand): 24
Dm. (Rand, erhalten in %): 7

Kat.-Nr. 652
Fundnr.: 14/5539/1/4
Form: Schale
Typ: weitmundig
Variante: regelmäßig gerundete Lippe
Typenbezeichnung: S4A
Erhaltungszustand: sekundär verbrannt
Fabrikat: 33
Beschreibung: Dm. Rand < 5%, daher unsicher
Maße (cm):
Wandstärke: 0,8
Dm. (Rand): 21
Dm. (Rand, erhalten in %): 3,5

Kat.-Nr. 653
Fundnr.: 14/5539/1/6
Form: Schale
Typ: kalottenförmig
Variante: regelmäßig gerundete Lippe
Typenbezeichnung: S1A
Erhaltungszustand: sekundär verbrannt
Fabrikat: 24
Beschreibung: Dm. Rand < 5%, daher unsicher
Maße (cm):
Wandstärke: 0,8
Dm. (Rand): 18
Dm. (Rand, erhalten in %): 4

Kat.-Nr. 654
Fundnr.: 14/5539/1/7
Form: Schale
Typ: weitmundig
Variante: regelmäßig gerundete Lippe
Typenbezeichnung: S4A
Erhaltungszustand: sekundär verbrannt
Fabrikat: 33
Beschreibung: Dm. Rand < 5%, daher unsicher
Maße (cm):
Wandstärke: 0,8
Dm. (Rand): 28
Dm. (Rand, erhalten in %): 3,5

Kat.-Nr. 655
Fundnr.: 14/5539/1/8
Form: Schale
Typ: weitmundig
Variante: horizontal abgestrichene Lippe
Typenbezeichnung: S4D
Erhaltungszustand: sekundär verbrannt
Fabrikat: 53
Maße (cm):
Wandstärke: 0,85
Dm. (Rand): 10
Dm. (Rand, erhalten in %): 7

Kat.-Nr. 656
Fundnr.: 14/5539/1/12
Form: Schale
Typ: weitmundig
Variante: gerollter Rand
Typenbezeichnung: S4Q
Erhaltungszustand: abgerieben
Fabrikat: 55
Beschreibung: Dm. Rand < 5%, daher unsicher
Maße (cm):
Wandstärke: 0,65
Dm. (Rand): 32
Dm. (Rand, erhalten in %): 3,5

Kat.-Nr. 657
Fundnr.: 14/5539/1/33
Form: Schale
Typ: weitmundig
Variante: schräg nach innen abgestrichene und verdickte Lippe
Typenbezeichnung: S4K
Erhaltungszustand: sekundär verbrannt
Fabrikat: 43
Beschreibung: Dm. Rand < 5%, daher unsicher
Maße (cm):
Wandstärke: 0,9
Dm. (Rand): 58
Dm. (Rand, erhalten in %): 3,5

Kat.-Nr. 658
Fundnr.: 14/5539/1/44
Form: Schale
Typ: weitmundig
Variante: nach innen geschwollener Rand
Typenbezeichnung: S4U
Erhaltungszustand: sekundär verbrannt
Fabrikat: nicht bestimmbar
Beschreibung: WG nicht bestimmbar, da sekundär verbrannt; Dm. Rand < 5%, daher unsicher
Maße (cm):
Wandstärke: 0,8
Dm. (Rand): 24
Dm. (Rand, erhalten in %): 3

Kat.-Nr. 659
Fundnr.: 14/5539/1/59
Form: Schale
Typ: weitmundig
Variante: gerollter Rand
Typenbezeichnung: S4Q
Erhaltungszustand: sekundär verbrannt
Fabrikat: 55
Beschreibung: Dm. Rand und Wandstärke nicht ermittelbar

Kat.-Nr. 660
Fundnr.: 14/5539/1/62
Form: Schale
Typ: weitmundig
Variante: gerollter Rand
Typenbezeichnung: S4Q
Erhaltungszustand: sekundär verbrannt
Fabrikat: 29
Beschreibung: Dm. Rand nicht ermittelbar
Maße (cm):
Wandstärke: 0,8

Kat.-Nr. 661 Taf. 26.661
Fundnr.: 14/5539/1/63
Form: Schale
Typ: weitmundig
Variante: schräg nach innen abgestrichene und verdickte Lippe
Typenbezeichnung: S4K
Erhaltungszustand: gut
Fabrikat: 29
Beschreibung: Dm. Rand < 5%, daher unsicher
Maße (cm):
Wandstärke: 0,7
Dm. (Rand): 50
Dm. (Rand, erhalten in %): 3

Kat.-Nr. 662 Taf. 27.662
Fundnr.: 14/5539/1/66
Form: Schale
Typ: weitmundig
Variante: gerollter Rand
Typenbezeichnung: S4Q
Erhaltungszustand: sekundär verbrannt
Fabrikat: 57
Beschreibung: Dm. Rand < 5%, daher unsicher
Maße (cm):
Wandstärke: 0,8
Dm. (Rand): 40
Dm. (Rand, erhalten in %): 3,5

Töpfe

Kat.-Nr. 663
Fundnr.: 14/5539/1/35
Form: Topf
Typ: steile Wandung
Variante: regelmäßig gerundete Lippe
Typenbezeichnung: T6A
Erhaltungszustand: sekundär verbrannt
Fabrikat: 17
Beschreibung: Dm. Rand < 5%, daher unsicher
Maße (cm):
Wandstärke: 0,5
Dm. (Rand): 16
Dm. (Rand, erhalten in %): 4,5

Kat.-Nr. 664
Fundnr.: 14/5539/1/36
Form: Topf
Typ: steil konkave Wandung
Variante: regelmäßig gerundete Lippe
Typenbezeichnung: T2A
Erhaltungszustand: abgerieben
Fabrikat: 100
Maße (cm):
Wandstärke: 0,7

Dm. (Rand): 16
Dm. (Rand, erhalten in %): 8

Engmundige Gefäße

Kat.-Nr. 665
Fundnr.: 14/5539/1/2
Form: Engmundig
Typ: Hals steil konkav
Variante: außen verdickte Lippe
Typenbezeichnung: E2I
Erhaltungszustand: abgerieben
Fabrikat: 18
Maße (cm):
Wandstärke: 0,7
Dm. (Rand): 16
Dm. (Rand, erhalten in %): 6

Kat.-Nr. 666
Fundnr.: 14/5539/1/9
Form: Engmundig
Typ: Hals steil konkav
Variante: nach innen geschwollener Rand
Typenbezeichnung: E1F
Erhaltungszustand: sekundär verbrannt
Fabrikat: 24
Maße (cm):
Wandstärke: 0,4
Dm. (Rand): 16
Dm. (Rand, erhalten in %): 5

Kat.-Nr. 667
Fundnr.: 14/5539/1/27
Form: Engmundig
Typ: Hals konisch einziehend
Variante: leicht verdickte Lippe
Typenbezeichnung: E2C
Erhaltungszustand: abgerieben
Fabrikat: 24
Maße (cm):
Wandstärke: 0,5
Dm. (Rand): 14
Dm. (Rand, erhalten in %): 12

Kat.-Nr. 668
Fundnr.: 14/5539/1/37
Form: Engmundig
Typ: Hals konisch einziehend
Variante: regelmäßig gerundete Lippe
Typenbezeichnung: E2A
Erhaltungszustand: sekundär verbrannt
Fabrikat: 24
Beschreibung: Dm. Rand < 5%, daher unsicher
Maße (cm):
Wandstärke: 0,75
Dm. (Rand): 16
Dm. (Rand, erhalten in %): 4

Kat.-Nr. 669
Fundnr.: 14/5539/1/42
Form: Engmundig
Typ: Hals steil konkav
Variante: regelmäßig gerundete Lippe
Typenbezeichnung: E1A
Erhaltungszustand: abgerieben
Fabrikat: 41
Maße (cm):
Wandstärke: 0,7
Dm. (Rand): 10
Dm. (Rand, erhalten in %): 6

Kat.-Nr. 670
Fundnr.: 14/5539/1/43
Form: Engmundig
Typ: Hals konisch einziehend
Variante: regelmäßig gerundete Lippe
Typenbezeichnung: E2A
Erhaltungszustand: abgerieben
Fabrikat: 24
Maße (cm):
Wandstärke: 0,8
Dm. (Rand): 14
Dm. (Rand, erhalten in %): 5,5

Kat.-Nr. 671
Fundnr.: 14/5539/1/46
Form: Engmundig
Typ: Hals konisch einziehend
Variante: spitz ausgezogene Lippe
Typenbezeichnung: E2B
Erhaltungszustand: abgerieben
Fabrikat: 24
Beschreibung: Dm. Rand < 5%, daher unsicher
Maße (cm):
Wandstärke: 0,65
Dm. (Rand): 18
Dm. (Rand, erhalten in %): 3

Kat.-Nr. 672
Fundnr.: 14/5539/1/61
Form: Engmundig
Typ: Hals konisch einziehend
Variante: leicht verdickte Lippe
Typenbezeichnung: E2C
Erhaltungszustand: sekundär verbrannt
Fabrikat: 17
Maße (cm):
Wandstärke: 0,7
Dm. (Rand): 14
Dm. (Rand, erhalten in %): 7

Kat.-Nr. 673
Fundnr.: 14/5539/1/68
Form: Engmundig
Typ: Hals konisch einziehend
Variante: regelmäßig gerundete Lippe
Typenbezeichnung: E2A
Erhaltungszustand: sekundär verbrannt
Fabrikat: 17
Maße (cm):
Wandstärke: 0,85
Dm. (Rand): 14
Dm. (Rand, erhalten in %): 13

Halsgefäße

Kat.-Nr. 674
Fundnr.: 14/5539/1/28
Form: Halsgefäß
Typ: geschwungene Wandung
Variante: außen verdickte Lippe
Typenbezeichnung: Hg2I
Erhaltungszustand: abgerieben
Fabrikat: 40
Maße (cm):
Wandstärke: 0,5
Dm. (Rand): 14
Dm. (Rand, erhalten in %): 15

Kat.-Nr. 675
Fundnr.: 14/5539/1/29
Form: Halsgefäß
Typ: geschwungene Wandung
Variante: außen abgestrichene Lippe
Typenbezeichnung: Hg2O
Erhaltungszustand: sekundär verbrannt
Fabrikat: 20
Beschreibung: vermutlich zu 14/5539/1/45 (Kat.-Nr. 676) gehörig
Maße (cm):
Wandstärke: 0,55
Dm. (Rand): 24
Dm. (Rand, erhalten in %): 8

Kat.-Nr. 676
Fundnr.: 14/5539/1/45
Form: Halsgefäß
Typ: geschwungene Wandung
Variante: außen abgestrichene Lippe
Typenbezeichnung: Hg2O
Erhaltungszustand: sekundär verbrannt
Fabrikat: 20
Beschreibung: vermutlich zu 14/5539/1/29 (Kat.-Nr. 675) gehörig; Dm. Rand < 5%, daher unsicher
Maße (cm):
Wandstärke: 0,55
Dm. (Rand): 24
Dm. (Rand, erhalten in %): 3

Kat.-Nr. 677
Fundnr.: 14/5539/1/64
Form: Halsgefäß
Typ: geschwungene Wandung
Variante: regelmäßig gerundete Lippe
Typenbezeichnung: Hg2A
Erhaltungszustand: abgerieben
Fabrikat: 82
Maße (cm):
Wandstärke: 0,8
Dm. (Rand): 20
Dm. (Rand, erhalten in %): 6

Cheese pots

Kat.-Nr. 678 Taf. 27.678
Fundnr.: 14/5539/1/39
Form: Cheese pot
Typ: unbestimmbar
Variante: horizontal abgestrichene Lippe
Typenbezeichnung: Chb0D
Erhaltungszustand: sekundär verbrannt
Fabrikat: 38
Beschreibung: Dm. Rand nicht ermittelbar, da gerader Verlauf der Gefäßwandung
Maße (cm):
Wandstärke: 0,7
Dm. (Durchlochung): 0,5

Böden

Kat.-Nr. 679
Fundnr.: 14/5539/1/24
Form: Boden
Typ: Scheibenbasis
Variante: gerade Standfläche
Typenbezeichnung: B2B
Erhaltungszustand: abgerieben
Fabrikat: 22
Maße (cm):
Wandstärke: 0,4
Dm. (Boden): 7
Dm. (Boden, erhalten in %): 21

Kat.-Nr. 680
Fundnr.: 14/5539/1/54
Form: Boden
Typ: Scheibenbasis
Variante: gerade Standfläche
Typenbezeichnung: B2B
Erhaltungszustand: abgerieben
Fabrikat: 31
Maße (cm):
Wandstärke: 0,6
Dm. (Boden): 12
Dm. (Boden, erhalten in %): 18

Kat.-Nr. 681
Fundnr.: 14/5539/1/56
Form: Boden
Typ: Scheibenbasis
Variante: gerade Standfläche
Typenbezeichnung: B2B
Erhaltungszustand: sekundär verbrannt
Fabrikat: 38
Maße (cm):
Dm. (Boden): 12
Dm. (Boden, erhalten in %): 9

Kat.-Nr. 682
Fundnr.: 14/5539/1/72
Form: Boden
Typ: Scheibenbasis
Variante: gerade Standfläche
Typenbezeichnung: B2B
Erhaltungszustand: sekundär verbrannt
Fabrikat: 78
Maße (cm):
Wandstärke: 0,4

Dm. (Boden): 6
Dm. (Boden, erhalten in %): 29

Horizontalhenkel

Kat.-Nr. 683
Fundnr.: 14/5539/1/14
Form: Horizontalhenkel
Typ: ovaler Querschnitt
Variante: unverziert
Typenbezeichnung: H5A
Erhaltungszustand: sekundär verbrannt
Fabrikat: 40
Maße (cm):
Höhe: 1,6
Länge: erh. 3,6
Breite: 2,2
Wandstärke: 0,8

Vertikalhenkel

Kat.-Nr. 684
Fundnr.: 14/5539/1/15
Form: Vertikalhenkel
Typ: Bandhenkel
Variante: unverziert
Typenbezeichnung: H3A
Erhaltungszustand: abgerieben
Fabrikat: 61
Maße (cm):
Höhe: 1
Länge: erh. 3
Breite: 4,3

Kat.-Nr. 685
Fundnr.: 14/5539/1/16
Form: Vertikalhenkel
Typ: ovaler Querschnitt
Variante: unverziert
Typenbezeichnung: H1A
Erhaltungszustand: abgerieben
Fabrikat: 41
Maße (cm):
Höhe: erh. 0,9
Länge: erh. 1,8
Breite: 1,6
Wandstärke: 0,4

Kat.-Nr. 686
Fundnr.: 14/5539/1/17
Form: Vertikalhenkel
Typ: ovaler Querschnitt
Variante: unverziert
Typenbezeichnung: H1A
Handhabe/Verzierung: mit überrandständigem WS4
Erhaltungszustand: sekundär verbrannt
Fabrikat: 33
Maße (cm):
Höhe: 1,05
Länge: erh. 1,9
Breite: 2,3

Kat.-Nr. 687
Fundnr.: 14/5539/1/19
Form: Vertikalhenkel
Typ: ovaler Querschnitt
Variante: unverziert
Typenbezeichnung: H1A
Erhaltungszustand: sekundär verbrannt
Fabrikat: 33
Maße (cm):
Höhe: 1,25
Länge: erh. 5
Breite: 2

Kat.-Nr. 688
Fundnr.: 14/5539/1/20
Form: Vertikalhenkel
Typ: breiter Querschnitt
Variante: unverziert
Typenbezeichnung: H2A
Erhaltungszustand: sekundär verbrannt
Fabrikat: 33
Maße (cm):
Höhe: 1
Länge: erh. 2,9
Breite: 2,1

Kat.-Nr. 689
Fundnr.: 14/5539/1/49
Form: Vertikalhenkel
Typ: ovaler Querschnitt
Variante: unverziert
Typenbezeichnung: H1A
Erhaltungszustand: sekundär verbrannt
Fabrikat: 103
Maße (cm):
Höhe: 1,9
Länge: erh. 7,5
Breite: erh. 2,5

Kat.-Nr. 690
Fundnr.: 14/5539/1/52
Form: Vertikalhenkel
Typ: breiter Querschnitt
Variante: unverziert
Typenbezeichnung: H2A
Handhabe/Verzierung: randständige WS4
Erhaltungszustand: sekundär verbrannt
Fabrikat: 20
Maße (cm):
Höhe: 1,1
Länge: erh. 3,4
Breite: 3,3
Wandstärke: 0,7
Dm. (Rand, innen): 6
Dm. (Rand, innen, erhalten in %): 15

Kat.-Nr. 691
Fundnr.: 14/5539/1/70
Form: Vertikalhenkel
Typ: ovaler Querschnitt
Variante: unverziert

Typenbezeichnung: H1A
Erhaltungszustand: versintert
Fabrikat: nicht bestimmbar
Maße (cm):
Höhe: 1,1
Länge: erh. 1,5
Breite: 1,5

Füße

Kat.-Nr. 692
Fundnr.: 14/5539/1/22
Form: Fuß
Typ: trapezförmig
Variante: flache Basis
Typenbezeichnung: F4A
Erhaltungszustand: sekundär verbrannt
Fabrikat: 17
Maße (cm):
Höhe: 1,9
Länge: erh. 4,1
Breite: erh. 2,2

Charakteristische Wandfragmente

Kat.-Nr. 693 Taf. 27.693
Fundnr.: 14/5539/1/25
Form: charakteristisches Wandfragment
Typ: bemalt
Typenbezeichnung: WS1
Erhaltungszustand: sekundär verbrannt
Fabrikat: 33
Beschreibung: Weißbemalung (Linienbündel); Halsfragment einer Kanne?
Maße (cm):
Wandstärke: 0,5
Dm. (Hals, außen): 5
Dm. (Hals, außen, erhalten in %): 29

Kat.-Nr. 694 Taf. 27.694
Fundnr.: 14/5539/1/26
Form: charakteristisches Wandfragment
Typ: bemalt
Typenbezeichnung: WS1
Erhaltungszustand: sekundär verbrannt
Fabrikat: 33
Beschreibung: Weißbemalung (Linienbündel)
Maße (cm):
Wandstärke: 0,35

Kat.-Nr. 695
Fundnr.: 14/5539/1/57
Form: charakteristisches Wandfragment
Typ: Applike
Variante: Knubbe
Typenbezeichnung: Kn4
Erhaltungszustand: abgerieben
Fabrikat: 33
Maße (cm):
Höhe: 1,2
Dm. (Durchlochung): 1,2

Kat.-Nr. 696 Taf. 27.696
Fundnr.: 14/5539/1/73
Form: charakteristisches Wandfragment
Typ: impressoverziert
Variante: Einstiche
Typenbezeichnung: WS2D
Erhaltungszustand: sekundär verbrannt
Fabrikat: 26
Beschreibung: punktförmige Einstiche
Maße (cm):
Wandstärke: 0,8
Dm. (Einstiche): 0,3

Randfragmente

Kat.-Nr. 697
Fundnr.: 14/5539/1/38
Form: Randfragment
Typ: unbestimmbar
Variante: regelmäßig gerundete Lippe
Typenbezeichnung: R0A
Erhaltungszustand: sekundär verbrannt
Fabrikat: 20
Maße (cm):
Wandstärke: 0,75
Dm. (Rand): 14
Dm. (Rand, erhalten in %): 8

Kat.-Nr. 698
Fundnr.: 14/5539/1/40
Form: Randfragment
Typ: unbestimmbar
Variante: horizontal abgestrichene Lippe
Typenbezeichnung: R0D
Erhaltungszustand: sekundär verbrannt
Fabrikat: 40
Beschreibung: Dm. Rand nicht ermittelbar
Maße (cm):
Wandstärke: 0,85

Kat.-Nr. 699
Fundnr.: 14/5539/1/65
Form: Randfragment
Typ: unbestimmbar
Variante: regelmäßig gerundete Lippe
Typenbezeichnung: R0A
Erhaltungszustand: sekundär verbrannt
Fabrikat: 17
Maße (cm):
Wandstärke: 0,8

Kat.-Nr. 700
Fundnr.: 14/5539/1/69
Form: Randfragment
Typ: unbestimmbar
Variante: spitz ausgezogene Lippe
Typenbezeichnung: R0A
Handhabe/Verzierung: mit WS3
Erhaltungszustand: sekundär verbrannt
Fabrikat: 100

Maße (cm):
Wandstärke: 0,5
Dm. (Rand): 10
Dm. (Durchlochung): 0,4
Dm. (Rand, erhalten in %): 7

SE 5543

Schalen

Kat.-Nr. 701
Fundnr.: 14/5543/1/2
Form: Schale
Typ: sanft geschwungene Wandung
Variante: spitz ausgezogene Lippe
Typenbezeichnung: S5B
Erhaltungszustand: abgerieben, sekundär verbrannt
Fabrikat: 26
Maße (cm):
Wandstärke: 0,4
Dm. (Rand): 10
Dm. (Rand, erhalten in %): 7

Kat.-Nr. 702
Fundnr.: 14/5543/1/6
Form: Schale
Typ: kalottenförmig
Variante: regelmäßig gerundete Lippe
Typenbezeichnung: S1A
Erhaltungszustand: sekundär verbrannt
Fabrikat: 23
Beschreibung: Dm. Rand nicht ermittelbar
Maße (cm):
Wandstärke: 1,3

Kat.-Nr. 703
Fundnr.: 14/5543/1/10
Form: Schale
Typ: weitmundig
Variante: regelmäßig gerundete Lippe
Typenbezeichnung: S4A
Erhaltungszustand: sekundär verbrannt
Fabrikat: 55
Beschreibung: Dm. Rand < 5%, daher unsicher
Maße (cm):
Wandstärke: 0,6
Dm. (Rand): 24
Dm. (Rand, erhalten in %): 3

Kat.-Nr. 704
Fundnr.: 14/5543/1/17
Form: Schale
Typ: sanft geschwungene Wandung
Variante: spitz ausgezogene Lippe
Typenbezeichnung: S5B
Erhaltungszustand: abgerieben
Fabrikat: 24
Maße (cm):
Wandstärke: 0,6
Dm. (Rand): 40
Dm. (Rand, erhalten in %): 10

Kat.-Nr. 705
Fundnr.: 14/5543/1/23
Form: Schale
Typ: weitmundig
Variante: regelmäßig gerundete Lippe
Typenbezeichnung: S4A
Erhaltungszustand: sekundär verbrannt
Fabrikat: 27
Maße (cm):
Wandstärke: 0,8
Dm. (Rand): 8
Dm. (Rand, erhalten in %): 7

Kat.-Nr. 706
Fundnr.: 14/5543/1/24
Form: Schale
Typ: sanft geschwungene Wandung
Variante: spitz ausgezogene Lippe
Typenbezeichnung: S5B
Handhabe/Verzierung: mit WS3
Erhaltungszustand: abgerieben
Fabrikat: 31
Beschreibung: Dm. Rand nicht ermittelbar
Maße (cm):
Wandstärke: 0,6
Dm. (Durchlochung): 0,3

Kat.-Nr. 707
Fundnr.: 14/5543/1/35
Form: Schale
Typ: weitmundig
Variante: gerollter Rand
Typenbezeichnung: S4Q
Erhaltungszustand: sekundär verbrannt
Fabrikat: 43
Beschreibung: Dm. Rand nicht ermittelbar
Maße (cm):
Wandstärke: 0,7

Kat.-Nr. 708
Fundnr.: 14/5543/1/43
Form: Schale
Typ: kalottenförmig
Variante: regelmäßig gerundete Lippe
Typenbezeichnung: S1A
Handhabe/Verzierung: mit WS4
Erhaltungszustand: sekundär verbrannt
Fabrikat: 80
Maße (cm):
Wandstärke: 1
Dm. (Rand): 30
Dm. (Rand, erhalten in %): 7

Kat.-Nr. 709
Fundnr.: 14/5543/1/44
Form: Schale
Typ: kalottenförmig
Variante: regelmäßig gerundete Lippe
Typenbezeichnung: S1A
Erhaltungszustand: sekundär verbrannt
Fabrikat: 29

Beschreibung: Dm. Rand < 5%, daher unsicher
Maße (cm):
Wandstärke: 0,9
Dm. (Rand): 34
Dm. (Rand, erhalten in %): 3,5

Kat.-Nr. 710
Fundnr.: 14/5543/1/45
Form: Schale
Typ: weitmundig
Variante: gerollter Rand
Typenbezeichnung: S4Q
Erhaltungszustand: abgerieben
Fabrikat: 94
Beschreibung: Dm. Rand nicht ermittelbar
Maße (cm):
Wandstärke: 0,9

Kat.-Nr. 711
Fundnr.: 14/5543/1/47
Form: Schale
Typ: weitmundig
Variante: regelmäßig gerundete Lippe
Typenbezeichnung: S4A
Erhaltungszustand: abgerieben
Fabrikat: 17
Beschreibung: Dm. Rand < 5%, daher unsicher
Maße (cm):
Wandstärke: 0,7
Dm. (Rand): 26
Dm. (Rand, erhalten in %): 3

Kat.-Nr. 712
Fundnr.: 14/5543/1/54
Form: Schale
Typ: weitmundig
Variante: horizontal abgestrichene Lippe
Typenbezeichnung: S4D
Erhaltungszustand: versintert
Fabrikat: 29
Beschreibung: Dm. Rand < 5%, daher unsicher
Maße (cm):
Wandstärke: 0,75
Dm. (Rand): 24
Dm. (Rand, erhalten in %): 3

Kat.-Nr. 713
Fundnr.: 14/5543/1/57
Form: Schale
Typ: weitmundig
Variante: horizontal abgestrichene Lippe
Typenbezeichnung: S4D
Handhabe/Verzierung: mit randständiger WS4
Erhaltungszustand: sekundär verbrannt
Fabrikat: 18
Maße (cm):
Wandstärke: 1,1
Dm. (Rand): 14
Dm. (Rand, erhalten in %): 8

Kat.-Nr. 714 Taf. 27.714; 46.1
Fundnr.: 14/5543/1/59
Form: Schale
Typ: weitmundig
Variante: gerollter Rand
Typenbezeichnung: S4Q
Handhabe/Verzierung: mit randständiger Ö3
Erhaltungszustand: sekundär verbrannt
Fabrikat: 80
Maße (cm):
Wandstärke: 0,6
Dm. (Rand): 20
Dm. (Durchlochung): 0,5
Dm. (Rand, erhalten in %): 13

Kat.-Nr. 715
Fundnr.: 14/5543/1/63
Form: Schale
Typ: weitmundig
Variante: regelmäßig gerundete Lippe
Typenbezeichnung: S4A
Erhaltungszustand: sekundär verbrannt
Fabrikat: 20
Maße (cm):
Wandstärke: 0,8
Dm. (Rand): 16
Dm. (Rand, erhalten in %): 6

Kat.-Nr. 716
Fundnr.: 14/5543/1/89
Form: Schale
Typ: weitmundig
Variante: nach innen verdickte Lippe
Typenbezeichnung: S4U
Erhaltungszustand: sekundär verbrannt
Fabrikat: 24
Maße (cm):
Wandstärke: 0,5
Dm. (Rand): 18
Dm. (Rand, erhalten in %): 9,5

Kat.-Nr. 717
Fundnr.: 14/5543/1/100
Form: Schale
Typ: weitmundig
Variante: schräg nach innen abgestrichene und verdickte Lippe
Typenbezeichnung: S4K
Erhaltungszustand: sekundär verbrannt
Fabrikat: 37
Maße (cm):
Wandstärke: 0,7
Dm. (Rand): 10
Dm. (Rand, erhalten in %): 10,5

Töpfe

Kat.-Nr. 718
Fundnr.: 14/5543/1/3
Form: Topf
Typ: steil konkave Wandung
Variante: horizontal abgestrichene Lippe
Typenbezeichnung: T2D
Erhaltungszustand: sekundär verbrannt

Fabrikat: 49
Maße (cm):
Wandstärke: 0,6
Dm. (Rand): 12
Dm. (Rand, erhalten in %): 6

Kat.-Nr. 719
Fundnr.: 14/5543/1/8
Form: Topf
Typ: steil konkave Wandung
Variante: regelmäßig gerundete Lippe
Typenbezeichnung: T2A
Erhaltungszustand: sekundär verbrannt
Fabrikat: 49
Maße (cm):
Wandstärke: 0,5
Dm. (Rand): 11
Dm. (Rand, erhalten in %): 10

Kat.-Nr. 720 Taf. 27.720
Fundnr.: 14/5543/1/46
Form: Topf
Typ: schräg konkave Wandung
Variante: regelmäßig gerundete Lippe
Typenbezeichnung: T3A
Erhaltungszustand: sekundär verbrannt
Fabrikat: 32
Beschreibung: Vorratsgefäß?
Maße (cm):
Wandstärke: 0,8
Dm. (Rand): 14
Dm. (Rand, erhalten in %): 13

Kat.-Nr. 721
Fundnr.: 14/5543/1/60
Form: Topf
Typ: schräg konkave Wandung
Variante: horizontal abgestrichene Lippe
Typenbezeichnung: T3D
Erhaltungszustand: abgerieben
Fabrikat: 49
Maße (cm):
Wandstärke: 0,7
Dm. (Rand): 30
Dm. (Rand, erhalten in %): 5

Engmundige Gefäße

Kat.-Nr. 722
Fundnr.: 14/5543/1/34
Form: Engmundig
Typ: Hals konisch einziehend
Variante: horizontal abgestrichene Lippe
Typenbezeichnung: E2D
Erhaltungszustand: sekundär verbrannt
Fabrikat: 18
Maße (cm):
Wandstärke: 0,5
Dm. (Rand): 12
Dm. (Rand, erhalten in %): 7

Kat.-Nr. 723 Taf. 27.723
Fundnr.: 14/5543/1/48
Form: Engmundig
Typ: Hals konvex einziehend
Variante: regelmäßig gerundete Lippe
Typenbezeichnung: E3A
Erhaltungszustand: sekundär verbrannt
Fabrikat: 38
Maße (cm):
Wandstärke: 0,8
Dm. (Rand): 6
Dm. (Rand, erhalten in %): 9

Kat.-Nr. 724
Fundnr.: 14/5543/1/49
Form: Engmundig
Typ: Hals steil konkav
Variante: spitz ausgezogene Lippe
Typenbezeichnung: E1B
Erhaltungszustand: abgerieben
Fabrikat: 24
Beschreibung: Dm. Rand < 5%, daher unsicher
Maße (cm):
Wandstärke: 0,45
Dm. (Rand): 12
Dm. (Rand, erhalten in %): 2

Kat.-Nr. 725
Fundnr.: 14/5543/1/51
Form: Engmundig
Typ: Hals steil konkav
Variante: außen verdickte Lippe
Typenbezeichnung: E1I
Erhaltungszustand: abgerieben
Fabrikat: 32
Maße (cm):
Wandstärke: 0,6
Dm. (Rand): 6
Dm. (Rand, erhalten in %): 18

Kat.-Nr. 726
Fundnr.: 14/5543/1/53
Form: Engmundig
Typ: Hals steil konkav
Variante: regelmäßig gerundete Lippe
Typenbezeichnung: E1A
Erhaltungszustand: abgerieben
Fabrikat: 18
Beschreibung: Dm. Rand < 5%, daher unsicher
Maße (cm):
Wandstärke: 0,6
Dm. (Rand): 22
Dm. (Rand, erhalten in %): 4,5

Kat.-Nr. 727
Fundnr.: 14/5543/1/58
Form: Engmundig
Typ: Hals konisch einziehend
Variante: spitz ausgezogene Lippe
Typenbezeichnung: E2B
Erhaltungszustand: sekundär verbrannt

Fabrikat: 100
Maße (cm):
Wandstärke: 0,9

Kat.-Nr. 728
Fundnr.: 14/5543/1/90
Form: Engmundig
Typ: Hals konisch einziehend
Variante: innen abgestrichene Lippe
Typenbezeichnung: E2N
Erhaltungszustand: sekundär verbrannt
Fabrikat: 24
Maße (cm):
Wandstärke: 0,7
Dm. (Rand): 18
Dm. (Rand, erhalten in %): 4,5

Halsgefäße

Kat.-Nr. 729
Fundnr.: 14/5543/1/7
Form: Halsgefäß
Typ: geschwungene Wandung
Variante: regelmäßig gerundete Lippe
Typenbezeichnung: Hg2A
Erhaltungszustand: sekundär verbrannt
Fabrikat: 49
Maße (cm):
Wandstärke: 0,6
Dm. (Rand): 20
Dm. (Rand, erhalten in %): 12,75

Kat.-Nr. 730
Fundnr.: 14/5543/1/21
Form: Halsgefäß
Typ: geschwungene Wandung
Variante: regelmäßig gerundete Lippe
Typenbezeichnung: Hg2A
Erhaltungszustand: gut
Fabrikat: 18
Beschreibung: Dm. Rand nicht ermittelbar
Maße (cm):
Wandstärke: 0,5

Kat.-Nr. 731
Fundnr.: 14/5543/1/25
Form: Halsgefäß
Typ: geschwungene Wandung
Variante: horizontal abgestrichener und nach außen verdickter Rand
Typenbezeichnung: Hg2T
Erhaltungszustand: sekundär verbrannt
Fabrikat: 100
Maße (cm):
Wandstärke: 0,4
Dm. (Rand): 10
Dm. (Rand, erhalten in %): 8

Kat.-Nr. 732
Fundnr.: 14/5543/1/52
Form: Halsgefäß
Typ: geschwungene Wandung
Variante: regelmäßig gerundete Lippe
Typenbezeichnung: Hg2A
Erhaltungszustand: sekundär verbrannt
Fabrikat: 49
Maße (cm):
Wandstärke: 0,5
Dm. (Rand): 16
Dm. (Rand, erhalten in %): 8

Kat.-Nr. 733
Fundnr.: 14/5543/1/55
Form: Halsgefäß
Typ: geschwungene Wandung
Variante: außen verdickte Lippe
Typenbezeichnung: Hg2I
Erhaltungszustand: sekundär verbrannt
Fabrikat: 17
Maße (cm):
Wandstärke: 0,7
Dm. (Rand): 10
Dm. (Rand, erhalten in %): 8

Kat.-Nr. 734
Fundnr.: 14/5543/1/56
Form: Halsgefäß
Typ: geschwungene Wandung
Variante: regelmäßig gerundete Lippe
Typenbezeichnung: Hg2A
Erhaltungszustand: abgerieben
Fabrikat: 51
Beschreibung: Dm. Rand < 5%, daher unsicher
Maße (cm):
Wandstärke: 0,6
Dm. (Rand): 28
Dm. (Rand, erhalten in %): 4

Kat.-Nr. 735
Fundnr.: 14/5543/1/62
Form: Halsgefäß
Typ: geschwungene Wandung
Variante: regelmäßig gerundete Lippe
Typenbezeichnung: Hg2A
Erhaltungszustand: abgerieben
Fabrikat: 43
Beschreibung: vermutlich eine Kanne
Maße (cm):
Wandstärke: 0,3
Dm. (Rand): 12
Dm. (Rand, erhalten in %): 9

Kat.-Nr. 736
Fundnr.: 14/5543/1/88
Form: Halsgefäß
Typ: geschwungene Wandung
Variante: regelmäßig gerundete Lippe
Typenbezeichnung: Hg2A
Erhaltungszustand: sekundär verbrannt
Fabrikat: 49
Maße (cm):
Wandstärke: 0,5

Dm. (Rand): 10
Dm. (Rand, erhalten in %): 12

Böden

Kat.-Nr. 737
Fundnr.: 14/5543/1/15
Form: Boden
Typ: Scheibenbasis
Variante: gerade Standfläche
Typenbezeichnung: B2B
Erhaltungszustand: abgerieben
Fabrikat: 24
Maße (cm):
Wandstärke: 0,8
Dm. (Rand): 12
Dm. (Rand, erhalten in %): 12

Kat.-Nr. 738
Fundnr.: 14/5543/1/16
Form: Boden
Typ: Flachboden
Variante: eckiger Übergang zur Basis
Typenbezeichnung: B1B
Erhaltungszustand: sekundär verbrannt
Fabrikat: 24
Maße (cm):
Wandstärke: 0,7
Dm. (Rand): 10
Dm. (Rand, erhalten in %): 7

Kat.-Nr. 739
Fundnr.: 14/5543/1/33
Form: Boden
Typ: Flachboden
Variante: abgerundeter Übergang zur Basis
Typenbezeichnung: B1A
Erhaltungszustand: abgerieben
Fabrikat: 18
Maße (cm):
Wandstärke: 0,6
Dm. (Boden): 8
Dm. (Boden, erhalten in %): 6

Kat.-Nr. 740
Fundnr.: 14/5543/1/80
Form: Boden
Typ: Flachboden
Variante: eckiger Übergang zur Basis
Typenbezeichnung: B1B
Erhaltungszustand: abgerieben
Fabrikat: 18
Maße (cm):
Wandstärke: 0,8
Dm. (Boden): 12
Dm. (Boden, erhalten in %): 14

Kat.-Nr. 741
Fundnr.: 14/5543/1/81
Form: Boden
Typ: Flachboden oval
Variante: abgerundeter Übergang zur Basis
Typenbezeichnung: B1C
Erhaltungszustand: abgerieben
Fabrikat: 31
Beschreibung: leicht oval
Maße (cm):
Wandstärke: 0,6
Dm. (Boden): 10
Dm. (Boden, erhalten in %): 19

Kat.-Nr. 742
Fundnr.: 14/5543/1/82
Form: Boden
Typ: Scheibenbasis
Variante: gerade Standfläche
Typenbezeichnung: B2B
Erhaltungszustand: abgerieben
Fabrikat: 49
Maße (cm):
Wandstärke: 0,7
Dm. (Boden): 11
Dm. (Boden, erhalten in %): 18

Kat.-Nr. 743
Fundnr.: 14/5543/1/83
Form: Boden
Typ: Scheibenbasis
Variante: gerade Standfläche
Typenbezeichnung: B2B
Erhaltungszustand: sekundär verbrannt
Fabrikat: 49
Maße (cm):
Wandstärke: 0,6
Dm. (Boden): 12
Dm. (Boden, erhalten in %): 12

Kat.-Nr. 744
Fundnr.: 14/5543/1/84
Form: Boden
Typ: Flachboden
Variante: abgerundeter Übergang zur Basis
Typenbezeichnung: B1B
Erhaltungszustand: abgerieben
Fabrikat: 31
Maße (cm):
Wandstärke: 0,7
Dm. (Boden): 10
Dm. (Boden, erhalten in %): 9

Kat.-Nr. 745
Fundnr.: 14/5543/1/101
Form: Boden
Typ: Flachboden oval
Variante: abgerundeter Übergang zur Basis
Typenbezeichnung: B1C
Erhaltungszustand: sekundär verbrannt
Fabrikat: 55
Maße (cm):
Wandstärke: 0,6
Dm. (Boden): 14
Dm. (Boden, erhalten in %): 7,5

Horizontalhenkel

Kat.-Nr. 746
Fundnr.: 14/5543/1/72
Form: Horizontalhenkel
Typ: randständig
Variante: triangulär
Typenbezeichnung: H7B
Erhaltungszustand: sekundär verbrannt
Fabrikat: 17
Maße (cm):
Höhe: 1,2
Länge: erh. 4,6
Breite: 1,4

Vertikalhenkel

Kat.-Nr. 747
Fundnr.: 14/5543/1/11
Form: Vertikalhenkel
Typ: Bandhenkel
Variante: unverziert
Typenbezeichnung: H3A
Erhaltungszustand: sekundär verbrannt
Fabrikat: 55
Beschreibung: Lochung leicht oval
Maße (cm):
Höhe: 1,8
Länge: 3,1
Breite: 2,9
Dm. (Durchlochung): 0,75–0,8

Kat.-Nr. 748 Taf. 27.748
Fundnr.: 14/5543/1/12
Form: Vertikalhenkel
Typ: ovaler Querschnitt
Variante: unverziert
Typenbezeichnung: H1A
Erhaltungszustand: sekundär verbrannt
Fabrikat: 33
Beschreibung: Oberfläche rot gebrannt
Maße (cm):
Höhe: 1,6
Länge: erh. 5,8
Breite: 2,5

Kat.-Nr. 749 Taf. 27.749
Fundnr.: 14/5543/1/26
Form: Vertikalhenkel
Typ: ovaler Querschnitt
Variante: eingesattelt
Typenbezeichnung: H1C
Handhabe/Verzierung: mit WS4 an Hg2A
Erhaltungszustand: sekundär verbrannt
Fabrikat: 49
Maße (cm):
Höhe: 1,6
Länge: erh. 9,2
Breite: 3,7
Wandstärke: 0,7
Dm. (Rand): 26
Dm. (Rand, erhalten in %): 8

Kat.-Nr. 750
Fundnr.: 14/5543/1/27
Form: Vertikalhenkel
Typ: breiter Querschnitt
Variante: unverziert
Typenbezeichnung: H2A
Erhaltungszustand: sekundär verbrannt
Fabrikat: 23
Maße (cm):
Höhe: 1,9
Länge: erh. 3,8
Breite: 4,1
Wandstärke: 1,1

Kat.-Nr. 751
Fundnr.: 14/5543/1/28
Form: Vertikalhenkel
Typ: ovaler Querschnitt
Variante: unverziert
Typenbezeichnung: H1A
Erhaltungszustand: sekundär verbrannt
Fabrikat: 17
Maße (cm):
Höhe: 1,55
Länge: erh. 5,1
Breite: 2,7

Kat.-Nr. 752
Fundnr.: 14/5543/1/37
Form: Vertikalhenkel
Typ: ovaler Querschnitt
Variante: unverziert
Typenbezeichnung: H1A
Handhabe/Verzierung: mit randständigem WS4
Erhaltungszustand: sekundär verbrannt
Fabrikat: 38
Maße (cm):
Höhe: 1,3
Breite: 3
Dm. (Rand): 12
Dm. (Rand, erhalten in %): 7

Kat.-Nr. 753
Fundnr.: 14/5543/1/40
Form: Vertikalhenkel
Typ: ovaler Querschnitt
Variante: unverziert
Typenbezeichnung: H1A
Handhabe/Verzierung: mit randständigem WS4
Erhaltungszustand: sekundär verbrannt
Fabrikat: 49
Maße (cm):
Höhe: 2,1
Länge: erh. 4,5
Breite: 2,7
Wandstärke: 0,7
Dm. (Rand, innen): 10
Dm. (Rand, innen, erhalten in %): 10

Kat.-Nr. 754
Fundnr.: 14/5543/1/41
Form: Vertikalhenkel

Typ: ovaler Querschnitt
Variante: unverziert
Typenbezeichnung: H1A
Erhaltungszustand: abgerieben
Fabrikat: 20
Maße (cm):
Höhe: 2,5
Länge: erh. 6,8
Breite: 4

Kat.-Nr. 755
Fundnr.: 14/5543/1/42
Form: Vertikalhenkel
Typ: ovaler Querschnitt
Variante: unverziert
Typenbezeichnung: H1A
Erhaltungszustand: sekundär verbrannt
Fabrikat: 49
Maße (cm):
Höhe: 1,5
Länge: erh. 5,4
Breite: 2,6

Kat.-Nr. 756
Fundnr.: 14/5543/1/64
Form: Vertikalhenkel
Typ: ovaler Querschnitt
Variante: unverziert
Typenbezeichnung: H1A
Handhabe/Verzierung: mit randständigem WS4
Erhaltungszustand: abgerieben
Fabrikat: 17
Maße (cm):
Höhe: 1,6
Länge: erh. 5,9
Breite: 2,2
Wandstärke: 0,4
Dm. (Rand, innen): 11
Dm. (Rand, innen, erhalten in %): 17

Kat.-Nr. 757
Fundnr.: 14/5543/1/65
Form: Vertikalhenkel
Typ: breiter Querschnitt
Variante: unverziert
Typenbezeichnung: H2A
Handhabe/Verzierung: mit randständigem WS4
Erhaltungszustand: sekundär verbrannt
Fabrikat: 20
Maße (cm):
Höhe: 1,6
Länge: erh. 3,6
Breite: 5,2
Wandstärke: 0,9
Dm. (Rand, innen): 22
Dm. (Rand, innen, erhalten in %): 8

Kat.-Nr. 758
Fundnr.: 14/5543/1/66
Form: Vertikalhenkel
Typ: breiter Querschnitt
Variante: unverziert
Typenbezeichnung: H2A
Handhabe/Verzierung: mit randständigem WS4
Erhaltungszustand: abgerieben
Fabrikat: 38
Maße (cm):
Höhe: 1,75
Länge: erh. 3,2
Breite: 4,2
Wandstärke: 1,1
Dm. (Rand, innen): 14
Dm. (Rand, innen, erhalten in %): 13

Kat.-Nr. 759
Fundnr.: 14/5543/1/67
Form: Vertikalhenkel
Typ: breiter Querschnitt
Variante: unverziert
Typenbezeichnung: H2A
Erhaltungszustand: abgerieben
Fabrikat: 57
Beschreibung: Dm. Rand < 5%, daher unsicher
Maße (cm):
Höhe: 1,5
Länge: erh. 4,8
Breite: erh. 3,5
Dm. (Rand): 10
Dm. (Rand, erhalten in %): 3

Kat.-Nr. 760
Fundnr.: 14/5543/1/68
Form: Vertikalhenkel
Typ: ovaler Querschnitt
Variante: unverziert
Typenbezeichnung: H1A
Handhabe/Verzierung: mit randständigem WS4
Erhaltungszustand: abgerieben
Fabrikat: 17
Maße (cm):
Wandstärke: 0,7
Dm. (Rand, innen): 10
Dm. (Rand, innen, erhalten in %): 10

Kat.-Nr. 761
Fundnr.: 14/5543/1/73
Form: Vertikalhenkel
Typ: ovaler Querschnitt
Variante: unverziert
Typenbezeichnung: H1A
Erhaltungszustand: sekundär verbrannt
Fabrikat: 18
Maße (cm):
Höhe: 1,65
Länge: erh. 4,9
Breite: 2,3
Wandstärke: 0,7

Kat.-Nr. 762
Fundnr.: 14/5543/1/74
Form: Vertikalhenkel
Typ: breiter Querschnitt
Variante: unverziert
Typenbezeichnung: H2A

Erhaltungszustand: sekundär verbrannt
Fabrikat: 38
Maße (cm):
Höhe: 1,8
Länge: erh. 3,1
Breite: 3,6

Kat.-Nr. 763
Fundnr.: 14/5543/1/75
Form: Vertikalhenkel
Typ: ovaler Querschnitt
Variante: unverziert
Typenbezeichnung: H1A
Erhaltungszustand: abgerieben
Fabrikat: 18
Maße (cm):
Höhe: 1,85
Breite: 2,2

Kat.-Nr. 764
Fundnr.: 14/5543/1/76
Form: Vertikalhenkel
Typ: ovaler Querschnitt
Variante: unverziert
Typenbezeichnung: H1A
Erhaltungszustand: abgerieben
Fabrikat: 17
Maße (cm):
Höhe: 1,9
Länge: erh. 5,6
Breite: 2,8

Kat.-Nr. 765
Fundnr.: 14/5543/1/93
Form: Vertikalhenkel
Typ: breiter Querschnitt
Variante: unverziert
Typenbezeichnung: H2A
Erhaltungszustand: sekundär verbrannt
Fabrikat: 17
Maße (cm):
Höhe: 1,8
Länge: erh. 5,4
Breite: 2,9

Kat.-Nr. 766
Fundnr.: 14/5543/1/94
Form: Vertikalhenkel
Typ: breiter Querschnitt
Variante: unverziert
Typenbezeichnung: H2A
Erhaltungszustand: sekundär verbrannt
Fabrikat: 17
Maße (cm):
Höhe: 1,05
Länge: 3,2
Breite: 2,3

Kat.-Nr. 767 Taf. 28.767
Fundnr.: 14/5543/1/95
Form: Vertikalhenkel
Typ: ovaler Querschnitt
Variante: durchlocht
Typenbezeichnung: H1E
Handhabe/Verzierung: mit WS1
Erhaltungszustand: sekundär verbrannt
Fabrikat: 103
Beschreibung: Weißbemalung (Linienbündel)
Maße (cm):
Höhe: 1,15
Länge: erh. 1,8
Breite: 1,65
Wandstärke: 0,6
Dm. (Durchlochung): 0,45

Kat.-Nr. 768
Fundnr.: 14/5543/1/99
Form: Vertikalhenkel
Typ: breiter Querschnitt
Variante: unverziert
Typenbezeichnung: H2A
Erhaltungszustand: abgerieben
Fabrikat: 17
Maße (cm):
Höhe: 1,85
Länge: erh. 7,2
Breite: 4

Schnurösen

Kat.-Nr. 769 Taf. 28.769
Fundnr.: 14/5543/1/30
Form: Schnuröse
Typ: walzenförmig
Typenbezeichnung: Ö1Ca
Erhaltungszustand: sekundär verbrannt
Fabrikat: 100
Maße (cm):
Höhe: 1,7
Länge: 4,8
Breite: 2,8
Wandstärke: 0,65
Dm. (Durchlochung): 1

Griffknubben

Kat.-Nr. 770 Taf. 28.770
Fundnr.: 14/5543/1/70
Form: Griffknubbe
Typ: einfache Knubbe
Variante: nach oben gebogen
Typenbezeichnung: G1
Erhaltungszustand: abgerieben
Fabrikat: 18
Beschreibung: auf der Rückseite befinden sich Ritzungen für den Ansatz an den Gefäßkörper
Maße (cm):
Höhe: 1,8
Länge: 2,8
Breite: 2,6

Füße

Kat.-Nr. 771 Taf. 28.771
Fundnr.: 14/5543/1/14
Form: Fuß

Typ: trapezförmig
Variante: flache Basis
Typenbezeichnung: F4A
Erhaltungszustand: sehr gut
Fabrikat: 32
Maße (cm):
Höhe: 2,6
Länge: 8,1
Breite: 3,2
Breite (Standfläche): 4,3

Kat.-Nr. 772 Taf. 28.772
Fundnr.: 14/5543/1/32
Form: Fuß
Typ: gerade Standfläche
Variante: gerundeter Übergang
Typenbezeichnung: F1B
Erhaltungszustand: sekundär verbrannt
Fabrikat: 38
Maße (cm):
Höhe: 2,75
Länge: erh. 6,3
Breite: 3,4

Kat.-Nr. 773
Fundnr.: 14/5543/1/38
Form: Fuß
Typ: unbestimmbar
Variante: unbestimmbar
Typenbezeichnung: F0
Erhaltungszustand: sekundär verbrannt
Fabrikat: 35
Maße (cm):
Höhe: 2,4
Länge: erh. 3,4
Breite: 3,4

Kat.-Nr. 774
Fundnr.: 14/5543/1/78
Form: Fuß
Typ: trapezförmig
Variante: gerundete Basis
Typenbezeichnung: F4B
Erhaltungszustand: sekundär verbrannt
Fabrikat: 32
Maße (cm):
Höhe: 1,9
Länge: 7,7
Breite: 2,6
Wandstärke: 0,6
Breite (Standfläche): erh. 3,4

Kat.-Nr. 775
Fundnr.: 14/5543/1/96
Form: Fuß
Typ: unbestimmbar
Variante: unbestimmbar
Typenbezeichnung: F0
Erhaltungszustand: sekundär verbrannt
Fabrikat: 32
Maße (cm):
Höhe: 1,6
Länge: erh. 5,3
Breite: 3,2

Charakteristische Wandfragmente

Kat.-Nr. 776
Fundnr.: 14/5543/1/31
Form: charakteristisches Wandfragment
Typ: durchlocht/durchbohrt
Typenbezeichnung: WS3
Erhaltungszustand: sekundär verbrannt
Fabrikat: 49
Beschreibung: vermutlich zu einem Chb gehörig
Maße (cm):
Dm. (Durchlochung): 0,5–0,7

Kat.-Nr. 777 Taf. 28.777
Fundnr.: 14/5543/1/86
Form: charakteristisches Wandfragment
Typ: Mattenabdruck
Typenbezeichnung: WS8
Erhaltungszustand: sekundär verbrannt
Fabrikat: 32
Beschreibung: Bodenfragment; Abdruck (einzel) ca. 1,25 × 0,75 cm
Maße (cm):
Wandstärke: 1,3

Kat.-Nr. 778 Taf. 28.778
Fundnr.: 14/5543/1/87
Form: charakteristisches Wandfragment
Typ: Applike
Variante: Knubbe
Typenbezeichnung: WS5B
Handhabe/Verzierung: mit 2 Kn4
Erhaltungszustand: sekundär verbrannt
Fabrikat: 49
Beschreibung: 2 Knubben nebeneinander auf der Gefäßseite, vgl. Dt1A: SE 1492 (Kat.-Nr. 489), 5329 (Kat.-Nr. 869)
Maße (cm):
Wandstärke: 0,6
Dm. (Durchlochung): 1,2

Randfragmente

Kat.-Nr. 779
Fundnr.: 14/5543/1/9
Form: Randfragment
Typ: unbestimmbar
Variante: regelmäßig gerundete Lippe
Typenbezeichnung: R0A
Erhaltungszustand: abgerieben
Fabrikat: 18
Beschreibung: Dm. Rand nicht ermittelbar
Maße (cm):
Wandstärke: 0,8

Kat.-Nr. 780
Fundnr.: 14/5543/1/18
Form: Randfragment

Typ: unbestimmbar
Variante: regelmäßig gerundete Lippe
Typenbezeichnung: R0A
Erhaltungszustand: sekundär verbrannt
Fabrikat: 33
Beschreibung: Dm. Rand < 5%, daher unsicher
Maße (cm):
Wandstärke: 0,6
Dm. (Rand): 20
Dm. (Rand, erhalten in %): 4

Kat.-Nr. 781
Fundnr.: 14/5543/1/20
Form: Randfragment
Typ: unbestimmbar
Variante: nach innen geschwollener Rand
Typenbezeichnung: R0I
Erhaltungszustand: abgerieben
Fabrikat: 17
Maße (cm):
Wandstärke: 0,55
Dm. (Rand): 10
Dm. (Rand, erhalten in %): 17

Kat.-Nr. 782
Fundnr.: 14/5543/1/36
Form: Randfragment
Typ: unbestimmbar
Variante: ausbiegender Rand
Typenbezeichnung: R0S
Erhaltungszustand: abgerieben
Fabrikat: 49
Maße (cm):
Wandstärke: 0,65
Dm. (Rand): 10
Dm. (Rand, erhalten in %): 9

Kat.-Nr. 783
Fundnr.: 14/5543/1/39
Form: Randfragment
Typ: unbestimmbar
Variante: nach innen geschwollener Rand
Typenbezeichnung: R0I
Erhaltungszustand: sekundär verbrannt
Fabrikat: 23
Beschreibung: Dm. Rand nicht ermittelbar
Maße (cm):
Wandstärke: 0,9

Kat.-Nr. 784
Fundnr.: 14/5543/1/61
Form: Randfragment
Typ: unbestimmbar
Variante: regelmäßig gerundete Lippe
Typenbezeichnung: R0A
Erhaltungszustand: sekundär verbrannt
Fabrikat: 24
Maße (cm):
Wandstärke: 0,4
Dm. (Rand): 10
Dm. (Rand, erhalten in %): 6

Kat.-Nr. 785
Fundnr.: 14/5543/1/91
Form: Randfragment
Typ: unbestimmbar
Variante: horizontal abgestrichene Lippe
Typenbezeichnung: R0D
Erhaltungszustand: sekundär verbrannt
Fabrikat: 29
Beschreibung: Dm. Rand nicht ermittelbar
Maße (cm):
Wandstärke: 0,7

Planierung ÇuHö IV/VIa

SE 5422

Schalen

Kat.-Nr. 786
Fundnr.: 14/5422/1/2
Form: Schale
Typ: kalottenförmig
Variante: gerollter Rand
Typenbezeichnung: S1Q
Erhaltungszustand: sekundär verbrannt
Fabrikat: 57
Beschreibung: Dm. Rand nicht ermittelbar
Maße (cm):
Wandstärke: 0,9

Kat.-Nr. 787
Fundnr.: 14/5422/1/5
Form: Schale
Typ: sanft geschwungene Wandung
Variante: regelmäßig gerundete Lippe
Typenbezeichnung: S5A
Erhaltungszustand: abgerieben, versintert
Fabrikat: 59
Maße (cm):
Wandstärke: 0,6
Dm. (Rand): 12
Dm. (Rand, erhalten in %): 7

Kat.-Nr. 788
Fundnr.: 14/5422/1/16
Form: Schale
Typ: kalottenförmig
Variante: nach innen verdickte Lippe
Typenbezeichnung: S1U
Erhaltungszustand: sekundär verbrannt
Fabrikat: 23
Maße (cm):
Wandstärke: 0,6
Dm. (Rand): 24
Dm. (Rand, erhalten in %): 5,2

Kat.-Nr. 789
Fundnr.: 14/5422/1/17
Form: Schale
Typ: weitmundig

Variante: regelmäßig gerundete Lippe
Typenbezeichnung: S4A
Erhaltungszustand: sekundär verbrannt
Fabrikat: 19
Maße (cm):
Wandstärke: 0,8
Dm. (Rand): 20
Dm. (Rand, erhalten in %): 6,75

Kat.-Nr. 790
Fundnr.: 14/5422/1/20
Form: Schale
Typ: Knickrandschale
Variante: spitz ausgezogene Lippe
Typenbezeichnung: S3B
Erhaltungszustand: abgerieben
Fabrikat: 48
Beschreibung: Winkel nicht ermittelbar
Maße (cm):
Wandstärke: 0,8
Dm. (Rand): 15
Dm. (Rand, erhalten in %): 4,5

Töpfe

Kat.-Nr. 791 Taf. 28.791
Fundnr.: 14/5422/1/8
Form: Topf
Typ: sanft geschwungene Wandung
Variante: nach innen geschwollener Rand
Typenbezeichnung: T1F
Erhaltungszustand: abgerieben, versintert
Fabrikat: 15
Maße (cm):
Wandstärke: 1,2
Dm. (Rand): 24
Dm. (Rand, erhalten in %): 5,5

Engmundige Gefäße

Kat.-Nr. 792
Fundnr.: 14/5422/1/18
Form: Engmundig
Typ: Hals konisch einziehend
Variante: spitz ausgezogene Lippe
Typenbezeichnung: E2B
Erhaltungszustand: sekundär verbrannt
Fabrikat: 31
Beschreibung: Dm. Rand < 5%, daher unsicher
Maße (cm):
Wandstärke: 0,6
Dm. (Rand): 18
Dm. (Rand, erhalten in %): 4

Kat.-Nr. 793
Fundnr.: 14/5422/1/21
Form: Engmundig
Typ: Hals konisch einziehend
Variante: leicht verdickte Lippe
Typenbezeichnung: E2C
Erhaltungszustand: abgerieben
Fabrikat: 22
Maße (cm):
Wandstärke: 0,4
Dm. (Rand): 10
Dm. (Rand, erhalten in %): 5

Kat.-Nr. 794
Fundnr.: 14/5422/1/22
Form: Engmundig
Typ: Hals steil konkav
Variante: regelmäßig gerundete Lippe
Typenbezeichnung: E1A
Erhaltungszustand: abgerieben
Fabrikat: 24
Beschreibung: oval
Maße (cm):
Wandstärke: 0,55
Dm. (Rand): ca. 6
Dm. (Rand, erhalten in %): 10

Halsgefäße

Kat.-Nr. 795
Fundnr.: 14/5422/1/3
Form: Halsgefäß
Typ: geschwungene Wandung
Variante: regelmäßig gerundete Lippe
Typenbezeichnung: Hg2A
Erhaltungszustand: abgerieben
Fabrikat: 59
Maße (cm):
Wandstärke: 0,7
Dm. (Rand): 22
Dm. (Rand, erhalten in %): 5

Kat.-Nr. 796
Fundnr.: 14/5422/1/6
Form: Halsgefäß
Typ: geschwungene Wandung
Variante: horizontal abgestrichener und nach außen verdickter Rand
Typenbezeichnung: Hg2T
Erhaltungszustand: sekundär verbrannt
Fabrikat: 33
Maße (cm):
Wandstärke: 0,4
Dm. (Rand): 10
Dm. (Rand, erhalten in %): 11

Böden

Kat.-Nr. 797
Fundnr.: 14/5422/1/1
Form: Boden
Typ: Flachboden
Variante: eckiger Übergang zur Basis
Typenbezeichnung: B1B
Erhaltungszustand: abgerieben
Fabrikat: 22
Maße (cm):
Wandstärke: 0,55
Dm. (Boden): 2,5
Dm. (Boden, erhalten in %): 19

Kat.-Nr. 798 Taf. 29.798
Fundnr.: 14/5422/1/10
Form: Boden
Typ: Rundboden
Variante: einfach
Typenbezeichnung: B6A?
Erhaltungszustand: sekundär verbrannt
Fabrikat: 100
Beschreibung: Miniaturgefäß mit Abplatzungen; Randbereich eventuell nur minimal erhalten?
Maße (cm):
Wandstärke: 0,5

Kat.-Nr. 799
Fundnr.: 14/5422/1/11
Form: Boden
Typ: Flachboden
Variante: eckiger Übergang zur Basis
Typenbezeichnung: B1B
Erhaltungszustand: abgerieben
Fabrikat: 18
Maße (cm):
Wandstärke: 0,6
Dm. (Boden): 10
Dm. (Boden, erhalten in %): 11

Kat.-Nr. 800
Fundnr.: 14/5422/1/30
Form: Boden
Typ: Flachboden
Variante: abgerundeter Übergang zur Basis
Typenbezeichnung: B1A
Erhaltungszustand: abgerieben
Fabrikat: 82
Maße (cm):
Wandstärke: 0,8
Dm. (Rand): 13
Dm. (Rand, erhalten in %): 6

Deckel

Kat.-Nr. 801
Fundnr.: 14/5422/1/27
Form: Deckel
Typ: Flachdeckel
Variante: unverziert
Typenbezeichnung: De2A
Erhaltungszustand: abgerieben
Fabrikat: 41
Maße (cm):
Wandstärke: 0,8
Dm. (Deckel): 6
Dm. (Deckel, erhalten in %): 12

Vertikalhenkel

Kat.-Nr. 802
Fundnr.: 14/5422/1/9
Form: Vertikalhenkel
Typ: ovaler Querschnitt
Variante: unverziert
Typenbezeichnung: H1A
Erhaltungszustand: abgerieben
Fabrikat: 15
Maße (cm):
Höhe: 2,5
Länge: erh. 11,6
Breite: 4

Kat.-Nr. 803
Fundnr.: 14/5422/1/24
Form: Vertikalhenkel
Typ: breiter Querschnitt
Variante: unverziert
Typenbezeichnung: H2A
Erhaltungszustand: sekundär verbrannt
Fabrikat: 34
Maße (cm):
Höhe: 2,6
Länge: 5,5
Breite: 4,2

Charakteristische Wandfragmente

Kat.-Nr. 804
Fundnr.: 14/5422/1/13
Form: charakteristisches Wandfragment
Typ: durchlocht/durchbohrt
Typenbezeichnung: WS3
Erhaltungszustand: abgerieben
Fabrikat: 29
Maße (cm):
Länge: 2,1
Breite: 1,6
Wandstärke: 0,7

Kat.-Nr. 805
Fundnr.: 14/5422/1/32
Form: charakteristisches Wandfragment
Typ: durchlocht/durchbohrt
Typenbezeichnung: WS3
Erhaltungszustand: sekundär verbrannt
Fabrikat: 15
Maße (cm):
Wandstärke: 0,8
Dm. (Durchlochung): 0,45

Kat.-Nr. 806
Fundnr.: 14/5422/1/33
Form: charakteristisches Wandfragment
Typ: Applike
Variante: Knubbe
Typenbezeichnung: WS5B
Handhabe/Verzierung: Kn4
Erhaltungszustand: abgerieben
Fabrikat: 61
Maße (cm):
Höhe: 0,6
Länge: 2,1
Breite: 1,7
Wandstärke: 0,5

SE 5464

Schalen

Kat.-Nr. 807
Fundnr.: 14/5464/1/4
Form: Schale
Typ: weitmundig
Variante: regelmäßig gerundete Lippe
Typenbezeichnung: S4A
Erhaltungszustand: sekundär verbrannt
Fabrikat: 27
Beschreibung: Dm. Rand < 5%, daher unsicher
Maße (cm):
Wandstärke: 0,8
Dm. (Rand): 30
Dm. (Rand, erhalten in %): 2

Engmundige Gefäße

Kat.-Nr. 808
Fundnr.: 14/5464/1/2
Form: Engmundig
Typ: Hals steil konkav
Variante: spitz ausgezogene Lippe
Typenbezeichnung: E1B
Erhaltungszustand: abgerieben
Fabrikat: 59
Maße (cm):
Wandstärke: 0,6
Dm. (Rand): 18
Dm. (Rand, erhalten in %): 7,5

Kat.-Nr. 809
Fundnr.: 14/5464/1/12
Form: Engmundig
Typ: Hals steil konkav
Variante: spitz ausgezogene Lippe
Typenbezeichnung: E1B
Erhaltungszustand: abgerieben
Fabrikat: 59
Maße (cm):
Wandstärke: 0,6
Dm. (Rand): 18
Dm. (Rand, erhalten in %): 7,5

Halsgefäße

Kat.-Nr. 810
Fundnr.: 14/5464/1/1
Form: Halsgefäß
Typ: geschwungene Wandung
Variante: regelmäßig gerundete Lippe
Typenbezeichnung: Hg2A
Erhaltungszustand: sekundär verbrannt
Fabrikat: 17
Maße (cm):
Wandstärke: 0,6
Dm. (Rand): 12
Dm. (Rand, erhalten in %): 5,5

Horizontalhenkel

Kat.-Nr. 811
Fundnr.: 14/5464/1/7
Form: Horizontalhenkel
Typ: ovaler Querschnitt
Variante: unverziert
Typenbezeichnung: H5A
Erhaltungszustand: abgerieben
Fabrikat: 78
Maße (cm):
Höhe: 1,1
Länge: erh. 3,9
Breite: 2

ÇuHö Vb

SE 5325

Schalen

Kat.-Nr. 812 Taf. 29.812
Fundnr.: 13/5325/1/9
Form: Schale
Typ: kalottenförmig
Variante: nach innen verdickte Lippe
Typenbezeichnung: S1U
Handhabe/Verzierung: mit randständigem H3A
Erhaltungszustand: sekundär verbrannt
Fabrikat: 48
Maße (cm):
Dm. (Rand, innen): 20
Dm. (Rand, innen, erhalten in %): 5

Kat.-Nr. 813
Fundnr.: 13/5325/1/10
Form: Schale
Typ: weitmundig
Variante: regelmäßig gerundete Lippe
Typenbezeichnung: S4A
Erhaltungszustand: abgerieben
Fabrikat: 18
Maße (cm):
Wandstärke: 0,7
Dm. (Rand): 16
Dm. (Rand, erhalten in %): 6

Kat.-Nr. 814
Fundnr.: 13/5325/1/17
Form: Schale
Typ: weitmundig
Variante: horizontal abgestrichene Lippe
Typenbezeichnung: S4D
Erhaltungszustand: abgerieben
Fabrikat: 80
Maße (cm):
Wandstärke: 0,6
Dm. (Rand): 26
Dm. (Rand, erhalten in %): 5

Kat.-Nr. 815
Fundnr.: 13/5325/1/18
Form: Schale
Typ: kalottenförmig
Variante: regelmäßig gerundete Lippe
Typenbezeichnung: S1A
Erhaltungszustand: abgerieben
Fabrikat: 19
Beschreibung: Dm. Rand < 5%, daher unsicher
Maße (cm):
Wandstärke: 0,85
Dm. (Rand): 20
Dm. (Rand, erhalten in %): 3,5

Kat.-Nr. 816 Taf. 29.816
Fundnr.: 13/5325/1/34
Form: Schale
Typ: weitmundig
Variante: regelmäßig gerundete Lippe
Typenbezeichnung: S4A
Handhabe/Verzierung: mit randständigem H2A
Erhaltungszustand: abgerieben
Fabrikat: 29
Beschreibung: Dm. Rand < 5%, daher unsicher
Maße (cm):
Wandstärke: 0,6
Dm. (Rand, innen): 40
Dm. (Rand, innen, erhalten in %): 4,6

Kat.-Nr. 817
Fundnr.: 13/5325/1/35
Form: Schale
Typ: weitmundig
Variante: außen verdickte Lippe
Typenbezeichnung: S4I
Erhaltungszustand: abgerieben
Fabrikat: 53
Maße (cm):
Wandstärke: 0,6
Dm. (Rand): 18
Dm. (Rand, erhalten in %): 5

Kat.-Nr. 818
Fundnr.: 13/5325/1/37
Form: Schale
Typ: kalottenförmig
Variante: regelmäßig gerundete Lippe
Typenbezeichnung: S1A
Erhaltungszustand: abgerieben, sekundär verbrannt
Fabrikat: 84
Maße (cm):
Wandstärke: 0,6
Dm. (Rand): 16
Dm. (Rand, erhalten in %): 8

Kat.-Nr. 819
Fundnr.: 13/5325/1/38
Form: Schale
Typ: weitmundig
Variante: außen verdickte Lippe
Typenbezeichnung: S4I
Handhabe/Verzierung: mit WS3
Erhaltungszustand: abgerieben
Fabrikat: 55
Maße (cm):
Wandstärke: 0,5
Dm. (Rand): 26
Dm. (Durchlochung): 0,4
Dm. (Rand, erhalten in %): 12

Kat.-Nr. 820 Taf. 29.820
Fundnr.: 13/5325/1/39
Form: Schale
Typ: kalottenförmig
Variante: regelmäßig gerundete Lippe
Typenbezeichnung: S1A
Erhaltungszustand: abgerieben, sekundär verbrannt
Fabrikat: 57
Maße (cm):
Wandstärke: 0,9
Dm. (Rand): 32
Dm. (Rand, erhalten in %): 5,7

Kat.-Nr. 821
Fundnr.: 13/5325/1/40
Form: Schale
Typ: kalottenförmig
Variante: regelmäßig gerundete Lippe
Typenbezeichnung: S1A
Erhaltungszustand: abgerieben, sekundär verbrannt
Fabrikat: 18
Maße (cm):
Wandstärke: 1,1
Dm. (Rand): 40
Dm. (Rand, erhalten in %): 5,8

Kat.-Nr. 822
Fundnr.: 13/5325/1/48
Form: Schale
Typ: kalottenförmig
Variante: schräg nach außen abgestrichener Rand
Typenbezeichnung: S1H
Erhaltungszustand: gut
Fabrikat: 37
Beschreibung: Dm. Rand nicht ermittelbar
Maße (cm):
Wandstärke: 1

Kat.-Nr. 823
Fundnr.: 13/5325/1/51
Form: Schale
Typ: weitmundig
Variante: regelmäßig gerundete Lippe
Typenbezeichnung: S4A
Erhaltungszustand: gut
Fabrikat: 27
Beschreibung: Dm. Rand < 5%, daher unsicher
Maße (cm):
Wandstärke: 0,7
Dm. (Rand): 24
Dm. (Rand, erhalten in %): 3,8

Kat.-Nr. 824
Fundnr.: 13/5325/1/52
Form: Schale
Typ: kalottenförmig
Variante: regelmäßig gerundete Lippe
Typenbezeichnung: S1A
Erhaltungszustand: abgerieben, sekundär verbrannt
Fabrikat: 19
Beschreibung: Dm. Rand < 5%, daher unsicher
Maße (cm):
Wandstärke: 0,6
Dm. (Rand): 24
Dm. (Rand, erhalten in %): 2,5

Töpfe

Kat.-Nr. 825 Taf. 29.825
Fundnr.: 13/5325/1/23
Form: Topf
Typ: steil konkave Wandung
Variante: regelmäßig gerundete Lippe
Typenbezeichnung: T2A
Handhabe/Verzierung: mit WS1
Erhaltungszustand: abgerieben
Fabrikat: 57
Beschreibung: Weißbemalung in Form eines horizontalen Linienbündels unterhalb des Randes
Maße (cm):
Wandstärke: 0,6
Dm. (Rand): 10
Dm. (Rand, erhalten in %): 12,5

Kat.-Nr. 826
Fundnr.: 13/5325/1/36
Form: Topf
Typ: steil konkave Wandung
Variante: regelmäßig gerundete Lippe
Typenbezeichnung: T2A
Handhabe/Verzierung: mit WS4
Erhaltungszustand: abgerieben
Fabrikat: 17
Maße (cm):
Wandstärke: 0,8
Dm. (Rand): 22
Dm. (Rand, erhalten in %): 12

Kat.-Nr. 827
Fundnr.: 13/5325/1/50
Form: Topf
Typ: steil konkave Wandung
Variante: regelmäßig gerundete Lippe
Typenbezeichnung: T2A
Erhaltungszustand: sekundär verbrannt
Fabrikat: 17
Maße (cm):
Wandstärke: 0,4
Dm. (Rand): 14
Dm. (Rand, erhalten in %): 8

Engmundige Gefäße

Kat.-Nr. 828
Fundnr.: 13/5325/1/4
Form: Engmundig
Typ: Hals steil konkav
Variante: regelmäßig gerundete Lippe
Typenbezeichnung: E1A
Erhaltungszustand: abgerieben
Fabrikat: 100
Beschreibung: Dm. Rand < 5%, daher unsicher
Maße (cm):
Wandstärke: 0,5
Dm. (Rand): 14
Dm. (Rand, erhalten in %): 4

Kat.-Nr. 829
Fundnr.: 13/5325/1/15
Form: Engmundig
Typ: Hals konisch einziehend
Variante: spitz ausgezogene Lippe
Typenbezeichnung: E2B
Erhaltungszustand: abgerieben
Fabrikat: 30
Maße (cm):
Wandstärke: 0,65
Dm. (Rand): 12
Dm. (Rand, erhalten in %): 7,5

Kat.-Nr. 830
Fundnr.: 13/5325/1/20
Form: Engmundig
Typ: Hals steil konkav
Variante: leicht verdickte Lippe
Typenbezeichnung: E1C
Erhaltungszustand: abgerieben
Fabrikat: 78
Maße (cm):
Wandstärke: 0,4
Dm. (Rand): 15
Dm. (Rand, erhalten in %): 6

Halsgefäße

Kat.-Nr. 831
Fundnr.: 13/5325/1/11
Form: Halsgefäß
Typ: geschwungene Wandung
Variante: regelmäßig gerundete Lippe
Typenbezeichnung: Hg2A
Erhaltungszustand: sekundär verbrannt
Fabrikat: 100
Maße (cm):
Wandstärke: 0,7
Dm. (Rand): 14
Dm. (Rand, erhalten in %): 8

Kat.-Nr. 832
Fundnr.: 13/5325/1/44
Form: Halsgefäß
Typ: geschwungene Wandung
Variante: regelmäßig gerundete Lippe
Typenbezeichnung: Hg2A
Erhaltungszustand: sekundär verbrannt
Fabrikat: 100
Maße (cm):
Wandstärke: 0,3

Dm. (Rand): 12
Dm. (Rand, erhalten in %): 9

Kat.-Nr. 833 Taf. 29.833
Fundnr.: 13/5325/1/45
Form: Halsgefäß
Typ: gerade Wandung
Variante: ausbiegender Rand
Typenbezeichnung: Hg1S
Erhaltungszustand: abgerieben
Fabrikat: 112
Maße (cm):
Wandstärke: 1,2
Dm. (Rand): 60
Dm. (Rand, erhalten in %): 7

Kat.-Nr. 834
Fundnr.: 13/5325/1/49
Form: Halsgefäß
Typ: geschwungene Wandung
Variante: regelmäßig gerundete Lippe
Typenbezeichnung: Hg2A
Erhaltungszustand: sekundär verbrannt
Fabrikat: 49
Maße (cm):
Wandstärke: 0,3
Dm. (Rand): 16
Dm. (Rand, erhalten in %): 7,5

Kat.-Nr. 835 Taf. 29.835
Fundnr.: 13/5325/1/53
Form: Halsgefäß
Typ: gerade Wandung
Variante: außen verdickte Lippe
Typenbezeichnung: Hg1I
Erhaltungszustand: abgerieben
Fabrikat: 15
Maße (cm):
Wandstärke: 1
Dm. (Rand): 22
Dm. (Rand, erhalten in %): 6

Kannen

Kat.-Nr. 836
Fundnr.: 13/5325/1/1
Form: Kanne
Typ: Schnabelkanne
Typenbezeichnung: Ka2
Erhaltungszustand: gut
Fabrikat: 29
Maße (cm):
Wandstärke: 0,5

Kat.-Nr. 837
Fundnr.: 13/5325/1/7
Form: Kanne
Typ: unbestimmbar
Variante: unbestimmbar
Typenbezeichnung: Ka0
Handhabe/Verzierung: mit leicht überrandständigem H1A
Erhaltungszustand: sekundär verbrannt
Fabrikat: 57
Maße (cm):
Wandstärke: 0,5
Dm. (Rand, innen): 7
Dm. (Rand, innen, erhalten in %): 17

Kat.-Nr. 838
Fundnr.: 13/5325/1/12
Form: Kanne
Typ: unbestimmbar
Variante: unbestimmbar
Typenbezeichnung: Ka0
Handhabe/Verzierung: mit WS4
Erhaltungszustand: abgerieben
Fabrikat: 55
Maße (cm):
Wandstärke: 0,5
Dm. (Rand): 16
Dm. (Rand, erhalten in %): 7

Kat.-Nr. 839
Fundnr.: 13/5325/1/42
Form: Kanne
Typ: unbestimmbar
Variante: unbestimmbar
Typenbezeichnung: Ka0
Erhaltungszustand: abgerieben
Fabrikat: 84
Maße (cm):
Wandstärke: 0,5
Dm. (Rand): 16
Dm. (Rand, erhalten in %): 5

Kat.-Nr. 840 Taf. 30.840
Fundnr.: 13/5325/1/47
Form: Kanne
Typ: unbestimmbar
Variante: unbestimmbar
Typenbezeichnung: Ka0
Erhaltungszustand: abgerieben
Fabrikat: 103
Maße (cm):
Wandstärke: 0,5
Dm. (Rand): 10
Dm. (Rand, erhalten in %): 25

Böden

Kat.-Nr. 841
Fundnr.: 13/5325/1/31
Form: Boden
Typ: Scheibenbasis
Variante: gerade Standfläche
Typenbezeichnung: B2B
Erhaltungszustand: sekundär verbrannt
Fabrikat: 19
Maße (cm):
Wandstärke: 1,1
Dm. (Boden): 6
Dm. (Boden, erhalten in %): 18

Kat.-Nr. 842 Taf. 30.842
Fundnr.: 13/5325/1/33
Form: Boden
Typ: Rundboden
Variante: einfach
Typenbezeichnung: B6A
Erhaltungszustand: abgerieben, sekundär verbrannt
Fabrikat: 17
Beschreibung: Anpassung aus SE 5325 und 5490
Maße (cm):
Wandstärke: 0,6

Kat.-Nr. 843
Fundnr.: 13/5325/1/66
Form: Boden
Typ: Scheibenbasis
Variante: gerade Standfläche
Typenbezeichnung: B2B
Erhaltungszustand: gut
Fabrikat: 100
Beschreibung: Dm. Boden nicht ermittelbar
Maße (cm):
Länge: 2,4
Breite: 6,45
Wandstärke: 0,6

Kat.-Nr. 844
Fundnr.: 13/5325/1/67
Form: Boden
Typ: Rundboden
Variante: unbestimmbar
Typenbezeichnung: B60
Erhaltungszustand: abgerieben
Fabrikat: 61
Maße (cm):
Wandstärke: 1

Deckel

Kat.-Nr. 845 Taf. 30.845
Fundnr.: 13/5325/1/56
Form: Deckel
Typ: Flachdeckel
Variante: unverziert
Typenbezeichnung: De2A
Handhabe/Verzierung: mit WS4 auf der Oberseite
Erhaltungszustand: sekundär verbrannt
Fabrikat: 17
Beschreibung: Dm. Deckel < 5 %, daher unsicher

Maße (cm):
Wandstärke: 0,6
Dm. (Deckel): 18
Dm. (Deckel, erhalten in %): 3

Vertikalhenkel

Kat.-Nr. 846
Fundnr.: 13/5325/1/57
Form: Vertikalhenkel
Typ: ovaler Querschnitt
Variante: unverziert
Typenbezeichnung: H1A
Erhaltungszustand: sekundär verbrannt
Fabrikat: 18
Maße (cm):
Höhe: 1,2
Länge: erh. 2,5
Breite: 2,6

Kat.-Nr. 847
Fundnr.: 13/5325/1/61
Form: Horizontalhenkel
Typ: ovaler Querschnitt
Variante: unverziert
Typenbezeichnung: H1A
Erhaltungszustand: abgerieben
Fabrikat: 103
Maße (cm):
Höhe: erh. 0,9
Länge: erh. 4,2
Breite: 2,3

Vertikalhenkel

Kat.-Nr. 848
Fundnr.: 13/5325/1/25
Form: Vertikalhenkel
Typ: ovaler Querschnitt
Variante: unverziert
Typenbezeichnung: H1A
Erhaltungszustand: sekundär verbrannt
Fabrikat: 16
Maße (cm):
Höhe: 2,3
Länge: 7
Breite: 6,3

Kat.-Nr. 849
Fundnr.: 13/5325/1/27
Form: Vertikalhenkel
Typ: breiter Querschnitt
Variante: unverziert
Typenbezeichnung: H2A
Erhaltungszustand: abgerieben
Fabrikat: 38
Maße (cm):
Höhe: 0,9
Länge: 5,3
Breite: 3,4

Kat.-Nr. 850
Fundnr.: 13/5325/1/28
Form: Vertikalhenkel
Typ: breiter Querschnitt
Variante: unverziert
Typenbezeichnung: H2A
Erhaltungszustand: abgerieben
Fabrikat: 103
Maße (cm):
Höhe: 1,1
Länge: 4,8
Breite: 2,2

Kat.-Nr. 851 Taf. 30.851
Fundnr.: 13/5325/1/54
Form: Vertikalhenkel
Typ: ovaler Querschnitt
Variante: eingesattelt
Typenbezeichnung: H1C
Handhabe/Verzierung: mit unterrandständigem WS4
Erhaltungszustand: abgerieben
Fabrikat: 15
Maße (cm):
Höhe: 3,3
Länge: 9,1
Breite: 4,7

Kat.-Nr. 852
Fundnr.: 13/5325/1/55
Form: Vertikalhenkel
Typ: ovaler Querschnitt
Variante: unverziert
Typenbezeichnung: H1A
Erhaltungszustand: versintert
Fabrikat: 17
Maße (cm):
Höhe: 1,3
Länge: erh. 5
Breite: 2,3

Kat.-Nr. 853
Fundnr.: 13/5325/1/59
Form: Vertikalhenkel
Typ: ovaler Querschnitt
Variante: unverziert
Typenbezeichnung: H1A
Erhaltungszustand: abgerieben
Fabrikat: 17
Maße (cm):
Höhe: 2,1
Länge: erh. 4,5
Breite: 3,5

Kat.-Nr. 854
Fundnr.: 13/5325/1/60
Form: Vertikalhenkel
Typ: Bandhenkel
Variante: eingesattelt
Typenbezeichnung: H3C
Erhaltungszustand: abgerieben
Fabrikat: 55
Maße (cm):
Höhe: 0,3
Länge: 2,6
Breite: 1,7

Kat.-Nr. 855
Fundnr.: 13/5325/1/62
Form: Vertikalhenkel
Typ: runder Querschnitt
Variante: unverziert
Typenbezeichnung: H8B
Erhaltungszustand: abgerieben
Fabrikat: 84
Beschreibung: wie WG 84, aber in rotbraun
Maße (cm):
Höhe: 2,1
Länge: erh. 4,6
Breite: 2,2

Kat.-Nr. 856
Fundnr.: 13/5325/1/63
Form: Vertikalhenkel
Typ: breiter Querschnitt
Variante: unverziert
Typenbezeichnung: H2A
Erhaltungszustand: abgerieben, sekundär verbrannt
Fabrikat: 20
Maße (cm):
Höhe: 1,1
Länge: erh. 4,3
Breite: 2,3

Kat.-Nr. 857
Fundnr.: 13/5325/1/64
Form: Vertikalhenkel
Typ: breiter Querschnitt
Variante: unverziert
Typenbezeichnung: H2A
Erhaltungszustand: abgerieben
Fabrikat: 32
Maße (cm):
Höhe: 1,6
Länge: erh. 2,8
Breite: 2,9

Füße

Kat.-Nr. 858 Taf. 30.858
Fundnr.: 13/5325/1/6
Form: Fuß
Typ: ausgezipfelte Standfläche
Variante: flache Basis
Typenbezeichnung: F3A
Handhabe/Verzierung: Ansatz an Dt
Erhaltungszustand: abgerieben
Fabrikat: 46
Maße (cm):
Höhe: 1,8
Länge: 7,9
Breite: 3,2
Breite (Standfläche): 5

Kat.-Nr. 859
Fundnr.: 13/5325/1/29
Form: Fuß
Typ: trapezförmig
Variante: flache Basis
Typenbezeichnung: F4A
Erhaltungszustand: abgerieben
Fabrikat: 91
Maße (cm):
Höhe: 1,8
Länge: erh. 4
Breite: 3,8
Breite (Standfläche): erh. 4,9

Kat.-Nr. 860 Taf. 30.860
Fundnr.: 13/5325/1/30
Form: Fuß
Typ: trapezförmig
Variante: flache Basis
Typenbezeichnung: F4A
Erhaltungszustand: gut
Fabrikat: 32
Maße (cm):
Höhe: 1,3
Länge: 3,7
Breite: 3,8

Kat.-Nr. 861 Taf. 30.861
Fundnr.: 13/5325/1/65
Form: Fuß
Typ: trapezförmig
Variante: gerade Standfläche
Typenbezeichnung: F4A
Erhaltungszustand: abgerieben
Fabrikat: 100
Maße (cm):
Höhe: 1,4
Länge: erh. 4
Breite: 2,5
Breite (Standfläche): 2,8

Randfragmente

Kat.-Nr. 862
Fundnr.: 13/5325/1/2
Form: Randfragment
Typ: unbestimmbar
Variante: horizontal abgestrichene Lippe
Typenbezeichnung: R0D
Erhaltungszustand: versintert
Fabrikat: 40
Maße (cm):
Wandstärke: 0,6
Dm. (Rand): 18
Dm. (Rand, erhalten in %): 7

Kat.-Nr. 863
Fundnr.: 13/5325/1/3
Form: Randfragment
Typ: unbestimmbar
Variante: nach innen verdickte Lippe
Typenbezeichnung: R0U
Erhaltungszustand: abgerieben
Fabrikat: 27
Beschreibung: Dm. Rand < 5%, daher unsicher
Maße (cm):
Dm. (Rand): 52
Dm. (Rand, erhalten in %): 2,5

Kat.-Nr. 864
Fundnr.: 13/5325/1/5
Form: Randfragment
Typ: unbestimmbar
Variante: ausbiegender Rand
Typenbezeichnung: R0S
Erhaltungszustand: abgerieben
Fabrikat: 100
Maße (cm):
Wandstärke: 0,5
Dm. (Rand): 14
Dm. (Rand, erhalten in %): 9

Kat.-Nr. 865
Fundnr.: 13/5325/1/16
Form: Randfragment
Typ: unbestimmbar
Variante: regelmäßig gerundete Lippe
Typenbezeichnung: R0A
Erhaltungszustand: abgerieben
Fabrikat: 33
Maße (cm):
Wandstärke: 0,7
Dm. (Rand): 24
Dm. (Rand, erhalten in %): 3,8

Kat.-Nr. 866
Fundnr.: 13/5325/1/22
Form: Randfragment
Typ: unbestimmbar
Variante: horizontal abgestrichene Lippe
Typenbezeichnung: R0D
Erhaltungszustand: abgerieben
Fabrikat: 30
Maße (cm):
Wandstärke: 0,7
Dm. (Rand): 42
Dm. (Rand, erhalten in %): 3,1

Kat.-Nr. 867
Fundnr.: 13/5325/1/43
Form: Randfragment
Typ: unbestimmbar
Variante: außen verdickte Lippe
Typenbezeichnung: R0I
Erhaltungszustand: gut
Fabrikat: 40
Maße (cm):
Wandstärke: 0,7
Dm. (Rand): 13
Dm. (Rand, erhalten in %): 9

SE 5326

Füße

Kat.-Nr. 868 Taf. 31.868
Fundnr.: 13/5326/1/1
Form: Fuß
Typ: gerade Standfläche
Variante: gerundeter Übergang
Typenbezeichnung: F1B
Erhaltungszustand: gut
Fabrikat: 44
Beschreibung: abgerundete Standfläche
Maße (cm):
Höhe: 1,6
Länge: erh. 6,5
Breite: 4,6

SE 5329

Dreifußtöpfe

Kat.-Nr. 869 Taf. 31.869
Fundnr.: 13/5329/1/4
Form: Dreifußtopf
Typ: sanft geschwungene Wandung
Variante: regelmäßig gerundete Lippe
Typenbezeichnung: Dt1A
Handhabe/Verzierung: mit 2 Kn4 auf der Gefäßseite
Erhaltungszustand: sekundär verbrannt
Fabrikat: 77
Maße (cm):
Wandstärke: 0,6
Dm. (Rand): 12
Dm. (Durchlochung): 1,2
Dm. (Rand, erhalten in %): 29

Vertikalhenkel

Kat.-Nr. 870
Fundnr.: 13/5329/1/1
Form: Vertikalhenkel
Typ: Bandhenkel
Variante: unverziert
Typenbezeichnung: H3A
Handhabe/Verzierung: vermutlich randständig
Erhaltungszustand: sekundär verbrannt
Fabrikat: 103
Beschreibung: Henkel von einer Schale?
Maße (cm):
Höhe: 1,1
Länge: erh. 3,4
Breite: 1,7

Kat.-Nr. 871
Fundnr.: 13/5329/1/2
Form: Vertikalhenkel
Typ: Bandhenkel
Variante: unverziert
Typenbezeichnung: H3A
Erhaltungszustand: gut
Fabrikat: 29
Maße (cm):
Höhe: 0,9
Länge: erh. 4,2
Breite: 2,9

Kat.-Nr. 872
Fundnr.: 13/5329/1/3
Form: Vertikalhenkel
Typ: runder Querschnitt
Variante: unverziert
Typenbezeichnung: H8B
Erhaltungszustand: sekundär verbrannt
Fabrikat: 84
Maße (cm):
Höhe: 1,1
Länge: erh. 3,6
Breite: 1,3

Charakteristische Wandfragmente

Kat.-Nr. 873 Taf. 31.873
Fundnr.: 13/5329/1/6
Form: charakteristisches Wandfragment
Typ: bemalt
Typenbezeichnung: WS1
Handhabe/Verzierung: mit WS4
Erhaltungszustand: sekundär verbrannt
Fabrikat: 33
Beschreibung: Weißbemalung (Linienbündel)
Maße (cm):
Wandstärke: 0,3

SE 5476

Charakteristische Wandfragmente

Kat.-Nr. 874 Taf. 31.874
Fundnr.: 14/5476/1/2
Form: charakteristisches Wandfragment
Typ: bemalt
Typenbezeichnung: WS1
Erhaltungszustand: abgerieben
Fabrikat: 55
Beschreibung: Weißbemalung; sich kreuzende Linienbündel im oberen Bereich des Gefäßbauches
Maße (cm):
Wandstärke: 0,4

SE 5490

Grifflappen

Kat.-Nr. 875 Taf. 31.875
Fundnr.: 14/5490/1/1
Form: Grifflappen
Typ: trapezförmig
Typenbezeichnung: La3
Erhaltungszustand: sekundär verbrannt
Fabrikat: 23
Beschreibung: Ansatz an R0T
Maße (cm):
Höhe: 2,3
Länge: 7,6
Breite: 7,2
Wandstärke: 1,4

Kat.-Nr. 876
Fundnr.: 14/5490/1/75
Form: Grifflappen
Typ: unbestimmbar
Typenbezeichnung: La0
Erhaltungszustand: sekundär verbrannt
Fabrikat: 38
Maße (cm):
Höhe: erh. 2,2

Kat.-Nr. 877 Taf. 32.877
Fundnr.: 14/5490/1/90
Form: Sonderform

Typ: rechtwinklig, flach, gerade Seiten
Typenbezeichnung: SF6
Erhaltungszustand: abgerieben
Fabrikat: 103
Beschreibung: Orientierung unklar, da Fragment zu klein
Maße (cm):
Länge: 2,9
Breite: erh. 3
Wandstärke: 0,9

Schalen

Kat.-Nr. 878 Taf. 32.878
Fundnr.: 14/5490/1/4
Form: Schale
Typ: weitmundig
Variante: nach innen verdickte Lippe
Typenbezeichnung: S4U
Erhaltungszustand: sekundär verbrannt
Fabrikat: 103
Maße (cm):
Wandstärke: 0,4
Dm. (Rand): 20
Dm. (Rand, erhalten in %): 12

Kat.-Nr. 879
Fundnr.: 14/5490/1/5
Form: Schale
Typ: weitmundig
Variante: gerollter Rand
Typenbezeichnung: S4Q
Erhaltungszustand: sekundär verbrannt
Fabrikat: 49
Maße (cm):
Wandstärke: 0,8
Dm. (Rand): 18
Dm. (Rand, erhalten in %): 9

Kat.-Nr. 880 Taf. 32.880
Fundnr.: 14/5490/1/10
Form: Schale
Typ: kalottenförmig
Variante: horizontal abgestrichene Lippe
Typenbezeichnung: S1D
Erhaltungszustand: gut
Fabrikat: 27
Maße (cm):
Wandstärke: 0,75
Dm. (Rand): 30
Dm. (Rand, erhalten in %): 5

Kat.-Nr. 881
Fundnr.: 14/5490/1/12
Form: Schale
Typ: sanft geschwungene Wandung
Variante: regelmäßig gerundete Lippe
Typenbezeichnung: S5A
Erhaltungszustand: sekundär verbrannt
Fabrikat: 18
Beschreibung: Dm. Rand < 5 %, daher unsicher
Maße (cm):
Wandstärke: 0,8
Dm. (Rand): 46
Dm. (Rand, erhalten in %): 3,6

Kat.-Nr. 882
Fundnr.: 14/5490/1/13
Form: Schale
Typ: weitmundig
Variante: horizontal abgestrichene Lippe
Typenbezeichnung: S1D
Erhaltungszustand: abgerieben
Fabrikat: 80
Maße (cm):
Wandstärke: 0,85
Dm. (Rand): 22
Dm. (Rand, erhalten in %): 7

Kat.-Nr. 883
Fundnr.: 14/5490/1/17
Form: Schale
Typ: sanft geschwungene Wandung
Variante: regelmäßig gerundete Lippe
Typenbezeichnung: S5A
Erhaltungszustand: abgerieben
Fabrikat: 30
Maße (cm):
Wandstärke: 0,7
Dm. (Rand): 13
Dm. (Rand, erhalten in %): 12

Kat.-Nr. 884
Fundnr.: 14/5490/1/22
Form: Schale
Typ: Knickrandschale
Variante: spitz ausgezogene Lippe
Typenbezeichnung: S3B
Erhaltungszustand: abgerieben
Fabrikat: 50
Maße (cm):
Wandstärke: 0,5
Dm. (Rand): 22
Dm. (Rand, erhalten in %): 5

Kat.-Nr. 885
Fundnr.: 14/5490/1/60
Form: Schale
Typ: kalottenförmig
Variante: regelmäßig gerundete Lippe
Typenbezeichnung: S1A
Erhaltungszustand: sekundär verbrannt
Fabrikat: 37
Maße (cm):
Wandstärke: 1,2
Dm. (Rand): 32
Dm. (Rand, erhalten in %): 5,5

Kat.-Nr. 886 Taf. 32.886
Fundnr.: 14/5490/1/62
Form: Schale
Typ: kalottenförmig

Variante: nach innen verdickte Lippe
Typenbezeichnung: S1U
Erhaltungszustand: sekundär verbrannt
Fabrikat: 37
Beschreibung: Dm. Rand < 5 %, daher unsicher
Maße (cm):
Wandstärke: 1,1
Dm. (Rand): 36
Dm. (Rand, erhalten in %): 3,5

Kat.-Nr. 887
Fundnr.: 14/5490/1/67
Form: Schale
Typ: weitmundig
Variante: spitz ausgezogene Lippe
Typenbezeichnung: S4B
Erhaltungszustand: sekundär verbrannt
Fabrikat: 33
Beschreibung: Dm. Rand < 5%, daher unsicher
Maße (cm):
Wandstärke: 0,6
Dm. (Rand): 24
Dm. (Rand, erhalten in %): 4

Kat.-Nr. 888 Taf. 32.888
Fundnr.: 14/5490/1/82
Form: Schüssel
Typ: steile Wandung
Variante: regelmäßig gerundete Lippe
Typenbezeichnung: Sch3A
Erhaltungszustand: sekundär verbrannt
Fabrikat: 51
Beschreibung: Dm. Rand < 5%, daher unsicher
Maße (cm):
Wandstärke: 1,2
Dm. (Rand): 46
Dm. (Rand, erhalten in %): 3,5

Kat.-Nr. 889
Fundnr.: 14/5490/1/84
Form: Schale
Typ: weitmundig
Variante: regelmäßig gerundete Lippe
Typenbezeichnung: S4A
Erhaltungszustand: sekundär verbrannt
Fabrikat: 53
Beschreibung: Dm. Rand < 5%, daher unsicher
Maße (cm):
Wandstärke: 0,65
Dm. (Rand): 16
Dm. (Rand, erhalten in %): 4

Kat.-Nr. 890
Fundnr.: 14/5490/1/86
Form: Schale
Typ: sanft geschwungene Wandung
Variante: regelmäßig gerundete Lippe
Typenbezeichnung: S5A
Erhaltungszustand: abgerieben
Fabrikat: 24
Beschreibung: Dm. Rand < 5%, daher unsicher
Maße (cm):
Wandstärke: 0,55
Dm. (Rand): 18
Dm. (Rand, erhalten in %): 4

Kat.-Nr. 891
Fundnr.: 14/5490/1/87
Form: Schale
Typ: kalottenförmig
Variante: nach innen verdickte Lippe
Typenbezeichnung: S1U
Erhaltungszustand: sekundär verbrannt
Fabrikat: 37
Beschreibung: Dm. Rand nicht ermittelbar
Maße (cm):
Wandstärke: 0,8

Kat.-Nr. 892
Fundnr.: 14/5490/1/91
Form: Schale
Typ: sanft geschwungene Wandung
Variante: spitz ausgezogene Lippe
Typenbezeichnung: S5B
Erhaltungszustand: abgerieben
Fabrikat: 58
Maße (cm):
Wandstärke: 0,5
Dm. (Rand): 22
Dm. (Rand, erhalten in %): 6

Kat.-Nr. 893
Fundnr.: 14/5490/1/94
Form: Schale
Typ: weitmundig
Variante: regelmäßig gerundete Lippe
Typenbezeichnung: S4A
Erhaltungszustand: sekundär verbrannt
Fabrikat: 55
Beschreibung: Dm. Rand < 5%, daher unsicher
Maße (cm):
Wandstärke: 0,8
Dm. (Rand): 18
Dm. (Rand, erhalten in %): 3

Kat.-Nr. 894
Fundnr.: 14/5490/1/95
Form: Schale
Typ: kalottenförmig
Variante: regelmäßig gerundete Lippe
Typenbezeichnung: S1A
Erhaltungszustand: sekundär verbrannt
Fabrikat: 55
Maße (cm):
Wandstärke: 1,4
Dm. (Rand): 24
Dm. (Rand, erhalten in %): 5

Kat.-Nr. 895 Taf. 32.895
Fundnr.: 14/5490/1/96
Form: Schüssel
Typ: steile Wandung

Variante: regelmäßig gerundete Lippe
Typenbezeichnung: Sch3A
Erhaltungszustand: sekundär verbrannt
Fabrikat: 37
Maße (cm):
Wandstärke: 1,3
Dm. (Rand): 50
Dm. (Rand, erhalten in %): 6

Kat.-Nr. 896
Fundnr.: 14/5490/1/131
Form: Schale
Typ: sanft geschwungene Wandung
Variante: regelmäßig gerundete Lippe
Typenbezeichnung: S5A
Erhaltungszustand: abgerieben
Fabrikat: 24
Maße (cm):
Wandstärke: 0,6
Dm. (Rand): 32
Dm. (Rand, erhalten in %): 7

Kat.-Nr. 897
Fundnr.: 14/5490/1/133
Form: Schale
Typ: sanft geschwungene Wandung
Variante: regelmäßig gerundete Lippe
Typenbezeichnung: S5A
Erhaltungszustand: abgerieben
Fabrikat: 31
Maße (cm):
Wandstärke: 0,5
Dm. (Rand): 12
Dm. (Rand, erhalten in %): 14,5

Kat.-Nr. 898
Fundnr.: 14/5490/1/137
Form: Schale
Typ: sanft geschwungene Wandung
Variante: regelmäßig gerundete Lippe
Typenbezeichnung: S5A
Erhaltungszustand: abgerieben
Fabrikat: 24
Maße (cm):
Wandstärke: 1
Dm. (Rand): 20
Dm. (Rand, erhalten in %): 7

Töpfe

Kat.-Nr. 899 Taf. 32.899
Fundnr.: 14/5490/1/2
Form: Topf
Typ: steile Wandung
Variante: regelmäßig gerundete Lippe
Typenbezeichnung: T6A
Erhaltungszustand: abgerieben
Fabrikat: 49
Beschreibung: Dm. Rand < 5%, daher unsicher
Maße (cm):
Wandstärke: 1,1
Dm. (Rand): 30
Dm. (Rand, erhalten in %): 4

Engmundige Gefäße

Kat.-Nr. 900
Fundnr.: 14/5490/1/15
Form: Engmundig
Typ: Hals konisch einziehend
Variante: leicht verdickte Lippe
Typenbezeichnung: E2C
Erhaltungszustand: abgerieben
Fabrikat: 24
Beschreibung: leicht oval
Maße (cm):
Wandstärke: 0,6
Dm. (Rand): 13
Dm. (Rand, erhalten in %): 10

Kat.-Nr. 901
Fundnr.: 14/5490/1/19
Form: Engmundig
Typ: Hals konisch einziehend
Variante: spitz ausgezogene Lippe
Typenbezeichnung: E2B
Erhaltungszustand: versintert
Fabrikat: 24
Maße (cm):
Wandstärke: 0,6
Dm. (Rand): 12
Dm. (Rand, erhalten in %): 7

Kat.-Nr. 902
Fundnr.: 14/5490/1/23
Form: Engmundig
Typ: Hals konisch einziehend
Variante: regelmäßig gerundete Lippe
Typenbezeichnung: E2A
Erhaltungszustand: abgerieben
Fabrikat: 17
Maße (cm):
Wandstärke: 0,8
Dm. (Rand): 22
Dm. (Rand, erhalten in %): 5

Kat.-Nr. 903
Fundnr.: 14/5490/1/43
Form: Engmundig
Typ: Hals steil konkav
Variante: nach innen geschwollener Rand
Typenbezeichnung: E1F
Erhaltungszustand: abgerieben
Fabrikat: 78
Maße (cm):
Wandstärke: 0,6
Dm. (Rand): 14
Dm. (Rand, erhalten in %): 8

Kat.-Nr. 904
Fundnr.: 14/5490/1/44
Form: Engmundig

Typ: Hals steil konkav
Variante: regelmäßig gerundete Lippe
Typenbezeichnung: E1A
Erhaltungszustand: abgerieben
Fabrikat: 78
Maße (cm):
Wandstärke: 0,5
Dm. (Rand): 14
Dm. (Rand, erhalten in %): 5

Kat.-Nr. 905
Fundnr.: 14/5490/1/48
Form: Engmundig
Typ: Hals konisch einziehend
Variante: regelmäßig gerundete Lippe
Typenbezeichnung: E2A
Erhaltungszustand: abgerieben
Fabrikat: 82
Maße (cm):
Wandstärke: 0,3
Dm. (Rand): 11
Dm. (Rand, erhalten in %): 10

Kat.-Nr. 906
Fundnr.: 14/5490/1/50
Form: Engmundig
Typ: Hals steil konkav
Variante: spitz ausgezogene Lippe
Typenbezeichnung: E1B
Erhaltungszustand: abgerieben
Fabrikat: 82
Maße (cm):
Wandstärke: 0,45
Dm. (Rand): 8
Dm. (Rand, erhalten in %): 10

Kat.-Nr. 907
Fundnr.: 14/5490/1/61
Form: Engmundig
Typ: Hals konisch einziehend
Variante: regelmäßig gerundete Lippe
Typenbezeichnung: E2A
Erhaltungszustand: abgerieben
Fabrikat: 49
Beschreibung: leicht oval
Maße (cm):
Wandstärke: 0,9
Dm. (Rand): 30
Dm. (Rand, erhalten in %): 6

Kat.-Nr. 908
Fundnr.: 14/5490/1/70
Form: Engmundig
Typ: Hals konisch einziehend
Variante: leicht verdickte Lippe
Typenbezeichnung: E2C
Erhaltungszustand: gut
Fabrikat: 24
Beschreibung: Dm. Rand < 5%, daher unsicher
Maße (cm):
Wandstärke: 0,8
Dm. (Rand): 20
Dm. (Rand, erhalten in %): 3

Kat.-Nr. 909
Fundnr.: 14/5490/1/74
Form: Engmundig
Typ: Hals konisch einziehend
Variante: spitz ausgezogene Lippe
Typenbezeichnung: E2B
Erhaltungszustand: abgerieben
Fabrikat: 32
Maße (cm):
Wandstärke: 0,7
Dm. (Rand): 26
Dm. (Rand, erhalten in %): 5

Kat.-Nr. 910
Fundnr.: 14/5490/1/89
Form: Engmundig
Typ: Hals konisch einziehend
Variante: spitz ausgezogene Lippe
Typenbezeichnung: E2B
Erhaltungszustand: sekundär verbrannt
Fabrikat: 46
Maße (cm):
Wandstärke: 0,9
Dm. (Rand): 10
Dm. (Rand, erhalten in %): 6

Kat.-Nr. 911
Fundnr.: 14/5490/1/107
Form: Engmundig
Typ: Hals konisch einziehend
Variante: spitz ausgezogene Lippe
Typenbezeichnung: E2B
Erhaltungszustand: abgerieben
Fabrikat: 24
Maße (cm):
Wandstärke: 0,8
Dm. (Rand): 16
Dm. (Rand, erhalten in %): 5

Kat.-Nr. 912
Fundnr.: 14/5490/1/111
Form: Engmundig
Typ: Hals konisch einziehend
Variante: horizontal abgestrichene Lippe
Typenbezeichnung: E2D
Erhaltungszustand: abgerieben
Fabrikat: 47
Maße (cm):
Wandstärke: 0,8
Dm. (Rand): 10
Dm. (Rand, erhalten in %): 6

Kat.-Nr. 913
Fundnr.: 14/5490/1/113
Form: Engmundig
Typ: Hals steil konkav
Variante: regelmäßig gerundete Lippe
Typenbezeichnung: E1A
Erhaltungszustand: abgerieben

Fabrikat: 110
Maße (cm):
Wandstärke: 0,6
Dm. (Rand): 18
Dm. (Rand, erhalten in %): 7

Kat.-Nr. 914
Fundnr.: 14/5490/1/120
Form: Engmundig
Typ: Hals konisch einziehend
Variante: regelmäßig gerundete Lippe
Typenbezeichnung: E2A
Erhaltungszustand: abgerieben
Fabrikat: 22
Beschreibung: Dm. Rand < 5%, daher unsicher
Maße (cm):
Wandstärke: 0,6
Dm. (Rand): 22
Dm. (Rand, erhalten in %): 4,5

Halsgefäße

Kat.-Nr. 915 Taf. 33.915
Fundnr.: 14/5490/1/3
Form: Halsgefäß
Typ: geschwungene Wandung
Variante: regelmäßig gerundete Lippe
Typenbezeichnung: Hg2A
Erhaltungszustand: sekundär verbrannt
Fabrikat: 40
Beschreibung: leicht oval
Maße (cm):
Wandstärke: 0,6
Dm. (Rand): 10
Dm. (Rand, erhalten in %): 17

Kat.-Nr. 916 Taf. 33.916
Fundnr.: 14/5490/1/6
Form: Halsgefäß
Typ: geschwungene Wandung
Variante: horizontal abgestrichene Lippe
Typenbezeichnung: Hg2D
Handhabe/Verzierung: mit unterrandständigem WS4
Erhaltungszustand: sekundär verbrannt
Fabrikat: 24
Maße (cm):
Wandstärke: 0,7
Dm. (Rand): 26
Dm. (Rand, erhalten in %): 6

Kat.-Nr. 917
Fundnr.: 14/5490/1/11
Form: Halsgefäß
Typ: geschwungene Wandung
Variante: regelmäßig gerundete Lippe
Typenbezeichnung: Hg2A
Erhaltungszustand: sekundär verbrannt
Fabrikat: 49
Maße (cm):
Wandstärke: 0,3
Dm. (Rand): 10
Dm. (Rand, erhalten in %): 12

Kat.-Nr. 918
Fundnr.: 14/5490/1/65
Form: Halsgefäß
Typ: geschwungene Wandung
Variante: regelmäßig gerundete Lippe
Typenbezeichnung: Hg2A
Erhaltungszustand: sekundär verbrannt
Fabrikat: 100
Maße (cm):
Wandstärke: 0,6
Dm. (Rand): 10
Dm. (Rand, erhalten in %): 12

Kat.-Nr. 919 Taf. 33.919
Fundnr.: 14/5490/1/83
Form: Halsgefäß
Typ: gerade Wandung
Variante: ausbiegender Rand
Typenbezeichnung: Hg1S
Erhaltungszustand: sekundär verbrannt
Fabrikat: 112
Maße (cm):
Wandstärke: 1,6
Dm. (Rand): 30
Dm. (Rand, erhalten in %): 9,5

Kat.-Nr. 920
Fundnr.: 14/5490/1/108
Form: Halsgefäß
Typ: geschwungene Wandung
Variante: schräg nach außen abgestrichener und verdickter Rand
Typenbezeichnung: Hg2G
Erhaltungszustand: sekundär verbrannt
Fabrikat: 100
Maße (cm):
Wandstärke: 0,35
Dm. (Rand): 12
Dm. (Rand, erhalten in %): 9

Kat.-Nr. 921
Fundnr.: 14/5490/1/109
Form: Halsgefäß
Typ: geschwungene Wandung
Variante: schräg nach außen abgestrichener Rand
Typenbezeichnung: E2H
Erhaltungszustand: sekundär verbrannt
Fabrikat: 49
Maße (cm):
Wandstärke: 0,4
Dm. (Rand): 22
Dm. (Rand, erhalten in %): 5,5

Kat.-Nr. 922
Fundnr.: 14/5490/1/117
Form: Halsgefäß
Typ: geschwungene Wandung
Variante: außen verdickte Lippe
Typenbezeichnung: Hg2I
Erhaltungszustand: sekundär verbrannt
Fabrikat: 24

Maße (cm):
Wandstärke: 0,8
Dm. (Rand): 20
Dm. (Rand, erhalten in %): 7

Kannen

Kat.-Nr. 923
Fundnr.: 14/5490/1/24
Form: Kanne
Typ: Schnabelkanne
Typenbezeichnung: Ka2
Erhaltungszustand: sekundär verbrannt
Fabrikat: 55
Maße (cm):
Wandstärke: 0,6

Cheese pots

Kat.-Nr. 924 Taf. 33.924
Fundnr.: 14/5490/1/14
Form: Cheese pot
Typ: unbestimmbar
Variante: regelmäßig gerundete Lippe
Typenbezeichnung: Chb0A
Erhaltungszustand: abgerieben
Fabrikat: 44
Beschreibung: Durchlochungen kegelförmig von innen nach außen
Maße (cm):
Wandstärke: 0,9
Dm. (Rand): 10
Dm. (Durchlochung): 0,5–0,6
Dm. (Rand, erhalten in %): 13

Böden

Kat.-Nr. 925
Fundnr.: 14/5490/1/36
Form: Boden
Typ: Scheibenbasis
Variante: unbestimmbar
Typenbezeichnung: B20
Erhaltungszustand: sekundär verbrannt
Fabrikat: 58
Maße (cm):
Wandstärke: 0,7
Dm. (Boden): 15
Dm. (Boden, erhalten in %): 7,5

Kat.-Nr. 926
Fundnr.: 14/5490/1/37
Form: Boden
Typ: Scheibenbasis
Variante: eingewölbte Standfläche
Typenbezeichnung: B2A
Erhaltungszustand: sekundär verbrannt
Fabrikat: 72
Maße (cm):
Wandstärke: 0,6
Dm. (Boden): 10
Dm. (Boden, erhalten in %): 6,5

Kat.-Nr. 927
Fundnr.: 14/5490/1/39
Form: Boden
Typ: Scheibenbasis
Variante: eingewölbte Standfläche
Typenbezeichnung: B2A
Erhaltungszustand: sekundär verbrannt
Fabrikat: 24
Maße (cm):
Wandstärke: 0,8
Dm. (Boden): 12
Dm. (Boden, erhalten in %): 20

Kat.-Nr. 928
Fundnr.: 14/5490/1/55
Form: Boden
Typ: Scheibenbasis
Variante: eingewölbte Standfläche
Typenbezeichnung: B2A
Erhaltungszustand: abgerieben
Fabrikat: 47
Maße (cm):
Wandstärke: 0,5
Dm. (Boden): 12
Dm. (Boden, erhalten in %): 18

Kat.-Nr. 929
Fundnr.: 14/5490/1/56
Form: Boden
Typ: Scheibenbasis
Variante: gerade Standfläche
Typenbezeichnung: B2B
Erhaltungszustand: abgerieben
Fabrikat: 38
Maße (cm):
Wandstärke: 0,7
Dm. (Boden): 10
Dm. (Boden, erhalten in %): 8

Kat.-Nr. 930
Fundnr.: 14/5490/1/57
Form: Boden
Typ: Scheibenbasis
Variante: gerade Standfläche
Typenbezeichnung: B2B
Erhaltungszustand: abgerieben
Fabrikat: 38
Maße (cm):
Wandstärke: 0,7
Dm. (Boden): 7
Dm. (Boden, erhalten in %): 22

Kat.-Nr. 931
Fundnr.: 14/5490/1/59
Form: Boden
Typ: Scheibenbasis
Variante: eingewölbte Standfläche
Typenbezeichnung: B2A
Erhaltungszustand: abgerieben
Fabrikat: 21
Maße (cm):
Wandstärke: 0,6

Dm. (Boden): 11
Dm. (Boden, erhalten in %): 15

Kat.-Nr. 932
Fundnr.: 14/5490/1/69
Form: Boden
Typ: Scheibenbasis
Variante: gerade Standfläche
Typenbezeichnung: B2B
Erhaltungszustand: sekundär verbrannt
Fabrikat: 24
Maße (cm):
Wandstärke: 0,6
Dm. (Boden): 8
Dm. (Boden, erhalten in %): 18

Kat.-Nr. 933
Fundnr.: 14/5490/1/78
Form: Boden
Typ: Scheibenbasis
Variante: gerade Standfläche
Typenbezeichnung: B2B
Erhaltungszustand: abgerieben
Fabrikat: 46
Maße (cm):
Wandstärke: 0,7
Dm. (Boden): 11
Dm. (Boden, erhalten in %): 16

Kat.-Nr. 934
Fundnr.: 14/5490/1/104
Form: Boden
Typ: Scheibenbasis
Variante: gerade Standfläche
Typenbezeichnung: B2B
Erhaltungszustand: sekundär verbrannt
Fabrikat: 28
Maße (cm):
Wandstärke: 0,5
Dm. (Rand): 10
Dm. (Rand, erhalten in %): 11

Kat.-Nr. 935
Fundnr.: 14/5490/1/126
Form: Boden
Typ: Scheibenbasis
Variante: gerade Standfläche
Typenbezeichnung: B2B
Erhaltungszustand: versintert
Fabrikat: 41
Maße (cm):
Wandstärke: 0,6
Dm. (Boden): 6
Dm. (Boden, erhalten in %): 16

Kat.-Nr. 936
Fundnr.: 14/5490/1/128
Form: Boden
Typ: Scheibenbasis
Variante: gerade Standfläche
Typenbezeichnung: B2B
Erhaltungszustand: abgerieben
Fabrikat: 47
Maße (cm):
Wandstärke: 0,55
Dm. (Boden): 11
Dm. (Boden, erhalten in %): 19

Kat.-Nr. 937 Taf. 33.937
Fundnr.: 14/5490/1/129
Form: Boden
Typ: Standring
Typenbezeichnung: B3
Erhaltungszustand: abgerieben
Fabrikat: 48
Maße (cm):
Wandstärke: 0,8
Dm. (Boden): 10
Dm. (Boden, erhalten in %): 23

Kat.-Nr. 938
Fundnr.: 14/5490/1/130
Form: Boden
Typ: Scheibenbasis
Variante: gerade Standfläche
Typenbezeichnung: B2B
Erhaltungszustand: gut
Fabrikat: 46
Maße (cm):
Wandstärke: 1,2
Dm. (Boden): 9
Dm. (Boden, erhalten in %): 85

Deckel

Kat.-Nr. 939 Taf. 33.939
Fundnr.: 14/5490/1/77
Form: Deckel
Typ: Flachdeckel
Variante: verziert
Typenbezeichnung: De2B
Handhabe/Verzierung: mit Kn4 und WS2D
Erhaltungszustand: sekundär verbrannt
Fabrikat: 49
Maße (cm):
Wandstärke: 0,9
Dm. (Deckel): 14
Dm. (Deckel, erhalten in %): 11

Horizontalhenkel

Kat.-Nr. 940
Fundnr.: 14/5490/1/76
Form: Horizontalhenkel
Typ: breiter Querschnitt
Typenbezeichnung: H4
Erhaltungszustand: abgerieben
Fabrikat: 31
Beschreibung: schräg
Maße (cm):
Höhe: 1,7
Länge: erh. 2,7
Breite: 2,2

Vertikalhenkel

Kat.-Nr. 941
Fundnr.: 14/5490/1/25
Form: Vertikalhenkel
Typ: breiter Querschnitt
Variante: unverziert
Typenbezeichnung: H2A
Erhaltungszustand: sekundär verbrannt
Fabrikat: 29
Maße (cm):
Höhe: 1,4
Länge: erh. 7,9
Breite: 2,3

Kat.-Nr. 942
Fundnr.: 14/5490/1/28
Form: Vertikalhenkel
Typ: ovaler Querschnitt
Variante: unverziert
Typenbezeichnung: H1A
Erhaltungszustand: abgerieben
Fabrikat: 30
Maße (cm):
Höhe: 1,6
Länge: erh. 2,6
Breite: 2,6

Kat.-Nr. 943
Fundnr.: 14/5490/1/29
Form: Vertikalhenkel
Typ: ovaler Querschnitt
Variante: unverziert
Typenbezeichnung: H1A
Erhaltungszustand: sekundär verbrannt
Fabrikat: 20
Maße (cm):
Höhe: 2,3
Länge: erh. 4,6
Breite: 4,4

Kat.-Nr. 944
Fundnr.: 14/5490/1/30
Form: Vertikalhenkel
Typ: breiter Querschnitt
Variante: unverziert
Typenbezeichnung: H2A
Erhaltungszustand: abgerieben
Fabrikat: 78
Maße (cm):
Höhe: 1,6
Länge: erh. 0,7
Breite: 3,9
Wandstärke: 0,7

Kat.-Nr. 945
Fundnr.: 14/5490/1/97
Form: Vertikalhenkel
Typ: Bandhenkel
Variante: eingesattelt
Typenbezeichnung: H3C
Erhaltungszustand: sekundär verbrannt
Fabrikat: 33
Maße (cm):
Höhe: 1
Länge: erh. 3,2
Breite: 4,4
Wandstärke: 0,6

Kat.-Nr. 946
Fundnr.: 14/5490/1/100
Form: Vertikalhenkel
Typ: breiter Querschnitt
Variante: unverziert
Typenbezeichnung: H2A
Erhaltungszustand: sekundär verbrannt
Fabrikat: 17
Maße (cm):
Höhe: 1,4
Länge: erh. 5,5
Breite: 3,5

Kat.-Nr. 947
Fundnr.: 14/5490/1/114
Form: Vertikalhenkel
Typ: breiter Querschnitt
Variante: unverziert
Typenbezeichnung: H2A
Erhaltungszustand: abgerieben
Fabrikat: 59
Maße (cm):
Höhe: 1,2
Länge: erh. 3,2
Breite: 3,7

Kat.-Nr. 948
Fundnr.: 14/5490/1/121
Form: Vertikalhenkel
Typ: ovaler Querschnitt
Variante: unverziert
Typenbezeichnung: H1A
Erhaltungszustand: abgerieben
Fabrikat: 110
Maße (cm):
Höhe: 2,5
Länge: erh. 6,2
Breite: 2,6

Kat.-Nr. 949
Fundnr.: 14/5490/1/122
Form: Vertikalhenkel
Typ: breiter Querschnitt
Variante: unverziert
Typenbezeichnung: H2A
Erhaltungszustand: sekundär verbrannt
Fabrikat: 55
Beschreibung: die Seiten sind flach; der Henkel verjüngt sich
Maße (cm):
Höhe: 1,3
Länge: erh. 8,1
Breite: 2,2–2,7

Kat.-Nr. 950
Fundnr.: 14/5490/1/139
Form: Vertikalhenkel
Typ: breiter Querschnitt
Variante: unverziert
Typenbezeichnung: H2A
Handhabe/Verzierung: mit randständigem WS4
Erhaltungszustand: sekundär verbrannt
Fabrikat: 16
Maße (cm):
Höhe: 1,4
Länge: 3,6
Breite: 3,1
Wandstärke: 1

Kat.-Nr. 951
Fundnr.: 14/5490/1/140
Form: Vertikalhenkel
Typ: ovaler Querschnitt
Variante: unverziert
Typenbezeichnung: H2A
Erhaltungszustand: sekundär verbrannt
Fabrikat: 16
Maße (cm):
Höhe: 1,5
Länge: erh. 4,2
Breite: 2,9

Kat.-Nr. 952
Fundnr.: 14/5490/1/142
Form: Vertikalhenkel
Typ: ovaler Querschnitt
Variante: unverziert
Typenbezeichnung: H1A
Erhaltungszustand: gut
Fabrikat: 100
Maße (cm):
Höhe: 1,1
Länge: erh. 2,8
Breite: 1,6

Röhrenösen

Kat.-Nr. 953
Fundnr.: 14/5490/1/52
Form: Röhrenöse
Typ: einfacher Ösenabschluss
Typenbezeichnung: Ö2B
Erhaltungszustand: abgerieben
Fabrikat: 30
Maße (cm):
Höhe: 0,9
Länge: 2,7
Breite: 1,9
Dm. (Durchlochung): 0,65

Griffknubben

Kat.-Nr. 954
Fundnr.: 14/5490/1/31
Form: Griffknubbe
Typ: einfache Knubbe
Typenbezeichnung: G1
Erhaltungszustand: abgerieben
Fabrikat: 18
Maße (cm):
Höhe: 0,6
Länge: 3,2
Breite: 2,4

Kat.-Nr. 955
Fundnr.: 14/5490/1/32
Form: Griffknubbe
Typ: ausgezogen
Variante: dreieckige Form
Typenbezeichnung: G6B
Erhaltungszustand: sekundär verbrannt
Fabrikat: 39
Maße (cm):
Höhe: 1,5
Länge: 2,5
Breite: 2,5
Wandstärke: 0,5
Dm. (Fragmentmitte): 14
Dm. (Durchlochung): 0,6

Kat.-Nr. 956
Fundnr.: 14/5490/1/53
Form: Griffknubbe
Typ: hochgezogen
Typenbezeichnung: G5
Erhaltungszustand: abgerieben
Fabrikat: 38
Maße (cm):
Höhe: erh. 1,3
Länge: erh. 1,6
Wandstärke: 0,8
Dm. (Durchlochung): 0,55

Kat.-Nr. 957
Fundnr.: 14/5490/1/141
Form: Griffknubbe
Typ: gerade
Variante: kurz
Typenbezeichnung: G4k
Erhaltungszustand: sekundär verbrannt
Fabrikat: 17
Maße (cm):
Höhe: erh. 0,9
Länge: erh. 1,6
Breite: erh. 3

Füße

Kat.-Nr. 958 Taf. 34.958
Fundnr.: 14/5490/1/34
Form: Fuß
Typ: trapezförmig
Variante: gerade Standfläche
Typenbezeichnung: F4A
Erhaltungszustand: sekundär verbrannt
Fabrikat: 17
Maße (cm):
Höhe: 1,2

Länge: erh. 3,7
Breite: 2,9
Breite (Standfläche): 3,8

Kat.-Nr. 959 Taf. 34.959
Fundnr.: 14/5490/1/35
Form: Fuß
Typ: kegelförmig
Typenbezeichnung: F5
Erhaltungszustand: sekundär verbrannt
Fabrikat: 55
Beschreibung: eventuell von einem Yortan-Gefäß?
Maße (cm):
Höhe: 0,85
Länge: 1,5
Breite: 0,95

Kat.-Nr. 960
Fundnr.: 14/5490/1/101
Form: Fuß
Typ: breiter Querschnitt
Variante: gerundete Basis
Typenbezeichnung: F3B
Erhaltungszustand: sekundär verbrannt
Fabrikat: 18
Maße (cm):
Höhe: 1,2
Länge: erh. 4
Breite: 2,9
Breite (Standfläche): 3,5

Kat.-Nr. 961 Taf. 34.961
Fundnr.: 14/5490/1/102
Form: Fuß
Typ: ausgezipfelte Standfläche
Variante: gerundete Basis
Typenbezeichnung: F3B
Erhaltungszustand: gut
Fabrikat: 17
Maße (cm):
Höhe: 2,3
Länge: erh. 7,6
Breite: 4,2
Breite (Standfläche): 5,5

Kat.-Nr. 962 Taf. 34.962
Fundnr.: 14/5490/1/103
Form: Fuß
Typ: gerade Standfläche
Variante: gerundeter Übergang
Typenbezeichnung: F1B
Erhaltungszustand: versintert
Fabrikat: 104
Maße (cm):
Höhe: 2,5
Länge: erh. 6,3
Breite: 5,3

Kat.-Nr. 963
Fundnr.: 14/5490/1/143
Form: Fuß
Typ: ausgezipfelte Standfläche
Variante: flache Basis
Typenbezeichnung: F3A
Erhaltungszustand: sekundär verbrannt
Fabrikat: 32
Maße (cm):
Höhe: 1,7
Länge: erh. 5,9
Breite: 3,5
Breite (Standfläche): erh. 3,6

Kat.-Nr. 964 Taf. 34.964
Fundnr.: 14/5490/1/144
Form: Fuß
Typ: ausgezipfelte Standfläche
Variante: flache Basis
Typenbezeichnung: F3A
Erhaltungszustand: sekundär verbrannt
Fabrikat: 49
Maße (cm):
Höhe: 1
Länge: erh. 3,4
Breite: 2,2
Breite (Standfläche): 3,55

Charakteristische Wandfragmente

Kat.-Nr. 965 Taf. 34.965
Fundnr.: 14/5490/1/41
Form: charakteristisches Wandfragment
Typ: bemalt
Typenbezeichnung: WS1
Erhaltungszustand: sekundär verbrannt
Fabrikat: 33
Beschreibung: abgerieben

Kat.-Nr. 966 Taf. 34.966
Fundnr.: 14/5490/1/42
Form: charakteristisches Wandfragment
Typ: bemalt
Typenbezeichnung: WS1
Erhaltungszustand: abgerieben
Fabrikat: 33
Beschreibung: Weißbemalung (Linienbündel)
Maße (cm):
Wandstärke: 0,4

Kat.-Nr. 967 Taf. 34.967
Fundnr.: 14/5490/1/105
Form: charakteristisches Wandfragment
Typ: bemalt
Typenbezeichnung: WS1
Erhaltungszustand: sekundär verbrannt
Fabrikat: 33
Beschreibung: Weißbemalung (Linienbündel); Wandstärke nicht ermittelbar

Kat.-Nr. 968
Fundnr.: 14/5490/1/146
Form: charakteristisches Wandfragment
Typ: impressoverziert

Variante: Fingereindrücke
Typenbezeichnung: WS2A
Erhaltungszustand: abgerieben
Fabrikat: 59
Maße (cm):
Wandstärke: 0,55
Länge (Fingernägeleindrücke): 1–1,2

Kat.-Nr. 969
Fundnr.: 14/5490/1/147
Form: charakteristisches Wandfragment
Typ: impressoverziert
Variante: Fingereindrücke
Typenbezeichnung: WS2A
Erhaltungszustand: abgerieben
Fabrikat: 39
Maße (cm):
Wandstärke: 0,65
Länge (Fingernägeleindrücke): 0,6–0,8

Kat.-Nr. 970 Taf. 34.970
Fundnr.: 14/5490/1/148
Form: charakteristisches Wandfragment
Typ: bemalt
Typenbezeichnung: WS1
Erhaltungszustand: sekundär verbrannt
Fabrikat: 103
Beschreibung: Weißbemalung (Linienbündel); Wandstärke nicht ermittelbar

Randfragmente

Kat.-Nr. 971
Fundnr.: 14/5490/1/8
Form: Randfragment
Typ: unbestimmbar
Variante: ausbiegender verdickter Rand
Typenbezeichnung: R0L
Erhaltungszustand: sekundär verbrannt
Fabrikat: 38
Beschreibung: Dm. Rand < 5%, daher unsicher
Maße (cm):
Wandstärke: 0,5
Dm. (Rand): 20
Dm. (Rand, erhalten in %): 3

Kat.-Nr. 972
Fundnr.: 14/5490/1/64
Form: Randfragment
Typ: unbestimmbar
Variante: ausbiegender Rand
Typenbezeichnung: R0S
Erhaltungszustand: abgerieben
Fabrikat: 40
Beschreibung: Dm. Rand nicht ermittelbar
Maße (cm):
Wandstärke: 1,1

Kat.-Nr. 973
Fundnr.: 14/5490/1/92
Form: Randfragment
Typ: unbestimmbar
Variante: innen abgestrichene Lippe
Typenbezeichnung: R0N
Erhaltungszustand: sekundär verbrannt
Fabrikat: 24
Maße (cm):
Wandstärke: 0,65
Dm. (Rand): 10
Dm. (Rand, erhalten in %): 12

SE 5491

Engmundige Gefäße

Kat.-Nr. 974
Fundnr.: 14/5491/1/1
Form: Engmundig
Typ: Hals konisch einziehend
Variante: horizontal abgestrichene Lippe
Typenbezeichnung: E2D
Erhaltungszustand: gut
Fabrikat: 22
Maße (cm):
Wandstärke: 0,6
Dm. (Rand): 12
Dm. (Rand, erhalten in %): 8,4

SE 5497

Schale

Kat.-Nr. 975
Fundnr.: 14/5497/1/1
Form: Schale
Typ: kalottenförmig
Variante: abgerundeter Übergang zur Basis
Typenbezeichnung: S1A
Erhaltungszustand: sekundär verbrannt
Fabrikat: 37
Maße (cm):
Wandstärke: 0,9
Dm. (Rand): 30
Dm. (Rand, erhalten in %): 5

SE 5502

Vertikalhenkel

Kat.-Nr. 976
Fundnr.: 14/5502/1/1
Form: Vertikalhenkel
Typ: ovaler Querschnitt
Variante: unverziert
Typenbezeichnung: H1A
Erhaltungszustand: versintert
Fabrikat: nicht bestimmbar
Beschreibung: dunkle, feine Ware; feine Matrix, viel Glimmer, innen leicht rötlich
Maße (cm):
Höhe: 0,5
Länge: 1,9
Breite: 0,9

SE 5538

Schüsseln

Kat.-Nr. 977 Taf. 34.977
Fundnr.: 14/5538/1/1
Form: Schüssel
Typ: steile Wandung
Variante: regelmäßig gerundete Lippe
Typenbezeichnung: Sch3A
Handhabe/Verzierung: mit randständigem H1A
Erhaltungszustand: abgerieben
Fabrikat: 23
Maße (cm):
Höhe: 1,7
Länge: 7,1
Breite: 3,1
Wandstärke: 1,25
Dm. (Rand): 32
Dm. (Rand, erhalten in %): 8

SE 5573

Cheese pots

Kat.-Nr. 978 Taf. 34.978
Fundnr.: 14/5573/1/1
Form: Cheese pot
Typ: unbestimmbar
Variante: schräg nach außen abgestrichener und verdickter Rand
Typenbezeichnung: Chb0G
Erhaltungszustand: sekundär verbrannt
Fabrikat: 32
Beschreibung: gerader Randverlauf, daher Dm. Rand. nicht ermittelbar
Maße (cm):
Wandstärke: 0,65
Dm. (Durchlochung): 0,6

Kat.-Nr. 979 Taf. 35.979
Fundnr.: 14/5573/1/2
Form: Cheese pot
Typ: unbestimmbar
Variante: schräg nach außen abgestrichener und verdickter Rand
Typenbezeichnung: Chb0G
Erhaltungszustand: sekundär verbrannt
Fabrikat: 32
Maße (cm):
Wandstärke: 0,5
Dm. (Rand): 34
Dm. (Durchlochung): 0,4–0,5
Dm. (Rand, erhalten in %): 9

SE 5605

Schalen

Kat.-Nr. 980 Taf. 35.980
Fundnr.: 14/5605/1/2
Form: Schale
Typ: kalottenförmig
Variante: regelmäßig gerundete Lippe
Typenbezeichnung: S1A
Erhaltungszustand: versintert
Fabrikat: 31
Maße (cm):
Wandstärke: 1
Dm. (Rand): 28
Dm. (Rand, erhalten in %): 16

Randfragmente

Kat.-Nr. 981
Fundnr.: 14/5605/1/1
Form: Randfragment
Typ: unbestimmbar
Variante: unbestimmbar
Typenbezeichnung: R0
Erhaltungszustand: abgerieben
Fabrikat: 24
Maße (cm):
Wandstärke: 0,3
Dm. (Rand, Fragmentmitte): 8
Dm. (Rand, Fragmentmitte, erhalten in %): 8,5

Planierung ÇuHö Va/Vb

SE 5477

Schalen

Kat.-Nr. 982 Taf. 35.982; 46.1
Fundnr.: 14/5477/1/1
Form: Schale
Typ: weitmundig
Variante: schräg nach innen abgestrichene und verdickte Lippe
Typenbezeichnung: S4K
Erhaltungszustand: versintert
Fabrikat: 61
Maße (cm):
Wandstärke: 0,7
Dm. (Rand): 46
Dm. (Rand, erhalten in %): 5

Kat.-Nr. 983 Taf. 35.983
Fundnr.: 14/5477/1/3
Form: Schale
Typ: weitmundig
Variante: gerollter Rand
Typenbezeichnung: S4Q
Erhaltungszustand: abgerieben
Fabrikat: 28
Beschreibung: Dm. Rand < 5%, daher unsicher
Maße (cm):
Wandstärke: 1,1
Dm. (Rand): 50
Dm. (Rand, erhalten in %): 3,6

Kat.-Nr. 984 Taf. 35.984
Fundnr.: 14/5477/1/12
Form: Schale
Typ: kalottenförmig
Variante: regelmäßig gerundete Lippe
Typenbezeichnung: S1A
Erhaltungszustand: abgerieben
Fabrikat: 53
Maße (cm):
Wandstärke: 0,5
Dm. (Rand): 7
Dm. (Rand, erhalten in %): 29

Kat.-Nr. 985 Taf. 35.985
Fundnr.: 14/5477/1/13
Form: Schüssel
Typ: steile Wandung
Variante: regelmäßig gerundete Lippe
Typenbezeichnung: Sch3A
Handhabe/Verzierung: mit randständigem H2A
Erhaltungszustand: abgerieben
Fabrikat: 40
Maße (cm):
Wandstärke: 0,8
Dm. (Rand): 20
Dm. (Rand, erhalten in %): 8

Kat.-Nr. 986
Fundnr.: 14/5477/1/14
Form: Schale
Typ: kalottenförmig
Variante: regelmäßig gerundete Lippe
Typenbezeichnung: S1A
Erhaltungszustand: abgerieben
Fabrikat: 46
Beschreibung: Dm. Rand < 5%, daher unsicher
Maße (cm):
Wandstärke: 0,8
Dm. (Rand): 22
Dm. (Rand, erhalten in %): 3

Engmundige Gefäße

Kat.-Nr. 987
Fundnr.: 14/5477/1/4
Form: Engmundig
Typ: Hals konisch einziehend
Variante: leicht verdickte Lippe
Typenbezeichnung: E2C
Erhaltungszustand: abgerieben
Fabrikat: 59
Maße (cm):
Wandstärke: 0,5
Dm. (Rand): 14
Dm. (Rand, erhalten in %): 6

Halsgefäße

Kat.-Nr. 988 Taf. 35.988
Fundnr.: 14/5477/1/5
Form: Halsgefäß
Typ: geschwungene Wandung
Variante: horizontal abgestrichene Lippe
Typenbezeichnung: Hg2D
Handhabe/Verzierung: mit unterrandständigem H1A
Erhaltungszustand: abgerieben
Fabrikat: 78
Maße (cm):
Wandstärke: 0,7
Dm. (Rand): 12
Dm. (Rand, erhalten in %): 15

Kat.-Nr. 989
Fundnr.: 14/5477/1/11
Form: Halsgefäß
Typ: gerade Wandung
Variante: ausbiegender Rand
Typenbezeichnung: Hg1S
Erhaltungszustand: abgerieben
Fabrikat: 15
Beschreibung: Dm. Rand nicht ermittelbar
Maße (cm):
Wandstärke: 2
Dm. (Rand): 58
Dm. (Rand, erhalten in %): 4,5

Kat.-Nr. 990
Fundnr.: 14/5477/1/15
Form: Halsgefäß
Typ: gerade Wandung
Variante: regelmäßig gerundete Lippe
Typenbezeichnung: Hg1A
Erhaltungszustand: abgerieben
Fabrikat: 100
Maße (cm):
Wandstärke: 0,5
Dm. (Rand): 16
Dm. (Rand, erhalten in %): 7

Kannen

Kat.-Nr. 991
Fundnr.: 14/5477/1/18
Form: Kanne
Typ: unbestimmbar
Variante: unbestimmbar
Typenbezeichnung: Ka0
Erhaltungszustand: abgerieben
Fabrikat: 33
Beschreibung: Dm. Rand < 5%, daher unsicher
Maße (cm):
Wandstärke: 0,6
Dm. (Rand): 14
Dm. (Rand, erhalten in %): 4

Böden

Kat.-Nr. 992
Fundnr.: 14/5477/1/10
Form: Boden
Typ: flach
Variante: abgesetzte Standfläche
Typenbezeichnung: B1D
Erhaltungszustand: abgerieben

Fabrikat: 48
Beschreibung: Dm. Boden nicht ermittelbar
Maße (cm):
Wandstärke: 0,9

Vertikalhenkel

Kat.-Nr. 993
Fundnr.: 14/5477/1/6
Form: Vertikalhenkel
Typ: ovaler Querschnitt
Variante: unverziert
Typenbezeichnung: H1A
Erhaltungszustand: gut
Fabrikat: 17
Maße (cm):
Höhe: 2,1
Länge: erh. 4,4
Breite: 3,35

Kat.-Nr. 994
Fundnr.: 14/5477/1/20
Form: Vertikalhenkel
Typ: ovaler Querschnitt
Variante: unverziert
Typenbezeichnung: H1A
Erhaltungszustand: abgerieben
Fabrikat: 78
Maße (cm):
Höhe: 1
Länge: erh. 3
Breite: 1,5

Kat.-Nr. 995 Taf. 36.995
Fundnr.: 14/5477/1/22
Form: Vertikalhenkel
Typ: ovaler Querschnitt
Variante: unverziert
Typenbezeichnung: H1A
Erhaltungszustand: sekundär verbrannt
Fabrikat: 15
Beschreibung: vermutlich zu einem Vorratsgefäß gehörig
Maße (cm):
Höhe: 4
Länge: 14,1
Breite: 6

Füße

Kat.-Nr. 996
Fundnr.: 14/5477/1/7
Form: Fuß
Typ: gerade Standfläche
Variante: eckiger Übergang
Typenbezeichnung: F1A
Erhaltungszustand: abgerieben
Fabrikat: 17
Maße (cm):
Höhe: 2,7
Länge: erh. 2,8
Breite: 3,6

Charakteristische Wandfragmente

Kat.-Nr. 997
Fundnr.: 14/5477/1/9
Form: charakteristisches Wandfragment
Typ: Applike
Variante: Knubbe
Typenbezeichnung: WS5B
Handhabe/Verzierung: Kn4
Erhaltungszustand: abgerieben
Fabrikat: 41
Maße (cm):
Höhe: 0,5
Wandstärke: 0,3
Dm. (Durchlochung): 1,8

Kat.-Nr. 998 Taf. 36.998
Fundnr.: 14/5477/1/21
Form: charakteristisches Wandfragment
Typ: bemalt
Typenbezeichnung: WS1
Erhaltungszustand: abgerieben
Fabrikat: 103
Beschreibung: Weißbemalung (horizontale Linienbündel); Halsfragment einer Kanne?
Maße (cm):
Wandstärke: 0,5
Dm. (Hals): 8
Dm. (Hals, erhalten in %): 29

SE 5489

Charakteristische Wandfragmente

Kat.-Nr. 999 Taf. 36.999
Fundnr.: 14/5489/1/1
Form: charakteristisches Wandfragment
Typ: bemalt
Typenbezeichnung: WS1
Erhaltungszustand: abgerieben
Fabrikat: 54
Beschreibung: Weißbemalung (horizontale Linienbündel); Halsfragment einer Kanne?
Maße (cm):
Wandstärke: 0,7
Dm. (Hals): 14
Dm. (Hals, erhalten in %): 13

SE 5524

Schalen

Kat.-Nr. 1000
Fundnr.: 14/5524/1/1
Form: Schale
Typ: weitmundig
Variante: regelmäßig gerundete Lippe
Typenbezeichnung: S4A
Erhaltungszustand: abgerieben
Fabrikat: 80
Beschreibung: Dm. Rand < 5%, daher unsicher

Maße (cm):
Wandstärke: 0,7
Dm. (Rand): 56
Dm. (Rand, erhalten in %): 2,6

Vertikalhenkel

Kat.-Nr. 1001
Fundnr.: 14/5524/1/2
Form: Vertikalhenkel
Typ: breiter Querschnitt
Variante: unverziert
Typenbezeichnung: H2A
Erhaltungszustand: abgerieben
Fabrikat: 17
Maße (cm):
Höhe: 0,9
Länge: erh. 3,3
Breite: 2,4

SE 5533

Halsgefäße

Kat.-Nr. 1002
Fundnr.: 14/5533/1/1
Form: Halsgefäß
Typ: geschwungene Wandung
Variante: regelmäßig gerundete Lippe
Typenbezeichnung: Hg2A
Erhaltungszustand: abgerieben
Fabrikat: 17
Beschreibung: Dm. Rand < 5%, daher unsicher
Maße (cm):
Wandstärke: 0,75
Dm. (Rand): 30
Dm. (Rand, erhalten in %): 3

Planierung ÇuHö IV/Vb

SE 5302

Grifflappen

Kat.-Nr. 1003 Taf. 36.1003
Fundnr.: 13/5302/1/60
Form: Grifflappen
Typ: flossenförmig
Typenbezeichnung: La4
Erhaltungszustand: abgerieben
Fabrikat: 61
Beschreibung: Applike/Handhabe eines Miniaturgefäßes
Maße (cm):
Höhe: 0,8
Länge: erh. 2,05
Breite: 1,8
Breite (am Ende): 2,1

Schalen

Kat.-Nr. 1004 Taf. 36.1004
Fundnr.: 13/5302/1/1
Form: Schale
Typ: kalottenförmig
Variante: nach innen verdickte Lippe
Typenbezeichnung: S1U
Handhabe/Verzierung: mit randständigem WS4 (vermutlich Ö3)
Erhaltungszustand: abgerieben
Fabrikat: 37
Maße (cm):
Wandstärke: 0,7
Dm. (Rand): 30
Dm. (Rand, erhalten in %): 8

Kat.-Nr. 1005
Fundnr.: 13/5302/1/3
Form: Schale
Typ: weitmundig
Variante: regelmäßig gerundete Lippe
Typenbezeichnung: S1A
Erhaltungszustand: sekundär verbrannt
Fabrikat: 29
Maße (cm):
Wandstärke: 0,9
Dm. (Rand): 16
Dm. (Rand, erhalten in %): 6,5

Kat.-Nr. 1006
Fundnr.: 13/5302/1/4
Form: Schale
Typ: weitmundig
Variante: regelmäßig gerundete Lippe
Typenbezeichnung: S4A
Erhaltungszustand: sekundär verbrannt
Fabrikat: 103
Beschreibung: Oberfläche stark abgeplatzt
Maße (cm):
Wandstärke: 0,4
Dm. (Rand): 24
Dm. (Rand, erhalten in %): 7

Kat.-Nr. 1007
Fundnr.: 13/5302/1/12
Form: Schale
Typ: weitmundig
Variante: nach innen verdickte Lippe
Typenbezeichnung: S4U
Erhaltungszustand: sekundär verbrannt
Fabrikat: 24
Maße (cm):
Wandstärke: 0,5
Dm. (Rand): 20
Dm. (Rand, erhalten in %): 6,5

Kat.-Nr. 1008
Fundnr.: 13/5302/1/39
Form: Schale

Typ: kalottenförmig
Variante: regelmäßig gerundete Lippe
Typenbezeichnung: S1A
Handhabe/Verzierung: mit randständigem WS4
Erhaltungszustand: sekundär verbrannt
Fabrikat: 37
Maße (cm):
Wandstärke: 0,9
Dm. (Rand): 24
Dm. (Rand, erhalten in %): 8,5

Kat.-Nr. 1009
Fundnr.: 13/5302/1/46
Form: Schale
Typ: weitmundig
Variante: regelmäßig gerundete Lippe
Typenbezeichnung: S4A
Handhabe/Verzierung: mit WS4
Erhaltungszustand: abgerieben
Fabrikat: 57
Maße (cm):
Wandstärke: 0,5
Dm. (Rand): 26
Dm. (Rand, erhalten in %): 6

Kat.-Nr. 1010
Fundnr.: 13/5302/1/65
Form: Schale
Typ: weitmundig
Variante: horizontal abgestrichener und nach außen verdickter Rand
Typenbezeichnung: S4T
Erhaltungszustand: sekundär verbrannt
Fabrikat: 78
Maße (cm):
Wandstärke: 0,6
Dm. (Rand): 20
Dm. (Rand, erhalten in %): 5,5

Kat.-Nr. 1011
Fundnr.: 13/5302/1/66
Form: Schale
Typ: kalottenförmig
Variante: nach innen verdickte Lippe
Typenbezeichnung: S1U
Erhaltungszustand: abgerieben
Fabrikat: 61
Beschreibung: Dm. Rand nicht ermittelbar
Maße (cm):
Wandstärke: 0,5

Kat.-Nr. 1012
Fundnr.: 13/5302/1/67
Form: Schale
Typ: kalottenförmig
Variante: gerollter Rand
Typenbezeichnung: S1Q
Erhaltungszustand: sekundär verbrannt
Fabrikat: 61
Maße (cm):
Wandstärke: 0,5
Dm. (Rand): 10
Dm. (Rand, erhalten in %): 5,5

Kat.-Nr. 1013
Fundnr.: 13/5302/1/68
Form: Schale
Typ: kalottenförmig
Variante: regelmäßig gerundete Lippe
Typenbezeichnung: S1A
Handhabe/Verzierung: mit randständigem H1A
Erhaltungszustand: sekundär verbrannt
Fabrikat: 61
Beschreibung: Dm. Rand < 5%, daher unsicher
Maße (cm):
Höhe: 0,8
Länge: 3,3
Breite: 1,5
Wandstärke: 0,6
Dm. (Rand): 30
Dm. (Rand, erhalten in %): 3

Kat.-Nr. 1014
Fundnr.: 13/5302/1/69
Form: Schale
Typ: kalottenförmig
Variante: innen abgestrichene Lippe
Typenbezeichnung: S1N
Erhaltungszustand: sekundär verbrannt
Fabrikat: 29
Maße (cm):
Wandstärke: 0,7
Dm. (Rand): 14
Dm. (Rand, erhalten in %): 5

Kat.-Nr. 1015
Fundnr.: 13/5302/1/70
Form: Schale
Typ: weitmundig
Variante: nach innen verdickte Lippe
Typenbezeichnung: S4U
Erhaltungszustand: sekundär verbrannt
Fabrikat: 61
Beschreibung: Dm. Rand < 5%, daher unsicher
Maße (cm):
Wandstärke: 0,5
Dm. (Rand, innen): 28
Dm. (Rand, innen, erhalten in %): 4,5

Kat.-Nr. 1016 Taf. 36.1016
Fundnr.: 13/5302/1/72
Form: Schale
Typ: kalottenförmig
Variante: schräg nach innen abgestrichene und verdickte Lippe
Typenbezeichnung: S1K
Erhaltungszustand: abgerieben
Fabrikat: 76
Maße (cm):
Wandstärke: 0,9
Dm. (Rand): 20
Dm. (Rand, erhalten in %): 7

Kat.-Nr. 1017 Taf. 36.1017
Fundnr.: 13/5302/1/84
Form: Schale
Typ: weitmundig
Variante: gerollter Rand
Typenbezeichnung: S4Q
Erhaltungszustand: sekundär verbrannt
Fabrikat: 33
Maße (cm):
Wandstärke: 0,7
Dm. (Rand): 48
Dm. (Rand, erhalten in %): 5,5

Kat.-Nr. 1018 Taf. 37.1018
Fundnr.: 13/5302/1/85
Form: Schale
Typ: weitmundig
Variante: nach innen verdickte Lippe
Typenbezeichnung: S4U
Handhabe/Verzierung: mit randständigem H1A
Erhaltungszustand: gut
Fabrikat: 17
Maße (cm):
Wandstärke: 0,6
Dm. (Rand): 32
Dm. (Rand, erhalten in %): 16

Kat.-Nr. 1019 Taf. 37.1019
Fundnr.: 13/5302/1/87
Form: Schale
Typ: kalottenförmig
Variante: nach innen verdickte Lippe
Typenbezeichnung: S1U
Erhaltungszustand: abgerieben, sekundär verbrannt
Fabrikat: 57
Beschreibung: deutliche Farbänderung aufgrund von Feuereinwirkung
Maße (cm):
Wandstärke: 0,8
Dm. (Rand): 32
Dm. (Rand, erhalten in %): 5,5

Kat.-Nr. 1020
Fundnr.: 13/5302/1/88
Form: Schale
Typ: Knickrandschale
Variante: regelmäßig gerundete Lippe
Typenbezeichnung: S3A
Erhaltungszustand: abgerieben
Fabrikat: 19
Maße (cm):
Winkel (Knick): 64°
Länge: 0,8
Breite: 0,8
Wandstärke: 0,5
Dm. (Rand): 14
Dm. (Rand, erhalten in %): 6,5

Kat.-Nr. 1021
Fundnr.: 13/5302/1/89
Form: Schale
Typ: kalottenförmig
Variante: spitz ausgezogene Lippe
Typenbezeichnung: S1B
Erhaltungszustand: sekundär verbrannt
Fabrikat: 27
Beschreibung: Dm. Rand < 5%, daher unsicher
Maße (cm):
Wandstärke: 0,8
Dm. (Rand, innen): 30
Dm. (Rand, innen, erhalten in %): 4,5

Kat.-Nr. 1022 Taf. 37.1022
Fundnr.: 13/5302/1/90
Form: Schale
Typ: kalottenförmig
Variante: nach innen verdickte Lippe
Typenbezeichnung: S1U
Erhaltungszustand: abgerieben
Fabrikat: 55
Maße (cm):
Wandstärke: 0,6
Dm. (Rand): 24
Dm. (Rand, erhalten in %): 6

Kat.-Nr. 1023
Fundnr.: 13/5302/1/94
Form: Schale
Typ: weitmundig
Variante: horizontal abgestrichene Lippe
Typenbezeichnung: S4D
Erhaltungszustand: sekundär verbrannt
Fabrikat: 100
Maße (cm):
Wandstärke: 0,6
Dm. (Rand): 24
Dm. (Rand, erhalten in %): 8

Kat.-Nr. 1024
Fundnr.: 13/5302/1/95
Form: Schale
Typ: kalottenförmig
Variante: schräg nach außen abgestrichener Rand
Typenbezeichnung: S1H
Erhaltungszustand: sekundär verbrannt
Fabrikat: 37
Beschreibung: Dm. Rand < 5%, daher unsicher
Maße (cm):
Wandstärke: 0,7
Dm. (Rand): 24
Dm. (Rand, erhalten in %): 2,5

Kat.-Nr. 1025
Fundnr.: 13/5302/1/100
Form: Schale
Typ: weitmundig
Variante: regelmäßig gerundete Lippe
Typenbezeichnung: S4A
Erhaltungszustand: sekundär verbrannt
Fabrikat: 22
Maße (cm):
Wandstärke: 0,6

Dm. (Rand): 16
Dm. (Rand, erhalten in %): 8

Kat.-Nr. 1026
Fundnr.: 13/5302/1/102
Form: Schale
Typ: kalottenförmig
Variante: spitz ausgezogene Lippe
Typenbezeichnung: S1B
Erhaltungszustand: sekundär verbrannt
Fabrikat: 78
Maße (cm):
Wandstärke: 0,9
Dm. (Rand): 12
Dm. (Rand, erhalten in %): 5,5

Engmundige Gefäße

Kat.-Nr. 1027
Fundnr.: 13/5302/1/5
Form: Engmundig
Typ: Hals konisch einziehend
Variante: leicht verdickte Lippe
Typenbezeichnung: E2C
Erhaltungszustand: abgerieben
Fabrikat: 22
Maße (cm):
Wandstärke: 0,5
Dm. (Rand): 10
Dm. (Rand, erhalten in %): 10,75

Kat.-Nr. 1028
Fundnr.: 13/5302/1/7
Form: Engmundig
Typ: Hals konisch einziehend
Variante: horizontal abgestrichene Lippe
Typenbezeichnung: E2D
Erhaltungszustand: sekundär verbrannt
Fabrikat: 22
Beschreibung: Dm. Rand < 5%, daher unsicher
Maße (cm):
Wandstärke: 0,6
Dm. (Rand): 24
Dm. (Rand, erhalten in %): 4,5

Kat.-Nr. 1029
Fundnr.: 13/5302/1/9
Form: Engmundig
Typ: Hals konisch einziehend
Variante: regelmäßig gerundete Lippe
Typenbezeichnung: E2A
Erhaltungszustand: sekundär verbrannt
Fabrikat: 17
Beschreibung: Dm. Rand < 5%, daher unsicher
Maße (cm):
Wandstärke: 0,7
Dm. (Rand): 20
Dm. (Rand, erhalten in %): 3,5

Kat.-Nr. 1030
Fundnr.: 13/5302/1/13
Form: Engmundig
Typ: Hals steil konkav
Variante: spitz ausgezogene Lippe
Typenbezeichnung: E1B
Erhaltungszustand: sekundär verbrannt
Fabrikat: 28
Maße (cm):
Wandstärke: 0,6
Dm. (Rand): 16
Dm. (Rand, erhalten in %): 5

Kat.-Nr. 1031
Fundnr.: 13/5302/1/14
Form: Engmundig
Typ: Hals steil konkav
Variante: regelmäßig gerundete Lippe
Typenbezeichnung: E1A
Erhaltungszustand: sekundär verbrannt
Fabrikat: 100
Beschreibung: Dm. Rand nicht ermittelbar
Maße (cm):
Wandstärke: 0,6

Kat.-Nr. 1032 Taf. 37.1032
Fundnr.: 13/5302/1/15
Form: Engmundig
Typ: Hals steil konkav
Variante: regelmäßig gerundete Lippe
Typenbezeichnung: E2A
Erhaltungszustand: abgerieben
Fabrikat: 16
Beschreibung: Miniaturgefäß
Maße (cm):
Wandstärke: 0,65
Dm. (Rand): 3
Dm. (Rand, erhalten in %): 10

Halsgefäße

Kat.-Nr. 1033 Taf. 37.1033
Fundnr.: 13/5302/1/2
Form: Halsgefäß
Typ: geschwungene Wandung
Variante: regelmäßig gerundete Lippe
Typenbezeichnung: Hg2A
Handhabe/Verzierung: mit unterrandständigem WS4
Erhaltungszustand: abgerieben
Fabrikat: 15
Maße (cm):
Wandstärke: 1,5
Dm. (Rand): 46
Dm. (Rand, erhalten in %): 9

Kat.-Nr. 1034
Fundnr.: 13/5302/1/38
Form: Halsgefäß
Typ: gerade Wandung
Variante: horizontal abgestrichene Lippe
Typenbezeichnung: Hg1D
Erhaltungszustand: sekundär verbrannt
Fabrikat: 59
Maße (cm):
Wandstärke: 0,5

Dm. (Rand): 20
Dm. (Rand, erhalten in %): 7,5

Kat.-Nr. 1035
Fundnr.: 13/5302/1/105
Form: Halsgefäß
Typ: gerade Wandung
Variante: horizontal abgestrichene Lippe
Typenbezeichnung: Hg1D
Erhaltungszustand: sekundär verbrannt
Fabrikat: 100
Maße (cm):
Wandstärke: 0,6
Dm. (Rand): 11
Dm. (Rand, erhalten in %): 6,5

Kannen

Kat.-Nr. 1036
Fundnr.: 13/5302/1/48
Form: Kanne
Typ: unbestimmbar
Variante: unbestimmbar
Typenbezeichnung: Ka0
Erhaltungszustand: abgerieben
Fabrikat: 33
Maße (cm):
Wandstärke: 0,3
Dm. (Rand): 5
Dm. (Rand, erhalten in %): 14

Kat.-Nr. 1037
Fundnr.: 13/5302/1/64
Form: Kanne
Typ: unbestimmbar
Variante: unbestimmbar
Typenbezeichnung: Ka0
Erhaltungszustand: sekundär verbrannt
Fabrikat: 33
Maße (cm):
Wandstärke: 0,6
Dm. (Rand): 14
Dm. (Rand, erhalten in %): 5

Kat.-Nr. 1038
Fundnr.: 13/5302/1/71
Form: Kanne
Typ: unbestimmbar
Variante: unbestimmbar
Typenbezeichnung: Ka0
Erhaltungszustand: sekundär verbrannt
Fabrikat: 33
Maße (cm):
Wandstärke: 0,3
Dm. (Rand): 8
Dm. (Rand, erhalten in %): 11

Cheese pots

Kat.-Nr. 1039 Taf. 37.1039
Fundnr.: 13/5302/1/40
Form: Cheese pot
Typ: unbestimmbar
Variante: schräg nach außen abgestrichener und verdickter Rand
Typenbezeichnung: Chb0G
Erhaltungszustand: stark sekundär verbrannt
Fabrikat: 52
Maße (cm):
Wandstärke: 0,8
Dm. (Rand): 56
Dm. (Rand, erhalten in %): 5,5

Kat.-Nr. 1040
Fundnr.: 13/5302/1/96
Form: Cheese pot
Typ: unbestimmbar
Variante: schräg nach außen abgestrichener und verdickter Rand
Typenbezeichnung: Chb0G
Erhaltungszustand: sekundär verbrannt
Fabrikat: 32
Beschreibung: Dm. Rand nicht ermittelbar
Maße (cm):
Wandstärke: 0,9

Kat.-Nr. 1041
Fundnr.: 13/5302/1/99
Form: Cheese pot
Typ: unbestimmbar
Variante: schräg nach außen abgestrichener und verdickter Rand
Typenbezeichnung: Chb0G
Erhaltungszustand: sekundär verbrannt
Fabrikat: 32
Beschreibung: Dm. Rand nicht ermittelbar
Maße (cm):
Wandstärke: 0,8

Böden

Kat.-Nr. 1042
Fundnr.: 13/5302/1/114
Form: Boden
Typ: Flachboden
Variante: abgesetzte Standfläche
Typenbezeichnung: B1D
Erhaltungszustand: sekundär verbrannt
Fabrikat: 47
Maße (cm):
Wandstärke: 0,6
Dm. (Boden): 7
Dm. (Boden, erhalten in %): 13

Deckel

Kat.-Nr. 1043 Taf. 37.1043
Fundnr.: 13/5302/1/115
Form: Deckel
Typ: Flachdeckel
Variante: unverziert
Typenbezeichnung: De2A
Erhaltungszustand: gut
Fabrikat: 100

Maße (cm):
Wandstärke: 0,55
Dm. (Deckel): 8
Dm. (Deckel, erhalten in %): 18

Ausgüsse

Kat.-Nr. 1044
Fundnr.: 13/5302/1/63
Form: Ausguss
Typ: eckiger Abschluss
Typenbezeichnung: Au2
Erhaltungszustand: abgerieben
Fabrikat: 41
Maße (cm):
Wandstärke: 0,6
Dm. (Rand): 5
Dm. (Rand, erhalten in %): 17

Vertikalhenkel

Kat.-Nr. 1045
Fundnr.: 13/5302/1/18
Form: Vertikalhenkel
Typ: ovaler Querschnitt
Variante: unverziert
Typenbezeichnung: H1A
Erhaltungszustand: abgerieben
Fabrikat: 17
Beschreibung: eine Seite abgeflacht

Kat.-Nr. 1046
Fundnr.: 13/5302/1/20
Form: Vertikalhenkel
Typ: runder Querschnitt
Variante: unverziert
Typenbezeichnung: H8B
Erhaltungszustand: sekundär verbrannt
Fabrikat: 51
Maße (cm):
Höhe: 1,9
Länge: erh. 3,2
Breite: 2

Kat.-Nr. 1047
Fundnr.: 13/5302/1/21
Form: Vertikalhenkel
Typ: ovaler Querschnitt
Variante: unverziert
Typenbezeichnung: H1A
Erhaltungszustand: sekundär verbrannt
Fabrikat: 21
Maße (cm):
Höhe: 1,4
Länge: erh. 3,7
Breite: 2,3

Kat.-Nr. 1048
Fundnr.: 13/5302/1/22
Form: Vertikalhenkel
Typ: breiter Querschnitt
Variante: unverziert
Typenbezeichnung: H2A
Erhaltungszustand: sekundär verbrannt
Fabrikat: 20
Maße (cm):
Höhe: 1,2
Länge: erh. 2,8
Breite: 2,7

Kat.-Nr. 1049
Fundnr.: 13/5302/1/23
Form: Vertikalhenkel
Typ: ovaler Querschnitt
Variante: unverziert
Typenbezeichnung: H1A
Erhaltungszustand: sekundär verbrannt
Fabrikat: 15
Maße (cm):
Höhe: 2
Länge: erh. 4,8
Breite: 3,3

Kat.-Nr. 1050
Fundnr.: 13/5302/1/25
Form: Vertikalhenkel
Typ: breiter Querschnitt
Variante: unverziert
Typenbezeichnung: H2A
Erhaltungszustand: abgerieben
Fabrikat: 30
Maße (cm):
Höhe: 1
Länge: erh. 4,8
Breite: 2,1

Kat.-Nr. 1051
Fundnr.: 13/5302/1/26
Form: Vertikalhenkel
Typ: breiter Querschnitt
Variante: unverziert
Typenbezeichnung: H2A
Erhaltungszustand: sekundär verbrannt
Fabrikat: 33
Beschreibung: rote Oberfläche durch sekundäre Brandeinwirkung
Maße (cm):
Höhe: 1,1
Länge: 3,9
Breite: 2,6

Kat.-Nr. 1052
Fundnr.: 13/5302/1/28
Form: Vertikalhenkel
Typ: ovaler Querschnitt
Variante: unverziert
Typenbezeichnung: H1A
Erhaltungszustand: sekundär verbrannt
Fabrikat: 17
Maße (cm):
Höhe: 1
Länge: erh. 2,8
Breite: 1,7

Kat.-Nr. 1053
Fundnr.: 13/5302/1/30
Form: Vertikalhenkel
Typ: ovaler Querschnitt
Variante: unverziert
Typenbezeichnung: H1A
Erhaltungszustand: sekundär verbrannt
Fabrikat: 38
Maße (cm):
Höhe: 1,1
Länge: erh. 1,9
Breite: 1,5

Kat.-Nr. 1054
Fundnr.: 13/5302/1/32
Form: Vertikalhenkel
Typ: breiter Querschnitt
Variante: unverziert
Typenbezeichnung: H2A
Erhaltungszustand: sekundär verbrannt
Fabrikat: 20
Maße (cm):
Höhe: 1,3
Länge: erh. 1,9
Breite: 3,4
Wandstärke: 0,7

Kat.-Nr. 1055
Fundnr.: 13/5302/1/34
Form: Vertikalhenkel
Typ: ovaler Querschnitt
Variante: unverziert
Typenbezeichnung: H1A
Erhaltungszustand: sekundär verbrannt
Fabrikat: 52
Maße (cm):
Höhe: 2,3
Länge: erh. 5,4
Breite: 3,7
Wandstärke: 0,9

Kat.-Nr. 1056
Fundnr.: 13/5302/1/47
Form: Vertikalhenkel
Typ: ovaler Querschnitt
Variante: unverziert
Typenbezeichnung: H1A
Handhabe/Verzierung: randständig
Erhaltungszustand: sekundär verbrannt
Fabrikat: 38
Maße (cm):
Höhe: 1,7
Länge: erh. 4,6
Breite: 2,4
Wandstärke: 0,6
Dm. (Rand, innen): 30
Dm. (Rand, innen, erhalten in %): 7

Kat.-Nr. 1057
Fundnr.: 13/5302/1/50
Form: Vertikalhenkel
Typ: breiter Querschnitt
Variante: unverziert
Typenbezeichnung: H2A
Erhaltungszustand: sekundär verbrannt
Fabrikat: 15
Maße (cm):
Höhe: 2,1
Länge: erh. 5,1
Breite: 3,9

Kat.-Nr. 1058
Fundnr.: 13/5302/1/52
Form: Vertikalhenkel
Typ: ovaler Querschnitt
Variante: unverziert
Typenbezeichnung: H1A
Erhaltungszustand: sekundär verbrannt
Fabrikat: 49
Maße (cm):
Höhe: 1
Länge: erh. 3,3
Breite: 1,5

Kat.-Nr. 1059
Fundnr.: 13/5302/1/53
Form: Vertikalhenkel
Typ: ovaler Querschnitt
Variante: unverziert
Typenbezeichnung: H1A
Erhaltungszustand: sekundär verbrannt
Fabrikat: 49
Maße (cm):
Höhe: 1,3
Länge: erh. 3,7
Breite: 2

Kat.-Nr. 1060
Fundnr.: 13/5302/1/55
Form: Vertikalhenkel
Typ: ovaler Querschnitt
Variante: unverziert
Typenbezeichnung: H1A
Erhaltungszustand: sekundär verbrannt
Fabrikat: 38
Maße (cm):
Höhe: 1,2
Länge: erh. 2,4
Breite: 1,4

Kat.-Nr. 1061
Fundnr.: 13/5302/1/62
Form: Vertikalhenkel
Typ: ovaler Querschnitt
Variante: unverziert
Typenbezeichnung: H1A
Handhabe/Verzierung: mit randständigem WS4
Erhaltungszustand: sekundär verbrannt
Fabrikat: 17
Maße (cm):
Höhe: 2,3
Länge: erh. 3,7

Breite: erh. 3,8
Wandstärke: 0,6
Dm. (Rand, innen): 11
Dm. (Rand, innen, erhalten in %): 14

Kat.-Nr. 1062
Fundnr.: 13/5302/1/75
Form: Vertikalhenkel
Typ: runder Querschnitt
Variante: unverziert
Typenbezeichnung: H8B
Handhabe/Verzierung: randständig
Erhaltungszustand: sekundär verbrannt
Fabrikat: 103
Beschreibung: Deformation durch starke Brandeinwirkung
Maße (cm):
Höhe: 2,1
Länge: erh. 7
Breite: 2,4

Kat.-Nr. 1063
Fundnr.: 13/5302/1/76
Form: Vertikalhenkel
Typ: ovaler Querschnitt
Variante: unverziert
Typenbezeichnung: H1A
Erhaltungszustand: sekundär verbrannt
Fabrikat: 47
Maße (cm):
Höhe: 2,8
Länge: erh. 9,4
Breite: 3,4

Kat.-Nr. 1064
Fundnr.: 13/5302/1/77
Form: Vertikalhenkel
Typ: runder Querschnitt
Variante: unverziert
Typenbezeichnung: H8B
Handhabe/Verzierung: mit randständigem WS4
Erhaltungszustand: sekundär verbrannt
Fabrikat: 103
Maße (cm):
Höhe: 1,8
Länge: erh. 8,8
Breite: 2,1

Kat.-Nr. 1065
Fundnr.: 13/5302/1/78
Form: Vertikalhenkel
Typ: ovaler Querschnitt
Variante: unverziert
Typenbezeichnung: H1A
Handhabe/Verzierung: mit randständigem WS4
Erhaltungszustand: sekundär verbrannt
Fabrikat: 103
Maße (cm):
Höhe: 1,1
Länge: erh. 3
Breite: 2,5

Kat.-Nr. 1066
Fundnr.: 13/5302/1/79
Form: Vertikalhenkel
Typ: ovaler Querschnitt
Variante: unverziert
Typenbezeichnung: H1A
Erhaltungszustand: sekundär verbrannt
Fabrikat: 15
Maße (cm):
Höhe: 2,1
Länge: erh. 7,4
Breite: 4

Kat.-Nr. 1067
Fundnr.: 13/5302/1/98
Form: Vertikalhenkel
Typ: runder Querschnitt
Variante: unverziert
Typenbezeichnung: H8B
Erhaltungszustand: sekundär verbrannt
Fabrikat: 49
Maße (cm):
Höhe: 1,4
Länge: erh. 3,1
Breite: 1,5

Kat.-Nr. 1068
Fundnr.: 13/5302/1/107
Form: Vertikalhenkel
Typ: Bandhenkel
Variante: unverziert
Typenbezeichnung: H3A
Erhaltungszustand: sekundär verbrannt
Fabrikat: 61
Maße (cm):
Höhe: 0,5
Länge: 3,1
Breite: 1,8
Wandstärke: 0,5

Kat.-Nr. 1069
Fundnr.: 13/5302/1/108
Form: Vertikalhenkel
Typ: runder Querschnitt
Variante: unverziert
Typenbezeichnung: H8B
Erhaltungszustand: sekundär verbrannt
Fabrikat: 17
Maße (cm):
Höhe: 2,2
Länge: erh. 5,3
Breite: 2,3

Kat.-Nr. 1070
Fundnr.: 13/5302/1/109
Form: Vertikalhenkel
Typ: ovaler Querschnitt
Variante: unverziert
Typenbezeichnung: H1A
Erhaltungszustand: sekundär verbrannt
Fabrikat: 78

Maße (cm):
Höhe: 1,9
Länge: erh. 3,4
Breite: 2,7
Wandstärke: 0,5

Füße

Kat.-Nr. 1071
Fundnr.: 13/5302/1/29
Form: Fuß
Typ: unbestimmbar
Variante: unbestimmbar
Typenbezeichnung: F0
Erhaltungszustand: abgerieben
Fabrikat: 40
Maße (cm):
Höhe: 1,7
Länge: erh. 3,2
Breite: 3,1

Kat.-Nr. 1072
Fundnr.: 13/5302/1/35
Form: Fuß
Typ: ausgezipfelte Standfläche
Variante: gerundete Basis
Typenbezeichnung: F3B
Erhaltungszustand: sekundär verbrannt
Fabrikat: 15
Maße (cm):
Höhe: 1,5
Länge: erh. 4,2
Breite: erh. 4,4
Breite (Standfläche): 4,2

Kat.-Nr. 1073 Taf. 38.1073
Fundnr.: 13/5302/1/36
Form: Fuß
Typ: trapezförmig
Variante: flache Basis
Typenbezeichnung: F4A
Handhabe/Verzierung: Ansatz an Dt
Erhaltungszustand: abgerieben
Fabrikat: 86
Maße (cm):
Höhe: 2
Länge: 7,9
Breite: 3,7
Wandstärke: 0,55
Breite (Standfläche): 5

Kat.-Nr. 1074 Taf. 38.1074
Fundnr.: 13/5302/1/37
Form: Fuß
Typ: ausgezipfelte Standfläche
Variante: gerundete Basis
Typenbezeichnung: F3B
Erhaltungszustand: abgerieben
Fabrikat: 43
Maße (cm):
Höhe: 2,2
Länge: erh. 6,3
Breite: 4,4
Breite (Standfläche): 6,3

Kat.-Nr. 1075
Fundnr.: 13/5302/1/51
Form: Fuß
Typ: ausgezipfelte Standfläche
Variante: unbestimmbar
Typenbezeichnung: F30
Erhaltungszustand: sekundär verbrannt
Fabrikat: 17
Maße (cm):
Höhe: 2,4
Länge: erh. 6,2
Breite: 3,6

Kat.-Nr. 1076
Fundnr.: 13/5302/1/82
Form: Fuß
Typ: ausgezipfelte Standfläche
Variante: flache Basis
Typenbezeichnung: F3A
Erhaltungszustand: sekundär verbrannt
Fabrikat: 32
Maße (cm):
Höhe: 2
Länge: erh. 5,6
Breite: 3,6
Breite (Standfläche): 4,6

Charakteristische Wandfragmente

Kat.-Nr. 1077
Fundnr.: 13/5302/1/54
Form: charakteristisches Wandfragment
Typ: Ansatz einer Handhabe
Typenbezeichnung: WS4
Erhaltungszustand: sekundär verbrannt
Fabrikat: 49
Maße (cm):
Höhe: 2,4
Breite: 2,6
Wandstärke: 0,7

Kat.-Nr. 1078
Fundnr.: 13/5302/1/56
Form: charakteristisches Wandfragment
Typ: Applike
Variante: Knubbe
Typenbezeichnung: WS5B
Handhabe/Verzierung: Kn4
Erhaltungszustand: sekundär verbrannt
Fabrikat: 78
Maße (cm):
Wandstärke: 0,6
Dm. (Knubbe): 1,2

Kat.-Nr. 1079
Fundnr.: 13/5302/1/57
Form: charakteristisches Wandfragment
Typ: durchlocht/durchbohrt
Typenbezeichnung: WS3

Erhaltungszustand: abgerieben
Fabrikat: 15
Maße (cm):
Wandstärke: 1,1
Dm. (Durchlochung): 0,7

Kat.-Nr. 1080
Fundnr.: 13/5302/1/58
Form: charakteristisches Wandfragment
Typ: durchlocht/durchbohrt
Typenbezeichnung: WS3
Erhaltungszustand: abgerieben
Fabrikat: 33
Beschreibung: Dm. Loch nicht ermittelbar

Kat.-Nr. 1081
Fundnr.: 13/5302/1/59
Form: charakteristisches Wandfragment
Typ: durchlocht/durchbohrt
Typenbezeichnung: WS3
Erhaltungszustand: sekundär verbrannt
Fabrikat: 33
Maße (cm):
Wandstärke: 0,4
Dm. (Durchlochung): 0,4

Kat.-Nr. 1082
Fundnr.: 13/5302/1/80
Form: charakteristisches Wandfragment
Typ: Ansatz einer Handhabe
Typenbezeichnung: WS4
Erhaltungszustand: sekundär verbrannt
Fabrikat: 15
Maße (cm):
Höhe: 3,8
Länge: 0,9
Breite: 4,1
Wandstärke: 1,6

Kat.-Nr. 1083
Fundnr.: 13/5302/1/81
Form: charakteristisches Wandfragment
Typ: Ansatz einer Handhabe
Typenbezeichnung: WS4
Erhaltungszustand: sekundär verbrannt
Fabrikat: 15
Maße (cm):
Höhe: 2,6
Länge: 1,9
Breite: 4
Wandstärke: 0,9

Kat.-Nr. 1084 Taf. 38.1084
Fundnr.: 13/5302/1/117
Form: charakteristisches Wandfragment
Typ: bemalt
Typenbezeichnung: WS1
Erhaltungszustand: abgerieben, sekundär verbrannt
Fabrikat: 103
Beschreibung: Weißbemalung (kreuzende Linienbündel)
Maße (cm):
Wandstärke: 0,3

Kat.-Nr. 1085 Taf. 38.1085
Fundnr.: 13/5302/1/118
Form: charakteristisches Wandfragment
Typ: impressoverziert
Variante: Einstiche
Typenbezeichnung: WS2D
Erhaltungszustand: abgerieben
Fabrikat: 39
Maße (cm):
Wandstärke: 0,75

Kat.-Nr. 1086 Taf. 38.1086
Fundnr.: 13/5302/1/119
Form: charakteristisches Wandfragment
Typ: impressoverziert
Variante: Ritzung
Typenbezeichnung: WS2E
Erhaltungszustand: abgerieben
Fabrikat: 36
Maße (cm):
Wandstärke: 0,45

Randfragmente

Kat.-Nr. 1087
Fundnr.: 13/5302/1/24
Form: Randfragment
Typ: unbestimmbar
Variante: regelmäßig gerundete Lippe
Typenbezeichnung: R0A
Erhaltungszustand: sekundär verbrannt
Fabrikat: 29
Beschreibung: Dm. Rand < 5%, daher unsicher
Maße (cm):
Wandstärke: 1,2
Dm. (Rand): 18
Dm. (Rand, erhalten in %): 4

Kat.-Nr. 1088
Fundnr.: 13/5302/1/45
Form: Randfragment
Typ: unbestimmbar
Variante: ausbiegender und verdickter Rand
Typenbezeichnung: R0L
Erhaltungszustand: sekundär verbrannt
Fabrikat: 15
Beschreibung: Dm. Rand < 5%, daher unsicher
Maße (cm):
Wandstärke: 0,9
Dm. (Rand): 10
Dm. (Rand, erhalten in %): 4

Kat.-Nr. 1089
Fundnr.: 13/5302/1/91
Form: Randfragment
Typ: unbestimmbar
Variante: regelmäßig gerundete Lippe
Typenbezeichnung: R0A

Erhaltungszustand: sekundär verbrannt
Fabrikat: 37
Maße (cm):
Wandstärke: 0,7
Dm. (Rand): 13
Dm. (Rand, erhalten in %): 8

SE 5450

Griffknubben

Kat.-Nr. 1090
Fundnr.: 14/5450/1/1
Form: Griffknubbe
Typ: einfache Knubbe
Variante: nach oben gebogen
Typenbezeichnung: G1
Erhaltungszustand: abgerieben
Fabrikat: 100
Maße (cm):
Höhe: 2,2
Länge: 2,6
Breite: 3,4

SE 5454

Halsgefäße

Kat.-Nr. 1091
Fundnr.: 14/5454/1/3
Form: Halsgefäß
Typ: geschwungene Wandung
Variante: ausbiegender Rand
Typenbezeichnung: Hg2S
Erhaltungszustand: sekundär verbrannt
Fabrikat: 82
Beschreibung: vermutlich Fragment einer Kanne
Maße (cm):
Wandstärke: 0,4
Dm. (Rand): 18
Dm. (Rand, erhalten in %): 5

Vertikalhenkel

Kat.-Nr. 1092
Fundnr.: 14/5454/1/6
Form: Vertikalhenkel
Typ: ovaler Querschnitt
Variante: unverziert
Typenbezeichnung: H1A
Erhaltungszustand: sekundär verbrannt
Fabrikat: 38
Maße (cm):
Höhe: 2,1
Länge: erh. 4,3
Breite: 3,4

Griffknubben

Kat.-Nr. 1093
Fundnr.: 14/5454/1/5
Form: Griffknubbe
Typ: hochgezogen
Typenbezeichnung: G5
Erhaltungszustand: sekundär verbrannt
Fabrikat: 17
Maße (cm):
Höhe: 1,7
Länge: 3,1
Breite: 1,6
Wandstärke: 0,4
Dm. (Durchlochung): 0,8–1,7

Füße

Kat.-Nr. 1094 Taf. 38.1094
Fundnr.: 14/5454/1/7
Form: Fuß
Typ: gerade Standfläche
Variante: eckiger Übergang
Typenbezeichnung: F1A
Erhaltungszustand: abgerieben
Fabrikat: 30
Maße (cm):
Höhe: 2,5
Länge: erh. 7,4
Breite: 3,7

Charakteristische Wandfragmente

Kat.-Nr. 1095 Taf. 38.1095
Fundnr.: 14/5454/1/9
Form: charakteristisches Wandfragment
Typ: durchlocht/durchbohrt
Typenbezeichnung: WS3
Erhaltungszustand: sekundär verbrannt
Fabrikat: 32
Beschreibung: 9 Durchlochungen erhalten, 3 vollständig
Maße (cm):
Wandstärke: 0,75
Dm. (Durchlochung): 0,45

SE 5467

Vierpasshenkel

Kat.-Nr. 1096 Taf. 38.1096
Fundnr.: 14/5467/1/65
Form: Vierpasshenkel
Typenbezeichnung: H9A
Handhabe/Verzierung: Kn4
Erhaltungszustand: sekundär verbrannt
Fabrikat: 38
Beschreibung: Henkel eines Deckels mit spitzer Knubbe
Maße (cm):
langes Henkelfragment:
Höhe: 1,25
Länge: erh. 1,7
Breite: 2,15
kurzes Henkelfragment:
Höhe: 1,15
Länge: erh. 1

Breite: 2,2
spitze Knubbe:
Länge: erh. 1,8
Dm. (max.): 2,6
Dm. (Spitze, oval): 1,3 x 1,45

Knubben

Kat.-Nr. 1097
Fundnr.: 14/5467/1/120
Form: Knubbe
Typ: vertikal durchlocht
Variante: runde Form
Typenbezeichnung: Kn2
Erhaltungszustand: sekundär verbrannt
Fabrikat: 100
Beschreibung: leicht oval
Maße (cm):
Höhe: 1,2
Länge: 2,4
Breite: 2,3
Dm. (Durchlochung): 0,4–0,5

Schüsseln

Kat.-Nr. 1098 Taf. 38.1098
Fundnr.: 14/5467/1/46
Form: Schüssel
Typ: steile Wandung
Variante: schräg nach innen abgestrichene und verdickte Lippe
Typenbezeichnung: Sch3K
Erhaltungszustand: sekundär verbrannt
Fabrikat: 37
Beschreibung: wie WG 37, nur etwas mehr Glimmer
Maße (cm):
Wandstärke: 0,9
Dm. (Rand): 26
Dm. (Rand, erhalten in %): 5

Kat.-Nr. 1099
Fundnr.: 14/5467/1/103
Form: Schüssel
Typ: steile Wandung
Variante: regelmäßig gerundete Lippe
Typenbezeichnung: Sch3A
Erhaltungszustand: sekundär verbrannt
Fabrikat: 37
Beschreibung: Dm. Rand < 5%, daher unsicher
Maße (cm):
Wandstärke: 1,3
Dm. (Rand): 48
Dm. (Rand, erhalten in %): 4,5

Schalen

Kat.-Nr. 1100 Taf. 39.1100
Fundnr.: 14/5467/1/21
Form: Schale
Typ: kalottenförmig
Variante: regelmäßig gerundete Lippe
Typenbezeichnung: S1A
Handhabe/Verzierung: mit leicht unterrandständiger Ö1Ca
Erhaltungszustand: sekundär verbrannt
Fabrikat: 37
Maße (cm):
Höhe: 1,7
Länge: 4,9
Breite: 3,2
Wandstärke: 1,1
Dm. (Rand): 20
Dm. (Durchlochung): 0,9
Dm. (Rand, erhalten in %): 5,5

Kat.-Nr. 1101
Fundnr.: 14/5467/1/24
Form: Schale
Typ: weitmundig
Variante: nach innen verdickte Lippe
Typenbezeichnung: S4U
Erhaltungszustand: sekundär verbrannt
Fabrikat: 29
Beschreibung: Dm. Rand und Wandstärke nicht ermittelbar

Kat.-Nr. 1102
Fundnr.: 14/5467/1/27
Form: Schale
Typ: weitmundig
Variante: abgerundeter Übergang zur Basis
Typenbezeichnung: S4A
Erhaltungszustand: sekundär verbrannt
Fabrikat: 61
Maße (cm):
Wandstärke: 0,4
Dm. (Rand): 14
Dm. (Rand, erhalten in %): 6

Kat.-Nr. 1103
Fundnr.: 14/5467/1/29
Form: Schale
Typ: weitmundig
Variante: regelmäßig gerundete Lippe
Typenbezeichnung: S4A
Erhaltungszustand: sekundär verbrannt
Fabrikat: 115
Beschreibung: als WG-Beispiel 115 verwendet; Dm. Rand < 5%, daher unsicher
Maße (cm):
Wandstärke: 0,7
Dm. (Rand): 20
Dm. (Rand, erhalten in %): 4,5

Kat.-Nr. 1104
Fundnr.: 14/5467/1/30
Form: Schale
Typ: kalottenförmig
Variante: nach innen verdickte Lippe
Typenbezeichnung: S1U
Erhaltungszustand: sekundär verbrannt
Fabrikat: 115
Maße (cm):
Wandstärke: 0,9

Dm. (Rand): 28
Dm. (Rand, erhalten in %): 6

Kat.-Nr. 1105
Fundnr.: 14/5467/1/31
Form: Schale
Typ: kalottenförmig
Variante: regelmäßig gerundete Lippe
Typenbezeichnung: S1A
Erhaltungszustand: abgerieben
Fabrikat: 51
Beschreibung: Dm. Rand < 5%, daher unsicher
Maße (cm):
Wandstärke: 1,1
Dm. (Rand): 62
Dm. (Rand, erhalten in %): 3

Kat.-Nr. 1106 Taf. 39.1106
Fundnr.: 14/5467/1/32
Form: Schale
Typ: kalottenförmig
Variante: außen abgestrichene Lippe
Typenbezeichnung: S1O
Erhaltungszustand: sekundär verbrannt
Fabrikat: 37
Beschreibung: auch leicht nach innen verdickte Lippe (U); wie WG 37, nur etwas mehr Glimmer
Maße (cm):
Wandstärke: 1
Dm. (Rand): 42
Dm. (Rand, erhalten in %): 5,5

Kat.-Nr. 1107
Fundnr.: 14/5467/1/39
Form: Schale
Typ: Knickrandschale
Variante: regelmäßig gerundete Lippe
Typenbezeichnung: S3A
Handhabe/Verzierung: mit H7B
Erhaltungszustand: abgerieben
Fabrikat: 55
Maße (cm):
Winkel (Knick): 52°
Länge: 0,75
Breite: 0,7
Wandstärke: 0,6
Dm. (Rand): 12
Dm. (Rand, erhalten in %): 5
Höhe (Henkel): erh. 0,95
Länge (Henkel): erh. 0,9
Breite (Henkel): 0,95

Kat.-Nr. 1108
Fundnr.: 14/5467/1/40
Form: Schale
Typ: weitmundig
Variante: horizontal abgestrichene Lippe
Typenbezeichnung: S4D
Erhaltungszustand: sekundär verbrannt
Fabrikat: 115
Beschreibung: entnommen für Dünnschliff
Maße (cm):
Wandstärke: 0,75
Dm. (Rand): 20
Dm. (Rand, erhalten in %): 6

Kat.-Nr. 1109
Fundnr.: 14/5467/1/41
Form: Schale
Typ: weitmundig
Variante: regelmäßig gerundete Lippe
Typenbezeichnung: S4A
Erhaltungszustand: sekundär verbrannt
Fabrikat: 19
Maße (cm):
Wandstärke: 0,9
Dm. (Rand): 20
Dm. (Rand, erhalten in %): 5

Kat.-Nr. 1110
Fundnr.: 14/5467/1/43
Form: Schale
Typ: kalottenförmig
Variante: regelmäßig gerundete Lippe
Typenbezeichnung: S1A
Erhaltungszustand: abgerieben
Fabrikat: 42
Maße (cm):
Wandstärke: 0,8
Dm. (Rand): 28
Dm. (Rand, erhalten in %): 7

Kat.-Nr. 1111
Fundnr.: 14/5467/1/44
Form: Schale
Typ: Knickrandschale
Variante: regelmäßig gerundete Lippe
Typenbezeichnung: S3A
Erhaltungszustand: abgerieben
Fabrikat: 55
Maße (cm):
Winkel (Knick): 54°
Länge: 1
Breite: 0,8
Wandstärke: 0,6
Dm. (Rand): 16
Dm. (Rand, erhalten in %): 7

Kat.-Nr. 1112
Fundnr.: 14/5467/1/45
Form: Schale
Typ: Knickrandschale
Variante: spitz ausgezogene Lippe
Typenbezeichnung: S3B
Erhaltungszustand: abgerieben
Fabrikat: 61
Maße (cm):
Winkel (Knick): 74°
Länge: 1
Breite: 0,6
Wandstärke: 0,5
Dm. (Rand): 13
Dm. (Rand, erhalten in %): 10

Kat.-Nr. 1113
Fundnr.: 14/5467/1/47
Form: Schale
Typ: kalottenförmig
Variante: regelmäßig gerundete Lippe
Typenbezeichnung: S1A
Erhaltungszustand: sekundär verbrannt
Fabrikat: 17
Maße (cm):
Wandstärke: 1,2
Dm. (Rand): 30
Dm. (Rand, erhalten in %): 5

Kat.-Nr. 1114
Fundnr.: 14/5467/1/49
Form: Schale
Typ: weitmundig
Variante: regelmäßig gerundete Lippe
Typenbezeichnung: S4A
Erhaltungszustand: sekundär verbrannt
Fabrikat: 40
Maße (cm):
Wandstärke: 0,65
Dm. (Rand): 12
Dm. (Rand, erhalten in %): 9

Kat.-Nr. 1115 Taf. 39.1115
Fundnr.: 14/5467/1/50
Form: Schale
Typ: kalottenförmig
Variante: nach innen verdickte Lippe
Typenbezeichnung: S1U
Handhabe/Verzierung: mit randständigem H2A
Erhaltungszustand: sekundär verbrannt
Fabrikat: 55
Maße (cm):
Wandstärke: 0,65
Dm. (Rand): 20
Dm. (Rand, erhalten in %): 5

Kat.-Nr. 1116 Taf. 39.1116
Fundnr.: 14/5467/1/75
Form: Schale
Typ: weitmundig mit nach innen geklapptem Rand
Variante: regelmäßig gerundete Lippe
Typenbezeichnung: S11A
Erhaltungszustand: sekundär verbrannt
Fabrikat: 37
Beschreibung: Dm. Rand < 5%, daher unsicher
Maße (cm):
Wandstärke: 1,1
Dm. (Rand): 22
Dm. (Rand, erhalten in %): 3,8

Kat.-Nr. 1117
Fundnr.: 14/5467/1/76
Form: Schale
Typ: weitmundig
Variante: regelmäßig gerundete Lippe
Typenbezeichnung: S4A
Erhaltungszustand: sekundär verbrannt
Fabrikat: 37
Beschreibung: Dm. Rand < 5%, daher unsicher
Maße (cm):
Wandstärke: 0,8
Dm. (Rand): 28
Dm. (Rand, erhalten in %): 3

Kat.-Nr. 1118
Fundnr.: 14/5467/1/78
Form: Schale
Typ: weitmundig
Variante: schräg nach außen abgestrichener Rand
Typenbezeichnung: S4Q
Erhaltungszustand: sekundär verbrannt
Fabrikat: 61
Beschreibung: Wandstärke nicht ermittelbar
Maße (cm):
Dm. (Rand): 16
Dm. (Rand, erhalten in %): 5,5

Kat.-Nr. 1119
Fundnr.: 14/5467/1/79
Form: Schale
Typ: kalottenförmig
Variante: horizontal abgestrichene Lippe
Typenbezeichnung: S1D
Erhaltungszustand: abgerieben
Fabrikat: 53
Beschreibung: Dm. Rand < 5%, daher unsicher
Maße (cm):
Wandstärke: 0,45
Dm. (Rand): 12
Dm. (Rand, erhalten in %): 4

Kat.-Nr. 1120
Fundnr.: 14/5467/1/80
Form: Schale
Typ: weitmundig
Variante: regelmäßig gerundete Lippe
Typenbezeichnung: S4A
Erhaltungszustand: abgerieben
Fabrikat: 56
Maße (cm):
Wandstärke: 0,6
Dm. (Rand): 26
Dm. (Rand, erhalten in %): 5,5

Kat.-Nr. 1121 Taf. 39.1121
Fundnr.: 14/5467/1/82
Form: Schale
Typ: kalottenförmig
Variante: regelmäßig gerundete Lippe
Typenbezeichnung: S1A
Handhabe/Verzierung: mit unterrandständigem WS4
Erhaltungszustand: sekundär verbrannt
Fabrikat: 29
Maße (cm):
Höhe: 0,7
Länge: 4,6
Breite: 1,75
Wandstärke: 0,9
Dm. (Rand): 20
Dm. (Rand, erhalten in %): 11

Kat.-Nr. 1122
Fundnr.: 14/5467/1/98
Form: Schale
Typ: kalottenförmig
Variante: regelmäßig gerundete Lippe
Typenbezeichnung: S1A
Handhabe/Verzierung: mit randständigem WS4
Erhaltungszustand: sekundär verbrannt
Fabrikat: 27
Maße (cm):
Wandstärke: 1
Dm. (Rand): 38
Dm. (Rand, erhalten in %): 6

Kat.-Nr. 1123
Fundnr.: 14/5467/1/102
Form: Schale
Typ: kalottenförmig
Variante: regelmäßig gerundete Lippe
Typenbezeichnung: S1A
Erhaltungszustand: sekundär verbrannt
Fabrikat: 51
Beschreibung: Dm. Rand < 5%, daher unsicher
Maße (cm):
Wandstärke: 0,95
Dm. (Rand): 62
Dm. (Rand, erhalten in %): 3,5

Kat.-Nr. 1124
Fundnr.: 14/5467/1/105
Form: Schale
Typ: kalottenförmig
Variante: horizontal abgestrichene Lippe
Typenbezeichnung: S1D
Erhaltungszustand: sekundär verbrannt
Fabrikat: 43
Maße (cm):
Wandstärke: 0,5
Dm. (Rand): 26
Dm. (Rand, erhalten in %): 5

Kat.-Nr. 1125
Fundnr.: 14/5467/1/108
Form: Schale
Typ: kalottenförmig
Variante: regelmäßig gerundete Lippe
Typenbezeichnung: S1A
Erhaltungszustand: sekundär verbrannt
Fabrikat: 37
Maße (cm):
Wandstärke: 0,8
Dm. (Rand): 18
Dm. (Rand, erhalten in %): 5

Kat.-Nr. 1126
Fundnr.: 14/5467/1/110
Form: Schale
Typ: weitmundig
Variante: nach außen geschwollener Rand
Typenbezeichnung: S4U
Erhaltungszustand: sekundär verbrannt
Fabrikat: 53
Maße (cm):
Wandstärke: 0,6
Dm. (Rand): 18
Dm. (Rand, erhalten in %): 5

Kat.-Nr. 1127
Fundnr.: 14/5467/1/111
Form: Schale
Typ: kalottenförmig
Variante: regelmäßig gerundete Lippe
Typenbezeichnung: S1A
Erhaltungszustand: sekundär verbrannt
Fabrikat: 27
Maße (cm):
Wandstärke: 0,9
Dm. (Rand): 10
Dm. (Rand, erhalten in %): 5

Kat.-Nr. 1128
Fundnr.: 14/5467/1/112
Form: Schale
Typ: kalottenförmig
Variante: nach innen verdickte Lippe
Typenbezeichnung: S1U
Erhaltungszustand: abgerieben
Fabrikat: 19
Beschreibung: Dm. Rand < 5%, daher unsicher
Maße (cm):
Wandstärke: 0,6
Dm. (Rand): 30
Dm. (Rand, erhalten in %): 4

Engmundige Gefäße

Kat.-Nr. 1129
Fundnr.: 14/5467/1/12
Form: Engmundig
Typ: Hals steil konkav
Variante: horizontal abgestrichene Lippe
Typenbezeichnung: E1D
Erhaltungszustand: sekundär verbrannt
Fabrikat: 49
Maße (cm):
Wandstärke: 0,7
Dm. (Rand): 14
Dm. (Rand, erhalten in %): 6,5

Kat.-Nr. 1130
Fundnr.: 14/5467/1/36
Form: Engmundig
Typ: Hals steil konkav
Variante: spitz ausgezogene Lippe
Typenbezeichnung: E1B
Erhaltungszustand: abgerieben
Fabrikat: 28
Beschreibung: Dm. Rand < 5%, daher unsicher
Maße (cm):
Wandstärke: 0,75
Dm. (Rand): 18
Dm. (Rand, erhalten in %): 4

Kat.-Nr. 1131
Fundnr.: 14/5467/1/77
Form: Engmundig
Typ: Hals konisch einziehend
Variante: regelmäßig gerundete Lippe
Typenbezeichnung: E2A
Erhaltungszustand: abgerieben
Fabrikat: 22
Beschreibung: Dm. Rand < 5%, daher unsicher
Maße (cm):
Wandstärke: 0,6
Dm. (Rand): 20
Dm. (Rand, erhalten in %): 4

Kat.-Nr. 1132
Fundnr.: 14/5467/1/106
Form: Engmundig
Typ: Hals steil konkav
Variante: horizontal abgestrichene Lippe
Typenbezeichnung: E1D
Erhaltungszustand: sekundär verbrannt
Fabrikat: 38
Maße (cm):
Wandstärke: 0,5
Dm. (Rand): 6
Dm. (Rand, erhalten in %): 10

Kat.-Nr. 1133
Fundnr.: 14/5467/1/109
Form: Engmundig
Typ: Hals steil konkav
Variante: regelmäßig gerundete Lippe
Typenbezeichnung: E1A
Erhaltungszustand: sekundär verbrannt
Fabrikat: 30
Beschreibung: Dm. Rand < 5%, daher unsicher
Maße (cm):
Wandstärke: 0,75
Dm. (Rand): 10
Dm. (Rand, erhalten in %): 4

Kat.-Nr. 1134
Fundnr.: 14/5467/1/113
Form: Engmundig
Typ: Hals konisch einziehend
Variante: leicht verdickte Lippe
Typenbezeichnung: E2C
Erhaltungszustand: abgerieben
Fabrikat: 24
Beschreibung: Dm. Rand nicht ermittelbar
Maße (cm):
Wandstärke: 0,45

Halsgefäße

Kat.-Nr. 1135 Taf. 39.1135
Fundnr.: 14/5467/1/20
Form: Halsgefäß
Typ: gerade Wandung
Variante: regelmäßig gerundete Lippe
Typenbezeichnung: Hg1A
Erhaltungszustand: sekundär verbrannt
Fabrikat: 15
Maße (cm):
Wandstärke: 1,05
Dm. (Rand): 34
Dm. (Rand, erhalten in %): 7

Kat.-Nr. 1136
Fundnr.: 14/5467/1/33
Form: Halsgefäß
Typ: geschwungene Wandung
Variante: außen verdickte Lippe
Typenbezeichnung: Hg2I
Erhaltungszustand: sekundär verbrannt
Fabrikat: 15
Maße (cm):
Wandstärke: 0,7
Dm. (Rand): 24
Dm. (Rand, erhalten in %): 6

Kat.-Nr. 1137
Fundnr.: 14/5467/1/34
Form: Halsgefäß
Typ: geschwungene Wandung
Variante: regelmäßig gerundete Lippe
Typenbezeichnung: Hg2A
Erhaltungszustand: sekundär verbrannt
Fabrikat: 15
Beschreibung: Dm. Rand nicht ermittelbar
Maße (cm):
Wandstärke: 1,1

Kat.-Nr. 1138
Fundnr.: 14/5467/1/38
Form: Halsgefäß
Typ: geschwungene Wandung
Variante: innen abgestrichene Lippe
Typenbezeichnung: Hg2N
Erhaltungszustand: sekundär verbrannt
Fabrikat: 48
Beschreibung: Dm. Rand < 5%, daher unsicher
Maße (cm):
Wandstärke: 0,9
Dm. (Rand): 26
Dm. (Rand, erhalten in %): 3,5

Kat.-Nr. 1139
Fundnr.: 14/5467/1/42
Form: Halsgefäß
Typ: geschwungene Wandung
Variante: ausbiegender verdickter Rand
Typenbezeichnung: Hg2L
Erhaltungszustand: sekundär verbrannt
Fabrikat: 37
Beschreibung: Dm. Rand nicht ermittelbar
Maße (cm):
Wandstärke: 1

Kat.-Nr. 1140
Fundnr.: 14/5467/1/83
Form: Halsgefäß
Typ: geschwungene Wandung
Variante: regelmäßig gerundete Lippe

Typenbezeichnung: Hg2A
Erhaltungszustand: abgerieben
Fabrikat: 33
Maße (cm):
Wandstärke: 0,55
Dm. (Rand): 10
Dm. (Rand, erhalten in %): 10

Kat.-Nr. 1141
Fundnr.: 14/5467/1/85
Form: Halsgefäß
Typ: geschwungene Wandung
Variante: regelmäßig gerundete Lippe
Typenbezeichnung: Hg2A
Erhaltungszustand: sekundär verbrannt
Fabrikat: 60
Maße (cm):
Wandstärke: 0,8
Dm. (Rand): 26
Dm. (Rand, erhalten in %): 7,5

Kat.-Nr. 1142
Fundnr.: 14/5467/1/104
Form: Halsgefäß
Typ: geschwungene Wandung
Variante: regelmäßig gerundete Lippe
Typenbezeichnung: Hg2A
Erhaltungszustand: sekundär verbrannt
Fabrikat: 15
Beschreibung: Vorratsgefäß?
Maße (cm):
Wandstärke: 1
Dm. (Rand): 24
Dm. (Rand, erhalten in %): 5,5

Kat.-Nr. 1143
Fundnr.: 14/5467/1/107
Form: Halsgefäß
Typ: geschwungene Wandung
Variante: regelmäßig gerundete Lippe
Typenbezeichnung: Hg2A
Erhaltungszustand: sekundär verbrannt
Fabrikat: 33
Beschreibung: vermutlich Fragment einer Kanne
Maße (cm):
Wandstärke: 0,65
Dm. (Rand): 6
Dm. (Rand, erhalten in %): 15

Kannen

Kat.-Nr. 1144 Taf. 40.1144
Fundnr.: 14/5467/1/22
Form: Kanne
Typ: unbestimmbar
Variante: unbestimmbar
Typenbezeichnung: Ka0
Erhaltungszustand: abgerieben
Fabrikat: 61
Maße (cm):
Wandstärke: 0,8
Dm. (Rand): 10
Dm. (Rand, erhalten in %): 28

Kat.-Nr. 1145
Fundnr.: 14/5467/1/28
Form: Kanne
Typ: unbestimmbar
Variante: unbestimmbar
Typenbezeichnung: Ka0
Erhaltungszustand: sekundär verbrannt
Fabrikat: 33
Beschreibung: Dm. Rand nicht ermittelbar
Maße (cm):
Wandstärke: 0,6

Kat.-Nr. 1146 Taf. 40.1146
Fundnr.: 14/5467/1/114
Form: Kanne
Typ: unbestimmbar
Variante: unbestimmbar
Typenbezeichnung: Ka0
Handhabe: mit WS1
Erhaltungszustand: sekundär verbrannt
Fabrikat: 33
Beschreibung: Weißbemalung (Linienbündel)
Maße (cm):
Wandstärke: 0,6
Dm. (Rand): 6
Dm. (Rand, erhalten in %): 19

Böden

Kat.-Nr. 1147
Fundnr.: 14/5467/1/71
Form: Boden
Typ: Flachboden
Variante: abgesetzte Standfläche
Typenbezeichnung: B1D
Erhaltungszustand: sekundär verbrannt
Fabrikat: 22
Maße (cm):
Wandstärke: 0,6
Dm. (Boden): 8
Dm. (Boden, erhalten in %): 12

Kat.-Nr. 1148
Fundnr.: 14/5467/1/127
Form: Boden
Typ: Flachboden
Variante: abgesetzte Standfläche
Typenbezeichnung: B1D
Erhaltungszustand: sekundär verbrannt
Fabrikat: 28
Maße (cm):
Wandstärke: 0,4
Dm. (Boden): 10
Dm. (Boden, erhalten in %): 11

Kat.-Nr. 1149 Taf. 40.1149
Fundnr.: 14/5467/1/129
Form: Boden

Typ: Standring
Typenbezeichnung: B3
Erhaltungszustand: sekundär verbrannt
Fabrikat: 51
Beschreibung: Wandstärke nicht ermittelbar
Maße (cm):
Dm. (Boden): 16
Dm. (Boden, erhalten in %): 27
Breite (Standring): 1,1

Vertikalhenkel

Kat.-Nr. 1150
Fundnr.: 14/5467/1/16
Form: Vertikalhenkel
Typ: ovaler Querschnitt
Variante: unverziert
Typenbezeichnung: H1A
Erhaltungszustand: sekundär verbrannt
Fabrikat: 17
Maße (cm):
Höhe: 1,2
Länge: erh. 3,3
Breite: 2,3

Kat.-Nr. 1151
Fundnr.: 14/5467/1/17
Form: Vertikalhenkel
Typ: breiter Querschnitt
Variante: unverziert
Typenbezeichnung: H2A
Erhaltungszustand: sekundär verbrannt
Fabrikat: 103
Maße (cm):
Höhe: 1,2
Länge: erh. 5,2
Breite: 2,4

Kat.-Nr. 1152 Taf. 40.1152
Fundnr.: 14/5467/1/51
Form: Vertikalhenkel
Typ: ovaler Querschnitt
Variante: unverziert
Typenbezeichnung: H1A
Erhaltungszustand: sekundär verbrannt
Fabrikat: 15
Maße (cm):
Höhe: 4,3
Länge: erh. 15,9
Breite: 6,1

Kat.-Nr. 1153
Fundnr.: 14/5467/1/52
Form: Vertikalhenkel
Typ: ovaler Querschnitt
Variante: unverziert
Typenbezeichnung: H1A
Erhaltungszustand: sekundär verbrannt
Fabrikat: 38
Maße (cm):
Höhe: 0,95
Länge: 4,3
Breite: 1,2

Kat.-Nr. 1154
Fundnr.: 14/5467/1/53
Form: Vertikalhenkel
Typ: ovaler Querschnitt
Variante: unverziert
Typenbezeichnung: H1A
Erhaltungszustand: sekundär verbrannt
Fabrikat: 17
Maße (cm):
Höhe: 2
Länge: erh. 4,7
Breite: 1,75

Kat.-Nr. 1155
Fundnr.: 14/5467/1/54
Form: Vertikalhenkel
Typ: runder Querschnitt
Variante: unverziert
Typenbezeichnung: H8B
Erhaltungszustand: abgerieben
Fabrikat: 51
Maße (cm):
Höhe: 2,2
Länge: erh. 6,35
Breite: 2,3

Kat.-Nr. 1156
Fundnr.: 14/5467/1/55
Form: Vertikalhenkel
Typ: breiter Querschnitt
Variante: unverziert
Typenbezeichnung: H2A
Erhaltungszustand: sekundär verbrannt
Fabrikat: 20
Maße (cm):
Höhe: 1,55
Länge: erh. 6,4
Breite: 3,9

Kat.-Nr. 1157
Fundnr.: 14/5467/1/56
Form: Vertikalhenkel
Typ: ovaler Querschnitt
Variante: unverziert
Typenbezeichnung: H1A
Erhaltungszustand: sekundär verbrannt
Fabrikat: 15
Maße (cm):
Höhe: 3,7
Länge: erh. 5,7
Breite: erh. 4,9

Kat.-Nr. 1158
Fundnr.: 14/5467/1/57
Form: Vertikalhenkel
Typ: ovaler Querschnitt
Variante: unverziert
Typenbezeichnung: H1A

Erhaltungszustand: sekundär verbrannt
Fabrikat: 49
Maße (cm):
Höhe: 1,45
Länge: erh. 4,5
Breite: 1,8

Kat.-Nr. 1159
Fundnr.: 14/5467/1/60
Form: Vertikalhenkel
Typ: Bandhenkel
Variante: unverziert
Typenbezeichnung: H3A
Erhaltungszustand: sekundär verbrannt
Fabrikat: 17
Maße (cm):
Höhe: 1,1
Länge: erh. 5,1
Breite: 3

Kat.-Nr. 1160
Fundnr.: 14/5467/1/62
Form: Vertikalhenkel
Typ: ovaler Querschnitt
Variante: unverziert
Typenbezeichnung: H1A
Handhabe/Verzierung: mit WS4
Erhaltungszustand: sekundär verbrannt
Fabrikat: 27
Maße (cm):
Höhe: 2,15
Länge: erh. 2,5
Breite: 2,75
Wandstärke: 0,5

Kat.-Nr. 1161
Fundnr.: 14/5467/1/64
Form: Vertikalhenkel
Typ: ovaler Querschnitt
Variante: unverziert
Typenbezeichnung: H1A
Erhaltungszustand: sekundär verbrannt
Fabrikat: 15
Maße (cm):
Höhe: erh. 2,6
Länge: erh. 3,3
Breite: erh. 2,9

Kat.-Nr. 1162
Fundnr.: 14/5467/1/86
Form: Vertikalhenkel
Typ: ovaler Querschnitt
Variante: unverziert
Typenbezeichnung: H1A
Erhaltungszustand: sekundär verbrannt
Fabrikat: 17
Maße (cm):
Höhe: 1,2
Länge: 6,8
Breite: 2,1

Kat.-Nr. 1163
Fundnr.: 14/5467/1/87
Form: Vertikalhenkel
Typ: breiter Querschnitt
Variante: unverziert
Typenbezeichnung: H2A
Handhabe/Verzierung: mit unterrandständigem WS4 an einem Hg2A
Erhaltungszustand: sekundär verbrannt
Fabrikat: 17
Maße (cm):
Höhe: 1,7
Länge: 6,4
Breite: 3,8
Wandstärke: 0,7
Dm. (Rand): 8
Dm. (Rand, erhalten in %): 15

Kat.-Nr. 1164
Fundnr.: 14/5467/1/88
Form: Vertikalhenkel
Typ: ovaler Querschnitt
Variante: unverziert
Typenbezeichnung: H1A
Erhaltungszustand: sekundär verbrannt
Fabrikat: 15
Maße (cm):
Höhe: 2,9
Länge: erh. 4,75
Breite: 5,1

Kat.-Nr. 1165
Fundnr.: 14/5467/1/89
Form: Vertikalhenkel
Typ: ovaler Querschnitt
Variante: unverziert
Typenbezeichnung: H1A
Erhaltungszustand: sekundär verbrannt
Fabrikat: 32
Maße (cm):
Höhe: 1,6
Länge: erh. 4,35
Breite: 2,4

Kat.-Nr. 1166
Fundnr.: 14/5467/1/91
Form: Vertikalhenkel
Typ: Bandhenkel
Variante: unverziert
Typenbezeichnung: H3A
Erhaltungszustand: sekundär verbrannt
Fabrikat: 33
Maße (cm):
Höhe: 0,7
Länge: erh. 3,6
Breite: 2,2

Kat.-Nr. 1167
Fundnr.: 14/5467/1/99
Form: Vertikalhenkel
Typ: ovaler Querschnitt

Variante: unverziert
Typenbezeichnung: H1A
Erhaltungszustand: versintert
Fabrikat: 42
Maße (cm):
Höhe: 2,35
Länge: erh. 6,5
Breite: 2,8

Kat.-Nr. 1168
Fundnr.: 14/5467/1/100
Form: Vertikalhenkel
Typ: ovaler Querschnitt
Variante: unverziert
Typenbezeichnung: H1A
Erhaltungszustand: sekundär verbrannt
Fabrikat: 78
Maße (cm):
Höhe: 1,2
Länge: erh. 4,95
Breite: 2,2

Kat.-Nr. 1169
Fundnr.: 14/5467/1/101
Form: Vertikalhenkel
Typ: breiter Querschnitt
Variante: unverziert
Typenbezeichnung: H2A
Handhabe/Verzierung: randständig
Erhaltungszustand: sekundär verbrannt
Fabrikat: 20
Beschreibung: mit länglicher Knubbe (2,2 × 1 cm); Dm. Rand nicht ermittelbar
Maße (cm):
Höhe: 1,6
Länge: erh. 4,85
Breite: 4
Wandstärke: 0,9

Kat.-Nr. 1170
Fundnr.: 14/5467/1/115
Form: Vertikalhenkel
Typ: ovaler Querschnitt
Variante: unverziert
Typenbezeichnung: H1A
Handhabe/Verzierung: mit randständigem WS4
Erhaltungszustand: sekundär verbrannt
Fabrikat: 17
Maße (cm):
Höhe: 2,8
Länge: erh. 6,85
Breite: 3,55

Kat.-Nr. 1171 Taf. 40.1171
Fundnr.: 14/5467/1/116
Form: Vertikalhenkel
Typ: ovaler Querschnitt
Variante: unverziert
Typenbezeichnung: H1A
Handhabe/Verzierung: mit WS1
Erhaltungszustand: sekundär verbrannt
Fabrikat: 33
Beschreibung: Weißbemalung (Linienbündel)
Maße (cm):
Höhe: 1
Länge: erh. 9,65
Breite: 2,1
Wandstärke: 0,35

Kat.-Nr. 1172
Fundnr.: 14/5467/1/117
Form: Vertikalhenkel
Typ: breiter Querschnitt
Variante: unverziert
Typenbezeichnung: H2A
Erhaltungszustand: sekundär verbrannt
Fabrikat: 33
Maße (cm):
Höhe: 1,5
Länge: erh. 5,65
Breite: 2,95
Wandstärke: 0,6

Kat.-Nr. 1173
Fundnr.: 14/5467/1/118
Form: Vertikalhenkel
Typ: ovaler Querschnitt
Variante: unverziert
Typenbezeichnung: H1A
Erhaltungszustand: sekundär verbrannt
Fabrikat: 33
Maße (cm):
Höhe: 1,1
Länge: 3,45
Breite: 2,15

Kat.-Nr. 1174
Fundnr.: 14/5467/1/122
Form: Vertikalhenkel
Typ: ovaler Querschnitt
Variante: unverziert
Typenbezeichnung: H1A
Erhaltungszustand: abgerieben
Fabrikat: 17
Maße (cm):
Höhe: erh. 2,5
Länge: erh. 3,2
Breite: erh. 4,2

Füße

Kat.-Nr. 1175
Fundnr.: 14/5467/1/18
Form: Fuß
Typ: ausgezipfelte Standfläche
Variante: flache Basis
Typenbezeichnung: F3A
Erhaltungszustand: sekundär verbrannt
Fabrikat: 58
Maße (cm):
Höhe: 2,35
Länge: erh. 5,6

Breite: 5,35
Breite (Standfläche): erh. 5,5

Kat.-Nr. 1176
Fundnr.: 14/5467/1/66
Form: Fuß
Typ: trapezförmig
Variante: gerundete Basis
Typenbezeichnung: F4B
Erhaltungszustand: abgerieben
Fabrikat: 32
Maße (cm):
Höhe: 1,75
Länge: erh. 5,9
Breite: 3,8
Breite (Standfläche): 4,7

Kat.-Nr. 1177
Fundnr.: 14/5467/1/68
Form: Fuß
Typ: trapezförmig
Variante: flache Basis
Typenbezeichnung: F4A
Erhaltungszustand: sekundär verbrannt
Fabrikat: 58
Maße (cm):
Höhe: 2,45
Länge: 5,1
Breite: 4,9
Breite (Standfläche): 6,4

Kat.-Nr. 1178 Taf. 40.1178
Fundnr.: 14/5467/1/92
Form: Fuß
Typ: gerade Standfläche
Variante: gerundeter Übergang
Typenbezeichnung: F1B
Erhaltungszustand: abgerieben
Fabrikat: 17
Maße (cm):
Höhe: 2,5
Länge: erh. 4,1
Breite: 4,1

Kat.-Nr. 1179
Fundnr.: 14/5467/1/93
Form: Fuß
Typ: trapezförmig
Variante: flache Basis
Typenbezeichnung: F4A
Erhaltungszustand: sekundär verbrannt
Fabrikat: 58
Beschreibung: Standfläche trapezförmig, leichtasymmetrisch verlaufend
Maße (cm):
Höhe: 2
Länge: 7,6
Breite: 3,3
Breite (Standfläche): 4,5

Kat.-Nr. 1180
Fundnr.: 14/5467/1/123
Form: Fuß
Typ: ausgezipfelte Standfläche
Variante: gerundete Basis
Typenbezeichnung: F3B
Erhaltungszustand: sekundär verbrannt
Fabrikat: 58
Maße (cm):
Höhe: 1,7
Länge: erh. 4,45
Breite: 3,9
Breite (Standfläche): 4,4

Kat.-Nr. 1181
Fundnr.: 14/5467/1/124
Form: Fuß
Typ: ausgezipfelte Standfläche
Variante: gerundete Basis
Typenbezeichnung: F3B
Erhaltungszustand: sekundär verbrannt
Fabrikat: 49
Maße (cm):
Höhe: 1,5
Länge: erh. 4
Breite: 3
Breite (Standfläche): erh. 3,1

Kat.-Nr. 1182
Fundnr.: 14/5467/1/125
Form: Fuß
Typ: ausgezipfelte Standfläche
Variante: gerundete Basis
Typenbezeichnung: F3B
Erhaltungszustand: sekundär verbrannt
Fabrikat: 32
Maße (cm):
Höhe: 1,55
Länge: erh. 4,9
Breite: 3,4

Kat.-Nr. 1183
Fundnr.: 14/5467/1/126
Form: Fuß
Typ: ausgezipfelte Standfläche
Variante: gerundete Basis
Typenbezeichnung: F3B
Erhaltungszustand: sekundär verbrannt
Fabrikat: 58
Maße (cm):
Höhe: 2,1
Länge: erh. 4
Breite: 4

Charakteristische Wandfragmente

Kat.-Nr. 1184 Taf. 40.1184
Fundnr.: 14/5467/1/23
Form: charakteristisches Wandfragment
Typ: bemalt
Typenbezeichnung: WS1
Erhaltungszustand: sekundär verbrannt
Fabrikat: 33

Beschreibung: Weißbemalung (Linienbündel); Halsfragment einer Kanne?
Maße (cm):
Wandstärke: 0,45

Kat.-Nr. 1185
Fundnr.: 14/5467/1/72
Form: charakteristisches Wandfragment
Typ: durchlocht/durchbohrt
Typenbezeichnung: WS3
Erhaltungszustand: sekundär verbrannt
Fabrikat: 15
Maße (cm):
Wandstärke: 0,8
Dm. (Durchlochung): 0,6

Kat.-Nr. 1186
Fundnr.: 14/5467/1/73
Form: charakteristisches Wandfragment
Typ: Applike
Variante: Knubbe
Typenbezeichnung: WS5B
Handhabe/Verzierung: Kn4
Erhaltungszustand: sekundär verbrannt
Fabrikat: 49
Maße (cm):
Höhe: 0,7
Wandstärke: 0,55
Dm. (Knubbe): 1,7

Kat.-Nr. 1187
Fundnr.: 14/5467/1/74
Form: charakteristisches Wandfragment
Typ: durchlocht/durchbohrt
Typenbezeichnung: WS3
Erhaltungszustand: sekundär verbrannt
Fabrikat: 15
Maße (cm):
Wandstärke: 0,85
Dm. (Durchlochung): 0,55

Kat.-Nr. 1188
Fundnr.: 14/5467/1/97
Form: charakteristisches Wandfragment
Typ: Applike
Variante: Knubbe
Typenbezeichnung: WS5B
Handhabe/Verzierung: Kn4
Erhaltungszustand: sekundär verbrannt
Fabrikat: 61
Maße (cm):
Höhe: 0,3
Wandstärke: 0,5
Dm. (Durchlochung): ca. 1,4

Kat.-Nr. 1189
Fundnr.: 14/5467/1/130
Form: charakteristisches Wandfragment
Typ: durchlocht/durchbohrt
Typenbezeichnung: WS3
Erhaltungszustand: sekundär verbrannt
Fabrikat: 15
Maße (cm):
Wandstärke: 1
Dm. (Durchlochung): 0,8

Kat.-Nr. 1190
Fundnr.: 14/5467/1/131
Form: charakteristisches Wandfragment
Typ: durchlocht/durchbohrt
Typenbezeichnung: WS3
Erhaltungszustand: sekundär verbrannt
Fabrikat: 15
Maße (cm):
Wandstärke: 1,8
Dm. (Durchlochung): 0,8

Randfragmente

Kat.-Nr. 1191
Fundnr.: 14/5467/1/48
Form: Randfragment
Typ: unbestimmbar
Variante: schräg nach außen abgestrichener und verdickter Rand
Typenbezeichnung: R0G
Erhaltungszustand: sekundär verbrannt
Fabrikat: 32
Beschreibung: Dm. Rand und Wandstärke nicht ermittelbar

Kat.-Nr. 1192
Fundnr.: 14/5467/1/84
Form: Randfragment
Typ: unbestimmbar
Variante: regelmäßig gerundete Lippe
Typenbezeichnung: R0A
Erhaltungszustand: abgerieben
Fabrikat: 38
Beschreibung: Dm. Rand nicht ermittelbar
Maße (cm):
Wandstärke: 1,3

ÇuHö Va

SE 5434

Schalen

Kat.-Nr. 1193 Taf. 40.1193
Fundnr.: 14/5434/1/1
Form: Schale
Typ: kalottenförmig
Variante: regelmäßig gerundete Lippe
Typenbezeichnung: S1A
Handhabe/Verzierung: mit randständiger Ö3?
Erhaltungszustand: sekundär verbrannt
Fabrikat: 17
Beschreibung: WG fraglich; Dm. Rand < 5%, daher unsicher
Maße (cm):
Wandstärke: 1,1

Dm. (Rand): 28,2
Dm. (Rand, erhalten in %): 4,5

Kat.-Nr. 1194 Taf. 40.1194
Fundnr.: 14/5434/1/2
Form: Schale
Typ: weitmundig
Variante: gerollter Rand
Typenbezeichnung: S4Q
Handhabe/Verzierung: mit randständigem WS4
Erhaltungszustand: sekundär verbrannt
Fabrikat: 103
Beschreibung: Dm. Rand < 5%, daher unsicher
Maße (cm):
Wandstärke: 0,6
Dm. (Rand): 52
Dm. (Rand, erhalten in %): 3,5

Horizontalhenkel

Kat.-Nr. 1195
Fundnr.: 14/5434/1/5
Form: Horizontalhenkel
Typ: ovaler Querschnitt
Variante: unverziert
Typenbezeichnung: H5A
Erhaltungszustand: sekundär verbrannt
Fabrikat: 58
Beschreibung: Magerung wie WG 58; Oberfläche nicht erhalten
Maße (cm):
Höhe: 0,7
Länge: 4,2
Breite: 1,5

Randfragmente

Kat.-Nr. 1196
Fundnr.: 14/5434/1/7
Form: Randfragment
Typ: unbestimmbar
Variante: horizontal abgestrichene Lippe
Typenbezeichnung: R0A
Erhaltungszustand: sekundär verbrannt
Fabrikat: 35
Beschreibung: sehr weitmundiges Gefäß; eventuell zu einem Vorratsgefäß gehörig; Dm. Rand < 5%, daher usnicher
Maße (cm):
Wandstärke: 1,1
Dm. (Rand): 54
Dm. (Rand, erhalten in %): 4

SE 5525

Schalen

Kat.-Nr. 1197
Fundnr.: 14/5525/1/23
Form: Schale
Typ: weitmundig
Variante: nach innen geschwollener Rand
Typenbezeichnung: S4F
Erhaltungszustand: abgerieben
Fabrikat: 55
Beschreibung: Dm. Rand < 5%, daher unsicher
Maße (cm):
Wandstärke: 0,4
Dm. (Rand): 30
Dm. (Rand, erhalten in %): 4,5

Kat.-Nr. 1198
Fundnr.: 14/5525/1/25
Form: Schale
Typ: kalottenförmig
Variante: regelmäßig gerundete Lippe
Typenbezeichnung: S1A
Erhaltungszustand: abgerieben
Fabrikat: 37
Beschreibung: Dm. Rand < 5%, daher unsicher
Maße (cm):
Wandstärke: 0,8
Dm. (Rand): 28
Dm. (Rand, erhalten in %): 4

Kat.-Nr. 1199
Fundnr.: 14/5525/1/26
Form: Schale
Typ: weitmundig
Variante: außen abgestrichene Lippe
Typenbezeichnung: S4O
Erhaltungszustand: abgerieben
Fabrikat: 33
Beschreibung: Dm. Rand < 5%, daher unsicher
Maße (cm):
Wandstärke: 0,9
Dm. (Rand): 46
Dm. (Rand, erhalten in %): 3,4

Kat.-Nr. 1200 Taf. 41.1200
Fundnr.: 14/5525/1/36
Form: Schale
Typ: kalottenförmig
Variante: regelmäßig gerundete Lippe
Typenbezeichnung: S1A
Erhaltungszustand: abgerieben
Fabrikat: 43
Maße (cm):
Wandstärke: 0,5
Dm. (Rand): 8
Dm. (Rand, erhalten in %): 11

Kat.-Nr. 1201
Fundnr.: 14/5525/1/38
Form: Schale
Typ: weitmundig
Variante: horizontal abgestrichene Lippe
Typenbezeichnung: S4D
Erhaltungszustand: abgerieben
Fabrikat: 80
Beschreibung: Dm. Rand < 5%, daher unsicher
Maße (cm):
Wandstärke: 0,7

Dm. (Rand): 19
Dm. (Rand, erhalten in %): 4,5

Halsgefäße

Kat.-Nr. 1202 Taf. 41.1202
Fundnr.: 14/5525/1/22
Form: Halsgefäß
Typ: geschwungene Wandung
Variante: ausbiegender Rand
Typenbezeichnung: Hg2S
Erhaltungszustand: abgerieben
Fabrikat: 15
Beschreibung: Dm. Rand < 5%, daher unsicher
Maße (cm):
Wandstärke: 1,9
Dm. (Rand): 64
Dm. (Rand, erhalten in %): 4,5

Kat.-Nr. 1203
Fundnr.: 14/5525/1/24
Form: Halsgefäß
Typ: gerade Wandung
Variante: nach innen geschwollener Rand
Typenbezeichnung: Hg1F
Erhaltungszustand: abgerieben
Fabrikat: 17
Maße (cm):
Wandstärke: 0,7
Dm. (Rand): 10
Dm. (Rand, erhalten in %): 11

Kat.-Nr. 1204 Taf. 41.1204
Fundnr.: 14/5525/1/28
Form: Halsgefäß
Typ: gerade Wandung
Variante: regelmäßig gerundete Lippe
Typenbezeichnung: Hg1A
Handhabe/Verzierung: mit randständigem H1A
Erhaltungszustand: abgerieben
Fabrikat: 78
Maße (cm):
Wandstärke: 0,8
Dm. (Rand): 30
Dm. (Rand, erhalten in %): 10

Kat.-Nr. 1205
Fundnr.: 14/5525/1/29
Form: Halsgefäß
Typ: geschwungene Wandung
Variante: ausbiegender verdickter Rand
Typenbezeichnung: Hg2L
Erhaltungszustand: abgerieben
Fabrikat: 20
Maße (cm):
Wandstärke: 0,7
Dm. (Rand): 14
Dm. (Rand, erhalten in %): 9

Kat.-Nr. 1206
Fundnr.: 14/5525/1/39
Form: Halsgefäß
Typ: geschwungene Wandung
Variante: spitz ausgezogene Lippe
Typenbezeichnung: Hg2B
Erhaltungszustand: abgerieben
Fabrikat: 18
Beschreibung: Dm. Rand < 5%, daher unsicher
Maße (cm):
Wandstärke: 0,7
Dm. (Rand): 30
Dm. (Rand, erhalten in %): 3

Cheese pots

Kat.-Nr. 1207 Taf. 41.1207
Fundnr.: 14/5525/1/27
Form: Cheese pot
Typ: unbestimmbar
Variante: schräg nach außen abgestrichener und verdickter Rand
Typenbezeichnung: Chb0G
Erhaltungszustand: sekundär verbrannt
Fabrikat: 32
Beschreibung: gerader Verlauf, daher Dm. Rand nicht ermittelbar
Maße (cm):
Wandstärke: 0,4

Vertikalhenkel

Kat.-Nr. 1208
Fundnr.: 14/5525/1/30
Form: Vertikalhenkel
Typ: breiter Querschnitt
Variante: unverziert
Typenbezeichnung: H2A
Erhaltungszustand: abgerieben
Fabrikat: 15
Maße (cm):
Höhe: 2,15
Länge: erh. ca. 5 cm
Breite: 4,6
Wandstärke: 1,3

Kat.-Nr. 1209
Fundnr.: 14/5525/1/37
Form: Vertikalhenkel
Typ: ovaler Querschnitt
Variante: unverziert
Typenbezeichnung: H1A
Handhabe/Verzierung: randständig
Erhaltungszustand: abgerieben
Fabrikat: 17
Maße (cm):
Höhe: 2,3
Länge: erh. 5, 3
Breite: 3,45

Röhrenösen

Kat.-Nr. 1210
Fundnr.: 14/5525/1/40
Form: Röhrenöse

Typ: einfacher Ösenabschluss
Typenbezeichnung: Ö2B
Erhaltungszustand: abgerieben
Fabrikat: 31
Maße (cm):
Höhe: 0,8
Länge: 2,85
Breite: 1,8
Wandstärke: 0,4
Dm. (Durchlochung): 0,4

Füße

Kat.-Nr. 1211 Taf. 41.1211
Fundnr.: 14/5525/1/31
Form: Fuß
Typ: trapezförmig
Variante: gerundete Basis
Typenbezeichnung: F4B
Erhaltungszustand: abgerieben
Fabrikat: 35
Maße (cm):
Höhe: 2,8
Länge: erh. 10
Breite: 5,7
Breite (Standfläche): 7,15

Kat.-Nr. 1212 Taf. 41.1212
Fundnr.: 14/5525/1/32
Form: Fuß
Typ: ausgezipfelte Standfläche
Variante: gerundete Basis
Typenbezeichnung: F3B
Erhaltungszustand: abgerieben
Fabrikat: 35
Maße (cm):
Höhe: 2
Länge: 5,8
Breite: 3,7
Breite (Standfläche): 5,1

Kat.-Nr. 1213 Taf. 41.1213
Fundnr.: 14/5525/1/41
Form: Fuß
Typ: trapezförmig
Variante: flache Basis
Typenbezeichnung: F4A
Erhaltungszustand: abgerieben
Fabrikat: 32
Maße (cm):
Höhe: 1,8
Länge: erh. 4,4
Breite: 3,2
Breite (Standfläche): 4,8

Kat.-Nr. 1214 Taf. 41.1214
Fundnr.: 14/5525/1/42
Form: Fuß
Typ: ausgezipfelte Standfläche
Variante: gerundete Basis
Typenbezeichnung: F3B
Erhaltungszustand: abgerieben
Fabrikat: 17
Maße (cm):
Höhe: 2,85
Länge: erh. 7
Breite: 4,1
Breite (Standfläche): 5,4

Charakteristische Wandfragmente

Kat.-Nr. 1215 Taf. 41.1215
Fundnr.: 14/5525/1/34
Form: charakteristisches Wandfragment
Typ: bemalt
Typenbezeichnung: WS1
Handhabe/Verzierung: auf S4K
Erhaltungszustand: abgerieben
Fabrikat: 37
Beschreibung: Weißbemalung schlecht erhalten; verschachtelte, hängende Dreiecke am Gefäßrand
Maße (cm):
Länge: 3,9
Breite: 4,6

Kat.-Nr. 1216 Taf. 41.1216
Fundnr.: 14/5525/1/35
Form: charakteristisches Wandfragment
Typ: bemalt
Typenbezeichnung: WS1
Erhaltungszustand: abgerieben
Fabrikat: 87
Beschreibung: Weißbemalung (sich kreuzende Linienbündel)
Maße (cm):
Länge: 2,7
Breite: 2,5

Kat.-Nr. 1217 Taf. 41.1217
Fundnr.: 14/5525/1/43
Form: charakteristisches Wandfragment
Typ: durchlocht/durchbohrt
Typenbezeichnung: WS3
Erhaltungszustand: abgerieben
Fabrikat: 15
Maße (cm):
Dm. (Durchlochung): 0,6

Planierung ÇuHö IV/Va

SE 5409

Schalen

Kat.-Nr. 1218
Fundnr.: 14/5409/1/6
Form: Schale
Typ: kalottenförmig
Variante: spitz ausgezogene Lippe
Typenbezeichnung: S1B
Erhaltungszustand: gut
Fabrikat: 42

Maße (cm):
Wandstärke: 0,6
Dm. (Rand): 22
Dm. (Rand, erhalten in %): 5

Kat.-Nr. 1219
Fundnr.: 14/5409/1/11
Form: Schale
Typ: sanft geschwungene Wandung
Variante: spitz ausgezogene Lippe
Typenbezeichnung: S5B
Erhaltungszustand: sekundär verbrannt
Fabrikat: 22
Beschreibung: Kern dunkler (vermutlich durch Feuereinwirkung)
Maße (cm):
Wandstärke: 0,4
Dm. (Rand): 9
Dm. (Rand, erhalten in %): 12

Kat.-Nr. 1220
Fundnr.: 14/5409/1/14
Form: Schale
Typ: kalottenförmig
Variante: regelmäßig gerundete Lippe
Typenbezeichnung: S1A
Erhaltungszustand: sekundär verbrannt
Fabrikat: 32
Maße (cm):
Wandstärke: 1,3
Dm. (Rand): 20
Dm. (Rand, erhalten in %): 5

Kat.-Nr. 1221
Fundnr.: 14/5409/1/27
Form: Schale
Typ: Knickrandschale
Variante: regelmäßig gerundete Lippe
Typenbezeichnung: S3A
Erhaltungszustand: sekundär verbrannt
Fabrikat: 19
Beschreibung: Dm. Rand < 5%, daher unsicher
Maße (cm):
Winkel (Knick): 51°
Länge: 1,6
Breite: 1,2
Wandstärke: 0,75
Dm. (Rand): 18
Dm. (Rand, erhalten in %): 4,5

Kat.-Nr. 1222 Taf. 42.1222
Fundnr.: 14/5409/1/28
Form: Schale
Typ: weitmundig
Variante: nach innen verdickte Lippe
Typenbezeichnung: S4U
Handhabe/Verzierung: mit randständigem H3C
Erhaltungszustand: abgerieben
Fabrikat: 29
Maße (cm):
Höhe: 0,7
Länge: 3,7
Breite: 2,1
Wandstärke: 0,8
Dm. (Rand): 40
Dm. (Rand, erhalten in %): 9

Kat.-Nr. 1223
Fundnr.: 14/5409/1/32
Form: Schale
Typ: kalottenförmig
Variante: innen abgestrichene Lippe
Typenbezeichnung: S1N
Erhaltungszustand: sekundär verbrannt
Fabrikat: 37
Beschreibung: Dm. Rand nicht ermittelbar
Maße (cm):
Wandstärke: 0,85

Dreifußtöpfe

Kat.-Nr. 1224 Taf. 42.1224
Fundnr.: 14/5409/1/1
Form: Dreifußtopf
Typ: trichterförmig
Variante: regelmäßig gerundete Lippe
Typenbezeichnung: Dt2A
Handhabe/Verzierung: mit randständigem H1C
Erhaltungszustand: sekundär verbrannt
Fabrikat: nicht bestimmbar
Maße (cm):
Höhe: 1,4
Länge: 7,9
Breite: 3,2
Wandstärke: 0,6
Dm. (Rand): 20
Dm. (Rand, erhalten in %): 6,5

Engmundige Gefäße

Kat.-Nr. 1225
Fundnr.: 14/5409/1/2
Form: Engmundig
Typ: Hals steil konkav
Variante: horizontal abgestrichene Lippe
Typenbezeichnung: E1D
Erhaltungszustand: gut
Fabrikat: 85
Maße (cm):
Wandstärke: 0,9
Dm. (Rand): 30
Dm. (Rand, erhalten in %): 6

Kat.-Nr. 1226
Fundnr.: 14/5409/1/10
Form: Engmundig
Typ: Hals steil konkav
Variante: spitz ausgezogene Lippe
Typenbezeichnung: E1B
Erhaltungszustand: sekundär verbrannt
Fabrikat: 58
Beschreibung: Dm. Rand < 5%, daher unsicher

Maße (cm):
Wandstärke: 0,8
Dm. (Rand): 12
Dm. (Rand, erhalten in %): 4,5

Kat.-Nr. 1227
Fundnr.: 14/5409/1/31
Form: Engmundig
Typ: Hals konisch einziehend
Variante: abgerundeter Übergang zur Basis
Typenbezeichnung: E2A
Erhaltungszustand: sekundär verbrannt
Fabrikat: 25
Maße (cm):
Wandstärke: 0,55
Dm. (Rand): 16
Dm. (Rand, erhalten in %): 8

Kat.-Nr. 1228
Fundnr.: 14/5409/1/37
Form: Engmundig
Typ: Hals konisch einziehend
Variante: regelmäßig gerundete Lippe
Typenbezeichnung: E2A
Erhaltungszustand: abgerieben
Fabrikat: 24
Beschreibung: Dm. Rand < 5%, daher unsicher
Maße (cm):
Wandstärke: 0,5
Dm. (Rand): 10
Dm. (Rand, erhalten in %): 3,5

Halsgefäße

Kat.-Nr. 1229
Fundnr.: 14/5409/1/13
Form: Halsgefäß
Typ: gerade Wandung
Variante: ausbiegender Rand
Typenbezeichnung: Hg1S
Erhaltungszustand: sekundär verbrannt
Fabrikat: nicht bestimmbar
Beschreibung: zu verbrannt für WG-Bestimmung
Maße (cm):
Wandstärke: 0,4
Dm. (Rand): 18
Dm. (Rand, erhalten in %): 5,5

Kat.-Nr. 1230
Fundnr.: 14/5409/1/33
Form: Halsgefäß
Typ: geschwungene Wandung
Variante: regelmäßig gerundete Lippe
Typenbezeichnung: Hg2A
Erhaltungszustand: sekundär verbrannt
Fabrikat: 49
Maße (cm):
Wandstärke: 0,5
Dm. (Rand): 14
Dm. (Rand, erhalten in %): 10

Böden

Kat.-Nr. 1231
Fundnr.: 14/5409/1/22
Form: Boden
Typ: flach
Variante: abgesetzte Standfläche
Typenbezeichnung: B1D
Erhaltungszustand: sekundär verbrannt
Fabrikat: 58
Beschreibung: wie WG 58, aber extrem verbrannt; Dm. Rand nicht ermittelbar
Maße (cm):
Wandstärke: 1,3

Kat.-Nr. 1232
Fundnr.: 14/5409/1/25
Form: Boden
Typ: Scheibenbasis
Variante: eingewölbte Standfläche
Typenbezeichnung: B2A
Erhaltungszustand: sekundär verbrannt
Fabrikat: 30
Beschreibung: wie WG 30, aber mit höherem Glimmeranteil
Maße (cm):
Wandstärke: 1,1
Dm. (Boden): 12
Dm. (Boden, erhalten in %): 9,5

Kat.-Nr. 1233 Taf. 42.1233
Fundnr.: 14/5409/1/26
Form: Boden
Typ: Flachboden
Variante: abgerundeter Übergang zur Basis
Typenbezeichnung: B1A
Handhabe/Verzierung: mit WS2B
Erhaltungszustand: abgerieben
Fabrikat: 55
Beschreibung: mit linearem Rillendekor
Maße (cm):
Wandstärke: 0,45
Dm. (Boden): 7
Dm. (Boden, erhalten in %): 35

Vertikalhenkel

Kat.-Nr. 1234
Fundnr.: 14/5409/1/15
Form: Vertikalhenkel
Typ: breiter Querschnitt
Variante: unverziert
Typenbezeichnung: H2A
Erhaltungszustand: sekundär verbrannt
Fabrikat: 17
Beschreibung: Oberfläche schwarz verbrannt
Maße (cm):
Höhe: 1,6
Länge: erh. 4,7
Breite: 4,2

Kat.-Nr. 1235 Taf. 42.1235
Fundnr.: 14/5409/1/18
Form: Vertikalhenkel
Typ: ovaler Querschnitt
Variante: unverziert
Typenbezeichnung: H1A
Erhaltungszustand: sekundär verbrannt
Fabrikat: 15
Maße (cm):
Höhe: 3,3
Länge: 13,1
Breite: 4,9

Kat.-Nr. 1236
Fundnr.: 14/5409/1/19
Form: Vertikalhenkel
Typ: ovaler Querschnitt
Variante: unverziert
Typenbezeichnung: H1A
Erhaltungszustand: sekundär verbrannt
Fabrikat: 42
Maße (cm):
Höhe: 0,9
Länge: erh. 2,1
Breite: 1,8

Kat.-Nr. 1237
Fundnr.: 14/5409/1/29
Form: Vertikalhenkel
Typ: ovaler Querschnitt
Variante: unverziert
Typenbezeichnung: H1A
Handhabe/Verzierung: mit WS4
Erhaltungszustand: sekundär verbrannt
Fabrikat: 20
Maße (cm):
Höhe: 2,35
Länge: erh. 6,35
Breite: 4,1
Wandstärke: 0,95

Kat.-Nr. 1238
Fundnr.: 14/5409/1/49
Form: Vertikalhenkel
Typ: ovaler Querschnitt
Variante: unverziert
Typenbezeichnung: H1A
Handhabe/Verzierung: mit randständigem WS4
Erhaltungszustand: abgerieben
Fabrikat: 56
Maße (cm):
Höhe: 1,3
Länge: erh. 4,1
Breite: 2,4
Wandstärke: 0,55
Dm. (Rand): 4
Dm. (Rand, erhalten in %): 16

Kat.-Nr. 1239
Fundnr.: 14/5409/1/50
Form: Vertikalhenkel
Typ: ovaler Querschnitt
Variante: unverziert
Typenbezeichnung: H1A
Erhaltungszustand: sekundär verbrannt
Fabrikat: 49
Maße (cm):
Höhe: 1,7
Länge: erh. 3,8
Breite: 3,2
Wandstärke: 0,89

Kat.-Nr. 1240
Fundnr.: 14/5409/1/51
Form: Vertikalhenkel
Typ: ovaler Querschnitt
Variante: unverziert
Typenbezeichnung: H1A
Handhabe/Verzierung: mit randständigem WS4
Erhaltungszustand: sekundär verbrannt
Fabrikat: 61
Maße (cm):
Höhe: 1,6
Länge: erh. 2,4
Breite: erh. 2,1

Kat.-Nr. 1241
Fundnr.: 14/5409/1/55
Form: Vertikalhenkel
Typ: ovaler Querschnitt
Variante: unverziert
Typenbezeichnung: H1A
Erhaltungszustand: sekundär verbrannt
Fabrikat: 15
Maße (cm):
Höhe: 2,6
Länge: erh. 7,5
Breite: 4,8
Wandstärke: 1,1

Kat.-Nr. 1242
Fundnr.: 14/5409/1/56
Form: Vertikalhenkel
Typ: ovaler Querschnitt
Variante: unverziert
Typenbezeichnung: H1A
Erhaltungszustand: sekundär verbrannt
Fabrikat: 55
Maße (cm):
Höhe: 0,8
Länge: erh. 3,55
Breite: 1,95

Griffknubben

Kat.-Nr. 1243
Fundnr.: 14/5409/1/52
Form: Griffknubbe
Typ: triangulärer Querschnitt
Typenbezeichnung: G7
Erhaltungszustand: abgerieben
Fabrikat: 24

Maße (cm):
Höhe: 1,85
Länge: 2,35
Breite: 3,2

Füße

Kat.-Nr. 1244 Taf. 42.1244
Fundnr.: 14/5409/1/20
Form: Fuß
Typ: gerade Standfläche
Variante: eckiger Übergang
Typenbezeichnung: F1A
Erhaltungszustand: sekundär verbrannt
Fabrikat: 17
Maße (cm):
Höhe: 1,4
Länge: erh. 6,1
Breite: 3,7

Kat.-Nr. 1245
Fundnr.: 14/5409/1/21
Form: Fuß
Typ: ausgezipfelte Standfläche
Variante: flache Basis
Typenbezeichnung: F3A
Erhaltungszustand: sekundär verbrannt
Fabrikat: 85
Maße (cm):
Höhe: 1,1
Länge: erh 3
Breite: erh. 2,4
Breite (Standfläche): 3,2

Kat.-Nr. 1246
Fundnr.: 14/5409/1/38
Form: Fuß
Typ: unbestimmbar
Variante: unbestimmbar
Typenbezeichnung: F0
Handhabe/Verzierung: Ansatz an Dt
Erhaltungszustand: sekundär verbrannt
Fabrikat: 49
Maße (cm):
Höhe: 0,6
Länge: erh. 4,9
Breite: 3,85
Wandstärke: 0,8

Kat.-Nr. 1247
Fundnr.: 14/5409/1/53
Form: Fuß
Typ: ausgezipfelte Standfläche
Variante: flache Basis
Typenbezeichnung: F3A
Erhaltungszustand: sekundär verbrannt
Fabrikat: 83
Maße (cm):
Höhe: 1,1
Länge: erh. 4,55
Breite: erh. 4,2
Breite (Standfläche): 5,25

Charakteristische Wandfragmente

Kat.-Nr. 1248
Fundnr.: 14/5409/1/24
Form: charakteristisches Wandfragment
Typ: durchlocht/durchbohrt
Typenbezeichnung: WS3
Erhaltungszustand: sekundär verbrannt
Fabrikat: 58
Maße (cm):
Wandstärke: 0,8
Dm. (Durchlochung): 0,8

Kat.-Nr. 1249
Fundnr.: 14/5409/1/54
Form: charakteristisches Wandfragment
Typ: bemalt
Typenbezeichnung: WS1
Erhaltungszustand: sekundär verbrannt
Fabrikat: nicht bestimmbar
Beschreibung: Weißbemalung (Linienbündel)
Maße (cm):
Wandstärke: 0,45

Kat.-Nr. 1250 Taf. 43.1250
Fundnr.: 14/5409/1/57
Form: charakteristisches Wandfragment
Typ: bemalt
Typenbezeichnung: WS1
Erhaltungszustand: sekundär verbrannt
Fabrikat: 33
Beschreibung: Linienbündel auf dem Gefäßhals; Halsfragment einer Kanne?
Maße (cm):
Wandstärke: 0,4

Kat.-Nr. 1251 Taf. 43.1251
Fundnr.: 14/5409/1/58
Form: charakteristisches Wandfragment
Typ: bemalt
Typenbezeichnung: WS1
Erhaltungszustand: sekundär verbrannt
Fabrikat: 33
Beschreibung: Weißbemalung (Linienbündel)
Maße (cm):
Wandstärke: 0,4

Randfragmente

Kat.-Nr. 1252
Fundnr.: 14/5409/1/4
Form: Randfragment
Typ: unbestimmbar
Variante: außen verdickte Lippe
Typenbezeichnung: R0I
Erhaltungszustand: sekundär verbrannt
Fabrikat: 38
Beschreibung: Dm. Rand < 5%, daher unsicher
Maße (cm):
Wandstärke: 0,6
Dm. (Rand): 18
Dm. (Rand, erhalten in %): 4,75

Kat.-Nr. 1253
Fundnr.: 14/5409/1/8
Form: Randfragment
Typ: unbestimmt
Variante: spitz ausgezogene Lippe
Typenbezeichnung: R0B
Erhaltungszustand: sekundär verbrannt
Fabrikat: 28
Maße (cm):
Wandstärke: 0,4
Dm. (Rand): 18
Dm. (Rand, erhalten in %): 5

Kat.-Nr. 1254
Fundnr.: 14/5409/1/34
Form: Randfragment
Typ: unbestimmbar
Variante: regelmäßig gerundete Lippe
Typenbezeichnung: R0A
Erhaltungszustand: sekundär verbrannt
Fabrikat: 17
Maße (cm):
Wandstärke: 0,9
Dm. (Rand): 28
Dm. (Rand, erhalten in %): 6

Kat.-Nr. 1255
Fundnr.: 14/5409/1/35
Form: Randfragment
Typ: unbestimmbar
Variante: regelmäßig gerundete Lippe
Typenbezeichnung: R0A
Erhaltungszustand: abgerieben
Fabrikat: 23
Beschreibung: Dm. Rand nicht ermittelbar
Maße (cm):
Wandstärke: 1,6

Kat.-Nr. 1256
Fundnr.: 14/5409/1/36
Form: Randfragment
Typ: unbestimmbar
Variante: ausbiegender Rand
Typenbezeichnung: R0S
Erhaltungszustand: sekundär verbrannt
Fabrikat: 40
Maße (cm):
Wandstärke: 0,7
Dm. (Rand): 10
Dm. (Rand, erhalten in %): 9

SE 5435

Schalen

Kat.-Nr. 1257 Taf. 43.1257
Fundnr.: 14/5435/1/1
Form: Schale
Typ: kalottenförmig
Variante: regelmäßig gerundete Lippe
Typenbezeichnung: S1A
Handhabe/Verzierung: mit randständigem H1A
Erhaltungszustand: sekundär verbrannt
Fabrikat: 37
Beschreibung: Dm. Rand < 5%, daher unsicher
Maße (cm):
Höhe: 1,1
Länge: 5
Breite: 2,8
Wandstärke: 0,9
Dm. (Rand): 38
Dm. (Rand, erhalten in %): 4

Kat.-Nr. 1258
Fundnr.: 14/5435/1/5
Form: Schale
Typ: kalottenförmig
Variante: horizontal abgestrichene Lippe
Typenbezeichnung: S1D
Erhaltungszustand: sekundär verbrannt
Fabrikat: 18
Beschreibung: Dm. Rand < 5%, daher unsicher
Maße (cm):
Wandstärke: 0,7
Dm. (Rand): 16
Dm. (Rand, erhalten in %): 4,5

Kat.-Nr. 1259
Fundnr.: 14/5435/1/22
Form: Schale
Typ: kalottenförmig
Variante: nach innen verdickte Lippe
Typenbezeichnung: S1U
Erhaltungszustand: abgerieben
Fabrikat: 47
Beschreibung: Dm. Rand < 5%, daher unsicher
Maße (cm):
Wandstärke: 0,8
Dm. (Rand): 34
Dm. (Rand, erhalten in %): 4,2

Engmundige Gefäße

Kat.-Nr. 1260
Fundnr.: 14/5435/1/2
Form: Engmundig
Typ: Hals konisch einziehend
Variante: spitz ausgezogene Lippe
Typenbezeichnung: E2B
Erhaltungszustand: sekundär verbrannt
Fabrikat: 24
Maße (cm):
Wandstärke: 0,7
Dm. (Rand): 18
Dm. (Rand, erhalten in %): 5

Kat.-Nr. 1261
Fundnr.: 14/5435/1/4
Form: Engmundig
Typ: Hals konisch einziehend
Variante: regelmäßig gerundete Lippe
Typenbezeichnung: E2A
Erhaltungszustand: sekundär verbrannt
Fabrikat: 20

Maße (cm):
Wandstärke: 0,8
Dm. (Rand): 19
Dm. (Rand, erhalten in %): 8

Kat.-Nr. 1262
Fundnr.: 14/5435/1/21
Form: Engmundig
Typ: Hals konisch einziehend
Variante: schräg nach innen abgestrichene und verdickte Lippe
Typenbezeichnung: E2P
Erhaltungszustand: sekundär verbrannt
Fabrikat: 28
Maße (cm):
Wandstärke: 0,6
Dm. (Rand): 9
Dm. (Rand, erhalten in %): 11

Halsgefäße

Kat.-Nr. 1263
Fundnr.: 14/5435/1/7
Form: Halsgefäß
Typ: geschwungene Wandung
Variante: regelmäßig gerundete Lippe
Typenbezeichnung: Hg2A
Erhaltungszustand: abgerieben
Fabrikat: 61
Maße (cm):
Wandstärke: 0,5
Dm. (Rand): 14
Dm. (Rand, erhalten in %): 6,5

Kat.-Nr. 1264 Taf. 43.1264
Fundnr.: 14/5435/1/8
Form: Halsgefäß
Typ: geschwungene Wandung
Variante: regelmäßig gerundete Lippe
Typenbezeichnung: Hg2A
Erhaltungszustand: sekundär verbrannt
Fabrikat: 20
Maße (cm):
Wandstärke: 0,8
Dm. (Rand): 18
Dm. (Rand, erhalten in %): 6

Kat.-Nr. 1265
Fundnr.: 14/5435/1/15
Form: Halsgefäß
Typ: geschwungene Wandung
Variante: regelmäßig gerundete Lippe
Typenbezeichnung: Hg2A
Handhabe/Verzierung: mit randständigem WS4
Erhaltungszustand: abgerieben
Fabrikat: 49
Maße (cm):
Wandstärke: 0,55
Dm. (Rand): 18
Dm. (Rand, erhalten in %): 11

Kat.-Nr. 1266
Fundnr.: 14/5435/1/25
Form: Halsgefäß
Typ: geschwungene Wandung
Variante: regelmäßig gerundete Lippe
Typenbezeichnung: Hg2A
Erhaltungszustand: sekundär verbrannt
Fabrikat: 59
Beschreibung: Dm. Rand < 5%, daher unsicher
Maße (cm):
Wandstärke: 1,5
Dm. (Rand): 34
Dm. (Rand, erhalten in %): 4

Böden

Kat.-Nr. 1267
Fundnr.: 14/5435/1/11
Form: Boden
Typ: Flachboden
Variante: abgerundeter Übergang zur Basis
Typenbezeichnung: B1A
Erhaltungszustand: sekundär verbrannt
Fabrikat: 36
Beschreibung: Dm. Rand nicht ermittelbar
Maße (cm):
Wandstärke: 0,6
Dm. (Boden): 10
Dm. (Boden, erhalten in %): 10

Kat.-Nr. 1268
Fundnr.: 14/5435/1/12
Form: Boden
Typ: Scheibenbasis
Variante: eingewölbte Standfläche
Typenbezeichnung: B2A
Erhaltungszustand: abgerieben
Fabrikat: 32
Beschreibung: stark abgerieben
Maße (cm):
Wandstärke: 0,7
Dm. (Boden): 12
Dm. (Boden, erhalten in %): 7,75

Kat.-Nr. 1269 Taf. 43.1269
Fundnr.: 14/5435/1/29
Form: Boden
Typ: Flachboden
Variante: abgerundeter Übergang zur Basis
Typenbezeichnung: B1A
Erhaltungszustand: abgerieben
Fabrikat: 33
Maße (cm):
Wandstärke: 0,4
Dm. (Boden): 3,2
Dm. (Boden, erhalten in %): 30

Vertikalhenkel

Kat.-Nr. 1270
Fundnr.: 14/5435/1/9

Form: Vertikalhenkel
Typ: breiter Querschnitt
Variante: unverziert
Typenbezeichnung: H2A
Erhaltungszustand: sekundär verbrannt
Fabrikat: 20
Maße (cm):
Höhe: 1,9
Länge: erh. 3,9
Breite: 4,3

Kat.-Nr. 1271
Fundnr.: 14/5435/1/26
Form: Vertikalhenkel
Typ: breiter Querschnitt
Variante: unverziert
Typenbezeichnung: H2A
Erhaltungszustand: sekundär verbrannt
Fabrikat: 49
Maße (cm):
Höhe: 0,8
Länge: erh. 5,4
Breite: 2,9

Füße

Kat.-Nr. 1272 Taf. 43.1272
Fundnr.: 14/5435/1/16
Form: Fuß
Typ: trapezförmig
Variante: flache Basis
Typenbezeichnung: F4A
Erhaltungszustand: sekundär verbrannt
Fabrikat: 92
Maße (cm):
Höhe: 2,3
Länge: erh. 5,2
Breite: 3

Kat.-Nr. 1273 Taf. 43.1273
Fundnr.: 14/5435/1/27
Form: Fuß
Typ: ausgezipfelte Standfläche
Variante: flache Basis
Typenbezeichnung: F3A
Erhaltungszustand: sekundär verbrannt
Fabrikat: 58
Maße (cm):
Höhe: 2,2
Länge: erh. 9,7
Breite: 5,4
Breite (Standfläche): 7,6

Charakteristische Wandfragmente

Kat.-Nr. 1274 Taf. 44.1274
Fundnr.: 14/5435/1/19
Form: charakteristisches Wandfragment
Typ: Einkerbverzierung
Typenbezeichnung: WS9
Erhaltungszustand: sekundär verbrannt
Fabrikat: 15
Beschreibung: fischgrätartige Verzierung
Maße (cm):
Wandstärke: 0,7
Breite (Verzierung): 1,2

Kat.-Nr. 1275 Taf. 44.1275
Fundnr.: 14/5435/1/28
Form: charakteristisches Wandfragment
Typ: Applike
Variante: Knubbe
Typenbezeichnung: WS5B
Handhabe/Verzierung: Kn4
Erhaltungszustand: sekundär verbrannt
Fabrikat: 33
Beschreibung: kegelförmig
Maße (cm):
Höhe: 0,4
Wandstärke: 0,4
Dm. (Durchlochung): 0,7

Randfragmente

Kat.-Nr. 1276
Fundnr.: 14/5435/1/3
Form: Randfragment
Typ: unbestimmbar
Variante: regelmäßig gerundete Lippe
Typenbezeichnung: R0A
Erhaltungszustand: sekundär verbrannt
Fabrikat: 22
Maße (cm):
Wandstärke: 0,7
Dm. (Rand): 16
Dm. (Rand, erhalten in %): 5

Kat.-Nr. 1277
Fundnr.: 14/5435/1/14
Form: Randfragment
Typ: unbestimmbar
Variante: regelmäßig gerundete Lippe
Typenbezeichnung: R0A
Erhaltungszustand: abgerieben
Fabrikat: 30
Maße (cm):
Wandstärke: 0,7
Dm. (Rand): 14
Dm. (Rand, erhalten in %): 5

Kat.-Nr. 1278
Fundnr.: 14/5435/1/23
Form: Randfragment
Typ: unbestimmbar
Variante: horizontal abgestrichene Lippe
Typenbezeichnung: R0D
Erhaltungszustand: sekundär verbrannt
Fabrikat: 28
Maße (cm):
Wandstärke: erh. 0,5
Dm. (Rand): 20
Dm. (Rand, erhalten in %): 5,5

SE 5486

Engmundige Gefäße

Kat.-Nr. 1279
Fundnr.: 14/5486/1/2
Form: Engmundig
Typ: Hals konisch einziehend
Variante: regelmäßig gerundete Lippe
Typenbezeichnung: E2A
Erhaltungszustand: abgerieben
Fabrikat: 78
Maße (cm):
Wandstärke: 0,5
Dm. (Rand): 12
Dm. (Rand, erhalten in %): 5

Halsgefäße

Kat.-Nr. 1280
Fundnr.: 14/5486/1/1
Form: Halsgefäß
Typ: geschwungene Wandung
Variante: regelmäßig gerundete Lippe
Typenbezeichnung: Hg2A
Handhabe/Verzierung: mit unterrandständigem WS4
Erhaltungszustand: abgerieben
Fabrikat: 15
Maße (cm):
Wandstärke: 0,85
Dm. (Rand): 11
Dm. (Rand, erhalten in %): 18

SE 5506

Sonderformen

Kat.-Nr. 1281 Taf. 44.1281
Fundnr.: 14/5506/1/33
Form: Sonderform
Typ: Backwanne
Typenbezeichnung: SF2
Erhaltungszustand: sekundär verbrannt
Fabrikat: 16
Beschreibung: vermutlich ovale Form; wahrscheinlich zu 14/5506/1/52 (Kat.-Nr. 1282) gehörig
Maße (cm):
Wandstärke: 2,8
Dm. (Rand): ca. 50
Dm. (Rand, erhalten in %): 8

Kat.-Nr. 1282
Fundnr.: 14/5506/1/52
Form: Sonderform
Typ: Backwanne
Typenbezeichnung: SF2
Erhaltungszustand: sekundär verbrannt
Fabrikat: 16
Beschreibung: vermutlich zu 5506/1/33 (Kat.-Nr. 1281) gehörig; kein Dm. Rand und Wandstärke bestimmbar
Maße (cm):
Höhe (max.): 2,6

Schalen

Kat.-Nr. 1283 Taf. 44.1283
Fundnr.: 14/5506/1/2
Form: Schale
Typ: weitmundig
Variante: gerollter Rand
Typenbezeichnung: S4Q
Erhaltungszustand: sekundär verbrannt
Fabrikat: 88
Beschreibung: Dm. Rand < 5%, daher unsicher
Maße (cm):
Wandstärke: 1
Dm. (Rand): 30
Dm. (Rand, erhalten in %): 3,5

Kat.-Nr. 1284
Fundnr.: 14/5506/1/3
Form: Schale
Typ: kalottenförmig
Variante: schräg nach innen abgestrichene und verdickte Lippe
Typenbezeichnung: S1K
Erhaltungszustand: sekundär verbrannt
Fabrikat: 37
Beschreibung: Dm. Rand < 5%, daher unsicher
Maße (cm):
Wandstärke: 0,9
Dm. (Rand): 40
Dm. (Rand, erhalten in %): 3,5

Kat.-Nr. 1285
Fundnr.: 14/5506/1/4
Form: Schale
Typ: weitmundig
Variante: gerollter Rand
Typenbezeichnung: S4Q
Erhaltungszustand: abgerieben
Fabrikat: 38
Beschreibung: Dm. Rand nicht ermittelbar
Maße (cm):
Wandstärke: 0,7

Kat.-Nr. 1286
Fundnr.: 14/5506/1/5
Form: Schale
Typ: weitmundig
Variante: regelmäßig gerundete Lippe
Typenbezeichnung: S4A
Erhaltungszustand: sekundär verbrannt
Fabrikat: 61
Beschreibung: Dm. Rand < 5%, daher unsicher
Maße (cm):
Wandstärke: 0,6
Dm. (Rand): 30
Dm. (Rand, erhalten in %): 4,5

Kat.-Nr. 1287
Fundnr.: 14/5506/1/6
Form: Schale
Typ: kalottenförmig
Variante: regelmäßig gerundete Lippe

Typenbezeichnung: S1A
Erhaltungszustand: abgerieben
Fabrikat: 51
Beschreibung: Dm. Rand < 5%, daher unsicher
Maße (cm):
Wandstärke: 1,1
Dm. (Rand): 42
Dm. (Rand, erhalten in %): 3,8

Kat.-Nr. 1288
Fundnr.: 14/5506/1/9
Form: Schale
Typ: kalottenförmig
Variante: regelmäßig gerundete Lippe
Typenbezeichnung: S1A
Erhaltungszustand: sekundär verbrannt
Fabrikat: 100
Beschreibung: Dm. Rand < 5%, daher unsicher
Maße (cm):
Wandstärke: 0,7
Dm. (Rand): 30
Dm. (Rand, erhalten in %): 3,25

Kat.-Nr. 1289
Fundnr.: 14/5506/1/10
Form: Schale
Typ: kalottenförmig
Variante: regelmäßig gerundete Lippe
Typenbezeichnung: S1A
Erhaltungszustand: abgerieben
Fabrikat: 15
Beschreibung: Dm. Rand nicht ermittelbar
Maße (cm):
Wandstärke: 1,2

Kat.-Nr. 1290
Fundnr.: 14/5506/1/13
Form: Schale
Typ: kalottenförmig
Variante: regelmäßig gerundete Lippe
Typenbezeichnung: S1A
Erhaltungszustand: abgerieben
Fabrikat: 15
Beschreibung: Dm. Rand < 5%, daher unsicher
Maße (cm):
Wandstärke: 1
Dm. (Rand): 46
Dm. (Rand, erhalten in %): 4

Kat.-Nr. 1291
Fundnr.: 14/5506/1/24
Form: Schale
Typ: kalottenförmig
Variante: regelmäßig gerundete Lippe
Typenbezeichnung: S1A
Erhaltungszustand: sekundär verbrannt
Fabrikat: 115
Beschreibung: Dm. Rand < 5%, daher unsicher
Maße (cm):
Wandstärke: 0,5
Dm. (Rand): 22
Dm. (Rand, erhalten in %): 4,5

Kat.-Nr. 1292
Fundnr.: 14/5506/1/26
Form: Schale
Typ: sanft geschwungene Wandung
Variante: spitz ausgezogene Lippe
Typenbezeichnung: S5B
Erhaltungszustand: sekundär verbrannt
Fabrikat: 22
Maße (cm):
Wandstärke: 0,5
Dm. (Rand): 18
Dm. (Rand, erhalten in %): 6

Kat.-Nr. 1293
Fundnr.: 14/5506/1/43
Form: Schale
Typ: kalottenförmig
Variante: regelmäßig gerundete Lippe
Typenbezeichnung: S1A
Handhabe/Verzierung: randständige WS4
Erhaltungszustand: abgerieben
Fabrikat: 27
Beschreibung: Dm. Rand nicht ermittelbar
Maße (cm):
Wandstärke: 0,55

Kat.-Nr. 1294
Fundnr.: 14/5506/1/44
Form: Schale
Typ: weitmundig
Variante: außen verdickte Lippe
Typenbezeichnung: S4I
Erhaltungszustand: abgerieben
Fabrikat: nicht bestimmbar
Maße (cm):
Wandstärke: 0,55
Dm. (Rand): 10
Dm. (Rand, erhalten in %): 14

Töpfe

Kat.-Nr. 1295
Fundnr.: 14/5506/1/34
Form: Topf
Typ: steil konkave Wandung
Variante: regelmäßig gerundete Lippe
Typenbezeichnung: T2A
Erhaltungszustand: sekundär verbrannt
Fabrikat: 15
Maße (cm):
Wandstärke: 1,5
Dm. (Rand): 30
Dm. (Rand, erhalten in %): 7

Kat.-Nr. 1296
Fundnr.: 14/5506/1/41
Form: Topf
Typ: steil konkave Wandung
Variante: regelmäßig gerundete Lippe
Typenbezeichnung: T2A
Erhaltungszustand: sekundär verbrannt
Fabrikat: 15

Maße (cm):
Wandstärke: 1,35
Dm. (Rand): 17
Dm. (Rand, erhalten in %): 8

Engmundige Gefäße

Kat.-Nr. 1297
Fundnr.: 14/5506/1/11
Form: Engmundig
Typ: Hals konisch einziehend
Variante: innen abgestrichene Lippe
Typenbezeichnung: E2N
Erhaltungszustand: sekundär verbrannt
Fabrikat: nicht bestimmbar
Beschreibung: WG unbestimmbar, da zu stark verbrannt; Dm. Rand < 5%, daher unsicher
Maße (cm):
Wandstärke: 0,6
Dm. (Rand): 18
Dm. (Rand, erhalten in %): 4,75

Halsgefäße

Kat.-Nr. 1298 Taf. 44.1298
Fundnr.: 14/5506/1/1
Form: Halsgefäß
Typ: geschwungene Wandung
Variante: ausbiegender Rand
Typenbezeichnung: Hg2S
Erhaltungszustand: sekundär verbrannt
Fabrikat: 15
Maße (cm):
Wandstärke: 0,9
Dm. (Rand): 44
Dm. (Rand, erhalten in %): 8

Kat.-Nr. 1299
Fundnr.: 14/5506/1/35
Form: Halsgefäß
Typ: gerade Wandung
Variante: ausbiegender verdickter Rand
Typenbezeichnung: Hg1L
Erhaltungszustand: sekundär verbrannt
Fabrikat: 15
Maße (cm):
Wandstärke: 1
Dm. (Rand): 20
Dm. (Rand, erhalten in %): 8

Kat.-Nr. 1300
Fundnr.: 14/5506/1/36
Form: Halsgefäß
Typ: geschwungene Wandung
Variante: ausbiegender Rand
Typenbezeichnung: Hg2S
Erhaltungszustand: abgerieben
Fabrikat: 33
Beschreibung: vermutlich Kanne
Maße (cm):
Wandstärke: 0,55
Dm. (Rand): 12
Dm. (Rand, erhalten in %): 10

Kat.-Nr. 1301
Fundnr.: 14/5506/1/38
Form: Halsgefäß
Typ: geschwungene Wandung
Variante: regelmäßig gerundete Lippe
Typenbezeichnung: Hg2A
Erhaltungszustand: sekundär verbrannt
Fabrikat: 15
Maße (cm):
Wandstärke: 0,7
Dm. (Rand): 20
Dm. (Rand, erhalten in %): 6,5

Kat.-Nr. 1302
Fundnr.: 14/5506/1/42
Form: Halsgefäß
Typ: geschwungene Wandung
Variante: nach innen geschwollener Rand
Typenbezeichnung: Hg2F
Erhaltungszustand: sekundär verbrannt
Fabrikat: 20
Maße (cm):
Wandstärke: 0,55
Dm. (Rand): 20
Dm. (Rand, erhalten in %): 5

Kat.-Nr. 1303
Fundnr.: 14/5506/1/48
Form: Halsgefäß
Typ: geschwungene Wandung
Variante: regelmäßig gerundete Lippe
Typenbezeichnung: Hg2A
Handhabe/Verzierung: mit H2A
Erhaltungszustand: sekundär verbrannt
Fabrikat: 17
Maße (cm):
Wandstärke: 0,7
Dm. (Rand): 22
Dm. (Rand, erhalten in %): 9

Kannen

Kat.-Nr. 1304
Fundnr.: 14/5506/1/12
Form: Kanne
Typ: unbestimmbar
Variante: unbestimmbar
Typenbezeichnung: Ka0
Erhaltungszustand: sekundär verbrannt
Fabrikat: 33
Beschreibung: rote Oberfläche durch Brandeinwirkung; Dm. Rand nicht ermittelbar
Maße (cm):
Wandstärke: 0,4

Kat.-Nr. 1305 Taf. 44.1305
Fundnr.: 14/5506/1/22
Form: Kanne

Typ: unbestimmbar
Variante: unbestimmbar
Typenbezeichnung: Ka0
Erhaltungszustand: sekundär verbrannt
Fabrikat: 33
Maße (cm):
Wandstärke: 0,4
Dm. (Rand): 9
Dm. (Rand, erhalten in %): 23

Cheese pots

Kat.-Nr. 1306
Fundnr.: 14/5506/1/23
Form: Cheese pot
Typ: unbestimmbar
Variante: schräg nach außen abgestrichener Rand
Typenbezeichnung: Chb0G
Erhaltungszustand: sekundär verbrannt
Fabrikat: 32
Beschreibung: Dm. Rand < 5%, daher unsicher
Maße (cm):
Dm. (Rand): 28
Dm. (Rand, erhalten in %): 4

Vertikalhenkel

Kat.-Nr. 1307
Fundnr.: 14/5506/1/14
Form: Vertikalhenkel
Typ: ovaler Querschnitt
Variante: unverziert
Typenbezeichnung: H1A
Erhaltungszustand: abgerieben, versintert
Fabrikat: 49
Maße (cm):
Höhe: 1,9
Länge: 5,8
Breite: 1,5

Kat.-Nr. 1308
Fundnr.: 14/5506/1/15
Form: Vertikalhenkel
Typ: ovaler Querschnitt
Variante: unverziert
Typenbezeichnung: H1A
Erhaltungszustand: sekundär verbrannt
Fabrikat: 18
Maße (cm):
Höhe: erh. 2,3
Länge: erh. 7,1
Breite: 3,3

Kat.-Nr. 1309
Fundnr.: 14/5506/1/17
Form: Vertikalhenkel
Typ: ovaler Querschnitt
Variante: unverziert
Typenbezeichnung: H1A
Erhaltungszustand: sekundär verbrannt
Fabrikat: 88
Maße (cm):
Höhe: erh. 3,5
Länge: erh. 3,5
Breite: erh. 4

Kat.-Nr. 1310
Fundnr.: 14/5506/1/28
Form: Vertikalhenkel
Typ: ovaler Querschnitt
Variante: unverziert
Typenbezeichnung: H1A
Erhaltungszustand: sekundär verbrannt
Fabrikat: 42
Maße (cm):
Höhe: erh. 1,6
Länge: erh. 5
Breite: 3,4

Kat.-Nr. 1311
Fundnr.: 14/5506/1/39
Form: Vertikalhenkel
Typ: ovaler Querschnitt
Variante: unverziert
Typenbezeichnung: H1A
Erhaltungszustand: sekundär verbrannt
Fabrikat: 15
Maße (cm):
Höhe: erh. 1,2
Länge: erh. 3,4
Breite: erh. 3,3

Kat.-Nr. 1312
Fundnr.: 14/5506/1/47
Form: Vertikalhenkel
Typ: ovaler Querschnitt
Variante: eingesattelt
Typenbezeichnung: H1C
Handhabe/Verzierung: randständig
Erhaltungszustand: sekundär verbrannt
Fabrikat: 78
Maße (cm):
Höhe: 1,7
Länge: erh. 5,5
Breite: 3,2

Kat.-Nr. 1313
Fundnr.: 14/5506/1/49
Form: Vertikalhenkel
Typ: ovaler Querschnitt
Variante: unverziert
Typenbezeichnung: H1A
Erhaltungszustand: abgerieben
Fabrikat: 15
Maße (cm):
Höhe: 3,1
Länge: erh. 9,2
Breite: 4,9

Kat.-Nr. 1314
Fundnr.: 14/5506/1/50
Form: Vertikalhenkel
Typ: ovaler Querschnitt

Variante: unverziert
Typenbezeichnung: H1A
Erhaltungszustand: sekundär verbrannt
Fabrikat: 49
Maße (cm):
Höhe: 1,9
Länge: erh. 7,2
Breite: 3,3

Kat.-Nr. 1315
Fundnr.: 14/5506/1/51
Form: Vertikalhenkel
Typ: ovaler Querschnitt
Variante: eingesattelt
Typenbezeichnung: H1C
Erhaltungszustand: sekundär verbrannt
Fabrikat: 115
Maße (cm):
Höhe: 1,3
Länge: erh. 2,6
Breite: erh. 2,1

Füße

Kat.-Nr. 1316
Fundnr.: 14/5506/1/18
Form: Fuß
Typ: ausgezipfelte Standfläche
Variante: unbestimmbar
Typenbezeichnung: F30
Erhaltungszustand: stark sekundär verbrannt
Fabrikat: 85
Maße (cm):
Höhe: 1,1
Länge: erh. 4,8
Breite: 2,7

Kat.-Nr. 1317 Taf. 44.1317
Fundnr.: 14/5506/1/19
Form: Fuß
Typ: kegelförmig
Typenbezeichnung: F5
Erhaltungszustand: sekundär verbrannt
Fabrikat: 33
Beschreibung: eventuell von einem Yortan-Gefäß?
Maße (cm):
Höhe: 1
Länge: erh. 2,7
Breite: 1,35

Charakteristische Wandfragmente

Kat.-Nr. 1318
Fundnr.: 14/5506/1/16
Form: charakteristisches Wandfragment
Typ: Ansatz einer Handhabe
Typenbezeichnung: WS4
Erhaltungszustand: sekundär verbrannt
Fabrikat: 46
Maße (cm):
Höhe: 2,3
Breite: 4,6

Kat.-Nr. 1319
Fundnr.: 14/5506/1/20
Form: charakteristisches Wandfragment
Typ: durchlocht/durchbohrt
Typenbezeichnung: WS3
Erhaltungszustand: abgerieben
Fabrikat: 115
Maße (cm):
Wandstärke: 0,6
Dm. (Durchlochung): 0,3

Kat.-Nr. 1320 Taf. 44.1320
Fundnr.: 14/5506/1/21
Form: charakteristisches Wandfragment
Typ: durchlocht/durchbohrt
Typenbezeichnung: WS3
Erhaltungszustand: sekundär verbrannt
Fabrikat: 15
Maße (cm):
Wandstärke: 1,15
Dm. (Durchlochung): 0,7–0,8

Kat.-Nr. 1321
Fundnr.: 14/5506/1/31
Form: charakteristisches Wandfragment
Typ: durchlocht/durchbohrt
Typenbezeichnung: WS3
Erhaltungszustand: abgerieben
Fabrikat: 15
Maße (cm):
Wandstärke: 0,9
Dm. (Durchlochung): 0,6

Kat.-Nr. 1322
Fundnr.: 14/5506/1/32
Form: charakteristisches Wandfragment
Typ: durchlocht/durchbohrt
Typenbezeichnung: WS3
Erhaltungszustand: sekundär verbrannt
Fabrikat: 15
Maße (cm):
Wandstärke: 0,9
Dm. (Durchlochung): 0,6

Kat.-Nr. 1323
Fundnr.: 14/5506/1/53
Form: charakteristisches Wandfragment
Typ: durchlocht/durchbohrt
Typenbezeichnung: WS3
Erhaltungszustand: abgerieben
Fabrikat: 15
Maße (cm):
Wandstärke: 1,3
Dm. (Durchlochung): 0,4

Kat.-Nr. 1324
Fundnr.: 14/5506/1/54
Form: charakteristisches Wandfragment
Typ: durchlocht/durchbohrt
Typenbezeichnung: WS3
Erhaltungszustand: sekundär verbrannt
Fabrikat: 15

Maße (cm):
Wandstärke: 1,4
Dm. (Durchlochung): 0,7

Randfragmente

Kat.-Nr. 1325
Fundnr.: 14/5506/1/27
Form: Randfragment
Typ: unbestimmbar
Variante: regelmäßig gerundete Lippe
Typenbezeichnung: R0A
Erhaltungszustand: sekundär verbrannt
Fabrikat: 37
Beschreibung: Dm. Rand < 5%, daher unsicher
Maße (cm):
Wandstärke: 1
Dm. (Rand): 38
Dm. (Rand, erhalten in %): 3,1

Kat.-Nr. 1326
Fundnr.: 14/5506/1/40
Form: Randfragment
Typ: unbestimmbar
Variante: ausbiegender verdickter Rand
Typenbezeichnung: R0L
Erhaltungszustand: abgerieben
Fabrikat: 40
Maße (cm):
Wandstärke: 0,65
Dm. (Rand): 10
Dm. (Rand, erhalten in %): 10

SE 5523

Schüsseln

Kat.-Nr. 1327
Fundnr.: 14/5523/1/7
Form: Schüssel
Typ: steile Wandung
Variante: regelmäßig gerundete Lippe
Typenbezeichnung: Sch3A
Erhaltungszustand: abgerieben
Fabrikat: 51
Beschreibung: Dm. Rand < 5%, daher unsicher
Maße (cm):
Wandstärke: 0,9
Dm. (Rand): 40
Dm. (Rand, erhalten in %): 3,75

Schalen

Kat.-Nr. 1328
Fundnr.: 14/5523/1/1
Form: Schale
Typ: kalottenförmig
Variante: regelmäßig gerundete Lippe
Typenbezeichnung: S1A
Erhaltungszustand: sekundär verbrannt
Fabrikat: 103
Maße (cm):
Wandstärke: 1
Dm. (Rand): 28
Dm. (Rand, erhalten in %): 6

Kat.-Nr. 1329
Fundnr.: 14/5523/1/8
Form: Schale
Typ: weitmundig
Variante: regelmäßig gerundete Lippe
Typenbezeichnung: S4A
Erhaltungszustand: abgerieben
Fabrikat: 115
Maße (cm):
Wandstärke: 0,5
Dm. (Rand): 18
Dm. (Rand, erhalten in %): 6

Kat.-Nr. 1330
Fundnr.: 14/5523/1/20
Form: Schale
Typ: weitmundig
Variante: nach innen verdickte Lippe
Typenbezeichnung: S4U
Erhaltungszustand: sekundär verbrannt
Fabrikat: 37
Beschreibung: außen hell, da stark verbrannt
Maße (cm):
Wandstärke: 0,7
Dm. (Rand): 30
Dm. (Rand, erhalten in %): 7

Engmundige Gefäße

Kat.-Nr. 1331
Fundnr.: 14/5523/1/6
Form: Engmundig
Typ: Hals konisch einziehend
Variante: regelmäßig gerundete Lippe
Typenbezeichnung: E2A
Erhaltungszustand: abgerieben
Fabrikat: 22
Maße (cm):
Wandstärke: 0,5
Dm. (Rand): 10
Dm. (Rand, erhalten in %): 9

Halsgefäße

Kat.-Nr. 1332
Fundnr.: 14/5523/1/9
Form: Halsgefäß
Typ: gerade
Variante: regelmäßig gerundete Lippe
Typenbezeichnung: Hg1A
Erhaltungszustand: abgerieben
Fabrikat: 115
Maße (cm):
Wandstärke: 0,5
Dm. (Rand): 8
Dm. (Rand, erhalten in %): 10

Vertikalhenkel

Kat.-Nr. 1333
Fundnr.: 14/5523/1/3
Form: Vertikalhenkel
Typ: ovaler Querschnitt
Variante: unverziert
Typenbezeichnung: H1A
Erhaltungszustand: abgerieben
Fabrikat: 15
Maße (cm):
Höhe: 2,6
Länge: erh. 11,3
Breite: 5

Kat.-Nr. 1334
Fundnr.: 14/5523/1/10
Form: Vertikalhenkel
Typ: breiter Querschnitt
Variante: unverziert
Typenbezeichnung: H2A
Erhaltungszustand: abgerieben
Fabrikat: 15
Maße (cm):
Höhe: 2
Länge: erh. 7,3
Breite: 4,5

Kat.-Nr. 1335
Fundnr.: 14/5523/1/12
Form: Vertikalhenkel
Typ: ovaler Querschnitt
Variante: unverziert
Typenbezeichnung: H1A
Erhaltungszustand: sekundär verbrannt
Fabrikat: 33
Maße (cm):
Höhe: 1
Länge: erh. 6,8
Breite: 1,7

Kat.-Nr. 1336
Fundnr.: 14/5523/1/13
Form: Vertikalhenkel
Typ: ovaler Querschnitt
Variante: unverziert
Typenbezeichnung: H1A
Erhaltungszustand: abgerieben
Fabrikat: 20
Maße (cm):
Höhe: 1,5
Länge: erh. 4,8
Breite: 2,2

Kat.-Nr. 1337
Fundnr.: 14/5523/1/14
Form: Vertikalhenkel
Typ: breiter Querschnitt
Variante: unverziert
Typenbezeichnung: H2A
Erhaltungszustand: sekundär verbrannt
Fabrikat: 20
Maße (cm):
Höhe: 1,6
Länge: erh. 3,7
Breite: 4,1

Kat.-Nr. 1338
Fundnr.: 14/5523/1/15
Form: Vertikalhenkel
Typ: breiter Querschnitt
Variante: unverziert
Typenbezeichnung: H1A
Erhaltungszustand: abgerieben
Fabrikat: 15
Maße (cm):
Höhe: 2,7
Länge: 9
Breite: 4,8

Kat.-Nr. 1339
Fundnr.: 14/5523/1/16
Form: Vertikalhenkel
Typ: ovaler Querschnitt
Variante: unverziert
Typenbezeichnung: H1A
Erhaltungszustand: abgerieben
Fabrikat: 15
Maße (cm):
Höhe: 3
Länge: erh. 4,8
Breite: 3,1
Wandstärke: 0,9

Füße

Kat.-Nr. 1340
Fundnr.: 14/5523/1/11
Form: Fuß
Typ: unbestimmbar
Variante: unbestimmbar
Typenbezeichnung: F0
Erhaltungszustand: sekundär verbrannt
Fabrikat: 42
Maße (cm):
Höhe: 1,7
Länge: erh. 3,6
Breite: 2,8

Kat.-Nr. 1341
Fundnr.: 14/5523/1/17
Form: Fuß
Typ: ausgezipfelte Standfläche
Variante: unbestimmbar
Typenbezeichnung: F3A
Erhaltungszustand: sekundär verbrannt
Fabrikat: 30
Maße (cm):
Höhe: 1,3
Länge: erh. 3,6
Breite: 2,8
Breite (Standfläche): 2,6

Charakteristische Wandfragmente

Kat.-Nr. 1342
Fundnr.: 14/5523/1/4
Form: charakteristisches Wandfragment
Typ: durchlocht/durchbohrt
Typenbezeichnung: WS3
Erhaltungszustand: sekundär verbrannt
Fabrikat: 15
Maße (cm):
Länge: 14,7
Breite: 10,2
Wandstärke: 1,7
Dm. (Durchlochung): 0,7

Kat.-Nr. 1343
Fundnr.: 14/5523/1/18
Form: charakteristisches Wandfragment
Typ: bemalt
Typenbezeichnung: WS1
Erhaltungszustand: sekundär verbrannt
Fabrikat: 33
Beschreibung: Weißbemalung (Linienbündel); horizontal um den Hals laufend; rote Farbe durch Brandeinwirkung

Kat.-Nr. 1344
Fundnr.: 14/5523/1/19
Form: charakteristisches Wandfragment
Typ: durchlocht/durchbohrt
Typenbezeichnung: WS3
Erhaltungszustand: sekundär verbrannt
Fabrikat: 15
Maße (cm):
Dm. (Durchlochung): 0,6

Randfragmente

Kat.-Nr. 1345
Fundnr.: 14/5523/1/2
Form: Randfragment
Typ: unbestimmbar
Variante: unbestimmbar
Typenbezeichnung: R0
Handhabe/Verzierung: mit randständigem WS4
Erhaltungszustand: sekundär verbrannt
Fabrikat: 24
Beschreibung: Dm. Rand nicht ermittelbar
Maße (cm):
Wandstärke: 0,7

IX.4. Kleinfunde

ÇuHö VII

Grabenverfüllung A

SE 1351

Keramikscheiben (durchlocht)

Kat.-Nr. 1 Taf. 52.1
Fundnr.: 12/1351/3/2
Bezeichnung: durchlochte Keramikscheibe
Material: Keramik
Erhaltung: Fragment (ca. 1/3 erhalten); sekundär verbrannt
Fabrikat: 100
Beschreibung: ovale Grundform; nicht mittig durchlocht; Durchlochung von beiden Seiten konisch
Maße (cm):
Länge: erh. 5,1
Breite: erh. 2,8
Dicke: 0,6
Dm. (Durchlochung): 0,5
Gewicht (g): 10,46

SE 1735

Keramiklöffel

Kat.-Nr. 2 Taf. 52.2; 76.2
Fundnr.: 13/1735/3/2
Bezeichnung: Keramiklöffelfragment
Material: Keramik
Erhaltung: Fragment des vorderen Löffelbereichs
Fabrikat: 86 (soweit bestimmbar)
Beschreibung: weder Löffelränder noch Griff erhalten; Griff am Ansatz abgebrochen
Maße (cm):
Länge: erh. 3,3
Breite: erh. 3,4
Dicke: erh. 2,7
Gewicht (g): 13,22

Grabenverfüllung B

SE 4553

Knochennadeln

Kat.-Nr. 3 Taf. 52.3
Fundnr.: 13/4553/3/2
Bezeichnung: Nadelfragment (Kopf)
Material: Knochen
Erhaltung: Fragment
Beschreibung: Halbfabrikat; Kopfpartie erhalten; Oberfläche und oberes Ende geglättet und poliert; Ansatz einer Durchlochung
Anmerkungen: bestimmt durch A. Galik (12.05.2014)
Maße (cm):
Länge: erh. 2,5
Dm. 0,7
Dm. (Durchlochungsansatz): 0,35
Tiefe (Durchlochungsansatz): 0,1
Gewicht (g): 1,17

Planierung ÇuHö VIb/VII

Grabenverfüllung C

SE 1215

Knochenahlen

Kat.-Nr. 4 Taf. 53.4
Fundnr.: 11/1215/3/1
Bezeichnung: Fragment einer Ahle
Material: Knochen
Erhaltung: oberes Ende einer Ahle, unterer Bereich abgebrochen
Beschreibung: modifizierter Gelenkskopf; poliert, teilweise Kratzspuren sichtbar
Maße (cm):
Länge: erh. 2,9
Breite: 0,8–1,3
Dicke: max. 1
Gewicht (g): 3,05

SE 1307

Keramikscheiben (durchlocht)

Kat.-Nr. 5 Taf. 53.5
Fundnr.: 11/1307/3/3
Bezeichnung: durchlochtes Keramikscheibenfragment
Material: Keramik
Erhaltung: etwa zur Hälfte erhalten
Fabrikat: 9
Beschreibung: runde bis leicht ovale Form; Ränder angerundet; im Querschnitt leicht konvex-konkav; Durchlochung nicht zentriert und soweit erkennbar, rund bis oval rekonstruierbar
Maße (cm):
Dm. 5,4
Dm. (Durchlochung): 1
Gewicht (g): 10,39

Keramikscheiben

Kat.-Nr. 6 Taf. 53.6
Fundnr.: 11/1307/3/1
Bezeichnung: Keramikscheibe
Material: Keramik

Erhaltung: sehr gut
Fabrikat: nicht bestimmbar; vgl. Beschreibung
Beschreibung: Keramikscheibe aus fein glimmergemagertem, klingend hart gebranntem, gräulichem Ton; runde Grundform; Unterseite flach, Oberseite (= Gefäßinnenseite) leicht konkav; vermutlich wurde das Objekt aus dem Boden eines Gefäßes gefertigt; da keine Bruchstelle vorhanden, ist die Ware schlecht bestimmbar (vermutlich WG 99)
Maße (cm):
Länge: 5,2
Breite: 4,8
Dicke: 0,7
Gewicht (g): 22,49

SE 1343

Klopfsteine

Kat.-Nr. 7 Taf. 54.7
Fundnr.: 11/1343/3/2
Bezeichnung: Klopfstein
Material: Schmirgelgestein
Erhaltung: vollständig
Beschreibung: abgerundeter Stein unregelmäßiger Form; Oberseite und Seiten zur Handhabe abgerundet; Unterseite besitzt eine plane Fläche mit Schlagnarben und Schliffspuren
Anmerkungen: bestimmt durch D. Wolf (12.05.14)
Maße (cm):
Länge: 4,8
Breite: 4,5
Dicke: 4,3
Gewicht (g): 180,49

SE 1344

Keramikscheiben

Kat.-Nr. 8
Fundnr.: 11/1344/3/3
Bezeichnung: Keramikscheibenfragment
Material: Keramik
Erhaltung: ca. zur Hälfte erhalten
Fabrikat: 30
Beschreibung: Fragment einer Keramikscheibe; Kanten etwa senkrecht gebrochen; konkav gebogen
Maße (cm):
Länge: erh. 3,8
Breite: erh. 1,9
Dicke: 0,7
Gewicht (g): 5,52

SE 1368

Keramikscheiben (durchlocht)

Kat.-Nr. 9 Taf. 54.9
Fundnr.: 11/1368/3/1
Bezeichnung: durchlochte Keramikscheibe
Material: Keramik
Erhaltung: vollständig erhalten, lediglich geringe Brüche
Fabrikat: 17
Beschreibung: runde Scheibe mit leicht dezentraler Lochung; Kanten geglättet, an einer Stelle etwas abgesplittert; Ton fein gemagert, leicht glimmerhältig; Innen- und Außenseite rot
Maße (cm):
Dicke: 0,8
Dm.: max. 4,7
Dm. (Durchlochung): 0,5
Gewicht (g): 20,46

Planierschicht

SE 1449

Steinanhänger

Kat.-Nr. 10 Taf. 54.10; 76.10
Fundnr.: 12/1449/3/2
Bezeichnung: Steinanhänger
Material: Marmor
Erhaltung: vollständig
Beschreibung: stark abgerundete, dreieckige Grundform; ganzseitig bearbeitet; im Querschnitt leicht konvexe Form; Durchlochung im mittleren oberen Bereich; leicht kegelförmig durchbohrt; blaugrau geaderter Marmor
Maße (cm):
Länge: 2,9
Breite: 2,3
Dicke: 0,9
Dm. (Durchlochung): 0,2–0,4
Gewicht (g): 6,53

Steinscheiben

Kat.-Nr. 11 Taf. 55.11; 76.11
Fundnr.: 11/1449/3/1
Bezeichnung: Steinscheibe
Material: Gneis
Erhaltung: vollständig
Beschreibung: fünfeckige Grundform; Ober- und Unterseite glatt; Kanten großteils senkrecht, teilweise natürlicher Bruch noch zu erkennen
Anmerkungen: bestimmt durch D. Wolf (12.05.14)
Maße (cm):
Länge: 5,4
Breite: 5,6
Dicke: 0,9
Gewicht (g): 36,72

SE 4511

Keramikscheiben (durchlocht)

Kat.-Nr. 12 Taf. 55.12; 77.12
Fundnr.: 12/4511/3/1
Bezeichnung: durchlochte Keramikscheibe
Material: Keramik

Erhaltung: vollständig; sekundär verbrannt
Fabrikat: 100
Beschreibung: unregelmäßige From; an der Vorderseite ausgefranst; eventuell Bohrspuren auf der Innenseite? (Radius: 0,6 und 1,2 cm)
Maße (cm):
Länge: 3,25
Breite: 2,62
Dicke: 0,28
Dm. (Durchlochung): 0,56
Gewicht (g): 3,44

Dechseln

Kat.-Nr. 13 Taf. 55.13
Fundnr.: 12/4511/3/3
Bezeichnung: Dechselfragment
Material: Gneis mit geringem Fuchsitanteil
Erhaltung: ca. zur Hälfte erhalten
Beschreibung: Unter- und Oberseite teilweise geglättet mit vielen Bruchstellen; Schneide abgerundet, ebenfalls mit Bruchstellen
Anmerkungen: bestimmt durch D. Wolf (12.05.14)
Maße (cm):
Länge: erh. 4,2
Breite: 3,9
Dicke: erh. 2,1
Gewicht (g): 48,84

Kat.-Nr. 14 Taf. 56.14; 77.14
Fundnr.: 12/4511/3/5
Bezeichnung: Dechsel
Material: nicht bestimmbar (Geochemie notwendig)
Erhaltung: mehrere Bruchstellen; sekundär verbrannt
Beschreibung: Nacken abgebrochen; weitere Bruchstelle u. a. im Bereich der Schneide; Schneidenbereich nachbearbeitet und auf der Breitseite konvex und konkav einziehend Richtung Nacken; auf einer Schmalseite befinden sich zwei parallel verlaufende Furchen, vermutlich von der Schäftung der Klinge; Oberfläche stark geglättet bis poliert; auf einer Breitseite Schlackerückstände?
Anmerkungen: vermutlich durch Hitze verändertes Gestein; bestimmt durch D. Wolf (12.05.14)
Maße (cm):
Länge: erh. 5,4
Breite: 3,4
Dicke: 1,6
Gewicht (g): 35,59

Planierung ÇuHö VIa/VIb

SE 1446

Keramikscheiben (durchlocht)

Kat.-Nr. 15
Fundnr.: 11/1446/3/3
Bezeichnung: durchlochtes Keramikscheibenfragment
Material: Keramik
Erhaltung: Fragment, stark abgerieben
Fabrikat: nicht bestimmbar
Beschreibung: Material färbt stark ab; leichte Sinterspuren; Oberseite stärker abgerundet als die Unterseite; Radius der Durchlochung nicht ermittelbar
Anmerkungen: aus Flotierprobe 1446/10/8
Maße (cm):
Dicke: 1,1
Dm.: 1,6
Gewicht (g): 4,97

Spinnwirtel

Kat.-Nr. 16 Taf. 56.16; 77.16
Fundnr.: 11/1446/3/1
Bezeichnung: Spinnwirtelfragment
Material: Keramik
Erhaltung: ca. zur Hälfte erhalten
Fabrikat: 32
Beschreibung: ursprünglich etwa kugelförmig, quer zur Lochung gebrochen; Lochung verläuft leicht schräg durch den Spinnwirtel; der Ton wölbt sich im Bereich der Lochung ein wenig nach außen; teilweise mit größeren Lehmstückchen gemagert, sonst eher feine Keramik; Oberfläche rau, glimmerhaltig
Anmerkungen: Typ IIC (nach Britsch – Horejs 2014, 228, Abb. 2)
Maße (cm):
Dicke: erh. 2,2
Dm.: 2,8
Dm. (Durchlochung): 0,65
Gewicht (g): 13,76

SE 1463

Glättsteine

Kat.-Nr. 17 Taf. 56.17
Fundnr.: 11/1463/3/1
Bezeichnung: Glättstein
Material: Glimmerschiefer (viel Fuchsit und Muskovit)
Erhaltung: vollständig, Außenflächen angewittert
Beschreibung: abgerundeter, flacher Stein; Oberseite abgeflacht ohne Bearbeitungsspuren, teilweise versintert; auf der Unterseite teilweise ein plan abgeriebener Bereich erhalten
Anmerkungen: bestimmt durch D. Wolf (12.05.14)
Maße (cm):
Länge: 8,9
Breite: 8,6
Dicke: 3,8

SE 5591

Knochenahlen

Kat.-Nr. 18 Taf. 57.18
Fundnr.: 14/5591/3/1
Bezeichnung: Fragment einer Ahle
Material: Knochen

Erhaltung: Fragment
Beschreibung: Ahle, quer gebrochen; Spitze teilweise abgebrochen; Ober- und Unterseite abgerundet, auf der Unterseite leicht versintert; auf dem seitlichen Bereich der Oberfläche sind Kratzspuren erkennbar; der erhaltene Teil der Spitze wirkt abgenutzt
Maße (cm):
Länge: erh. 5,1
Breite: erh. 1,5
Dicke: erh. 0,8
Gewicht (g): 5,92

Steingeräte (unklar)

Kat.-Nr. 19 Taf. 57.19; 78.19
Fundnr.: 14/5591/3/2
Bezeichnung: Nackenfragment
Material: Schmirgelgestein
Erhaltung: Fragment, ca. zur Hälfte erhalten
Beschreibung: vermutlich Fragment eines Steinbeils; lediglich der Nacken ist erhalten; die Oberfläche weist feine Pickspuren auf und ist partiell geglättet (insbesondere auf der Unterseite); Schlagnarbenfeld im Bereich des Nackens erkennbar
Maße (cm):
Länge: erh. 5,15
Breite: erh. 2,8
Dicke: erh. 2,3
Gewicht (g): 49,97

SE 5592

Knochengeräte (unklar)

Kat.-Nr. 20
Fundnr.: 14/5592/3/1
Bezeichnung: Knochenfragment
Material: Knochen
Erhaltung: Fragment
Beschreibung: mittleres Fragment eines Knochengerätes (eventuell Ahle); verjüngt sich nach unten hin (vermutlich zur Spitze); Ober- und Unterseite sowie die Seiten sind geglättet
Maße (cm):
Länge: erh. 4,8
Breite: erh. 1,1
Dicke: erh. 0,4
Gewicht (g): 3,58

Kat.-Nr. 21
Fundnr.: 14/5592/3/2
Bezeichnung: Knochenfragment
Material: Knochen
Erhaltung: Fragment
Beschreibung: mittleres Fragment eines Knochengerätes (eventuell Ahle); Ober- und Unterseite sowie die Seiten sind stark poliert; auf der Oberseite vereinzelt Kratzspuren
Maße (cm):
Länge: erh. 3,1
Breite: erh. 1,15
Dicke: erh. 0,4
Gewicht (g): 2,18

Kat.-Nr. 22
Fundnr.: 14/5592/3/3
Bezeichnung: Knochenfragment
Material: Knochen
Erhaltung: Fragment
Beschreibung: mittleres Fragment eines Knochengerätes (eventuell Ahle); Ober- und Unterseite sowie die Seiten sind poliert
Maße (cm):
Länge: erh. 3,8
Breite: erh. 0,9
Dicke: erh. 0,8
Gewicht (g): 2,9

Knochenlöffel

Kat.-Nr. 23 Taf. 57.23; 78.23
Fundnr.: 14/5592/3/4
Bezeichnung: Knochenlöffelfragment
Material: Knochen
Erhaltung: Fragment
Beschreibung: Knochenfragment, leicht gebogen (eventuell Rippe); Ober- und Unterseite sind poliert; vereinzelt Kratzspuren; Löffelblatt oval
Maße (cm):
Länge: erh. 4,1
Breite (Löffelblatt): 2,35
Dicke: 0,35
Gewicht (g): 4,25

Planierung ÇuHö IV/VIb

SE 5324

Keramikscheiben (durchlocht)

Kat.-Nr. 24 Taf. 57.24; 79.24
Fundnr.: 13/5324/3/5
Bezeichnung: Keramikscheibe
Material: Keramik
Erhaltung: vollständig
Fabrikat: 18
Beschreibung: etwa rundliche Keramikscheibe mit abgerundeten Seiten; Durchlochung etwa mittig begonnen, nicht abgeschlossen (Halbfabrikat?); 5 Kerben (keine Fingernägeleindrücke) auf der Oberseite
Maße (cm):
Länge: 4,6
Breite: 4,5
Dicke: 0,9
Dm. (Durchlochungsansatz): 0,75
Tiefe (Durchlochungsansatz): 0,3
Gewicht (g): 23,94

Steinperlen

Kat.-Nr. 25 Taf. 57.25; 79.25
Fundnr.: 13/5324/3/1
Bezeichnung: Steinperle
Material: sekundäre Nickelmineralien, Kupfermineralien oder Türkis?
Erhaltung: vollständig
Beschreibung: annähernd zylindrische Form (eine Seite plan, eine Seite leicht abfallend 0,5 mm); zur Durchlochung minimal abfallend; stark poliert
Anmerkungen: vorläufig bestimmt durch D. Wolf, jedoch Geochemie notwendig
Maße (cm):
Dicke: 0,2-0,25
Dm.: 0,5
Dm. (Durchlochung): 0,15
Gewicht (g): 0,06

Keramikscheiben

Kat.-Nr. 26 Taf. 58.26
Fundnr.: 13/5324/3/6
Bezeichnung: Keramikscheibe
Material: Keramik
Erhaltung: leichter Bruch an einer Seite
Fabrikat: 90
Beschreibung: etwa rundliche Keramikscheibe mit einer abgeflachten Seite; Seiten abgerundet; leicht versintert
Maße (cm):
Länge: erh. 5
Breite: 4,65
Dicke: 1
Gewicht (g): 26,10

ÇuHö VIa

SE 5468

Steingeräte (unklar)

Kat.-Nr. 27
Fundnr.: 14/5468/3/1
Bezeichnung: Steingerätfragment
Material: Milchquarz
Erhaltung: Fragment
Beschreibung: eventuell Fragment eines Steinbeils?; Teile der beiden Längs- und einer Schmalseite erhalten; Oberfläche ist stark geglättet (nicht poliert)
Maße (cm):
Länge: erh. 4,6
Breite: erh. 3,6
Dicke: erh. 3,5
Gewicht (g): 76,81

SE 5590

Knochenspatel

Kat.-Nr. 28 Taf. 58.28
Fundnr.: 14/5590/3/2
Bezeichnung: Spatelfragment
Material: Knochen
Erhaltung: Fragment
Beschreibung: Spatelkopf zur Hälfte erhalten; längs und quer gebrochen; stark abgerundet und poliert; besitzt leicht dunkle Verfärbungen (Feuereinwirkung?); auf der Oberseite finden sich Kratzspuren
Maße (cm):
Länge: erh. 3,6
Breite: erh. 1,15
Dicke: erh. 0,32
Gewicht (g): 1,66

Spinnwirtel

Kat.-Nr. 29 Taf. 58.29; 79.29
Fundnr.: 14/5590/3/1
Bezeichnung: Spinnwirtel
Material: Keramik
Erhaltung: vollständig
Fabrikat: 49
Beschreibung: abgerundet konische Form; Oberfläche geglättet, teilweise leicht abgerieben
Anmerkungen: Typ IIID (nach Britsch – Horejs 2014, 228, Abb. 2)
Maße (cm):
Dicke: 1,6
Dm.: 2,5
Dm. (Durchlochung): 0,75
Gewicht (g): 9,54

Planierung ÇuHö Vb/VIa

SE 5465

Glättsteine

Kat.-Nr. 30 Taf. 59.30; 80.30
Fundnr.: 14/5465/3/2
Bezeichnung: Glättstein
Material: Serpentinit
Erhaltung: ca. zur Hälfte erhalten
Beschreibung: ovale Grundform; schräger Bruch; auf allen Seiten geglättet; Arbeitsfläche im Querschnitt etwa plan abgerieben und im Längsschnitt gebogen; leicht versintert
Maße (cm):
Länge: erh. 5,05
Breite: 2,9
Dicke: 1,5
Gewicht (g): 27,15

Knochenahlen

Kat.-Nr. 31 Taf. 59.31
Fundnr.: 14/5465/3/1
Bezeichnung: Fragment einer Ahle
Material: Knochen
Erhaltung: Fragment
Beschreibung: Spitze abgebrochen, oberer Bereich ebenfalls gebrochen; Sinterspuren auf der Oberfläche
Maße (cm):
Länge: erh. 3,4
Breite: erh. 0,85
Dicke: erh. 0,5
Gewicht (g): 1,87

Kat.-Nr. 32 Taf. 59.32
Fundnr.: 14/5465/3/3
Bezeichnung: Fragment einer Ahle
Material: Knochen
Erhaltung: Fragment
Beschreibung: Objekt ist an beiden Enden gebrochen; läuft spitz zu; das Gerät ist aus einer Rippe gefertigt; fein poliert, insbesondere die Oberseite und Ränder; engt an einer Stelle von beiden Seiten ein (möglicherweise um einen Faden darum zu wickeln?); im Bereich der unteren Einengung finden sich Kratzspuren auf der Oberseite; mögliche Verwendungen: Spatel, Pin Beater, Webschiff.
Maße (cm):
Länge: erh. 7,9
Breite: 1,7
Dicke: erh. 0,4
Gewicht (g): 5,44

Steinscheiben

Kat.-Nr. 33 Taf. 60.33
Fundnr.: 14/5465/3/5
Bezeichnung: Steinscheibe
Material: Glimmerschiefer
Erhaltung: ca. 1/4 abgebrochen; versintert
Beschreibung: polygonale Grundform mit 5 erhaltenen Ecken; die Seiten sind leicht abgerundet
Maße (cm):
Länge: 7,1
Breite: erh. 6,4
Dicke: 1,1
Gewicht (g): 57,17

Schleudergeschosse

Kat.-Nr. 34 Taf. 59.34; 80.34
Fundnr.: 14/5465/3/4
Bezeichnung: Schleudergeschoss
Material: Keramik
Erhaltung: ca. zur Hälfte erhalten
Fabrikat: 58
Beschreibung: bikonische Form; etwa diagonal gebrochen; Oberfläche geglättet
Maße (cm):
Länge: erh. 3,4
Breite: erh. 2,4
Dicke: erh. 2,1
Gewicht (g): 15,84

SE 5543

Knochenahlen

Kat.-Nr. 35 Taf. 60.35; 81.35
Fundnr.: 14/5543/3/1
Bezeichnung: Fragment einer Ahle
Material: Knochen
Erhaltung: Fragment
Beschreibung: extrem dünn; Spitze erhalten, aber keine makroskopischen Abnutzungsspuren erkennbar; Ober- und Unterseite sowie die Seiten sind poliert; auf der Oberseite sind eine Vielzahl von Kratzspuren erkennbar
Maße (cm):
Länge: erh. 3,3
Breite: erh. 1,1
Dicke: erh. 0,15
Gewicht (g): 0,41

Knochenspatel

Kat.-Nr. 36 Taf. 60.36
Fundnr.: 14/5543/3/2
Bezeichnung: Spatelfragment
Material: Knochen
Erhaltung: Fragment; sekundär verbrannt
Beschreibung: Spatelkopf sowohl längs als auch quer gebrochen; Oberfläche und Unterseite partiell stark poliert; auf der Oberseite leicht bogenförmig gerichtete Kratzspuren im Randbereich; deutliche Abnutzungsspuren auf der Arbeitsfläche erkennbar; dunkel gefärbt durch Feuereinwirkung
Maße (cm):
Länge: erh. 2,9
Breite: erh. 1,1
Dicke: erh. 0,45
Gewicht (g): 1,7

Keramikscheiben (durchlocht)

Kat.-Nr. 37 Taf. 60.37; 81.37
Fundnr.: 14/5543/3/3
Bezeichnung: durchlochte Keramikscheibe
Material: Keramik
Erhaltung: vollständig
Fabrikat: nicht bestimmbar; vgl. Beschreibung
Beschreibung: Scheibe aus bodennahem Wandfragment; Kanten abgerieben; auf Rückseite sind Verstreichspuren sichtbar; außen grob geglättet, aber abgerieben; Ware: dunkelbraune Oberfläche außen, schwarz innen, Bruch braun; Oberfläche mit feinem Silberglimmer, im Bruch sehr wenig gelbe Einschlüsse; leicht dezentrale Lochung
Maße (cm):
Länge: 3,1
Breite: 2,9

Dicke: 0,3
Dm.: ca. 3
Dm. (Durchlochung): 0,4
Gewicht (g): 4,1

Spinnwirtel

Kat.-Nr. 38 Taf. 60.38
Fundnr.: 14/5543/3/4
Bezeichnung: Spinnwirtelfragment
Material: Keramik
Erhaltung: ca. 50% erhalten; stark abgerieben, sekundär verbrannt
Fabrikat: 49 (Oberfläche nicht erhalten)
Beschreibung: etwa rund im Längsschnitt
Anmerkungen: Typ IIC nach Britsch – Horejs 2014, 228, Abb. 2)
Maße (cm):
Länge: erh. 3
Breite: 1,4
Dicke: 2,6
Dm.: ca. 3,2 (rekonstruiert)
Dm. (Durchlochung): 0,9–1
Gewicht (g): 11,15

Planierung ÇuHö IV/VIa

SE 5422

Klopfsteine

Kat.-Nr. 39
Fundnr.: 14/5422/3/1
Bezeichnung: Klopfstein
Material: Peridotit
Erhaltung: Fragment (ca. 3/4 erhalten); versintert
Beschreibung: etwa ovale Grundform mit zwei abgeflachten Seiten; eine Seite weist deutliche Abriebspuren auf (stellenweise sehr glatt abgerieben); die Schmalseiten zeigen sowohl deutliche Schlagspuren als auch abgeriebene Bereiche
Maße (cm):
Länge: erh. 7,1
Breite: 4,9
Dicke: 2,75
Gewicht (g): 246,38

Steinbeile

Kat.-Nr. 40 Taf. 61.40
Fundnr.: 14/5422/3/3
Bezeichnung: Steinbeil
Material: Gneis mit geringem Fuchsitanteil
Erhaltung: Fragment (ca. zu 80% erhalten)
Beschreibung: stark abgenutztes Steinbeilfragment; Schneide abgebrochen und Bruch stark abgerundet; Längsseiten sehr geglättet; Schmalseiten und der Nacken mit Schlag- und Pickspuren überzogen
Maße (cm):
Länge: erh. 9,4
Breite: 5,8
Dicke: 3,7
Gewicht (g): 348,43

Steingeräte (unklar)

Kat.-Nr. 41
Fundnr.: 14/5422/3/4
Bezeichnung: Steingerätfragment
Material: Gneis mit geringem Fuchsitanteil
Erhaltung: Fragment; verwittert
Beschreibung: eventuell Nackenbruchstück eines relativ großen, massiven Steingeräts (möglicherweise Beil oder Hammer); das Stück weist die typisch Rundung eines Nackens auf; auf einer Seite ist das Stück abgeflacht (vermutlich Unterseite); die restliche Oberfläche ist teilweise gepickt; das Gestein zeigt deutliche Verwitterungsspuren
Maße (cm):
Länge: erh. 2,9
Breite: erh. 4,8
Dicke: erh. 3,5
Gewicht (g): 73,64

ÇuHö Vb

SE 5325

Klopfsteine

Kat.-Nr. 42 Taf. 61.42; 82.42
Fundnr.: 13/5325/3/3
Bezeichnung: Klopfstein
Material: Milchquarz
Erhaltung: vollständig
Beschreibung: runde Grundform; allseitig geglättete Flächen und abgerundete Kanten; deutliche Schlagspuren auf den Kanten und teilweise auf den Flächen erkennbar
Maße (cm):
Länge: 7,5
Breite: 6,3
Dicke: 6,1
Gewicht (g): 429,38

Knochenahlen

Kat.-Nr. 43 Taf. 62.43; 82.43
Fundnr.: 13/5325/3/1
Bezeichnung: Fragment einer Ahle
Material: Knochen
Erhaltung: Fragment
Beschreibung: sehr dünnes Gerät; beidseitig stark geglättet; Spitze wirkt makroskopisch nicht abgenutzt; vereinzelt dunkle Bereiche erkennbar (Feuereinwirkung?)
Maße (cm):
Länge: erh. 6,75
Breite: 1
Dicke: erh. 0,17

Gewicht (g): 1,22

Kat.-Nr. 44 Taf. 62.44
Fundnr.: 13/5325/3/2
Bezeichnung: Fragment einer Ahle
Material: Knochen
Erhaltung: Fragment
Beschreibung: sehr dünnes Gerät; beidseitig stark geglättet; Spitze wirkt makroskopisch nicht abgenutzt; vereinzelt dunkle Bereiche erkennbar (Feuereinwirkung?)
Maße (cm):
Länge: erh. 4,55
Breite: 0,7
Dicke: erh. 0,12
Gewicht (g): 0,49)

Kat.-Nr. 45 Taf. 62.45
Fundnr.: 13/5325/3/4
Bezeichnung: Fragment einer Ahle
Material: Knochen
Erhaltung: Fragment; stark abgerundet, versintert
Beschreibung: Spitze gebrochen und abgerundet
Maße (cm):
Länge: erh. 2,9
Breite: erh. 0,7
Dicke: erh. 0,4
Gewicht (g): 0,89

SE 5326

Steinscheiben

Kat.-Nr. 46 Taf. 62.46
Fundnr.: 13/5326/3/1
Bezeichnung: Steinscheibe
Material: quarzreicher Glimmerschiefer
Erhaltung: vollständig
Beschreibung: Steinscheibe; eine Seite nur leicht abgerieben, die andere flach abgerieben; Ränder abgerundet und abgerollt; Scheibe ist annährend rund (eventuell Netzsenker?)
Maße (cm):
Länge: 6,2
Breite: 4,9
Dicke: 1,7–2,2
Gewicht (g): 78,34

SE 5338

Klopfsteine

Kat.-Nr. 47 Taf. 63.47; 82.47
Fundnr.: 13/5338/3/1
Bezeichnung: Klopfstein
Material: schwach foliierter Gneis
Erhaltung: vollständig mit leichten Bruchstellen auf der Oberseite
Beschreibung: in etwa kugelförmige Grundform; Schlagnarbenfelder auf der Ober- und Unterseite; zusätzlich mehrere abgeriebene Flächen auf der Oberseite, der Unterseite sowie an den Seiten
Anmerkungen: bestimmt durch D. Wolf (12.05.14)
Maße (cm):
Länge: 7,3
Breite: 6,8
Dicke: 6,4
Gewicht (g): 473,42

SE 5490

Knochenahlen

Kat.-Nr. 48 Taf. 63.48
Fundnr.: 14/5490/3/3
Bezeichnung: Fragment einer Ahle
Material: Knochen
Erhaltung: Fragment
Beschreibung: Oberseite leicht gebogen und spitz zulaufend, Spitze leicht abgerundetund wirkt makroskopisch nicht abgenutzt; Objekt ist poliert
Maße (cm):
Länge: erh. 2,1
Breite: erh. 0,55
Dicke: erh. 0,3
Gewicht (g): 0,37

Knochengeräte (unklar)

Kat.-Nr. 49 Taf. 63.49; 83.49
Fundnr.: 14/5490/3/1
Bezeichnung: Spatelfragment oder Fragment einer Ahle?
Material: Knochen
Erhaltung: Fragment
Beschreibung: an beiden Enden und längs abgebrochen; Ober-, Unterseite und eine Kante erhalten; allseitig sehr fein poliert, beinahe gläsern; Rand abgerundet; wirkt verbrannt aufgrund der schwarzen Färbung; auf der Oberfläche vereinzelt leichte Kratzspuren
Maße (cm):
Länge: erh. 3,1
Breite: erh. 1,6
Dicke: erh. 0,3
Gewicht (g): 1,93

Kat.-Nr. 50 Taf. 63.50
Fundnr.: 14/5490/3/2
Bezeichnung: Spatelfragment oder Fragment einer Ahle?
Material: Knochen
Erhaltung: Fragment
Beschreibung: an beiden Enden und längs abgebrochen; Oberfläche allseitig sehr fein poliert, wobei Oberseite und Rand verstärkt
Maße (cm):
Länge: erh. 3,8
Breite: erh. 1,4
Dicke: erh. 0,3
Gewicht (g): 2,2

Kat.-Nr. 51 Taf. 63.51
Fundnr.: 14/5490/3/4

Bezeichnung: Spatelfragment?
Material: Knochen
Erhaltung: Fragment
Beschreibung: Spatelkopf?; Arbeitsfläche auf einer Seite erhalten, fällt leicht schräg ab; Oberseite und Arbeitsfläche sind stark poliert
Anmerkungen: vermutlich zu 14/5490/3/5 (Kat.-Nr. 52) gehörig
Maße (cm):
Länge: erh. 3,7
Breite: erh. 1,45
Dicke: erh. 0,8
Gewicht (g): 2,79

Kat.-Nr. 52
Fundnr.: 14/5490/3/5
Bezeichnung: Spatelfragment?
Material: Knochen
Erhaltung: Fragment
Beschreibung: Randfragment?; Oberfläche, Seite und Kopfbereich poliert
Anmerkungen: vermutlich zu 14/5490/3/4 (Kat.-Nr. 51) gehörig
Maße (cm):
Länge: erh. 3,6
Breite: erh. 0,6
Dicke: erh. 0,3
Gewicht (g): 0,76

SE 5496

Klopfsteine

Kat.-Nr. 53 Taf. 63.53; 83.53
Fundnr.: 14/5496/3/1
Bezeichnung: Klopfstein
Material: Konglomerat mit Schmirgelgestein
Erhaltung: vollständig
Beschreibung: runde Grundform; aufgrund der Konglomerateinschlüsse Oberfläche uneben; Arbeitsfläche leicht einziehend mit einem etwa 2,5 × 2,5 cm großen abgeriebenen und mit Schlagnarben versehenen Bereich
Maße (cm):
Länge: 5,1
Breite: 5,3
Dicke: 4,85
Gewicht (g): 250,88

SE 5502

Figurinen

Kat.-Nr. 54 Taf. 64.54; 84.54
Fundnr.: 14/5502/3/1
Bezeichnung: zoomorphe Figurine
Material: Keramik um Stein (bleihaltig) geformt
Erhaltung: leicht fragmentiert (ca. 80% erhalten)
Fabrikat: 57
Beschreibung: zoomorphe Figurine aus Ton gefertigt und um einen Steinkern geformt; der Ton ist um einen rundlichen länglichen Stein geformt; der Kopf des Stücks sowie 2 Fortsätze sind abgebrochen; das Objekt stand auf 3 Fortsätzen, 2 weitere finden sich im oberen Bereich; insgesamt befanden sich neben dem Kopf somit 5 Fortsätze am Objekt; Oberfläche geglättet mit deutlichen Rissen in der Oberfläche (vermutlich sekundär verbrannt)
Maße (cm):
Länge: max. erh. 8,1
Breite: max. 3,5
Dicke: max. 5,5
Länge (Schwanzflosse, oben): 2,3
Länge (Schwanzflosse, unten): 2
Länge (Seitenflosse): 3,3
Gewicht (g): 95,1

Planierung ÇuHö Va/Vb

SE 5432

Steingefäße

Kat.-Nr. 55 Taf. 65.55; 83.55
Fundnr.: 14/5432/3/1
Bezeichnung: Steingefäß (Doppelgefäß)
Material: Glimmerschiefer mit hohem Fuchsitanteil
Erhaltung: zur Hälfte erhalten
Beschreibung: fragmentiertes Steingefäß, Bruchstellen abgerundet; ehemals wahrscheinlich Doppelgefäß mit 2 Schalen; eine Schale ist abgebrochen; die Innenfläche der erhaltenen Schale ist stark versintert, daher keine Nutzungsspuren erkennbar; der Rand wölbt sich nach unten ab und ist entlang der Kante abgeflacht; insgesamt stark abgerundet und geglättet; die Unterseite ist sehr stark geglättet
Maße (cm):
Höhe: 4,9
Tiefe (Schale): ca. 2,2
Dm. (außen): 14,1
Dm. (innen): 11
Gewicht (g): 1354,4

SE 5477

Keramikscheiben (durchlocht)

Kat.-Nr. 56 Taf. 66.56
Fundnr.: 14/5477/3/1
Bezeichnung: durchlochte Keramikscheibe
Material: Keramik
Erhaltung: fast vollständig (ca. 90% erhalten)
Fabrikat: 18
Beschreibung: asymmetrisch durchlochte Keramikscheibe; ein kleinformatiger Bruch auf der Unterseite; Seiten stark abgerundet; Ober- und Unterseite zeigen deutliche Abriebspuren
Maße (cm):
Länge: 5,6
Breite: 5,4

Dicke: 1
Dm. (Durchlochung): 0,4
Gewicht (g): 33,47

Schleudergeschosse

Kat.-Nr. 57 Taf. 66.57; 84.57
Fundnr.: 14/5477/3/2
Bezeichnung: Schleudergeschoss
Material: Keramik
Erhaltung: Fragment (ca. 50% erhalten)
Fabrikat: 58
Beschreibung: bikonisches Schleudergeschoss; diagonal gebrochen; geglättete Oberfläche
Maße (cm):
Länge: erh. 4,2
Dm.: max. 2,95
Gewicht (g): 24,47

Webgewichte

Kat.-Nr. 58 Taf. 66.58; 84.58
Fundnr.: 14/5477/3/3
Bezeichnung: Webgewicht
Material: Keramik
Erhaltung: annäherd vollständig
Fabrikat: vermutlich WG 16; vgl. Beschreibung
Beschreibung: annähernd vollständig erhaltenes, zylindrisches Webgewicht aus orangerotem, grobem, organisch und mineralisch gemagertem, glimmerhaltigem Ton; lediglich vereinzelt kleinere Bruchstellen; vermutlich WG 16 aufgrund der Oberfläche und der kleinformatigen Bruchstellen; eine größere an einem Ende; Durchlochung ist vollständig erhalten
Anmerkungen: Typ I (nach Britsch – Horejs 2014, 230, Abb. 4)
Maße (cm):
Länge: 9,2
Breite: 4,85
Dicke: 4,7
Dm. (Durchlochung): 0,85
Gewicht (g): 190,76

Planierung ÇuHö IV/Vb

SE 5302

Figurinen

Kat.-Nr. 59 Taf. 67.59; 85.59
Fundnr.: 13/5302/3/1
Bezeichnung: anthropomorphe Figurine
Material: Keramik
Erhaltung: Fragment; Brüche abgerundet
Fabrikat: 49
Beschreibung: anthropomorphe Keramikfigurine aus schwarz-grauem, fein mineralisch gemagertem, stark glimmerhaltigem Ton; der Kopf der Figurine ist abgebrochen, ansonsten ist der Körper nahezu vollständig erhalten; die ausgeformten Brüste zeigen, dass die Figurine weiblich ist; die Arme sind als kurze, dreiecksförmige Stummel dargestellt (vermutlich angewinkelt); der Körper besitzt eine zylindrische Form und endet leicht abgerundet (vermutlich abgerundeter Bruch); die Figurine weist über jeder Brust eine vollständige Durchlochung auf; tiefer findet sich etwa mittig eine runde Einkerbung, die vermutlich die primären Geschlechtsteile darstellt; am unteren Bereich der Figurine ist eine etwa kegelförmige, spitz zulaufende Eintiefung zu erkennen, die von unten in den Körper hineinführt (eventuell diente dies dazu, um die Figurine auf etwas aufzusetzen?)
Maße (cm):
Länge: erh. 4,1
Breite: 2,4
Dicke: 1,3
Arm (Seitenlängen, links): 1,5 (unten), 1 (oben)
Arm (Dicke, links): 0,6
Arm (Seitenlängen, rechts): 1,4 (unten), 1 (oben)
Arm (Dicke, rechts): 0,6
Brust (links): 0,7 × 0,6
Brust (rechts): 0,6 × 0,5
Dm. (Durchlochung, links): 0,2
Dm. (Durchlochung, links): 0,3
Dm. (Eintiefung Bauchbereich, oval): 0,33 × 0,3
Tiefe (Eintiefungen Bauchbereich): 0,2
Tiefe (Eintiefung Unterseite): bis 1,2
Gewicht (g): 10,9

Knochengeräte (unklar)

Kat.-Nr. 60
Fundnr.: 13/5302/3/3
Bezeichnung: Knochengerätfragment
Material: Knochen
Erhaltung: Fragment; verbrannt
Beschreibung: abgerundetes und stark poliertes Knochenbruchstück mit rundlichem Querschnitt; Polierspuren erkennbar
Anmerkungen: Oberfläche stark durch Wurzelfraß angegriffen
Maße (cm):
Länge: erh. 2,65
Breite: erh. 0,85–0,9
Dicke: 0,7
Gewicht (g): 2,89

Steingeräte (unklar)

Kat.-Nr. 61
Fundnr.: 13/5302/3/2
Bezeichnung: Steingerätfragment
Material: Meta-Basalt
Erhaltung: Fragment
Beschreibung: lediglich Schneide oder Klinge mit Ansatz zu einer Breitseite erhalten; Breitseite geglättet und poliert; im Bereich der Schneide/Klinge deutlich Schlagnarben erkennbar
Anmerkungen: bestimmt durch D. Wolf (12.05.14)

Maße (cm):
Länge: erh. 4,6
Breite: erh. 1,6
Dicke: erh. 0,5
Gewicht (g): 6,74

SE 5467

Figurinen

Kat.-Nr. 62 Taf. 67.62; 86.62
Fundnr.: 14/5467/3/8
Bezeichnung: zoomorphe Figurine
Material: Keramik
Erhaltung: Fragment
Fabrikat: 17
Beschreibung: Kopf samt Halspartie einer zoomorphen Figurine; der Hals hat einen ovalen Querschnitt und verbreitert sich zum Kopf hin; der Kopf besitzt eine Durchlochung, die in der Seitenansicht als Auge fungiert; im Bereich der Durchlochung besitzt der Kopf seine breiteste Stelle; leicht überstehende Partien im oberen Bereich der Durchlochung deuten die Augenhöhlen an; die Mundpartie besitzt ein regelmäßig gerundetes Ende; WG 17 aufgrund der Oberfläche und soweit ersichtlich aufgrund des Bruches
Maße (cm):
Länge: erh. 7,4
Breite: max. 1,9
Dicke: max. 1,7
Breite (Hals, oval): 1,25 × 1,8
Breite (Kopf): 1,7
Breits (Mundpartie): 1,1
Dm. (Durchlochung, Kopf): 0,65
Gewicht (g): 25,26

Kat.-Nr. 63 Taf. 68.63
Fundnr.: 14/5467/3/9
Bezeichnung: Beinchen
Material: Keramik
Erhaltung: Fragment; leichte Bruchstellen an der Oberfläche; sekundär verbrannt
Fabrikat: 49
Beschreibung: gebogenes Bein einer Figurine; am Ansatz zum Körper gebrochen, im unteren Fußbereich gerader Verlauf, Fußfläche uneben; ovaler Querschnitt
Maße (cm):
Länge: erh. 5,25
Breite: max. 1,8
Dicke: max. 1,45
Gewicht (g): 18,41

Klopfsteine

Kat.-Nr. 64 Taf. 68.64
Fundnr.: 14/5467/3/7
Bezeichnung: Klopfstein
Material: Schmirgelgestein
Erhaltung: vollständig; leicht versintert
Beschreibung: etwa dreieckige Grundform; verjüngt sich keilförmig von der Handhabe zur Arbeitsfläche; natürliche Bruchkanten des Steins leicht abgerundet; Schlagnarben sind deutlich auf der abgerundeten Arbeitsfläche erkennbar
Maße (cm):
Länge: 8,2
Breite: 7,8
Dicke: 4,3
Gewicht (g): 375,48

Knochenspatel

Kat.-Nr. 65 Taf. 69.65; 85.65
Fundnr.: 14/5467/3/2
Bezeichnung: Spatel
Material: Knochen
Erhaltung: Fragment; verbrannt?
Beschreibung: Spatelkopf erhalten, stark abgerundet und poliert; besitzt leicht dunkle Verfärbungen (Feuereinwirkung?); auf der Oberseite finden sich Kratzspuren
Maße (cm):
Länge: erh. 3,7
Breite: 1,65
Dicke: 0,3
Gewicht (g): 2,53

Knochennadeln

Kat.-Nr. 66 Taf. 69.66
Fundnr.: 14/5467/3/3
Bezeichnung: Nadel
Material: Knochen
Erhaltung: Fragment
Beschreibung: Knochennadel; beinahe runder Querschnitt; sehr fein poliert; möglicherweise Schmuckobjekt; Spitze wirkt makroskopisch nicht abgenutzt
Maße (cm):
Länge: erh. 3,4
Dm.: 0,3
Gewicht (g): 0,25

Knochengeräte (unklar)

Kat.-Nr. 67
Fundnr.: 14/5467/3/4
Bezeichnung: Knochengerätfragment
Material: Knochen
Erhaltung: Fragment
Beschreibung: Randfragment; auf Ober- und Unterseite sowie im Seitenbereich geglättet
Maße (cm):
Länge: erh. 3,2
Breite: erh. 0,7
Dicke: erh. 0,25
Gewicht (g): 0,97

Keramikscheiben

Kat.-Nr. 68
Fundnr.: 14/5467/3/10
Bezeichnung: Keramikscheibe
Material: Keramik

Erhaltung: Fragment, ca. zur Hälfte erhalten
Fabrikat: 30
Beschreibung: Fragment auf der Ober-, Unterseite sowie den Seiten stark abgerieben; die Seiten verjüngen sich schräg zur Unterseite; aufgrund des Abriebs ist nur noch ansatzweise eine polygonale Form erkennbar
Maße (cm):
Länge: 4
Breite: erh. 3,8
Dicke: 0,9
Gewicht (g): 11,22

Steingeräte (unklar)

Kat.-Nr. 69
Fundnr.: 14/5467/3/1
Bezeichnung: Steinbeilfragment?
Material: Serpentinit
Erhaltung: Fragment; versintert
Beschreibung: Nacken teilweise erhalten, ebenso geringe Teile der Längs- und Schmalseiten; stark versintert
Maße (cm):
Länge: erh. 3,8
Breite: erh. 1,95
Dicke: erh. 1,35
Gewicht (g): 10,70

Dechsel

Kat.-Nr. 70 Taf. 69.70; 86.70
Fundnr.: 14/5467/3/6
Bezeichnung: Dechsel
Material: Serpentinit
Erhaltung: ca. 80% erhalten; leicht versintert
Beschreibung: länglich ovale Grundform; flächig stark poliert; Nacken zum Teil abgebrochen; weitere Bruchstellen im seitlichen Bereich der Klinge; Klinge ebenfalls leicht gebrochen; vermutlich aus einem Beil umfunktioniert
Maße (cm):
Länge: erh. 5,1
Breite: 1,8
Dicke: 1,85
Gewicht (g): 23,09

Webgewichte

Kat.-Nr. 71 Taf. 69.71; 87.71
Fundnr.: 14/5467/3/5
Bezeichnung: Webgewicht
Material: Keramik
Erhaltung: nahezu vollständig, nur minimale Brüche
Fabrikat: nicht bestimmbar; vgl. Beschreibung
Beschreibung: kleines Webgewicht aus grob mineralisch gemagertem, orangerotem Ton; zylindrische Form, leicht bauchig; Durchlochung vertikal
Anmerkungen: wirkt wie eine Miniaturform des Typs II (nach Britsch – Horejs 2014, 230, Abb. 4)
Maße (cm):
Länge: 6,2
Breite: 3,7
Dicke: 3,8
Dm. (Durchlochung): 0,7
Gewicht (g): 78,5

ÇuHö Va

SE 5434

Webgewichte

Kat.-Nr. 72 Taf. 69.72
Fundnr.: 14/5434/3/1
Bezeichnung: Webgewichtsfragment
Material: Keramik
Erhaltung: Randfragment eines Webgewichtes
Fabrikat: ähnlich 16; vgl. Beschreibung
Beschreibung: Fragment eines zylindrischen Webgewichtes aus orangerotem, leicht bräunlichem, grobem, mineralisch gemagertem, glimmerhaltigem Ton; Oberfläche geglättet; ähnlich WG 16, nur der Kern ist etwas heller und gröber gemagert; Rest der Durchlochung noch erkennbar; Oberfläche teils erhalten; eine Stelle ist schwarz verbrannt (vermutlich sekundär verbrannt)
Anmerkungen: Typ unbestimmbar
Maße (cm):
Länge: erh. 5,7
Breite: erh. 4,1
Dicke: erh. 2,7
Gewicht (g): 56,6

Planierung ÇuHö IV/Va

SE 5409

Dechsel

Kat.-Nr. 73 Taf. 70.73; 87.73
Fundnr.: 14/5409/3/4
Bezeichnung: Dechsel
Material: Peridotit
Erhaltung: nahezu vollständig
Beschreibung: im Schneidenbereich auf der Ober- und Unterseite stark geglättet bis poliert; Nackenseite abgenutzt mit Bruchstellen; Oberseite konvex; Unterseite leicht konvex
Maße (cm):
Länge: 4,5
Breite: max. 3,5
Dicke: 1,6
Breite (Schneide): max. 3,5
Breite (Nacken): max. 1,2
Gewicht (g): 44,6

Klopfsteine

Kat.-Nr. 74 Taf. 70.74
Fundnr.: 14/5409/3/2

Bezeichnung: Klopfstein
Material: Amphibolit
Erhaltung: annähernd vollständig; versintert
Beschreibung: abgerundet pyramidale Grundform (dreiseitig); eine Ecke abgebrochen; Flächen und Kanten stark abgerieben; auf den Kanten und Eckbereichen sind Schlagnarbenfelder erkennbar
Maße (cm):
Länge: 8,2
Breite: 6,6
Dicke: 5,1
Gewicht (g): 341,6

Knochengeräte (unklar)

Kat.-Nr. 75
Fundnr.: 14/5409/3/3
Bezeichnung: Knochengerätfragment
Material: Knochen
Erhaltung: Fragment; sekundär verbrannt
Beschreibung: an beiden Enden und längs abgebrochen; auf der erhaltenen Oberfläche finden sich Kratzspuren sowie eine deutliche, feine Politur; dunkelbraun bis schwarze Farbe (sekundär verbrannt)
Maße (cm):
Länge: erh. 3,5
Breite: erh. 1,1
Dicke: erh. 0,6
Gewicht (g): 3,2

Kat.-Nr. 76 Taf. 70.76
Fundnr.: 14/5409/3/6
Bezeichnung: Spatelfragment oder Fragment einer Ahle?
Material: Knochen
Erhaltung: Fragment; sekundär verbrannt
Beschreibung: Fragment eines flachen Knochenobjekts; ein fein polierter, abgerundeter Randteil ist erhalten; beide Oberflächen sind sehr fein poliert; auf der Außenseite des Knochens finden sich Kratzspuren; das Stück ist vollständig geschwärzt (sekundär verbrannt)
Maße (cm):
Länge: erh. 2,5
Breite: erh. 1,6
Dicke: erh. 0,2
Gewicht (g): 1,19

Knochenperlen

Kat.-Nr. 77 Taf. 70.77; 87.77
Fundnr.: 14/5409/3/1
Bezeichnung: Knochenperle
Material: Knochen
Erhaltung: fragmentiert (ca. 40% erhalten); stark sekundär verbrannt
Beschreibung: Fragment einer feinen, dünnen zylindrischen Perle aus Knochen; schwarz verfärbt (sekundär verbrannt); Durchlochung nicht zentral
Maße (cm):
Länge: 1,3
Breite: 0,6
Dicke: erh. 2,5
Dm. (Durchlochung): ca. 0,2
Gewicht (g): 0,21

Steinperlen

Kat.-Nr. 78 Taf. 70.78; 88.78
Fundnr.: 14/5409/3/5
Bezeichnung: Steinperle
Material: Peridotit
Erhaltung: vollständig
Beschreibung: scheiben- bis ringförmige Perle; allseitig poliert; Ränder abgeflacht; leicht schräg durchlocht
Maße (cm):
Dicke: 0,3
Dm.: 0,8
Dm. (Durchlochung): 0,28
Gewicht (g): 0,37

SE 5435

Steinperlen

Kat.-Nr. 79 Taf. 71.79
Fundnr.: 14/5435/3/1
Bezeichnung: Perle
Material: Peridotit
Erhaltung: vollständig
Beschreibung: dicke Scheibenperle; allseitig fein poliert; vereinzelt Kratzspuren auf der Außenseite gut erkennbar; Ränder abgeflacht
Maße (cm):
Dicke: 0,6
Dm.: 1,6
Dm. (Durchlochung): 0,38
Gewicht (g): 2,66

Webgewichte

Kat.-Nr. 80 Taf. 71.80
Fundnr.: 14/5435/3/2
Bezeichnung: Webgewichtsfragment
Material: Keramik
Erhaltung: Fragment (ca. 40% erhalten); sekundär verbrannt
Fabrikat: ähnlich 16; vgl. Beschreibung
Beschreibung: Fragment eines zylindrischen Webgewichtes aus braunrotem, grobem, organisch und mineralisch gemagertem, glimmerhaltigem Ton; Oberfläche geglättet; Kern etwas gröber und nicht so dunkel wie WG 16; der Länge nach sowie an den Enden gebrochen; Durchlochung ist noch erkennbar
Anmerkungen: Typ I (nach Britsch – Horejs 2014, 230, Abb. 4)
Maße (cm):
Länge: erh. 7,7
Dm.: 4,1
Dm. (Durchlochung): 0,8
Gewicht (g): 76,7

SE 5506

Klopfsteine

Kat.-Nr. 81 Taf. 72.81
Fundnr.: 14/5506/3/2
Bezeichnung: Klopfstein
Material: Quarzit
Erhaltung: vollständig; versintert
Beschreibung: abgerundete, eckige Grundform; mehrere plan und bogenförmig abgeriebene Partien an den Seitenflächen erkennbar; weiterhin deutliche Schlagnarbenfelder an den Kanten erkennbar; zum Teil stark versintert
Maße (cm):
Länge: 7,5
Breite: 8
Dicke: 5,7
Gewicht: 485,28 (g)

Keramikscheiben

Kat.-Nr. 82 Taf. 72.82
Fundnr.: 14/5506/3/4
Bezeichnung: Keramikscheibe
Material: Keramik
Erhaltung: vollständig; leicht versintert
Fabrikat: 72
Beschreibung: ovale Grundform; auf der Ober- und Unterseite abgerieben; die Seiten sind stark abgerundet; ehemals polygonale Form nur noch ansatzweise erkennbar; auf einer Seite leicht konkav gewölbt, wahrscheinlich aus dem Boden eines Gefäßes hergestellt
Maße (cm):
Länge: 4,4
Breite: 3,6
Dicke: max. 1,15
Gewicht: 24,27 (g)

Webgewichte

Kat.-Nr. 83 Taf. 72.83; 88.83
Fundnr.: 14/5506/3/1
Bezeichnung: Webgewichtsfragment
Material: Keramik
Erhaltung: mehr als die Hälfte (60–70%) erhalten
Fabrikat: ähnlich 32; vgl. Beschreibung
Beschreibung: fragmentiertes zylindrisches Webgewicht aus orangerotem bis braunen, grobem, mineralisch gemagertem, glimmerhaltigem Ton (ähnlich WG 32); der Länge nach durchbrochen; Durchlochung ist noch erkennbar; auf voller Länge erhalten
Anmerkungen: Typ I (nach Britsch – Horejs 2014, 230, Abb. 4)
Maße (cm):
Länge: 10,2
Breite: 5,5
Dicke: 3,6
Dm.: max. 5,5
Dm. Durchlochung ca. 0,8 cm
Gewicht: 176,58 (g)

Kat.-Nr. 84 Taf. 73.84; 88.84
Fundnr.: 14/5506/3/3
Bezeichnung: Webgewicht
Material: Keramik
Erhaltung: vollständig
Fabrikat: ähnlich 32; vgl. Beschreibung
Beschreibung: zylindrisches Webewicht aus rotbraunem bis grauem, mineralisch gemagertem, grobem, stark glimmerhaltigem Ton; ähnlich WG 32 nur etwas feiner gemagert; bis auf minimal kleine Beschädigungen vollständig erhalten; Enden schließen sehr flach ab
Anmerkungen: Typ I (nach Britsch – Horejs 2014, 230, Abb. 4)
Maße (cm):
Länge: 8,5
Breite: 4,8
Dicke: 4,6
Dm. Durchlochung 0,8–1,1
Gewicht: 228,1 (g)

SE 5519

Steinobjekte (unklar)

Kat.-Nr. 85 Taf. 73.85; 89.85
Fundnr.: 14/5519/3/2
Bezeichnung: Steinanhänger?
Material: Glimmerschiefer
Erhaltung: quer gebrochen
Beschreibung: schmales, längliches Objekt; rechteckiger Querschnitt mit abgerundeten Kanten im Endbereich; zum Abschluss hin gleichmäßig verjüngend; Oberfläche sehr fein geglättet; Durchlochung von beiden Seiten kegelförmig gearbeitet
Maße (cm):
Länge: erh. 2,3
Breite: 0,7–1,5
Dicke: 0,7
Dm. (Durchlochung): 0,9
Gewicht (g): 7,3

SE 5523

Webgewichte

Kat.-Nr. 86 Taf. 74.86
Fundnr.: 14/5523/3/1
Bezeichnung: Webgewicht
Material: Keramik
Erhaltung: annähernd komplett (80% erhalten)
Fabrikat: ähnlich 32; vgl. Beschreibung
Beschreibung: annähernd vollständig erhaltenes, nahezu zylindrisches Webgewicht aus orangerotem, grobem, mineralisch gemagertem, glimmerhaltigem Ton; Oberfläche rau, uneben, teilweise geglättet; Ware ähnlich WG 32; mehrere Bruchstellen auf den Längsseiten und den Enden; Durchlochung ist vollständig erhalten
Anmerkungen: Typ I (nach Britsch – Horejs 2014, 230, Abb. 4)

Maße (cm):
Länge: 10
Breite: 5,5
Dicke: 4,9
Dm. (Durchlochung): ca. 0,8
Gewicht (g): 251,87

ÇuHö I

SE 5001

Figurine

Kat.-Nr. 87 Taf. 75.87
Fundnr.: 12/5001/3/38
Bezeichnung: anthropomorphe Figurine (Typ Kiliya)
Material: Marmor
Erhaltung: Hals und Kopf nicht erhalten
Beschreibung: Hals und Kopf abgebrochen; Körper mit angewinkelten Armen und rudimentär ausgearbeitetem Fußbereich erhalten; Standfläche schräg; keine Geschlechtsindikatoren erkennbar; Körper sehr schmal und flach
Maße (cm):
Länge: erh. 6,6 (rekonstruiert ca. 10)
Breite: 3,4
Dicke: max. 1,24
Länge (Arm, links): 1,9
Breite (Arm, links) 0,8
Länge (Arm, rechts): 2,5
Breite (Arm, rechts) 0,7
Dicke (Körper): 1,16
Dicke (Fußbereich): 1,24
Gewicht (g): 27,78

IX.5. Metallfunde

ÇuHö VIb

SE 5350

Nadeln

Kat.-Nr. 1 Taf. 90.1; 91.1
Fundnr.: 14/5350/5/1
Bezeichnung: Nadel mit Öhr
Fundkategorie/Typ: Nadel mit Öhr (nach Mehofer 2014b, 68–70)
Erhaltung: annähernd vollständig erhalten; Spitze abgebrochen und verbogen
Beschreibung: Öhr befindet sich im oberen Drittel der Nadel, 1,2 cm unterhalb des oberen Endes; wurde durch Spaltung hergestellt
Material: Arsenkupfer (Methode: pXRF)
Maße (cm):
Länge: 8,9
Breite (Öhr, außen): 0,3
Breite (Öhr, innen): ca. 0,1
Dm. (Schaft, unterhalb Öhr): 0,2
Dm. (Schaft, Bruchstelle Spitze): 0,1
Gewicht (g): 1,49

ÇuHö VIa/VIb

SE 5591

Draht

Kat.-Nr. 2 Taf. 90.2; 93.2
Fundnr.: 14/5591/5/1
Bezeichnung: Drahtfragment
Fundkategorie/Typ: Draht
Erhaltung: gebrochenes, verbogenes Fragment
Beschreibung: Drahtfragment besitzt einen runden Querschnitt
Material: Arsenkupfer (Methode: pXRF)
Maße (cm):
Länge: erh. 4,4
Dm.: 2,2
Gewicht (g): 1

ÇuHö IV/VIb

SE 5324

Ahlen

Kat.-Nr. 3 Taf. 90.3
Fundnr.: 13/5324/5/1
Bezeichnung: Ahle
Fundkategorie/Typ: Ahle
Erhaltung: vollständig
Beschreibung: kleine Ahle besitzt einen quadratischen Querschnitt; ein Ende ist relativ kurz und stumpf ausgeführt (befand sich im Holzschaft), das andere Ende ist schmal, lang und spitz
Material: Arsenkupfer (Methode: pXRF)
Maße (cm):
Länge: 5,54
Breite (Schaft): 0,3 × 0,29
Breite (Schaft, stumpfes Ende): 0,22 × 0,24
Dm. (Schaft, unterhalb Öhr): 0,2
Dm. (Spitze): 0,1
Gewicht (g): 2,09

ÇuHö Vb/VIa

SE 5465

Nadeln

Kat.-Nr. 4 Taf. 90.4; 92.4
Fundnr.: 14/5465/5/1
Bezeichnung: Nadel mit tropfenförmigem Kopf und umlaufender Leiste
Fundkategorie/Typ: Nadel mit tropfenförmigem Kopf und umlaufender Leiste (nach Mehofer 2014b, 71)
Erhaltung: Fragment, unteres Drittel abgebrochen; vermutlich Anpassung mit Kat.-Nr. 5
Beschreibung: Kopf ist tropfenförmig, geht sanft in eine umlaufende, scheibenförmige Leiste über; unterhalb der Leiste schnürrt der Schaft leicht ein; Schaft besitzt einen gleichmäßigen, runden Querschnitt und knickt im Bruchbereich leicht um
Material: Arsenkupfer (Methode: pXRF)
Maße (cm):
Länge: erh. 7,17
Dm. (Kopf): 0,67
Dm. (Schaft): 0,32
Gewicht (g): 6,55

Nadeln

Kat.-Nr. 5 Taf. 90.5; 92.5; 93.5
Fundnr.: 14/5465/5/2
Bezeichnung: Nadelfragment
Fundkategorie/Typ: Nadel
Erhaltung: abgebrochenes Fragment, unterer Bereich der Nadel; vermutlich Anpassung mit Kat.-Nr. 4
Beschreibung: spitz zulaufender Schaft mit einem runden Querschnitt; knickt im Bruchbereich leicht um
Material: Arsenkupfer (Methode: pXRF)
Maße (cm):
Länge: erh. 5,4
Dm. (Schaft): 0,32
Gewicht (g): 2,16

Draht

Kat.-Nr. 6 Taf. 93.6
Fundnr.: 14/5465/5/3
Bezeichnung: Drahtfragment
Fundkategorie/Typ: Draht
Erhaltung: gebrochenes, verbogenes, stark korrodiertes Fragment
Beschreibung: Drahtfragment besitzt einen rechteckigen Querschnitt
Material: Arsenkupfer (Methode: pXRF)
Maße (cm):
Länge: erh. 6
Breite (Schaft): 0,12 × 0,22
Gewicht (g): 1,33

SE 5539

Draht

Kat.-Nr. 7 Taf. 90.7; 93.7
Fundnr.: 14/5539/5/1
Bezeichnung: Drahtfragment
Fundkategorie/Typ: Draht
Erhaltung: gebrochenes, verbogenes Fragment
Beschreibung: Drahtfragment besitzt einen runden Querschnitt
Material: Arsenkupfer (Methode: pXRF)
Maße (cm):
Länge: erh. 3,7
Dm. (Schaft): 0,12
Gewicht (g): 1,36

SE 5543

Draht

Kat.-Nr. 8 Taf. 93.8
Fundnr.: 14/5543/5/1
Bezeichnung: Drahtfragment mit hakenförmigem Ende
Fundkategorie/Typ: Draht
Erhaltung: abgebrochenes Fragment; unterer Bereich erhalten
Beschreibung: unteres Ende ist zu einem kleinen Haken geformt (oder verbogen?); der Querschnitt ist rund (eventuell das Fragment einer Nadel?)
Material: Arsenkupfer (Methode: pXRF)
Maße (cm):
Länge: erh. 4,8
Dm. (Schaft): 0,4
Dm. (Haken): 0,25
Gewicht (g): 4,1

ÇuHö Vb

SE 5326

Ahlen

Kat.-Nr. 9 Taf. 91.9
Fundnr.: 14/5326/5/1
Bezeichnung: Ahle
Fundkategorie/Typ: Ahle
Erhaltung: vollständig
Beschreibung: Ahle hat einen quadratischen Querschnitt und unterteilt sich in einen langen und einen kurzen Teil; lange Teil besitzt eine Spitze, kurze Teil endet stumpf
Material: Arsenkupfer (Methode: pXRF)
Maße (cm):
Länge: 10,6
Breite (langer Abschnitt): 0,29 × 0,29
Breite (Mitte): max. 0,4 × 0,39
Breite (kurzer Abschnitt): 0,22 × 0,22
Gewicht (g): 5,64

ÇuHö Va/Vb

SE 5533

Meißel

Kat.-Nr. 10 Taf. 90.10; 93.10
Fundnr.: 14/5533/5/1
Bezeichnung: Meißel
Fundkategorie/Typ: Meißel
Erhaltung: vollständig
Beschreibung: Meißel hat einen langen quadratischen Schaft; Schneide ist leicht bogenförmig ausgeformt und etwas breiter als der Schaft; die Oberfläche ist überarbeitet
Material: Arsenkupfer (Methode: pXRF)
Maße (cm):
Länge: 4,6
Breite (Schaft, Ende): 0,9 × 0,8
Breite (Schaft, oberhalb der Schneide): 0,4 × 0,7
Breite (Schneide): 0,65
Gewicht (g): 16

ÇuHö IV/Vb

SE 5467

Ahlen

Kat.-Nr. 11 Taf. 90.11; 93.11
Fundnr.: 14/5467/5/1
Bezeichnung: Ahle
Fundkategorie/Typ: Ahle
Erhaltung: vollständig
Beschreibung: Ahle teilt sich in eine Hälfte mit einem runden Querschnitt und in eine Hälfte mit quadratischem Querschnitt; zu beiden Enden hin verjüngt sich das Objekt; Ende mit rundem Querschnitt schließt stumpf ab; Ende mit quadratischem Querschnitt besitzt eine abgerundete Spitze
Material: Arsenkupfer (Methode: pXRF)
Maße (cm):
Länge: 4,46
Breite: max. 0,38 × 0,38

Dm.: max. 0,28
Breite (quadratisches Ende): 0,1
Dm. (rundes Ende): 0,17
Gewicht (g): 1,16

ÇuHö IV/Va

SE 5409

Nadeln

Kat.-Nr. 12 Taf. 90.12; 91.12
Fundnr.: 14/5409/5/1
Bezeichnung: Nadel mit Öhr
Fundkategorie/Typ: Nadel mit Öhr (nach Mehofer 2014b, 68–70)
Erhaltung: vollständig, verbogen
Beschreibung: Öhr befindet sich im oberen Drittel der Nadel, 1,9 cm unterhalb des oberen Endes; wurde durch Spaltung hergestellt
Material: Arsenkupfer (Methode: pXRF)
Maße (cm):
Länge: 11,9 (abgerollt)
Breite (Öhr, außen): 0,35
Breite (Öhr, innen): 0,09
Dm. (Schaft, unterhalb Öhr): 0,2
Dm. (Schaft, Bruchstelle Spitze): 0,1
Gewicht (g): 2,14

SE 5543

Nadeln

Kat.-Nr. 13
Fundnr.: 14/5506/5/1
Bezeichnung: Nadel mit Öhr
Fundkategorie/Typ: Nadel mit Öhr (nach Mehofer 2014b, 68–70)
Erhaltung: vollständig; verbogen
Beschreibung: Öhr befindet sich im oberen Drittel der Nadel, 1,9 cm unterhalb des oberen Endes; wurde durch Spaltung hergestellt; obere Hälfte des Schaftes hat einen rhombisch bis quadratischen Querschnitt, untere Hälfte hat einen runden Querschnitt
Material: Arsenkupfer (Methode: pXRF)
Maße (cm):
Länge: 11 (abgerollt)
Breite (Öhr, außen): 0,3
Breite (Öhr, innen): ca. 0,1
Breite (unterhalb Öhr): 0,2 × 0,18
Dm. (Schaft): 0,2
Gewicht (g): 1,78

IX.6. Reibsteine, Mörser und Türangelsteine

ÇuHö VIb

SE 1451

Mörser

Kat.-Nr. 1 Taf. 94.1
Fundnr.: 11/1451/7/1
Bezeichnung: Mörser
Material: Glimmerschiefer
Erhaltung: bis auf einen Bruch an der Unterseite vollständig erhalten; an der Oberfläche stark von einer Karbonatkruste überzogen
Beschreibung: unregelmäßig abgerundete Grundform; leicht ovale Mörserschale; Kanten (Mörserschale/Oberseite) abgerundet; Kanten (Ober-/Unterseite) stark abgerundet; Unterseite abgeflacht (unbearbeitet); Pickspuren auf der Innenseite der Mörserschale erkennbar
Maße (cm):
Länge: 26,8
Breite: 20,3
Dicke: max. 8,3
Abmessungen (Möserschale): 14,3 × 12
Tiefe (Mörserschale): max. 2,4

ÇuHö Vb

SE 5330

Reibsteine

Kat.-Nr. 2 Taf. 95.2
Fundnr.: 13/5330/7/1
Bezeichnung: Unterlieger
Material: quarzreicher Glimmerschiefer
Form: 2
Erhaltung: an beiden Längsseiten gebrochen; stellenweise befindet sich eine Karbonatkruste auf der Oberfläche
Beschreibung: länglich-ovale Grundform; im Längsschnitt sattelförmig; Reibfläche leicht bogenförmig abgerieben; im Querschnitt abgerundet trapezförmig mit einer plan abgeriebenen Reibfläche; Kanten (Reibfläche/Unterseite) leicht abgerundet, auch im Bereich der Bruchstellen an den Längsseiten, daher Weiterverwendung nach dem Bruch; Unterseite abgeflacht (unbearbeitet)
Maße (cm):
Länge: erh. 44,8
Breite: 29,1
Dicke: max. 11,3

SE 5332

Mörser

Kat.-Nr. 3 Taf. 96.3
Fundnr.: 13/5332/7/1
Bezeichnung: Mörser
Material: quarzreicher Glimmerschiefer
Erhaltung: etwa zur Hälfte erhalten; stellenweise von einer Karbonatkruste überzogen
Beschreibung: etwa ovale Grundform rekonstruierbar; runde Mörserschale rekonstruierbar; Kanten (Mörserschale/Oberseite) abgerundet; Kanten (Ober-/Unterseite) stark abgerundet; Unterseite abgeflacht (unbearbeitet)
Maße (cm):
Länge: erh. 14,7
Breite: 17,6
Dicke: max. 4,9

SE 5490

Reibsteine

Kat.-Nr. 4 Taf. 97.4
Fundnr.: 14/5490/7/1
Bezeichnung: Läufer
Material: quarzreicher Glimmerschiefer
Form: 1
Erhaltung: ca. zur Hälfte erhalten; mehrere Bruchstellen entlang der Foliationslinien
Beschreibung: länglich-ovale Grundform rekonstruierbar; im Längsschnitt plankonkav rekonstruierbar, Reibfläche leicht bogenförmig abgerieben; im Querschnitt abgerundet trapezförmig mit einer leicht konvex abgeriebenen Reibfläche; Kanten (Reibfläche/Oberseite) soweit erhalten stark abgerundet, Oberseite abgeflacht
Maße (cm):
Länge: erh. 23
Breite: erh. 19,5
Dicke: max. 3,9

Planierung ÇuHö Va/Vb

SE 5478

Reibsteine

Kat.-Nr. 5 Taf. 98.5
Fundnr.: 14/5478/7/1
Bezeichnung: Läufer
Material: quarzreicher Glimmerschiefer
Form: 2

Erhaltung: etwa zu 75% erhalten, ein Ende abgebrochen
Beschreibung: einer unregelmäßig länglich-ovale Grundform mit eine etwa geraden Seite; im Längsschnitt plankonvex, Reibfläche plan abgerieben; im Querschnitt grob abgerundet dreieckig mit einer deultich konvex abgeriebenen Reibfläche; Kanten (Reibfläche/Oberseite) scharf bis leicht abgerundet, Oberseite zur besseren Handhabe bearbeitet
Maße (cm):
Länge: erh. 39,3
Breite: 23,5
Dicke: max. 10,3

Planierung ÇuHö IV/Vb

SE 5467

Reibsteine

Kat.-Nr. 6 Taf. 99.6
Fundnr.: 14/5467/7/1
Bezeichnung: Läufer
Material: Chlorit-Amphibol-Muskovit-Schiefer
Form: 1
Erhaltung: etwa zur Hälfte erhalten
Beschreibung: vermutlich unregelmäßig länglich-ovale Grundform rekonstruierbar; im Längsschnitt etwa plankonkav rekonstruierbar, Reibfläche konkav abgerieben; im Querschnitt plankonvex, Reibfläche ganz leicht konvex abgerieben; Kanten (Reibfläche/Oberseite) leicht abgerundet, Oberseite abgeflacht (unbearbeitet)
Anmerkungen: bestimmt durch D. Wolf (2014)
Maße (cm):
Länge: erh. 16,5
Breite: 17
Dicke: max. 4,2

Planierung ÇuHö IV/Va

SE 5409

Reibsteine

Kat.-Nr. 7 Taf. 100.7
Fundnr.: 14/5409/7/1
Bezeichnung: Läufer
Material: quarzreicher Glimmerschiefer
Form: 2
Erhaltung: etwa zur Hälfte erhalten; von einer Karbonatkruste überzogen
Beschreibung: abgerundet längliche Grundform rekonstruierbar; im Längsschnitt abgerundet länglich rekonstruierbar, Reibfläche plan abgerieben; im Querschnitt plankonvex, Reibfläche plan abgerieben; Kanten (Reibfläche/Unterseite) leicht abgerundet; Oberseite zur besseren Handhabe bearbeitet (Pickspuren erkennbar)
Maße (cm):
Länge: erh. 20,1
Breite: 16,2
Dicke: max. 5,1

SE 5433

Reibsteine

Kat.-Nr. 8 Taf. 101.8
Fundnr.: 14/5433/7/1
Bezeichnung: Läufer
Material: quarzreicher Glimmerschiefer
Form: 2
Erhaltung: etwas weniger als zur Hälfte erhalten; stellenweise von einer Karbonatkruste überzogen
Beschreibung: etwa ovale Grundform; im Längsschnitt abgerundet länglich, Reibfläche plan abgerieben; im Querschnitt plankonvex, Reibfläche stark konvex abgerieben; Kanten (Reibfläche/Unterseite) soweit erhalten abgerundet; Oberseite abgeflacht (unbearbeitet)
Maße (cm):
Länge: erh. 26
Breite: erh. 18,3
Dicke: max. 5,4

SE 5506

Türangelsteine

Kat.-Nr. 9 Taf. 102.9
Fundnr.: 14/5506/7/1
Bezeichnung: Türangelstein
Material: Glimmerschiefer
Erhaltung: im Seitenbereich gebrochen
Beschreibung: etwa runde Grundform; im Längs- und Querschnitt flach abgerundet rechteckig mit einer runden Eintiefung auf der Oberseite; Kanten (Ober-/Unterseite) abgerundet; Unterseite flach (unbearbeitet)
Maße (cm):
Länge: 16,7
Breite: 17,2
Dicke: max. 5,3
Dm. (Eintiefung): 4,9
Tiefe (Eintiefung): 1,3

Reibsteine

Kat.-Nr. 10 Taf. 103.10
Fundnr.: 14/5506/7/2
Bezeichnung: Läufer
Material: Glimmerschiefer
Form: 1
Erhaltung: etwa zur Hälfte erhalten
Beschreibung: vermutlich länglich-ovale Grundform rekonstruierbar; im Längsschnitt etwa plankonkav rekonstruierbar, Reibfläche konkav abgerieben; im

Querschnitt plankonvex, Reibfläche plan abgerieben; Kanten (Reibfläche/Oberseite) leicht abgerundet, Oberseite zur besseren Handhabe bearbeitet (Pickspuren erkennbar)
Maße (cm):
Länge: erh. 19,6
Breite: 15
Dicke: max. 4,8

SE 5521

Reibsteine

Kat.-Nr. 11
Fundnr.: 14/5521/7/1
Bezeichnung: Läufer
Material: Glimmerschiefer
Form: 1
Erhaltung: etwa zur Hälfte erhalten; stellenweise von einer Karbonatkruste überzogen
Beschreibung: abgerundet längliche Grundform rekonstruierbar; im Längsschnitt etwa plankonkav rekonstruierbar, Reibfläche konkav abgerieben; im Querschnitt plankonvex, Reibfläche leicht konvex abgerieben; Kanten (Reibfläche/Oberseite) leicht abgerundet, Oberseite abgeflacht (unbearbeitet), an den Seiten in Form geschlagen
Maße (cm):
Länge: erh. 25,4
Breite: 16,5
Dicke: max. 4,8

Türangelsteine

Kat.-Nr. 12
Fundnr.: 14/5521/7/2
Bezeichnung: Türangelstein
Material: Glimmerschiefer
Erhaltung: vollständig
Beschreibung: etwa rundlich-ovale Grundform; im Längs- und Querschnitt flach abgerundet rechteckig mit einer kleinen runden Eintiefung auf der Oberseite; Kanten (Ober-/Unterseite) abgerundet; Unterseite flach (unbearbeitet)
Maße (cm):
Länge: 20,4
Breite: 16,1
Dicke: max. 5,2
Dm. (Eintiefung): 4,4
Tiefe (Eintiefung): 0,9

X. Tafeln

Die Nummern der Tafelabbildungen entsprechen den Katalognummern der einzelnen Fundkategorien (vgl. IX.3–6.):

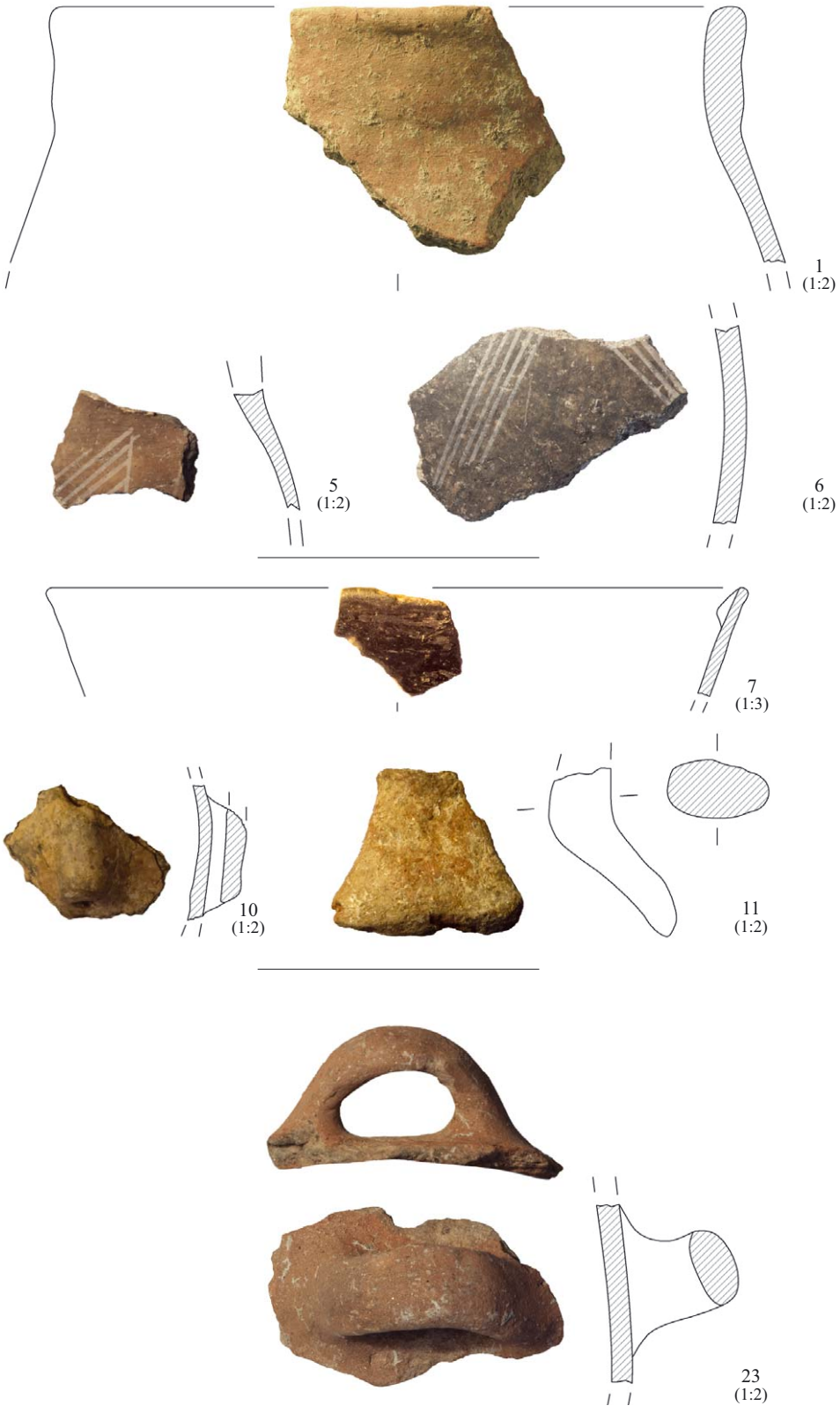
X.1. **Keramik** (Taf. 1–51)

X.2. **Kleinfunde** (Taf. 52–89)

X.3. **Metallfunde** (Taf. 90–93)

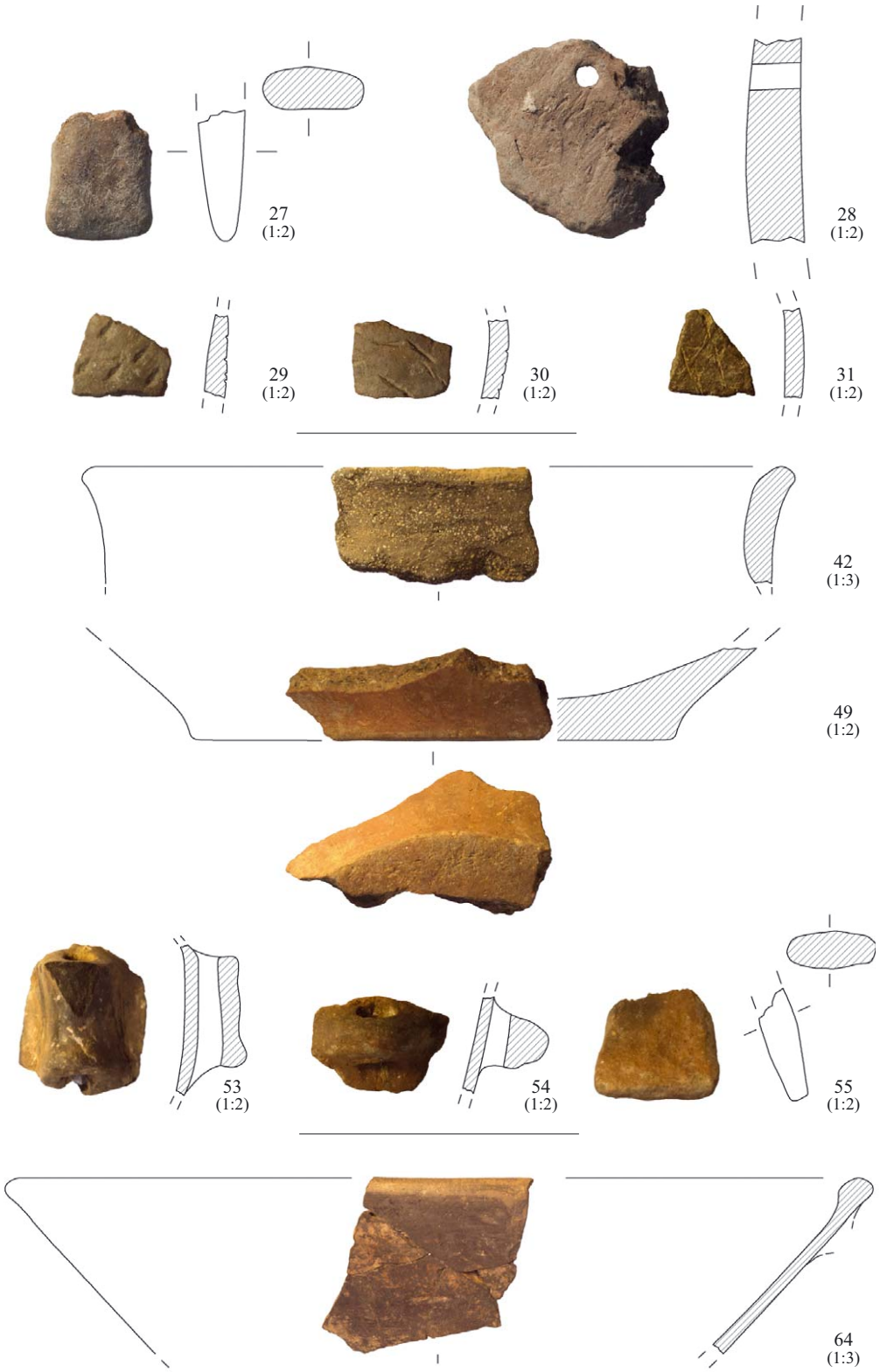
X.4. **Reibsteine, Mörser und Türangelsteine** (Taf. 94–103)

Die Fotos der Tafeln 1–44 wurden von Thomas Urban (Dr. Urban und Partner) erstellt. Die Abbildungen des 3D-Scans der Tafeln 22–23 wurden von M. Börner (OREA) angefertigt. Die Fotos der Tafeln 45–93 wurden von N. Gail (ÖAI) erstellt. Alle weiteren Fotos stammen vom Autor.



ÇuHö VII Grabenverfüllung A: SE 1254 (1, 5−6); SE 1335 (7, 10−11); SE 1351 (23)

Tafel 2

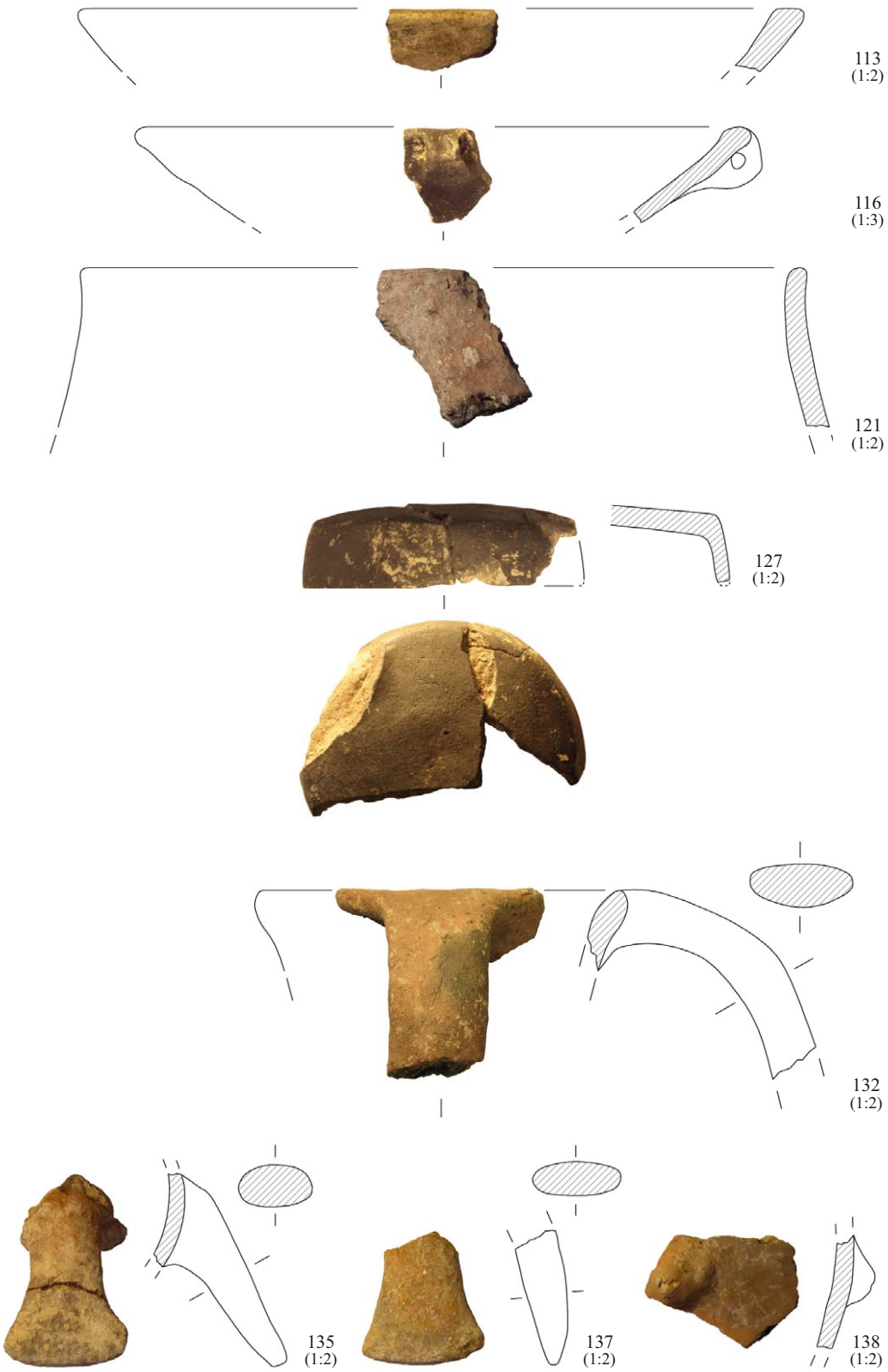


ÇuHö VII Grabenverfüllung A: SE 1351 (27−31); Grabenverfüllung B: SE 4553 (42, 49, 53−55)
Planierung ÇuHö VIb/VII Grabenverfüllung C: SE 1218 (64)

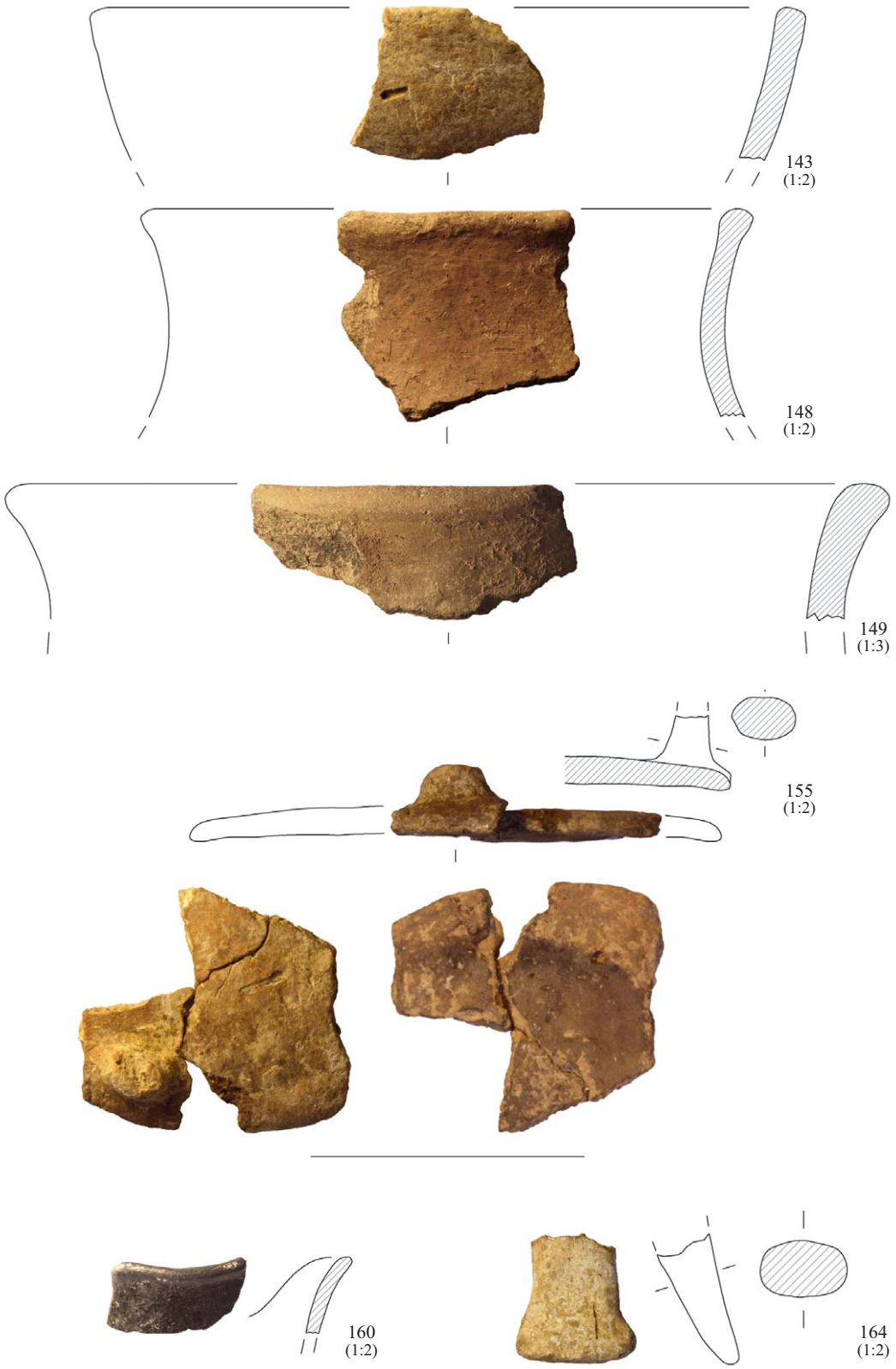


Planierung ÇuHö VIb/VII Grabenverfüllung C: SE 1258 (66); SE 1283 (68); SE 1307 (77, 94, 98, 104)

Tafel 4

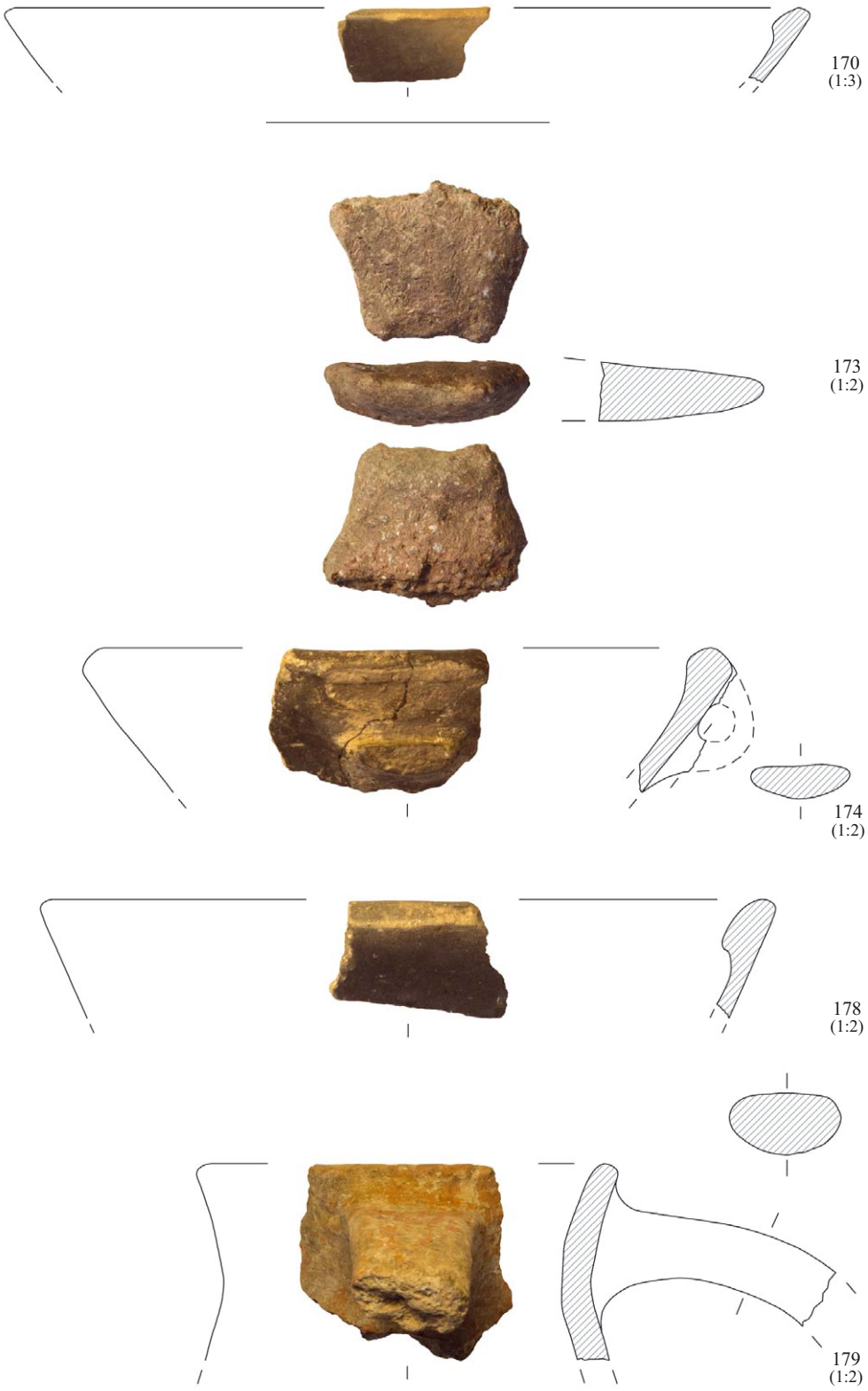


Planierung ÇuHö VIb/VII Grabenverfüllung C: SE 1343 (113, 116, 121, 127, 132, 135, 137−138)

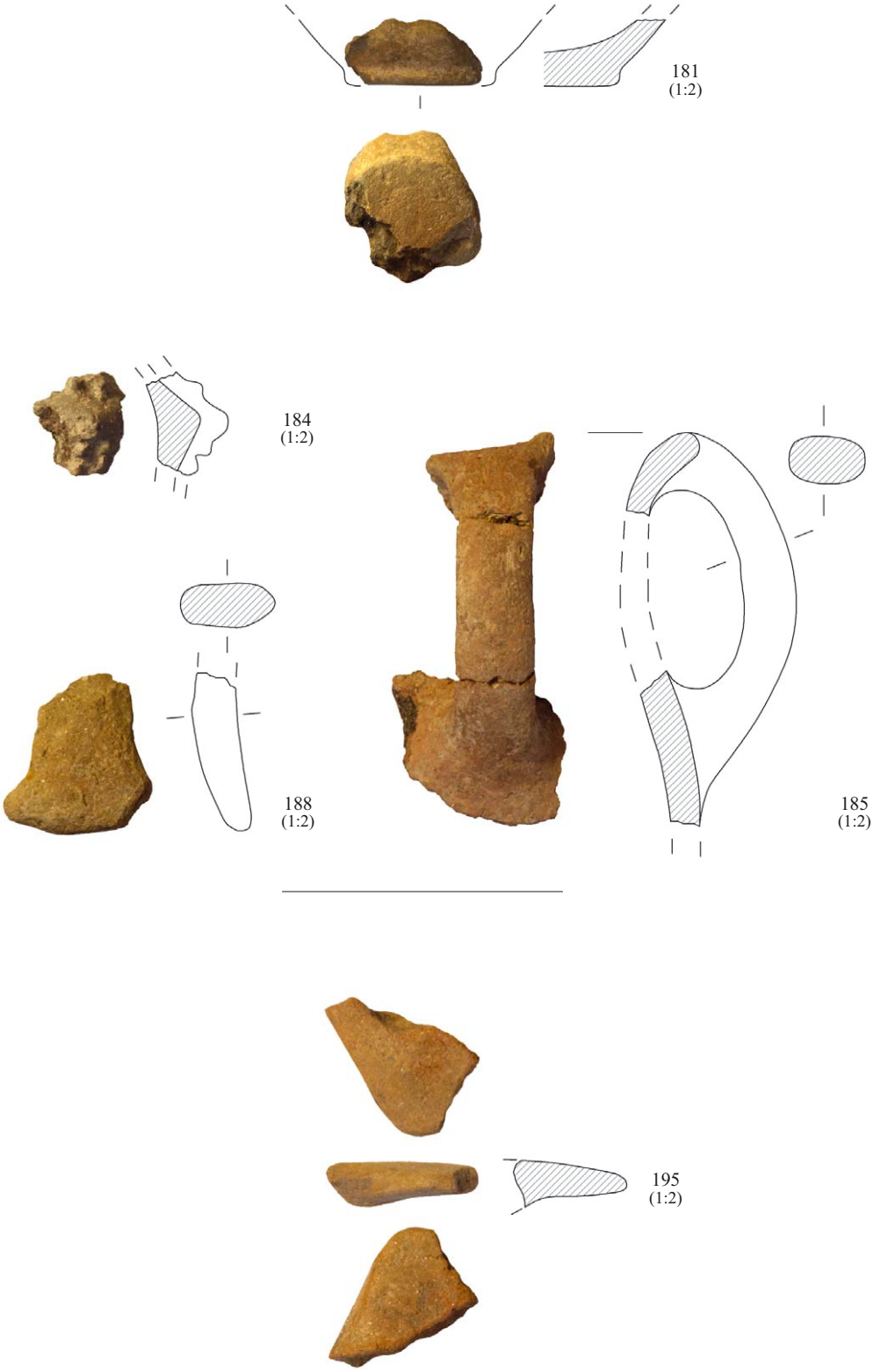


Planierung ÇuHö VIb/VII Grabenverfüllung C: SE 1344 (143, 148−149); SE 1345 (155); SE 1368 (160, 164)

Tafel 6

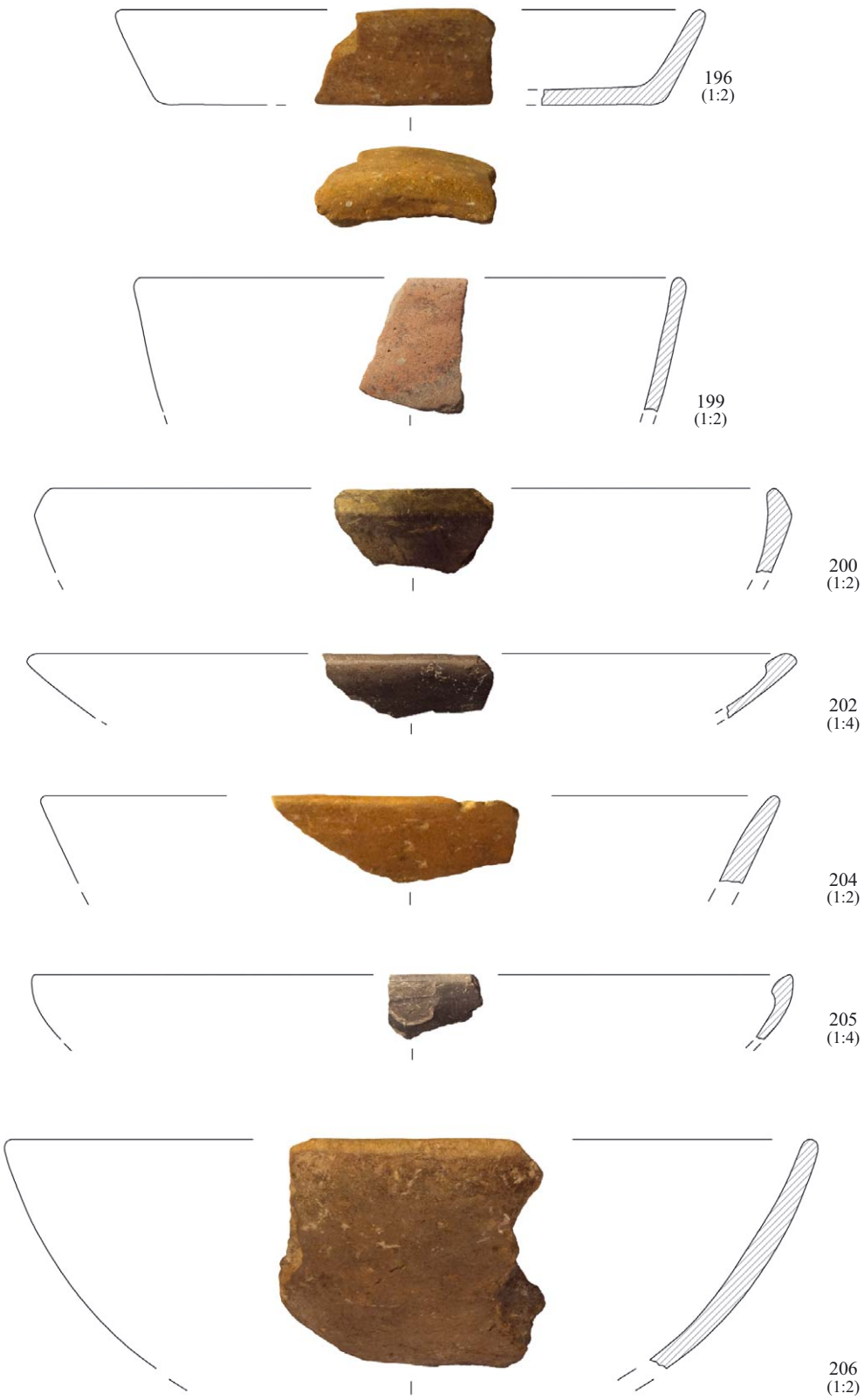


Planierung ÇuHö VIb/VII Grabenverfüllung C: SE 1501 (170); SE 4551 (173−174, 178−179)

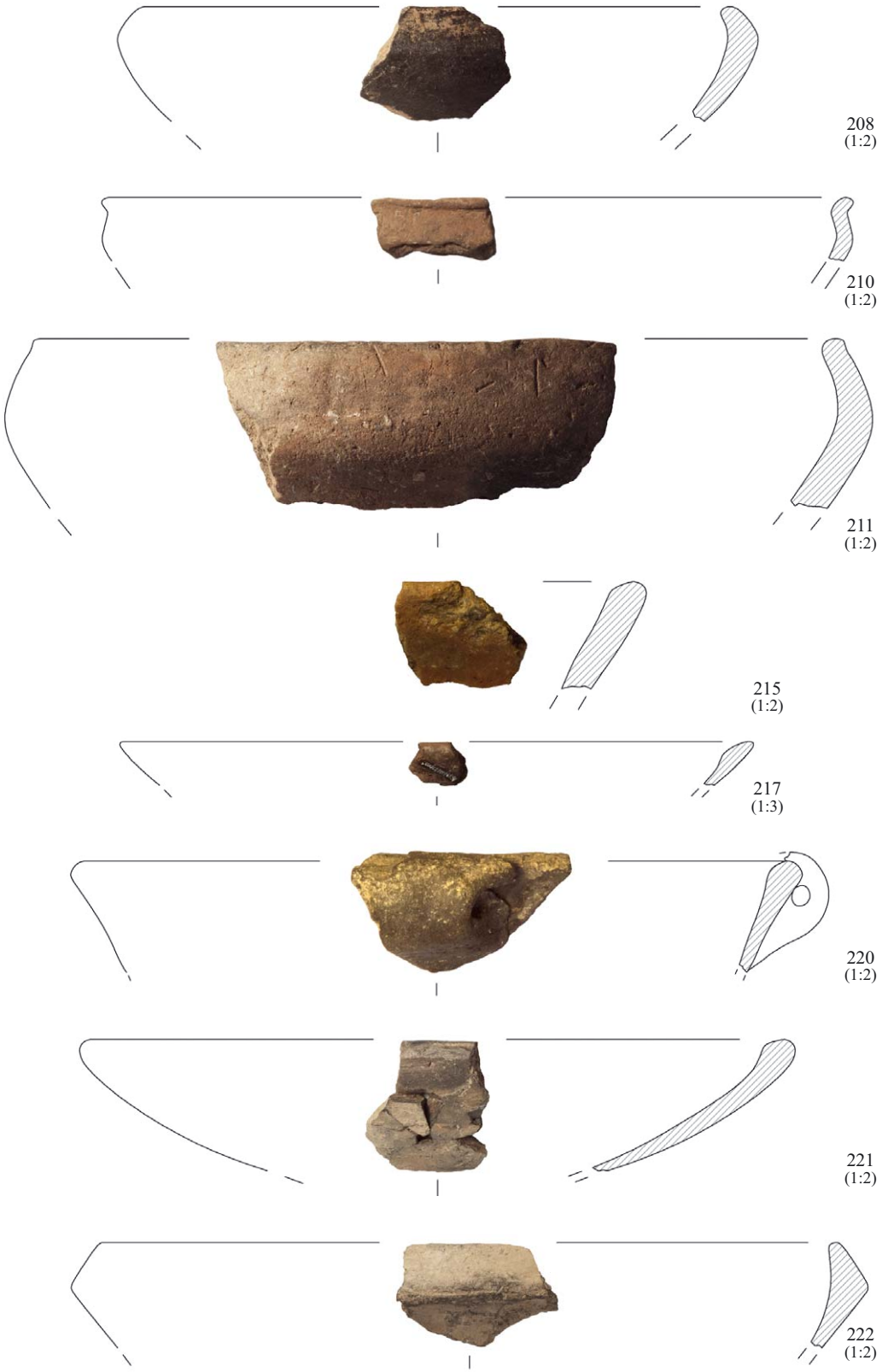


Planierung ÇuHö VIb/VII Grabenverfüllung C: SE 4551 (181, 184–185, 188)
Planierschicht: SE 1449 (195)

Tafel 8

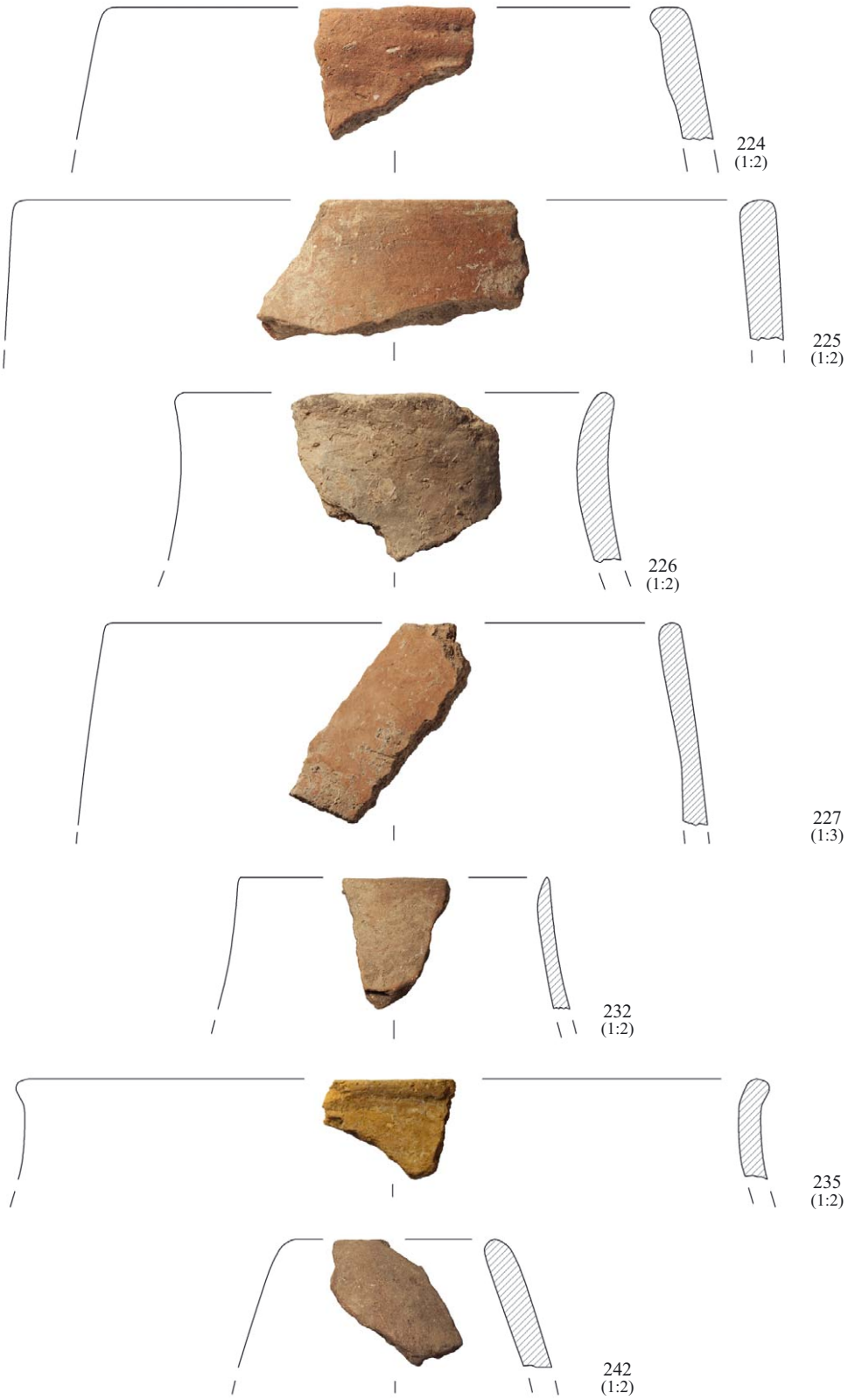


Planierung ÇuHö VIb/VII Planierschicht: SE 1449 (196, 199–200, 202, 204–206)

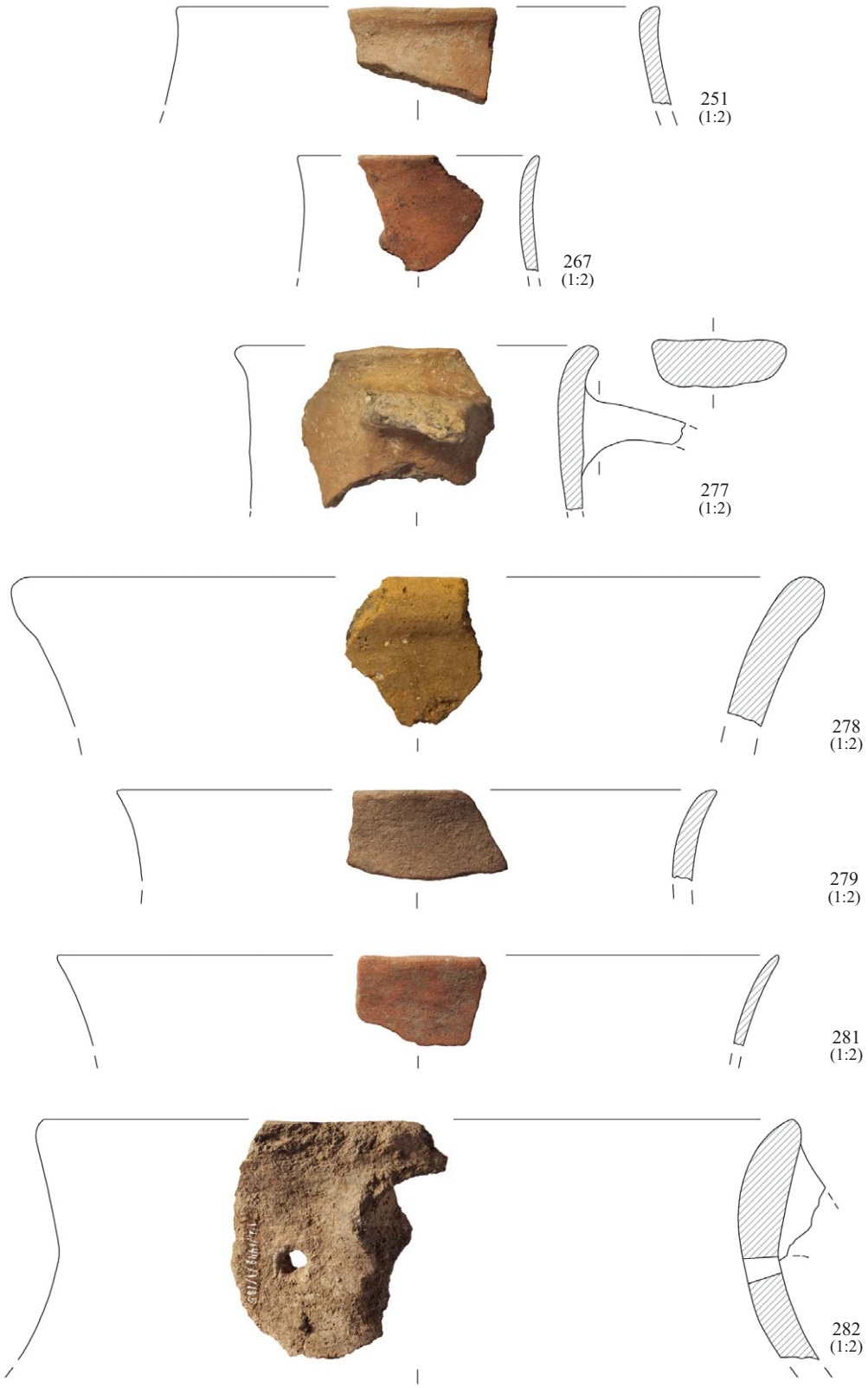


Planierung ÇuHö VIb/VII Planierschicht: SE 1449 (208, 210–211, 215, 217, 220–222)

Tafel 10

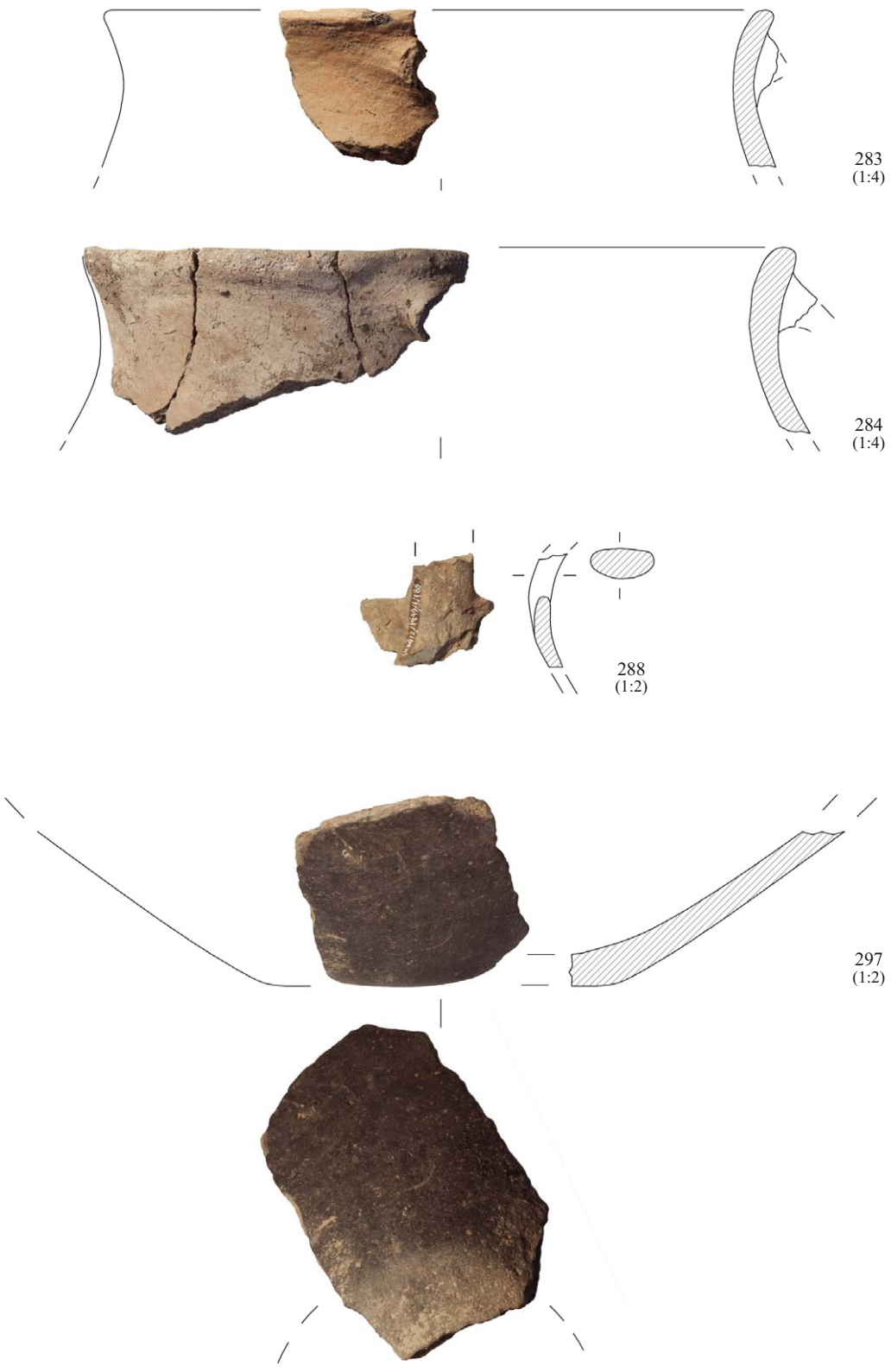


Planierung ÇuHö VIb/VII Planierschicht: SE 1449 (224–227, 232, 235, 242)

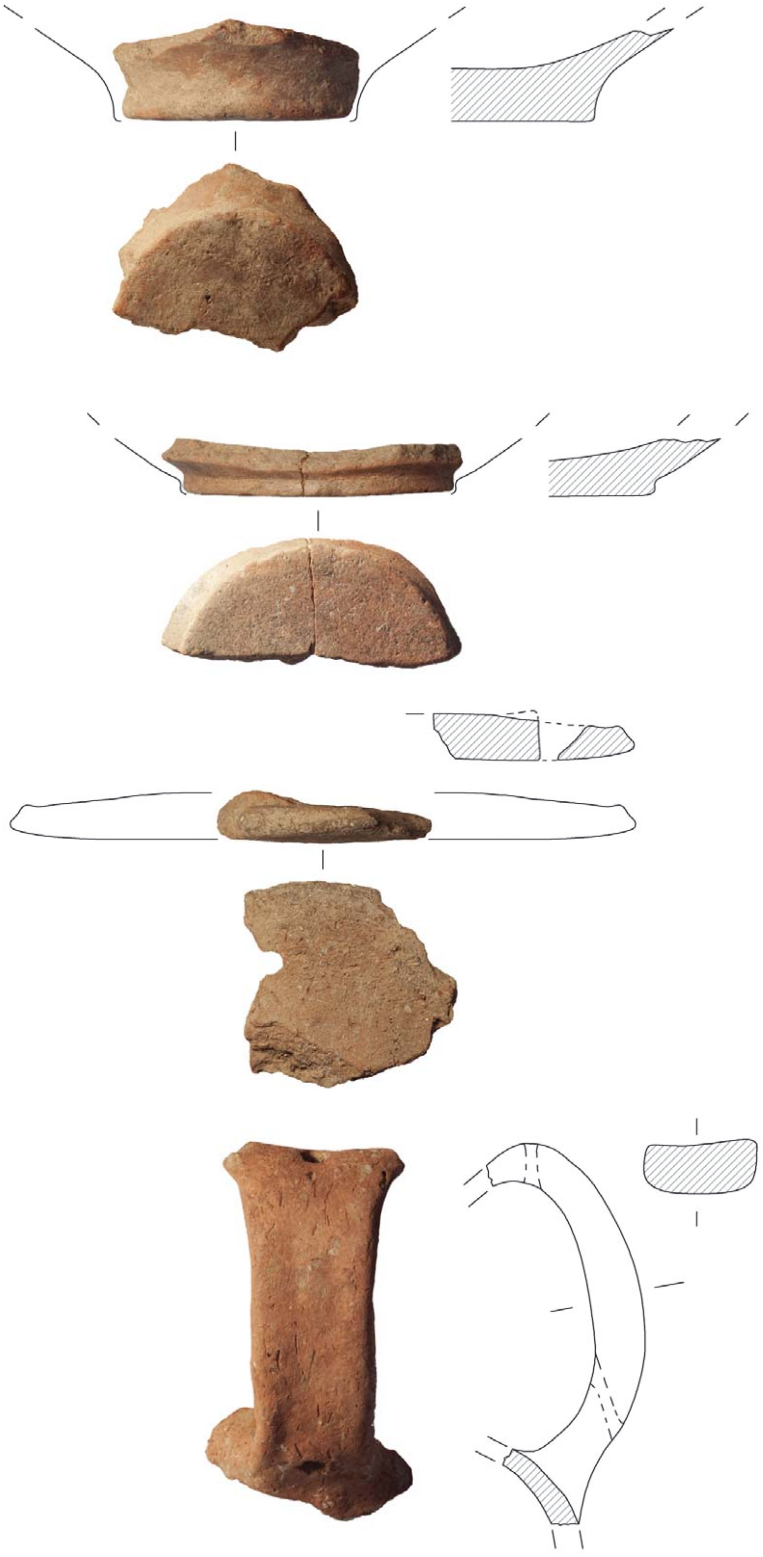


Planierung ÇuHö VIb/VII Planierschicht: SE 1449 (251, 267, 277−279, 281−282)

Tafel 12



Planierung ÇuHö VIb/VII Planierschicht: SE 1449 (283−284, 288, 297)



298 (1:2)

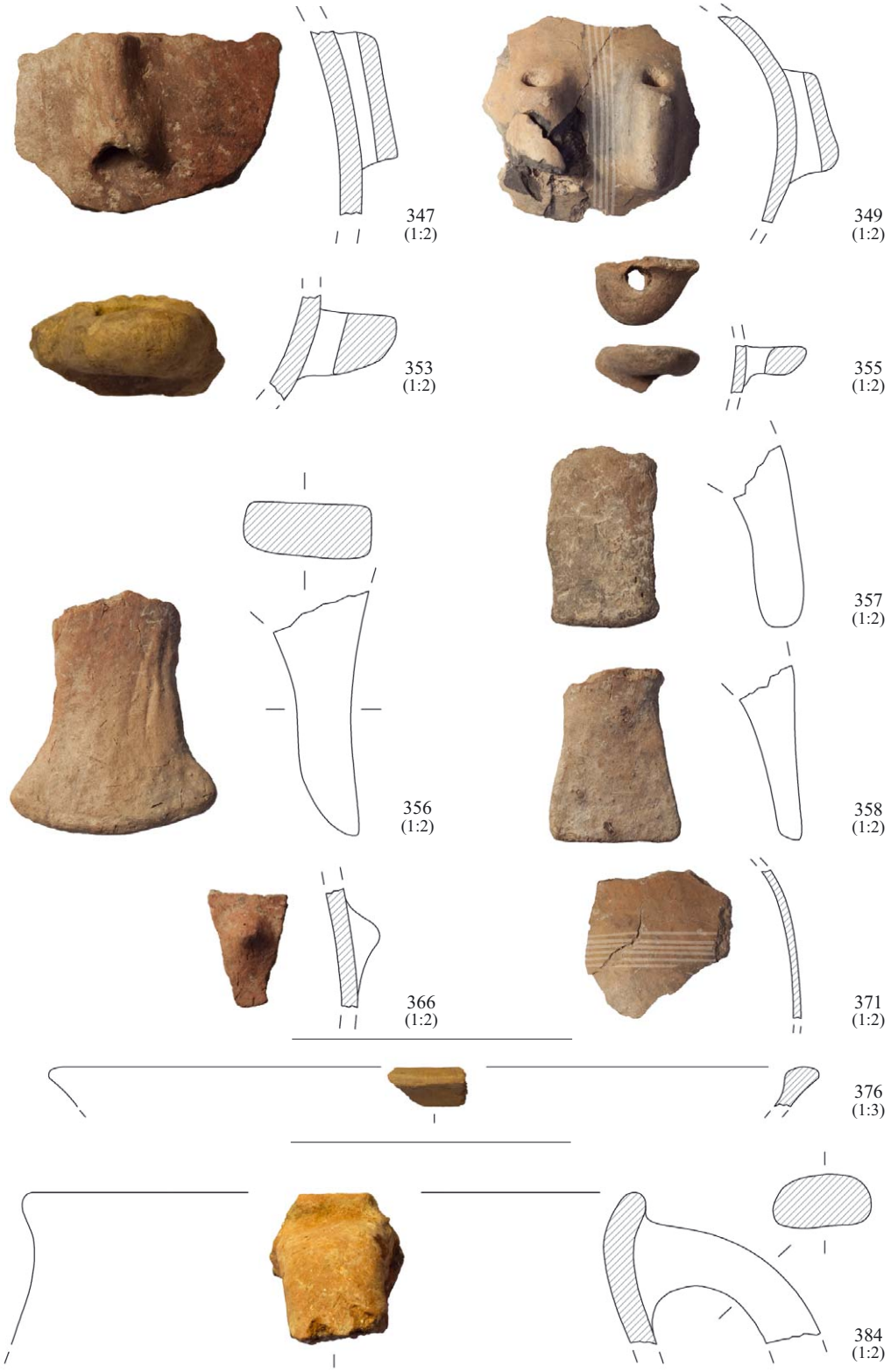
307 (1:2)

321 (1:2)

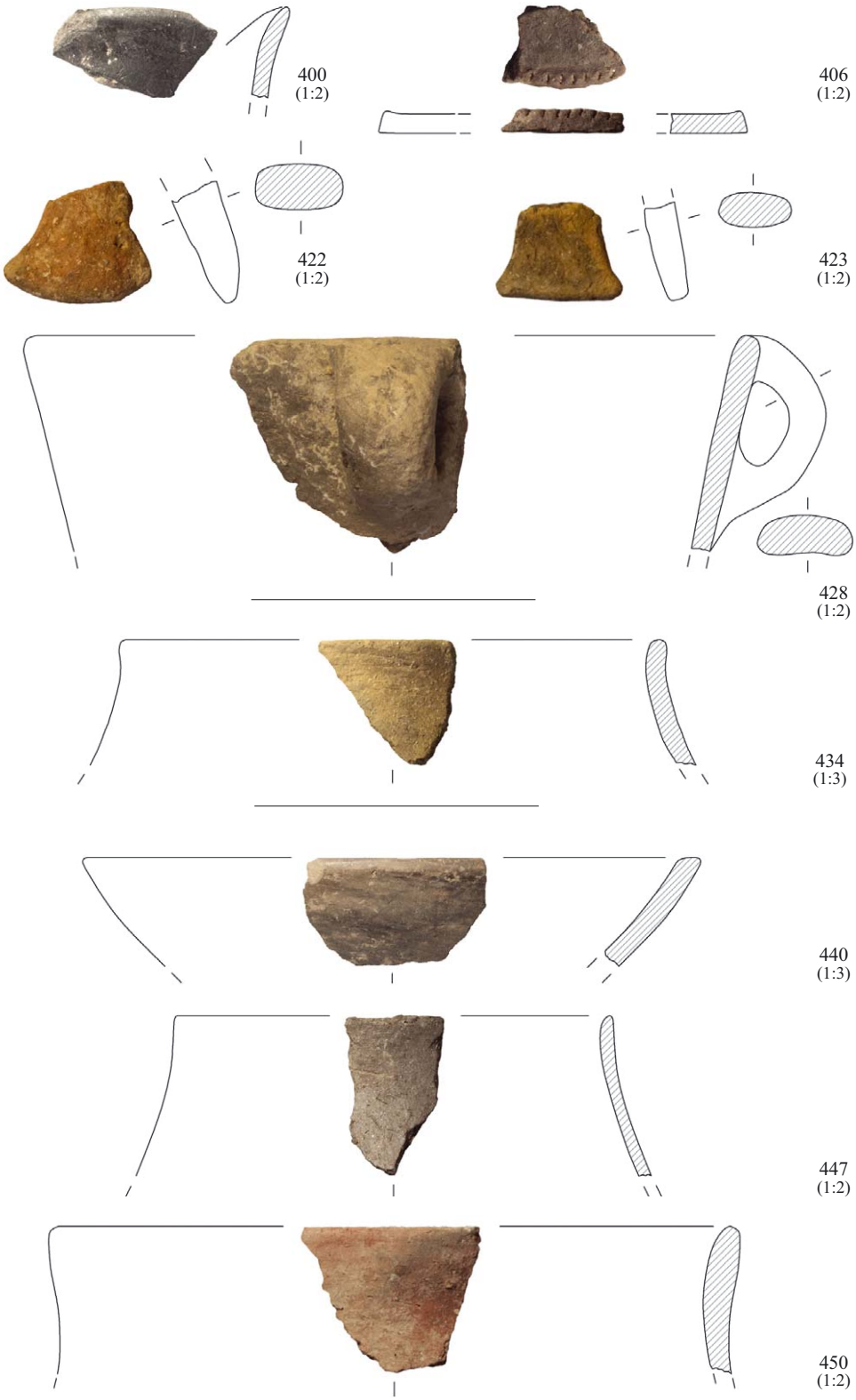
325 (1:2)

Planierung ÇuHö VIb/VII Planierschicht: SE 1449 (298, 307, 321, 325)

Tafel 14

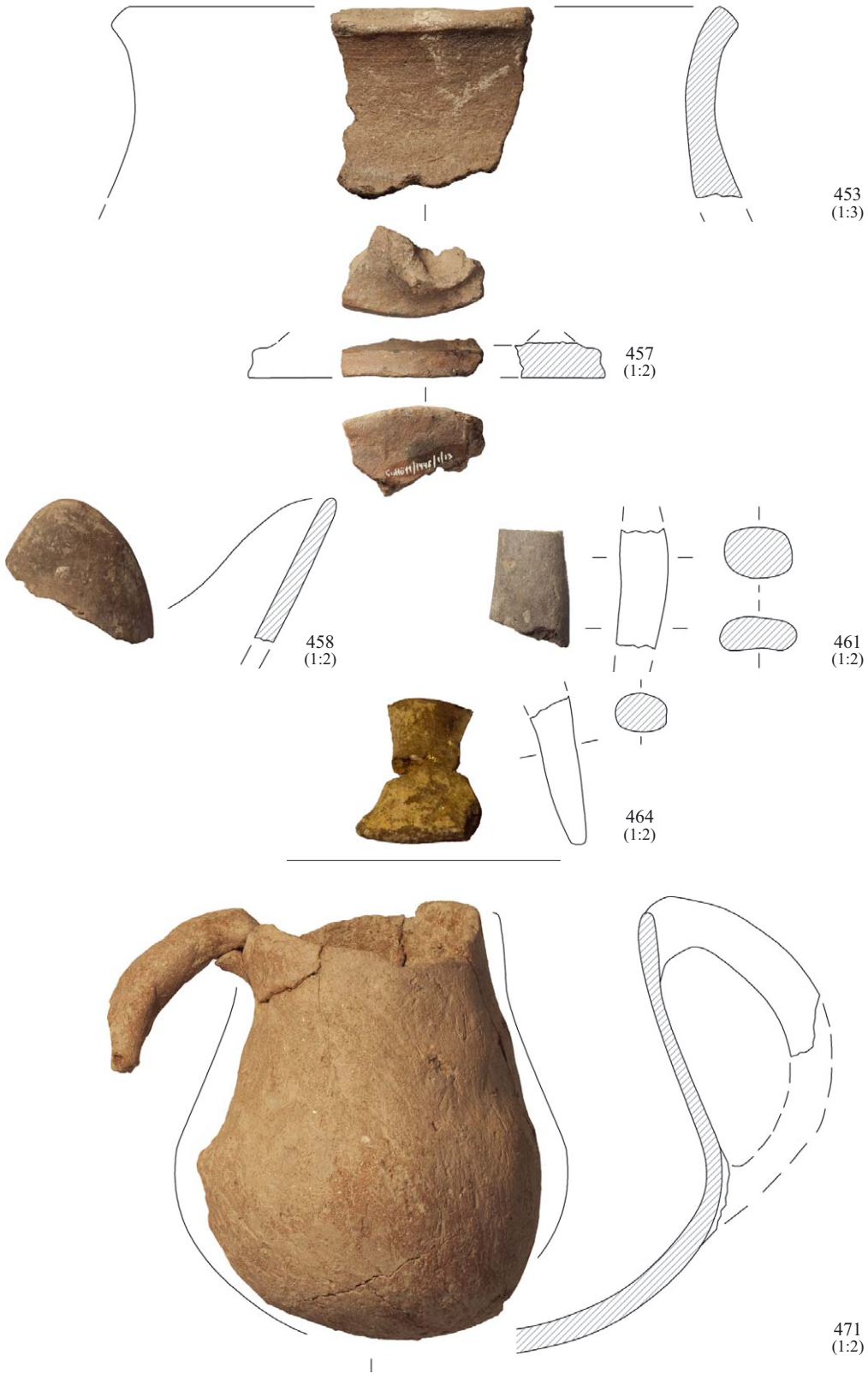


Planierung ÇuHö VIb/VII Planierschicht: SE 1449 (347, 349, 353, 355–358, 366, 371); SE 4503 (376); SE 4511 (384)



Planierung ÇuHö VIb/VII Planierschicht: SE 4511 (400, 406, 422−423, 428); Steinkistenkomplex: SE 4509 (434)
ÇuHö VIb SE 1448 (440, 447, 450)

Tafel 16

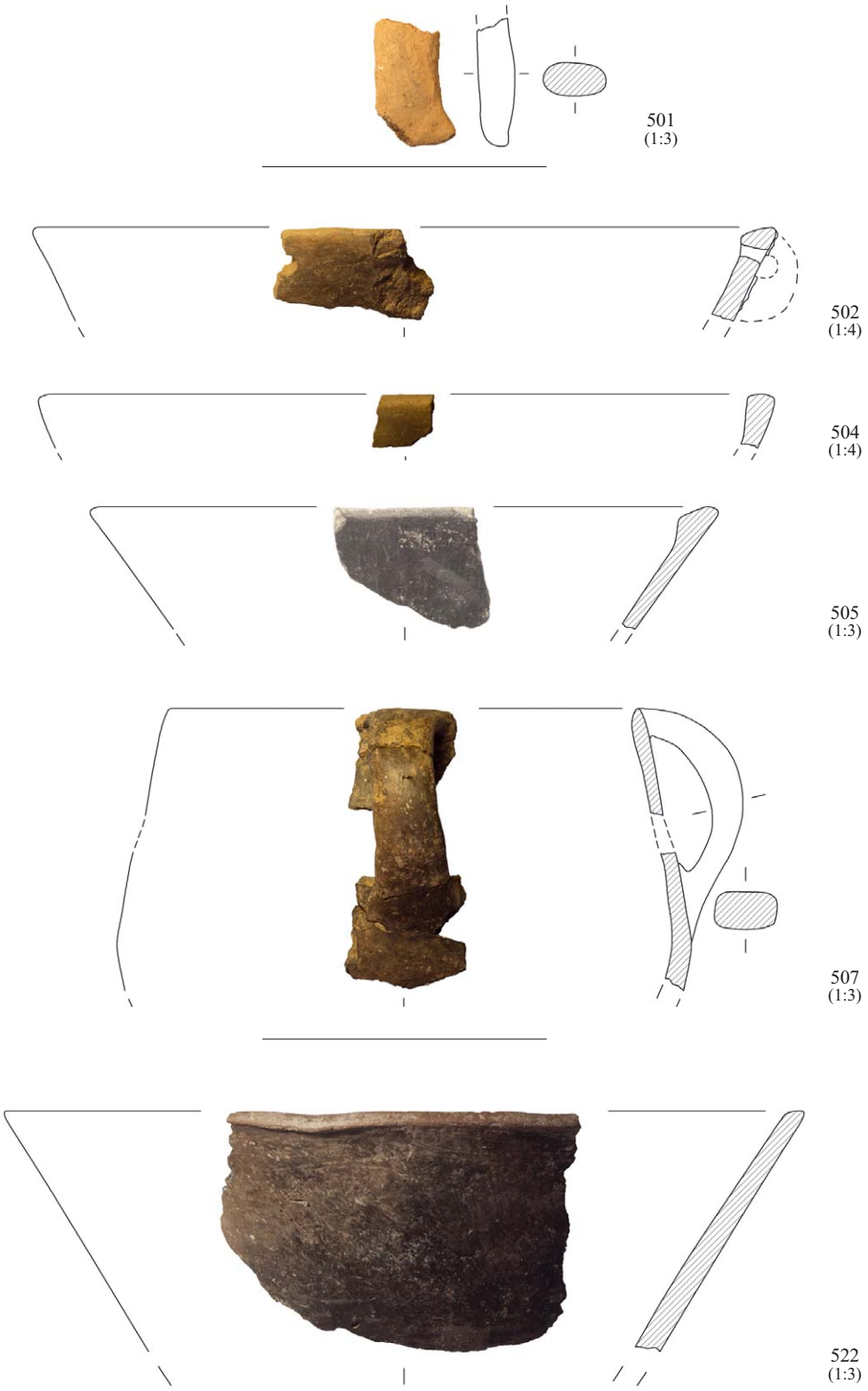


ÇuHö VIb SE 1448 (453, 457–458, 461, 464); SE 1451 (471)

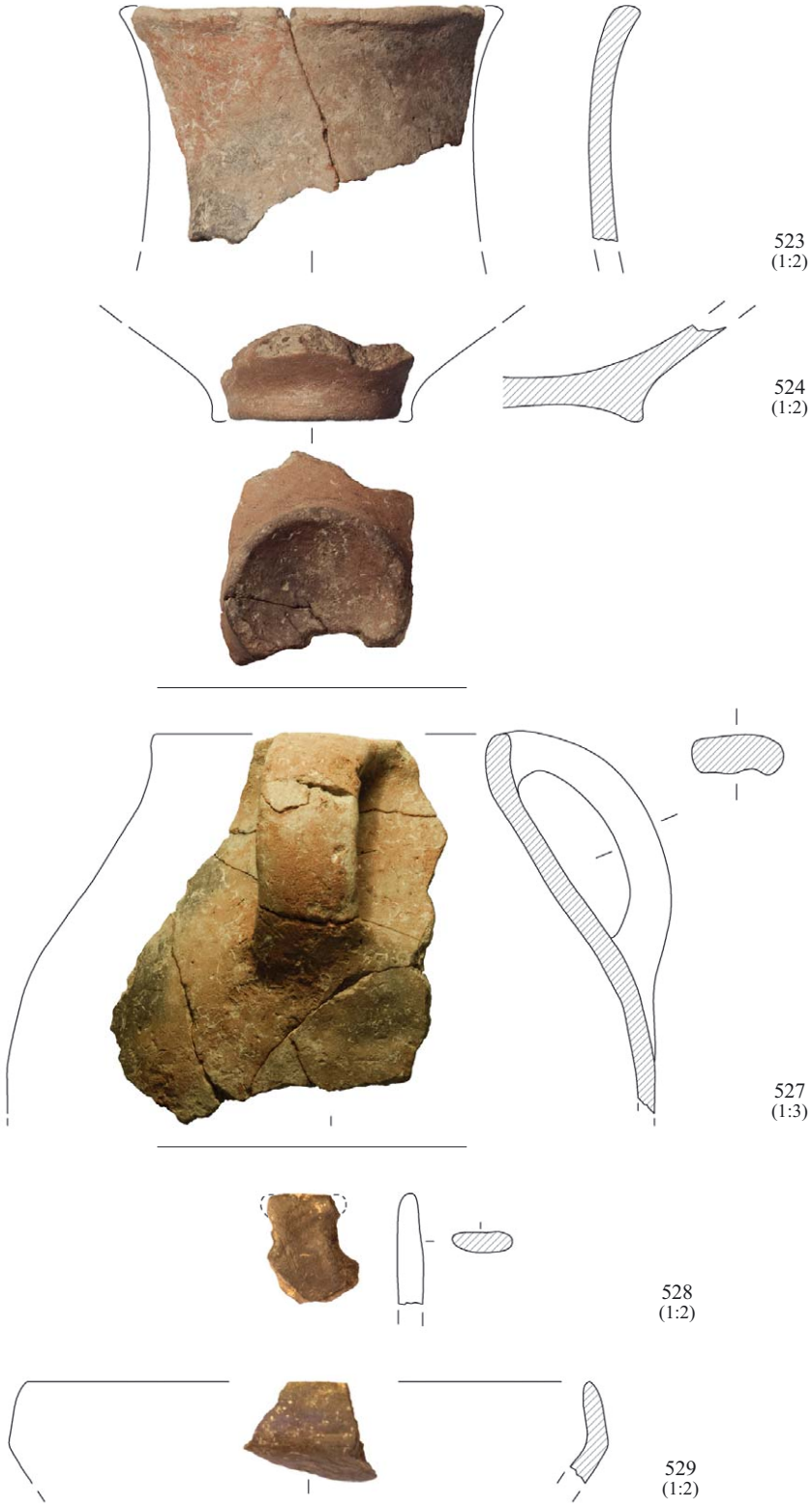


ÇuHö VIb SE 1476 (472); SE 1492 (489); SE 4504 (490–491, 493)

Tafel 18

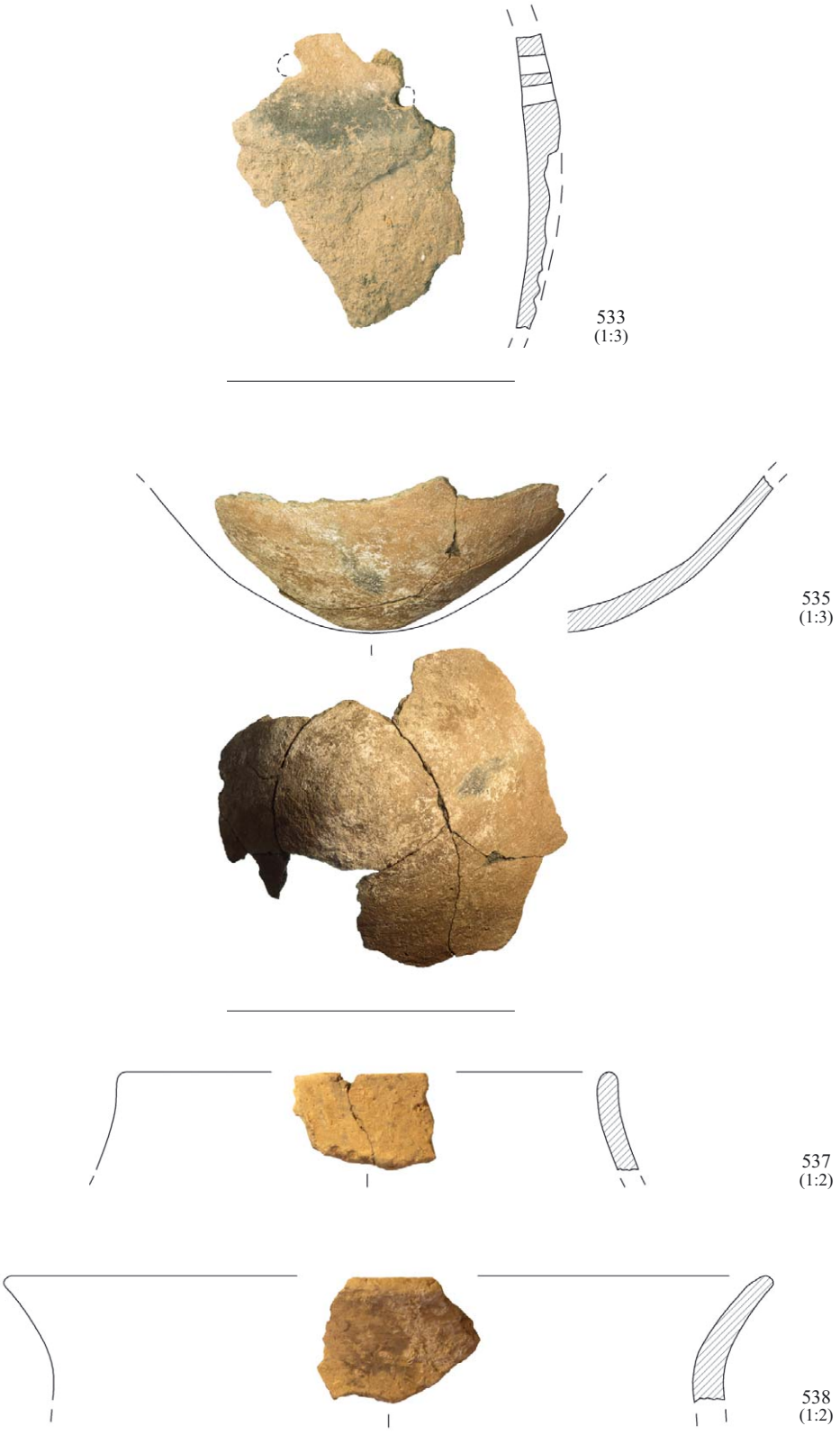


ÇuHö VIb SE 5350 (501)
Planierung ÇuHö VIa/VIb SE 1445 (502, 504–505, 507); SE 1457 (522)

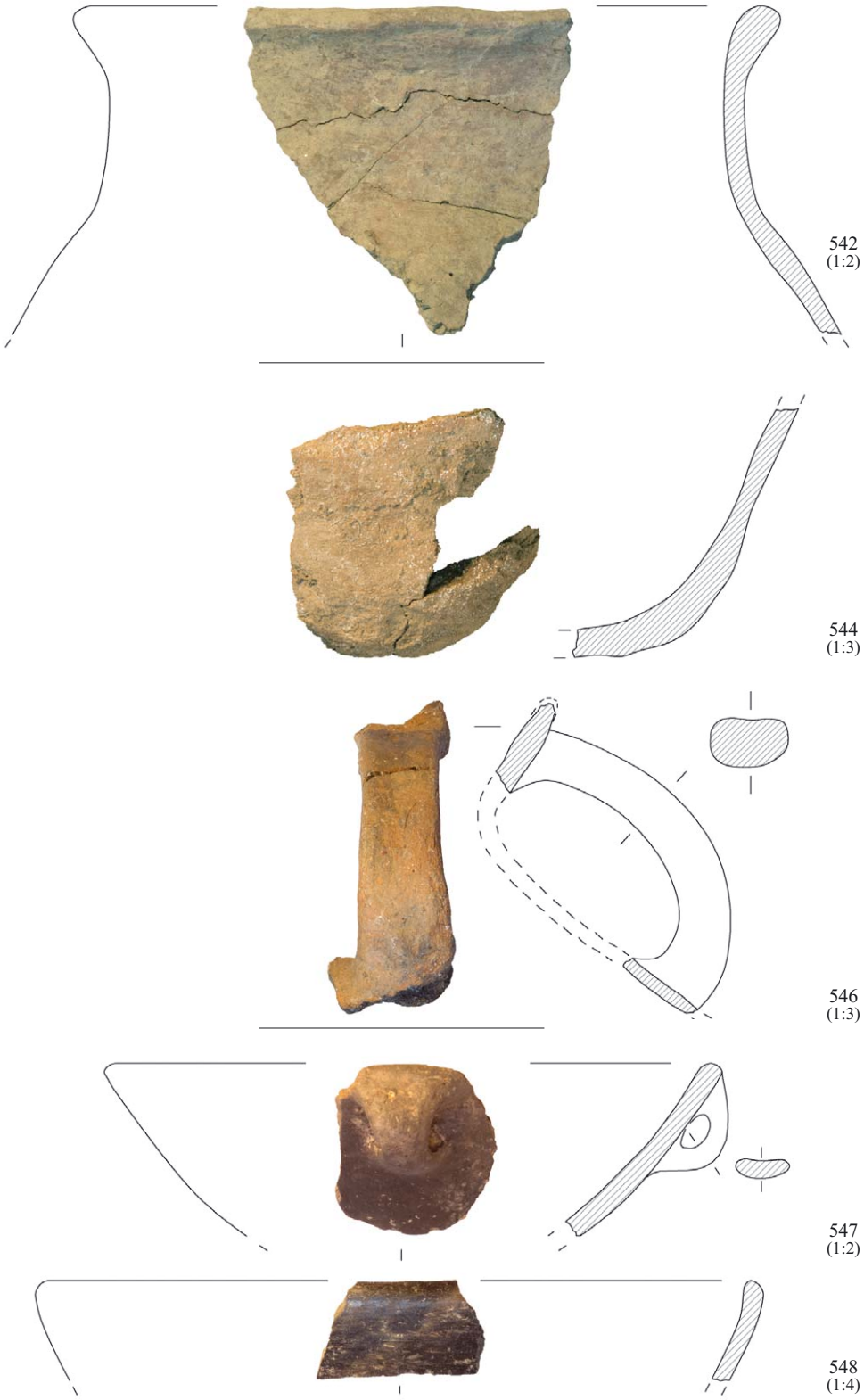


Planierung ÇuHö VIa/VIb SE 1457 (523−524); SE 1462 (527); SE 5591 (528−529)

Tafel 20

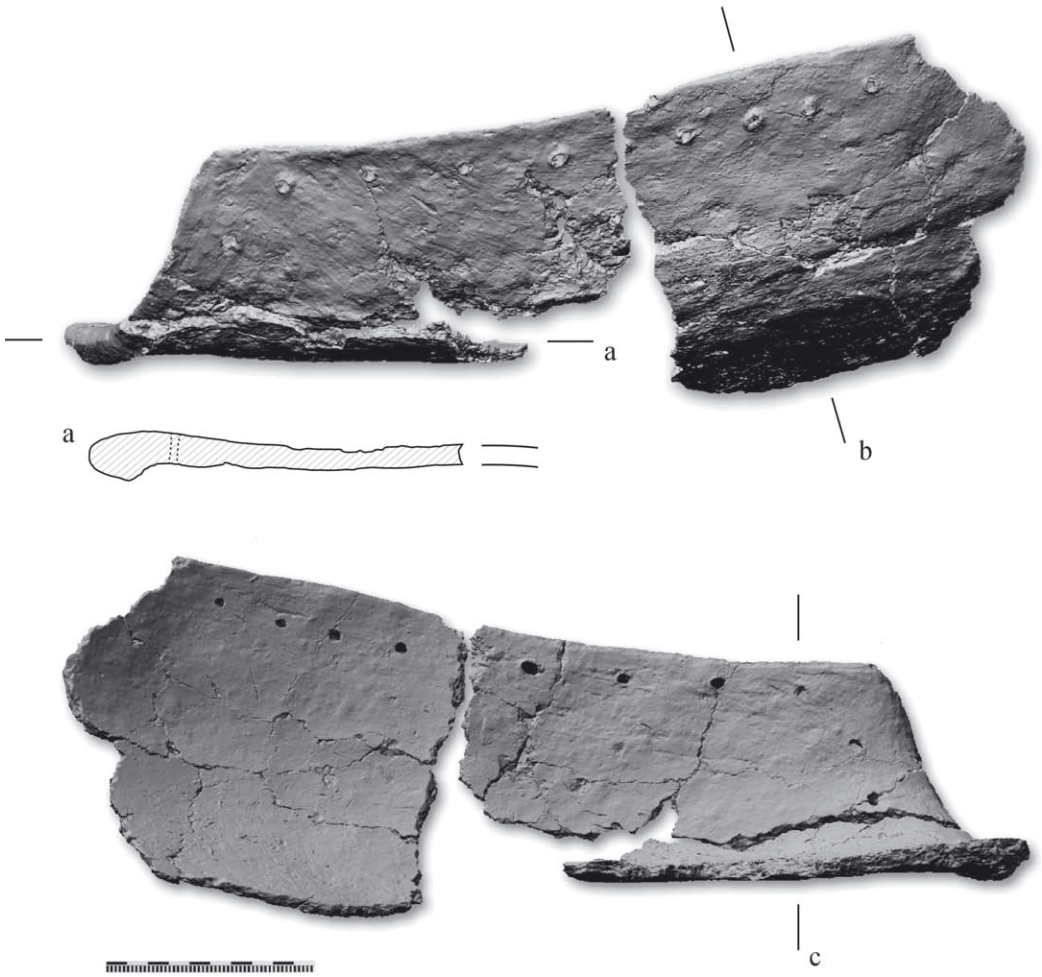


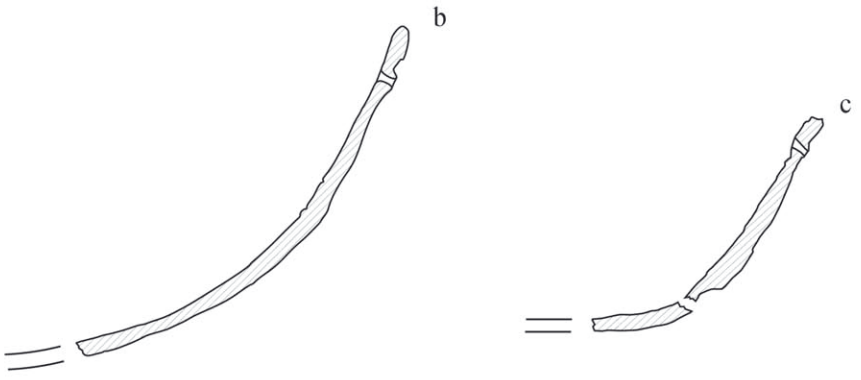
ÇuHö VIa SE 5445 (533); SE 5446 (535); SE 5468 (537–538)



ÇuHö VIa SE 5514 (542); SE 5585 (544, 546); SE 5590 (547−548)

Tafel 22



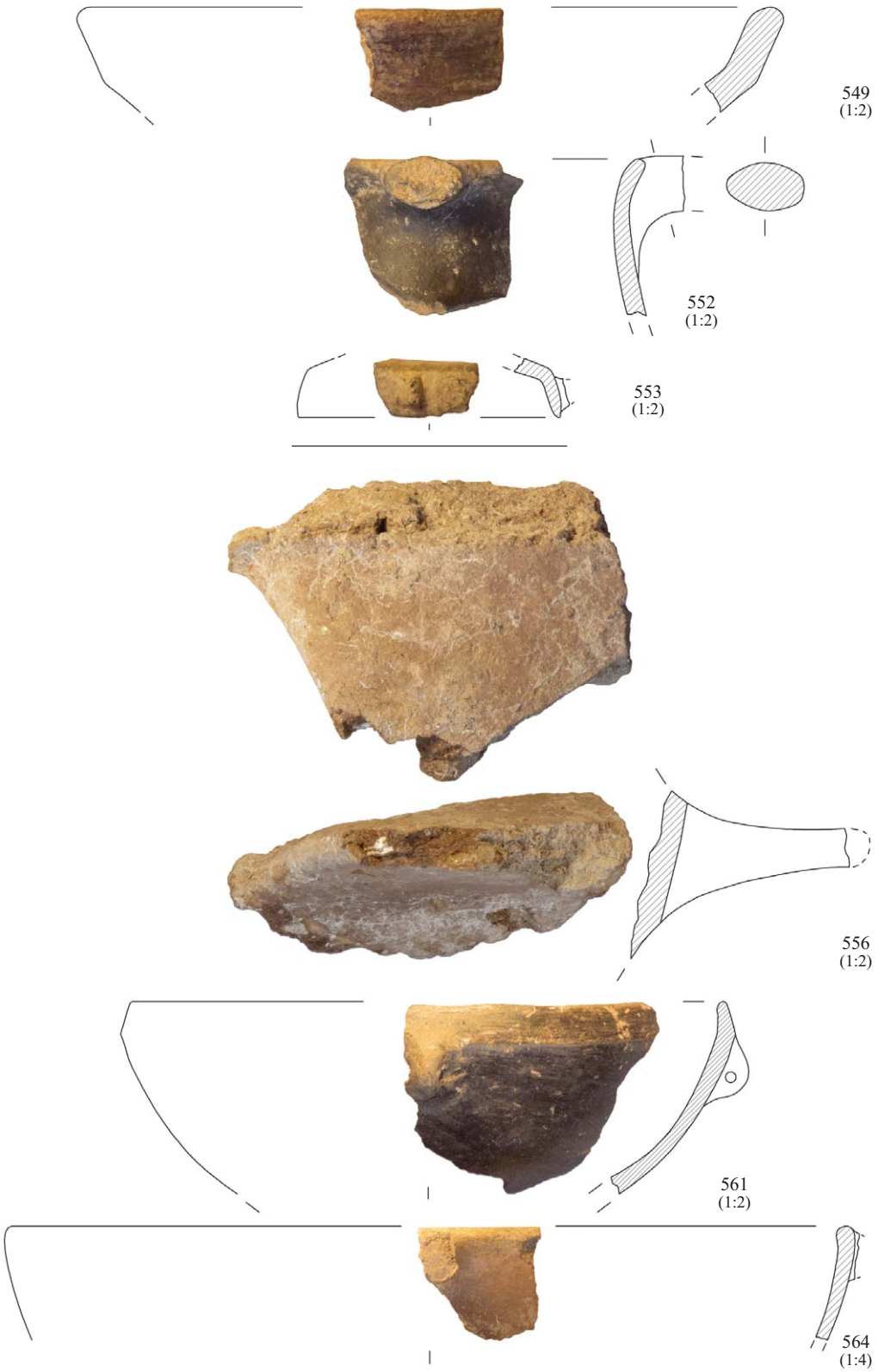


ÇuHö VIa SE 5514 (543)

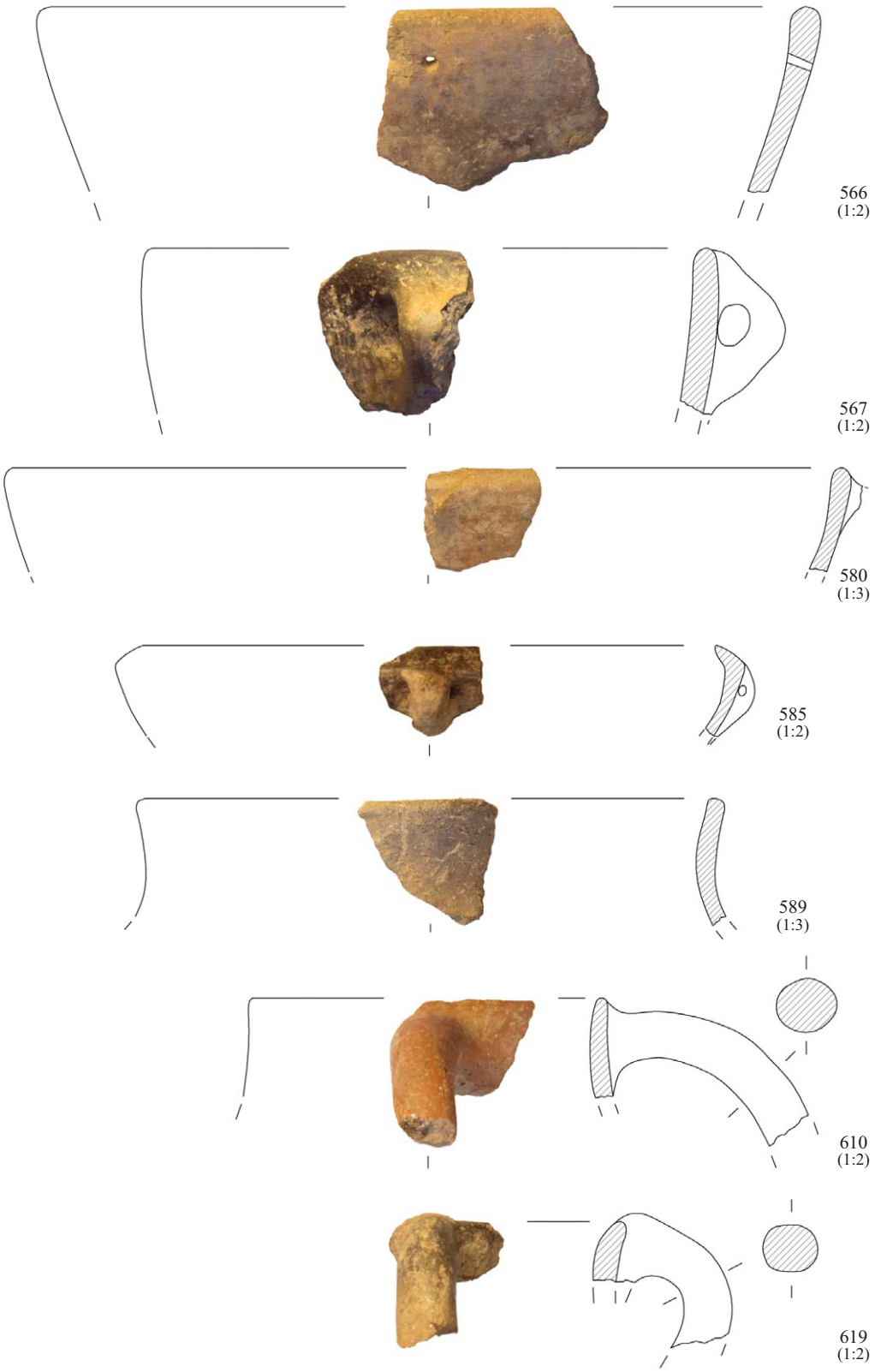


ÇuHö VIa SE 5514 (543)

Tafel 24

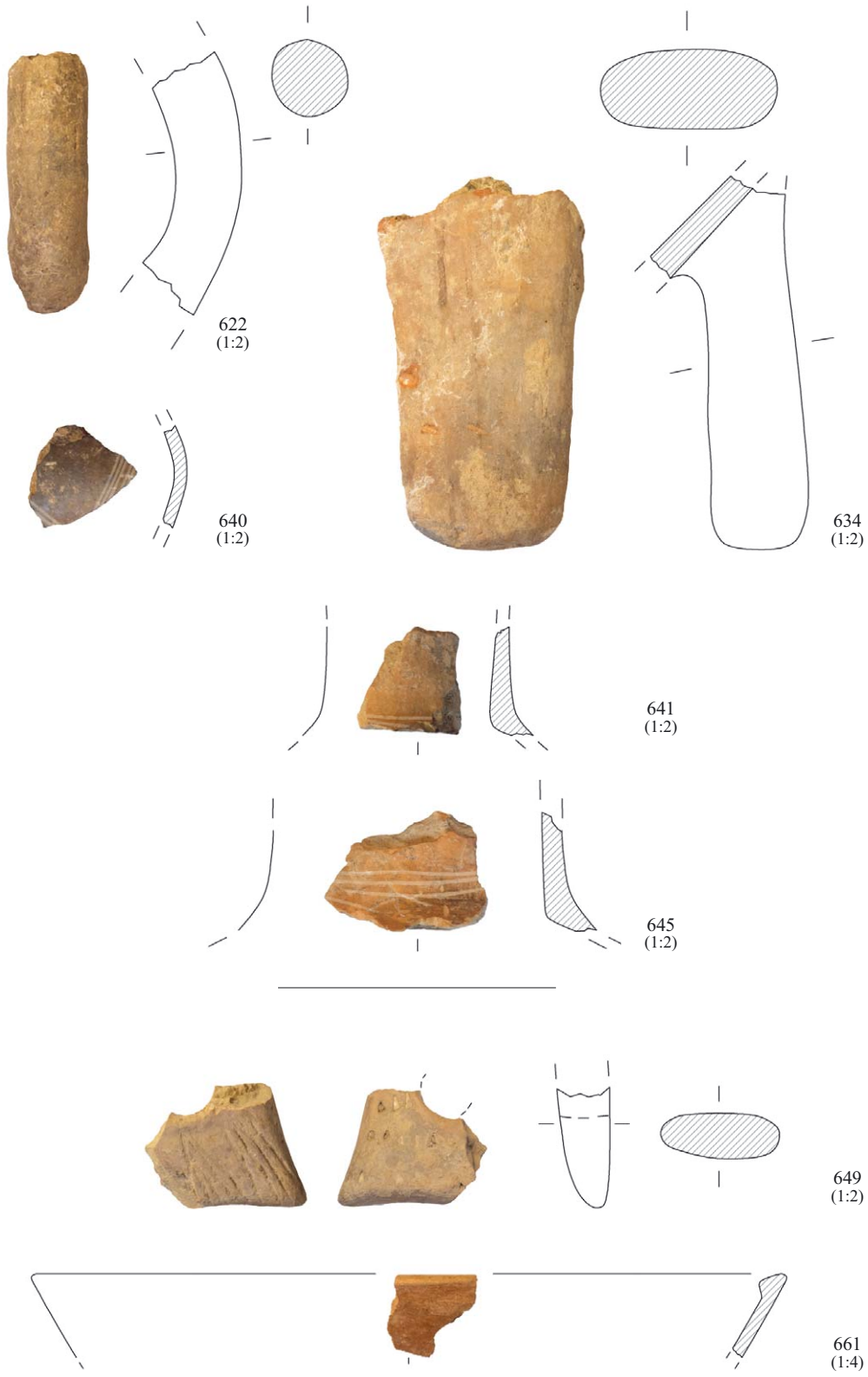


ÇuHö VIa SE 5590 (549, 552–553)
Planierung ÇuHö Vb/VIa SE 5465 (556, 561, 564)

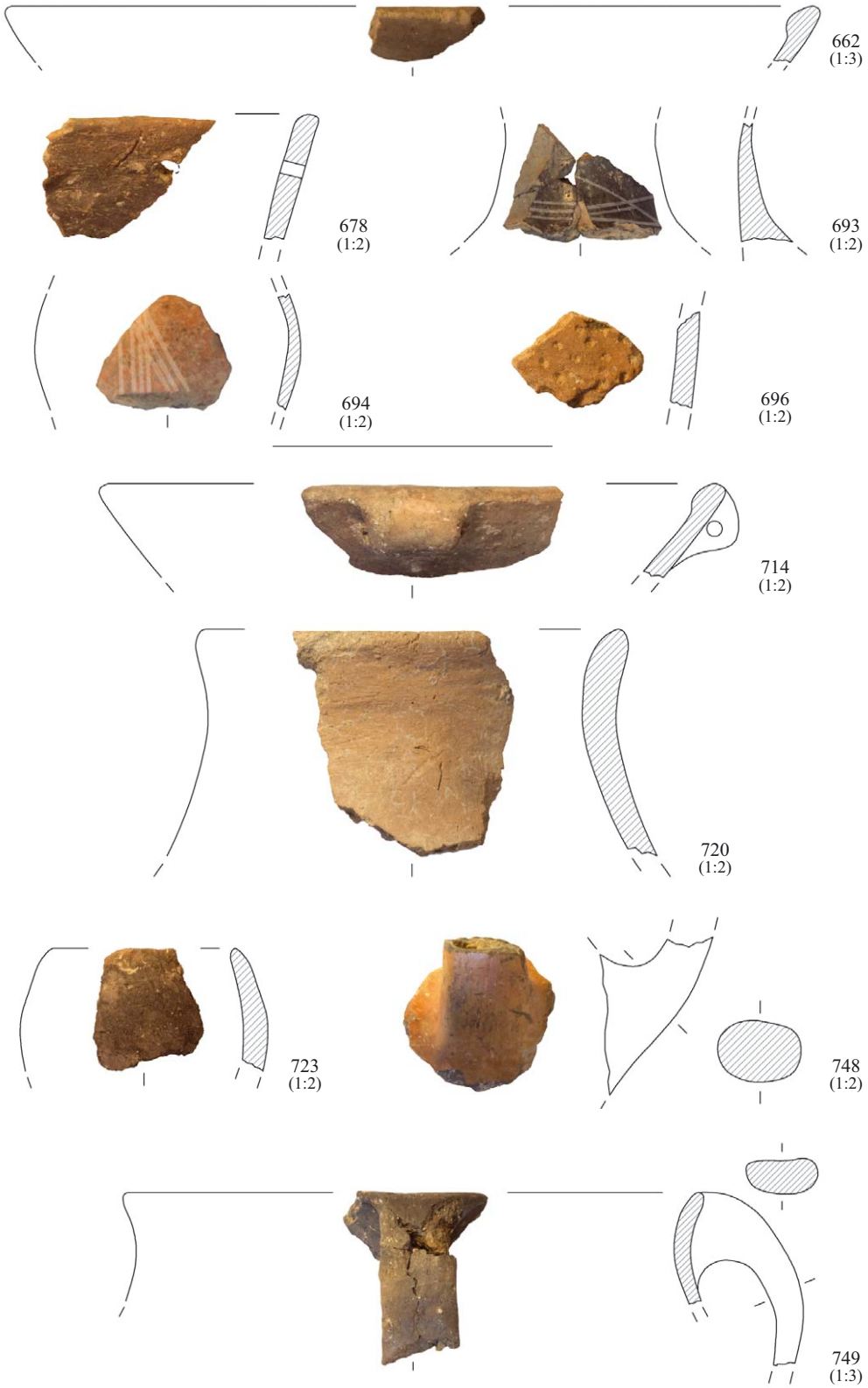


Planierung ÇuHö Vb/VIa SE 5465 (566–567, 580, 585, 589, 610, 619)

Tafel 26

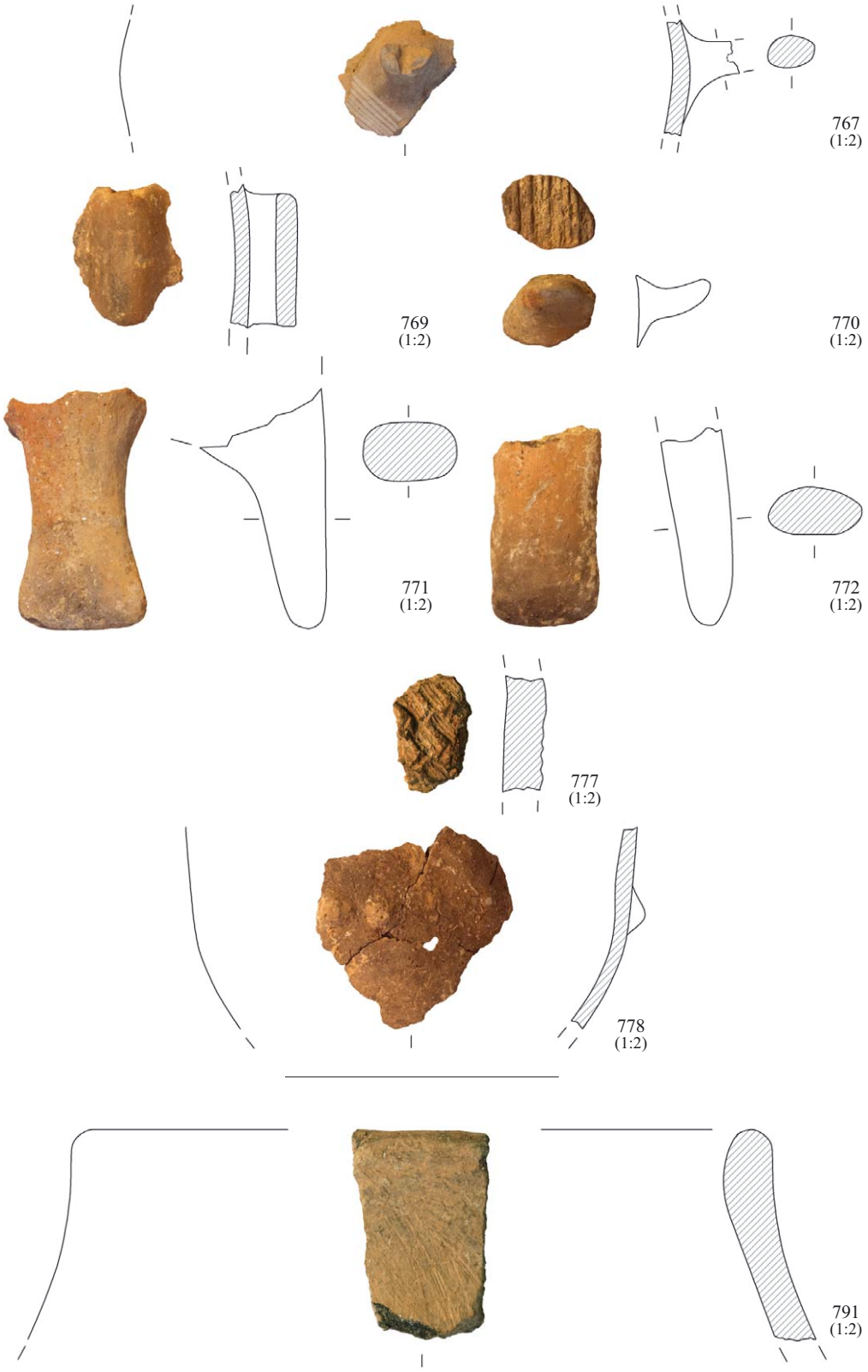


Planierung ÇuHö Vb/VIa SE 5465 (622, 634, 640−641, 645); SE 5539 (649, 661)

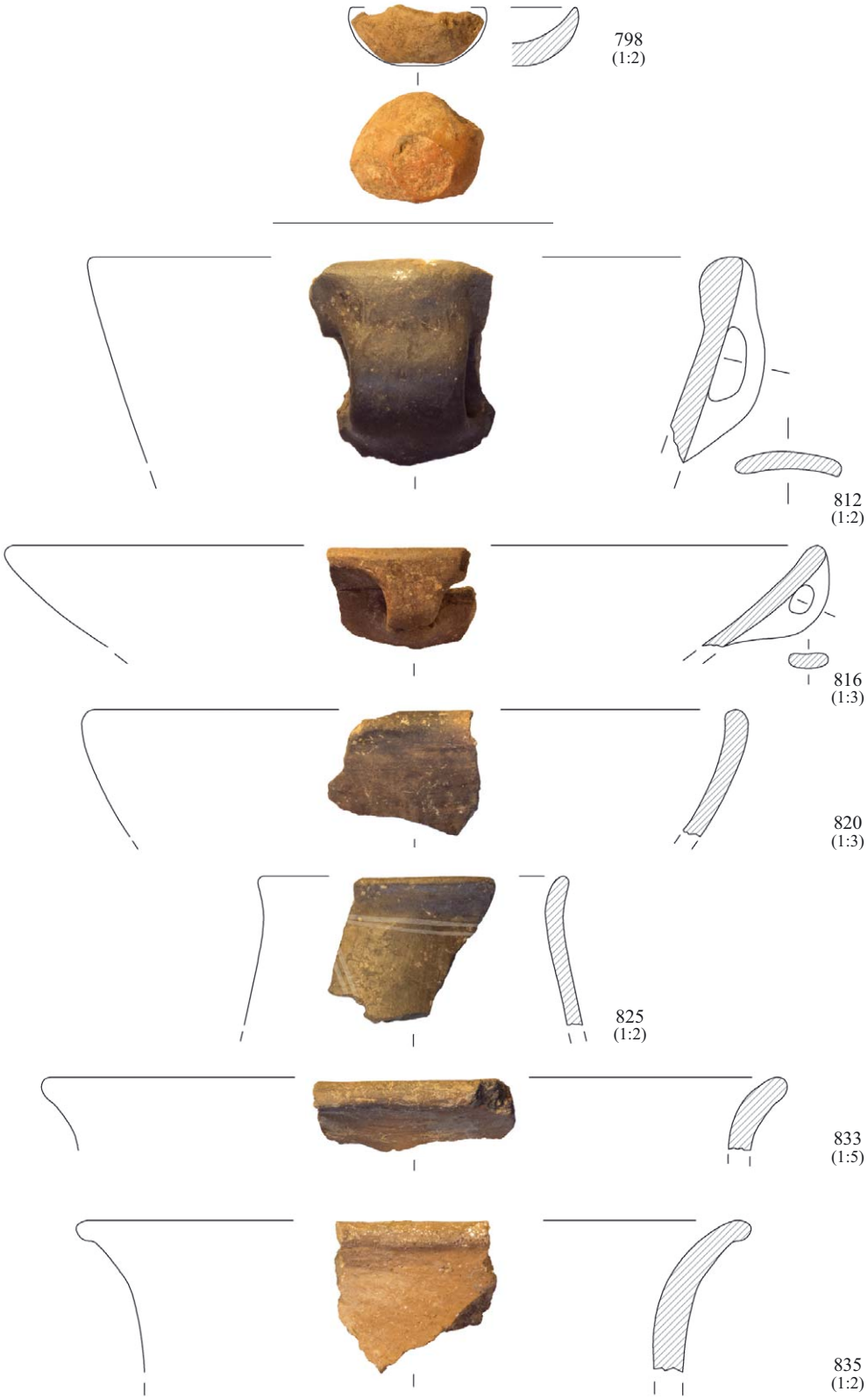


Planierung ÇuHö Vb/VIa SE 5539 (662, 678, 693−694, 696); SE 5543 (714, 720, 723, 748−749)

Tafel 28

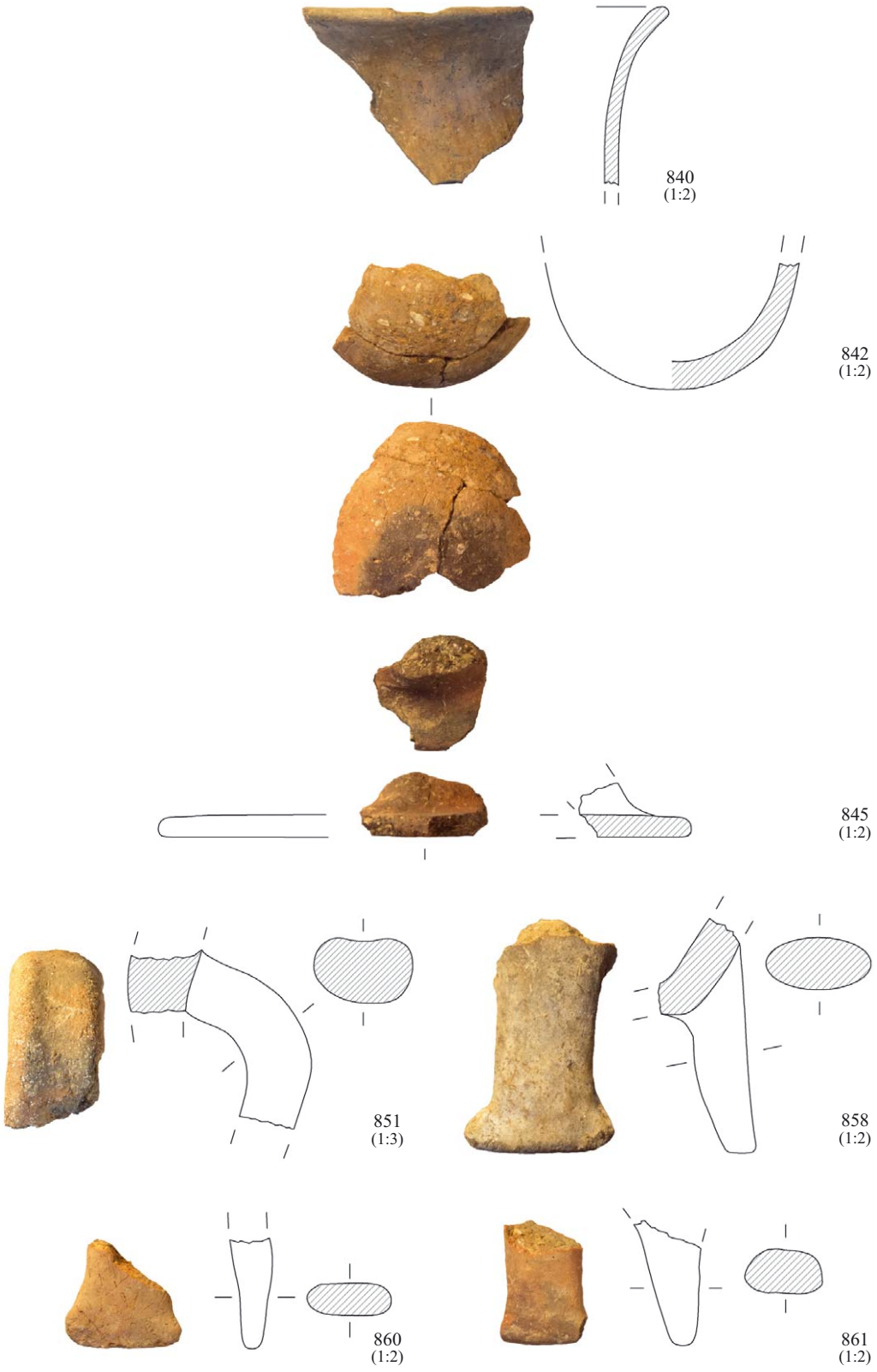


Planierung ÇuHö Vb/VIa SE 5543 (767, 769–772, 777–778)
Planierung ÇuHö IV/VIa SE 5422 (791)

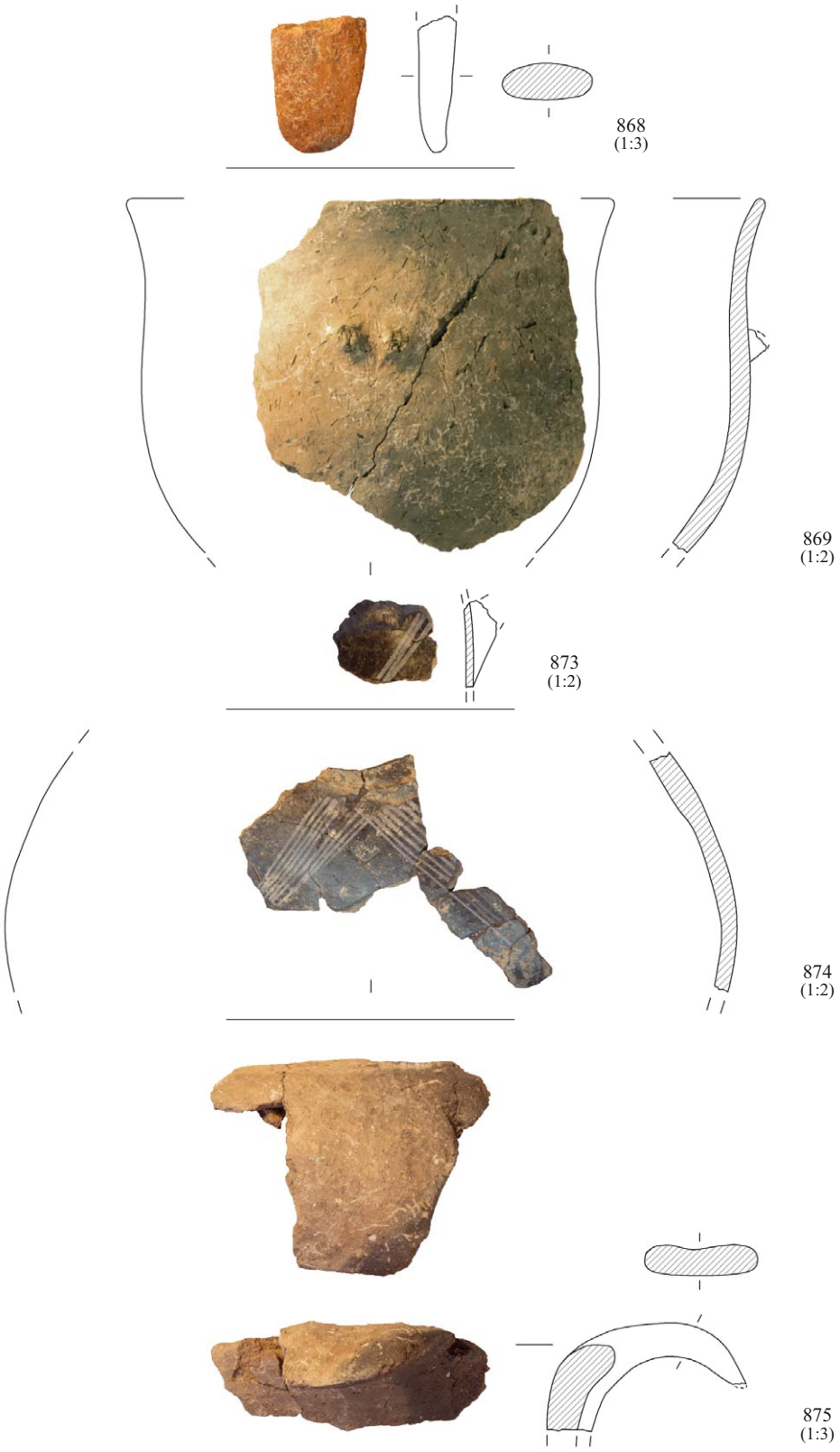


Planierung ÇuHö IV/VIa SE 5422 (798)
ÇuHö Vb SE 5325 (812, 816, 820, 825, 833, 835)

Tafel 30

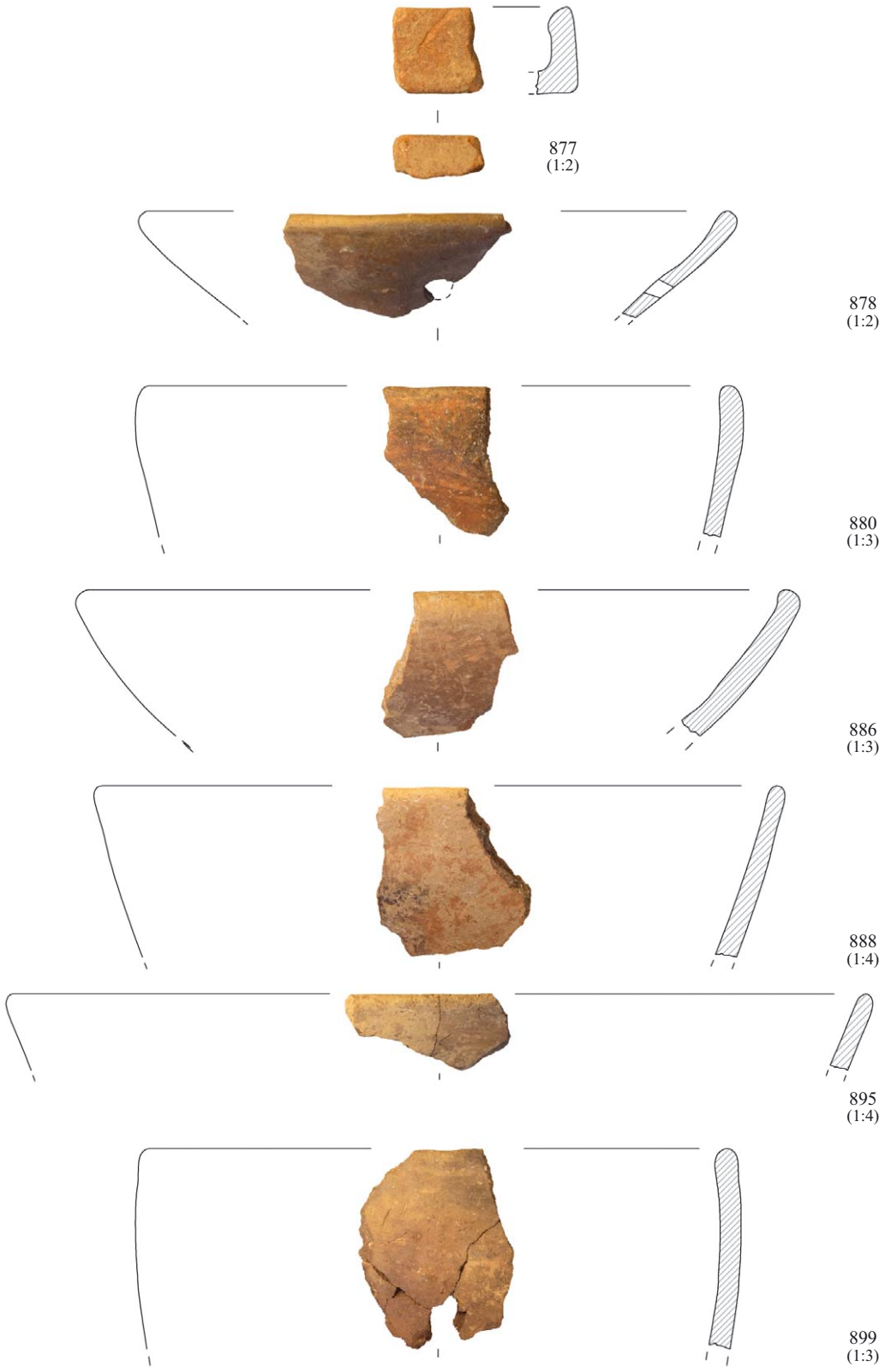


ÇuHö Vb SE 5325 (840, 842, 845, 851, 858, 860–861)

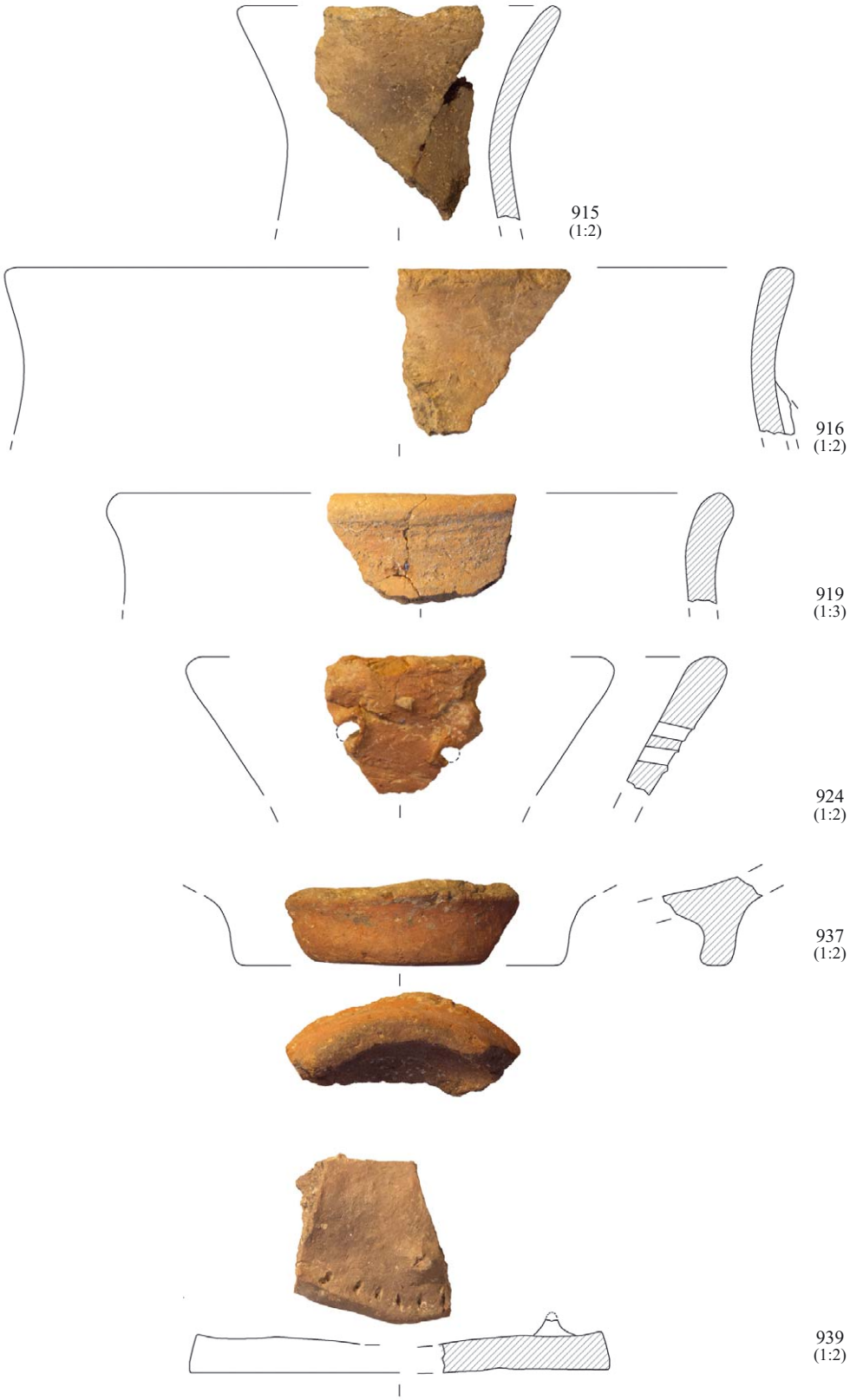


ÇuHö Vb SE 5326 (868); SE 5329 (869, 873); SE 5476 (874); SE 5490 (875)

Tafel 32

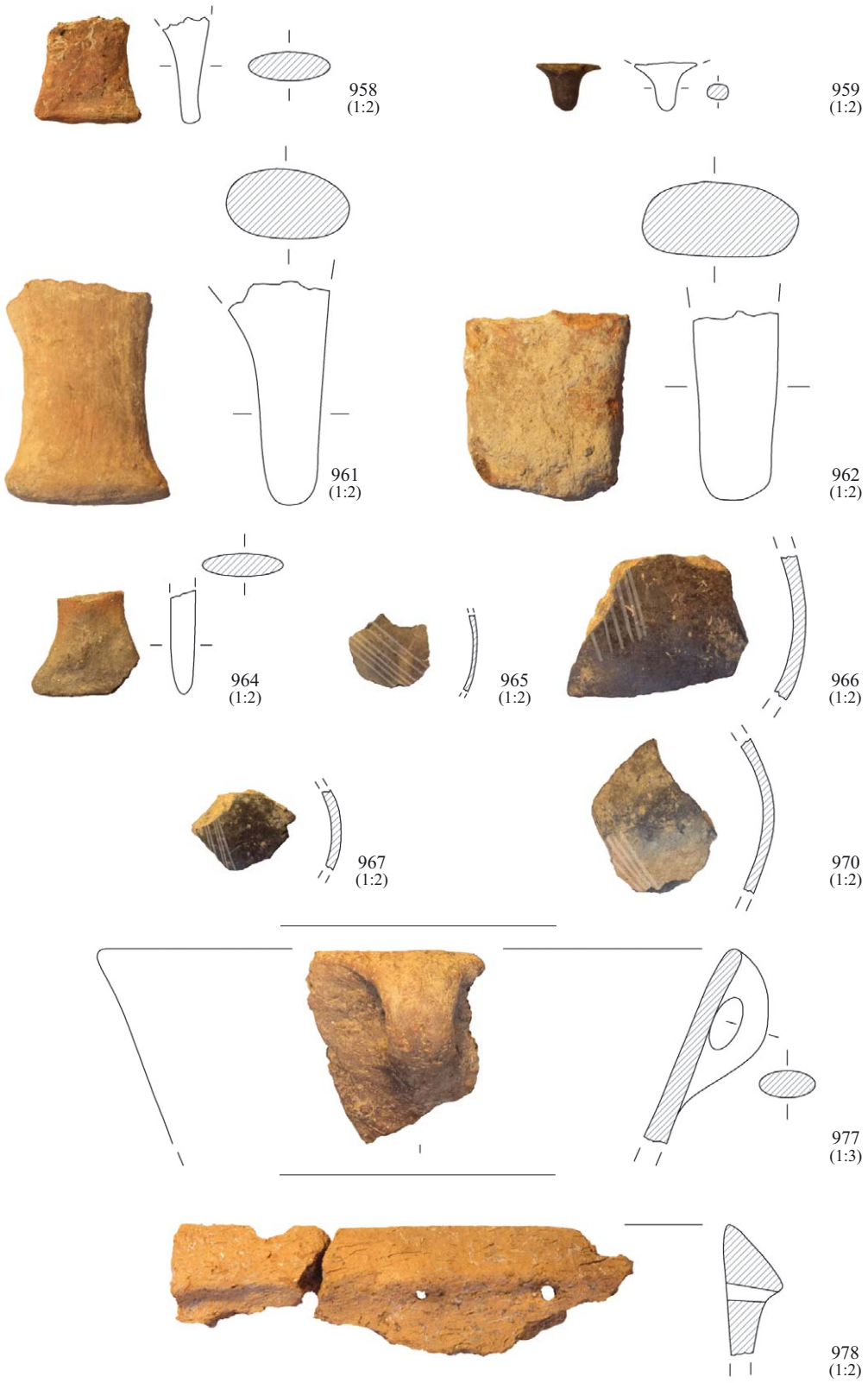


ÇuHö Vb SE 5490 (877–878, 880, 886, 888, 895, 899)

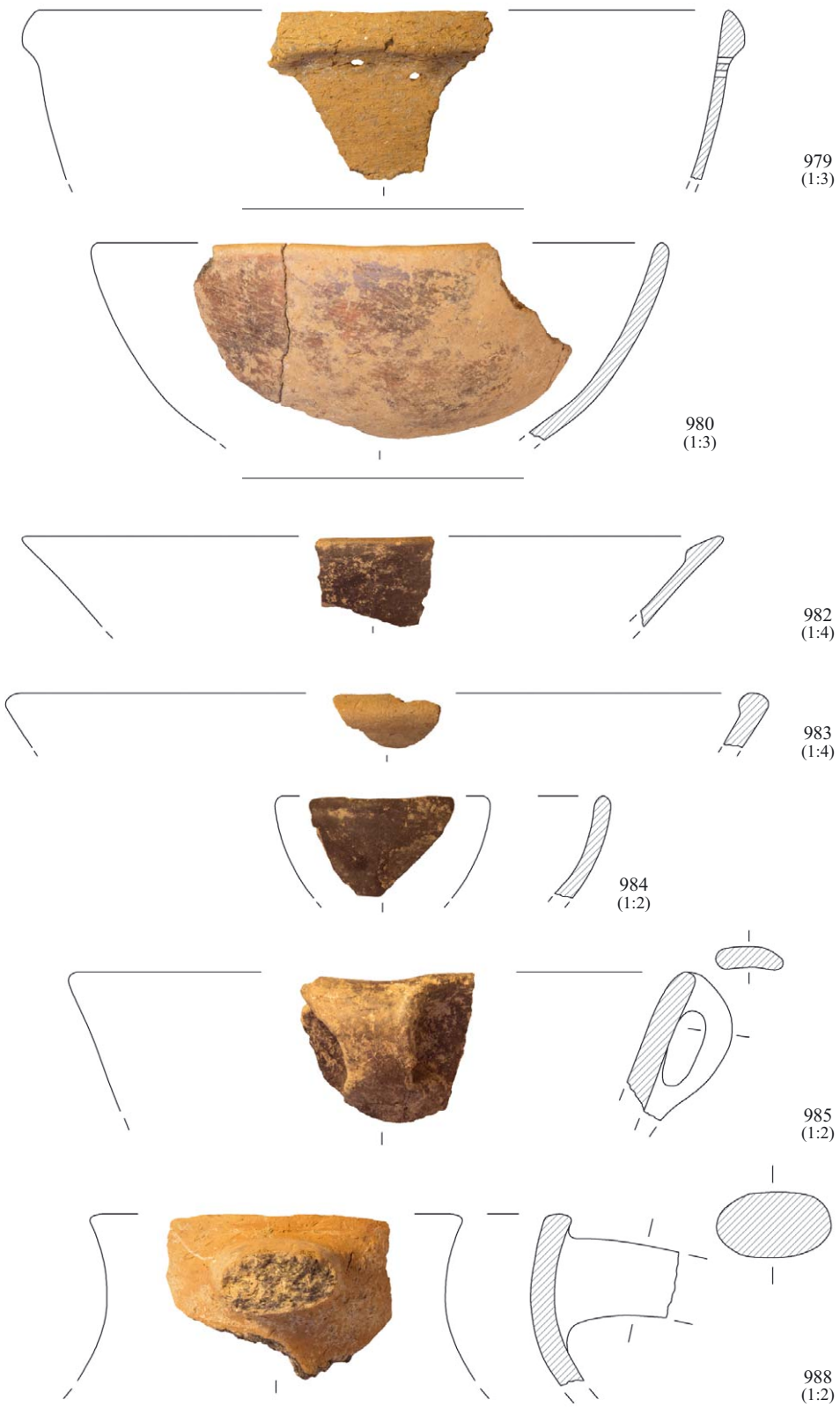


ÇuHö Vb SE 5490 (915–916, 919, 924, 937, 939)

Tafel 34

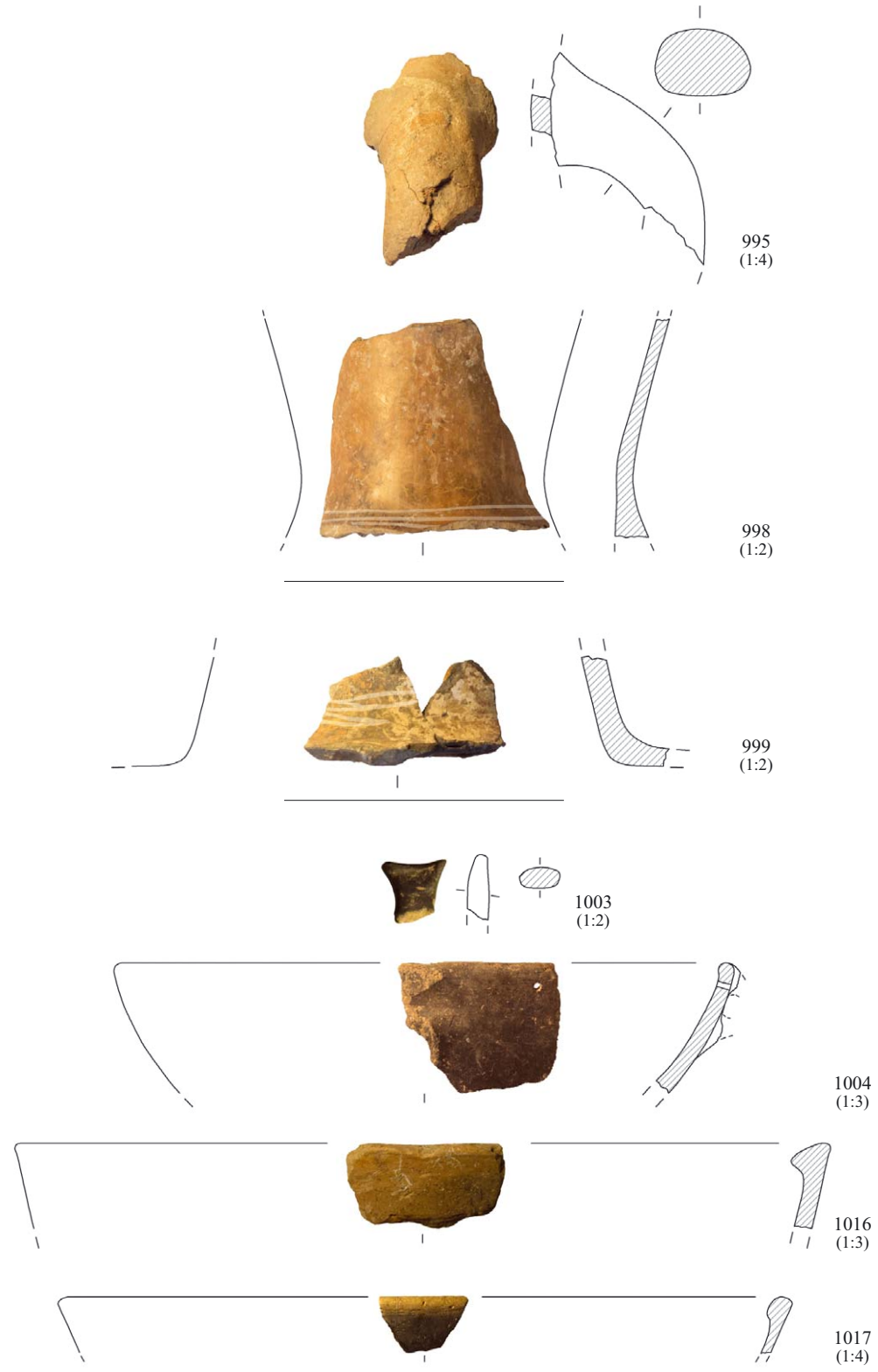


ÇuHö Vb SE 5490 (958–959, 961–962, 964–967, 970); SE 5538 (977); SE 5573 (978)

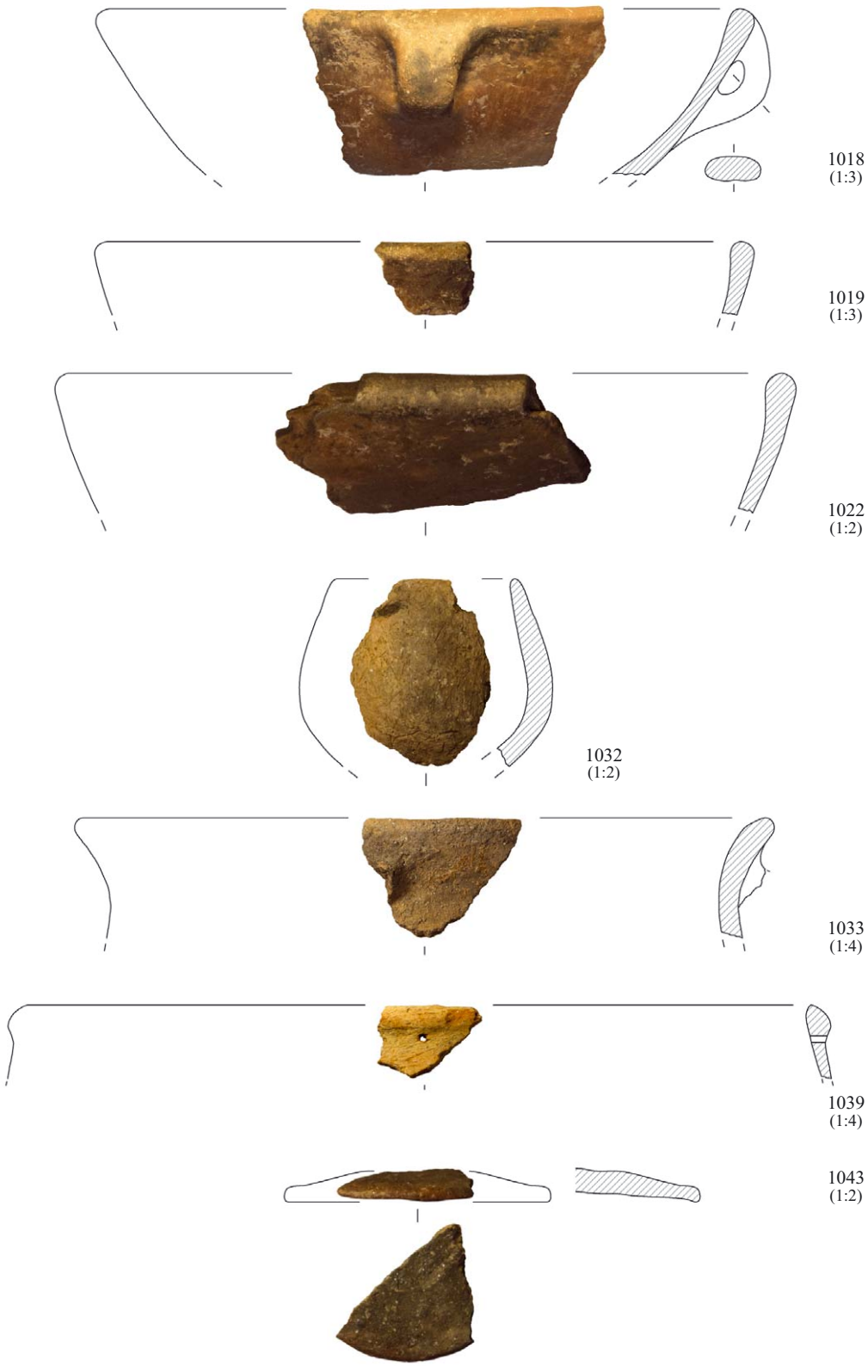


ÇuHö Vb SE 5573 (979); SE 5605 (980)
Planierung ÇuHö Va/Vb SE 5477 (982–985, 988)

Tafel 36



Planierung ÇuHö Va/Vb SE 5477 (995, 998); SE 5489 (999)
Planierung ÇuHö IV/Vb SE 5302 (1003−1004, 1016−1017)

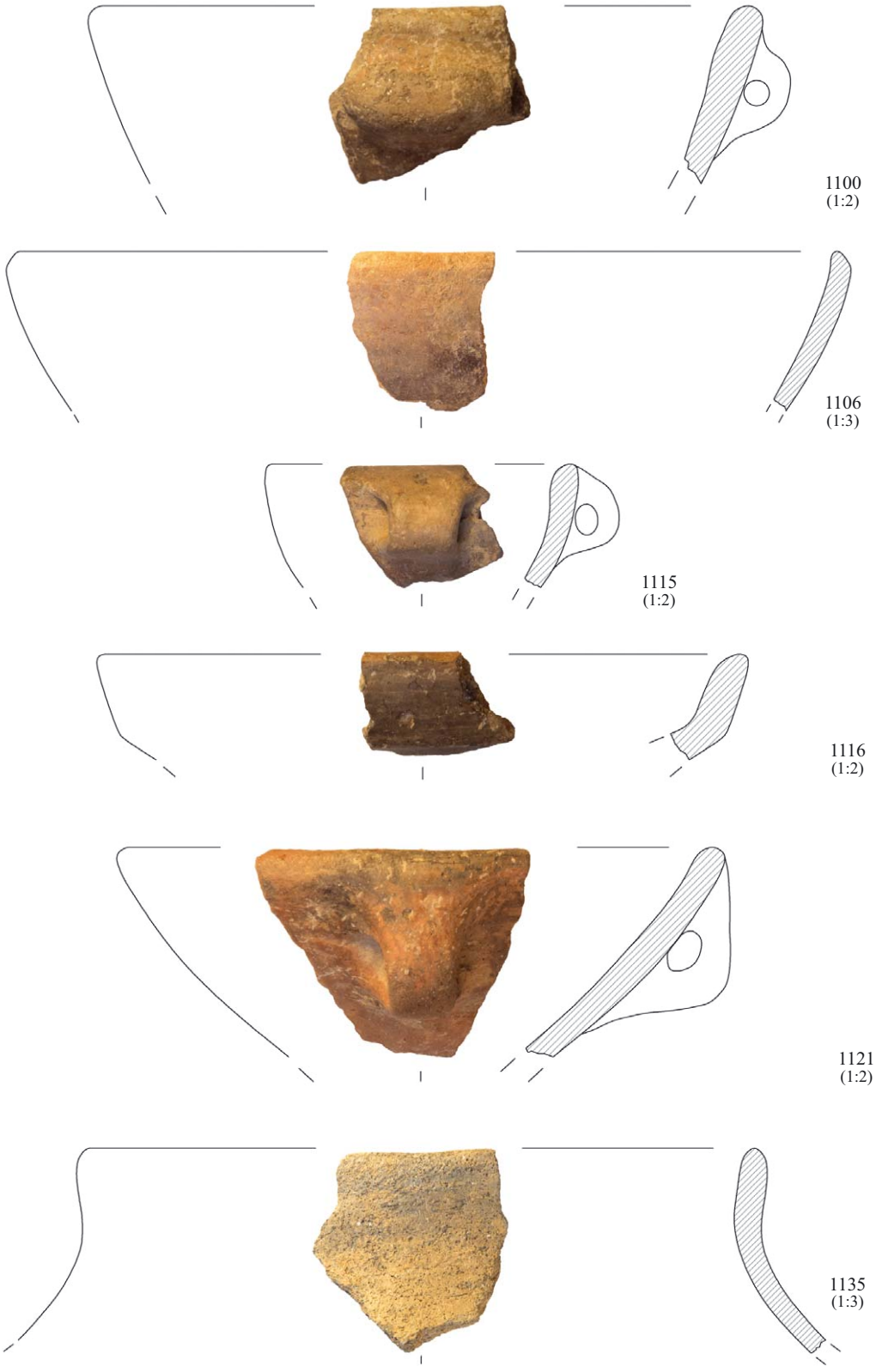


Planierung ÇuHö IV/Vb SE 5302 (1018−1019, 1022, 1032−1033, 1039, 1043)

Tafel 38

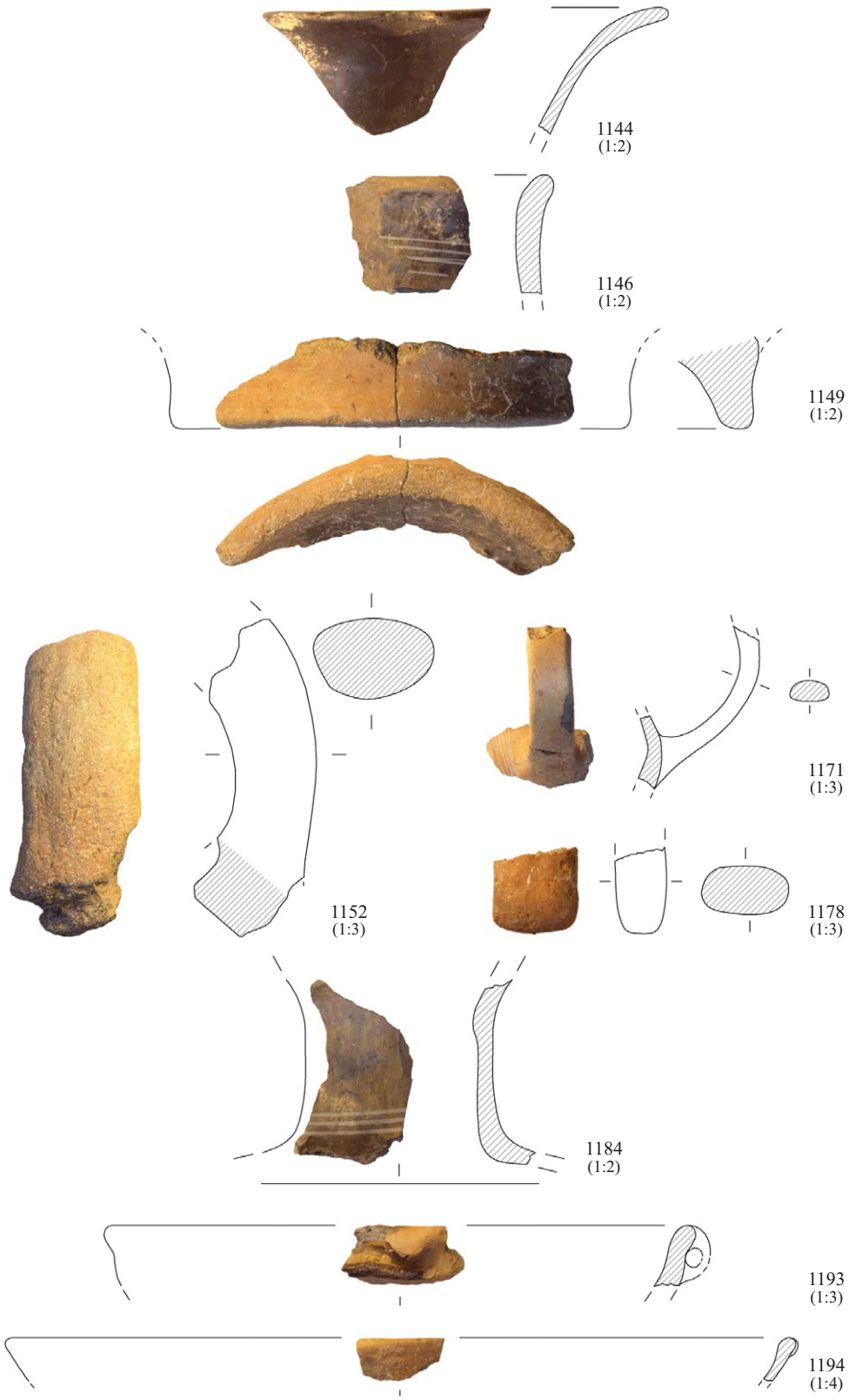


Planierung ÇuHö IV/Vb SE 5302 (1073−1074, 1084−1086); SE 5454 (1094−1095); SE 5467 (1096, 1098)

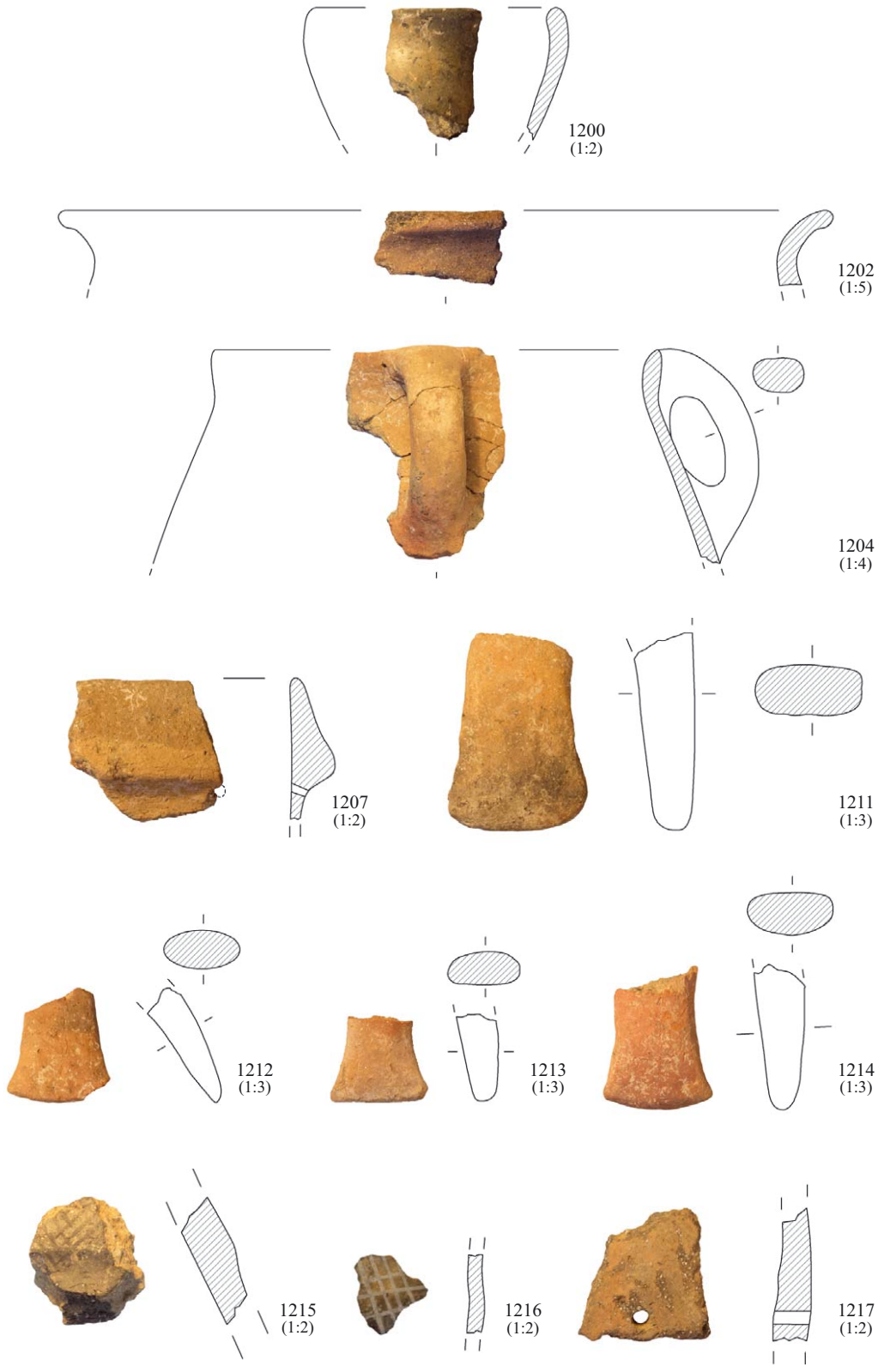


Planierung ÇuHö IV/Vb SE 5467 (1100, 1106, 1115−1116, 1121, 1135)

Tafel 40



Planierung ÇuHö IV/Vb SE 5467 (1144, 1146, 1149, 1152, 1171, 1178, 1184)
ÇuHö Va SE 5434 (1193–1194)

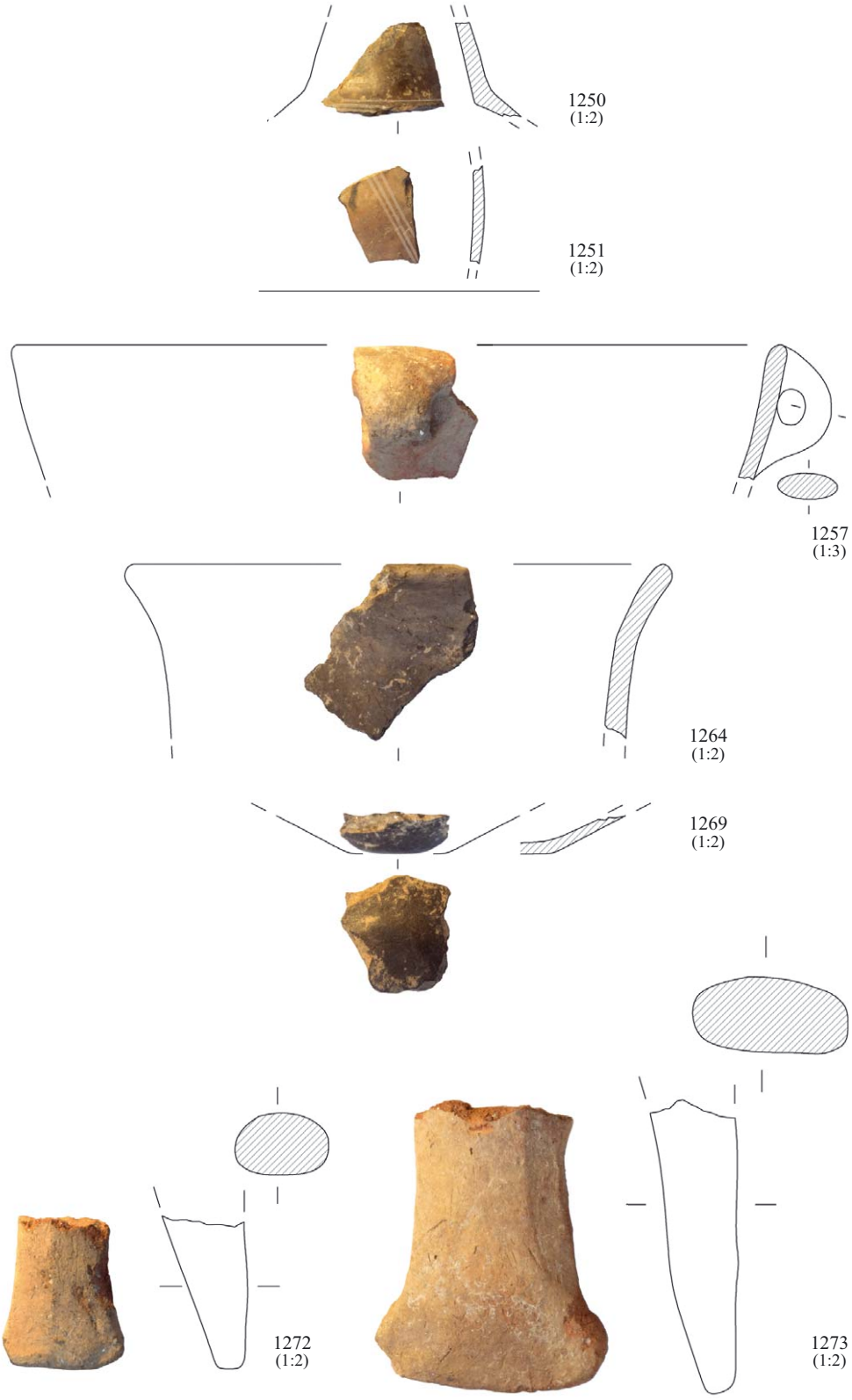


ÇuHö Va SE 5525 (1200, 1202, 1204, 1207, 1211–1217)

Tafel 42

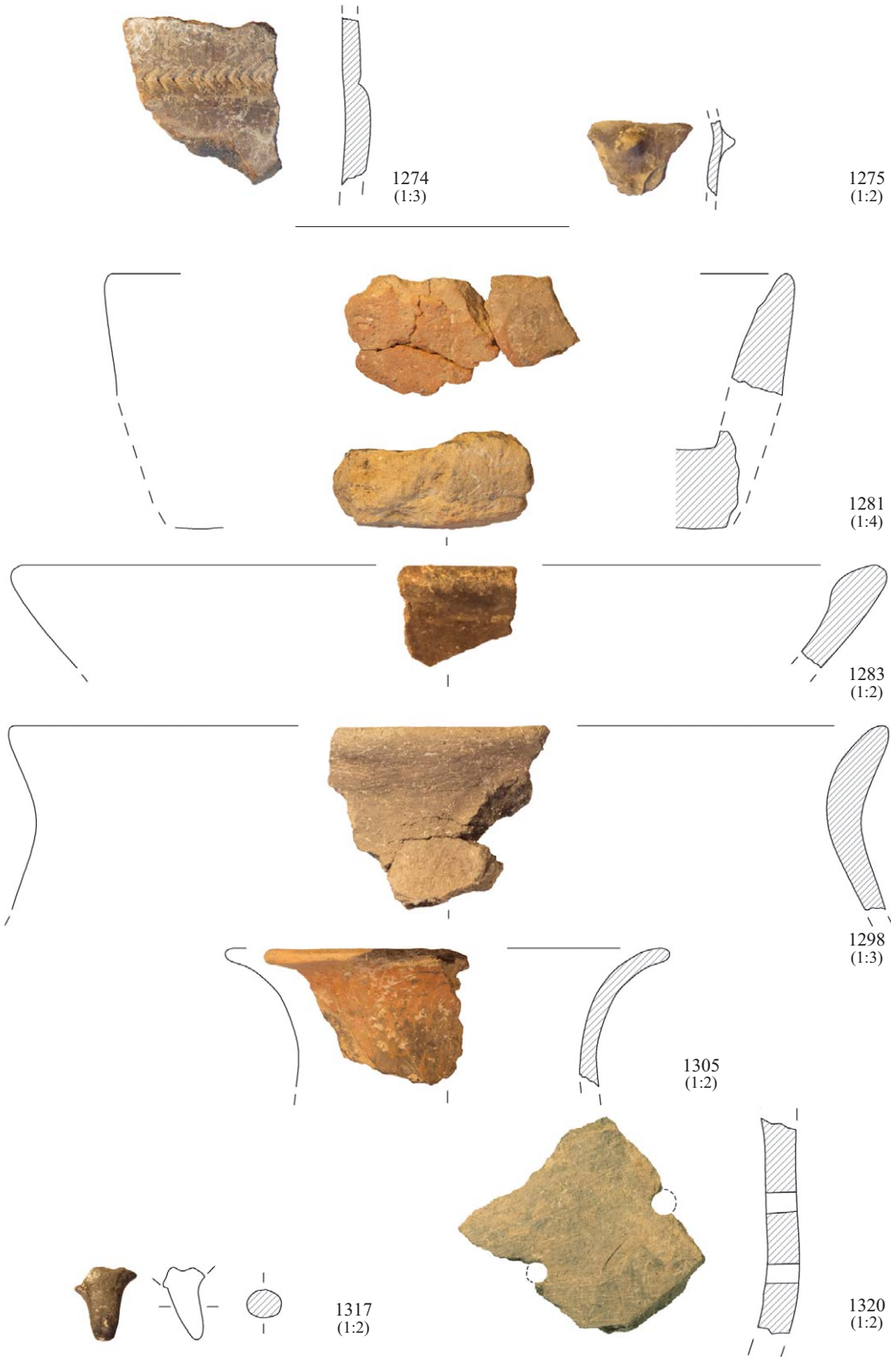


Planierung ÇuHö IV/Va SE 5409 (1222, 1224, 1233, 1235, 1244)



Planierung ÇuHö IV/Va SE 5409 (1250−1251); SE 5435 (1257, 1264, 1269, 1272−1273)

Tafel 44



Planierung ÇuHö IV/Va SE 5435 (1274–1275); SE 5506 (1281, 1283, 1298, 1305, 1317, 1320)



1



2

1 Keramikauswahl der Subphase **ÇuHö VIa**
2 Keramikauswahl der Subphase **ÇuHö Vb**

Tafel 46



1



2

1 Fragment einer Schale des Typs S4Q (Kat.-Nr. 714) aus der Subphase **ÇuHö VIa**
2 Fragment einer Schale des Typs S4K (Kat.-Nr. 982) aus der Subphase **ÇuHö Vb**



1



2

1 Knickrandschalenfragmente aus der Subphase **ÇuHö VIa**
2 Fragmente von Vorratsgefäßen der WG 15 aus der Subphase **ÇuHö Vb**

Tafel 48



1



2

1 Lineare Weißbemalung auf Scherben der Subphase **ÇuHö VIa**
2 Lineare Weißbemalung auf Scherben der Subphase **ÇuHö Vb**



1



2

1 Lineare Weißbemalung auf Scherben der Subphase **ÇuHö Va**
2 Verschiedene Fußtypen der Subphase **ÇuHö Vb**

Tafel 50



1



2

1 *Cheese pot*-Fragment (Kat.-Nr. 543) der Subphase **ÇuHö VIa** (Außenansicht)
2 *Cheese pot*-Fragment (Kat.-Nr. 543) der Subphase **ÇuHö VIa** (Innenansicht)



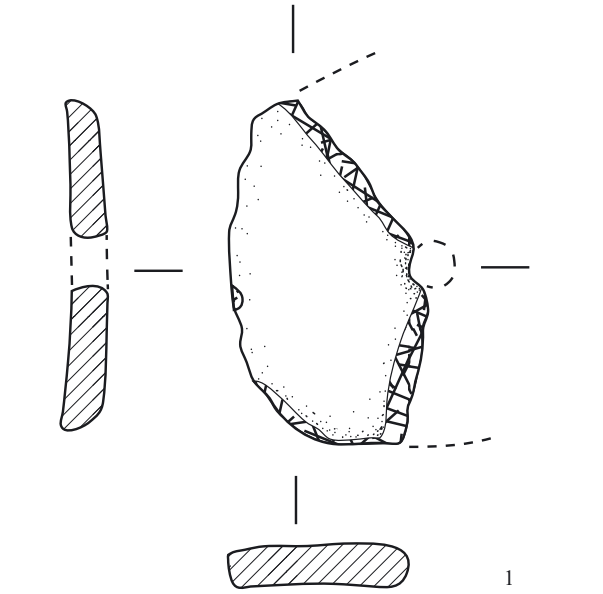
1



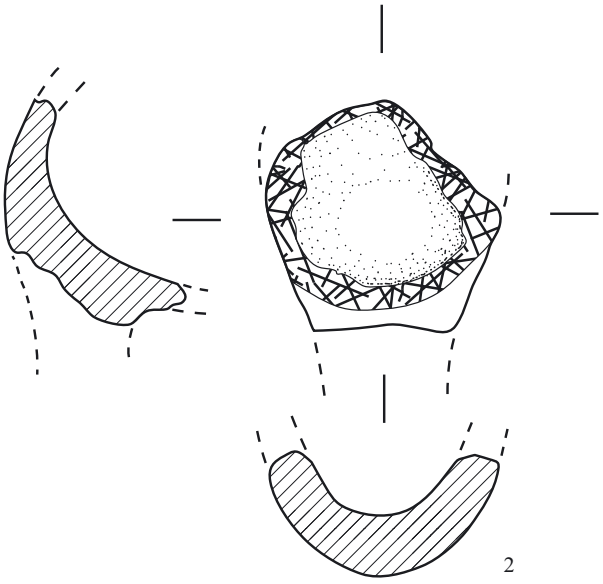
2

1 *Cheese pot*-Fragment (Kat.-Nr. 543) der Subphase **ÇuHö VIa** (Außenansicht)
2 *Cheese pot*-Fragment (Kat.-Nr. 543) der Subphase **ÇuHö VIa** (Innenansicht)

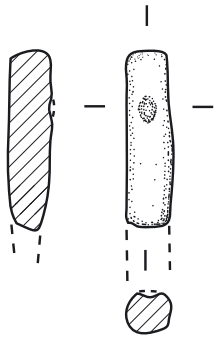
Tafel 52



1

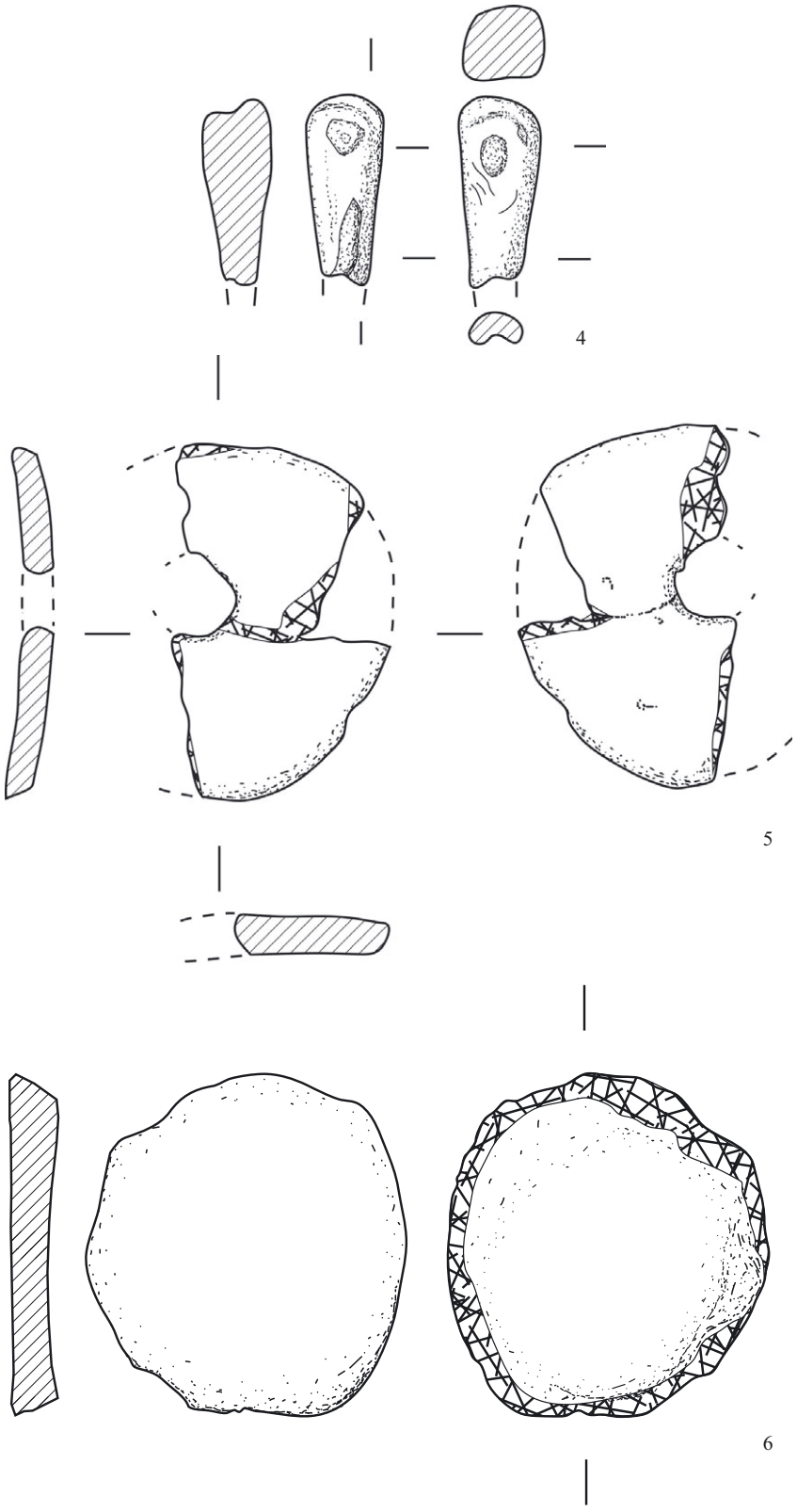


2



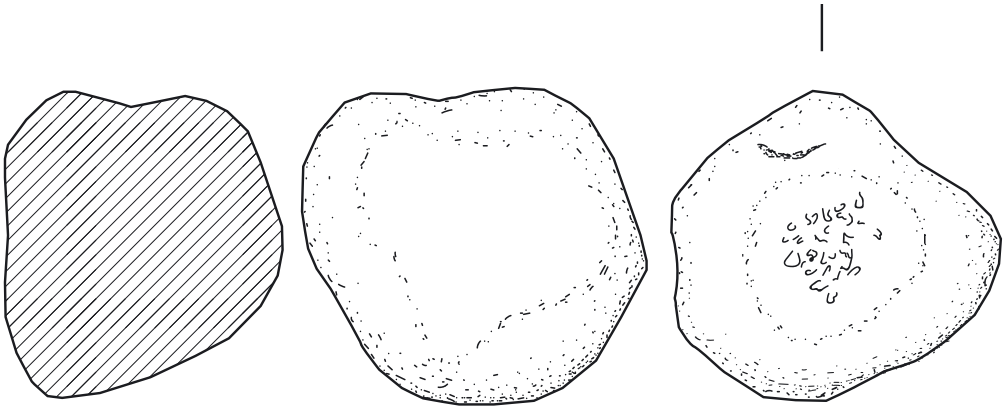
3

ÇuHö VII Grabenverfüllung A: SE 1351 (1); SE 1735 (2); Grabenverfüllung B: SE 4553 (3)
M 1:1

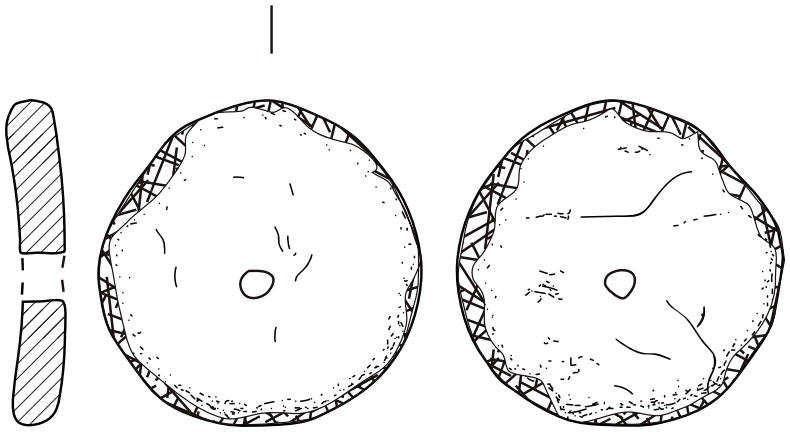


Planierung ÇuHö VIb/VII Grabenverfüllung C: SE 1215 (4); SE 1307 (5, 6)
M 1:1

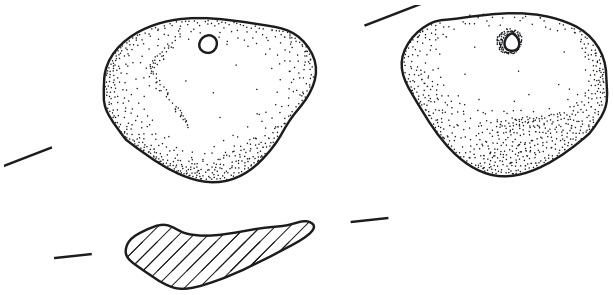
Tafel 54



7

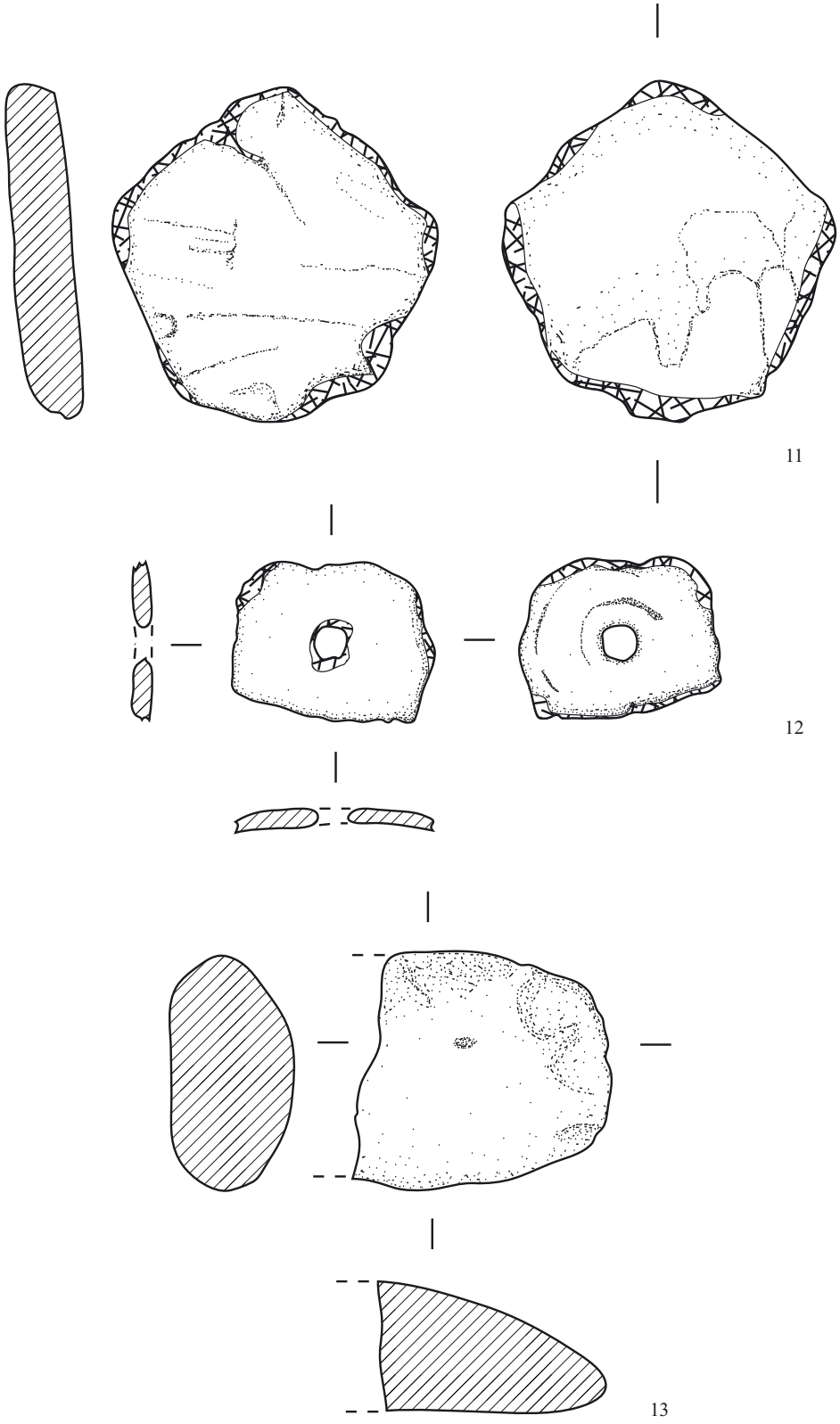


9



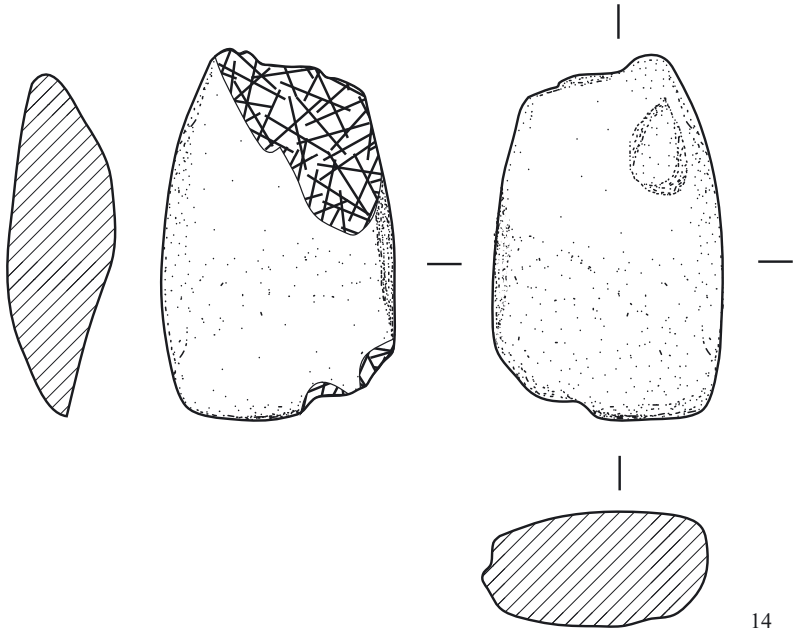
10

Planierung ÇuHö VIb/VII Grabenverfüllung C: SE 1343 (7); SE 1368 (9); SE 1449 (10)
M 1:1

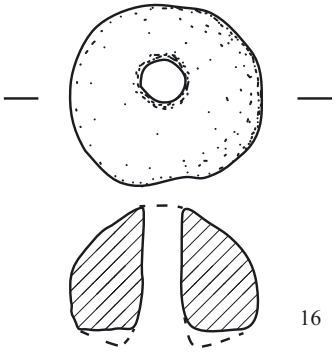


Planierung ÇuHö VIb/VII Planierschicht: SE 1449 (11); SE 4511 (12, 13)
M 1:1

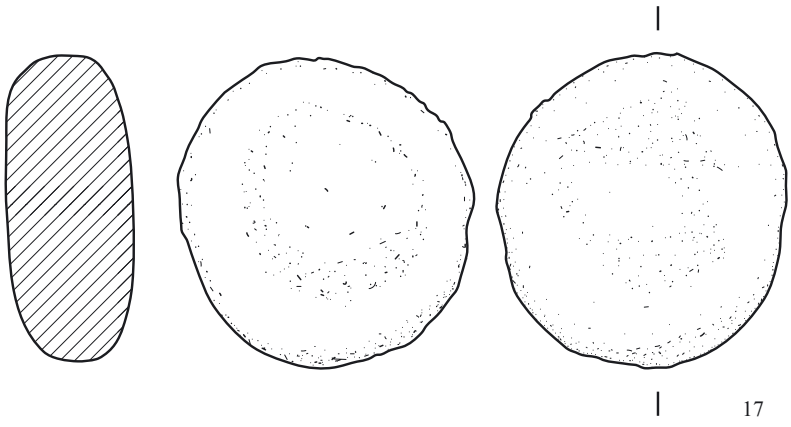
Tafel 56



14

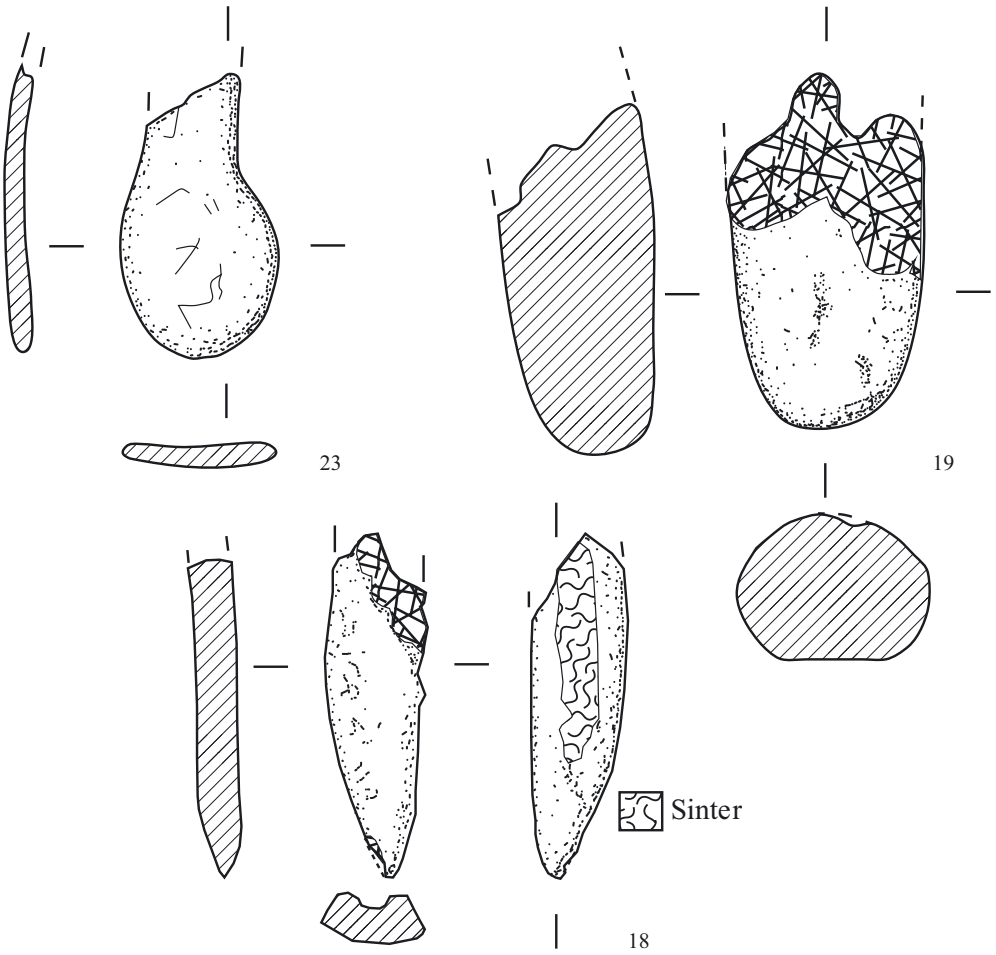


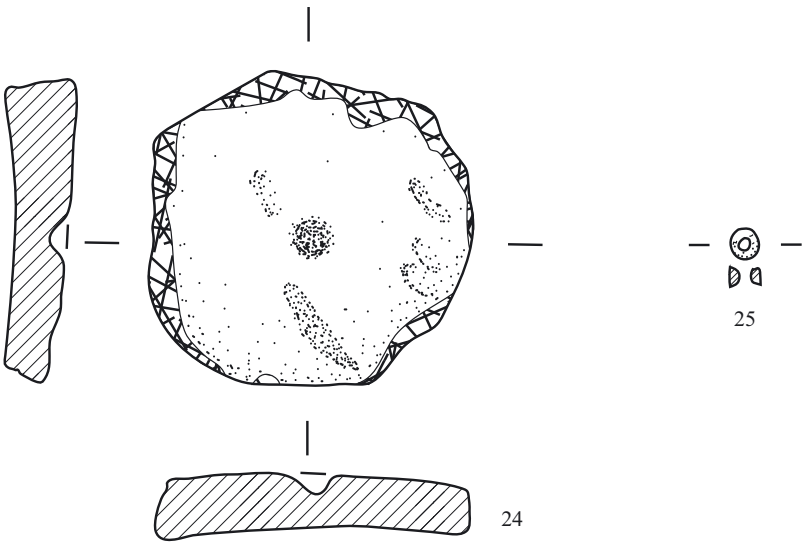
16



17

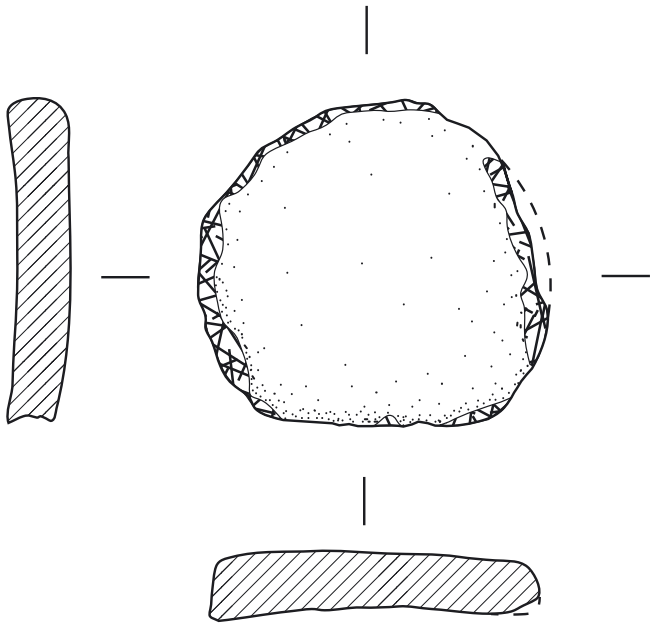
Planierung ÇuHö VIb/VII Planierschicht: SE 4511 (14)
Planierung ÇuHö VIa/VIb SE 1446 (16); SE 1463 (17)
M 1:1 (17 = M 1:2)



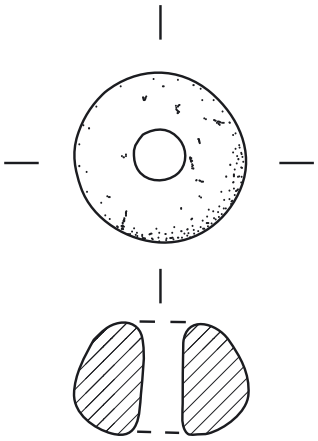


Planierung ÇuHö VIa/VIb SE 5591 (18, 19); SE 5592 (23)
Planierung ÇuHö IV/VIb SE 5324 (24, 25)
M 1:1

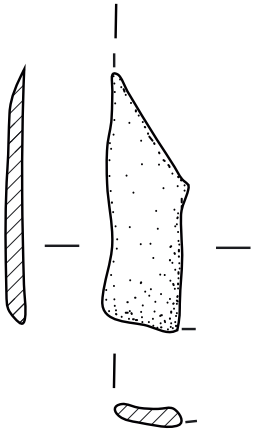
Tafel 58



26

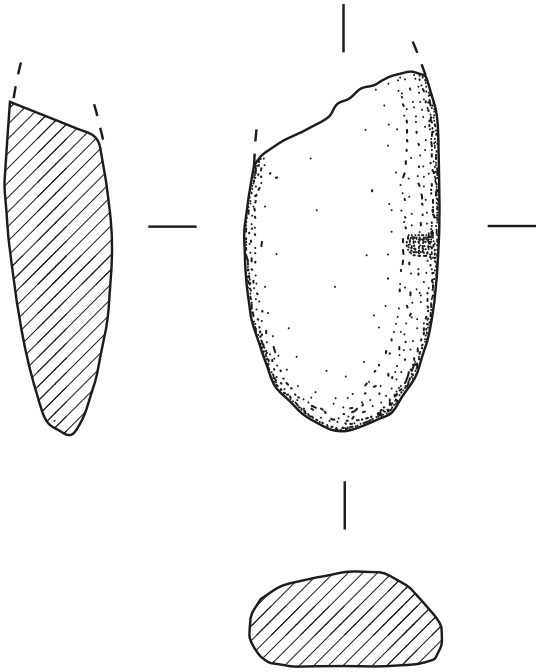


29

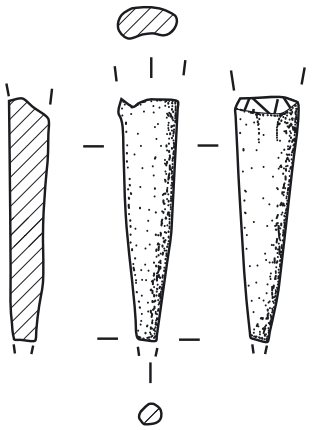


28

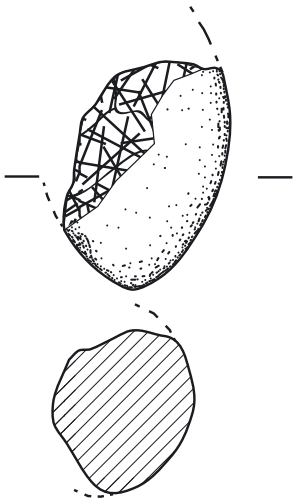
Planierung ÇuHö IV/VIb SE 5324 (26)
ÇuHö VIa SE 5590 (28, 29)
M 1:1



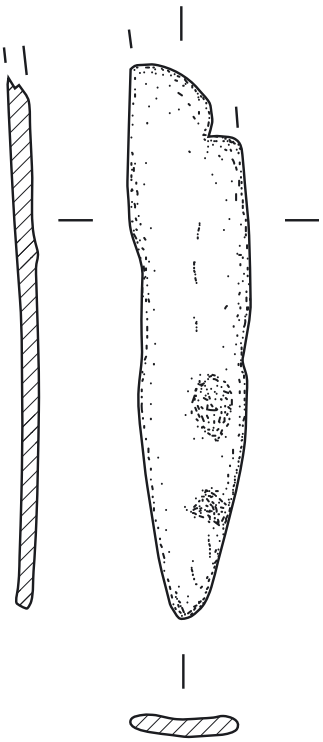
30



31



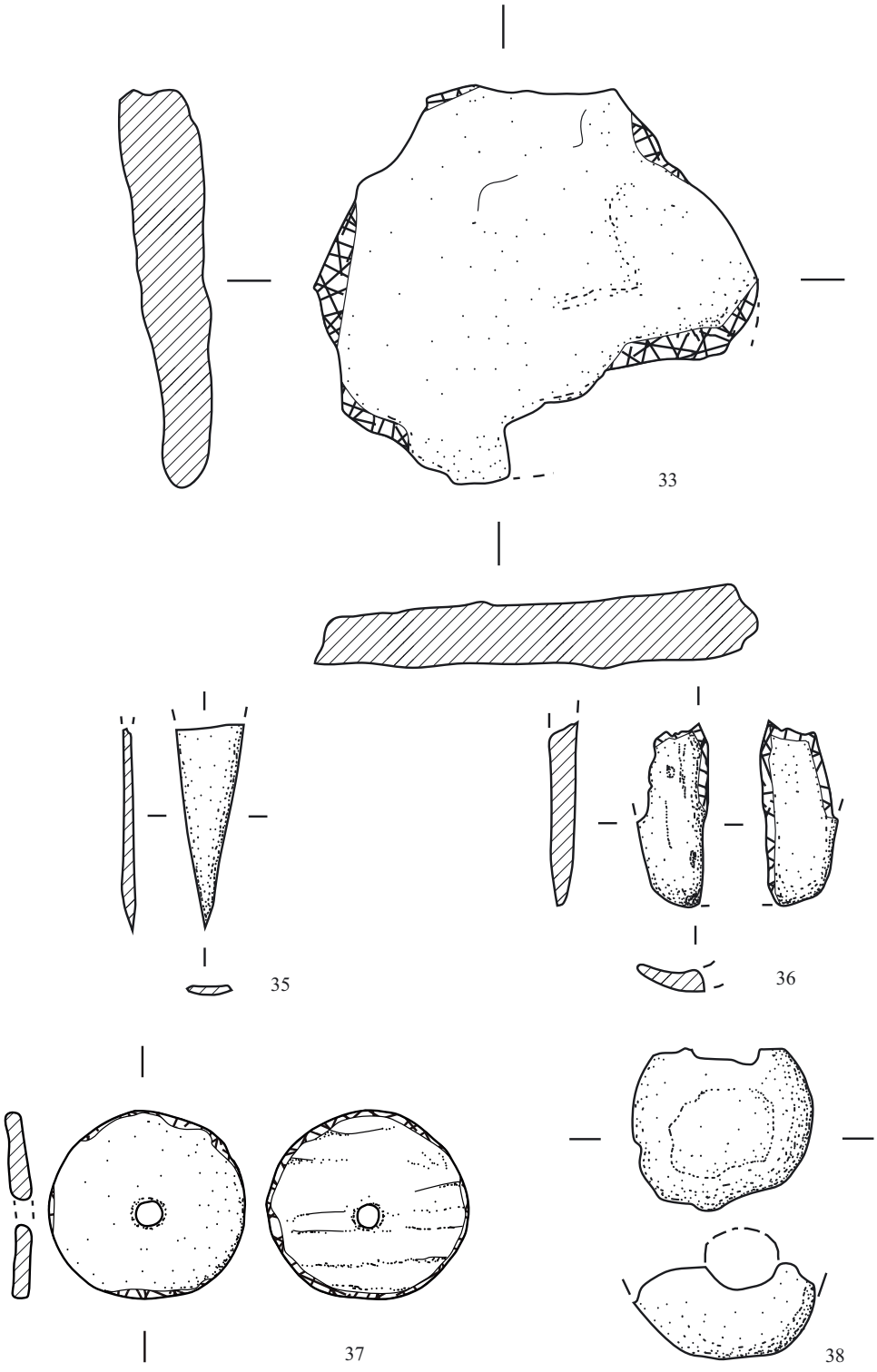
34



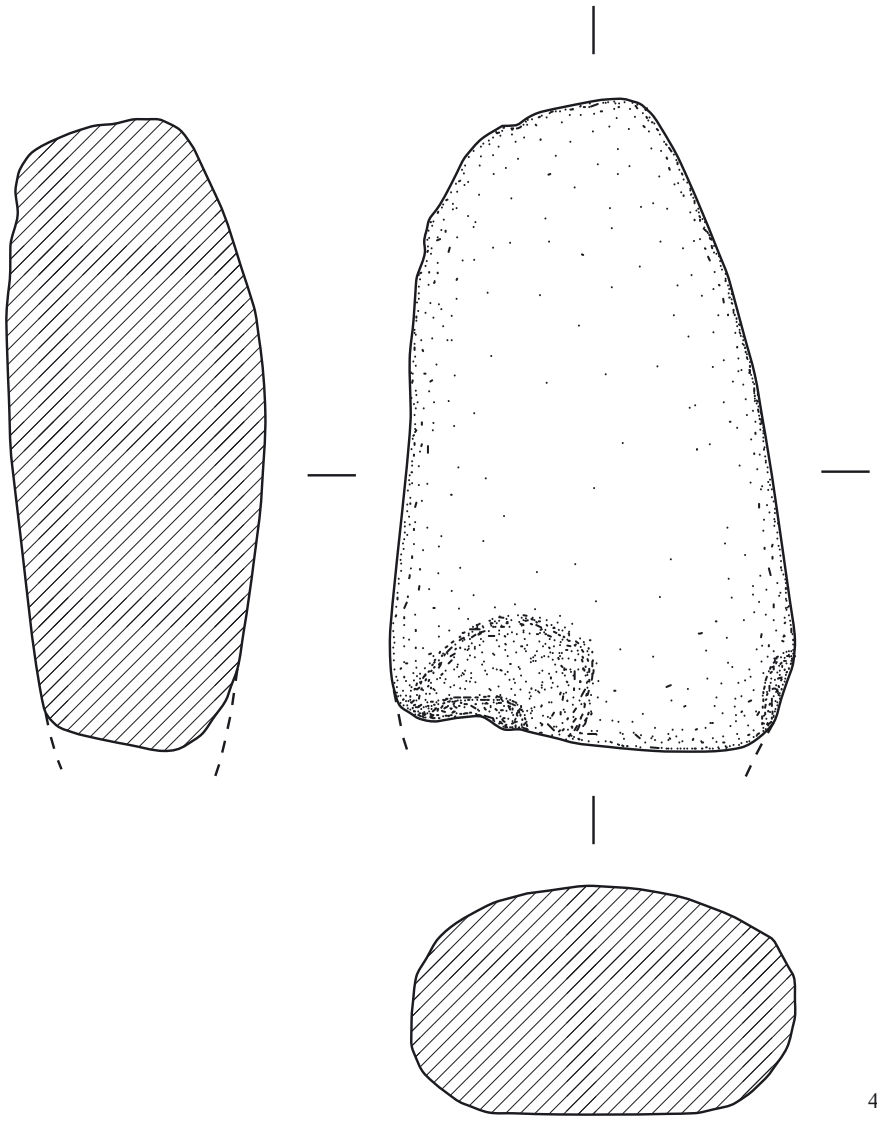
32

Planierung ÇuHö Vb/VIa SE 5465 (30–32, 34)
M 1:1

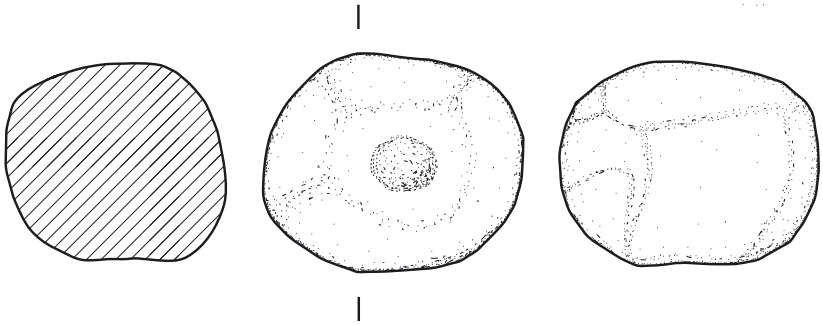
Tafel 60



Planierung ÇuHö Vb/VIa SE 5465 (33); SE 5543 (35–38)
M 1:1



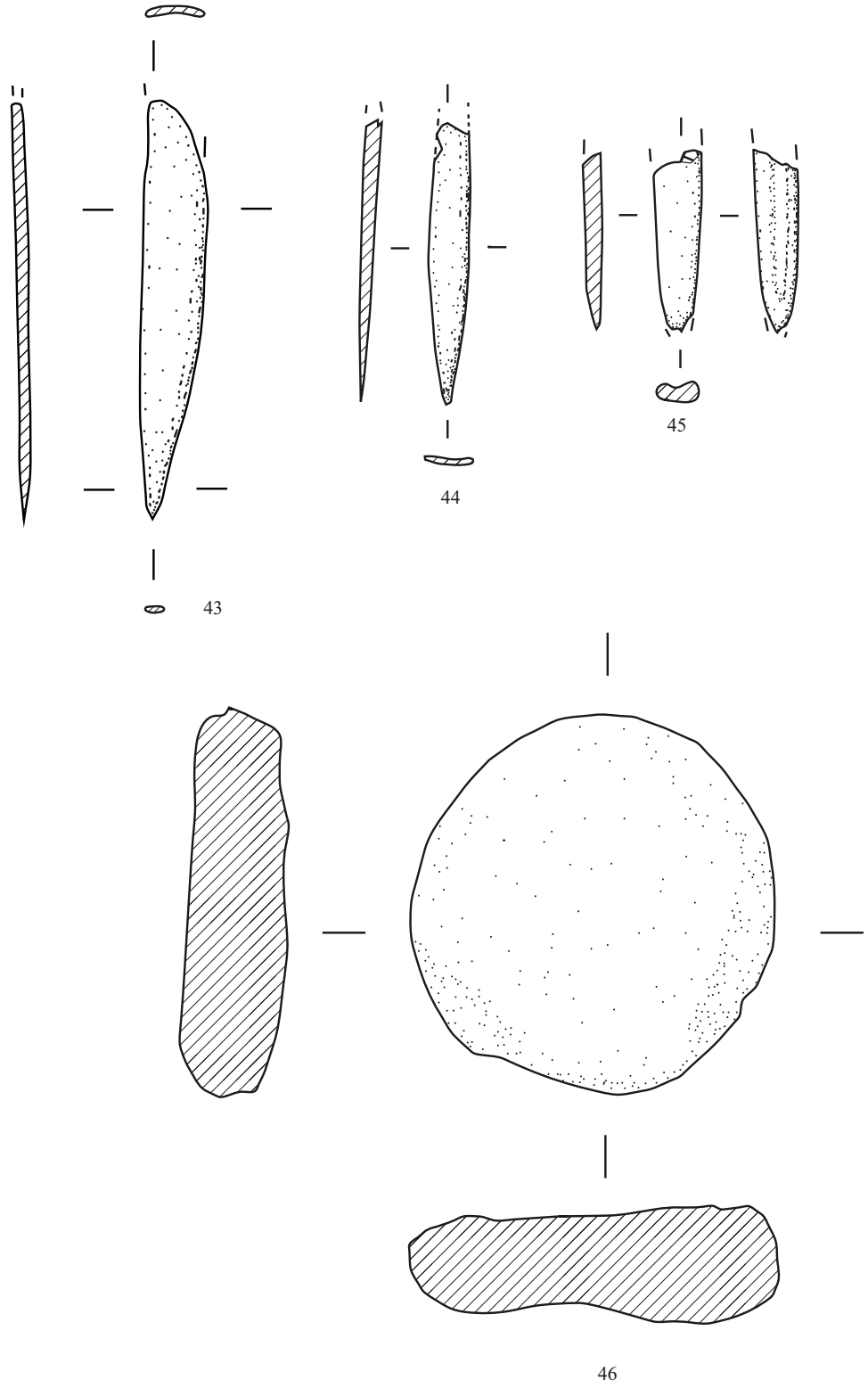
40



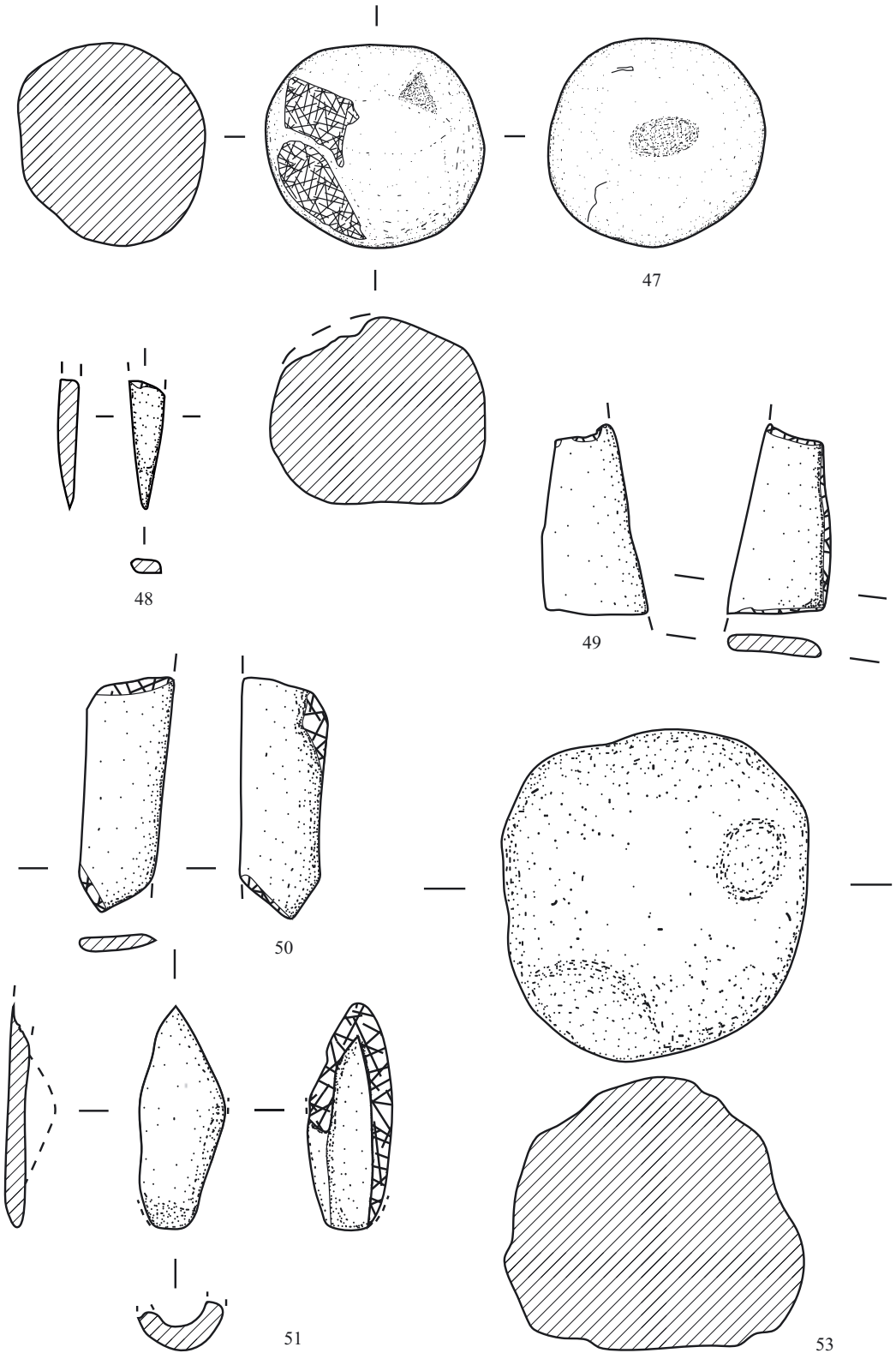
42

Planierung ÇuHö IV/VIa SE 5422 (40)
ÇuHö Vb SE 5325 (42)
M 1:1 (42 = M 1:2)

Tafel 62

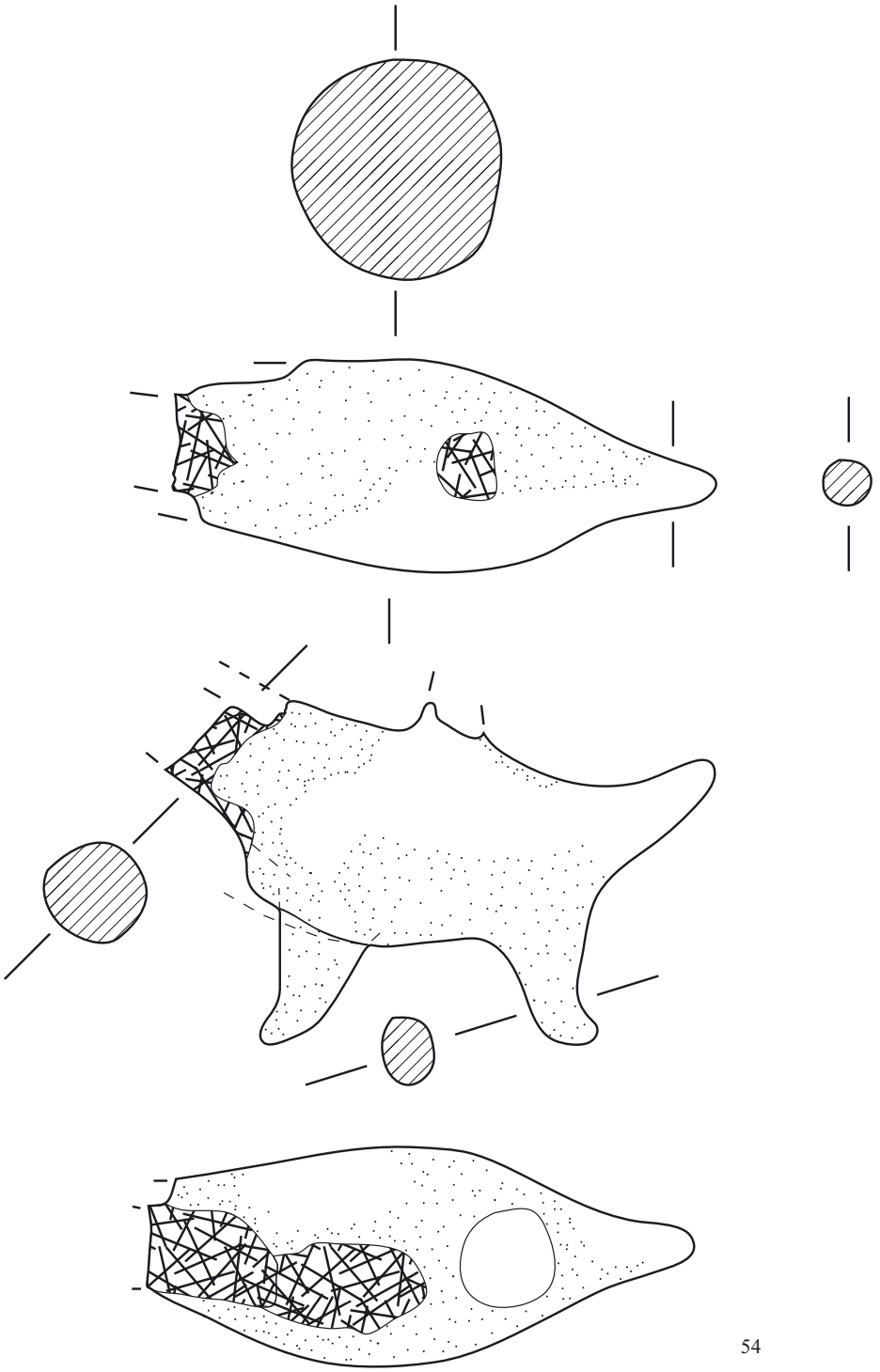


ÇuHö Vb SE 5325 (43–45); SE 5326 (46)
M 1:1



ÇuHö Vb SE 5338 (47); SE 5490 (48–51); SE 5496 (53)
M 1:1 (47 = M 1:2)

Tafel 64



54

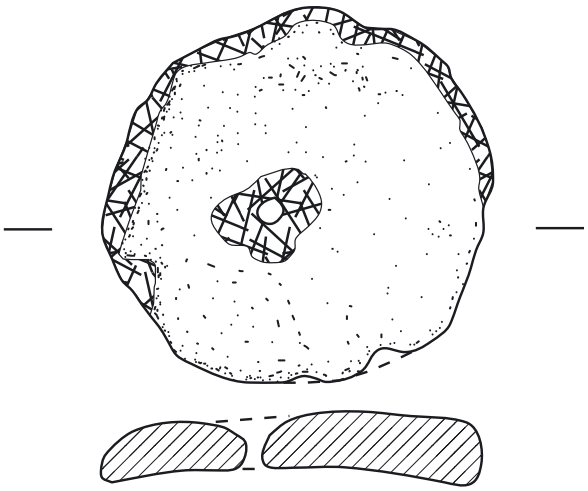
ÇuHö Vb SE 5502 (54)
M 1:1



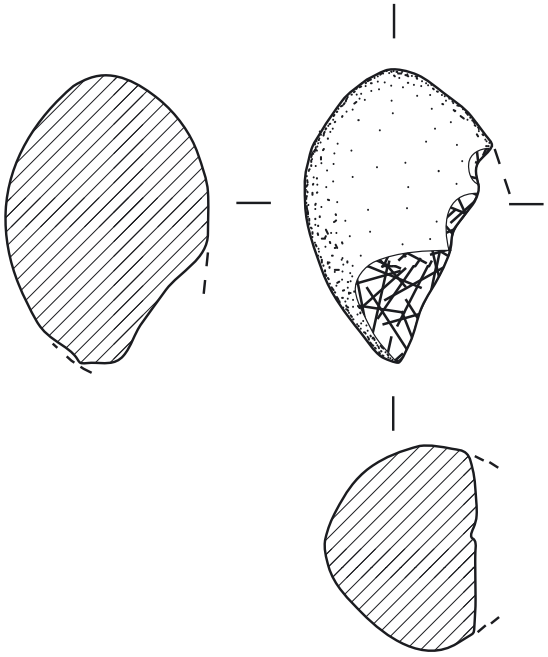
55

Planierung ÇuHö Va/Vb SE 5432 (55)
M 1:4

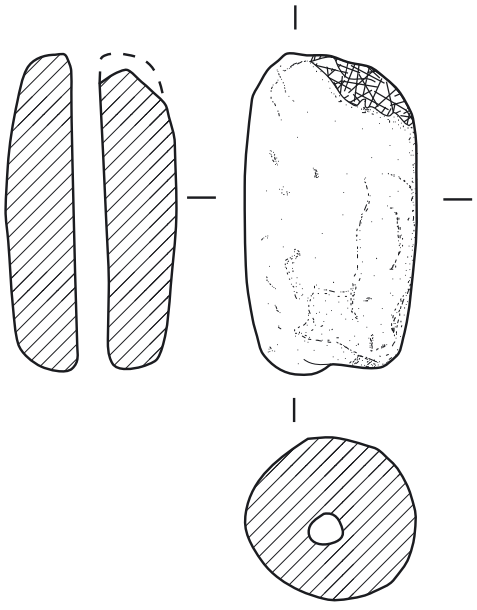
Tafel 66



56

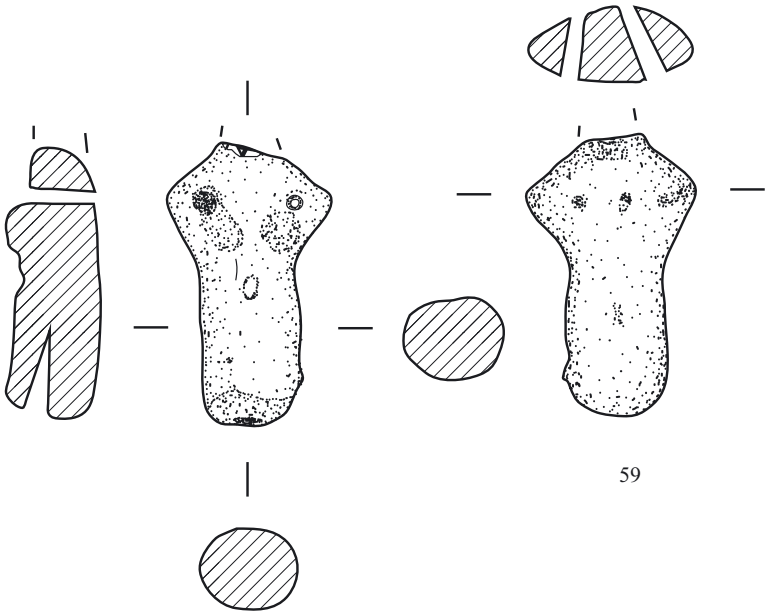


57

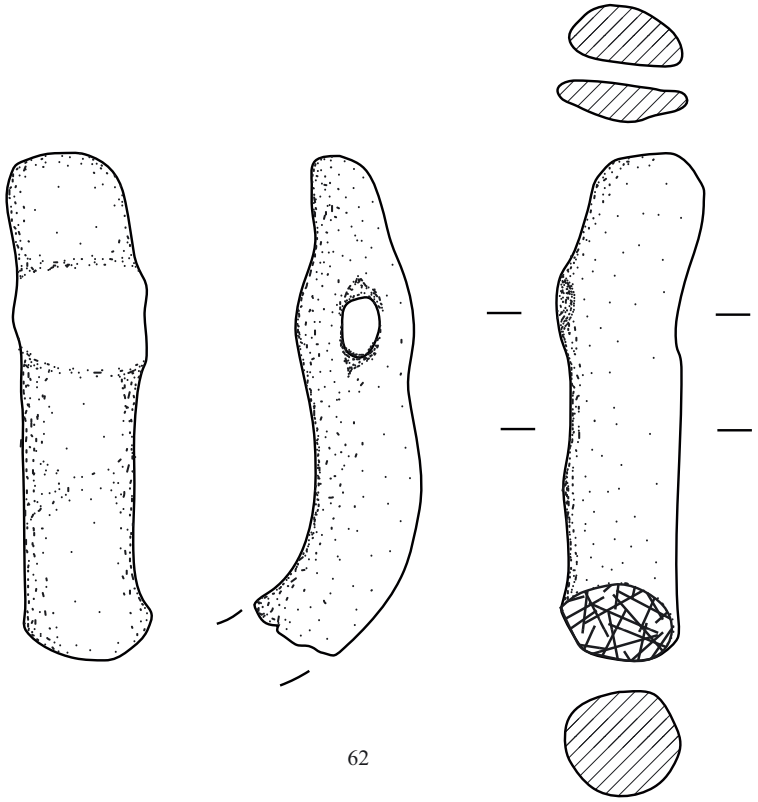


58

Planierung ÇuHö Va/Vb SE 5477 (56–58)
M 1:1 (58 = M 1:2)



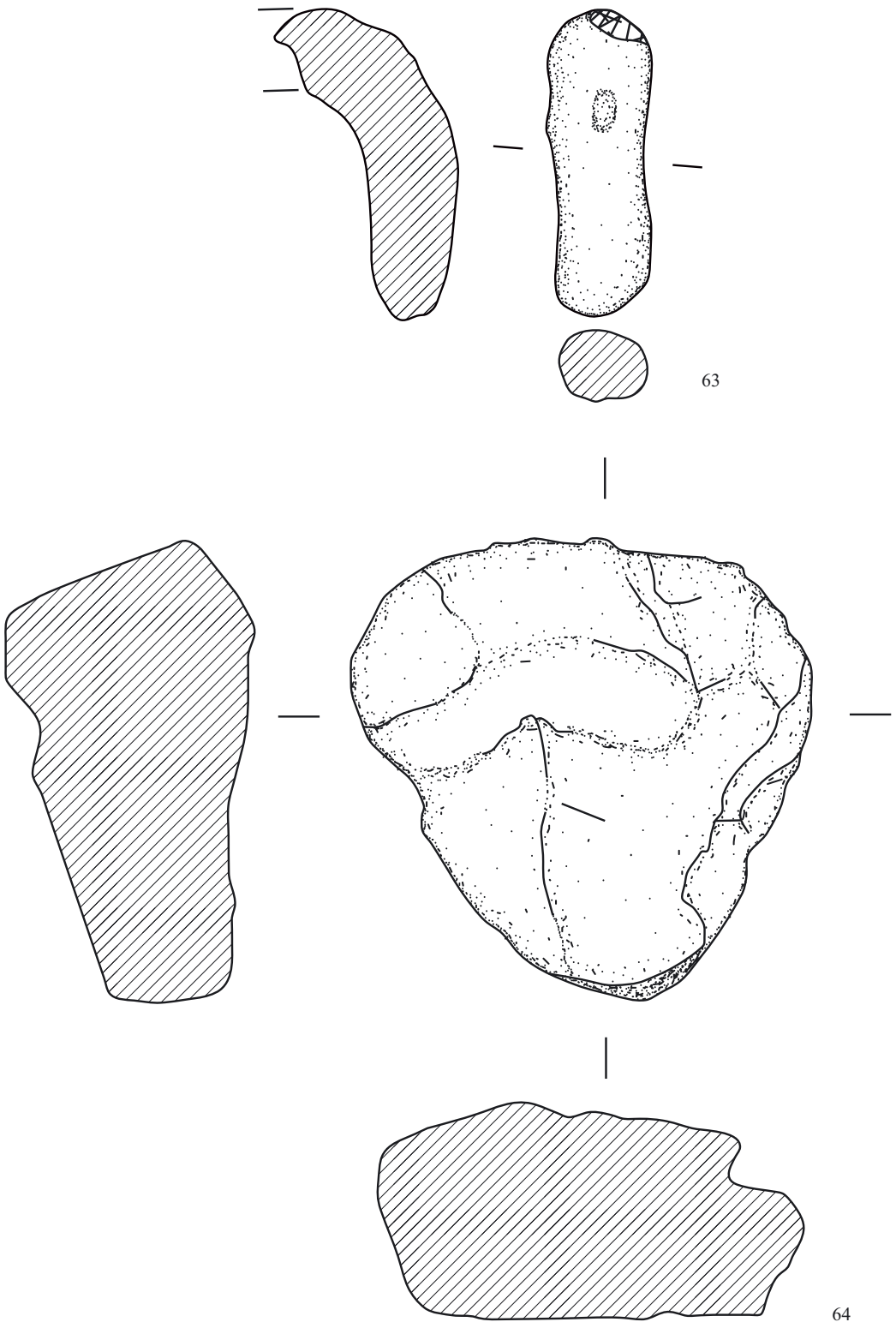
59



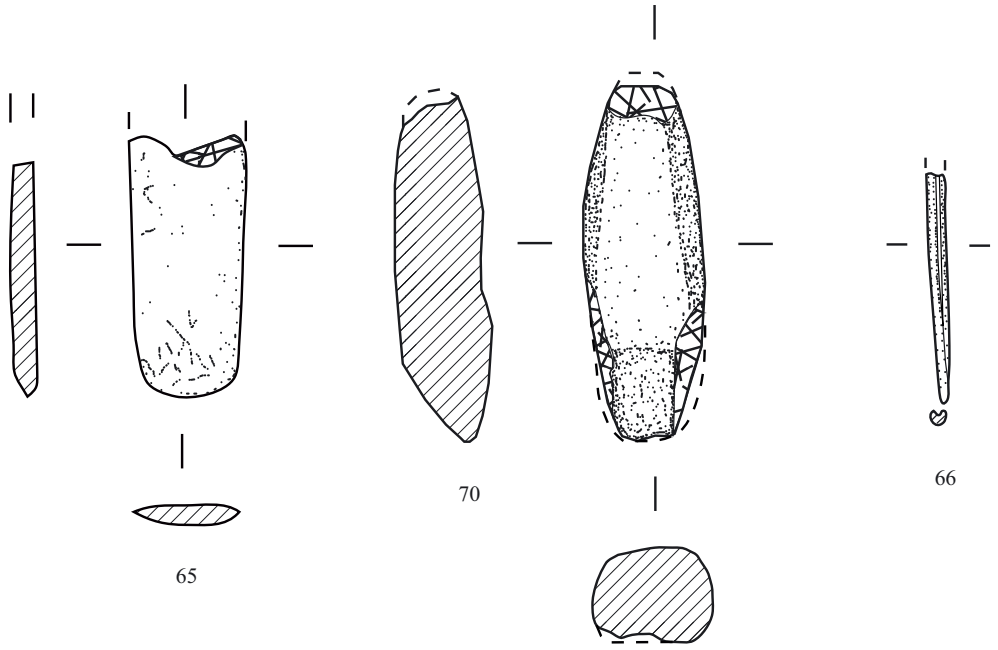
62

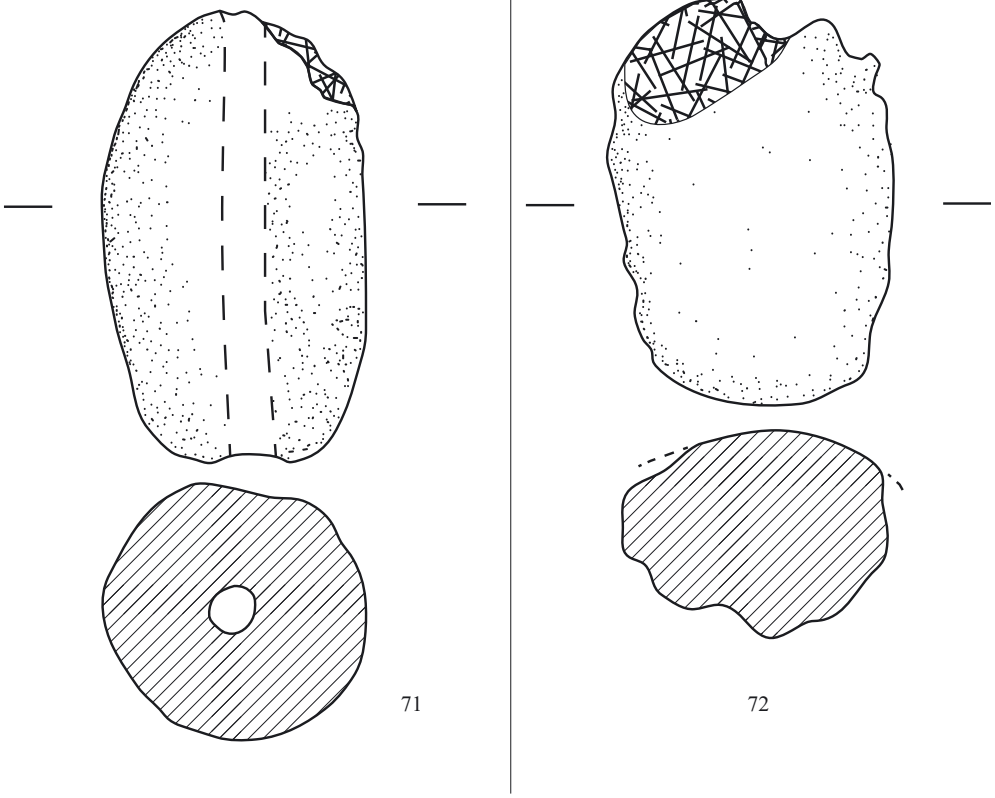
Planierung ÇuHö IV/Vb SE 5302 (59); SE 5467 (62)
M 1:1

Tafel 68



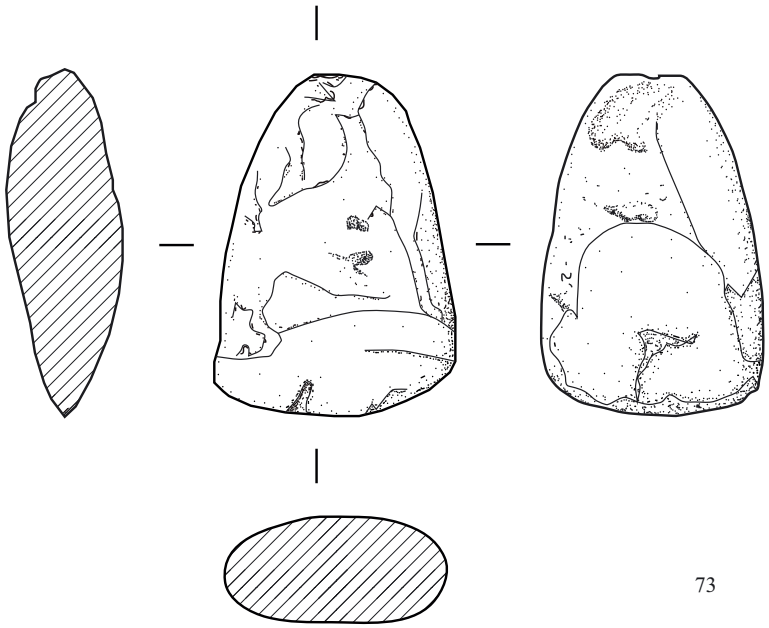
Planierung ÇuHö IV/Vb SE 5467 (63–64)
M 1:1



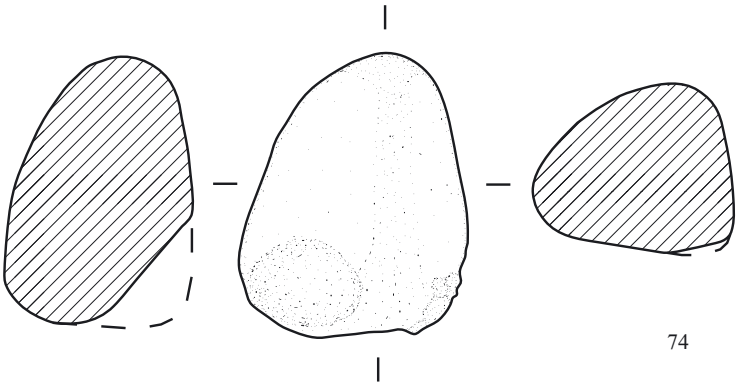


Planierung ÇuHö IV/Vb SE 5467 (65–66, 70–71)
ÇuHö Va SE 5434 (72)
M 1:1

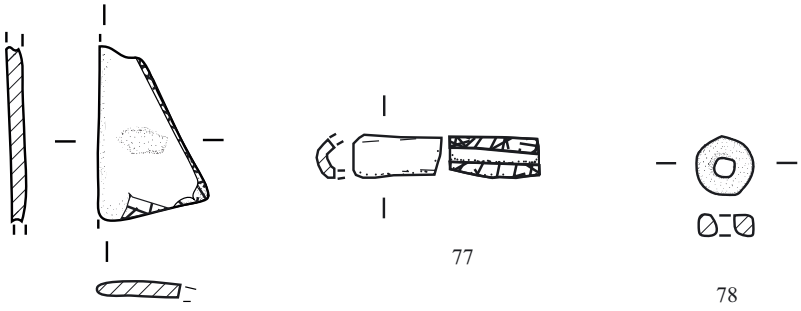
Tafel 70



73



74

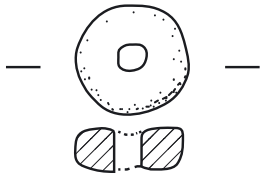


76

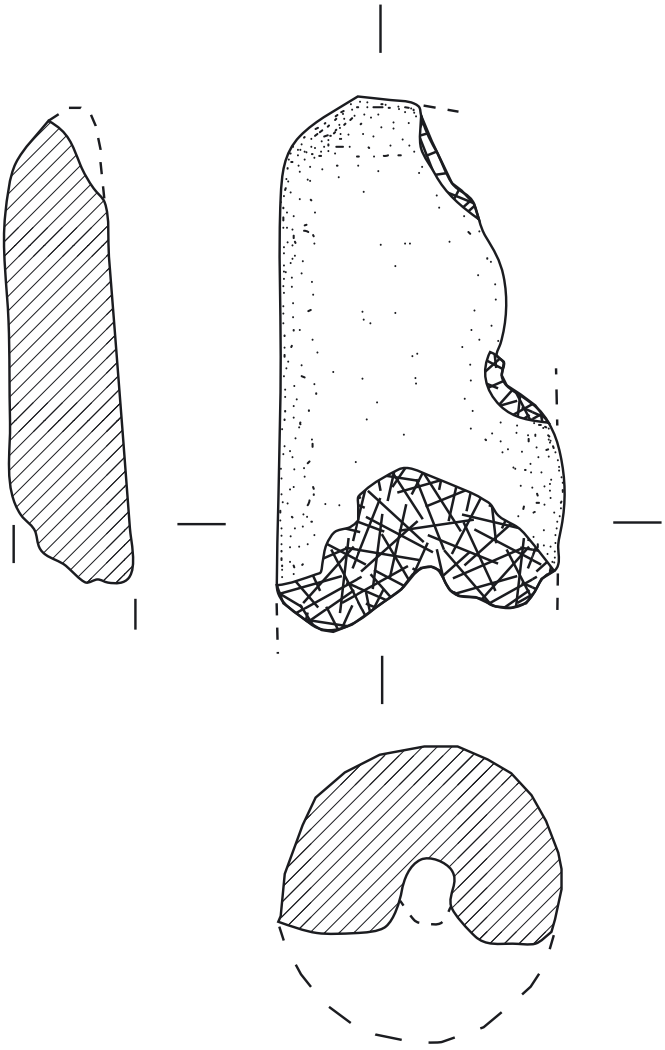
77

78

Planierung ÇuHö IV/Va SE 5409 (73–74, 76–78)
M 1:1 (74 = M 1:2)



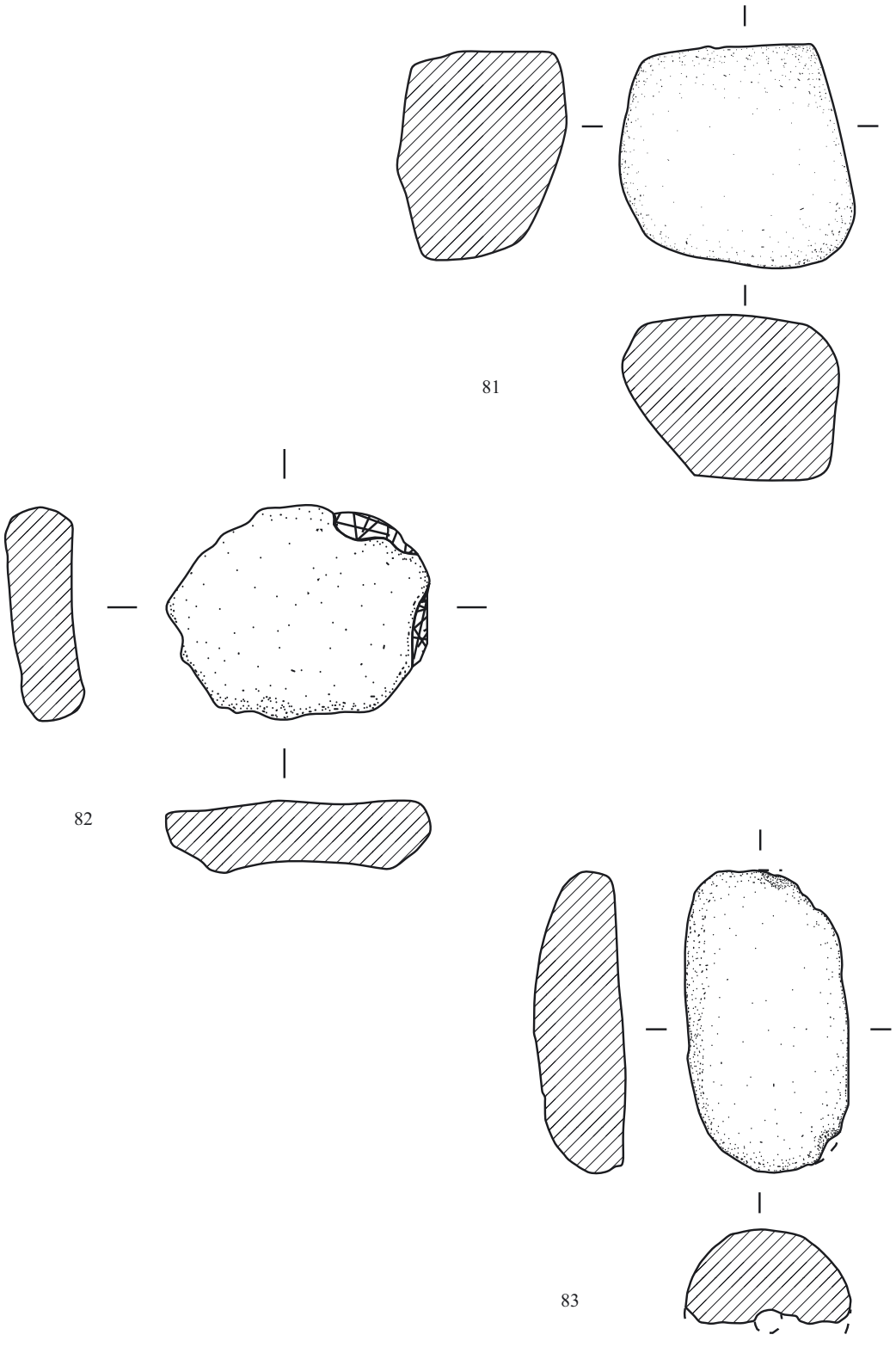
79



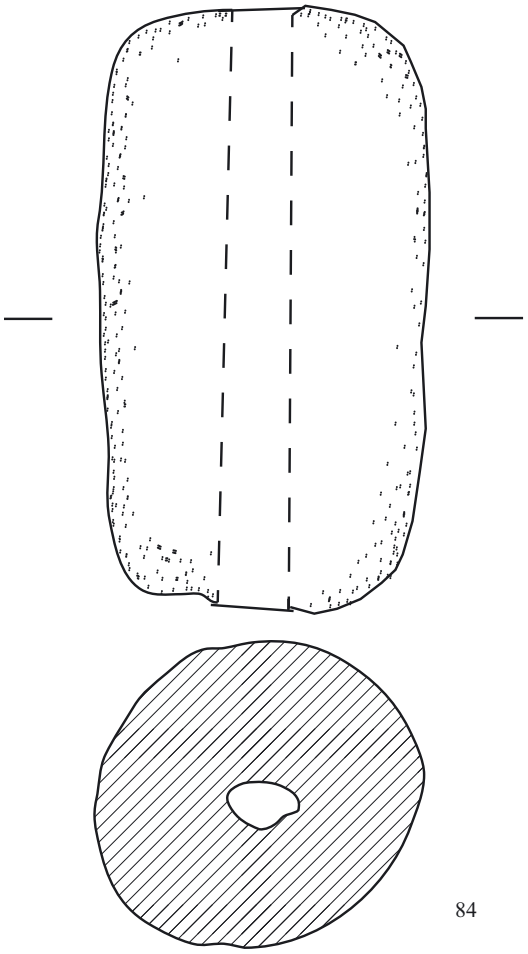
80

Planierung ÇuHö IV/Va SE 5435 (79–80)
M 1:1

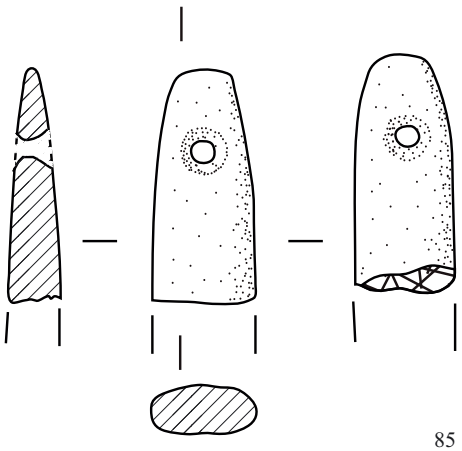
Tafel 72



Planierung ÇuHö IV/Va SE 5506 (81–83)
M 1:1 (81; 83 = M 1:2)



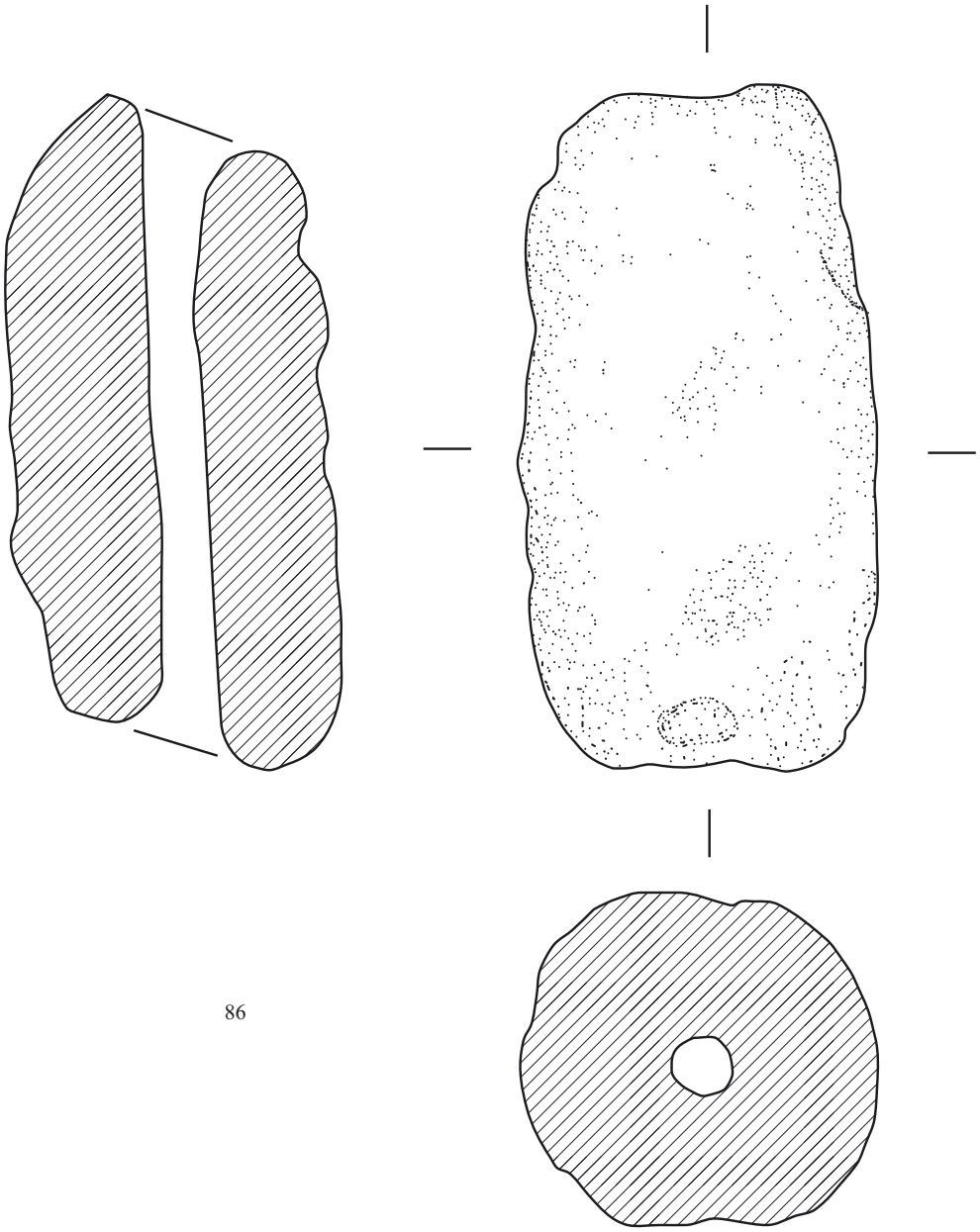
84



85

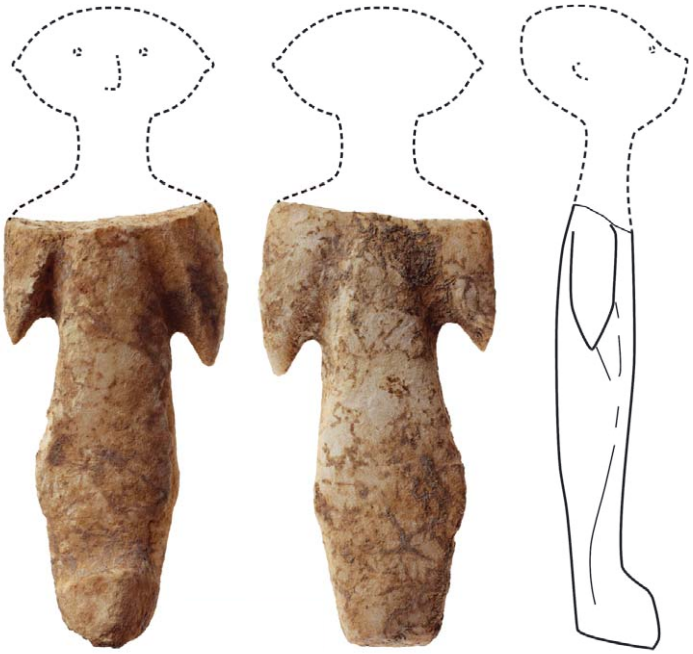
Planierung ÇuHö IV/Va SE 5506 (84); SE 5519 (85)
M 1:1

Tafel 74



86

Planierung ÇuHö IV/Va SE 5523 (86)
M 1:1



87

ÇuHö I SE 5001 (87)
M 1:1

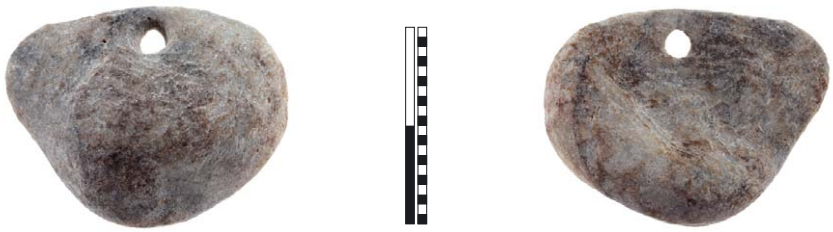
Tafel 76



2



11



10

ÇuHö VII Grabenverfüllung A: SE 1735 (2)
Planierung ÇuHö VIb/VII Planierschicht: SE 1449 (11–10)



12



14



16

Planierung ÇuHö VIb/VII Planierschicht: SE 4511 (12, 14)
Planierung ÇuHö VIa/VIb SE 1446 (16)

Tafel 78



19



23

Planierung ÇuHö VIa/VIb SE 5591 (19); SE 5592 (23)



24



25



29

Planierung ÇuHö IV/VIb SE 5324 (24–25)
ÇuHö VIa SE 5590 (29)

Tafel 80



30



34

Planierung ÇuHö Vb/VIa SE 5465 (30, 34)



35



37

Planierung ÇuHö Vb/VIa SE 5543 (35, 37)

Tafel 82



42



43



47

ÇuHö Vb SE 5325 (42–43); SE 5338 (47)



49



53



55

ÇuHö Vb SE 5490 (49); SE 5496 (53)
Planierung ÇuHö Va/Vb SE 5432 (55)

Tafel 84





54





57



58

ÇuHö Vb SE 5502 (54)
Planierung ÇuHö Va/Vb SE 5477 (57–58)



59



65

Planierung ÇuHö IV/Vb SE 5302 (59); SE 5467 (65)

Tafel 86



62



70

Planierung ÇuHö IV/Vb SE 5467 (62, 70)



71



77



73

Planierung ÇuHö IV/Vb SE 5467 (71)
Planierung ÇuHö IV/Va SE 5409 (73, 77)

Tafel 88



78



83



84

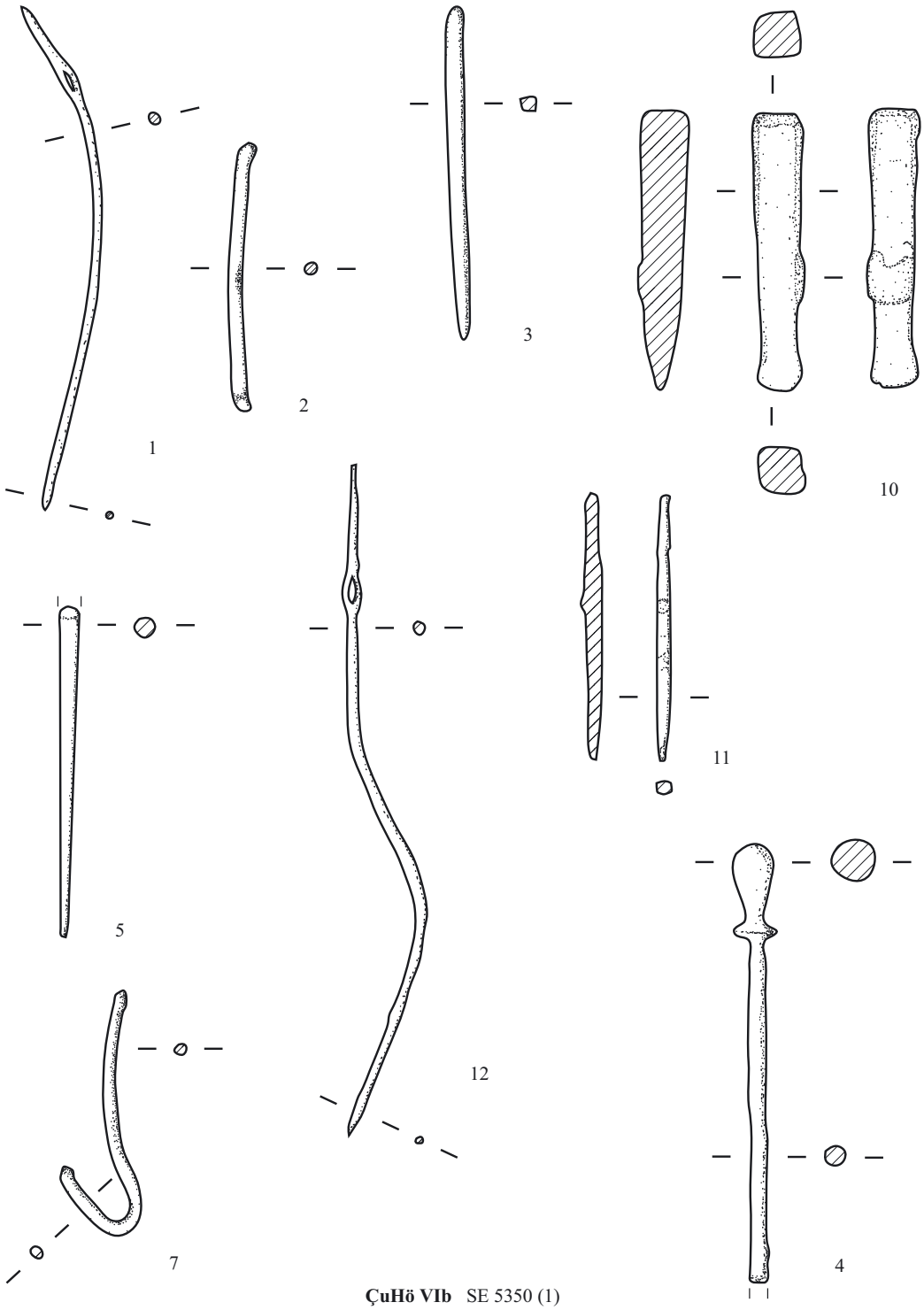
Planierung ÇuHö IV/Va SE 5409 (78); SE 5506 (83–84)



85

Planierung ÇuHö IV/Va SE 5519 (85)

Tafel 90



ÇuHö VIb SE 5350 (1)
Planierung ÇuHö VIa/VIb SE 5591 (2)
Planierung ÇuHö IV/VIb SE 5324 (3)
Planierung ÇuHö Vb/VIa SE 5465 (4–5); SE 5539 (7)
Planierung ÇuHö Va/Vb SE 5533 (10)
Planierung ÇuHö IV/Vb SE 5467 (11)
Planierung ÇuHö IV/Va SE 5409 (12)
M 1:1



1



9



12

Planierung ÇuHö VIb SE 5350 (1)
Planierung ÇuHö Vb SE 5326 (9)
Planierung ÇuHö IV/Va SE 5409 (12)

Tafel 92



4

5

Planierung ÇuHö Vb/VIa SE 5465 (4–5)

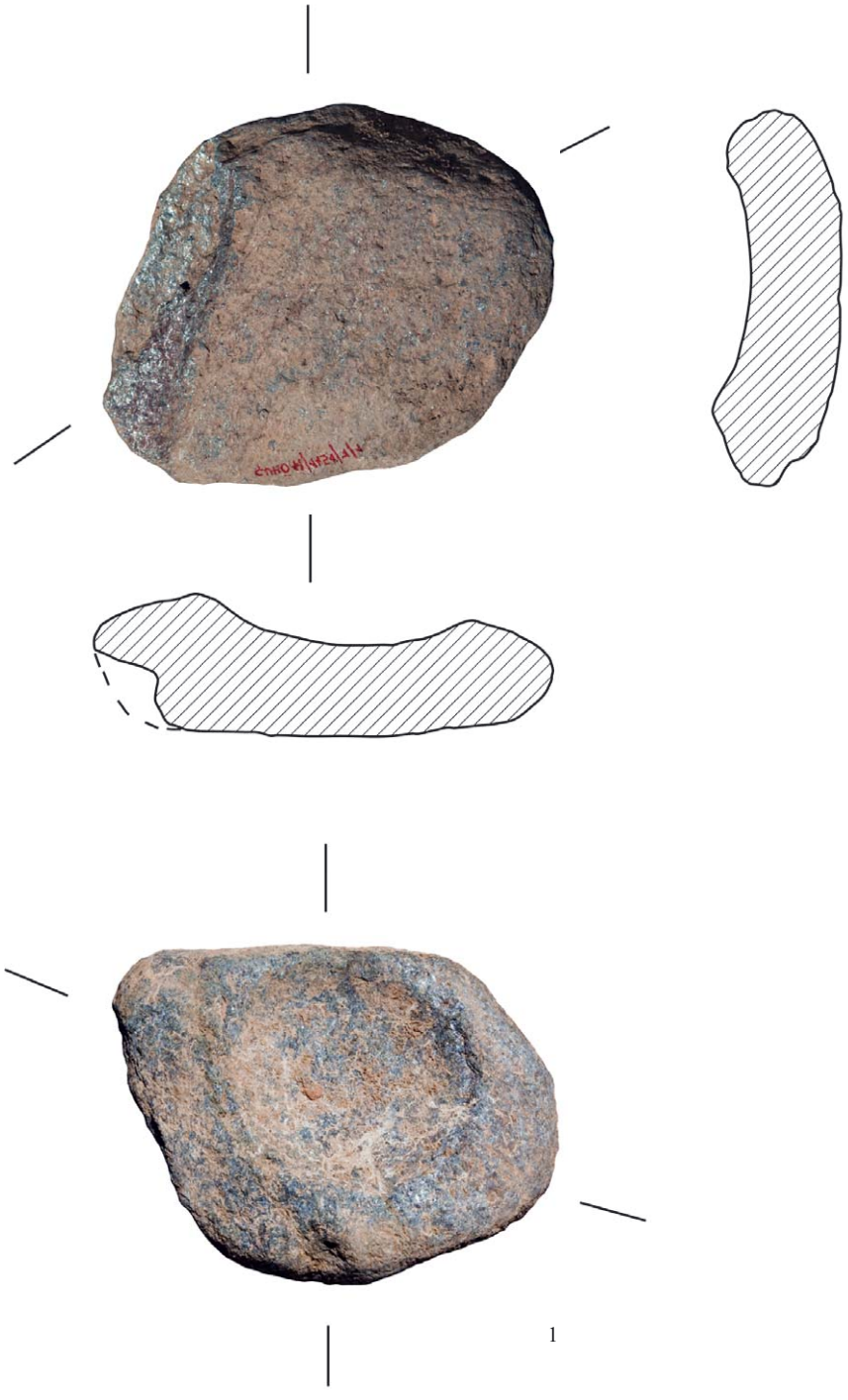


10



Planierung ÇuHö Va/Vb SE 5533 (10)
Auswahl Metallfunde **ÇuHö VI–V**

Tafel 94



1

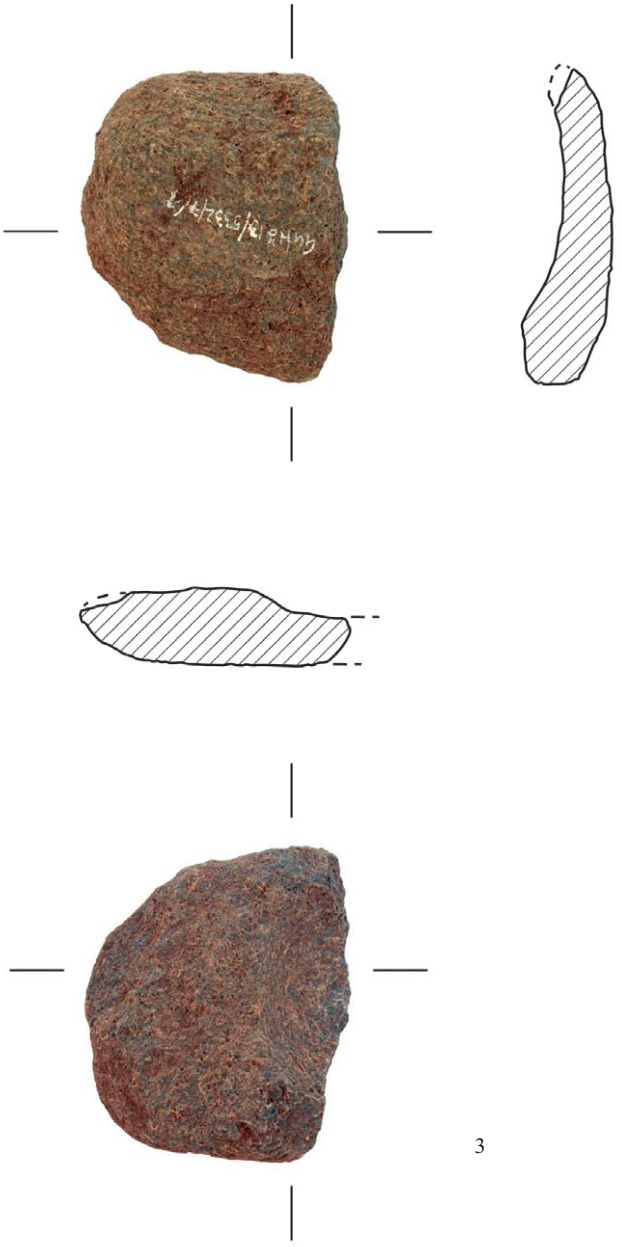
ÇuHö VIb SE 1451 (1)
M 1:4



2

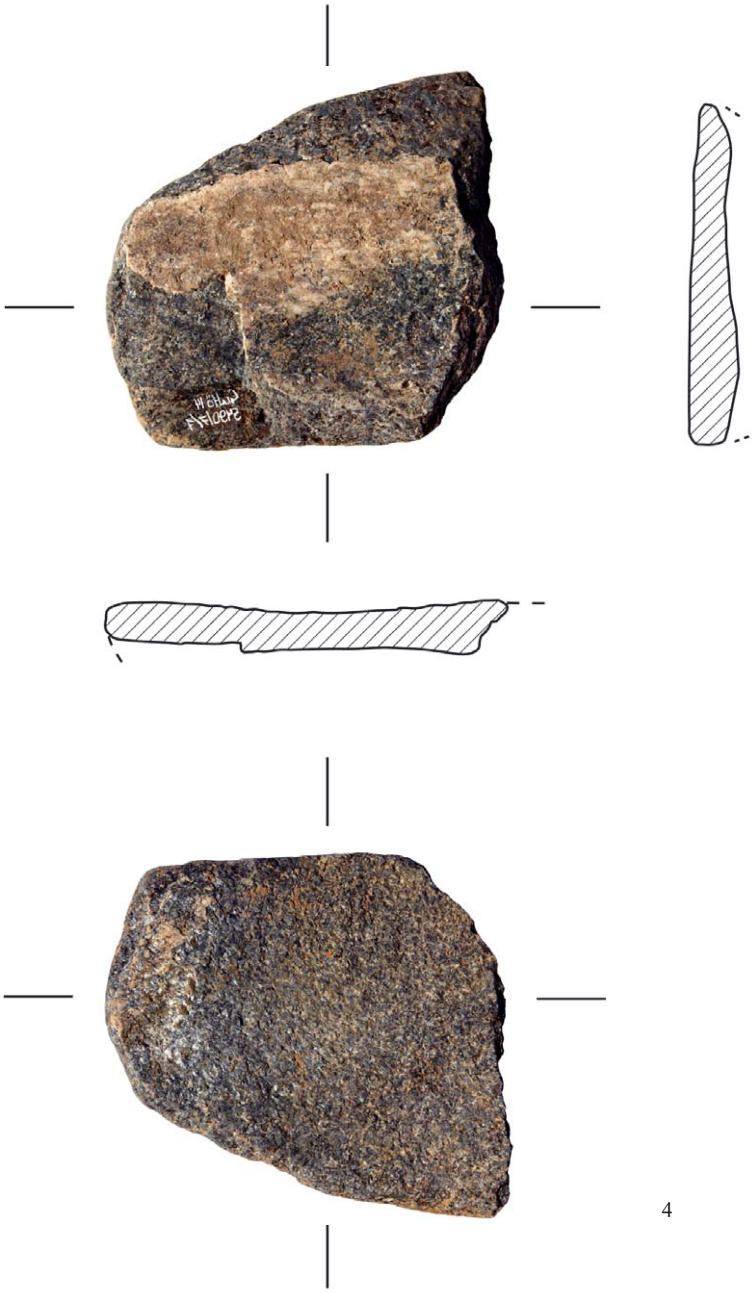
ÇuHö Vb SE 5330 (2)
M 1:6

Tafel 96



3

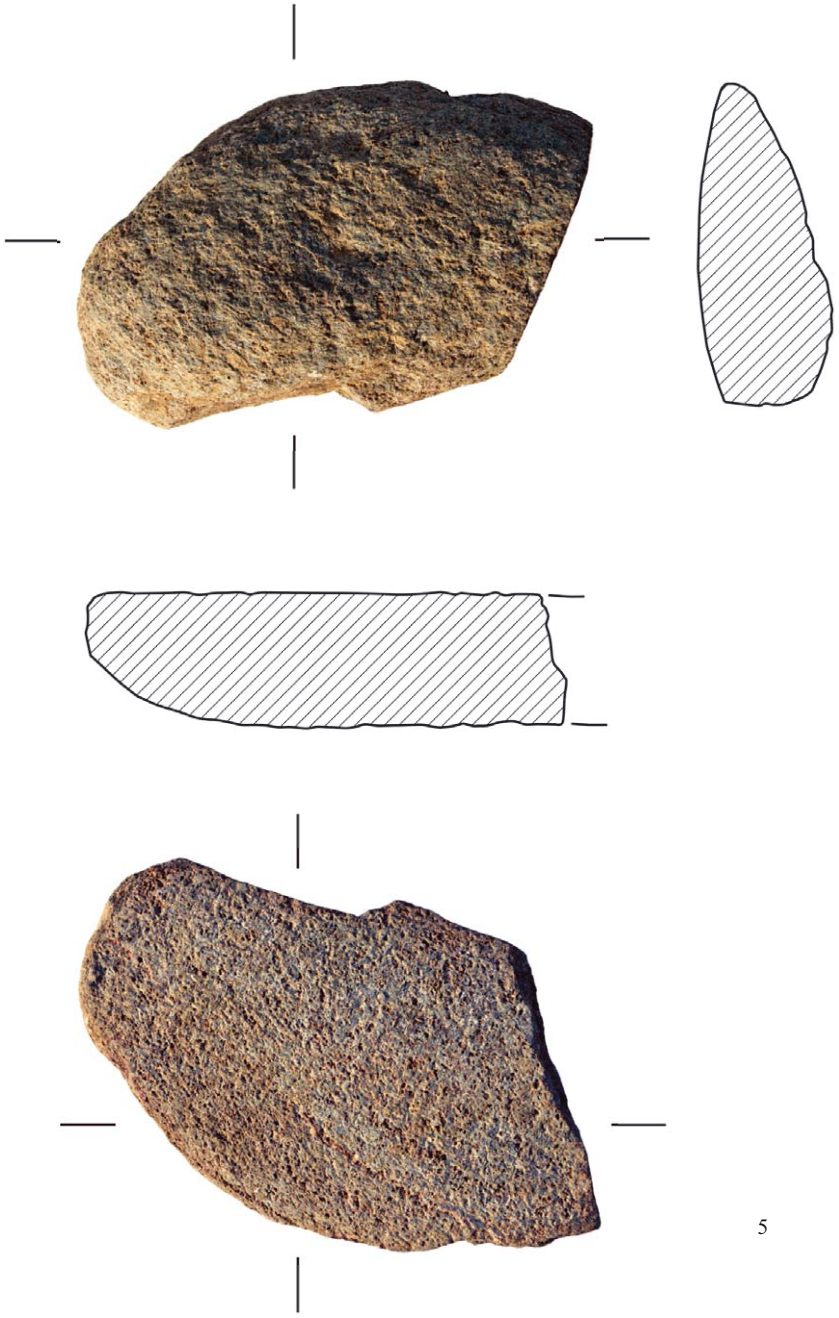
ÇuHö Vb SE 5332 (3)
M 1:4



4

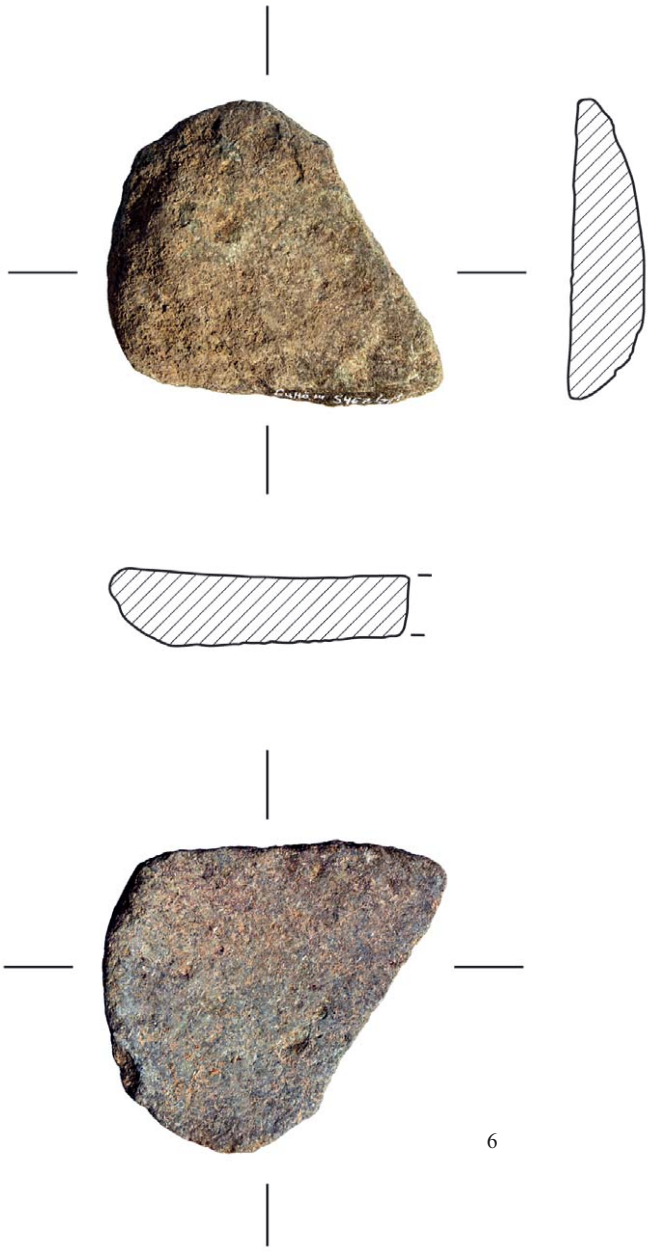
ÇuHö Vb SE 5490 (4)
M 1:4

Tafel 98



5

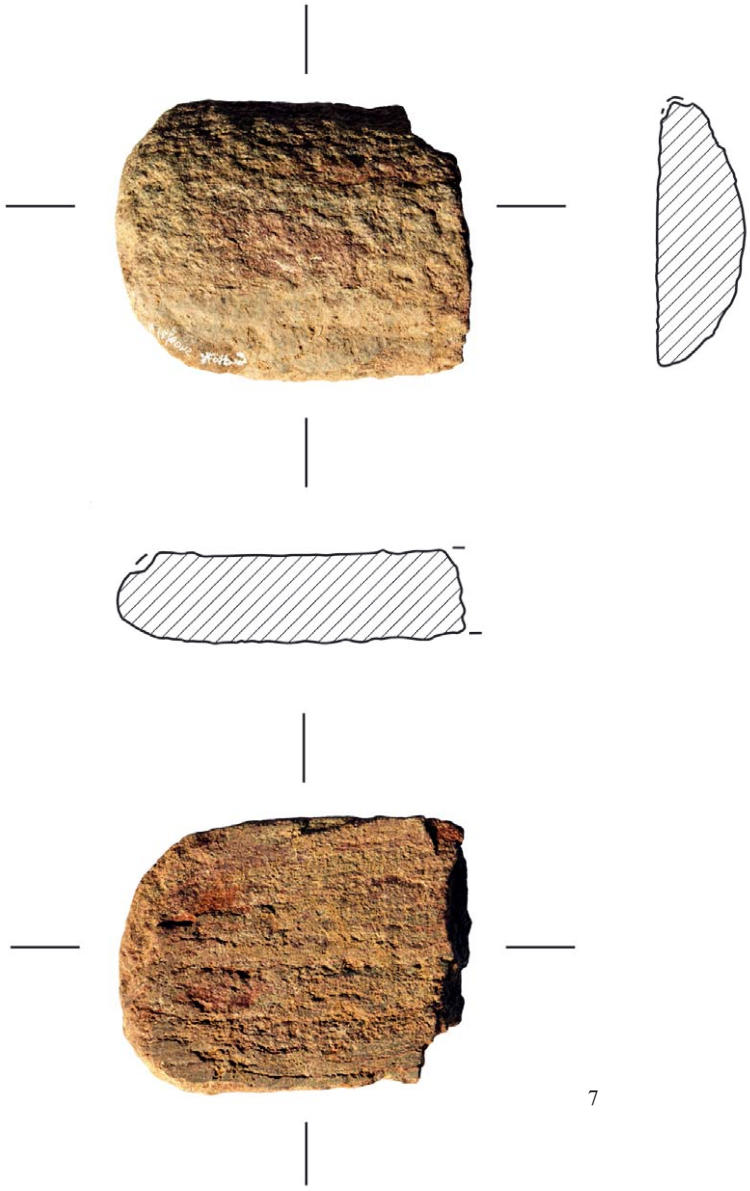
Planierung ÇuHö Va/Vb SE 5478 (5)
M 1:6



6

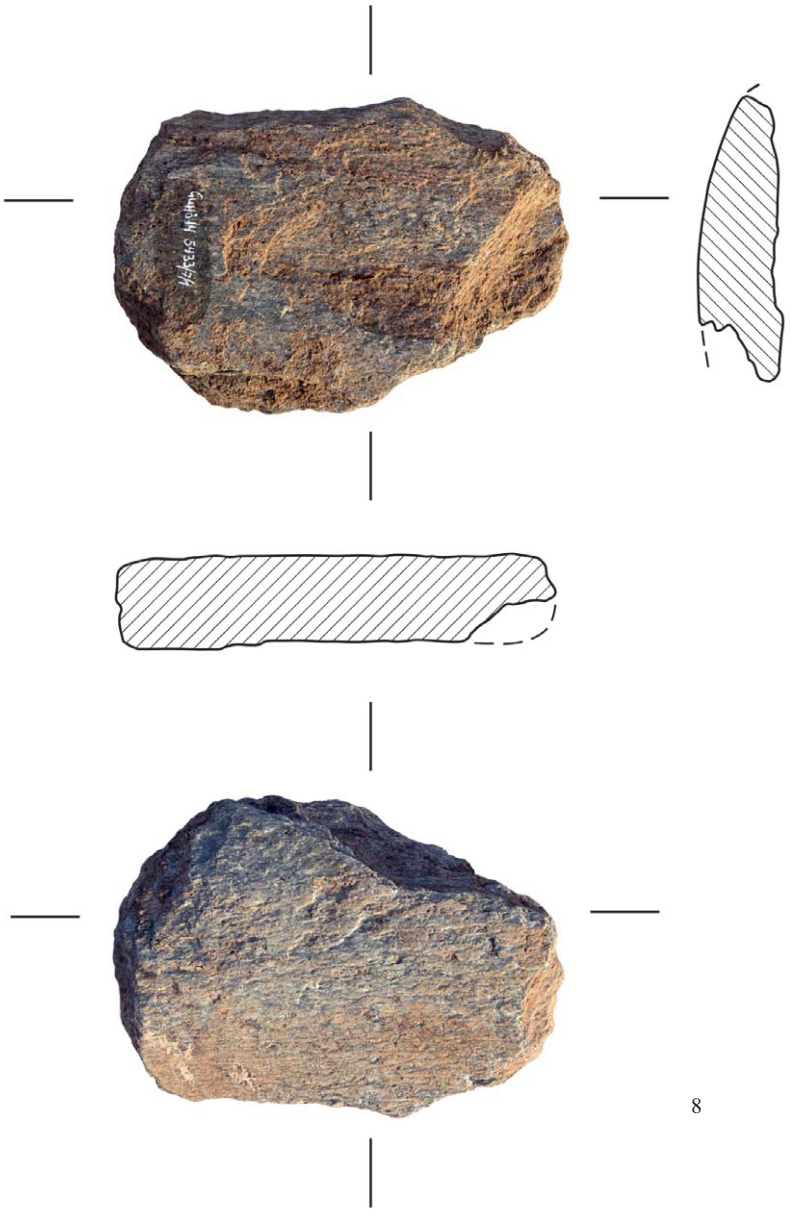
Planierung ÇuHö IV/Vb SE 5467 (6)
M 1:4

Tafel 100



7

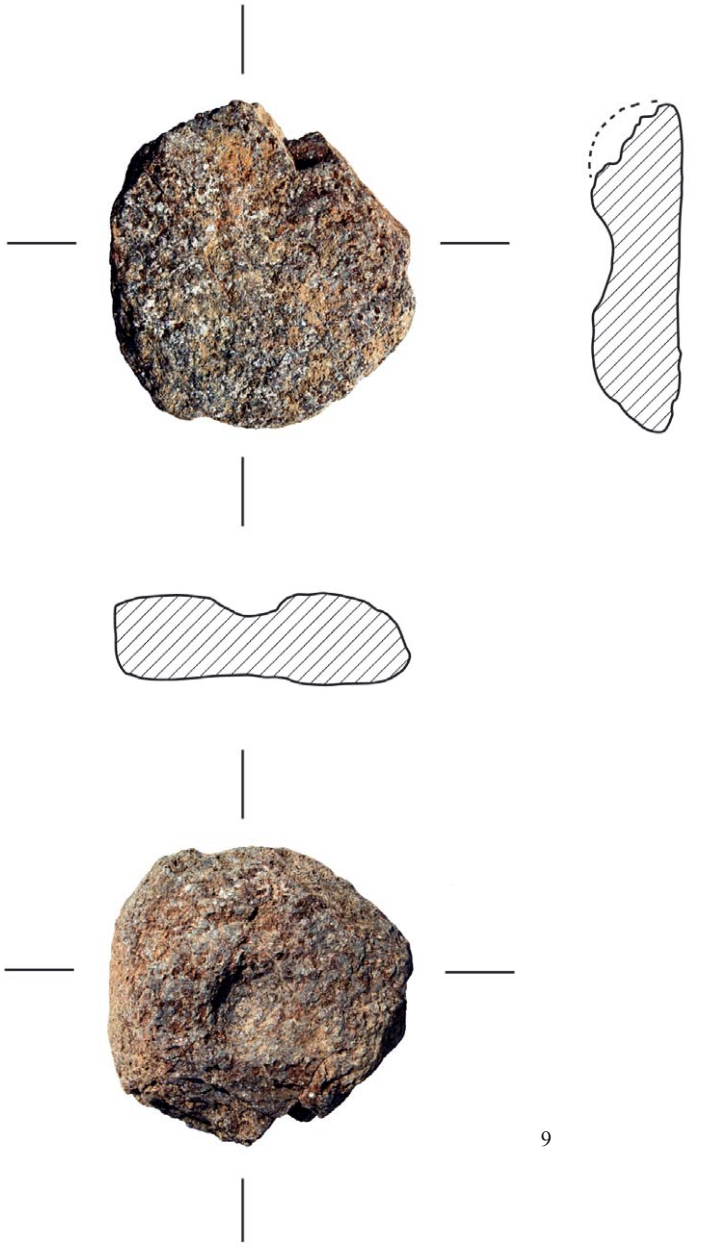
Planierung ÇuHö IV/Va SE 5409 (7)
M 1:4



8

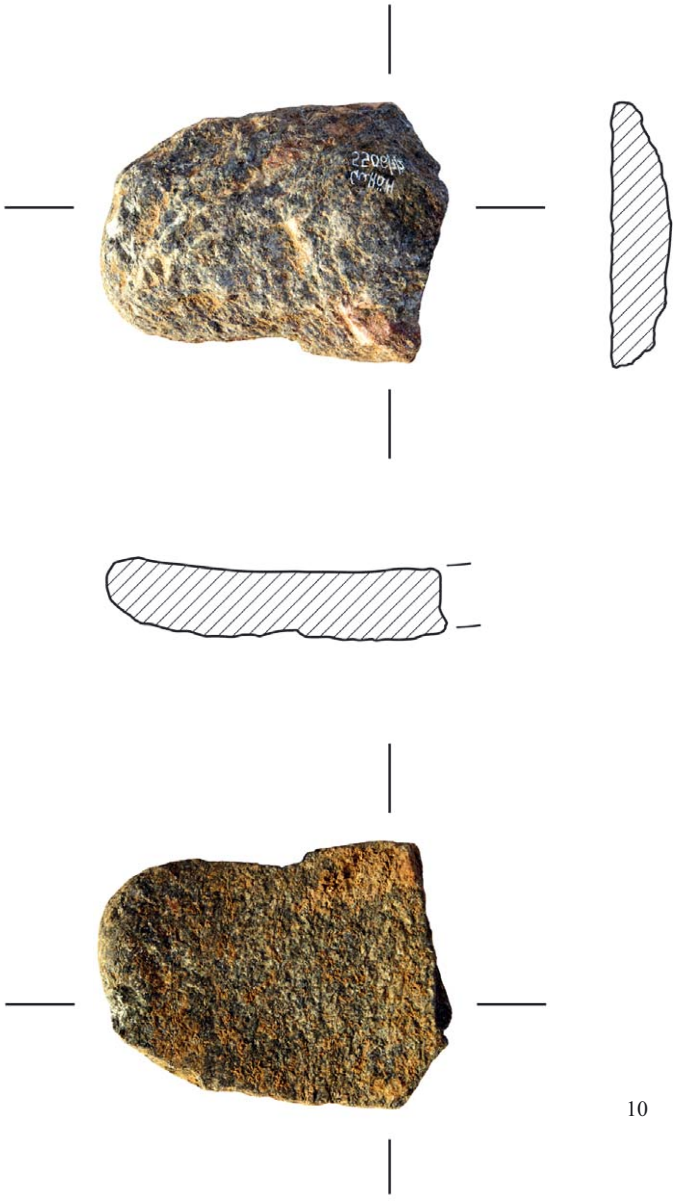
Planierung ÇuHö IV/Va SE 5433 (8)
M 1:4

Tafel 102



9

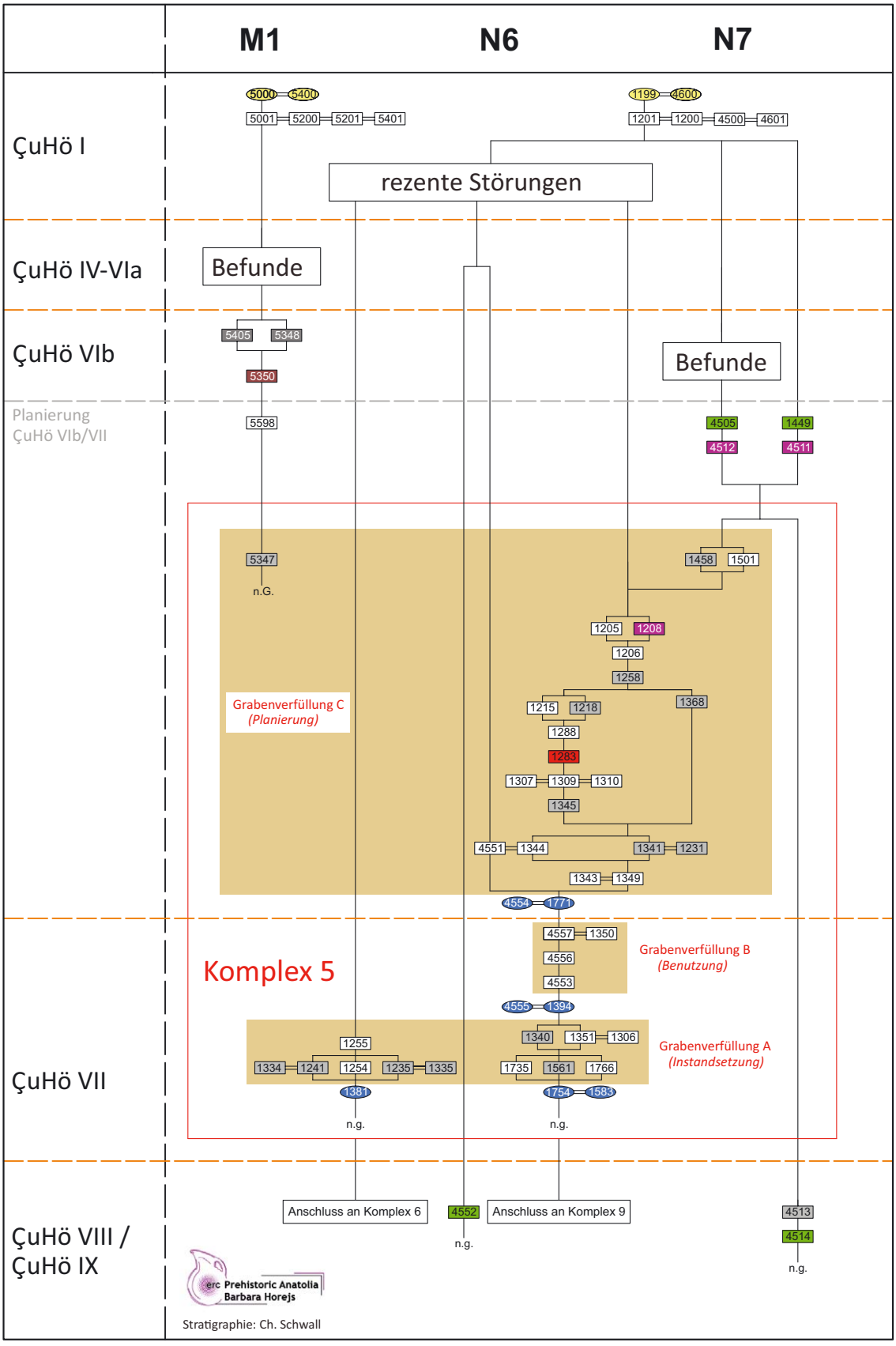
Planierung ÇuHö IV/Va SE 5506 (9)
M 1:4



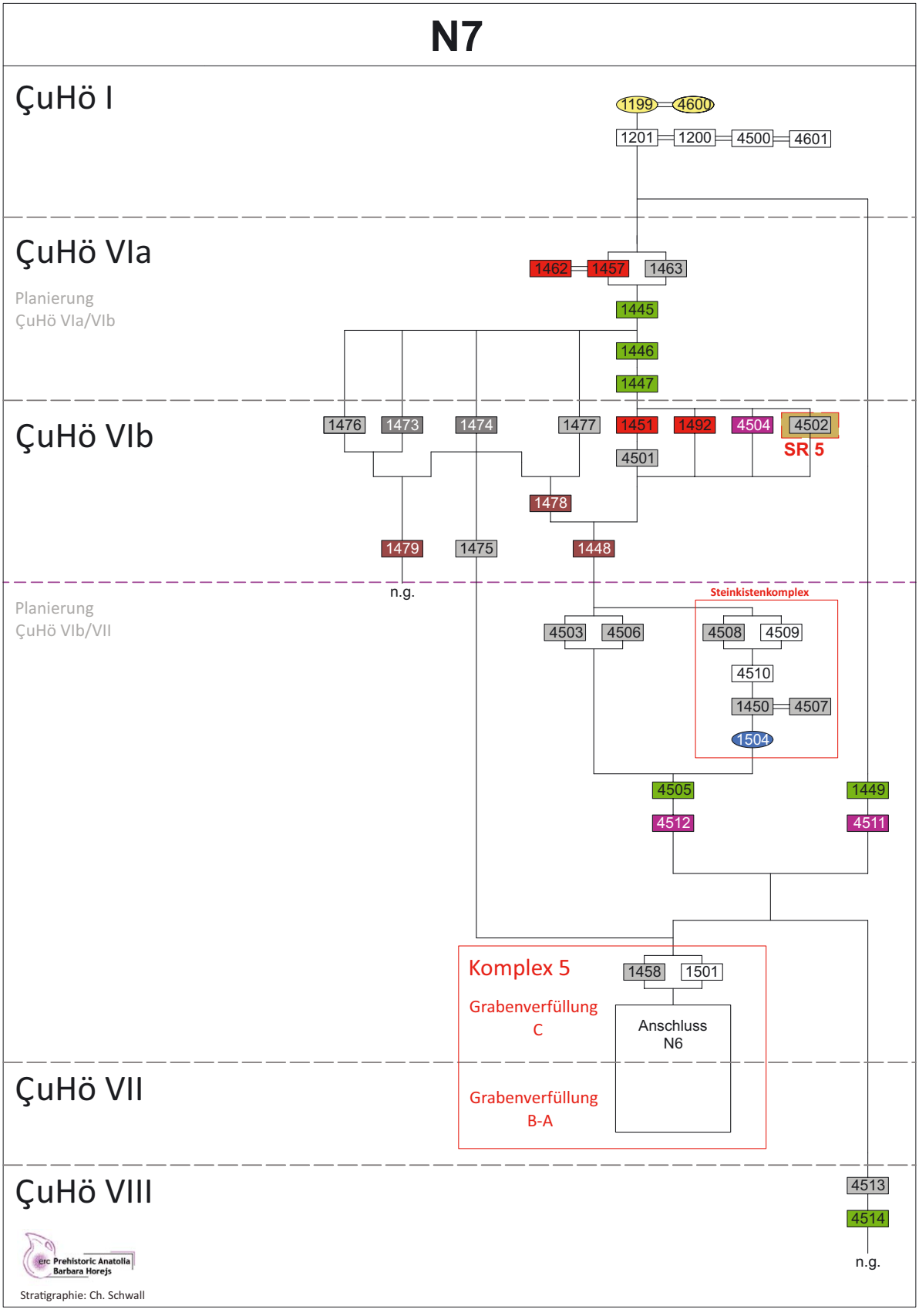
10

Planierung ÇuHö IV/Va SE 5506 (10)
M 1:4

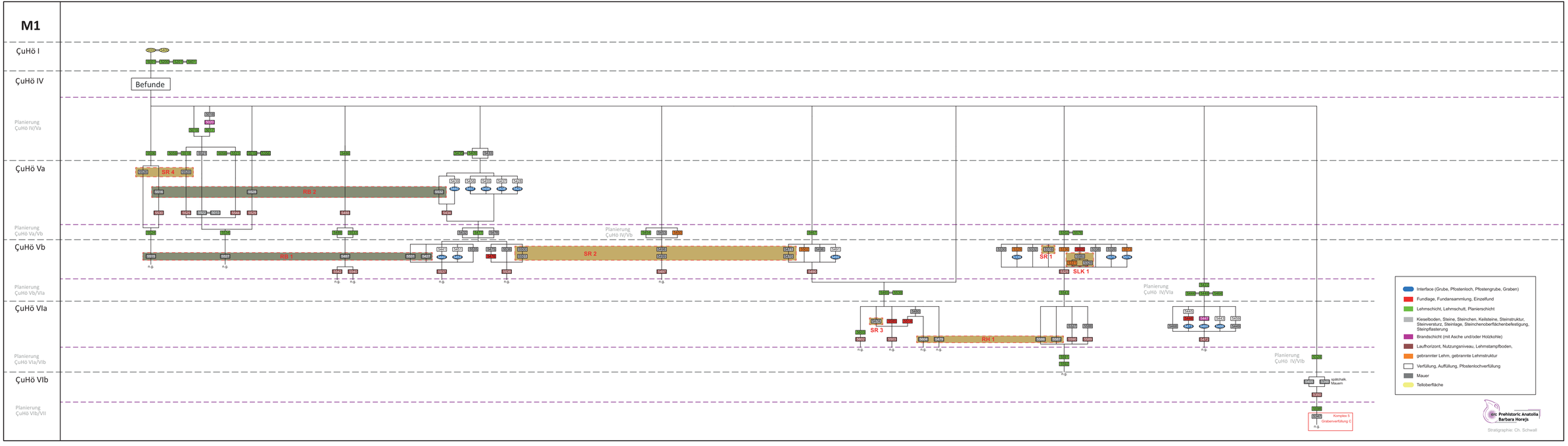
XI. Beilagen



Stratigraphische Sequenz der zugehörigen Befunde des Grabens (Komplex 5) in den Arealen N6–7 und M1.
(Stratigraphie: Ch. Schwall/ERC Prehistoric Anatolia)



Stratigraphische Sequenz der Befunde im Areal N7. (Stratigraphie: Ch. Schwall/ERC Prehistoric Anatolia)



Stratigraphische Sequenz der Befunde im Areal M1. (Stratigraphie: Ch. Schwall/ERC Prehistoric Anatolia)

Die Sondierungsgrabungen in den Nordschnitten N1–3

Barbara Horejs

I. Einleitung

Die Ausgrabungen in den Nordschnitten bildeten den Anfang der Çukuriçi Ausgrabungen im Jahr 2006, die aufgrund dieser ersten Ergebnisse schließlich in ein langjähriges Schwerpunktprogramm mündeten.[2040] Zum damaligen Zeitpunkt waren weder die Bedeutung des Siedlungshügels noch seine chronologische Tiefe oder erstaunlichen Erhaltungsbedingungen bekannt. Da auch oberflächlich keine archäologischen Strukturen sichtbar waren, wurden diese ersten Untersuchungen im Sinne einer Sondierungsgrabung von der Autorin durchgeführt. Wichtigste Ziele waren die chronologische Einordnung sowie die archäologische Definition des Platzes, dessen Ansprache als möglicher „Tell" generell zu klären war. Mit Unterstützung durch drei lokale Grabungsarbeiter seitens der Grabungen Ephesos (Leitung F. Krinzinger, ÖAI) wurden fünfwöchige Sondierungsgrabungen von 17.07. bis 18.08.2006 durchgeführt. Die parallel vor Ort begonnene erste Aufnahme und vorläufige Auswertung des Fundmaterials durch die Autorin ermöglichte schließlich die archäologische Definition des Hügels als echten Tell mit mehreren Siedlungsphasen sowie eine vorläufige chronologische Charakterisierung der Nordschnitte,[2041] die erfreulicherweise auch mehr als zehn Jahre später noch gültig ist, sich nun aber auf Vertikalstratigraphien, kontextuelle Auswertungen und Radiokarbondaten stützen kann.[2042] Die Grabungen 2006 wurden an der offensichtlich künstlichen Nordkante des Hügels begonnen, der zu diesem Zeitpunkt keinerlei oberflächliche Strukturen erkennen ließ (Abb. 1).

Die im Folgenden vorgestellten Ergebnisse zu den Befunden und Funden werden der Vollständigkeit halber am Ende dieser ausführlichen Studie von Ch. Schwall präsentiert, die damit nun alle spätchalkolithischen archäologischen Materialien des Çukuriçi Höyük beinhaltet. Diese Ergebnisse zu den ersten Sondierungsgrabungen sind insofern relevant, da darauf sowohl die grundlegende Einteilung der Schichten in Siedlungsphasen aufgebaut als auch das System der keramischen Typen und Waren entwickelt wurde.[2043] Die in den Folgejahren vor allem ab 2011 großflächig ausgegrabenen Areale in den Schnitten N6–7 und M1 ermöglichten die von Schwall in diesem Band präsentierte Konkretisierung, Verfeinerung und detaillierte Auswertung der zuvor entwickelten Gliederungen. Die folgende Vorlage gliedert sich in die Beschreibung der stratigraphischen Abfolge in den Schnitten N1–3 mit entsprechenden Plänen und Profilen zu den Befunden, einem ausführlichen Katalog der stratigraphischen Einheiten (SE) sowie einer Gesamtmatrix mit Position aller definierten SE. Darauf schließen Beschreibung und Auswertung der Keramik aus diesen Schichten an, gefolgt von einem detaillierten Katalog nach chronologischer und typologischer Gliederung und einer abschließenden Präsentation der wenigen Kleinfunde und ihrer Auswertung mit entsprechendem Katalog. Eine Zusammenfassung am Ende dieses Buchbeitrags

[2040] Zur Forschungsgeschichte und zu den wissenschaftlichen Fragestellungen s. ausführlich Horejs 2017b, 11–16; eine Übersicht zu allen bisher erschienenen Publikationen findet sich bei Horejs 2017b, 21–26.

[2041] Horejs 2008a; Horejs 2008b.

[2042] S. Schwall in diesem Band (Kap. IV.); Horejs 2017b, 16–18.

[2043] Horejs 2008b.



Abb. 1 Die Nordschnitte N1–3 des Çukuriçi Höyük vor dem Grabungsbeginn.
(Foto: B. Horejs/ERC Prehistoric Anatolia)

versucht die wichtigsten Ergebnisse aus dieser ersten Sondierungsgrabung im Kontext der später anschließenden Erkenntnisse wissenschaftlich einzuordnen.

II. Die Grabungsschnitte N1–4

Im folgenden Abschnitt werden die wichtigsten Befunde aus zwei verschiedenen Grabungsschnitten (N1−3 und N4) präsentiert. Während es sich bei N1−3 um eine Gesamtfläche handelt, ist N4 ein separater, 3,30 m entfernt liegender Schnitt, der ursprünglich zur Klärung geophysikalischer Anomalien angelegt wurde. Die beiden Schnitte sind stratigraphisch nicht verbunden, der Zusammenhang der Siedlungsreste zueinander kann demnach rein stratigraphisch nicht gelöst werden (Abb. 2). Die Ergebnisse in den Nordschnitten N1−3 zeigen eine Abfolge von zumindest zwei übereinander liegenden Siedlungsphasen (ÇuHö VII−VI), die direkt auf die Schichten der Phase ÇuHö VIII folgen, welche bereits in das späte Neolithikum datiert.[2044] Obwohl die Befunde aus Schnitt N4 nicht direkt damit zu verbinden sind, lassen die Gemeinsamkeiten der Fundensembles, die Radiokarbondaten sowie die absoluten Höhen der Schichtablagerungen eine Zuweisung zu konkreten Siedlungsphasen sehr wahrscheinlich rekonstruieren. Die Verankerung der Ablagerungen in den Sondierungsschnitten N1–4 in einer der stratigraphisch definierten Siedlungsphasen des Tells kann also mit hoher Wahrscheinlichkeit festgestellt werden. Demnach lassen sich die Schnitte N1–3 mit den Phasen ÇuHö VII bis VI (partiell auch ÇuHö Vb mit massiven rezenten Störungen) synchronisieren und der Schnitt N4 mit der Phase ÇuHö VI bis Subphase ÇuHö Vb.[2045] Wie die ausführlichen Studien Schwalls in diesem Band belegen, datieren die Siedlungsphasen ÇuHö VII und VI sowie Subphase ÇuHö Vb in das späte Chalkolithikum (ca. 3300–3000

[2044] Vgl. hierzu Horejs in Vorbereitung.
[2045] S. Schwall in diesem Band (Kap. IV.3.).

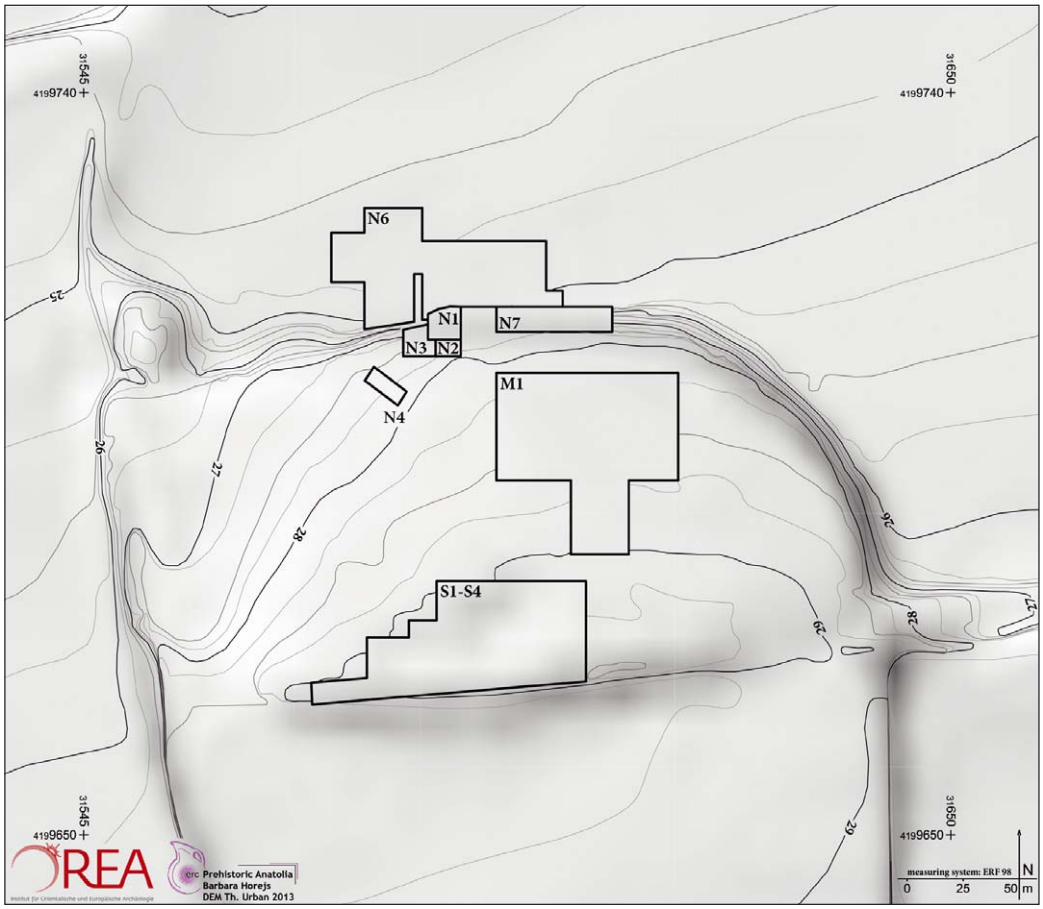


Abb. 2 Topographischer Plan mit den eingezeichneten Schnitten N1–4. (Plan: M. Börner/ERC Prehistoric Anatolia)

v. Chr.), die Subphase ÇuHö Va gehört nach unserem archäologischen Verständnis bereits an den Beginn der frühen Bronzezeit (ab ca. 3000 v. Chr.).[2046]

II.1. Die Stratigraphie der Schnitte N1–3

Die Bezeichnungsabfolge der drei Nordschnitte resultiert aus ihrer zeitlich aufeinander folgenden Ausgrabung, die als erste Sondierung des Tells begonnen hatte. Beginnend bei Schnitt N1 im Südosten der Sondage wurde eine befundbezogene Erweiterung als N2 Richtung Norden und schließlich eine Vergrößerung Richtung Westen in Form von Schnitt N3 definiert (vgl. Abb. 2), wodurch eine größere zusammenhängende Fläche sowie durchgehende Profile ermöglicht wurden (Abb. 3). Vor allem die Nord-Süd-Profile im Bereich der getreppten Nordschnitte N1–2 wurden für die Rekonstruktion der Schichtakkumulation des gesamten Hügels wichtig, die später durch die Grabungen direkt nördlich davon (Schnitt N6) um weitere fünf Siedlungsphasen des Neolithikums ergänzt werden konnten (Phasen ÇuHö XIII–IX).[2047]

Die Ablagerungen in den Schnitten N1–3 waren in den oberen Bereichen der Telloberfläche massiv durch rezente Vorgänge gestört (s. u. II.2.). Die Rekonstruktion der Deponierungsprozesse

[2046] S. Schwall in diesem Band (Kap. IV.1.4.).
[2047] Horejs et al. 2015; Horejs 2017b, 16–18, Abb. 1.5.



Abb. 3 Blick über die Schnitte N1–N3 in Richtung Westen nach dem Grabungsende 2007. (Foto: B. Horejs/ERC Prehistoric Anatolia)

lässt uns annehmen, dass diese Zerstörungen erst in jüngster Zeit durch Baggerarbeiten und den Versuchen einer landwirtschaftlichen Nutzbarmachung verursacht wurden. Die dabei aus dem Süden der Tellspitze abgetragenen Schichten dürften nach Norden planiert und verschoben worden sein, was die Vermischung von Kontexten in den höchsten Bereichen der Tellkante erklären würde. Unmittelbar unterhalb der rezenten Schichten der Oberfläche mit Resten von Pflanzungen (SE 2, 25, 27, 29, 104, 188, 308) liegen prähistorische Schichten mit eindeutig vermischten Befunden, die hier nur ausgewählt behandelt werden sollen (Abb. 7A–B). Diese Zerstörungen der Siedlungsphasen ÇuHö VIa und Vb werden in der Gesamtmatrix der Phase ÇuHö II (prähistorisch mit rezenten Störungen) zugeordnet und reichen bis zu einer Tiefe von 1 m (Abb. 6, 13). Dazu gehören auch die verschobenen Reste einer Steinreihenstruktur (SE 152, 153), deren Interpretation als Unterbau einer Plattform zum Trocknen oder Dörren von Feldfrüchten erst durch die späteren Ausgrabungen in Schnitt M1 möglich wurde (Abb. 4, 7).[2048] Dort wurden komplett erhaltene Steinreihenstrukturen gleicher Machart freigelegt, die zudem mit Resten von Holzkohlen (des hölzernen Aufbaus), verkohlten Feigen, Weintraubenkernen und anderen Feldfrüchten ihre ursprüngliche Nutzung intendieren.[2049] Auch wenn dieser Horizont in Schnitt N2 mit dazugehörigen Fußböden aus Lehm (SE 16=43) aufgrund zahlreicher Tiergänge, Baumgruben u. ä. massiv zerstört war, belegt er die Ausdehnung der Bebauung in Phase ÇuHö Vb aus Schnitt M1 bis mindestens in diesen Bereich des Tells. Die in M1 festgestellten Plattformen sind zwischen verschiedenen Bauten auf Freiflächen angeordnet,[2050] die auf eine gemeinschaftliche Nutzung durch die Bewohner hinweisen.

Phase ÇuHö VI (VIb)

Eine Aufeinanderfolge von nicht näher definierbaren Lehm- und Planierschichten (SE 3, 10–11, 77, 88) versiegelte die darunter liegenden jüngsten ungestörten Kontexte der Schnitte N1–3. Auch

[2048] S. Schwall in diesem Band (Kap. IV.).
[2049] S. Schwall in diesem Band (Kap. IV.; vgl. Abb. 34).
[2050] S. Diskussion von Schwall in diesem Band (Kap. IV.1.3.1.).



Abb. 4 Partiell erfasste Steinreihenstruktur SE 152, 153 in Schnitt N2 (Blickrichtung Westen), die als Unterbau einer Plattform zum Trocknen gedient haben dürfte. (Foto: B. Horejs/ERC Prehistoric Anatolia)



Abb. 5 Lehmstampfboden (SE 311) im Schnitt N3 in Blickrichtung Westen. (Foto: L. Toriser/ERC Prehistoric Anatolia)

wenn diese Schichten an den Rändern Richtung nördlicher Tellkante ausfransen, so liefern die massiven Reste von dichten Lehmstampfböden (SE 5, 61, 311) einen klaren Marker eines potentiellen Horizontes (Abb. 5).

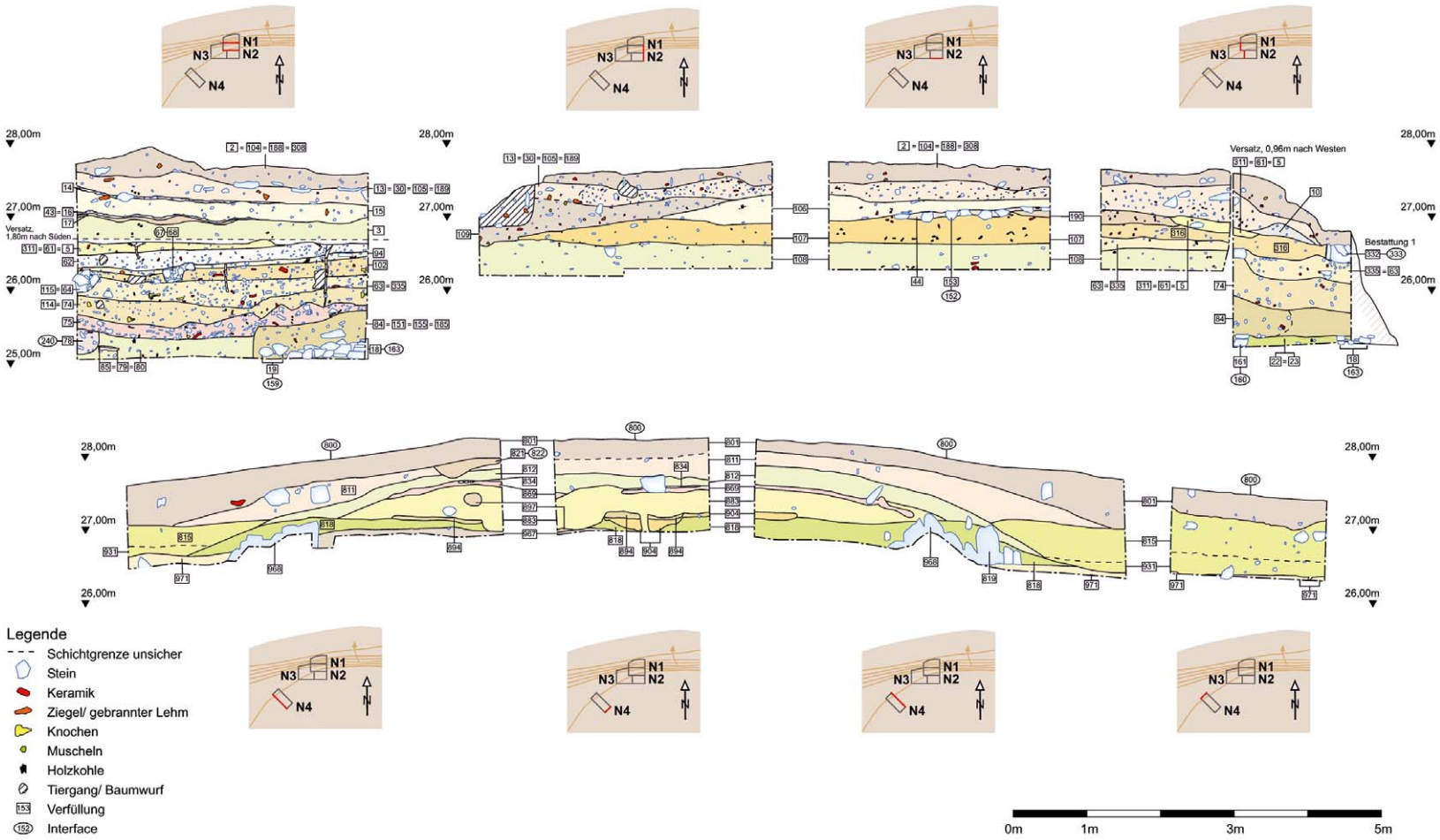


Abb. 6 Profile der Nordschnitte N1–4. (Plan: B. Horejs, A. Buhlke, M. Börner/alle ERC Prehistoric Anatolia)

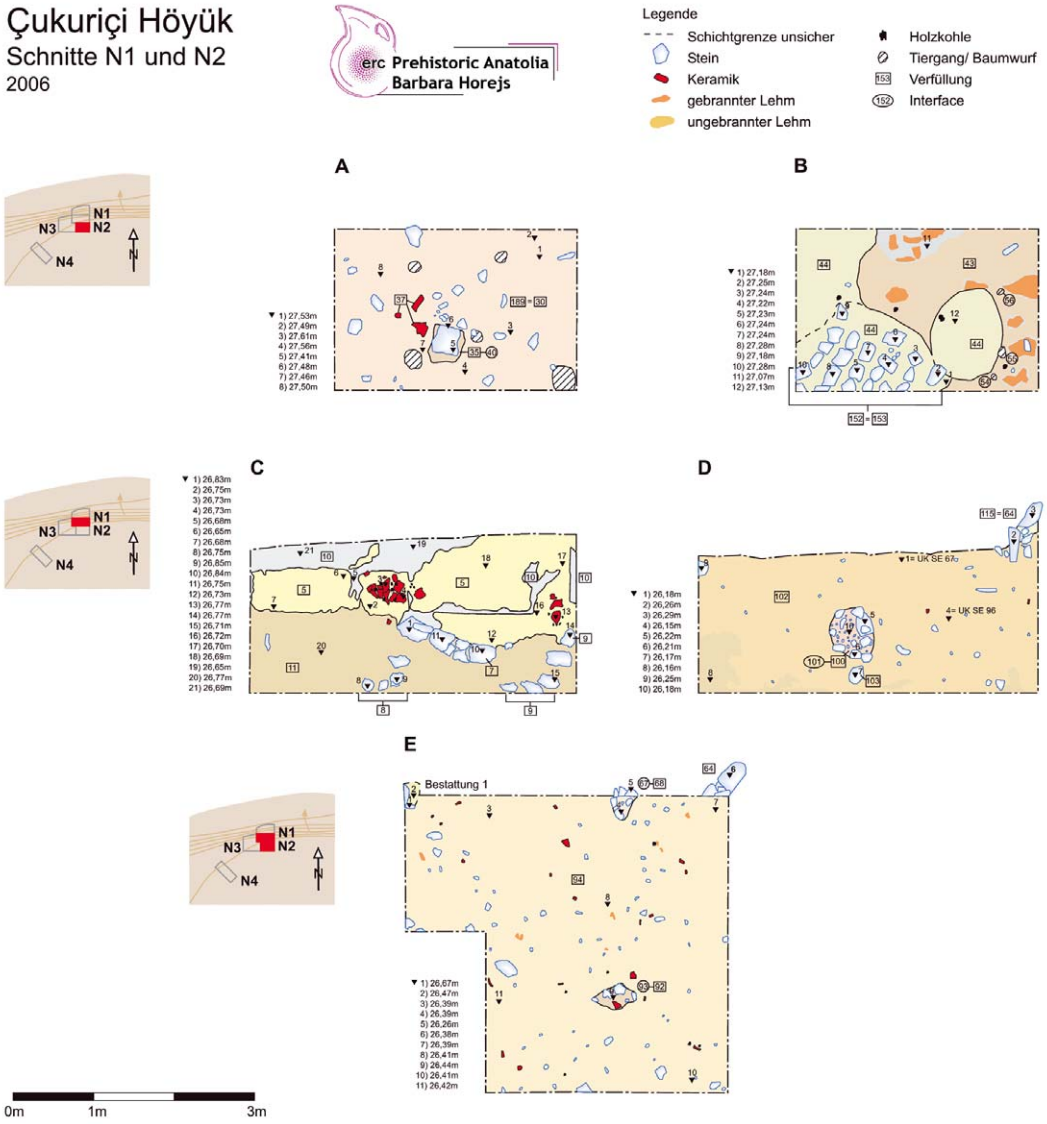


Abb. 7 Ausgewählte Befunde der Nordschnitte N1–2 im Kontext ihrer Siedlungsphase. A–B: Phase ÇuHö I–II; C: Subphase ÇuHö VIb; D–E: Phase ÇuHö VII. (Plan: B. Horejs, A. Buhlke, M. Börner/alle ERC Prehistoric Anatolia)

Diese zumindest partiell in allen drei Arealen erhaltenen Lehmstampfböden weisen auf einen durchgehenden Nutzungshorizont hin, der sich, wie in den Profilen erkennbar, unterschiedlich mächtig erhalten hat (Abb. 6).

Besonders deutlich waren die Strukturen im Bereich von N1 zu erkennen, wo horizontale Streuungen von Keramikgefäßen direkt auf einem dichten und harten Lehmboden lagen (Abb. 7C). Minimale Reste einer begleitenden Setzung von Schiefersteinen in 1,25 m Länge und leicht gekrümmter Form (SE 7) lassen auf eine gebaute Struktur schließen, zu der wohl auch die verlagerten Steine (SE 8, 9) in unmittelbarer Nähe gehören dürften (Abb. 8).

Aufgrund der Ausrichtung dieser Mauerreste sowie des direkt anschließenden nach Norden weiterführenden Lehmstampfbodens lässt sich ein kurvolinearer Bau vermuten, dessen südliche



Abb. 8 Fußböden (SE 5) mit den Resten eines kurvolinearen Mauerabschnittes (SE 7) und verlagerten Steinen (SE 8, 9) aus der Subphase ÇuHö VIb in den Schnitten N1–2. (Foto: B. Horejs/ERC Prehistoric Anatolia)

Außenwand sich hier erhalten hat. Entsprechende runde Bauten sind aus dem besser erhaltenen und großflächig geöffneten Schnitt M1 in der jüngeren Phase ÇuHö V bestens bekannt.[2051] Aus der zu dem kurvolinearen Bau gleichgesetzten Phase ÇuHö VIb kennen wir in Schnitt M1 zwar lineare Mauerabschnitte und Trockenplattformen, aber keine runde oder apsidiale Architektur.[2052] Die Synchronisierung dieser Befunde aus N1–3 mit der Siedlungsphase ÇuHö VIb ergibt sich sowohl durch die gemessenen Höhen der Ablagerungen im Kontext der Deponierungsprozesse als auch durch ihre relative Abfolge und dazugehörigen Radiokarbondaten. So liegt zwar aus den hier behandelten Schichten kein ^{14}C-Datum vor, doch sind die unmittelbar darunter liegenden Schichten absolut datiert und lassen sich entsprechend mit der nächst älteren Phase ÇuHö VII synchronisieren (s.u.). Folgt man der hier von uns vorgeschlagenen Synchronisierung zwischen den Grabungsschnitten auf Basis von Radiokarbondaten und Schichthöhen, dann ergibt sich ein multiples Bild gleichzeitig gebauter Architektur um rund 3000 v. Chr., das sowohl rechteckige als auch kurvolineare Bauten beinhaltet.

Phase ÇuHö VII

Verschiedene nicht näher definierbare Lehmschichten sowohl partieller als auch flächiger Ausdehnung (SE 62, 87, 89, 107–108, 190) trennen die Siedlungsreste der jüngeren Phase ÇuHö VI von der darunter folgenden nächsten Besiedlung (Abb. 6, 13). Flächige Lehmstampfböden (SE 94, 316) aus hartem, kompaktem Lehm mit zahlreichen Einschlüssen wie Kiesel, Keramikscherben, Holzkohle, Muscheln, Knochenbruchstücke und verbrannte Lehmstücke weisen auf eine intensive Nutzung als Laufhorizont, möglicherweise in einem Außenbereich (Abb. 7E), hin.

[2051] S. Schwall in diesem Band (Kap. IV.1.2.3–4.).
[2052] S. Schwall in diesem Band (Kap. IV.1.1.1., IV.1.2.1.).

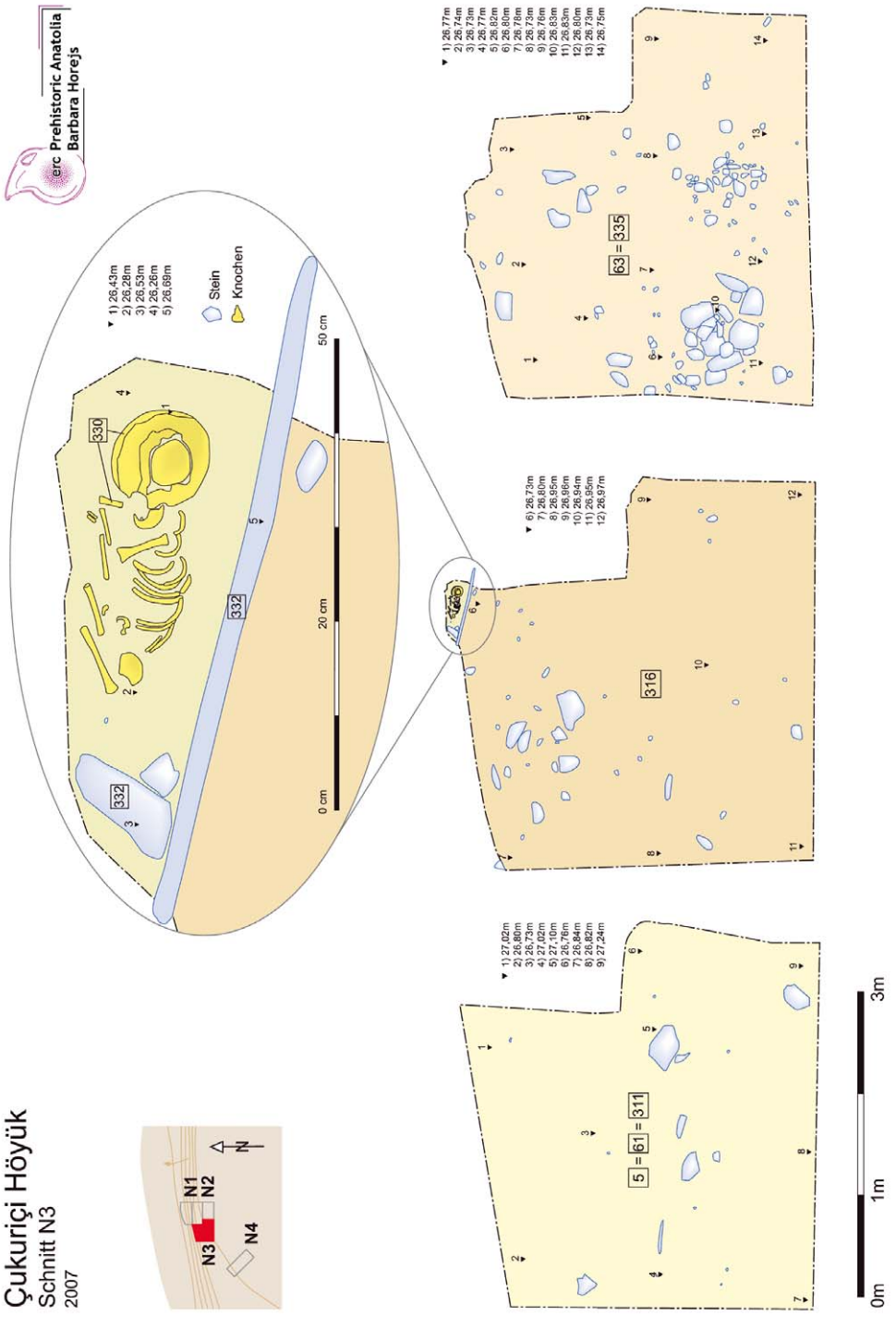


Abb. 9 Abfolge der Schichten über (SE 5, 61, 311), gleichzeitig zu (SE 316) und unter (SE 63, 335) der Bestattung 1 aus dem Nordschnitt N3. (Plan: B. Horejs, A. Buhlke, M. Börner/alle ERC Prehistoric Anatolia)



Abb. 10 Steinkistengrab an der künstlichen Nordkante des Tells in Schnitt N3. (Foto: L. Toriser/ERC Prehistoric Anatolia)



Abb. 11 Detailfoto der Kinderbestattung aus Blickrichtung Norden. (Foto: L. Toriser/ERC Prehistoric Anatolia)



Abb. 12 Blick in die Schnitte N1–2 nach Abschluss der Grabungen 2006 in Richtung Süden. (Foto: N. Gail/ÖAI, ERC Prehistoric Anatolia)

Dazu kommen in den Lehmstampfboden eingetiefte Gruben die vermutlich von Pfosten stammen o. ä. (SE 67, 93) mit darin enthaltenen Keilsteinen sowie sekundärer späterer Verfüllung (SE 68, 92). Dieser Bereich enthielt abgesehen von den beiden Pfostengruben keine Hinweise auf die ursprüngliche Architektur, die zumindest an dieser Stelle keine Steinmauern hinterließ. Unmittelbar an der nördlichen Abbruchkante des Tells lag in diesen Fußboden SE 316 eingegraben eine Bestattung (Bestattung 1).

Steinkistengrab (Bestattung 1)

Die unmittelbar an der artifiziellen Tellgrenze im Norden gelegene Bestattung 1 wurde durch ein Steinplattenkistengrab geschützt (Abb. 6, 7E, 9).[2053] Die stratigraphische Abfolge zeigt auch im Profil deutlich, dass die Grabgrube in den Lehmstampfboden SE 316 eingelassen wurde (Abb. 6). Die Grabgrube (SE 333) wurde mit senkrechten Schieferplatten wohl ursprünglich an allen vier Seiten ausgekleidet, wovon die nördliche Platte bereits vor Beginn unserer Ausgrabungen vermutlich dem Bagger zum Opfer gefallen ist (Abb. 9). Eine Abdeckung aus Stein war nicht erhalten, ebenso wenig lässt sich die Fortsetzung eines Lehmbodens darüber mit Sicherheit rekonstruieren. Aufgrund der rezenten Zerstörungssituation an der Tellkante müssen beide Möglichkeiten offen bleiben. Die Grabgrube (SE 333) war mit einer Lage aus sandigem, graubraunem Lehm (SE 331) im unteren Grubenbereich verfüllt, auf die das Skelett (SE 330) gebettet lag (Abb. 10). Darüber befand sich eine weitere Auffüllung aus sandigem, hartem Lehm, der teilweise mit Holzkohle und gebranntem Lehm versetzt war (SE 317). Sowohl diese versiegelnde Grabverfüllung als auch der dazugehörige Lehmstampfboden (SE 316) sind je durch ein ^{14}C-Datum absolut datiert, die

[2053] Für Vergleiche dieser Bestattungspraxis in Westanatolien im Chalkolithikum und der Frühbronzezeit s. Schwall in diesem Band (Kap. IV.1.1.2.).

beide zwischen 3400 und 3300 v. Chr. liegen.[2054] Die Bestattung eines ca. einjährigen Kindes ist Ost-West-orientiert als rechter Hocker mit Blick Richtung Norden und angezogenen Armen niedergelegt.[2055] Beigaben wurden nicht festgestellt (Abb. 11).

Unter diesem Horizont der Bestattung und des Laufhorizonts mit zwei Pfostengruben der Phase ÇuHö VII liegen die ältesten Siedlungsreste aus ÇuHö VII, die wohl beide relativ zeitgleich mit der Anlage des Grabens (Komplex 5) anzusetzen sind.[2056] Zu diesen ältesten Befunden des späten Chalkolithikums in den Schnitten N1–3 gehören ein Lehmstampfboden (SE 102) mit einer Kumulation aus unbearbeiteten Steinen (SE 100–101, 103), die möglicherweise als Podest oder Arbeitsplattform interpretiert werden können (Abb. 7D). Eine stratigraphisch dazugehörige Pfostengrube (SE 461) mit sekundärer Verfüllung aus sandigem Lehm, Steinen und Hüttenlehmfragmenten (SE 356) lässt eine zumindest leichte Bauweise aus Holzpfosten und Lehmverputz in diesem Areal vermuten. Die darunter liegenden mächtigen Lehmschichten mit zahlreichen Einschlüssen (SE 63, 112, 335) stellen den Beginn der Besiedlung in Phase ÇuHö VII in diesem Areal dar (Abb. 6). Es dürfte sich dabei um eine bewusste Planierung des Geländes handeln, die direkt auf der bereits zusammengefallenen Architektur der älteren Phase VIII liegt, wie die Profile deutlich veranschaulichen (Abb. 6, 12). Schließlich wurde zumindest dieser Bereich des Tells erst etwa 2500 Jahre nach Aufgabe der spätneolithischen Siedlung ÇuHö VIII wieder genutzt,[2057] wofür die zu diesem Zeitpunkt bereits erodierte und zerstörte ältere Bebauung mit den vorhandenen Sedimenten überdeckt und nivelliert wurde.

[2054] Zur detaillierten Auswertung beider Daten mit der Lab.-Nr. VERA-4652 und VERA-4653 s. Schwall in diesem Band (Kap. IV.1.4.).

[2055] Horejs 2008a, Abb. 8; Horejs 2008b, 97; Horejs 2010, 168.

[2056] Zur Datierung s. Schwall in diesem Band (Kap. IV.1.4.); zum Graben s. Schwall in diesem Band (Kap. IV.1.1.3.).

[2057] Zu Phase ÇuHö VIII s. Horejs 2008a, 96–97; Horejs in Vorbereitung.

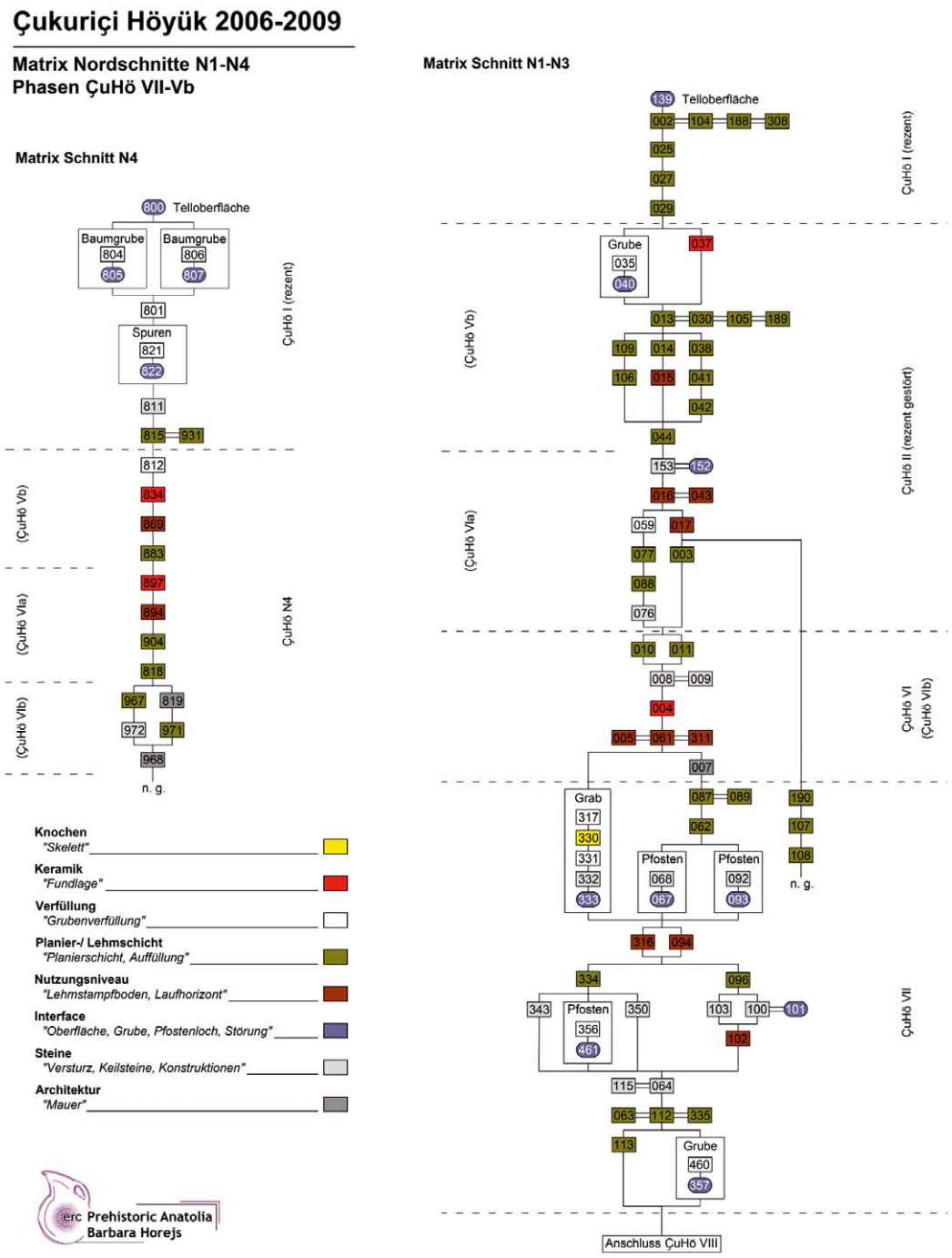


Abb. 13 Stratigraphische Abfolge in den Schnitten N1–4. In den Klammern befinden sich die Phasenzuweisungen nach der Synchronisation mit den Befunden aus den anderen Grabungsarealen. (Graphik: B. Horejs, M. Börner, Ch. Schwall/alle ERC Prehistoric Anatolia)

II.1.1. Katalog der Stratigraphischen Einheiten (SE) der Schnitte N1–3

SE 003
Phase: II
Ansprache: Lehmschicht
Beschreibung: Material: Erde und kleine Steinchen; Konsistenz: hart; Farbe: hellbraun-rot
über SE: 010, 011
unter SE: 017
Kampagne: 2006
Schnitt: N1

SE 004
Phase: VI
Ansprache: Keramik in Streulage
über SE: 005=061=311
unter SE: 008=009
Kampagne: 2006
Schnitt: N1

SE 005=061=311
Phase: VI
Ansprache: Lehmstampfboden
Beschreibung: Material: Lehm, stellenweise rot gebrannt, Holzkohle; Konsistenz: sehr hart; Farbe: hellbraun, rotfleckig
über SE: 007, 317 (Grab)
unter SE: 004
Kampagne: 2006
Schnitt: N1

SE 007
Phase: VI
Ansprache: Mauer
Beschreibung: vier Schiefersteine in Reihe; Farbe: graubraun; Ausrichtung: Nordwest-Südost; Maße: 1,25 m × 0,25 m
über SE: 087=089
unter SE: 005=061=311
Kampagne: 2006
Schnitt: N1

SE 008=009
Phase: II
Ansprache: Steine ohne Verbund
Beschreibung: Material: Schiefer; Farbe: silbrig grau; Maße: 0,6 × 0,25 m
über SE: 004
unter SE: 010, 011
Kampagne: 2006
Schnitt: N1

SE 010
Phase: II
Ansprache: Lehmschicht
Beschreibung: Material: Erde; Konsistenz: locker; Farbe: braun
über SE: 008=009
unter SE: 003, 076
Kampagne: 2006
Schnitt: N1

SE 011
Phase: II
Ansprache: Planierschicht
Beschreibung: Material: Lehm-Erde; Konsistenz: hart; Farbe: hellbraun
über SE: 008=009
unter SE: 003, 076
Kampagne: 2006
Schnitt: N1

SE 013=030=105=189
Phase: II
Ansprache: Lehmstampfboden
Beschreibung: Material: Lehm-Erde; Konsistenz: hart; Farbe: mittelbraun
über SE: 014, 038, 109
unter SE: 037, 040 (Grube)
Kampagne: 2006
Schnitt: N1

SE 014
Phase: II
Ansprache: dunkles Band
Beschreibung: Material: Erde; Konsistenz: eher locker; Farbe: dunkelbraun bis grau; Einschlüsse: kleine bis sehr kleine Steinchen; Schichtung: schmales dunkles Band
über SE: 015
unter SE: 013=030=105=189
Kampagne: 2006
Schnitt: N1

SE 015
Phase: II
Ansprache: Lehmstampfboden
Beschreibung: Material: Lehm-Erde; Konsistenz: hart; Farbe: mittel- bis dunkelbraun; Einschlüsse: wenige kleine und sehr kleine Steinchen
über SE: 044
unter SE: 014
Kampagne: 2006
Schnitt: N-Profil 1

SE 016=043
Phase: II
Ansprache: Braune Schicht
Beschreibung: Material: Lehm; Konsistenz: locker; Farbe: grau bis dunkelgrau schwarz; Einschlüsse: viele kleine und sehr kleine Steinchen
über SE: 017, 059
unter SE: 153=152
Kampagne: 2006
Schnitt: N1

SE 017
Phase: II
Ansprache: Lehmstampfboden
Beschreibung: Material: Lehm; Konsistenz: hart; Farbe: rot bis rötlich braun
über SE: 003
unter SE: 016=043
Kampagne: 2006
Schnitt: N1

SE 035
Phase: II
Ansprache: großer Stein in circa rechteckiger Vertiefung (0,4 × 0,3 m)
über SE: 040
unter SE: 029
Kampagne: 2006
Schnitt: N3

SE 037
Phase: II
Ansprache: Keramikfragment auf Lehmhorizont SE 030
Beschreibung: Material: Keramik (Pithos?); Farbe: rot; Maße: 0,50 m × 0,50 m
über SE: 013=030=105=189
unter SE: 029
Kampagne: 2006
Schnitt: N3

SE 038
Phase: II
Ansprache: Lehmschicht
Beschreibung: Material: Lehm; Konsistenz: extrem hart; Farbe: grau; Einschlüsse: kleine bis mittelgroße Steine, „Ziegelsplitter“ (Pithos?); Schichtung: Baugrubenstörung
über SE: 041
unter SE: 013=030=105=189
Kampagne: 2006
Schnitt: N3

SE 040
Phase: II
Ansprache: rechteckige, krumme Vertiefung mit Verfüllung SE 035
über SE: 013=030=105=189
unter SE: 035
Kampagne: 2006
Schnitt: N3

SE 041
Phase: II
Ansprache: Planierschicht
Beschreibung: Material: Lehm-Erde; Konsistenz: hart; Farbe: braun bis dunkelbraun; Schichtung: z. T. rezent gestört
über SE: 042
unter SE: 038
Kampagne: 2006
Schnitt: N3

SE 042
Phase: II
Ansprache: Planierschicht
Beschreibung: Material: Lehm-Erde, Steine; Konsistenz: hart; Farbe: braun bis mittelbraun; Schichtung: z. T. rezent gestört
über SE: 044
unter SE: 041
Kampagne: 2006
Schnitt: N3

SE 044
Phase: II
Ansprache: Lehmschicht
Beschreibung: Material: Lehm-Erde; Konsistenz: sehr hart; Farbe: mittelbraun
über SE: 153=152
unter SE: 015, 042, 106
Kampagne: 2006
Schnitt: N3

SE 059
Phase: II
Ansprache: Verfüllung
Beschreibung: Material: Erde; Konsistenz: locker; Farbe: dunkelbraun
über SE: 077
unter SE: 016=043
Kampagne: 2006
Schnitt: N3

SE 062
Phase: VII
Ansprache: Lehmschicht
Beschreibung: Material: Lehm mit kleinen Steinchen; Farbe: mittelbraun
über SE: 068, 092 (beide Pfosten)
unter SE: 087=089
Kampagne: 2006
Schnitt: N2

SE 063=112=335
Phase: VII
Ansprache: Lehmschicht
Beschreibung: Material: Erde, Farbe: dunkelbraun bis grau; Einschlüsse: Holzkohle, kleine Steinchen
über SE: 113, 460 (Grube)
unter SE: 115=064
Kampagne: 2006
Schnitt: N2

SE 067
Phase: VII
Ansprache: Pfostenloch
Beschreibung: Maße: Durchmesser 0,26 m, Tiefe 0,20 m; verfüllt mit SE 068
über SE: 094, 316
unter SE: 068
Kampagne: 2006
Schnitt: N1–2

SE 068
Phase: VII
Ansprache: Verfüllung von Pfostenloch SE 067
Beschreibung: Keilsteine; 1 flacher Stein und 2 Bruchsteine
über SE: 067 (Pfosten)
unter SE: 062
Kampagne: 2006
Schnitt: N1/N2

SE 076
Phase: II
Ansprache: 3 Steine ohne Verbund
(Versturzstein von Mauer SE 007?)
Beschreibung: Material: Schiefer; Farbe: silbrig grau
über SE: 010, 011
unter SE: 088
Kampagne: 2006
Schnitt: 1

SE 077
Phase: II
Ansprache: Lehmschicht
Beschreibung: Material: Lehm-Erde; Konsistenz: mittelhart; Farbe: hellbraun
über SE: 088
unter SE: 059
Kampagne: 2006
Schnitt: N3

SE 087=089
Phase: VII
Ansprache: Lehmschicht
Beschreibung: Material: Lehm mit wenigen, kleinen Steinchen; Konsistenz: locker; Farbe: mittel- bis dunkelbraun
über SE: 062
unter SE: 007
Kampagne: 2006
Schnitt: N2

SE 088
Phase: II
Ansprache: Lehmschicht
Beschreibung: Material: Lehm-Erde; Konsistenz: locker; Farbe: dunkelbraun; Einschlüsse: an einer Stelle verkohlter Fleck; Maße: nach Norden ca. 2 m
über SE: 076
unter SE: 077
Kampagne: 2006
Schnitt: N2

SE 092
Phase: VII
Ansprache: Verfüllung von Pfostenloch SE 093
Beschreibung: Keilsteine; 2 mittelgroße und 3 kleine Schiefersteine; Farbe: grau bis rot
über SE: 093 (Pfosten)
unter SE: 062
Kampagne: 2006
Schnitt: N1

SE 093
Phase: VII
Ansprache: Pfostenloch
Beschreibung: Abmessungen in der Fläche (0,50 × 0,32 m); verfüllt mit SE 092
über SE: 094, 316
unter SE: 092 (Pfosten)
Kampagne: 2006
Schnitt: N1

SE 094
Phase: VII
Ansprache: Lehmstampfboden
Beschreibung: Material: Lehm, kleine und vereinzelt mittelgroße Steine, wenig Holzkohle; Konsistenz: sehr hart; Farbe: beigegrau bis mittelbraun
über SE: 096, 334
unter SE: 067 (Pfosten), 093 (Pfosten); 333 (Grab)
Kampagne: 2006
Schnitt: N1

SE 096
Phase: VII
Ansprache: Lehmschicht
Beschreibung: Material: Lehm und Steine; Konsistenz: locker; Farbe: dunkelbraun
über SE: 100=101, 103
unter SE: 094, 316
Kampagne: 2006
Schnitt: N1

SE 100=101
Phase: VII
Ansprache: Podest?
Beschreibung: ovale Steinsetzung aus verschiedenen Bruchsteinen (Schiefer, Seifenstein und Quarz); Abmessungen: 0,55 × 0,43 m
über SE: 102
unter SE: 096
Kampagne: 2006
Schnitt: N1

SE 102
Phase: VII
Ansprache: Lehmstampfboden
Beschreibung: Material: Lehm; Konsistenz: hart; Farbe: gelbgrau
über SE: 115=064
unter SE: 100=101, 103
Kampagne: 2006
Schnitt: N1

SE 103
Phase: VII
Ansprache: Lehmschicht
Beschreibung: ein Schieferstein, Durchmesser 0,20 m; Farbe: graublau
über SE: 102
unter SE: 096
Kampagne: 2006
Schnitt: N1

SE 106
Phase: II
Ansprache: Lehmschicht
Beschreibung: Material: Lehm; Konsistenz: sehr fein; Farbe: rötlich; Einschlüsse: Holzkohle (streut nach Norden)
über SE: 044
unter SE: 109
Kampagne: 2006
Schnitt: N1

SE 107
Phase: VII
Ansprache: Lehmschicht
Beschreibung: Material: Lehm, vereinzelt Holzkohle, einige kleine Steine und mittelgroße Steine; Konsistenz: hart; Farbe: ocker
über SE: 108
unter SE: 190
Kampagne: 2006
Schnitt: N1

SE 108
Phase: VII
Ansprache: Lehmschicht
Beschreibung: Material: Lehm, viele kleine und mittelgroße Steine; Konsistenz: hart; Farbe: dunkelbraun bis grau
über SE: nicht gegraben
unter SE: 107
Kampagne: 2006
Schnitt: N1

SE 109
Phase: II
Ansprache: Lehmschicht
Beschreibung: Material: Lehm; Farbe: dunkelbraun bis grau; Einschlüsse: zahlreiche kleine bis mittelgroße Steine, durch Tiergänge und Baumgrube gestört
über SE: 106
unter SE: 013=030=105=189
Kampagne: 2006
Schnitt: N1

SE 113
Phase: VII
Ansprache: Lehmschicht
Beschreibung: Material: Erde-/Lehm; Konsistenz: trocken, hart; Farbe: graugelb
über SE: Anschluss Phase ÇuHö VIII
unter SE: 063=112=335
Kampagne: 2006
Schnitt: N1

SE 115=064
Phase: VII
Ansprache: 2 Versturzsteine wie bei SE 064?
Beschreibung: Material: Steine (Schiefer); Farbe: bläulich bis grau; Maße: 0,4 m
über SE: 063=112=335
unter SE: 102, 343, 350, 461 (Pfosten)
Kampagne: 2006
Schnitt: N1

SE 153=152
Phase: II
Ansprache: Steinreihenstruktur
Beschreibung: Material: Schiefer, Farbe: grau
über SE: 016=043
unter SE: 044
Kampagne: 2006
Schnitt: N1

SE 190
Phase: VII
Ansprache: Lehmschicht
Beschreibung: Material: Lehm-Erde; Einschlüsse: Holzkohle, kleine Steine
über SE: 107
unter SE: 017
Kampagne: 2006
Schnitt: N1

SE 316
Phase: VII
Ansprache: Lehmstampfboden
Beschreibung: Material: sandiger Lehm; Konsistenz: hart; Farbe: rötlich braun bis rötlich gelb
über SE: 096, 334
unter SE: 067 (Pfosten), 093 (Pfosten), 333 (Grab)
Kampagne: 2007
Schnitt: N3

SE 317
Phase: VII
Ansprache: Grabgrubenverfüllung, Bestattung 1
Beschreibung: Material: sandiger Lehm, vereinzelt gebrannter Lehm, im unteren Bereich Holzkohle; Konsistenz: fest; Farbe: graubraun
über SE: 330 (Grab)
unter SE: 005=061=311
Kampagne: 2007
Schnitt: N3

SE 330
Phase: VII
Ansprache: Skelett Bestattung 1
Beschreibung: Hockerbestattung; Ausrichtung: Ost-West
über SE: 331 (Grab)
unter SE: 317 (Grab)
Kampagne: 2007
Schnitt: N3

SE 331
Phase: VII
Ansprache: Verfüllung der Grabgrube, Bestattung 1 (erste Verfüllschicht als Bettung für die Körperbestattung)
Beschreibung: Material: sandiger Lehm; Konsistenz: hart; Farbe: graubraun
über SE: 332 (Grab)

unter SE: 330 (Grab)
Kampagne: 2007
Schnitt: N3

SE 332
Phase: VII
Ansprache: Steinkiste, Bestattung 1
Beschreibung: Steinkiste (Länge 0,80 m, Höhe 0,42 m); hochkant gesetzte Steinplatten zur Auskleidung der Grabgrube; nördlicher Teil des Grabes durch rezente Tellabbruchkante gestört
über SE: 333 (Grab)
unter SE: 331 (Grab)
Kampagne: 2007
Schnitt: N3

SE 333
Phase: VII
Ansprache: Grube für Steinkistengrab - Best_1
Beschreibung: rechteckige Eingrabung; Maße: Länge 0,90 m, Breite 0,65 m, Tiefe 0,55 m
über SE: 094, 316
unter SE: 332 (Grab)
Kampagne: 2007
Schnitt: N3

SE 334
Phase: VII
Ansprache: Lehmschicht
Beschreibung: Material: sandiger Lehm; Konsistenz: hart; Farbe: rötlich braun; Schicht läuft nach Norden aus, weiterer Verlauf unklar
über SE: 343, 356, 350
unter SE: 094, 316
Kampagne: 2007
Schnitt: N3

SE 343
Phase: VII
Ansprache: Steinlage, Podest?
Beschreibung: Halbkreis aus Kalksteinen, verbunden mit Tonmörtel?; Maße: Länge 1,20 m, Breite 0,80 m, Höhe 0,15 m
über SE: 115=064
unter SE: 334
Kampagne: 2007
Schnitt: N3

SE 350
Phase: VII
Ansprache: Steinoberfläche
Beschreibung: Material: Steine
über SE: 115=064
unter SE: 334
Kampagne: 2007
Schnitt: N3

SE 356
Phase: VII
Ansprache: Pfostenlochverfüllung
Beschreibung: Material: sandiger Lehm mit Steinen und Hüttenlehm; Maße: 0,65 × 0,65 m
über SE: 461 (Pfosten)
unter SE: 334
Kampagne: 2007
Schnitt: N3

SE 357
Phase: VII
Ansprache: Grube (in der Fläche nur angeschnitten)
Beschreibung: rundliche Eingrabung; Maße: Durchmesser 1,1 m, Tiefe 0,70 m
über SE: Anschluss Phase VIII
unter SE: 460 (Grube)
Kampagne: 2007
Schnitt: N3

SE 460
Phase: VII
Ansprache: Grubenverfüllung
über SE: 357
unter SE: 063=112=335
Kampagne: 2007
Schnitt: N3

SE 461
Phase VII
Ansprache: Pfostengrube
Beschreibung: kreisrunde Eingrabung; Durchmesser: 0,65 m
über SE: 115=064
unter SE: 356 (Pfosten)
Kampagne: 2007
Schnitt: N3

II.2. Die Stratigraphie des Nordschnittes N4 (B. Horejs – Ch. Schwall)

Im Rahmen einer während der Ausgrabungskampagne 2008 durchgeführten geophysikalischen Untersuchung wurde im nordöstlichen Teil des Siedlungshügels, in der Nähe der Abbruchkante sowie der Schnitte N1–3, eine Anomalie festgestellt. Diese setzt sich aufgrund ihrer Lage und Größe deutlich von anderen gemessenen Strukturen ab. Der Arbeitshypothese zufolge, dass es sich hierbei um eine Art Befestigung in Form einer Umfassungsmauer, eines Grabens o. ä. handelt, wurde beschlossen, diesen Bereich (N4, 5 × 2 m, Nordwest-Südost-Ausrichtung) in der Kampagne 2009 näher zu untersuchen (Abb. 2).

Die oberen Schichten des Nordschnitts 4 waren stark durch Vorgänge auf der Telloberfläche geprägt.[2058] Neben als Baumgruben interpretierte Störungen fanden sich rezente Spuren, die zum Teil die darunter liegenden prähistorischen Schichten schnitten.[2059] Aufgrund vergleichbarer Befunde aus den Südschnitten sind diese Spuren mit den jüngsten Zerstörungen des Tells in Verbindung zu bringen. Die Ausrichtung und die parallele Lage der Furchen dürfen im Zusammenhang mit den durchgeführten Planierungsmaßnahmen im Rahmen der landwirtschaftlichen Nutzung der Telloberfläche sowie der weiteren Umgebung als Obstplantage gesehen werden.[2060] Der Fund eines antiken Architekturelementes im Bereich der nordwestlichen Abbruchkante, dessen ehemaliger Standort auf dem Tell zu rekonstruieren ist, deutet auf eine Planierung des Tells in westlich/nordwestlicher Richtung hin.[2061] Auffallend ist diesbezüglich besonders die nach Norden hin abfallende Schichtenfolge, die von mehreren rezenten Ablagerungen überdeckt wird (vgl. Abb. 6). Es ist anzunehmen, dass ein Großteil des gestörten Schichtpakets durch die Planierungsvorgänge und deren Abschiebung in die westliche und nordwestliche Richtung entstanden ist. Der Verlauf der Spuren, sowohl durch eine prähistorische als auch eine rezente Schicht im nordwestlichen Bereich des Schnitts, lässt darüber hinaus auf unterschiedliche Vorgänge während der Planierung oder im Rahmen der vorherigen Einebnung der Telloberfläche schließen.[2062]

Die erste rein prähistorische Schicht unterhalb des rezenten Materials ist die SE 812. Darin fanden sich eine Vielzahl verbrannter Wandverputzfragmente, auf denen sich Reste von Kalkputz befanden, wie dies aus vergleichbaren bereits analysierten Objekten aus den frühbronzezeitlichen Südschnitten zu schließen ist (Abb. 18A).[2063] Neben flach auf dem Boden liegenden Bruchstücken steckten diese auch senkrecht und schräg im Boden. Vermutlich handelt es sich hierbei um einen in situ Befund eines Wandversturzes, da neben den Wandverputzbruchstücken zahlreiche Anpassungen der vorgefundenen fragmentierten Keramikgefäße eine Zerstörung vor Ort vermuten lassen. Aus diesem Horizont stammt weiterhin ein Metallobjekt.[2064] Die ausgedehnte Schicht mit Wandverputzbruchstücken überdeckt eine horizontal ausgedehnte, 2 × 2 m große Fundlage (SE 834; Abb. 14–15, 18B) zu deren Bestandteilen vorwiegend Keramik, aber auch Knochen, ein Kupferobjekt, zwei Reibsteine und kleine Ockerfragmente gehören. Darunter wurde ein Bodenniveau (SE 869) erfasst, auf dem eine mächtige Planierung (SE 883) folgte. Im unteren Bereich dieser Planierung lagen in der südöstlichen Ecke des Schnitts mehrere Bruchstücke eines zerstörten Keramikgefäßes (SE 897), die teils im Südostprofil des Schnitts steckten.

In der Fläche wurde im Anschluss an die Planierung ein weiterer, stark durch weiße Asche und gebrannten Lehm gekennzeichneter Horizont freigelegt (SE 894). Hierbei handelt es sich um einen weiteren Nutzungshorizont mit einem zuvor einplanierten Ofen (Abb. 16, 18C). Eine weitere auf dieses Nutzungsniveau folgende Planierung (SE 904) war nur im südöstlichen Bereich

---

[2058] Vgl. SE 800–801, 804–807, 811, 815, 821–822.

[2059] Baumgruben (SE 804–807); rezente Spuren (SE 821–22).

[2060] Zu den Zerstörungsvorgängen siehe Evren 1999, 22–23, Abb. 2; Horejs 2008a, Abb. 2–5; Horejs 2008b, 92, 98–99; Horejs 2009, 360; Horejs 2010, 168; Galik – Horejs 2011, 85; Horejs et al. 2011, 37.

[2061] Vgl. Schwall – Plattner in Vorbereitung.

[2062] Prähistorische Schicht (SE 812); gestörte Schicht (SE 811).

[2063] Horejs et al. 2011, 41.

[2064] Vgl. Mehofer 2014a, 471; Mehofer 2014b.



Abb. 14 Überblicksfoto der Fundlage SE 834 im Schnitt N4.
(Foto: Ch. Schwall/ERC Prehistoric Anatolia)

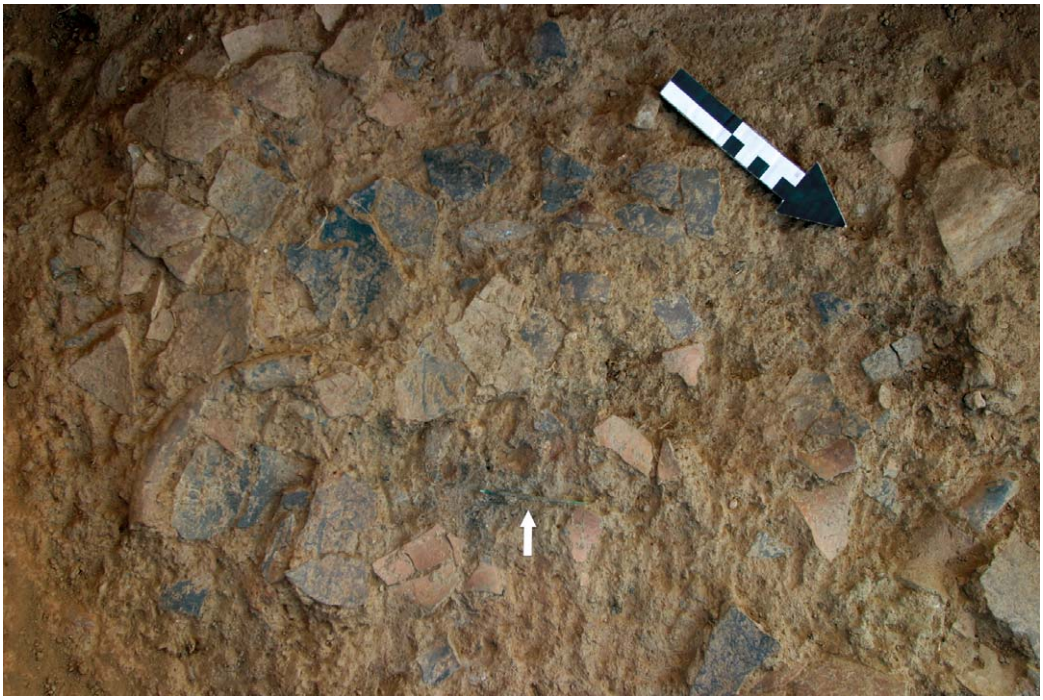


Abb. 15 Detailfoto der Fundlage SE 834 mit der Kennzeichnung des Metallobjektes zwischen Keramikscherben.
(Foto: Ch. Schwall/ERC Prehistoric Anatolia)



Abb. 16 Überblicksfoto des einplanierten Ofens im Schnitt N4. (Foto: Ch. Schwall/ERC Prehistoric Anatolia)

des angrenzenden Profils zu fassen und grenzte sich durch eine starke dunkelrotbraune Farbe von der darunter liegenden Planierschicht (SE 818) ab. Diese Planierung erstreckte sich flächig über etwa drei Viertel der Grabungsfläche. Unterhalb dieser Schicht lagen zwei Mauerzüge (Abb. 17, 18D), bestehend aus einer großen (SE 968) und einer kleinen Mauer (SE 819).[2065] Der Verlauf der großen Mauer lässt sich vom Profil des südwestlichen Schnittbereichs in Richtung Norden verfolgen (Länge 2,5 m, Breite 0,7 m; ausgegrabene Höhe 0,3 m); kurz vor der Schnittgrenze im Nordosten biegt die Mauer im rechten Winkel um, bildet eine Ecke und verläuft weiter ins Nordostprofil (Länge 0,4 m, Breite 0,7 m, ausgegrabene Höhe 0,3 m). Im spitzen Winkel zu dieser Mauer verläuft eine kleinere, jüngere Mauer aus dem Südwestprofil in Richtung Norden, die auf einer Lehmschicht (SE 971) gebaut wurde (Länge 1,5 m, Breite 0,45 m, erhaltene Höhe 0,15 m). Im südlichen Bereich der großen Mauer folgt unterhalb der zuvor abgebauten Planierschicht (SE 818) eine weitere Lehmschicht (SE 967), deren Niveau unterhalb der obersten erhaltenen Steinreihung der Mauer liegt. An diese Schicht schließt eine Steinstruktur im südöstlichen Eckbereich des Nordschnitts N4 an (SE 972).

Anhand der detaillierten stratigraphischen Abfolge lassen sich trotz des kleinen Grabungsausschnittes unterschiedliche Nutzungshorizonte feststellen. Oberhalb der trennenden Planierschicht weisen die beiden Böden mitsamt den beiden darunter liegenden Planierungen auf zwei Abfolgen hin, deren Zuweisung zu einem Außen- oder Innenbereich offen bleiben muss.

Für den jüngsten erfassten Horizont (vermutlich ÇuHö Vb) deuten die verbrannten Wandverputzreste auf eine durch Feuer verursachte Zerstörung des Areals hin. Der darauf folgende Nutzungshorizont (vermutlich ÇuHö VIa) ist durch die Einplanierung eines Ofens gekennzeichnet. Die unterhalb der anschließenden Planierschicht zum Vorschein gekommene große Mauer gehört

[2065] Vgl. auch Horejs – Schwall 2015, 460–461, Abb. 4.



Abb. 17 Die erfasste Architektur im Schnitt N4. (Foto: Ch. Schwall/ERC Prehistoric Anatolia)

zu einem weiteren Nutzungsniveau, das mit der Subphase ÇuHö VIb zu parallelisieren ist. Durch ihre Lage bzw. der fast kongruenten Lokalisierung im Radarbild ist diese als die gesuchte Anomalie anzusehen. Die Breite von ca. 0,7 m lässt eine Interpretation als mögliche Umfassungsmauer eines bestimmten Areals vermuten. Eine vergleichbare Mauer, die ein Areal einfasst, ist aus dem Schnitt M1 bekannt, gehört jedoch zu der jüngeren frühbronzezeitlichen Suphase ÇuHö Va.[2066] Im südwestlichen Teil endet die Mauer, wodurch eine Durchgangsfunktion in diesem Bereich möglich scheint. Die Richtungsänderung im nordöstlichen Bereich scheint darüber hinaus dem weiteren Verlauf der Anomalie zu folgen. Inwieweit die kleinere Mauer mit dieser möglichen Umfassungsmauer in Verbindung steht, muss offen bleiben. Ein eventuell späterer Verschluss eines Durchgangs oder eine nachträgliche Fortsetzung der Mauer wären mögliche Interpretationsansätze.

Aufgrund der absoluten Höhe der Ablagerungen, der daraus gewonnenen Radiokarbondaten (Holzkohle)[2067] und schließlich der Gemeinsamkeiten des Fundmaterials ist eine Synchronisierung mit den Siedlungsphasen ÇuHö VI und der Subphase ÇuHö Vb anzunehmen.[2068]

[2066] S. Schwall in diesem Band (Kap. IV.1.2.4.).

[2067] Lab.-Nr. Erl-14522 (SE 812; ^{14}C-Alter [BP]: 4546 ± 33; δ^{13}C [‰]: -25,7; cal 1σ [BC]: 3364–3121; cal 2σ [BC]: 3368–3104) und 14520 (SE 818; ^{14}C-Alter [BP]: 4430 ± 37; δ^{13}C [‰]: -16,1; cal 1σ [BC]: 3309–2939; cal 2σ [BC]: 3330–2923).

[2068] S. Schwall in diesem Band (Kap. IV.3.2.).

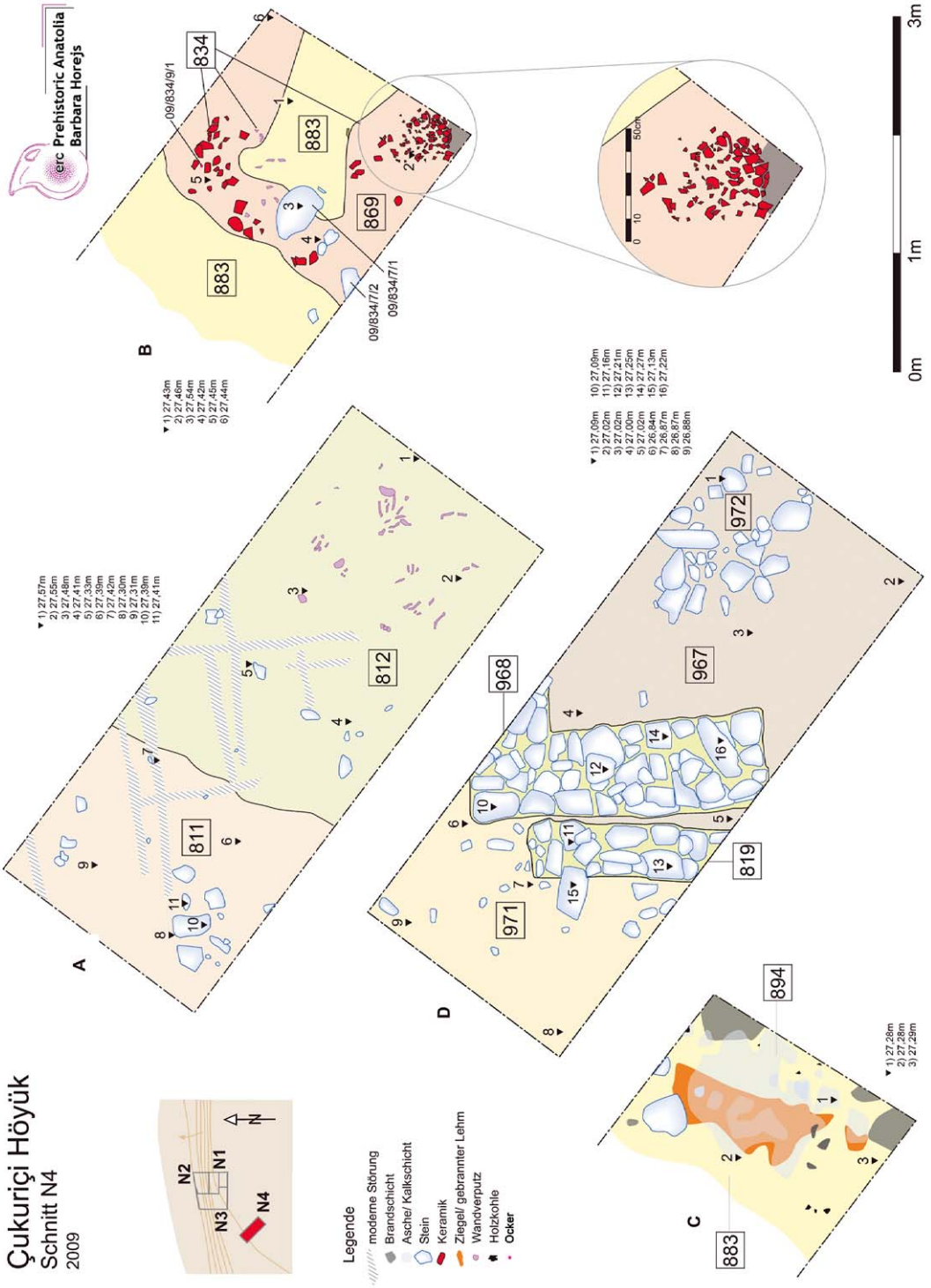


Abb. 18 Ausgewählte Befunde des Nordschnitts N4 im Kontext ihrer Siedlungsphase. A–B: Subphase ÇuHö Vb; C: Subphase ÇuHö VIa; D: Subphase ÇuHö VIb. (Plan: A. Buhlke, M. Börner/alle ERC Prehistoric Anatolia)

II.2.1. Katalog der Stratigraphischen Einheiten (SE) des Schnittes N4

SE 800
Phase: I
Ansprache: rezente Telloberfläche 2009
über SE: 804, 806 (beides Baumgruben)
Kampagne: 2009
Schnitt: N4

SE 801
Phase: I
Ansprache: rezent gestörtes Oberflächenmaterial
Beschreibung: Material: heterogener, sandiger Lehm mit Bruchsteinen, vereinzelt Holzkohle; Konsistenz: hart, ausgetrocknet; Farbe: rotbraun
Abgrenzung: Grenzen zu SE 811, 812 deutlich
über SE: 821 (Spuren)
unter SE: 805, 807 (beides Baumgruben)
Kampagne: 2009
Schnitt: N4

SE 804
Phase: I
Ansprache: Baumgrubenverfüllung
Beschreibung: Material: heterogener sandiger Lehm mit Bruchsteinen (bis 8 cm); Konsistenz: hart, ausgetrocknet; Farbe: graubraun
Abgrenzung: Grenzen zu SE 801 undeutlich
über SE: 805 (Baumgrube)
unter SE: 800
Kampagne: 2009
Schnitt: N4

SE 805
Phase: I
Ansprache: Interface Baumgrube
Beschreibung: Form: in der Fläche rund
Abgrenzung: Grenzen zu SE 801 undeutlich
über SE: 801
unter SE: 804 (Baumgrube)
Kampagne: 2009
Schnitt: N4

SE 806
Phase: I
Ansprache: Baumgrubenverfüllung
Beschreibung: Material: sandiger Lehm mit Bruchsteinen (bis 8 cm), vereinzelt Holzkohle; Konsistenz: hart, ausgetrocknet; Farbe: graubraun
Abgrenzung: Grenzen zu SE 801 undeutlich
über SE: 807 (Baumgrube)
unter SE: 800
Kampagne: 2009
Schnitt: N4

SE 807
Phase: I
Ansprache: Interface Baumgrube
Beschreibung: Form: in der Fläche rund
SE-Grenzen: zu SE 801 undeutlich
über SE: 801
unter SE: 806 (Baumgrube)
Kampagne: 2009
Schnitt: N4

SE 811
Phase: I
Ansprache: Steinchenschicht
Beschreibung: Material: sandiger Lehm mit kleinen Bruchsteinen und vereinzelten Kieseln (1–3 cm) sowie zwei großen Steinen (ca. 18 cm); Konsistenz: hart, ausgetrocknet; Farbe: graubraun
Abgrenzung: Grenzen zu SE 815 deutlich
über SE: 815=931
unter SE: 822 (Spuren)
Kampagne: 2009
Schnitt: N4

SE 812
Phase: N4 prähistorisch
Ansprache: verstürzter Wandverputz
Beschreibung: Material: sandiger Lehm, stellenweise rot gebrannt, wenige Kiesel; Konsistenz: hart, ausgetrocknet; Farbe: rotbraun
Abgrenzung: Grenzen zu SE 811 in der Fläche deutlich
über SE: 834
unter SE: 815=931
Kampagne: 2009
Schnitt: N4

SE 815=931
Phase: I
Ansprache: Lehmschicht
Beschreibung: Material: homogener, sandiger Lehm mit Steinen (2–5 cm); Konsistenz: hart, ausgetrocknet; Farbe: rotbraun
Abgrenzung: Grenzen zu SE 811 undeutlich
über SE: 812
unter SE: 811
Kampagne: 2009
Schnitt: N4

SE 818
Phase: N4 prähistorisch
Ansprache: Planierschicht
Beschreibung: Material: sandiger Lehm mit Bruchsteinen (bis 5 cm), vereinzelt Kieselsteine, ein großer Stein (ca. 25 cm); Konsistenz: hart, ausgetrocknet; Farbe: rot- bis dunkelbraun
Abgrenzung: Grenzen zu SE 967 undeutlich
über SE: 819, 967
unter SE: 904
Kampagne: 2009
Schnitt: N4

SE 819
Phase: N4 prähistorisch
Ansprache: kleine Mauer
Beschreibung: Material: Gneis, Kalkstein, Quarz, große abgerundete Bruchsteine; Maße: Länge erh. 1,5 m, Breite 0,45 m, Höhe erh. 0,15 m; Ausrichtung: Nord-Süd
Abgrenzung: deutlich
über SE: 971
unter SE: 818
Kampagne: 2009
Schnitt: N4

SE 821
Phase: I
Ansprache: Spurverfüllung
Beschreibung: Material: heterogener, sandiger Lehm mit kleinen Steinen (bis 3 cm); Konsistenz: hart, ausgetrocknet; Farbe: graubraun
Abgrenzung: deutlich
über SE: 822 (Spuren)
unter SE: 801
Kampagne: 2009
Schnitt: N4

SE 822
Phase: I
Ansprache: Interface Spur
Beschreibung: Form: linear; das Interface besteht auf der Sohle aus zwei parallel verlaufenden Rillen, mit einer Mittelrippe
über SE: 811
unter SE: 821 (Spuren)
Kampagne: 2009
Schnitt: N4

SE 834
Phase: N4 prähistorisch
Ansprache: Fundlage
über SE: 869
unter SE: 812
Kampagne: 2009
Schnitt: N4

SE 869
Phase: N4 prähistorisch
Ansprache: Lehmstampfboden
Beschreibung: Material: heterogener, sandiger Lehm mit kleinen Bruchsteinen (bis 3 cm), stellenweise Holzkohle und Asche; Konsistenz: hart, ausgetrocknet; Farbe: braun- bis hellgrau
Abgrenzung: Grenzen zu SE 834, 883 deutlich
über SE: 883
unter SE: 834
Kampagne: 2009
Schnitt: N4

SE 883
Phase: N4 prähistorisch
Ansprache: Bodenunterbau (Planierung)
Beschreibung: Material: sandiger Lehm mit kleinen Bruchsteinen (bis 5 cm), stellenweise Holzkohle, gebrannter Wandverputz und Ziegelfragmente; Konsistenz: hart, ausgetrocknet; Farbe: braun- bis hellgrau
Abgrenzung: Grenzen zu SE 869, 894 deutlich; Grenzen zu SE 897 undeutlich
über SE: 897
unter SE: 869
Kampagne: 2009
Schnitt: N4

SE 894
Phase: N4 prähistorisch
Ansprache: Lehmstampfboden
Beschreibung: Material: sandiger Lehm, stellenweise rot gebrannt, lokal Holzkohle und Asche; Konsistenz: hart, ausgetrocknet; Farbe: hellbraun, rotfleckig
Abgrenzung: Grenzen zu SE 883, 904 deutlich
über SE: 904
unter SE: 897
Kampagne: 2009
Schnitt: N4

SE 897
Phase: N4 prähistorisch
Ansprache: Fundlage (Keramik)
über SE: 894
unter SE: 883
Kampagne: 2009
Schnitt: N4

SE 904
Phase: N4 prähistorisch
Ansprache: Bodenunterbau (Planierung)
Beschreibung: Material: heterogener sandiger Lehm, darin stellenweise Brandlehm und Asche; Konsistenz: fest, ausgetrocknet; Farbe: hellbraun, rotfleckig
Abgrenzung: Grenzen zu SE 894 deutlich
über SE: 818
unter SE: 894
Kampagne: 2009
Schnitt: N4

SE 967
Phase: N4 prähistorisch
Ansprache: Lehmschicht
Beschreibung: Material: sandiger Lehm, mit Bruchsteinen (bis 5 cm), vereinzelt größere Steine (bis 25 cm) und eine große Steinplatte (45 cm); Konsistenz: sehr hart, ausgetrocknet; Farbe: dunkelbraun
Abgrenzung: Grenzen zu SE 818 undeutlich
über SE: 972
unter SE: 818
Kampagne: 2009
Schnitt: N4

SE 968
Phase: N4 prähistorisch
Ansprache: große Mauer
Beschreibung: Material: Bruchsteine; Maße: ca. Länge 2,5 m, Breite 0,7 m, Höhe erh.0,3 m; Zweireihig gesetzte Mauer, mit 3 erhaltenen Steinlagen. Die Mauer beginnt im Südwesten von N4, verläuft nach Nordost und knickt dort rechtwinklig ab.

Abgrenzung: -
über SE: nicht ausgegraben
unter SE: 971, 972
Kampagne: 2009
Schnitt: N4

SE 971
Phase: N4 prähistorisch
Ansprache: Lehmschicht
Beschreibung: Material: sandiger Lehm, mit vereinzelten Bruchsteinen (bis 5 cm); Konsistenz: sehr hart, ausgetrocknet; Farbe: rötlich braun bis hellbraun
Abgrenzung: Grenzen zu SE 819 deutlich, zu SE 815=931 nur im Profil deutlich
über SE: 968
unter SE: 819
Kampagne: 2009
Schnitt: N4

SE 972
Phase: N4 prähistorisch
Ansprache: Steinstruktur
Beschreibung: Material: Bruchsteine; Maße: ca. Länge 0,3 m, Breite 0,15 m, Höhe erh. 0,1 m; 2 parallel zueinander verlaufende Reihen, darüber verschobene Schieferplatten
Abgrenzung: Grenzen zu SE 967 deutlich
über SE: 968
unter SE: 967
Kampagne: 2009
Schnitt: N4

III. Das Fundmaterial aus den Nordschnitten N1–4

III.1. Keramik

Insgesamt wurden aus den Phasen ÇuHö VII–VI der Nordschnitte 615 charakteristische Keramikfragmente detailliert aufgenommen und ausgewertet. Sie bildeten die Basis der spätchalkolithischen Gefäßtypologien, die in den ausführlichen Studien Schwalls erläutert und diskutiert werden. Die einzeln im folgenden Katalog beschriebenen und auf den Tafeln illustrierten Gefäßfragmente entsprechen den von Schwall bereits diskutierten Typen und Varianten unter Verwendung einer einheitlichen Terminologie. Da anhand der Keramik aus den Nordschnitten auch die technologischen Kriterien der Keramikwaren erstmals für die spätchalkolithischen Schichten durch die Autorin definiert wurden, sollen die wesentlichen Eigenschaften zusammenfassend erläutert werden. Die wichtigsten Resultate zu den Waren unter Einbeziehung petrographischer und geoarchäologischer Untersuchungen sowie einzelner Keramikensembles oder Typen werden abschließend diskutiert.

Charakteristika der Waren

Das gesamte Keramikspektrum aus den Schnitten N1–N4 ist von erstaunlich schlechter Qualität und eher grober Machart. Feinkeramik kommt zumindest in Phase ÇuHö VII in geringerer Bandbreite vor, gut gebrannte Scherben mit dichtem Ton und sorgfältig behandelter Oberfläche sind selten. Grobe und mittelgrobe Waren sind mit einem Anteil von 54% im gesamten Ensemble deutlich häufiger als in der vorangegangenen spätneolithischen Siedlung (ÇuHö VIII: 31%) und auch in unterschiedlicher Varianz mit verschiedenen technologischen Merkmalen zu beobachten. Die Herstellung grobkeramischer Gefäße bedeutet in erster Linie eine andere, zusätzliche Verwendung von Keramik, die zuvor nicht zu beobachten war. In diese neue Kategorie fallen Varianten an Kochgeschirr, wie beispielsweise Dreifußtöpfe, die wohl zum Einsatz über dem offenen Feuer produziert wurden, wie die sekundären Brandspuren vermuten lassen. Des Weiteren tauchen in diesen Phasen auch vereinzelte Fragmente von Pithoi erstmals auf, die auf die Verwendung dieser großen Vorratsgefäße schließen lassen. Die hohe Varianz an mittel- und grobkeramischen Waren führte in der erstmaligen Definition zu einer großen Anzahl an Warengruppen in Relation zum gesamten Scherbenmaterial. Insgesamt lassen sich im Spektrum der Nordschnitte 29 Waren unterscheiden, die sich annähernd gleichmäßig auf die Gattungen verteilen.[2069] In Relation der Gattungen zur Behandlung ihrer Gefäßoberflächen zeigt sich eine klare Tendenz (Tab. 1): sorgfältige Politur ist auf Feinkeramik beschränkt, grob verstrichene Oberflächen sind v. a. bei groben Waren zu beobachten. Geglättete Gefäßoberflächen sind in allen drei Gattungen üblich und charakteristisch für das gesamte Keramikspektrum der Nordschnitte.

	Anzahl der Waren	poliert	geglättet	verstrichen	slip
FK	**8**	**2**	**6**	0	0
FK-MK	**1**	0	**1**	0	0
MK	**13**	0	**9**	**3**	**1**
MK-GK	**3**	0	**2**	**1**	0
GK	**4**	0	**2**	**2**	0

Tab. 1 Oberflächenbehandlung der Waren in den Kategorien Fein-, Mittel- und Grobkeramik, sowie zwei Zwischenstufen (FK, FK-MK, MK, MK-GK, GK).

[2069] Vgl. Schwall in diesem Band (Kap. IX.2.1.).

Feinkeramische Waren

Acht Warengruppen können in der Gattung der Feinkeramik zusammengefasst werden. Es dominieren graubraune bis rotbraune Waren, deren Oberflächen direkt und ohne Überzug fein geglättet und verdichtet wurden (WG 19, 22, 24, 28). Ware 34 ist ebenfalls geglättet, allerdings ist sie eher grob geglättet und besitzt einen Schlickerüberzug. Zwei Waren sind darüber hinaus noch sorgfältig poliert, was eine glänzende, sehr glatte und ebenmäßige Oberfläche bewirkt (WG 29, 33). Ware 29 scheint ausschließlich für große, massive Schalen verwendet worden zu sein. Diese wurden vermutlich bewusst aufgrund schwankender Brenntemperatur und Atmosphäre mit einer fleckig roten, braunen bis schwarzen Oberfläche hergestellt. Die polierte Ware 33 ist hingegen gezielt mit flächig glänzend dunkelschwarzer Oberfläche produziert, die mit deckend hellgrauer bis milchig weißer Farbe bemalt ist. Eine Ausnahmeerscheinung ist die rot überzogene und geglättete Feinware (WG 18), die auf den ersten Blick der typischen spätneolithischen Ware (WG 1) aus Phase VIII entspricht. Durch die ebenfalls in Ware 18 hergestellten, eindeutig spätchalkolithischen Gefäßformen in den Schnitten M1 und N7 dürfte eine konstante Nutzung dieser Ware auch im 4. Jt. v. Chr. zu vermuten sein.

Mittelkeramische Waren

Die mittelporige Gattung ist mit 13 unterschiedlichen Waren die häufigste Gruppe im Spektrum. Drei Waren zeichnen sich durch einen Überzug aus, der zusätzlich verstrichen (WG 17) oder geglättet (WG 25 und 31) ist. Ware 25 ist zudem mit milchig grauer Farbe bemalt. Die größte Varianz findet sich bei den geglätteten mittelkeramischen Waren ohne Überzug, die eine dichte glänzende bis stumpfe, raue Oberfläche haben können. Sie sind unterschiedlich gemagert und gebrannt und variieren von rot (WG 26, 30) über braun (WG 36, 39) bis grau (WG 37, 38). Zu dieser Gruppe gehören auch die auffallend anders gemagerten Waren 8 und 27. Die Ware 27 weist ebenfalls eine dicht geglättete und ebenmäßig braune bis schwarze Oberfläche auf, ihre Tonmatrix lässt hier die Verwendung einer anderen Lagerstätte vermuten oder zumindest eine unterschiedliche Aufbereitung des Tons annehmen. Dieselben Magerungsbestandteile in Art, Anordnung und Häufigkeit sind auch in der mittelkeramischen Ware 40 mit grob verstrichener und rauer Oberfläche und der grobkeramischen Ware 15 zu beobachten. Alle drei Waren setzen sich deutlich von den übrigen Waren ab. Ware 8 sticht durch die auffällig häufigen und gerundeten weißen Einschlüsse heraus. Schließlich fällt auch Ware 21 mit ihrer Matrix auf, die sich von allen anderen abhebt. Ihre grob verstrichene, raue, rote bis rotbraune Oberfläche passt hingegen gut in das Warenspektrum.

Grobkeramische Waren

Die insgesamt vier verschiedenen Waren sind deutlich gröber in ihrer Porosität, Magerung und Oberflächenbehandlung als die mittel- und feinkeramischen Waren. Abgesehen von der Pithosware WG 35 sind ihre Oberflächen mit einer Art von Schlicker (selfslip) überzogen, der wohl bei der endgültigen Überformung des Gefäßes mit den Händen des Töpfers aufgetragen wurde. Für eine grobe Verdichtung wurden die Oberflächen abschließend nur partiell grob geglättet und sind daher sehr rau und unregelmäßig. Nur Ware 20 weist eine regelmäßige Glättung auf. Die weiter oben bereits erwähnte Ware 15 (die, wie auch Ware 16, eher mittel- bis grobkeramisch ist) gehört zu einer Gruppe deutlich anders gemagerter Scherben (s. oben WG 21 und 40), die auf eine andere Tonlagerstätte hinweisen könnte. Innerhalb der Grobkeramik lassen sich zwei unterschiedliche Qualitätsstufen erkennen. Die größere Gruppe (WG 15, 16, 20 und 32) ist trotz mitunter sehr grober Magerung hart und gleichmäßig gebrannt. Die andere Gruppe, die nur aus der Ware 23 besteht, ist hingegen wesentlich unregelmäßiger und vermutlich bei niedrigeren Temperaturen gebrannt, porös und bröselig. Die Scherben dieser Waren ließen sich kaum bergen und waschen, ohne sich komplett aufzulösen. Schließlich gehört die Pithosware WG 35 ebenfalls zur Grobkeramik. Die vereinzelten Wandfragmente sind rot bis beige, durchgehend gebrannt und an ihrer Oberfläche sorgfältig geglättet.

Diskussion der Waren und ausgewählter Gefäße

Die detaillierte Aufnahme und Auswertung der Waren aus den Phasen ÇuHö VII und VI zeigt, dass die Keramikproduktion den funktionalen Bedürfnissen der spätchalkolithischen Konsumenten sehr bewusst entsprochen haben dürfte. Die Zunahme mittlerer und grober Waren in Relation zu den neolithischen Siedlungen des Tells kann in Verbindung mit den neuen funktionalen Gefäßen, wie Kochtöpfen und Vorratsgefäßen, gesehen werden. Den 29 makroskopisch definierten Warengruppen (inklusive ihrer Oberflächenbehandlung) können 8 petrographische Gruppen dank der bereits publizierten Analysen von L. Peloschek gegenübergestellt werden.[2070] Ihren Ergebnissen in Kombination mit den archäologischen und geologischen Erkenntnissen zufolge, lassen sich folgende Schlüsse ziehen: Die Keramikproduktion hat vor Ort stattgefunden, wobei lokale Tonressourcen dafür ausgebeutet wurden. Das Wissen um die Lagerstätte des häufigsten Petro-Fabrikats (EPH-METAMORPHIC_01) ist nach dem Abbruch der Besiedlung auf dem Çukuriçi Höyük um 5900 v. Chr. nicht verloren gegangen, sondern wurde auch in Phase ÇuHö VII rund 2500 Jahre später wieder aufgegriffen.[2071] Die dazugehörigen Lagerstätten liegen in unmittelbarer Nähe auf dem Bülbüldağ.[2072] Diese konstant vom Neolithikum bis in die Frühbronzezeit verwendeten Tonrohstoffe sind Peloscheks Analysen zufolge vielseitig verwendbar und wurden sowohl für feine als auch grobe Waren mit und ohne Hitzeeinwirkung (z. B. Kochen) eingesetzt. Trotz dieser vorhandenen multifunktionalen Tonpaste zeigen die Töpfer der Siedlungen ÇuHö VII und VI spezifische Vorlieben für weitere Rezepturen und greifen dabei auch auf andere Lagerstätten in der Umgebung zurück. Wie Peloschek herausfand, wurden spezielle Fabrikate mit dichter Magerung im späten Chalkolithikum eingesetzt (EPH-SERP_01), die aus der geologischen Region rund um Kireccilliyelesitep/Bereket Tepe östlich des Çukuriçi Höyük kommen dürften. Eine technologische Neuerung ist in den Marmor-gemagerten Petro-Fabrikaten (EPH-MARBLE_01, EPH-MARBLE_02, EPH-MARBLE_03) zu beobachten, die für Vorratsgefäße und Schalen am Ende des 4. Jts. v. Chr. und vor allem in der folgenden Frühbronzezeit 1 verwendet wurden und vermutlich auf ägäischen Einfluss zurückgehen.[2073] Die makroskopischen, petrographischen und geochemischen Untersuchungen der spätchalkolithischen Waren liefern uns neue Erkenntnisse zu einer unabhängigen lokalen Keramikproduktion, die in den Siedlungen des 4. Jts. v. Chr. auf dem Çukuriçi Höyük oder seiner unmittelbaren Nähe stattgefunden hat. Die Töpfer haben dabei auf verschiedene Lagerstätten westlich und östlich des Tells zurückgegriffen und die Tonpasten funktional und bedarfsorientiert eingesetzt.

Das Spektrum an Gefäßformen und Keramiktypen aus den Nordschnitten N1–3 entspricht den von Schwall ausführlich diskutierten Ergebnissen aus den zeitgleichen Schichten der Grabungsschnitte M1 und N7, wo auch auf die Funde der hier präsentierten Nordschnitte verwiesen wird.[2074] Exemplarisch sei an dieser Stelle lediglich das Gefäßensemble von dem Fußboden des kurvolinearen Baus in Phase ÇuHö VIb herausgegriffen (SE 4–5: Taf. 18–20, 33). Dieses Set scheint überaus charakteristisch für das ausgehende 4. Jt. v. Chr. und zudem auch typisch für die funktionale Zusammensetzung der Çukuriçi Siedlung in dieser Periode zu sein. Da die Keramikfragmente in Streuung direkt auf dem Fußboden lagen und sich zu größeren Gefäßteilen wieder zusammensetzen ließen, haben wir es aller Wahrscheinlichkeit nach mit einem geschlossenen Kontext zu tun.[2075] Das Ensemble besteht aus Schalen, Töpfen, Halsgefäßen und Amphoren und spiegelt wohl ein Hausinventar für Nahrungszubereitung, Aufbewahrung und Konsumierung wider. Die vor allem weitmundigen Schalen mit schräg nach innen abgestrichenen Rändern (S4K: Taf. 18.154, 156–157) und gerolltem Rand (sog. *rolled rim*; S4Q: Taf. 20.167; 33.155) dominieren gegenüber

[2070] Peloschek 2016a, 254; Peloschek 2017, 125–137.
[2071] Peloschek 2016b, 200; Peloschek 2017, 132.
[2072] Zur Kartierung aller sondierten und untersuchten Lagerstätten s. Peloschek 2017, 134, Abb. 6.4.
[2073] Zur detaillierten Diskussion dieses Phänomens s. Peloschek im Druck.
[2074] Zu den Gefäßformen und Gefäßtypen im Detail s. Schwall in diesem Band (Kap. IV.4.3. mit Abb. 73).
[2075] Zur stratigraphischen Beschreibung s. Kap. II.1.

den später so typischen kalottenförmigen Schalen (S1: Taf. 20.165, 168).[2076] Die sehr weitmundigen und mitunter auch großen und sehr schweren Schalen (vgl. bes. Taf. 18.157; 33.155) eignen sich kaum als individuelle Trinkgefäße und wurden wohl eher bei gemeinschaftlicher Konsumierung zur Mischung von Nahrung oder Flüssigkeiten eingesetzt, um daraus zu schöpfen. Die sehr gut behandelten dichten Oberflächen sind in einem Fall auch mit einem dicken schwarzen Überzug abgedichtet (Taf. 33.155). Vergleichbare schwere und weitmundige Schalen sind auch in anderen Kontexten der Phase ÇuHö VI (Taf. 21.182; 30.321) sowie auch zuvor in Phase ÇuHö VII zu beobachten (Taf. 15.127; 17.139).

Neben den zahlreichen Wandfragmenten eines Topfes sind vor allem ein offensichtlich über dem Feuer genutzter Dreifußtopf (Taf. 19.160) sowie ein Kugeltopf (Taf. 19.161; 33.161) hervorzuheben. Der Dreifußtopf weist rechteckige Füße auf, wie sie ab der Frühbronzezeit besonders typisch werden und bereits in Phase ÇuHö VI offenbar lokal vorkommen (Taf. 24.220–221).[2077] Der Topf ist in zuvor diskutierter, typischer grober Ware hergestellt (WG 23), die dem Petro-Fabrikat mit grobem Serpentinit (EPH-SERP_01) entspricht.[2078] Dass diese besonders grobe Ware nicht nur für Kochtöpfe verwendet wurde, belegt ein großes Halsgefäß aus Schnitt N4 (Taf. 31.340), das aus derselben Tonpaste produziert wurde.

Der Kugeltopf mit zylindrischem Hals und vertikalen Schnurösen ist hingegen aus besonders feiner Ware hergestellt (Ware 33), die kaum Einschlüsse aufweist und eine dichte und glänzend polierte schwarze Oberfläche hat. Der Topf ist mit linearen Motiven mit milchigheller Farbe bemalt. Die wohl zum Verschließen durch eine organische Abdeckung bzw. einen Deckel verwendeten Ösen, die enge Mündung sowie die feine Qualität des Gefäßes lassen auf seine Nutzung zur Aufbewahrung von Flüssigkeiten schließen.

Mehrere Fragmente von engmundigen Gefäße in diesem Ensemble lassen auf weitere Formen zur Lagerung oder Aufbewahrung schließen (Taf. 18.158; 19.162; 20.169–170), wovon lediglich die Amphore besser erhalten ist (Taf. 20.170). Diese aus feiner beiger Ware (WG 25) hergestellte Amphore mit konisch ausschwingendem Hals ist mit feinen linearen Motiven aus milchigheller Farbe bemalt. Die Dekoration aus Strichgruppen, parallelen Linien und Dreiecken passt sehr gut in das Schema chalkolithischer Gefäßbemalung, wie bereits von Schwall ausführlich dargelegt.[2079] Vergleichbare Gefäßformen mit zylindrischem Hals sind auch in den jüngeren Phasen ÇuHö VI–Vb in Schnitt N4 belegt, wo sie als feinkeramische Kannen mit zylindrischem Hals und ebenso dünner Gefäßwandung vorkommen (Taf. 27.301; 28.302–303). Zu erwähnen ist in unserem Ensemble aus dem kurvolinearen Bau noch ein Randfragment eines engmundigen Gefäßes (Taf. 19.162), das mit der innovativen aus Marmor-versetzter Tonpaste hergestellt wurde (s.o.), die erstmals in dieser Periode zu beobachten ist.[2080]

Das gesamte Ensemble aus dem kurvolinearen Bau der Phase ÇuHö VI besteht einerseits aus typisch spätchalkolithischen Elementen in seinen Formen (massive Schalen mit schräg nach innen abgestrichenem Rand, mit innen verdicktem Rand und mit gerolltem Rand; *rolled rim*), Waren (schwarzpolierte Feinwaren, Grobwaren mit Serpentinit) und Dekoration (Hell-auf-Dunkel-Bemalung mit linearen Motiven). Andererseits lassen sich bereits erste Anzeichen feststellen, die in der darauf folgenden Frühbronzezeit 1 typisch werden, wie vereinzelte Marmorwaren oder Dreifußtöpfe mit rechteckigem Fußabschluss. Das Inventar spricht für eine alltägliche Nutzung einer Gemeinschaft und dürfte für die Herstellung, Aufbewahrung und Konsumierung von Lebensmitteln verwendet worden sein.

[2076] Für eine detaillierte Beschreibung und Diskussion der Schalen s. Schwall in diesem Band (Kap. IV.4.3.1.1. mit Abb. 73).

[2077] S. dazu Schwall in diesem Band (Kap. IV.4.3.4.6. mit Abb. 89).

[2078] Peloschek 2017, 132.

[2079] Zur Diskussion der Hell-auf-Dunkel-Bemalung s. Horejs 2014, 29, Tab. 1; 30, Abb. 11; vgl. ebenso Schwall in diesem Band (Kap. IV.4.4.1. und Kap. V.2.3.).

[2080] Peloschek 2017, 132; Peloschek im Druck.

Abschließend soll ein Wandfragment mit Ausguss diskutiert werden (Taf. 29.308), das keine Parallelen in den Gefäßensembles der Schnitte M1 und N7 besitzt. Das in mittelgrober Ware mit grob geglätteter Oberfläche (WG 38) produzierte, geschlossene Gefäß weist einen Ausguss in Form eines runden 1,2 cm, großen Spundloches auf. Ausgüsse dieser Form sind generell selten zu beobachten und scheinen mitunter durchaus auf halber Höhe des Gefäßes vorzukommen, wie auch unser Exemplar veranschaulicht. Vergleichbare Ausgusskonzepte aus dem Spätchalkolithikum finden sich in Demircihüyük und Kuruçay.[2081] Die auch als Saugflaschen interpretierten Kannen oder Amphoren mit ähnlichen Ausgüssen sind auch in der Frühbronzezeit vertreten, wie Beispiele aus Troia I, Beycesultan oder Aphrodisias-Pekmez zeigen.[2082] Beim Exemplar vom Çukuriçi Höyük ist der Ausguss ebenfalls auf Bauch- oder Schulterhöhe eines geschlossenen Gefäßes angesetzt. Wie die wenigen Parallelen zeigen, sind ähnliche Gefäßkonzepte im Chalkolithikum durchaus bekannt und werden auch in der Frühbronzezeit fortgeführt.

[2081] Seeher 1987, Taf. 32.10; Duru 1996, Taf. 86.5, 13.

[2082] Blegen et al. 1950, Taf. 229; 267; Lloyd – Mellaart 1962, Abb. P.19.2; Taf. 20.9; Sharp Joukowsky 1986, 571, Abb. 411.2.

III.1.1. Katalog der Keramik aus den Schnitten N1–3 (ÇuHö VII–VIb) und N4 (ÇuHö VI–Vb)

Schnitte N1–3

ÇuHö VII

SE 068

Schalen

Kat.-Nr. 1 Taf. 1.1
Fundnr: 06/68/1/1
Form: Schale
Typ: kalottenförmig
Variante: regelmäßig gerundete Lippe
Typenbezeichnung: S1A
Erhaltungszustand: abgerieben
Fabrikat: 32
Maße (cm):
Wandstärke: 1,8
Dm. (Rand): 18
Dm. (Rand, erhalten in %): 7

SE 087

Schalen

Kat.-Nr. 2 Taf. 1.2
Fundnr: 06/87/1/13
Form: Schale
Typ: kalottenförmig
Variante: regelmäßig gerundete Lippe
Typenbezeichnung: S1A
Erhaltungszustand: abgerieben
Fabrikat: 8
Maße (cm):
Wandstärke: 0,8
Dm. (Rand): 30
Dm. (Rand, erhalten in %): 8

Kat.-Nr. 3 Taf. 1.3
Fundnr: 06/87/1/43
Form: Schale
Typ: weitmundig
Variante: spitz ausgezogene Lippe
Typenbezeichnung: S4B
Erhaltungszustand: stark abgerieben
Fabrikat: 0
Maße (cm):
Wandstärke: 0,5
Dm. (Rand): 16
Dm. (Rand, erhalten in %): 7

Kat.-Nr. 4 Taf. 1.4
Fundnr: 06/87/1/16
Form: Schale
Typ: kalottenförmig
Variante: horizontal abgestrichene Lippe
Typenbezeichnung: S1D
Erhaltungszustand: gut
Fabrikat: 19
Beschreibung: im Bruch 2 große Magerungspartikel vorhanden, aber Rest wie WG 19
Maße (cm):
Wandstärke: 0,8
Dm. (Rand): 18
Dm. (Rand, erhalten in %): 5,5

Töpfe

Kat.-Nr. 5 Taf. 1.5
Fundnr: 06/87/1/9
Form: Topf
Typ: steil konkave Wandung
Variante: regelmäßig gerundete Lippe
Typenbezeichnung: T2A
Erhaltungszustand: versintert
Fabrikat: 24
Maße (cm):
Wandstärke: 0,7
Dm. (Rand): 13
Dm. (Rand, erhalten in %): 12

Kat.-Nr. 6
Fundnr: 06/87/1/17
Form: Topf
Typ: sanft geschwungene Wandung
Variante: regelmäßig gerundete Lippe
Typenbezeichnung: T1A
Erhaltungszustand: abgerieben
Fabrikat: 22
Maße (cm):
Wandstärke: 0,3–0,4
Dm. (Rand): 10
Dm. (Rand, erhalten in %): 13

Kat.-Nr. 7 Taf. 1.7
Fundnr: 06/87/1/20
Form: Topf
Typ: sanft geschwungene Wandung
Variante: regelmäßig gerundete Lippe
Typenbezeichnung: T1A
Erhaltungszustand: abgerieben, versintert
Fabrikat: 22
Beschreibung: Dm. Rand nicht ermittelbar
Maße (cm):
Wandstärke: 0,5

Kat.-Nr. 8 Taf. 1.8
Fundnr: 06/87/1/46
Form: Topf
Typ: sanft geschwungene Wandung
Variante: regelmäßig gerundete Lippe
Typenbezeichnung: T1A
Erhaltungszustand: versintert, sekundär verbrannt
Fabrikat: 0
Beschreibung: Dm. Rand nicht ermittelbar

Maße (cm):
Wandstärke: 0,5

Kat.-Nr. 9 Taf. 1.9
Fundnr: 06/87/1/48
Form: Topf
Typ: sanft geschwungene Wandung
Variante: regelmäßig gerundete Lippe
Typenbezeichnung: T1A
Erhaltungszustand: abgerieben, sekundär verbrannt
Fabrikat: 0
Beschreibung: Dm. Rand nicht ermittelbar
Maße (cm):
Wandstärke: 0,4

Kat.-Nr. 10 Taf. 2.10
Fundnr: 06/87/1/12
Form: Topf
Typ: sanft geschwungene Wandung
Variante: spitz ausgezogene Lippe
Typenbezeichnung: T1B
Bermerkung: Ansatz einer Handhabe
Erhaltungszustand: Oberfläche außen stark versintert
Fabrikat: 0
Beschreibung: Dm. Rand nicht ermittelbar
Maße (cm):
Wandstärke: 0,6–0,7

Kat.-Nr. 11 Taf. 1.11
Fundnr: 06/87/1/23
Form: Topf
Typ: sanft geschwungene Wandung
Variante: horizontal abgestrichene Lippe
Typenbezeichnung: T1D
Erhaltungszustand: abgerieben, sekundär verbrannt
Fabrikat: 0
Beschreibung: Magerung wie WG 8
Maße (cm):
Wandstärke: 0,6
Dm. (Rand): 20
Dm. (Rand, erhalten in %): 11

Kat.-Nr. 12 Taf. 2.12
Fundnr: 06/87/1/6
Form: Topf
Typ: sanft geschwungene Wandung
Variante: nach innen geschwollener Rand
Typenbezeichnung: T1F
Erhaltungszustand: abgerieben
Fabrikat: 17
Maße (cm):
Wandstärke: 0,6
Dm. (Rand): 18
Dm. (Rand, erhalten in %): 11

Kat.-Nr. 13
Fundnr: 06/87/1/3
Form: Topf
Typ: steil konkave Wandung
Variante: regelmäßig gerundete Lippe
Typenbezeichnung: T2A
Erhaltungszustand: abgerieben
Fabrikat: 17
Beschreibung: Dm. Rand < 5 %, daher unsicher
Maße (cm):
Wandstärke: 0,7
Dm. (Rand): 20
Dm. (Rand, erhalten in %): 4,5

Kat.-Nr. 14 Taf. 2.14
Fundnr: 06/87/1/2
Form: Topf
Typ: steil konkave Wandung
Variante: spitz ausgezogene Lippe
Typenbezeichnung: T2B
Erhaltungszustand: versintert
Fabrikat: 18
Maße (cm):
Wandstärke: 0,6
Dm. (Rand): 24
Dm. (Rand, erhalten in %): 9,1

Kat.-Nr. 15 Taf. 2.15
Fundnr: 06/87/1/8
Form: Topf
Typ: steil konkave Wandung
Variante: spitz ausgezogene Lippe
Typenbezeichnung: T2B
Erhaltungszustand: abgerieben
Fabrikat: 22
Beschreibung: Dm. Rand < 5 %, daher unsicher
Maße (cm):
Wandstärke: 0,4
Dm. (Rand): 16
Dm. (Rand, erhalten in %): 3

Kat.-Nr. 16 Taf. 2.16
Fundnr: 06/87/1/44
Form: Topf
Typ: schräg konkave Wandung
Variante: regelmäßig gerundete Lippe
Typenbezeichnung: T3A
Erhaltungszustand: abgerieben
Fabrikat: 17
Maße (cm):
Wandstärke: 0,5
Dm. (Rand): 10
Dm. (Rand, erhalten in %): 8

Halsgefäße

Kat.-Nr. 17 Taf. 2.17
Fundnr: 06/87/1/47
Form: Halsgefäß
Typ: gerade Wandung
Variante: regelmäßig gerundete Lippe
Typenbezeichnung: Hg1A
Erhaltungszustand: abgerieben
Fabrikat: 22
Beschreibung: Dm. Rand nicht ermittelbar
Maße (cm):
Wandstärke: 0,5

Kat.-Nr. 18 Taf. 2.18
Fundnr: 06/87/1/4
Form: Halsgefäß
Typ: geschwungene Wandung
Variante: regelmäßig gerundete Lippe
Typenbezeichnung: Hg2A
Erhaltungszustand: versintert
Fabrikat: 24
Maße (cm):
Wandstärke: 0,5
Dm. (Rand): 14
Dm. (Rand, erhalten in %): 12

Offene Gefäßformen

Kat.-Nr. 19 Taf. 3.19
Fundnr: 06/87/1/18
Form: offen
Variante: regelmäßig gerundete Lippe
Erhaltungszustand: versintert
Fabrikat: 18
Maße (cm):
Wandstärke: 0,5
Dm. (Rand): 20
Dm. (Rand, erhalten in %): 5

Böden

Kat.-Nr. 20 Taf. 3.20
Fundnr: 06/87/1/33
Anpassung: 06/87/1/51
Form: Boden
Typ: Flachboden
Variante: eckiger Übergang zur Basis
Typenbezeichnung: B1B
Erhaltungszustand: abgerieben, sekundär verbrannt
Fabrikat: 0
Maße (cm):
Wandstärke: 0,3
Dm. (Boden): 13
Dm. (Boden, erhalten in %): 19,5

Kat.-Nr. 21 Taf. 3.21
Fundnr: 06/87/1/45
Form: Boden
Typ: Flachboden
Variante: eckiger Übergang zur Basis
Typenbezeichnung: B1B
Erhaltungszustand: stark versintert
Fabrikat: 0
Maße (cm):
Wandstärke: 0,5
Dm. (Boden): 10
Dm. (Boden, erhalten in %): 12

Kat.-Nr. 22 Taf. 3.22
Fundnr: 06/87/1/49
Form: Boden
Typ: Scheibenbasis
Variante: eingewölbte Standfläche
Typenbezeichnung: B2A
Erhaltungszustand: stark versintert
Fabrikat: 0
Beschreibung: FK, Farbe Oberfläche außen, innen und Bruch nicht bestimmbar
Maße (cm):
Wandstärke: 0,6
Dm. (Boden): 10
Dm. (Boden, erhalten in %): 9

Ösen

Kat.-Nr. 23 Taf. 3.23
Fundnr: 06/87/1/26
Form: Röhrenöse
Typ: vertikal
Typenbezeichnung: Ö2B
Erhaltungszustand: gut, teilweise versintert
Fabrikat: 18
Maße (cm):
Länge: erh. 1,8
Breite: erh. 1,2
Dicke: erh. 0,3
Wandstärke: 0,5
Dm. (Lochung): erh. 0,6

Charakteristische Wandfragmente

Kat.-Nr. 24 Taf. 3.24
Fundnr: 06/87/1/27
Form: charakteristisches Wandfragment
Typ: Ansatz einer Handhabe
Typenbezeichnung: WS4
Erhaltungszustand: stark versintert, sekundär verbrannt
Fabrikat: 0
Maße (cm):
Wandstärke: 0,4
Länge: erh. 1,5
Breite: erh. 1,5

Kat.-Nr. 25 Taf. 4.25
Fundnr: 06/87/1/28
Form: charakteristisches Wandfragment
Typ: Ansatz einer Handhabe
Typenbezeichnung: WS4
Erhaltungszustand: versintert
Fabrikat: 30
Maße (cm):
Wandstärke: 0,7
Länge: erh. 1,6
Breite: erh. 1,6

Kat.-Nr. 26 Taf. 4.26
Fundnr: 06/87/1/30
Form: charakteristisches Wandfragment
Typ: Ansatz einer Handhabe
Typenbezeichnung: WS4
Erhaltungszustand: stark versintert, sekundär verbrannt
Fabrikat: 0
Maße (cm):
Wandstärke: 0,6

SE 089

Schalen

Kat.-Nr. 27 Taf. 4.27
Fundnr: 06/89/1/4
Form: Schale
Typ: weitmundig
Variante: regelmäßig gerundete Lippe
Typenbezeichnung: S4A
Erhaltungszustand: versintert
Fabrikat: 21
Maße (cm):
Wandstärke: 0,8
Dm. (Rand): 30
Dm. (Rand, erhalten in %): 6

Kat.-Nr. 28
Fundnr: 06/89/1/10
Form: Schale
Typ: kalottenförmig
Variante: regelmäßig gerundete Lippe
Typenbezeichnung: S1A
Erhaltungszustand: abgerieben, sekundär verbrannt
Fabrikat: 0
Maße (cm):
Wandstärke: 0,4–0,5
Dm. (Rand): 8
Dm. (Rand, erhalten in %): 9

Kat.-Nr. 29 Taf. 4.29
Fundnr: 06/89/1/16
Form: Schale
Typ: kalottenförmig
Variante: regelmäßig gerundete Lippe
Typenbezeichnung: S1A
Erhaltungszustand: abgerieben
Fabrikat: 22
Beschreibung: Dm. Rand < 5 %, daher unsicher
Maße (cm):
Wandstärke: 0,5
Dm. (Rand): 22
Dm. (Rand, erhalten in %): 4,9

Töpfe

Kat.-Nr. 30 Taf. 4.30
Fundnr: 06/89/1/2
Form: Topf
Typ: sanft geschwungene Wandung
Variante: regelmäßig gerundete Lippe
Typenbezeichnung: T1A
Erhaltungszustand: abgerieben
Fabrikat: 18
Beschreibung: Dm. Rand < 5 %, daher unsicher
Maße (cm):
Wandstärke: 0,5
Dm. (Rand): 30
Dm. (Rand, erhalten in %): 4,6

Kat.-Nr. 31 Taf. 4.31

Fundnr: 06/89/1/9
Form: Topf
Typ: sanft geschwungene Wandung
Variante: regelmäßig gerundete Lippe
Typenbezeichnung: T1A
Erhaltungszustand: stark versintert
Fabrikat: 24
Maße (cm):
Wandstärke: 0,7
Dm. (Rand): 12
Dm. (Rand, erhalten in %): 6

Kat.-Nr. 32
Fundnr: 06/89/1/8
Form: Topf
Typ: unbestimmt
Variante: spitz ausgezogene Lippe
Typenbezeichnung: T0B
Erhaltungszustand: abgerieben
Fabrikat: 24
Maße (cm):
Wandstärke: 0,7–0,8
Dm. (Rand): 30
Dm. (Rand, erhalten in %): 5

Offene Gefäßformen

Kat.-Nr. 33 Taf. 4.33
Fundnr: 06/89/1/15
Form: offen
Variante: spitz ausgezogene Lippe
Erhaltungszustand: abgerieben
Fabrikat: 24
Beschreibung: Dm. Rand < 5 %, daher unsicher
Maße (cm):
Wandstärke: 0,8
Dm. (Rand): 28
Dm. (Rand, erhalten in %): 4,3

Böden

Kat.-Nr. 34 Taf. 5.34
Fundnr: 06/89/1/23
Form: Boden
Typ: Flachboden
Variante: eckiger Übergang zur Basis
Typenbezeichnung: B1B
Erhaltungszustand: stark abgerieben, versintert
Fabrikat: 0
Maße (cm):
Wandstärke: 0,3
Dm. (Boden): erh. 0,5–6,0
Dm. (Boden, erhalten in %): > 30

Kat.-Nr. 35 Taf. 5.35
Fundnr: 06/89/1/20
Form: Boden
Typ: Scheibenbasis

Variante: eingewölbte Standfläche
Typenbezeichnung: B2A
Erhaltungszustand: abgerieben
Fabrikat: 17
Maße (cm):
Wandstärke: 0,6
Dm. (Boden): 6
Dm. (Boden, erhalten in %): 24,5

Kat.-Nr. 36 Taf. 5.36
Fundnr: 06/89/1/22
Form: Boden
Typ: Scheibenbasis
Variante: eingewölbte Standfläche
Typenbezeichnung: B2A
Erhaltungszustand: stark versintert
Fabrikat: 0
Beschreibung: FK, in Bruch und Magerung wie WG 22 bzw. WG 24
Maße (cm):
Wandstärke: 0,3
Dm. (Boden): 10
Dm. (Boden, erhalten in %): 22,7

Kat.-Nr. 37 Taf. 5. 37
Fundnr: 06/89/1/25
Form: Boden
Typ: Scheibenbasis
Variante: eingewölbte Standfläche
Typenbezeichnung: B2A
Erhaltungszustand: stark abgerieben, sekundär verbrannt
Fabrikat: 0
Maße (cm):
Wandstärke: 0,5
Dm. (Boden): 6
Dm. (Boden, erhalten in %): 21

Kat.-Nr. 38 Taf. 5.38
Fundnr: 06/89/1/26
Form: Boden
Typ: Scheibenbasis
Variante: eingewölbte Standfläche
Typenbezeichnung: B2A
Erhaltungszustand: Oberfläche außen stark versintert, innen kaum erhalten; sekundär verbrannt
Fabrikat: 0
Maße (cm):
Wandstärke: 0,6
Dm. (Boden): 8
Dm. (Boden, erhalten in %): 35

Kat.-Nr. 39 Taf. 5.39
Fundnr: 06/89/1/28
Form: Boden
Typ: Scheibenbasis
Variante: eingewölbte Standfläche
Typenbezeichnung: B2A
Erhaltungszustand: stark abgerieben
Fabrikat: 0
Maße (cm):
Wandstärke: 0,6
Dm. (Boden): 7
Dm. (Boden, erhalten in %): 24,5

Kat.-Nr. 40 Taf. 6.40
Fundnr: 06/89/1/30
Form: Boden
Typ: Scheibenbasis
Variante: eingewölbte Standfläche
Typenbezeichnung: B2A
Erhaltungszustand: stark abgerieben, sekundär verbrannt
Fabrikat: 0
Maße (cm):
Wandstärke: 0,5
Dm. (Boden): 8
Dm. (Boden, erhalten in %): 21

Henkel

Kat.-Nr. 41 Taf. 6.41
Fundnr: 06/89/1/17
Form: Vertikalhenkel
Typ: ovaler Querschnitt
Typenbezeichnung: H1
Erhaltungszustand: stark abgerieben, stark versintert
Fabrikat: 22
Maße (cm):
Länge: 6
Breite: 1,7
Dicke: 0,9
Wandstärke: 0,8

SE 094

Schalen

Kat.-Nr. 42 Taf. 6.42
Fundnr: 06/94/1/4
Form: Schale
Typ: kalottenförmig
Variante: regelmäßig gerundete Lippe
Typenbezeichnung: S1A
Erhaltungszustand: stark versintert
Fabrikat: 0
Maße (cm):
Wandstärke: 0,7
Dm. (Rand): 35
Dm. (Rand, erhalten in %): 10

Kat.-Nr. 43 Taf. 6.43
Fundnr: 06/94/1/5
Form: Schale
Typ: weitmundig
Variante: regelmäßig gerundete Lippe
Typenbezeichnung: S4A
Erhaltungszustand: versintert
Fabrikat: 24
Maße (cm):
Wandstärke: 0,7
Dm. (Rand): 13
Dm. (Rand, erhalten in %): 11

Kat.-Nr. 44
Fundnr: 06/94/1/6
Form: Schale
Typ: kalottenförmig
Variante: regelmäßig gerundete Lippe
Typenbezeichnung: S1A
Erhaltungszustand: stark abgerieben
Fabrikat: 0
Maße (cm):
Wandstärke: 0,6
Dm. (Rand): 26
Dm. (Rand, erhalten in %): 5,5

Töpfe

Kat.-Nr. 45 Taf. 6.45
Fundnr: 06/94/1/12
Form: Topf
Typ: sanft geschwungene Wandung
Variante: regelmäßig gerundete Lippe
Typenbezeichnung: T1A
Erhaltungszustand: abgerieben, sekundär verbrannt
Fabrikat: 0
Beschreibung: Dm. Rand nicht ermittelbar
Maße (cm):
Wandstärke: 0,8

Kat.-Nr. 46 Taf. 6.46
Fundnr: 06/94/1/13
Form: Topf
Typ: sanft geschwungene Wandung
Variante: regelmäßig gerundete Lippe
Typenbezeichnung: T1A
Erhaltungszustand: stark versintert
Fabrikat: 24
Maße (cm):
Wandstärke: 0,4
Dm. (Rand): 14
Dm. (Rand, erhalten in %): 7

Kat.-Nr. 47 Taf. 6.47
Fundnr: 06/94/1/2
Form: Topf
Typ: sanft geschwungene Wandung
Variante: spitz ausgezogene Lippe
Typenbezeichnung: T1B
Erhaltungszustand: stark abgerieben
Fabrikat: 22
Maße (cm):
Wandstärke: 0,5
Dm. (Rand): 20
Dm. (Rand, erhalten in %): 6

Kat.-Nr. 48 Taf. 7.48
Fundnr: 06/94/1/8
Form: Topf
Typ: sanft geschwungene Wandung
Variante: nach innen geschwollener Rand
Typenbezeichnung: T2F
Erhaltungszustand: versintert
Fabrikat: 22
Maße (cm):
Wandstärke: 0,6
Dm. (Rand): 16
Dm. (Rand, erhalten in %): 8

Kat.-Nr. 49 Taf. 7.49
Fundnr: 06/94/1/29
Form: Topf
Typ: sanft geschwungene Wandung
Variante: nach innen geschwollener Rand
Typenbezeichnung: T1F
Erhaltungszustand: abgerieben, teilweise versintert
Fabrikat: 24
Beschreibung: Dm. Rand nicht ermittelbar
Maße (cm):
Wandstärke: 0,6

Kat.-Nr. 50 Taf. 7.50
Fundnr: 06/94/1/32
Form: Topf
Typ: schräg konkave Wandung
Variante: regelmäßig gerundete Lippe
Typenbezeichnung: T3A
Erhaltungszustand: abgerieben
Fabrikat: 17
Maße (cm):
Wandstärke: 0,5
Dm. (Rand): 15
Dm. (Rand, erhalten in %): 6

Kat.-Nr. 51
Fundnr: 06/94/1/401
Form: Topf
Typ: schräg konkave Wandung
Variante: regelmäßig gerundete Lippe
Typenbezeichnung: T3A
Erhaltungszustand: versintert
Fabrikat: 24
Beschreibung: Dm. Rand < 5 cm, daher unsicher
Maße (cm):
Wandstärke: 0,6
Dm. (Rand): 14
Dm. (Rand, erhalten in %): 4,5

Kat.-Nr. 52 Taf. 7.52
Fundnr: 06/94/1/9
Form: Topf
Variante: regelmäßig gerundete Lippe
Typenbezeichnung: T0A
Erhaltungszustand: versintert, sekundär verbrannt
Fabrikat: 0
Beschreibung: in Magerung Ähnlichkeit mit WG 22 bzw. WG 24
Maße (cm):
Wandstärke: 0,6–0,9
Dm. (Rand): 10
Dm. (Rand, erhalten in %): 13

Halsgefäße

Kat.-Nr. 53 Taf. 7.53
Fundnr: 06/94/1/35

Form: Halsgefäß
Typ: geschwungene Wandung
Variante: regelmäßig gerundete Lippe
Typenbezeichnung: Hg2A
Erhaltungszustand: abgerieben
Fabrikat: 22
Maße (cm):
Wandstärke: 0,4
Dm. (Rand): 13
Dm. (Rand, erhalten in %): 6,5

Offene Gefäßformen

Kat.-Nr. 54 Taf. 7.54
Fundnr: 06/94/1/17
Form: offen
Variante: regelmäßig gerundete Lippe
Erhaltungszustand: abgerieben
Fabrikat: 22
Maße (cm):
Wandstärke: 0,7
Dm. (Rand): 12
Dm. (Rand, erhalten in %): 6,5

Böden

Kat.-Nr. 55
Fundnr: 06/94/1/33
Form: Boden
Typ: Flachboden
Variante: abgerundeter Übergang zur Basis
Typenbezeichnung: B1A
Erhaltungszustand: stark abgerieben
Fabrikat: 0
Beschreibung: in Magerung wie WG 18; Dm. Boden nicht ermittelbar
Maße (cm):
Wandstärke: 0,6

Kat.-Nr. 56 Taf. 7.56
Fundnr: 06/94/1/403
Form: Boden
Typ: Flachboden
Variante: abgerundeter Übergang zur Basis
Typenbezeichnung: B1A
Erhaltungszustand: stark abgerieben
Fabrikat: 17
Maße (cm):
Wandstärke: 0,6
Dm. (Boden): 11
Dm. (Boden, erhalten in %): 11

Kat.-Nr. 57 Taf. 8.57
Fundnr: 06/94/1/21
Form: Boden
Typ: Flachboden
Variante: eckiger Übergang zur Basis
Typenbezeichnung: B1B
Erhaltungszustand: abgerieben
Fabrikat: 30
Beschreibung: Dm. Boden nicht ermittelbar

Kat.-Nr. 58 Taf. 8.58
Fundnr: 06/94/1/405
Form: Boden
Typ: Scheibenbasis
Variante: eingewölbte Standfläche
Typenbezeichnung: B2A
Erhaltungszustand: versintert
Fabrikat: 22
Maße (cm):
Wandstärke: 0,5
Dm. (Boden): 10
Dm. (Boden, erhalten in %): 7

Ösen

Kat.-Nr. 59
Fundnr: 06/94/1/25
Form: Röhrenöse
Typ: vertikal
Typenbezeichnung: Ö2B
Erhaltungszustand: versintert
Fabrikat: 8
Maße (cm):
Länge: 4,9
Breite: max. 2,8
Dicke: 0,4
Wandstärke: 0,5
Dm. (Lochung): 0,9

Charakteristische Wandfragmente

Kat.-Nr. 60 Taf. 8.60
Fundnr: 06/94/1/407
Form: charakteristisches Wandfragment
Typ: Leiste
Typenbezeichnung: WS6
Erhaltungszustand: abgerieben
Fabrikat: 11
Maße (cm):
Länge: 3,6
Breite: 0,5
Dicke: 0,2–0,3
Wandstärke: 0,4

SE 096

Schalen

Kat.-Nr. 61 Taf. 8.61
Fundnr: 06/96/1/6
Form: Schale
Typ: kalottenförmig
Variante: regelmäßig gerundete Lippe
Typenbezeichnung: S1A
Erhaltungszustand: abgerieben
Fabrikat: 22
Maße (cm):
Wandstärke: 0,5
Dm. (Rand): 10
Dm. (Rand, erhalten in %): 12

Kat.-Nr. 62 Taf. 8.62
Fundnr: 06/96/1/516
Form: Schale
Typ: sanft s-profiliert
Variante: nach innen geschwollener Rand
Typenbezeichnung: S2F
Erhaltungszustand: abgerieben, teilweise versintert
Fabrikat: 22
Maße (cm):
Wandstärke: 0,3–0,5
Dm. (Rand): 14
Dm. (Rand, erhalten in %): 13,5

Kat.-Nr. 63 Taf. 8.63
Fundnr: 06/96/1/3
Form: Schale
Typ: sanft geschwungene Wandung
Variante: regelmäßig gerundete Lippe
Typenbezeichnung: S5A
Erhaltungszustand: versintert
Fabrikat: 24
Maße (cm):
Wandstärke: 0,6
Dm. (Rand): 23
Dm. (Rand, erhalten in %): 7,5

Kat.-Nr. 64
Fundnr: 06/96/1/510
Form: Schale
Typ: sanft geschwungene Wandung
Variante: spitz ausgezogene Lippe
Typenbezeichnung: S5B
Erhaltungszustand: gut
Fabrikat: 24
Maße (cm):
Wandstärke: 0,6
Dm. (Rand): 30
Dm. (Rand, erhalten in %): 5,5

Töpfe

Kat.-Nr. 65 Taf. 8.65
Fundnr: 06/96/1/507
Form: Topf
Typ: sanft geschwungene Wandung
Variante: regelmäßig gerundete Lippe
Typenbezeichnung: T1A
Erhaltungszustand: stark versintert
Fabrikat: 0
Maße (cm):
Wandstärke: 0,5
Dm. (Rand): 16
Dm. (Rand, erhalten in %): 6

Kat.-Nr. 66 Taf. 9.66
Fundnr: 06/96/1/26
Form: Topf
Typ: sanft geschwungene Wandung
Variante: horizontal abgestrichene Lippe
Typenbezeichnung: T1D
Erhaltungszustand: versintert
Fabrikat: 17
Maße (cm):
Wandstärke: 1
Dm. (Rand): 18
Dm. (Rand, erhalten in %): 9

Kat.-Nr. 67 Taf. 9.67
Fundnr: 06/96/1/1
Form: Topf
Typ: steil konkave Wandung
Variante: regelmäßig gerundete Lippe
Typenbezeichnung: T2A
Erhaltungszustand: stark versintert
Fabrikat: 0
Beschreibung: in Magerung wie WG 18
Maße (cm):
Wandstärke: 0,5–0,6
Dm. (Rand): 17
Dm. (Rand, erhalten in %): 10

Kat.-Nr. 68 Taf. 9.68
Fundnr: 06/96/1/513
Form: Topf
Typ: steil konkave Wandung
Variante: regelmäßig gerundete Lippe
Typenbezeichnung: T2A
Erhaltungszustand: gut
Fabrikat: 24
Maße (cm):
Wandstärke: 0,5–0,6
Dm. (Rand): 16
Dm. (Rand, erhalten in %): 7

Kat.-Nr. 69 Taf. 9.69
Fundnr: 06/96/1/505
Form: Topf
Typ: schräg konkave Wandung
Variante: regelmäßig gerundete Lippe
Typenbezeichnung: T3A
Erhaltungszustand: stark versintert
Fabrikat: 0
Beschreibung: in Magerung wie WG 8; Dm. Rand < 5 %, daher unsicher
Maße (cm):
Wandstärke: 0,6
Dm. (Rand): 24
Dm. (Rand, erhalten in %): 3

Kat.-Nr. 70 Taf. 9.70
Fundnr: 06/96/1/515
Form: Topf
Typ: schräg konkave Wandung
Variante: regelmäßig gerundete Lippe
Typenbezeichnung: T3A
Erhaltungszustand: gut
Fabrikat: 24
Beschreibung: Dm. Rand < 5 %, daher unsicher
Maße (cm):
Wandstärke: 0,7
Dm. (Rand): 26
Dm. (Rand, erhalten in %): 3,5

Kat.-Nr. 71 Taf. 9.71
Fundnr: 06/96/1/537
Form: Topf
Typ: schräg konkave Wandung
Variante: regelmäßig gerundete Lippe
Typenbezeichnung: T3A
Erhaltungszustand: abgerieben, sekundär verbrannt
Fabrikat: 22
Beschreibung: Dm. Rand < 5 %, daher unsicher
Maße (cm):
Wandstärke: 0,6
Dm. (Rand): 18
Dm. (Rand, erhalten in %): 3

Kat.-Nr. 72 Taf. 10.72
Fundnr: 06/96/1/512
Form: Topf
Typ: schräg konkave Wandung
Variante: nach innen geschwollener Rand
Typenbezeichnung: T3F
Erhaltungszustand: versintert
Fabrikat: 24
Beschreibung: Oberfläche außen rot; Farbe innen und in Magerung wie WG 24
Maße (cm):
Wandstärke: 0,4
Dm. (Rand): 11
Dm. (Rand, erhalten in %): 10

Kat.-Nr. 73 Taf. 10.73
Fundnr: 06/96/1/2
Form: Topf
Variante: regelmäßig gerundete Lippe
Typenbezeichnung: T0A
Erhaltungszustand: versintert
Fabrikat: 17
Maße (cm):
Wandstärke: 1,0–1,3
Dm. (Rand): 34
Dm. (Rand, erhalten in %): 6,5

Halsgefäße

Kat.-Nr. 74 Taf. 10.74
Fundnr: 06/96/1/5
Form: Halsgefäß
Typ: gerade Wandung
Variante: regelmäßig gerundete Lippe
Typenbezeichnung: Hg1A
Erhaltungszustand: versintert
Fabrikat: 24
Maße (cm):
Wandstärke: 0,45
Dm. (Rand): 24
Dm. (Rand, erhalten in %): 7,5

Kat.-Nr. 75 Taf.10.75
Fundnr: 06/96/1/504
Form: Halsgefäß
Typ: gerade Wandung
Variante: regelmäßig gerundete Lippe
Typenbezeichnung: Hg1A
Erhaltungszustand: abgerieben
Fabrikat: 18
Maße (cm):
Wandstärke: 0,5
Dm. (Rand): 12
Dm. (Rand, erhalten in %): 7

Kat.-Nr. 76 Taf. 10.76
Fundnr: 06/96/1/7
Form: Halsgefäß
Typ: geschwungene Wandung
Variante: regelmäßig gerundete Lippe
Typenbezeichnung: Hg2A
Erhaltungszustand: stark abgerieben
Fabrikat: 0
Maße (cm):
Wandstärke: 0,4
Dm. (Rand): 11
Dm. (Rand, erhalten in %): 16

Kat.-Nr. 77 Taf. 10.77
Fundnr: 06/96/1/9
Form: Halsgefäß
Typ: geschwungene Wandung
Variante: regelmäßig gerundete Lippe
Typenbezeichnung: Hg2A
Erhaltungszustand: stark abgerieben
Fabrikat: 18
Maße (cm):
Wandstärke: 0,4–0,5
Dm. (Rand): 10
Dm. (Rand, erhalten in %): 7,5

Böden

Kat.-Nr. 78 Taf. 10.78
Fundnr: 06/96/1/535
Form: Boden
Typ: Flachboden
Variante: abgerundeter Übergang zur Basis
Typenbezeichnung: B1A
Erhaltungszustand: stark abgerieben
Fabrikat: 22
Maße (cm):
Wandstärke: 0,5
Dm. (Boden): 6
Dm. (Boden, erhalten in %): 30

Kat.-Nr. 79
Fundnr: 06/96/1/529
Form: Boden
Typ: Flachboden
Variante: eckiger Übergang zur Basis
Typenbezeichnung: B1B
Erhaltungszustand: abgerieben
Fabrikat: 22
Maße (cm):
Wandstärke: 0,8
Dm. (Boden): 7
Dm. (Boden, erhalten in %): 18

Kat.-Nr. 80
Fundnr: 06/96/1/539
Form: Boden
Typ: Flachboden
Variante: eckiger Übergang zur Basis
Typenbezeichnung: B1B
Erhaltungszustand: abgerieben
Fabrikat: 24
Maße (cm):
Wandstärke: 0,6
Dm. (Boden): 6
Dm. (Boden, erhalten in %): 15

Kat.-Nr. 81 Taf. 10.81
Fundnr: 06/96/1/13
Form: Boden
Typ: Scheibenbasis
Variante: eingewölbte Standfläche
Typenbezeichnung: B2A
Erhaltungszustand: stark versintert
Fabrikat: 0
Beschreibung: in Bruch wie WG 18
Maße (cm):
Wandstärke: 0,9–1,2
Dm. (Boden): 16
Dm. (Boden, erhalten in %): 12

Kat.-Nr. 82 Taf. 11.82
Fundnr: 06/96/1/24
Form: Boden
Typ: Scheibenbasis
Variante: eingewölbte Standfläche
Typenbezeichnung: B2A
Erhaltungszustand: versintert
Fabrikat: 18
Beschreibung: Dm. Boden nicht ermittelbar

Kat.-Nr. 83 Taf. 11.83
Fundnr: 06/96/1/530
Form: Boden
Typ: Scheibenbasis
Variante: eingewölbte Standfläche
Typenbezeichnung: B2A
Erhaltungszustand: versintert
Fabrikat: 24
Maße (cm):
Wandstärke: 0,7
Dm. (Boden): 10
Dm. (Boden, erhalten in %): 18

Kat.-Nr. 84 Taf. 11.84
Fundnr: 06/96/1/532
Form: Boden
Typ: Scheibenbasis
Variante: eingewölbte Standfläche
Typenbezeichnung: B2A
Erhaltungszustand: abgerieben; teilweise versintert
Fabrikat: 22
Maße (cm):
Wandstärke: 0,6
Dm. (Boden): 10
Dm. (Boden, erhalten in %): 25

Kat.-Nr. 85 Taf. 11.85
Fundnr: 06/96/1/534
Form: Boden
Typ: Scheibenbasis
Variante: eingewölbte Standfläche
Typenbezeichnung: B2A
Erhaltungszustand: stark versintert
Fabrikat: 0
Maße (cm):
Dm. (Boden): 9
Dm. (Boden, erhalten in %): 17

Kat.-Nr. 86
Fundnr: 06/96/1/536
Form: Boden
Typ: Scheibenbasis
Variante: eingewölbte Standfläche
Typenbezeichnung: B2A
Erhaltungszustand: versintert
Fabrikat: 22
Maße (cm):
Wandstärke: 0,5
Dm. (Boden): 12
Dm. (Boden, erhalten in %): 17,5

Henkel

Kat.-Nr. 87 Taf. 11.87
Fundnr: 06/96/1/522
Form: Horizontalhenkel
Typ: ovaler Querschnitt
Typenbezeichnung: H5
Erhaltungszustand: gut
Fabrikat: 22
Maße (cm):
Länge: 4,8
Breite: 1,4
Dicke: 0,7
Wandstärke: 0,5

Charakteristische Wandfragmente

Kat.-Nr. 88 Taf. 11.88
Fundnr: 06/96/1/21
Form: charakteristisches Wandfragment
Typ: Ansatz einer Handhabe
Typenbezeichnung: WS4
Erhaltungszustand: versintert
Fabrikat: 30
Maße (cm):
Länge: erh. 2
Breite: erh. 2,7
Dicke: erh. 1,3
Wandstärke: 0,5

SE 102

Töpfe

Kat.-Nr. 89 Taf. 12.89
Fundnr: 06/102/1/19
Form: Topf

Typ: sanft geschwungene Wandung
Variante: regelmäßig gerundete Lippe
Typenbezeichnung: T1A
Erhaltungszustand: versintert
Fabrikat: 0
Beschreibung: im Bruch wie WG 26; Dm. Rand < 5 %, daher unsicher
Maße (cm):
Wandstärke: 0,6
Dm. (Rand): 18
Dm. (Rand, erhalten in %): 4

SE 316

Schalen

Kat.-Nr. 90 Taf. 12.90
Fundnr: 07/316/1/1502
Form: Schale
Typ: kalottenförmig
Variante: regelmäßig gerundete Lippe
Typenbezeichnung: S1A
Erhaltungszustand: abgerieben
Fabrikat: 22
Beschreibung: Dm. Rand < 5 %, daher unsicher
Maße (cm):
Wandstärke: 0,6
Dm. (Rand): 18
Dm. (Rand, erhalten in %): 4,8

Kat.-Nr. 91 Taf. 12.91
Fundnr: 07/316/1/305
Form: Schale
Typ: Knickrandschale
Variante: regelmäßig gerundete Lippe
Typenbezeichnung: S3A
Erhaltungszustand: abgerieben
Fabrikat: 22
Beschreibung: Dm. Rand < 5 % daher unsicher
Maße (cm):
Wandstärke: 0,5
Dm. (Rand): 12
Dm. (Rand, erhalten in %): 3

Kat.-Nr. 92 Taf. 12.92
Fundnr: 07/316/1/1501
Form: Schale
Typ: Knickrandschale
Variante: regelmäßig gerundete Lippe
Typenbezeichnung: S3A
Erhaltungszustand: abgerieben
Fabrikat: 19
Beschreibung: Dm. Rand < 5 %, daher unsicher
Maße (cm):
Wandstärke: 0,5–0,6
Dm. (Rand): 22
Dm. (Rand, erhalten in %): 4

Kat.-Nr. 93 Taf. 12.93
Fundnr: 07/316/1/325
Anpassung: 07/316/1/311
Form: Schale
Typ: weitmundig
Variante: nach innen geschwollener Rand
Typenbezeichnung: S4F
Erhaltungszustand: gut
Fabrikat: 17
Maße (cm):
Wandstärke: 0,5
Dm. (Rand): 12
Dm. (Rand, erhalten in %): 8

Töpfe

Kat.-Nr. 94 Taf. 12.94
Fundnr: 07/316/1/301
Form: Topf
Typ: sanft geschwungene Wandung
Variante: regelmäßig gerundete Lippe
Typenbezeichnung: T1A
Erhaltungszustand: abgerieben
Fabrikat: 18
Maße (cm):
Wandstärke: 0,5
Dm. (Rand): 22
Dm. (Rand, erhalten in %): 7,3

Kat.-Nr. 95 Taf. 12.95
Fundnr: 07/316/1/303
Form: Topf
Typ: sanft geschwungene Wandung
Variante: regelmäßig gerundete Lippe
Typenbezeichnung: T1A
Erhaltungszustand: abgerieben
Fabrikat: 15
Beschreibung: Dm. Rand nicht ermittelbar
Maße (cm):
Wandstärke: 1,4

Kat.-Nr. 96 Taf.12.96
Fundnr: 07/316/1/323
Form: Topf
Typ: sanft geschwungene Wandung
Variante: regelmäßig gerundete Lippe
Typenbezeichnung: T1A
Erhaltungszustand: Oberfläche total abgerieben
Fabrikat: 0
Beschreibung: in Magerung wie WG 26
Maße (cm):
Wandstärke: 0,4
Dm. (Rand): 12
Dm. (Rand, erhalten in %): 5

Kat.-Nr. 97 Taf. 12.97
Fundnr: 07/316/1/321
Form: Topf
Typ: sanft geschwungene Wandung
Variante: spitz ausgezogene Lippe
Typenbezeichnung: T1B
Erhaltungszustand: abgerieben
Fabrikat: 18
Beschreibung: Dm. Rand nicht ermittelbar
Maße (cm):
Wandstärke: 0,5

Kat.-Nr. 98 Taf. 12.98
Fundnr: 07/316/1/1503
Form: Topf
Typ: steil konkave Wandung
Variante: regelmäßig gerundete Lippe
Typenbezeichnung: T2A
Erhaltungszustand: abgerieben, sekundär verbrannt
Fabrikat: 17
Beschreibung: Dm. Rand nicht ermittelbar
Maße (cm):
Wandstärke: 0,5

Kat.-Nr. 99 Taf. 13.99
Fundnr: 07/316/1/309
Form: Topf
Variante: regelmäßig gerundete Lippe
Typenbezeichnung: T0A
Erhaltungszustand: abgerieben
Fabrikat: 24
Beschreibung: Dm. Rand nicht ermittelbar
Maße (cm):
Wandstärke: 0,4

Kat.-Nr. 100 Taf. 13.100
Fundnr: 07/316/1/322
Form: Topf
Variante: regelmäßig gerundete Lippe
Typenbezeichnung: T0A
Erhaltungszustand: abgerieben
Fabrikat: 21
Beschreibung: Dm. Rand < 5 %, daher unsicher
Maße (cm):
Wandstärke: 0,9
Dm. (Rand): 30
Dm. (Rand, erhalten in %): 4

Kat.-Nr. 101
Fundnr: 07/316/1/1506
Form: Topf
Variante: regelmäßig gerundete Lippe
Typenbezeichnung: T0A
Fabrikat: 15
Beschreibung: Dm. Rand nicht ermittelbar

Halsgefäße

Kat.-Nr. 102
Fundnr: 07/316/1/308
Form: Halsgefäß
Typ: gerade Wandung
Variante: regelmäßig gerundete Lippe
Typenbezeichnung: Hg1A
Erhaltungszustand: abgerieben
Fabrikat: 24
Beschreibung: Dm. Rand < 5 %, daher unsicher
Maße (cm):
Wandstärke: 0,6
Dm. (Rand): 16
Dm. (Rand, erhalten in %): 4

Kat.-Nr. 103 Taf. 13.103
Fundnr: 07/316/1/310
Form: Halsgefäß
Typ: gerade Wandung
Variante: regelmäßig gerundete Lippe
Typenbezeichnung: Hg1A
Erhaltungszustand: abgerieben
Fabrikat: 0
Beschreibung: abgerieben, Oberfläche und Bruch stark glimmerhältig
Maße (cm):
Wandstärke: 0,4
Dm. (Rand): 10
Dm. (Rand, erhalten in %): 5

Kat.-Nr. 104 Taf. 13.104
Fundnr: 07/316/1/324
Form: Halsgefäß
Typ: geschwungene Wandung
Variante: regelmäßig gerundete Lippe
Typenbezeichnung: Hg2A
Erhaltungszustand: gut
Fabrikat: 20
Maße (cm):
Wandstärke: 0,8
Dm. (Rand): 10
Dm. (Rand, erhalten in %): 9

Kat.-Nr. 105 Taf. 13.105
Fundnr: 07/316/1/1504
Form: Halsgefäß
Typ: geschwungene Wandung
Variante: regelmäßig gerundete Lippe
Typenbezeichnung: Hg2A
Erhaltungszustand: abgerieben
Fabrikat: 22
Beschreibung: Dm. Rand nicht ermittelbar
Maße (cm):
Wandstärke: 0,6–0,7

Kat.-Nr. 106 Taf. 13.106
Fundnr: 07/316/1/1507
Form: Halsgefäß
Typ: geschwungene Wandung
Variante: regelmäßig gerundete Lippe
Typenbezeichnung: Hg2A
Erhaltungszustand: abgerieben
Fabrikat: 22
Maße (cm):
Wandstärke: 0,2–0,4
Dm. (Rand): 9
Dm. (Rand, erhalten in %): 11

Kat.-Nr. 107 Taf. 13.107
Fundnr: 07/316/1/1508
Form: Halsgefäß
Typ: geschwungene Wandung
Variante: regelmäßig gerundete Lippe
Typenbezeichnung: Hg2A
Erhaltungszustand: abgerieben
Fabrikat: 24

Maße (cm):
Wandstärke: 0,5–0,6
Dm. (Rand): 8
Dm. (Rand, erhalten in %): 9

Offene Gefäßformen

Kat.-Nr. 108 Taf. 13.108
Fundnr: 07/316/1/312
Form: offen
Variante: regelmäßig gerundete Lippe
Erhaltungszustand: abgerieben
Fabrikat: 20
Maße (cm):
Wandstärke: 0,9
Dm. (Rand): 30
Dm. (Rand, erhalten in %): 5

Böden

Kat.-Nr. 109 Taf. 13.109
Fundnr: 07/316/1/1509
Form: Boden
Typ: Scheibenbasis
Variante: eingewölbte Standfläche
Typenbezeichnung: B2A
Erhaltungszustand: abgerieben
Fabrikat: 18
Maße (cm):
Dm. (Boden): 8
Dm. (Boden, erhalten in %): 15

Henkel

Kat.-Nr. 110 Taf. 13.110
Fundnr: 07/316/1/316
Form: Vertikalhenkel
Typ: ovaler Querschnitt
Typenbezeichnung: H1
Erhaltungszustand: abgerieben
Fabrikat: 20
Maße (cm):
Länge: erh. 4,4
Breite: erh. 3
Dicke: erh. 1,2

Kat.-Nr. 111 Taf. 13.111
Fundnr: 07/316/1/1511
Form: Vertikalhenkel
Typ: ovaler Querschnitt
Typenbezeichnung: H1
Erhaltungszustand: sekundär verbrannt
Fabrikat: 19
Maße (cm):
Länge: 4,8
Breite: 2
Dicke: 1,8

Kat.-Nr. 112 Taf. 14.112
Fundnr: 07/316/1/1513
Form: Vertikalhenkel
Typ: ovaler Querschnitt
Typenbezeichnung: H1
Erhaltungszustand: abgerieben
Fabrikat: 17
Maße (cm):
Länge: erh. 1,3
Breite: erh. 2,7
Dicke: erh. 2
Wandstärke: 0,5

Kat.-Nr. 113 Taf. 14.113
Fundnr: 07/316/1/1514
Form: Vertikalhenkel
Typ: ovaler Querschnitt
Typenbezeichnung: H1
Erhaltungszustand: abgerieben
Fabrikat: 17
Maße (cm):
Länge: 2,6
Breite: erh. 3,5
Dicke: erh. 2,3

Kat.-Nr. 114 Taf. 14.114
Fundnr: 07/316/1/1515
Form: Vertikalhenkel
Typ: ovaler Querschnitt
Typenbezeichnung: H1
Erhaltungszustand: abgerieben
Fabrikat: 22
Maße (cm):
Länge: 2,1
Breite: 1,8
Dicke: 0,9

Kat.-Nr. 115 Taf. 14.115
Fundnr: 07/316/1/304
Form: Vertikalhenkel
Typ: breiter Querschnitt
Typenbezeichnung: H2
Erhaltungszustand: gut
Fabrikat: 24
Beschreibung: am oberen Henkelansatz durchlocht
Maße (cm):
Länge: erh. 2,8
Breite: 2,5
Dicke: erh. 0,8
Wandstärke: 0,4–0,5
Dm. (Rand): 6
Dm. (Rand, erhalten in %): 21

Charakteristische Wandfragmente

Kat.-Nr. 116
Fundnr: 07/316/1/1516
Form: charakteristisches Wandfragment
Typ: durchlocht/durchbohrt
Typenbezeichnung: WS3
Erhaltungszustand: abgerieben
Fabrikat: 15
Maße (cm):
Dm. (Lochung): 6
Wandstärke: 1,5

Kat.-Nr. 117 Taf. 14.117
Fundnr: 07/316/1/318
Form: charakteristisches Wandfragment
Typ: Ansatz einer Handhabe
Typenbezeichnung: WS4
Erhaltungszustand: abgerieben
Fabrikat: 23
Maße (cm):
Länge: erh. 2,7
Breite: erh. 3,4
Dicke: erh. 1,4
Wandstärke: 0,6–0,8

SE 330

Töpfe

Kat.-Nr. 118 Taf. 14.118
Fundnr: 07/330/1/2
Form: Topf
Typ: sanft geschwungene Wandung
Variante: spitz ausgezogene Lippe
Typenbezeichnung: T1B
Erhaltungszustand: abgerieben
Fabrikat: 18
Maße (cm):
Wandstärke: 0,3
Dm. (Rand): 12
Dm. (Rand, erhalten in %): >5

Halsgefäße

Kat.-Nr. 119 Taf. 14.119
Fundnr: 07/330/1/1
Form: Halsgefäß
Typ: geschwungene Wandung
Variante: spitz ausgezogene Lippe
Typenbezeichnung: Hg2B
Erhaltungszustand: abgerieben
Fabrikat: 17
Maße (cm):
Wandstärke: 0,7
Dm. (Rand): 16,0
Dm. (Rand, erhalten in %): 10

Böden

Kat.-Nr. 120 Taf. 15.120
Fundnr: 07/330/1/3
Form: Boden
Typ: Flachboden
Variante: abgerundeter Übergang zur Basis
Typenbezeichnung: B1A
Erhaltungszustand: abgerieben
Fabrikat: 17
Beschreibung: Dm. Boden nicht ermittelbar
Maße (cm):
Wandstärke: 0,7

SE 331

Cheese pots

Kat.-Nr. 121 Taf. 15.121
Fundnr: 07/331/1/4
Form: Cheese pot
Variante: regelmäßig gerundete Lippe
Typenbezeichnung: Chb0A
Erhaltungszustand: gut
Fabrikat: 20
Beschreibung: GK, Oberfläche dünner Überzug beige bis braun, GGG, leicht uneben, leicht glänzend; Kern schwarz
Beschreibung: Dm. Rand nicht ermittelbar
Maße (cm):
Dm. (Lochung): 0,7

SE 334

Schalen

Kat.-Nr. 122 Taf. 15.122
Fundnr: 07/334/1/3
Form: Schale
Typ: weitmundig
Variante: regelmäßig gerundete Lippe
Typenbezeichnung: S4A
Erhaltungszustand: abgerieben, sekundär verbrannt
Fabrikat: 0
Beschreibung: in Magerung Ähnlichkeit mit WG 24; Dm. Rand < 5 %, daher unsicher
Maße (cm):
Wandstärke: 0,7–0,9
Dm. (Rand): 21
Dm. (Rand, erhalten in %): 4

Kat.-Nr. 123 Taf. 15.123
Fundnr: 07/334/1/5
Form: Schale
Typ: weitmundig
Variante: horizontal abgestrichene Lippe
Typenbezeichnung: S4D
Erhaltungszustand: abgerieben
Fabrikat: 24
Maße (cm):
Wandstärke: 0,6
Dm. (Rand): 20
Dm. (Rand, erhalten in %): 5,5

Kat.-Nr. 124 Taf. 15.124
Fundnr: 07/334/1/10
Form: Schale
Typ: kalottenförmig
Variante: regelmäßig gerundete Lippe
Typenbezeichnung: S1A
Erhaltungszustand: abgerieben, sekundär verbrannt
Fabrikat: 0
Beschreibung: Dm. Rand nicht ermittelbar

Maße (cm):
Wandstärke: 0,6

Kat.-Nr. 125 Taf. 15.125
Fundnr: 07/334/1/18
Form: Schale
Typ: kalottenförmig
Variante: regelmäßig gerundete Lippe
Typenbezeichnung: S1A
Erhaltungszustand: abgerieben
Fabrikat: 24
Maße (cm):
Wandstärke: 0,5
Dm. (Rand): 16
Dm. (Rand, erhalten in %): 5

Kat.-Nr. 126 Taf. 15.126
Fundnr: 07/334/1/14
Form: Schale
Typ: weitmundig
Variante: horizontal abgestrichene Lippe
Typenbezeichnung: S4D
Erhaltungszustand: abgerieben
Fabrikat: 17
Maße (cm):
Wandstärke: 0,7
Dm. (Rand): 20
Dm. (Rand, erhalten in %): >5

Kat.-Nr. 127 Taf. 15.127
Fundnr: 07/334/1/1301
Form: Schale
Typ: kalottenförmig
Variante: nach innen geschwollener Rand
Typenbezeichnung: S1F
Form: Vertikalhenkel
Typ: Bandhenkel
Typenbezeichnung: H1
Erhaltungszustand: gut
Fabrikat: 0
Beschreibung: gelocht
Maße (cm):
Wandstärke: 1,0
Dm. (Rand): 20
Dm. (Rand, erhalten in %): 11
Länge (Henkel): 1
Breite (Henkel): erh. 3
Dicke (Henkel): erh. 1
Dm. (Lochung): 0,9

Kat.-Nr. 128 Taf. 16.128
Fundnr: 07/334/1/8
Form: Schale
Typ: weitmundig
Variante: schräg nach innen abgestrichene und verdickte Lippe
Typenbezeichnung: S4K
Erhaltungszustand: stark abgerieben
Fabrikat: 29
Beschreibung: Dm. Rand nicht ermittelbar
Maße (cm):
Wandstärke: 0,6

Töpfe

Kat.-Nr. 129 Taf. 16.129
Fundnr: 07/334/1/1302
Form: Topf
Typ: sanft geschwungene Wandung
Variante: beidseitig geschwollene Lippe
Typenbezeichnung: T1E
Erhaltungszustand: abgerieben
Fabrikat: 17
Beschreibung: wie WG 17, hoher Glimmeranteil; Dm. Rand nicht ermittelbar
Maße (cm):
Wandstärke: 0,7–0,85

Kat.-Nr. 130 Taf. 16.130
Fundnr: 07/334/1/4
Form: Topf
Typ: steil konkave Wandung
Variante: regelmäßig gerundete Lippe
Typenbezeichnung: T2A
Erhaltungszustand: abgerieben, stellenweise versintert
Fabrikat: 18
Beschreibung: Dm. Rand < 5 %, daher unsicher
Maße (cm):
Wandstärke: 0,5
Dm. (Rand): 24
Dm. (Rand, erhalten in %): 4,5

Kat.-Nr. 131 Taf. 16.131
Fundnr: 07/334/1/19
Form: Topf
Typ: schräg konkave Wandung
Variante: regelmäßig gerundete Lippe
Typenbezeichnung: T3A
Erhaltungszustand: Oberfläche stark abgerieben und teilweise nicht erhalten, sekundär verbrannt
Fabrikat: 0
Beschreibung: Dm. Rand nicht ermittelbar
Maße (cm):
Wandstärke: 0,3

Kat.-Nr. 132 Taf. 16.132
Fundnr: 07/334/1/902
Form: Topf
Typ: schräg konkave Wandung
Variante: regelmäßig gerundete Lippe
Typenbezeichnung: T3A
Fabrikat: 22
Beschreibung: Dm. Rand nicht ermittelbar
Maße (cm):
Wandstärke: 0,3–0,4

Halsgefäße

Kat.-Nr. 133 Taf. 16.133
Fundnr: 07/334/1/17
Form: Halsgefäß
Typ: gerade Wandung
Variante: regelmäßig gerundete Lippe
Typenbezeichnung: Hg1A
Erhaltungszustand: abgerieben

Fabrikat: 22
Beschreibung: Dm. Rand nicht ermittelbar
Maße (cm):
Wandstärke: 0,4

Kat.-Nr. 134 Taf. 16.134
Fundnr: 07/334/1/6
Form: Halsgefäß
Typ: geschwungene Wandung
Variante: regelmäßig gerundete Lippe
Typenbezeichnung: Hg2A
Erhaltungszustand: gut
Fabrikat: 17
Maße (cm):
Wandstärke: 0,5
Dm. (Rand): 12–14
Dm. (Rand, erhalten in %): 8–6

Kat.-Nr. 135 Taf. 16.135
Fundnr: 07/334/1/13
Form: Halsgefäß
Typ: geschwungene Wandung
Variante: regelmäßig gerundete Lippe
Typenbezeichnung: Hg2A
Erhaltungszustand: abgerieben
Fabrikat: 23
Maße (cm):
Wandstärke: 0,5
Dm. (Rand): 10
Dm. (Rand, erhalten in %): 9

Kat.-Nr. 136 Taf. 16.136
Fundnr: 07/334/1/913
Form: Halsgefäß
Typ: geschwungene Wandung
Variante: regelmäßig gerundete Lippe
Typenbezeichnung: Hg2A
Erhaltungszustand: gut
Fabrikat: 24
Maße (cm):
Wandstärke: 0,4–0,5
Dm. (Rand): 16
Dm. (Rand, erhalten in %): 5

Offene Gefäßformen

Kat.-Nr. 137 Taf. 16.137
Fundnr: 07/334/1/12
Form: offen
Variante: regelmäßig gerundete Lippe
Erhaltungszustand: abgerieben
Fabrikat: 24
Beschreibung: Dm. Rand < 5 %, daher unsicher
Maße (cm):
Wandstärke: 0,7
Dm. (Rand): 30
Dm. (Rand, erhalten in %): 4

Kat.-Nr. 138 Taf. 16.138
Fundnr: 07/334/1/15
Form: offen
Variante: regelmäßig gerundete Lippe
Erhaltungszustand: abgerieben
Fabrikat: 1
Maße (cm):
Dm. (Rand): 18
Dm. (Rand, erhalten in %): 5

Kat.-Nr. 139 Taf. 17.139
Fundnr: 07/334/1/1303
Form: offen
Variante: regelmäßig gerundete Lippe
Erhaltungszustand: abgerieben
Fabrikat: 19
Maße (cm):
Wandstärke: 1,0
Dm. (Rand): 12
Dm. (Rand, erhalten in %): 9

Cheese pots

Kat.-Nr. 140 Taf. 17.140
Fundnr: 07/334/1/904
Form: Cheese pot
Variante: regelmäßig gerundete Lippe
Typenbezeichnung: Chb0A
Erhaltungszustand: gut
Fabrikat: 20
Beschreibung: Dm. Rand nicht ermittelbar
Maße (cm):
Wandstärke: 0,6
Dm. (Lochung): 0,6

Böden

Kat.-Nr. 141 Taf. 17.141
Fundnr: 07/334/1/908
Form: Boden
Typ: Flachboden
Variante: abgerundeter Übergang zur Basis
Typenbezeichnung: B1A
Erhaltungszustand: gut
Fabrikat: 19
Beschreibung: Dm. Boden nicht ermittelbar
Maße (cm):
Wandstärke: 0,4

Kat.-Nr. 142 Taf. 17.142
Fundnr: 07/334/1/907
Form: Boden
Typ: Flachboden
Variante: eckiger Übergang zur Basis
Typenbezeichnung: B1B
Erhaltungszustand: versintert
Fabrikat: 0
Maße (cm):
Wandstärke: 0,5
Dm. (Boden): 10
Dm. (Boden, erhalten in %): 5

Kat.-Nr. 143 Taf. 17.143
Fundnr: 07/334/1/22
Anpassung: 07/334/1/26
Form: Boden

Typ: Scheibenbasis
Variante: eingewölbte Standfläche
Typenbezeichnung: B2A
Erhaltungszustand: abgerieben
Fabrikat: 8
Maße (cm):
Wandstärke: 0,4
Dm. (Boden): 8
Dm. (Boden, erhalten in %): 23

Henkel

Kat.-Nr. 144 Taf. 17.144
Fundnr: 07/334/1/31
Form: Vertikalhenkel
Typ: ovaler Querschnitt
Typenbezeichnung: H1A
Erhaltungszustand: abgerieben
Fabrikat: 20
Maße (cm):
Länge: erh. 4
Breite: erh. 2,6
Dicke: erh. 1,4
Wandstärke: 0,5

Charakteristische Wandfragmente

Kat.-Nr. 145 Taf. 17.145
Fundnr: 07/334/1/29
Form: charakteristisches Wandfragment
Typ: Ansatz einer Handhabe
Typenbezeichnung: WS4
Erhaltungszustand: stark abgerieben
Fabrikat: 0
Maße (cm):
Länge: erh. 1
Breite: erh. 1,2
Dicke: erh. 0,6
Wandstärke: 0,5

Pithosfragmente

Kat.-Nr. 146
Fundnr: 07/334/1/35
Form: Pithoswandfragment
Erhaltungszustand: versintert
Fabrikat: 35
Maße (cm):
Wandstärke: 1,8

SE 335

Schalen

Kat.-Nr. 147 Taf. 17.147
Fundnr: 07/335/1/204
Form: Schale
Typ: Knickrandschale
Variante: regelmäßig gerundete Lippe
Typenbezeichnung: S3A
Erhaltungszustand: abgerieben
Fabrikat: 19
Maße (cm):
Wandstärke: 0,4–0,6
Dm. (Rand): 16
Dm. (Rand, erhalten in %): 11

Töpfe

Kat.-Nr. 148 Taf. 17.148
Fundnr: 07/335/1/205
Form: Topf
Typ: sanft geschwungene Wandung
Variante: regelmäßig gerundete Lippe
Typenbezeichnung: T1A
Erhaltungszustand: abgerieben
Fabrikat: 24
Beschreibung: Dm. Rand nicht ermittelbar
Maße (cm):
Wandstärke: 0,5–0,7

Kat.-Nr. 149 Taf. 17.149
Fundnr: 07/335/1/208
Form: Topf
Variante: regelmäßig gerundete Lippe
Typenbezeichnung: T0A
Erhaltungszustand: abgerieben
Fabrikat: 16
Beschreibung: Dm. Rand nicht ermittelbar
Maße (cm):
Wandstärke: 1,2

Halsgefäße

Kat.-Nr. 150 Taf. 17.150
Fundnr: 07/335/1/702
Form: Halsgefäß
Typ: geschwungene Wandung
Variante: regelmäßig gerundete Lippe
Typenbezeichnung: Hg2A
Erhaltungszustand: abgerieben
Fabrikat: 0
Beschreibung: Dm. Rand nicht ermittelbar
Maße (cm):
Wandstärke: 0,2–0,3

SE 356

Töpfe

Kat.-Nr. 151 Taf. 18.151
Fundnr: 07/356/1/1
Form: Topf
Typ: schräg konkave Wandung
Variante: spitz ausgezogene Lippe
Typenbezeichnung: T3B
Erhaltungszustand: gut
Fabrikat: 18
Beschreibung: Dm. Rand < 5 %, daher unsicher
Maße (cm):
Wandstärke: 0,5–0,6
Dm. (Rand): 27
Dm. (Rand, erhalten in %): 2

Böden

Kat.-Nr. 152 Taf. 18.152
Fundnr: 07/356/1/3
Form: Boden
Typ: Scheibenbasis
Variante: eingewölbte Standfläche
Typenbezeichnung: B2A
Erhaltungszustand: gut
Fabrikat: 22
Maße (cm):
Wandstärke: 0,4
Dm. (Boden): 6
Dm. (Boden, erhalten in %): 16,5

Kat.-Nr. 153 Taf. 18.153
Fundnr: 07/356/1/4
Form: Boden
Typ: Scheibenbasis
Variante: eingewölbte Standfläche
Typenbezeichnung: B2A
Erhaltungszustand: abgerieben
Fabrikat: 18
Maße (cm):
Dm. (Boden): 10
Dm. (Boden, erhalten in %): 11

ÇuHö VIb

SE 004

Schalen

Kat.-Nr. 154 Taf.18.154
Fundnr.: 06/4/1/212
Form: Schale
Typ: weitmundig
Variante: schräg nach innen abgestrichene und verdickte Lippe
Typenbezeichnung: S4K
Erhaltungszustand: abgerieben
Fabrikat: 29
Maße (cm):
Dm. (Rand): 24
Dm. (Rand, erhalten in %): 6,5

Kat.-Nr. 155 Taf. 33.155
Fundnr.: 06/4/1/501
Anpassung: 06/3/1/10
Zugehörigkeit: 06/5/1/11 (Anpassung: 06/4/1/219–220; 06/5/1/12; 06/1/1/1); 06/5/1/15
Form: Schale
Typ: weitmundig
Variante: gerollter Rand
Typenbezeichnung: S4Q
Form: Vertikalhenkel
Typ: Bandhenkel
Typenbezeichnung: H3
Erhaltungszustand: sekundär verbrannt
Beschreibung: randständiger Bandhenkel; Anpassungen aus deutlich unterschiedlich gefärbten Scherben von leuchtend rot bis dunkelschwarz
Fabrikat: 29
Maße (cm):
Wandstärke: 0,6–0,8
Dm. (Rand): 44
Dm. (Rand, erhalten in %): 11
Länge (Henkel): 6,3
Breite (Henkel): 4,3
Dicke (Henkel): 0,6–1,1

Kat.-Nr. 156 Taf. 18.156
Fundnr.: 06/4/1/505
Form: Schale
Typ: weitmundig
Variante: schräg nach innen abgestrichene und verdickte Lippe
Typenbezeichnung: S4K
Erhaltungszustand: abgerieben
Fabrikat: 29
Beschreibung: Dm. Rand < 5 %, daher unsicher
Maße (cm):
Wandstärke: 0,4
Dm. (Rand): 16
Dm. (Rand, erhalten in %): 3,5

Kat.-Nr. 157 Taf. 18.157
Fundnr.: 06/4/1/601
Anpassungen: 06/4/6/2, 4 und 5
Form: Schale
Typ: weitmundig
Variante: nach innen verdickte Lippe
Typenbezeichnung: S4U
Erhaltungszustand: sekundär verbrannt
Fabrikat: 29
Maße (cm):
Wandstärke: 0,6–0,7
Dm. (Rand): 30
Dm. (Rand, erhalten in %): 7

Halsgefäße

Kat.-Nr. 158 Taf. 18.158
Fundnr.: 06/4/1/213
Form: Halsgefäß
Typ: geschwungene Wandung
Variante: ausbiegender Rand
Typenbezeichnung: Hg2S
Erhaltungszustand: gut
Fabrikat: 30
Beschreibung: Dm. Rand < 5 %, daher unsicher
Maße (cm):
Wandstärke: 1,2
Dm. (Rand): 24
Dm. (Rand, erhalten in %): 3

Töpfe

Kat.-Nr. 159
Fundnr.: 06/4/1/220
Form: Topf
Fabrikat: 34
Beschreibung: 12 Wandfragmente eines Topfes
Maße (cm):
Wandstärke: 1,4–1,6

Dreifußtöpfe

Kat.-Nr. 160 Taf. 19.160; 33.160
Fundnr.: 06/4/1/1
Anpassung: 06/4/1/4
Form: Dreifußtopf
Typenbezeichnung: Dt00
Erhaltungszustand: abgerieben
Fabrikat: 23
Beschreibung: Rundboden; Standfüße mit eckigem Abschluss
Maße (cm):
Wandstärke: 0,9
Dm. (Boden): 8
Dm. (Rand, erhalten in %): 100
Länge (Fuß): 4,5
Breite (Fuß): 3,4
Dicke (Fuß): 1,1

Kugeltöpfe

Kat.-Nr. 161 Taf. 19.161; 33.161
Fundnr.: 06/4/1/5
Anpassung: 06/4/1/6–8
Zugehörigkeit: 06/4/1/221 (Anpassung: 06/4/1/22 und 23)
Form: Kugeltopf
Typ: Zylinderhals und Schnurösen
Typenbezeichnung: Kt10
Erhaltungszustand: gut
Fabrikat: 33
Beschreibung: Hell-auf-Dunkel-Bemalung; Rand nicht erhalten
Maße (cm):
Wandstärke: 0,5–0,6
Dm. (Hals): 16
Dm. (Hals, erhalten in %): 3,5
Länge (Öse): 4
Breite (Öse): 1,7
Dicke (Öse): 0,4
Dm. (Lochung): 0,4

Engmundige Gefäße

Kat.-Nr. 162 Taf. 19.162
Fundnr.: 06/4/1/3
Form: Engmundig
Variante: regelmäßig gerundete Lippe
Typenbezeichnung: E0A
Erhaltungszustand: gut
Fabrikat: 27
Beschreibung: Dm. Rand nicht ermittelbar
Maße (cm):
Wandstärke: 0,6

Böden

Kat.-Nr. 163
Fundnr.: 06/4/1/12
Form: Boden
Typ: Flachboden
Variante: eckiger Übergang zur Basis
Typenbezeichnung: B1B
Erhaltungszustand: gut
Fabrikat: 28
Maße (cm):
Wandstärke: 0,6
Dm. (Boden): 9
Dm. (Boden, erhalten in %): 15

Henkel

Kat.-Nr. 164
Fundnr.: 06/4/1/219
Form: Vertikalhenkel
Typ: ovaler Querschnitt
Typenbezeichnung: H1
Erhaltungszustand: gut
Fabrikat: 20
Beschreibung: Miniaturgefäß?
Maße (cm):
Länge: 2,2
Breite: 1,3
Dicke: 0,5

SE 005

Schalen

Kat.-Nr. 165 Taf. 20.165
Fundnr.: 06/5/1/3
Form: Schale
Typ: kalottenförmig
Variante: regelmäßig gerundete Lippe
Typenbezeichnung: S1A
Erhaltungszustand: gut
Fabrikat: 17
Beschreibung: Dm. Rand < 5 %, daher unsicher
Maße (cm):
Wandstärke: 1
Dm. (Rand): 24–28
Dm. (Rand, erhalten in %): 4

Kat.-Nr. 166 Taf. 20.166
Fundnr.: 06/5/1/8
Form: Schale
Typ: kalottenförmig
Variante: regelmäßig gerundete Lippe
Typenbezeichnung: S1A
Erhaltungszustand: abgerieben
Fabrikat: 7
Beschreibung: Miniaturschale
Maße (cm):
Wandstärke: 1
Dm. (Rand): 12
Dm. (Rand, erhalten in %): 8

Kat.-Nr. 167 Taf. 20.167
Fundnr.: 06/5/1/2
Form: Schale
Typ: weitmundig
Variante: nach innen verdickte Lippe
Typenbezeichnung: S4U
Erhaltungszustand: gut

Fabrikat: 37
Beschreibung: Dm. Rand < 5 %, daher unsicher
Maße (cm):
Dm. (Rand): 30
Dm. (Rand, erhalten in %): 4

Kat.-Nr. 168 Taf. 20.168
Fundnr.: 06/5/1/5
Form: Schale
Typ: weitmundig
Variante: regelmäßig gerundete Lippe
Typenbezeichnung: S4A
Erhaltungszustand: abgerieben
Fabrikat: 18
Maße (cm):
Wandstärke: 0,7
Dm. (Rand): 14
Dm. (Rand, erhalten in %): 6

Halsgefäße

Kat.-Nr. 169 Taf. 20.169
Fundnr.: 06/5/1/4
Form: Halsgefäß
Typ: geschwungene Wandung
Variante: ausbiegender Rand
Typenbezeichnung: Hg2S
Erhaltungszustand: abgerieben
Fabrikat: 17
Maße (cm):
Wandstärke: 1,1
Dm. (Rand): 26
Dm. (Rand, erhalten in %): 5

Amphoren

Kat.-Nr. 170 Taf. 20.170; 33.170
Fundnr.: 06/5/1/13
Anpassung: 06/87/1/1
Zugehörigkeit: 06/334/1/912 (Phase VII)
Form: Amphore
Typ: Hals konisch ausschwingend
Variante: regelmäßig gerundete Lippe
Typenbezeichnung: A1A
Oberfläche: bemalt
Erhaltungszustand: gut
Fabrikat: 25
Beschreibung: Hell-auf-Beige-Bemalung; Strichbündelgruppen; Horizontalgliederung durch 3 parallele Strichgruppen auf dem Hals; stehende Dreiecke aus Strichbündel auf mittlerer Horizontalreihe; hängende Dreiecke aus Strichbündel unter unterster Horizontalreihe
Maße (cm):
Wandstärke: 0,8–1,0
Dm. (Rand): 8
Dm. (Rand, erhalten in %): 20

Böden

Kat.-Nr. 171
Fundnr.: 06/5/1/19
Form: Boden
Typ: Flachboden
Variante: eckiger Abschluss
Typenbezeichnung: B1B
Erhaltungszustand: abgerieben
Fabrikat: 24
Maße (cm):
Dm. (Boden): 12
Dm. (Boden, erhalten in %): 15

SE 007

Engmundige Gefäßformen

Kat.-Nr. 172 Taf. 21.172
Fundnr.: 06/7/1/1
Form: engmundig
Typ: Hals konisch einziehend
Variante: regelmäßig gerundete Lippe
Typenbezeichnung: E2A
Erhaltungszustand: gut
Fabrikat: 20
Maße (cm):
Wandstärke: 0,4
Dm. (Rand): 12
Dm. (Rand, erhalten in %): 5

SE 311

Schalen

Kat.-Nr. 173
Fundnr.: 07/311/1/1106
Form: Schale
Typ: kalottenförmig
Variante: regelmäßig gerundete Lippe
Typenbezeichnung: S1A
Erhaltungszustand: abgerieben
Fabrikat: 0
Maße (cm):
Wandstärke: 0,3
Dm. (Rand): 10
Dm. (Rand, erhalten in %): 7

Kat.-Nr. 174 Taf. 21.174
Fundnr.: 07/311/1/3001
Form: Schale
Typ: kalottenförmig
Variante: regelmäßig gerundete Lippe
Typenbezeichnung: S1A
Erhaltungszustand: abgerieben
Fabrikat: 24
Maße (cm):
Wandstärke: 0,8
Dm. (Rand): 20
Dm. (Rand, erhalten in %): 5

Kat.-Nr. 175
Fundnr.: 07/311/1/3008
Form: Schale
Typ: kalottenförmig
Variante: regelmäßig gerundete Lippe

Typenbezeichnung: S1A
Erhaltungszustand: abgerieben
Fabrikat: 24
Maße (cm):
Wandstärke: 0,6
Dm. (Rand): 14
Dm. (Rand, erhalten in %): 7

Kat.-Nr. 176 Taf. 21.176
Fundnr.: 07/311/1/3501
Form: Schale
Typ: weitmundig
Variante: regelmäßig gerundete Lippe
Typenbezeichnung: S4A
Erhaltungszustand: gut
Fabrikat: 24
Beschreibung: wie WG 24, aber gröbere Magerungspartikel; Dm. Rand < 5 %, daher unsicher
Maße (cm):
Wandstärke: 0,7
Dm. (Rand): 30
Dm. (Rand, erhalten in %): 2,8

Kat.-Nr. 177 Taf. 21.177
Fundnr.: 07/311/1/3504
Form: Schale
Typ: kalottenförmig
Variante: regelmäßig gerundete Lippe
Typenbezeichnung: S1A
Erhaltungszustand: abgerieben
Fabrikat: 24
Beschreibung: Dm. Rand < 5 %, daher unsicher
Maße (cm):
Wandstärke: 0,8
Dm. (Rand): 28
Dm. (Rand, erhalten in %): 3

Kat.-Nr. 178 Taf. 21.178
Fundnr.: 07/311/1/4118
Form: Schale
Typ: kalottenförmig
Variante: regelmäßig gerundete Lippe
Typenbezeichnung: S1A
Erhaltungszustand: abgerieben
Fabrikat: 18
Maße (cm):
Wandstärke: 0,3
Dm. (Rand): 16–18
Dm. (Rand, erhalten in %): 4,5–6,5

Kat.-Nr. 179
Fundnr.: 07/311/1/1109
Form: Schale
Typ: Knickrandschale
Variante: regelmäßig gerundete Lippe
Typenbezeichnung: S3A
Erhaltungszustand: abgerieben
Fabrikat: 19
Beschreibung: Dm. Rand < 5 %, daher unsicher
Maße (cm):
Wandstärke: 0,6
Dm. (Rand): 12
Dm. (Rand, erhalten in %): 4
Länge (Knick): 1
Breite (Knick): 0,7
Winkel: 39°

Kat.-Nr. 180 Taf. 21.180
Fundnr.: 07/311/1/3509
Form: Schale
Typ: Knickrandschale
Variante: regelmäßig gerundete Lippe
Typenbezeichnung: S3A
Erhaltungszustand: abgerieben
Fabrikat: 19
Beschreibung: Dm. Rand < 5 %, daher unsicher Maße (cm):
Wandstärke: 0,5
Dm. (Rand): 14
Dm. (Rand, erhalten in %): 3
Länge (Knick): 1
Breite (Knick): 0,7
Winkel: 62°

Kat.-Nr. 181 Taf. 21.181
Fundnr.: 07/311/1/211
Form: Schale
Typ: Knickrandschale
Variante: spitz ausgezogene Lippe
Typenbezeichnung: S3B
Erhaltungszustand: abgerieben
Fabrikat: 19
Beschreibung: Dm. Rand < 5 %, daher unsicher
Maße (cm):
Wandstärke: 0,6
Dm. (Rand): 10
Dm. (Rand, erhalten in %): 2
Länge (Knick): 1,1
Breite (Knick): 0,6
Winkel: 52°

Kat.-Nr. 182 Taf. 21.182
Fundnr.: 07/311/1/1501
Anpassungen: 07/311/1/1104; 07/311/1/1105; 07/331/1/5
Zugehörigkeit: 07/311/1/1101; 07/311/1/3006; 07/311/1/3010; 07/311/1/3506
Form: Schale
Typ: weitmundig
Variante: regelmäßig gerundete Lippe
Typenbezeichnung: S4A
Form: Vertikalhenkel
Typ: ovaler Querschnitt
Typenbezeichnung: H1
Erhaltungszustand: abgerieben
Fabrikat: 24
Beschreibung: unterrandständiger Henkel; in Magerung wie WG 24, nur gröbere Magerungspartikel
Maße (cm):
Wandstärke: 0,8
Dm. (Rand): 26
Dm. (Rand, erhalten in %): 9,5
Länge (Henkel): 4,8
Breite (Henkel): 1,5

Töpfe

Kat.-Nr. 183 Taf. 22.183
Fundnr.: 07/311/1/201
Form: Topf
Typ: sanft geschwungene Wandung
Variante: regelmäßig gerundete Lippe
Typenbezeichnung: T1A
Erhaltungszustand: gut
Fabrikat: 24
Beschreibung: sekundär verlagert? (ÇuHö VIII); Dm. Rand < 5 %, daher unsicher
Maße (cm):
Wandstärke: 0,6
Dm. (Rand): 22
Dm. (Rand, erhalten in %): 4

Kat.-Nr. 184 Taf. 22.184
Fundnr.: 07/311/1/207
Form: Topf
Typ: sanft geschwungene Wandung
Variante: regelmäßig gerundete Lippe
Typenbezeichnung: T1A
Erhaltungszustand: gut
Fabrikat: 24
Maße (cm):
Wandstärke: 0,5
Dm. (Rand): 16
Dm. (Rand, erhalten in %): 6

Kat.-Nr. 185
Fundnr.: 07/311/1/1108
Form: Topf
Typ: steil konkave Wandung
Variante: regelmäßig gerundete Lippe
Typenbezeichnung: T2A
Erhaltungszustand: gut
Fabrikat: 17
Beschreibung: Dm. Rand < 5 %, daher unsicher
Maße (cm):
Wandstärke: 0,75
Dm. (Rand): 14
Dm. (Rand, erhalten in %): 4

Kat.-Nr. 186 Taf. 22.186
Fundnr.: 07/311/1/3005
Form: Topf
Typ: steil konkave Wandung
Variante: regelmäßig gerundete Lippe
Typenbezeichnung: T2A
Erhaltungszustand: gut
Fabrikat: 24
Maße (cm):
Wandstärke: 0,3
Dm. (Rand): 14
Dm. (Rand, erhalten in %): 6

Kat.-Nr. 187 Taf. 22.187
Fundnr.: 07/311/1/202
Form: Topf
Typ: sanft geschwungene Wandung
Variante: spitz ausgezogene Lippe
Typenbezeichnung: T1B
Erhaltungszustand: abgerieben
Fabrikat: 24
Beschreibung: Dm. Rand < 5 %, daher unsicher
Maße (cm):
Wandstärke: 0,6
Dm. (Rand): 13
Dm. (Rand, erhalten in %): 2,5

Kat.-Nr. 188 Taf. 22.188
Fundnr.: 07/311/1/1103
Form: Topf
Typ: steil konkave Wandung
Variante: spitz ausgezogene Lippe
Typenbezeichnung: T2B
Erhaltungszustand: gut
Fabrikat: 22
Maße (cm):
Wandstärke: 0,5
Dm. (Rand): 18
Dm. (Rand, erhalten in %): 5

Kat.-Nr. 189 Taf. 22.189
Fundnr.: 07/311/1/3002
Form: Topf
Typ: steil konkave Wandung
Variante: spitz ausgezogene Lippe
Typenbezeichnung: T2B
Erhaltungszustand: gut
Fabrikat: 31
Beschreibung: Dm. Rand nicht ermittelbar
Maße (cm):
Wandstärke: 0,8

Kat.-Nr. 190
Fundnr.: 07/311/1/3521
Form: Topf
Typ: steil konkave Wandung
Variante: spitz ausgezogene Lippe
Typenbezeichnung: T2B
Erhaltungszustand: gut
Fabrikat: 8
Maße (cm):
Wandstärke: 0,5
Dm. (Rand): 12
Dm. (Rand, erhalten in %): 5

Kat.-Nr. 191 Taf. 22.191
Fundnr.: 07/311/1/4115
Form: Topf
Typ: steil konkave Wandung
Variante: spitz ausgezogene Lippe
Typenbezeichnung: T2B
Erhaltungszustand: abgerieben
Fabrikat: 22
Maße (cm):
Wandstärke: 0,5
Dm. (Rand): 16
Dm. (Rand, erhalten in %): 6

Kat.-Nr. 192 Taf. 22.192
Fundnr.: 07/311/1/5201
Form: Topf
Variante: horizontal abgestrichene Lippe
Typenbezeichnung: T0D
Erhaltungszustand: abgerieben
Fabrikat: 23
Beschreibung: Dm. Rand nicht ermittelbar
Maße (cm):
Wandstärke: 1

Randfragmente

Kat.-Nr. 193 Taf. 23.193
Fundnr.: 07/311/1/4103
Form: Randfragment
Variante: ausbiegender verdickter Rand
Typenbezeichnung: R0L
Erhaltungszustand: gut, sekundär verbrannt
Fabrikat: 16
Maße (cm):
Wandstärke: 0,9
Dm. (Rand): 20
Dm. (Rand, erhalten in %): 9,5

Kat.-Nr. 194 Taf. 23.194
Fundnr.: 07/311/1/3505
Form: Randfragment
Variante: außen verdickte Lippe
Typenbezeichnung: R0I
Erhaltungszustand: gut
Fabrikat: 17
Maße (cm):
Wandstärke: 0,65
Dm. (Rand): 22
Dm. (Rand, erhalten in %): 5

Kat.-Nr. 195 Taf. 23.195
Fundnr.: 07/311/1/3510
Form: Randfragment
Variante: außen verdickte Lippe
Typenbezeichnung: R0I
Erhaltungszustand: gut
Fabrikat: 17
Beschreibung: Dm. Rand nicht ermittelbar
Maße (cm):
Wandstärke: 0,8

Cheese pots

Kat.-Nr. 196 Taf. 23.196
Fundnr.: 07/311/1/3007
Form: Cheese pot
Typenbezeichnung: Chb0
Erhaltungszustand: gut
Fabrikat: 32
Maße (cm):
Wandstärke: 0,9
Dm. (Rand): 30
Dm. (Rand, erhalten in %): 5

Engmundige Gefäßformen

Kat.-Nr. 197
Fundnr.: 07/311/1/3003
Form: engmundig
Typ: Hals steil konkav
Variante: regelmäßig gerundete Lippe
Typenbezeichnung: E1A
Erhaltungszustand: abgerieben
Fabrikat: 22
Maße (cm):
Wandstärke: 0,4–0,5
Dm. (Rand): 12
Dm. (Rand, erhalten in %): 8,2

Kat.-Nr. 198
Fundnr.: 07/311/1/4119
Form: engmundig
Typ: Hals steil konkav
Variante: regelmäßig gerundete Lippe
Typenbezeichnung: E1A
Erhaltungszustand: versintert
Fabrikat: 24
Maße (cm):
Wandstärke: 0,7
Dm. (Rand): 10,0
Dm. (Rand, erhalten in %): 5

Kat.-Nr. 199
Fundnr.: 07/311/1/3009
Form: engmundig
Typ: Hals steil konkav
Variante: spitz ausgezogene Lippe
Typenbezeichnung: E1B
Erhaltungszustand: abgerieben
Fabrikat: 24
Maße (cm):
Wandstärke: 0,6
Dm. (Rand): 10
Dm. (Rand, erhalten in %): 6

Kat.-Nr. 200 Taf. 23.200
Fundnr.: 07/311/1/4117
Form: engmundig
Typ: Hals steil konkav
Variante: regelmäßig gerundete Lippe
Typenbezeichnung: E1A
Erhaltungszustand: gut
Fabrikat: 24
Maße (cm):
Wandstärke: 0,6
Dm. (Rand): 18
Dm. (Rand, erhalten in %): 5

Kat.-Nr. 201 Taf. 23.201
Fundnr.: 07/311/1/203
Form: engmundig
Typ: Hals steil konkav
Variante: außen verdickte Lippe
Typenbezeichnung: E1I
Erhaltungszustand: abgerieben

Fabrikat: 20
Beschreibung: Dm. Rand nicht ermittelbar
Maße (cm):
Wandstärke: 0,65

Kat.-Nr. 202
Fundnr.: 07/311/1/204
Form: engmundig
Typ: Hals konisch einziehend
Variante: regelmäßig gerundete Lippe
Typenbezeichnung: E2A
Erhaltungszustand: gut
Fabrikat: 22
Beschreibung: Dm. Rand nicht ermittelbar
Maße (cm):
Wandstärke: 0,8

Kat.-Nr. 203 Taf. 23.203
Fundnr.: 07/311/1/3503
Form: engmundig
Typ: Hals konisch einziehend
Variante: regelmäßig gerundete Lippe
Typenbezeichnung: E2A
Erhaltungszustand: gut
Fabrikat: 15
Beschreibung: Dm. Rand < 5 %, daher unsicher
Maße (cm):
Wandstärke: 0,7
Dm. (Rand): 24
Dm. (Rand, erhalten in %): 3

Kat.-Nr. 204
Fundnr.: 07/311/1/3511
Form: engmundig
Typ: Hals konisch einziehend
Variante: regelmäßig gerundete Lippe
Typenbezeichnung: E2A
Erhaltungszustand: gut
Fabrikat: 20
Beschreibung: Dm. Rand < 5 %, daher unsicher
Maße (cm):
Wandstärke: 0,9
Dm. (Rand): 14
Dm. (Rand, erhalten in %): 4

Kat.-Nr. 205
Fundnr.: 07/311/1/4106
Form: engmundig
Typ: Hals konisch einziehend
Variante: regelmäßig gerundete Lippe
Typenbezeichnung: E2A
Erhaltungszustand: abgerieben
Fabrikat: 15
Maße (cm):
Wandstärke: 0,6
Dm. (Rand): 13,0
Dm. (Rand, erhalten in %): 5,0

Kat.-Nr. 206
Fundnr.: 07/311/1/4114
Form: engmundig
Typ: Hals konisch einziehend
Variante: regelmäßig gerundete Lippe
Typenbezeichnung: E2A
Erhaltungszustand: gut
Fabrikat: 24
Maße (cm):
Wandstärke: 0,5
Dm. (Rand): 14,0
Dm. (Rand, erhalten in %): 7,5

Kat.-Nr. 207 Taf. 23.207
Fundnr.: 07/311/1/4120
Form: engmundig
Typ: Hals steil konkav
Variante: regelmäßig gerundete Lippe
Typenbezeichnung: E1A
Erhaltungszustand: abgerieben
Fabrikat: 24
Maße (cm):
Wandstärke: 0,7
Dm. (Rand): 10,0
Dm. (Rand, erhalten in %): 5,0

Kat.-Nr. 208 Taf. 23.208
Fundnr.: 07/311/1/3004
Form: engmundig
Typ: Hals steil konkav
Variante: horizontal abgestrichene Lippe
Typenbezeichnung: E1D
Erhaltungszustand: abgerieben
Fabrikat: 24
Maße (cm):
Wandstärke: 0,6
Dm. (Rand): 16,0
Dm. (Rand, erhalten in %): 6,0

Kat.-Nr. 209
Fundnr.: 07/311/1/3508
Form: engmundig
Variante: regelmäßig gerundete Lippe
Typenbezeichnung: E0A
Erhaltungszustand: gut
Fabrikat: 20
Beschreibung: Dm. Rand nicht ermittelbar
Maße (cm):
Wandstärke: 0,7

Offene Gefäßformen

Kat.-Nr. 210
Fundnr.: 07/311/1/4123
Form: offene Gefäßform
Variante: regelmäßig gerundete Lippe
Erhaltungszustand: abgerieben
Fabrikat: 17
Maße (cm):
Dm. (Rand): 12
Dm. (Rand, erhalten in %): 6,5

Pithosfragmente

Kat.-Nr. 211
Fundnr.: 07/311/1/217
Form: Pithosfragment
Erhaltungszustand: gut
Fabrikat: 35
Maße (cm):
Wandstärke: 2,1

Kat.-Nr. 212
Fundnr.: 07/311/1/1112
Form: Pithosfragment
Erhaltung: gut
Fabrikat: 35
Maße (cm):
Wandstärke: 2

Kat.-Nr. 213
Fundnr.: 07/311/1/4167
Form: Pithosfragment
Erhaltung: abgerieben
Fabrikat: 35
Maße (cm):
Wandstärke: 2,7

Böden

Kat.-Nr. 214
Fundnr.: 07/311/1/3014
Form: Boden
Typ: Flachboden
Variante: eckiger Übergang zur Basis
Typenbezeichnung: B1B
Erhaltungszustand: abgerieben
Fabrikat: 19
Beschreibung: Dm. Boden nicht ermittelbar
Maße (cm):
Wandstärke: 0,5

Kat.-Nr. 215 Taf. 24.215
Fundnr.: 07/311/1/4110
Form: Boden
Typ: Scheibenbasis
Variante: eingewölbte Standfläche
Typenbezeichnung: B1B
Erhaltungszustand: gut
Fabrikat: 17
Maße (cm):
Wandstärke: 0,7
Dm. (Boden): 16
Dm. (Boden, erhalten in %): 7

Kat.-Nr. 216
Fundnr.: 07/311/1/4121
Form: Boden
Typ: Flachboden
Variante: eckiger Übergang zur Basis
Typenbezeichnung: B1B
Erhaltungszustand: gut
Fabrikat: 17
Beschreibung: Dm. Boden nicht ermittelbar
Maße (cm):
Wandstärke: 0,8

Kat.-Nr. 217 Taf. 24.217
Fundnr.: 07/311/1/210
Form: Boden
Typ: Scheibenbasis
Variante: eingewölbte Standfläche
Typenbezeichnung: B2A
Erhaltungszustand: versintert
Fabrikat: 24
Maße (cm):
Wandstärke: 0,5
Dm. (Boden): 8
Dm. (Boden, erhalten in %): 21

Kat.-Nr. 218 Taf. 24.218
Fundnr.: 07/311/1/1110
Form: Boden
Typ: Scheibenbasis
Variante: eingewölbte Standfläche
Typenbezeichnung: B2A
Erhaltungszustand: abgerieben
Fabrikat: 24
Maße (cm):
Dm. (Boden): 6
Dm. (Boden, erhalten in %): 17

Kat.-Nr. 219
Fundnr.: 07/311/1/3513
Form: Boden
Typ: Scheibenbasis
Variante: eingewölbte Standfläche
Typenbezeichnung: B2A
Erhaltungszustand: abgerieben
Fabrikat: 24
Maße (cm):
Wandstärke: 0,6
Dm. (Boden): 10
Dm. (Boden, erhalten in %): 13

Füße

Kat.-Nr. 220 Taf. 24.220
Fundnr.: 07/311/1/1102
Form: Fuß
Typ: gerade Standfläche
Variante: eckiger Übergang
Typenbezeichnung: F1A
Erhaltungszustand: gut
Fabrikat: 23
Maße (cm):
Länge: 8,6
Breite: 3,4
Dicke: 1,5

Kat.-Nr. 221 Taf. 24.221
Fundnr.: 07/311/1/3514
Form: Fuß
Typ: gerade Standfläche

Variante: gerundeter Übergang
Typenbezeichnung: F1B
Erhaltungszustand: abgerieben
Fabrikat: 17
Maße (cm):
Länge: 3,2
Breite: 3,4
Dicke: 1,2

Henkel

Kat.-Nr. 222 Taf. 24.222
Fundnr.: 07/311/1/1301
Form: Vertikalhenkel
Typ: ovaler Querschnitt
Typenbezeichnung: H1
Erhaltungszustand: abgerieben
Fabrikat: 37
Beschreibung: randständiger Henkel
Maße (cm):
Länge: erh. 3,5
Breite: erh. 4
Dicke: erh. 2,3
Wandstärke: 0,7
Dm. (Rand): 16
Dm. (Rand, erhalten in %): 11

Kat.-Nr. 223
Fundnr.: 07/311/1/3522
Form: Vertikalhenkel
Typ: ovaler Querschnitt
Typenbezeichnung: H1
Erhaltungszustand: gut
Fabrikat: 8
Beschreibung: randständiger Henkel; Henkelmaße nicht ermittelbar, da zu wenig erhalten

Kat.-Nr. 224 Taf. 25.224
Fundnr.: 07/311/1/213
Form: Vertikalhenkel
Typ: ovaler Querschnitt
Typenbezeichnung: H1
Erhaltungszustand: abgerieben
Fabrikat: 15
Maße (cm):
Länge: erh. 3,3
Breite: erh. 2,9
Dicke: erh. 2,2
Wandstärke: 0,5

Kat.-Nr. 225 Taf. 25.225
Fundnr.: 07/311/1/216
Form: Vertikalhenkel
Typ: ovaler Querschnitt
Typenbezeichnung: H1
Erhaltungszustand: abgerieben
Fabrikat: 17
Maße (cm):
Länge: erh. 1,1
Breite: erh. 3,3
Dicke: erh. 1,3

Kat.-Nr. 226
Fundnr.: 07/311/1/3516
Form: Vertikalhenkel
Typ: ovaler Querschnitt
Typenbezeichnung: H1
Erhaltungszustand: gut
Fabrikat: 17
Maße (cm):
Länge: erh. 4,8
Breite: erh. 2,7
Dicke: erh. 1,2

Kat.-Nr. 227
Fundnr.: 07/311/1/3517
Form: Vertikalhenkel
Typ: ovaler Querschnitt
Typenbezeichnung: H1
Erhaltungszustand: abgerieben
Fabrikat: 17
Maße (cm):
Länge: erh. 2,1
Breite: erh. 2,1
Dicke: erh. 1,3
Wandstärke: 0,5

Kat.-Nr. 228
Fundnr.: 07/311/1/4108
Form: Vertikalhenkel
Typ: ovaler Querschnitt
Typenbezeichnung: H1
Erhaltungszustand: abgerieben
Fabrikat: 17
Maße (cm):
Länge: 2,5
Breite: 2,3
Dicke: 1,7

Kat.-Nr. 229
Fundnr.: 07/311/1/4126
Form: Vertikalhenkel
Typ: ovaler Querschnitt
Typenbezeichnung: H1
Erhaltungszustand: abgerieben
Fabrikat: 17
Maße (cm):
Länge: erh. 3,6
Breite: erh. 2,3
Dicke: erh. 1,1

Kat.-Nr. 230
Fundnr.: 07/311/1/3013
Form: Vertikalhenkel
Typ: Bandhenkel
Typenbezeichnung: H3
Erhaltungszustand: abgerieben
Fabrikat: 23
Maße (cm):
Länge: erh. 2,3
Breite: erh. 2,8
Dicke: erh. 0,7
Wandstärke: 0,5

Kat.-Nr. 231 Taf. 25.231
Fundnr.: 07/311/1/3515
Form: Vertikalhenkel
Typ: Bandhenkel
Typenbezeichnung: H3
Erhaltungszustand: gut
Fabrikat: 23
Maße (cm):
Länge: 5,7
Breite: 4,5
Dicke: 1,8

Griffknubben

Kat.-Nr. 232
Fundnr.: 07/311/1/4105
Form: Griffknubbe
Typ: vertikal durchlocht
Typenbezeichnung: G2
Erhaltungszustand: abgerieben
Fabrikat: 17

Ösen

Kat.-Nr. 233
Fundnr.: 07/311/1/3518
Form: Röhrenöse
Typ: horizontal
Typenbezeichnung: Ö2A
Erhaltungszustand: abgerieben
Fabrikat: 23
Maße (cm):
Länge: 2,1
Breite: 1,6
Dicke: 0,6
Wandstärke: 0,5
Dm. (Lochung): 0,6

Kat.-Nr. 234
Fundnr.: 07/311/1/215
Form: Röhrenöse
Typ: vertikal
Typenbezeichnung: Ö2B
Erhaltungszustand: abgerieben
Fabrikat: 18
Beschreibung: sekundär verlagert? (ÇuHö VIII)
Maße (cm):
Länge: 2,5
Breite: 1,3
Dicke: 0,3
Wandstärke: 0,6
Dm. (Lochung): 0,6

Charakteristische Wandfragmente

Kat.-Nr. 235
Fundnr.: 07/311/1/3520
Form: charakteristisches Wandfragment
Typ: bemalt
Typenbezeichnung: WS1
Erhaltungszustand: gut
Fabrikat: 33
Beschreibung: Hell-auf-Dunkel-Bemalung; 4 parallele Linien (vertikal?)
Maße (cm):
Wandstärke: 0,35

Kat.-Nr. 236
Fundnr.: 07/311/1/3519
Form: charakteristisches Wandfragment
Typ: impressoverziert
Variante: Fingereindrücke
Typenbezeichnung: WS2A
Erhaltungszustand: gut
Fabrikat: 26
Beschreibung: lange, schmale Eindrücke
Maße (cm):
Wandstärke: 0,6

Kat.-Nr. 237
Fundnr.: 07/311/1/4125
Form: charakteristisches Wandfragment
Typ: impressoverziert
Variante: Fingereindrücke
Typenbezeichnung: WS2A
Erhaltungszustand: versintert
Fabrikat: 26
Maße (cm):
Wandstärke: 0,65

Schnitt N4

ÇuHö VI–Vb

SE 812

Töpfe

Kat.-Nr. 238 Taf. 25.238
Fundnr: 09/812/1/7
Form: Topf
Typ: sanft geschwungene Wandung
Variante: regelmäßig gerundete Lippe
Typenbezeichnung: T1A
Erhaltungszustand: gut
Fabrikat: 36
Beschreibung: Dm. Rand < 5 %, daher unsicher
Maße (cm):
Wandstärke: 0,8
Dm. (Rand): 18
Dm. (Rand, erhalten in %): 3

Halsgefäße

Kat.-Nr. 239 Taf. 25.239
Fundnr: 09/812/1/3
Form: Halsgefäß
Typ: gerade Wandung
Variante: regelmäßig gerundete Lippe
Typenbezeichnung: Hg1A
Erhaltungszustand: gut
Fabrikat: 36
Beschreibung: Dm. Rand < 5 %, daher unsicher
Maße (cm):
Wandstärke: 0,4
Dm. (Rand): 12
Dm. (Rand, erhalten in %): 4

Kat.-Nr. 240 Taf. 25.240
Fundnr: 09/812/1/6
Form: Halsgefäß
Typ: geschwungene Wandung
Variante: regelmäßig gerundete Lippe
Typenbezeichnung: Hg2A
Erhaltungszustand: abgerieben
Fabrikat: 36
Beschreibung: Dm. Rand < 5 %, daher unsicher
Maße (cm):
Wandstärke: 0,5
Dm. (Rand): 16
Dm. (Rand, erhalten in %): 3

Kat.-Nr. 241
Fundnr: 09/812/1/8
Form: Halsgefäß
Typ: geschwungene Wandung
Variante: regelmäßig gerundete Lippe
Typenbezeichnung: Hg2A
Erhaltungszustand: abgerieben
Fabrikat: 19
Beschreibung: Ansatz eines Vertikalhenkels; Dm. Rand nicht ermittelbar
Maße (cm):
Wandstärke: 0,4

Offene Gefäßformen

Kat.-Nr. 242
Fundnr: 09/812/1/1
Form: offen
Variante: regelmäßig gerundete Lippe
Erhaltungszustand: gut
Fabrikat: 20
Beschreibung: Dm. Rand < 5 %, daher unsicher
Maße (cm):
Wandstärke: 0,8
Dm. (Rand): 30
Dm. (Rand, erhalten in %): 2

Kat.-Nr. 243
Fundnr: 09/812/1/2
Form: offen
Variante: regelmäßig gerundete Lippe
Erhaltungszustand: abgerieben
Fabrikat: 17
Maße (cm):
Wandstärke: 0,6
Dm. (Rand): 11
Dm. (Rand, erhalten in %): 6

Kat.-Nr. 244
Fundnr.: 09/812/1/10
Form: offen
Variante: regelmäßig gerundete Lippe
Erhaltungszustand: gut
Fabrikat: 20
Maße (cm):
Wandstärke: 0,9
Dm. (Rand): 18
Dm. (Rand, erhalten in %): 5

Henkel

Kat.-Nr. 245 Taf. 25.245
Fundnr.: 09/812/1/4
Form: Vertikalhenkel
Typ: breiter Querschnitt
Typenbezeichnung: H2
Erhaltungszustand: abgerieben
Fabrikat: 30
Maße (cm):
Länge: 2,3
Breite: 2
Dicke: 0,8

Charakteristische Wandfragmente

Kat.-Nr. 246 Taf. 25.246
Fundnr.: 09/812/1/9
Form: charakteristisches Wandfragment
Typ: impressoverziert
Variante: Rillen
Typenbezeichnung: WS2B
Erhaltungszustand: abgerieben

Fabrikat: 31
Maße (cm):
Wandstärke: 1

Kat.-Nr. 247 Taf. 25.247
Fundnr.: 09/812/1/5
Form: charakteristisches Wandfragment
Typ: Leiste
Typenbezeichnung: WS6
Erhaltungszustand: sehr gut, an der Leiste leicht abgerieben
Fabrikat: 31
Beschreibung: in Magerung wie WG 31
Maße (cm):
Länge (Leiste): 3,7
Breite (Leiste): max. 1,1
Dicke (Leiste): 0,4–0,5
Wandstärke: 0,6

SE 818

Schalen

Kat.-Nr. 248 Taf. 25.248
Fundnr.: 09/818/1/17
Form: Schale
Typ: kalottenförmig
Variante: regelmäßig gerundete Lippe
Typenbezeichnung: S1A
Erhaltungszustand: gut
Fabrikat: 23
Beschreibung: Dm. Rand < 5 %, daher unsicher
Maße (cm):
Wandstärke: 0,5
Dm. (Rand): 16
Dm. (Rand, erhalten in %): 4

Töpfe

Kat.-Nr. 249
Fundnr.: 09/818/1/19
Form: Topf
Typ: sanft geschwungene Wandung
Variante: regelmäßig gerundete Lippe
Typenbezeichnung: T1A
Erhaltungszustand: abgerieben
Fabrikat: 24
Beschreibung: Dm. Rand < 5 cm, daher unsicher
Maße (cm):
Wandstärke: 0,5
Dm. (Rand): 18
Dm. (Rand, erhalten in %): 4

Kat.-Nr. 250
Fundnr.: 09/818/1/32
Form: Topf
Typ: steil konkave Wandung
Variante: regelmäßig gerundete Lippe
Typenbezeichnung: T2A
Erhaltungszustand: abgerieben
Fabrikat: 17
Maße (cm):
Wandstärke: 0,6–0,7
Dm. (Rand): 22
Dm. (Rand, erhalten in %): 14

Kat.-Nr. 251 Taf. 25.251
Fundnr.: 09/818/1/3
Form: Topf
Variante: horizontal abgestrichene Lippe
Typenbezeichnung: T0D
Erhaltungszustand: abgerieben
Fabrikat: 36
Beschreibung: Dm. Rand < 5 %, daher unsicher
Maße (cm):
Wandstärke: 1,4
Dm. (Rand): 32
Dm. (Rand, erhalten in %): 4,9

Halsgefäße

Kat.-Nr. 252 Taf. 26.252
Fundnr.: 09/818/1/14
Form: Halsgefäß
Typ: gerade Wandung
Variante: regelmäßig gerundete Lippe
Typenbezeichnung: Hg1A
Form: Vertikalhenkel
Typ: ovaler Querschnitt
Typenbezeichnung: H1
Erhaltungszustand: gut
Fabrikat: 34
Beschreibung: Dm. Rand < 5 %, daher unsicher
Maße (cm):
Wandstärke: 1
Dm. (Rand): 42
Dm. (Rand, erhalten in %): 4,4
Länge (Henkel): erh. 3
Breite (Henkel): erh. 2,4
Dicke (Henkel): erh. 1,4

Kat.-Nr. 253 Taf. 26.253
Fundnr.: 09/818/1/16
Form: Halsgefäß
Typ: geschwungene Wandung
Variante: regelmäßig gerundete Lippe
Typenbezeichnung: Hg2A
Erhaltungszustand: sehr gut
Fabrikat: 18
Maße (cm):
Wandstärke: 0,4–0,5
Dm. (Rand): 10
Dm. (Rand, erhalten in %): 10

Kat.-Nr. 254 Taf. 26.254
Fundnr.: 09/818/1/34
Form: Halsgefäß
Typ: geschwungene Wandung
Variante: regelmäßig gerundete Lippe
Typenbezeichnung: Hg2A
Erhaltungszustand: abgerieben
Fabrikat: 36

Maße (cm):
Wandstärke: 0,5–0,6
Dm. (Rand): 24
Dm. (Rand, erhalten in %): 6

Offene Gefäßformen

Kat.-Nr. 255
Fundnr.: 09/818/1/1
Form: offen
Variante: regelmäßig gerundete Lippe
Erhaltungszustand: abgerieben
Fabrikat: 39
Maße (cm):
Wandstärke: 0,6
Dm. (Rand): 10
Dm. (Rand, erhalten in %): 7

Kat.-Nr. 256
Fundnr.: 09/818/1/8
Form: offen
Variante: regelmäßig gerundete Lippe
Erhaltungszustand: versintert
Fabrikat: 0
Beschreibung: Dm. Rand < 5 %, daher unsicher
Maße (cm):
Wandstärke: 0,6
Dm. (Rand): 28
Dm. (Rand, erhalten in %): 2

Kat.-Nr. 257
Fundnr.: 09/818/1/9
Form: offen
Variante: regelmäßig gerundete Lippe
Erhaltungszustand: abgerieben
Fabrikat: 24
Maße (cm):
Wandstärke: 0,2–0,3
Dm. (Rand): 10
Dm. (Rand, erhalten in %): 10

Kat.-Nr. 258
Fundnr.: 09/818/1/10
Form: offen
Variante: regelmäßig gerundete Lippe
Erhaltungszustand: abgerieben
Fabrikat: 37
Maße (cm):
Wandstärke: 1,3
Dm. (Rand): 30
Dm. (Rand, erhalten in %): 5

Kat.-Nr. 259
Fundnr.: 09/818/1/20
Form: offen
Variante: regelmäßig gerundete Lippe
Erhaltungszustand: abgerieben
Fabrikat: 36
Maße (cm):
Wandstärke: 0,4
Dm. (Rand): 11,0
Dm. (Rand, erhalten in %): 5

Kat.-Nr. 260
Fundnr.: 09/818/1/21
Form: offen
Variante: regelmäßig gerundete Lippe
Erhaltungszustand: versintert
Fabrikat: 24
Beschreibung: Dm. Rand nicht ermittelbar
Maße (cm):
Wandstärke: 0,7

Kat.-Nr. 261
Fundnr.: 09/818/1/26
Form: offen
Variante: regelmäßig gerundete Lippe
Erhaltungszustand: gut
Fabrikat: 18
Beschreibung: Dm. Rand < 5 %, daher unsicher
Maße (cm):
Wandstärke: 0,5
Dm. (Rand): 18
Dm. (Rand, erhalten in %): 4

Kat.-Nr. 262
Fundnr.: 09/818/1/27
Form: offen
Variante: regelmäßig gerundete Lippe
Erhaltungszustand: abgerieben
Fabrikat: 17
Maße (cm):
Wandstärke: 0,7
Dm. (Rand): 10
Dm. (Rand, erhalten in %): 6

Kat.-Nr. 263
Fundnr.: 09/818/1/28
Form: offen
Variante: regelmäßig gerundete Lippe
Erhaltungszustand: abgerieben
Fabrikat: 24
Beschreibung: Dm. Rand nicht ermittelbar
Maße (cm):
Wandstärke: 0,5

Kat.-Nr. 264
Fundnr.: 09/818/1/35
Form: offen
Variante: regelmäßig gerundete Lippe
Erhaltungszustand: versintert
Fabrikat: 36
Maße (cm):
Wandstärke: 0,5
Dm. (Rand): 12
Dm. (Rand, erhalten in %): 8

Kat.-Nr. 265
Fundnr.: 09/818/1/37
Form: offen
Variante: regelmäßig gerundete Lippe
Erhaltungszustand: abgerieben
Fabrikat: 36
Beschreibung: Dm. Rand < 5 %, daher unsicher

Maße (cm):
Wandstärke: 0,5
Dm. (Rand): 14
Dm. (Rand, erhalten in %): 4

Kat.-Nr. 266
Fundnr.: 09/818/1/39
Form: offen
Variante: regelmäßig gerundete Lippe
Erhaltungszustand: abgerieben
Fabrikat: 36
Maße (cm):
Wandstärke: 0,5
Dm. (Rand): 12
Dm. (Rand, erhalten in %): 11

Kat.-Nr. 267
Fundnr.: 09/818/1/41
Form: offen
Variante: regelmäßig gerundete Lippe
Erhaltungszustand: abgerieben, sekundär verbrannt
Fabrikat: 17
Beschreibung: Ansatz einer Handhabe; Dm. Rand nicht bestimmbar
Maße (cm):
Wandstärke: 0,7

Kat.-Nr. 268
Fundnr.: 09/818/1/46
Form: offen
Variante: regelmäßig gerundete Lippe
Erhaltungszustand: abgerieben
Fabrikat: 17
Beschreibung: Dm. Rand < 5 %, daher unsicher
Maße (cm):
Wandstärke: 0,8–1,0
Dm. (Rand): 32
Dm. (Rand, erhalten in %): 4

Kat.-Nr. 269
Fundnr.: 09/818/1/50
Form: offen
Variante: regelmäßig gerundete Lippe
Erhaltungszustand: abgerieben
Fabrikat: 36
Beschreibung: Dm. Rand nicht ermittelbar
Maße (cm):
Wandstärke: 0,6

Kat.-Nr. 270
Fundnr.: 09/818/1/53
Form: offen
Variante: regelmäßig gerundete Lippe
Erhaltungszustand: abgerieben
Fabrikat: 36
Beschreibung: Dm. Rand < 5 %, daher unsicher
Maße (cm):
Wandstärke: 0,5
Dm. (Rand): 18
Dm. (Rand, erhalten in %): 4

Kat.-Nr. 271
Fundnr.: 09/818/1/55
Form: offen
Variante: regelmäßig gerundete Lippe
Erhaltungszustand: abgerieben
Fabrikat: 19
Beschreibung: Dm. Rand < 5 %, daher unsicher
Maße (cm):
Wandstärke: 0,6
Dm. (Rand): 12
Dm. (Rand, erhalten in %): 3

Kat.-Nr. 272
Fundnr.: 09/818/1/58
Form: offen
Variante: regelmäßig gerundete Lippe
Erhaltungszustand: abgerieben
Fabrikat: 38
Beschreibung: Dm. Rand < 5 %, daher unsicher
Maße (cm):
Wandstärke: 0,6
Dm. (Rand): 22
Dm. (Rand, erhalten in %): 2

Böden

Kat.-Nr. 273
Fundnr.: 09/818/1/51
Form: Boden
Typ: Flachboden
Variante: abgerundeter Übergang zur Basis
Typenbezeichnung: B1A
Erhaltungszustand: versintert
Fabrikat: 36
Maße (cm):
Wandstärke: 0,5
Dm. (Boden): 16
Dm. (Boden, erhalten in %): 7

Kat.-Nr. 274
Fundnr.: 09/818/1/31
Form: Boden
Typ: Flachboden
Variante: eckiger Übergang zur Basis
Typenbezeichnung: B1B
Erhaltungszustand: abgerieben
Fabrikat: 18
Maße (cm):
Wandstärke: 0,5
Dm. (Boden): 12
Dm. (Boden, erhalten in %): 25

Kat.-Nr. 275 Taf. 26.275
Fundnr.: 09/818/1/42
Form: Boden
Typ: Flachboden
Variante: eckiger Übergang zur Basis
Typenbezeichnung: B1B
Erhaltungszustand: gut
Fabrikat: 36

Maße (cm):
Wandstärke: 0,5
Dm. (Boden): 10
Dm. (Boden, erhalten in %): 14

Kat.-Nr. 276
Fundnr.: 09/818/1/6
Zugehörigkeit: 09/818/1/44
Form: Boden
Typ: Scheibenbasis
Variante: eingewölbte Standfläche
Typenbezeichnung: B2A
Erhaltungszustand: abgerieben
Fabrikat: 38
Maße (cm):
Dm. (Boden): 10
Dm. (Boden, erhalten in %): 12

Kat.-Nr. 277
Fundnr.: 09/818/1/13
Form: Boden
Typ: Scheibenbasis
Variante: eingewölbte Standfläche
Typenbezeichnung: B2A
Erhaltungszustand: versintert
Fabrikat: 36
Maße (cm):
Dm. (Boden): 13
Dm. (Boden, erhalten in %): 5

Kat.-Nr. 278
Fundnr.: 09/818/1/18
Form: Boden
Typ: Scheibenbasis
Variante: eingewölbte Standfläche
Typenbezeichnung: B2A
Erhaltungszustand: abgerieben
Fabrikat: 36
Maße (cm):
Dm. (Boden): 10
Dm. (Boden, erhalten in %): 12

Kat.-Nr. 279 Taf. 26.279
Fundnr.: 09/818/1/33
Form: Boden
Typ: Scheibenbasis
Variante: eingewölbte Standfläche
Typenbezeichnung: B2A
Erhaltungszustand: abgerieben
Fabrikat: 36
Maße (cm):
Wandstärke: 0,7–0,8
Dm. (Boden): 12
Dm. (Boden, erhalten in %): 28

Kat.-Nr. 280
Fundnr.: 09/818/1/36
Form: Boden
Typ: Scheibenbasis
Variante: eingewölbte Standfläche
Typenbezeichnung: B2A
Erhaltungszustand: abgerieben
Fabrikat: 24
Maße (cm):
Wandstärke: 0,3
Dm. (Boden): 8
Dm. (Boden, erhalten in %): 16

Kat.-Nr. 281
Fundnr.: 09/818/1/38
Form: Boden
Typ: Scheibenbasis
Variante: eingewölbte Standfläche
Typenbezeichnung: B2A
Fabrikat: 36
Maße (cm):
Wandstärke: 0,7
Dm. (Boden): 10
Dm. (Boden, erhalten in %): 23

Kat.-Nr. 282
Fundnr.: 09/818/1/49
Form: Boden
Typ: Scheibenbasis
Variante: eingewölbte Standfläche
Typenbezeichnung: B2A
Erhaltungszustand: versintert
Fabrikat: 36
Maße (cm):
Dm. (Boden): 9
Dm. (Boden, erhalten in %): 12

Kat.-Nr. 283 Taf. 27.283
Fundnr.: 09/818/1/4
Form: Boden
Typ: Standring
Typenbezeichnung: B3
Erhaltungszustand: abgerieben
Fabrikat: 36
Maße (cm):
Wandstärke: 0,7
Dm. (Boden): 6
Dm. (Boden, erhalten in %): 55

Kat.-Nr. 284
Fundnr.: 09/818/1/54
Form: Boden
Typenbezeichnung: B00
Erhaltungszustand: versintert
Fabrikat: 24
Beschreibung: Dm. Boden nicht ermittelbar

Henkel

Kat.-Nr. 285
Fundnr.: 09/818/1/15
Form: Vertikalhenkel
Typ: ovaler Querschnitt
Typenbezeichnung: H1
Erhaltungszustand: abgerieben, teilweise versintert

Fabrikat: 18
Maße (cm):
Länge: 3,5
Breite: 1
Dicke: 0,6
Wandstärke: 0,5

Kat.-Nr. 286
Fundnr.: 09/818/1/24
Anpassung: 09/818/1/22
Form: Vertikalhenkel
Typ: ovaler Querschnitt
Typenbezeichnung: H1
Erhaltungszustand: abgerieben
Fabrikat: 36
Maße (cm):
Länge: erh. 2,8
Breite: erh. 0,9
Dicke: erh. 1

Kat.-Nr. 287
Fundnr.: 09/818/1/48
Form: Vertikalhenkel
Typ: ovaler Querschnitt
Typenbezeichnung: H1
Erhaltungszustand: abgerieben, teilweise versintert
Fabrikat: 18
Maße (cm):
Länge: erh. 3,1
Breite: erh. 1,2
Dicke: erh. 0,8

Kat.-Nr. 288
Fundnr.: 09/818/1/2
Form: Vertikalhenkel
Typ: breiter Querschnitt
Typenbezeichnung: H2
Erhaltungszustand: gut
Fabrikat: 38
Maße (cm):
Länge: erh. 5,3
Breite: erh. 4,3
Dicke: erh. 1,4

Kat.-Nr. 289
Fundnr.: 09/818/1/43
Form: Vertikalhenkel
Typ: breiter Querschnitt
Typenbezeichnung: H2
Erhaltungszustand: sekundär verbrannt
Fabrikat: 24
Maße (cm):
Länge: erh. 4
Breite: erh. 2,3
Dicke: erh. 1,1

Kat.-Nr. 290
Fundnr.: 09/818/1/11
Form: Horizontalhenkel
Typ: ovaler Querschnitt
Typenbezeichnung: H5
Erhaltungszustand: gut
Fabrikat: 38
Maße (cm):
Länge: erh. 2,1
Breite: erh. 2,7
Dicke: erh. 0,9
Wandstärke: 0,5
Dm. (Lochung): 0,8

Griffknubben

Kat.-Nr. 291 Taf. 27.291
Fundnr.: 09/818/1/61
Form: Griffknubbe
Typ: einfache Knubbe
Typenbezeichnung: G1
Erhaltungszustand: versintert
Fabrikat: 38
Maße (cm):
Länge: 3,2
Breite: 2,1
Dicke: 1
Wandstärke: 0,5

Kat.-Nr. 292
Fundnr.: 09/818/1/47
Form: Griffknubbe
Typ: vertikal durchbohrte Knubbe
Typenbezeichnung: G2
Erhaltungszustand: abgerieben
Fabrikat: 38
Maße (cm):
Länge: erh. 1,8
Breite: erh. 3,5
Dicke: max. 1,0

Charakteristische Wandfragmente

Kat.-Nr. 293
Fundnr.: 09/818/1/23
Zugehörigkeit: 09/818/1/56; 09/818/1/57
Form: charakteristisches Wandfragment
Typ: impressoverziert
Variante: Fingereindrücke
Typenbezeichnung: WS2A
Erhaltungszustand: versintert
Fabrikat: 0
Maße (cm):
Wandstärke: 0,7

Kat.-Nr. 294
Fundnr.: 09/818/1/25
Form: charakteristisches Wandfragment
Typ: impressoverziert
Variante: Fingereindrücke
Typenbezeichnung: WS2A
Erhaltungszustand: abgerieben
Fabrikat: 36
Maße (cm):
Wandstärke: 0,4–0,7

Kat.-Nr. 295
Fundnr.: 09/818/1/30
Form: charakteristisches Wandfragment
Typ: impressoverziert
Variante: Fingereindrücke
Typenbezeichnung: WS2A
Erhaltungszustand: abgerieben
Fabrikat: 39
Beschreibung: schmale Eindrücke
Maße (cm):
Wandstärke: 0,45

Kat.-Nr. 296
Fundnr.: 09/818/1/52
Form: charakteristisches Wandfragment
Typ: impressoverziert
Variante: Fingereindrücke
Typenbezeichnung: WS2A
Erhaltungszustand: abgerieben
Fabrikat: 39
Beschreibung: schmale Eindrücke
Maße (cm):
Wandstärke: 0,3

Kat.-Nr. 297
Fundnr.: 09/818/1/5
Form: charakteristisches Wandfragment
Typ: impressoverziert
Variante: Rillen
Typenbezeichnung: WS2B
Erhaltungszustand: stark versintert
Fabrikat: 0
Maße (cm):
Wandstärke: 0,6

Kat.-Nr. 298
Fundnr.: 09/818/1/12
Form: charakteristisches Wandfragment
Typ: Ansatz einer Handhabe
Typenbezeichnung: WS4
Erhaltungszustand: abgerieben
Fabrikat: 24
Maße (cm):
Wandstärke: 0,6

Kat.-Nr. 299
Fundnr.: 09/818/1/45
Form: charakteristisches Wandfragment
Typ: Ansatz einer Handhabe
Typenbezeichnung: WS4
Erhaltungszustand: versintert
Fabrikat: 39
Maße (cm):
Wandstärke: 0,5

SE 834

Töpfe

Kat.-Nr. 300 Taf. 28.300
Fundnr.: 09/834/1/501
Form: Topf
Typ: steil konkave Wandung
Variante: regelmäßig gerundete Lippe
Typenbezeichnung: T2A
Erhaltungszustand: gut
Fabrikat: 40
Maße (cm):
Wandstärke: 0,5
Dm. (Rand): 11
Dm. (Rand, erhalten in %): 8

Kannen

Kat.-Nr. 301 Taf. 27.301
Fundnr.: 09/834/1/15
Zugehörigkeit: 09/834/1/1001; 09/834/1/1404
Form: Kanne
Typ: Zylinderhals
Variante: hochgezogener Ausguss
Typenbezeichnung: Ka1M
Form: Vertikalhenkel
Typ: ovaler Querschnitt
Typenbezeichnung: H1
Erhaltungszustand: gut
Fabrikat: 24
Beschreibung: Wandfragmente 09/834/1/1001 und 09/834/1/1404 mit jeweils einer Knubbe verziert; Dm. Rand < 5 %, daher unsicher
Maße (cm):
Wandstärke: 0,3–0,4
Länge (Henkel): 9,5
Breite (Henkel): 2,1
Dicke (Henkel): max. 1,3
Dm. (Rand, erhalten in %): 4

Kat.-Nr. 302 Taf. 28.302
Fundnr.: 09/834/1/1102
Form: Kanne
Typ: Zylinderhals
Variante: hochgezogener Ausguss
Typenbezeichnung: Ka1M
Erhaltungszustand: abgerieben
Fabrikat: 24
Beschreibung: Ansatz eines Vertikalhenkels
Maße (cm):
Wandstärke: 0,5

Kat.-Nr. 303 Taf. 28.303
Fundnr.: 09/834/1/10
Anpassungen: 09/812/1; 09/834/1
Form: Kanne
Typ: Ka0
Erhaltungszustand: gut
Fabrikat: 36
Maße (cm):
Wandstärke: 0,5–0,7

Halsgefäße

Kat.-Nr. 304 Taf. 28.304
Fundnr.: 09/834/1/1
Form: Halsgefäß
Typ: geschwungene Wandung

Variante: regelmäßig gerundete Lippe
Typenbezeichnung: Hg2A
Form: Vertikalhenkel
Typ: ovaler Querschnitt
Typenbezeichnung: H1
Erhaltungszustand: gut
Fabrikat: 40
Maße (cm):
Wandstärke: 0,4–0,5
Dm. (Rand): 10
Dm. (Rand, erhalten in %): 12

Kat.-Nr. 305 Taf. 28.305
Fundnr.: 09/834/1/1403
Form: Halsgefäß
Typ: geschwungene Wandung
Variante: regelmäßig gerundete Lippe
Typenbezeichnung: Hg2A
Erhaltungszustand: gut
Fabrikat: 24
Beschreibung: Dm. Rand < 5 %, daher unsicher
Maße (cm):
Wandstärke: 0,4
Dm. (Rand): 16
Dm. (Rand, erhalten in %): 3

Offene Gefäßformen

Kat.-Nr. 306 Taf. 28.306
Fundnr.: 09/834/1/6
Form: offen
Variante: regelmäßig gerundete Lippe
Erhaltungszustand: abgerieben
Fabrikat: 36
Beschreibung: Dm. Rand < 5 %, daher unsicher
Maße (cm):
Wandstärke: 0,5
Dm. (Rand): 14
Dm. (Rand, erhalten in %): 2

Kat.-Nr. 307
Fundnr.: 09/834/1/7
Form: offen
Variante: regelmäßig gerundete Lippe
Erhaltungszustand: sekundär verbrannt
Fabrikat: 0
Maße (cm):
Wandstärke: 0,7
Dm. (Rand): 14
Dm. (Rand, erhalten in %): 10

Sonderformen

Kat.-Nr. 308 Taf. 29.308
Fundnr.: 09/834/1/1502
Form: Sonderform
Typenbezeichnung: SF
Beschreibung: Ausguss
Erhaltungszustand: gut
Fabrikat: 38
Vergleiche Spundloch (vgl. Duru 1996, Taf. 86.5, 13; Schoop 2005, 166, Taf. 118.1)
Maße (cm):
Wandstärke: 1,1
Dm. (Loch): 1,2

Henkel

Kat.-Nr. 309 Taf. 29.309
Fundnr.: 09/834/1/2
Form: Vertikalhenkel
Typ: ovaler Querschnitt
Typenbezeichnung: H1
Erhaltungszustand: gut
Fabrikat: 24
Maße (cm):
Länge: erh. 3,5
Breite: erh. 2,7
Dicke: erh. 1,1

Kat.-Nr. 310
Fundnr.: 09/834/1/102
Form: Vertikalhenkel
Typ: ovaler Querschnitt
Typenbezeichnung: H1A
Erhaltungszustand: abgerieben
Fabrikat: 38
Maße (cm):
Länge: erh. 8,2
Breite: erh. 4
Dicke: erh. 2,9

Kat.-Nr. 311
Fundnr.: 09/834/1/103
Form: Vertikalhenkel
Typ: ovaler Querschnitt
Typenbezeichnung: H1
Erhaltungszustand: abgerieben, sekundär verbrannt
Fabrikat: 38
Maße (cm):
Länge: erh. 5,8
Breite: erh. 3,5
Dicke: erh. 2,8

Kat.-Nr. 312
Fundnr.: 09/834/1/104
Form: Vertikalhenkel
Typ: ovaler Querschnitt
Typenbezeichnung: H1A
Erhaltungszustand: abgerieben
Fabrikat: 38
Maße (cm):
Länge: erh. 2,9
Breite: erh. 4
Dicke: erh. 2,7
Wandstärke: 1

Kat.-Nr. 313 Taf 29.313
Fundnr.: 09/834/1/1101
Form: Bandhenkel

Typ: unverziert
Typenbezeichnung: H3A
Erhaltungszustand: gut
Fabrikat: 24
Maße (cm):
Länge: erh. 7,5
Breite: erh. 2,7
Dicke: erh. 0,9

Kat.-Nr. 314
Fundnr.: 09/834/1/1302
Form: Vertikalhenkel
Typ: ovaler Querschnitt
Typenbezeichnung: H1
Erhaltungszustand: abgerieben, teilweise versintert
Fabrikat: 24
Maße (cm):
Länge: erh. 14,4
Breite: erh. 2,1
Dicke: erh. 1,9

Kat.-Nr. 315 Taf. 29.315
Fundnr.: 09/834/1/702
Form: Bandhenkel
Typ: durchlocht
Typenbezeichnung: H3D
Erhaltungszustand: abgerieben
Fabrikat: 24
Beschreibung: am oberen Henkelansatz durchbohrt/durchlocht
Maße (cm):
Länge: erh. 8
Breite: erh. 1,7–1,9
Dicke: erh. 1,9
Dm. (Lochung): 0,5

Charakteristische Wandfragmente

Kat.-Nr. 316
Fundnr.: 09/834/1/101
Form: charakteristisches Wandfragment
Typ: Ansatz einer Handhabe
Typenbezeichnung: WS4
Erhaltungszustand: gut
Fabrikat: 38
Maße (cm):
Wandstärke: 1,1

SE 869

Randfragmente

Kat.-Nr. 317 Taf. 29.317
Fundnr.: 09/869/1/3
Form: Randfragment
Variante: regelmäßig gerundete Lippe
Typenbezeichnung: R0A
Erhaltungszustand: abgerieben
Fabrikat: 23
Beschreibung: Ansatz eines Vertikalhenkels; Dm. Rand nicht ermittelbar
Maße (cm):
Wandstärke: 0,5

Ösen

Kat.-Nr. 318 Taf. 30.318
Fundnr.: 09/869/1/2
Form: Röhrenöse
Typ: vertikal
Typenbezeichnung: Ö2B
Erhaltungszustand: abgerieben
Fabrikat: 36
Maße (cm):
Länge: 2,8
Breite: 1,8
Dicke: 0,2–0,3
Wandstärke: 0,4

Offene Gefäßformen

Kat.-Nr. 319
Fundnr.: 09/869/1/1
Form: offen
Variante: regelmäßig gerundete Lippe
Erhaltungszustand: abgerieben
Fabrikat: 38
Maße (cm):
Wandstärke: 0,9
Dm. (Rand): 10
Dm. (Rand, erhalten in %): 5

SE 883

Schalen

Kat.-Nr. 320 Taf. 30.320
Fundnr.: 09/883/1/6
Form: Schale
Typ: kalottenförmig
Variante: regelmäßig gerundete Lippe
Typenbezeichnung: S1A
Erhaltungszustand: versintert
Fabrikat: 37
Maße (cm):
Wandstärke: 0,5
Dm. (Rand): 12
Dm. (Rand, erhalten in %): 5

Kat.-Nr. 321 Taf. 30.321
Fundnr.: 09/883/1/7
Form: Schale
Typ: weitmundig
Variante: schräg nach innen abgestrichene und verdickte Lippe
Typenbezeichnung: S4K
Erhaltungszustand: abgerieben
Fabrikat: 37
Maße (cm):
Wandstärke: 0,9
Dm. (Rand): 30
Dm. (Rand, erhalten in %): 5

Töpfe

Kat.-Nr. 322 Taf. 30.322
Fundnr.: 09/883/1/3
Form: Topf
Variante: regelmäßig gerundete Lippe
Typenbezeichnung: T0A
Erhaltungszustand: abgerieben
Fabrikat: 36
Beschreibung: Dm. Rand < 5 %, daher unsicher
Maße (cm):
Wandstärke: 0,4
Dm. (Rand): 16
Dm. (Rand, erhalten in %): 4

Kat.-Nr. 323 Taf. 30.323
Fundnr.: 09/883/1/13
Form: Topf
Variante: regelmäßig gerundete Lippe
Typenbezeichnung: T0A
Erhaltungszustand: gut
Fabrikat: 38
Maße (cm):
Wandstärke: 0,8
Dm. (Rand): 20
Dm. (Rand, erhalten in %): 5

Kat.-Nr. 324
Fundnr.: 09/883/1/15
Form: Topf
Typ: steil konkave Wandung
Variante: regelmäßig gerundete Lippe
Typenbezeichnung: T2A
Erhaltungszustand: abgerieben
Fabrikat: 23
Beschreibung: Dm. Rand nicht ermittelbar
Maße (cm):
Wandstärke: 1,1

Halsgefäße

Kat.-Nr. 325 Taf. 30.325
Fundnr.: 09/883/1/17
Form: Halsgefäß
Typ: gerade Wandung
Variante: regelmäßig gerundete Lippe
Typenbezeichnung: Hg1A
Erhaltungszustand: abgerieben
Fabrikat: 39
Beschreibung: Dm. Rand < 5 %, daher unsicher
Maße (cm):
Wandstärke: 0,3
Dm. (Rand): 20
Dm. (Rand, erhalten in %): 4

Offene Gefäßformen

Kat.-Nr. 326
Fundnr.: 09/883/1/4
Form: offen
Variante: regelmäßig gerundete Lippe
Fabrikat: 38
Beschreibung: Dm. Rand < 5 %, daher unsicher
Maße (cm):
Wandstärke: 0,6
Dm. (Rand): 24
Dm. (Rand, erhalten in %): 2

Kat.-Nr. 327
Fundnr.: 09/883/1/14
Form: offen
Variante: regelmäßig gerundete Lippe
Erhaltungszustand: abgerieben
Fabrikat: 24
Maße (cm):
Wandstärke: 0,3
Dm. (Rand): 18
Dm. (Rand, erhalten in %): 5

Henkel

Kat.-Nr. 328 Taf. 30.328
Fundnr.: 09/883/1/2
Form: Vertikalhenkel
Typ: ovaler Querschnitt
Typenbezeichnung: H1A
Erhaltungszustand: gut
Maße (cm):
Länge: erh. 5,2
Breite: erh. 1,7
Dicke: erh. 0,9

Kat.-Nr. 329 Taf. 30.329
Fundnr.: 09/883/1/1
Form: Vertikalhenkel
Typ: breiter Querschnitt
Typenbezeichnung: H2
Erhaltungszustand: gut
Fabrikat: 38
Maße (cm):
Länge: erh. 3,6
Breite: erh. 4,9
Dicke: erh. 1,7

Kat.-Nr. 330 Taf. 31.330
Fundnr.: 09/883/1/11
Form: Vertikalhenkel
Typ: runder Querschnitt
Typenbezeichnung: H8B
Erhaltungszustand: abgerieben
Fabrikat: 17
Beschreibung: Dm. Rand < 5 %, daher unsicher
Maße (cm):
Länge: 6,5
Breite: 1,3
Dicke: 1,3
Wandstärke: 0,5
Dm. (Rand): 15
Dm. (Rand, erhalten in %): 3,7

Ösen

Kat.-Nr. 331
Fundnr.: 09/883/1/5
Form: Röhrenöse
Typ: horizontal
Typenbezeichnung: Ö2A
Erhaltungszustand: abgerieben
Fabrikat: 37
Maße (cm):
Länge: 2,3
Breite: 2,4
Dicke: 1
Wandstärke: 0,7
Dm. (Loch): 0,6–0,9

Charakteristische Wandfragmente

Kat.-Nr. 332
Fundnr.: 09/883/1/8
Form: charakteristisches Wandfragment
Typ: Ansatz einer Handhabe
Typenbezeichnung: WS4
Erhaltungszustand: abgerieben
Fabrikat: 24
Maße (cm):
Wandstärke: 0,6

Kat.-Nr. 333
Fundnr.: 09/883/1/16
Form: charakteristisches Wandfragment
Typ: Applike
Variante: Leiste
Typenbezeichnung: WS5A
Erhaltungszustand: versintert
Fabrikat: 26
Maße (cm):
Länge: erh. 2,4
Breite: erh. 0,8
Dicke: erh. 0,4
Wandstärke: 0,5

Pithosfragmente

Kat.-Nr. 334
Fundnr.: 09/883/1/18
Form: Pithosfragment
Erhaltungszustand: sekundär verbrannt
Fabrikat: 35
Maße (cm):
Wandstärke: 2,6–2,9

SE 894

Offene Gefäßformen

Kat.-Nr. 335
Fundnr.: 09/894/1/2
Form: offen
Variante: regelmäßig gerundete Lippe
Erhaltungszustand: abgerieben
Fabrikat: 24
Beschreibung: Dm. Rand < 5 %, daher unsicher
Maße (cm):
Wandstärke: 0,3
Dm. (Rand): 14
Dm. (Rand, erhalten in %): 4

Kat.-Nr. 336
Fundnr.: 09/894/1/3
Form: offen
Variante: regelmäßig gerundete Lippe
Erhaltungszustand: abgerieben
Fabrikat: 36
Beschreibung: Dm. Rand nicht ermittelbar
Maße (cm):
Wandstärke: 0,7

Kat.-Nr. 337
Fundnr.: 09/894/1/4
Form: offen
Variante: regelmäßig gerundete Lippe
Erhaltungszustand: gut
Fabrikat: 36
Beschreibung: Dm. Rand < 5 %, daher unsicher
Maße (cm):
Wandstärke: 0,5
Dm. (Rand): 24
Dm. (Rand, erhalten in %): 4

Henkel

Kat.-Nr. 338
Fundnr.: 09/894/1/1
Form: Vertikalhenkel
Typ: ovaler Querschnitt
Typenbezeichnung: H1
Erhaltungszustand: gut
Fabrikat: 38
Maße (cm):
Länge: erh. 6,6
Breite: erh. 2,9
Dicke: erh. 1,9

Knubbe

Kat.-Nr. 339 Taf. 31.339
Fundnr.: 09/894/1/5
Form: Knubbe
Typ: einfach
Typenbezeichnung: Kn4
Fabrikat: 24
Maße (cm):
Wandstärke: 0,5–0,6

SE 897

Halsgefäße

Kat.-Nr. 340 Taf. 31.340
Fundnr.: 09/897/1/1
Anpassung: 09/897/1/3

Form: Halsgefäß
Typ: geschwungene Wandung
Variante: regelmäßig gerundete Lippe
Typenbezeichnung: Hg2A
Form: Vertikalhenkel
Typ: ovaler Querschnitt
Typenbezeichnung: H1A
Erhaltungszustand: gut
Fabrikat: 23
Maße (cm):
Wandstärke: 0,6–0,8
Dm. (Rand): 12
Dm. (Rand, erhalten in %): 23
Länge (Henkel): erh. 4,5
Breite (Henkel): erh. 3,6
Dicke (Henkel): erh. 1,6

SE 904

Böden

Kat.-Nr. 341 Taf. 31.341
Fundnr.: 09/904/1/1
Form: Boden
Typ: Scheibenbasis
Variante: eingewölbte Standfläche
Typenbezeichnung: B2A
Erhaltungszustand: abgerieben
Fabrikat: 24
Maße (cm):
Dm. (Boden): 2,5
Dm. (Boden, erhalten in %): 100

Charakteristisches Wandfragment

Kat.-Nr. 342
Fundnr.: 09/904/1/2
Form: charakteristisches Wandfragment
Typ: impressoverziert
Variante: Fingereindrücke
Typenbezeichnung: WS2A
Erhaltungszustand: versintert
Fabrikat: 39
Beschreibung: schmale Eindrücke
Maße (cm):
Wandstärke: 0,4

SE 967

Schalen

Kat.-Nr. 343 Taf. 32.343
Fundnr.: 09/967/1/1
Form: Schale
Typ: weitmundig
Variante: regelmäßig gerundete Lippe
Typenbezeichnung: S4A
Erhaltungszustand: abgerieben
Fabrikat: 36
Maße (cm):
Wandstärke: 0,5
Dm. (Rand): 14
Dm. (Rand, erhalten in %): 6

Kat.-Nr. 344 Taf. 32.344
Fundnr.: 09/967/1/15
Form: Schale
Typ: weitmundig
Variante: regelmäßig gerundete Lippe
Typenbezeichnung: S4A
Fabrikat: 28
Beschreibung: Dm. Rand < 5 %, daher unsicher
Maße (cm):
Wandstärke: 0,5
Dm. (Rand): 26
Dm. (Rand, erhalten in %): 4

Töpfe

Kat.-Nr. 345
Fundnr.: 09/967/1/4
Form: Topf
Typ: sanft geschwungene Wandung
Variante: regelmäßig gerundete Lippe
Typenbezeichnung: T1A
Erhaltungszustand: abgerieben
Fabrikat: 36
Beschreibung: Dm. Rand < 5 %, daher unsicher
Maße (cm):
Wandstärke: 0,6–0,8
Dm. (Rand): 18
Dm. (Rand, erhalten in %): 4

Kat.-Nr. 346 Taf. 32.346
Fundnr.: 09/967/1/8
Form: Topf
Typ: sanft geschwungene Wandung
Variante: regelmäßig gerundete Lippe
Typenbezeichnung: T1A
Erhaltungszustand: abgerieben
Fabrikat: 24
Beschreibung: Dm. Rand nicht ermittelbar
Maße (cm):
Wandstärke: 0,5

Halsgefäße

Kat.-Nr. 347 Taf. 32.347
Fundnr.: 09/967/1/13
Form: Halsgefäß
Typ: geschwungene Wandung
Variante: regelmäßig gerundete Lippe
Typenbezeichnung: Hg2A
Erhaltungszustand: abgerieben
Fabrikat: 24
Beschreibung: Dm. Rand < 5 %, daher unsicher
Maße (cm):
Wandstärke: 0,6
Dm. (Rand): 30
Dm. (Rand, erhalten in %): 4,5

Offene Gefäßformen

Kat.-Nr. 348
Fundnr.: 09/967/1/7
Form: offen
Variante: regelmäßig gerundete Lippe
Erhaltungszustand: versintert
Fabrikat: 26
Beschreibung: Dm. Rand nicht ermittelbar
Maße (cm):
Wandstärke: 0,5

Kat.-Nr. 349
Fundnr.: 09/967/1/10
Form: offen
Variante: regelmäßig gerundete Lippe
Erhaltungszustand: versintert
Fabrikat: 36
Beschreibung: Dm. Rand < 5 %, daher unsicher
Maße (cm):
Wandstärke: 0,8
Dm. (Rand): 18
Dm. (Rand, erhalten in %): 3

Kat.-Nr. 350
Fundnr.: 09/967/1/12
Form: offen
Variante: regelmäßig gerundete Lippe
Erhaltungszustand: abgerieben
Fabrikat: 24
Beschreibung: Dm. Rand < 5 %, daher unsicher
Maße (cm):
Wandstärke: 1
Dm. (Rand): 22
Dm. (Rand, erhalten in %): 4

Kat.-Nr. 351
Fundnr.: 09/967/1/20
Form: offen
Variante: regelmäßig gerundete Lippe
Erhaltungszustand: abgerieben
Fabrikat: 39
Beschreibung: Dm. Rand nicht ermittelbar
Maße (cm):
Wandstärke: 0,4

Kat.-Nr. 352
Fundnr.: 09/967/1/23
Form: offen
Variante: regelmäßig gerundete Lippe
Erhaltungszustand: sekundär verbrannt
Fabrikat: 38
Beschreibung: Dm. Rand < 5 %, daher unsicher
Maße (cm):
Wandstärke: 0,8
Dm. (Rand): 16
Dm. (Rand, erhalten in %): 3

Böden

Kat.-Nr. 353
Fundnr.: 09/967/1/16
Form: Boden
Typ: Scheibenbasis
Variante: eingewölbte Standfläche
Typenbezeichnung: B2A
Erhaltungszustand: abgerieben
Fabrikat: 24
Beschreibung: Dm. Boden nicht ermittelbar

Kat.-Nr. 354
Fundnr.: 09/967/1/19
Form: Boden
Typ: Scheibenbasis
Variante: eingewölbte Standfläche
Typenbezeichnung: B2A
Erhaltungszustand: abgerieben
Fabrikat: 36
Maße (cm):
Wandstärke: 0,4
Dm. (Boden): 10
Dm. (Boden, erhalten in %): 11

Henkel

Kat.-Nr. 355
Fundnr.: 09/967/1/11
Form: Horizontalhenkel
Typ: ovaler Querschnitt
Typenbezeichnung: H5
Erhaltungszustand: abgerieben
Fabrikat: 17
Maße (cm):
Länge: 4,6
Breite: 1,6
Dicke: 0,7–0,9
Wandstärke: 0,6

Griffknubben

Kat.-Nr. 356 Taf. 32.356
Fundnr.: 09/967/1/9
Zugehörigkeit: 09/967/1/6
Form: Griffknubbe
Typ: einfache Knubbe
Typenbezeichnung: G1
Erhaltungszustand: gut
Fabrikat: 39
Beschreibung: Rillen
Maße (cm):
Länge: 3,3
Breite: 3,3
Dicke: 0,8
Wandstärke: 0,5

Kat.-Nr. 357 Taf. 32.357
Fundnr.: 09/967/1/21
Zugehörigkeit: 09/967/1/14
Form: Griffknubbe
Typ: einfache Knubbe
Typenbezeichnung: G1
Erhaltungszustand: abgerieben
Fabrikat: 26
Beschreibung: Fingereindrücke

Maße (cm):
Länge: 1,7
Breite: 2,2
Dicke: 0,6
Wandstärke: 0,4

Charakteristische Wandfragmente

Kat.-Nr. 358
Fundnr.: 09/967/1/17
Form: charakteristisches Wandfragment
Typ: impressoverziert
Variante: Fingereindrücke
Typenbezeichnung: WS2A
Erhaltungszustand: abgerieben
Fabrikat: 39
Maße (cm):
Wandstärke: 0,7

Kat.-Nr. 359
Fundnr.: 09/967/1/18
Form: charakteristisches Wandfragment
Typ: impressoverziert
Variante: Fingereindrücke
Typenbezeichnung: WS2A
Erhaltungszustand: abgerieben
Fabrikat: 39
Maße (cm):
Wandstärke: 0,5

Kat.-Nr. 360
Fundnr.: 09/967/1/26
Form: charakteristisches Wandfragment
Typ: impressoverziert
Variante: Fingereindrücke
Typenbezeichnung: WS2A
Erhaltungszustand: abgerieben
Fabrikat: 26
Maße (cm):
Wandstärke: 0,6

Kat.-Nr. 361
Fundnr.: 09/967/1/27
Form: charakteristisches Wandfragment
Typ: impressoverziert
Variante: Fingereindrücke
Typenbezeichnung: WS2A
Erhaltungszustand: versintert
Fabrikat: 0
Maße (cm):
Wandstärke: 0,8

III.2. Kleinfunde und Reibsteine

Aus den Phasen ÇuHö VII–Vb der Schnitte N1–4 stammt ein überschaubares Spektrum an nur zwölf Kleinfunden und zwei Reibsteinen, die hier abschließend vorgelegt werden sollen.

Vier annähernd kreisrunde Scheiben der Phase ÇuHö VII stammen direkt vom Lehmstampfboden SE 316 (Taf. 34.3–4) bzw. aus einer Lehmschicht darunter (Taf. 34.1–2).[2083] Die drei Exemplare[2084] aus Ton, wovon eine zusätzlich zentral durchlocht wurde, stellen sekundäre Verwendungen zerbrochener Gefäße dar, wie sich aus ihrer Ware schließen lässt. Die Scheibe aus Kalkstein[2085] weist den Ansatz einer Bohrung für eine zentrale Lochung auf, die aber nicht zu Ende geführt wurde. Ihre Nutzung im Rahmen von Fischerei ist aufgrund einer bereits vorgelegten Studie vergleichbarer durchlochter und glatter Scheiben aus den frühbronzezeitlichen Siedlungen des Cukurici Höyük sehr wahrscheinlich anzunehmen.[2086] In dieser statistischen Auswertung auf Basis von 32 Scheiben und 56 Spinnwirteln lässt sich eine Verwendung der Scheiben im Textilhandwerk aufgrund der Gewichtsklassen und Lochgrößen ausscheiden. Die dabei ermittelten Cluster an Scheiben nach Gewichten und Größendurchmessern zeigen hingegen eine bewusste Herstellung für vermutliche Stellnetze zum Fischen, wofür Netzsenker, Schwimmer und Anker gebraucht wurden.[2087] Die vier Scheiben der Phase ÇuHö VII lassen sich mit ihren Gewichten und Größenverhältnissen sehr gut in diese ermittelten Cluster von möglichen Netzsenkern eingliedern. Wie andernorts bereits dargestellt, sind solche Stellnetze vor allem im küstennahen Bereich auf sandigem Untergrund gut einzusetzen, wie er in der rekonstruierten Lagune nördlich des Siedlungshügels im Zeithorizont des 4. Jts. v. Chr. vorhanden war. Dass die Fischereigründe intensiv genutzt wurden, belegen die zahlreichen Fischreste auch in dieser Periode, die von A. Galik untersucht und vorgelegt wurden.[2088]

Eine weitere abgerundete Scheibe aus Glimmerschiefer (Taf. 35.9) ist deutlich größer und schwerer und könnte als möglicher Ankerstein eines Stellnetzes eingesetzt gewesen sein. Diese Steinscheibe aus der Phase ÇuHö VI stammt direkt aus der Mauer des kurvolinearen Baus, wo sie als sekundärer Füllstein in die Steinstruktur verbaut worden sein dürfte und daher durchaus auch zum oben besprochenen Fischerei-Set der Phase ÇuHö VII gehören könnte. Ebenso sekundär in die Mauer der kurvolinearen Struktur der Phase ÇuHö VI verbaut war das Fragment eines möglichen Glättsteins[2089] (Taf. 35.10) aus Kalk, der daher ebenso ursprünglich älter genutzt sein könnte.

Die übrigen Objekte stammen aus gesicherten Kontexten der Phase ÇuHö VII, wie das komplett erhaltene zylindrische Webgewicht (Taf. 34.8) und ein Fragment eines weiteren Webgewichts (Taf. 34.5), letzteres stammt direkt von einem Lehmstampfboden. Ein weiteres zylindrisches Webgewicht stammt aus Schnitt N4 und datiert in die Subphase ÇuHö Vb (Taf. 34.15). Alle drei aus grobem Ton hergestellten Gewichte mit vertikaler Lochung entsprechen den auch in der Frühbronzezeit vom Çukuriçi Höyük bekannten Typen. Ihre mögliche Verbindung mit balkanischen Textilgeräten wurde bereits von Schwall erörtert.[2090]

Schließlich sollen noch die Fragmente eines Keramiklöffels[2091] (Taf. 34.6), eines tönernen Schleudergeschosses[2092] (Taf. 34.7) aus Phase ÇuHö VII sowie ein Klopfstein[2093] aus Quarz von einem Lehmstampfboden der Subphase ÇuHö VIb erwähnt werden. Bruchstücke von Ocker

---

[2083] Zu Funden von Keramik- und Steinscheiben sowie deren Diskussion s. ebenfalls Schwall in diesem Band (Kap. IV.5.1.1., IV.5.3.5, IV.5.4.).
[2084] Kat.-Nr. 1–3.
[2085] Kat.-Nr. 4.
[2086] Britsch – Horejs 2014.
[2087] Britsch – Horejs 2014, 236, Tab. 2, Abb. 6.
[2088] Galik 2014.
[2089] S. ebenfalls Schwall in diesem Band (Kap. IV.5.3.4.).
[2090] S. ebenfalls Schwall in diesem Band (Kap. IV.5.4.).
[2091] S. ebenfalls Schwall in diesem Band (Kap. IV.5.1.4.).
[2092] S. ebenfalls Schwall in diesem Band (Kap. IV.5.1.5.).
[2093] S. ebenfalls Schwall in diesem Band (Kap. IV.5.3.1.).

(Kat.-Nr. 14) fanden sich direkt auf einem Lehmstampfboden der Subphase ÇuHö Vb in Schnitt N4 (Abb. 18B) und weisen auf Färbetätigkeiten in diesem Areal hin.

Zwei Reibsteine, ein Unterlieger und ein Läufer, stammen aus dem jüngsten erfassten Horizont im Schnitt N4 (SE 834). Der Unterlieger (Taf. 36.12) ist bereits in prähistorischer Zeit zerbrochen, wurde jedoch anschließend weiterverwendet. Dies belegen die abgerundeten Kanten am Übergang von der Reibfläche zur Unterseite. Interessanterweise wurde ein Läufer (Taf. 35.13) in unmittelbarer Nähe des Unterliegers gefunden (Abb. 14, 18B). Da es sich jedoch um unterschiedliche Formen handelt,[2094] ist eine Zusammengehörigkeit beider Steine zu einem Gerät auszuschließen.

Die wenigen Artefakte und Geräte aus Ton und Stein spiegeln dennoch ein vielfältiges Spektrum an handwerklichen Tätigkeiten in den Siedlungen des späten 4. Jts. v. Chr. wider.[2095] Dazu gehören Fischerei, Textilproduktion, ebenso wie Jagd (Schleuder), Keramikherstellung (Glättstein) und weiteres Hauswerk. Abgesehen von diesen Indizien ist die Jagd natürlich durch die Reste von Wildtieren im zoologischen Ensemble[2096] und der Nachweis lokaler Keramikproduktion durch die petrographischen, geochemischen und geologischen Analysen belegt, die zur Identifikation der Lagerstätten geführt hat.[2097] Die andernorts publizierten metallurgischen Reste aus Schnitt N4 weisen zudem auf eine Arsenkupferproduktion bereits in den spätchalkolithischen Siedlungen hin,[2098] die sich ab der frühbronzezeitlichen Phase ÇuHö IV schließlich zu einem metallurgischen Zentrum entwickeln.

[2094] Zu den Formen der Reibsteine s. Schwall in diesem Band (Kap. IV.7.).

[2095] Zum Spektrum der Kleinfunde aus den spätchalkolithischen Schichten und deren Diskussion s. auch Schwall in diesem Band (Kap. IV.5.).

[2096] Galik 2014.

[2097] Peloschek 2017.

[2098] Mehofer 2014a; Mehofer 2014b. – Zu den Metallfunden aus den Nordschnitten und aus dem Schnitt M1 s. Schwall in diesem Band (Kap. IV.6.).

III.2.1. Katalog der Kleinfunde und Reibsteine aus den Schnitten N1–3 (ÇuHö VII–VIb) und N4 (ÇuHö VI–Vb)

Schnitte N1–3

ÇuHö VII

SE 096

Kat.-Nr. 1 Taf. 34.1; 37.1
Fundnr.: 06/96/3/1
Bezeichnung: Keramikscheibe
Material: Keramik
Erhaltung: gebrochen; Oberfläche versintert
Fabrikat: 18
Maße (cm):
Länge: 4,8
Breite: 4,1
Dicke: 0,5
Gewicht: 17,38 g

Kat.-Nr. 2 Taf. 34.2; 37.2
Fundnr.: 06/96/3/701
Bezeichnung: durchlochte Keramikscheibe
Material: Keramik
Erhaltung: annähernd vollständig; Oberfläche versintert
Fabrikat: 8 (mittelporige, graubraune bis rotbraune Ware mit geglätteter dichter Oberfläche)
Maße (cm):
Länge: 4,4
Breite: 4,2
Dicke: 0,5
Dm. (Bohrung): 0,6
Gewicht: 15,53 g

SE 112

Kat.-Nr. 3 Taf. 34.3; 37.3
Fundnr.: 06/112/3/1
Bezeichnung: Keramikscheibe
Material: Keramik
Erhaltung: vollständig, Oberfläche abgerieben
Fabrikat: 5 (mittelporige, orange Ware mit leicht glänzender, geglätteter Oberfläche)
Maße (cm):
Dm.: 5,5−5,8
Wandstärke: 1
Gewicht: 41,67 g

SE 316

Kat.-Nr. 4 Taf. 34.4; 37.4
Fundnr.: 07/316/3/1301
Bezeichnung: Steinscheibe mit Ansatz einer nicht ausgeführten Bohrung
Material: Kalkstein
Erhaltung: annähernd vollständig, geringe Bruchstellen an Rändern
Beschreibung: Oberfläche glatt und ebenmäßig, Form annähernd kreisrund
Maße (cm):
Dm. 3,7
Dicke: 0,5
Gewicht: 15,46 g

Kat.-Nr. 5 Taf. 34.5; 37.5
Fundnr.: 07/316/3/2301
Bezeichnung: zylinderförmiges Webgewichtsfragment mit fragmentarisch erhaltener Lochung
Material: Ton
Erhaltung: Bruchstück (ca. 1/4 erhalten); sekundäre Brandstellen
Fabrikat: grobporiger Ton; mittlere bis grobe Magerungspartikel; rot bis rotbraune Oberfläche; grob verstrichen
Maße (cm):
Länge: erh. 3,1
Breite: erh. 3
Dm. (Lochung): erh. 0,6

SE 334

Kat.-Nr. 6 Taf. 34.6; 37.6
Fundnr.: 07/334/3/601
Bezeichnung: Löffelfragment mit kurzem ovalem Stiel
Material: Ton
Erhaltung: Schale und Stiel sind abgebrochen; Oberfläche innen versintert
Fabrikat: feinporige, hellbraune Ware mit grauem Kern; Magerung mit mittelgroßen Partikel und viel Glimmer; Oberfläche außen grob geglättet
Maße (cm):
Länge: erh. 5,5
Breite: erh. 4
Wandstärke: 0,3−0,5
Querschnitt (Stiel): 1,7 × 1

Kat.-Nr. 7 Taf. 34.7; 37.7
Fundnr.: 07/334/3/701
Bezeichnung: bikonisches Schleudergeschossfragment
Material: Ton
Erhaltung: gebrochen
Fabrikat: grobporiger Ton mit massivem grauen Kern; mittlere bis grobe Magerungspartikel; hart gebrannt; Oberfläche grob verstrichen
Maße (cm):
Länge: erh. 4,4
Breite: erh. 3

SE 335

Kat.-Nr. 8 Taf. 34.8; 37.8
Fundnr.: 07/335/3/101
Bezeichnung: zylindrisches Webgewicht
Material: Ton
Erhaltung: gebrochen

Fabrikat: grobporige, rötlich hellbraune Ware mit gröberen mineralischen Magerungspartikel; weich gebrannt, unregelmäßige Oberfläche
Maße (cm):
Länge: 10
Dm.: max. 5
Dm. (Lochung): 0,8
Gewicht: 319 g

ÇuHö VIb

SE 007

Kat.-Nr. 9 Taf. 35.9
Fundnr.: 06/7/3/1
Bezeichnung: unregelmäßige, abgerundete Steinscheibe
Material: Glimmerschiefer
Erhaltung: eine Seite stark beschädigt; leicht versintert
Maße (cm):
Dm. (Scheibe): 8,7−7,9
Dicke: 1,1−1,3
Gewicht: 152,38 g

Kat.-Nr. 10 Taf. 35.10
Fundnr.: 06/7/3/2
Bezeichnung: Glättstein?
Material: Kalkstein
Erhaltung: unvollständig
Beschreibung: flache Form mit einem gewölbten und einem alt gebrochenen Ende
Maße (cm):
Länge: erh. 7,1
Breite: max. 1,9
Dicke: 0,9
Gewicht: 16,52 g

SE 311

Kat.-Nr. 11 Taf. 35.11; 37.11
Fundnr.: 07/311/3/4001
Bezeichnung: Klopfstein
Material: Quarz
Erhaltung: minimal gebrochen
Beschreibung: Oberfläche glatt; Kanten abgerundet; eingeebnete Arbeitsflächen an zwei Seiten vorhanden
Maße (cm):
Länge: 6,2
Breite: 6
Dicke: 5,4
Gewicht: 311,48 g

Schnitt N4

ÇuHö Vb

SE 834

Kat.-Nr. 12 Taf. 36
Fundnr.: 09/834/7/1
Bezeichnung: Unterlieger
Material: quarzreicher Glimmerschiefer (mit hohem Fuchsitanteil)
Erhaltung: Fragment; teilweise von einer Karbonatkruste überzogen
Form: 1
Beschreibung: ovale Form rekonstruierbar; Reibfläche: im Längsschnitt bogenförmig ausgerieben (ca. 3,6 cm), im Querschnitt schräg abfallend und leicht konvex abgerieben; Kanten Reibfläche/Unterseite leicht abgerundet; Unterseite abgeflacht
Maße (cm):
Länge: max. erh. 44,1
Breite: max. erh. 37
Höhe: max. 7
Gewicht: 12670 g

Kat.-Nr. 13 Taf. 35.13
Fundnr.: 09/834/7/2
Bezeichnung: Läufer
Material: quarzreicher Glimmerschiefer
Erhaltung: vollständig
Form: 3
Beschreibung: gestreckt ovale Form; Reibfläche: im Längsschnitt schräg abgerieben; im Querschnitt konvex abgerieben; Kanten Reibfläche/Oberseite leicht abgerundet; Oberseite mit teilweise stark abgeriebenen Stellen
Maße (cm):
Länge: max. 26,5
Breite: max. 16,7
Höhe: 5,1
Gewicht: 3650 g

Kat.-Nr. 14
Fundnr.: 09/834/9/1
Bezeichnung: Ockerstücke
Material: Lehm mit großen, roten Einschlüssen mit stark färbender roter bis rotbrauner Wirkung
Erhaltung: bröselige Fragmente
Beschreibung: mehrere Fragmente von Ocker stammen aus der Fundlage, wovon ein Exemplar für die ganze Gruppe in den Katalog aufgenommen wurde
Maße (cm):
Fragmente bis max. 1 × 1 × 0,5

SE 883

Kat.-Nr. 15 Taf. 34.15; 37.15
Fundnr.: 09/883/3/1
Bezeichnung: zylindrisches Webgewicht
Material: Ton
Erhaltung: gebrochen
Fabrikat: grobporige, graue bis graubraune Ware mit gröberen organischen und mineralischen Magerungspartikel; weich gebrannt mit geglätteter Oberfläche
Maße (cm):
Länge: 14,6
Breite: 6,5
Dm. (Lochung): 1,3
Gewicht: 665,18 g

IV. Zusammenfassung

Die in diesem Buchbeitrag vorgelegten Befunde und Funde aus den Phasen ÇuHö VII–Vb der Schnitte N1–N4 gehen auf die ersten Sondierungsgrabungen auf dem Çukuriçi Höyük im Jahr 2006 zurück. Die damals entwickelte Gliederung in Siedlungsphasen aufgrund der Stratigraphie dieser ersten Ausgrabungen konnte nach mehr als 10 Jahren Forschung auf dem Tell und dessen Umland nun breit ausgewertet werden. Dank der großflächigen Ausgrabungen in anderen Bereichen des Siedlungshügels ab 2011 und der von Schwall entwickelten, detailierten und radiokarbon-basierten Chronologie konnten nun auch die Schnitte N1–N4 abschließend vorgelegt werden.

Die spätchalkolithische Siedlung ÇuHö VII mit geringen Resten von Architektur und einem Steinkistengrab an der künstlichen Nordkante des Tells zeigt die flächige Nutzung als Besiedlung zumindest bis in diesen Bereich des Hügels. Die weitere konstante Nutzung dieses Areals in den spätchalkolithischen Folgesiedlungen ÇuHö VI und Vb am Ende des 4. Jts. v. Chr. beinhaltet wenige Reste gebauter Steinarchitektur sowie Plattformen zum Trocknen von Feldfrüchten. Das jeweils nach Phasen behandelte dazugehörige Fundmaterial zeigt durchgehend eine weiträumige Kommunikation der Gesellschaft, deren Formengut sich stilistisch und typologisch sehr gut in die Zone von Westanatolien und der Ostägäis einbetten lässt. Die kontinuierlich lokal produzierte Keramik weist das übliche Spektrum von Alltagsgeschirr mit vereinzelt besonders verziertem oder dekoriertem Konsumgeschirr auf. Für Vorratshaltung in den letzten Jahrhunderten des 4. Jts. v. Chr. wurden Pithoi verwendet, wie die wenigen Fragmente zeigen.

Die Varianz der Artefakte und die Auswertung der andernorts vorgelegten bioarchäologischen Ergebnisse belegen, dass zudem auch Textilproduktion, Haustierhaltung, Fischerei und Jagd, Metallurgie und Keramikproduktion vor Ort stattgefunden haben. Diese Resultate lassen sich sehr gut in die Erkenntnisse Schwalls integrieren, dessen breit angelegte Studie in diesem Band zu dem Bild einer differenzierten Gesellschaft im Chalkolithikum führt. Die aus den Sondierungsgrabungen stammenden Erkenntnisse ergänzen seine Studie und liefern dafür zusätzliches Fundmaterial aus gesicherten und datierten Kontexten.

Danksagung

Die hier abschließend vorgelegten Materialien aus den ersten Sondierungsgrabungen auf dem Çukuriçi Höyük verdanke ich der Initiative von F. Krinzinger als Leiter der Ausgrabungen in Ephesos 2006, der mich zu diesem Projekt motiviert hatte. Mein herzlicher Dank gilt dem Österreichischen Forschungsfond FWF, der eine Fortführung und Intensivierung der damals begonnenen Forschungen ermöglicht hat (FWF Projektnr. Y-528; P-25825; P-19859-G02). Der Förderung durch den European Research Council (ERC Prehistoric Anatolia 263339) verdanke ich den Aufbau einer spezialisierten Forschungsgruppe am Institut für Orientalische und Europäische Archäologie an der ÖAW. Schließlich danke ich der Grabung Ephesos für die logistische Unterstützung unserer Ausgrabungen und Aufarbeitungen. Die hier präsentierte Vorlage verdanke ich vor allem der engagierten Unterstützung von Maria Röcklinger, Johanna Traumüller und Sarah Eder sowohl in der Fundaufarbeitung als auch Katalogerstellung. Thomas Urban danke ich für die Digitalisierung der Keramik und deren Umsetzung auf druckfähige Tafeln. Mario Börner und Anja Buhlke danke ich für die graphische Umsetzung der Stratigraphien und Befundpläne. Dem gesamten Çukuriçi Team und allen involvierten Studierenden danke ich für den unermüdlichen Einsatz und die fruchtbaren Diskussionen.

V. Literaturverzeichnis

Blegen et al. 1950
C. W. Blegen – J. L. Caskey – M. Rawson – J. Sperling, Troy I. General Introduction. The First and Second Settlement (Princeton 1950).

Britsch – Horejs 2014
Ch. Britsch – B. Horejs, The role of textile production and fishing in the EBA metallurgical centre of Çukuriçi Höyük, Ägypten und Levante 24, 2014, 229–242.

Duru 1996
R. Duru, Kuruçay Höyük II. 1978–1988 Kazılarını Sonuçları. Geç Kalkolitik ve İlk Tunç Çağı Yerleşmeleri (Ankara 1996).

Galik 2014
A. Galik, Late Chalcolithic subsistence strategies on the basis of two examples. The Çukuriçi Höyük in western Anatolia and the Barcın Höyük in northwestern Anatolia, in: Horejs – Mehofer 2014, 385–394.

Galik – Horejs 2011
A. Galik – B. Horejs, Çukuriçi Höyük. Various aspects of its earliest settlement, in: R. Krauß (Hrsg.), Beginnings – New Research in the Appearance of the Neolithic between Northwest Anatolia and the Carpathian Basin. Papers of the International Workshop 8th–9th April 2009, Istanbul, Menschen – Kulturen – Traditionen. Studien aus den Forschungsclustern des Deutschen Archäologischen Instituts 1 (Rahden/Westfalen 2011) 83–94.

Horejs 2008a
B. Horejs, Çukuriçi Höyük. A new excavation project in the eastern Aegean, 4 Feb. 2008. Online <http://www.aegeobalkanprehistory.net/index.php?p=article&id_art=9> (letzter Zugriff 8. Aug. 2017).

Horejs 2008b
B. Horejs, Erster Grabungsbericht zu den Kampagnen 2006–2007 am Çukuriçi Höyük, Jahreshefte des Österreichischen Archäologischen Institutes in Wien 77, 2008, 91–106.

Horejs 2009
B. Horejs, Metalworkers at the Çukuriçi Höyük? An Early Bronze Age mould and a 'Near Eastern weight' from western Anatolia, in: T. L. Kienlin – B. Roberts (Hrsg.), Metals and Societies. Studies in Honour of Barbara S. Ottaway, Universitätsforschungen zur prähistorischen Archäologie 169 (Bonn 2009) 358–368.

Horejs 2010
B. Horejs, Çukuriçi Höyük. Neue Ausgrabungen auf einem Tell bei Ephesos, in: S. Aybek – A. Kazım Öz (Hrsg.), Metropolis Ionia II. Yolların Kesiştiği Yer / The Land of the Crossroads. Festschrift für Recep Meriç (Istanbul 2010) 167−175.

Horejs 2014
B. Horejs, Proto-urbanisation without urban centres? A model of transformation for the Izmir region in the 4th millennium BC, in: Horejs – Mehofer 2014, 15–41.

Horejs 2017a
B. Horejs, Çukuriçi Höyük 1. Anatolia and the Aegean from the 7th to the 3rd Millennium BC, Oriental and European Archaeology 5 (Wien 2017).

Horejs 2017b
B. Horejs, The Çukuriçi Höyük research project, in: Horejs 2017a, 11–26.

Horejs in Vorbereitung
B. Horejs, Çukuriçi Höyük. The Late Neolithic Settlement VIII (in Vorbereitung).

Horejs – Mehofer 2014
B. Horejs – M. Mehofer (Hrsg.), Western Anatolia Before Troy. Proto-Urbanisation in 4th Millennium BC? Proceedings of the International Symposium held at the Kunsthistorisches Museum Wien, Vienna, Austria, 21–24 November, 2012, Oriental and European Archaeology 1 (Wien 2014).

Horejs – Schwall 2015
B. Horejs – Ch. Schwall, New light on a nebulous period – western Anatolia in the 4th millennium BC. Architecture and settlement structures as cultural patterns?, in: S. Hansen – P. Raczky – A. Anders – A. Reingruber (Hrsg.), Neolithic and Copper Age between the Carpathians and the Aegean Sea. Chronologies and Technologies from the 6th to the 4th Millennium BCE, Archäologie in Eurasien 31 (Bonn 2015) 457–474.

Horejs et al. 2011
B. Horejs – A. Galik – U. Thanheiser – S. Wiesinger, Aktivitäten und Subsistenz in den Siedlungen des Çukuriçi Höyük. Der Forschungsstand nach den Ausgrabungen 2006–2009, Prähistorische Zeitschrift 86, 2011, 31–66.

Lloyd – Mellaart 1962
S. Lloyd – J. Mellaart, Beycesultan I. The Chalcolithic and Early Bronze Age Levels (London 1962).

Mehofer 2014a
M. Mehofer, Metallurgy during the Chalcolithic and the beginning of the Early Bronze Age in western Anatolia, in: Horejs – Mehofer 2014, 43–63.

Mehofer 2014b
M. Mehofer, Spätchalkolithische und frühbronzezeitliche Metallurgie auf dem Çukuriçi Höyük. Metallverarbeitung im 4. und 2. Jt. v. Chr. in Westanatolien (Dissertation, Universität Tübingen 2014).

Peloschek 2016a
L. Peloschek, Archaeometric analyses of ceramic household inventories. Current research in Ephesos and at Çukuriçi Höyük, Arkeometri Sonuçları Toplantısı 31/2015, 2016, 253–260.

Peloschek 2016b
L. Peloschek, Verarbeitungsprozesse von Tonrohstoffen im prähistorischen und frühkaiserzeitlichen Ephesos, in: K. Piesker (Hrsg.), Wirtschaft als Machtbasis. Beiträge zur Rekonstruktion vormoderner Wirtschaftssysteme in Anatolien, Byzas 22 (Istanbul 2016) 187–205.

Peloschek 2017
L. Peloschek, Social dynamics and the development of new pottery signatures at Çukuriçi Höyük. 7th to 3rd millennium BC, in: Horejs 2017a, 125–137.

Peloschek im Druck
L. Peloschek, Marble-tempered ware in third millennium BC Anatolia, in: E. Alram-Stern – B. Horejs (Hrsg.), Pottery Technologies and Sociocultural Connections Between the Aegean and Anatolia During the 3rd Millennium BC (im Druck).

Schwall – Plattner in Vorbereitung
Ch. Schwall – G. A. Plattner, An Antique Architectural Element from Çukuriçi Höyük, in: Horejs (in Vorbereitung).

Seeher 1987
J. Seeher, Demircihüyük III.1. Die Keramik 1. A. Die neolithische und chalkolithische Keramik. B. Die Frühbronzezeitliche Keramik der älteren Phasen (bis Phase G) (Mainz 1987).

Sharp Joukowsky 1986
M. Sharp Joukowsky, Prehistoric Aphrodisias. An Account of the Excavations and Artifact Studies. Volume 1. Excavations and Studies (Providence 1986).

VI. Tafeln

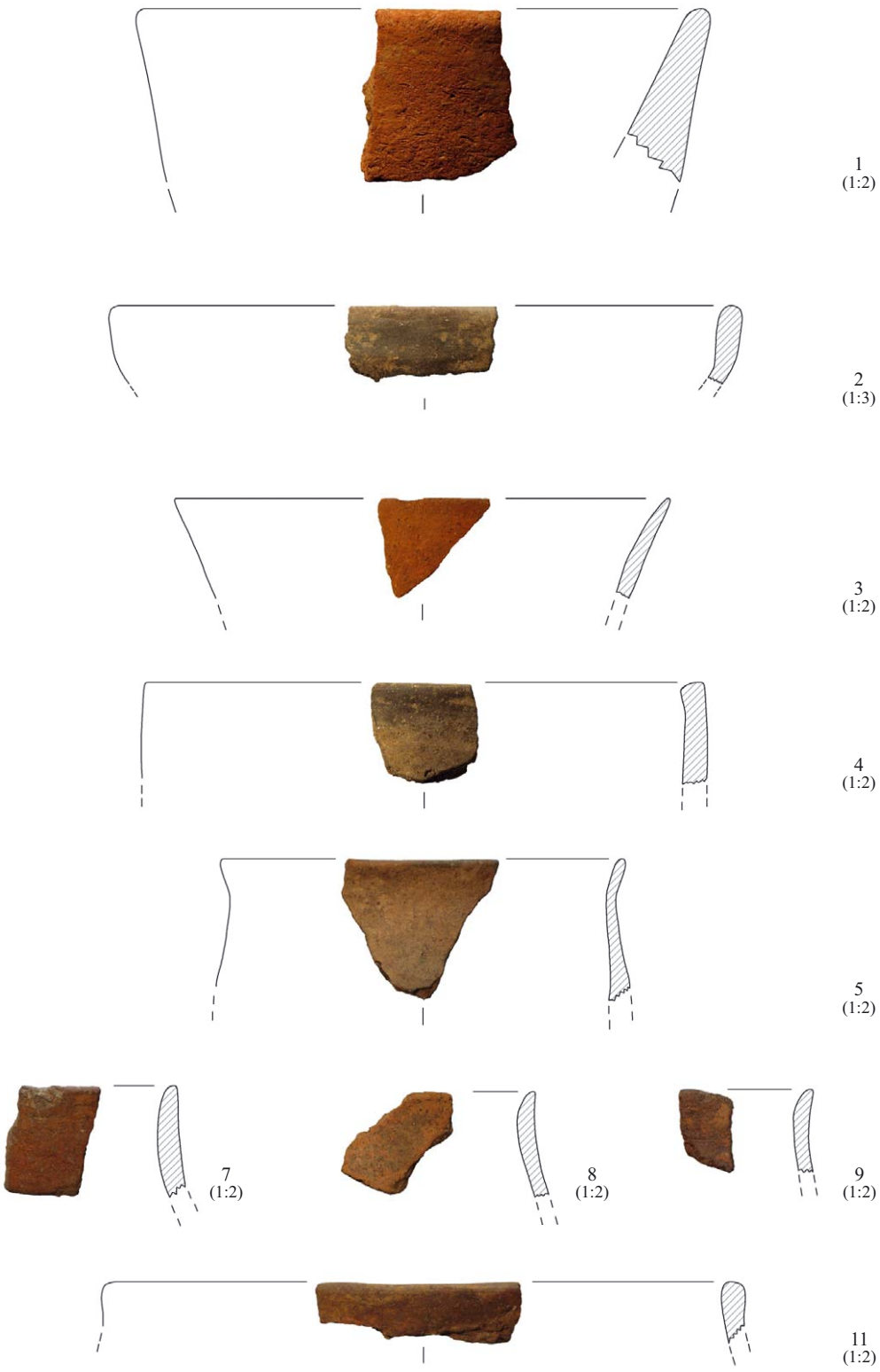
Die Nummern der Tafelabbildungen entsprechen den Katalognummern der einzelnen Fundkategorien (vgl. III.1.1. u. III.2.1.):

VI.1. **Keramik** (Taf. 1–33)

VI.2. **Kleinfunde** (Taf. 34–37)

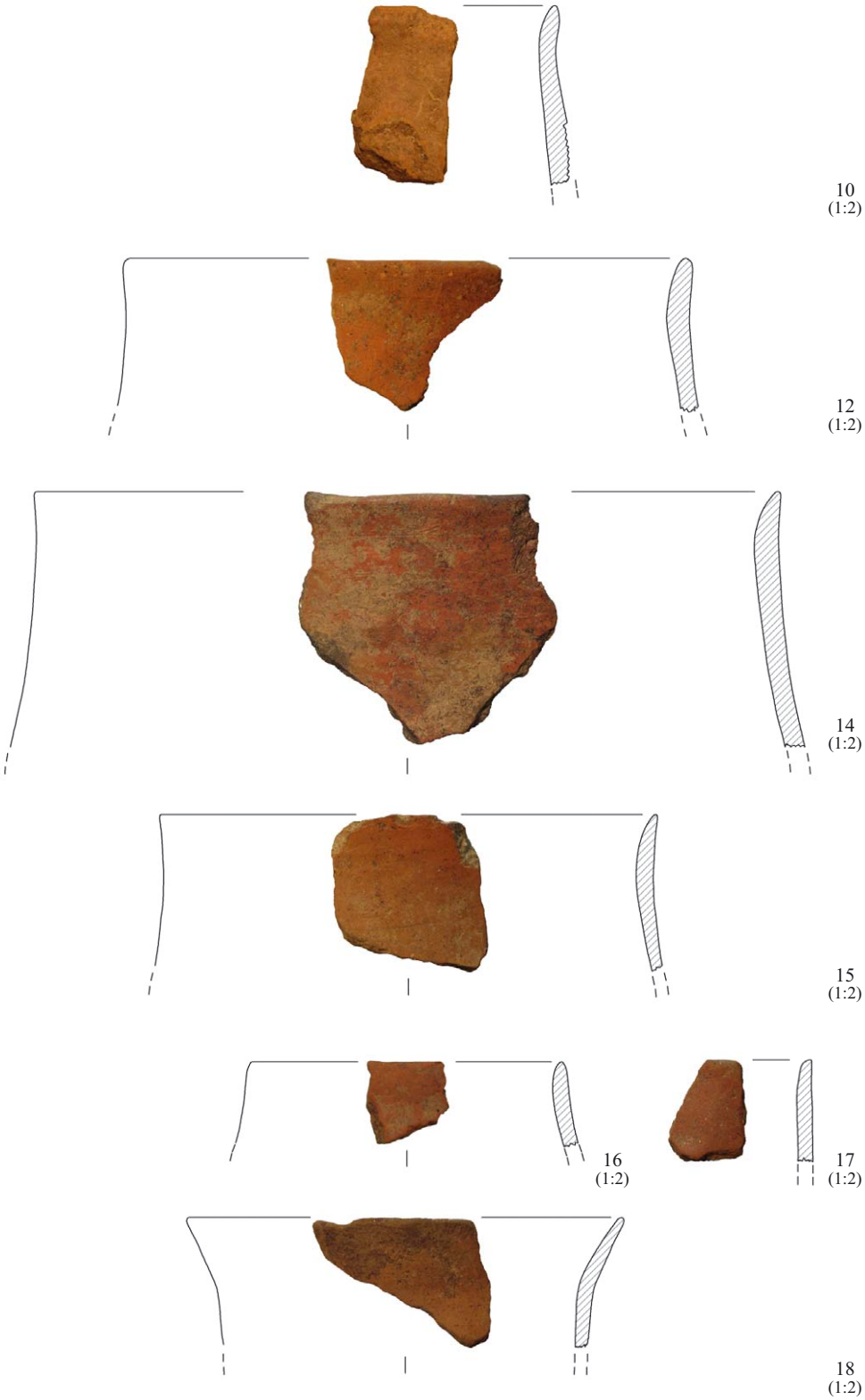
Die Fotos der Tafeln 1–32 wurden von Thomas Urban (Dr. Urban und Partner) erstellt. Die Fotos der Tafeln 33 und 37 wurden von N. Gail (ÖAI) erstellt.

Tafel 1

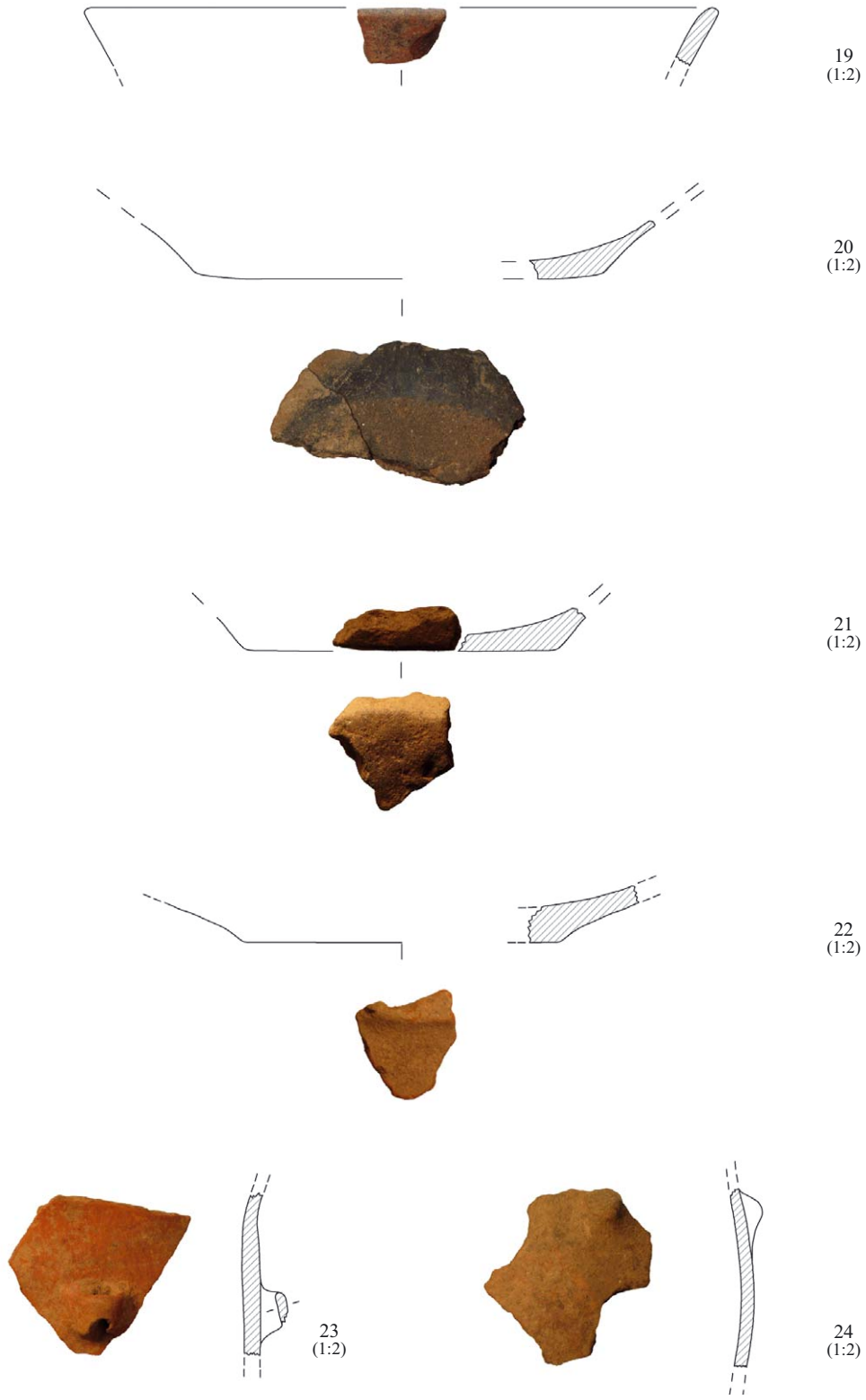


ÇuHö VII–VIb (N1–3): SE 68 (1); SE 87 (2–11)

Tafel 2



ÇuHö VII–VIb (N1–3): SE 87 (10, 12, 14–18)



19 (1:2)

20 (1:2)

21 (1:2)

22 (1:2)

23 (1:2)

24 (1:2)

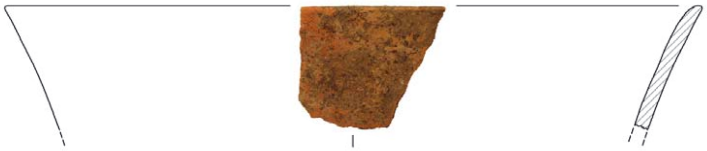
ÇuHö VII–VIb (N1–3): SE 87 (19–24)

Tafel 4



26
(1:2)

25
(1:2)



27
(1:3)



29
(1:2)



30
(1:3)

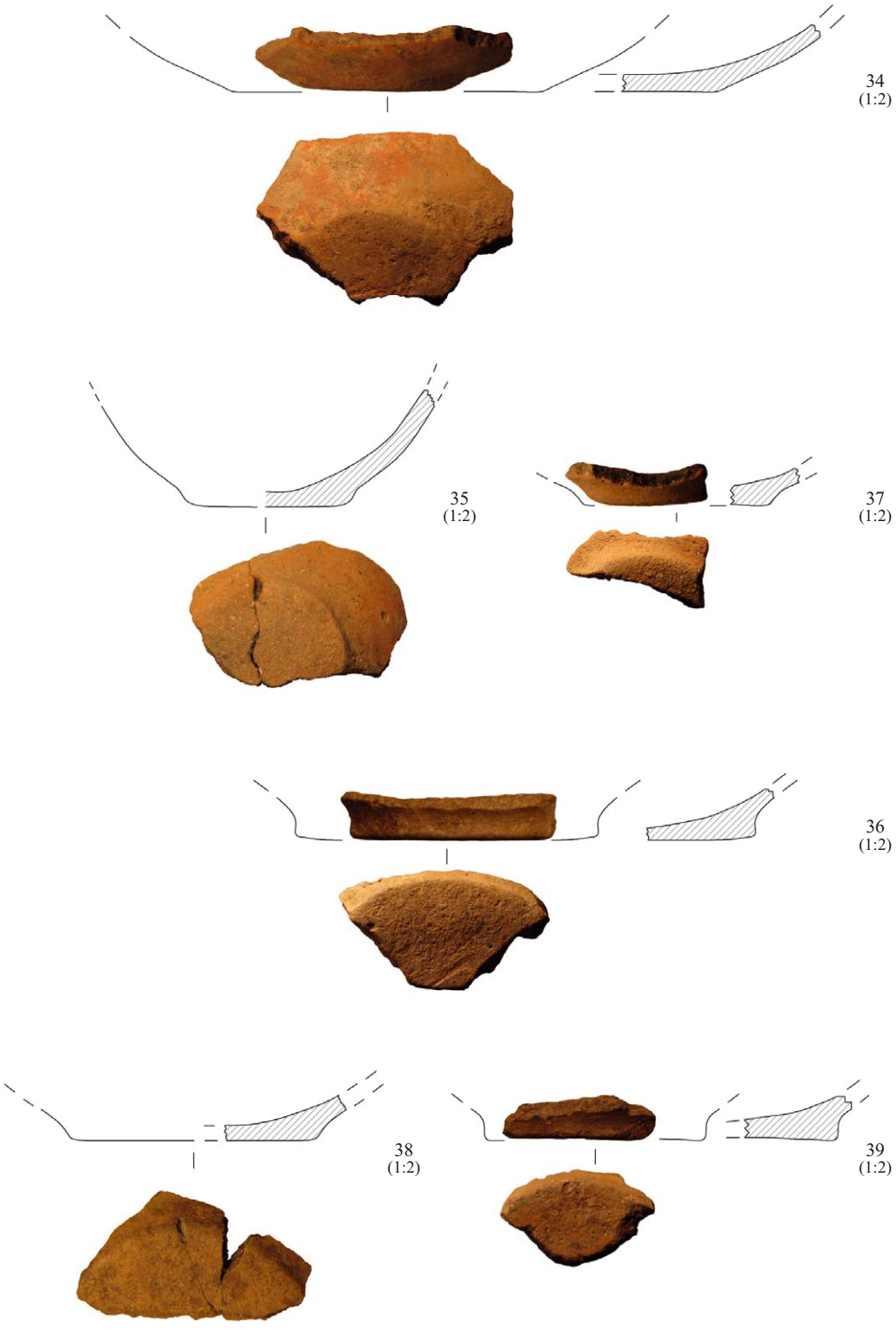


31
(1:2)



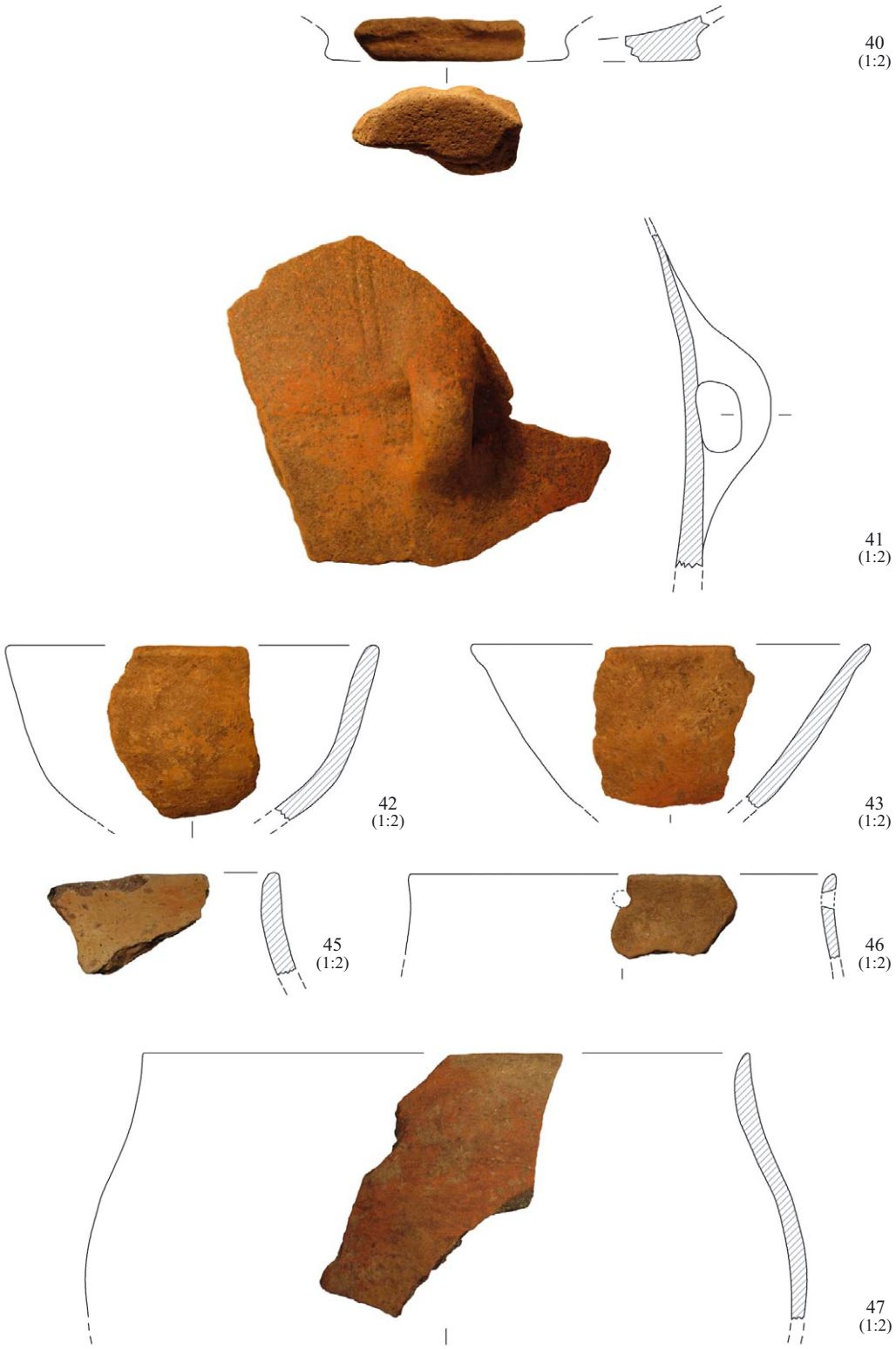
33
(1:3)

ÇuHö VII–VIb (N1–3): SE 87 (25–26); SE 89 (27, 29–31, 33)

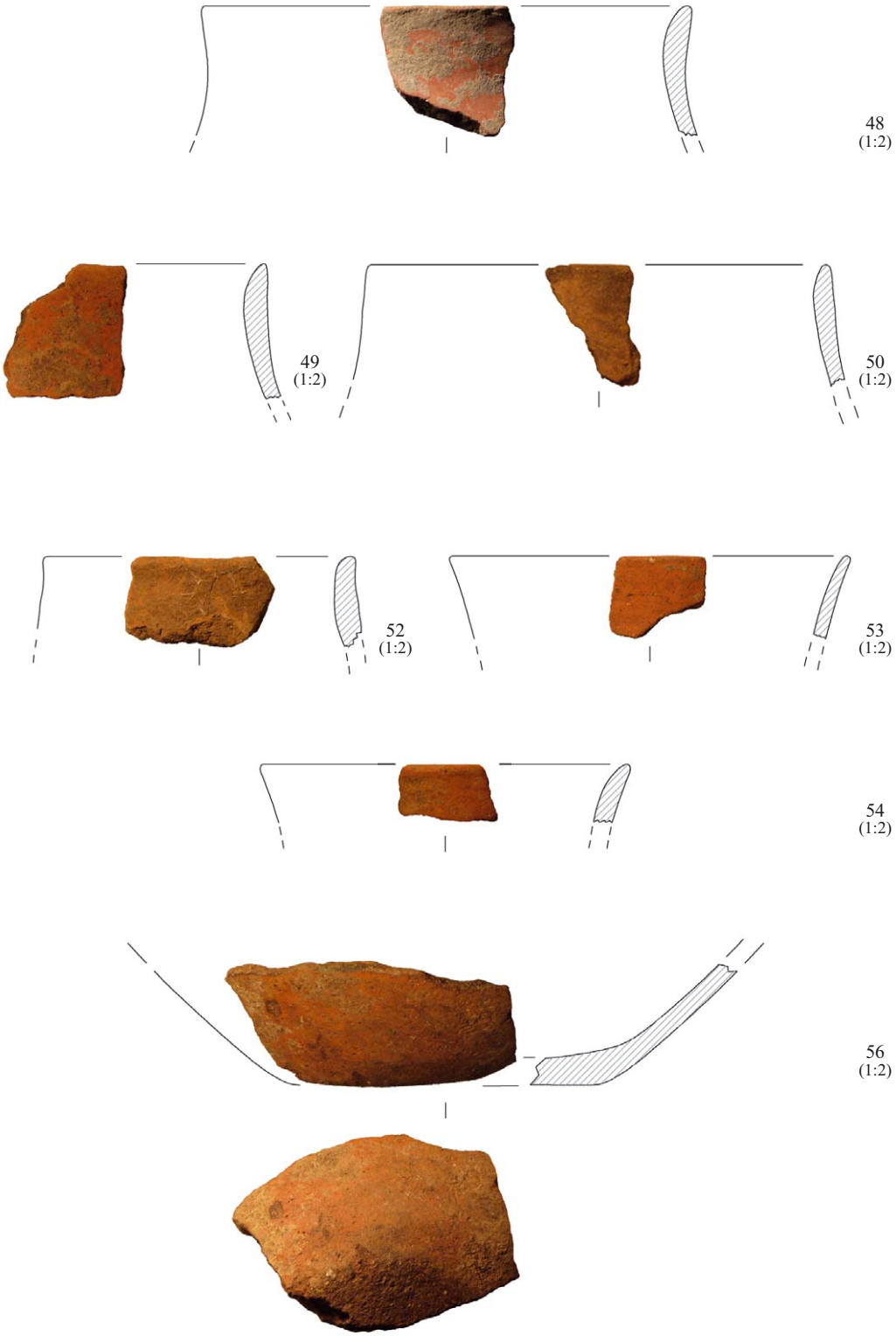


ÇuHö VII–VIb (N1–3): SE 89 (34–39)

Tafel 6



ÇuHö VII–VIb (N1–3): SE 89 (40–42); SE 94 (43, 45–47)



48 (1:2)

49 (1:2)

50 (1:2)

52 (1:2)

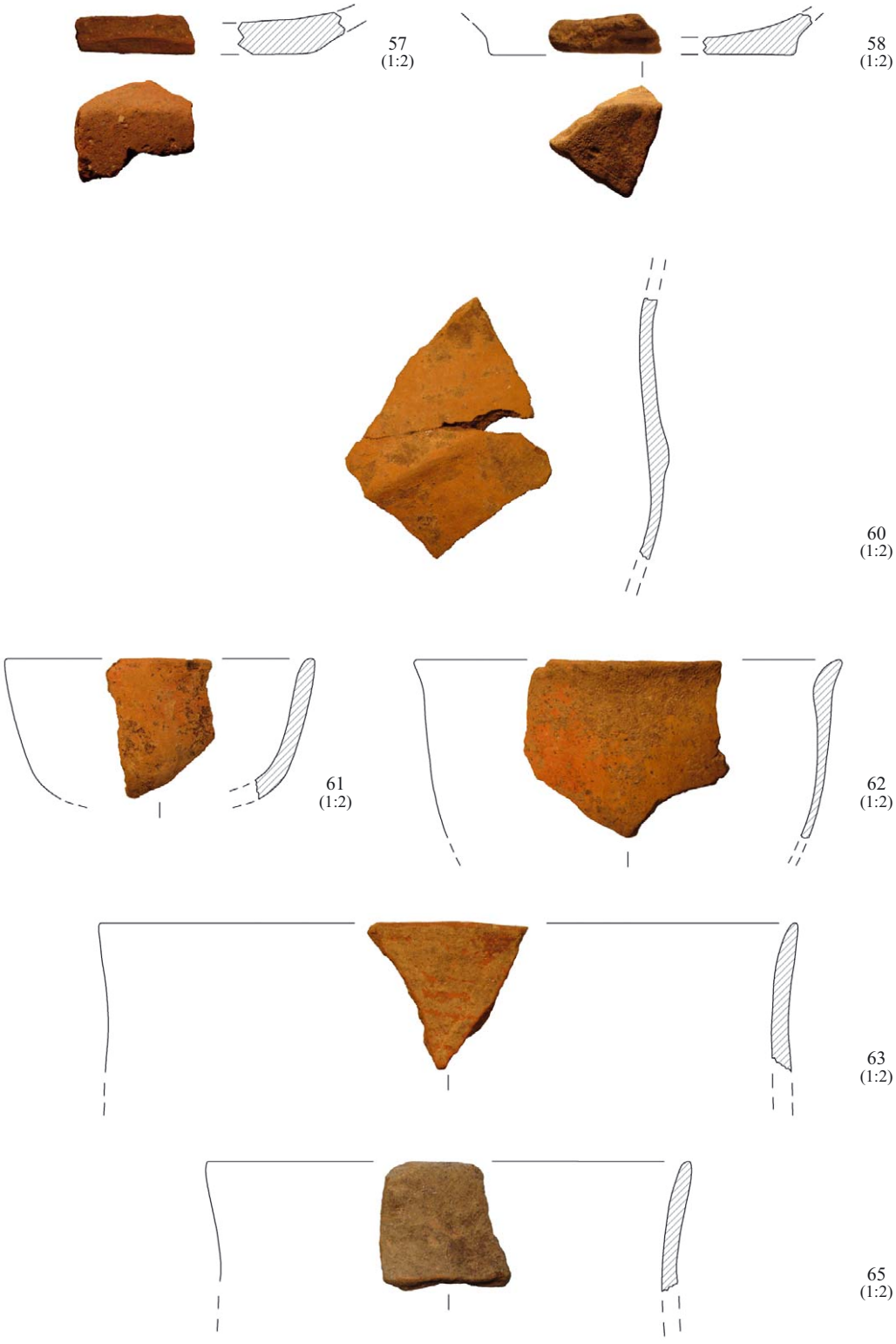
53 (1:2)

54 (1:2)

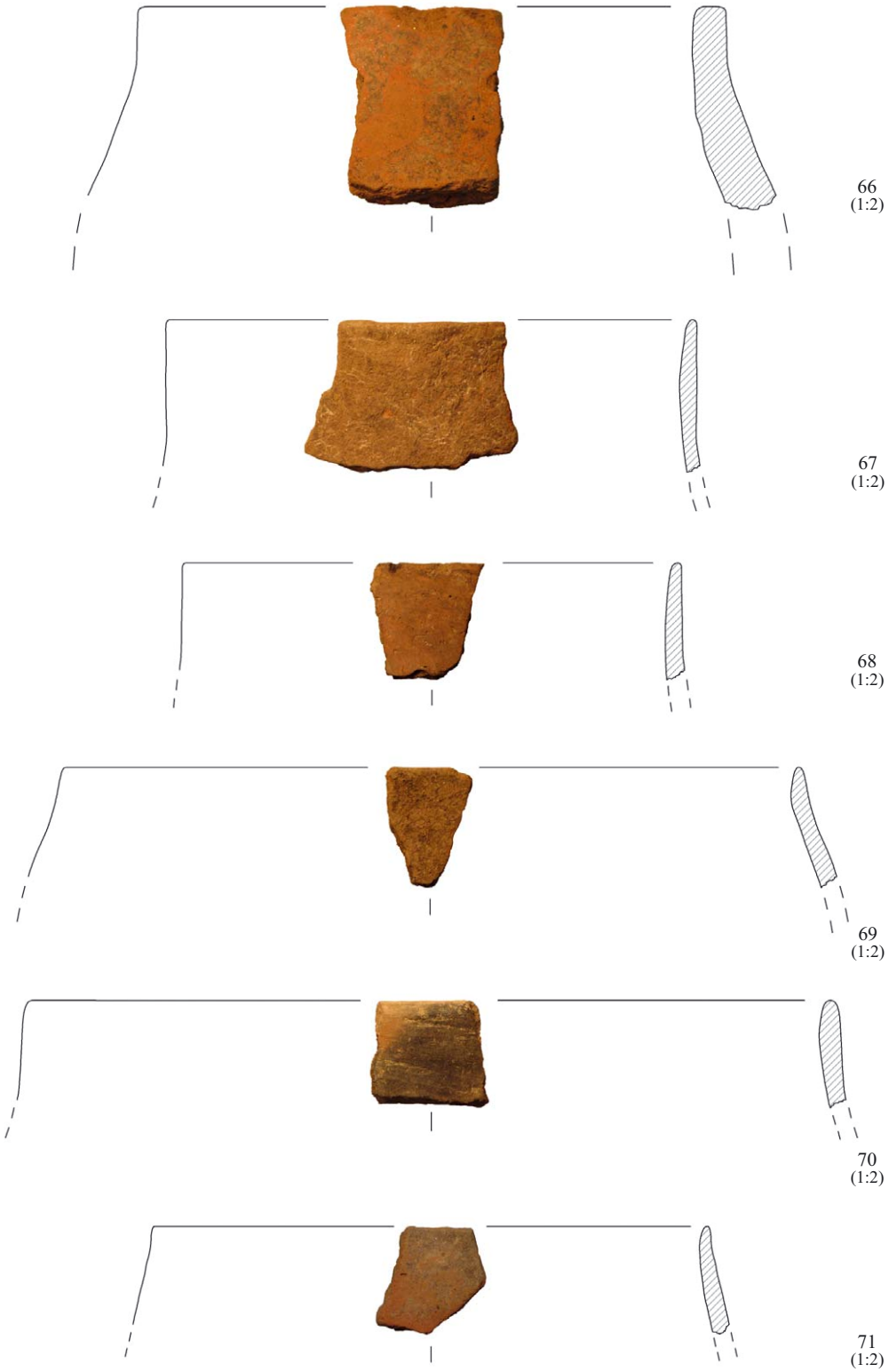
56 (1:2)

ÇuHö VII–VIb (N1–3): SE 94 (48–50, 52–54, 56)

Tafel 8

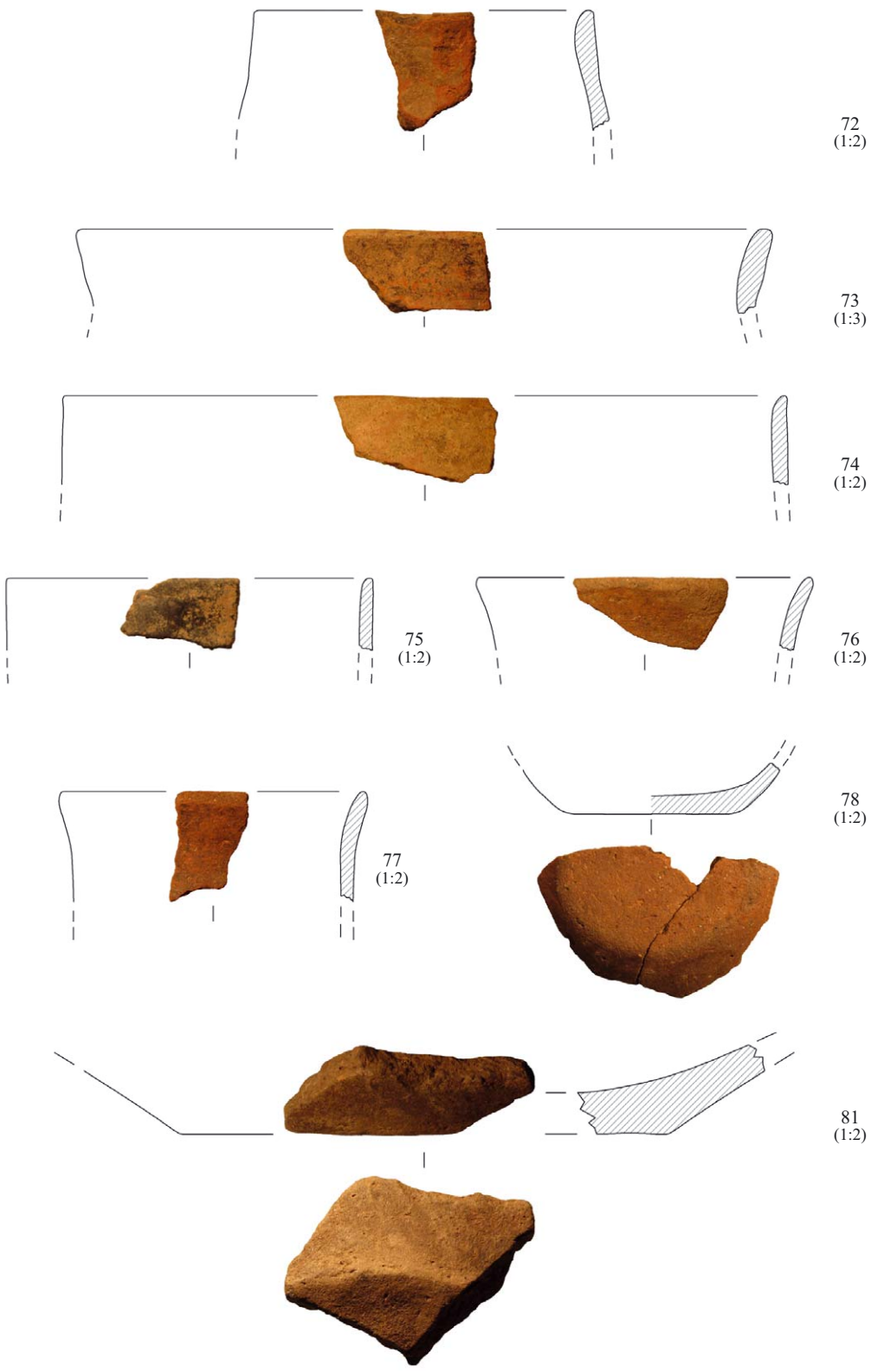


ÇuHö VII–VIb (N1–3): SE 94 (57–58); SE 96 (60–63, 65)

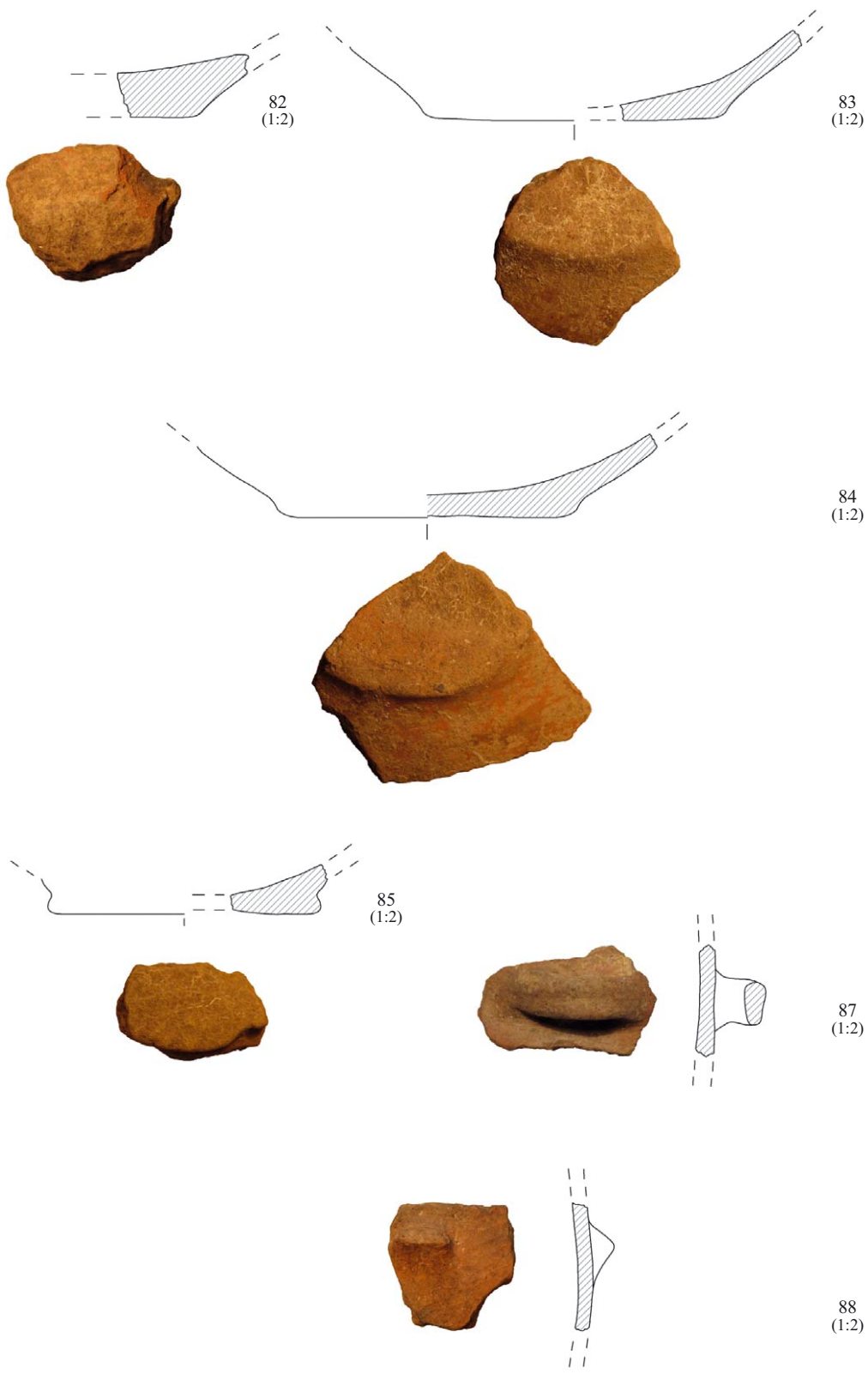


ÇuHö VII–VIb (N1–3): SE 96 (66–71)

Tafel 10

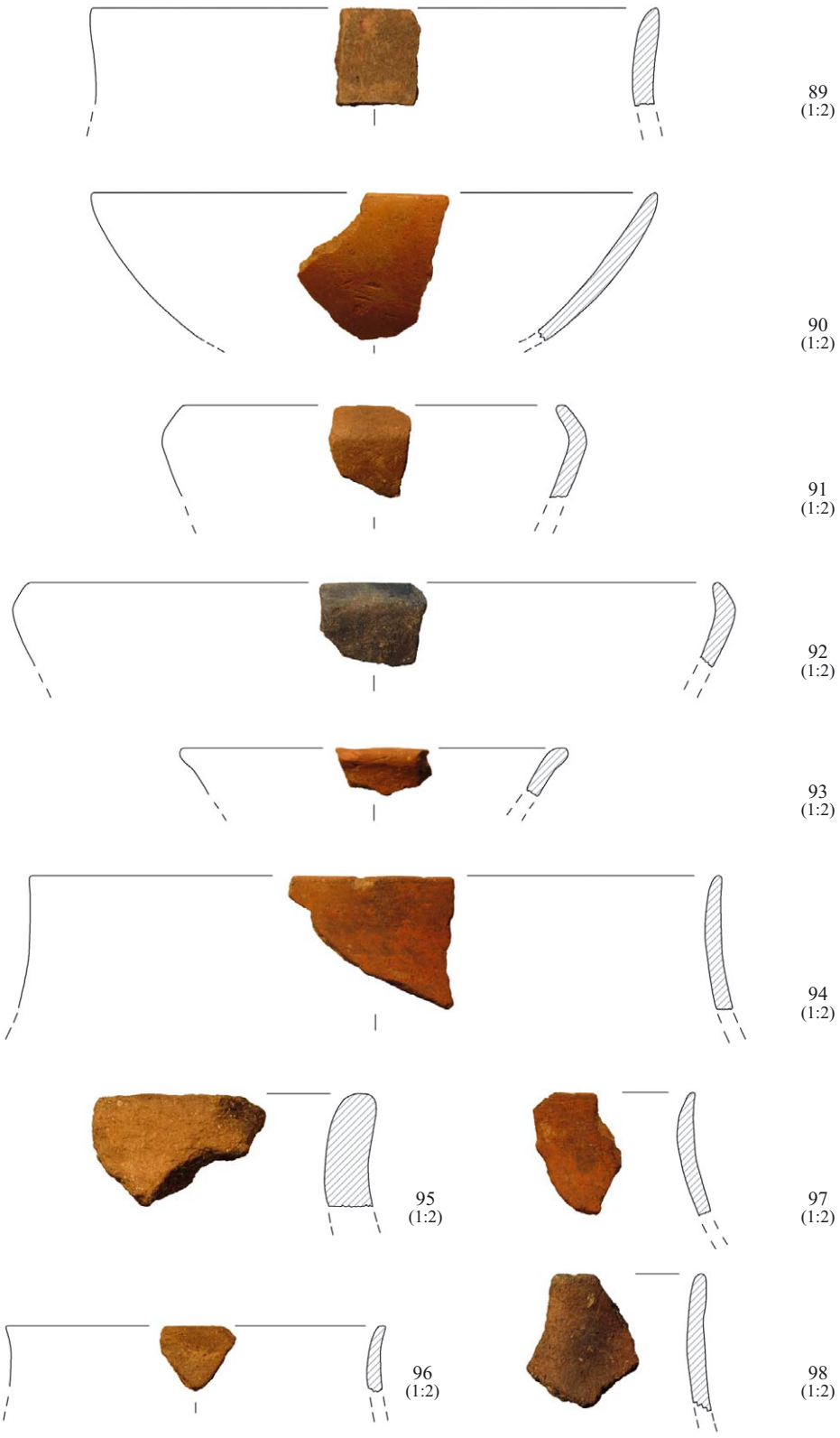


ÇuHö VII–VIb (N1–3): SE 96 (72–78, 81)

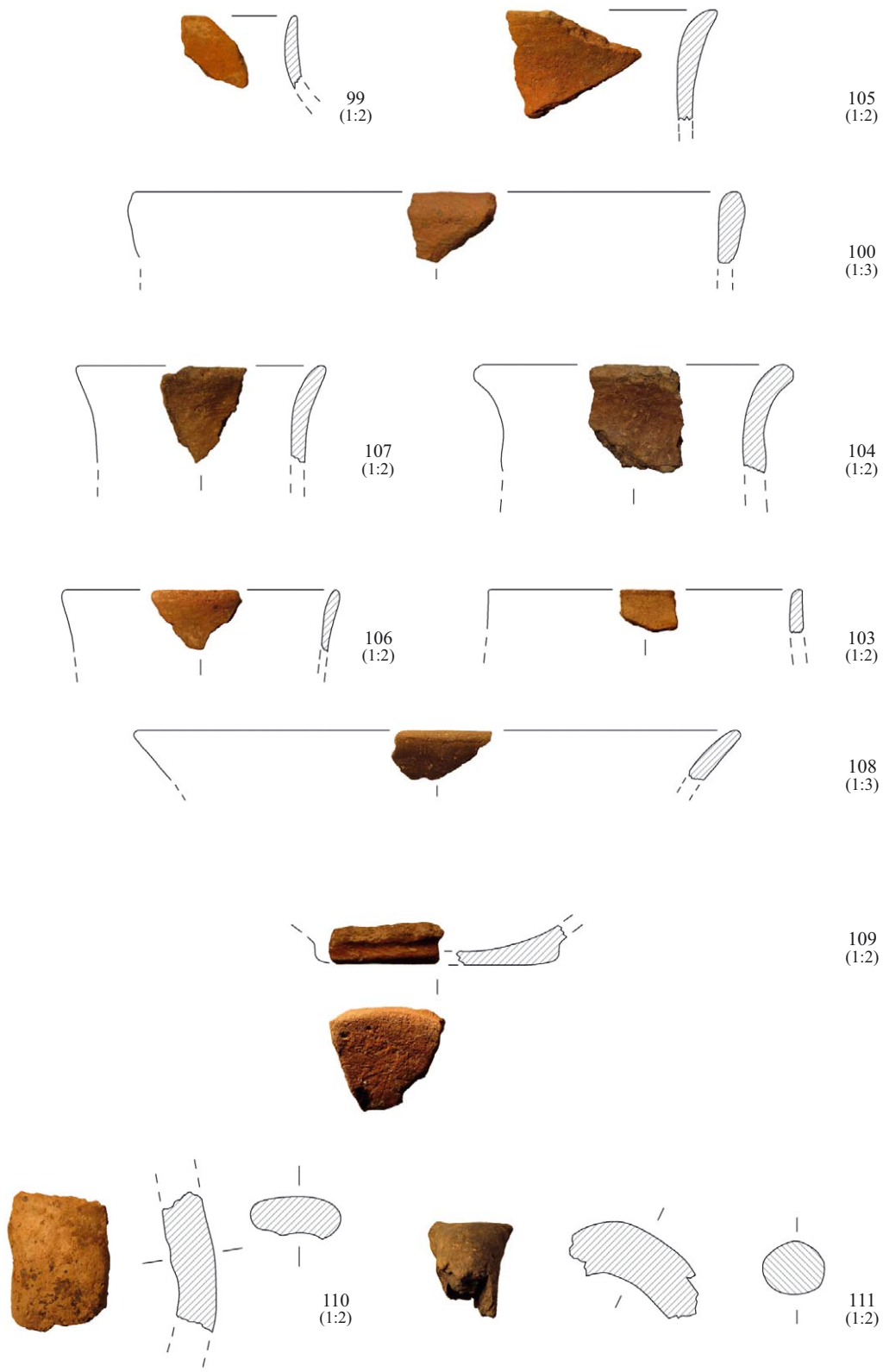


ÇuHö VII–VIb (N1–3): SE 96 (82–85, 87–88)

Tafel 12

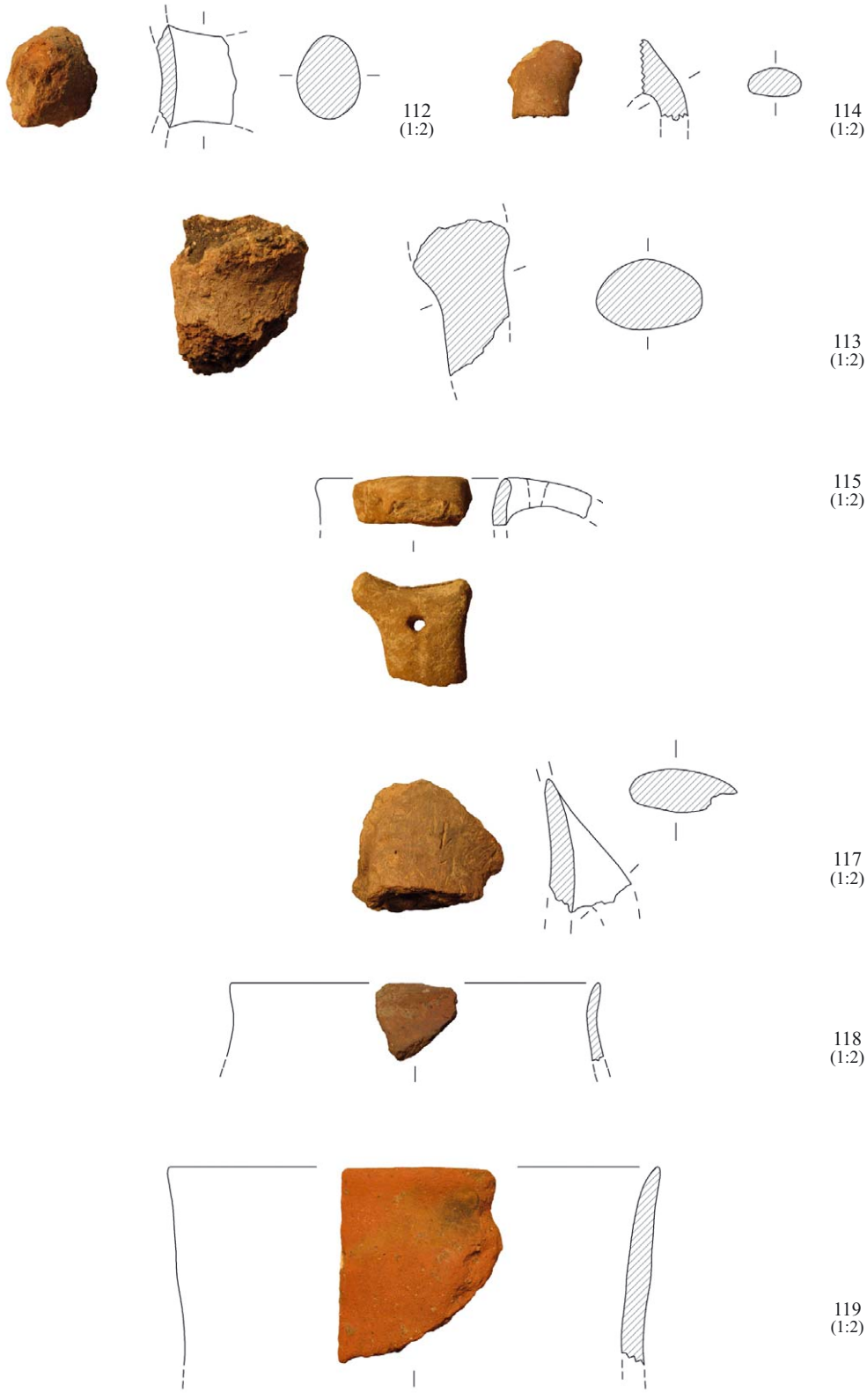


ÇuHö VII–VIb (N1–3): SE 102 (89); SE 316 (90–98)

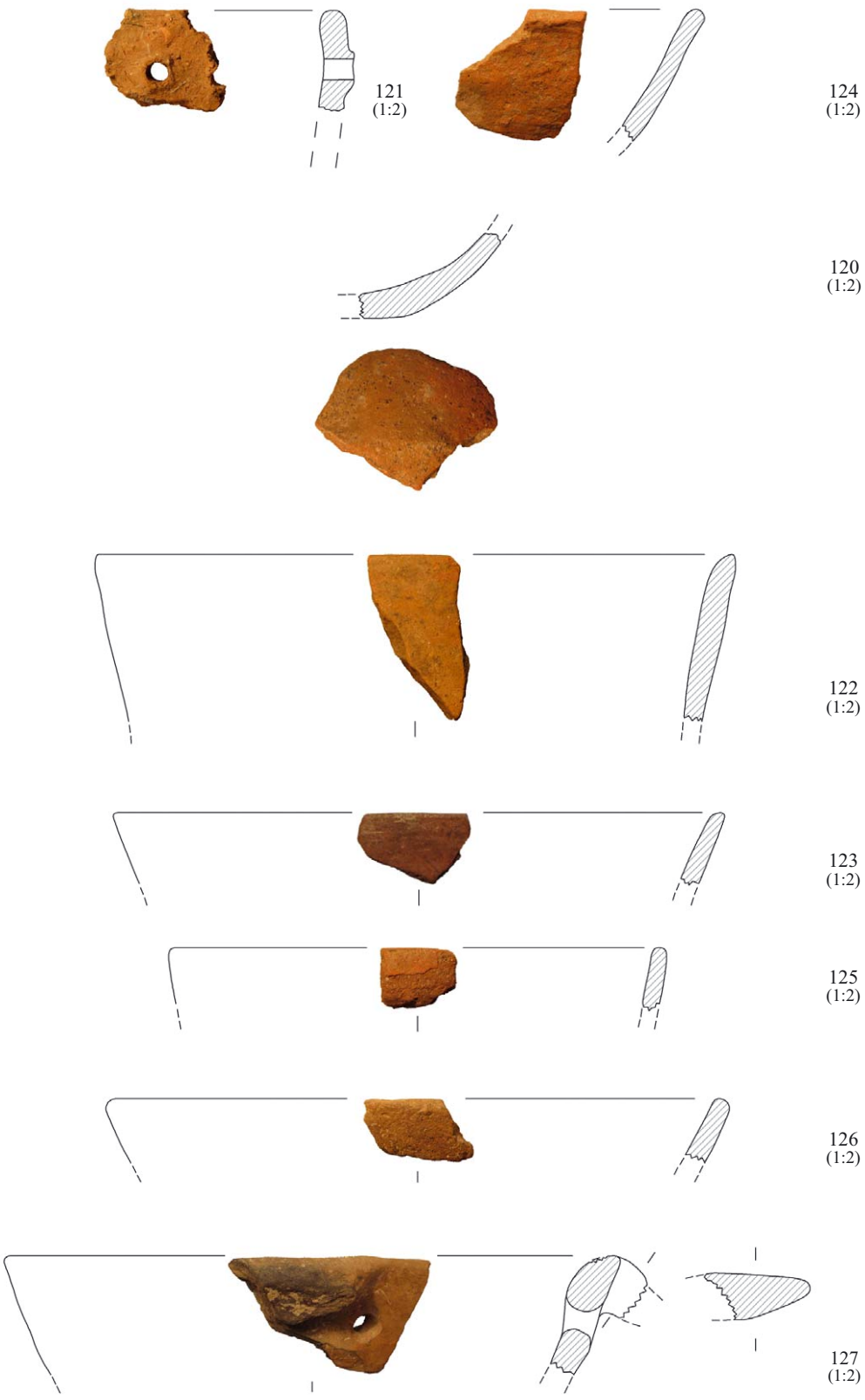


ÇuHö VII–VIb (N1–3): SE 316 (99–100, 103–111)

Tafel 14

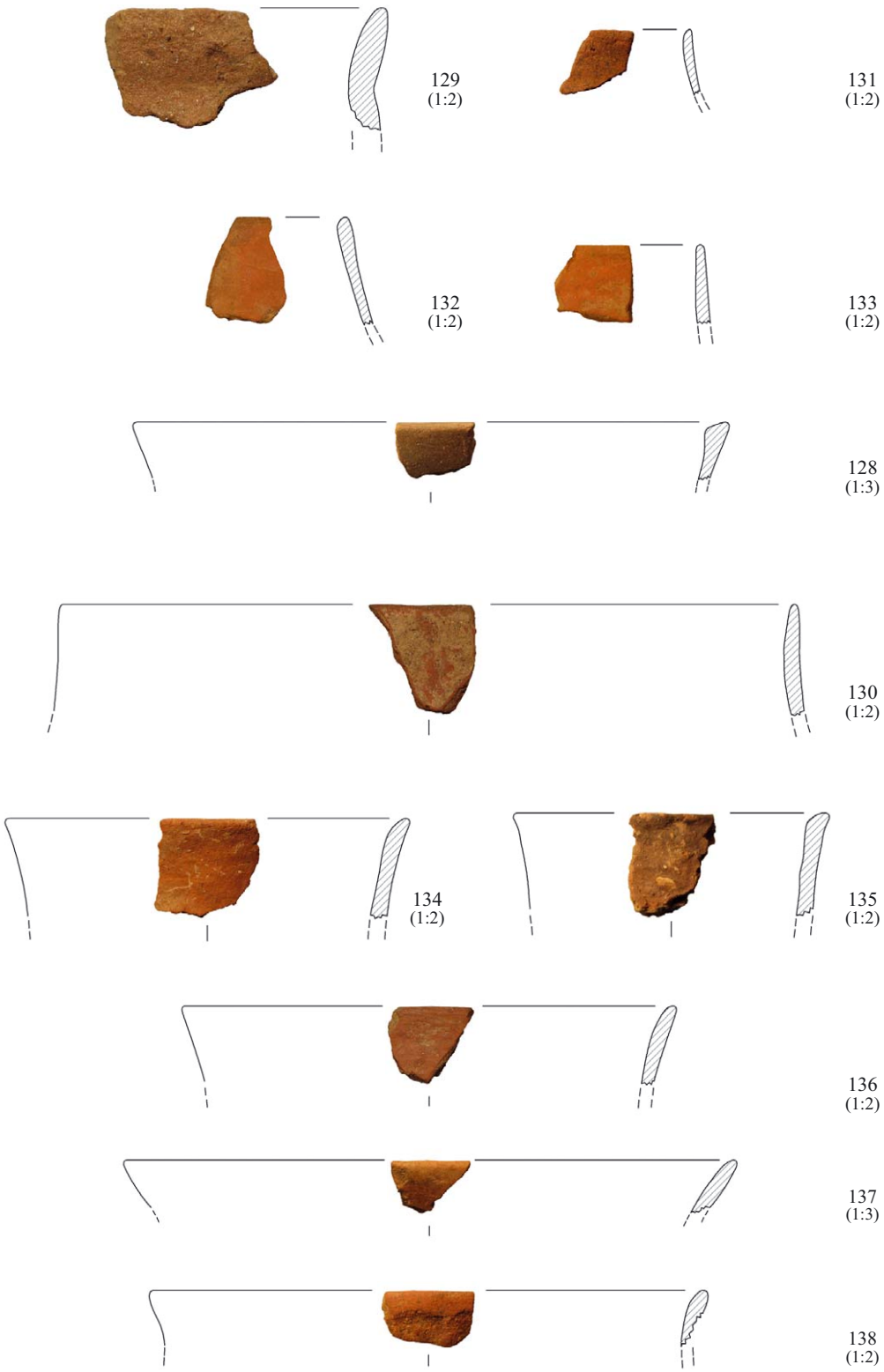


ÇuHö VII–VIb (N1–3): SE 316 (112–115); SE 330 (118–119)

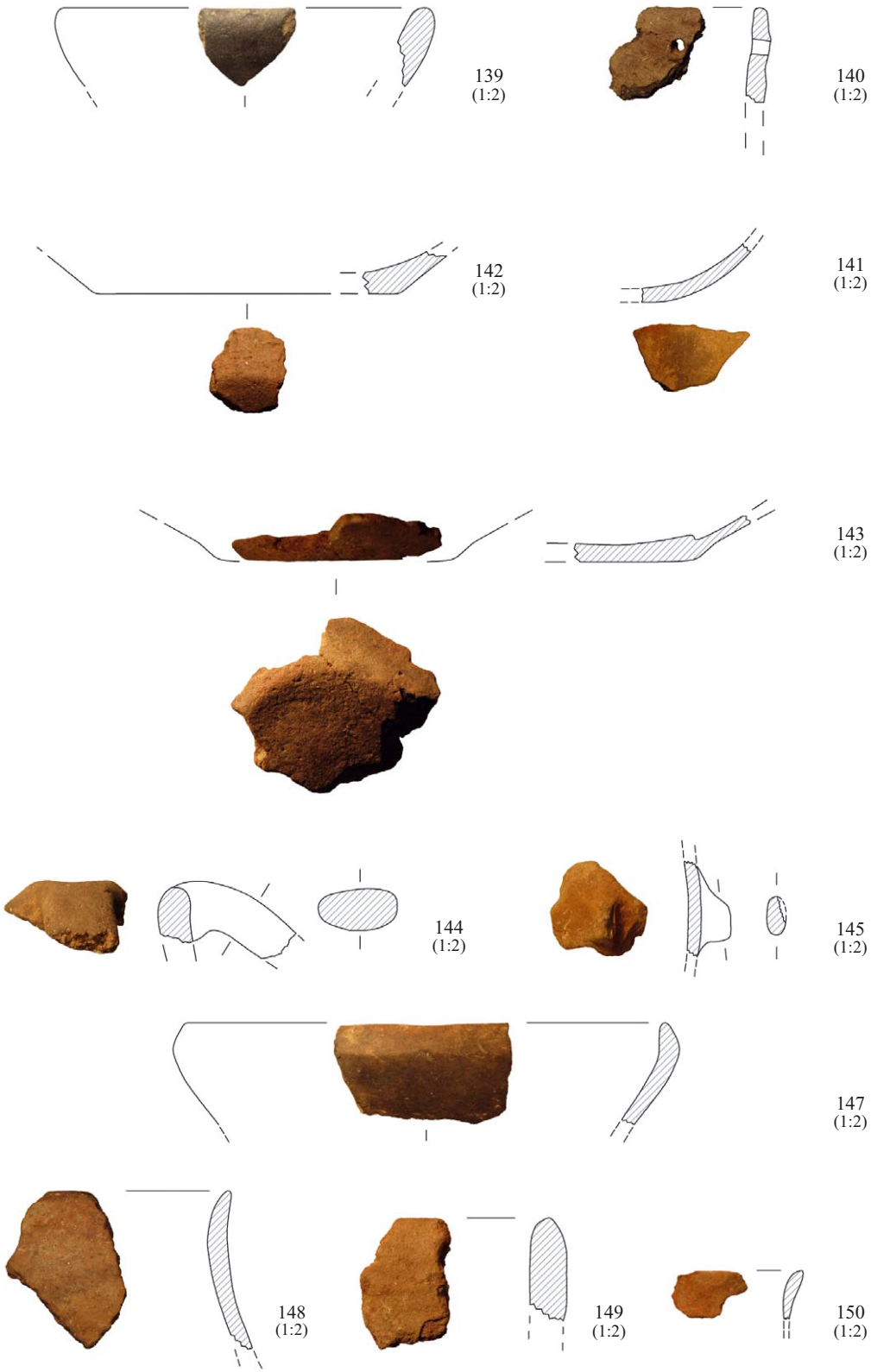


ÇuHö VII–VIb (N1–3): SE 330 (120); SE 331 (121); SE 334 (122–127)

Tafel 16

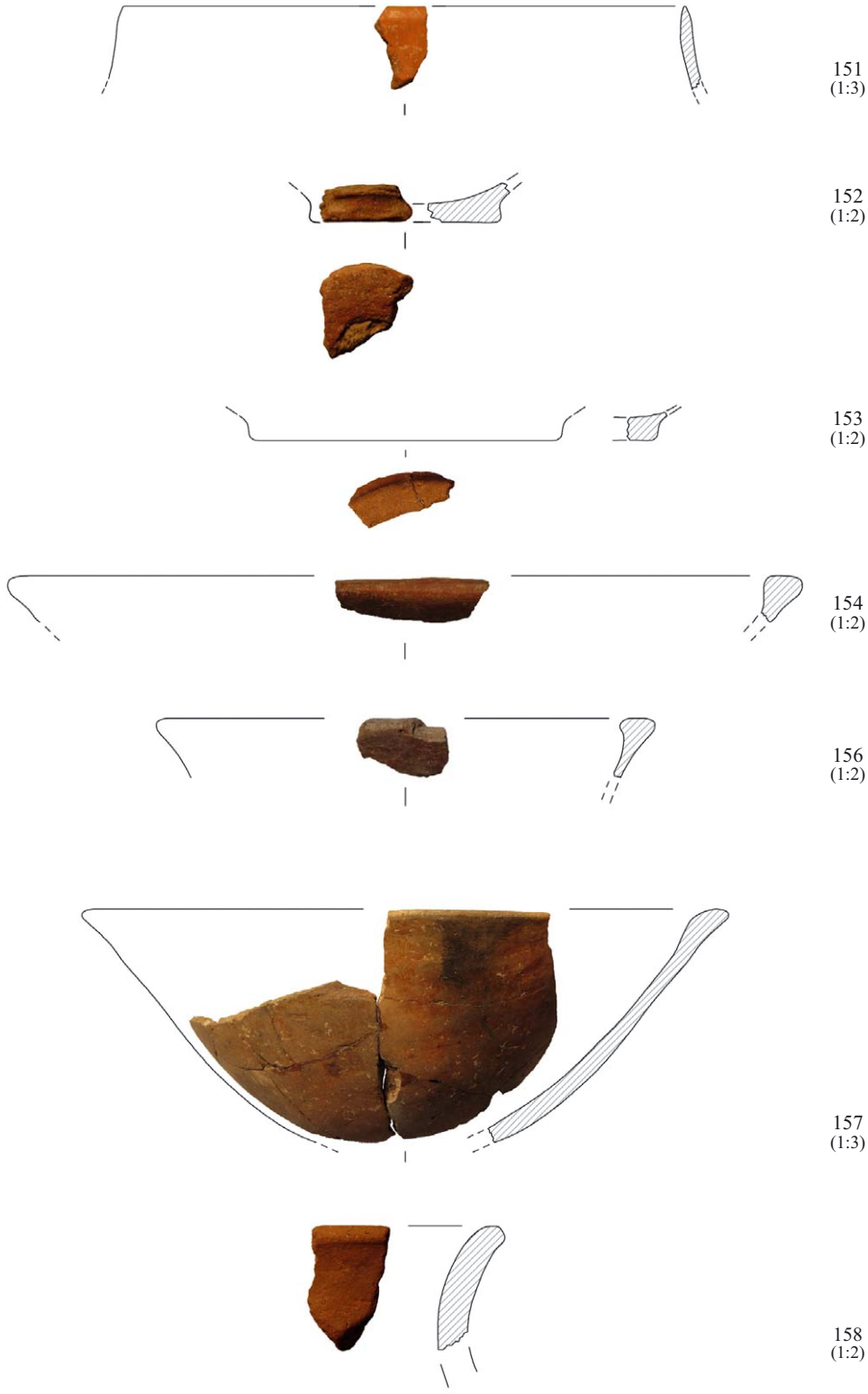


ÇuHö VII–VIb (N1–3): SE 334 (128–138)



ÇuHö VII–VIb (N1–3): SE 334 (139–145); SE 335 (147–150)

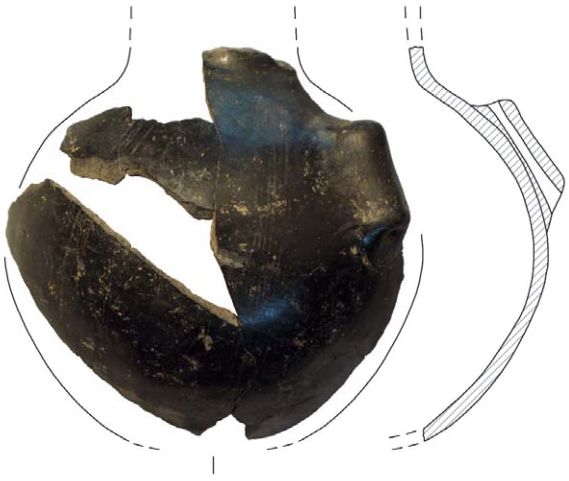
Tafel 18



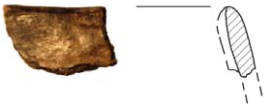
ÇuHö VII–VIb (N1–3): SE 356 (151–152); SE 4 (154, 156–158)



160
(1:2)



161
(1:2)



162
(1:2)

ÇuHö VII–VIb (N1–3): SE 4 (160–162)

Tafel 20



165 (1:2)

166 (1:2)

167 (1:3)

168 (1:2)

169 (1:2)

170 (1:2)

ÇuHö VII–VIb (N1–3): SE 5 (165–170)



172 (1:2)

174 (1:2)

176 (1:3)

177 (1:3)

178 (1:2)

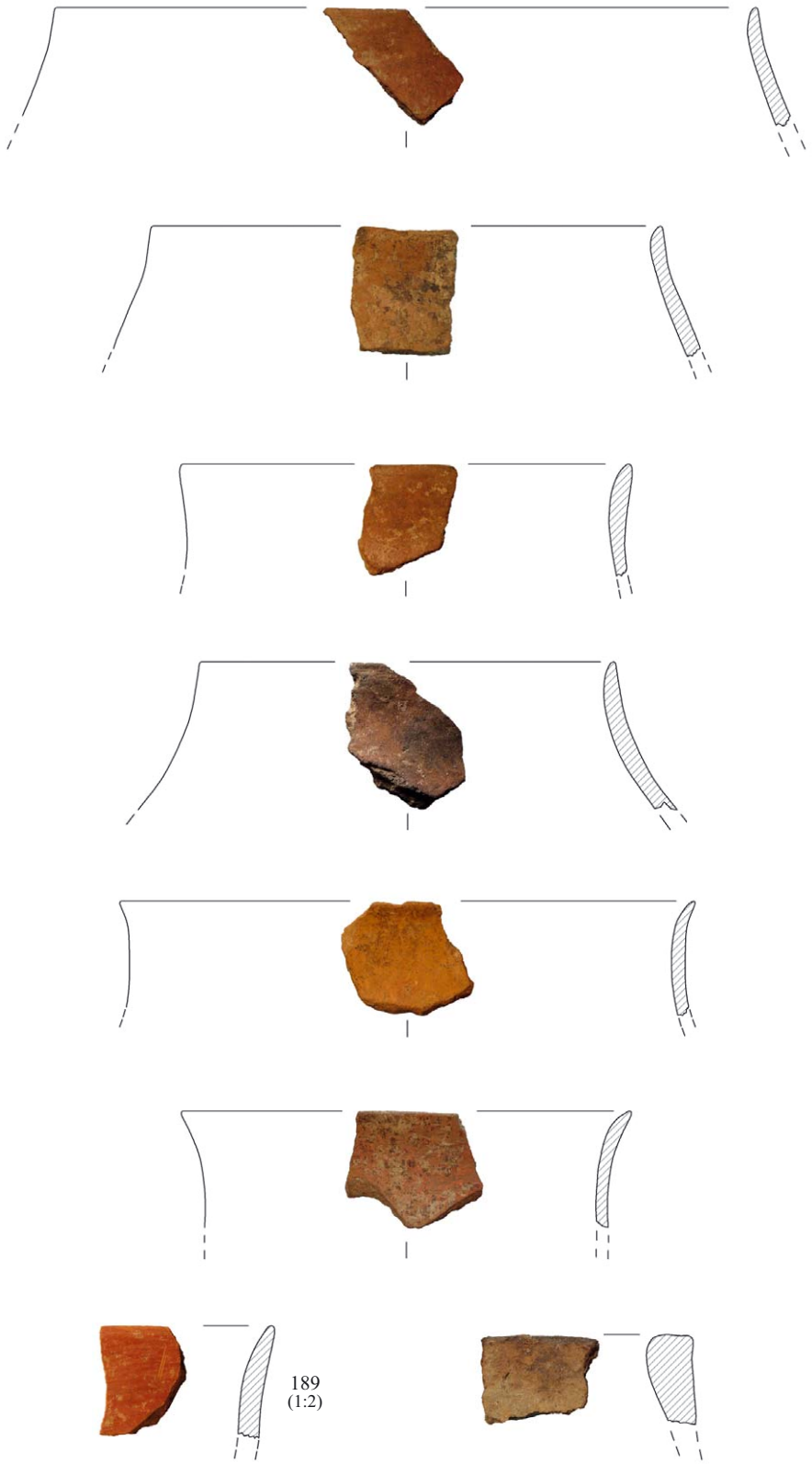
180 (1:2)

181 (1:2)

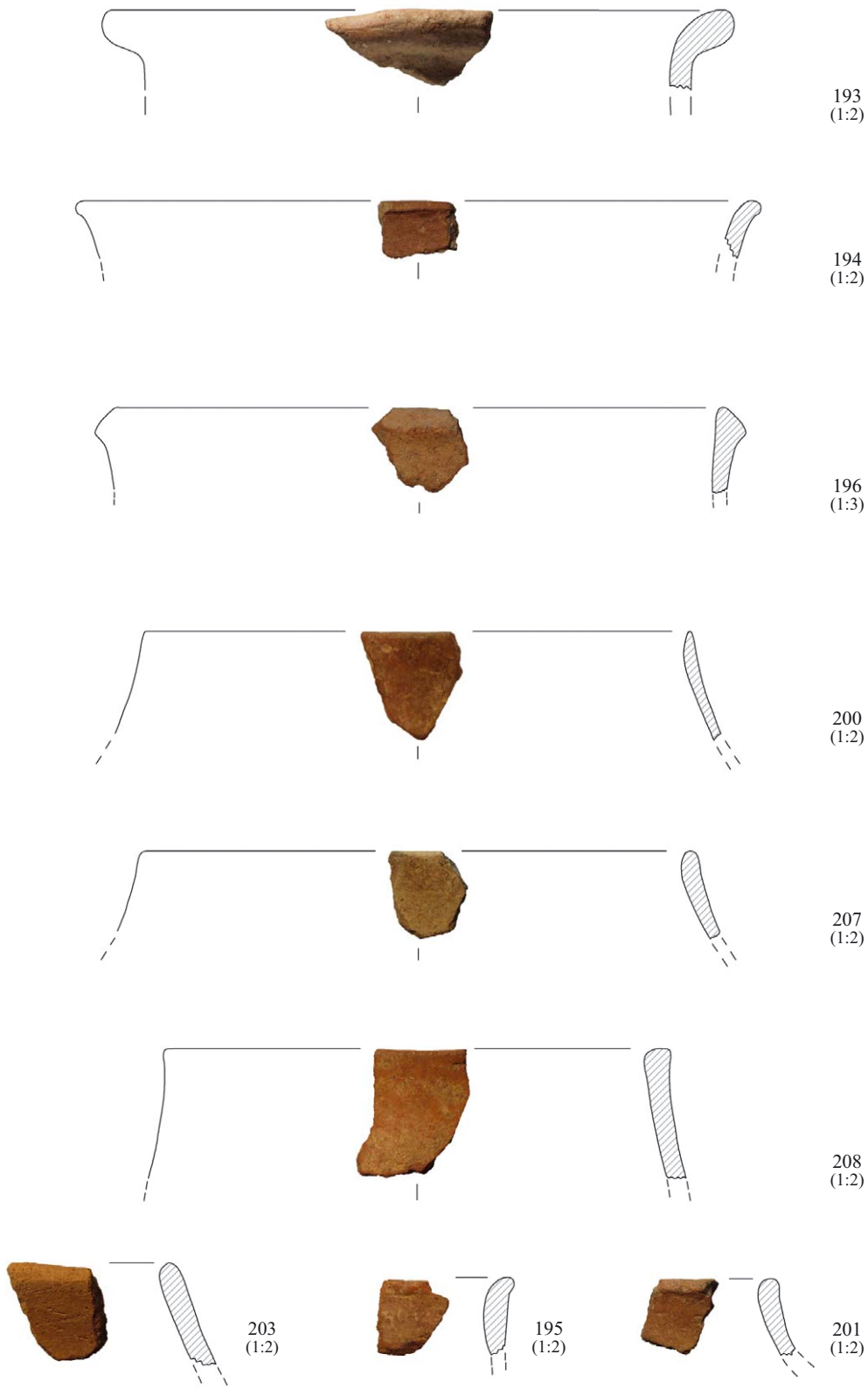
182 (1:2)

ÇuHö VII–VIb (N1–3): SE 7 (172); SE 311 (174, 176–178, 180–182)

Tafel 22

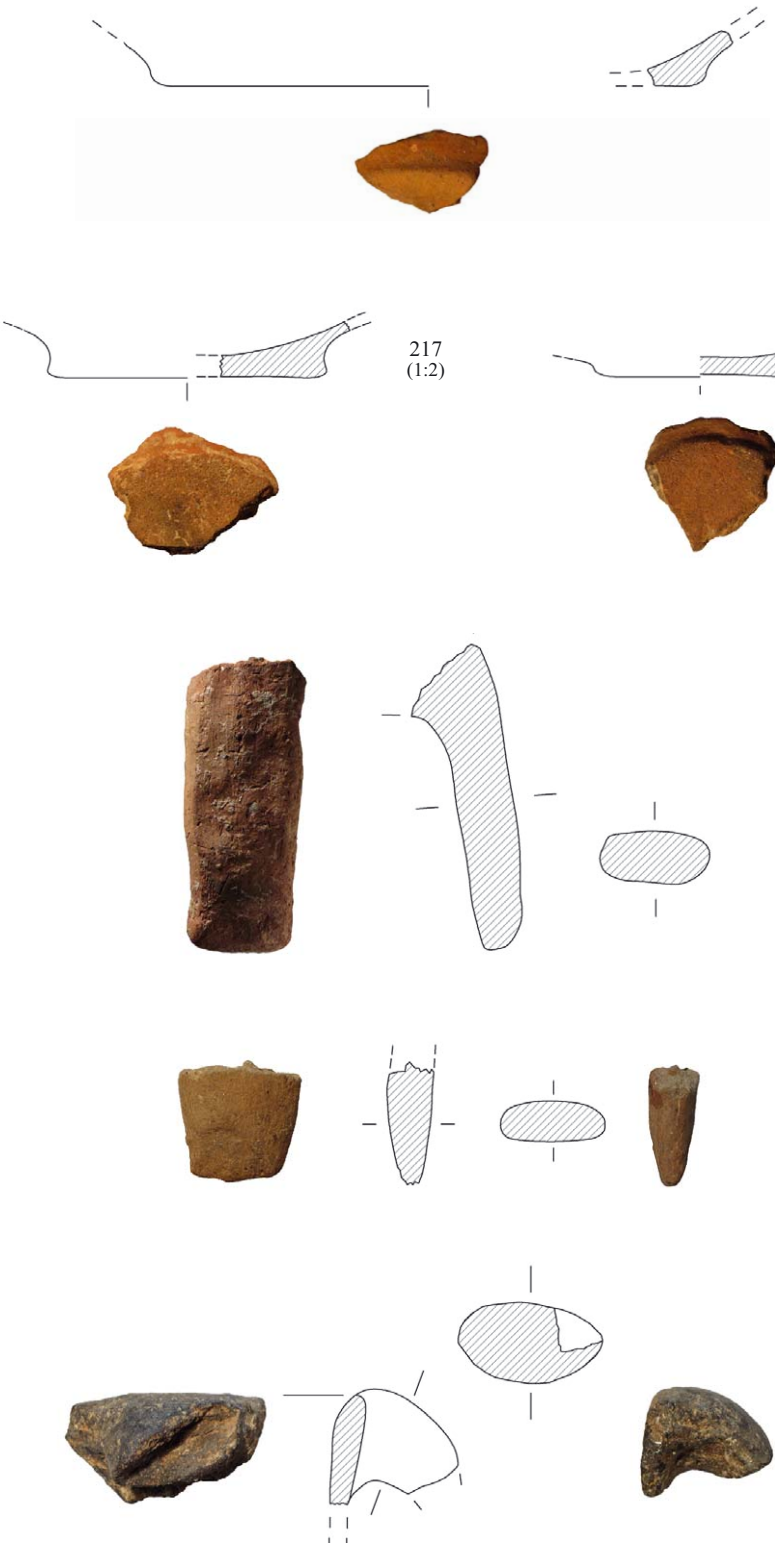


ÇuHö VII–VIb (N1–3): SE 311 (183–184, 186–189, 191–192)



ÇuHö VII–VIb (N1–3): SE 311 (193–194, 196, 200–201, 203, 207–208)

Tafel 24



215 (1:2)

217 (1:2)

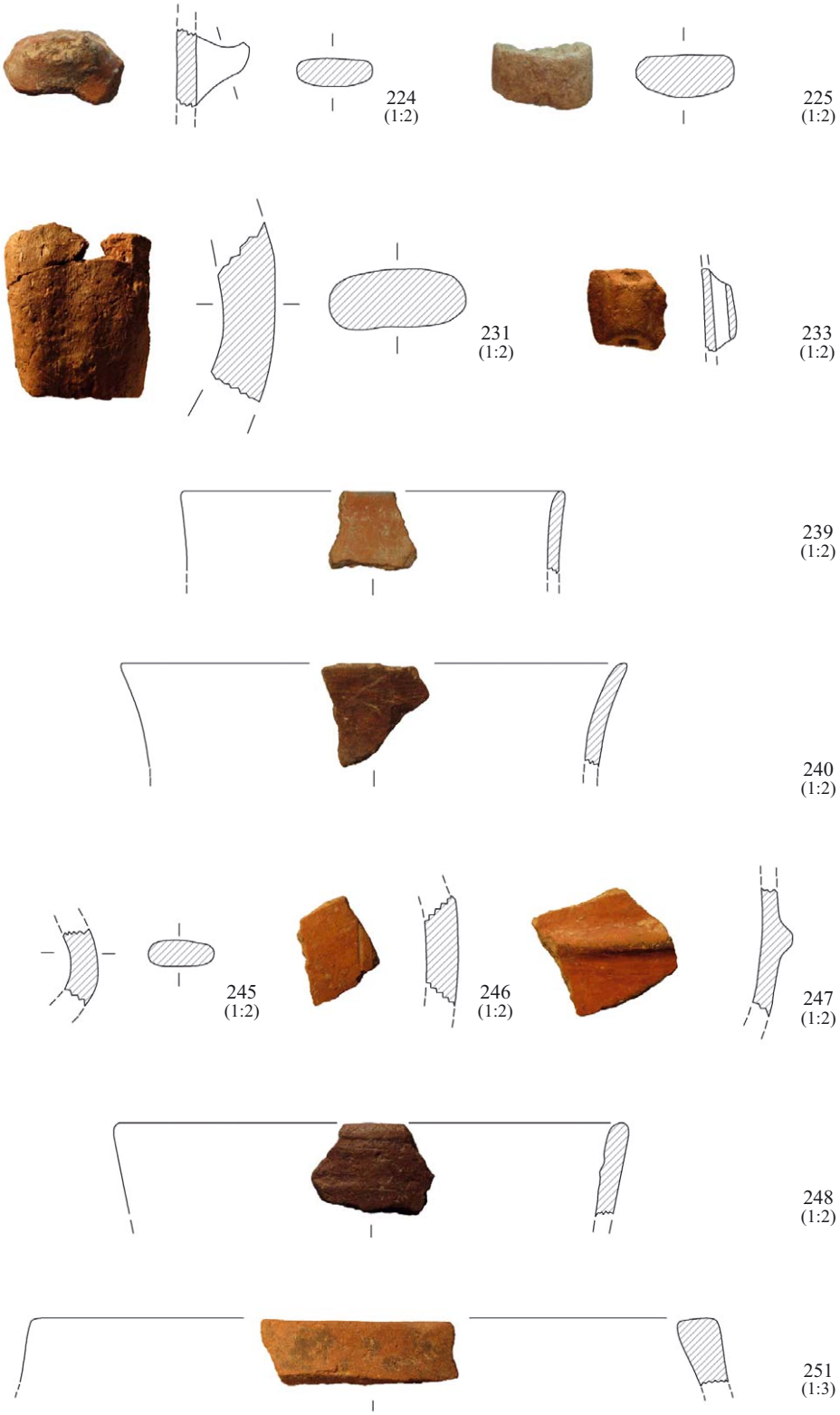
218 (1:2)

220 (1:2)

221 (1:2)

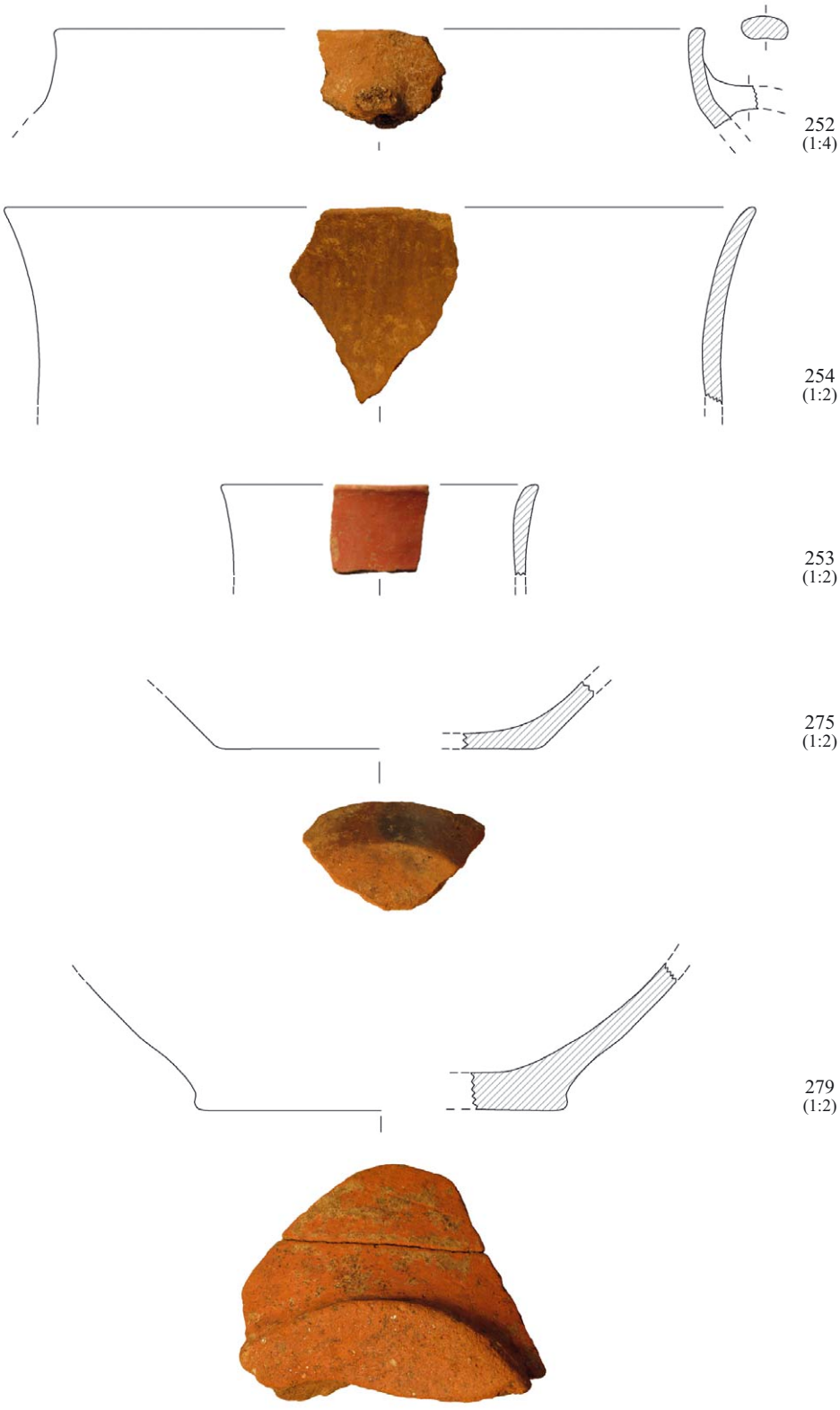
222 (1:2)

ÇuHö VII–VIb (N1–3): SE 311 (215, 217–218, 220–222)

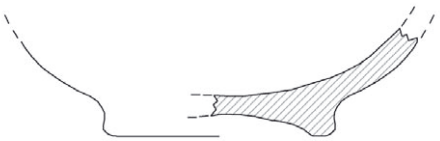


ÇuHö VII–VIb (N1–3): SE 311 (224–225, 231)
ÇuHö VI–Vb (N4): SE 812 (238–240, 245–248); SE 818 (251)

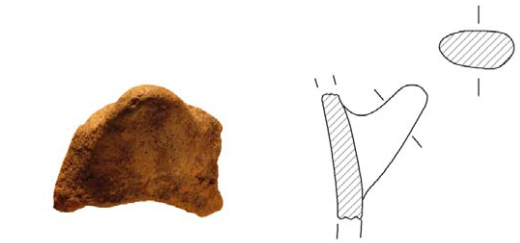
Tafel 26



ÇuHö VI–Vb (N4): SE 818 (252–254, 275, 279)



283
(1:2)



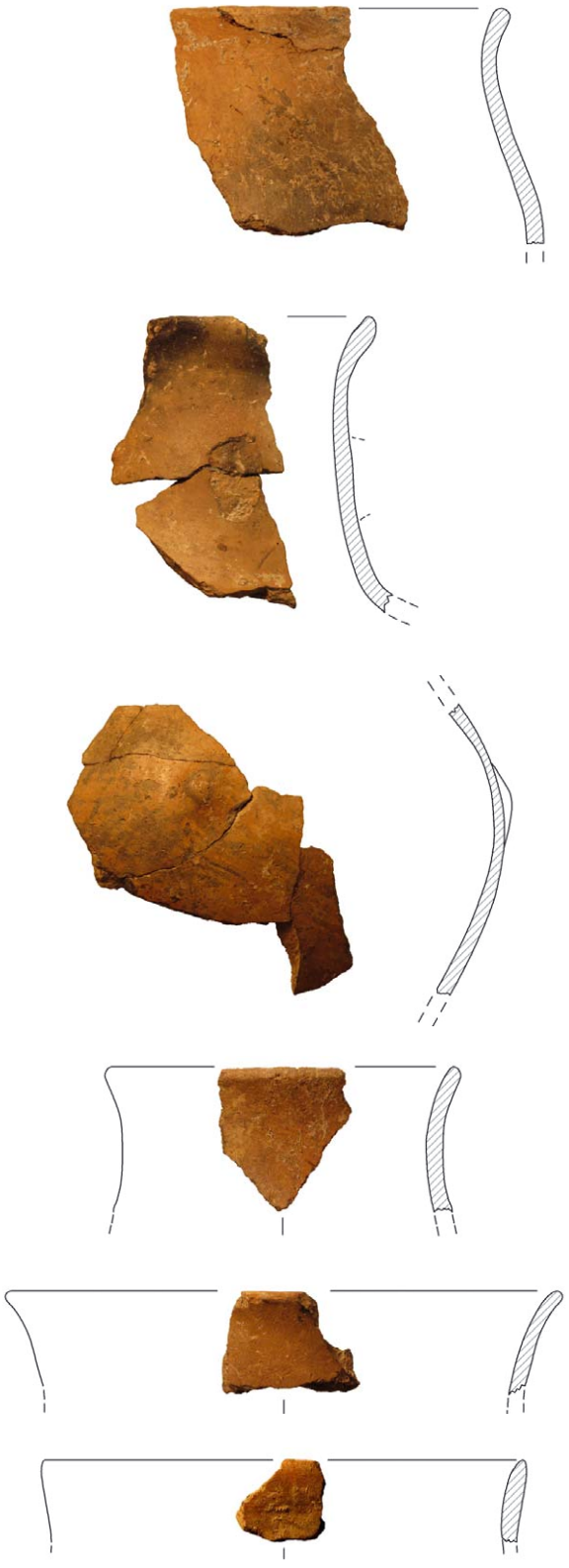
291
(1:2)



301
(1:2)

ÇuHö VI–Vb (N4): SE 818 (283, 291); SE 834 (301)

Tafel 28



300 (1:2)

302 (1:2)

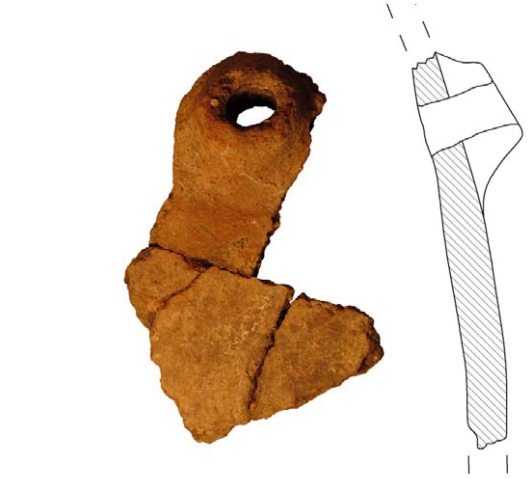
303 (1:2)

304 (1:2)

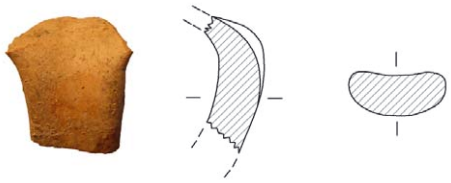
305 (1:2)

306 (1:2)

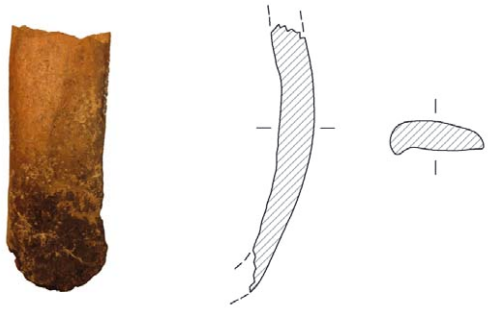
ÇuHö VI–Vb (N4): SE 834 (300, 302–306)



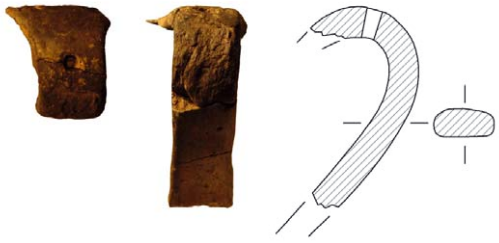
308
(1:2)



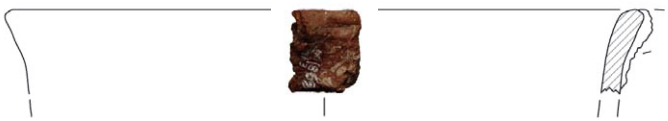
309
(1:2)



313
(1:2)



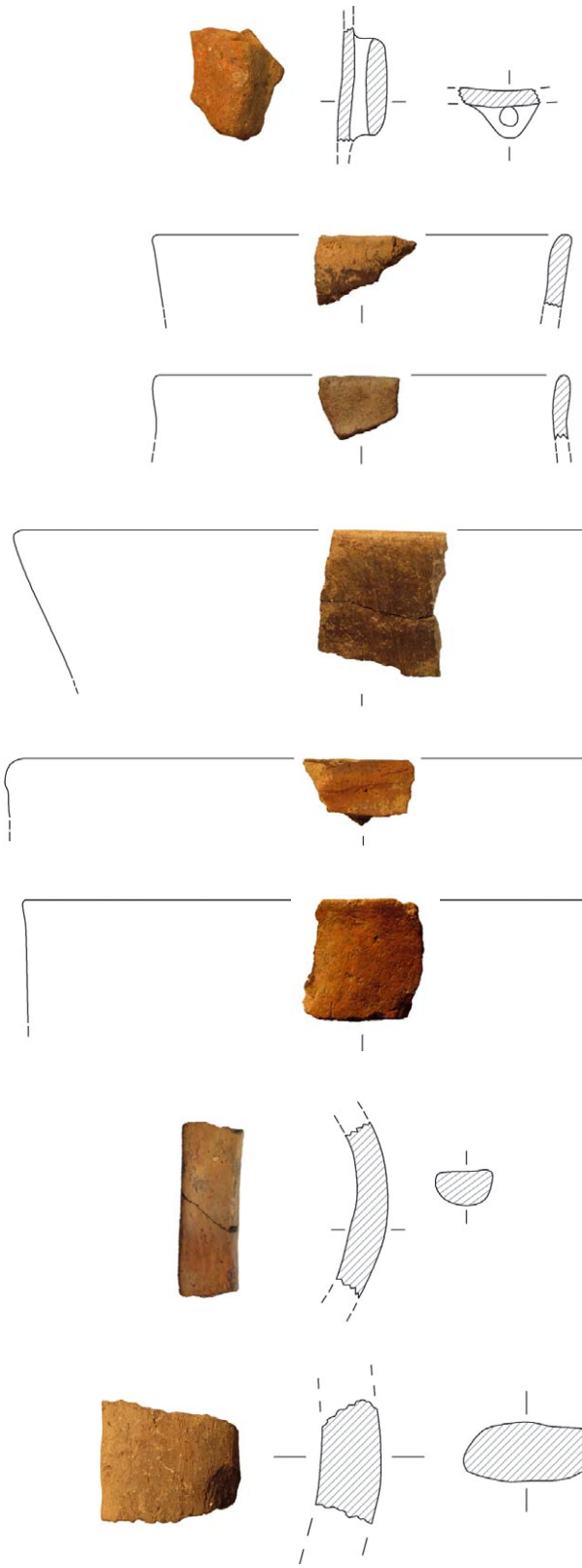
315
(1:2)



317
(1:2)

ÇuHö VI–Vb (N4): SE 834 (308–309, 313, 315); SE 869 (317)

Tafel 30



318 (1:2)

320 (1:2)

322 (1:2)

321 (1:3)

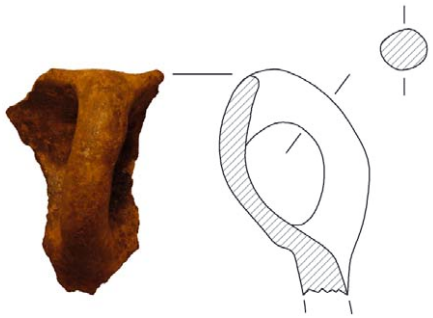
323 (1:2)

325 (1:2)

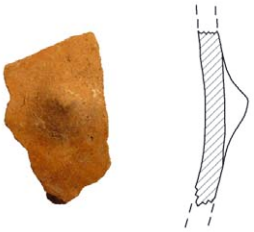
328 (1:2)

329 (1:2)

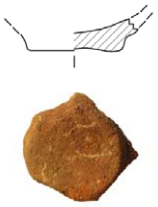
ÇuHö VI–Vb (N4): SE 869 (318); SE 883 (320–323, 325, 328–329)



330
(1:2)



339
(1:2)



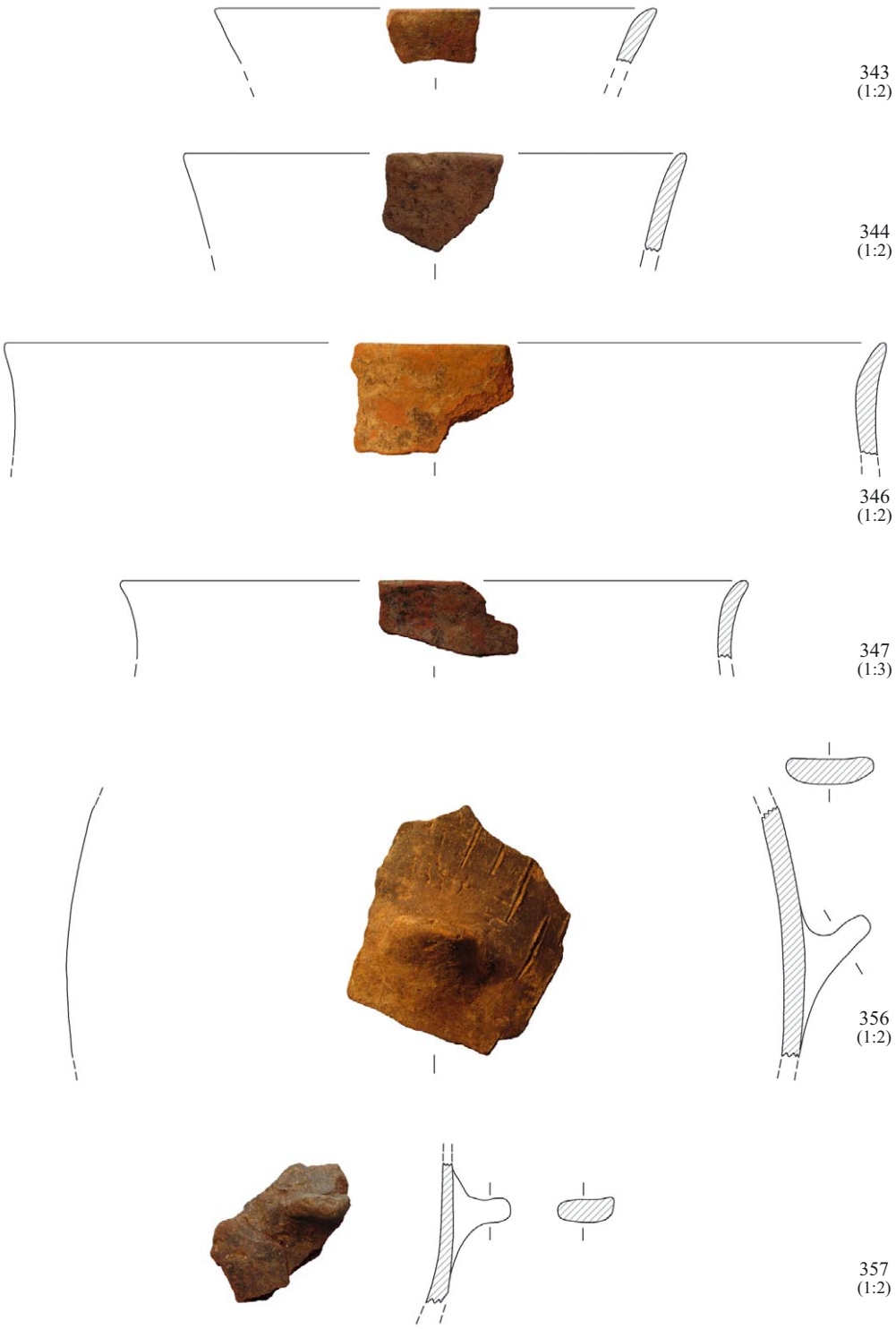
341
(1:2)



340
(1:2)

ÇuHö VI–Vb (N4): SE 883 (330); SE 894 (339); SE 897 (340); SE 904 (341)

Tafel 32



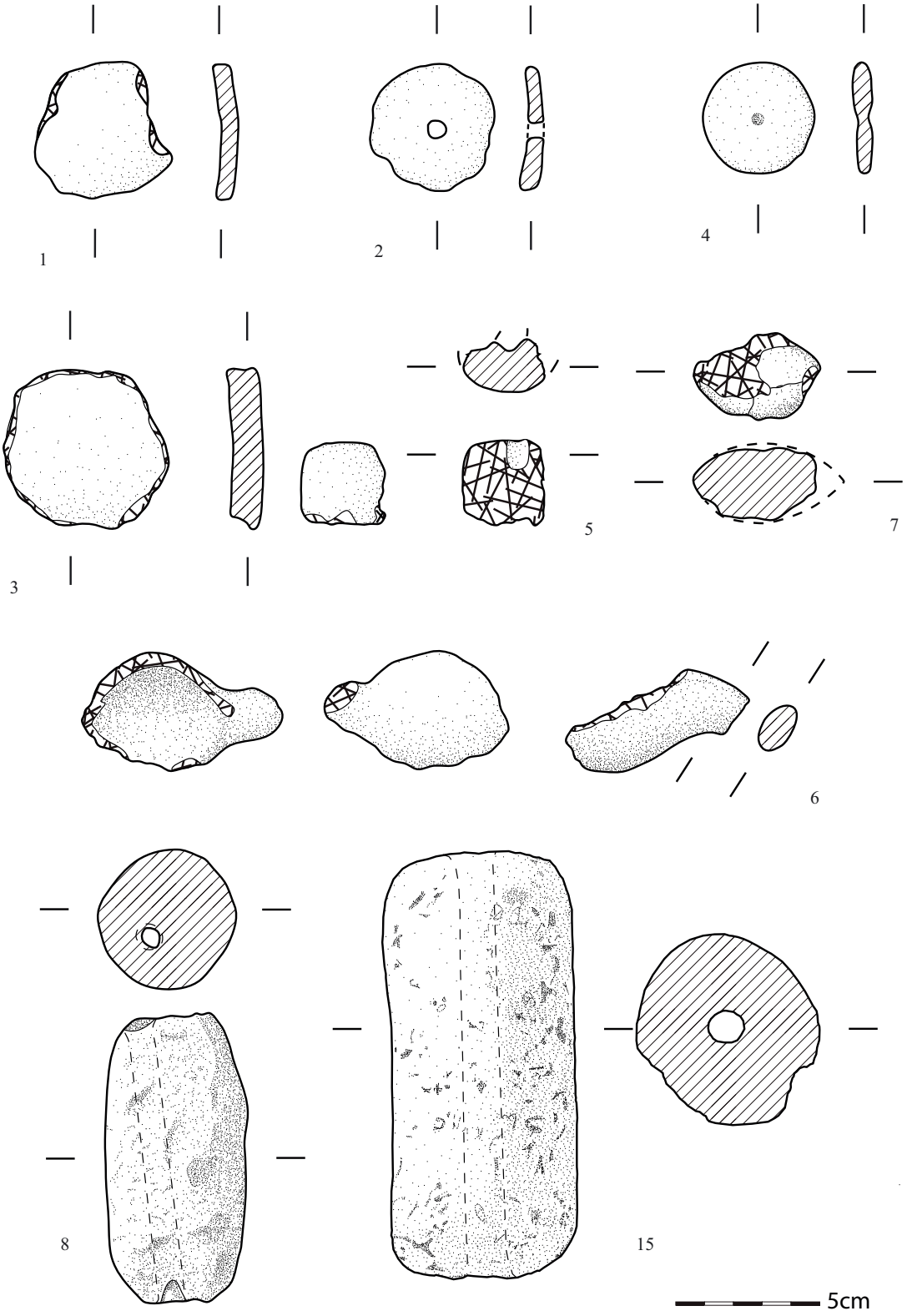
ÇuHö VI–Vb (N4): SE 967 (343–344, 346–347, 356–357)



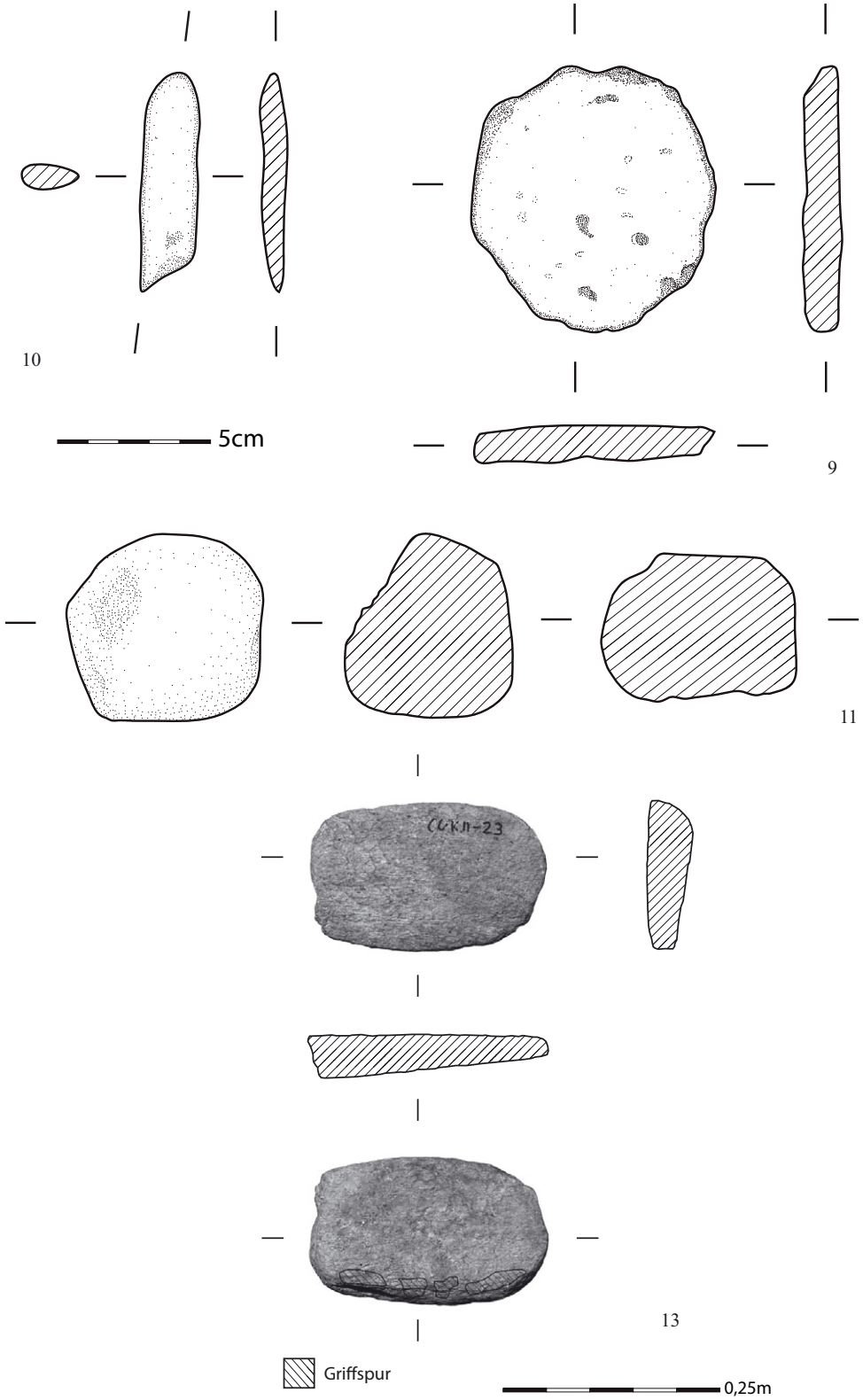


Keramikauswahl der Phase **ÇuHö VI** (N1–3): SE 4 (155, 160–161); SE 5 (170)

Tafel 34

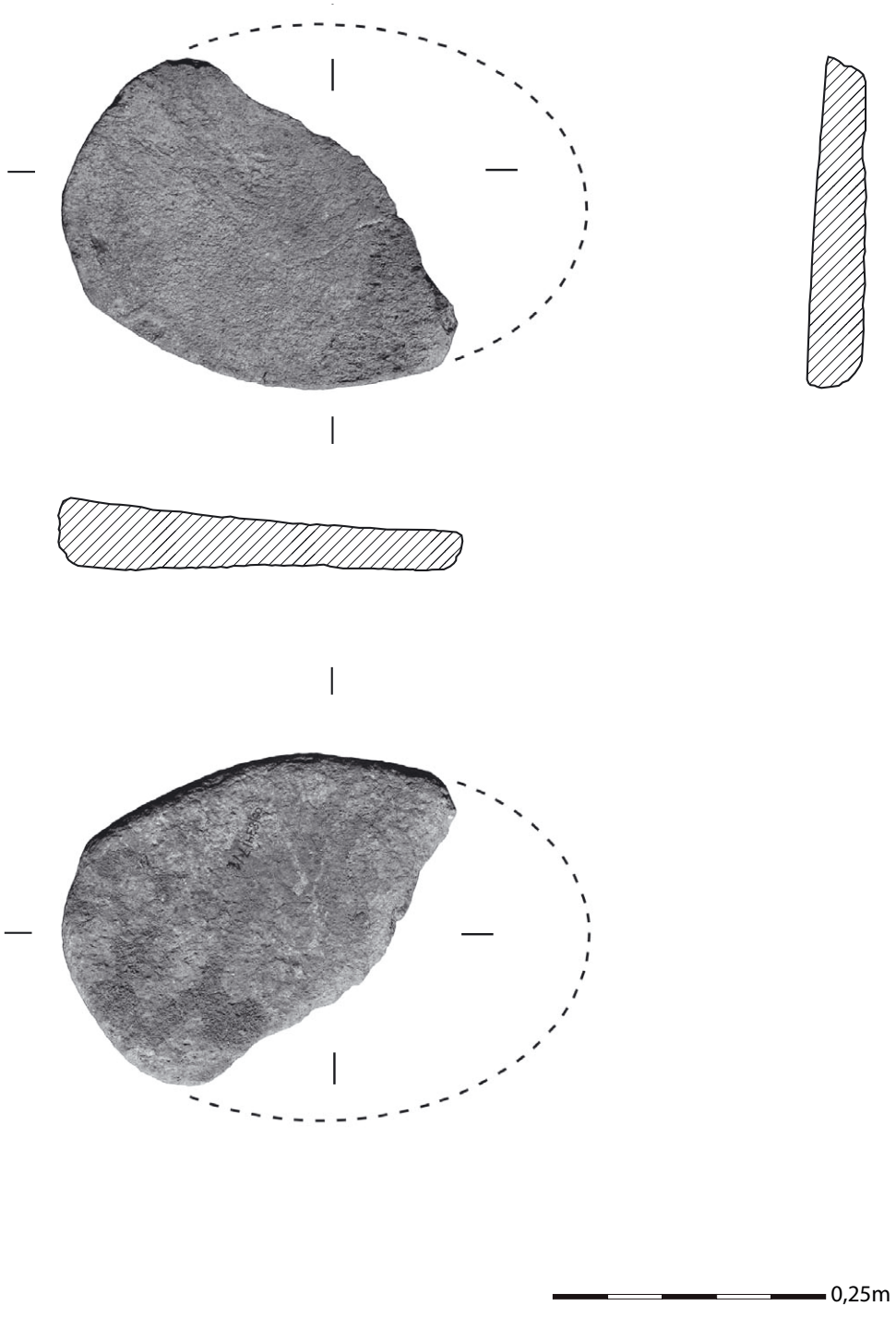


Çukuriçi Höyük Kleinfundauswahl aus Ton der Schnitte N1–4: SE 96 (1–2); SE 112 (3); SE 316 (4–5) SE 334 (6–7); SE 335 (8); SE 883 (15)



Çukuriçi Höyük Kleinfundauswahl aus Stein sowie ein Reibstein der Schnitte N1–4: SE 7 (9–10); SE 311 (11) SE 316 (4–5); SE 834 (13)

Tafel 36



Çukuriçi Höyük Reibstein aus dem Schnitt N4: SE 834 (12)



Çukuriçi Höyük Kleinfundauswahl aus Ton und Stein aus den Schnitten N1–3: SE 96 (1–2); SE 112 (3) SE 316 (4–5); SE 334 (6–7); SE 335 (8); SE 311 (11); SE 883 (15)